

ANNALEN
der
SCHWEIZERISCHEN METEOROLOGISCHEN
ZENTRALANSTALT

1958

Fünfundneunzigster Jahrgang



City-Druck AG, Zürich 1
St. Peterstraße 10
1959

Inhalt

Vorwort	Pag. III
Verzeichnis der schweizerischen meteorologischen Literatur im Jahre 1958.	Pag. IV
Legende zu «Tägliche Beobachtungen»	Pag. VII

Tägliche Beobachtungen

der Stationen: Bern, Neuchâtel, Altdorf, Genève, Zürich, Chasseron, Bever, Sion, Lugano, Basel, Säntis und St. Gotthard nebst ergänzenden Witterungsnotizen	Pag. 1—76
Jungfrauoch: Tägliche Lufttemperaturen	Pag. 77
Tägliche Maxima und Minima und stündliche Monatsmittel der Lufttemperatur von Zürich und Säntis	Pag. 78—79
Temperaturextreme von 7 Normal-Stationen	Pag. 80—83

Monats- und Jahres-Übersichten der meteorologischen Beobachtungen sämtlicher Stationen	» 85—144
---	----------

	Pag.		Pag.		Pag.		Pag.
Aarau	104 u. 105	Davos-Platz	116 u. 117	Leukerbad	131	Sargans	90 u. 91
Adelboden	129	Delémont	128	Leysin	112 u. 113	Sarnen	96 u. 97
Airolo	134	Disentis	116 u. 117	Locarno-Aeroporto	144	Schaffhausen	104 u. 105
Allerheiligenberg	128	Ebnat	124	Locarno-Monti	122 u. 123	Schiers	132
Altdorf I	96 u. 97	Einsiedeln	94 u. 95	Locarno-Muralto	122 u. 123	Schuls	118 u. 119
Altdorf II	98 u. 99	Elm	92 u. 93	Lohn	106 u. 107	Schwäbrig (ob Gais)	124
Altstätten	90 u. 91	Engelberg	96 u. 97	Lugano	122 u. 123	Seewis	132
Andermatt	127	Fescoggia	135	Lungern	126	Sils-Maria	133
Arosa	116 u. 117	Frauenfeld	88 u. 89	Luzern	94 u. 95	Sion	112 u. 113
Auen (Linthal)	92 u. 93	Fribourg	106 u. 107	Marsens	130	Sion-Aérodrome	142
Baden	86 u. 87	Genève	110 u. 111	Meiringen	108 u. 109	Soleil Mont	127
Basel (Binningen)	98 u. 99	Genève-Cointrin	141	Montana	114 u. 115	Solothurn	102 u. 103
Bâle-Mulhouse	139	Glarus	92 u. 93	Montreux-Clarens	112 u. 113	Splügen-Dorf	120 u. 121
Beatenberg	108 u. 109	Göschenen	98 u. 99	Muri (Aargau)	124	Sta. Maria (Münstertal)	133
Bellinzona	122 u. 123	Grächen	131	Neuchâtel	100 u. 101	St. Gallen	88 u. 89
Bern	106 u. 107, 140	Grand-St-Bernard	112 u. 113	Oberiberg	94 u. 95	St. Gotthard	98 u. 99
Bever	118 u. 119	Grimmel	110 u. 111	Olten	102 u. 103	St. Moritz	120 u. 121
Beznau	104 u. 105	Grindelwald	129	Pilatus-Kulm	96 u. 97	Thun	128
Biel	102 u. 103	Crono	134	Plateau Rosà (Testa Grigla)	143	Tschierschen	132
Bivio	133	Gurtellen	126	Platta (Medels)	116 u. 117	Vättis	125
Bosco-Curin	120 u. 121	Gütsch ob Andermatt	138	Ragaz, Bad	92 u. 93	Vicosoprano	134
Braggio	120 u. 121	Guttannen	108 u. 109	Reckingen	114 u. 115	Walchwil	125
Brévine, la	127	Haidenhau	88 u. 89	Rheinfelden	128	Wald (Faltigberg)	125
Brè Monte (ob Lugano)	135	Hallau	104 u. 105	Rigi-Kaltbad	126	Walenstadtberg	125
Buffalora (Ofenpaß)	118 u. 119	Heiden	90 u. 91	Rigi-Kulm	94 u. 95	Weggis	126
Cernier	127	Heiligenschwendi	129	Robbia (San Carlo)	133	Weißfluhjoch	118 u. 119
Chasseron	100 u. 101	Interlaken	108 u. 109	Rochers de Naye	131	Wintertthur	86 u. 87
Château d'Oex	130	Jungfrauoch	110 u. 111	Romont	130	Zermatt	131
Chaumont	100 u. 101	Kreuzlingen	88 u. 89	Rorschach	124	Zürich-BG	86 u. 87
Chaux-de-Fonds, la	100 u. 101	Langenbruck	102 u. 103	Rougemont	130	Zürich-Kloten	137
Chippis	114 u. 115	Langnau i. E.	106 u. 107	Saamen	129	Zürich-MZA	86 u. 87
Chur	114 u. 115	Lausanne	110 u. 111	Saas-Fee	132		
Comprovasco	134			Säntis	90 u. 91		

Anhang: Ergänzende Beobachtungen und Abhandlungen.

- Nr. 1 M. Schüepp: Übersicht über den Witterungsverlauf in der Schweiz im Jahre 1958.
- Nr. 2 J. Rieker: Liste des chutes de grêle en Suisse pendant l'année 1958.
- Nr. 3 Ergebnisse der Niederschlagsmessungen im Jahre 1958.
Ergebnisse der im Alpengebiet aufgestellten Totalisatoren für das hydrologische Jahr 1957/58.
M. Grütter: Die Niederschläge des Jahres 1958.
- Nr. 4 Ergebnisse der Registrierungen der Sonnenscheinautographen im Jahre 1958.
- Nr. 5 Agrarmeteorologische Beobachtungen im Jahre 1958:
Verdunstung in mm Wasserhöhe von Zürich, Château d'Oex und Pregassona und Bodentemperaturen von Zürich und Pregassona.
B. Primault: De la mesure de l'évaporation.
- Nr. 6 Aerologische Station Payerne: Radiosondierungen 1958.
- Nr. 7 Wetterlagen und Fronten im Jahre 1958.
- Nr. 8 G. Perl und H. Dütsch: Die 30jährige Arosener Ozonmeßreihe.

Vorwort

Zu Beginn des Jahres 1958 konnte in *Delémont* eine meteorologische Station eröffnet und damit endlich ein längst bestehender Mangel in jener Gegend behoben werden (Beobachter: A. Renfer, Gartenbaulehrer). Im Laufe des Jahres erweiterte sich das Stationsnetz um vier Regenmeßstationen: *Moutier* (Service technique de la Ville), *Mürren* (H. Schwaller, Stationsvorstand), *Outremont* s. St-Ursanne (Domaine d'Outremont) und *Pooalp* ob Wald ZH (E. Baumgartner); letztere Station wurde durch die Baudirektion des Kantons Zürich, Abteilung für Wasserbau und Wasserrecht, errichtet. Aufgehoben wurde die Regenmeßstation *Innertal-Schulhaus*. Ferner trat auf Ende September Fr. H. Nager als Beobachterin in *Aldorf* zurück, nachdem die dortige Station seit 1873 von ihr und früher von ihrem Vater betreut worden war. Die Funktion als Normalstation geht damit an die 1955 gegründete meteorologische Station bei den Armeemagazinen über. Wegen Wegzuges von Herrn Dr. M. Bouët mußte auch die dem synoptischen Dienst angehörende Station *Montana* auf Ende des Jahres aufgegeben werden.

Bestand:	1. Januar	31. Dezember
Meteorologische Stationen (Klimatologischer Dienst)	127	126
Meteorologische Stationen (Synoptischer Dienst)	9	9
Regenmeßstationen	326	329

Beobachterwechsel (* mit Stationsverlegung, † Todesfälle)

Meteorologische Stationen: bisher			neu	Regenmeßstationen: bisher			neu
Lugano	G. Vicari		A. Tison	Frasco	Fr. A. Ferrini		Fr. P. Ferrini
Solothurn	Familie Glutz		Fr. A. Glutz	* Haag	K. Cräbli		U. Hagmann
Vicosoprano	H. Roffler †		Familie Ganzoni-Roffler	* Lauterbrunnen	A. Huggler		A. Zoller
				Martigny	A. Zigerlig		Ch. Corsatt
				Schönenberg	A. Gut		M. Zeller
				* Simplon-Dorf	Konsortium Gabi		J. Rittiner
				Sternenberg	H. Kofel		F. Iseli

Zürich, im Dezember 1959

Der Direktor der
Schweizerischen Meteorologischen Zentralanstalt:

Jean Lugeon

Verzeichnis der 1958 erschienenen oder sich auf dieses Jahr beziehenden schweizerischen meteorologischen Literatur

Abkürzungen: NG = Naturforschende Gesellschaft. — SNG = Schweizerische Naturforschende Gesellschaft.

Dieses Verzeichnis führt die im vorliegenden Bande publizierten Arbeiten nicht nochmals auf (s. Inhaltsverzeichnis S. II)

- Schweizerische Meteorologische Zentralanstalt: Annalen der ... 1958, Jg. 95. — Zürich 1959.
- Schweizerische Meteorologische Zentralanstalt: Ergebnisse der Niederschlagsmessungen auf den meteorologischen und Regenmeß-Stationen der Schweiz im Jahre 1958. — Zürich 1959.
- Schweizerische Meteorologische Zentralanstalt: Meteorologische Monatsberichte, Januar—Dezember 1958. [Verf. von] M[ax] Schüepp. — Zürich 1958; je 2 S.
- Schweizerische Meteorologische Zentralanstalt: Wetterbericht der ... = Bulletin de l'Institut suisse de météorologie, Jg. 78, Nr. 1—365. — Zürich 1958; erscheint täglich.
- Eidg. Institut für Schnee- und Lawinenforschung: Schnee und Lawinen in den Schweizer Alpen, Winter 1956/57. — Winterbericht ... Nr. 21, 120 S., Davos-Platz 1958.
- Eidg. Volkswirtschaftsdepartement, Abt. f. Landwirtschaft, Eidg. Kommission zum Studium der Hagelbildung und Hagelabwehr: Großversuch III zur Bekämpfung des Hagels im Tessin. I. Versuchsjahr. Tätigkeitsbericht Nr. 10, 1957. 111 S. — Bern 1958.
- Eidg. Volkswirtschaftsdepartement, Abt. f. Landwirtschaft, Stations fédérales d'essais agricoles, Lausanne: Rapport d'activité 1957. Chap. 2, 21. Année météorologique; 22. Dates phénologiques et culturales, Rendement des cultures. — Landwirtschaftl. Jahrbuch der Schweiz, N. F. 7: 265—276, Bern 1958.
- Observatoire cantonal de Neuchâtel: Observations météorologiques faites en 1958 à l'Observatoire ... par Walter Schuler. — Bull. Soc. Neuchâtel. Sci. Nat. 82: 287—308, 1958.
- Observatoire de Genève. (Ruche, J.): Résumé météorologique de l'année 1957 pour Genève. — Publ. de l'Observat. de Genève, Sér. M, (32), 13 S., Genève 1958.
- Observatoire météorologique de Lausanne, Champ-de-l'Air: Résumés mensuels 1958. — Lausanne, Obs. mét. cant. vaud. 1958, 12 p.
- Service de statistique, Bienne: Les observations météorologiques 1957. — Chron. statist. de la ville de Bienne 1957, 30: 7—9, Bienne 1958.
- Statistisches Amt des Kantons Basel-Stadt: Klima und Witterung. — Stat. Jahrb. Kt. Basel-Stadt 38: 6—10, 1958.
- Ackermann, Paul: Korrektur der Formel zur Berechnung der Höhe aus aerologischen Aufstiegen und Temperaturgradient eines schweren Gases. — Met. Rundsch. 11(4): 120—122, Berlin [etc.] 1958.
- [Anonyme]: Das Wetter in der Schweiz. — Schweiz. Brauereirundschau 69(11): 199—207, Zürich 1958.
- Bider, Max: Beziehungen zwischen Witterung und Pflanzenwachstum. — «Forschung und Technik», National-Zeitg. Nos. 161 und 173 (2 S.) Basel, April 1958.
- Bider, M[ax]: Über die Genauigkeit der Registrierungen des Sonnenscheinphotographen Campbell-Stokes. — Arch. f. Met. Geoph. Biokl., Ser. B. 9(2): 199—230, Wien 1958.
- hö.: Un problème non résolu. — Schweiz. Aero-Rev. 33(4): 169—170, Bern 1958.
- Bouët, Max: Fochin, vaudaire et grain orangeux. — Bull. Murithienne (75): 1—8, Sion 1958.
- Bouët, Max: Note sur le foehn. — Verh. SNG, Glarus 1958: 102—103.
- Büchi, Hans F.: Die biologische Bedeutung des luftelektrischen Feldes für die Gesundheit unserer Haustiere. — Kleinviehzüchter 6(2): 27—28, Romanshorn 1958.
- Carreras-Patxot, Rafael; Sänger, Raymond: A method for studying the diffusion of silver iodide particles in the atmosphere by means of I¹³¹. — Z. f. angew. Math. u. Phys. IXa(4): 375—380, Basel 1958.
- Carreras, Rafael: s. auch Sänger, Raymond.
- Cunningham, R. M.: Flight observations on the fine structure of cumulus clouds. — Schweiz. Aero-Rev. 33(2): 100—103, Bern 1958.
- Drotschmann, H[ugo]: Technische Klima-Daten für die Schweiz. Berichterstattung über die Periode 1957/58. — Schweiz. Blätter f. Heizung u. Lüftung 25(3): 41—60, Zürich 1958.
- Dütsch, Hans-U[rich]: Vertikale Ozonverteilung aus Umkehrmessungen. — Verh. NSG, Glarus 1958: 111—113.
- Du Pasquier, Pierre: Météorologie. — L'ère atomique, encyclopédie des sciences modernes 9: 13—20, Genève 1958.
- Eichenberger, Willy: Flugwetterkunde. Ein umfassender Lehrgang. 334 S., 16 Taf. — Schweiz. Druck- und Verlagshaus AG, Zürich 1958.
- Eichenberger, Willy: Das Flugzeug im Dienste der Meteorologie. — Aviatik (12): 12—18, Chur 1958.
- Furrer, Ernst: Die Edelkastanie in der Innerschweiz. (Das Klima, SS. 101—107). — Schweiz. Anstalt für das forstliche Versuchswesen, Mitteilungen 34(3): 89—102, Zürich 1958.
- Georgii, Walter: Forschungsflüge in alpiner Wellenströmung. — Schweiz. Aero-Revue 33(6): 307—314, Bern 1958.
- Coekel, P[aula]: Das meteorologische Jahr 1957. — Bull. Soc. Frib. Sci. Nat. 47: 52—54, Fribourg 1958.
- Greinacher, Heinrich: Zur Frage des Ersatzes psychrometrischer Tafeln durch Rechenschieber. — Arch. Met. Geoph. Biokl., Ser. A, 10(4): 350—354, Wien 1958.
- Grosrey, Adrien: Le climat de Genève. — Globe, Mémoires de la Soc. de géogr. de Genève 97: 99—114, Genève 1958.
- Guyot, Eldmond: Le programme général de l'Année géophysique internationale. — Rev. internat. horlog. (8): 5—8, La Chaux-de-Fonds 1958.
- Haenni & Cie.: Psychromètre à aspiration. — Nouvelles de Haenni (68): 2 S., Jegenstorf (BE) 1958.
- Horisberger, Pierre: Manifestations trombalcs sur le lac de Neuchâtel, les 21 juillet et 15 septembre 1957. — Bull. Soc. Neuchâtel. Sc. Nat. 81: 119—121, Neuchâtel 1958.
- Jenny, J[ean]: Einige Grundlagen und Hinweise über Frostschutz. — Stat. féd. d'essais agric., Lausanne, Publicat. No 576, 12 S., 1958.
- Jenny, J[ean]: Eis gegen Frost. — Traktor 20(3): 21—24, Brugg 1958.
- Jenny, Jean: Quelques données techniques sur les méthodes de lutte contre le gel. — Schweiz. landwirtschaftl. Jahrbuch N. F. 7(4): 557—572, Bern 1958.
- Hörler, Al[no]ld: Auswertung von 30jährigen Aufzeichnungen der Regenmeß-Station Rotmonten in St. Gallen. — Schweiz. Z. f. Hydrol. 20(1): 30—40, Basel 1958.
- Kasza, József: 50 Tage Wellenjagd — Ungarische Wellenflüge 1957. — Schweiz. Aero-Rev. 33(6): 314—316, Bern 1958.
- Katz, U[rich]: Récentes recherches de laboratoire effectuées en Suisse sur la lutte contre la grêle. — Bull. Obs. Puy-de-Dôme (2): 65, Clermont-Ferrand 1958.
- Katz, U[rich]: Recenti ricerche di laboratorio effettuate in Svizzera per la prevenzione della grandine. — Simposio internaz. sulla fisica delle nubi e relative applicaz. all'agricolt., Atti: 57—58, Asti 1958.
- Kaufmann, Paul: Aerologische Kennwerte für den Segelflug. — Schweiz. Aero-Rev. 33(5): 253—255, (6): 318—319, (7): 347—350, Bern 1958.
- Kaufmann, P[aul]: Atmosphärische Strömungsquerschnitte. — Geofis. pura e appl. 40: 187—199, Milano 1958.
- Kaufmann, P[aul]: Ein Projekt zur objektiven Vorhersage. — Verh. SNG, Glarus 1958: 104—105.
- Klingler, J.; Vogel, W.; Wille, H.: Der Einfluß der Temperatur auf die Eiablage des Apfelwicklers. — Schweiz. Zeitschr. f. Obst- u. Weinbau 67(10): 256—262, Wädenswil 1958.
- Kü[nz]li, Walter: Pflanzennährstoffe in den Niederschlägen. — Mitt. f. d. schweiz. Landwirtschaft 6(6): 94—96, Zürich 1958.
- Kuhn, Walter: Der Firnzuwachs pro 1957/58 in einigen schweizerischen Firngebieten. 45. Bericht. — Vierteljahresschr. NG Zürich 103: 334—343, Zürich 1958.
- Kundert, J.: Die Peronospera der Rebe und ihre Bekämpfung im Jahre 1957. — Schweiz. Zeitschr. f. Obst- u. Weinbau 67(2): 40—45, Wädenswil 1958.
- Kunz, R.: Dans les ondes du Jura. — Schweiz. Aero-Rev. 33 (7): 347, Bern 1958.
- Kurz, J.: Erfolgreiche Spätfrostbekämpfung mit Briketts im Rebberg. — Schweiz. Zeitschr. f. Obst- u. Weinbau 67(9): 240—242, Wädenswil 1958.

- Leeman, Ernst: Das Geschehen im Luftmeer. — Demoll, R. & Steinmann, P.: Heimat, Bd. 1: 15—43, Basel 1958.
- Letestu, Serge: Beeinflussen Atombombenexplosionen das Wetter? — Epoche, Atom und Automation, Bd. 4: 90—98, Frankfurt 1958.
- Letestu, Serge: Les explosions atomiques peuvent-elles agir sur le climat? — L'ère atomique, Encyclopédie des sciences modernes 3: 96—98, 101—105, Genève 1958.
- List, Roland: Kennzeichen atmosphärischer Eispartikel I: Graupeln als Wachstumszentren von Hagelkörnern. — Zeitschr. f. angew. Math. u. Phys. IXa(2): 180—192, Basel 1958.
- List, Roland: Kennzeichen atmosphärischer Eispartikel II: Hagelkörner. — Zeitschr. f. angew. Math. u. Phys. IXa(3): 217—234, Basel 1958.
- Lugeon, Jean: Brèves informations sur l'expédition polaire suisse de l'Année géophysique internationale 1957—1958 à Murchison Bay. — Rev. internat. horlog. (8): 32—35, La Chaux-de-Fonds 1958.
- Lugeon, Jean: Météorologie synoptique et surveillance permanente de la teneur de l'air en substances radioactives à longues demi-périodes. — Industries atomiques (1/2): 77—80, Genève 1958.
- Lugeon, Jean: Mon amitié pour Antoni Boleslaw Dobrowolski. — Acta geophys. polonica 6(4): 313—320, Warszawa 1958.
- Lugeon, Jean: Valeur moyenne approximative du gradient de potentiel et de la conductibilité électrique dans la haute atmosphère de Payerne. — Verh. SNG, Glarus 1958: 107—109.
- Lugeon, Jean; Rieker, Jean: Comparaison entre le radiogoniographe à secteur étroit et le radiogoniomètre à rayon cathodique. — Verh. SNG, Glarus 1958: 106—107.
- Martin, M.: Meßergebnisse über die radioaktive Verseuchung der Biosphäre in der Bundesrepublik Deutschland und in der Schweiz. — Techn. Rundsch. 50(46): 35, Bern 1958.
- Mercanton, Paul-Louis: Aires englacées et cotes frontales des glaciers suisses, leurs changements de 1876 à 1934 d'après l'Atlas Stegfried et la Carte Nationale et quelques indications sur leurs variations de 1934 à 1957. — Wasser- u. Energie-wirtschaft 50(12): 347—351 + 1 Karte, Zürich 1958.
- Mercanton, Paul-Louis: Rapport sur les variations de longueur des glaciers européens en 1953/54, 1954/55 et 1955/56. [U.G.C.I], C.R. et Rapports, Assemblée gén. Toronto 4: 358—370, Gentbrugge 1958.
- Mercanton, Paul-Louis: Un demi-siècle d'observations nivométriques dans les Alpes suisses. — Bull. Soc. Vaud. Sc. Nat. 67 (297): 1—10, Lausanne 1958.
- Mercier, Pierre; Wacker, Pierre: La trombe du 7 octobre 1956 sur le lac Léman. — Bull. Soc. Vaud. Sc. Nat. 67(297): 11—17, Lausanne 1958.
- Mörkofer, Walter: Grundzüge der medizinischen Klimatologie. — Monatskurse f. d. ärztliche Fortbildung 8(5): 186—199, München 1958.
- Muralt, Alexander von: Das Höhenklima und seine Einflüsse auf den Menschen. — Dr. Albert Wander Gedenkvorlesung (1): 5—26, Bern 1958.
- Nicollier, Jean: Les gelées de printemps dans le Valais central et leur apparition en 1957. — Bull. Murithienne 74: 54—68, Sion 1958.
- Peter-Contesse, J.: A propos de production ligneuse et de météorologie. — Bull. Soc. Neuchâtel. Sci. Nat. 81: 178—179, Neuchâtel 1958.
- Peyer, Ernst: Demonstration der Frostbekämpfung im Obst- und Weinbau. — Schweiz. Zeitschr. f. Obst- u. Weinbau 67(10): 262—264, Wädenswil 1958.
- Peyer, Ernst: Erfahrungen und Untersuchungen mit der Frostberechnung in der Ostschweiz im Jahre 1957. (Tätigkeitsbericht der ostschweizerischen Kommission zum Studium der Frostschäden im Weinbau.) — Schweiz. Zeitschr. f. Obst- u. Weinbau 67(3): 83—102, Wädenswil 1958.
- Primault, Bernard: En marge des futures auto-roues. — Schweiz. Zeitschr. f. Forstwesen 109(1): 37—43, Bern 1958.
- Primault, Bernard: Eléments météorologiques agissant sur l'apparition de la fièvre aphteuse. — Schweiz. Arch. f. Tierheilkunde 100(7): 383—399, Zürich 1958.
- Primault, Bernard: Frühlingseinzug in West und Ost. — Schweiz. Bienenzeitg. 81(8): 355—359, Aarau 1958.
- Primault, Bernard: Problèmes actuels de météorologie agricole. — Schweiz. landwirtschaftl. Monatshefte 36(4): 143—145, Bern 1958.
- Primault, Bernard: Was wissen wir vom Wetter des nächsten Tages? — Schweiz. Bienenzeitg. 81(1): 25—29, Aarau 1958.
- Quervain, Marcel de: Avalanche classification. UGGI Assoc. internat. hydrol. sci., Assemblée gén. Toronto 4: 387—392, (1958).
- Quervain, Marcel de: On metamorphism and hardening of snow under constant pressure and temperature gradient. — UGGI, Assoc. Int. Hydrol. Sc., Ass. gén. Toronto 1957, 4(46): 225—239, 1958.
- R. K.: Rückseitenwetter. — Schweiz. Aero-Rev. 33(6): 316—317, Bern 1958.
- Reichelderfer, F. W.: La météo et la sécurité des avions en vol. — Interavia 13(10): 1079—1080, Genève 1958.
- Renaud, André: Les variations des glaciers suisses, 1957 (78e rapport). — Die Alpen 34: 226—237, Bern 1958.
- Rieker, Jean; s. Lugeon, Jean.
- Rima, Alessandro: Delle «probabilità» nelle misurazioni idrografiche e meteorologiche nella Svizzera italiana. — Riv. techn. Svizzera ital. (6): 1—15, Lugano 1958.
- Roth-Desmeules, Ernst; Sängler, Raymond: Über den Einfluß eines mit der Höhe veränderlichen Windes auf die Flugbahn einer Rakete. — Zeitschr. f. angew. Math. u. Phys. IXb(5/6): 526—542, Basel 1958.
- Rudloff, Hans von: Die Klimapendelungen der letzten zwei Jahrhunderte in Mitteleuropa. — Atlantis 30(1): 40—42, Zürich 1958.
- Sängler, Raymond; Carreras, Rafael: De l'utilisation d'iode d'argent radioactif pour l'étude de sa diffusion dans l'atmosphère. — Verh. SNG, Glarus 1958: 103—104.
- Sängler, Raymond; s. auch Carreras-Patxot, Rafael.
- Sängler, Raymond; s. auch Roth-Desmeules, Ernst.
- Salamonik, St.: La structure des nuages cumulus et cumulonimbus à la lumière des études par radar. — Schweiz. Aero-Revue 33(12): 659—661, Bern 1958.
- Schäufelberger, Paul: Warum haben die Regenfaktoren so häufig in Klimatologie und Bodenkunde versagt? — Geogr. helvet. 13(1): 69—73, Bern 1958.
- Schellenberg, Alfred: Der Frostschutz im Weinbau mit Frostschirmen. — Schweiz. Zeitschr. f. Obst- und Weinbau 67(8): 205—211, Wädenswil 1958.
- Schellenberg, Alfred: Tätigkeitsbericht des Schweizerischen Weinbauvereins für das Jahr 1957. — Schweiz. Zeitschr. f. Obst- und Weinbau 67(6): 165—167, Wädenswil 1958.
- Schäufelberger, Paul: Welches sind, nach den Erfahrungen der Bodenkunde, die maßgebenden Klimafaktoren? — Petermanns Mitteil. 102: 113—115, Gotha 1958.
- Schenk, Georg: Du und das Wetter. — Unser Rheintal 15: 61—67, Au (SG) 1958.
- Schüepf, Walter: Meteorologische Gesichtspunkte zur technischen Auswertung der Sonnenenergie. — Arch. Met. Geoph. Biokl., Ser. B, 9(2): 272—291, Wien 1958.
- Schweizer, Wolfgang: Comment prévoir le débit estival d'un cours d'eau alpin? — Rev. géogr. alpine 46(1): 181—191, Grenoble 1958.
- Somogy, E.: s. Takats, I.
- Stahel, M.: Erfahrungen in der Spätfrostbekämpfung im Frühjahr 1957 in einer Obstanlage. — Schweiz. Zeitschr. f. Obst- u. Weinbau 67(9): 240—242, Wädenswil 1958.
- Streiff-Becker, Rudolf: Naturchronik der Naturforschenden Gesellschaft des Kantons Glarus. — Mitt. Natf. Ges. Glarus 10: 301—310, Glarus 1958.
- Swedish-Finish-Swiss International Geophysical Year Expedition to Nordanlandet 1957/58 — Operations in 1957. — Polar Record 9(58): 24—25, Cambridge 1958.
- Takats, I.; Somogy, E.: Untersuchungen über den plötzlichen Tod im Säuglingsalter und seine Zusammenhänge mit der meteorologischen Lage. — Ann. paediatr. 91(4): Basel 1958.
- Tanaevsky, Olga: La haute atmosphère. — L'ère atomique, encyclopédie des sciences modernes 9: 77—80, Genève 1958.
- Thams, Johann Christian: Gli esperimenti scientifici su vasta scala di difesa antigrandine nella Svizzera. — Simposio internaz. sulla fisica delle nubi et realtive applicaz. all'agricolt., Atti: 46—56, Asti 1958.
- Thams, Johann Christian: Les expériences de la Commission fédérale pour l'étude de la grêle poursuivies en Suisse. — Bull. Obs. Puy-de-Dôme (2): 65, Clermont-Ferrand 1958.
- Thams, Johann Christian: Internationale Tagung über Wolkenphysik und ihre Anwendung auf die Landwirtschaft. — Grüne 86(26): 771—772, Zürich 1958.
- Thams, Johann Christian; Wierzejewski, Hugo: Messungen der Zirkumglobalstrahlung am Alpensüdfuß. — Arch. Met. Geoph. Biokl., Ser. B, 9(2): 185—198, Wien 1958.
- Thom, Herbert C. S.: A method for the evaluation of hail suppression. — Zeitschr. f. angew. Math. u. Phys. 9(1): 37—64, Basel 1958.
- Vassy, Arlette: Concentration de l'air en ozone à la Station scientifique du Jungfraujoeh: influence des fronts froids. — C. R. Acad. Sci. 247(25): 2409—2411, Paris 1958.
- Vogel, W.: s. Klingler, J.

- Wacker, Pierre: s. Mercier, Pierre.
 Walser, E.: Niederschlag und Abfluß im Reußgebiet. — Wasser- u. Energiewirtschaft 50(8/9): 195—200, Zürich 1958.
 Wierzejewski, H[ugol]: s. Thams, J. C.
 Wille, H.: s. Klingler, J.
 Woodward, Betsy: A theory of thermal soaring. — Schweiz. Aero-Rev. 33(6): 321—324, Berne 1958.
 Zientek, Adam: Zwei winterliche Thermik-Phänomene. — Schweiz. Aero-Rev. 33(7): 351—352, Bern 1958.
 Zingg, Theodor: Das Raumgewicht der Schneedecke. — Verh. SNG, Glarus 1958: 101—102.
 Zürcher, P[aul]: Örtliche meteorologische Einflüsse auf die Gyrinnungsalenz. — Gynaecologia 146(4): 340—342, Basel 1958.

Nachträge aus früheren Jahren

- Biéler, Pierre-Louis; Savary, André: La météorologie au service de l'agriculture. — Stations fédérales d'essais agricoles, Publ. No 545, 35 S., Lausanne 1957.
 Billwiller R[obert]: Kurzfristige Klimaschwankungen und Stand der Alpengletscher. — Die Alpen 33: 321—323, Bern 1957.
 Commission d'hydrologie de la Société helvétique de sciences naturelles: Bibliographie hydrologique 1953—1955: Suisse. 54 S., Zurich 1956.
 Courvoisier, H[ans] W[olfgang]: Großwetterverhältnisse, Entstehung und Vorauserkennung mehrtägiger Niederschlagsperioden im Westalpengebiet. — Arch. Met. Geophys. Biokl., Ser. A 10(1): 43—65, Wien 1957.
 Courvoisier, P[ierre]: Contributions to standard pyrheliometry: II. Über die Konstanz der Ängström-Pyrheliometer-Skala, III. Absolutpyrheliometer-Vergleichungen, Davos 1930—1946. — Sveriges Meteorol. och Hydrol. Inst., Meddelanden, Ser. B, Nr. 13: 5—47, Stockholm 1957.
 Eichenberger, W[illy]: Le jet-stream, son rôle dans la météorologie et l'aviation. — Bull. Soc. Neuchâtel. Sci. Nat. 80: 232—233, Neuchâtel 1957.
 Göldi, R.: Die Auswirkungen der großen Kälte im Februar 1956 an unsern Freilandgehölzen. — Botan. Garten der Stadt Sankt Gallen, 3. Bericht, 21 S., St. Gallen 1957.
 Institut suisse de météorologie = Meteorologische Zentralanstalt = Istituto svizzero di meteorologia: Atlas phénologique = Phänologischer Atlas = Atlante fenomenologico. Textes: B[ernard] Primault; dessins: S. Schwirzer. — Polycopié à l'I.S.M., Zurich 1957.
 Janicki, W[enzeslaus]: Erforschung der äußeren Erdatmosphäre mit Raketenflugzeugen und künstlichen Erdtrabanten. — Schweiz. techn. Zeitschr. 54(20): 429—441, Bern 1957.
 Lodewig, F[riedrich]: Das Stadtklima. — Schweiz. techn. Zeitschr. 54(45): 960—961, Bern 1957.
 Mörikofler, Walter: La recherche des rayonnements météorologiques pendant l'Année géophysique internationale. — Suisse horlogère 72(19): 529—532, La Chaux-de-Fonds 1957.
 Montandon, Frédéric: Le froid du mois de février 1956. — Rev. p. l'étude des calamités 16 (34/35): 64—70, Genève 1957.
 Paton, James: Auroras polaires et tropicales. — Schweiz. techn. Zeitschr. 54(40): 843—847, Bern 1957.
 Primault, B[ernard]: Was für Wetter ist im Frühjahr jeweils zu erwarten? — Schweiz. Bienenzeitg. 80(8): 326—328, Aarau 1957.
 Renaud, André: L'Année géophysique internationale 1957—1958. — Die Alpen 33: 269—276, Bern 1957.
 Sängler, R[aymond]: The mechanism of ice-forming nucleability. — Bull. Obs. Puy-de-Dôme: 75—82, Clermont-Ferrand 1957.
 Savary, André: s. Biéler, Pierre-Louis.
 Schüepp, W[alter]: L'influence du fleuve au climat étudié à l'exemple du rayonnement à Léopoldville. — Misc. geofis. Serv. Met. Angola, X Aniversario Serv. Met. Nacional: 163—173, Luanda 1956.
 Schultz, K.: Die «Philips-Radiosonde», ein Meßapparat für meteorologische Beobachtungen. — Schweiz. techn. Zeitschr. 54 (52): 1102—1104, Bern 1957.
 Schweizerisches Forschungsinstitut für Hochgebirgsklima und Tuberkulose in Davos: Tätigkeitsbericht für das Betriebsjahr 1954/55. Id. 1955/56. Id. 1956/57. — Basel 1956, 1957, 1958; je 12 S.
 Vallette, L. G.: Die Erscheinung vom 14. Juli 1865 am Matterhorn. — Die Alpen 33: 81—85, Bern 1957.

Eidgenössische Meteorologische Kommission 1958

Prof. Dr. Ch. Borel, Gymnasium, La Chaux-de-Fonds, Präsident

Prof. Dr. Fr. Gafmann, ETH, Zürich, Vizepräsident

Dr. G. von Meiß, Zürich

Dr. M. Bider, Astronomisch-Meteorologische Anstalt, Basel

Prof. Dr. M. Schürer, Universität, Bern

Prof. P. Ogney, Conseiller d'Etat, Lausanne

Prof. Dr. O. Huber, Universität Fribourg

Tägliche Beobachtungen

der Stationen:

Bern, Neuchâtel, Aldorf, Genève, Zürich, Chasseron, Bever,
Sion, Lugano, Basel, Säntis und St. Gotthard

im Jahre 1958

Für die Bezeichnung der Hydrometeore und anderer Phänomene werden folgende international vereinbarte Symbole (Wien 1873, Warschau 1935) verwendet:

● = Regen	☉ = Gewitter	↯ = starker Wind
☉ = Nebelregen	☉ = Wetterleuchten	☉ = Sturm
* = Schnee	⊥ = Donner	⊙ = Sonnenhof
← = Eismadeln	≡ = Nebel	☾ = Mondhof
⇩ = Regenschauer	△ = Tau	⊕ = Sonnenring (Halo)
⇩ = Schneeschauer	⊥ = Reif	☾ = Mondring (Halo)
⇩ = Regen- und Schneeschauer	∇ = Rauhreif	☾ = Regenbogen
△ = Graupeln, Riesel	∞ = Glatteis	☾ = Nordlicht
▲ = Hagel	† = Schneetreiben	☒ = Schneedecke

Das Zeichen * kennzeichnet interpolierte Daten. Die Windstärken sind in der sechsteiligen (halben) Beaufortskala ausgedrückt. Die Tages- und Monatsmittel der Temperatur werden in diesem Abschnitt aus den drei Terminbeobachtungen nach der Formel $M = 1/3 (7.30 + 13.30 + 21.30)$ berechnet. Im Abschnitt der Monats- und Jahresübersichten wird dagegen die Formel $M = 1/4 (7.30 + 13.30 + 2 \cdot 21.30)$ verwendet.

In der Spalte «Witterung» bedeuten die Abkürzungen: fl = Flocken, tr = Tropfen. Gewitter werden mit dem Symbol ☉ oder, wenn vom Beobachter ausdrücklich als Ferngewitter gemeldet, mit (☉) ohne jede Zeitangabe bezeichnet. Die näheren Angaben sind den «Ergänzenden Witterungsnotizen» auf Seite 73 ff zu entnehmen. Das Gleiche gilt auch für die Symbole Donner T und Fern-
donner (T).

Die Intensität der einzelnen Erscheinungen wird durch eine dem Symbol als Exponent beigefügte ° als schwach und ° als stark bezeichnet. Das Zeichen ☒ bedeutet, daß mehr als die Hälfte der Bodenfläche in der Umgebung der Station an dem betreffenden Tage mit Schnee bedeckt war.

Alle Zeitangaben beziehen sich auf *mitteleuropäische Zeit*. Vom Jahrgang 1918 an ist die 24-Stundenzählung durchgeführt. Außerdem werden folgende Abkürzungen verwendet: a (ante meridiem) = vormittags, p (post meridiem) = nachmittags, n = nachts, fr = früh, mtg = mittags, abd = abends, ztw = zeitweise, mU = mit Unterbrechungen. Die römischen Ziffern geben an, daß das betreffende Phänomen um die Zeit des ersten (I), bzw. zweiten (II) oder dritten (III) Beobachtungstermins beobachtet worden ist, die arabischen Zahlen bedeuten die bürgerlichen Zeitstunden.

λ bezeichnet die geographische Länge in Graden von Greenwich, β die geographische Breite, H_b die Höhe des Stationsbarometers über dem Meer in Metern, H die Höhe der Station (des Regenmessers) über der Meeresfläche, G ist die Korrektur, welche an den Luftdruckdaten für deren Reduktion auf die Normalschwere (Konventioneller Standardwert $g_0 = 980,665 \text{ cm/sec}^2$) noch anzubringen ist, h_r die Höhe des oberen Randes des Regenmessers über dem Erdboden. Die Stationen, bei denen die Höhe (des Barometergefäßes) bis auf den Dezimeter angegeben ist, sind an das schweizerische Präzisionsnivelement angeschlossen. Alle Höhen sind auf Pierre du Niton 373.6 m (neuer Wert) bezogen.

Die den Schwerekorrekturen zugrundeliegenden Schwerewerte sind für die einzelnen meteorologischen Stationen aus den Schwerebestimmungen von Th. Niethammer (Astronomisch-geodätische Arbeiten in der Schweiz, Bände 12, 13, 15 und 16) abgeleitet worden.

Auf dem Chasseron erfolgten die Abendbeobachtungen um 20.30 Uhr.

VIII

ERRATA

1954

Seite 113 *Disentis*: Tage mit Niederschlag, August ≥ 0.3 mm 17 (nicht 7), ≥ 1.0 mm 13 (nicht 3), Jahr 159 bzw. 130 (nicht 149 bzw. 120).

Seite 5/1 *Disentis*: Zahl der Tage 130 (nicht 120).

Seite 6/45 Mittlere Tabelle: Die je 4 Schlußzeilen und Schlußkolonnen sollen wie folgt lauten:

												40	42	11.4	12.1
												21	25	6.0	7.2
	3	4	13	43	66	51	39	67	39	16	10	10	8	2.8	2.3
		3	5	25	36	67	60	48	58	30	11	5	8	2.6	2.3
0.9	1.1	3.7	12.3	<i>13.8</i>	14.5	11.1	19.1	11.1	4.6	2.8		8	5	2.3	1.4
	0.9	1.4	7.2	10.3	19.3	17.2	13.8	16.7	8.6	3.2	1.4	9	7	2.6	2.0
												8	15	2.3	4.3

Die abgeänderten 18 Zahlen sind hier kursiv gesetzt.

36	20	10.3	5.7
58	59	16.5	17.0
58	65	16.5	18.7
41	46	11.6	13.2
50	45	14.2	12.0
3	3	0.9	0.9
357			
	348		

Unterste Tabelle: Zeile W, Kolonne 71--90/03 4 (nicht 9) *)

100
100

1955

Seite 6/4 Untere Tabelle: Am 17. hinterste Kolonne 111 (nicht 11), Moyen Surface P 953 (nicht —).

1956

Seite 6/45 Unterste Tabelle: Zeile N, Kolonne 31--40/15 8 (nicht 3), Zeile 30, Kolonne 21--30/03 8 (nicht 7) *)

*) Die Zeilen- und Kolonnensummen sind richtig.

1958

Seite 56 *Altdorf*: Koordinaten: $\beta = 46^{\circ} 52'$ (nicht $53'$), $H_0 = 450.7$ (nicht 456.3).

Seite 134 *Vicosoprano*: Bewölkung, November 7⁰⁰ 5.8 (nicht 4.8).

Seite 135 *Fescoggia*: Tage mit $\bar{\alpha}$, April 2 (nicht —).

$\lambda = 7^\circ 26'$, $\beta = 46^\circ 57'$,
 $H_0 = 572.2$ m, $G = -0.04$ mm

Bern

Januar 1958
Beobachter: *Meteorologisches Observatorium*

Tag	Lufttemperatur					Luftdruck			Relative Feuchtigkeit			Windrichtung und Stärke			Bewölkung			Niederschlag	Witterung				
	7 ⁰⁰	13 ³⁰	21 ³⁰	Mittel	Abweich. von Normalist	7 ⁰⁰	13 ³⁰	21 ³⁰	7 ³⁰	13 ³⁰	21 ³⁰	7 ³⁰	13 ³⁰	21 ³⁰	7 ³⁰	13 ³⁰	21 ³⁰						
1	-4.6	1.2	-2.8	-2.1	-0.2	707.7	706.6	706.1	86	62	89	SE	1	E	0	SW	0	4	1	0		☐ I, III	
2	-6.4	1.3	-0.2	-1.8	-0.1	706.6	706.9	709.0	92	61	76	SE	0	W	0	SW	1	2	5	10		☐ I	
3	-0.6	2.4	-0.9	0.3	1.9	711.7	713.5	716.0	86	75	96	NE	1	N	1	N	1	9	6	3		☐ III	
4	-0.8	0.8	0.2	0.1	1.8	717.5	716.4	714.8	88	76	86	E	0	SW	1	NW	0	10	9	10	0.5	☐ III	
5	0.3	2.2	5.7	2.7	4.4	711.9	707.8	704.3	90	89	84	SE	1	SE	1	WSW	2	9	9	10*	5.2	☉ 2 $\frac{1}{2}$ -5 $\frac{1}{2}$, 8 $\frac{1}{2}$ -12 $\frac{1}{2}$, -13 $\frac{1}{2}$ -14 $\frac{1}{2}$, *)	
6	2.9	4.0	9.0	5.3	7.0	708.6	705.7	702.5	83	88	80	SW	1	SW	1	SW	3	9	10*	10*	16.2	☉ n-4 $\frac{1}{2}$, 10-n, ☐ p-n	
7	6.6	3.6	1.0	3.7	5.5	703.0	702.8	706.9	61	85	83	SW	3	WSW	3	SW	1	10*	10*	9	7.5	☉ n-2 $\frac{1}{2}$, 7 $\frac{1}{2}$ -17 $\frac{1}{2}$ mU, ☉ *17 $\frac{1}{2}$ -*)	
8	0.7	1.8	1.8	1.4	3.2	713.3	716.4	717.9	84	79	78	WSW	2	W	1	WSW	1	10	10	10	0.2	*0 $\frac{1}{2}$ -2 $\frac{1}{2}$ mU, 6-13 mU, 14 $\frac{1}{2}$ -16 $\frac{1}{2}$ mU	
9	0.6	0.4	2.3	1.1	2.9	712.1	707.3	706.9	77	98	89	WSW	1	SW	1	WSW	3	10	10*	10*	9.6	*11 $\frac{1}{2}$ -20 $\frac{1}{2}$, ☉ 20 $\frac{1}{2}$ -n, ☐ p-n	
10	1.2	3.8	1.0	2.0	3.8	710.6	707.1	700.1	88	78	78	SW	2	SW	2	SW	0	9	1	10	0.6	☉ n-0 $\frac{1}{2}$, *3 $\frac{1}{2}$ -8 mU, *)	
11	0.3	2.6	0.8	1.2	3.0	693.3	691.8	694.7	95	93	97	N	0	N	0	SW	2	9*	10*	10**	9.7	*5-7 $\frac{1}{2}$, ☉ 13 $\frac{1}{2}$ -21 $\frac{1}{2}$, ☉ *22 $\frac{1}{2}$ -23 $\frac{1}{2}$	
12	0.3	1.2	-0.9	0.2	2.0	696.6	697.3	700.9	97	80	91	SW	0	NE	0	NE	1	10	10	10*	4.9	*0-2 $\frac{1}{2}$, 12 $\frac{1}{2}$ -13, 15 $\frac{1}{2}$ -16 $\frac{1}{2}$, 20 $\frac{1}{2}$ -n	
13	-0.6	0.7	0.2	0.1	1.9	705.7	707.8	711.4	96	88	89	NNE	1	NNE	1	NNE	1	10*	10	10	0.2	*n-10 $\frac{1}{2}$	
14	-0.6	1.6	0.5	0.5	2.3	713.2	714.7	717.3	95	82	94	N	1	NE	2	NE	1	10	10	8			
15	0.8	1.8	0.9	1.2	3.0	718.9	719.6	721.4	84	78	85	NE	2	NE	2	NE	2	10	10	10			
16	-0.3	0.6	-0.8	-0.2	1.6	721.7	721.5	722.0	82	79	83	E	1	E	0	NE	1	10	10	10			
17	-2.2	-0.5	-1.5	-1.4	0.3	720.1	718.4	718.3	88	81	94	NE	1	E	1	NE	1	10	2	9			
18	-1.4	0.3	0.7	-0.1	1.6	715.8	713.9	711.8	93	87	97	SW	0	W	1	S	0	10	10	10	0.0	☉ 13 $\frac{1}{2}$ -18 $\frac{1}{2}$	
19	3.3	5.3	4.8	4.5	6.2	707.2	704.6	701.9	69	67	80	SW	2	SW	2	WSW	2	9	10	10	4.9	☉ 14 $\frac{1}{2}$ -18 $\frac{1}{2}$, 21-n	
20	2.4	-0.4	2.9	-0.3	1.3	698.5	702.5	705.1	96	97	91	WSW	3	W	1	0	0	10	10	7	7.8	☉ n-1, 7-8 $\frac{1}{2}$, ☉ *8 $\frac{1}{2}$ -9, *)	
21	-7.3	-2.3	-7.3	-5.6	-4.0	706.0	706.2	705.6	94	74	87	ESE	1	SSE	1	SE	1	2	3	0			
22	-10.0	-2.0	-2.6	-4.9	-3.3	703.3	703.1	703.3	88	71	83	SE	1	ESE	1	SE	1	8	10	10	3.0	☐ I	
23	-3.9	-1.2	-6.8	-4.0	-2.5	703.9	706.0	709.2	96	86	88	S	0	NE	1	SW	1	10*	10*	1	5.1	*2 $\frac{1}{2}$ -16 $\frac{1}{2}$	
24	-8.4	+0.4	-3.4	-3.8	-2.3	708.3	710.3	716.5	91	79	85	W	0	WSW	2	W	1	10*	6	0	3.5	*7 $\frac{1}{2}$ -13 $\frac{1}{2}$ mU	
25	-10.6	-3.8	-7.7	-7.4	-6.0	719.2	717.8	717.4	93	76	92	E	0	NE	1	0	0	0	1	9		☐ I	
26	-5.8	1.1	0.3	-1.5	-0.1	717.6	718.7	720.3	86	64	84	S	0	S	0	SE	-1	10	10	10	0.5	☉ 12 $\frac{1}{2}$ -15, 21 $\frac{1}{2}$ -23, *20 $\frac{1}{2}$ -21	
27	0.8	5.0	-0.4	+1.8	3.1	721.5	720.3	720.1	90	73	96	0	0	NE	1	SW	0	10	1	0		☐ 22 $\frac{1}{2}$ -n	
28	-2.0	-1.0	-1.4	-1.5	-0.2	719.2	718.3	718.7	100	100	100	SW	0	SW	0	E	1	10=	10=	10=		☐ n-n	
29	-3.7	-2.2	-3.1	-3.0	-1.8	718.4	719.0	720.7	99	99	97	W	1	W	1	SW	1	10=	10=	10=		☐ n-10 $\frac{1}{2}$, 17 $\frac{1}{2}$ -n	
30	-4.4	-3.0	-4.0	-3.8	-2.7	721.1	720.9	721.4	97	98	100	SE	1	N	0	SE	1	10=	10	10=		☐ n-9 $\frac{1}{2}$, 17-n	
31	-6.5	-5.2	-4.7	-5.5	-4.4	720.3	720.3	720.4	100	97	93	N	1	NW	1	SE	0	10=	10=	10		☐ n-p	
Mittel	-1.9	+0.7	-0.7	-0.6	-	711.4	711.1	711.7	89	82	88							8.7	7.9	7.9	Summe	77.4	

*) 5. 10-n, ☐ 2 $\frac{1}{2}$ 7. 13 $\frac{1}{2}$, 22-23 $\frac{1}{2}$, ☐ n-p 10. 9 $\frac{1}{2}$ -10 $\frac{1}{2}$, 21-21 $\frac{1}{2}$ 20. *9-16 $\frac{1}{2}$, ☐ n-a

$\lambda = 6^\circ 57'$, $\beta = 47^\circ 00'$,
 $H_0 = 487.3$ m, $G = 0.00$ mm

Neuchâtel

Januar 1958
Beobachter: *Observatorium*

Tag	Lufttemperatur					Luftdruck			Relative Feuchtigkeit			Windrichtung und Stärke			Bewölkung			Niederschlag	Witterung			
	7 ⁰⁰	13 ³⁰	21 ³⁰	Mittel	Abweich. von Normalist	7 ⁰⁰	13 ³⁰	21 ³⁰	7 ³⁰	13 ³⁰	21 ³⁰	7 ³⁰	13 ³⁰	21 ³⁰	7 ³⁰	13 ³⁰	21 ³⁰					
1	-2.9	1.5	-2.0	-1.1	-0.6	715.3	714.5	713.6	96	75	87	NW	1	E	1	E	0	1	1	0		
2	-3.2	-0.6	-0.4	-1.4	-0.9	714.4	715.0	717.1	96	94	98	E	0	E	1	E	0	8	10	10		☐ n-a
3	0.2	3.4	0.9	1.5	2.1	719.8	721.6	724.0	98	71	85	E	1	NE	2	NE	1	10=	9	10	0.3	☐ n-a
4	0.2	1.6	0.8	0.9	1.5	725.1	724.4	722.9	85	79	88	N	1	N	1	N	0	10	10	10		
5	4.4	4.5	5.6	4.8	5.4	719.4	715.7	711.9	93	98	93	SW	2	SW	1	SW	4	10	10*	10*	15.7	☉ 3 $\frac{1}{2}$ -13 $\frac{1}{2}$, 18-n, ☐ 18 $\frac{1}{2}$ -23
6	4.2	3.8	7.4	5.1	5.8	716.2	713.6	710.2	75	93	98	W	2	SW	3	SW	3	10*	10*	10*	29.7	☉ n-n
7	6.7	3.8	2.6	4.4	5.1	710.4	710.2	714.3	65	85	67	SW	3	SW	3	WNW	2	10*	10*	6	8.0	☉ n-18 $\frac{1}{2}$ mU, *22-n, ☐ n-n
8	2.6	3.9	2.7	3.1	3.8	721.0	724.2	726.9	68	59	78	SW	2	SW	2	SW	2	10	9	10		*n-2 $\frac{1}{2}$, ☐ n-n mU
9	1.0	0.8	2.4	1.4	2.1	720.1	715.6	714.7	73	96	93	SW	2	SW	3	SW	2	10	10*	10**	17.1	*9-17 $\frac{1}{2}$, *17 $\frac{1}{2}$ -n mU, *)
10	1.2	5.3	2.8	3.1	3.8	718.6	714.8	708.3	96	71	86	W	2	SW	2	SW	2	10*	2	10	7.4	☉ *n-8 $\frac{1}{2}$, ☐ n-n mU
11	3.6	3.2	2.7	3.2	3.9	699.7	698.7	701.9	90	97	88	SW	3	SW	2	W	2	10*	10*	10	6.1	☉ 3-17, ☐ n-n mU
12	0.9	1.2	0.4	0.8	1.5	703.5	704.3	708.3	81	93	81	W	1	SW	0	N	1	10	10*	10*	1.3	*10 $\frac{1}{2}$ 24 mU
13	2.1	2.7	1.0	1.9	2.6	713.0	715.2	719.2	64	65	88	NNE	2	NE	2	N	0	10	10	10	0.1	*11 $\frac{1}{2}$, ☐ 5 $\frac{1}{2}$ -18 $\frac{1}{2}$ mU
14	0.6	1.6	1.8	1.3	2.0	720.9	722.4	725.5	92	85	93	NE	1	NNE	2	NE	2	10	10	10		
15	1.8	2.7	1.7	2.1	2.7	726.8	727.7	729.5	93	82	89	NE	2	NE	2	NE	2	10	10	10		
16	1.1	1.9	0.3	1.1	1.7	729.9	729.8	730.2	85	74	85	NE	2	E	2	NE	2	10	9	10		
17	-0.5	0.0	-0.8	-0.4	0.2	728.3	726.7	726.2	92	85	96	E	1	E	1	E	1	10	10	10		
18	-0.3	1.3	1.6	0.9	1.5	724.0	722.0	719.4	98	87	91	ESE	0	SSW	1	SSW	1	10	10	10		
19	3.2	4.5	4.4	4.0	4.5	715.3	712.7	709.3	82	78	89	SW	2	SW	3	SW	3	10	10	10*	10.9	☉ 15-n, ☐ n-n
20	3.3	0.9	-1.8	0.8	1.3	705.0	709.6	712.6	79	71	57	WNW	3	NW	2	NNW	2	10*	10	0	0.4	☉ *n-10, ☐ n-n mU
21	-5.0	0.1	-3.2	-2.7	-2.2	713.7	713.4	712.9	81	64	79	NW	1	SW	2	SW	1	1	9	0	0.5	☐ 10 $\frac{1}{2}$ -18 mU
22	-2.4	0.2	0.4	-0.6	-0.2	710.4	710.2	710.5	92	93	91	SSW	2	WSW	2	SW	2	9*	10*	10	16.8	*5-13 $\frac{1}{2}$, 22 $\frac{1}{2}$ -n, ☐ n-n mU
23	-1.8	-0.6	-5.8	-2.7	-2.3	711.4	714.0	717.1	100	81	92	E	1	NE	1	W	0	10*	10	2	2.9	*n-10
24	-3.1	1.4	-2.9	-1.5	-1.2	715.9	717.8	724.3	98	82	75	SW	2	SW	2	W	1	10*	9	0	5.4	*6-11 $\frac{1}{2}$, ☐ 6 $\frac{1}{2}$ -15 mU
25	-6.8	-2.5	-6.1	-5.1	-4.8	726.8	726.1	725.5	94	79	95	NW	1	NNE	1	NE	0	9	2	8		
26	-5.4	-2.0	-0.2	-2.5	-2.3	725.5	726.7	728.4	95	92	97	NE	1	NE	1	NE	1	10	10	10	2.2	*9-11, 20 $\frac{1}{2}$

Januar 1958
Beobachter: *Frl. H. Nager*

Aldorf

$\lambda = 8^{\circ} 38'$, $\beta = 46^{\circ} 53'$,
 $H_0 = 456.3$ m, $G = -0.08$ mm

Tag	Lufttemperatur					Luftdruck			Relative Feuchtigkeit			Windrichtung und Stärke			Bewölkung			Niederschlag	Witterung			
	7 ³⁰	13 ³⁰	21 ³⁰	Mittel	Abweich. vom Normalst	7 ³⁰	13 ³⁰	21 ³⁰	7 ³⁰	13 ³⁰	21 ³⁰	7 ³⁰	13 ³⁰	21 ³⁰	7 ³⁰	13 ³⁰	21 ³⁰					
1	-2.5	2.3	-2.0	-0.7	-0.9	717.7	716.4	715.8	81	60	78	SE	0	SE	0	SE	0	5	0	0		
2	-3.9	2.9	-1.7	-0.9	-1.1	716.5	716.7	719.8	85	56	77	E	0	E	0	SE	0	8	4	5		
3	0.9	3.8	0.8	1.8	1.7	722.1	723.7	726.5	80	80	87	NE	0	NW	0	NW	0	10	7	10		
4	-2.2	2.0	0.7	0.2	0.1	727.6	727.3	725.2	86	82	88	NW	0	NW	0	NW	0	10	8	10		
5	1.4	5.6	8.8	5.3	5.2	721.5	717.4	714.2	84	73	40	E	0	NW	0	SE	2	10	6	10	6.3	● n(5./6.)
6	3.8	4.6	4.8	4.4	4.3	717.7	715.1	711.4	60	87	100	NW	0	E	1	NW	1	10	10*	10*	14.9	● 9½-n
7	9.5	6.6	3.8	6.6	6.5	709.4	709.9	715.1	40	55	57	N	2	NW	1	N	2	10*	10	10*	13.9	● n-7½, * p-n
8	3.4	3.5	2.2	3.0	2.9	721.1	725.1	728.2	69	65	82	N	2	N	2	E	0	10*	10*	10*	3.2	* n-p mU
9	0.7	1.4	1.6	1.2	1.1	721.9	716.8	714.9	73	91	96	S	0	SE	0	E	0	10	10*	10	3.7	▽ a-p mU, ~ III
10	2.8	4.7	1.1	2.9	2.8	719.6	717.1	709.7	82	70	75	E	1	E	0	E	0	10	4	10		
11	6.6	9.3	4.2	6.7	6.6	702.6	700.4	703.7	36	34	85	SE	2	SE	3	NW	0	10	7	10	3.8	● n(11./12.), * n-p
12	2.4	1.5	0.2	1.4	1.2	705.1	706.2	710.5	89	95	96	N	0	NW	0	N	0	10*	10*	10*	8.3	● n-7½, ▽ 8, * 12½-n
13	0.2	1.8	1.2	1.1	0.9	715.7	717.6	721.7	95	94	87	N	0	N	0	NW	0	10	10	10	0.0	▽ a mU
14	-1.6	1.2	0.8	0.1	0.1	724.1	725.1	728.2	86	71	90	E	0	E	0	E	0	8	4	10		
15	-2.7	1.3	-2.2	-1.2	-1.4	730.1	730.4	732.3	81	66	79	S	0	SE	0	SE	0	2	0	3		
16	-0.1	1.0	-0.3	0.2	0.0	732.9	732.3	733.3	80	75	83	E	0	E	0	E	0	10	10	10		
17	-1.4	0.4	-0.2	-0.4	-0.6	730.9	728.7	728.9	89	80	90	E	0	E	0	E	0	10	2	10		
18	0.3	2.4	0.3	1.0	0.7	726.5	723.8	721.0	92	86	93	E	0	W	0	NW	0	10	10	10		
19	1.1	5.8	3.8	3.6	3.3	716.8	713.2	711.1	91	68	73	E	0	NW	0	NW	0	10	9	10*	1.6	● 21-n
20	3.6	2.5	-0.6	1.8	1.5	705.8	710.9	715.5	86	95	80	N	0	SW	1	NW	0	10	10	10	7.3	● 8-15 mU, * 15 a mU
21	-2.9	-1.0	-4.6	-2.8	2.5	716.3	716.4	715.6	80	65	72	NE	0	E	0	E	0	8	2	1		
22	-2.4	4.0	-0.3	0.4	0.0	712.3	712.4	713.4	60	29	66	E	1	S	3	E	0	4	4	6		
23	-3.7	-0.1	-1.6	-1.8	-1.4	713.6	715.4	718.9	75	80	87	SE	0	N	1	N	0	10	8	10	0.1	▽ a-p
24	-3.8	-1.0	-4.5	-3.1	2.7	716.8	720.3	727.1	70	85	85	SW	0	N	0	N	0	10	10	10		* 14½-20
25	-6.6	-0.3	-4.4	-3.8	-3.3	729.8	728.1	728.3	73	56	76	SE	0	E	0	E	0	6	0	4	0.5	* 13½-p
26	-3.1	0.7	0.0	-0.8	-1.3	727.5	728.9	730.9	89	81	90	NW	0	NW	0	N	0	10	10	10		
27	1.2	5.4	0.3	2.3	1.7	731.7	730.1	730.1	80	78	94	SE	0	NW	0	NW	0	10	1	6		
28	0.9	1.9	0.9	1.2	0.6	729.6	729.3	729.2	99	97	97	N	0	NE	0	NE	0	10	10	10		
29	0.1	0.9	-0.8	0.1	-0.6	728.8	729.3	731.2	96	92	96	E	0	E	0	E	0	10	10	10		
30	-1.6	0.0	-1.4	-1.0	-0.3	731.2	731.8	732.2	92	86	90	E	0	E	0	N	0	10	10	10		
31	2.4	-0.8	-1.1	1.4	-0.6	730.9	730.7	730.8	91	84	83	E	0	E	0	SW	0	10	10	10		
Mittel	-0.1	2.4	0.3	0.9	-	721.1	720.9	721.8	80	75	83						9.1	7.0	8.5	63.6	Summe	

Januar 1958
Beobachter: *Observatoire*

Genève

$\lambda = 6^{\circ} 09'$, $\beta = 46^{\circ} 12'$,
 $H_0 = 405.0$ m, $G = -0.05$ mm

Tag	Lufttemperatur					Luftdruck			Relative Feuchtigkeit			Windrichtung und Stärke			Bewölkung			Niederschlag	Witterung			
	7 ³⁰	13 ³⁰	21 ³⁰	Mittel	Abweich. vom Normalst	7 ³⁰	13 ³⁰	21 ³⁰	7 ³⁰	13 ³⁰	21 ³⁰	7 ³⁰	13 ³⁰	21 ³⁰	7 ³⁰	13 ³⁰	21 ³⁰					
1	-4.4	2.4	-0.8	-0.9	-1.2	723.1	722.1	721.2	88	64	82	NE	0	N	1	W	1	1	1	1		
2	-3.6	-0.9	-1.5	-2.0	2.3	722.3	722.6	724.8	88	92	97	W	1	SSW	1	SE	1	10	10*	10*		
3	-0.3	2.1	-1.0	0.3	0.0	727.2	728.8	731.3	94	84	96	SW	1	SW	1	E	0	10	8	9*		
4	0.1	2.0	2.1	1.4	1.2	732.5	731.6	730.1	83	72	77	E	1	N	1	SW	1	10*	10*	10	2.6	≡ n-p
5	5.0	7.6	7.9	6.8	6.6	727.1	723.8	721.0	89	72	76	N	1	SW	2	S	3	9	10	10*	12.0	● 2-11 mU, 17½-n, * a-n
6	6.9	6.4	11.1	8.1	7.9	724.9	722.8	720.2	63	84	76	SSW	2	S	1	S	3	10	10*	10*	13.0	● n-4½, 10-n, * n-n mU
7	8.7	7.2	2.9	6.3	6.1	720.0	720.6	723.6	61	58	79	S	2	S	2	E	2	10	9	10	3.5	● n-5.8-10%, mU 13%-18% mU
8	2.5	4.4	2.8	3.2	3.0	730.0	733.0	733.9	81	66	73	SW	1	S	1	ESE	1	9	6	9	0.2	● 1-3½ mU, 11%
9	0.6	-0.2	4.3	1.6	1.4	728.9	725.4	724.9	70	94	77	NNE	1	SW	1	SSW	2	10	10*	10	7.5	* 10%-16%, * 17%-18%, ● 19% n
10	3.2	6.3	3.5	4.3	4.1	726.8	723.0	716.2	84	60	86	W	1	SW	0	SW	1	10	2	10	1.9	● n-6½ mU, 20%-21%
11	5.0	6.5	4.3	5.3	5.1	708.4	706.6	710.1	71	76	72	S	2	S	2	WSW	2	9	10	7	4.3	● 1%-5%, 11-23% mU
12	2.1	3.4	2.5	2.7	2.5	710.9	711.8	714.8	81	52	55	S	1	NE	2	NE	2	9	9	10	0.1	* 11, 17%-18%
13	2.2	3.6	2.9	2.9	2.7	719.0	721.5	726.1	76	68	72	NNE	2	NNE	3	NE	2	9	6	8		* a-n mU
14	1.6	3.1	3.3	2.7	2.5	727.5	728.9	732.1	78	67	74	NE	1	NNE	1	NNE	3	6	9	10		▽ p-n
15	1.9	2.4	3.2	2.5	2.2	733.6	734.7	736.3	69	68	76	ENE	2	N	1	NE	2	10	10	10		
16	1.5	2.3	2.1	2.0	1.7	736.8	736.8	737.1	73	74	75	NE	1	NE	1	NNE	1	10	10	10		
17	0.3	0.6	0.8	0.6	0.3	735.6	734.1	733.5	80	79	78	ESE	0	NW	1	NE	0	10	10	10		
18	-0.3	1.6	1.5	0.9	0.6	731.4	729.5	727.9	82	79	87	E	0	NE	1	N	0	10	10	10		
19	2.5	6.9	7.3	5.6	5.2	724.4	722.2	718.5	82	64	70	NNW	0	S	2	SSW	3	9	9	10*	0.5	● 19%-22%, * a-n mU
20	9.2	1.6	-0.9	3.3	2.9	713.4	717.8	720.4	60	92	81	SSW	2	S	2	ENE	1	10	10*	2	4.6	● 1½-6 mU, 7½-9%, ● * 10-12 *
21	-2.7	1.9	-3.3	-1.4	1.8	721.6	721.7	721.2	80	50	75	NE	1	NW	1	ENE	2	9	1	0	0.0	□ I
22	-0.4	1.6	0.8	0.7	0.2	718.9	718.0	718.2	57	72	80	NNNE	1	S	1	S	1	10	9	10	1.5	* II 12.
23	0.1	-0.1	-4.6	1.5	2.0	718.6	721.7	724.8	96	85	84	W	0	NNE	1	E	1	10*	10	2	2.6	* 5%-11% mU, ≡ n-a,
24	-2.6	1.3	-2.0	-1.1	-1.7	724.4	726.9	731.9	93	86	91	N	1	S	2	SSW	1	10*	8	2	1.2	* 3½-10%, 13-13%, ≡ n-a
25	-4.2	-0.7	-3.0	-2.6	3.2	733.5	733.6	733.3	87	67	78	ESE	1	NNW	1	ESE	1	9	5	10		
26	-2.5	0.6	1.3	0.2	-0.9	733.0	734.1	735.5	86	83	84	SW	1	W	1	NE	1	10	10	10	0.5	* II 11%-13% mU,
27	1.4	2.5	0.8	1.0	0.3	736.4	736.1	735.5	89	91	99	SE	0	SSE	1	NE	0	10	9*	10*		* 1%-3%, ≡ a-n, ~ III
28	-1.2	-0.3	0.1	-0.5	-1.3	734.6	733.6	733.7	98	96	96	SW	-1	W	0	NNW	1	10*	10*	10*		≡ n-a, ~ III
29	-0.8	-0.2	-0.9	-0.6	-1.4	733.7	734.3	736.1	95	87	91	ESE	1	NE	1	ESE	1	10	10	10		~ I
30	-1.7	0.2	-0.5	0.7	1.6	736.3	736.4	736.6	93	83	84	SE	0	ENE	1	E	1	10	10	10		
31	-2.1	-0.9	-1.8	-1.6	2.6	735.5	735.5	736.1	86	77	82	E	1	ESE	1	ENE	1	10	10	10		
Mittel	0.9	2.4	1.4	1.6	-	726.8	726.8	727.3	81	75	81						9.3	8.4	8.4	56.0	Summe	* 20. * 12%-15%, ~ III

λ = 8° 34', β = 47° 23',
H_b = 569.4 m, G = -0.01 mm

Zürich

Januar 1958
Beobachter: Meteorologische Zentralanstalt

Tag	Lufttemperatur					Luftdruck			Relative Feuchtigkeit			Windrichtung und Stärke			Bewölkung			Niederschlag	Witterung
	7 ³⁰	13 ³⁰	21 ³⁰	Mittel	Abweich. von Normalst	7 ³⁰	13 ³⁰	21 ³⁰	7 ³⁰	13 ³⁰	21 ³⁰	7 ³⁰	13 ³⁰	21 ³⁰	7 ³⁰	13 ³⁰	21 ³⁰		
1	-1.8	5.5	-1.3	0.8	2.4	707.5	706.5	705.7	77	52	82	SW 1	WSW 1	SE 0	6	1	1	[III	
2	-2.9	5.5	1.3	1.3	2.9	706.3	706.9	709.1	96	50	74	SSE 0	W 1	ENE 1	6	5	10	[II	
3	0.0	1.6	-0.7	0.3	1.9	712.3	714.3	716.7	84	84	89	E 1	NE 1	NE 1	10	10	10		
4	-1.0	0.7	-1.2	-0.5	1.2	717.6	716.3	714.9	88	80	90	ENE 1	ESE 1	ENE 1	10	10	10	1.2	
5	1.3	4.6	6.5	4.1	5.8	711.8	707.9	703.0	92	85	72	SSW 1	SW 1	SSW 2	9	9*	10	3.6	
6	3.7	4.3	8.7	5.6	7.3	708.0	704.8	700.3	79	80	82	SW 2	SSW 2	SW 3	9	10	10*	17.1	
7	6.0	2.0	1.9	3.3	5.0	700.5	701.0	705.8	62	91	70	SW 2	WSW 3	SW 2	9	9	10	3.9	
8	0.4	2.3	1.9	1.5	3.3	711.9	714.9	717.2	97	71	69	WSW 2	SW 2	SSW 2	10*	10	10	2.0	
9	1.8	0.7	2.1	1.5	3.3	711.3	706.6	705.3	56	91	89	SSW 2	SSW 2	SW 3	10	10*	10*	8.0	
10	0.8	4.4	0.4	1.9	3.7	709.5	706.5	699.7	88	63	80	SW 2	WSW 2	SSW 1	7*	4	10	0.1	
11	1.1	4.8	3.3	3.1	4.9	692.2	691.0	693.6	84	74	87	S 1	WSW 1	SSW 1	10	10	10*	4.2	
12	0.2	1.1	-1.1	0.1	1.9	695.8	696.8	700.9	86	81	95	WNW 1	NNW 1	WNW 1	10	10*	10*	7.0	
13	-0.4	1.5	0.2	0.4	2.2	705.6	707.5	711.9	98	81	95	N 0	NNE 1	N 0	10*	10	10	1.3	
14	-0.4	0.9	0.5	0.3	2.1	713.6	715.2	718.0	97	89	92	ENE 1	N 1	NE 1	10	10	10	0.1	
15	0.5	1.0	0.6	0.7	2.5	719.7	720.4	722.2	98	94	96	ESE 1	NE 1	ENE 1	10	10	10	0.3	
16	-0.2	0.5	-0.9	-0.2	1.6	722.4	722.2	722.6	90	82	88	ENE 0	NNE 1	NE 1	10	10	10		
17	-1.7	2.3	-1.0	-0.1	1.7	720.6	718.9	718.0	91	72	94	E 1	WSW 1	WSW 1	10	3	10	0.0	
18	-0.5	1.7	1.5	0.9	2.6	715.8	713.9	710.9	94	83	94	SSW 1	SSW 1	SW 1	10	10	10	0.2	
19	3.1	5.8	3.9	4.3	5.2	705.9	703.5	701.1	75	74	84	WSW 3	SW 3	WSW 2	9	9	10*	5.8	
20	1.1	-0.8	-3.2	-1.0	0.7	697.0	701.7	705.2	96	96	81	W 2	W 1	W 1	10*	10*	10	8.5	
21	-7.5	0.2	-5.5	-4.3	-2.6	705.9	705.6	705.4	93	57	81	SE 1	SW 1	S 1	10	1	0	0.0	
22	-7.1	3.9	-2.3	-1.8	-0.1	702.7	703.0	703.1	80	53	77	S 1	S 1	SSW 1	6	9	8	0.0	
23	-4.1	-1.0	-3.6	-2.9	-1.3	703.7	705.6	709.3	93	83	89	NE 1	N 1	WSW 1	10	10*	9	4.7	
24	-6.3	0.9	-2.9	-2.8	-1.2	707.8	709.5	716.3	94	70	71	W 0	SSW 2	WSW 1	10	8	1	0.7	
25	-7.1	0.9	-6.3	-4.2	-2.6	719.3	718.0	717.8	93	52	88	SSE 1	NNE 1	NE 1	0	1	0		
26	-6.5	0.7	-0.7	-2.2	-0.6	717.5	718.7	720.4	96	65	82	SSE 0	SSW 1	SSE 1	0	9	10		
27	0.1	6.5	-0.1	2.2	3.7	721.5	720.5	720.3	90	61	95	E 0	NE 1	NE 1	10	0	0		
28	-3.5	-2.3	-2.7	-2.8	-1.3	719.5	718.8	718.9	99	94	95	NE 1	NE 1	WNW 1	10	10	10		
29	-2.5	-1.5	-2.1	-2.0	-0.5	718.5	719.1	720.8	99	98	97	SW 1	SSW 1	SW 1	10	10	10		
30	-3.4	-2.7	-3.9	-3.3	-1.9	721.3	721.2	721.6	96	97	96	S 1	WNW 1	NE 1	10	10	10		
31	-6.4	-3.7	-4.1	-4.7	-3.3	720.7	720.6	720.5	94	97	98	SE 1	NNE 1	NE 1	10	10	10		
Mittel	-1.4	1.7	0.4	0.0	—	711.1	710.9	711.5	89	77	86				9.1	8.0	8.4	68.7	

*) 5. ↗ 14½-16%, 20-n mU, 6. ↘ n-n mU 7. * 12½-15 mU, 17½-18% ↗ n-mU

λ = 6° 32', β = 46° 51',
H_b = 1601 m, G = -0.16 mm

Chasseron

Januar 1958
Beobachter: J. Liardon

1	-2.5	-0.6	1.6	-0.5	—	622.4	622.1	621.9	42	32	35	SW 3	WSW 3	WSW 4	4	4	0	
2	-2.8	-1.0	-1.2	-1.7	—	621.8	622.8	625.1	100	80	97	W 4	WSW 3	W 3	3	7	10	
3	-1.8	-0.1	-1.4	-1.1	—	627.7	628.9	630.0	66	60	62	SE 1	C 0	C 0	10	8	4	
4	-2.2	-0.5	-0.8	-1.2	—	631.3	630.5	629.4	88	88	100	WSW 2	WSW 3	WSW 3	8	7	10	1.6
5	-0.8	0.0	-1.0	-0.6	—	627.1	623.9	620.8	100	100	100	W 4	W 4	WSW 5	10	10	10*	15.0
6	-4.0	-1.0	1.5	-1.2	—	623.7	621.6	619.7	100	100	100	W 4	W 4	W 6	10	10*	10*	31.2
7	-2.4	-4.0	-6.2	-4.2	—	618.8	618.5	621.0	100	100	100	WNW 4	WNW 5	NNW 4	10	10*	10*	24.4
8	-6.4	-6.0	-6.5	-6.3	—	626.5	630.4	632.0	100	100	100	NNW 4	WNW 4	W 4	10*	10*	10*	3.4
9	-6.0	-4.4	-3.4	-4.6	—	626.5	623.0	620.8	100	100	100	W 4	W 5	WNW 6	9	10	10	16.2
10	-5.8	-4.0	-4.4	-4.7	—	625.4	622.7	616.0	100	100	100	WNW 4	WSW 3	S 5	10*	6	10*	5.4
11	-3.1	-2.3	-4.2	-3.2	—	610.1	609.0	610.5	100	100	100	W 4	WSW 3	WNW 3	10*	10*	10*	28.5
12	-6.6	-7.0	-7.4	-7.0	—	611.7	612.6	616.0	100	100	100	WNW 3	WNW 3	WNW 3	10*	10*	10*	5.5
13	-8.4	-6.8	-7.0	-7.4	—	620.4	622.5	625.6	100	100	100	N 3	N 3	NE 2	10*	10*	10*	
14	-6.2	-4.6	-5.6	-5.5	—	627.2	628.3	630.5	100	100	100	N 3	ENE 3	E 3	10*	10*	10*	
15	-4.6	-2.8	-3.4	-3.6	—	632.5	633.3	633.9	100	100	100	E 3	E 3	E 3	10*	0	0	
16	-4.4	-3.3	-3.6	-3.8	—	634.7	635.0	635.0	100	100	100	E 2	E 3	E 3	3	3	2	2
17	2.0	2.5	0.6	1.7	—	634.2	633.4	633.0	100	100	100	E 3	E 3	E 3	3	3	2	3
18	-0.8	-1.2	-4.4	-2.1	—	630.6	629.0	627.3	100	100	100	NNE 2	N 2	NW 3	8	10*	10*	
19	-4.5	-3.4	-1.8	-3.2	—	623.0	620.9	619.3	100	100	100	WSW 3	W 5	WSW 6	10*	10*	10*	28.0
20	-4.8	-8.0	-10.8	-7.9	—	614.1	617.2	619.1	100	100	100	WNW 4	WNW 3	WNW 3	10*	10*	10*	18.4
21	-12.4	-10.0	-11.4	-11.3	—	619.4	620.0	619.3	100	100	100	WNW 2	SSW 2	S 3	8	8	4	2.0
22	-8.0	-7.0	-7.4	-7.5	—	616.9	617.1	617.8	100	100	100	S 5	WSW 4	SW 2	10*	8	10*	9.5
23	-9.7	-9.0	-11.0	-9.9	—	618.0	620.3	622.7	100	100	100	NNW 2	NNW 2	S 2	10*	10	0	4.0
24	-11.0	-7.7	-10.6	-9.8	—	621.5	623.1	629.0	100	100	100	S 3	WNW 5	W 3	10*	10*	6	6.0
25	-10.0	-8.8	-3.0	-7.3	—	630.6	630.5	630.6	100	67	44	ESE 2	ESE 3	SE 3	0	4	7	1.4
26	-3.6	-2.2	-0.4	-2.1	—	631.1	632.7	634.8	100	100	100	S 5	S 4	S 3	10*	10*	10*	10.9
27	1.4	3.4	-0.8	1.3	—	636.0	635.8	635.0	100	77	100	S 1	C 0	SE 2	8	3	3	
28	3.4	7.0	2.0	4.1	—	634.2	633.7	633.5	58	50	72	SE 2	C 0	NW 2	2	2	3	
29	1.8	2.4	1.2	1.8	—	633.0	633.7	634.4	64	52	61	ESE 2	ESE 2	ENE 1	0	2	0	
30	-0.6	0.2	-2.8	-1.1	—	634.8	635.1	634.8	52	47	54	NNE 1	E 3	E 3	0	2	0	
31	-4.0	2.6	2.2	0.3	—	633.1	633.7	633.6	72	42	22	E 3	S 1	WSW 2	2	2	4	
Mittel	-4.1	-2.8	-3.6	-3.5	—	625.8	625.8	626.2	92	87	89				7.4	7.0	6.6	211.4

*) 5. 18½-n, ↗ n-n, ↘ III 10. ≡ n-12½, 18½-n. ↗ n-a, p-n

Januar 1958

Beobachter: Stationspersonal Rh. B.

Bever

$\lambda = 9^\circ 53', \beta = 46^\circ 33'$,

$H_b = 1711.8 \text{ m}, G = -0.26 \text{ mm}$

Tag	Lufttemperatur					Luftdruck			Relative Feuchtigkeit			Windrichtung und Stärke			Bewölkung			Niederschlag	Witterung			
	7 ³⁰	13 ³⁰	21 ³⁰	Mittel	Abweich. vom Normalst	7 ³⁰	13 ³⁰	21 ³⁰	7 ³⁰	13 ³⁰	21 ³⁰	7 ³⁰	13 ³⁰	21 ³⁰	7 ³⁰	13 ³⁰	21 ³⁰					
1	-17.8	-4.6	-16.4	12.9	-3.3	615.1	614.6	614.6	96	60	90	SW	0	SW	0	0	0	0				
2	-19.0	-4.0	-16.6	-13.2	-3.6	614.5	614.5	616.3	95	60	93	SW	0	SW	0	0	0	0				
3	-19.0	-6.0	-16.8	-13.9	4.2	619.1	619.7	622.6	95	60	95	SW	0	SW	0	0	0	0				
4	-19.8	-5.7	-9.0	-11.5	1.8	622.9	622.0	622.4	95	60	84	SW	0	SW	0	0	0	5	10			
5	-8.6	-5.1	-3.0	-5.6	4.1	620.3	618.2	615.1	90	84	87	SW	0	SW	1	SW	0	10	10	1.0	* 17-20	
6	-3.4	-1.7	-0.4	-1.8	8.0	613.8	613.9	611.0	95	65	94	NE	0	NE	0	SW	1	10	10	10*	2.6	* 20-n,
7	3.3	-2.4	-6.4	-1.8	8.0	605.0	608.0	609.4	62	62	80	SW	1	W	2	W	2	10*	10*	10	10.1	* n-n mU
8	-7.0	-5.8	-6.9	-6.6	3.2	614.3	617.0	619.8	98	94	65	NE	0	NE	0	E	1	10*	10*	10*	6.0	* n-n
9	-18.6	-4.3	-6.6	-9.8	0.0	619.1	615.2	612.7	96	51	93	SW	0	W	2	SW	0	8	10	10	1.2	* 16-21, † 12-16
10	-7.0	-4.8	-14.8	-8.9	1.0	614.8	613.7	611.0	95	56	88	S	0	NE	0	SW	0	7	1	10	0.4	* n (10./11.)
11	-7.8	-3.2	-5.6	-5.5	4.4	605.5	603.4	603.1	97	76	94	SW	0	SW	0	SW	0	10*	10	10*	5.0	* 4-9, 20-n mU
12	-6.2	6.0	7.5	-6.6	3.3	602.2	602.4	605.1	90	86	92	N	1	NE	0	NE	0	10	10*	10*	3.6	* n-n mU
13	-14.9	-6.6	-14.4	-12.0	2.1	610.5	612.2	615.9	94	56	96	SW	0	SW	0	SW	0	8	2	10		
14	18.4	-7.0	-16.2	-13.9	4.1	619.2	619.4	621.0	95	68	95	SW	0	SW	0	SW	0	7	0	0		
15	19.6	-5.7	-15.5	-13.6	3.8	623.7	624.8	626.7	97	57	98	SW	0	SW	0	W	0	0	0	0		
16	-18.8	-7.4	-14.4	-13.5	-3.7	626.9	626.3	626.7	94	75	98	SW	0	SW	0	SW	0	4	2	1		
17	-16.2	-4.0	-11.2	-10.5	-0.7	626.5	623.6	623.9	96	62	98	SW	0	SW	0	SW	0	0	0	0		
18	-8.0	0.8	-10.7	-6.0	3.7	620.8	618.9	617.2	98	68	96	S	0	SW	0	SW	0	8	1	0		
19	-12.5	1.3	-0.5	-3.9	5.8	613.5	611.6	609.9	98	66	70	SW	0	SW	0	W	1	0	9	10		
20	-2.8	-1.6	-7.4	-3.9	5.8	607.5	606.6	607.8	92	91	81	SW	2	SW	2	SW	0	10	10*	10*	3.0	* 8½-n mU, † n-a
21	-12.8	-9.8	-24.8	-15.8	-6.2	609.5	610.0	612.4	82	33	95	NE	0	NW	0	SW	0	10	0	0		
22	-26.8	-10.0	-17.2	-18.0	-8.4	612.5	611.5	610.9	90	60	96	SW	0	SW	0	SW	0	0	6	0		
23	22.0	-9.3	-12.8	-14.7	-5.2	610.3	609.6	612.8	95	59	93	SW	0	SW	0	SW	0	0	0	10	0.0	† 1
24	-24.0	-7.6	-14.2	15.3	-5.9	614.9	614.6	618.2	94	52	68	SW	0	SW	0	SW	0	0	8	0		
25	-24.8	-10.2	-22.0	19.0	-9.6	623.2	623.7	625.8	94	50	90	SW	0	SW	0	SW	0	0	0	0		
26	-17.6	-4.0	-14.8	12.1	-2.8	625.6	625.7	627.2	89	50	90	SW	0	SW	0	SW	0	10	10	0		
27	-10.4	1.0	-8.7	6.0	3.2	627.4	627.8	628.0	95	50	96	SW	0	SW	0	SW	0	8	0	0		
28	15.0	-0.1	-13.8	-9.6	-0.4	627.3	625.5	627.1	98	54	93	SW	0	SW	0	SW	0	0	0	0		
29	-20.0	-2.0	-15.4	-12.5	3.4	626.1	625.2	626.2	100	50	88	SW	0	SW	0	SW	0	0	0	0		
30	-18.0	-0.8	-12.8	10.5	-1.5	626.9	626.0	626.7	97	50	89	SW	0	SW	0	SW	0	0	0	0		
31	-16.4	-1.4	-11.4	-9.7	-0.8	626.2	625.1	626.1	98	54	90	SW	0	SW	0	NW	0	2	8	0		
Mittel	14.5	-4.5	-11.9	-10.3	--	617.6	617.1	617.9	94	62	90							4.6	4.3	4.2	Summe	32.9

Januar 1958

Beobachter: Couvent des Capucins

Sion

$\lambda = 7^\circ 22', \beta = 46^\circ 14'$,

$H_b = 548.6 \text{ m}, G = -0.14 \text{ mm}$

Tag	Lufttemperatur					Luftdruck			Relative Feuchtigkeit			Windrichtung und Stärke			Bewölkung			Niederschlag	Witterung			
	7 ³⁰	13 ³⁰	21 ³⁰	Mittel	Abweich. vom Normalst	7 ³⁰	13 ³⁰	21 ³⁰	7 ³⁰	13 ³⁰	21 ³⁰	7 ³⁰	13 ³⁰	21 ³⁰	7 ³⁰	13 ³⁰	21 ³⁰					
1	-5.6	0.8	-2.3	-2.4	-1.6	711.8	710.0	709.9	83	61	75	E	0	E	0	E	0	0	1	0		
2	-3.8	1.8	-2.1	-1.4	-0.5	709.8	710.5	713.5	76	61	73	E	0	ENE	0	E	0	1	3	1		
3	-4.8	2.6	-1.7	1.3	0.4	716.1	716.5	718.8	77	54	70	E	0	E	0	E	0	1	4	0		
4	-5.1	1.1	0.2	-1.3	-0.4	720.2	720.0	718.0	78	62	66	E	0	E	1	E	0	0	8	8		
5	1.4	0.9	5.0	2.4	3.4	716.1	712.3	709.8	66	61	75	E	0	E	0	E	0	8	10	10*	7.8	● 21-n
6	5.4	3.3	2.9	3.9	4.9	711.9	711.6	707.4	82	93	95	W	0	W	0	W	0	10	10*	10*	25.0	● n-2½, 10½ n
7	5.9	5.7	1.0	4.2	5.2	706.5	706.2	709.6	86	60	91	W	1	WNW	2	W	0	10*	10*	10*	6.4	● n-12, * n 13-14, ● n 14-n
8	1.8	3.0	0.8	1.3	2.3	716.2	720.0	721.8	73	69	77	W	1	W	0	E	0	10	10	0		
9	-1.6	-1.1	0.0	-0.9	0.1	717.2	713.2	711.4	78	90	93	NE	0	NE	0	NE	0	10	10*	10*	7.6	● n-4, * n 4-12
10	3.1	4.2	0.6	2.6	3.6	714.7	711.4	705.9	71	60	76	W	1	WSW	1	NE	0	10	0	10		
11	0.6	3.8	0.4	1.6	2.6	708.1	697.2	698.4	87	73	96	NE	0	ENE	0	NNW	0	10*	10	10*	5.4	* n 7½, 16½-19½, 20½-22½
12	0.6	2.4	0.0	1.0	2.0	698.0	698.5	701.3	96	77	80	WNW	0	W	1	W	0	10*	10	10	0.0	* 2½-7½, n 9, n n-a
13	2.0	1.4	-1.6	0.7	0.3	707.3	709.6	714.3	80	72	77	W	0	WNW	0	ENE	1	7	3	10		
14	2.4	-1.0	-3.8	2.4	1.5	716.3	716.9	719.4	72	60	74	ENE	1	ENE	0	ENE	1	10	0	0		
15	-6.9	-2.2	-4.8	-4.6	-3.7	721.5	721.9	724.0	84	70	85	NE	0	ENE	0	ENE	0	0	0	0		
16	-6.1	0.0	-3.8	3.3	2.4	724.2	723.4	724.5	90	67	85	ENE	0	ENE	0	ENE	0	1	0	0		
17	-5.2	0.0	-4.2	-3.1	2.3	722.8	721.9	721.0	91	67	85	NE	0	NE	0	NE	0	3	0	0		
18	-1.0	1.9	-1.4	-1.2	-0.4	718.6	717.0	715.8	87	65	85	NE	0	ENE	0	W	0	8	0	10		
19	0.9	3.2	1.8	1.4	2.1	712.4	709.5	706.6	85	69	82	W	0	W	0	W	0	10	6	10	0.4	
20	3.2	1.4	0.8	1.3	2.0	701.5	703.3	706.4	87	91	78	W	0	WNW	2	WNW	1	10*	9		4.8	● 6½ 11½, * n 13½
21	-5.4	-0.8	-4.8	-3.7	-3.1	709.7	709.8	710.4	70	57	64	ESE	1	ESE	1	ESE	0	0	0	0		
22	7.8	-0.6	-2.2	-3.5	-2.9	709.2	707.4	707.3	68	43	52	SE	0	SE	1	SE	1	6	5	0		
23	-6.4	-0.6	-3.6	-3.5	3.0	707.9	708.8	712.6	66	60	75	ENE	1	ENE	1	NE	1	0	10	0		
24	-5.2	-2.0	-6.2	-4.5	4.1	713.5	715.0	719.3	73	83	90	NE	0	NE	0	NE	0	10	10*	0	2.9	* 10½-15½
25	-8.4	-2.7	-4.4	-5.2	4.8	722.1	720.8	720.4	83	62	76	NE	0	NE	0	NE	0	0	0	10		
26	1.8	0.8	3.4	0.8	1.1	720.4	721.5	722.9	66	46	60	NE	0	NE	0	NE	0	10	10	10		
27	2.6	6.8	1.2	3.5	3.7	723.8	722.3	722.6	71	56	86	NE	0	NE	0	WSW	0	6	0	0		
28	0.7	6.2	-0.4	1.7	1.8	721.7	719.7	721.0	91	63	98	WSW	0	ENE	0	SSW	1	0	0	10*		
29	4.8	2.8	-1.2	-1.1	1.1	721.1	720.6	723.3	91	67	94	SSE	0	SSE	1	WSW	1	0	0	10		
30	0.2	1.8	2.3	-0.2	0.3	723.3	722.8	723.8	91	57	83	WSW	0	SW	0	W	0	0	0	0		
31	-5.0	0.4	-2.1	-2.2	-2.4	722.5	721.9	722.7	87	70	84	W	0	WSW	0	WSW	0	2	1	0		
Mittel	-2.2	1.5	-1.2	0.6	--	714.8	714.2	715.0	80	66	80							5.2	4.5	5.1	Summe	60.3

*) 9. ● * 21½-24½

λ = 8° 58', β = 46° 00',
H_b = 276.2 m, G = -0.04 mm

Lugano

Januar 1958
Beobachter: G. Vicari

Tag	Lufttemperatur					Luftdruck			Relative Feuchtigkeit			Windrichtung und Stärke			Bewölkung			Niederschlag	Witterung			
	7 ⁰⁰	13 ³⁰	21 ³⁰	Mittel	Abweich. vom Normalst	7 ⁰⁰	13 ³⁰	21 ³⁰	7 ⁰⁰	13 ³⁰	21 ³⁰	7 ⁰⁰	13 ³⁰	21 ³⁰	7 ⁰⁰	13 ³⁰	21 ³⁰					
1	-1.4	8.3	0.4	2.4	0.2	734.7	734.6	733.8	83	44	81	N	1	SSE	1	N	1	1	4	0		
2	-1.8	8.0	0.2	2.1	-0.1	734.3	733.8	735.8	85	44	83	NNW	1	S	1	N	1	2	2	0		⊥
3	-1.8	7.8	0.6	2.2	0.0	738.1	739.9	742.9	93	46	85	N	1	SSE	1	NNE	1	0	1	0		⊥
4	1.8	6.6	2.2	3.5	1.4	744.5	744.6	745.0	87	60	90	N	1	E	0	NNW	1	10	5	10		
5	1.7	3.7	2.0	2.5	0.4	742.8	740.6	738.3	94	82	97	NNW	1	SSE	0	W	1	10	10	10	0.0	☉ p-n mU
6	-0.6	8.6	4.2	4.1	2.0	733.1	730.8	730.1	97	57	82	N	1	SSE	1	NNE	1	10	5	8	0.5	☉ p-n mU
7	0.0	10.6	6.2	5.6	3.5	723.6	723.5	728.0	97	38	43	NNE	1	NNE	2	N	2	3	3	5		
8	4.4	11.2	3.8	6.5	4.4	733.6	737.3	741.4	58	36	43	N	1	NNE	2	N	1	1	4	0		
9	-0.4	5.4	3.4	2.8	0.8	740.1	736.9	732.9	68	46	67	NNW	1	NNE	1	S	0	8	10	10	0.0	☉ tr 19
10	0.1	9.4	2.4	4.0	2.0	733.4	732.2	730.3	87	47	69	N	1	SSE	1	S	0	0	0	10	1.3	* n (10./11.)
11	1.2	2.2	1.2	1.5	-0.6	725.2	722.5	721.2	99	97	99	S	0	SE	0	NE	0	10*	10*	10*	7.2	☉ * u-a, ☉ a-n
12	1.4	7.4	6.8	5.2	3.1	718.0	716.3	718.8	98	35	35	NNE	1	NNE	2	NNE	2	10	10	10		
13	2.8	11.8	3.4	6.0	3.9	726.0	728.8	731.6	72	32	59	SSW	1	SSE	1	N	1	3	1	0		
14	0.4	10.8	2.6	4.6	2.5	735.8	736.8	738.4	68	44	75	N	1	S	1	NNW	1	3	0	0		
15	0.8	10.4	2.4	4.5	2.3	741.3	741.7	743.4	79	55	88	NNE	1	S	1	N	1	1	0	0		
16	-0.2	8.8	3.2	3.9	1.7	745.5	745.8	746.4	93	57	91	N	1	S	1	N	1	0	4	3		
17	-0.6	8.4	2.2	3.3	1.1	745.6	744.3	743.5	97	52	93	N	1	S	1	N	1	0	0	0		
18	-1.0	7.8	1.8	2.9	0.7	740.2	738.3	737.7	96	58	96	N	1	S	1	S	0	0	0	2		
19	-1.2	3.2	2.2	1.4	-0.9	733.4	730.6	729.4	98	83	97	SE	0	SSE	1	NNW	1	10	8	6	0.0	☉ n (19./20.)
20	1.9	2.4	2.2	2.2	-0.1	727.5	726.0	725.5	97	98	98	NNW	1	NE	0	SW	0	10*	10*	10	2.2	☉ u-p mU
21	2.4	7.2	-1.2	2.8	0.5	727.6	729.4	732.2	23	15	31	NNE	2	E	2	N	1	3	0	0		
22	-4.6	2.2	0.2	-0.7	-3.1	734.6	734.4	733.9	62	47	71	NNW	1	S	1	N	1	2	10	10		
23	-3.2	4.6	-0.6	0.3	-2.1	731.6	731.3	733.6	89	56	89	NNE	1	SSE	1	N	1	1	3	3		
24	-4.1	4.6	-0.8	-0.1	-2.6	736.7	737.5	740.2	85	57	78	N	1	SSE	1	NNW	1	6	5	0		
25	-4.8	7.2	-0.2	0.7	-1.8	745.0	746.4	747.7	58	32	59	N	1	S	1	S	0	0	0	7		
26	-1.8	3.8	-0.8	0.4	-2.2	749.6	749.9	751.3	63	46	71	SSW	0	SSE	1	N	1	9	10	3		
27	-1.8	7.2	0.4	1.9	-0.7	752.2	751.3	750.3	77	44	72	NNW	1	ESE	1	N	1	6	0	4		
28	-2.6	6.4	-0.8	1.0	-1.7	749.5	749.2	750.4	77	47	72	N	1	SSE	1	N	1	0	0	0		
29	-3.4	9.2	-0.6	1.7	-1.0	747.7	745.7	744.7	73	44	75	NNW	1	SSW	1	N	1	0	0	0		
30	-2.0	9.3	1.4	2.9	0.1	745.0	744.9	745.4	74	49	64	N	1	S	0	NNE	1	0	0	0		
31	-1.6	9.8	2.4	3.5	0.6	744.9	744.3	745.4	69	49	64	N	1	SE	1	N	0	4	1	7		
Mittel	0.6	7.2	1.7	2.8	—	737.4	737.1	737.7	80	52	75							3.9	3.7	4.1	Summe	11.2

λ = 7° 35', β = 47° 33',
H_b = 317.3 m, G = 0.08 mm

Basel

Januar 1958
Beobachter: Astronom.-Meteorol. Anstalt

Tag	Lufttemperatur					Luftdruck			Relative Feuchtigkeit			Windrichtung und Stärke			Bewölkung			Niederschlag	Witterung			
	7 ⁰⁰	13 ³⁰	21 ³⁰	Mittel	Abweich. vom Normalst	7 ⁰⁰	13 ³⁰	21 ³⁰	7 ⁰⁰	13 ³⁰	21 ³⁰	7 ⁰⁰	13 ³⁰	21 ³⁰	7 ⁰⁰	13 ³⁰	21 ³⁰					
1	0.8	5.9	-0.4	2.1	2.6	730.7	730.0	728.8	90	68	80	ESE	0	ESE	1	ESE	1	8	4	1		
2	-3.1	2.2	1.8	0.3	0.8	729.2	729.7	732.7	90	74	76	E	1	ESE	1	E	0	4	8	10	0.0	
3	0.0	0.7	1.2	0.6	1.2	735.7	737.7	739.7	96	91	82	NW	1	NW	1	ENE	1	10	10	10		≡ 0½-10%
4	0.0	2.0	1.0	1.0	1.6	740.1	738.8	736.4	89	73	76	E	2	ENE	1	E	2	8	10	10	0.8	
5	1.4	4.4	9.9	5.2	5.8	734.2	730.1	725.0	92	90	53	ENE	1	E	1	WSW	3	10*	10	10	3.9	☉ 2½-4½, 7-8½, 12-13½, 23½-23½, *)
6	4.5	6.1	11.7	7.4	8.0	730.7	727.1	722.3	79	82	76	SSW	1	S	0	WSW	3	7	10*	10	6.0	☉ 1-3 mU, 5-5½, 11½-17½, 19-19½, ☉ p-n
7	7.9	4.1	2.9	5.0	5.6	724.3	724.6	729.1	53	90	77	W	3	W	2	W	1	10	8	10	3.5	☉ 0½-5½ mU, 11½-14½ mU, *)
8	3.0	3.9	3.7	3.5	4.1	735.3	738.5	740.7	78	72	62	W	2	W	2	SW	1	9	10	10		☉ 0-2 mU, ☉ 3%
9	4.8	5.0	4.3	4.7	5.3	734.1	729.3	728.2	60	72	88	W	1	W	1	WSW	3	9	10*	10*	9.6	☉ 13½-23 mU, ☉ p-n
10	2.1	7.0	4.0	4.4	5.0	733.0	729.9	721.5	87	53	68	WNW	2	WSW	1	S	1	7*	2	10	1.1	☉ 2-2½, ☉ 7½-7½, 9½-9½, *)
11	6.8	8.4	3.0	6.1	6.7	713.6	712.7	716.2	65	75	81	W	2	SW	1	WSW	2	10	10	6	0.5	☉ 5-7 mU, 12-12½, 15-16½, *)
12	1.4	3.1	1.0	1.8	2.4	718.8	719.9	724.2	81	80	93	WNW	1	W	1	NNW	1	10	9	10	0.0	* n 10, n 20½-21½
13	0.5	1.5	1.0	1.0	1.6	729.3	731.3	734.2	93	88	92	NNW	1	NNW	1	NW	1	10	10*	10	0.3	* 9½-10½, n 13½
14	0.4	1.6	1.7	1.2	1.8	736.8	738.3	741.2	96	95	96	WNW	0	WNW	0	NW	0	10	10	10	0.2	☉ * 1½-1½, ☉ 3½-7½, ≡ 8½-10%
15	1.8	1.8	1.1	1.6	2.1	743.0	743.7	744.7	98	98	96	NNW	1	N	1	NW	0	10	10	10	0.0	≡ 7½-12½ mU, 15
16	0.5	4.3	0.2	1.7	2.2	745.7	745.7	745.9	98	67	96	NW	1	E	0	N	0	10	8	10		
17	0.0	2.4	0.4	0.9	1.4	744.0	742.4	741.3	89	85	85	ENE	1	NW	1	NW	0	10	10	10	0.4	
18	0.3	2.3	1.7	1.4	1.9	739.0	737.1	734.1	96	95	95	NW	0	E	0	E	0	10*	10	10	0.2	* 3½-7½, n 8½-n
19	5.0	7.2	1.2	4.5	4.9	728.7	726.3	724.6	68	72	97	SW	2	SW	2	NW	1	7	10*	10*	14.0	☉ 10%-11%, 13½-13%, *)
20	1.2	1.0	-2.9	-0.2	0.2	721.0	725.5	728.5	95	81	80	W	2	W	2	SSW	1	10*	10	0	0.2	☉ * n-10%, ☉ 6%
21	-5.5	0.9	-2.5	-2.4	-2.0	729.1	728.8	728.6	83	58	78	SSW	1	SSW	0	ESE	1	2	6	0		
22	-1.7	4.3	-0.1	0.8	1.1	724.9	725.2	726.0	68	53	96	ESE	1	SE	2	SE	0	9	9	10*	11.1	* 16-n, ☉ 11%
23	-1.6	-0.6	-8.6	-3.6	-3.3	727.7	729.9	732.5	99	75	93	SE	0	NW	0	NW	0	10*	10	0	0.4	* n-13%
24	-3.9	1.9	-3.2	-1.7	-1.5	730.6	732.6	739.6	92	70	81	ESE	1	WSW	2	W	1	10	10	0	1.6	* * 9-12%, ☉ 15%
25	-8.8	3.3	-1.2	-2.9	-2.7	742.1	741.6	740.4	91	59	56	ESE	1	ESE	1	ESE	2	0	0	3		
26	-3.8	0.4	0.7	-1.2	-1.1	739.9	740.3	741.4	75	70	81	E	2	ESE	2	ESE	2	10	10	10	1.9	☉ 21½-n
27	1.5	6.8	-1.1	2.4	2.5	743.8	743.1	743.0	87	64	96	E	1	NE	1	SW	0	10	2	10		☉ n-1½, ≡ 22-n
28	-2.5	3.5	-3.0	-0.0	-0.7	742.1	741.2	740.7	90	71	98	ESE	1	E	1	WSW	0	0	0	10		≡ n-3, 18½-22½
29	-3.8	2.6	-2.2	-1.1	-1.2	740.9	741.5	742.6	95	79	91	S	0	E	1	E	1	1	0	0		≡ 1-4, ⊥ ²
30	-4.0	1.3	-3.4	-2.0	-2.1	743.9	744.0	744.6	95	77	93	E	1	E	1	E	1	1	0	0		⊥ ²
31	-4.9	-1.4	-2.7	-3.0	-3.2	744.0	744.0	743.1	93	84	93	E	1	N	1	ENE	1	10	7	0	0.0	* n 15, ⊥ ¹
Mittel	0.0	3.1	0.7	1.3	—	734.1	733.9	734.2	86	76	84							7.8	7.4	7.1	Summe	55.7

*) 5

Januar 1958
Beobachter: Utzinger

Säntis

$\lambda = 9^\circ 21', \beta = 47^\circ 15'$
 $H_0 = 2500.1 \text{ m}, G = -0.29 \text{ mm}$

Tag	Lufttemperatur					Luftdruck			Relative Feuchtigkeit			Windrichtung und Stärke			Bewölkung			Niederschlag	Witterung				
	7 ³⁰	13 ³⁰	21 ³⁰	Mittel	Abweich. vom Normalst	7 ³⁰	13 ³⁰	21 ³⁰	7 ³⁰	13 ³⁰	21 ³⁰	7 ³⁰	13 ³⁰	21 ³⁰	7 ³⁰	13 ³⁰	21 ³⁰						
1	-6.8	-5.3	-6.0	-6.0	2.1	554.7	554.9	555.1	44	40	38	W	2	W	2	W	3	3	4	1			
2	-6.8	-4.8	-9.0	-6.9	1.3	554.8	555.3	556.8	42	50	100	WNW	2	W	0	NW	2	5	3	10 ⁼		≡ 15 $\frac{1}{2}$ -n, \sqcup III	
3	-9.2	-7.4	-9.8	-8.8	0.6	558.8	560.3	561.6	95	72	82	WNW	1	W	1	W	1	10	9	1		⊕ 16 $\frac{1}{2}$	
4	-9.8	-8.2	-7.4	-8.5	0.3	561.7	561.8	561.6	98	84	84	W	3	W	3	WNW	3	9	9	2.3		* n(4.75), 7 $\frac{1}{2}$ -11, 15-18 $\frac{1}{2}$, \sqcup III	
5	-5.0	-3.8	-6.3	-5.0	3.3	559.2	557.3	553.3	100	100	100	W	4	W	2	WSW	3	10 ^{=*}	9	10 ^{=*}	17.3	* ≡ n-7 $\frac{1}{2}$, 20 $\frac{1}{2}$ -n, \surd \surd n-7 $\frac{1}{2}$	
6	-9.8	-8.2	-2.4	-6.8	1.5	554.7	552.8	549.5	100	100	100	WNW	3	WNW	4	W	5	10 ^{=*}	10 ^{=*}	10 ⁼	42.3	* n-13 $\frac{1}{2}$, n(6.7), *	
7	-8.0	-10.2	-13.0	-10.4	-2.1	548.2	547.6	550.5	100	100	100	W	6	WNW	4	NW	3	10 ^{=*}	10 ^{=*}	10 ^{=*}	38.0	* ≡ \surd \surd n-n, \surd n-p	
8	-12.4	-12.3	-13.0	-12.6	-4.2	555.3	557.7	559.9	100	100	100	NW	3	NW	3	WNW	3	10 ^{=*}	10 ^{=*}	10 ^{=*}	25.2	* ≡ \surd n-n	
9	-11.8	-6.6	-8.2	-8.9	-0.5	556.4	553.4	551.1	96	100	100	W	4	W	4	WNW	4	9	10 ⁼	10 ^{=*}	28.2	* 13 $\frac{1}{2}$ -n, ≡ 8 $\frac{1}{2}$ -n, \surd \surd \surd n-n	
10	-12.2	-11.8	-10.4	-11.1	-2.7	554.0	552.8	549.3	100	100	82	W	4	WNW	3	W	3	10 ^{=*}	10 ⁼	10	6.9	* n-10 $\frac{1}{2}$, ≡ n-14, \surd n-n	
11	-10.9	-9.0	-10.0	-10.0	-1.6	543.4	542.8	543.7	92	82	100	W	3	W	2	W	3	10	10	10 ^{=*}	5.6	* ≡ 19-n	
12	-12.8	-12.2	-14.0	-13.0	4.5	543.6	544.4	546.6	100	96	100	NW	2	N	2	N	2	10 ^{=*}	10 ^{=*}	10 ^{=*}	15.2	* ≡ n-n	
13	-12.8	-10.3	-11.0	-11.4	-2.9	551.1	553.2	556.3	100	100	96	N	2	N	1	NE	3	10 ⁼	10 ⁼	4		≡ n-10, 11 $\frac{1}{2}$ -19, \surd \surd n-n	
14	-11.0	-7.4	-8.7	-9.0	0.5	558.1	560.0	562.0	100	80	100	NE	2	NE	3	NE	3	10 ⁼	3	10 ⁼		≡ \surd n-10 $\frac{1}{2}$, 19-n, \surd 16 $\frac{1}{2}$ -n	
15	-7.8	-5.4	-6.3	-6.5	2.1	563.8	565.3	566.5	95	96	94	NE	3	NE	3	NE	2	1	1	1			
16	-9.4	-6.8	-9.2	-8.5	0.1	566.4	566.7	567.0	70	82	40	NNE	2	ENE	2	NE	3	1	1	1			
17	-4.4	-4.7	-5.0	-4.7	3.9	565.8	565.4	564.6	98	96	68	NE	2	NE	2	N	2	3	2	1	0.0	≡ 8 $\frac{1}{2}$ -11 $\frac{1}{2}$, 15 $\frac{1}{2}$ -17 $\frac{1}{2}$ mU	
18	-5.1	-4.2	-5.4	-4.9	3.8	561.7	560.2	557.6	100	100	96	W	2	W	3	W	3	10 ^{=*}	10 ⁼	3	1.6	* n-8 $\frac{1}{2}$, ≡ n-17, \surd n-n	
19	-6.4	-7.1	-6.8	-6.8	1.9	553.6	551.0	549.6	100	100	100	W	4	W	5	W	4	10 ⁼	10 ⁼	10 ^{=*}	7.6	* 17 $\frac{1}{2}$ -n, ≡ \surd \surd n-n	
20	-6.2	-12.0	-17.0	11.7	3.0	546.2	547.7	549.0	100	100	100	W	4	W	3	NW	2	10 ⁼	10 ^{=*}	10 ^{=*}	11.6	* 10-n, ≡ \surd n-n, \surd 1	
21	-19.2	-19.0	-17.3	-18.5	9.7	547.8	548.9	550.1	90	84	90	W	3	W	3	WSW	2	5	1	1		≡ 8-11 $\frac{1}{2}$ mU, 16 $\frac{1}{2}$ -19, \surd \surd n-n	
22	-15.1	-13.5	-15.3	-14.6	-5.8	549.4	549.4	549.6	84	90	76	SW	2	WSW	2	SW	2	1	5	0			
23	-15.1	-12.2	-16.0	-14.4	5.6	549.1	550.1	522.4	81	83	92	W	2	W	1	NE	1	3	9	10 ⁼	1.2	* 14-21, ≡ 14-n, \surd III	
24	-16.8	-14.2	-15.8	-15.6	-6.8	552.3	552.8	557.7	75	92	92	WNW	2	WNW	3	W	2	8	10 ^{=*}	10 ^{=*}	0.0	* ≡ 8-n, \surd n-n	
25	-18.0	-10.6	-9.8	-12.8	-3.9	561.0	562.6	563.7	89	91	80	W	1	SW	1	WSW	2	0	1	1			
26	-5.8	-4.9	-4.2	-5.0	3.9	563.8	564.7	566.6	44	54	100	N	2	SSW	2	W	2	9	9	10	3.0	* 18-18 $\frac{1}{2}$, n(26.27), ⊕ p	
27	-3.6	-1.7	-2.8	-2.7	6.2	567.7	567.9	567.9	100	90	84	WNW	2	ESE	1	SSE	10 ^{=*}	1	0	0.0		* 6 $\frac{1}{2}$ -7 $\frac{1}{2}$, ≡ n-10 $\frac{1}{2}$	
28	-3.0	-1.4	0.0	1.5	7.5	567.0	566.6	566.6	48	28	22	SE	2	SE	2	ESE	2	0	0	0			
29	-2.0	0.0	-4.0	-3.0	6.0	566.0	566.3	566.9	24	24	26	SE	2	S	2	SSW	1	1	1	0			
30	-3.2	-0.4	-2.0	-1.9	7.1	566.7	567.0	567.0	10	16	20	E	2	SE	2	WNW	2	0	1	1			
31	-5.0	0.4	-2.8	2.5	6.6	566.0	565.9	566.3	28	24	24	NW	1	SE	1	SSW	2	3	8	8		⊕ I, \sqcup III	
Mittel	-9.2	-7.6	8.7	-8.5	-	557.0	557.2	557.6	81	79	80								6.3	6.3	5.9	206.0	

*) 6. ≡ \surd \surd n-n 10. \surd n-n

Januar 1958
Beobachter: E. Chiesi

St. Gotthard (Hospiz)

$\lambda = 8^\circ 34', \beta = 46^\circ 33'$
 $H_0 = 2095 \text{ m}, G = -0.27 \text{ mm}$

Tag	Lufttemperatur					Luftdruck			Relative Feuchtigkeit			Windrichtung und Stärke			Bewölkung			Niederschlag	Witterung			
	7 ³⁰	13 ³⁰	21 ³⁰	Mittel	Abweich. vom Normalst	7 ³⁰	13 ³⁰	21 ³⁰	7 ³⁰	13 ³⁰	21 ³⁰	7 ³⁰	13 ³⁰	21 ³⁰	7 ³⁰	13 ³⁰	21 ³⁰					
1	-7.8	-3.8	-7.8	6.5	0.5	585.3	585.3	585.1	49	45	48	SE	0	SE	0	NW	0	0	0			
2	-9.2	-4.0	-8.2	7.1	0.0	584.8	585.0	586.3	50	50	65	SE	0	S	0	NW	1	0	0			
3	-8.8	-5.6	-7.8	7.4	0.3	588.1	589.8	591.7	87	77	61	NW	1	NW	2	NW	0	0	0			
4	-11.0	-5.5	-9.0	8.5	1.4	592.1	592.4	592.3	89	75	90	NW	0	SE	0	SE	0	0	0			
5	-10.2	-8.2	-9.2	9.2	2.1	590.3	588.9	585.9	98	96	95	SE	0	SE	2	SE	2	0	10 ⁼	10 ⁼	11.4	* n(5.16), ≡ 8 $\frac{1}{2}$ -n, \surd III
6	-6.3	-4.6	-3.0	4.6	2.5	584.4	584.3	583.4	98	98	100	NW	2	SE	0	SE	1	10 ^{=*}	10 ^{=*}	10 ^{=*}	28.9	* ≡ n-n, \surd I
7	-3.6	-6.2	-9.8	6.5	0.7	578.6	578.2	580.1	89	81	79	NW	2	NW	2	NW	4	10 ^{=*}	10 ^{=*}	10 ^{=*}	46.7	* ≡ \surd n-n, \surd p-n
8	-9.7	-9.4	-10.0	9.7	2.5	584.0	587.7	590.8	90	93	95	NW	3	NW	3	NW	2	10 ^{=*}	10 ^{=*}	10 ^{=*}	26.1	* ≡ \surd n-n
9	-9.4	-9.0	-8.8	9.1	1.9	588.6	586.6	583.1	95	95	94	SE	1	SE	2	SE	0	6	10 ⁼	10 ^{=*}	11.5	* 13-n mU, ≡ 12 $\frac{1}{2}$ -n, \surd II
10	-9.2	-6.9	-8.6	-8.2	-1.0	584.5	584.2	580.8	91	61	73	NW	2	NW	0	SE	2	10	0	10	5.4	* 18 $\frac{1}{2}$ -n mU
11	-10.5	-8.8	-8.4	9.2	2.0	575.5	574.9	573.9	95	93	90	SE	2	SE	1	SE	0	10 ^{=*}	10 ^{=*}	10 ^{=*}	8.6	* n-n, ≡ 10 $\frac{1}{2}$ -n, \surd I
12	-9.4	-9.7	-11.4	10.2	3.0	572.8	573.0	575.3	94	94	92	SE	2	NW	2	NW	3	10 ^{=*}	10 ⁼	10 ⁼	22.9	* n-n, n(12.13), ≡ \surd n-n, \surd III
13	-10.5	-9.0	-11.8	10.4	3.1	580.2	582.8	585.5	90	92	90	NW	2	NW	2	NW	2	10 ⁼	10 ⁼	6	1.3	* a, ≡ \surd \surd n-p
14	-10.4	-8.7	-8.0	9.0	-1.7	587.3	588.7	591.4	93	82	70	NW	2	NW	2	NW	1	0	0	0		
15	-6.3	4.2	-4.9	-5.1	2.0	592.6	594.3	596.0	60	62	65	NW	2	NW	1	NW	1	0	0	0		
16	-6.6	-4.0	-3.0	4.5	2.8	595.8	596.1	596.3	62	58	54	NW	2	NW	1	NW	1	0	0	0		
17	-2.8	-3.0	1.2	2.3	5.0	595.6	594.7	594.1	57	58	64	NW	1	NW	1	NW	1	0	0	0		
18	-3.8	-1.6	-3.5	-3.0	4.3	591.3	590.1	588.6	90	81	72	NW	2	NW	1	NW	0	6	0	0		
19	-4.0	0.0	-3.8	-2.6	4.8	584.6	583.2	581.6	65	57	95	NW	1	SE	1	SE	0	6	9	10 ^{=*}	8.5	* 15 $\frac{1}{2}$ -n mU, ≡ p-n
20	-6.5	-7.3	-14.8	-9.5	2.1	578.2	578.0	578.6	95	96	92	SE	2	NW	2	NW	3	10 ⁼	10 ⁼	10 ⁼	20.0	* n-n mU, ≡ \surd n-n
21	-15.8	-14.3	15.0	15.0	7.6	579.1	579.4	581.3	90	89	67	NW	2	NW	2	NW	1	6	0	0		
22	-14.2	-12.0	-13.2	-13.1	5.7	581.3	581.2	580.8	60	71	93	SE	2	SE	2	SE	1	0	3	10	1.5	≡ 20 $\frac{1}{2}$ -n mU
23	-13.0	10.3	13.8	12.4	5.0	579.8	580.3	582.8	90	59	91	SE	1	NW	0	NW	1	10	3	10 ⁼	1.9	* 16 $\frac{1}{2}$ -n mU, ≡ 16-n, \surd III
24	-13.9	-10.3	12.8	12.3	4.9	583.5	584.8	588.6	53	72	89	SE	1	SE	1	NW	1	9	10 ^{=*}	0	1.1	* ≡ 9-p, \surd III
25	-14.0	-8.3	-10.4	10.9	3.5	591.5	592.9	594.6	42	33	38	NW	1	SE	1	SE	2	0	0	0		

λ = 7° 26', β = 46° 57',
H_b = 572.2 m, C = -0.04 mm

Bern

Februar 1958
Beobachter: Meteorologisches Observatorium

Tag	Lufttemperatur					Luftdruck			Relative Feuchtigkeit			Windrichtung und Stärke			Bewölkung			Niederschlag	Witterung
	7 ³⁰	13 ³⁰	21 ³⁰	Mittel	Abweich. vom Normalst	7 ³⁰	13 ³⁰	21 ³⁰	7 ³⁰	13 ³⁰	21 ³⁰	7 ³⁰	13 ³⁰	21 ³⁰	7 ³⁰	13 ³⁰	21 ³⁰		
1	-6.4	-3.0	-5.1	-4.8	-3.8	720.5	720.5	721.8	94	83	100	S	1 SW	0 S	0	10	9	10=	≡ p-n
2	-8.2	-2.3	-5.6	-5.4	-4.4	722.8	722.4	722.2	95	89	97	S	0 NE	0 W	1	10=	4	10=	≡ n-2, 6¼-8¼, 17¼-n,
3	-7.0	0.0	-2.3	-3.1	-2.2	722.0	722.6	723.5	96	70	95	S	0 NE	1 O	0	10	7	0	≡ n-a, ∞ I, III
4	-5.4	-0.7	-2.4	-2.8	-2.0	722.6	721.1	717.7	87	75	85	SE	1 W	1 S	0	10	4	7	≡ I
5	-1.7	10.5	6.6	5.1	5.8	713.8	711.0	707.9	82	28	52	S	1 SW	2 SW	2	9	7	9	5.2
6	3.5	5.6	5.4	4.8	5.4	706.8	705.0	703.8	83	74	72	SW	2 SW	3 SW	3	10*	10*	10*	8.1
7	4.4	7.0	6.5	6.0	6.6	702.2	702.8	702.6	85	72	79	SW	2 SW	2 SW	1	10*	10*	10*	7.7
8	4.8	8.6	8.3	7.2	7.7	703.5	703.4	704.4	97	84	84	ESE	1 N	0 SW	1	10*	10*	10*	8.1
9	6.3	12.2	6.2	8.2	8.6	708.2	709.0	709.3	93	65	90	SE	1 WNW	1 SSE	1	10*	5	0	0.0
10	1.3	10.0	4.7	5.3	5.6	709.2	707.3	705.5	95	56	79	SE	1 WSW	1 SE	1	6	3	5	0.1
11	4.9	7.8	4.9	5.9	6.1	704.8	704.2	708.9	87	86	95	SW	1 ESE	1 SW	1	10*	10*	4	7.1
12	1.4	9.9	6.4	5.9	6.0	710.1	709.7	711.6	97	55	77	SE	1 E	0 SSE	0	5	9	4	.
13	3.3	14.0	8.4	8.6	8.6	715.6	715.4	716.3	84	45	76	SE	1 NNE	0 SSE	1	3	6	9	0.6
14	8.0	16.1	9.5	11.2	11.1	721.0	722.1	723.6	83	56	85	SSE	1 NNW	0 SSE	1	10*	7	0	0.0
15	4.5	15.1	11.3	10.3	10.1	724.2	722.5	720.9	88	50	74	S	1 NE	0 S	1	4	5	10*	2.8
16	8.8	14.4	12.2	11.8	11.5	717.7	716.1	714.4	93	68	75	SE	1 SW	2 SW	2	10	10*	10*	10.2
17	11.3	11.8	0.8	8.0	7.6	710.1	707.8	707.5	84	76	97	SW	2 SW	2 NE	2	10*	10	10*	17.7
18	-1.9	-1.3	-3.1	-2.1	-2.6	706.3	706.4	707.4	80	79	79	NE	2 NE	2 SE	0	10	8	8	4.9
19	-4.2	-0.9	-2.9	-2.7	-3.3	709.1	711.0	713.5	88	73	75	NE	0 SW	0 SW	1	8	8	10*	0.2
20	-2.5	-0.3	1.8	-0.1	-0.8	712.1	711.5	711.6	73	74	75	SSW	0 SSE	0 WSW	1	10*	10*	10	3.2
21	2.5	5.4	3.4	3.8	3.0	709.6	708.4	707.8	85	80	89	SW	2 SW	2 SW	2	10*	10	10*	13.5
22	2.6	2.2	-1.2	1.2	0.3	703.7	706.9	708.8	88	78	82	SW	3 NW	1 E	1	10*	10	9	3.9
23	-1.0	3.0	5.0	2.3	1.3	707.9	706.7	705.8	90	88	75	SE	1 SSW	1 SW	2	10*	10*	10*	7.1
24	3.2	7.4	6.6	5.7	4.6	705.6	707.0	705.9	95	73	70	SW	0 WSW	2 N	0	10*	10*	9	2.7
25	2.3	11.7	6.7	6.9	5.7	702.6	700.3	696.2	70	70	70	S	1 WSW	2 W	0	3	10	6	2.2
26	0.2	-0.8	-3.0	-1.2	-2.6	698.5	702.1	705.6	76	75	75	SW	3 SW	3 NW	1	10	9	10	0.4
27	-6.0	-4.2	-5.1	-5.1	-6.6	708.3	710.3	713.5	78	80	81	NE	2 NNE	2 N	2	10*	10*	10	0.1
28	-7.7	-1.2	-4.9	-4.6	-6.2	715.3	714.6	713.9	88	56	71	N	2 N	1 N	1	1	1	0	.
Mittel	0.8	5.7	2.8	3.1	-	711.2	711.0	711.1	87	70	80					8.5	7.9	7.5	105.8

*) 19. 20¼-n, ≡ 2¼-3¼

λ = 6° 57', β = 47° 00',
H_b = 487.3 m, C = 0.00 mm

Neuchâtel

Februar 1958
Beobachter: Observatorium

Tag	Lufttemperatur					Luftdruck			Relative Feuchtigkeit			Windrichtung und Stärke			Bewölkung			Niederschlag	Witterung
	7 ³⁰	13 ³⁰	21 ³⁰	Mittel	Abweich. vom Normalst	7 ³⁰	13 ³⁰	21 ³⁰	7 ³⁰	13 ³⁰	21 ³⁰	7 ³⁰	13 ³⁰	21 ³⁰	7 ³⁰	13 ³⁰	21 ³⁰		
1	-3.6	-1.9	-2.5	-2.7	-2.6	728.4	728.7	729.9	93	83	92	WSW	0 SW	1 SSW	0	10	10	10	.
2	-4.6	-2.5	-3.4	-3.5	-3.4	730.8	730.6	730.4	95	92	98	SSW	1 SSW	1 SSW	1	10	10	10	≡ p-n
3	-4.4	0.4	0.4	-1.2	-1.0	730.1	730.6	731.4	97	79	87	SW	1 E	1 NE	2	10=	8	0	* ft a, ≡ n-11¼
4	-0.4	2.2	-0.9	0.3	0.0	730.7	729.0	725.8	89	73	90	NE	1 SSW	1 W	1	10	9	7	.
5	3.4	9.1	7.6	6.7	6.4	721.5	718.9	716.1	53	45	50	SW	2 SSW	2 WSW	2	9	8	10	↙ 14¼-n
6	2.1	3.8	4.5	3.5	3.1	714.5	713.3	711.6	96	89	90	SW	3 SW	3 SW	2	10*	10*	10*	16.2
7	3.8	4.8	5.8	4.8	4.3	710.1	710.8	710.4	95	90	94	SW	3 SW	3 SW	3	10*	10*	10*	5.8
8	6.3	8.0	8.3	7.5	7.0	711.1	710.9	711.8	97	94	94	SW	2 WSW	2 W	2	10*	10*	10*	7.9
9	7.5	10.9	7.1	8.5	7.9	716.5	716.6	716.9	97	75	94	W	2 WSW	2 SW	1	10*	9	6	0.2
10	2.2	8.6	6.1	5.6	4.9	716.8	714.8	712.3	98	74	85	ESE	1 SE	1 SSE	1	10=	1	9	2.5
11	4.8	6.9	6.6	6.1	5.3	712.2	712.2	716.4	98	98	88	S	1 E	1 WSW	2	10*	10*	5	11.4
12	2.5	8.5	10.7	7.2	6.4	717.7	717.3	719.1	98	67	52	W	1 ESE	1 WSW	2	8	0	.	• 3¼-8¼, 13¼-15¼, 17¼-18¼
13	7.0	13.3	9.2	9.8	8.9	723.1	723.2	723.8	75	49	72	WSW	0 E	0 SW	0	1	4	9	.
14	9.4	15.6	9.8	11.6	10.6	728.4	729.8	731.2	84	56	80	E	0 WSW	2 SW	0	9	9	0	.
15	4.8	12.7	10.3	9.3	8.2	732.0	730.6	728.5	98	62	80	WSW	0 S	1 W	1	1	3	10	0.1
16	12.1	13.2	11.0	12.1	10.9	725.2	724.2	722.3	76	76	93	W	2 WSW	2 W	2	7	10*	10*	15.3
17	10.4	11.2	3.3	8.3	7.1	718.2	715.7	715.2	96	87	93	SW	3 SW	2 ENE	2	10*	10*	10*	8.1
18	-0.8	2.1	-0.9	0.1	-1.2	713.9	714.0	715.1	74	51	78	NNE	2 NE	2 N	1	10	6	8*	2.8
19	-3.2	-0.7	-1.4	-1.8	-3.2	717.1	719.2	721.4	91	80	76	N	1 ESE	1 W	1	10*	9	10	0.8
20	-1.8	-0.3	1.0	-0.4	-1.9	720.2	719.5	719.6	88	96	93	SW	3 SW	3 WSW	2	10*	10*	10	5.2
21	2.0	3.0	3.0	2.7	1.1	717.7	717.6	715.9	96	97	95	SW	3 WSW	3 W	2	10*	10*	10*	15.8
22	2.1	2.3	-0.5	1.3	-0.4	711.3	715.0	717.0	96	61	85	SW	3 NW	1 NE	0	10*	10	8	4.2
23	1.0	4.6	4.1	3.2	1.4	715.6	714.4	713.7	87	85	87	SW	1 SW	3 SW	3	10*	10	10*	6.5
24	3.8	6.4	7.4	5.9	4.0	713.0	714.6	713.2	93	94	70	SW	3 SW	2 W	2	10*	10	5	4.2
25	6.7	11.3	8.9	9.0	7.0	709.8	707.4	702.8	66	48	63	WSW	2 W	3 W	1	7	10	7	2.7
26	0.2	0.5	-2.9	-0.7	-2.8	705.8	709.8	713.2	59	48	63	WSW	3 SW	2 N	1	10	10	10	.
27	-3.9	-0.9	-3.4	-2.7	-4.9	716.0	718.4	721.5	57	47	66	NNE	2 NE	2 NE	1	10	10	5	↙ n-p mU
28	-6.7	1.4	-1.6	-2.0	-4.3	723.6	722.7	721.9	75	47	54	NE	2 ENE	2 NE	2	1	0	0	.
Mittel	2.3	5.5	3.8	3.9	-	719.0	718.9	718.9	86	73	81					8.5	8.4	7.5	112.6

Februar 1958
Beobachter: *Frl. H. Nager*

Aldorf

$\lambda = 8^\circ 38'$, $\beta = 46^\circ 53'$,
 $H_0 = 456.3$ m, $G = -0.08$ mm

Tag	Lufttemperatur					Luftdruck			Relative Feuchtigkeit			Windrichtung und Stärke			Bewölkung			Niederschlag	Witterung
	7 ³⁰	13 ³⁰	21 ³⁰	Mittel	Abweich. vom Normalst.	7 ³⁰	13 ³⁰	21 ³⁰	7 ³⁰	13 ³⁰	21 ³⁰	7 ³⁰	13 ³⁰	21 ³⁰	7 ³⁰	13 ³⁰	21 ³⁰		
1	-2.3	-0.6	-2.9	-1.9	-2.7	730.7	731.0	732.5	87	84	91	NE	1 NE	0 W	0 10	10	6	.	
2	-3.2	-1.1	-3.3	-2.5	-3.4	733.3	732.6	733.0	98	97	100	E	0 SE	0 SE	0 10	10	10	.	≡ n-n, √ n-p
3	-3.2	1.4	-1.8	-1.2	-3.2	732.8	732.9	734.9	94	90	91	SE	0 N	0 NE	0 10	10	1	.	
4	1.6	0.4	-1.4	-0.9	-1.9	733.1	731.4	727.7	90	80	83	NE	0 W	0 W	0 10	10	3	.	
5	0.2	6.2	2.3	2.9	1.8	723.2	719.8	716.7	79	58	68	E	0 W	0 SW	0 10	6	7	0.6	● n (5/6)
6	2.7	3.9	3.3	3.3	2.1	715.6	714.2	712.9	94	99	98	NE	0 E	0 NW	0 10	10	10	12.8	● n-n
7	3.8	4.4	4.1	4.1	2.9	710.9	712.4	712.3	99	100	100	E	1 E	0 NW	0 10	10	10	13.3	● n-n
8	4.7	9.8	7.9	7.5	6.2	713.4	712.2	713.3	99	82	73	N	0 E	0 NW	0 10	5	10	0.4	● n (8/9)
9	6.1	10.4	5.8	7.4	6.0	717.6	718.7	719.3	94	74	82	SW	0 NW	0 NW	1 10	0	5	.	
10	4.4	15.5	13.6	11.2	9.8	718.9	715.3	715.5	87	34	35	SE	0 SE	2 S	3 6	6	7	.	↙ a-n
11	14.0	15.8	7.8	12.5	11.0	713.0	712.8	718.8	37	37	91	E	1 E	1 E	0 8	9	4	1.6	● 16½-19½
12	3.2	15.1	14.0	10.8	9.2	720.2	718.5	720.5	80	32	34	E	0 S	2 SE	2 8	8	4	.	
13	8.4	12.7	8.8	10.0	8.4	725.7	725.2	725.8	66	54	94	N	0 NW	0 NW	0 10	7	10	0.1	∇ n (13./14.)
14	9.0	14.6	9.2	10.9	9.2	731.2	732.1	733.8	84	62	74	E	0 NW	0 N	0 10	4	4	.	
15	5.7	12.2	10.9	9.6	7.8	734.4	732.1	730.1	84	64	69	E	0 N	0 NW	0 7	5	10	2.9	● n (15./16.)
16	9.4	11.6	9.1	10.0	8.1	727.2	725.0	722.7	99	94	96	E	0 W	0 NW	0 10	10	10	18.2	● n-n
17	10.6	11.3	3.2	8.4	7.5	718.4	716.6	717.9	95	97	94	E	0 E	0 E	0 10	10	10	24.3	● n-n
18	0.0	-0.1	-0.8	-0.3	-2.3	716.1	715.8	717.6	92	75	75	NW	0 N	2 N	0 10	10	10	2.7	∇ 9-11
19	-1.7	-0.9	-1.1	-1.2	-3.3	718.4	720.6	723.3	78	60	72	N	2 N	1 N	0 10	10	10	0.0	* n (19./20.)
20	-1.8	-0.6	0.1	-0.8	-3.0	721.9	720.6	721.4	84	93	94	E	0 E	0 E	0 10	10*	10	16.6	* 9-21
21	0.8	1.6	1.1	1.2	-1.0	718.6	718.6	717.6	98	99	98	E	0 E	0 E	0 10	10	10	31.1	* 7½-8½, ● * a, ● a-n
22	1.4	0.7	-0.6	0.5	-1.8	711.7	716.6	719.0	98	86	90	E	0 W	0 NW	0 10	10	10	9.6	● 9-10½, ∇ p-n mU
23	-1.2	1.1	1.9	0.6	-1.8	718.3	716.4	715.1	91	95	98	E	0 NE	0 NE	0 10	10*	10*	20.1	* n-p mU, ● p-n
24	2.2	4.5	4.2	3.6	1.1	715.2	716.0	715.9	99	98	91	E	0 E	0 E	0 10	10	7	3.7	● n-p mU
25	2.6	11.8	10.9	8.4	5.8	712.5	710.1	706.0	87	37	36	NE	0 SE	2 E	1 2	8	7	0.3	∇ n (25./26.)
26	2.8	-0.9	-1.1	0.3	-2.5	706.8	712.4	715.4	89	92	85	NW	2 NW	0 NW	0 10	10*	10	7.2	● 7½-8½, * 8½-19
27	-2.3	-1.5	-2.0	-1.9	-4.8	718.1	720.2	724.0	80	67	80	NW	0 NW	0 NW	0 10	10	10	0.1	~ I
28	-4.1	-1.2	-1.0	-2.1	-5.1	725.8	725.6	724.8	75	60	70	SE	0 N	0 E	0 10	4	9	.	
Mittel	2.5	5.7	3.7	4.0	—	720.8	720.6	721.0	87	75	81				9.3	8.0	8.1	Summe 165.6	

*) 7. ↙ a-p, ⊕ III 8. ↗ 9½ n, ↘ a-n II. ↙ n-p

Februar 1958
Beobachter: *Observatorium*

Genève

$\lambda = 6^\circ 09'$, $\beta = 46^\circ 12'$,
 $H_0 = 405.0$ m, $G = -0.05$ mm

Tag	Lufttemperatur					Luftdruck			Relative Feuchtigkeit			Windrichtung und Stärke			Bewölkung			Niederschlag	Witterung
	7 ³⁰	13 ³⁰	21 ³⁰	Mittel	Abweich. vom Normalst.	7 ³⁰	13 ³⁰	21 ³⁰	7 ³⁰	13 ³⁰	21 ³⁰	7 ³⁰	13 ³⁰	21 ³⁰	7 ³⁰	13 ³⁰	21 ³⁰		
1	-4.1	-2.3	-2.1	-2.8	-3.8	736.1	735.9	737.5	88	82	85	ENE	1 NNE	1 NW	1 10	10	10	.	
2	-4.5	-1.9	-3.1	-3.2	-4.3	738.3	738.1	737.9	95	83	92	E	1 WSW	1 SE	1 10	10	10	.	
3	-5.3	-0.8	-1.1	-2.4	-3.6	737.7	737.7	739.0	95	77	89	ESE	1 NE	1 NE	1 10	8	0	.	≡ n-a
4	-1.7	1.3	-0.5	-0.3	-1.5	738.3	736.5	735.8	84	71	83	NNE	1 N	1 NE	1 10	2	0	.	
5	-1.1	13.5	8.8	7.1	5.8	730.2	727.0	725.0	70	26	34	NNE	1 SW	1 S	1 2	1	4	1.4	~ I
6	3.3	6.9	7.6	5.9	4.5	724.0	722.4	720.8	89	72	65	NNE	1 S	2 S	3 10	10	10	2.6	● 4½-18 mU
7	6.2	7.5	7.4	7.0	5.6	719.7	719.8	719.2	74	76	82	S	2 SW	1 ESE	1 10	10	10	10.6	● 4½-4½, 7-15½, 18-n
8	8.4	9.8	9.8	9.3	7.8	719.4	719.2	720.2	80	85	82	N	1 S	1 SSW	1 10	10	10	8.6	● n-3½, 7½-12½ mU, 2¼-n
9	8.9	13.8	8.2	10.3	8.7	723.6	723.8	724.1	85	58	84	NW	1 SW	1 NNE	1 8	4	2	.	● n-5½
10	5.7	14.9	13.2	11.3	9.7	723.9	721.7	719.4	81	44	45	NNE	1 WSW	1 S	1 9	3	3	4.1	
11	7.9	10.0	7.9	8.6	6.9	719.0	719.1	724.6	94	82	71	NNE	1 W	1 NNW	1 10	10	8	3.4	● 3-7, 12½-17½ mU, R 12½
12	6.1	13.8	12.5	10.8	9.0	725.0	724.6	727.5	73	38	46	SW	1 SW	2 WSW	1 1	8	3	.	
13	9.3	12.8	12.7	11.6	9.7	730.5	730.1	731.1	55	50	62	NNW	1 NW	1 WNW	1 1	4	10	.	
14	12.1	13.0	9.7	11.6	9.7	735.7	737.0	738.4	75	67	86	NW	0 NNE	1 NNE	1 7	4	0	.	
15	5.8	11.7	10.0	9.2	7.2	738.4	737.7	735.8	93	63	66	NNE	1 NNE	1 NNE	1 2	2	9	.	
16	12.2	14.3	13.5	13.3	11.2	733.2	732.2	730.9	68	58	79	NW	1 SW	2 ESE	1 9	8	9	9.4	● 16½-20, 21½-n
17	11.4	13.7	8.5	11.2	9.0	726.9	724.3	720.8	90	68	76	NE	1 S	2 ENE	2 10	10	7	5.9	● n-9½, 15-17½, *)
18	0.8	1.8	0.8	1.1	-1.1	720.4	720.6	722.6	75	53	58	NNE	3 NNE	3 NNE	2 10	7	7	0.2	* ● n-7, * n (13./14.)
19	-0.2	1.1	-0.3	0.2	-2.1	723.9	726.5	729.3	55	52	56	NNE	3 NE	2 E	1 6	5	9	0.0	* fl p, ~ I
20	-0.9	0.5	1.8	0.5	-1.9	728.9	728.3	728.0	68	85	87	WNW	1 N	1 NNE	1 10	10	9	1.0	* fl 8, ● * 9½-11½
21	2.5	5.7	4.9	4.4	1.9	726.5	726.3	724.5	90	81	85	NNE	1 S	1 SSW	1 10	10	10	7.6	● 0½-1½, 5½-6½, 7½-15½, 18-n
22	3.8	3.9	1.5	3.1	0.5	721.1	722.3	724.3	83	86	85	SW	2 WNW	1 SSE	1 10	10	10	5.0	● n-15½
23	2.5	7.3	6.3	5.4	2.8	723.9	723.4	723.1	86	69	70	NNW	0 S	2 S	1 10	9	9	5.9	● 19½-21½
24	5.5	8.3	10.1	8.0	5.3	722.4	722.9	721.5	88	83	51	NW	1 E	1 WSW	1 10	10	8	1.4	● 1¼-12¼, 23¼-23¼
25	7.1	13.2	11.5	10.6	7.8	718.1	715.2	711.5	64	45	54	NNE	1 S	1 SW	2 6	10	10	3.8	● 22-n
26	0.1	0.0	-1.1	-0.3	-3.2	715.9	719.0	721.0	64	67	55	S	2 S	2 NNE	1 4	6	5	0.0	● n-3, ● * 13-14, * fl 8, R 3
27	-2.2	-1.1	-2.2	-1.8	-4.9	722.2	724.0	728.1	60	55	68	NNE	3 NNE	4 ENE	4 6	6	2	.	
28	-3.1	0.3	-0.2	-1.0	-4.2	730.1	729.1	728.1	71	57	57	NNE	3 NNE	2 NNE	2 7	1	1	.	
Mittel	3.5	6.9	5.6	5.3	—	726.9	726.6	726.7	78	65	70				7.8	7.1	6.6	Summe 70.9	*) 17, 19½-22 mU, ● * 22½-n

λ = 8° 34', β = 47° 23',
H_b = 569.4 m, G = -0.01 mm

Zürich

Februar 1958
Beobachter: Meteorologische Zentralanstalt

Tag	Lufttemperatur					Luftdruck			Relative Feuchtigkeit			Windrichtung und Stärke			Bewölkung			Niederschlag	Witterung
	7 ³⁰	13 ³⁰	21 ³⁰	Mittel	Abweich. von Normalwert	7 ³⁰	13 ³⁰	21 ³⁰	7 ³⁰	13 ³⁰	21 ³⁰	7 ³⁰	13 ³⁰	21 ³⁰	7 ³⁰	13 ³⁰	21 ³⁰		
1	-5.4	-0.8	-4.0	-3.4	-2.1	720.5	720.5	721.9	93	78	97	SSW 1	S 1	SSW 1	10	3	10=	0.0	* fl-a, ≡ p-n, √ n-n
2	-5.9	-2.3	-4.0	-4.1	-2.9	722.5	722.2	721.9	94	90	99	SW 1	WSW 1	SW 1	10=	9	10=	.	≡ n-10, 17% n, √ I, II, III
3	-3.7	0.9	-1.3	-1.4	-0.2	721.5	722.8	724.7	96	70	93	S 1	SSE 0	NE 1	10=	10	8	0.4	* 14% -16%, ≡ n-8%
4	-1.9	2.1	-0.2	0.0	1.1	722.5	720.6	717.0	91	72	87	W 1	S 1	WNW 1	10	4	9	.	∇ I
5	0.7	5.7	8.2	4.9	5.9	712.8	710.1	706.4	71	49	48	WNW 1	WNW 2	SW 3	10	9	9	10.5	∇ 18% -24%
6	3.2	4.1	5.1	4.1	5.0	705.1	703.9	701.8	85	84	81	SSW 3	SW 3	SW 3	10*	10*	10*	23.8	● 3% -23, ∇ 2% -n
7	4.5	2.9	5.9	4.4	5.2	700.3	702.3	701.8	82	95	88	SW 3	NW 1	SW 2	10*	10*	10*	34.6	● 3% n mU, ∇ n-10%, 13% -22%
8	5.2	10.4	9.5	8.4	9.1	703.2	703.0	704.2	93	77	80	SSW 1	SSW 1	SSW 2	10*	9	10*	12.7	● n-8%, tr p mU, 21% -n, *)
9	6.9	13.7	7.1	9.2	9.8	707.5	709.1	709.6	87	63	90	WSW 1	SW 2	S 0	9	5	0	0.0	● n-3%, 4% -5%, ∇ III
10	3.3	11.5	6.2	7.0	7.5	709.0	706.5	705.4	95	64	80	WSW 1	SW 1	NNE 1	7	6	0	.	
11	5.3	9.9	6.3	7.2	7.6	703.9	703.8	708.6	86	73	94	WNW 1	WNW 1	SW 1	10	10	0	5.4	● 15% -17, 19% -20%, ∇ I
12	3.1	13.5	12.2	9.6	9.9	710.2	709.7	711.5	98	48	50	WSW 1	WNW 1	SSW 2	5	9	9	0.0	∇ 21% -n
13	10.0	15.5	11.4	12.3	12.5	715.5	715.8	716.2	56	46	61	SSW 1	WSW 1	SE 1	9	5	10	0.1	∇ n-5
14	11.8	17.9	11.3	13.7	13.8	720.8	722.2	723.5	71	56	80	S 1	WSW 1	WNW 0	10	5	0	0.7	∇ 9% -10,
15	6.5	16.0	12.6	11.7	11.7	724.0	722.5	720.2	89	53	66	S 1	SSW 1	SW 1	7	4	10	0.3	∇ I, III
16	11.7	12.8	12.5	12.3	12.2	716.5	715.2	713.0	85	81	81	SW 2	WSW 3	WSW 3	10	10*	9	3.8	● n-a mU, 13% -17%, tr 17% -19%, *)
17	12.0	7.6	0.5	6.7	6.5	708.1	707.4	708.1	86	96	99	SW 2	NNE 1	NE 1	10	10*	10=*	35.5	∇ I, ● tr 3% -7%, 7% -17% mU, *)
18	-3.1	-0.3	-3.6	-2.3	-2.6	706.9	706.3	707.4	88	65	86	NNE 1	NNE 1	SSW 1	10	3	10	3.1	* n-1%, a, 18% -19,
19	-4.8	-1.3	-3.2	-3.1	-3.5	709.1	710.6	712.8	92	72	87	N 1	W 1	SSW 1	3	8	9	2.0	* 0% -5 mU, 15% -17,
20	-2.0	-0.5	1.3	-0.4	-0.9	711.0	710.2	710.7	77	90	88	SW 2	SW 2	SSW 2	10	10*	10*	5.0	* 0% -2%, a-n, ∇ 3% -7%, 19% n mU
21	2.2	3.2	2.9	2.8	2.2	708.2	708.4	706.7	91	89	92	WSW 2	SW 2	SW 2	10*	10*	10*	17.0	● 2% -17% mU, 19% -n, ∇ n-a mU
22	2.1	0.6	-2.6	0.0	-0.7	701.6	706.8	709.1	91	74	93	WSW 3	NNW 1	SSE 1	10*	9	3	2.6	● n-9%, * 9% -10%, ∇ 17, ∇ n-9%
23	-1.8	2.7	4.4	1.8	1.0	707.4	705.7	704.3	96	89	79	S 1	SW 2	SSW 3	10*	10*	10	20.5	* 7% -12%, ● 13-n mU, ∇ 13% -n
24	2.9	6.9	7.5	5.8	4.9	704.5	705.6	705.3	100	84	68	SSW 1	SSW 3	WSW 2	10=	10*	7	14.2	● n-14% mU, tr p, ∇ n-21% mU
25	5.0	11.1	7.9	8.0	7.0	702.7	700.4	695.3	79	58	55	WSW 1	SSE 1	N 0	7	10	7	3.9	∇ 1-3
26	0.3	-0.3	-2.9	-1.0	-2.1	697.5	701.2	705.4	90	59	83	WSW 2	SW 3	WSW 1	10*	10	10	1.1	● 4% -5%, * 5% -6%, *)
27	-6.2	-4.3	-5.5	-5.3	-6.5	708.6	711.2	714.3	89	79	84	NNE 1	NNE 2	NNE 1	10*	10*	10	0.9	* a-p
28	-7.9	0.5	-5.2	-4.2	-5.5	716.0	715.7	714.6	91	58	83	NE 1	NE 1	ENE 1	2	2	0	.	∇ I, III
Mittel	-1.9	5.7	3.6	3.7	—	710.6	710.7	710.8	87	72	81				8.9	7.9	7.5	198.1	Summe

*) 8. ≡ 7% -8 mU, ∇ 0% -7 16. ∇ 5% -n mU 17. * 17% -n, ≡ p-n, ∇ n-13 mU 26. fl 6% -a, ∇ 4% -15% mU

λ = 6° 32', β = 46° 51',
H_b = 1601 m, G = -0.16 mm

Chasseron

Februar 1958
Beobachter: J. Liardon

1	1.5	3.0	0.4	1.6	—	634.3	634.7	635.9	26	28	32	WSW 2	W 2	W 2	3	3	2	.	∇ III
2	0.0	3.6	0.2	1.3	—	636.5	636.7	636.8	28	32	35	W 1	W 1	WNW 1	1	1	1	.	≡ 18% -n mU
3	-1.4	-1.2	-3.2	-1.9	—	636.0	636.5	636.9	35	42	100	WNW 2	NNE 2	E 3	8	6	6	.	∇ III, ∇ p-n
4	1.0	2.8	3.8	2.5	—	636.4	635.4	633.5	18	22	14	C 0	WNW 2	W 4	1	3	5	.	* n (5./6.), ≡ 22-n, ∇ p-n
5	0.5	1.4	-2.0	-0.0	—	629.7	628.2	625.4	20	72	100	W 4	W 4	W 5	6	6	8	1.3	* n (5./6.), ≡ 22-n, ∇ p-n
6	-3.6	-2.4	-2.4	-2.8	—	621.7	620.4	619.1	100	100	100	WNW 5	WNW 6	W 6	10*	10*	10*	36.2	* ≡ ∇ n-n
7	-2.6	-1.5	0.0	-1.4	—	618.5	618.5	619.4	100	100	100	W 6	W 6	W 6	10*	10*	10*	29.8	* ≡ ∇ n-n, ● (7./8.)
8	1.0	2.0	1.6	1.5	—	621.0	620.9	621.5	100	100	100	W 5	WSW 4	W 5	10*	10*	10*	15.0	● n-8, 16% -n, ∇ 12, *)
9	2.0	2.0	2.1	2.0	—	625.3	626.5	626.6	100	100	100	W 4	W 3	SSE 4	10*	10*	10*	.	≡ ∇ n-n mU
10	2.4	4.0	4.4	3.6	—	625.9	624.6	623.0	71	66	65	S 4	SSW 3	SSE 5	7	5	8	6.4	● n (10./11.), ∇ n-a, p-n
11	2.6	3.3	1.5	2.5	—	621.8	622.0	625.5	100	97	100	S 4	WSW 3	W 3	10*	10*	10*	4.9	● n-8, ∇ 13% -13%, ∇ 18 *)
12	3.1	6.8	5.6	5.2	—	627.1	627.4	628.4	54	44	47	WSW 3	WSW 4	W 4	4	7	5	.	∇ a-n
13	6.0	9.2	7.3	7.5	—	632.5	633.0	633.5	61	48	66	W 3	SSW 2	WSW 4	5	5	10	.	∇ I, ∇ III
14	6.0	8.7	7.6	7.4	—	637.8	639.8	640.4	87	70	75	W 3	W 2	W 3	6	7	4	.	∇ I
15	7.4	7.8	6.2	7.1	—	640.7	639.7	637.9	68	62	87	WSW 2	W 2	W 3	5	5	10	3.6	● 18% -n mU,
16	5.0	5.0	5.0	5.0	—	634.4	633.6	631.0	100	100	100	NW 5	WNW 4	NW 6	10*	10*	10*	70.0	● 12% -n mU, ≡ ∇ n-n
17	4.8	3.6	-3.8	1.5	—	627.6	626.0	622.8	100	100	100	NW 5	NW 4	NNW 4	10*	10*	10*	16.2	● n-a, ● a-18, mU *)
18	-9.4	-10.4	-10.4	-10.1	—	620.0	620.2	621.0	100	100	100	NNE 2	FNE 2	N 2	10*	10*	10*	7.8	* 12% -n mU, ≡ n-12, 17-n
19	-11.4	-9.6	-10.6	-10.5	—	622.3	624.3	626.1	100	100	100	N 2	N 3	NW 2	10*	10*	10*	9.4	* ≡ ∇ n-n mU
20	-8.6	-5.8	4.6	-6.3	—	625.4	625.4	626.3	100	100	100	W 4	W 4	W 4	10*	10*	10*	34.7	* ≡ ∇ n-n
21	-3.4	-2.2	-3.0	-2.9	—	624.6	625.1	624.0	100	100	100	NW 4	WNW 4	WNW 5	10*	10*	10*	42.6	* ≡ ∇ n-n
22	-4.2	-6.6	-7.2	-6.0	—	618.0	621.5	623.1	100	100	100	WNW 6	NW 3	WSW 2	10*	10*	7	17.4	* ≡ ∇ n-n mU, ∇ n-a
23	-4.4	-2.4	-2.4	-3.1	—	622.9	622.2	622.4	100	100	100	WNW 4	WSW 5	W 5	10*	10*	10*	33.0	* 11% -n, ≡ ∇ n-n
24	-1.2	-0.6	-1.0	-0.9	—	621.7	623.3	623.1	100	100	100	WSW 5	WSW 6	W 6	10*	10*	8	21.6	* ≡ n-17%, ∇ n-n
25	-0.4	-0.4	2.0	0.4	—	629.6	618.0	614.0	100	100	100	WSW 5	WSW 5	W 4	8	10*	10*	5.6	* 12% -13%, n (25./26.), *)
26	-9.4	-10.8	-13.0	-11.1	—	612.7	615.5	618.9	100	100	100	W 6	W 6	NNW 4	10*	10*	10*	9.3	* ∇ n-n
27	-14.7	-12.1	-13.7	-13.5	—	621.1	622.8	625.9	100	100	100	N 2	N 3	N 3	10*	10*	10*	.	* n-7%, ∇ 7% -17 mU, ≡ n-n
28	-12.5	-9.2	8.9	-10.2	—	627.4	627.8	627.1	100	35	38	ENE 3	NE 3	E 3	2	2	0	.	∇ I
Mittel	-1.6	-0.4	-1.4	-1.1	—	626.9	626.8	626.8	81	79	84				7.7	7.8	7.9	364.8	Summe

*) 8. ≡ n-14%, 17% -n, ∇ n-n
11. ≡ n-n mU, ∇ n-a
17. * 18-n, ≡ ∇ n-n
25. ≡ 20-n, ∇ n-n

Februar 1958

Beobachter: G. Castelli, H. Eisenhut, P. Bresser

Bever

$\lambda = 9^\circ 53'$, $\beta = 46^\circ 33'$,

$H_b = 1711.8$ m, $C = -0.26$ mm

Tag	Lufttemperatur					Luftdruck			Relative Feuchtigkeit			Windrichtung und Stärke			Bewölkung			Niederschlag	Witterung			
	7 ³⁰	13 ³⁰	21 ³⁰	Mittel	Abweich. vom Normalst.	7 ³⁰	13 ³⁰	21 ³⁰	7 ³⁰	13 ³⁰	21 ³⁰	7 ³⁰	13 ³⁰	21 ³⁰	7 ³⁰	13 ³⁰	21 ³⁰					
1	-15.8	0.3	-11.8	-9.1	-0.2	626.9	626.9	627.8	95	42	88	SW	0	SW	0	W	0	0	1	1		
2	-17.0	2.1	-13.0	-9.3	-0.5	627.7	627.1	627.7	100	49	85	SW	0	SW	0	SW	0	0	0	0		
3	-13.6	2.0	-3.4	-5.0	3.7	626.5	626.8	627.7	92	31	53	SW	0	N	0	NE	0	10	10	0		
4	-19.3	-3.5	-11.4	-11.4	-2.8	628.0	625.2	624.0	99	50	80	SW	0	SW	0	SW	0	0	7	3		
5	-7.3	7.7	-2.5	-0.7	7.8	620.8	617.9	616.0	77	49	70	W	0	SW	0	W	0	2	9	9		
6	-4.0	2.5	-0.4	-0.4	8.0	612.3	611.5	610.4	84	68	95	SW	0	SW	1	W	1	10	10	10		
7	-1.0	3.5	2.8	1.8	10.1	608.0	609.2	611.1	80	65	94	W	1	W	1	W	0	10	10	10		
8	0.0	2.4	1.8	1.4	9.6	613.0	613.7	615.2	91	84	84	SW	0	SW	0	W	1	10	7	10	0.1	* 21%-24%
9	1.3	4.7	1.6	2.5	10.6	617.3	618.5	620.5	95	78	90	W	0	SW	0	SW	0	9	7	0		
10	-1.7	5.0	1.6	1.6	9.6	619.9	618.6	618.9	90	75	92	SW	0	SW	0	SW	0	10	7	10	0.0	* n (10./11.)
11	1.0	1.0	0.2	0.7	3.6	617.1	615.3	616.7	98	99	99	SW	0	SW	0	SW	0	10*	10*	10*	7.6	* 6½-n mU
12	-9.4	2.2	-0.3	-2.5	5.3	620.9	622.0	623.8	98	74	86	W	0	SW	0	SW	0	0	8	3		
13	-7.5	5.1	-1.0	-1.1	6.6	625.6	626.3	627.7	100	54	94	SW	0	S	0	SW	0	10	4	10		
14	-4.0	7.2	-2.0	0.4	8.0	629.2	630.1	632.1	100	50	93	SW	0	SW	0	SW	0	1	4	0		
15	-8.6	5.2	-2.4	-1.9	5.7	632.2	630.3	628.9	98	47	87	SW	0	SW	0	SW	0	0	4	7	0.0	● n (15./16.)
16	-0.9	8.7	6.2	4.7	12.2	624.5	622.9	620.4	90	49	75	SW	0	SW	2	W	1	10*	8	10*	6.6	● n-10, 16-n mU
17	3.4	6.2	1.8	3.8	11.2	616.9	614.2	611.3	94	62	84	W	1	NW	2	NE	2	10*	10	10	0.3	● n-n mU * n (17./18.)
18	-3.6	-6.4	-10.2	-6.7	0.6	608.8	608.0	610.0	73	64	55	NE	1	NW	2	N	0	10	10*	10	0.2	* ° 10-n mU
19	-10.8	-10.0	-11.4	-10.7	-3.5	610.4	611.9	614.7	59	60	69	NE	0	N	0	N	1	10	10*	10*	0.0	* fl a-n
20	-10.4	-1.8	-3.2	-5.1	2.0	615.0	614.2	614.1	63	48	56	SW	1	NE	1	S	0	10	10	8		
21	-4.1	0.6	-3.6	-2.4	4.6	614.5	614.2	613.2	85	55	71	NE	1	SW	1	W	1	10	10	10	0.2	* 9-12, n (21./22.)
22	-4.2	-5.8	-16.1	-8.7	-1.8	608.4	610.5	613.4	94	59	84	SW	1	NE	1	S	0	10*	10	2	2.0	* n-13, fl n (22./23.)
23	-13.0	-4.5	-5.4	-7.6	-0.8	613.9	612.5	612.9	90	75	70	W	0	SW	1	SW	0	10*	10	10	2.9	* fl 6-a
24	-4.4	3.4	-2.0	-1.0	5.7	613.0	613.5	614.3	97	64	80	S	0	SW	1	SW	0	10	10	10		
25	-9.8	0.2	-1.2	-3.6	3.0	614.0	612.2	609.7	95	84	100	W	0	SW	1	W	1	1	10*	10*	16.3	* fl a-p mU
26	-1.5	-0.5	-9.8	-3.9	2.6	604.7	604.6	608.1	100	95	78	SW	0	SW	0	NW	2	10*	10*	10*	10.9	* n-n mU
27	-11.0	-9.5	-18.3	-12.9	-6.5	610.5	611.8	615.9	76	63	90	NE	0	NW	1	SW	0	10*	10	0		
28	-24.8	-5.3	-13.6	-14.6	-8.3	617.8	616.6	617.5	83	59	80	SW	0	SE	0	NW	0	0	2	2		
Mittel	-7.2	0.8	-4.5	-3.6	—	617.8	617.4	618.0	89	63	82							6.9	7.8	6.6	Summe	47.1

Februar 1958

Beobachter: Couvent des Capucins

Sion

$\lambda = 7^\circ 22'$, $\beta = 46^\circ 14'$,

$H_b = 548.6$ m, $C = -0.14$ mm

Tag	Lufttemperatur					Luftdruck			Relative Feuchtigkeit			Windrichtung und Stärke			Bewölkung			Niederschlag	Witterung			
	7 ³⁰	13 ³⁰	21 ³⁰	Mittel	Abweich. vom Normalst.	7 ³⁰	13 ³⁰	21 ³⁰	7 ³⁰	13 ³⁰	21 ³⁰	7 ³⁰	13 ³⁰	21 ³⁰	7 ³⁰	13 ³⁰	21 ³⁰					
1	-4.8	3.8	-1.8	-0.9	-1.2	723.3	722.4	724.5	86	47	81	WSW	0	W	0	W	0	0	1	0		
2	-3.6	4.2	-0.9	-0.1	-0.5	722.4	724.4	725.0	75	53	77	W	0	W	0	WNW	0	0	0	0		
3	-2.4	2.6	-1.6	-0.5	-1.0	724.7	723.6	725.4	74	65	80	WNW	0	WNW	0	E	0	9	8	0		
4	-4.1	3.7	-0.8	-0.4	-1.0	725.7	723.1	721.8	82	53	75	E	0	E	0	E	0	0	0	0		
5	-2.5	4.8	-1.0	0.4	-0.3	718.1	714.9	712.9	79	55	55	ESE	0	ESE	1	ESE	0	3	2	5	1.4	
6	2.6	3.8	3.2	3.2	2.4	711.8	710.1	708.7	90	89	95	S	1	S	0	WNW	10*	10*	10*	7.9	● 6%-22%	
7	4.3	5.3	3.9	4.5	3.6	707.1	707.7	707.7	85	89	95	NNW	0	NNW	0	WNW	10*	10*	10*	7.2	● 12%-22	
8	3.3	7.6	6.2	5.7	4.7	708.4	708.5	708.5	96	78	83	NNW	0	NNW	0	NNW	0	10*	10*	10*	6.7	● 0%-1, 9%-10, 23%-n, ≡ n-a
9	4.9	9.0	6.2	6.7	5.6	713.1	713.1	714.1	95	70	76	NNW	0	NNW	0	NNW	0	10*	1	0		
10	3.4	10.4	7.4	7.1	5.9	714.6	711.6	711.6	73	49	55	N	1	N	0	N	0	2	4*	10*		
11	6.6	8.2	4.6	6.5	5.2	709.5	709.4	713.1	65	80	87	N	0	NNW	2	WNW	10*	10*	0	7.2	● 12%-14, 15%-18	
12	2.2	8.8	8.6	6.5	5.1	715.7	715.3	717.1	90	55	53	W	0	NW	0	NW	0	1	10	0		
13	4.2	12.8	10.1	9.0	7.5	719.8	718.7	720.0	72	47	56	N	0	N	0	N	0	3*	4	0	0.3	└ 1
14	7.0	15.0	9.4	10.5	8.9	724.5	725.0	726.8	80	50	70	N	0	N	0	N	0	8*	2	0		
15	4.4	13.0	11.4	9.6	7.9	727.9	725.3	723.8	81	50	62	N	0	N	1	N	0	0	5	10*	2.8	● 1%-3%
16	7.1	14.2	10.4	10.7	8.9	721.1	719.1	718.5	93	70	95	N	0	N	0	N	0	10*	8*	10*	31.9	● 3%-8%, 15%-n
17	9.4	11.4	9.0	9.9	8.0	714.6	712.3	707.5	92	97	100	N	0	N	0	N	0	10*	10*	10*	21.5	● n-17%, 18%-n
18	1.4	2.4	-0.8	1.0	-1.0	705.7	705.3	709.1	90	76	61	W	2	W	2	W	1	10*	9*	0		
19	-2.4	1.8	-1.4	-0.7	-2.9	710.7	712.6	716.3	90	40	61	WSW	1	WSW	2	SE	1	10*	8*	0	0.0	* fl 7%
20	-2.0	-0.6	-0.2	-0.9	-3.2	716.2	715.6	715.5	74	89	100	W	1	W	1	W	0	10*	10*	10*	1.6	* 10%-17%
21	1.4	4.0	2.4	2.6	0.2	714.1	713.9	712.4	94	89	100	W	1	W	1	W	0	10*	10*	10*	15.2	* 9-13%, ● 15%-17, 18%-n
22	3.2	4.2	1.6	3.0	0.5	707.3	707.4	710.6	94	89	79	WSW	1	WSW	1	WNW	10*	10*	10*	7.0	● n-14%	
23	0.8	5.4	4.6	3.6	1.0	711.9	711.0	710.9	95	77	89	WNW	0	WSW	0	WNW	10*	9*	10*	7.6	* fl 7%	
24	3.2	8.8	6.2	6.1	3.4	710.7	711.1	710.5	100	81	83	WNW	0	NNW	0	N	0	10*	10*	9*	1.9	● 1%-9%
25	4.3	11.6	7.4	7.8	5.0	708.2	705.0	702.1	91	47	60	N	0	N	2	ENE	0	4	8	7	2.2	● 14%-16%
26	3.8	2.7	-2.3	1.4	-1.6	700.2	709.2	717.5	65	48	86	W	2	WSW	4	W	2	10*	10*	10*		
27	-2.6	0.9	-2.3	-1.3	-4.4	709.6	710.4	714.7	79	57	75	N	0	WSW	1	W	1	10	7*	10*		
28	-3.8	-2.4	-1.6	-2.6	-5.8	717.5	716.3	710.8	77	53	75	W	0	N	0	WNW	0	8*	1	6		
Mittel	1.8	6.3	3.5	3.9	—	714.8	714.4	714.9	84	66	77							7.1	6.7	5.6	Summe	122.4

λ = 8° 58', β = 46° 00',
H_b = 276.2 m, G = -0.04 mm

Lugano

Februar 1958
Beobachter: G. Vicari

Tag	Lufttemperatur					Luftdruck			Relative Feuchtigkeit			Windrichtung und Stärke			Bewölkung			Niederschlag	Witterung
	7 ³⁰	13 ³⁰	21 ³⁰	Mittel	Abweich. von Normalst.	7 ³⁰	13 ³⁰	21 ³⁰	7 ³⁰	13 ³⁰	21 ³⁰	7 ³⁰	13 ³⁰	21 ³⁰	7 ³⁰	13 ³⁰	21 ³⁰		
1	-1.4	9.2	2.2	3.3	1.1	747.3	747.2	747.3	77	45	70	N	S	E	0	1	3	0	
2	-1.2	10.4	3.2	4.1	1.9	747.1	746.4	746.4	76	51	68	NNE	S	N	1	1	0	0	
3	-1.6	9.6	2.6	3.5	1.3	745.5	743.9	743.9	85	52	73	N	SSW	N	1	5	1	0	
4	-0.4	9.4	3.2	4.1	2.0	748.1	746.0	743.8	82	56	68	N	ESE	N	1	0	0	0	
5	-0.8	7.8	4.2	3.7	1.6	741.1	738.0	735.6	82	67	95	N	SW	S	0	1	1	10	
6	2.0	8.2	4.4	4.9	2.8	731.4	729.6	728.3	98	62	84	NNE	ESE	S	0	5	6	10	
7	1.3	10.4	6.4	6.0	3.9	727.2	726.8	728.7	97	63	91	N	S	S	0	7	1	10	
8	5.4	8.4	6.8	6.9	4.8	731.2	732.7	734.2	97	78	99	SE	SE	SW	0	10	10	10	2.1
9	6.2	8.2	6.8	7.1	5.1	736.2	737.4	738.9	99	89	98	ENE	S	N	0	10	9	10	1.3
10	6.3	8.2	7.8	7.4	5.4	738.9	738.5	738.6	98	94	99	NE	S	SSE	0	10	10	10	9.6
11	8.2	8.4	6.8	7.8	5.7	736.1	734.4	736.1	99	97	92	NNW	SSW	N	1	10	10	3	31.1
12	2.6	7.8	6.2	5.5	3.4	740.3	742.2	743.5	97	77	91	NNE	SSW	SW	0	8	9	9	
13	4.8	12.4	8.0	8.4	6.3	745.6	745.9	747.6	97	53	88	N	S	N	0	5	3	10	
14	4.7	13.4	7.0	8.4	6.3	749.0	749.1	750.4	97	57	94	N	S	N	0	9	3	0	
15	2.8	12.4	7.8	7.7	5.5	750.0	748.1	745.3	97	58	75	N	SSE	NNE	1	1	5	0	
16	4.2	12.8	7.2	8.1	5.9	742.2	739.4	737.5	92	53	97	SSW	N	S	1	4	8	7	0.0
17	8.3	12.2	10.2	10.2	8.0	733.3	730.3	727.2	92	66	84	NW	S	SW	1	3	6	10	0.0
18	8.4	10.6	5.8	8.3	6.1	723.6	722.5	725.6	98	29	34	ESE	N	NNE	1	10	9	10	0.0
19	2.8	7.4	2.4	4.2	1.9	729.8	731.5	734.9	25	19	32	ENE	N	NE	2	3	1	0	
20	-2.4	10.0	2.4	3.3	1.0	736.8	734.9	735.2	61	27	46	N	E	N	1	0	2	0	
21	-1.4	12.2	4.4	5.1	2.8	734.6	732.7	732.1	81	42	63	NNW	ESE	N	1	1	1	1	
22	2.4	8.0	3.8	4.7	2.3	727.7	726.3	730.7	95	53	30	N	WNW	N	1	10	10	0	0.0
23	0.4	11.4	2.0	4.6	2.2	735.4	734.2	734.4	55	29	61	N	S	N	1	1	1	3	
24	0.4	8.6	3.4	4.1	1.6	733.9	733.5	733.2	80	41	85	N	SSE	S	1	5	6	6	
25	1.8	3.4	2.4	2.5	0.0	733.8	733.1	729.7	87	98	99	W	SSW	W	0	9	10	10	27.1
26	1.2	3.2	3.8	2.7	0.1	723.3	723.3	723.5	99	97	89	SSW	W	N	1	10	5		10.7
27	2.2	7.2	5.2	4.9	2.3	727.6	729.1	733.7	71	37	41	S	N	E	1	10	10	10	
28	0.4	14.2	6.4	7.0	4.3	734.6	732.3	732.6	58	21	19	NNE	NNE	NNE	3	0	3	0	
Mittel	2.4	9.5	5.1	5.7	—	736.8	736.0	736.4	85	57	74				5.1	5.3	5.1		Summe 81.9

λ = 7° 35', β = 47° 33',
H_b = 317.3 m, G = 0.08 mm

Basel

Februar 1958
Beobachter: Astronom.-Meteorol. Anstalt

1	-5.5	1.8	-3.0	-2.2	-2.4	743.0	742.9	744.1	90	71	87	SE	E	E	ENE	1	2	3	0	
2	-7.7	1.3	-3.3	-3.2	-3.5	744.6	744.2	744.0	93	73	84	ENE	E	E	ENE	1	2	2	0	
3	-3.5	2.8	-1.3	-0.7	-1.0	744.7	745.9	747.2	87	69	92	ESE	E	E	E	0	10	10	10	0.0
4	-1.0	2.6	-1.5	0.3	-0.1	745.5	743.6	740.5	89	77	94	E	NNW	NNW	0	10	7	9		
5	-1.5	1.6	6.5	2.2	1.7	736.6	733.9	730.8	92	77	44	ESE	E	NW	1	10	9	9	4.2	24
6	4.4	5.8	5.9	5.4	4.9	727.4	727.3	724.9	84	80	78	SW	WSW	WSW	2	10	10	10	4.8	0%—21%, 21%
7	1.8	0.4	6.3	2.8	2.2	723.1	725.7	723.5	90	96	78	WSW	NW	SW	2	10	10	10	19.2	1%—4%, 7%—8%, 11%—n, * 8%—14%
8	5.2	12.8	10.6	9.5	8.8	724.8	725.0	726.1	94	64	78	E	SSW	SW	1	10	10	10	5.4	n—2% mU, 4%—4%, 6%—7, *
9	9.9	12.6	6.9	9.8	9.1	729.4	732.5	732.4	78	69	92	S	W	E	1	9	9	0	0.0	n—1%
10	4.0	13.1	8.0	8.4	7.6	731.9	728.9	727.1	93	66	70	E	E	E	2	7	2	2	1.1	
11	5.7	9.6	8.5	7.9	7.0	726.9	725.5	730.3	92	81	72	ESE	ESE	S	2	10	10	10	7.7	4%—10% mU, 15%—18% mU, 14%
12	4.2	17.9	9.8	10.6	9.6	731.7	731.3	732.5	88	35	70	E	SSW	E	1	3	9	0		
13	9.4	18.1	12.5	13.3	12.3	737.1	737.0	736.8	70	44	63	E	E	ESE	1	9	9	10		
14	9.9	19.0	10.3	13.1	12.0	742.2	743.9	745.3	78	53	85	E	ENE	E	1	9	7	0		
15	6.2	18.0	12.3	12.2	11.0	746.2	744.3	742.0	95	59	82	ESE	E	SSW	1	7	9	10	0.1	tr n (15./16.)
16	13.9	13.5	13.4	13.6	12.3	738.9	737.7	735.3	71	85	79	WNW	WSW	WSW	2	9	10	8	0.2	18%, 0%—3% mU, *
17	13.2	6.5	0.4	6.7	5.4	731.7	731.5	731.5	76	93	96	W	NNW	NW	1	10	10	10	22.2	
18	-1.2	1.8	-0.7	0.0	-1.4	731.0	730.4	731.0	84	54	88	N	NW	SW	1	7	8	10	1.1	* n—2, 17—17%, 9—10% mU
19	-2.5	1.7	-0.5	-0.4	-1.9	733.0	734.4	735.9	92	66	87	W	W	WSW	2	10	8	9	0.0	0%—5% mU, * 9%—10%, *
20	0.9	2.6	3.5	2.3	0.7	733.7	733.5	733.9	72	84	85	SSW	SW	WSW	2	10	10	10	1.6	14%, 15%—18
21	5.0	6.6	4.5	5.4	3.8	731.4	731.3	729.9	81	84	82	WSW	WSW	WSW	2	10	10	10	1.0	4%—5, n—n, 14%
22	4.2	2.7	-0.6	2.1	0.4	724.8	730.4	732.1	87	68	82	WSW	E	E	1	10	8	0	0.9	0%—5% mU, 7%—8%, *
23	-1.3	2.5	7.6	2.9	1.1	730.5	729.1	727.1	94	81	79	E	E	SW	2	10	10	10	0.9	11%—13%, 13—13, 22%—23%, 16%
24	7.7	10.0	10.9	9.5	7.6	726.4	727.6	727.1	78	62	49	SW	SSW	SW	1	10	4		3.6	5%—14% mU, a—p
25	6.9	11.8	8.9	9.2	7.2	725.3	722.3	717.4	83	61	63	SW	WNW	SE	1	7	10	2	0.3	6%—7, 7%—7%, 14%
26	2.0	0.7	3.1	-0.1	-2.2	721.7	725.0	728.6	69	59	94	WNW	W	WNW	2	10	10	10	1.8	2%—3, * 15—16%
27	-5.6	-2.8	-4.7	-4.4	-6.6	733.0	735.0	738.0	92	78	89	NNW	NNW	SW	1	10	10	5	0.0	* 1%—4% mU, fl n (27./28.)
28	-10.2	2.1	-3.7	-3.9	-6.2	740.0	739.0	737.8	94	51	87	SSE	E	NW	0	2	0	0		
Mittel	2.7	7.0	4.4	4.7	—	733.4	733.5	733.3	85	69	80					8.3	8.2	6.4		Summe 76.1

* 8. 13%—15, 18—n mU, 18% 16. 7%—18% mU, * 18%—n, 11 19. 14%—16 mU 22. * 8%—9%, 12%—12%, n—n

Februar 1958
Beobachter: Utzinger

Säntis

$\lambda = 9^\circ 21'$, $\beta = 47^\circ 15'$,
 $H_b = 2500.1$ m, $G = -0.29$ mm

Table with columns: Tag, Lufttemperatur (7:30, 13:30, 21:30, Mittel, Abweich. vom Normalist.), Luftdruck (7:30, 13:30, 21:30), Relative Feuchtigkeit (7:30, 13:30, 21:30), Windrichtung und Stärke (7:30, 13:30, 21:30), Bewölkung (7:30, 13:30, 21:30), Niederschlag, Witterung. Rows 1-28 and Mittel.

*) 8. 15-16% mU, $\sqrt{n-11\%}$, \ddagger $\nearrow n-10$, 9. 11 $\frac{1}{2}$ -17 mU, $\sqrt{n-17}$, \ddagger $\nearrow n-10\frac{1}{2}$ 15. 11 $\frac{1}{2}$ -14 mU 17. $\equiv \sim n-n$, $\nearrow n-p$ 22. 14 $\frac{1}{2}$ -17 $\frac{1}{2}$ mU, $\sqrt{\ddagger n-17}$, $\nearrow n-p$

Februar 1958
Beobachter: E. Chiesa

St. Gotthard (Hospiz)

$\lambda = 8^\circ 34'$, $\beta = 46^\circ 33'$,
 $H_b = 2095$ m, $G = -0.27$ mm

Table with columns: Tag, Lufttemperatur (7:30, 13:30, 21:30, Mittel, Abweich. vom Normalist.), Luftdruck (7:30, 13:30, 21:30), Relative Feuchtigkeit (7:30, 13:30, 21:30), Windrichtung und Stärke (7:30, 13:30, 21:30), Bewölkung (7:30, 13:30, 21:30), Niederschlag, Witterung. Rows 1-28 and Mittel.

*) 8. $\equiv n-n$, \ddagger $\nearrow n-p$, 19. $\equiv n-10$, $\nearrow n-p$, \ddagger I, II

λ = 7° 26', β = 46° 57',
H_b = 572.2 m, G = -0.04 mm

Bern

März 1958
Beobachter: Meteorologisches Observatorium

Tag	Lufttemperatur					Luftdruck			Relative Feuchtigkeit			Windrichtung und Stärke			Bewölkung			Niederschlag	Witterung
	7 ³⁰	13 ³⁰	21 ³⁰	Mittel	Abweich. vom Normalst	7 ³⁰	13 ³⁰	21 ³⁰	7 ³⁰	13 ³⁰	21 ³⁰	7 ³⁰	13 ³⁰	21 ³⁰	7 ³⁰	13 ³⁰	21 ³⁰		
1	-8.2	-1.6	-3.1	-4.3	-6.0	710.6	708.2	708.0	92	58	64	NE	1 N	2 ENE	1 0	0	0	.	.
2	-6.1	3.4	0.1	-0.9	-2.7	709.7	710.4	712.5	88	32	83	N	1 NE	2 NE	1 2	4	10*	0.0	* 21-22½
3	1.2	1.8	0.9	1.3	-0.6	713.9	715.8	716.7	85	81	87	ENE	1 NNE	2 NE	2 10	10	9	.	☉ I
4	0.7	3.9	0.1	1.6	-0.5	717.8	718.0	718.1	81	57	78	NE	1 NE	2 N	1 9	9	0	.	☉ II
5	-3.2	7.8	2.3	2.3	0.1	717.1	715.7	714.5	95	46	70	SW	0 N	0 SE	1 1	1	1	.	☉ I
6	-1.1	7.9	2.1	3.0	0.7	712.7	710.9	710.7	88	50	96	SE	1 SW	3 WNW	2 2	8	10*	3.6	● 16½-n, ☉ a-p
7	0.8	3.8	-0.6	1.3	-1.1	709.1	707.5	706.5	84	75	76	SW	1 W	2 SW	2 9	8	10	1.6	● n-0½, * 0½-1½, 18½-19½
8	-3.2	0.6	-1.3	-1.3	-3.8	705.9	704.2	702.5	79	81	67	SW	1 WSW	2 WSW	1 9	10	4	0.0	☉ 7, 15-15½,
9	-4.9	-1.0	-3.7	-3.2	-5.9	700.0	699.8	701.2	71	87	90	SSE	1 SW	2 W	0 6	10	9	1.8	* 11½-16½, 20-21
10	-6.5	0.0	-4.5	-3.7	-6.5	701.7	701.5	701.0	92	57	52	SW	1 WSW	1 SE	1 10	4	1	0.4	* 7-10 mU
11	-5.4	-1.4	-4.6	-3.8	-6.7	697.8	698.8	702.9	85	60	95	W	1 SW	2 SW	1 9	10*	10*	6.0	* 8½-n, ☉
12	-5.4	-0.8	-4.3	-3.5	-6.5	706.6	709.0	709.5	90	68	65	SW	1 SW	2 SE	1 9*	9	9	2.7	* n-7%
13	-5.0	4.4	5.2	1.5	-1.7	706.8	706.8	705.8	96	77	77	SE	1 SW	3 SW	2 10*	10*	10	13.5	* 3-9%, ● 11½-17½, *)
14	1.1	5.1	2.4	2.9	-0.4	706.5	706.6	707.7	98	78	76	SW	0 S	1 N	0 7	9	9	.	● n-7%, ≡ 8-8½
15	-1.2	5.6	0.7	1.7	-1.7	708.4	708.3	710.5	90	55	38	N	1 NE	2 NNE	1 3	3	2	.	.
16	-4.4	5.2	0.2	0.3	-3.3	711.3	709.8	707.3	87	44	60	N	0 NNE	1 N	1 2	5	1	.	.
17	-3.9	1.0	-0.7	-1.2	-4.9	705.5	705.6	705.6	86	64	97	N	2 N	1 N	1 8	10	10	13.2	* 14½-n
18	-2.2	0.2	-0.4	-0.8	-4.6	705.2	706.0	707.5	96	85	98	N	0 NE	0 N	1 10*	10	10*	5.2	* n-12, 14-14½, 16½-22½, ☉
19	-0.3	2.9	1.8	1.5	-2.5	707.0	706.5	705.8	91	73	98	SW	0 SE	1 O	0 6	10	10*	5.3	* 0½-1, ● 14½-n, ≡ 21½-22½, ☉
20	1.5	1.8	-0.7	0.9	-3.2	706.0	707.8	710.9	98	70	67	N	0 N	1 NE	2 10*	10	10*	0.5	● n-5½, * 8-10, *)
21	-3.9	-1.8	-3.3	-3.0	-7.2	713.3	714.1	715.3	65	64	63	NE	0 E	1 NE	1 10*	8*	6	0.0	* 7½-8, 12-13
22	-6.1	-0.3	-3.6	-3.3	-7.7	715.1	714.6	713.8	81	51	55	E	1 NE	2 NE	1 0	1	0	.	☉
23	-7.9	0.3	-2.8	-3.5	-8.0	712.7	711.7	710.2	86	57	62	NE	1 NNE	2 NE	1 0	1	0	.	☉
24	-6.6	2.8	2.4	-0.5	-5.1	707.9	706.5	705.6	82	48	66	NE	1 E	1 NW	0 4	6	7	.	☉
25	1.0	9.4	6.0	5.5	0.7	703.4	701.7	701.6	83	50	74	W	1 NE	1 S	0 9	9	10	0.0	● tra
26	3.6	12.1	7.1	7.6	2.7	702.6	702.6	703.4	89	60	65	SE	1 SW	2 SE	1 10	9	1	.	● 8-8½
27	2.2	6.8	4.8	4.6	-0.4	701.6	700.9	702.6	89	90	98	E	1 W	2 SW	0 8	10	9	2.8	● 11½-18%, ≡ 22½-n
28	3.2	12.8	9.2	8.4	3.2	704.0	703.6	705.2	94	58	72	W	0 SW	2 SW	1 2	7	5	.	≡ n-2
29	4.8	14.7	8.7	9.4	4.1	704.4	703.6	702.8	90	68	78	SE	1 ENE	1 SE	1 4	5	6	0.0	● tra, ☉ III
30	3.2	14.6	8.3	8.7	3.3	704.3	704.2	706.1	86	52	75	SE	1 N	1 NE	1 7	4	2	.	☉ III
31	3.1	12.2	6.1	7.1	1.5	708.4	707.2	706.4	95	60	83	SE	0 NNE	2 NE	1 0	2	9	.	☉ III
Mittel	-1.9	4.3	1.1	1.2	-	707.6	707.4	707.7	87	63	75	.	.	.	6.0	6.8	6.1	Summe 56.6	.

*) I. 20½-n mU, ☉ a-p 20. 13½-16, 20½-22, ≡ 0½-7%

λ = 6° 57', β = 47° 00',
H_b = 487.3 m, G = 0.00 mm

Neuchâtel

März 1958
Beobachter: Observatorium

Tag	Lufttemperatur					Luftdruck			Relative Feuchtigkeit			Windrichtung und Stärke			Bewölkung			Niederschlag	Witterung
	7 ³⁰	13 ³⁰	21 ³⁰	Mittel	Abweich. vom Normalst	7 ³⁰	13 ³⁰	21 ³⁰	7 ³⁰	13 ³⁰	21 ³⁰	7 ³⁰	13 ³⁰	21 ³⁰	7 ³⁰	13 ³⁰	21 ³⁰		
1	-5.4	0.4	-3.4	-2.8	-5.2	718.7	716.2	715.7	77	61	76	NE	1 ENE	2 ENE	1 0	0	0	.	☉ p
2	-4.0	4.6	0.7	0.4	2.1	717.5	718.3	720.3	68	40	84	NE	1 ENE	3 NE	1 1	1	10	.	☉ a-p
3	-0.3	3.8	1.7	1.7	1.0	721.5	723.5	724.7	94	68	87	NE	1 ENE	2 NE	2 8	10	10	.	☉ p
4	1.6	6.3	2.7	3.5	0.7	725.6	725.8	726.2	75	55	68	NE	2 ENE	2 NE	2 10	7	0	.	☉ p
5	-2.0	6.7	3.4	2.7	-0.2	724.9	723.9	722.3	83	53	54	NE	0 E	1 S	1 0	0	0	.	.
6	3.4	9.4	3.7	5.5	2.4	720.2	719.1	718.6	67	51	93	SW	2 SW	2 SW	2 1	3	10	0.9	● 20-23½, ☉ n-n mU
7	1.4	6.1	-1.0	2.2	-1.0	716.2	715.1	714.4	58	31	84	NW	3 SW	3 W	2 8	6	8	1.8	* 17-n mU, ☉ n-17½
8	-2.2	0.3	-0.1	-0.7	-4.0	713.4	712.2	710.0	80	77	50	W	1 SW	2 W	1 10	10*	10	0.2	* 0-n mU, ☉ p mU
9	-3.9	0.3	-3.0	-2.2	-5.7	706.8	706.8	708.9	84	64	73	WNW	1 NW	2 WNW	1 6	10*	0	0.4	* 0-n mU, ☉ a-p mU
10	-5.0	0.7	-3.4	-2.6	-6.2	708.9	709.1	708.3	95	62	70	W	0 S	1 S	1 9*	7	0	0.7	* n-5½ mU, 5½-9, ☉ 21½-n
11	-4.6	-2.0	-4.0	-3.5	-7.2	705.4	706.3	710.6	95	92	93	NE	1 W	2 W	2 10*	10*	10*	1.0	* 5-22 mU, ☉ 13-n mU
12	-5.0	0.7	-1.2	-1.8	-5.7	714.5	717.0	717.1	77	45	59	SW	1 SW	2 WSW	2 9	8	8	4.7	* 2½-9, * 9-10, *)
13	-0.5	2.8	4.0	2.1	-1.9	714.5	715.0	713.4	100	93	93	SW	3 SW	2 WSW	2 10*	10*	10*	12.1	☉
14	2.0	7.6	1.3	3.6	-0.5	714.2	714.1	715.5	94	50	75	SW	1 W	2 ENE	0 10	9	0	.	● n-7, ☉ 13½-19
15	-0.9	7.2	0.6	2.3	-2.0	716.2	716.2	718.3	84	56	56	NE	1 SE	2 NE	1 2	2	0	.	☉ I
16	-3.6	6.8	2.6	1.9	-2.5	718.9	717.5	715.1	73	43	44	NE	0 E	1 NE	2 1	1	0	.	.
17	-2.0	0.9	-0.2	-0.4	-4.9	713.7	713.4	713.4	73	67	98	NE	2 NE	1 E	1 10*	10*	10*	11.2	* 13½-n
18	-1.3	0.4	0.1	-0.3	-5.0	712.8	713.7	715.7	98	89	98	NE	1 NE	1 NE	1 10*	10	10*	2.2	* n-10½, 18-21½, ☉
19	-0.6	3.2	1.4	1.3	-3.5	714.7	714.0	713.4	95	76	98	NE	1 NE	1 NE	1 10	10	10	2.6	● 16-19½, 22½-24
20	1.6	4.8	0.3	2.2	-2.7	713.8	715.7	718.5	98	36	51	NE	1 NW	2 N	2 10	7	10	.	☉ 10½-22½ mU
21	-3.2	-0.3	-2.8	-2.1	-7.2	721.3	722.1	723.4	57	58	53	NNE	1 N	2 N	1 3	10*	0	0.0	* 13½, ☉ 15-19½
22	-4.2	2.6	-2.0	-1.2	-6.4	723.1	722.5	722.0	69	43	52	N	2 ENE	2 NNE	2 3	0	0	.	☉ n-n mU
23	-5.3	2.2	-1.6	-1.6	-6.9	720.7	719.6	718.1	72	50	52	NNE	2 ENE	2 NE	3 0	0	0	.	☉ 20-23
24	-4.6	1.5	2.3	-0.3	-5.8	715.8	714.5	713.2	76	57	73	NE	2 SE	1 SSE	1 4	10	9	.	.
25	1.7	7.0	6.0	4.9	-0.7	711.0	709.2	708.9	82	58	73	SSE	1 SE	1 SW	0 10	10	10	.	.
26	4.9	10.0	6.3	7.1	1.4	709.9	710.1	710.7	95	68	77	SSW	1 S	1 WNW	1 10	10	3	.	.
27	2.8	4.7	5.8	4.4	-1.5	708.9	708.8	709.9	98	98	97	N	0 NNW	1 WSW	1 9	10	5	7.3	● 11½-17½
28	3.6	10.3	9.3	7.7	1.7	711.2	711.4	712.5	98	70	68	SE	0 SSE	1 WSW	2 10	9	9	.	● 1½-2½
29	4.5	12.9	9.6	9.0	2.9	711.7	711.0	709.9	87	59	56	W	0 S	1 ENE	1 5	7	2	.	.
30	4.2	15.3	8.9	9.5	3.2	711.9	711.6	713.6	90	52	65	ENE	0 SE	1 NE	1 3	4	2	.	☉ 17½-19½
31	4.4	13.8	8.1	8.8	2.4	715.7	714.6	714.0	93	53	65	NE	0 N	1 NE	2 8	2	2	.	☉ 13½-23½ mU
Mittel	-0.7	4.9	1.8	2.0	-	715.3	715.1	715.4	83	61	72	.	.	.	6.5	6.5	5.1	Summe 45.1	.

*) 12. ● 10-21½ mU, 21½-n, ☉ n-n mU

März 1958

Beobachter: *Frl. H. Nager*

Aldorf

$\lambda = 8^\circ 38'$, $\beta = 46^\circ 53'$,

$H_b = 456.3$ m, $G = -0.08$ mm

Tag	Lufttemperatur					Luftdruck			Relative Feuchtigkeit			Windrichtung und Stärke			Bewölkung			Niederschlag	Witterung				
	7 ³⁰	13 ³⁰	21 ³⁰	Mittel	Abweich. von Normalst.	7 ³⁰	13 ³⁰	21 ³⁰	7 ³⁰	13 ³⁰	21 ³⁰	7 ³⁰	13 ³⁰	21 ³⁰	7 ³⁰	13 ³⁰	21 ³⁰						
1	-4.6	-1.4	-1.2	-2.4	-5.5	721.3	719.2	718.6	79	69	75	E	0	NW	0	9	7	10					
2	-2.9	0.8	-0.1	-0.7	-4.0	720.3	721.5	723.4	75	70	94	E	0	NW	0	10	10	10	0.6	* 16-21%,			
3	0.3	2.6	1.8	1.6	-1.8	724.3	725.9	727.4	95	88	95	NW	0	W	0	10	10	10	0.2	● 16%			
4	-1.2	4.8	0.7	1.4	-2.1	728.7	728.8	728.8	82	61	81	SE	0	N	1	SE	0	8	7	1			
5	-1.8	5.1	1.8	1.7	-1.9	726.9	725.7	725.0	84	65	86	SE	0	NW	0	NE	0	7	0	0			
6	-0.4	7.6	5.9	4.4	0.6	722.6	720.5	719.1	87	53	80	E	0	W	0	NW	1	3	4	10	1.4	◇ 21	
7	2.4	3.4	1.2	2.3	-1.6	718.5	717.2	716.2	90	72	63	E	1	E	0	NW	1	10*	7	10	3.5	● n-9, * 20-n mU	
8	-1.2	1.4	-0.6	-0.1	-4.1	715.5	714.3	712.9	70	55	63	E	0	NW	0	E	1	10*	10	10		* n-7%	
9	-3.4	2.5	-3.0	-1.3	-5.4	709.3	708.2	711.3	64	43	77	SE	0	NW	1	NW	1	4	7	10*	0.7	* 16-n mU	
10	-2.8	-0.8	-2.9	-2.2	-6.5	710.6	711.1	711.5	86	66	58	E	0	NW	0	E	0	10	10	4			
11	-2.6	-0.6	-1.8	-1.7	-6.1	706.5	708.1	711.5	72	57	66	N	0	N	1	NW	0	9	10	10	4.4	* fl a, 16-n mU	
12	-3.8	-1.8	-2.6	-2.7	-7.2	716.3	718.9	720.6	91	56	63	NW	1	NW	1	N	0	10*	10	3	4.0	* n-7%, n (12./13.)	
13	-4.5	0.0	1.3	-1.1	-5.7	716.7	716.4	714.7	94	95	99	NE	0	NE	0	NW	0	10*	10	10*	18.1	* n-15% mU, ● 15% n	
14	1.6	3.8	2.3	2.6	-2.2	715.8	716.6	717.8	96	67	81	E	0	NW	1	NW	0	7	7	10			
15	1.8	4.2	2.3	2.8	-2.1	718.7	718.7	720.7	86	76	71	N	0	N	1	NW	0	7	7	10			
16	-1.9	3.8	0.2	0.7	-4.3	721.8	719.8	718.0	75	54	70	E	0	N	0	N	0	2	3	4			
17	-1.2	1.5	0.6	0.3	-4.8	715.8	716.0	716.4	85	74	95	NW	0	NW	1	NW	0	10	10	10*	11.9	● * 20n	
18	0.8	0.9	0.8	0.8	-4.4	714.4	716.0	718.2	98	97	97	N	0	N	0	N	0	10	10	10*	11.4	● * p, ● p-n	
19	0.8	3.5	2.2	2.2	-3.2	716.6	716.1	716.1	98	85	94	N	0	NW	0	NW	0	10	10	10*	8.5	● n (18./20.)	
20	1.0	1.8	0.0	0.9	-4.6	716.3	717.4	720.9	97	90	92	E	0	NW	0	E	0	10	10*	10*	8.4	* 6%-p mU, ● * p-n	
21	-2.2	-1.2	-1.1	-1.5	-7.1	722.9	723.6	725.6	82	70	88	NE	0	N	2	N	0	10	10	10	1.4	◇ p, * 19-20%	
22	-3.2	-0.8	-3.0	-2.3	-8.0	725.7	725.5	724.9	86	60	64	E	0	N	0	NE	0	10	6	10			
23	-7.0	-1.6	-3.0	-3.9	-9.8	723.9	723.2	721.6	74	68	80	E	0	NW	0	NW	0	0	3	5			
24	-3.7	-0.6	-1.2	-1.8	-7.8	718.3	717.1	715.5	87	76	81	NE	0	W	0	NW	0	10	8	6			
25	2.1	7.6	12.8	7.5	1.4	712.4	710.5	710.4	84	62	40	NE	1	SE	2	SE	2	8	10	10			
26	4.4	7.4	5.9	5.9	-0.3	712.2	712.3	713.9	86	80	86	E	0	N	0	NW	0	10	10*	10	0.0	● 12%-p	
27	2.9	11.5	5.8	6.7	0.3	711.0	709.3	712.5	96	45	67	E	0	NW	1	NW	0	4	10	10		┌ I	
28	5.4	12.3	7.8	8.5	2.0	713.2	712.7	714.6	85	57	79	W	0	NW	0	E	1	6	6	10			
29	4.0	12.6	9.8	8.8	2.2	714.1	712.8	712.6	88	63	54	E	0	N	0	NE	0	3	7	4			
30	4.0	12.3	8.4	8.2	1.5	714.5	713.5	716.2	90	62	86	W	0	NW	0	E	0	0	0	8	0.4	◇ K 17%	
31	5.0	11.4	8.3	8.2	1.3	718.4	717.3	716.7	96	62	81	E	0	NW	1	NW	0	7	6	10			
Mittel	-0.4	3.7	1.9	1.7	—	717.5	717.2	717.9	86	68	78							7.6	7.6	8.2	Summe	74.9	

März 1958

Beobachter: *Observatoire*

Genève

$\lambda = 6^\circ 09'$, $\beta = 46^\circ 12'$,

$H_b = 405.0$ m, $G = -0.05$ mm

Tag	Lufttemperatur					Luftdruck			Relative Feuchtigkeit			Windrichtung und Stärke			Bewölkung			Niederschlag	Witterung			
	7 ³⁰	13 ³⁰	21 ³⁰	Mittel	Abweich. von Normalst.	7 ³⁰	13 ³⁰	21 ³⁰	7 ³⁰	13 ³⁰	21 ³⁰	7 ³⁰	13 ³⁰	21 ³⁰	7 ³⁰	13 ³⁰	21 ³⁰					
1	-2.8	0.4	-0.4	-0.9	-4.2	725.4	723.4	723.1	69	55	58	NNE	1	NNE	2	NNE	2	4	4	2		↘ n-n mU
2	-1.8	2.6	3.6	1.5	-1.9	724.5	725.1	726.2	72	54	63	NNE	3	NNE	1	NNE	2	8	3	7		↘ n-n mU
3	3.1	6.9	3.3	4.4	0.9	727.5	729.0	730.4	75	58	72	NNE	2	NNE	3	NNE	3	7	1	10		↘ n-n
4	3.0	5.5	3.7	4.1	0.4	732.2	732.7	732.6	71	59	67	NNE	1	NNE	2	NE	2	8	8	0		↘ n-n
5	0.4	5.7	4.2	3.4	-0.4	732.6	731.3	730.3	89	51	78	E	3	NNE	1	NNE	1	3	0	0		┌ I
6	1.6	7.7	6.7	5.3	1.4	728.3	727.9	726.3	77	56	66	NE	1	SSW	2	SW	1	0	8	10	0.2	● 18%-19, ┌ I
7	2.6	6.5	1.8	3.6	-0.4	724.8	723.2	722.5	67	36	68	S	1	SW	1	SE	1	3	3	7	0.0	● 0%-1, ◇ p
8	-1.4	2.1	0.1	0.3	-3.8	721.9	720.5	717.8	63	57	55	SW	1	SW	2	S	0	8	5	3		
9	-1.6	1.8	-1.2	-0.3	-4.6	715.0	715.2	716.7	68	67	64	W	1	SW	1	SSW	1	10	9	4	0.0	* fl a-p mU
10	-2.8	0.2	-0.7	-1.1	-5.5	716.8	716.6	714.6	66	46	51	S	1	S	2	NNW	1	8	6	10	0.5	
11	-3.5	-0.3	-1.8	-1.9	-6.4	712.5	715.2	719.0	95	60	56	SW	1	S	1	WSW	1	10*	10	4	1.8	* 3%-10%
12	-3.8	-0.1	-0.3	-1.4	-6.0	722.9	725.3	725.2	79	50	53	W	1	SW	1	SSW	1	6	7	10	3.3	
13	0.8	6.1	5.8	4.2	-0.5	724.0	724.0	723.1	89	75	80	NW	1	S	3	SSW	2	10	10	6	3.7	* 0%-6%, ● 8-10% mU, *)
14	6.4	7.5	5.4	6.4	1.5	721.6	721.7	722.8	80	75	79	SSW	1	SSW	2	E	1	10	10	10	0.4	● n-7 mU, 12%-13%, 17%-19%
15	2.8	6.2	4.8	4.6	-0.4	723.3	723.1	725.2	77	60	63	NNE	1	NNE	2	NNE	1	10	3	1		↘ a-p mU
16	0.2	4.8	4.6	3.2	1.9	726.0	724.6	721.9	64	52	56	NNE	1	NNE	1	NE	1	1	2	2	1.5	
17	-1.0	-0.3	0.6	-0.2	-5.4	721.0	721.0	721.0	92	96	94	NE	1	NNE	1	NNE	0	10*	10*	10*	12.0	* 5-23% mU, ≡ n-p
18	1.2	4.7	3.3	3.1	-2.2	720.4	720.8	722.7	95	81	90	NW	0	NE	1	N	1	10*	10	10	0.6	● * 0%-7%, ● 7%-8%, *)
19	2.9	11.1	6.0	6.7	1.2	721.8	721.2	720.9	95	50	89	NNE	1	WSW	1	NW	1	9	9	10	1.9	● 19%-21% mU, ≡ n-a
20	5.9	9.9	2.7	6.2	0.6	721.2	722.3	725.1	78	44	50	S	2	SW	2	NNE	2	9	7	7		● 5%-7%, ↘ p-n mU
21	-0.7	2.3	0.0	0.5	-5.2	728.1	728.7	730.4	61	43	53	NNE	3	NNE	3	NNE	3	5	3	4		↘ n-n
22	-2.0	1.8	-0.3	-0.2	-6.0	729.9	728.9	728.4	65	55	52	NNE	1	NNE	2	NE	1	8	1	1		↘ a-p mU
23	-2.4	2.2	1.1	0.3	-5.6	727.1	726.8	724.9	67	64	55	NE	2	NNE	1	NNE	2	1	0	1		
24	-1.5	1.6	2.2	0.8	-5.3	723.2	721.9	720.8	68	62	71	NE	1	N	1	NE	1	10	9	2	0.0	* fl 11%
25	1.8	7.3	7.3	5.5	-0.7	718.4	716.3	716.6	78	47	82	S	1	NNE	5	SSW	1	10	10	10*	1.5	● 17%-21%
26	6.8	13.7	9.6	10.0	3.7	717.1	717.4	718.1	88	42	67	SSE	1	SW	2	S	1	6	7	3		● 0-1%
27	3.5	6.5	7.4	5.8	-0.6	716.2	716.5	717.6	91	95	93	S	1	SW	1	NNE	1	10*	10*	10*	14.3	● 7%-15, ≡ a p
28	4.9	11.0	10.2	8.7	2.2	718.5	719.0	720.1	86	67	69	NNE	1	NNW	1	SSE	0	4	7	8		◇ 23%
29	5.0	11.6	9.9	8.8	2.1	719.0	718.0	717.4	88	57	66	WNW	1	N	1	SW	1	4	4	3		
30	6.9	13.8	10.5	10.4	3.6	719.4	718.9	720.6	86	45	62	NE	1	NNE	1	NNE	1	4	6	3		
31	5.1	12.5	9.7	9.1	2.2	722.8	721.4	720.9	84	64	74	SSW	1	NNE	2	NNE	1	0	1	1		
Mittel	1.3	5.6	3.9	3.6	—	722.7	722.5	722.7	78	59	68							6.6	5.9	5.2		

λ = 8° 34', β = 47° 23',
H_b = 569.4 m, G = -0.01 mm

Zürich

März 1958

Beobachter: Meteorologische Zentralanstalt

Tag	Lufttemperatur					Luftdruck			Relative Feuchtigkeit			Windrichtung und Stärke			Bewölkung			Niederschlag	Witterung
	7 ³⁰	13 ³⁰	21 ³⁰	Mittel	Abweich. vom Normalst	7 ³⁰	13 ³⁰	21 ³⁰	7 ³⁰	13 ³⁰	21 ³⁰	7 ³⁰	13 ³⁰	21 ³⁰	7 ³⁰	13 ³⁰	21 ³⁰		
1	-7.3	-1.1	-4.4	-4.3	-5.8	711.5	709.2	708.6	96	63	79	ENE 1	ENE 2	NE 1	10	1	0	...	⊥ I
2	-6.1	-0.5	-1.2	-2.6	-4.2	710.5	711.6	713.2	92	68	99	NE 0	SW 1	S 1	7	10	10*	2.0	● * 15-19%, * 19%-23% ≡ p-n
3	-0.9	1.1	0.5	0.2	-1.5	714.4	716.2	717.7	93	86	93	NE 1	NE 1	ENE 1	10	10	10*	0.0	* 3-3%, fl p-n mU, ⊗
4	0.2	4.2	-0.8	1.2	-0.6	718.5	719.0	718.8	85	61	87	SE 1	NE 1	NE 1	9	9	0	...	≡ 7%-9%, ⊥ I
5	-3.2	7.6	2.8	2.4	0.5	717.2	715.9	714.4	96	56	66	NE 1	SSW 1	S 1	2	1	1	...	● tr p, 1/2 12%-20 mU
6	1.1	9.2	2.2	4.2	2.2	712.0	710.9	710.4	84	57	92	SW 1	WSW 2	WSW 2	4	9	10	0.9	* fl p, 18%-19%, 1/2 16%-19%
7	0.5	3.4	-1.5	0.8	-1.4	708.8	707.2	706.5	76	49	80	W 1	SW 1	WSW 2	9	9	9	1.6	* 0-0%, fl a-p mU, *) ⊗
8	-3.7	-1.3	-1.2	-2.1	-4.4	705.3	703.6	702.1	91	83	66	SW 1	SW 2	SSW 1	9	10*	10	0.7	* 14%-15%, ~ I ⊗
9	-4.6	0.5	-2.9	-2.3	-4.7	699.1	698.8	701.1	76	62	71	SSE 1	SSW 1	WSW 1	9	10	9	0.1	* fl a, 11%-12, ⊗
10	-6.1	-1.7	-4.7	-4.2	-6.7	701.0	701.1	701.4	89	65	81	NE 1	WNW 1	E 1	7	9	0	0.1	* fl 13%-16%, 16%-23% mU, ≡ p-n
11	-5.6	-0.8	-4.5	-3.6	-6.3	697.1	698.5	701.5	84	60	98	NNW 1	WSW 1	W 1	9	10	10*	6.8	* 0-2%, 11-11%, ⊥ I ⊗
12	-6.1	-2.1	-4.9	-4.4	-7.2	706.3	708.5	709.8	91	66	81	W 1	SW 2	S 1	10	10	0	1.9	* 4%-12, ● tr 12-12%, *) ⊗
13	-5.6	3.4	4.3	0.7	-2.2	706.3	705.8	703.2	96	82	81	W 1	SW 3	SW 3	10*	10	10	19.4	● n-2%, 5%-7%, ⊗
14	0.4	6.1	-0.1	2.1	-0.9	706.5	706.9	708.3	88	48	90	WSW 1	SSW 2	NNE 1	9	9	9	0.1	⊥ I
15	-1.3	5.5	-0.7	1.2	-2.0	709.0	709.0	711.3	88	50	44	NNE 1	S 1	NE 1	10	6	0	...	⊥ I
16	-5.1	3.8	-1.0	-0.8	-4.1	711.8	710.4	708.3	85	41	55	NE 0	ENE 1	NE 2	0	4	0	...	* fl 21%, 23%-n
17	-4.9	3.7	-0.4	-0.5	-3.9	706.2	705.9	706.3	87	52	70	NE 1	ENE 1	NE 2	3	7	10*	6.4	* n-4%, 6%-9%, ⊗
18	-3.5	1.0	-2.7	-1.7	-5.3	705.3	706.3	707.9	93	70	92	NE 1	NE 1	NNE 1	10*	10	7	1.6	* n-19%-n, ⊗
19	-1.0	4.1	1.1	1.4	-2.3	707.0	706.2	706.2	93	67	97	SSW 1	SSW 1	S 1	9	10	10*	2.6	* n-1%, 3%-4, a mU, ≡ n-8 ⊗
20	0.6	1.0	-1.3	0.1	-3.7	706.4	708.2	711.2	98	65	61	WSW 1	W 1	N 1	10*	10	10	1.7	* 4%-5%, fl a-p mU, 23%-22% ⊗
21	-4.3	-1.5	-4.0	-3.3	-7.3	713.4	714.3	715.7	83	69	89	NNW 1	NE 1	E 1	10	9	10	1.1	* fl 1%
22	-6.5	-0.2	-4.8	-3.8	-7.9	715.8	715.5	714.9	77	46	61	ENE 1	E 1	NE 1	1	1	0	...	⊕ 15, ⊥ I
23	-7.9	0.7	-4.3	-3.8	-8.0	713.1	712.6	711.7	89	48	62	NE 1	E 2	NE 2	4	1	0	...	● tr a-p
24	-6.3	6.3	-0.1	0.0	-4.4	708.1	706.7	705.8	83	40	75	ENE 2	E 1	WNW 1	7	5	1	...	● 14%-15, 16%-18, ⊥ I
25	-0.9	7.7	5.2	4.0	-0.5	703.0	702.0	701.0	75	54	72	NE 1	NNE 1	ESE 1	9	9	9	...	● tr 21%,
26	4.9	8.5	6.1	6.5	1.9	702.1	702.9	703.8	80	77	89	SSE 1	SSW 1	S 1	10	10*	10	0.0	⊥ I, III
27	2.8	10.1	6.6	6.5	1.7	701.2	700.2	702.4	92	68	86	SSE 1	WNW 1	SSE 1	3	10	9	1.0	⊥ I, III
28	5.5	14.7	10.4	10.2	5.3	703.4	703.4	705.2	84	47	69	S 0	W 1	S 1	3	8	10*	0.0	⊥ I
29	5.3	15.9	9.0	10.1	5.0	704.4	703.2	703.2	87	50	67	ESE 0	N 1	NNE 1	6	6	2	...	
30	4.3	14.9	8.8	9.3	4.1	704.4	704.4	706.8	92	52	76	WNW 0	NE 1	ENE 1	3	3	9	...	
31	6.0	8.6	5.4	6.7	1.3	708.4	708.1	707.4	91	72	86	NE 1	NNE 2	NE 2	10	10	10	...	
Mittel	-1.9	4.3	0.5	1.0	-	707.7	707.5	707.9	87	60	78				7.2	7.6	6.3	48.0	

*) 8. 16%-18, 1/2 11%-16%, ~ III 13. 14%-n mU, 1/2 11%-23

λ = 6° 32', β = 46° 51',
H_b = 1601 m, G = -0.16 mm

Chasseron

März 1958

Beobachter: J. Liardon

Tag	Lufttemperatur					Luftdruck			Relative Feuchtigkeit			Windrichtung und Stärke			Bewölkung			Niederschlag	Witterung
	7 ³⁰	13 ³⁰	21 ³⁰	Mittel	Abweich. vom Normalst	7 ³⁰	13 ³⁰	21 ³⁰	7 ³⁰	13 ³⁰	21 ³⁰	7 ³⁰	13 ³⁰	21 ³⁰	7 ³⁰	13 ³⁰	21 ³⁰		
1	-7.0	-5.6	-10.8	-7.8	-	623.6	622.1	621.0	27	30	92	E 3	E 3	E 3	2	2	3	...	* 19%-n, ≡ 19%-n
2	-8.0	-2.0	-5.8	-5.3	-	623.1	625.6	626.1	75	86	100	E 5	E 3	NE 3	3	5	10*	1.3	≡ n-n mU
3	-6.0	-4.4	-6.0	-5.5	-	628.1	629.5	630.4	100	100	100	NE 2	NE 2	NE 3	10*	10*	10*	...	≡ n-8%
4	-6.0	-3.6	-2.4	-4.0	-	631.3	632.4	632.6	100	72	30	NE 3	E 2	E 3	10*	6	1	...	
5	-1.2	1.8	-2.0	-0.5	-	631.7	631.8	630.9	55	52	58	E 2	N 2	NW 3	2	2	4	...	
6	-4.8	-3.8	-3.2	-3.9	-	628.0	626.8	626.0	100	100	100	WNW 3	W 4	WNW 4	10*	10*	10*	17.4	* 16%-n, ≡ n-n, 1/2 a-n
7	-8.1	-6.8	-8.8	-7.9	-	623.7	622.3	621.2	100	100	100	W 4	W 3	WNW 4	10*	7	10*	12.6	* n-7%, 16%-n, ≡ n-8, *)
8	-10.8	-9.0	-10.6	-10.1	-	619.4	618.5	617.2	100	100	100	WNW 3	W 3	W 3	10*	7	7	3.8	* n-15%, ≡ n-16
9	-10.8	-10.0	-11.8	-10.9	-	613.7	613.6	615.0	100	100	100	W 3	WNW 4	NW 3	8	10*	10*	9.6	* ≡ 8-n, 1/2 n-n mU
10	-13.4	-9.0	-12.0	-11.5	-	614.7	615.0	614.7	100	100	100	W 3	WNW 2	E 2	10*	10*	10*	3.8	* n-n, ≡ n-15, 19%-n
11	-12.3	-12.0	-12.4	-12.2	-	612.1	613.0	615.9	100	100	100	E 2	WNW 4	NW 5	10*	10*	10*	15.7	* ≡ n-n, 1/2 a-n
12	-14.0	-8.0	-12.2	-11.4	-	619.7	622.1	622.8	100	100	100	NW 3	NW 4	S 3	10	10	10	10.6	* n-8 mU, n (12./13.), *)
13	-3.6	-2.6	-1.6	-2.6	-	621.1	622.4	620.9	100	100	100	W 5	WNW 5	W 6	10*	10*	10*	46.8	* ≡ n-n
14	-4.7	-2.0	-5.0	-3.9	-	621.6	622.5	623.2	100	100	100	W 4	WNW 3	WNW 2	10*	10*	7	7.3	* n-14, ≡ n-19%, 1/2 n-n
15	-6.4	-4.8	-5.6	-5.6	-	623.1	624.1	624.9	100	70	40	W 2	NNE 1	ENE 2	4	4	4	...	
16	-1.0	2.0	-0.6	0.1	-	625.8	625.7	623.0	16	24	24	SSE 2	C 0	ESE 2	2	4	5	...	
17	-2.2	-2.0	-0.6	-1.6	-	620.6	620.7	620.2	63	100	100	SSE 2	S 2	W 4	8	10*	10*	21.6	* 9%-n, ≡ 9%-n, 1/2 p-n
18	-2.0	-1.2	-2.0	-1.7	-	620.4	621.5	622.7	100	100	100	W 3	NW 3	W 3	10*	10*	10*	8.7	* ≡ n-n
19	-5.6	-3.0	-1.6	-3.4	-	621.8	622.2	621.9	100	100	100	W 3	W 3	W 3	5	8	10*	13.5	* 15-n, ≡ n-14 mU, 14-n
20	-4.0	-4.8	-10.0	-6.3	-	621.4	622.8	624.4	100	100	100	WNW 3	NW 3	NNW 3	10*	8	6	0.0	* n-8, ≡ n-n mU
21	-12.8	-9.6	-12.8	-11.7	-	625.8	626.9	627.7	100	100	100	ENE 2	N 2	NNE 2	10*	7*	6*	1.6	* a-n mU, ≡ n-n mU
22	-13.2	-7.6	-10.0	-10.3	-	626.6	627.4	626.2	100	100	100	ENE 3	ESE 2	E 1	10*	7	3	...	≡ n-13 mU
23	-7.4	-3.4	-6.8	-5.9	-	625.2	625.2	624.3	100	77	70	W 2	WNW 2	E 2	2	3	4	...	
24	-2.6	-0.4	-1.5	-1.5	-	622.0	622.1	621.7	62	100	94	E 3	S 2	S 3	6	8	7	0.0	* fl 13
25	-0.8	3.6	2.2	1.7	-	619.9	619.5	619.5	56	54	80	SSE 3	ESE 2	NW 2	8	8	10	1.7	● * 20-n mU
26	0.4	1.6	1.8	1.3	-	619.5	620.6	620.8	100	86	84	SW 3	W 3	SSE 3	8	10	6	...	
27	0.0	0.0	1.4	0.5	-	618.6	618.2	620.2	82	100	96	SW 2	WSW 3	S 3	8	10*	5	5.6	* 9%-17, ≡ 10-18%
28	0.0	1.4	0.2	0.5	-	620.8	621.7	622.3	100	100	100	SSE 3	S 3	W 3	10*	6	7	...	≡ n-9, 9-n mU
29	1.4	5.0	3.6	3.3	-	621.3	621.8	621.4	100	65	74	E 2	SE 2	E 2	5	7	5	...	
30	2.0	4.6	2.8	3.1	-	621.7	622.7	623.9	85	74	74	NE 1	NNE 2	NE 2	3	7	7	...	
31	2.4	4.1	1.2	2.6	-	625.6	625.1	623.6	72	85	85	NE 2	NNE 1	E 2	3	7	3	...	
Mittel	-5.2	-3.0	-4.6	-4.3	-	622.3	622.8	622.8	87	86	87				7.3	7.6	7.1	181.6	

*) 7. 15%-n, 1/2 n-n mU 12. ≡ n-17 mU, 1/2 a-p

März 1958

Beobachter G. Castelli, H. Eisenbrecht, P. Brasser

Bever

λ = 9° 53', β = 46° 33'

H_b = 1711.8 m, G = -0.26 mm

Table with columns: Tag, Lufttemperatur (730, 1330, 2130, Mittel, Abweich. vom Normal), Luftdruck (730, 1330, 2130), Relative Feuchtigkeit (730, 1330, 2130), Windrichtung und Stärke (730, 1330, 2130), Bewölkung (730, 1330, 2130), Niederschlag, Witterung. Rows 1-31 and Mittel.

März 1958

Beobachter: Couvent des Capucins

Sion

λ = 7° 22', β = 46° 14'

H_b = 548.6 m, G = -0.14 mm

Table with columns: Tag, Lufttemperatur (730, 1330, 2130, Mittel, Abweich. vom Normal), Luftdruck (730, 1330, 2130), Relative Feuchtigkeit (730, 1330, 2130), Windrichtung und Stärke (730, 1330, 2130), Bewölkung (730, 1330, 2130), Niederschlag, Witterung. Rows 1-31 and Mittel.

λ = 8° 58', β = 46° 00',
H_b = 276.2 m, G = -0.04 mm

Lugano

März 1958
Beobachter: G. Vicari

Tag	Lufttemperatur					Luftdruck			Relative Feuchtigkeit			Windrichtung und Stärke			Bewölkung			Niederschlag	Witterung
	7 ⁰⁰	13 ³⁰	21 ³⁰	Mittel	Abwech. vom Normalst	7 ³⁰	13 ³⁰	21 ³⁰	7 ³⁰	13 ³⁰	21 ³⁰	7 ³⁰	13 ³⁰	21 ³⁰	7 ³⁰	13 ³⁰	21 ³⁰		
1	0.2	12.4	5.2	5.9	0.4	731.0	730.0	731.6	83	44	73	NE	1 S	1 N	1	1	0	2	
2	-0.4	12.8	9.4	7.3	1.7	733.1	731.6	731.7	96	41	33	N	1 S	1 N	2	1	1	0	
3	10.4	18.4	8.2	12.3	6.5	733.5	734.6	737.7	30	20	32	N	2 NNE	3 NNE	2	6	1	0	↗ n-n mU
4	1.8	9.8	5.6	5.7	-0.2	740.7	740.3	741.8	58	44	59	N	1 E	0 N	1	0	9	1	
5	0.8	13.6	5.4	6.6	0.6	743.3	741.8	740.2	94	46	79	N	1 SE	1 N	1	0	1	0	
6	0.6	13.4	7.6	7.2	1.0	737.3	734.1	732.5	97	46	63	N	1 ESE	1 N	1	1	0	0	
7	1.0	9.4	4.8	5.1	-1.2	730.8	729.1	729.5	97	47	33	NNW	0 S	2 N	1	1	10	1	0.0 ● 13%-13%
8	1.2	10.8	3.1	5.0	-1.4	728.6	727.1	727.6	61	18	26	N	1 N	2 N	1	5	1	1	
9	-1.4	3.8	-0.4	0.7	-5.9	726.1	725.9	725.1	51	75	96	N	1 SSE	1 N	1	7	7	2	0.0 ↘ 11-11%
10	1.8	6.2	2.2	3.4	-3.3	723.3	724.3	726.4	36	26	33	NNE	2 NNE	2 N	1	10	10	0	2.7 ☼ n (10./11.)
11	-1.4	1.2	0.2	0.0	-6.8	725.1	722.8	722.9	98	93	88	S	0 SSW	1 N	1	10*	10*	6	0.7 * n-p mU ☒
12	0.8	7.2	0.4	2.8	-4.2	728.0	731.3	734.8	26	21	31	N	2 N	3 N	1	8	4	0	↗ n-p
13	-0.8	8.4	2.2	3.3	-3.8	736.7	735.4	733.5	43	27	57	S	1 SSW	1 W	1	10	6	1	0.6 ☼ n (13./14.)
14	2.6	13.8	7.4	7.9	0.7	729.7	728.1	728.9	83	46	29	W	1 S	1 N	1	9	1	0	
15	0.8	13.4	5.2	6.5	-0.9	732.0	731.4	733.5	85	39	66	N	1 S	1 W	0	0	0	0	
16	4.8	12.2	3.8	6.9	-0.6	736.7	735.2	735.2	68	46	76	S	1 S	1 S	0	9	1	10	
17	4.3	7.4	3.8	5.2	-2.4	734.2	734.1	733.6	80	67	99	N	1 S	1 S	1	10	10	10	2.1 ● 17-n
18	3.2	4.8	4.6	4.2	-3.6	733.3	732.7	732.5	99	82	80	S	1 S	1 S	0	10	10	10	0.7 ☼ n-10% n (18./19.)
19	1.8	9.8	6.2	5.9	-2.0	733.1	733.3	733.7	91	58	79	N	1 S	1 N	1	7	9	10	
20	5.2	10.0	6.8	7.3	-0.7	733.1	732.4	731.8	89	59	79	N	1 S	1 S	1	10	8	10	
21	3.7	8.2	3.8	5.2	-3.0	733.7	733.5	736.8	25	21	29	NNE	3 ENE	3 NE	2	0	0	0	↗ n-n
22	2.2	9.6	2.4	4.7	-3.6	737.3	737.2	737.8	23	16	22	N	2 NNE	2 N	1	0	0	0	
23	-2.2	11.8	3.2	4.3	-4.1	740.0	738.3	737.3	43	28	64	N	1 S	1 N	1	0	0	0	
24	1.8	7.2	4.4	4.5	-4.1	738.4	738.3	738.2	82	68	81	N	1 S	1 S	1	10	10	10	3.8
25	3.8	6.2	4.2	4.7	-4.0	737.1	735.8	734.2	83	79	94	W	1 E	1 S	1	10	10	10	0.0 ● tra, n (25./26.)
26	2.4	8.2	6.8	5.8	-3.0	731.9	730.6	730.3	97	63	73	W	1 SSE	1 S	1	10	9	9	● tr 15
27	4.8	8.6	6.2	6.5	-2.5	731.6	731.0	730.8	96	87	97	E	1 SSE	1 SSE	0	9	10	10	5.9 ● a mU, 16%-n mU
28	3.9	16.2	9.4	9.8	0.7	730.5	730.2	730.6	97	45	80	N	1 S	1 W	0	9	1	10	
29	7.8	11.2	9.4	9.5	0.3	732.0	732.0	731.3	97	82	87	S	1 SSW	1 W	0	10	10	10	1.1 ☼ 11½-13 mU, 18-18%, *)
30	6.6	19.2	10.4	12.1	2.7	730.8	729.2	730.8	92	42	77	SW	0 S	1 N	1	9	4	1	
31	6.3	21.8	11.4	13.2	3.7	729.8	729.3	730.4	86	17	29	N	1 NNE	3 NNE	2	0	1	0	↘ a-n
Mittel	2.5	10.5	5.3	6.1	—	733.0	732.3	732.7	74	48	63					5.9	4.9	4.0	Summe 17.6

*) 29. ● n (29./30.)

λ = 7° 35', β = 47° 33',
H_b = 317.3 m, G = 0.08 mm

Basel

März 1958
Beobachter: Astronom.-Meteorol. Anstalt

1	-6.0	1.6	-0.7	-1.7	-4.2	735.1	732.7	731.9	83	58	55	S	0 N	1 E	1	0	0	0	☐ ² I
2	-5.5	2.0	0.5	-1.0	-3.6	734.0	734.9	736.3	92	49	85	SW	0 NW	0 SW	0	2	10	10	
3	0.7	3.2	1.7	1.9	-0.8	737.8	739.1	740.6	97	76	93	NW	1 NNW	1 WNW	0	10	10	10	
4	0.8	6.2	0.0	2.3	-0.5	741.7	742.0	741.4	97	66	93	WNW	1 NW	1 SW	0	10	7	0	≡ 7½-9
5	-2.0	12.0	5.3	5.1	2.1	740.1	738.3	737.5	94	36	64	E	0 E	0 WSW	2	1	1	2	☐ ¹ I
6	4.0	7.9	3.1	5.0	1.9	735.2	733.2	733.6	72	59	84	W	0 W	3 WSW	2	8	9	10	0.9 ● 18%-21% mU, ↗ a-n mU
7	1.0	4.1	-0.8	1.4	-1.8	732.7	730.9	730.0	80	59	82	W	2 WNW	1 W	1	6	9	1	0.3 ● 1%-2% mU, * 16%-19, 21%-22
8	-1.0	1.9	0.0	0.1	-3.0	728.6	727.5	725.7	73	67	68	SW	2 W	2 W	0	9	10	7	0.8 * fl 3, 9%-12%, ↗ 16%, ~ I ☒
9	-2.2	0.8	-2.5	-1.3	-4.8	722.6	723.5	724.3	81	71	75	E	1 W	2 SW	1	10	10	3	0.1 * 11%-13% mU, ☐ ¹ I
10	-5.2	-0.3	-2.7	-2.7	-6.3	724.7	725.0	724.6	83	78	90	E	0 WNW	1 W	0	8	7	9	0.0 * fl p, ☐ ¹ I
11	-5.4	-0.9	-3.0	-3.1	-6.8	721.5	722.1	726.3	96	69	100	NW	1 NNE	1 WNW	1	10	10	10	1.3 * fl 13%, 17-18%
12	-4.8	0.4	-3.0	-2.5	-6.4	730.1	732.6	732.7	100	62	77	W	1 W	2 E	1	6*	6	2	1.8 * fl 7%, 8%-10%, ☒
13	-4.6	6.0	6.5	2.6	-1.4	729.5	729.3	726.8	96	72	85	E	2 WSW	2 WSW	3	10*	10	10	11.8 * 6%-10% mU, ● 10%-12, *) ☒
14	2.4	6.2	1.6	3.4	-0.7	729.6	729.9	731.5	82	73	89	WSW	2 W	2 NW	1	8	9	10	0.0 ☼ 18%, ~ I
15	-1.4	3.4	-1.2	0.3	-3.9	732.8	732.8	733.9	92	68	69	NW	1 WNW	1 SW	1	10	7	0	
16	-4.6	6.1	-1.1	0.1	-4.3	734.9	733.8	731.6	81	33	80	E	1 NE	1 W	1	0	4	0	
17	-3.4	5.0	2.2	1.3	-3.2	730.0	729.3	729.3	83	44	62	NW	1 E	2 E	1	7	8	10	1.0
18	-2.0	3.7	0.9	0.9	-3.7	728.9	729.2	730.9	96	71	83	NE	1 N	1 ENE	1	10	7	10	0.0 * 1-2%, 5%-9% ☒
19	-1.9	6.5	3.0	2.5	-2.2	730.8	729.6	728.8	86	76	91	WNW	1 NNW	1 WSW	0	9	9	10	1.4 ● tr 17%, 18%-23
20	-0.9	3.3	0.0	0.8	-4.1	730.4	731.8	734.8	91	58	64	WNW	1 W	1 N	1	10*	9	0	0.0 * 2%-3%, 6%-8%
21	-2.8	1.6	-2.4	-1.2	-6.2	737.3	737.8	739.3	100	64	72	NW	1 NW	2 NNW	1	10	7	10	0.0 * fl 7%-8%, ☐ ¹ I
22	-5.6	2.2	-1.7	-1.7	-6.8	739.4	738.8	738.0	100	50	59	NW	0 ESE	2 ENE	1	3	2	0	
23	-6.6	3.4	-1.6	-1.6	-6.9	736.9	735.8	734.7	100	50	56	WNW	1 ESE	1 ESE	2	0	0	0	☐ ¹ I
24	-3.0	7.2	5.3	3.2	-2.2	731.7	730.1	728.3	64	38	52	ESE	2 ESE	2 E	1	6	8	10	☐ ² I
25	2.9	10.8	5.7	6.5	1.0	726.1	724.5	724.4	54	52	64	E	2 NE	1 W	1	10	9	10	0.0 ● tr 12-12%
26	4.0	11.7	8.8	8.2	2.6	724.6	725.6	726.2	76	71	79	E	1 E	1 SE	1	10	9	9	0.0 ● 8%-8%
27	5.0	10.3	7.5	7.6	1.8	723.8	722.9	723.9	84	84	88	E	1 SSW	1 E	1	5	10	5	6.2 ● 12%-19 mU, 22%-22%
28	5.2	13.9	10.2	9.8	3.9	725.5	726.0	727.5	93	60	76	ESE	2 WNW	2 WSW	1	1	9	7	
29	4.8	16.9	11.0	10.9	4.9	727.3	726.7	725.8	87	46	60	ESE	1 E	1 E	0	7	9	2	⊕ 12
30	5.1	15.8	8.2	9.7	3.5	726.9	727.0	729.0	85	52	86	E	0 NW	1 E	0	2	2	5	1.2 ● 16%-18% mU
31	4.5	9.5	7.9	7.3	1.0	731.4	731.2	730.1	98	77	71	WNW	1 NW	1 NNE	1	10	10	7	0.0 ≡ 3%-10%
Mittel	-0.9	5.9	2.2	2.4	—	731.0	730.8	731.0	87	61	76					6.7	7.3	5.8	Summe 26.8

*) 13. 15%-19% mU, 21%, 24%, ↗ p-n

März 1958
Beobachter: W. Utzinger

Säntis

$\lambda = 9^\circ 21', \beta = 47^\circ 15'$
 $H_b = 2500.1 \text{ m}, G = -0.29 \text{ mm}$

Table with columns: Tag, Lufttemperatur (730, 1330, 2130, Mittel, Abweich. vom Normalst), Luftdruck (730, 1330, 2130), Relative Feuchtigkeit (730, 1330, 2130), Windrichtung und Stärke (730, 1330, 2130), Bewölkung (730, 1330, 2130), Niederschlag, Witterung. Rows 1-31 and Mittel.

*) 3. $\sqrt{n-n}$ 6. $\sqrt{n-n}$ mU 10. 11-17 mU, $\sqrt{n-n}$, 11. $\sqrt{18\frac{1}{2}-n}$ 18. $\sqrt{n-n}$, $\pm 8-12\%$ 26. $11\frac{1}{2}-n$, $\sqrt{n-n}$ 27. $\oplus 9\frac{1}{2}-11$ 28. $\oplus 15\frac{1}{2}-16\frac{1}{2}$

März 1958
Beobachter: E. Chiesa

St. Gotthard (Hospitz)

$\lambda = 8^\circ 34', \beta = 46^\circ 33'$
 $H_b = 2095 \text{ m}, G = -0.27 \text{ mm}$

Table with columns: Tag, Lufttemperatur (730, 1330, 2130, Mittel, Abweich. vom Normalst), Luftdruck (730, 1330, 2130), Relative Feuchtigkeit (730, 1330, 2130), Windrichtung und Stärke (730, 1330, 2130), Bewölkung (730, 1330, 2130), Niederschlag, Witterung. Rows 1-31 and Mittel.

*) 2. $\pm \sqrt{III}$ 11. $\pm 14\frac{1}{2}-n$

$\lambda = 7^{\circ} 26'$, $\beta = 46^{\circ} 57'$,
 $H_b = 572.2$ m, $G = -0.04$ mm

Bern

April 1958
Beobachter: *Meteorologisches Observatorium*

Tag	Lufttemperatur					Luftdruck			Relative Feuchtigkeit			Windrichtung und Stärke			Bewölkung			Niederschlag	Witterung	
	7 ³⁰	13 ³⁰	21 ³⁰	Mittel	Abweich. vom Normalwert	7 ³⁰	13 ³⁰	21 ³⁰	7 ³⁰	13 ³⁰	21 ³⁰	7 ³⁰	13 ³⁰	21 ³⁰	7 ³⁰	13 ³⁰	21 ³⁰			
1	3.6	7.6	5.0	5.4	-0.3	705.8	705.8	707.8	96	71	77	NE 1	NNE 1	NNE 1	10	10	9	.		
2	1.0	9.8	4.7	5.2	-0.6	709.2	708.8	707.2	78	43	50	NNE 1	NNE 1	-	0	8	2	5	0.6	● 18%-23 mU
3	1.0	11.3	5.8	6.0	0.0	705.0	702.2	704.0	89	50	90	NE 1	NE 1	W 2	9	7	10	0.1	() 18%	
4	3.9	11.8	8.3	8.0	1.9	703.8	702.8	701.9	97	60	86	SE 1	WSW 1	-	0	9	6	6	1.5	● 6-6%, * 7-9%, 9%-14 mU
5	4.8	3.2	3.6	3.9	-2.4	703.8	706.2	705.9	73	85	83	WSW 2	SW 1	SE 1	10*	10	10	2.3	● 6%-13, 15%-n mU	
6	1.7	5.1	2.4	3.1	-3.3	705.0	706.0	708.7	100	70	96	NNE 1	NNE 1	W 0	10*	10	10*	3.5	● n-n mU	
7	1.7	3.8	2.7	2.7	-3.9	709.7	710.2	711.0	99	93	97	SE 0	S 0	ESE 0	10*	10*	10*	1.1	● n-2%, * 3%-10% mU, 114%	
8	0.4	2.8	1.7	1.6	-5.1	711.4	711.8	713.1	97	63	73	NE 1	NNE 2	N 0	10*	10	10	2.1	* 4%-6%, 23%-n, () *	
9	0.0	3.2	1.6	1.6	-5.3	714.0	713.9	715.0	95	75	66	SW 1	W 1	SW 1	9	7	9	4.5	* n-1, 5%-11%, 14%-17 mU ()	
10	-0.5	1.9	0.5	0.6	-6.4	714.2	713.2	712.0	99	83	83	WSW 1	SW 1	SW 1	10*	10	9	1.1	* 5%-10%, 17%-22, () 16%-16% ()	
11	-3.0	0.3	-0.8	-1.2	-8.4	710.4	710.1	709.3	95	57	91	NE 1	NE 2	NE 2	10*	10	10*	0.0	* 7%-10%	
12	-0.6	2.4	2.6	1.5	-5.9	707.6	708.1	708.5	89	77	76	NE 2	NE 2	NE 2	10	10	4	.		
13	-0.4	3.0	3.3	2.0	-5.5	708.1	706.8	704.9	92	73	82	NNE 1	NE 2	SE 1	10	10	10	.		
14	1.5	8.8	6.7	5.7	-2.0	701.8	702.6	702.8	91	63	79	NE 1	NE 1	NW 1	10	7	1	.		
15	4.0	8.5	6.1	6.2	-1.7	702.6	702.2	701.4	94	73	96	E 0	N 0	NE 0	10	10	10*	12.3	● 15%-17%, 20-n	
16	3.7	4.6	1.7	3.3	-4.8	700.8	703.6	709.2	99	89	98	SSE 0	NE 0	SW 0	10*	10*	10*	18.1	● n-16, 19-n * 16-19	
17	0.6	3.7	0.9	1.7	-6.6	711.2	712.0	713.5	99	63	93	NE 0	NE 1	ENE 1	10*	9*	8	0.7	● n-3%, * 3%-10%, *) ()	
18	0.7	8.0	3.3	4.0	-4.5	713.9	713.4	714.8	84	44	67	ESE 1	ENE 1	SE 1	7	5	0	.	* 0%-1	
19	2.4	13.2	8.9	8.2	-0.4	716.9	716.6	717.6	67	38	66	SSE 1	SE 1	-	0	10	4	7	.	
20	4.1	16.3	10.3	10.2	1.4	718.6	718.3	718.0	73	35	68	SE 0	N 1	SE 0	1	1	0	.	Δ I	
21	6.3	18.0	12.8	12.4	3.4	718.6	716.6	714.8	77	37	63	SSE 1	NW 1	SSE 1	0	4	2	.		
22	8.6	18.7	10.6	12.6	3.5	712.2	709.1	708.2	74	36	64	SE 1	N 0	NE 2	1	3	10	.		
23	6.2	10.2	6.7	7.7	-1.6	717.8	708.8	710.4	80	54	64	NE 2	NE 3	NE 1	8	5	6	.	☞ a-p	
24	4.0	14.8	10.4	9.7	0.3	712.4	712.7	712.9	90	46	55	N 0	N 1	SW 0	0	0	0	.		
25	6.8	13.9	5.7	8.8	-0.8	713.2	712.8	716.9	78	56	83	SE 1	SW 1	S 0	3	9	7	2.1	● 14-16%	
26	5.4	12.6	10.1	9.4	-0.3	715.7	713.8	712.7	80	44	62	SE 1	SW 2	SW 2	4	4	10	0.4	● 20%-20%, 23%-n	
27	8.8	11.0	5.2	8.3	-1.6	710.2	711.2	713.6	82	95	75	SW 2	SW 1	SW 1	10	10	10	9.6	● n-0%, 3%-23% mU	
28	4.1	9.8	8.0	7.3	-2.7	715.3	715.6	714.9	91	45	69	SE 1	SW 1	SW 2	4	10	10	6.4	● 1%-1%, 20%-n mU	
29	6.8	11.9	7.4	8.7	-1.5	716.7	717.6	718.9	97	53	54	S 1	SE 1	NE 2	10	9	4	.	● n-7% mU	
30	5.8	13.8	11.4	10.3	0.0	719.6	719.5	720.2	59	45	50	NNE 1	NE 2	NE 1	1	0	1	.	Δ I	
Mittel	3.1	8.8	5.6	5.8	-	710.5	710.4	711.0	87	61	75				7.5	7.1	6.9	Summe	66.4	

*) 9. 11%-11%, 12-12%, 12%-13 17. 11%-15%

$\lambda = 6^{\circ} 57'$, $\beta = 47^{\circ} 00'$,
 $H_b = 487.3$ m, $G = 0.00$ mm

Neuchâtel

April 1958
Beobachter: *Observatorium*

1	4.8	8.0	6.4	6.4	-0.1	713.3	713.2	715.6	84	68	67	NNE 1	ENE 2	NE 2	10	10	10	.	
2	1.5	10.7	6.0	6.1	-0.6	717.3	716.7	714.7	79	41	46	NE 0	SSE 1	NNW 1	3	1	3	7.3	● 17%-23, ☞ 18-21
3	2.7	8.6	5.2	5.5	-1.3	712.8	709.5	711.8	67	52	95	NW 1	E 1	SW 2	9	10	10*	0.1	☞ 14-18% mU
4	4.4	12.2	6.9	7.8	0.9	711.1	710.2	709.1	93	62	83	W 0	SSW 1	W 1	9	3	3	3.0	● 7%-12%, 23%-n, ☞ 15-19% mU
5	4.1	8.8	3.4	5.4	-1.7	711.8	713.6	713.3	65	52	62	W 2	SSW 2	W 0	10	9	10	0.3	● n-3, 23%-n
6	2.7	4.9	4.1	3.9	-3.3	712.5	713.8	716.2	86	81	88	NE 0	ESE 1	E 1	10*	10	10	0.6	● n-1%, * a mU, ☞ 15%-20 mU
7	2.5	4.9	4.7	4.0	-3.4	717.2	717.8	718.8	96	90	75	E 1	ESE 1	ENE 1	10	10	10	2.2	* 4%-5%, ☞ 11%-17 mU
8	1.7	3.9	2.8	2.8	-4.7	719.2	719.6	721.1	87	71	57	NE 1	NE 1	NE 1	10	10	10	1.0	* 5%-9%, 15%-16%, *) ()
9	1.2	6.2	2.6	3.3	-4.4	721.9	721.8	723.2	93	44	66	SW 1	W 2	W 1	8	5	10	1.4	* 11-12, 14%-15, ☞ n-n mU
10	-0.1	4.0	1.4	1.8	-6.0	722.2	721.4	720.1	98	73	70	WSW 2	SW 2	W 2	10*	10	8	.	☞ n-n
11	-0.4	1.6	1.4	0.9	-7.1	717.9	718.1	716.6	54	71	60	NNW 3	N 1	NNE 3	3	8	10	0.5	● 3%-n mU
12	1.1	4.1	5.0	3.4	-4.7	715.1	715.7	716.0	75	53	60	NE 3	NE 3	NE 2	10	10	7	.	● n-6
13	1.8	4.5	5.8	4.0	-4.3	715.9	714.4	712.1	75	69	74	NE 2	NE 2	NE 1	10	10	3	.	☞ n-20 mU
14	6.0	9.0	6.6	7.2	-1.2	708.9	709.9	710.3	74	62	72	NE 2	E 1	N 0	10	9	0	.	
15	4.7	9.1	6.6	6.8	-1.8	709.9	709.5	708.6	97	66	91	W 0	S 0	NE 0	10	10	10	.	
16	5.6	6.2	3.2	5.0	-3.8	708.3	711.4	717.0	91	66	98	N 0	N 2	E 0	10*	10*	10*	1.9	● 3%-n mU
17	2.1	5.8	2.3	3.4	-5.5	719.1	719.9	721.6	96	52	80	SE 0	NW 2	N 1	10	8	10	.	
18	0.2	9.5	3.4	4.4	-4.7	721.9	721.6	722.4	98	45	62	NE 1	SSE 1	NW 1	10	1	0	.	
19	2.7	10.6	8.6	7.3	-1.9	724.5	724.7	725.3	78	35	68	NW 0	SSW 1	NE 1	2	10	0	.	
20	4.8	16.3	10.3	10.5	1.1	726.6	726.2	725.4	87	42	60	NNE 1	ESE 1	S 1	1	1	0	.	
21	6.6	19.3	16.3	14.1	4.5	726.2	724.2	722.0	85	36	34	S 1	S 1	N 2	0	1	0	.	
22	8.0	19.0	11.4	12.8	3.1	719.7	716.6	715.6	82	40	60	N 1	S 1	NE 1	0	5	10	.	☞ 15-19%, 22%-n
23	6.9	13.2	8.5	9.5	-0.4	715.3	716.1	718.3	72	44	56	NE 3	NE 3	NE 2	8	1	3	.	☞ n-24
24	5.4	15.5	11.5	10.8	0.8	720.0	720.4	720.6	73	39	41	NE 1	SSE 1	SSE 1	0	0	0	.	
25	5.9	11.3	6.8	8.0	-2.2	720.7	720.7	724.5	88	58	70	SE 1	W 3	W 1	2	10	2	0.2	● 19%, ☞ 9%-18
26	4.7	10.7	10.3	8.6	-1.8	723.3	721.8	720.5	89	59	63	W 1	SW 2	SW 2	5	10	10	0.2	☞ p mU
27	8.0	9.1	5.3	7.5	-3.0	718.2	718.7	721.3	86	70	77	SSW 3	SSW 2	SSW 1	10*	10	10	5.2	● 6%-11%, 19%-21%, ☞ n-p
28	5.4	13.0	8.3	8.9	-1.8	722.9	723.3	722.8	88	45	82	SW 1	S 2	WSW 2	6	4	10*	4.3	● 0-1, 21%-n
29	7.1	11.1	9.4	9.2	-1.6	724.2	725.1	726.4	97	68	50	NE 1	SE 1	NNE 2	10	10	0	0.3	● n-7, 11%
30	7.1	15.6	12.3	11.7	0.7	726.9	727.4	727.7	72	41	48	NE 3	ENE 2	NE 2	1	0	0	.	☞ n-n mU
Mittel	4.0	9.6	6.6	6.7	-	718.2	718.1	718.6	83	57	67				6.9	6.8	6.0	Summe	28.5

*) 10. ☞ 19-n mU

April 1958

Beobachter: Frl. H. Nager

Aldorf

λ = 8° 38', β = 46° 53'

H_b = 456.3 m, G = -0.08 mm

Table with columns: Tag, Lufttemperatur (7:30, 13:30, 21:30, Mittel, Abweich. von Normalst), Luftdruck (7:30, 13:30, 21:30), Relative Feuchtigkeit (7:30, 13:30, 21:30), Windrichtung und Stärke (7:30, 13:30, 21:30), Bewölkung (7:30, 13:30, 21:30), Niederschlag, Witterung. Rows 1-30 and Mittel.

April 1958

Beobachter: Observatoire

Genève

λ = 6° 09', β = 46° 12'

H_b = 405.0 m, G = -0.05 mm

Table with columns: Tag, Lufttemperatur (7:30, 13:30, 21:30, Mittel, Abweich. von Normalst), Luftdruck (7:30, 13:30, 21:30), Relative Feuchtigkeit (7:30, 13:30, 21:30), Windrichtung und Stärke (7:30, 13:30, 21:30), Bewölkung (7:30, 13:30, 21:30), Niederschlag, Witterung. Rows 1-30 and Mittel.

λ = 8° 34', β = 47° 23',
H_b = 569.4 m, G = -0.01 mm

Zürich

April 1958
Beobachter: Meteorologische Zentralanstalt

Tag	Lufttemperatur					Luftdruck			Relative Feuchtigkeit			Windrichtung und Stärke			Bewölkung			Niederschlag	Witterung
	7 ³⁰	13 ³⁰	21 ³⁰	Mittel	Abweich. vom Normalst	7 ³⁰	13 ³⁰	21 ³⁰	7 ³⁰	13 ³⁰	21 ³⁰	7 ³⁰	13 ³⁰	21 ³⁰	7 ³⁰	13 ³⁰	21 ³⁰		
1	2.2	6.7	3.9	4.3	-1.2	706.1	706.3	708.7	93	68	68	NE 2	NNE 2	NE 1	10	9	10	Δ I	
2	0.2	9.4	4.2	4.6	-1.1	709.7	709.1	707.6	76	45	50	E 1	SW 1	NE 1	1	1	0	Δ I, Δ III	
3	1.7	10.4	7.7	6.6	0.8	705.4	702.2	704.0	81	57	72	NE 1	NE 2	SW 2	9	9	10	Δ I, Δ 17-19	
4	5.1	14.7	9.4	9.7	3.7	703.6	702.3	701.5	87	48	68	NW 0	NW 1	WSW 0	7	6	9	● 22½-23½, Δ I	
5	5.6	3.9	2.4	4.0	-2.1	703.0	706.0	706.3	96	76	92	WNW 1	WSW 1	SSE 1	10*	10	10	● 7-8%, ● * 8½-10	
6	1.7	3.4	1.7	2.3	-4.0	704.9	706.3	708.7	91	82	99	NE 1	WNW 1	S 1	10	10*	10*	● tr fr, tr 12-17%, 17½-n, * 8½-12, ● n-1%, 5½-8%, ● * 11½-12%, 15-n	
7	1.8	2.5	1.5	1.9	-4.5	709.5	710.2	711.5	96	94	95	SSW 1	SSW 1	NNE 1	10*	10	10*	* n-2%, 11½-13½, fl p	
8	1.4	2.1	0.5	1.3	-5.3	711.5	712.0	713.2	86	77	87	NNE 1	WNW 1	ENE 0	9	10*	10	* 5-6%, fl n, 11-11½, *)	
9	-0.1	4.1	1.1	1.7	-5.0	713.6	713.6	714.7	91	73	75	WSW 1	SSW 2	SSW 1	10	9	10	* 4½-9½, fl n-p, 16½-20, *)	
10	-0.7	2.9	-0.1	0.7	-6.2	713.2	712.7	711.5	98	65	84	WSW 2	SSW 2	W 1	10*	10*	9	* 1½-5%, fl a	
11	-1.9	1.8	0.3	0.1	-6.9	710.7	710.3	709.7	80	62	67	NNE 1	ENE 2	NE 1	10	10	3	* fl, früh, Δ 13-18 mU	
12	0.0	5.6	3.1	2.9	-4.3	708.6	708.7	709.0	78	61	75	NE 1	NNE 2	NE 2	10	8	0	Δ I, Δ III	
13	-0.2	7.0	6.6	4.5	-2.8	708.8	707.3	705.0	88	61	70	NNE 1	ENE 2	NE 1	10	9	9	● 16½-n, ≡ p-n, Δ I	
14	3.9	10.0	7.5	7.1	-0.4	702.4	701.7	702.3	84	62	80	NE 2	NE 2	ENE 1	10	3	9	● n-13%, ● * 13½-16, *)	
15	4.6	6.9	5.7	5.7	-1.9	702.4	701.9	700.7	88	83	97	NW 1	WSW 1	SSW 1	10	10	10*	* n-19% mU, ≡ n-6½, Δ III	
16	3.6	3.4	0.4	2.5	-5.3	700.0	703.2	709.2	97	89	96	SSW 1	NNW 1	WNW 1	10*	10*	10*	Δ I, III	
17	0.3	2.5	0.4	1.1	-6.8	711.4	712.3	714.0	90	73	95	NNE 1	NE 1	SSW 0	10*	10*	10	● 23½-n, Δ I	
18	1.0	5.2	2.8	3.0	-5.1	714.1	713.9	715.1	81	57	64	WSW 1	ENE 1	SE 1	9	7	0	* n-2½, Δ III	
19	2.8	12.0	7.5	7.4	-0.8	716.4	716.7	718.3	72	46	77	SSW 1	S 1	N 1	9	8	9	Δ I, III	
20	5.3	16.6	10.3	10.7	-2.3	718.9	718.2	718.1	73	43	59	S 1	SW 1	SSW 1	1	1	0	Δ I, III	
21	8.8	18.5	12.2	13.2	4.7	718.1	716.3	714.5	66	44	63	SSW 1	WSW 2	SSW 1	1	3	1	● 14½-15½, Δ I, Δ 13-16% mU	
22	9.5	18.3	8.7	12.2	3.5	712.0	709.4	709.3	74	47	67	ESE 0	WNW 1	NE 2	2	3	10	● tr 17½-18½, ● 6½, 13% mU, 22-24, Δ n-17½ mU	
23	5.0	9.4	5.7	6.7	-2.1	708.9	709.8	711.4	84	55	61	NNE 1	NE 2	NE 2	10	9	0	● n-2½, Δ III	
24	4.0	14.0	9.8	9.3	0.3	712.6	712.8	713.1	76	41	49	NE 1	NNE 1	NNE 1	0	0	0	Δ I, Δ III	
25	7.1	15.5	6.0	9.5	0.4	712.7	712.0	717.0	75	47	89	SSE 1	WSW 2	SSW 1	1	9	10	● 14½-15½, Δ I, Δ 13-16% mU	
26	6.7	13.1	10.1	10.0	0.8	715.4	713.2	712.2	70	46	59	SSW 1	SW 2	SSW 2	4	9	10	● tr 17½-18½, ● 6½, 13% mU, 22-24, Δ n-17½ mU	
27	9.2	6.8	6.1	7.4	-2.0	709.3	710.4	712.9	72	83	66	WSW 3	SSW 2	WSW 1	10*	10*	10	● 10-10%, ● 21½-23½, Δ 18½-24½	
28	4.2	9.3	6.7	6.7	-2.8	714.7	715.0	714.7	80	58	79	SSW 1	SSW 2	SW 2	6	7	10*	● 0-4½ mU, Δ a	
29	6.7	12.4	7.1	8.7	-0.9	716.4	717.4	720.0	90	58	78	S 1	SW 1	N 1	0	10	9		
30	5.0	13.9	9.7	9.5	-0.3	720.3	720.6	721.3	83	45	60	NNE 1	NE 2	ENE 2	3	1	0		
Mittel	3.5	8.7	5.3	5.8	-	710.5	710.4	711.2	83	62	74				7.4	7.3	6.9	Summe 111.9	

*) 9. 14½-14½, fl p 10. ≡ n-a, Δ 3½-16 mU, 16. * 16-n, ≡ 6½-11½

λ = 6° 32', β = 46° 51',
H_b = 1601 m, G = -0.16 mm

Chasseron

April 1958
Beobachter: J. Liardon

1	1.4	3.0	-2.0	1.0	-	622.1	622.5	623.4	77	79	100	W 2	NNW 3	C 0	2	8	8	9.7	* a-p mU, Δ 13½
2	-1.8	1.0	-2.3	-1.0	-	624.9	625.3	624.3	82	68	55	C 0	E 3	E 1	3	4	4	22.0	● 16-16½, * 16½-n, ≡ p-n
3	-1.0	2.2	-1.2	0.0	-	621.4	619.6	620.6	72	64	100	SE 2	SSE 2	WSW 4	10	9	10*	1.8	* n (1/5), ≡ 8½-14½, Δ n-n
4	-1.2	-0.2	0.2	-0.4	-	620.1	620.0	619.4	100	100	82	S 4	S 4	S 4	8	10*	6	3.8	* a-p mU n (3/6), ≡ n-11, *)
5	-6.0	-4.6	-4.4	-5.0	-	619.4	621.7	621.7	100	100	56	NNW 4	W 2	SSW 2	10*	10*	3	9.5	* n-p, ≡ n-n, Δ p-n
6	-5.2	-4.0	-4.4	-4.5	-	620.4	621.5	623.6	100	100	100	WNW 1	NW 3	NNW 4	10*	10*	10*	2.5	* n-n mU, ≡ 2, Δ n-n
7	-2.8	-1.7	-4.2	-2.9	-	625.0	625.7	626.0	100	100	100	NNW 4	NW 4	NW 4	10*	10*	10*	2.5	* ≡ n-n
8	-6.2	-4.2	-7.0	-5.8	-	626.0	626.5	627.5	100	100	100	NW 2	NNW 2	N 2	10*	10*	10*	5.5	* ≡ n-n
9	-7.8	-5.5	-7.6	-7.0	-	627.5	628.0	629.1	100	100	100	NNW 2	NW 2	NW 2	10*	10*	10*	22.6	* ≡ n-n, Δ t
10	-6.4	-3.6	-6.5	-5.5	-	628.3	627.8	625.7	100	100	100	NW 3	N 3	WNW 3	10*	10*	10*	4.2	* ≡ n-n mU, ≡ n-n, Δ n-a
11	-10.0	-6.6	-8.6	-8.4	-	623.9	624.1	623.7	100	100	100	NW 3	N 2	E 3	10*	8*	10*		≡ p mU, Δ p-n
12	-8.0	-4.4	-5.4	-5.9	-	621.2	622.7	623.2	100	100	100	E 5	E 3	E 2	10*	10*	10*	9.6	≡ n-n
13	-4.2	-2.4	-1.6	-2.7	-	622.9	622.3	621.4	100	74	100	E 2	E 3	E 4	5	8	8	9.4	* ≡ n-15%, Δ p-n
14	-0.4	0.6	0.5	0.2	-	618.5	619.8	620.4	82	90	76	E 2	NW 2	N 1	10	8	5	3.0	* n (17/18)
15	-0.4	0.0	-0.7	-0.4	-	619.1	619.5	618.7	100	100	100	C 0	NW 2	NW 2	10	10*	10*		
16	-2.6	-3.1	-4.8	-3.5	-	617.6	620.1	623.6	100	100	100	NW 3	WNW 3	N 4	10*	10*	7		
17	-4.8	-1.6	-4.0	-3.5	-	627.9	628.9	630.0	100	100	100	E 2	NNW 1	N 1	3	5	3		
18	-4.8	-1.6	-4.0	-3.5	-	627.9	628.9	630.0	100	100	100	E 2	NNW 1	N 1	3	5	3		
19	-0.4	0.6	1.0	0.4	-	631.4	633.2	633.2	86	86	100	N 2	NW 1	ENE 2	4	10	6		
20	2.6	5.6	4.8	4.3	-	634.4	635.4	635.5	68	62	80	E 1	ESE 1	C 0	2	3	4		
21	5.2	8.4	6.5	6.7	-	635.0	634.7	633.2	72	63	64	WNW 1	S 1	NNW 2	2	5	5		
22	7.0	8.0	3.2	6.1	-	629.8	628.0	626.0	62	58	92	NW 1	NNW 2	NNE 2	2	6	6		
23	-2.0	1.2	-1.0	-0.6	-	623.5	625.5	626.1	100	65	84	E 3	E 3	E 3	10*	4	4		
24	2.2	6.5	4.5	4.4	-	628.2	630.2	631.0	62	58	50	E 3	W 2	N 2	2	2	0		
25	1.4	-0.4	-1.4	-0.1	-	629.8	629.3	631.8	76	100	100	W 3	NW 4	NW 4	7	10*	10*	5.6	* 12½-13, ≡ 12½-n, Δ n-n mU
26	-2.2	-0.2	0.6	-0.6	-	630.8	630.5	629.5	100	95	100	W 3	W 3	SW 4	10*	10*	10*	2.8	* n (26/27), ≡ n-a mU, *)
27	0.0	-0.8	-2.8	-1.2	-	626.3	627.0	628.6	100	100	100	W 5	NW 5	NW 5	10*	10*	10*	25.6	* 14-n, ≡ n-n mU, Δ n-n
28	-3.2	-0.8	0.6	-1.1	-	629.8	631.6	630.8	100	100	100	NNW 3	W 2	W 3	10*	7	10*	12.8	* fl 9%, Δ 19%, ≡ n-12, 19-n
29	0.4	1.7	0.4	0.8	-	632.9	633.9	634.2	100	100	100	NNW 2	N 2	N 2	10*	10	3		
30	-1.7	4.1	3.4	1.9	-	633.7	636.0	636.2	100	64	65	E 4	E 3	E 3	0	2	1		
Mittel	-2.1	-0.1	-1.6	-1.3	-	626.0	626.7	627.0	91	88	90				7.1	7.8	6.9	Summe 152.9	*) 5. 11-15% mU, Δ n-a 26. 17-n, Δ p-n

April 1958

Beobachter: G. Castelli, H. Eisenhut, P. Bresser

Bever

$\lambda = 9^\circ 53'$, $\beta = 46^\circ 33'$,

$H_b = 1711.8$ m, $G = -0.26$ mm

Tag	Lufttemperatur					Luftdruck			Relative Feuchtigkeit			Windrichtung und Stärke			Bewölkung			Niederschlag	Witterung			
	7 ³⁰	13 ³⁰	21 ³⁰	Mittel	Abweich. vom Normalst.	7 ³⁰	13 ³⁰	21 ³⁰	7 ³⁰	13 ³⁰	21 ³⁰	7 ³⁰	13 ³⁰	21 ³⁰	7 ³⁰	13 ³⁰	21 ³⁰					
1	-9.4	4.4	-1.0	-2.0	-0.4	613.5	612.7	614.9	92	49	100	SW	0	SW	0	0	0	8				
2	-4.5	4.0	-1.3	-0.6	0.9	615.0	614.5	615.7	100	51	89	SW	0	SW	2	0	6	4	7	0.0	* fl 17-17½ n (2./3.)	
3	-1.4	1.2	0.9	0.2	1.5	615.7	615.0	615.3	96	54	90	SW	0	SW	0	SW	1	10*	8	10	20.0	* n-11, 21-n mU
4	-1.5	0.5	-1.2	-0.7	0.5	613.1	612.7	611.1	92	95	90	SW	0	W	0	W	0	10*	10	10	4.9	* n-16 mU
5	-6.7	3.8	1.3	-0.5	0.5	612.1	610.7	611.4	96	49	94	NW	0	NW	1	NW	0	10	8	10	4.9	* 17-n mU
6	-3.7	-2.0	-3.5	-3.1	-2.2	609.6	610.2	612.1	89	70	70	E	0	W	2	W	2	10	10	10	1.0	* 14½-n mU, † 12-n
7	-4.5	0.1	-2.4	-2.3	-1.6	614.5	614.6	616.0	80	60	79	SW	0	N	1	NE	0	10	10	10	0.1	* fl 12½-p mU
8	-6.1	-1.6	-7.0	-4.9	-4.3	614.7	614.9	615.7	85	59	70	SW	0	NW	0	W	0	10	10	10	0.0	* 13-13½
9	-9.0	-3.3	-6.5	-6.3	-5.9	616.9	617.0	617.9	75	50	80	SW	0	SE	0	SW	1	9	10	10		
10	-12.0	-3.0	-7.6	-7.5	-7.2	617.2	617.0	615.7	82	52	92	SW	0	NW	2	NW	0	5	10	8		
11	-13.0	-2.0	-7.4	-7.5	-7.4	613.7	613.0	613.9	95	40	93	SW	0	NE	1	NE	0	4	10	10	2.9	* 17-n mU, † 20-n
12	-7.2	-2.3	-7.0	-5.5	-5.6	614.4	613.8	617.0	95	56	80	NE	1	SW	0	SW	0	10	10	2		* früh
13	-4.6	4.0	0.8	0.1	0.1	615.7	615.6	614.5	95	55	70	NE	0	NE	1	NE	2	10*	10	10	0.0	* fl a
14	-0.6	4.2	0.7	1.4	1.0	612.0	612.7	613.6	100	75	74	NW	1	SW	1	SW	0	10*	10	10	1.0	* 6-12, 22-n
15	-0.2	4.0	0.0	1.3	0.7	610.3	609.1	607.9	90	55	99	SW	0	SW	0	NE	0	10	10	10*	10.0	* n-6, 11-n mU
16	-1.8	-0.8	-1.4	-1.3	-2.0	606.1	608.8	612.6	100	90	65	SW	0	SW	0	N	0	10	10	10*	13.4	* n-n mU, † 19-20
17	-3.4	-2.9	-6.0	-4.1	-5.0	614.6	615.0	617.2	74	69	80	NW	0	NW	0	SW	1	10*	10	10	0.6	* n-a
18	-7.0	-1.6	-6.4	-5.0	-6.1	617.1	617.8	620.2	86	50	80	E	0	SW	1	SW	1	10	4	2		
19	-14.6	2.5	-2.0	-4.7	-6.0	621.6	622.4	624.4	95	52	61	SW	0	SW	0	SW	0	1	7	0		
20	-9.5	7.0	-2.1	-1.5	-2.9	625.4	626.0	626.7	95	39	78	SW	0	SW	0	SW	0	0	0	0		
21	-6.2	10.0	-0.8	1.0	-0.6	626.0	624.7	624.0	92	34	81	SW	0	SW	0	SW	0	0	4	2		
22	-5.4	10.0	1.6	2.1	0.3	620.9	618.1	616.0	93	31	76	SW	0	SW	0	SW	0	0	0	0	2.1	* n (22./23.)
23	-1.7	3.2	-1.0	0.2	-1.8	614.3	614.4	617.5	94	54	75	E	0	SW	0	SW	0	10	7	5		
24	-8.0	7.2	-0.4	-0.4	-2.6	619.8	620.1	621.8	80	30	65	SW	0	SW	1	SW	0	0	0	0		
25	-6.0	6.1	2.2	0.8	-1.5	621.4	619.9	620.7	79	59	79	SW	0	SW	1	N	2	0	9	10*	0.0	* 21-n
26	-3.6	5.8	0.4	0.9	-1.6	621.7	619.7	620.7	93	40	75	NW	0	SW	1	NW	0	2	4	0		
27	-3.0	4.0	-0.7	2.1	-0.6	617.9	616.5	617.5	81	71	86	N	2	SW	3	NE	2	10	10	9*	1.5	* 18-n, † a-n
28	-4.0	0.2	-3.2	-2.3	-5.2	618.6	620.3	620.9	97	49	97	E	1	W	0	E	0	10*	9	10*	3.6	* n-10, 20-n
29	-0.3	3.2	0.1	1.0	-2.1	621.2	623.1	624.9	91	52	67	S	0	NE	1	NW	0	10*	10	7	0.0	* n-6, fl 6-a
30	-5.2	8.0	0.2	1.0	-2.3	626.0	626.2	628.5	88	36	75	SW	0	NW	2	SW	0	0	0	0		
Mittel	-5.3	2.5	-2.0	-1.6	—	616.7	616.6	617.5	90	54	80							6.6	7.1	6.7	Summe	66.0

April 1958

Beobachter: Couvent des Capucins

Sion

$\lambda = 7^\circ 22'$, $\beta = 46^\circ 14'$,

$H_b = 548.6$ m, $G = -0.14$ mm

1	4.4	14.2	6.8	8.5	0.6	708.5	706.8	709.7	78	55	94	ENE	0	SW	2	WNW	2	0	5	10	0.7	● 19½-20%, Δ I
2	4.6	12.8	6.4	7.9	-0.2	711.5	710.7	710.4	92	49	55	W	0	WSW	1	ENE	0	8	1	1		● Δ I
3	4.8	15.6	9.8	10.1	1.9	709.1	706.2	706.8	73	39	60	ENE	0	E	4	ENE	3	10	1	9	0.1	● a-n, † II, Δ I
4	6.7	15.7	8.9	10.4	2.0	707.3	704.8	704.9	88	49	84	NNW	0	SE	1	W	0	10	6	8	0.4	● 0%-1½, 7%-8%, Δ I
5	6.8	5.8	4.2	5.6	-2.9	705.9	708.6	708.9	78	80	85	W	1	WSW	1	WSW	0	5	10	10	0.2	● 11%-12%
6	2.8	8.2	4.2	5.1	-3.6	707.3	707.7	709.9	100	70	80	WSW	1	W	1	W	2	10*	10	2	0.3	● * 7-8%
7	3.3	11.8	6.2	7.1	-1.7	712.9	711.5	712.1	85	55	83	W	0	W	1	W	1	8	5	2		
8	4.4	9.8	3.6	5.9	-3.1	712.1	711.7	714.6	87	50	70	W	0	W	2	W	2	6	4	1		
9	3.2	10.0	2.8	5.3	-3.8	716.3	715.8	717.0	70	39	70	W	1	W	1	W	1	7	6	3		
10	4.8	8.6	3.8	5.7	-3.6	716.9	715.4	714.3	72	49	75	W	1	W	1	WSW	2	9	10	10		
11	0.3	4.6	0.4	1.8	-7.6	711.9	710.6	711.0	82	56	75	WSW	2	WSW	2	W	0	10	1			
12	-0.6	8.6	5.0	4.3	-5.3	710.1	709.4	711.1	90	45	53	WSW	0	E	2	NE	0	4	9	0		● 11
13	4.2	11.2	5.0	6.8	-2.9	710.5	707.9	707.3	63	55	85	NE	0	S	2	W	1	10	8	1		● 8-p
14	10.0	14.2	9.2	11.1	1.2	704.5	704.5	705.8	68	49	65	WNW	1	ENE	4	ENE	1	8	2	5	5.1	● 17%-20%
15	5.8	10.2	6.0	7.3	-2.7	705.7	704.8	703.8	80	67	98	NE	1	NE	0	W	0	10	10	10		● 1½-7%, 8%-10
16	5.1	8.8	4.2	6.1	-4.1	702.7	703.8	710.2	97	77	85	W	1	W	1	W	1	10	10	2	0.3	● Δ I
17	3.6	8.2	4.4	5.4	-4.9	712.4	712.4	715.1	89	60	65	W	1	W	2	W	2	5	3	6		● Δ I
18	2.2	11.6	5.0	6.3	-4.2	716.3	715.1	717.0	75	36	60	NW	0	SE	1	W	1	1	2	0		● Δ I
19	2.4	13.9	8.4	8.2	-2.4	719.7	718.2	719.8	75	38	61	NE	0	W	1	NW	0	0	0	0		● Δ I
20	5.6	18.0	11.4	11.7	0.9	721.8	719.8	720.6	76	36	56	NE	0	E	0	NW	0	0	0	0		
21	8.2	20.7	13.5	14.1	3.2	721.5	718.5	717.4	73	39	52	NE	0	NE	0	NW	0	0	0	0		
22	8.4	20.7	13.5	14.2	3.1	715.8	711.2	709.3	73	37	56	NE	0	WSW	1	W	0	0	0	0		
23	8.9	17.8	10.2	12.3	1.1	709.0	708.0	712.1	91	50	58	W	0	WSW	1	NE	0	8	4	1	0.0	▽ 5
24	7.1	17.4	11.2	11.9	0.5	715.2	714.4	715.4	73	44	58	NNE	0	WSW	1	NE	0	0	0	0		
25	8.9	17.8	8.5	11.7	0.2	716.5	714.5	718.8	68	40	71	NE	0	W	2	W	1	1	9	4		● 14½-17
26	6.9	16.8	9.9	11.2	-0.5	718.9	716.3	716.0	74	42	70	NE	0	SW	1	W	1	2	2	9		
27	-8.7	16.6	8.6	11.3	-0.5	714.7	712.4	714.7	80	44	75	SW	0	WSW	1	NW	3	9	8	10*	1.0	● tr 2½
28	-5.0	13.2	9.7	9.3	-2.7	717.1	717.6	717.5	95	38	65	NW	1	W	0	WSW	2	9*	1	10*	2.3	● 0%-1%, tr 7%, 21½-n mU
29	8.2	17.6	10.3	12.0	-0.1	718.0	717.8	718.5	90	50	70	W	0	W	1	W	0	8	3	0		● n-3% mU
30	7.6	18.2	12.2	12.7	0.4	720.6	719.9	721.4	74	50	70	NE	0	WSW	1	NW	1	0	0	0		
Mittel	5.4	13.3	7.4	8.7	-	713.0	711.9	713.0	80	50	70							5.6	4.6	3.8	Summe	10.4

λ = 8° 58', β = 46° 00',
H_b = 276.2 m, G = -0.04 mm

Lugano

April 1958
Beobachter: G. Vicari

Tag	Lufttemperatur					Luftdruck			Relative Feuchtigkeit			Windrichtung und Stärke			Bewölkung			Niederschlag	Witterung	
	7 ³⁰	13 ³⁰	21 ³⁰	Mittel	Abweich. vom Normalst.	7 ³⁰	13 ³⁰	21 ³⁰	7 ³⁰	13 ³⁰	21 ³⁰	7 ³⁰	13 ³⁰	21 ³⁰	7 ³⁰	13 ³⁰	21 ³⁰			
1	6.4	17.2	8.8	10.8	1.1	731.3	730.6	730.5	78	46	79	N	1	S	1	1	6	10	3.1	K, 18%-18%, ● n (1./2.)
2	7.2	10.4	7.8	8.5	-1.3	734.4	735.1	735.0	98	65	90	S	1	SE	1	10	9	10	0.6	7-8 mU, (2./3.)
3	6.4	7.6	5.8	6.6	-3.4	736.3	736.8	734.2	98	95	99	SSW	1	S	0	10	10	49.9	● n-n mU	
4	4.6	6.4	6.8	5.9	-4.2	732.3	731.3	729.2	97	98	94	WNW	0	N	1	10	10	16.6	7-7%, 20%-21%, ● 7½-13%	
5	6.2	8.0	6.4	6.9	-3.3	730.6	729.4	729.5	97	95	96	SW	1	WSW	1	9	10	41.8	● 12-18%, 18%-n mU	
6	3.2	8.4	8.2	6.6	-3.8	728.6	728.3	729.6	96	73	61	SSE	1	SSE	1	10	9	10	4.7	● n-11%, tr 18%-19
7	5.2	13.2	10.4	9.6	-0.9	732.3	731.1	732.2	86	52	31	N	1	S	1	8	9	3	.	
8	6.8	16.2	5.8	9.6	-1.0	733.6	732.4	734.8	79	23	88	N	1	NE	2	1	3	2	.	
9	7.2	14.4	7.4	9.7	-1.1	736.7	736.7	737.2	32	21	29	N	2	NNE	1	1	2	0	.	
10	4.2	13.2	6.8	8.1	-2.8	738.1	735.8	735.7	46	32	55	N	1	S	1	0	6	0	.	
11	3.6	5.2	3.2	4.0	-7.1	734.0	733.4	733.6	72	81	98	N	1	W	1	8	10	10	6.0	13-13%, * n p. *)
12	2.0	5.8	3.2	3.7	-7.5	735.3	736.9	737.5	99	85	95	ESE	0	SSW	1	10	10	10	3.6	● n-n mU, * n a
13	4.6	6.8	6.3	5.9	-5.4	735.3	734.3	733.6	96	94	97	W	1	S	1	10	10	10	30.6	● n-n mU
14	5.4	7.6	6.2	6.4	-5.1	732.0	733.0	732.0	98	91	96	N	1	E	1	10	10	10	37.6	● n-14, n (11./15.), * p
15	5.2	8.8	6.4	6.8	-4.8	728.8	727.2	725.5	98	82	90	S	1	S	1	10	10	10	15.0	● n-n mU
16	4.4	6.4	5.2	5.3	-6.4	725.5	727.8	729.0	97	85	71	S	1	S	1	10	10	0	9.0	● n-14
17	9.4	13.4	8.2	10.3	-1.6	730.4	732.4	734.4	33	25	28	N	2	NNE	2	3	8	0	.	
18	7.8	15.4	7.8	10.3	-1.8	735.6	736.1	737.8	25	28	84	N	2	SSE	2	1	3	0	.	
19	4.2	16.4	9.6	10.1	-2.1	740.0	740.3	741.1	71	45	68	N	1	S	1	0	0	0	.	
20	5.8	20.8	13.2	13.3	1.0	744.9	744.2	744.3	80	33	51	N	1	S	1	0	1	0	.	
21	7.4	20.6	12.8	13.6	1.1	744.3	742.0	740.2	81	45	68	N	1	SSE	1	0	0	0	.	
22	8.2	19.2	14.2	13.9	1.3	738.8	734.9	730.9	85	52	63	NNW	1	S	1	0	1	9	5.4	● n (22./23.)
23	9.2	13.2	9.4	10.6	-2.1	731.0	732.0	735.5	98	54	92	W	1	E	2	1	10	10	0.1	● n-7%
24	7.4	18.8	12.4	12.9	0.0	738.2	737.4	739.4	83	45	69	N	1	S	1	0	1	10	.	
25	10.8	16.2	10.4	12.5	-0.5	739.9	738.1	739.4	84	51	81	N	1	S	1	10	9	10	4.3	● 21-22%
26	9.2	20.2	13.4	14.3	1.2	739.4	738.5	738.6	73	35	64	S	1	SSW	1	3	4	5	.	
27	9.8	16.0	13.6	13.1	-0.2	736.9	735.0	733.3	94	55	76	NE	1	S	1	7	9	9	.	
28	11.2	17.8	12.4	13.8	0.4	736.8	737.7	737.5	34	21	30	NNE	2	ENE	2	1	1	0	.	
29	7.8	22.2	15.8	15.3	1.8	738.5	737.3	740.9	73	32	30	N	1	E	2	0	1	0	.	
30	9.4	20.8	15.4	15.2	1.5	744.1	743.4	745.2	64	44	60	S	1	S	2	0	0	0	.	
Mittel	6.7	13.5	9.1	9.8	—	735.5	735.0	735.2	78	56	71					5.1	6.0	5.6	228.3	

*) 11. ● 16-17%, ● n (11./13.)

λ = 7° 35', β = 47° 33',
H_b = 317.3 m, G = 0.08 mm

Basel

April 1958
Beobachter: Astronom.-Meteorol. Anstalt

1	1.5	7.6	6.8	5.3	—	729.3	729.5	731.5	87	64	60	NW	1	NW	1	10	8	9	0.0	● tr 20
2	-0.6	10.0	3.3	4.2	—	733.3	732.8	730.7	83	46	56	SSW	0	NW	1	0	1	2	2.4	● 13%, 19-21%
3	0.8	7.2	5.9	4.6	—	728.4	726.0	726.7	76	55	91	SE	0	NW	1	9	10	10	.	
4	6.0	15.1	8.7	9.9	—	725.7	724.7	723.9	82	50	64	E	2	E	1	8	8	4	.	
5	5.0	5.1	4.2	4.8	—	726.8	729.1	729.2	71	60	68	W	2	WNW	1	10	10	10	0.0	● tr 14%, * 6
6	1.9	4.3	2.4	2.9	—	728.6	729.7	732.0	92	86	90	NW	1	NW	1	10	10	10	12.9	● * 7½-11%, ● 11½-13, 18%-n
7	2.2	4.0	3.2	3.1	—	732.4	733.2	734.2	98	97	90	SE	0	NW	1	10	10	10	3.1	● n-8% mU, 11½-15%, 18%-20%
8	1.7	6.1	1.6	3.1	—	734.8	734.8	736.2	90	48	85	NW	1	NW	2	9	7	9	0.5	● 0%-4% mU
9	1.6	3.1	2.5	2.4	—	736.7	737.3	737.9	87	77	76	W	1	NNE	1	10	8	10	0.2	* 3½-5%, 10
10	1.7	6.4	1.3	3.1	—	736.7	735.7	735.1	92	51	77	WNW	2	W	2	10	9	10	2.2	● * 1½-5%, 13%, * 6½-6%, * 7½, p
11	-0.5	2.2	0.5	0.7	—	734.2	734.0	734.1	93	84	89	WNW	2	W	2	4	9	10	2.7	* 0-8% mU, 10%-11%, 13%-19 mU, ☒
12	0.5	4.8	3.6	3.0	—	732.9	732.7	732.7	79	56	72	S	1	NNW	2	1	10	10	.	
13	-1.5	7.0	4.7	3.4	—	732.6	731.1	728.5	92	64	76	N	1	ENE	1	1	10	4	.	
14	2.9	9.2	5.3	5.8	—	726.1	725.5	725.7	86	67	85	WNW	1	NNW	0	10	9	0	.	
15	5.6	9.1	6.0	6.9	—	725.7	725.1	723.9	87	76	93	NW	1	W	1	10	10	10	3.0	● 22%-24%
16	6.1	4.0	1.9	4.0	—	723.7	727.4	732.4	93	93	97	SSW	0	W	1	10	10	10	11.4	● 5-8, 13-n, * 10
17	1.1	6.8	1.7	3.2	—	734.9	735.4	736.5	95	50	92	NW	1	N	1	10	8	10	0.0	● * n-5, * 5-8, fl 10%
18	1.0	11.6	4.6	5.7	—	737.1	736.4	737.3	90	55	61	NW	1	NNW	1	1	4	0	.	
19	3.8	14.4	8.0	8.7	—	738.9	738.9	740.3	73	52	83	SE	1	S	1	10	10	0	.	
20	5.8	19.2	11.8	12.3	—	741.2	740.4	739.8	85	40	65	E	1	SSW	1	0	1	2	.	
21	8.2	20.1	11.9	13.4	—	740.4	738.4	736.5	73	41	64	E	1	WNW	1	3	4	2	.	
22	9.5	17.8	8.7	12.0	—	734.8	732.5	732.3	77	49	68	S	0	NW	1	1	4	10	2.0	● 21%-n
23	7.8	13.6	8.5	10.0	—	732.1	732.4	733.8	71	54	53	NW	1	N	1	7	7	3	.	● n-1
24	5.3	15.6	8.7	9.9	—	735.6	735.2	735.3	74	37	52	E	1	NNW	1	0	0	0	.	
25	6.8	12.2	6.4	8.5	—	735.0	735.0	739.3	67	69	86	E	1	WNW	3	4	10	9	0.0	● tr 13½-14½ mU, tr 20%, * a-p
26	7.0	14.4	11.7	11.0	—	737.5	735.8	734.3	75	45	57	E	1	WNW	2	8	10	9	0.2	* 15
27	10.3	11.1	6.8	9.4	—	732.1	732.9	735.0	68	54	66	SSW	2	NNW	1	10	7	4	2.3	● 4½-6% mU, 8%-11%, 17½-17%, 22
28	6.7	11.6	8.5	8.9	—	737.3	737.4	736.7	75	44	77	SW	1	WNW	1	9	8	8	2.7	● 21%, 22%-23%
29	8.5	13.6	7.3	9.8	—	738.9	740.1	742.2	86	61	76	S	0	NNE	1	10	7	9	.	● 2%-4% mU
30	5.7	17.3	11.5	11.5	—	743.3	742.7	743.9	79	43	59	N	0	E	2	0	3	0	.	
Mittel	4.1	10.1	5.9	6.7	—	733.6	733.4	733.9	83	59	74					7.1	7.4	6.5	45.6	

April 1958
Beobachter: W. Utzinger

Süntis

$\lambda = 9^\circ 21'$, $\beta = 47^\circ 15'$,
 $H_0 = 2500.1$ m, $G = -0.29$ mm

Table with columns: Tag, Lufttemperatur (730, 1330, 2130, Mittel, Abweich. vom Normalst), Luftdruck (730, 1330, 2130), Relative Feuchtigkeit (730, 1330, 2130), Windrichtung und Stärke (730, 1330, 2130), Bewölkung (730, 1330, 2130), Niederschlag, Witterung. Rows 1-30 and Mittel.

*) 2. 11%-14%, 14%-16% mU, \sqrt{n} -9% 5. \equiv 12-n, $\sqrt{15}$ -n 22. \sqrt{n} -9%, 13%-n 25. $\sqrt{\uparrow}$ 16%-n

April 1958
Beobachter: E. Chiesa

St. Gotthard (Hospiz)

$\lambda = 8^\circ 34'$, $\beta = 46^\circ 33'$,
 $H_0 = 2095$ m, $G = -0.27$ mm

Table with columns: Tag, Lufttemperatur (730, 1330, 2130, Mittel, Abweich. vom Normalst), Luftdruck (730, 1330, 2130), Relative Feuchtigkeit (730, 1330, 2130), Windrichtung und Stärke (730, 1330, 2130), Bewölkung (730, 1330, 2130), Niederschlag, Witterung. Rows 1-30 and Mittel.

*) 8. \uparrow a-n, \sqrt{p} -n, $\sqrt{1}$, III 9. 15%-n, $\sqrt{\uparrow}$ p-n 17. a-n, \sqrt{n} -a 28. \equiv 7%-11 mU, 17-n, \uparrow n-n 29. 14%-n mU, $\sqrt{\uparrow}$ n-p, \sqrt{III}

λ = 7° 26', β = 46° 57',
H₀ = 572.2 m, G = -0.04 mm

Bern

Mai 1958
Beobachter: Meteorologisches Observatorium

Table with columns: Tag, Lufttemperatur (7:30, 13:30, 21:30, Mittel, Abweich. vom Normalst), Luftdruck (7:30, 13:30, 21:30), Relative Feuchtigkeit (7:30, 13:30, 21:30), Windrichtung und Stärke (7:30, 13:30, 21:30), Bewölkung (7:30, 13:30, 21:30), Niederschlag, Witterung. Rows 1-31 and Mittel.

λ = 6° 57', β = 47° 00',
H₀ = 487.3 m, G = 0.00 mm

Neuchâtel

Mai 1958
Beobachter: Observatorium

Table with columns: Tag, Lufttemperatur (7:30, 13:30, 21:30, Mittel, Abweich. vom Normalst), Luftdruck (7:30, 13:30, 21:30), Relative Feuchtigkeit (7:30, 13:30, 21:30), Windrichtung und Stärke (7:30, 13:30, 21:30), Bewölkung (7:30, 13:30, 21:30), Niederschlag, Witterung. Rows 1-31 and Mittel.

Mai 1958
Beobachter: *Frl. H. Nager*

Altdorf

$\lambda = 8^{\circ} 38'$, $\beta = 46^{\circ} 53'$,
 $H_b = 456.3$ m, $G = -0.08$ mm

Tag	Lufttemperatur					Luftdruck			Relative Feuchtigkeit			Windrichtung und Stärke			Bewölkung			Niederschlag	Witterung	
	7 ³⁰	13 ³⁰	21 ³⁰	Mittel	Abweich. vom Normalst.	7 ³⁰	13 ³⁰	21 ³⁰	7 ³⁰	13 ³⁰	21 ³⁰	7 ³⁰	13 ³⁰	21 ³⁰	7 ³⁰	13 ³⁰	21 ³⁰			
1	6.6	14.2	12.1	11.0	-0.2	731.7	730.3	730.4	86	62	67	SE	0	NW	0	SE	0	0	0	
2	8.0	16.4	12.8	12.4	1.1	729.3	727.4	726.5	90	59	60	E	0	NW	0	SE	0	0	2	0
3	10.8	18.8	14.8	14.8	3.3	725.9	723.9	724.1	87	50	52	E	0	NW	1	NW	0	5	5	8
4	11.5	19.4	13.4	14.8	3.2	723.9	723.9	725.6	83	46	64	NE	0	NW	2	E	1	7	6	8
5	12.0	23.6	14.2	16.6	4.8	725.3	722.9	726.1	71	31	91	NW	0	S	2	NW	0	4	5	10
6	12.8	17.1	13.6	14.5	2.6	725.9	724.9	726.0	89	63	93	SE	0	NW	1	NW	0	8	7	10
7	13.0	19.0	14.8	15.6	3.5	725.9	726.6	726.5	90	54	65	NE	0	NW	0	E	0	10	7	1
8	14.1	20.9	19.5	18.2	6.0	725.3	724.8	725.5	71	51	40	N	0	NW	0	SE	1	2	9	6
9	16.6	21.9	22.7	20.4	8.1	727.6	725.1	723.3	66	60	43	SE	0	E	0	SE	2	10	7	2
10	16.7	21.9	23.1	20.6	8.1	725.3	722.7	721.6	77	68	41	E	0	NW	1	S	1	10	8	6
11	21.8	26.1	23.5	23.8	11.2	720.4	720.7	720.9	45	37	40	S	3	SSW	3	S	2	8	8	5
12	16.4	24.0	17.3	19.2	6.4	720.4	719.2	722.9	85	37	75	NW	1	SE	2	NW	0	6	9	10
13	14.6	17.2	14.5	15.4	2.5	723.4	722.4	721.5	93	63	91	N	0	NW	1	NW	0	10	10	8
14	13.5	23.3	17.2	18.0	5.0	719.9	717.4	716.7	92	36	70	NW	0	S	3	E	1	10	10	6
15	13.6	12.6	10.9	12.4	-0.8	717.1	717.3	718.7	97	93	93	W	0	N	0	N	0	10	10	10
16	10.3	12.7	8.0	10.3	-3.0	709.7	710.9	713.4	96	83	96	W	0	WNW	3	NW	0	10	10	10
17	8.9	9.6	7.1	8.5	-4.9	721.9	726.7	728.9	76	75	86	N	2	NW	0	N	0	10	10	4
18	9.0	15.0	13.0	12.3	-1.2	729.3	728.9	729.1	90	68	86	N	0	N	0	NW	0	10	7	5
19	12.6	19.1	15.0	15.6	1.9	728.2	726.2	724.8	81	63	75	N	0	N	0	N	0	1	2	0
20	12.3	20.6	17.1	16.7	2.9	722.2	720.3	720.2	80	60	56	E	0	N	0	E	0	0	0	0
21	14.1	17.0	11.0	14.0	0.1	720.3	721.9	726.0	81	73	91	E	0	NW	3	NW	0	2	10	10
22	10.2	11.2	11.2	10.9	-3.1	723.9	722.6	721.2	93	90	93	N	0	N	0	NW	0	10	10	10
23	11.5	18.1	14.8	14.8	0.7	721.0	719.3	720.5	97	62	91	N	0	N	1	NW	0	6	4	7
24	13.9	23.6	20.7	19.4	5.2	719.2	717.9	718.6	81	35	40	N	1	SE	3	S	3	3	3	4
25	20.5	22.5	21.0	21.3	7.0	719.6	719.2	717.3	39	37	36	S	3	S	4	S	4	3	6	5
26	18.0	17.4	14.2	16.5	2.1	719.7	721.9	723.1	70	70	82	NW	0	NW	2	NW	0	6	5	5
27	13.7	14.9	12.3	13.6	-0.9	723.0	722.2	722.0	95	95	93	NW	0	NW	0	NW	2	10	10	10
28	9.1	12.1	10.0	10.4	-4.2	723.4	724.6	726.0	94	75	94	S	0	NW	1	N	0	10	10	7
29	8.0	14.3	12.8	11.7	-3.0	724.3	722.7	721.5	94	72	95	NE	0	NW	1	N	0	2	3	0
30	12.2	12.7	11.5	12.1	-2.7	721.0	721.5	722.8	92	80	91	NW	0	W	1	SE	0	9	10	10
31	10.8	16.1	13.4	13.4	-1.5	723.2	722.1	723.5	76	64	81	SE	0	NW	1	E	0	1	4	0
Mittel	12.8	17.8	14.8	15.1	—	723.1	722.5	723.1	82	62	73							6.2	6.7	5.7

Mai 1958
Beobachter: *Observatoire*

Genève

$\lambda = 6^{\circ} 09'$, $\beta = 46^{\circ} 12'$,
 $H_b = 405.0$ m, $G = -0.05$ mm

Tag	Lufttemperatur					Luftdruck			Relative Feuchtigkeit			Windrichtung und Stärke			Bewölkung			Niederschlag	Witterung	
	7 ³⁰	13 ³⁰	21 ³⁰	Mittel	Abweich. vom Normalst.	7 ³⁰	13 ³⁰	21 ³⁰	7 ³⁰	13 ³⁰	21 ³⁰	7 ³⁰	13 ³⁰	21 ³⁰	7 ³⁰	13 ³⁰	21 ³⁰			
1	8.7	15.1	13.7	12.5	1.1	736.3	734.9	733.9	75	49	61	NNE	0	NNE	1	NNE	1	1	1	1
2	10.9	17.1	14.4	14.1	2.5	734.8	732.4	731.6	72	49	59	NW	0	NNE	1	WNW	1	0	3	0
3	11.2	16.5	15.7	14.5	2.8	730.9	729.6	729.2	71	51	50	W	1	NNE	1	S	1	2	5	4
4	11.9	18.1	16.7	15.6	3.7	729.9	729.5	729.3	68	52	47	SE	0	SW	1	W	0	3	3	2
5	12.9	22.8	15.4	17.0	5.0	730.3	728.8	731.6	70	34	74	WNW	0	S	1	NNW	1	9	9	9
6	13.9	21.5	16.0	17.1	4.9	731.7	730.5	731.5	79	40	69	S	1	WSW	1	WNW	1	8	6	6
7	16.1	24.4	16.2	18.9	6.6	731.5	730.8	730.5	65	34	64	SW	0	SW	1	WNW	0	4	3	1
8	15.7	21.7	21.5	19.6	7.1	730.6	729.5	730.3	68	51	61	S	0	N	1	S	1	8	9	8
9	17.3	27.1	21.2	21.9	9.3	732.1	730.6	729.2	81	39	49	S	1	S	2	SSW	2	10	7	0
10	18.8	27.3	23.1	23.1	10.4	729.4	727.5	725.2	51	36	49	SE	1	S	2	SW	1	9	9	9
11	18.4	25.1	21.3	21.6	8.7	726.0	724.8	725.0	57	43	43	S	1	SSW	1	S	1	8	10	3
12	15.6	23.2	19.2	19.3	6.3	724.7	724.6	726.9	62	38	58	NNE	1	S	1	SSE	2	10	10	7
13	15.0	17.6	16.4	16.3	3.2	728.0	726.7	725.7	83	71	79	ENE	1	NE	1	NNE	1	8	10	4
14	13.5	18.9	17.2	16.5	3.2	724.6	722.7	722.7	88	66	65	N	1	S	1	S	2	10	9	7
15	11.5	13.5	10.8	11.9	-1.5	722.8	723.5	724.7	89	75	82	S	2	S	2	E	1	10	10	6
16	9.9	9.8	7.2	9.0	-4.5	717.5	717.3	721.0	86	58	93	SW	1	S	2	E	1	10	10	10
17	8.7	10.6	9.0	9.4	-4.3	728.4	731.6	733.7	58	61	65	NNE	2	NNE	2	NNE	1	6	3	8
18	9.8	15.1	13.5	12.8	-1.0	734.9	734.5	733.5	72	50	62	N	0	NNE	1	NNE	1	10	4	1
19	12.6	19.9	15.6	16.0	2.1	732.9	731.0	728.6	73	50	66	NNE	1	NNE	1	N	1	1	1	1
20	13.2	21.6	20.2	18.3	4.3	727.3	725.3	724.6	78	53	49	N	0	WNW	0	SSW	0	0	1	2
21	15.3	13.2	11.1	13.2	-1.0	725.6	729.2	730.2	87	83	73	SSE	1	SE	1	ENE	2	10	10	9
22	10.7	14.3	13.5	12.8	-1.5	728.2	726.7	726.1	74	59	73	N	2	NNE	2	N	1	10	8	10
23	12.3	22.7	16.5	17.2	2.8	725.7	724.5	724.0	75	32	67	SW	1	SW	2	WNW	1	2	7	8
24	15.5	22.7	18.1	18.8	4.3	723.9	722.5	723.8	72	45	59	NW	0	W	1	SW	1	8	7	7
25	15.0	18.3	18.5	17.3	2.6	724.6	722.2	721.3	73	58	70	N	0	SW	1	SW	1	10	5	2
26	13.3	18.7	14.5	15.5	0.7	726.2	726.5	727.3	59	47	77	S	2	SE	1	NNE	1	9	6	8
27	14.1	16.1	11.4	13.9	-1.0	727.7	726.4	727.0	88	72	94	NNW	1	SE	0	NNE	1	2	10	10
28	10.7	13.2	12.2	12.0	-3.0	728.6	729.8	729.7	88	66	82	NE	1	N	1	NNE	1	8	8	2
29	10.4	15.2	15.6	13.7	-1.5	728.8	727.3	725.8	80	58	68	NW	1	NNE	1	NNE	1	10	3	9
30	14.3	17.8	13.7	15.3	0.0	726.4	726.2	727.1	40	42	67	SW	1	SW	1	NE	1	10	6	0
31	11.3	17.5	16.1	15.0	-0.4	728.6	727.6	727.1	81	57	61	NE	1	N	1	N	0	3	8	3
Mittel	13.2	18.6	15.7	15.8	—	728.4	727.6	727.7	73	52	66							6.7	6.5	5.1

λ = 8° 34', β = 47° 23',
H_b = 569.4 m, G = -0.01 mm

Zürich

Mai 1958
Beobachter: Meteorologische Zentralanstalt

Tag	Lufttemperatur					Luftdruck			Relative Feuchtigkeit			Windrichtung und Stärke			Bewölkung			Niederschlag	Witterung
	7 ³⁰	13 ³⁰	21 ³⁰	Mittel	Abweich. vom Normalst	7 ³⁰	13 ³⁰	21 ³⁰	7 ³⁰	13 ³⁰	21 ³⁰	7 ³⁰	13 ³⁰	21 ³⁰	7 ³⁰	13 ³⁰	21 ³⁰		
1	7.6	18.3	12.5	12.8	2.9	721.4	720.9	720.6	68	45	61	ENE 1	E 1	ENE 1	0	3	0	Δ I, III	
2	9.5	20.3	14.5	14.8	4.7	719.3	718.1	716.3	77	43	47	S 1	NE 1	ESE 1	0	1	1	Δ I	
3	13.6	22.0	14.3	16.6	6.4	715.8	714.5	713.8	61	40	57	SSW 1	SSW 2	S 0	8	3	2	Δ I, III	
4	13.3	19.8	14.0	15.7	5.3	714.6	715.1	715.5	66	41	43	WSW 1	WSW 2	NE 1	7	1	1	Δ I	
5	11.5	23.3	15.9	16.9	6.3	715.3	713.6	715.7	66	44	68	SSW 1	SSW 2	SW 2	7	7	10*	0.0 ● tr p-n mU, ⊕ 10%, *)	
6	15.0	20.5	13.5	16.3	5.6	716.0	715.0	715.7	71	51	78	SSW 1	WSW 2	SSW 2	7	7	9*	4.9 ● 16%-n mU, ♀ 9-16% mU *)	
7	14.3	19.7	14.7	16.2	5.3	716.0	716.8	716.5	76	57	75	SW 1	W 1	SSE 1	16*	9	0	● n-3, tr 7%, Δ III, ♀ n-3	
8	14.3	26.0	19.7	19.9	8.9	715.6	715.1	715.4	66	39	46	S 1	SW 2	SSW 1	6	9	1	Δ I, III	
9	19.7	26.8	18.9	21.8	10.6	717.5	715.9	713.1	63	48	72	S 0	SSW 1	SSE 0	9	5	0	Δ I, III	
10	18.0	25.5	18.9	20.8	9.4	715.3	713.4	712.4	57	41	66	WSW 1	SSW 1	W 0	8	9	0	Δ III, ♀ 6-6%	
11	18.1	27.1	18.1	21.1	9.6	711.6	710.9	711.5	68	45	72	W 1	SSW 1	WNW 1	8	6	0	Δ III	
12	15.3	21.7	14.5	17.2	5.5	711.5	710.4	713.6	79	56	79	SSW 1	WSW 1	SW 1	7	10	10	0.0 Δ I	
13	12.5	15.8	11.9	13.4	1.6	714.4	713.5	712.3	83	72	91	NNE 1	NNE 1	NNE 1	10	10	10	● tr früh, Δ I, III	
14	12.1	19.2	14.5	15.3	3.4	710.6	708.2	707.3	87	64	83	SSW 1	NNE 1	SSW 1	10	10	1	7.3 ● 19%-20%, 23%-n, ≡ n-6	
15	12.2	11.5	11.1	11.6	-0.4	707.2	708.0	708.6	81	89	73	SW 1	W 1	SSW 2	10*	10*	7	13.4 ● n-1%, 2%-4%, tr 7%, *)	
16	9.5	5.4	7.3	7.4	-4.8	700.8	701.3	703.4	80	85	80	SSW 1	SSW 2	SW 2	10	10*	10	18.5 ● 8%-13%, ♀ n-2%, 10%-23% mU	
17	7.0	7.5	6.6	7.0	-5.3	712.6	717.0	718.8	84	75	86	W 1	WSW 1	SE 1	10	10	3	0.0 ● 1%-1%, 4%-4%, Δ III	
18	8.7	16.4	13.2	12.8	0.3	719.2	719.4	719.6	75	56	81	SSW 1	WSW 2	WNW 1	10	9	9	Δ I, III	
19	14.1	21.7	15.6	17.1	4.5	718.7	717.1	715.0	68	43	58	NW 1	ENE 1	ENE 1	1	1	0	Δ I, III	
20	12.8	24.7	17.9	18.5	5.8	712.6	711.1	710.1	74	40	63	S 1	S 1	NNW 1	0	1	4	Δ I	
21	17.1	11.0	8.5	12.2	-0.7	710.8	713.6	716.7	73	90	93	W 1	W 2	N 1	7	10	10*	9.7 ● 12%-17 mU, 17%-n, Δ I	
22	8.3	11.2	10.4	10.0	-3.0	714.4	712.8	711.2	86	80	94	N 1	NE 1	NNE 1	10	10*	10	3.2 ● n-1%, 13-17%	
23	11.7	20.1	14.2	15.3	2.1	711.1	710.2	710.5	82	49	76	SSE 1	W 1	NE 1	1	2	3	Δ I, III	
24	15.1	25.1	16.5	18.9	5.6	709.7	708.4	709.0	71	44	72	S 0	SW 1	NNW 1	6	2	1	Δ I, III	
25	15.3	24.6	21.8	20.6	7.2	710.3	708.8	706.2	78	49	37	W 1	NE 1	SSE 2	5	4	1	0.0 Δ I, ♀ 19%-23% mU	
26	13.2	16.5	13.8	14.5	0.9	711.5	712.9	713.7	74	57	74	W 2	S 1	NNE 1	10	9	10	0.0	
27	13.1	17.1	19.2	13.5	-0.2	713.6	712.9	712.2	83	67	94	W 1	NE 1	WSW 1	10*	10*	10*	36.3 ● tr 7%, 8%-8%, 10%-10%, *)	
28	8.9	10.7	8.6	9.4	-4.4	713.1	715.4	716.2	93	82	93	S 1	S 1	E 1	10*	9	0	6.4 ● n-13%	
29	7.3	18.3	13.2	12.9	-1.0	714.6	712.9	711.5	95	83	82	NE 1	NE 1	NNE 1	10	5	3	≡ n-7, Δ I	
30	12.4	11.3	9.3	11.0	-3.0	711.5	712.4	713.3	81	87	94	WNW 1	WNW 1	E 1	10	10*	5	4.4 ● 10%-11%, 12%-17%, Δ I	
31	8.7	19.9	14.1	14.2	0.1	713.8	713.3	713.2	91	38	52	S 1	ENE 1	ENE 1	10	2	1	≡ n-7, Δ I, III	
Mittel	12.6	18.7	13.8	15.0	—	713.6	713.2	713.2	76	57	72				7.3	6.6	4.2	Summe 104.1	

*) 5. ♀ 14-16, 19%-22% 6. 20-n mU 15. 8%-18%, ♀ p 27. tr 13%, 19%-n, ♀ 19%-21

λ = 6° 32', β = 46° 51',
H_b = 1601 m, G = -0.16 mm

Chasseron

Mai 1958
Beobachter: J. Liardon

Tag	Lufttemperatur				Abweich. vom Normalst	Luftdruck			Relative Feuchtigkeit			Windrichtung und Stärke			Bewölkung			Niederschlag	Witterung
	7 ³⁰	13 ³⁰	21 ³⁰	Mittel		7 ³⁰	13 ³⁰	21 ³⁰	7 ³⁰	13 ³⁰	21 ³⁰	7 ³⁰	13 ³⁰	21 ³⁰	7 ³⁰	13 ³⁰	21 ³⁰		
1	5.4	8.5	6.6	6.8	—	637.1	637.9	637.3	72	65	62	W 2	E 1	E 2	0	2	2	.	
2	8.8	11.2	8.2	9.4	—	636.3	636.4	635.3	42	52	70	ESE 1	SE 2	NE 1	0	4	3	.	
3	7.6	11.2	8.6	9.1	—	634.0	634.0	633.3	56	51	60	W 1	SW 2	NNW 2	6	6	4	.	
4	6.3	11.2	9.2	8.9	—	632.8	633.8	633.7	72	49	46	NW 1	NNW 2	C 0	5	4	2	.	
5	8.6	11.6	6.4	8.9	—	633.4	633.6	633.7	57	62	100	S 3	S 3	W 4	6	8	10*	≡ 17%-18% mU, 18%-n, ♀ p-n	
6	4.4	8.4	6.8	6.5	—	633.8	633.7	633.7	100	67	100	WNW 3	W 4	W 4	10*	7	10*	3.0 ♂ 16%-17, n (6./7.), ≡ n-9%, *)	
7	5.6	11.6	11.4	9.5	—	633.9	635.3	635.8	100	60	62	WNW 4	WNW 3	S 3	8	7	4	≡ n-8% mU, ♀ n-n mU	
8	12.2	15.0	15.0	14.1	—	634.9	635.3	635.2	52	54	48	S 3	S 3	W 3	8	8	10	0.8 ● n (3./9.)	
9	9.6	15.6	15.0	13.4	—	635.9	635.9	634.0	92	55	53	SE 2	W 2	SSW 4	10	7	6	♀ p-n	
10	11.6	16.6	16.6	14.9	—	633.9	633.7	631.8	63	43	44	WSW 3	SSW 3	WSW 3	8	10	6	0.0 ♂ 15%-15%	
11	13.2	18.2	13.0	14.8	—	631.1	631.3	630.9	40	43	54	W 3	W 3	WSW 3	8	7	5	.	
12	11.8	15.6	7.2	11.5	—	630.1	629.8	631.1	58	44	100	W 3	SW 5	W 3	10	10	10*	0.0 ♂ 18%, ≡ 18-n, ♀ a-p	
13	9.2	13.6	12.2	11.7	—	632.2	631.9	631.1	80	64	53	S 2	NW 1	E 1	9	10	10	.	
14	13.8	15.0	5.0	11.3	—	630.1	628.7	627.1	61	50	100	SE 3	S 2	S 2	10	10	10	51.0 ♂ ▲ 19%-24 mU	
15	4.0	3.1	3.0	3.4	—	629.2	629.6	630.3	100	100	100	WNW 3	W 3	W 3	10*	10*	10*	12.1 ♂ n-n mU, ≡ n-n	
16	1.0	-1.4	-0.4	-0.9	—	618.8	618.6	620.1	100	100	100	S 4	SW 2	NW 5	10*	10*	10*	31.8 * ♀ n-n mU, ≡ n-n, ♀ III	
17	-2.0	-0.2	-1.0	-1.1	—	628.7	632.8	634.7	100	100	100	N 4	N 2	NNW 2	10*	7	0.0 * n-8, ≡ n-15%, ♀ n-a ☒		
18	3.0	5.9	4.4	4.4	—	636.1	637.1	637.0	100	100	100	WNW 3	NW 3	NNW 2	10*	10*	4	.	
19	6.8	12.8	10.0	9.9	—	635.7	635.4	633.6	74	64	76	E 2	C 0	E 2	2	2	2	.	
20	10.5	15.0	12.0	12.5	—	631.6	631.3	630.8	67	64	83	SE 2	W 2	NNW 2	0	3	4	1.2 ♂ n (20./21.)	
21	7.6	3.0	0.8	3.8	—	629.8	631.3	632.2	100	100	100	W 3	NW 3	N 2	10*	10*	10	7.0 ♂ 6-6%, ● 9-17, ≡ n-n	
22	9.6	3.5	3.4	2.5	—	630.1	629.7	628.9	100	100	100	E 3	E 2	SW 1	10*	10*	10*	≡ n-n	
23	5.8	10.8	11.0	9.2	—	628.8	629.6	629.2	73	64	66	SW 3	S 3	SSW 2	4	7	7	0.4 ♂ n (23./21.)	
24	7.2	13.4	9.0	9.9	—	628.3	638.5	629.1	87	72	87	SE 3	C 0	WSW 2	7	6	5	.	
25	6.2	11.4	12.0	9.9	—	629.3	628.3	627.3	87	66	72	SE 2	SSE 3	S 2	10	6	4	♂ 16%-16%, ≡ 23-n	
26	1.5	7.4	7.0	5.3	—	629.0	630.5	631.3	100	87	95	W 3	S 1	SE 2	10*	7	8	7.8 ● n (26./27.), ≡ n-8	
27	7.8	7.0	2.6	5.8	—	631.5	630.6	630.3	98	87	100	SE 2	N 2	N 3	7	10	10*	54.1 ● 15%-n, ≡ 9%-n mU	
28	2.2	2.8	3.0	2.7	—	630.7	632.2	632.6	78	57	70	NNW 1	N 2	NE 2	10	10*	5	≡ n-16%	
29	5.0	9.0	9.6	7.9	—	630.9	631.1	630.2	78	57	70	E 2	E 2	S 1	2	4	7	.	
30	5.0	6.0	5.0	5.3	—	629.5	629.5	630.8	66	70	82	WSW 3	W 3	W 1	10	7	4	.	
31	6.8	10.0	8.6	8.5	—	630.9	631.8	631.5	82	56	74	E 2	S 2	ESE 2	2	6	3	Δ III	
Mittel	6.7	9.8	7.8	8.1	—	631.6	631.9	631.7	79	68	78				7.2	7.3	6.5	Summe 169.2	

*) 6. 16%-n, ♀ n-n mU

Mai 1958

Beobachter: G. Castelli, H. Eisenhut, P. Bresser

Bever

λ = 9° 53', β = 46° 33'

H_b = 1711.8 m, C = -0.26 mm

Table with columns: Tag, Lufttemperatur (7:00, 13:00, 21:00, Mittel), Abweich. von Normalst, Luftdruck (7:00, 13:00, 21:00), Relative Feuchtigkeit (7:00, 13:00, 21:00), Windrichtung und Stärke (7:00, 13:00, 21:00), Bewölkung (7:00, 13:00, 21:00), Niederschlag, Witterung. Rows 1-31 and Mittel.

Mai 1958

Beobachter: Couvent des Capucins

Sion

λ = 7° 22', β = 46° 14'

H_b = 548.6 m, C = -0.14 mm

Table with columns: Tag, Lufttemperatur (7:00, 13:00, 21:00, Mittel), Abweich. von Normalst, Luftdruck (7:00, 13:00, 21:00), Relative Feuchtigkeit (7:00, 13:00, 21:00), Windrichtung und Stärke (7:00, 13:00, 21:00), Bewölkung (7:00, 13:00, 21:00), Niederschlag, Witterung. Rows 1-31 and Mittel.

λ = 8° 58', β = 46° 00',
H₀ = 276.2 m, G = -0.04 mm

Lugano

Mai 1958
Beobachter: G. Vicari

Tag	Lufttemperatur					Luftdruck			Relative Feuchtigkeit			Windrichtung und Stärke			Bewölkung			Niederschlag	Witterung			
	7 ³⁰	13 ³⁰	21 ³⁰	Mittel	Abweich. von Normalst	7 ³⁰	13 ³⁰	21 ³⁰	7 ³⁰	13 ³⁰	21 ³⁰	7 ³⁰	13 ³⁰	21 ³⁰	7 ³⁰	13 ³⁰	21 ³⁰					
1	9.4	21.6	14.8	15.3	1.5	747.6	745.9	745.4	87	43	68	NNE	1	S	1	N	1	0	1	1	.	.
2	11.8	21.8	15.6	16.4	2.5	747.1	745.1	743.5	91	37	51	SW	0	S	1	S	0	9	4	0	.	.
3	11.6	24.2	17.8	17.9	3.8	742.2	739.9	740.9	85	41	63	E	0	SSE	1	S	1	1	5	1	.	.
4	11.9	23.8	17.1	17.6	3.4	739.7	738.4	739.7	86	44	61	N	1	S	1	ESE	1	4	4	1	.	.
5	11.4	21.2	15.4	16.0	1.7	743.6	742.6	740.6	91	54	79	SSE	1	S	1	W	0	2	6	7	.	.
6	12.6	23.2	16.2	17.3	2.8	741.5	739.5	739.8	91	51	73	N	1	ESE	1	N	1	9	8	0	.	.
7	13.2	24.6	19.4	19.1	4.5	741.0	740.5	742.2	88	45	64	NNE	1	S	1	N	1	1	6	0	.	.
8	13.8	24.8	19.6	19.4	4.7	743.8	743.1	743.8	88	51	74	N	1	S	1	NNE	1	1	8	10	.	.
9	15.2	25.4	20.2	20.3	5.4	744.1	742.9	742.4	88	49	75	N	1	SSW	1	N	1	0	4	2	.	.
10	15.8	25.8	20.6	20.7	5.7	742.8	741.0	741.3	97	51	75	S	0	S	1	W	0	6	7	2	.	.
11	16.2	27.4	21.4	21.7	6.6	741.6	740.6	740.2	91	36	55	S	0	S	1	N	1	8	1	0	.	.
12	16.2	24.4	19.8	20.1	4.8	740.6	739.7	740.0	79	50	61	NNE	1	S	1	N	1	3	10	4	.	.
13	16.4	21.4	19.4	19.1	3.7	739.9	739.4	739.4	77	63	83	NNE	0	S	1	N	1	9	10	6	.	.
14	17.4	24.2	19.8	20.5	5.0	739.0	737.3	734.3	83	54	48	SSW	0	WSW	0	NNE	1	8	9	10	0.0	● tr p-n
15	16.0	18.2	12.8	15.7	0.0	733.4	733.1	733.6	83	75	88	N	1	W	1	N	1	9	6	5	8.4	▽ a, 13%, ● 19-20%, K 17
16	11.2	13.2	10.4	11.6	-4.2	730.9	725.0	723.6	86	98	74	N	1	N	1	N	2	9	10	10	37.1	● a-p, () 19% ↙ n-nmU
17	15.4	22.6	16.6	18.2	2.3	729.9	734.8	739.1	33	23	23	NNE	2	NNE	3	NNE	2	3	0	0	.	.
18	13.2	24.4	16.2	17.9	1.8	741.1	740.5	742.2	58	36	77	NNW	1	S	1	NNE	1	5	2	0	.	.
19	22.2	25.0	17.2	18.1	1.9	742.5	741.0	741.1	87	49	75	NE	0	S	1	N	1	0	1	0	.	.
20	15.8	26.4	19.6	20.6	4.3	740.2	738.2	737.0	86	42	71	N	1	S	1	N	1	1	1	0	.	.
21	16.1	26.2	19.8	20.7	4.2	737.1	735.7	736.0	87	48	70	ESE	0	SSE	1	S	0	8	4	5	.	.
22	18.2	19.8	17.4	18.5	1.9	735.7	736.4	737.0	73	69	88	SSW	1	S	1	W	0	10	9	10	25.6	● 9%-10%, 19-n, K 9%-10%
23	15.4	25.0	19.4	19.9	3.2	737.4	736.4	737.1	87	45	74	SW	0	S	1	N	1	9	1	3	.	.
24	15.2	23.2	19.4	19.3	2.4	738.4	737.9	738.4	89	58	78	S	0	S	1	NNE	0	1	5	8	.	.
25	17.2	19.2	17.4	17.9	0.9	739.1	739.3	739.3	84	81	89	S	0	S	1	S	1	6	10	10	0.7	● tra p-nmU, ▽ p
26	16.2	26.4	19.4	20.7	3.6	738.5	738.5	739.9	91	39	77	E	0	S	1	NNE	1	8	3	9	17.7	● K ● n (25.7%)
27	15.4	16.6	15.6	15.9	-1.4	739.5	738.9	736.3	97	91	99	NNW	1	SSW	1	SSW	1	10	10	10	85.0	● n-nmU, K 17%-18%, 21-21%
28	17.2	21.4	16.2	18.3	0.9	735.4	737.5	737.4	80	54	68	SSW	1	NNE	1	N	1	9	5	0	11.3	● n-amU
29	13.4	25.8	18.8	19.3	1.8	738.8	738.6	737.2	78	41	56	NNE	1	S	1	N	1	0	1	0	0.3	● n (24.3%)
30	15.6	15.2	14.4	15.1	-2.6	738.2	738.1	739.0	86	97	71	SSW	0	NNE	1	N	1	9	10	1	15.9	● 8-14 1/2 mU
31	12.8	23.4	18.2	18.1	0.3	738.8	738.3	739.0	82	44	58	NE	1	S	1	N	1	0	9	0	.	.
Mittel	14.5	22.8	17.6	18.3	—	739.7	738.8	738.9	83	54	70							5.1	5.5	3.7	202.0	Summe

λ = 7° 35', β = 47° 33',
H₀ = 317.3 m, G = 0.08 mm

Basel

Mai 1958
Beobachter: Astronom.-Meteorol. Anstalt

Tag	Lufttemperatur					Luftdruck			Relative Feuchtigkeit			Windrichtung und Stärke			Bewölkung			Niederschlag	Witterung			
	7 ³⁰	13 ³⁰	21 ³⁰	Mittel	Abweich. von Normalst	7 ³⁰	13 ³⁰	21 ³⁰	7 ³⁰	13 ³⁰	21 ³⁰	7 ³⁰	13 ³⁰	21 ³⁰	7 ³⁰	13 ³⁰	21 ³⁰					
1	9.1	19.6	14.1	14.3	3.6	744.2	742.8	742.3	63	47	60	ENE	0	N	1	E	1	0	1	0	.	.
2	11.0	22.4	12.2	15.2	4.4	741.7	739.7	738.0	73	38	58	ESE	0	NNW	1	S	1	0	1	2	.	.
3	9.5	24.2	14.0	15.9	4.9	737.8	736.3	735.4	72	30	49	E	1	NNW	2	N	0	8	3	4	.	.
4	9.8	19.4	11.2	13.5	2.4	737.6	737.6	737.4	59	48	60	NW	1	NW	1	SW	1	1	1	0	.	.
5	11.0	25.3	16.2	17.5	6.3	736.8	734.8	737.6	53	39	66	E	2	NW	1	WSW	1	5	10	2	0.0	● tr 15, ↗ 14 1/2
6	15.5	19.8	16.4	17.2	5.8	738.0	737.1	737.2	67	54	66	WSW	1	WNW	2	SW	1	9	8	9	0.0	tr 20%, ↗ 14 1/2
7	15.6	21.7	14.9	17.4	5.9	738.0	738.7	737.8	74	53	75	NNW	1	W	1	SE	0	9	9	2	.	.
8	14.7	28.1	21.1	21.3	9.6	736.8	735.7	736.3	75	40	73	E	2	ESE	1	S	1	9	10	10	1.4	● 21%-22%
9	18.4	28.2	19.9	22.2	10.4	738.7	736.6	734.3	81	44	61	ESE	0	WNW	1	SE	1	9	7	7	.	● 5-5%
10	18.8	26.0	18.3	21.0	9.1	736.6	735.2	733.0	67	48	69	E	0	NNE	1	SW	1	9	9	2	0.0	● tr 15 1/2
11	17.4	26.7	17.4	20.5	8.4	733.4	732.6	733.3	79	44	74	ESE	1	NW	1	WNW	1	4	5	3	.	.
12	13.9	22.8	12.3	16.3	4.1	733.7	732.2	736.0	84	59	80	NNW	1	NE	1	SW	1	9	9	10	0.0	● tr 17, tr 21%, ↗ 16%
13	10.8	14.9	11.6	12.4	0.0	736.8	736.0	734.5	91	81	96	NW	0	NW	1	W	0	10	10	9	.	.
14	14.3	25.2	15.8	18.4	5.9	732.6	730.5	729.5	86	53	84	SE	1	SE	0	ESE	0	9	7	10	5.3	● tr 21%, 22%-n mU
15	12.7	14.1	9.7	12.2	-0.4	730.0	730.1	729.6	88	78	82	NW	1	W	1	SSW	1	10	10	10	3.1	● n 5 1/2 mU, 13-14 1/2, 16%-18% mU
16	9.4	9.2	8.2	8.9	-3.9	722.5	723.0	725.6	84	74	83	ESE	1	WSW	2	WSW	1	10	9	10	13.4	● 0%, 6%-12, tr 16, 18%-19%, tr 21%, ↗ 10%
17	6.4	11.8	8.7	9.0	-3.9	736.0	739.9	740.7	96	76	75	NNW	1	WSW	1	SSW	1	10	8	4	0.6	● 1-9%
18	11.4	18.9	14.1	14.8	1.8	741.4	741.5	741.6	69	59	81	W	1	W	1	N	1	10	10	9	.	.
19	15.1	22.4	14.7	17.4	4.2	740.8	739.1	736.7	73	50	84	E	1	NNW	1	NW	0	1	1	0	.	.
20	15.5	26.8	18.3	20.2	6.9	734.3	732.6	733.0	76	47	69	ESE	1	WNW	1	SSW	1	0	1	5	.	.
21	16.8	11.1	9.5	12.5	-0.9	732.9	736.7	739.3	81	89	93	WNW	1	WNW	1	SE	1	9	10	8	6.4	● 8%-18 1/2 mU, ↗ 11
22	10.2	13.5	11.6	11.8	-1.7	738.1	735.3	733.8	92	76	90	SE	0	NNW	1	NW	0	10	10	10	.	.
23	13.4	22.5	15.7	17.2	3.5	733.4	732.1	732.1	79	50	80	E	1	E	1	E	0	2	6	1	0.2	● 3 1/2-3%, 16%-17
24	16.2	22.8	15.6	18.2	4.4	732.0	731.1	731.8	85	57	95	SSW	1	NW	1	WNW	1	9	6	9	2.0	● 3 1/2-3%, 17 1/2-20, 21%-22
25	14.4	19.1	15.1	16.2	2.3	733.1	731.0	727.4	95	75	94	SSW	1	WNW	1	SSW	0	10	8	1	0.0	● tr 7 1/2, K 19%-20 1/2
26	12.0	14.3	14.6	13.6	-0.4	734.1	734.6	734.1	84	70	79	WNW	1	NNW	1	ESE	0	10	9	8	0.0	● tr 10 1/2, ↗ 5%
27	13.0	18.2	10.5	13.9	-0.2	736.1	735.2	735.4	88	68	95	NNW	0	WNW	1	WSW	1	10	10	10	46.0	● 14%-15%, 17 1/2-n
28	9.5	15.2	10.8	11.8	-2.4	735.9	737.5	737.6	94	67	88	NNW	0	SSW	1	SSW	0	10	9	1	0.0	● n-7%
29	11.4	20.0	15.2	15.5	1.2	737.0	734.9	733.7	81	57	74	ESE	1	NNW	1	SE	0	1	1	3	0.5	● tr 2 1/2-5 1/2 mU
30	12.2	13.0	11.4	12.2	-2.2	733.9	734.6	735.4	85	85	90	SSE	1	ESE	1	ESE	1	10	10	7	5.0	● 6%-7, 8%-15 1/2 mU
31	11.4	22.6	15.8	16.6	2.1	735.7	734.8	734.6	89	37	62	E	1	E	1	ESE	1	2	7	0	.	.
Mittel	12.9																					

Mai 1958
Beobachter: W. Utzinger

Säntis

$\lambda = 9^\circ 21'$, $\beta = 47^\circ 15'$,
 $H_b = 2500.1$ m, $G = -0.29$ mm

Tag	Lufttemperatur					Luftdruck			Relative Feuchtigkeit			Windrichtung und Stärke			Bewölkung			Niederschlag	Witterung				
	7 ³⁰	13 ³⁰	21 ³⁰	Mittel	Abweich. von Normalst	7 ³⁰	13 ³⁰	21 ³⁰	7 ³⁰	13 ³⁰	21 ³⁰	7 ³⁰	13 ³⁰	21 ³⁰	7 ³⁰	13 ³⁰	21 ³⁰						
1	1.8	1.8	0.0	1.2	3.7	569.7	570.5	570.4	40	35	54	NE	2	NNE	1	ENE	2	1	1	1			
2	2.8	4.0	0.2	2.3	4.6	568.8	569.0	568.0	36	66	70	ENE	1	WSW	1	NNW	2	1	4	1		≡ 15-17% mU	
3	0.7	2.8	0.7	1.4	3.5	566.4	566.5	565.6	82	66	86	W	2	W	2	W	2	9	7	4		(1) 5%-8	
4	-1.4	0.7	-0.8	-0.5	1.4	564.3	566.0	566.8	100	82	78	W	3	W	2	W	2	10	9	1		≡ n-12, √ 6-9%	
5	2.0	5.4	0.8	2.7	4.4	566.8	567.3	566.2	72	54	100	W	3	W	2	W	3	7	9	10 ^{0-*}	7.4	* 16%-18, 19-n, *)	
6	-1.8	0.8	0.0	-0.4	1.2	565.7	565.9	565.3	100	100	100	WSW	3	W	3	W	4	10	10 ^{0-*}	10 ^{0-*}	19.3	∇ 13%, * 21%-n, *)	
7	0.0	1.1	2.0	1.0	2.4	565.7	567.8	568.9	100	100	95	W	3	W	3	WSW	3	10 ^{0-*}	10 ^{0-*}	1	0.0	* 12%-13%, ≡ n-15, *)	
8	5.4	8.8	6.7	7.0	8.2	569.0	569.6	570.1	46	43	46	W	3	W	3	W	2	9	9	9		(1) 9-14%	
9	3.8	10.0	7.7	7.2	8.3	570.6	570.8	569.0	100	47	56	W	2	W	1	W	2	10	7	1		≡ n-8, (1) 8%-10%	
10	4.2	9.7	8.4	7.4	8.3	568.7	568.6	567.7	80	56	46	W	2	W	1	WNW	2	9	9	3		(1) 8%-10%	
11	10.0	11.0	7.0	9.3	10.1	566.6	567.1	566.8	40	42	56	WNW	3	WSW	2	WSW	3	9	9	6			
12	8.0	9.2	6.1	7.8	8.5	565.8	565.9	566.7	52	41	59	W	3	W	3	W	2	8	10	10			
13	5.8	10.2	7.1	7.7	8.2	566.8	566.9	565.9	74	54	52	W	2	W	1	W	3	10	9	6			
14	8.2	8.7	4.2	7.0	7.4	565.5	564.2	562.0	41	52	72	W	2	WSW	3	WSW	4	9	9	5	1.0	● n (H./15.), √ p-n	
15	1.0	0.8	-1.0	0.3	0.6	559.5	559.1	559.2	100	100	100	W	1	WNW	2	WNW	3	10 ^{0-*}	10 ^{0-*}	10 ^{0-*}	10.7	● 9%-13%, * 13%-21%, *)	
16	-2.6	-3.0	-5.2	-3.6	-3.4	553.8	551.4	552.9	92	100	100	W	3	NW	3	WNW	3	8	10 ^{0-*}	10 ^{0-*}	27.3	* ≡ 10%-n, √ n-n, † 16-n	
17	-5.0	-2.7	-6.8	-4.8	-4.8	559.7	563.4	565.4	100	100	90	NW	2	NW	1	W	2	10 ^{0-*}	10 ^{0-*}	1	15.0	* n-15, ≡ √ n-21	
18	-0.8	1.0	0.4	0.2	0.1	567.0	568.6	569.3	100	100	100	W	2	WNW	3	W	2	10 ^{0-*}	10 ^{0-*}	10 ^{0-*}		≡ n-n mU, √ n-n	
19	2.0	4.8	3.0	3.3	3.1	568.7	569.1	567.9	88	78	58	W	1	W	1	W	1	4	1	1			
20	5.8	8.8	5.7	6.8	6.5	565.9	566.1	565.4	22	42	78	W	2	W	1	W	2	1	1	4			
21	7.0	7.0	-0.3	4.6	4.2	564.3	564.9	565.5	71	94	100	SSE	1	WNW	1	NW	1	7	10 ^{0-*}	10 ^{0-*}	0.0	∇ 15, 21, ≡ 11%-n, √ 18-n	
22	0.0	9.2	2.7	4.0	3.5	563.7	563.3	562.7	95	62	92	SE	1	W	2	W	2	9	9	9	0.0	● 17%-18% mU	
23	7.0	7.3	3.7	6.0	5.4	562.7	563.7	564.5	58	75	68	-W	1	SW	1	NW	2	1	1	9	0.0	∇ 17%, 19	
24	7.0	9.8	5.2	7.3	6.6	563.7	564.3	564.1	44	59	72	SW	2	WSW	2	W	3	5	7	3			
25	8.0	8.7	6.0	7.6	6.8	564.9	564.6	563.1	42	68	66	SE	2	SW	3	SW	3	5	8	8			
26	6.8	7.0	4.2	6.0	5.1	563.7	565.0	566.0	66	86	86	W	3	SW	2	SW	3	4	3	8	0.0	● n (26./27.), ≡ 10-11% mU, *)	
27	4.0	6.0	3.7	4.6	3.6	565.7	565.5	563.3	93	88	100	W	1	WSW	2	W	2	10	9	10 ^{0-*}	21.4	● 7-12% mU, 15-20% mU, 20%-n, *)	
28	0.0	-0.8	-3.0	-1.3	-2.4	562.3	564.2	565.6	100	96	100	WSW	1	NW	2	N	1	10 ^{0-*}	10 ^{0-*}	1	3.9	* n-17% mU, ≡ n-19% √ n-14	
29	2.0	5.7	3.2	3.6	2.4	564.7	564.8	564.6	53	72	82	E	1	SW	2	W	2	1	8	1		(1) 13-13%	
30	3.8	1.4	-1.8	1.1	-0.2	563.7	562.9	563.8	69	100	100	W	2	SW	2	NW	2	10	10 ^{0-*}	9	4.3	● * 11-13%, ≡ 10-11 mU, 11-19%	
31	2.0	5.8	2.7	3.5	2.1	564.4	565.4	565.9	58	77	98	NW	1	WSW	1	WSW	1	1	8	1		≡ 15%-17% mU, (1) 16-18	
Mittel	3.1	5.2	2.3	3.5	—	565.1	565.6	565.4	71	72	79							7.0	7.6	5.5	Summe	110.3	

*) 5. ≡ 16%-n, (1) 5%-8 6. ≡ 7%-n, √ n-n mU 7. 15-20 mU, √ n-7, (1) 15%-16 15. ≡ 7-n, √ 13%-n 26. 15-16% mU 27. ≡ 9%-13% mU, 15-n mU

Mai 1958
Beobachter: E. Chiesa

St. Gotthard (Hospiz)

$\lambda = 8^\circ 34'$, $\beta = 46^\circ 33'$,
 $H_b = 2095$ m, $G = -0.27$ mm

1	3.3	4.7	2.4	3.5	3.0	598.5	599.2	599.3	42	57	89	NW	0	NW	1	NW	1	0	0	0		
2	-0.6	7.2	2.6	3.1	2.5	598.5	598.3	597.1	96	52	74	SE	0	NW	0	NW	0	10 ^{0-*}	0	0		≡ n 8%
3	2.6	6.7	3.6	4.3	3.5	595.7	595.6	594.8	63	52	68	NW	0	NW	0	NW	0	3	0	6		
4	4.0	7.2	2.8	4.7	3.8	594.0	594.7	595.5	62	45	85	NW	1	NW	1	NW	1	6	3	0		
5	4.2	9.0	3.3	5.5	4.4	596.0	596.1	596.0	61	50	90	SE	0	SE	0	SE	0	0	0	10	2.3	● 18%-n mU
6	2.6	7.3	2.6	4.2	3.0	595.4	595.5	595.7	88	55	94	NW	0	NW	0	NW	0	9	6	10 ^{0-*}		≡ 19%-n
7	3.6	8.2	5.2	5.7	4.4	595.6	596.7	597.6	77	58	65	NW	1	NW	1	NW	0	9	9	0		
8	5.8	11.8	5.3	7.6	6.2	598.0	598.2	598.8	64	50	85	SE	0	SE	1	SE	1	0	1	9		
9	7.8	13.3	6.9	9.3	7.8	598.9	599.5	598.6	58	50	95	NW	1	SE	0	SE	1	6	3	10		
10	6.2	11.8	7.2	8.4	6.8	597.8	597.4	597.2	84	59	87	SE	1	SE	1	SE	1	10 ^{0-*}	10	9		≡ n-10%
11	7.4	9.0	7.3	7.9	6.2	596.5	596.8	596.1	80	70	82	SE	2	SE	2	SE	2	10	10	10		
12	6.4	9.0	5.5	7.0	5.2	595.7	595.8	595.8	71	61	80	SE	2	SE	2	SE	2	9	10	10		
13	6.0	10.4	6.5	7.6	5.7	595.7	595.6	595.7	80	56	71	SE	1	SE	1	SE	1	10	10	10		
14	6.8	7.2	4.5	6.2	4.2	595.2	593.8	591.4	71	84	95	SE	1	SE	1	SE	3	10	10	10 ^{0-*}	54.8	● 9%-11, 15%-n, *)
15	2.9	3.9	0.7	2.5	0.4	588.6	588.3	588.6	90	86	92	SE	2	SE	2	NW	0	10 ^{0-*}	10 ^{0-*}	6	14.7	● n-15% * 15%-19%
16	0.4	1.6	-3.0	-0.3	-2.5	585.1	581.2	581.0	91	88	98	SE	1	SE	1	NW	3	10	10 ^{0-*}	10 ^{0-*}	51.0	* 8%-n mU, √ p-n
17	-2.8	-1.0	-3.7	-2.5	-4.8	586.3	591.8	594.2	88	94	98	NW	3	NW	3	NW	3	10 ^{0-*}	10 ^{0-*}	10 ^{0-*}	4.6	≡ √ n-n, † p-n
18	1.6	5.0	3.7	3.4	1.0	595.4	597.4	597.5	78	82	72	NW	2	NW	2	NW	2	9	10	10 ^{0-*}		≡ 20-n
19	1.3	10.3	5.4	5.7	3.2	597.4	597.4	596.7	90	40	69	NW	1	NW	1	NW	1	0	0	0		
20	5.0	12.2	5.4	7.5	4.9	595.4	594.7	594.0	73	50	87	SE	1	SE	0	SE	0	1	0	0		
21	5.8	9.4	-2.0	4.4	1.7	593.0	593.2	593.2	81	65	98	SE	0	NW	1	NW	2	1	9	10 ^{0-*}	9.7	● 14%-19%, ● 19%-n, ≡ 13%-n
22	1.2	3.2	3.0	2.5	-0.3	592.6	592.2	591.9	98	90	92	NW	1	SE	1	SE	0	10 ^{0-*}	10	10	19.2	● 8-n mU, ≡ n-a
23	3.0	9.6	5.4	6.0	3.1	591.9	592.2	592.6	95	56	83	SE	0	SE	0	SE	0	10 ^{0-*}	6	10 ^{0-*}		≡ n-8%, 17%-n
24	4.9	5.7	5.2	5.3	2.3	592.9	593.6	593.6	91	82	94	SE	1	SE	3	SE	2	10 ^{0-*}	10	10 ^{0-*}	8.8	● 12%-12%, 15%-n, *)
25	5.0	4.2	4.4	4.5	1.4	594.4	594.2	593.7	60	97	89	SE	1	SE	1	SE	1	10	10 ^{0-*}	10 ^{0-*}	10.6	● 10%-n mU, ≡ 12%-n
26	5.1	7.6	6.0	6.2	3.0	593.3	594.2	596.2	91	67	83	SE	2	SE	2	SE	2	10 ^{0-*}	10	10 ^{0-*}	8.1	● n-a mU, 20%-n, *)
27	3.8	7.6	5.3	5.6	2.3	594.4	593.8	592.4	91	73	87	SE	1	SE	1	SE	2	10 ^{0-*}	10 ^{0-*}	10 ^{0-*}	99.1	● n-n mU, * n (27./28.), *)
28	-0.5	2.2	0.0	0.6	-2.8	591.0	593.1	594.3	97	86	99	NW	1	NW	1	NW	1	10 ^{0-*}	10	10 ^{0-*}	14.3	● * n-a, K 7%, ≡ 13%-n
29	1.0	8.4	4.6	4.7	1.2	593.7	594.0	594.1	64	51	72	NW	0	SE	2	SE	1	0	9	9	0.5	● n (29./30.)
30	4.1	1.0	1.2	2.1	-1.5	592.0	592.4	593.0	88	96	99	SE	2	SE	1	SE	1	10 ^{0-*}	10 ^{0-*</}			

λ = 7° 26', β = 46° 57',
H_b = 572.2 m, G = -0.04 mm

Bern

Juni 1958
Beobachter: Meteorologisches Observatorium

Tag	Lufttemperatur					Luftdruck			Relative Feuchtigkeit			Windrichtung und Stärke			Bewölkung			Witterung			
	7 ³⁰	13 ³⁰	21 ³⁰	Mittel	Abweich. vom Normalst	7 ³⁰	13 ³⁰	21 ³⁰	7 ³⁰	13 ³⁰	21 ³⁰	7 ³⁰	13 ³⁰	21 ³⁰	7 ³⁰	13 ³⁰	21 ³⁰		Wiederschlag		
1	13.3	22.2	17.4	17.6	3.3	713.4	712.3	712.1	77	46	63	SE	1	ENE	1	W	1	4	4	1	△ I
2	14.2	23.3	15.7	17.7	3.2	713.0	710.8	712.1	80	52	95	NE	0	NE	1	ESE	0	9	5	3	● 16%-18%, ☐ 17%-18%, △ I
3	13.9	15.4	10.9	13.4	-1.2	713.2	712.8	716.1	77	77	98	NE	1	NNE	1	SE	1	9	10	3	▽ 2%-3%, 13%-13%, ● 14%-19%
4	9.6	18.2	14.2	14.0	-0.7	716.1	714.8	714.5	96	37	57	SE	1	W	1	N	1	5	4	5	≡ 1%-5%
5	12.5	18.8	16.0	15.8	1.0	714.4	713.3	712.8	76	36	49	SE	1	N	1	NE	1	3	1	1	△ I
6	12.3	18.6	15.7	15.5	0.6	711.9	711.9	711.5	78	61	83	E	0	W	1	N	0	9	10	2	4.5
7	13.6	17.0	13.7	14.8	-0.2	714.4	716.1	717.5	97	80	98	SE	0	SW	1	ESE	1	8	6	9	13.2
8	13.2	19.4	16.0	16.2	1.1	717.5	716.0	713.9	93	48	70	SE	1	WNW	1	SE	1	8	3	8	● 1%-7%, 10%-13% mU, *)
9	14.4	19.8	17.6	17.3	2.1	713.1	710.7	709.3	77	49	53	NE	0	E	1	NE	1	5	5	10	.
10	13.6	13.7	10.8	12.7	-2.6	707.7	707.5	708.9	86	98	98	N	0	WSW	1	SW	1	10	10	10	41.5
11	10.4	12.7	10.8	11.3	-4.1	710.0	711.3	713.5	98	80	96	SW	1	ESE	1	SE	1	10	9	9	2.6
12	11.7	15.1	13.4	13.4	-2.1	714.3	714.3	713.5	86	49	62	NE	1	NE	2	NE	1	7	2	8	● n-10, 20%-21%
13	10.5	16.6	12.7	13.3	-2.3	713.8	714.4	716.1	67	47	67	NNE	2	NNE	2	NE	1	7	7	3	△ I
14	11.3	17.5	15.1	14.6	-1.1	716.8	716.4	716.9	79	39	50	NE	1	NE	2	NE	1	0	1	1	.
15	11.3	21.0	17.5	16.6	0.8	717.5	716.8	716.2	78	43	64	NE	0	W	1	SW	1	0	2	2	.
16	14.7	23.1	17.7	18.5	2.6	716.9	715.1	714.4	73	37	72	SE	1	SW	1	SE	1	0	6	6	.
17	15.4	24.5	19.7	19.9	3.9	713.6	712.4	713.2	81	43	57	SE	1	SW	1	SE	1	0	2	4	.
18	17.9	23.7	19.3	20.3	4.2	714.7	714.7	715.5	80	50	78	SE	1	W	1	SE	1	3	7	7	.
19	16.9	23.2	18.6	19.6	3.4	715.3	713.5	711.8	88	53	87	SE	1	SW	1	SE	1	6	9	7	1.1
20	16.6	17.2	15.2	16.3	0.0	709.3	707.9	707.2	86	82	90	SE	0	SW	2	SW	2	10	10	10	30.6
21	14.4	14.2	13.3	14.0	-2.4	705.0	706.4	707.2	94	94	82	SW	2	WSW	1	SW	1	10	10	9	21.5
22	11.0	15.6	13.8	13.5	-3.0	707.5	707.4	707.2	98	65	65	W	1	SW	1	WSW	1	10	8	8	2.1
23	11.5	15.9	13.2	13.5	-3.1	709.6	709.4	709.7	84	51	70	WSW	1	WSW	2	SW	0	7	3	5	0.0
24	11.2	11.7	10.3	11.1	-5.5	706.6	706.8	713.7	93	94	95	N	0	NE	2	W	1	10	10	9	17.4
25	10.6	17.1	15.6	14.4	-2.3	714.3	711.2	708.6	84	54	75	SE	1	NW	1	W	0	3	5	6	0.4
26	13.3	14.6	13.6	13.8	-3.0	706.6	703.1	699.9	97	97	99	SE	1	NW	1	NE	0	10	10	7	7.0
27	7.8	11.6	10.4	9.9	-7.0	704.8	705.0	706.8	90	68	76	SW	2	SW	3	SW	2	10	10	7	0.8
28	10.4	14.9	13.2	12.8	-4.2	710.5	711.8	711.7	70	55	72	SW	0	SW	1	N	1	7	5	5	.
29	11.8	19.2	16.7	15.9	-1.1	710.7	708.7	708.4	76	55	68	SE	1	NW	1	N	0	0	3	1	.
30	14.6	22.2	17.3	18.0	0.9	708.1	707.4	707.5	82	51	86	NE	1	NW	1	S	1	4	6	9	0.6
Mittel	12.8	17.9	14.8	15.2	—	712.0	711.3	711.6	84	60	76							6.1	6.1	5.8	151.1

*) 7. 18%-21% mU, ☐ 18% 30. ● 20-21%

λ = 6° 57', β = 47° 00',
H_b = 487.3 m, G = 0.00 mm

Neuchâtel

Juni 1958
Beobachter: Observatorium

Tag	Lufttemperatur					Luftdruck			Relative Feuchtigkeit			Windrichtung und Stärke			Bewölkung			Witterung			
	7 ³⁰	13 ³⁰	21 ³⁰	Mittel	Abweich. vom Normalst	7 ³⁰	13 ³⁰	21 ³⁰	7 ³⁰	13 ³⁰	21 ³⁰	7 ³⁰	13 ³⁰	21 ³⁰	7 ³⁰	13 ³⁰	21 ³⁰		Wiederschlag		
1	12.1	22.8	16.4	17.1	2.1	721.0	720.0	719.6	84	46	59	E	1	E	1	SSE	1	1	2	0	.
2	13.7	22.5	16.6	17.6	2.4	720.3	718.5	719.5	80	54	75	NW	1	SE	2	N	2	10	8	8	3.1
3	13.9	17.5	10.8	14.1	-1.2	720.3	720.4	723.8	63	62	94	N	3	SE	1	ENE	1	10	10	2	3.1
4	11.8	20.0	15.0	15.6	0.2	723.6	722.6	721.5	88	49	52	S	1	SSE	2	NNW	3	3	5	1	▽ 16-22%
5	12.5	21.4	16.7	16.9	1.4	722.0	720.9	720.1	74	41	44	NE	1	SE	1	NNE	2	1	2	1	.
6	13.1	17.0	14.6	14.9	-0.7	719.4	719.6	719.0	79	67	73	NNE	1	SW	1	S	1	9	10	7	5.9
7	13.9	19.7	14.3	16.0	0.3	721.6	723.4	725.0	95	62	93	WSW	2	S	1	WSW	1	10	3	8	7.3
8	14.2	21.6	16.9	17.6	1.8	724.7	723.5	721.2	95	49	53	N	1	SSE	1	NNW	1	7	2	4	.
9	14.5	20.2	17.3	17.3	1.4	720.7	718.4	716.9	76	51	62	S	1	SSE	1	N	1	5	8	10	.
10	15.3	13.9	11.5	13.6	-2.4	715.1	714.5	716.5	74	77	91	N	1	NW	3	SSW	2	10	10	10	17.8
11	11.1	16.0	12.8	13.3	-2.8	717.5	718.6	720.7	96	74	66	WSW	1	SSE	1	NE	1	10	10	5	0.1
12	12.7	18.5	14.2	15.1	-1.1	721.9	721.9	720.9	71	50	57	NE	2	ENE	2	ENE	1	3	5	7	▽ n-10 mU
13	12.9	18.7	14.6	15.4	-0.9	721.1	721.9	723.6	69	44	53	ENE	2	ENE	2	NNE	2	4	4	3	▽ n-n mU
14	12.5	19.7	15.8	16.0	-0.4	724.4	724.0	724.3	74	33	42	ENE	2	ENE	2	NNE	2	0	0	0	▽ n-n mU
15	11.7	21.3	17.4	16.8	0.3	725.2	724.5	723.6	70	44	64	NE	1	SE	1	NNE	0	0	2	0	.
16	14.1	23.7	17.9	18.6	2.0	724.2	722.7	721.8	79	44	68	NE	1	ESE	1	SW	1	0	6	3	.
17	15.2	26.0	21.1	20.8	4.1	721.1	719.8	720.3	82	35	50	SSE	1	SSW	1	SW	1	0	1	6	▽ 20%-23% mU
18	17.8	20.4	19.9	19.4	2.6	722.2	722.5	722.9	72	51	62	S	1	NW	2	N	1	9	7	1	.
19	17.2	18.9	19.7	18.6	1.7	722.8	*721.0	719.3	80	85	64	SW	1	NNW	1	W	1	4	10	9	4.1
20	18.5	16.5	15.2	16.7	-0.3	716.7	715.4	714.5	59	83	94	SW	2	SW	2	WSW	2	10	10	10	16.2
21	15.1	14.1	13.7	14.3	-2.7	712.5	712.7	714.5	94	72	81	SW	2	WNW	2	SW	1	10	10	9	3.1
22	11.7	17.4	10.8	13.3	-3.8	714.7	714.5	714.8	93	46	90	SW	1	SW	2	NW	2	10	7	10	3.4
23	12.7	16.1	14.7	14.5	-2.7	716.7	717.1	716.8	64	50	49	SW	2	SW	2	WNW	1	8	7	3	● n-2% mU
24	13.0	11.9	11.1	12.0	-5.3	714.1	714.6	721.0	79	92	78	NE	1	ESE	0	W	2	10	10	8	16.1
25	11.3	19.5	13.7	14.8	-2.6	721.7	719.0	715.8	83	44	68	E	2	SSE	1	SSE	1	3	4	4	1.3
26	13.2	14.9	13.7	13.9	-3.6	714.0	710.4	706.9	92	98	N	E	1	E	1	N	1	10	10	10	10.1
27	8.5	10.0	9.9	9.5	-8.0	712.0	712.5	714.5	83	80	81	SW	2	SW	2	W	2	10	10	9	1.0
28	10.6	16.7	14.3	13.9	-3.7	717.9	719.1	719.2	81	56	61	SW	1	SSW	1	NNW	2	4	8	0	● n-6%
29	11.6	21.9	15.7	16.4	-1.3	718.2	716.3	715.8	82	48	70	NE	1	SE	1	ENE	1	0	0	1	.
30	14.4	20.6	17.2	17.4	-0.4	715.5	714.9	714.7	86	69	92	NE	1	SW	2	W	1	6	9	10	0.6
Mittel	13.4	18.7	15.1	15.7	—	719.4	718.8	719.0	80	58	69							5.9	6.3	5.3	93.2

* Valeur interpolée

Juni 1958

Beobachter: *Frl. H. Nager*

Aldorf

$\lambda = 8^{\circ} 38', \beta = 46^{\circ} 53'$

$H_b = 456.3 \text{ m}, G = -0.08 \text{ mm}$

Tag	Lufttemperatur					Luftdruck			Relative Feuchtigkeit			Windrichtung und Stärke			Bewölkung			Niederschlag	Witterung
	7 ³⁰	13 ³⁰	21 ³⁰	Mittel	Abweich. vom Normalst.	7 ³⁰	13 ³⁰	21 ³⁰	7 ³⁰	13 ³⁰	21 ³⁰	7 ³⁰	13 ³⁰	21 ³⁰	7 ³⁰	13 ³⁰	21 ³⁰		
1	12.2	19.6	15.5	15.8	0.8	722.9	721.7	722.5	85	58	76	E	0N	0N	0	2	2	0	
2	15.4	23.9	17.5	18.9	3.8	722.7	719.9	721.1	75	50	68	SW	0N	1SE	1	2	4	4	
3	15.8	16.4	13.0	15.1	-0.1	722.3	722.0	726.3	85	82	96	N	0NW	1SW	0	10	10	10	● 14% n, ☐ 15-15%
4	11.8	17.2	14.2	14.4	-0.9	725.7	724.1	723.4	96	51	82	NE	0NW	1N	0	7	7	10	
5	11.7	19.7	14.9	15.4	0.0	724.5	722.7	722.9	86	45	66	N	0NW	2E	0	4	3	0	
6	12.4	19.2	15.6	15.7	-0.3	721.9	721.0	721.4	80	56	95	SE	0N	0N	0	4	8	3	● 15-18% n (6/7)
7	15.3	17.1	14.8	15.7	-0.2	724.1	726.0	727.5	95	78	95	E	0N	0NW	0	10	10	10	∇ n-n mU
8	13.5	20.5	16.7	16.9	-1.3	727.1	724.6	723.9	95	55	80	E	0NW	1NW	0	4	3	6	
9	15.4	21.6	18.2	18.4	-2.7	722.5	719.6	718.9	82	52	70	NW	0NW	1NW	0	5	5	10	● n (9/10)
10	14.7	15.7	12.8	14.4	-1.4	717.3	716.4	718.6	94	87	94	NE	0N	0N	0	10	10	10	● 11% n
11	11.5	11.2	11.6	11.4	-4.5	719.3	721.1	723.4	95	96	97	NW	0NW	1NW	0	10	10	10	● n-p
12	11.4	15.8	11.6	12.9	-3.0	724.2	723.4	723.6	97	52	82	NW	0N	2NW	0	8	8	8	
13	10.6	14.3	10.9	11.9	-4.1	723.9	724.6	726.1	86	74	95	N	0NW	0N	0	3	9	10	
14	10.4	18.1	13.3	13.9	-2.2	727.1	726.3	726.8	87	46	77	N	0NW	2E	0	2	6	0	
15	11.0	20.5	16.7	16.1	-0.1	726.9	725.9	726.1	87	50	71	SE	0NW	2SE	0	0	5	0	
16	14.8	23.3	17.9	18.7	2.4	726.2	724.0	724.3	87	45	75	E	0NW	2NW	0	3	5	7	
17	16.0	21.5	18.3	18.6	2.3	723.0	721.9	722.6	79	55	71	W	0NW	1NW	0	4	8	6	
18	16.1	24.3	16.9	19.1	2.7	724.2	723.0	725.9	80	52	95	E	0NW	2NW	0	7	6	10	● 18%-21%
19	16.1	22.0	16.4	18.2	1.7	724.8	723.0	722.0	92	65	95	SE	0NW	0NW	0	10	10	10	● 14-p
20	15.9	18.8	15.8	16.8	0.2	718.9	716.9	716.7	94	82	96	E	0NW	0NW	0	8	10	10	∇ 13%, ● p-n
21	15.0	16.6	13.8	15.1	-1.5	714.4	713.9	716.9	95	74	95	E	0NW	3N	0	8	10	10	● a-n mU, ☐ II
22	12.9	15.5	13.3	13.9	-2.8	716.5	717.0	717.2	96	71	96	N	0NW	1NW	0	9	10	10	● p-n
23	12.1	15.1	13.5	13.6	-3.2	719.1	719.2	719.4	92	60	88	E	0N	0NW	0	10	8	10	∇ n-17% mU
24	12.6	16.2	12.2	13.7	-3.2	716.9	715.9	721.8	95	70	95	NE	0W	1N	0	9	8	10	● 16%-21
25	11.7	17.6	14.8	14.7	-2.2	724.0	719.9	718.1	85	56	82	E	0NW	1NW	0	4	5	6	
26	19.2	20.3	19.4	19.6	2.6	715.4	711.9	708.3	44	45	41	SE	4S	3S	3	10	9	10	● n (26/27), ☐ n n, ☐ I
27	12.0	12.0	11.0	11.7	-5.4	712.2	714.0	716.1	64	76	95	N	2SE	1E	0	10	10	10	☐ n-a, ∇ p-n mU
28	12.1	15.2	12.9	13.4	-3.7	719.4	721.4	721.7	75	59	85	E	0NW	0N	0	10	10	9	
29	11.6	18.6	15.4	15.2	-2.0	720.5	717.7	718.4	85	67	86	W	0NW	1N	0	1	0	6	
30	14.4	22.2	18.0	18.2	0.9	717.5	716.1	716.7	93	64	92	N	0W	1NW	0	2	5	10	● n (30/1), ☐ 20-21%
Mittel	13.5	18.3	14.9	15.6	--	721.5	720.5	721.3	86	62	84				6.2	7.1	7.5	Summe 133.9	

Juni 1958

Beobachter: *Observatoire*

Genève

$\lambda = 6^{\circ} 09', \beta = 46^{\circ} 12'$

$H_b = 405.0 \text{ m}, G = -0.05 \text{ mm}$

Tag	Lufttemperatur					Luftdruck			Relative Feuchtigkeit			Windrichtung und Stärke			Bewölkung			Niederschlag	Witterung
	7 ³⁰	13 ³⁰	21 ³⁰	Mittel	Abweich. vom Normalst.	7 ³⁰	13 ³⁰	21 ³⁰	7 ³⁰	13 ³⁰	21 ³⁰	7 ³⁰	13 ³⁰	21 ³⁰	7 ³⁰	13 ³⁰	21 ³⁰		
1	13.4	20.9	16.8	17.0	1.5	727.8	726.7	726.9	72	44	71	NNE	1NNE	1NNW	0	2	8	0	0.1
2	15.1	22.5	20.8	19.5	3.9	727.0	725.5	726.7	76	48	46	SE	2N	1ESE	1	10	3	10	● 5-6
3	16.0	14.2	12.7	14.3	-1.4	727.6	728.0	731.0	69	85	76	NNE	1SW	1SW	1	10	10	4	16.4 ● 9-9%, 11%-16% mU, *)
4	12.7	17.2	15.4	15.1	-0.8	730.5	729.4	728.6	75	49	59	SE	1N	2N	1	1	3	1	
5	13.7	19.2	16.9	16.6	0.6	728.7	727.8	726.7	65	41	59	N	1NNE	1N	1	1	1	1	
6	13.6	17.1	16.1	15.6	-0.5	726.9	726.7	726.3	73	58	84	W	1NNW	1N	1	10	10	10	● 21%-n, ☐ 21%
7	15.1	21.7	15.8	17.5	1.3	729.3	729.7	731.8	85	60	71	W	1N	1ENE	1	10	5	2	0.2 ● n-3%, 13%
8	14.8	20.5	19.5	18.3	2.0	731.8	728.6	728.1	72	45	57	N	1N	2SSW	1	5	0	2	
9	15.7	20.6	18.8	18.4	2.0	727.5	725.0	723.6	68	55	60	SSE	1NNE	1N	0	7	6	9	
10	15.6	13.9	12.2	13.9	2.6	722.6	722.8	724.5	76	88	93	SE	1S	1E	1	10	10	10	20.1 ● 11%-n, ☐ 19%
11	11.2	14.4	14.2	13.3	-3.3	725.3	725.8	727.0	91	66	74	NE	0NE	1ENE	1	10	9	10	0.4 ● n-7%, 7%-9
12	13.9	18.2	14.4	15.5	-1.2	728.1	727.8	727.5	59	40	60	NNE	3NNE	3NE	1	7	1	4	∇ n-p
13	12.4	19.1	15.3	15.6	-1.2	727.9	727.7	729.2	68	38	59	NE	1N	3N	3	8	1	0	∇ a-n
14	13.9	18.8	16.1	16.0	-0.9	731.1	730.4	731.0	67	50	58	N	1N	2N	0	0	0	0	
15	13.0	23.0	17.9	18.0	1.0	732.7	731.4	730.7	75	33	65	N	0N	1N	1	0	0	0	
16	16.0	25.5	19.8	20.4	3.3	731.0	729.5	729.2	68	36	46	N	0W	2SSW	1	2	4	2	
17	17.2	26.4	22.0	21.9	4.7	729.0	726.6	728.0	60	37	50	SE	0SW	1S	1	0	1	10	
18	19.3	25.6	21.0	22.0	4.7	729.3	729.0	729.6	64	43	61	NE	0SSW	1NE	1	6	2	9	
19	18.7	25.8	21.4	22.0	4.6	729.9	728.0	726.6	73	41	50	NNE	0S	2SSW	1	2	2	8	
20	20.1	19.0	16.6	18.6	1.1	724.8	723.1	722.4	45	62	80	SSW	2S	1SSE	1	10	10	10	15.1 ● 13%-21%
21	17.2	13.2	15.0	15.1	-2.5	720.1	721.0	721.9	74	88	74	S	2SE	1E	1	10	10	10	19.8 ● 1%-6, 8-8%, 12%-14%, ☐ 13
22	13.4	18.1	16.3	15.9	-1.7	722.1	722.6	722.4	82	45	51	S	1SW	1S	1	8	7	8	0.5 ● 0%-1%, 5%-6%
23	13.2	18.6	15.8	15.9	1.8	724.3	724.4	723.8	63	42	54	S	2S	2SSE	1	7	5	9	0.3 ● 1%-4%, mU
24	11.8	12.1	12.9	12.3	5.5	721.8	722.1	729.0	86	93	76	SE	1S	1SSE	1	10	10	6	18.8 ● 7%-10%, 12%-16%
25	11.5	17.1	15.8	14.8	3.1	728.7	726.1	723.0	72	45	67	NNE	1NNE	1NNE	1	1	3	4	3.9
26	13.7	14.9	14.2	14.3	-3.7	721.1	718.1	714.3	90	88	93	ESE	0SW	0E	0	10	10	10	26.8 ● 3%-n mU
27	9.8	12.7	10.7	11.0	7.1	720.9	720.6	722.9	65	53	86	S	2S	2S	1	10	9	10	4.0 ● n 2%, 4%-8 mU, 17%-18%, *)
28	10.8	16.6	14.8	14.1	4.0	725.5	726.2	726.0	82	47	65	NNE	1NNE	1N	1	9	5	1	
29	13.2	19.2	17.8	16.7	-1.5	725.1	723.6	722.8	70	85	58	NNE	1NNE	1NNE	1	0	1	2	
30	14.7	21.7	17.3	17.9	-0.4	722.6	722.3	722.5	78	53	84	NNE	1SSE	1ENE	1	4	10	10	0.7 ● 20-21%, ☐ 20
Mittel	14.3	18.9	16.5	16.6	--	726.7	725.9	726.1	72	55	66				6.0	5.2	5.7	Summe 145.8	

*) 3. 19-19%, ☐ 12%, ☐ 19 27. 20%-24% mU

λ = 8° 34', β = 47° 23',
H_b = 569.4 m, G = -0.01 mm

Zürich

Juni 1958
Beobachter: Meteorologische Zentralanstalt

Tag	Lufttemperatur					Luftdruck			Relative Feuchtigkeit			Windrichtung und Stärke			Bewölkung			Witterung				
	7 ³⁰	13 ³⁰	21 ³⁰	Mittel	Abweich. vom Normalst	7 ³⁰	13 ³⁰	21 ³⁰	7 ³⁰	13 ³⁰	21 ³⁰	7 ³⁰	13 ³⁰	21 ³⁰	7 ³⁰	13 ³⁰	21 ³⁰		Wiederschlag			
1	12.5	24.6	16.6	17.9	3.7	713.6	712.4	712.4	74	37	57	S	1	NNE	1	NE	1	2	1	0	Δ I, III	
2	16.7	26.4	16.2	19.8	5.5	712.9	711.0	712.2	70	43	84	S	0	NNE	2	WSW	1	7	4	9	0.3	● 20½-20%
3	14.3	16.5	10.9	13.9	-0.5	713.4	712.9	715.9	86	71	88	NW	1	WNW	1	SSE	1	10	10	9	25.8	● 15½-20%, K 16-16%
4	12.2	17.8	13.9	14.6	0.1	715.9	715.1	714.7	75	47	56	WSW	1	W	1	N	1	9	3	10	Δ III	
5	12.0	19.9	14.8	15.6	1.0	714.6	713.8	713.2	70	41	58	S	1	NNE	1	NE	1	1	1	1	Δ I	
6	13.3	22.7	17.1	17.7	3.0	711.9	711.8	711.6	71	44	65	ENE	1	N	1	NE	1	5	9	9	0.0	Δ I
7	15.2	14.8	12.7	14.2	-0.6	714.1	716.0	717.5	82	87	93	SSW	1	SW	1	SSE	1	10*	9*	10	5.3	● 7½-9% mU, II-15% mU, *)
8	14.6	19.8	14.8	16.4	1.5	717.6	716.2	714.4	79	50	61	SSW	1	W	1	N	1	9	6	1	0.0	● n-7, Δ III
9	14.7	22.2	17.0	18.0	3.0	713.0	711.1	709.5	67	45	58	ENE	1	WNW	1	N	1	3	3	10	Δ I, III	
10	14.1	16.4	11.6	14.0	-1.0	707.8	707.0	708.6	72	69	95	NNE	1	N	1	WSW	1	10	10*	10*	44.1	● tr 13½-17, 17-n, Δ I
11	11.2	14.8	10.7	12.2	-2.9	709.5	710.9	714.0	93	69	93	WNW	1	WSW	1	N	1	10*	10	10	11.8	● n-9%, 15½-17% mU
12	11.2	15.1	11.3	12.5	-2.7	715.0	714.7	714.1	76	47	67	ENE	1	NE	1	NE	1	9	9	9	Δ III	
13	10.5	16.5	11.4	12.8	-2.5	714.4	714.9	716.5	75	50	71	NE	1	NE	1	NE	1	1	9	9	0.0	● tr 13%, Δ I, III
14	10.7	19.4	13.4	14.5	-0.9	717.5	716.9	717.6	73	38	55	NE	1	NNE	1	ENE	1	0	1	1	Δ I, III	
15	11.3	21.8	15.7	16.3	0.9	717.7	717.4	716.5	70	44	57	ENE	1	W	1	NE	1	0	0	1	Δ I	
16	14.9	24.4	17.8	19.0	3.5	716.7	715.3	714.4	71	34	61	S	0	WNW	1	SSE	1	1	3	2	Δ I	
17	18.0	26.6	19.1	21.2	5.6	713.5	712.5	712.9	63	38	68	SSW	0	W	1	SSE	1	1	1	3	Δ I	
18	18.3	25.6	18.8	20.9	5.2	714.7	714.5	716.2	74	49	70	S	1	SW	1	NE	1	8	4	10	Δ I	
19	16.8	22.2	17.2	18.7	2.9	715.2	713.6	712.2	76	59	80	S	1	S	1	ESE	1	10	8	10	3.6	● 19½-20, Δ I
20	16.6	16.8	15.3	16.2	0.4	709.2	707.4	706.5	72	72	83	WSW	1	WSW	3	SW	2	10	10*	10*	37.8	● 0-2%, 13½-21% mU, K 0%
21	13.7	14.1	13.0	13.6	-2.3	704.9	705.3	706.9	94	87	81	SSW	1	W	1	SW	1	10*	10*	10	57.3	● 0%-15% mU
22	13.9	14.3	12.9	13.7	-2.3	706.7	707.5	707.1	66	67	71	WSW	1	NNW	1	SW	1	9	9	6	4.6	● 9-9%
23	11.7	16.2	12.6	13.5	-2.6	709.4	709.1	710.2	81	51	66	SSW	1	WNW	1	N	1	6	5	7	0.2	● 4-5%, 1¼-1½
24	12.4	14.5	10.8	12.6	-3.5	707.7	706.7	712.4	74	78	81	SE	1	WSW	1	WSW	2	10	10	7	5.1	● 11½-12%, 14½-14%, *)
25	11.3	19.2	15.6	15.4	-0.8	714.5	711.3	708.9	69	41	60	SSE	1	NNE	1	ENE	1	1	2	4	0.0	Δ I
26	14.6	19.7	14.7	16.3	0.0	706.8	702.8	699.9	82	65	93	NE	1	NNE	1	WNW	1	10*	10	10	7.4	● tra, 15½-17%
27	7.9	11.0	10.2	9.7	-6.6	703.2	704.5	706.1	83	63	76	WSW	3	WSW	2	WSW	2	10*	10	10	3.8	● 1%-10% mU, 15½-16%, *)
28	10.3	13.3	12.0	11.9	-4.5	709.7	711.4	712.3	77	66	80	WSW	2	WSW	1	NNW	1	10	10	9	0.1	● n-4%, Δ III
29	11.6	20.7	15.3	15.9	-0.6	711.0	708.9	708.9	80	45	69	SSW	1	N	1	NE	1	1	1	2	Δ I, III	
30	14.3	23.9	18.4	18.9	2.4	708.3	707.5	707.3	77	47	69	ESE	1	WNW	1	WSW	1	2	3	9	0.0	Δ I
Mittel	13.4	19.0	14.4	15.6	-	712.0	711.4	711.7	76	55	72							6.2	6.0	6.9	207.2	Summe

*) 7. 19%-20%, 23%-n 24. 15%-18, 18%-24 mU 27. 3½-n mU

λ = 6° 32', β = 46° 51',
H_b = 1601 m, G = -0.16 mm

Chasseron

Juni 1958
Beobachter: J. Liardon

Tag	Lufttemperatur					Luftdruck			Relative Feuchtigkeit			Windrichtung und Stärke			Bewölkung			Witterung				
	7 ³⁰	13 ³⁰	21 ³⁰	Mittel	Abweich. vom Normalst	7 ³⁰	13 ³⁰	21 ³⁰	7 ³⁰	13 ³⁰	21 ³⁰	7 ³⁰	13 ³⁰	21 ³⁰	7 ³⁰	13 ³⁰	21 ³⁰		Wiederschlag			
1	10.0	13.2	12.0	11.7	-	631.7	632.3	632.0	72	52	54	ESE	3	ESE	2	SE	2	4	5	2	0.3	▽ n (1./2.), Δ III
2	11.6	14.8	8.0	11.5	-	632.1	631.6	631.5	64	54	100	ESE	2	ESE	2	WSW	2	8	8	10	5.0	▽ n (2./3.), ≡ p n mU
3	5.2	5.6	4.8	5.2	-	631.6	631.6	633.2	100	100	100	N	2	W	2	W	3	10*	10*	8	11.1	● a-p, n (3./4.), ≡ n-n mU
4	3.4	9.0	7.0	6.5	-	632.9	633.3	632.8	100	68	92	N	3	WNW	2	N	2	10*	6	3	Δ III	
5	7.6	10.8	7.6	8.7	-	632.0	632.3	631.6	68	72	72	E	2	C	0	E	2	3	4	3	Δ III	
6	10.2	12.0	11.2	11.1	-	630.7	631.3	630.8	64	66	62	SW	1	WNW	2	SSW	2	9	10	6	7.7	▽ n (6./7.), mU
7	7.8	12.0	8.0	9.3	-	632.8	634.5	634.2	100	72	100	NW	3	NW	3	NW	3	10*	7	10*	1.9	▽ 7%, 10½-n, ≡ n 11½, 19-n
8	5.4	10.6	9.2	8.4	-	635.0	635.0	633.4	93	72	75	WSW	1	NW	2	SW	2	5	6	2	Δ III	
9	7.6	13.0	9.0	9.9	-	631.4	630.6	629.3	98	64	100	SE	2	W	1	NE	1	3	6	10	Δ III	
10	7.5	5.0	4.2	5.6	-	626.9	626.3	626.9	100	100	100	SSE	2	WNW	3	NW	3	10	10*	10*	29.0	● 12-n, ≡ 7½-n
11	4.2	6.2	4.4	4.9	-	627.9	629.2	630.6	100	82	100	N	3	N	2	NNE	3	10*	10	10	1.0	● p mU, ≡ n-n mU
12	4.0	7.0	4.4	5.1	-	631.4	632.1	630.9	86	72	82	E	3	NE	2	E	2	6	7	4	Δ III	
13	6.2	6.8	5.0	6.0	-	630.2	632.4	633.2	72	74	92	E	3	NE	2	N	3	7	7	5	Δ III	
14	5.4	8.5	6.0	6.6	-	633.6	634.4	634.5	62	51	72	E	2	E	2	E	3	0	2	2	Δ III	
15	8.1	12.0	10.6	10.2	-	635.2	635.8	635.5	70	74	86	W	2	C	0	N	1	2	5	3	Δ III	
16	11.0	13.2	11.6	11.9	-	635.3	634.9	634.5	62	64	76	S	3	SE	2	ESE	2	2	7	5	Δ III	
17	11.6	13.6	12.6	12.6	-	632.8	632.8	633.0	56	62	74	SSW	2	C	0	WNW	2	2	5	7	2.8	▽ 20%-21%
18	10.4	13.6	11.4	11.8	-	633.8	634.7	635.1	82	75	95	WNW	3	NNW	3	N	1	9	7	7	Δ III	
19	11.0	12.0	11.5	11.5	-	634.4	633.6	632.1	83	98	100	W	2	SSW	2	W	3	4	8	8	0.0	▽ 12
20	10.0	8.6	8.2	8.9	-	628.9	627.4	626.3	95	100	100	W	5	WSW	5	W	5	8	10	10*	43.0	● 11%-n mU, ≡ 15%-n, 1/2 n-n
21	8.2	4.8	5.2	6.1	-	624.4	624.3	625.0	100	100	100	WNW	4	NW	4	WNW	4	10*	10	10*	17.1	● 9-15% mU, ▽ n (21/22.) mU, *)
22	3.8	6.6	5.0	5.1	-	624.9	626.0	625.9	100	82	100	NW	4	W	4	W	2	10*	7	10*	13.4	▽ 17-n mU, ≡ n-8½, *)
23	2.2	5.6	4.6	4.1	-	626.5	627.8	627.9	100	82	88	WNW	4	W	3	W	3	10*	7	5	2.1	▽ n-12 mU, ● tr p, *)
24	5.6	5.0	3.0	4.5	-	625.2	625.3	628.5	75	100	100	SE	2	W	3	NW	3	9	10*	10*	4.2	● 9-n mU, ≡ 8%-n
25	4.0	8.2	12.6	8.3	-	631.0	629.8	628.1	79	84	46	SE	3	SE	3	WSW	3	4	6	7	2.6	● n (26/26), 1/2 n-n mU
26	7.0	7.0	7.8	7.3	-	625.8	622.2	619.1	100	100	100	SE	3	SSE	3	SSE	4	10*	10*	10*	13.6	● 1/2 n-n mU, * n (26./27.), *)
27	-0.1	1.4	2.0	1.1	-	620.5	626.6	623.5	100	100	100	WNW	5	W	4	NW	5	10*	10*	10*	24.6	▽ 7½, ● p-n, ≡ 1/2 n-n, 1/2 I, III
28	2.6	6.4	5.0	4.7	-	628.0	629.8	629.9	100	95	100	NW	3	NW	2	N	2	10*	7	10*	Δ III	
29	6.6	12.6	11.0	10.1	-	628.4	628.3	628.3	86	74	92	E	2	E	1	WSW	1	2	4	4	Δ III	
30	11.0	14.0	11.2	12.1	-	627.3	628.0	627.7	85	100	100	WNW	2	NW	2	W	3	7	10*	10*	0.2	▽ 16, ≡ 12%-n mU
Mittel	7.0	9.3	7.8	8.0	-	630.1	630.5	630.2	85	80	89							6.8	7.4	7.0	179.6	Summe

*) 21. ≡ n-n mU, 1/2 n-n 22. 19%-n, K 20-20%, 1/2 n-p 23. ≡ n-

Juni 1958

Beobachter: Stationspersonal Rh. B.

Bever

$\lambda = 9^\circ 53'$, $\beta = 46^\circ 33'$

$H_0 = 1711.8$ m, $G = -0.26$ mm

Tag	Lufttemperatur					Luftdruck			Relative Feuchtigkeit			Windrichtung und Stärke			Bewölkung			Wiederschlag	Witterung
	7 ³⁰	13 ³⁰	21 ³⁰	Mittel	Abweich. von Normalst	7 ³⁰	13 ³⁰	21 ³⁰	7 ³⁰	13 ³⁰	21 ³⁰	7 ³⁰	13 ³⁰	21 ³⁰	7 ³⁰	13 ³⁰	21 ³⁰		
1	4.0	16.2	7.4	9.2	1.0	624.4	624.3	624.4	90	40	90	W	0 SW	1 SW	0	3	2	1	.
2	5.5	19.8	11.2	12.2	3.9	625.3	624.0	624.6	82	33	76	SW	0 SW	1 SW	0	0	6	6	⊥
3	9.0	15.0	7.0	10.3	1.9	623.2	621.9	623.3	75	50	80	SW	0 SW	1 W	1	9	9	10*	● ° 20% - n mU
4	7.5	13.5	8.2	9.7	1.2	623.1	621.3	622.6	60	40	54	NE	0 NW	1 N	1	2	2	3	.
5	4.6	13.8	5.0	7.8	-0.8	622.6	621.8	623.1	79	34	62	SW	0 SW	2 SW	0	2	2	2	Δ I
6	4.9	15.8	9.4	10.0	1.3	622.8	622.7	622.6	78	44	95	SW	0 SW	2 SW	0	4	9	4	.
7	10.0	7.0	6.0	7.7	-1.1	623.5	620.5	626.6	83	82	100	SW	0 W	1 SW	0	7	10*	10	● 12% - p m ^U , Δ I
8	5.0	17.2	8.4	10.2	1.3	626.1	624.7	624.4	90	32	84	SW	0 SW	2 SW	0	2	1	1	Δ I
9	9.9	17.7	10.0	12.5	3.5	622.4	621.8	619.9	86	40	90	W	0 SW	2 W	0	7	6	10	13.5 ● n (9./10.), Δ I
10	7.0	7.6	5.1	6.6	-2.5	618.4	616.2	616.3	94	80	92	NE	0 SW	0 NE	1	10*	10	10*	13.6 ● n - n mU
11	6.0	8.2	6.0	6.7	-2.5	616.1	617.4	620.4	85	65	68	E	0 NW	1 NW	0	10	10*	10*	0.1 ● tr n - n mU
12	6.7	9.1	6.0	7.3	-2.0	620.6	620.3	622.0	65	65	65	NW	0 NW	0 W	0	9	8	8	∇ p
13	4.7	8.6	6.6	6.6	-2.8	621.8	621.8	623.8	81	54	66	NE	0 NE	0 NE	0	4	9	10	∇ p
14	5.6	14.0	9.0	9.5	0.0	624.3	623.4	625.4	72	47	60	NE	1 NE	2 NE	0	3	3	5	.
15	8.0	16.7	7.3	10.7	1.1	626.9	625.3	626.7	80	45	91	SW	0 SW	1 SW	0	2	1	7	.
16	9.9	16.0	9.8	11.9	2.2	626.5	624.9	625.6	82	51	87	SW	0 SW	0 SW	0	4	8	10	0.2 ∇ 19%, ● n (16./17.)
17	9.5	16.4	10.4	12.1	2.3	624.7	623.9	625.1	90	50	85	NW	0 SW	1 SW	0	10	8	10	.
18	10.2	18.0	9.2	12.5	2.6	625.7	625.2	626.2	86	47	87	W	0 NE	0 NW	0	3	8	8	.
19	9.6	16.1	9.0	11.6	1.6	626.0	624.2	623.6	89	49	96	SW	0 SW	0 SW	0	10	10	10	0.0 ● 18% - 19%
20	11.8	15.2	9.2	12.1	2.0	620.4	618.7	618.0	74	47	97	SW	0 SW	0 W	0	9	10	10*	3.6 ● 19½ - n
21	11.4	14.6	3.6	9.9	-0.2	615.9	614.5	616.6	82	64	100	SW	0 SW	2 NE	0	8	10	2	6.6 ● 16 - 19
22	4.4	14.2	2.8	7.1	-3.1	616.3	615.4	617.2	97	46	97	S	0 SW	2 NW	0	10*	10	10*	45.0 ● 16% - 22, * 22 - n, *)
23	1.4	12.8	4.0	6.1	-4.2	618.1	617.5	619.5	98	47	90	SW	0 S	0 NE	0	10*	7	2	0.6 ● n (23./24.), ≡ n - 10
24	5.1	18.2	6.6	10.0	-0.4	618.7	617.7	619.1	91	77	90	SW	0 SW	0 SW	0	10	10	10	3.4 ● 6 - p mU
25	5.6	15.4	7.6	9.5	-0.9	622.7	621.5	622.0	71	29	75	S	0 SW	0 S	0	2	0	1	.
26	7.2	8.9	6.6	7.6	-2.9	619.3	617.3	614.1	84	75	95	SW	2 SW	0 SW	0	10	10	10	11.4 ● 8% - n mU
27	5.4	1.2	1.0	2.5	-8.1	609.0	612.8	613.0	89	61	65	NW	0 NE	0 SW	0	10*	10*	10	6.8 ● n - 10, 20 - n mU, * 10 - 20
28	3.5	7.5	7.0	6.0	-4.6	616.7	618.9	620.9	89	61	65	SW	0 NW	1 N	0	10	10	8	.
29	4.1	19.6	8.6	10.8	0.1	619.8	618.1	618.3	92	30	75	SW	0 SW	1 SW	0	0	0	0	.
30	7.6	18.5	11.2	12.4	1.6	619.2	618.1	618.8	90	54	92	SW	0 SW	2 SW	0	0	2	10	.
Mittel	6.8	13.8	7.3	9.3	—	621.4	620.5	621.5	83	51	82					6.0	6.7	6.9	Summe 110.8

*) 22. \bar{K} 16% - 16%, \equiv n - n

Juni 1958

Beobachter: Couvent des Capucins

Sion

$\lambda = 7^\circ 22'$, $\beta = 46^\circ 14'$

$H_0 = 548.6$ m, $G = -0.14$ mm

1	14.8	25.4	15.6	18.6	2.2	716.7	714.6	715.6	73	45	70	N	0 N	0 W	1	2	4	0	.
2	16.0	26.0	17.8	19.9	3.4	716.3	713.8	714.7	75	46	82	N	1 N	1 S	0	8	8	0	0.9 ● 16% - 17%, \bar{K} 17 - 17%
3	16.8	18.2	14.0	16.3	-0.3	715.4	713.2	718.3	83	71	90	ENE	0 W	2 W	0	4	10	9	8.0 ● \bar{K} 14% - 16%
4	14.3	20.6	15.2	16.7	0.0	718.5	716.1	715.7	79	50	65	W	0 WSW	1 W	0	7	3	1	.
5	14.1	22.2	16.2	17.5	0.7	717.2	714.6	715.0	73	50	65	NE	0 W	2 W	0	2	2	0	.
6	15.6	20.4	16.0	17.3	0.4	715.2	714.4	714.6	69	61	80	N	0 WSW	1 W	1	10	10	6	1.3 ● tr 14%, 15% - 17% mU
7	15.2	21.2	16.0	17.5	0.5	717.7	717.1	719.5	95	65	85	W	1 WSW	1 W	1	10	6	10	1.7 ∇ 19 - 19%
8	15.8	23.2	18.2	19.1	2.0	719.7	717.0	716.0	79	56	60	NW	0 WSW	2 WSW	0	0	2	1	.
9	16.2	23.8	19.2	19.7	2.5	715.7	712.6	711.4	75	55	60	W	0 W	2 E	0	1	3	10	.
10	17.0	16.4	12.2	15.2	-2.1	710.8	710.2	711.7	74	91	95	E	0 SW	1 SW	0	10*	10*	10	9.4 ● tr 7%, 11 - 18%, 22% - 24%
11	12.6	14.4	13.8	13.6	-3.7	712.5	713.3	714.8	87	77	80	SW	0 WSW	2 W	0	10*	10	10	● tr 7%
12	14.4	21.0	14.0	16.5	-0.9	715.7	714.5	715.0	76	46	62	W	0 WSW	1 W	2	6	2	0	.
13	15.0	21.4	16.2	17.5	0.0	715.3	713.9	716.3	73	51	58	W	0 W	1 WNW	0	8	2	0	.
14	14.1	23.0	15.6	17.6	0.0	718.8	716.6	718.2	70	45	66	NE	0 WSW	1 W	1	2	1	0	.
15	15.0	23.4	18.2	18.9	1.2	719.9	718.0	718.1	74	54	60	NE	0 WSW	2 W	0	0	2	2	.
16	17.6	25.7	19.4	20.9	3.1	719.8	716.7	716.8	70	46	61	NE	0 W	1 W	0	2	4	6	.
17	19.2	27.3	21.0	22.5	4.6	716.5	714.9	716.0	75	48	60	NE	0 WSW	1 W	0	4	6	10	.
18	19.2	27.0	21.2	22.5	4.6	717.1	716.1	717.0	71	47	60	W	0 W	1 W	0	6	4	9	.
19	20.1	25.8	21.8	22.6	4.6	718.0	715.6	713.5	75	57	62	W	0 WSW	1 W	1	9	7	8	.
20	18.0	20.2	16.2	18.1	0.0	713.5	711.1	711.4	78	75	100	N	0 NW	1 NW	0	10	10	10*	12.5 ● 14% - 23% mU
21	15.8	20.0	14.6	16.8	-1.4	709.2	707.2	709.9	95	80	86	NW	0 WSW	1 W	1	10	10	10*	1.2 ● 3% - 4%, 10% - 11% mU, *)
22	15.7	19.4	14.0	16.4	-1.9	710.3	708.7	710.0	79	62	71	W	1 W	2 W	2	9	10	1	0.2
23	14.1	20.4	14.2	16.2	-2.2	712.1	710.8	712.0	78	45	66	W	1 W	2 W	2	8	2	4	0.2 ● 2%
24	13.6	16.3	12.6	14.2	-4.2	710.2	710.6	716.3	74	75	85	NE	0 NE	0 W	0	10	9	9	11.2 ● 3% - 3%, 8% - 12% mU, *)
25	12.4	20.4	14.2	15.7	-2.8	716.8	709.6	713.2	78	44	85	WNW	0 NE	0 W	1	0	0	0	.
26	15.4	18.8	14.2	16.1	-2.5	711.0	706.9	705.0	83	72	93	W	0 W	0 W	0	10	10	10*	8.0 ● tr 15, 20 - 22%
27	12.8	14.8	11.0	12.9	-5.8	707.1	708.1	710.5	58	55	85	W	1 WSW	1 WSW	0	10	10	9*	0.3 ● 1% - 3%, 17% - 23%
28	13.0	18.5	14.6	15.4	-3.4	713.3	713.0	713.4	76	52	68	WSW	0 W	2 W	0	8	6	0	.
29	14.0	22.5	18.4	18.3	-0.5	713.6	710.3	710.8	74	59	67	NE	0 WSW	1 W	0	0	0	0	.
30	16.2	23.2	18.1	19.2	0.3	711.2	709.2	710.0	82	62	83	W	0 WSW	1 WSW	0	1	9	7	0.1
Mittel	15.5	21.4	16.1	17.7	—	714.8	713.0	714.0	77	58	74					5.9	5.7	5.1	Summe 55.0

*) 21. 14 - 15, 16 - 16%, tr 21%
24. 14% - 16%, 17% - 19%

λ = 8° 58', β = 46° 00',
H_b = 276.2 m, G = -0.04 mm

Lugano

Juni 1958
Beobachter: G. Vicari

Tag	Lufttemperatur					Luftdruck			Relative Feuchtigkeit			Windrichtung und Stärke			Bewölkung			Niederschlag	Witterung		
	7 ³⁰	13 ³⁰	21 ³⁰	Mittel	Abweich. vom Normalst	7 ³⁰	13 ³⁰	21 ³⁰	7 ³⁰	13 ³⁰	21 ³⁰	7 ³⁰	13 ³⁰	21 ³⁰	7 ³⁰	13 ³⁰	21 ³⁰				
1	14.4	26.2	19.6	20.1	2.2	740.3	739.7	739.3	81	39	68	N	1	SSE	1	N	1	1	2		
2	15.4	27.4	20.2	21.0	3.0	740.5	739.5	739.1	82	41	72	E	0	SSW	1	N	1	3	1		
3	17.8	25.6	19.2	20.9	2.7	738.1	736.9	736.9	76	48	47	N	0	S	1	N	1	9	8	0.3	
4	17.2	29.2	21.4	22.6	4.3	737.0	735.8	735.3	68	25	32	NNE	2	NNW	2	N	1	1	1	0	
5	16.0	26.6	20.6	21.1	2.7	736.9	736.6	736.9	67	48	61	N	1	S	1	N	1	3	1	0	
6	17.2	23.4	19.8	20.1	1.6	738.6	738.0	736.8	84	59	79	NW	1	ESE	1	N	1	4	9	2	
7	18.2	18.4	18.4	18.3	-0.3	739.5	740.8	740.9	84	91	62	S	1	SSE	0	N	1	9	8	0	
8	15.2	27.8	22.2	21.7	2.9	741.8	740.3	738.5	83	42	67	NNE	1	S	1	N	1	4	1	3	
9	19.2	26.4	19.4	21.7	2.8	737.7	735.8	733.1	84	55	77	SSW	0	S	1	SW	1	6	4	10	
10	16.4	17.4	13.8	15.9	-3.1	733.8	732.1	730.9	85	86	97	ENE	0	W	1	N	1	10	10	10	
11	14.8	22.2	21.2	19.4	0.3	729.3	730.1	732.5	94	32	31	W	1	NNE	2	NNE	3	10	9	9	
12	17.2	23.3	15.8	18.8	-0.4	735.0	735.1	737.7	59	54	82	S	1	S	1	N	1	3	6	4	
13	14.2	22.4	17.6	18.1	-1.2	738.9	738.1	738.7	84	49	73	N	1	S	1	N	1	3	5	0	
14	14.2	25.2	18.8	19.4	0.0	741.2	740.8	741.4	78	43	68	NE	1	S	1	N	1	0	1	0	
15	17.2	25.4	18.6	20.4	0.9	743.9	743.3	743.9	84	45	67	N	1	S	1	N	1	4	1	3	
16	18.2	26.4	21.4	22.0	2.4	744.0	742.2	741.9	78	45	66	SSW	0	S	1	N	1	10	1	0	
17	17.8	27.2	20.4	21.8	2.1	741.0	739.8	740.8	81	46	68	NE	0	S	1	N	1	9	1	9	
18	17.2	28.2	22.4	22.6	2.8	741.8	741.0	741.9	81	38	58	NNE	1	S	1	N	1	0	1	0	
19	16.8	28.0	20.4	21.7	1.8	742.0	739.9	737.9	79	38	62	N	0	S	1	NNE	1	1	1	10	
20	18.8	26.4	16.6	20.6	0.6	736.9	734.7	733.5	75	56	99	SSW	1	S	1	NNE	1	10	9	10	
21	17.8	22.6	16.1	18.8	-1.3	730.9	729.3	729.6	91	66	97	N	1	S	1	W	1	9	9	7	
22	16.0	23.2	14.8	18.0	-2.2	730.1	730.0	731.2	73	57	97	N	1	S	1	N	1	2	9	10	
23	12.8	21.4	15.6	16.6	-3.7	732.6	732.3	733.5	94	58	62	NNE	1	W	1	N	1	1	5	2	
24	16.4	14.8	12.8	14.7	-5.7	734.5	735.0	736.6	85	93	97	S	1	N	0	N	1	10	10	5	
25	13.8	25.8	18.4	19.3	-1.2	738.1	738.0	736.0	82	39	59	S	1	S	1	N	1	0	1	5	
26	14.4	14.4	13.6	14.1	-6.4	736.2	734.1	730.1	93	96	99	N	1	W	1	S	0	10	10	10	
27	13.4	14.8	13.0	13.7	-6.9	722.1	725.1	727.2	96	34	64	N	1	N	3	N	1	10	10	5	
28	18.0	25.2	20.4	21.2	0.5	729.5	730.6	732.8	33	27	39	N	2	NNE	2	N	1	1	1	0	
29	14.8	26.6	21.2	20.9	0.1	733.6	732.9	733.4	73	45	68	NE	0	S	1	N	1	0	0	0	
30	15.8	21.4	17.4	18.2	-2.6	734.1	734.3	733.5	85	59	88	SE	1	S	0	N	1	5	9	4	
Mittel	16.2	23.8	18.4	19.5	—	736.7	736.1	736.1	80	52	70							4.8	4.8	4.1	
																					Summe 181.6

λ = 7° 35', β = 47° 33',
H_b = 317.3 m, G = 0.08 mm

Basel

Juni 1958
Beobachter: Astronom-Meteorol. Anstalt

1	15.5	25.8	15.5	18.9	4.3	734.9	734.4	734.1	71	34	82	ENE	1	NNE	1	SE	0	1	1	0	
2	15.4	28.2	16.9	20.2	5.5	734.4	733.3	734.8	76	41	84	ESE	1	NNE	1	WSW	0	9	7	10	4.5
3	13.2	14.0	10.5	12.6	-2.2	736.0	736.0	737.6	87	89	91	WNW	1	NW	1	SE	0	10	10	3	5.2
4	13.0	19.4	11.9	14.8	-0.1	738.1	737.1	736.8	87	54	86	N	1	WNW	2	SSW	1	2	2	1	
5	12.4	21.5	13.2	15.7	0.7	736.9	736.3	735.4	77	44	83	E	1	NW	1	SW	1	1	1	0	
6	13.9	23.1	17.9	18.3	3.2	734.5	733.7	732.9	76	51	85	ENE	1	NW	1	E	1	8	9	1	2.3
7	15.0	21.6	15.0	17.2	2.0	735.9	737.6	738.8	97	59	92	SE	1	NW	1	SSE	1	10	8	10	0.5
8	15.6	22.0	14.2	17.3	2.0	739.5	738.3	736.6	74	52	75	SSW	1	WNW	1	SW	1	8	3	1	
9	15.0	22.6	16.6	18.1	2.7	735.7	733.7	732.3	71	49	66	SSW	0	NW	1	WNW	1	7	4	10	
10	14.4	16.5	12.1	14.3	-1.2	731.2	730.2	731.4	86	72	96	SSW	0	WNW	2	WNW	1	10	10	10	14.4
11	11.8	17.2	13.3	14.1	-1.5	732.7	733.9	736.0	87	60	81	WNW	1	WNW	2	SW	1	10	6	9	
12	13.0	17.9	11.6	14.2	-1.5	737.2	736.8	735.9	83	58	89	SW	0	NNW	0	S	1	9	10	10	
13	11.6	16.9	12.4	13.6	-2.2	737.2	737.5	738.6	84	68	91	NW	1	NNW	1	NW	0	10	10	8	0.0
14	11.8	20.4	14.6	15.6	-0.3	740.8	740.0	739.2	86	53	59	NW	0	ESE	2	SE	1	0	2	1	
15	13.2	22.9	15.2	17.1	1.1	739.6	738.2	738.2	70	40	82	ENE	0	NW	1	SSW	1	0	1	1	
16	16.1	27.2	18.3	20.5	4.4	738.0	736.7	735.8	75	46	66	E	1	NW	1	SW	1	1	7	3	
17	18.2	27.3	19.0	21.5	5.3	734.9	734.3	735.0	69	48	71	SE	1	WSW	1	ESE	0	1	4	3	
18	21.0	24.3	17.9	21.1	4.8	736.0	736.4	737.4	71	60	85	ESE	0	SSE	1	SW	1	4	8	9	0.2
19	14.6	24.8	16.4	18.6	2.2	737.4	735.3	733.7	96	61	94	NW	1	NNW	1	SSW	1	10	10	10	16.3
20	17.3	19.4	16.5	17.7	1.2	731.8	729.6	728.7	95	79	85	ENE	1	SSW	1	WSW	1	10	10	10	14.5
21	15.0	16.2	14.4	15.2	-1.4	727.3	727.7	729.4	97	78	82	WSW	1	WNW	1	WNW	1	10	10	10	4.3
22	12.2	16.8	14.6	14.5	-2.2	729.3	729.4	729.1	96	62	67	S	0	W	1	WSW	1	10	10	10	2.8
23	14.5	19.6	13.5	15.9	-0.8	731.5	731.7	732.1	72	49	71	WSW	1	WNW	2	E	1	6	6	5	0.0
24	13.2	13.7	10.4	12.4	-4.4	730.0	729.5	735.4	77	88	84	ESE	1	SW	0	WSW	1	9	10	8	12.2
25	12.5	21.2	16.6	16.8	-0.1	736.6	733.7	730.6	74	49	61	E	1	ESE	1	E	1	1	5	1	1.5
26	13.2	16.4	15.4	15.0	-2.0	728.8	725.6	721.5	96	91	93	ESE	1	ESE	1	ESE	1	10	10	9	7.4
27	9.0	13.5	12.9	11.8	-5.3	726.1	726.7	727.9	85	62	63	WSW	2	WSW	1	W	1	10	10	10	0.5
28	12.4	19.2	12.4	14.7	-2.4	732.4	733.8	734.4	82	58	81	W	1	WNW	2	S	1	9	7	3	
29	13.3	20.6	15.2	16.4	-0.8	733.5	731.8	731.3	78	54	76	E	0	NE	1	WSW	1	0	4	2	
30	15.2	24.6	18.4	19.4	2.1	730.6	729.9	729.7	84	62	85	ENE	1	WNW	1	SSW	1	3	4	8	2.4
Mittel	14.1	20.5	14.8	16.5	—	734.3	733.6	733.7	82	59	80							6.3	6.6	5.9	Summe 89.0

*) 13. tr 17-17% 19. K-18-19%, 22%-23% 20. 20%-20%, 21%-n, 11

Juni 1958
Beobachter: W. Utzinger

Säntis

$\lambda = 9^\circ 21'$, $\beta = 47^\circ 15'$,
 $H_b = 2500.1$ m, $G = -0.29$ mm

Tag	Lufttemperatur					Luftdruck			Relative Feuchtigkeit			Windrichtung und Stärke			Bewölkung			Niederschlag	Witterung		
	7 ³⁰	13 ³⁰	21 ³⁰	Mittel	Abweich. vom Normalst.	7 ³⁰	13 ³⁰	21 ³⁰	7 ³⁰	13 ³⁰	21 ³⁰	7 ³⁰	13 ³⁰	21 ³⁰	7 ³⁰	13 ³⁰	21 ³⁰				
1	5.0	9.3	5.4	6.6	5.1	566.2	566.8	567.1	39	56	89	N	1	WSW	2	1	1	5			
2	10.0	12.2	5.4	9.2	7.6	567.2	567.2	566.5	34	50	97	SSE	2	SW	1	2	3	9	≡ 20% n		
3	7.0	11.8	-0.2	6.2	4.5	565.4	565.4	565.8	66	67	100	SW	2	WSW	1	2	4	10	☉ 15-n mU, ☐ 16%-17%, *		
4	-1.2	0.0	-0.4	-0.5	-2.3	565.1	565.6	565.5	100	100	100	W	2	W	2	1	10	10	* 8-9%, ≡ n-n mU ☒		
5	0.1	3.2	1.2	1.5	-0.4	564.6	565.3	565.5	100	80	51	NW	1	WNW	1	1	10	9	≡ n-19% mU		
6	4.7	7.4	4.9	5.7	3.7	564.5	565.4	565.6	65	80	65	W	2	W	2	NW	1	7	9	☉ n (6./7.), ≡ 16-17 mU, ☐ 10%	
7	4.8	2.8	1.8	3.1	1.0	567.4	567.3	568.6	82	100	100	S	1	NW	1	NNW	1	9	10	☉ 9-12, ☉ 12-12%, *	
8	2.8	7.4	3.6	4.6	2.5	568.0	568.0	566.9	97	77	100	W	1	WNW	1	WNW	1	10	9	≡ n-n mU, ☐ III	
9	3.6	8.6	4.3	5.5	3.3	564.7	564.5	563.4	92	75	68	WNW	1	W	1	WNW	1	4	8	≡ n-8% mU, 10%-18 mU, ☐ 8-8%	
10	4.2	0.9	-0.5	1.5	-0.8	560.9	559.8	559.4	68	100	100	N	1	NNE	1	NNE	2	10	10	* 6%-6%, 19-n, *	
11	-1.2	-0.4	-1.4	-1.0	-3.4	559.7	561.3	563.5	100	100	100	N	3	NNE	2	N	1	10	10	* ≡ √ n-n mU, ☐ 9%-13%	
12	-4.0	0.0	-2.7	-2.2	-4.7	563.5	564.3	564.4	64	90	78	NNE	2	ESE	1	NE	1	1	9	☉ 17%-18%, ≡ 11-18% mU, *	
13	-1.7	-0.8	-2.8	-1.8	4.4	563.6	565.2	566.2	81	100	100	ENE	2	NE	2	NE	2	3	10	☐ 12%-15 mU, ≡ 9-18%	
14	-1.0	1.7	0.2	0.3	-2.4	566.1	567.3	568.0	74	90	97	NE	1	E	1	W	1	1	10	≡ 10-19% mU	
15	2.4	6.8	3.4	4.2	1.4	568.1	569.5	569.4	72	72	98	W	2	WNW	2	WNW	2	0	9		
16	4.8	9.2	4.7	6.2	3.4	568.9	568.8	568.4	77	66	75	NW	2	W	1	WNW	1	9	1	≡ 9%-11% mU, 16-n	
17	8.8	9.7	6.8	8.4	5.5	567.0	567.3	567.9	66	72	70	NW	1	W	1	NW	1	9	10	☉ 9%-10%, ☉ 21%-n mU, *	
18	7.4	10.2	5.0	7.5	4.5	568.2	568.7	569.1	76	65	100	S	1	W	1	W	1	8	5	☉ 13-n, ≡ n-n mU	
19	5.2	7.9	4.0	5.7	2.6	568.2	567.6	565.9	86	71	100	WNW	2	W	2	WNW	2	10	10	* n-14% mU, ☉ 14%-17, *	
20	3.7	5.7	3.0	4.1	0.9	563.1	561.8	560.1	100	100	100	W	2	WNW	2	WNW	2	3	10	* ≡ 19%-n, n-n mU	
21	2.4	3.6	0.1	2.0	-1.3	558.6	558.3	559.1	100	100	100	W	3	W	3	W	3	10	10	* n-11% mU, ≡ n-17%, *	
22	0.0	0.4	-0.4	0.0	-3.4	559.0	559.3	556.3	100	100	100	W	2	NW	2	WNW	3	10	10	* n-8%, 17%-n mU, *	
23	-2.0	-0.4	-0.4	-0.9	-4.4	559.7	560.5	562.0	100	100	100	W	3	W	2	W	1	10	10	≡ n-7%, √ n-8%, ☐ 16%-17%	
24	0.0	4.0	-1.0	1.0	-2.5	560.1	559.4	560.7	100	80	100	SW	1	W	2	W	3	10	10		
25	-2.2	1.0	4.2	1.0	-2.6	563.7	564.2	563.2	100	76	56	W	2	W	2	SW	2	10	1	☉ tr 16, * n (26./27.)	
26	5.2	7.0	4.4	5.5	1.8	561.3	558.8	555.8	57	82	83	W	1	SW	2	WSW	2	10	10	* ≡ √ n-n, ☉ 7-16, ☉ n-p	
27	-3.7	-5.1	-2.8	-3.9	-7.7	552.7	553.2	555.9	100	100	100	WNW	4	W	4	W	2	10	10	* n-9, ≡ √ n-n	
28	-2.8	-1.8	-0.8	-1.8	-5.7	559.0	561.3	563.2	100	100	100	W	3	SW	3	W	2	10	10	≡ 20%-n	
29	0.2	3.2	5.2	2.9	-1.1	562.4	562.7	562.9	46	60	100	NW	1	W	2	W	3	1	1	≡ 17%-20% mU	
30	6.0	10.2	5.7	7.3	3.2	562.1	563.1	562.6	45	71	95	WNW	3	W	1	N	1	1	8		
Mittel	2.3	4.5	2.0	2.9	-	563.6	563.9	564.1	79	83	91							6.8	8.6	7.9	Summe 248.0

Juni 1958
Beobachter: E. Chiesa

St. Gotthard (Hospiz)

$\lambda = 8^\circ 34'$, $\beta = 46^\circ 33'$,
 $H_b = 2095$ m, $G = -0.27$ mm

Tag	Lufttemperatur					Luftdruck			Relative Feuchtigkeit			Windrichtung und Stärke			Bewölkung			Niederschlag	Witterung			
	7 ³⁰	13 ³⁰	21 ³⁰	Mittel	Abweich. vom Normalst.	7 ³⁰	13 ³⁰	21 ³⁰	7 ³⁰	13 ³⁰	21 ³⁰	7 ³⁰	13 ³⁰	21 ³⁰	7 ³⁰	13 ³⁰	21 ³⁰					
1	5.3	10.9	5.8	7.3	3.6	594.9	595.4	596.0	65	50	83	NW	0	SE	1	SE	0	0	6	0		
2	8.0	13.2	7.3	9.5	5.7	596.0	596.0	595.9	57	54	83	SE	0	SE	1	SE	2	3	3	3	0.0	☉ 16%-16%
3	7.2	10.0	2.0	6.4	2.5	594.5	593.6	594.7	75	67	99	SE	1	SE	2	NW	2	9	9	10	☉ 12, 14%-n, ☉ 21%, *	
4	1.0	5.4	2.5	3.0	-1.0	594.3	594.5	594.1	98	69	95	NW	2	NW	2	NW	2	10	0	10	≡ n-8%, 18%-n	
5	1.3	8.9	3.7	4.6	0.5	593.6	593.8	593.9	90	37	78	NW	2	NW	1	NW	1	0	0	0		
6	6.0	12.2	6.1	8.1	3.9	593.8	594.2	594.6	61	61	90	SE	0	SE	1	SE	0	0	9	3		
7	5.2	8.6	4.8	6.2	1.9	594.9	595.2	596.1	92	75	99	NW	1	NW	1	NW	1	10	10	10	☉ tr 8%-a, ☉ p-n, ≡ 14%-n	
8	4.0	13.2	6.3	7.8	3.4	596.9	596.8	596.1	80	44	95	NW	1	SE	0	NW	1	0	0	10	≡ 19%-n	
9	7.4	12.6	7.2	9.1	4.6	594.2	593.1	591.3	87	54	95	SE	0	SE	0	SE	0	9	6	10	☉ 21%-n, ≡ 19%-n	
10	4.4	3.5	1.5	3.1	-1.5	590.1	588.6	587.8	85	93	98	NW	0	NW	1	NW	2	10	10	10	☉ n-n, * n (10./11.), ≡ n-n mU	
11	0.2	1.4	0.8	0.8	-3.9	587.8	589.4	591.3	99	98	89	NW	3	NW	2	NW	3	10	10	10	☉ * n-n mU, ☉ a-n, ≡ n-n, *	
12	-0.4	4.8	0.6	1.7	-3.1	591.7	592.7	592.9	99	61	95	NW	3	NW	2	NW	2	10	6	6	≡ n-9%, ☉ n-p mU	
13	0.5	4.0	0.6	1.7	-3.2	592.4	593.7	595.0	84	78	96	NW	1	NW	2	NW	1	3	9	10	≡ 21%-n, ☐ I	
14	-0.2	7.8	4.2	3.9	-1.1	594.5	595.6	596.9	91	52	90	NW	2	NW	1	NW	1	0	0	3	☐ I, ☐ III	
15	5.3	12.0	7.1	8.1	3.0	597.4	597.8	598.3	84	41	96	SE	1	NW	0	NW	0	6	3	10	≡ 18%-n, ☐ I	
16	7.2	13.4	7.4	9.3	4.2	598.1	597.7	597.3	76	59	95	SE	0	SE	0	SE	0	9	3	10	≡ 20%-n, ☐ I	
17	6.2	13.8	7.5	9.2	4.0	596.1	596.2	596.9	94	59	94	SE	0	SE	1	SE	2	10	3	10	≡ n-11%, ☐ I	
18	7.0	14.2	8.0	9.7	4.4	596.9	597.3	597.6	85	47	88	SE	0	SE	1	SE	0	0	0	10	≡ 19%-n	
19	7.8	12.0	7.4	9.1	3.7	597.2	596.6	594.6	96	67	95	SE	0	SE	0	SE	1	10	9	10	☉ 15%-16%, ≡ p-n mU	
20	7.2	8.0	6.2	7.1	1.6	592.8	591.3	590.1	92	96	97	SE	1	SE	1	SE	0	10	10	10	☉ 10%-n, ≡ n-n, ☐ I	
21	7.0	8.8	4.0	6.6	1.0	588.3	587.4	587.7	77	92	96	NW	0	SE	1	NW	1	10	10	10	☉ n-7%, 11-12, 14%-14%, *	
22	3.0	6.1	4.5	4.5	-1.2	587.7	587.7	588.0	85	92	83	NW	1	NW	1	NW	1	3	10	10	☉ 14%-15%, ≡ 12%-n	
23	1.5	5.0	3.2	3.2	-2.6	588.4	589.2	589.8	93	85	92	NW	1	NW	2	NW	2	6	6	10	☉ n (23./24.)	
24	3.4	2.2	2.0	2.5	-3.4	589.0	588.9	590.8	95	97	94	SE	1	SE	2	NW	2	10	10	10	☉ n-n, ≡ n-n mU	
25	0.4	9.8	5.0	5.1	-0.9	592.9	593.3	593.1	84	46	69	NW	0	SE	1	SE	2	0	0	10	☉ n (25./26.)	
26	3.8	3.8	3.2	3.6	-2.5	591.0	588.8	585.8	89	98	95	SE	1	SE	0	SE	1	10	10	10	☉ ≡ n-n	
27	1.3	-1.0	-0.6	-0.1	-6.3	581.4	582.4	584.1	74	78	97	NW	3	NW	3	NW	3	10	10	10	☉ n-8, * 8-a, ☉ a-n, *	
28	0.0	1.2	1.0	0.7	-5.6	587.3	590.1	590.6	85	92	96	NW	3	NW	3	NW	3	9	9	10	≡ 11%-n mU, ☉ n-n	
29	4.8	15.4	8.6	9.6	3.2	590.7	590.8	591.3	68	51	86	NW	1	SE	0	NW	1	0	0	0	☐ I, III	
30	10.0	12.8	8.4	10.4	3.9	590.9	591.0	590.7	48	86	96	NW	0	SE	1	SE	0	0	10	10	≡ 11%-n mU, ☐ I, III	
Mittel	4.2	8.5	4.5	5.7	-	592.5	592.6	592.8	83	69	91							5.9	6.0	8.2	Summe 132.4	

Säntis *) 3. ≡ 11-n mU 7. ☉ 21-12%, ≡ n-13% mU, 16. 16% mU, 20%-21% 10. ☉ * 8%-19 mU, ≡ 10%-14 mU, 14-n 12. ☐ 13%-14
 19. ▲ 21%, ☐ n (19./20.), ≡ 15-18 mU, 19%-n 21. * 17-n, ≡ n-n 23. 17%-n mU, √ n-11 24. ≡ n-8, 14%-n, √ 18%-n
 St. Gotthard *) 3. ☐ ▲ 21%, ≡ 19%-n 11. ☉ n-n mU 21. ≡ 11-n mU 27. ☐ III, ☉ n-n

λ = 7° 26', β = 46° 57',
H_b = 572.2 m, G = -0.04 mm

Bern

Juli 1958
Beobachter: Meteorologisches Observatorium

Tag	Lufttemperatur					Luftdruck			Relative Feuchtigkeit			Windrichtung und Stärke			Bewölkung			Niederschlag	Witterung
	7 ³⁰	13 ³⁰	21 ³⁰	Mittel	Abweich. von Monatsst.	7 ³⁰	13 ³⁰	21 ³⁰	7 ³⁰	13 ³⁰	21 ³⁰	7 ³⁰	13 ³⁰	21 ³⁰	7 ³⁰	13 ³⁰	21 ³⁰		
1	15.8	22.0	13.6	17.1	-0.1	707.1	705.1	707.4	89	57	94	SW 0	NE 0	SW 1	9	5	9	9.1	● 14%-20%
2	13.8	19.9	12.4	15.4	-1.9	707.4	706.3	708.1	91	49	96	W 1	W 1	SE 1	4	5	6	14.6	● 11-14% mU, 18%-21%, 23%-n
3	10.2	17.2	15.4	14.3	-3.1	709.1	709.1	709.3	93	53	80	ESE 2	SSW 1	SE 1	10	5	10	11.5	● n-7% mU
4	11.5	15.9	13.7	13.7	-3.7	709.8	709.9	711.5	91	66	77	ESE 1	WNW 1	W 1	9	7	9	5.1	● 2-4%, 9%-16 mU, 20%-n
5	12.9	16.2	14.0	14.4	-3.1	712.5	712.7	713.3	98	62	82	SW 1	WSW 2	SE 1	10	6	5	0.4	● n-10, 12-13%
6	13.0	20.3	16.2	16.5	-1.1	713.7	714.0	714.7	88	52	76	SE 1	NE 1	N 1	5	6	2	.	Δ I
7	14.4	20.9	14.6	16.6	-1.0	715.9	715.5	717.9	83	59	97	E 1	NE 1	WSW 1	4	7	10	9.0	● 19-n, K, 19%-20%, Δ I
8	14.2	20.8	17.9	17.6	-0.1	718.6	717.7	717.1	94	57	80	NE 1	NE 2	NE 1	2	1	2	.	● n-1%
9	14.8	20.1	17.9	17.6	-0.1	716.5	715.2	714.2	86	63	78	NNE 1	N 1	NE 1	0	4	4	.	Δ I
10	17.0	23.1	19.5	19.9	2.1	713.7	712.3	711.5	88	50	69	SW 0	NNE 1	NE 1	9	2	4	.	.
11	16.5	24.5	20.7	20.6	2.8	710.8	709.9	710.6	84	46	70	SE 0	SW 1	SE 1	0	2	4	0.6	.
12	17.2	25.5	21.4	21.4	3.5	712.7	712.6	712.8	90	48	69	SE 1	W 1	SE 1	2	7	3	.	● 5½-6
13	17.5	25.2	19.4	20.7	2.8	713.4	713.3	715.0	78	43	78	SE 1	WSW 2	W 1	2	9	9	0.2	● 20%-21%
14	18.0	22.5	19.9	20.3	2.4	715.2	714.2	713.1	91	60	87	NE 1	N 1	N 1	6	8	6	0.1	● 0½
15	18.1	27.0	18.7	21.3	3.4	713.5	711.8	711.5	94	60	75	SE 0	N 1	SE 2	3	4	9	4.7	● 5%-6, ∇ 18%-20% mU, *)
16	18.0	16.2	13.7	16.0	-2.0	710.0	711.5	714.9	86	94	95	ESE 1	W 1	SW 2	2	10	10	12.0	● 12%-13%, 14%-15%, *)
17	12.2	17.5	15.3	15.0	-3.0	718.9	719.0	718.7	93	59	63	E 0	ESE 2	NE 2	10	5	1	.	● n-6%
18	12.5	19.8	16.8	16.4	-1.6	717.4	716.5	715.6	81	54	73	NE 1	NE 2	N 1	1	1	0	.	Δ I
19	14.8	24.5	20.5	19.9	1.9	715.4	713.8	712.6	88	57	61	SE 0	NE 1	SW 0	2	2	1	.	Δ I
20	18.4	20.3	18.4	19.1	1.1	713.2	712.5	713.6	83	78	65	SSE 1	WSW 2	W 1	9	6	9	4.2	● 13-13%
21	16.0	21.1	17.6	18.2	0.2	711.9	709.3	706.9	81	54	76	W 1	WNW 1	N 1	6	5	6	5.4	.
22	12.9	14.7	14.9	14.2	-3.8	705.2	705.4	706.3	98	85	65	WSW 1	WSW 1	SW 2	10	10	6	4.6	● 0%-9%, 12-12%, 14%-14%, *)
23	12.4	15.5	13.8	13.9	-4.1	707.6	709.3	710.4	93	65	72	WSW 2	WSW 2	SW 1	9	9	10	5.5	● n-7%, 10-11% mU, *)
24	12.1	14.7	13.7	13.5	-4.5	709.4	711.6	716.1	98	89	92	SW 0	SW 2	SW 0	10	10	7	9.2	● 0-16 mU
25	12.3	19.5	16.0	15.9	-2.1	716.9	716.3	715.7	97	49	76	SE 1	SW 1	N 1	3	2	1	.	≡ 5½-7
26	14.4	22.6	18.6	18.5	0.6	714.7	713.9	715.0	85	61	86	N 1	NE 1	SE 1	4	9	9	.	Δ I
27	15.5	23.2	20.6	19.8	1.9	714.7	713.2	713.1	96	51	74	NE 1	SW 1	W 1	10	9	9	0.0	∇ 21%-22, ⊕ 13%
28	18.9	28.2	22.4	23.2	5.3	712.4	711.3	711.6	86	44	73	SE 1	WSW 2	SE 1	8	5	9	0.9	.
29	19.6	25.2	20.0	21.6	3.7	712.3	713.4	714.9	87	55	93	SE 1	WSW 2	SE 1	7	8	9	0.7	∇ 2½-2%, ● 15-16%
30	18.4	26.2	21.9	22.2	4.4	716.1	715.8	716.8	94	50	66	S 1	WNW 1	SW 1	3	4	1	.	.
31	18.7	26.4	22.5	22.5	4.7	717.8	716.8	715.7	84	53	85	SE 1	N 1	NE 1	1	1	1	.	.
Mittel	15.2	21.2	17.5	18.0	-	713.0	712.6	713.1	89	59	78	.	.	.	5.5	5.6	5.8	97.8	Summe

*) 15. ● 20%-23 mU 16. 18%-n, K, 12% 22. 23%-n 23. 18%-n mU

λ = 6° 57', β = 47° 00',
H_b = 487.3 m, G = 0.00 mm

Neuchâtel

Juli 1958
Beobachter: Observatorium

1	15.9	22.5	13.3	17.2	-0.7	714.5	712.7	714.8	86	56	95	ENE 1	S 1	W 1	9	6	10	4.3	● 15½-20
2	14.7	19.0	13.2	15.6	-2.3	714.8	713.7	715.4	85	64	95	S 1	S 1	W 1	2	9	8	7.1	● 18½-19%
3	11.2	17.9	16.0	15.0	-3.0	716.3	716.7	716.9	94	57	62	WSW 1	SE 1	W 1	10	5	10	3.1	● 0%-8, ∇ 21½-23 mU
4	11.7	18.2	12.7	14.2	-3.9	717.4	717.2	719.1	96	61	95	N 1	S 1	W 1	10	3	10	11.8	● 1½-3%, 9-n mU, ∇ 15-18%
5	12.8	16.0	14.5	14.4	-3.8	719.9	720.5	720.6	96	79	79	SW 2	SW 2	W 1	10	8	7	1.0	● n-8, 11½-12%
6	14.1	22.2	17.1	17.8	-0.4	721.0	721.4	722.2	86	50	70	N 1	SE 1	N 1	1	4	1	.	.
7	14.6	23.3	15.0	17.6	-0.7	723.4	723.0	724.8	85	54	97	N 1	ESE 2	SW 1	2	6	10	9.4	● 2 19%-19%, K, 2 19-20%
8	15.0	22.9	19.7	19.2	0.8	726.1	725.1	724.3	96	63	53	ENE 1	ENE 2	NNE 2	6	2	0	.	.
9	15.7	23.7	19.1	19.5	1.1	724.0	722.8	721.6	76	49	68	NE 2	E 2	N 1	0	2	3	.	.
10	16.1	24.1	19.9	20.0	1.5	721.1	719.7	718.9	89	56	58	N 1	SE 1	ENE 1	4	8	2	.	.
11	16.7	26.1	20.0	20.9	2.3	718.1	717.5	717.8	83	47	70	ENE 1	S 1	SE 1	2	1	2	.	.
12	18.8	26.9	20.7	22.1	3.5	719.9	720.0	720.0	80	46	65	SE 0	SSW 2	SSW 1	1	6	2	.	.
13	18.9	23.2	19.8	20.6	1.9	720.9	720.8	722.5	82	60	71	SSW 1	SW 2	WSW 1	2	10	10	1.9	● J 6%, 23%-n, ∇ 16½-18
14	17.8	24.6	21.8	21.4	2.7	722.8	721.6	720.4	90	56	67	N 1	SE 1	NNE 2	10	5	8	.	● n-2%
15	18.8	28.6	21.7	23.0	4.3	720.7	719.3	718.6	87	50	66	N 1	SE 1	NNE 1	6	1	3	0.2	● 19-20
16	19.4	16.7	14.9	17.0	-1.8	717.7	718.6	722.6	81	96	69	ENE 1	W 1	NW 1	7	10	10	5.4	● 11%-15, 18½-19, ∇ 18-21
17	14.6	21.6	15.7	17.3	-1.5	726.2	726.4	726.2	69	47	62	E 1	SE 2	NE 1	8	8	0	.	.
18	14.6	23.4	19.3	19.1	0.3	725.0	724.1	722.3	78	44	51	ENE 2	ENE 2	NE 2	1	0	0	.	.
19	15.8	25.6	20.4	20.6	1.8	722.9	721.5	719.8	83	44	69	NE 1	SE 1	SE 1	1	1	0	.	.
20	18.1	24.3	18.9	20.4	1.6	720.5	719.9	720.8	86	40	57	SE 0	WNW 3	SE 2	8	6	9	0.0	● tr 12%, ∇ 12-19% mU
21	17.3	23.2	18.4	19.6	0.8	719.4	717.0	714.4	60	50	57	S 1	S 2	W 1	2	8	3	6.3	.
22	13.4	15.4	14.9	14.6	-4.3	712.5	712.5	713.5	95	59	62	W 1	W 2	W 2	10	10	2	2.8	● 3%-8, 23%-n, ∇ 16-21
23	12.9	16.2	14.3	14.5	-4.4	715.1	716.8	717.9	88	56	79	SW 2	SW 2	SW 1	10	10	10	1.8	● n-7, 21%-n
24	12.8	14.0	13.2	13.3	-5.6	716.8	719.4	723.5	93	98	83	SW 2	SW 2	NW 1	10	10	8	6.7	● n-8 mU, 8-14, ∇ 4½-13% mU
25	11.8	20.9	17.1	16.6	-2.3	724.6	723.7	723.2	90	44	65	ENE 1	SE 1	S 1	2	1	0	.	.
26	13.6	22.4	18.7	18.2	-0.7	722.2	721.5	722.5	89	59	87	NE 1	S 1	SW 0	6	9	10	1.9	.
27	16.2	24.4	21.6	20.7	1.8	722.2	720.9	720.2	96	52	68	SW 0	SSE 1	S 1	10	7	10	0.2	● 4½-5%
28	19.0	28.5	22.1	23.2	4.4	719.6	718.7	718.9	90	48	71	S 1	SW 2	SW 0	7	6	9	.	● 4%
29	19.9	23.0	21.9	21.6	2.8	719.4	720.9	722.4	91	72	67	SW 0	W 2	SW 1	8	10	8	0.8	∇ 11%
30	20.2	28.7	23.6	24.2	5.4	723.2	722.8	723.9	82	47	54	SW 1	S 1	W 2	5	2	1	.	∇ 15-22 mU
31	19.1	29.5	23.6	24.1	5.3	725.1	724.3	723.0	83	43	72	NE 1	SE 1	NNE 1	0	0	1	.	.
Mittel	15.9	22.5	18.2	18.9	-	720.4	720.0	720.4	86	56	71	.	.	.	5.5	5.6	5.4	64.7	Summe

Juli 1958

Beobachter: Frl. H. Nager

Aldorf

$\lambda = 8^\circ 38', \beta = 46^\circ 53'$

$H_b = 456.3 \text{ m}, G = -0.08 \text{ mm}$

Tag	Lufttemperatur					Luftdruck			Relative Feuchtigkeit			Windrichtung und Stärke			Bewölkung			Niederschlag	Witterung			
	7 ³⁰	13 ³⁰	21 ³⁰	Mittel	Abweich. vom Normalst.	7 ³⁰	13 ³⁰	21 ³⁰	7 ³⁰	13 ³⁰	21 ³⁰	7 ³⁰	13 ³⁰	21 ³⁰	7 ³⁰	13 ³⁰	21 ³⁰					
1	16.2	21.7	16.1	18.0	0.7	716.1	714.1	717.5	96	64	94	N	0	NW	1	NW	0	6	7	10 [•]	8.7	● 20-n
2	15.4	19.6	14.0	16.3	-1.1	716.9	715.9	718.8	94	62	92	E	0	NW	1	NE	0	10	7	10 [•]	23.5	● 17 $\frac{1}{2}$ -n mU
3	11.8	14.2	13.7	13.2	-4.2	719.3	719.3	719.6	90	72	85	N	0	NW	1	E	1	10 [•]	7	10	14.1	● n-a, n (3./4.)
4	12.6	14.8	13.0	13.5	-4.0	720.1	720.0	722.0	94	69	96	E	0	N	0	NW	0	10	8	10 [•]	6.2	▽ p-n mU
5	12.7	16.4	13.8	14.3	-3.2	722.6	722.0	723.2	97	70	92	NE	0	N	0	NW	0	10 [•]	9	10	0.5	● n-7 $\frac{1}{2}$, ▽ p
6	12.8	17.7	14.4	15.0	-2.6	723.2	723.8	724.9	92	70	86	N	0	NW	0	SE	0	2	10	5		
7	13.2	20.3	14.8	16.1	-1.5	725.8	724.6	727.1	90	68	92	E	0	N	1	E	0	2	6	10	16.5	● K 16 $\frac{1}{2}$ -18
8	13.3	20.4	19.2	17.6	-0.1	728.2	727.2	726.8	96	71	79	E	0	NW	1	N	0	3	5	10		
9	16.3	19.4	17.9	17.9	0.2	726.5	724.9	724.4	86	74	92	NE	0	N	0	NW	0	8	7	10 [•]	2.2	▽ 20%-21 $\frac{1}{2}$
10	15.4	21.9	18.8	18.7	1.0	723.8	721.4	721.6	95	61	84	NE	0	NW	1	SE	1	10	7	10	0.4	▽ 16-17 $\frac{1}{2}$ mU
11	15.8	21.8	17.9	18.5	0.7	720.2	719.2	721.3	87	67	90	E	0	N	1	NW	0	1	8	10	3.1	● 18 $\frac{1}{2}$ -19
12	17.8	23.8	20.2	20.6	2.8	722.8	722.6	722.7	88	60	75	NE	0	N	0	E	0	4	7	3		
13	18.1	27.4	18.7	21.4	3.6	723.3	721.9	725.0	76	50	94	E	0	NW	1	NW	0	0	6	10	8.6	● n (13./14.)
14	17.9	21.6	18.8	19.4	1.6	725.1	724.1	723.4	97	74	90	NE	0	N	1	NW	0	9	7	6	0.1	▽ 17
15	18.4	25.3	22.5	22.1	4.2	722.7	720.5	722.1	90	64	81	S	0	NW	1	N	0	5	6	10		
16	19.7	21.7	18.9	20.1	2.2	719.5	719.7	723.4	82	80	80	NE	0	NE	1	NW	0	10	8 [•]	10	6.1	▽ a-p mU
17	14.7	17.7	15.0	15.8	-2.1	728.6	729.0	729.0	76	48	82	N	1	SE	0	E	0	10 [•]	8	6	0.0	▽ 7 $\frac{1}{2}$, 9
18	12.0	19.8	17.1	16.3	-1.6	727.5	725.9	725.2	90	70	85	E	0	NW	0	NW	0	0	4	0		
19	15.4	22.5	20.4	19.4	1.5	724.8	723.1	722.6	90	64	82	W	0	NW	1	NW	0	1	4	7	1.7	● n (19./20.)
20	16.9	20.7	17.5	18.4	0.5	723.1	721.3	723.0	94	75	95	N	0	N	1	NW	0	10	7	10	4.3	K 6-7, ● 14 $\frac{1}{2}$ -p mU
21	17.3	21.2	17.1	18.5	0.5	721.9	718.5	717.2	82	61	84	E	0	N	1	NW	0	8	4	9	1.0	● n (21./22.)
22	16.3	16.2	13.5	15.3	-2.7	713.7	714.9	715.5	79	80	94	NE	1	N	0	NW	0	10 [•]	9 [•]	10	25.3	● 5 $\frac{1}{2}$ -19 $\frac{1}{2}$
23	13.0	16.3	14.0	14.4	-3.6	717.3	718.0	719.9	95	66	90	E	0	N	1	NW	0	10 [•]	9	9	3.0	▽ n-p mU
24	13.2	14.5	13.2	13.6	-4.4	718.7	721.0	725.7	86	93	97	E	0	N	0	NW	0	10 [•]	10 [•]	10 [•]	17.8	● n-n
25	13.2	19.6	15.6	16.1	-1.9	726.5	725.4	725.7	96	56	85	N	0	NW	1	E	0	6	4	2		
26	12.9	21.1	16.9	17.0	-1.0	724.4	723.3	725.0	94	61	94	E	0	NW	0	N	0	2	9	10 [•]	1.3	● p-n
27	17.2	23.1	20.0	20.1	2.1	724.5	722.7	722.8	91	65	86	N	0	NW	1	W	0	10	4	10		
28	19.2	23.1	20.2	20.8	2.8	722.0	721.1	722.2	91	64	94	W	0	W	1	W	1	3	8	10	0.8	▽ p mU
29	19.2	21.1	19.0	19.8	1.8	721.9	722.9	725.0	85	87	95	E	0	E	1	NE	1	2	10 [•]	7	3.2	▽ a-p mU
30	19.2	25.4	21.2	21.9	3.9	726.3	724.8	726.6	94	59	90	N	0	NW	1	NW	0	5	2	4		
31	20.0	25.4	22.0	22.5	4.6	727.4	726.4	725.8	90	65	84	NW	1	W	0	W	0	1	1	1		
Mittel	15.7	20.5	17.3	17.8	—	722.7	721.9	723.1	90	67	88							6.1	6.7	8.0	148.4	Summe

Juli 1958

Beobachter: Observatoire

Genève

$\lambda = 6^\circ 09', \beta = 46^\circ 12'$

$H_b = 405.0 \text{ m}, G = -0.05 \text{ mm}$

Tag	Lufttemperatur					Luftdruck			Relative Feuchtigkeit			Windrichtung und Stärke			Bewölkung			Niederschlag	Witterung			
	7 ³⁰	13 ³⁰	21 ³⁰	Mittel	Abweich. vom Normalst.	7 ³⁰	13 ³⁰	21 ³⁰	7 ³⁰	13 ³⁰	21 ³⁰	7 ³⁰	13 ³⁰	21 ³⁰	7 ³⁰	13 ³⁰	21 ³⁰					
1	15.9	22.8	14.3	17.7	-0.7	721.5	720.2	721.9	83	47	80	NNE	1	SW	1	NW	1	5	9	8	8.0	● K 17-19 $\frac{1}{2}$, ● 23 $\frac{1}{2}$ -24 $\frac{1}{2}$
2	14.6	20.5	13.9	16.3	-2.2	722.1	721.1	722.9	76	46	85	NW	0	SW	1	SE	1	2	8	10 [•]	11.6	● tr 13 $\frac{1}{2}$, 15 $\frac{1}{2}$ -18 $\frac{1}{2}$, 21 $\frac{1}{2}$ -n, K 15 $\frac{1}{2}$ -18 $\frac{1}{2}$
3	12.3	20.2	17.5	16.7	-1.9	723.7	723.4	724.1	85	41	68	NNW	1	SW	2	S	1	9	8	10	1.4	● n-6 $\frac{1}{2}$, 23 $\frac{1}{2}$ -24
4	13.8	19.0	14.1	15.6	-3.0	724.5	724.6	726.3	77	42	76	SSE	1	S	2	SSW	1	8	9	10	1.2	● 5-5 $\frac{1}{2}$, 7 $\frac{1}{2}$ -7 $\frac{1}{2}$, 15 $\frac{1}{2}$ -19 $\frac{1}{2}$ mU, 22 $\frac{1}{2}$ -22 $\frac{1}{2}$
5	13.8	18.5	15.5	15.9	-2.8	727.3	727.7	727.7	88	59	70	SE	1	SW	1	NE	1	10	9	5	1.3	● 5-5 $\frac{1}{2}$, 7-9 $\frac{1}{2}$ mU
6	14.3	19.3	18.2	17.3	-1.5	728.0	728.6	728.8	75	45	65	NNE	1	NNE	1	NNE	1	1	0	1		
7	16.5	20.4	15.8	17.6	-1.3	730.0	730.1	732.3	76	54	86	E	0	NNE	1	NNW	1	8	10	9	1.2	● 17 $\frac{1}{2}$ -19 $\frac{1}{2}$
8	15.0	21.4	18.9	18.4	-0.6	732.8	731.6	730.4	86	52	66	NNE	1	NNE	2	NNE	1	10	2	3		
9	16.3	20.9	19.6	18.9	-0.1	730.9	729.8	728.5	74	59	77	NNE	1	NNE	1	S	1	10	7	8		
10	16.6	22.6	20.2	19.8	0.7	727.9	727.5	728.3	86	54	71	N	1	N	1	ENE	1	10	7	6		
11	17.5	24.8	22.5	21.6	2.4	725.1	724.2	724.9	80	49	55	S	1	NNE	1	SE	1	5	3	4		
12	20.3	28.8	25.2	24.8	5.5	727.0	726.6	726.8	62	38	48	NNE	1	WSW	2	SSW	2	2	2	1		
13	20.6	25.0	23.2	22.9	3.6	727.9	728.2	729.5	66	45	52	E	0	SSW	2	S	0	1	9	8		
14	18.8	24.0	22.2	21.7	2.3	729.4	728.2	727.1	80	60	69	NE	1	NNE	1	NE	1	3	3	4		
15	20.0	25.0	24.8	23.3	3.9	727.6	726.0	724.9	75	58	52	W	1	NNE	1	SSW	1	2	2	2		
16	20.0	18.7	14.7	17.8	-1.6	724.5	726.3	730.9	70	76	90	ENE	0	E	2	ESE	1	8	10	10	4.7	● 10 $\frac{1}{2}$ -21 $\frac{1}{2}$ mU
17	15.7	19.0	17.2	17.3	-2.1	733.0	733.0	732.3	72	51	59	NE	1	NNE	2	NE	2	8	3	2		
18	15.4	20.8	19.6	18.6	-0.9	731.7	730.9	729.8	73	59	62	NNE	1	N	2	N	1	1	1	1		
19	17.6	23.7	24.1	21.8	3.3	730.2	728.1	726.9	76	50	51	E	0	NNE	1	SW	1	1	4	4		
20	20.9	27.4	19.5	22.6	2.1	727.9	727.1	728.3	65	38	54	SW	1	SW	1	ESE	1	2	4	6		
21	17.9	23.9	19.9	20.6	1.1	726.5	724.0	721.6	70	44	51	SE	1	S	1	SSW	1	2	6	6	4.0	
22	15.5	16.3	13.7	15.2	4.3	720.6	720.8	721.9	81	56	78	SSW	1	SW	1	SSE	1	10	9	9	5.7	● 1 $\frac{1}{2}$ -6 $\frac{1}{2}$ mU, 21 $\frac{1}{2}$ -23 $\frac{1}{2}$, K 20 $\frac{1}{2}$ -21
23	15.1	16.1	16.1	15.8	-3.7	723.7	725.2	725.8	80	54	59	S	2	SW	1	S	1	8	9	10	3.6	● 5 $\frac{1}{2}$ -5 $\frac{1}{2}$, 10 $\frac{1}{2}$ -11, 16 $\frac{1}{2}$ -16 $\frac{1}{2}$
24	15.1	19.4	16.0	16.8	-2.7	725.4	727.6	730.5	74	58	81	S	2	SSW	1	ESE	1	9	10	9		
25	13.1	19.3	17.9	16.8	-2.7	731.4	730.7	730.1	92	46	59	NNE	1	NNE	1	N	0	2	3	1		
26	16.1	24.1	20.8	20.3	0.9	729.1	729.3	729.5	75	50	78	SE	0	SW	2	NW	1	8	10	8		
27	17.9	22.5	22.3	20.9	1.5	728.9	727.9	727.3	73	65	56	WSW	1	NNE	1	SE	1	8	9	10 [•]		
28	21.3	29.8	23.1	24.7	5.3	726.7	726.0	725.9	65	39	69	SW										

Juli 1958

Beobachter: Meteorologische Zentralanstalt

Zürich

$\lambda = 8^{\circ} 34'$, $\beta = 47^{\circ} 23'$,

$H_0 = 569.4$ m, $G = -0.01$ mm

Tag	Lufttemperatur					Luftdruck			Relative Feuchtigkeit			Windrichtung und Stärke			Bewölkung			Niederschlag	Witterung
	7 ³⁰	13 ³⁰	21 ³⁰	Mittel	Abw. von Normalst	7 ³⁰	13 ³⁰	21 ³⁰	7 ³⁰	13 ³⁰	21 ³⁰	7 ³⁰	13 ³⁰	21 ³⁰	7 ³⁰	13 ³⁰	21 ³⁰		
1	17.5	23.6	14.7	18.6	2.0	706.9	705.3	707.1	82	52	93	SSW 1	WNW 1	S 1	7	6	10 ⁰	19.8	● 17%-22%, ☐ 18%-19%, *)
2	14.2	20.5	13.1	15.9	-0.8	707.4	706.6	709.3	72	48	84	S 1	WNW 1	W 1	2	6	10 ⁰	19.0	● 16%-17%, 20%-23%, *)
3	10.8	16.2	12.9	13.3	-3.4	708.5	709.8	709.6	88	61	78	S 1	S 1	SE 1	10 ⁰	5	8	16.1	● 4%-10%
4	10.3	13.7	13.5	12.5	-4.3	710.2	710.7	711.5	88	81	76	S 1	SSW 1	SW 1	10	10 ⁰	9	3.3	● 1%-7%, 13-14%
5	12.2	15.3	14.2	13.9	-3.0	712.2	712.8	708.4	92	78	80	SSW 1	SW 1	SE 1	10	8	10	14.1	● 2-7%, 11%-13%, 22%-24
6	13.9	17.2	14.3	15.1	-1.8	713.6	714.9	715.3	83	70	86	SSE 0	ENE 1	NE 1	7	10	3	0.1	
7	14.0	21.7	17.4	17.7	0.7	716.3	715.8	717.2	81	50	79	SW 0	NE 1	N 1	1	9	10	0.0	△ I
8	15.1	23.4	17.1	18.5	1.4	719.0	717.9	717.9	84	49	73	S 1	NNE 1	NE 2	2	1	1	.	△ I, III
9	13.5	22.1	16.9	17.5	0.4	717.0	715.5	714.7	79	52	76	NE 1	NE 1	NNE 1	2	4	10	.	△ I, III
10	16.5	24.3	18.3	19.7	2.5	713.9	712.6	711.7	72	41	67	WSW 1	NNE 1	NNE 1	7	1	8	.	△ I, III
11	16.9	26.2	20.3	21.1	3.8	710.7	710.0	710.3	77	46	72	SSW 1	S 1	SSE 1	0	1	3	.	△ I, III
12	19.7	25.3	20.3	21.8	4.5	712.6	712.8	713.1	71	45	67	SW 1	SW 1	SE 1	10	9	1	0.4	● 7%-8, △ I, III
13	19.4	28.2	19.5	22.4	5.0	713.4	713.2	714.9	72	39	77	S 0	WSW 2	NW 1	1	6	10 ⁰	0.0	● tr 21%, △ I, ☐ 13-15% mU
14	17.1	23.6	19.3	20.0	2.6	715.9	714.7	713.6	75	55	82	WNW 1	S 1	NE 1	9	6	0	.	
15	19.1	29.3	22.6	23.7	6.3	713.5	711.8	712.0	81	53	50	S 0	NNE 1	WSW 2	4	1	10 ⁰	0.1	● tr 17%-21%, △ I, *)
16	19.1	24.6	15.1	19.6	2.1	710.4	710.1	714.3	76	58	94	S 0	W 1	WSW 2	6	10	10 ⁰	6.2	● 20%-23%, ☐ 13%-15
17	12.2	17.1	15.0	14.8	-2.7	718.7	719.1	719.2	90	62	75	WSW 1	SSW 1	NNE 1	10 ⁰	5	9	0.4	● 2%-7%
18	12.7	21.7	16.3	16.9	-0.6	718.0	717.2	716.1	83	45	66	NE 1	NE 2	NE 1	3	1	0	.	△ I
19	15.7	26.5	20.0	20.7	3.2	715.7	714.3	712.8	71	45	70	NE 1	ENE 1	E 1	2	1	1	0.0	△ I
20	18.1	25.0	17.5	20.2	2.6	712.7	711.8	713.4	75	54	62	SE 1	SW 2	WSW 1	10	7	9	2.1	● 15%-15%, 17%-17%, ☐ 13%-14%
21	15.0	22.0	14.7	17.2	-0.4	712.2	709.5	707.7	74	53	75	WSW 1	SSW 1	N 1	9	7	1	2.5	△ III
22	13.0	12.9	14.1	13.3	-4.3	705.0	705.3	706.0	91	81	74	WNW 1	WNW 1	WSW 1	10 ⁰	10 ⁰	10 ⁰	6.5	● 6-10% mU, 13%-21% mU, *)
23	11.9	16.3	13.6	13.9	-3.7	707.5	709.3	710.0	92	62	67	SW 1	W 2	WSW 2	10 ⁰	9	10	10.0	● tr 0%-0%, 2%-12% mU, *)
24	11.9	12.9	12.2	12.3	-5.3	709.0	711.6	716.1	89	93	90	WSW 1	WNW 1	SW 1	10 ⁰	10 ⁰	9	17.8	● 6%-14% mU
25	13.3	20.1	14.8	16.1	-1.5	717.3	716.7	716.2	86	44	65	SSW 1	W 1	NE 1	9	8	1	0.0	△ I, III
26	13.8	24.9	18.7	19.1	1.5	714.8	713.9	715.1	81	49	89	SW 1	SW 1	SW 1	2	9	10	.	△ I, III, ⊕ 10-13
27	18.2	23.3	18.5	20.0	2.4	714.8	713.6	713.3	76	49	76	WSW 1	WNW 1	NE 1	10	7	10	3.7	● 23%-23%, △ III
28	17.8	26.9	20.4	21.7	4.2	712.6	711.6	712.2	92	50	74	SW 1	SSW 1	SE 1	10	5	8	0.1	● 4%-7%
29	21.2	19.7	18.5	19.8	2.3	712.3	713.6	715.3	77	89	93	SSW 1	WSW 1	N 1	4	9	9	13.4	● 9%-10, 12%-14% mU, *)
30	19.9	25.5	21.0	22.1	4.6	716.3	715.8	717.3	80	52	80	SSE 0	WNW 1	WSW 1	9	5	10	.	△ I, III
31	20.5	27.4	22.1	23.3	5.8	718.1	717.4	716.1	68	46	76	W 1	NW 1	ENE 1	9	3	2	.	△ III
Mittel	15.6	21.9	17.0	18.2	-	713.1	712.8	713.2	81	56	77				6.6	6.1	6.8	135.6	

*) 1. ☐ 18%-20%, △ I 2. ☐ 16%-17% 15. ☐ 20%-22 mU 22. ☐ 23%-n 23. 23%, ☐ n-3 29. 18%-19, ☐ 12%-13%, △ I

Juli 1958

Beobachter: J. Liardon

Chasseron

$\lambda = 6^{\circ} 32'$, $\beta = 46^{\circ} 51'$,

$H_0 = 1601$ m, $G = -0.16$ mm

1	10.6	13.4	6.1	10.0	-	626.6	625.9	625.7	88	80	100	SE 2	W 2	W 4	5	7	8	19.9	☐ 14%-19% mU, ≡ 13%-19%, *)
2	7.9	7.0	5.0	6.6	-	626.4	626.4	626.8	82	74	74	WSW 2	NW 2	WSW 3	6	8	7	11.6	☐ a-n mU, ≡ a-p mU
3	3.8	6.6	6.6	5.7	-	626.4	627.6	627.7	100	100	100	SW 2	S 2	NNW 4	10 ⁰	10 ⁰	10 ⁰	14.2	● 9% n-n mU, ☐ p-n
4	4.8	7.6	5.6	6.0	-	627.5	628.5	629.4	100	92	100	S 1	S 1	W 4	10 ⁰	8	8	24.5	☐ a-p mU, n (4./5.), ≡ n-11, *)
5	5.8	8.0	6.4	6.7	-	629.9	631.3	631.8	100	100	100	W 3	W 2	W 2	10 ⁰	10 ⁰	10 ⁰	.	≡ n-n mU
6	9.4	11.4	8.8	9.8	-	632.0	633.2	633.9	80	72	95	N 1	C 0	ENE 2	6	7	5	.	
7	10.8	12.4	8.8	10.7	-	634.3	635.1	636.1	65	90	86	E 2	ESE 2	N 2	4	8	10	21.2	☐ 15-n mU, ☐ 15%
8	10.3	13.0	9.5	10.9	-	636.7	636.6	635.9	84	70	95	E 3	ENE 2	E 3	2	6	7	.	≡ a-p mU
9	9.4	13.8	10.4	11.2	-	634.6	634.7	634.1	79	89	98	E 2	C 0	ENE 2	0	5	6	.	
10	12.0	14.0	11.2	12.4	-	632.9	632.7	632.0	85	78	100	C 0	C 0	NNE 1	6	7	6	0.0	● tr 15%, ≡ n-p mU, △ I
11	12.0	15.4	13.4	13.6	-	630.3	630.9	630.9	91	82	86	ESE 3	S 2	W 3	2	4	6	.	△ I
12	13.4	17.4	17.4	16.1	-	632.5	633.5	633.8	75	60	38	SSW 2	S 3	S 3	3	3	3	.	△ I
13	16.0	15.8	12.0	14.6	-	632.8	634.5	635.0	54	56	56	S 4	W 2	W 2	3	8	8	6.2	☐ p, n (13./14.), ● tr 12%, ☐ n-a
14	10.2	13.0	13.0	12.1	-	634.1	634.2	633.6	100	100	100	W 1	SSE 1	E 2	10 ⁰	8	5	0.0	≡ n-9%, 9%-p mU, △ III
15	15.2	19.6	16.0	16.9	-	633.4	633.5	632.7	73	64	88	S 3	SSW 2	E 2	4	2	5	.	● tr 6%
16	13.2	10.6	6.6	10.1	-	630.7	631.4	631.6	49	98	100	WSW 3	WNW 2	NNW 5	6	10	10 ⁰	16.0	☐ 10%-14, ☐ n (16./17.), *)
17	4.8	8.2	6.2	6.4	-	635.9	636.8	636.5	76	76	100	N 2	N 2	N 2	10 ⁰	7	7	.	≡ n-9
18	16.2	11.8	11.2	9.7	-	634.6	635.4	635.0	100	72	60	E 3	E 2	ESE 2	7	2	2	.	≡ n-8% mU
19	14.2	17.6	15.7	15.8	-	634.8	636.7	633.7	74	73	68	WSW 2	S 2	WNW 2	4	3	1	.	
20	11.5	13.2	8.7	11.1	-	632.2	633.0	632.4	86	76	97	WNW 4	NW 3	WNW 4	5	6	5	0.1	≡ 16-17%, ☐ n-n mU
21	7.5	11.6	8.8	9.3	-	630.8	629.6	627.5	100	83	100	NW 3	WNW 2	NW 3	10 ⁰	8	10 ⁰	7.0	☐ n (21./22.), ≡ n-7%, *)
22	6.2	4.0	5.2	5.1	-	623.6	625.1	623.9	100	100	100	NW 4	WNW 4	WNW 4	10 ⁰	10 ⁰	4	15.1	☐ 6%, 19%-19%, n (22./23.), *)
23	4.7	4.4	5.5	4.9	-	624.8	627.5	628.6	100	100	100	NW 5	W 4	W 4	10 ⁰	6	10 ⁰	8.4	☐ 16%-17%, 7 (22./24.), *)
24	6.5	8.0	5.6	6.7	-	627.2	630.0	633.3	100	100	100	W 5	NW 4	NNW 3	10 ⁰	10 ⁰	6	28.2	● ≡ n-n mU, ☐ n-p, ☐ I
25	7.8	11.8	10.7	10.1	-	634.6	634.9	635.0	86	75	84	C 0	NW 2	SSW 1	1	3	1	.	
26	13.8	13.7	11.2	12.9	-	633.5	634.1	634.4	71	87	94	WSW 3	NW 4	WSW 3	6	10	9 ⁰	6.3	☐ 14%, ☐ 16%, ≡ 14, ☐ a-p
27	10.2	13.1	12.5	11.9	-	634.0	633.6	633.3	100	94	100	WNW 2	NNW 2	W 2	10	9	10 ⁰	.	
28	12.1	17.2	17.3	15.5	-	632.3	632.9	633.1	100	70	75	W 3	WSW 3	WSW 3	10	9	9	0.0	☐ 15%
29	14.2	14.2	13.2	13.9	-	633.0	634.1	634.6	92	93	100	W 4	WSW 3	NW 4	5	10	10 ⁰	2.2	☐ 11%, 13, (n 29./30.), *)
30	11.4	15.6	13.5	13.5	-	635.4	636.3	637.1	94	91	96	W 4	WNW 3	NW 2	5	7	1	.	≡ n-6%, ☐ 22, ☐ n-p mU
31	13.0	18.5	19.2	16.9	-	637.3	637.7	637.2	91	81	56	WNW 3	W 1	SSW 3	1	4	1	.	
Mittel	10.0	12.3	10.4	10.9	-	631.8	632.4	632.5	86	83	89				6.2	7.0	6.4	180.9	

*) 1. △ I, ☐ p-n 4. ☐ p-n mU 16. ≡ 15%-n mU, ☐ p-n, ☐ III 21. 7%-10% mU, 17%-n 22. ☐ 13%, ≡ n-n mU, ☐ n-n 23. ≡ n-n mU, ☐ n-n, ☐ I 30. n ≡ 11%-mU, ☐ n-n mU

λ = 9° 53', β = 46° 33',
H_b = 1711.8 m, C = -0.26 mm

Bever

Juli 1956

Beobachter: Stationspersonal Rh. B.

Tag	Lufttemperatur					Luftdruck			Relative Feuchtigkeit			Windrichtung und Stärke			Bewölkung			Niederschlag	Witterung			
	7 ³⁰	13 ³⁰	21 ³⁰	Mittel	Abweich. vom Normalst.	7 ³⁰	13 ³⁰	21 ³⁰	7 ³⁰	13 ³⁰	21 ³⁰	7 ³⁰	13 ³⁰	21 ³⁰	7 ³⁰	13 ³⁰	21 ³⁰					
1	10.1	14.8	11.4	12.1	1.3	618.0	617.2	617.5	92	65	81	S	0	SW	0	SW	2	6	9	10	1.3	▽ 19, ● n(1./2.)
2	9.6	16.3	6.8	10.9	0.0	617.7	616.9	618.4	91	53	96	E	0	SW	2	SW	0	7	7	10	4.3	● 11%-p mU, n(2./3.)
3	7.6	1.8	3.8	4.4	-6.6	617.0	619.5	620.2	90	97	95	SW	0	S	0	NW	0	10	9	2	19.6	● n-12, n(3./4.), * 12-13%, *
4	3.0	9.0	5.8	5.9	-5.1	618.7	619.2	620.3	96	64	78	N	0	NE	0	NE	0	10	8	5	9.3	● n-12 mU
5	6.1	11.0	5.2	7.4	-3.7	620.7	621.1	622.6	89	75	82	S	0	SW	0	NW	0	5	8	4	.	.
6	3.2	15.0	8.0	8.7	-2.5	622.8	622.8	624.7	100	43	79	SW	0	W	0	NE	0	4	8	2	.	.
7	5.8	17.4	8.1	10.4	-0.8	626.1	624.9	627.0	93	37	96	SW	0	SW	0	NW	0	1	10	10	0.0	● ° 16-20½ mU, △ 1
8	7.4	18.8	12.8	13.0	1.7	627.8	626.5	626.6	98	36	65	SE	0	NE	0	N	0	10	2	4	.	.
9	8.2	16.2	9.8	11.4	0.0	626.9	625.0	625.0	90	54	92	NE	0	SW	2	SW	0	2	8	4	0.3	● 16-16%
10	10.6	19.2	9.6	13.1	1.7	623.0	621.6	623.4	94	49	97	W	0	W	0	SW	0	9	8	10	10.5	● ° 17-18, K 17%
11	9.0	17.5	10.5	12.3	0.8	622.9	621.9	623.4	94	49	89	SW	0	SW	1	SW	0	10	8	4	.	.
12	11.1	19.4	10.6	13.7	2.2	624.6	624.5	626.4	92	49	88	W	0	SW	1	W	1	10	8	2	.	.
13	10.8	22.0	13.2	15.3	3.8	626.8	626.3	626.4	90	35	80	SW	0	SW	1	SW	0	0	2	2	.	.
14	10.5	21.0	11.2	14.2	2.6	625.5	624.8	626.3	90	40	90	SW	0	SW	1	W	0	10	8	4	0.8	● 19-19%, K 17, 19-19%
15	9.8	23.0	14.5	15.8	4.2	626.9	626.9	625.7	97	40	90	NW	0	SW	1	SW	1	1	6	2	1.8	.
16	11.0	19.2	10.8	13.7	2.1	625.1	622.8	624.0	98	43	95	NE	0	SE	2	SW	0	10	10	10	10.7	● 6-8% mU, 13% -n mU, K 14
17	9.5	10.8	8.8	9.7	-2.0	625.0	625.9	627.6	65	64	79	N	1	NW	1	NE	0	10	10	10	.	.
18	8.8	19.8	10.2	12.9	1.2	626.8	625.6	626.4	84	43	90	NE	1	SW	1	W	0	10	0	0	.	.
19	11.2	20.7	13.4	15.1	3.4	626.9	624.9	625.5	86	49	88	NE	0	SW	0	SW	0	2	4	3	.	.
20	12.8	18.4	9.3	13.5	1.8	624.6	622.5	623.3	88	48	95	S	0	W	0	NW	0	8	8	8	1.4	▽ 11½-11%, ● 17%-18%
21	7.8	19.8	11.6	13.1	1.3	621.5	618.7	618.5	100	39	84	SW	0	SW	0	W	0	2	4	2	6.1	● n(21./22.)
22	9.4	8.2	5.0	7.5	-4.3	616.1	615.3	615.9	97	86	90	SW	0	W	0	NW	0	10	10	10	27.1	● n-n mU, K 11%-12%
23	5.8	12.8	7.4	8.7	-3.1	616.8	617.0	619.1	89	45	85	SW	0	NW	1	NE	1	8	8	10	0.2	● 16-16%, 19-19%, n(23./24.)
24	7.8	12.2	7.0	9.0	-2.8	618.9	619.9	623.4	86	64	94	SW	0	SW	1	NW	0	10	10	10	0.0	● ° 6½-17 mU
25	4.2	17.0	9.4	10.2	-1.6	626.0	624.8	626.2	98	37	91	SW	0	SW	1	NW	0	1	2	6	.	.
26	8.4	18.3	11.8	12.8	1.1	626.0	625.4	625.4	94	56	90	SW	0	SW	1	SW	0	1	4	2	.	.
27	10.4	19.0	13.6	14.3	2.6	625.1	622.8	624.0	94	45	90	SW	0	SW	1	SW	0	4	6	8	.	.
28	10.0	20.0	14.8	14.9	3.2	624.4	623.7	626.1	95	45	91	SW	0	SW	0	SW	0	8	8	4	0.0	● tr n(28./29.)
29	12.1	19.9	13.8	15.3	3.6	625.3	624.3	626.3	94	56	94	W	0	SW	2	NW	0	4	10	7	0.5	▽ 15-15%, 19%
30	11.4	23.1	14.0	16.2	4.6	626.5	626.1	628.1	96	37	85	SW	0	NW	0	W	0	4	6	4	.	.
31	10.8	23.9	15.0	16.6	5.0	628.9	628.1	629.4	97	37	80	W	0	SW	0	SW	0	3	3	3	.	△ 1
Mittel	8.8	17.0	10.2	12.0	—	623.5	622.8	624.0	92	51	88							6.1	6.8	5.5	93.9	

*) 3. K 10%-11%

λ = 7° 22', β = 46° 14',
H_b = 548.6 m, C = -0.14 mm

Sion

Juli 1958

Beobachter: Couvent des Capucins

Tag	Lufttemperatur					Luftdruck			Relative Feuchtigkeit			Windrichtung und Stärke			Bewölkung			Niederschlag	Witterung			
	7 ³⁰	13 ³⁰	21 ³⁰	Mittel	Abweich. vom Normalst.	7 ³⁰	13 ³⁰	21 ³⁰	7 ³⁰	13 ³⁰	21 ³⁰	7 ³⁰	13 ³⁰	21 ³⁰	7 ³⁰	13 ³⁰	21 ³⁰					
1	18.7	23.7	15.6	19.3	0.3	710.1	707.3	710.5	83	61	96	WSW	0	WSW	1	W	1	1	8	10	7.4	● 16-16%, 18%-20%, K 16-16%
2	15.8	23.2	14.6	17.9	-1.1	711.0	708.2	710.7	89	56	85	W	0	WSW	1	W	1	7	4	10	17.5	.
3	10.6	19.9	15.4	15.3	-3.8	712.3	711.8	711.8	100	57	80	W	0	W	1	W	0	10	4	10	8.5	● 4%-7%
4	14.7	21.8	15.8	17.4	-1.8	712.8	711.5	714.1	86	48	71	W	1	WSW	1	W	1	6	5	8	.	● 0%-3
5	15.8	21.2	14.6	17.2	-2.0	715.1	714.5	715.6	82	56	82	W	0	W	2	W	0	9	5	3	.	.
6	15.7	24.3	18.4	19.5	0.2	716.1	715.0	716.3	79	51	71	ENE	0	W	1	W	0	10	2	2	.	.
7	17.7	21.5	14.6	17.9	-1.4	718.1	716.6	720.4	75	66	100	N	1	W	2	E	1	8	10	8	6.2	● 14-20%, K 14%-14%
8	16.3	24.1	19.8	20.1	0.8	721.0	718.2	717.2	81	55	75	E	1	W	1	W	1	1	1	2	.	.
9	19.4	21.3	19.4	20.0	0.6	718.4	716.6	716.2	78	71	75	N	1	W	2	W	2	10	10	6	.	.
10	17.4	21.2	18.5	19.0	-0.4	716.6	713.9	714.5	82	60	80	W	0	WSW	2	WSW	1	8	5	6	.	.
11	18.0	25.4	20.9	21.4	2.0	714.2	713.2	714.2	80	58	73	WSW	1	W	2	ENE	2	0	6	10	.	.
12	20.2	28.2	21.0	23.1	3.6	716.2	715.0	715.6	79	52	65	ENE	1	ENE	1	ENE	2	1	4	0	.	.
13	19.8	28.5	22.2	23.5	4.0	716.6	715.3	716.6	66	48	68	ENE	1	WSW	3	S	1	2	7	10	0.7	● 22%-23%, a-p
14	20.4	26.0	21.7	22.7	3.2	717.1	715.6	715.3	86	60	80	S	1	SW	2	W	1	5	7	4	.	● 2-2%
15	20.6	30.5	22.2	24.4	4.9	716.2	714.4	714.2	82	46	65	W	1	W	1	E	1	1	5	1	0.1	● ° 12%, 18%, K 17%-18%
16	21.9	18.8	15.2	18.6	-1.0	712.6	714.2	715.6	71	94	98	NE	1	W	2	W	4	4	10	10	4.0	● 12-14%, 20%-23%, a-p
17	15.8	20.7	15.8	17.4	-2.2	718.7	718.9	718.1	74	57	72	W	2	W	2	W	2	7	2	2	.	.
18	15.8	24.0	19.0	19.6	0.0	718.8	717.3	717.1	75	55	82	W	1	W	1	SW	1	1	0	0	.	.
19	18.1	27.4	21.6	22.4	2.8	717.6	715.6	714.9	82	57	64	W	1	W	1	N	2	1	1	1	3.7	.
20	19.1	26.4	19.2	21.6	2.0	716.1	714.4	715.2	88	58	70	N	1	SW	1	N	2	9	9	8	.	● 4%-6%, K 4%-5%
21	17.8	24.3	19.1	20.4	0.8	715.0	711.6	709.7	72	56	69	NE	1	W	1	W	2	0	3	2	4.3	.
22	16.3	22.0	17.0	18.4	-1.1	708.0	708.5	708.8	92	56	63	W	2	W	2	W	2	10	8	7	1.0	● 3%-8%
23	16.6	21.6	16.1	18.1	-1.4	710.8	711.4	713.1	76	48	63	W	1	W	2	W	2	9	5	10	2.8	● 6%
24	14.8	18.6	15.8	16.4	-3.1	713.6	714.9	717.2	90	76	84	W	1	W	1	W	2	10	10	10	1.3	● 1%-9, 17%-18%
25	15.6	22.7	16.8	18.4	-1.1	718.5	717.5	717.7	79	57	78	NE	1	W	2	W	1	1	1	1	.	.
26	16.5	24.8	19.8	20.4	1.0	717.9	716.0	717.1	82	57	80	NW	1	W	2	W	1	3	10	10	.	.
27	17.4	26.0	21.4	21.6	2.2	717.5	714.2	715.2	91	58	69	W	0	W	1	W	1	10	8	8	.	.
28	20.4	28.2	22.9	23.8	4.4	715.6	714.2	714.6	78	50	74	W	0	S	0	W	0	4	6	4	.	.
29	20.2	22.2	20.2	20.9	1.5	715.8	717.2	717.1	86	89	90	W	0	W	0	W	1	6	8	7	4.4	● 9%-14%
30	20.6	28.2	23.0	23.9	4.6	718.0	717.0	718.1	89	63	69	W	1	W	1	SW	1	3	3	0	.	.
31	20.8	28.6	23.8	24.4	5.1	719.4	718.0	718.4	79	56	61	W	1	W	1	W	0					

λ = 8° 58', β = 46° 00',
H_b = 276.2 m, G = -0.04 mm

Lugano

Juli 1958
Beobachter: G. Vicari

Tag	Lufttemperatur					Luftdruck			Relative Feuchtigkeit			Windrichtung und Stärke			Bewölkung			Niederschlag	Witterung			
	7 ³⁰	13 ³⁰	21 ³⁰	Mittel	Abweich. von Normalst.	7 ³⁰	13 ³⁰	21 ³⁰	7 ³⁰	13 ³⁰	21 ³⁰	7 ³⁰	13 ³⁰	21 ³⁰	7 ³⁰	13 ³⁰	21 ³⁰					
1	17.2	22.4	17.4	19.0	-1.9	733.1	732.1	731.4	91	66	95	N	S	1	W	1	10	9	10	8.6	● 18% 19, n(1/2.)	
2	16.4	20.4	16.8	17.9	-3.1	732.6	732.0	733.2	88	74	97	W	ESE	1	SSW	1	10	10	10*	36.4	⊖ 13%, 13%, ● 21-22%, *)	
3	16.8	20.8	18.4	18.7	-2.3	731.3	733.5	734.1	86	49	59	S	ESE	1	N	1	9	1	3	18.5	● K 10-11, ● n(3/4.)	
4	13.2	18.4	15.4	15.7	-5.4	734.6	734.6	734.5	98	68	77	E	S	1	N	1	10	9	1	8.4	● 6-7%, 13%, K 6-7%	
5	13.2	26.8	19.4	19.8	-1.3	735.4	734.4	735.2	81	38	70	N	1	SSW	1	N	1	0	1	1	.	
6	15.7	26.7	19.6	20.7	-0.5	736.3	736.8	738.2	77	45	73	NNE	S	1	N	1	0	1	1	.		
7	17.8	24.7	20.1	20.9	-0.4	740.5	740.5	741.0	80	58	64	N	S	1	NNE	1	4	10	9	.		
8	15.4	27.6	22.1	21.7	0.4	742.1	741.6	740.6	87	44	70	NNE	S	1	N	1	0	1	1	0.0	● tr n(8/9.)	
9	19.2	28.0	22.8	23.3	1.9	741.8	740.5	739.0	83	43	70	E	S	1	N	1	4	3	9	.		
10	20.3	23.4	19.1	20.9	-0.5	737.9	736.3	736.3	73	56	84	W	SSE	1	W	1	9	9	6	2.2	● K 15% 16	
11	17.4	28.6	23.2	23.1	1.6	737.0	736.3	736.6	86	47	64	E	S	2	ESE	0	0	2	2	0.8	● n(11/12.)	
12	19.8	28.6	22.6	23.7	2.2	739.1	739.0	739.2	92	41	78	W	SSE	1	NNE	1	10	7	1	.	● K 5-5%	
13	20.0	30.4	24.1	24.8	3.2	741.1	739.9	739.6	82	42	79	NE	S	0	N	1	1	2	2	.		
14	20.2	30.2	23.8	24.7	3.1	739.1	738.1	738.0	83	48	78	N	S	0	N	1	7	2	5	0.0	● tr 17%	
15	20.8	30.4	25.3	25.5	3.8	740.5	739.6	738.3	83	45	76	E	SSE	1	N	1	1	1	4	24.1	⊖ n(18/16.)	
16	20.6	22.4	18.4	20.5	-1.2	737.7	737.3	739.1	97	86	97	NNW	NNE	1	W	0	8	10	10	16.9	⊖ K 5-6%, 11% 12, ● p-n mU	
17	20.6	29.3	22.4	24.1	2.3	736.9	738.3	739.1	41	27	39	N	2	N	3	N	1	8	1	1	.	⊖ n p mU
18	16.9	28.7	23.6	23.1	1.3	740.9	740.6	739.9	78	46	78	NNE	SSE	1	N	1	0	2	4	.		
19	21.2	28.7	23.2	24.4	2.6	741.7	740.4	739.2	86	46	80	NNW	S	1	N	1	10	2	0	.		
20	20.4	28.9	21.0	23.4	1.5	738.6	736.5	735.5	85	52	85	N	S	1	N	1	8	3	1	.		
21	16.9	29.8	22.4	23.0	1.1	734.5	732.6	731.2	82	44	87	N	S	1	N	1	2	3	9	0.0	● tr 18	
22	20.2	21.8	16.0	19.3	-2.6	730.0	728.2	729.1	83	63	81	SW	ESE	1	N	1	10	8	10	47.3	⊖ K 9%-11, 18-19%	
23	12.0	27.0	20.4	19.8	-2.1	730.5	730.8	732.1	85	35	70	NNW	SSE	1	N	1	1	2	3	.		
24	16.8	26.8	21.1	21.6	-0.4	733.7	733.8	735.6	80	48	71	NNW	S	1	N	1	6	5	3	.		
25	15.2	27.4	20.4	21.0	-1.0	740.3	740.6	741.0	68	48	81	S	SSE	1	N	1	1	3	2	.		
26	19.3	27.1	21.8	22.7	0.7	741.7	740.7	739.8	79	42	77	N	SSE	1	NNW	1	10	6	6	.		
27	18.3	28.8	20.6	22.6	0.7	739.8	738.3	738.1	88	52	83	N	S	1	N	1	2	3	4	.		
28	19.1	29.6	24.0	24.2	2.3	737.7	737.5	737.9	87	54	84	NNW	SSE	1	N	1	8	3	8	.		
29	20.2	28.0	23.0	23.7	1.8	738.6	737.9	738.2	89	62	89	N	SE	0	N	1	1	8	2	.		
30	20.6	31.3	26.6	26.2	4.3	739.6	739.4	739.8	91	57	86	NNW	S	1	N	1	1	1	0	.		
31	22.8	32.4	26.8	27.3	5.5	742.0	741.2	741.9	89	50	83	N	S	1	N	1	6	4	3	.		
Mittel	18.2	27.0	21.4	22.2	—	737.6	737.1	737.2	83	51	78					5.1	4.3	4.2	163.2	Summe		

*) 2. K 13%, 21-21%

λ = 7° 35', β = 47° 33',
H_b = 317.3 m, G = 0.08 mm

Basel

Juli 1958
Beobachter: Astronom-Meteorol. Anstalt

1	18.9	25.0	16.1	20.0	2.6	729.4	727.9	728.7	81	54	95	SSW	WSW1	WSW0	8	5	10*	9.0	● 17-21% mU, K 16%-17%, ⊖ 16%			
2	15.6	22.1	14.0	17.2	-0.2	729.5	729.3	730.2	84	58	94	ENE	NNW1	E	1	4	7	10	2.6	● 1% 3%, 20% 21%		
3	12.7	19.2	14.4	15.4	-2.1	730.2	731.4	731.9	94	65	81	E	ENE	1	W	0	10*	7	8	3.1	● 2-4%, 7%-7%, 9%-11, 12%, 22%-23%	
4	12.7	12.9	12.6	12.7	-4.9	732.2	732.6	733.6	95	92	92	E	S	1	ESE	1	10	9	9	11.1	● 2, 4-5, 11%-13% mU, *)	
5	15.1	21.1	15.8	17.3	-0.3	734.3	734.5	735.1	90	61	87	SE	W	1	SW	1	9	7	10	0.2	● 2%, 4 5% mU, 9%, *)	
6	15.0	19.8	16.4	17.1	-0.6	735.6	736.4	736.9	90	73	88	S	0	NW	0	NE	0	10	10	0	.	
7	15.7	23.8	18.5	19.3	1.5	738.2	737.6	739.0	85	61	78	E	SSE	1	NNW1	1	9	6	0.0	● tr 18 18%, K 16%-17%		
8	14.4	22.4	17.9	18.2	0.4	741.2	740.4	739.7	98	63	69	NW	W	1	NW	1	10*	2	0	.	≡ 6% 8%	
9	13.2	22.5	17.6	17.8	-0.1	739.6	737.8	736.5	95	59	80	WSW1	WNW1	WSW1	10	1	7	.				
10	16.9	25.4	19.0	20.4	2.5	736.0	734.7	733.7	85	61	83	ESE	1	WNW1	SW	1	1	2	0	.		
11	17.5	28.0	19.4	21.6	3.6	733.0	732.0	732.0	80	52	80	E	E	1	SSE	1	0	1	6	0.0	● tr 4%	
12	20.5	29.6	21.1	23.7	5.7	734.1	733.8	733.7	76	52	82	ESE	SSE	1	W	0	3	6	3	.		
13	20.6	25.1	18.6	21.4	3.4	733.8	734.7	736.3	77	60	90	ESE	2	WNW1	S	1	8	9	9	3.1	● 15%-16% mU, 21%	
14	17.7	24.8	18.7	20.4	2.3	737.6	736.4	735.3	75	59	87	SW	1	SW	1	SW	1	8	2	0	.	● 0-1% mU, 4%-4%
15	19.1	30.8	21.8	23.9	5.8	735.1	733.2	732.8	85	47	80	E	SSE	1	SW	1	1	0	10*	0.8	● 17%, 20%-21%, *)	
16	21.9	21.0	14.5	19.1	1.0	732.7	733.0	736.8	80	72	90	SSW	1	WSW1	WSW2	9	10	10	5.5	● 13%-13%, 15%-15%, 18%-19%		
17	15.3	21.1	14.3	16.9	-1.2	740.9	741.7	741.1	80	53	80	WSW1	WNW1	SW	1	3	3	0	.			● 1%-2% mU
18	14.2	23.0	16.5	17.9	-0.3	740.6	738.9	738.0	84	55	74	SW	0	ENE	1	SE	1	0	4	0	.	
19	16.9	28.3	20.4	21.9	3.7	737.4	735.4	734.1	74	50	82	ESE	1	SE	1	SSW	1	1	0	0	.	
20	18.2	25.1	15.8	19.7	1.5	734.1	734.0	734.8	84	52	82	ESE	1	WNW2	WSW1	10	5	5	.			⊖ 16%
21	17.8	21.5	16.6	18.6	0.4	734.2	735.2	730.4	81	59	79	SSW	1	WNW2	W	0	5	10	8	7.8		
22	14.2	16.7	14.6	15.2	-3.0	727.5	727.7	727.6	96	65	71	ESE	0	WSW2	W	1	10	10	8	1.0	● 2%-8% mU	
23	13.0	15.4	15.0	14.5	-3.8	729.7	731.6	731.8	90	69	70	SW	1	WSW1	WSW1	10	10	10	3.9	● 6%-8% mU, 15%, 22-23%		
24	12.7	13.6	12.5	12.9	-5.4	730.9	734.2	737.8	93	94	89	E	1	WSW1	SW	1	10*	10	2	10.1	● 1%-2, 4-4%, 7%-12% mU	
25	12.9	22.5	14.9	16.8	-1.5	739.2	738.7	737.8	88	51	79	E	1	NNW1	NW	0	4	7	1	.		
26	16.5	26.7	19.0	20.7	2.5	736.2	735.5	736.5	74	54	88	E	1	NNE	1	NW	0	7	7	9	0.0	● tr 15, ⊕ II
27	17.5	23.6	19.4	20.2	2.0	736.5	735.4	734.9	89	68	84	E	1	NW	1	S	1	10	10	1.3	● tr 6, tr 21%	
28	17.4	28.8	21.4	22.5	4.3	734.3	733.1	733.2	95	57	78	ESE	1	W	1	SSE	1	10	8	7	.	● 2%-7 mU
29	20.9	24.9	20.1	22.0	3.8	733.6	734.7	736.8	82	67	96	ENE	1	WNW1	SW	1	9	9	10	2.8	● 9%-10%, tr 20%, ⊖ 9%	
30	19.1	26.5	20.4	22.0	3.9	737.7	737.6	738.4	94	64	86	E	0	W	1	SSW	0	9	6	.		
31	21.1	29.5	22.4	24.3	6.2	739.4	738.8	737.2	84	55	80	E	1	N	1	SE	0	7	4	1	.	
Mittel	16.6	23.3	17.4	19.1	—	735.0	734.7	734.9	86	61	83					6.7	6.4	5.6	62.3	Summe		

*) 4. 18%-20% mU, ⊖ 19-19% 5. 14% 14%, K 14% 14%, ⊖ 18-19 15. K 16%-17%, 19%-20%

Juli 1958
Beobachter: Observatorium

Säntis

$\lambda = 9^\circ 21'$, $\beta = 47^\circ 15'$,
 $H_b = 2500.1$ m, $G = -0.29$ mm

Tag	Lufttemperatur					Luftdruck			Relative Feuchtigkeit			Windrichtung und Stärke			Bewölkung			Niederschlag	Witterung				
	7 ³⁰	13 ³⁰	21 ³⁰	Mittel	Abwech. vom Normalst.	7 ³⁰	13 ³⁰	21 ³⁰	7 ³⁰	13 ³⁰	21 ³⁰	7 ³⁰	13 ³⁰	21 ³⁰	7 ³⁰	13 ³⁰	21 ³⁰						
1	6.8	8.7	2.4	6.0	1.8	561.6	561.2	560.1	90	98	100	E	1	W	1	WNW	4	9	10=	10=	2.9	● 13%-n, ≡ 7-n mU	
2	3.0	6.8	0.8	3.5	-0.8	560.5	560.6	561.3	88	92	100	W	2	W	2	NW	2	5	10=	10=	20.8	▽ 10-17%, ▽ 17%-n mU, *	
3	-0.8	-1.4	1.0	-0.4	-4.7	559.3	560.8	562.4	100	100	100	NW	3	W	3	W	1	10=*	10=	18.0	* √ n-14% mU, ≡ n-14%, *		
4	-1.7	1.0	0.0	-0.2	-4.6	560.8	561.5	562.7	100	100	100	W	3	WNW	2	NW	2	10=*	10=	13.2	▽ n-11% mU, ▽ 20%-n mU, *		
5	0.0	2.0	1.7	1.2	-3.3	563.0	564.2	565.1	100	100	100	W	2	W	2	WNW	2	10=	10=	10.0	● n-8%, ● 8%-14, *		
6	1.4	1.7	2.8	2.0	2.6	564.6	566.1	567.6	100	100	89	WNW	2	NW	2	WNW	2	10=	10=	9	● 8%-11, ≡ n-16%, 16%-19% mU		
7	7.7	10.2	4.8	7.6	3.0	568.2	568.9	569.6	50	83	100	W	0	SW	1	NNE	2	1	10	10=	.	≡ 12-n mU	
8	6.4	8.2	4.2	6.3	1.6	570.3	570.8	570.4	76	84	100	NE	1	S	1	NE	2	1	9	10=	.	≡ 14%-n	
9	10.2	11.8	7.0	9.7	4.9	568.1	568.1	568.4	50	71	70	E	1	SSW	1	E	1	1	1	1	1	.	≡ 16%-20 mU
10	6.8	10.1	6.4	7.8	3.0	566.9	567.0	566.5	81	84	91	N	0	SSW	1	N	1	9	10=	3	.	≡ 6%-20 mU	
11	11.0	13.4	7.2	10.5	5.6	565.3	566.1	566.2	50	61	68	SSE	1	W	1	W	3	0	9	9	7.3	▽ 14-16 mU, K 15-15%, *	
12	7.4	12.2	9.4	9.7	4.8	567.5	568.5	569.5	76	80	65	W	2	WSW	2	W	2	9	10	1	.	.	
13	13.7	15.8	7.7	12.4	7.4	569.6	570.1	570.0	38	44	87	W	1	W	2	W	3	1	3	10	7.9	● n (13/11)	
14	9.0	12.4	9.4	10.3	5.3	569.0	569.0	569.1	86	90	91	WSW	2	W	1	W	1	8	10=	4	0.0	≡ 12%-17% mU	
15	10.4	16.0	10.8	12.4	7.3	569.5	569.8	569.4	64	60	68	WNW	3	W	2	W	1	9	1	10	.	▽ 6%-7%	
16	12.0	8.1	5.8	8.6	3.5	567.0	566.2	566.6	56	46	100	WSW	2	SW	3	W	2	5	9	10=*	29.6	▽ 9%-10%, 13%-15%, *	
17	0.4	4.2	2.8	2.5	-2.6	568.1	569.4	569.9	100	92	100	N	1	W	2	SW	1	10=	4	10=	0.0	● n-10%, ≡ n-10%, 12%-n mU	
18	7.4	12.0	8.7	9.4	4.2	568.8	569.6	569.8	20	41	17	E	2	SW	1	W	2	0	1	1	.	.	
19	9.0	13.7	9.4	10.7	5.5	569.6	569.5	568.9	73	82	96	W	2	SW	2	W	2	1	7	4	.	≡ 12%-18 mU	
20	7.4	8.2	5.2	6.9	1.7	566.9	566.9	566.2	100	78	100	WNW	3	W	3	WNW	3	10=	7	10=	19.0	▽ 7%-n mU, K 7%-8, *	
21	3.2	8.2	5.7	5.7	0.4	564.3	563.5	561.8	100	83	87	W	2	W	2	W	3	10=	7	5	.	● n-7, ≡ n-13, 13-20 mU	
22	4.8	1.8	0.3	2.3	-3.0	558.4	558.2	558.2	100	100	100	SSW	2	WNW	3	WNW	3	10=	10=	10=	40.9	● 6%-13%, ● 14-20%, *	
23	1.2	0.0	-0.4	-0.5	-5.8	558.5	560.1	561.2	100	100	100	W	3	W	3	WNW	3	10=*	10=*	10=	30.4	* n-14%, ≡ n-n	
24	0.4	1.7	-0.6	0.5	-4.8	560.3	561.8	566.1	100	100	100	W	3	WNW	4	NW	3	10=	10=	10=	35.3	● 7-11, ● 11-19%, *	
25	-0.6	6.2	4.0	3.2	-2.2	567.0	568.2	568.5	100	90	100	W	3	W	2	WNW	3	10=	6	10=	.	≡ n-8%, 14-19 mU, 14-n	
26	7.1	11.0	5.8	8.0	2.6	568.1	568.6	568.5	66	58	100	WNW	3	W	2	NW	3	1	9	10=	0.5	● 17%-21 mU, K 19%, *	
27	5.6	10.6	7.5	7.9	2.5	567.7	567.9	567.9	94	88	100	W	2	W	2	WNW	2	5	10=	10=	1.9	● n (21/23), ≡ n-n	
28	6.2	10.2	8.6	8.3	2.9	566.4	567.6	568.3	100	87	100	W	4	W	3	W	3	10=	8	9	4.9	● n-8%, ▽ 18-19, ≡ n-7 mU, *	
29	8.6	13.1	8.7	10.1	4.7	567.8	568.9	569.4	98	78	100	W	4	WSW	2	WNW	3	9	10=	10=	20.5	▽ 14%-14%, 16-17%, *	
30	7.4	12.7	9.4	9.8	4.4	569.6	571.1	571.9	100	83	100	WNW	3	W	2	W	3	10=	4	10=	.	≡ n-12%, 12%-16% mU, 16%-n	
31	8.6	12.3	12.2	11.0	5.6	571.7	572.5	572.9	100	84	56	W	2	WSW	2	W	3	10=	1	1	.	≡ n-12 mU	
Mittel	5.7	8.5	5.4	6.5	—	566.0	566.5	566.9	83	82	90							6.7	7.6	8.0	263.9	Summe	

Juli 1958
Beobachter: E. Chiesi

St. Gotthard (Hospitz)

$\lambda = 8^\circ 34'$, $\beta = 46^\circ 33'$,
 $H_b = 2095$ m, $G = -0.27$ mm

1	8.3	9.2	5.8	7.8	1.2	589.9	589.9	589.5	87	88	93	SE	0	SE	1	SE	1	10=	10=	10=	18.8	● 13%-n mU, ≡ n-n
2	5.2	7.0	4.2	5.5	-1.2	589.1	589.1	589.7	94	79	96	NW	1	SE	2	NW	1	9	10=	10=	33.8	● 9-n mU, * n (2/3), ≡ 18%-n
3	0.3	4.0	3.8	2.7	-4.1	588.3	590.0	590.8	98	77	89	NW	1	NW	1	NW	1	10=*	0	3	37.7	● * n-a, K 8, ≡ n-13
4	1.8	2.2	2.4	2.1	-4.8	590.1	590.5	590.9	98	95	98	NW	1	NW	1	NW	2	10=	10=	10=	7.6	● 13-p, ≡ n-a, 20%-n
5	3.3	7.5	4.0	4.9	-2.1	591.7	592.9	593.2	97	78	97	NW	1	NW	2	NW	2	10	9	10=	1.2	● n (5/6), ≡ 17%-n
6	3.4	9.2	6.0	6.2	-0.9	593.3	594.6	595.4	82	64	90	NW	1	NW	1	NW	0	0	6	0	.	.
7	8.2	10.3	5.4	8.0	0.8	596.4	596.9	597.9	63	64	92	NW	0	SE	1	NW	1	3	9	10=	3.8	● 15%-n mU
8	5.8	13.0	8.6	9.1	1.8	598.8	598.7	598.7	85	48	96	NW	1	NW	1	NW	2	0	0	10	.	△ I
9	8.4	14.6	8.0	10.3	2.9	597.7	597.7	597.2	77	61	84	SE	1	SE	0	NW	0	0	3	10	16.4	● 16 mU, K 20%-20%, *
10	7.0	12.8	7.7	9.2	1.7	595.2	595.1	594.6	98	59	95	NW	2	NW	1	NW	1	10=	6	10=	9.2	● 19-20%, ≡ n-8, 15%-n mU, △ I
11	9.2	15.0	9.2	11.1	3.5	594.0	594.1	594.5	73	65	94	SE	0	SE	1	SE	0	0	3	10	1.1	● n (11/13), △ I
12	9.0	15.5	10.0	11.5	3.8	594.7	596.9	598.1	92	69	86	SE	0	SE	1	SE	0	10=	9	0	.	≡ n-8%
13	10.3	17.2	10.4	12.6	4.8	598.2	598.3	598.3	85	60	96	SE	1	SE	0	SE	0	0	0	10=	4.7	● n (13/14), ≡ 21-n, △ I
14	9.8	15.3	11.2	12.1	4.2	597.7	597.0	597.2	71	66	82	NW	0	SE	1	SE	1	3	6	0	2.1	● 14%-14%, 16%-19% mU, △ I
15	11.0	17.0	12.4	13.5	5.5	597.8	598.3	597.3	80	64	89	SE	1	SE	1	SE	2	0	6	10	5.1	● 20%-21, n (15/16)
16	11.2	9.8	7.2	9.4	1.3	595.8	594.4	595.4	88	94	99	SE	2	SE	2	SE	1	10=*	10=*	10=*	31.8	● n-n mU, ≡ n-n
17	3.4	4.4	3.5	3.8	-4.4	596.1	597.9	598.3	98	99	95	NW	2	NW	2	NW	2	10=	10=	10=	.	≡ n-13%, 18%-n
18	11.6	15.9	10.4	12.6	4.3	597.4	597.7	598.3	72	50	93	NW	1	SE	0	NW	0	0	0	0	.	△ I
19	10.4	17.0	10.5	12.6	4.3	598.2	598.0	597.7	93	63	95	SE	0	S	0	SE	0	10=	0	10=	1.3	● n (19/20), ≡ n-10, *
20	11.2	15.0	8.4	11.5	3.1	596.3	595.5	594.8	74	47	93	NW	0	NW	0	NW	0	9	6	10=	3.2	● 18%-n mU, ▲ 7%-7%, ≡ 21-n
21	7.3	13.2	10.4	10.3	1.9	593.1	591.9	590.2	71	55	84	NW	1	NW	1	NW	0	3	6	10	6.9	● n (21/22)
22	8.3	7.6	3.6	6.5	-1.9	587.3	587.1	587.2	94	89	86	SE	1	NW	1	NW	2	10=	10=	10=	22.5	● n-10%, n (22/23), ≡ 11%-n
23	2.4	7.6	4.0	4.7	-3.8	587.9	589.5	591.0	97	64	86	NW	1	NW	1	NW	0	10=*	6	6	1.5	● n-9%, ≡ n-9%, 18-n mU
24	5.8	11.0	3.2	6.7	-1.8	590.4	590.7	595.0	75	56	99	N	0	NW	1	NW	2	10=	9	10=*	5.6	● 7%, 14-n, ≡ 16%-n
25	2.2	13.4	8.5	8.0	-0.5	596.1	596.6	597.8	97	52	90	NW	1	SE	0	SE	0	0	0	0	.	.
26	7.8	14.0	8.6	10.1	1.6	597.4	597.3	597.6	81	70	91	SE	1	SE	1	SE	2	6	9	9	1.4	● 16%-18
27	10.2	15.3	10.4	12.0	3.5	596.7	596.3	596.2	80	64	91	NW	0	SE	0	NW	0	10	9	9	.	.
28	11.8	16.9	12.2	13.6	5.1	594.7	596.2	597.1	68	62	97	NW	0	SE	0	SE	0	9	9	10	0.6	● 20%, ≡ 20%-n mU, △ I
29	12.1	15.3	11.2	12.9	4.4	597.0	597.2	597.9	92	56	91	NW	0	NW	0	NW	1	3	10=	3	0.7	● 13%-13%
30	10.7	17.4	12.6	13.6	5.1	598.0	599.0	599.5	95	44	95	NW	2	NW	0	NW	1	10=	3	9	.	≡ n-8%, 18-n
31	12.0	18.3	14.5																			

λ = 7° 26', β = 46° 57',
H_b = 572.2 m, G = -0.04 mm

Bern

August 1958
Beobachter: Meteorologisches Observatorium

Tag	Lufttemperatur					Luftdruck			Relative Feuchtigkeit			Windrichtung und Stärke			Bewölkung			Niederschlag	Witterung			
	7 ³⁰	13 ³⁰	21 ³⁰	Mittel	Abweich. vom Normalst	7 ³⁰	13 ³⁰	21 ³⁰	7 ³⁰	13 ³⁰	21 ³⁰	7 ³⁰	13 ³⁰	21 ³⁰	7 ³⁰	13 ³⁰	21 ³⁰					
1	19.6	29.2	24.3	24.4	6.7	716.3	714.5	714.7	80	52	65	SE	1	NW	1	NW	1	4	5	6	.	.
2	21.2	20.3	16.7	19.4	1.7	715.6	716.8	717.8	87	86	76	SE	0	NE	1	NE	0	0	8	10	6.1	● 9%-12%, K ₂ 9%-10%
3	14.8	17.9	16.0	16.2	-1.4	718.6	717.9	718.7	80	63	75	NE	1	SE	1	N	1	7	7	9	.	.
4	14.6	19.6	16.6	16.9	-0.7	719.4	718.9	718.4	77	53	54	NE	1	NNE	2	NE	1	3	3	0	.	.
5	13.9	22.1	18.7	18.2	0.7	717.8	716.2	713.8	84	47	76	S	1	NE	1	W	1	1	8	3	.	△ I
6	16.1	24.7	16.9	19.2	1.7	712.3	711.1	710.9	90	49	88	S	1	W	2	SE	1	6	7	9	42.3	● 16-19% mU, 22-n
7	14.0	16.7	15.2	15.3	-2.1	710.6	710.8	711.2	97	67	76	SW	1	SW	2	SW	1	10	9	8	9.3	● n-8 mU, 23%-n
8	13.8	20.0	16.4	16.7	-0.7	713.3	713.7	714.6	85	46	80	WSW	1	NW	1	S	0	8	4	10	.	● n-4
9	16.5	24.5	21.7	20.9	3.6	715.4	715.1	715.0	82	49	85	SSE	1	W	1	N	0	1	1	7	.	.
10	18.4	26.6	22.0	22.3	5.1	715.8	714.3	714.0	86	54	80	S	1	SE	1	SE	0	0	3	7	0.1	▽ 23
11	18.9	26.9	15.5	20.4	3.2	714.0	710.8	713.8	88	54	96	S	1	NE	1	S	1	0	2	10	10.6	● 19n mU
12	15.5	18.7	15.4	16.5	-0.6	712.7	712.4	714.3	89	56	70	S	1	W	1	W	1	9	7	9	0.1	● 2%-3%, 7%-9
13	14.1	17.4	15.9	15.8	-1.2	714.4	714.4	715.3	86	60	79	S	1	NE	1	NE	1	6	7	9	.	△ I
14	12.6	22.7	19.6	18.3	1.3	715.9	714.6	715.5	90	52	68	S	1	W	1	W	1	3	2	9	.	△ I
15	16.5	24.9	20.5	20.6	3.7	714.6	713.1	712.5	88	49	87	S	1	NE	1	N	0	1	1	1	0.0	△ I
16	18.4	23.2	20.4	20.7	3.9	712.8	712.8	713.5	90	65	79	SW	1	NW	2	NW	0	9	3	8	0.2	▽ 3%-3%, 8%-9%
17	16.7	25.4	21.3	21.1	4.3	713.1	711.8	710.5	93	52	71	E	0	N	1	SE	1	2	2	5	.	△ I
18	17.5	25.4	21.1	21.3	4.6	709.4	708.9	707.1	92	51	64	W	0	N	1	SE	1	4	8	4	0.0	.
19	17.4	17.8	13.2	16.1	-0.5	706.9	707.1	708.5	89	90	99	SSE	1	N	1	SE	1	8	8	10	21.5	▽ 6%, ● 10%-13 mU, 15-23, *)
20	11.3	17.1	15.3	14.6	-2.0	708.2	707.8	706.9	96	70	71	SE	1	NW	2	W	1	9	8	10	5.0	● 1%-1%, 3%-6%, 23%-n
21	12.7	15.2	12.6	13.5	-3.0	704.7	702.4	703.0	98	93	98	E	1	N	1	SE	1	10	10	10	13.9	● n-6%, 12%-21%
22	11.4	17.8	13.1	14.1	-2.3	702.9	703.4	707.2	97	56	95	SE	1	WSW	3	NW	1	10	9	9	4.2	● 4%-8%, 16%-23 mU, a-p
23	12.9	16.7	12.5	14.0	-2.4	710.4	711.7	714.1	96	73	84	W	1	WSW	3	W	0	9	8	7	0.5	● 0%-7%, 11%-15%, a-p
24	11.0	15.6	13.5	13.4	-2.9	713.7	713.3	711.9	89	73	86	SE	1	NW	1	E	1	5	10	7	10.0	● 15%-17%, △ I
25	12.3	18.6	12.3	14.4	-1.8	712.5	712.3	713.1	95	50	86	SE	1	WSW	3	WSW	2	10	6	9	10.0	● 0%-0%, 2%-8, 20%-21%, *)
26	12.7	18.0	13.9	14.9	-1.2	715.0	715.6	714.8	92	55	85	W	1	W	1	NE	1	9	4	2	0.3	● 1%-6%, 8%-9%
27	10.0	20.3	16.6	15.6	-0.5	714.2	713.3	712.4	92	54	85	SE	1	NE	1	E	1	1	0	0	.	△ I
28	13.1	24.6	19.4	19.0	3.0	712.5	712.1	711.3	85	42	91	S	1	NW	1	SSW	1	0	4	8	.	△ I
29	16.7	27.2	20.9	21.6	5.7	712.1	711.2	710.5	88	51	95	SE	0	S	0	W	1	9	7	10	.	△ I
30	17.7	26.2	22.3	22.1	6.3	711.1	710.1	710.2	86	53	90	SE	0	NE	1	NE	0	1	6	10	.	.
31	18.2	26.3	17.2	20.6	4.9	709.4	708.6	709.0	92	54	98	S	0	NE	1	E	1	9	5	10	24.1	● 16%-n, K ₂ 17%-21
Mittel	15.2	21.5	17.3	18.0	-	712.8	712.2	712.4	89	59	82	5.3	5.5	7.3	Summe	157.9

*) 19. K₂ 22-22% 25. K₂ 21 21%, a-p

λ = 6° 57', β = 47° 00',
H_b = 487.3 m, G = 0.00 mm

Neuchâtel

August 1958
Beobachter: Observatorium

Tag	Lufttemperatur					Luftdruck			Relative Feuchtigkeit			Windrichtung und Stärke			Bewölkung			Niederschlag	Witterung			
	7 ³⁰	13 ³⁰	21 ³⁰	Mittel	Abweich. vom Normalst	7 ³⁰	13 ³⁰	21 ³⁰	7 ³⁰	13 ³⁰	21 ³⁰	7 ³⁰	13 ³⁰	21 ³⁰	7 ³⁰	13 ³⁰	21 ³⁰					
1	20.4	28.0	25.7	24.7	6.0	723.6	721.9	721.3	90	56	56	N	0	SSE	1	NNW	1	3	8	2	.	▽ 17-21% mU
2	21.3	22.7	17.9	20.6	1.9	722.7	723.8	724.8	82	62	59	NE	1	N	2	NW	2	2	9	10	3.1	● 9%-9%, 11-11%, ▽ 17-22 mU
3	15.5	20.6	16.6	17.6	-1.1	726.0	725.2	726.2	69	55	56	NE	0	ESE	1	NNW	3	8	8	10	.	▽ 15-22%
4	15.1	24.1	16.8	18.7	0.1	727.0	726.3	725.9	65	37	62	ENE	1	E	2	N	1	2	1	0	.	.
5	14.0	25.0	18.6	19.2	0.6	725.2	723.2	721.0	76	41	61	NE	1	SSE	1	SSE	1	1	6	3	.	.
6	16.6	27.7	20.0	21.4	2.9	719.8	718.6	718.2	90	46	58	SSE	1	SSW	2	SW	2	2	5	10	12.4	● 15%-20%, 23-24, K ₂ 23%
7	14.4	18.7	16.1	16.4	-2.1	717.9	718.5	718.6	89	52	63	W	1	W	2	WSW	1	9	9	10	5.4	● 6-6%, 23%-24, ▽ 11-16 mU
8	14.7	22.6	19.3	18.9	0.5	721.7	721.4	721.9	75	43	56	W	1	SSW	2	W	1	4	3	10	.	● 0%-2%
9	17.6	26.2	21.9	21.9	3.6	722.8	722.5	722.5	80	46	74	S	1	SSE	1	S	1	2	1	7	.	.
10	18.5	27.0	22.1	22.5	4.2	723.2	721.8	721.1	95	50	78	E	0	SSE	1	NNE	1	10	5	3	.	.
11	19.4	28.4	15.6	21.1	2.9	721.1	718.2	720.5	88	39	96	NE	1	SE	1	SW	1	1	1	10	6.7	● 18%-18%, 20%-23%, ▽ 18-20
12	15.0	21.3	15.4	17.2	-0.9	720.1	719.6	721.9	89	54	56	SW	2	S	2	W	2	9	9	2	.	● 1-1%, 6%-7, ▽ 15%-17%
13	15.3	20.3	16.6	17.4	-0.7	721.7	721.8	722.7	75	62	64	SW	1	SE	1	NW	2	8	7	1	1.9	● 9%-10
14	14.6	21.3	20.4	18.8	0.8	723.0	722.4	722.7	75	62	62	SW	1	SW	2	WNW	2	2	9	9	.	▽ 16-22 mU
15	16.7	26.4	21.6	21.6	3.7	722.1	720.8	719.7	90	47	73	NW	1	SSE	1	N	1	0	1	0	.	.
16	19.3	25.0	21.4	21.9	4.0	720.1	720.5	720.7	91	57	62	N	0	SSW	2	NW	2	10	3	0	0.6	● 10%-11%
17	17.6	27.9	21.6	22.4	4.6	720.7	719.3	717.9	86	46	68	NW	0	SSE	1	NE	0	6	1	3	9.0	.
18	17.9	25.5	20.6	21.3	3.6	716.7	716.2	714.1	95	58	76	N	1	SE	1	SE	1	2	2	2	.	● 0%-0%, K ₂ 0-0%, ▲ 0%
19	19.1	19.6	13.5	17.4	-0.3	714.0	713.8	715.9	87	76	90	W	1	ESE	1	W	2	8	8	10	19.6	● 10-12, 14%-21% mU, ▽ 15-n mU
20	13.6	16.3	15.6	15.2	-2.4	715.4	715.4	714.4	91	78	65	SW	1	SW	2	W	1	9	9	8	1.8	● 9-12 mU
21	13.6	14.2	12.6	13.5	-4.0	711.8	709.5	710.2	82	93	96	NE	2	NE	1	N	1	10	10	10	9.7	● 0%-1%, 12%-18%
22	13.0	19.7	13.1	15.3	-2.1	709.9	710.8	714.5	98	58	95	SSE	0	SSW	3	SW	2	9	8	10	10.2	● 4%-6, 15%-21%, ▽ 11% n
23	13.1	16.1	13.8	14.3	-3.1	717.7	719.2	721.5	96	79	68	W	2	SW	2	WNW	1	10	9	7	1.8	● 2%-1%, 12-13%, ▽ n-17 mU
24	11.7	14.9	13.3	13.3	-4.0	721.1	720.8	719.7	84	75	88	N	1	ESE	1	NW	1	8	10	10	3.2	● 16%
25	12.9	18.5	12.7	14.7	-2.5	720.0	719.9	720.4	95	58	88	W	1	SSW	2	W	1	10	8	6	5.0	● 2-3%, 5%-5%, 20%
26	12.4	19.6	15.3	15.8	-1.3	722.4	723.2	722.2	95	59	74	SW	1	SSE	1	NNE	2	10	5	3	1.1	● 0%-8%
27	11.3	20.8	15.6	15.9	-1.1	721.8	721.1	719.9	97	55	83	NE	0	SSE	1	SE	1	7	0	0	.	.
28	13.4	24.9	18.6	19.0	1.1	720.0	719.4	718.6	93	55	84	SE	1	SSE	1	SSE	1	1	2	4	.	.
29	17.8	23.8	19.2	20.3	2.5	719.4	718.8	717.9	95	65	76	E	0	SE	1	SE	1	8	8	6	.	.
30	18.0	25.7	21.6	21.8	4.1	718.7	717.5	717.1</														

August 1958
Beobachter: FrL. H. Nager

Aldorf

$\lambda = 8^\circ 38', \beta = 46^\circ 53'$
 $H_b = 456.3 \text{ m}, G = -0.08 \text{ mm}$

Tag	Lufttemperatur					Luftdruck			Relative Feuchtigkeit			Windrichtung und Stärke			Bewölkung			Wiederschlag	Witterung			
	7 ³⁰	13 ³⁰	21 ³⁰	Mittel	Abweich. von Normalst	7 ³⁰	13 ³⁰	21 ³⁰	7 ³⁰	13 ³⁰	21 ³⁰	7 ³⁰	13 ³⁰	21 ³⁰	7 ³⁰	13 ³⁰	21 ³⁰					
1	20.2	27.0	26.9	24.7	6.8	725.9	724.2	724.5	89	57	52	N	0	N	0	W	3	2	0	10	1.2	● \bar{K} \nearrow 21½-22
2	18.0	18.2	19.0	18.4	0.5	725.6	728.0	727.1	91	85	90	N	0	NW	1	W	0	3	10	10	15.8	● 13-p mU
3	16.0	17.5	15.5	16.3	-1.6	728.5	728.1	729.0	91	61	91	NW	0	W	1	NW	0	10	5	10	0.4	● 19-20%
4	15.2	20.3	16.3	17.3	-0.5	729.6	728.6	728.4	90	56	76	SE	0	NW	1	E	0	7	6	3	.	
5	14.8	21.1	18.1	18.0	0.2	727.9	725.2	724.0	85	62	84	NE	0	N	0	E	1	1	3	3	.	
6	17.3	20.5	16.7	18.2	0.4	721.9	720.9	720.6	89	91	95	NE	0	N	0	NE	0	5	7	10	20.0	● 11½-13½, 15-18, 21½-n, *)
7	16.0	16.8	14.3	15.7	-2.0	719.7	720.1	721.3	96	82	92	N	0	NW	0	NW	0	10	10	10	10.0	∇ n-n mU
8	13.8	19.7	16.7	16.7	-1.0	722.7	723.0	723.6	93	57	80	N	0	N	1	E	0	10	6	5	0.2	● n-10% mU
9	16.1	23.1	19.8	19.7	2.0	725.3	724.3	724.7	90	57	89	NW	0	NW	1	N	0	7	1	8	.	
10	19.4	25.3	20.3	21.7	4.1	725.7	723.5	724.2	90	63	87	NE	0	NE	0	NW	0	2	4	8	2.2	● 20½-20%, 22½-n
11	18.3	25.2	20.0	21.2	3.6	723.5	720.3	722.7	89	60	65	E	0	NW	0	SE	1	0	6	10	11.7	● 21-n
12	16.7	17.7	14.9	16.4	-1.1	722.6	722.0	724.3	95	75	95	NE	0	NW	0	NW	0	9	10	10	3.9	● 7-p-n mU
13	14.4	18.5	15.3	16.1	-1.4	724.0	723.5	725.2	96	60	86	NW	0	N	0	NW	0	7	8	8	.	
14	12.8	20.7	18.7	17.4	0.0	725.3	723.9	725.0	91	57	83	N	0	NW	1	N	0	6	2	10	91	
15	17.1	24.6	19.6	20.4	3.0	724.5	722.9	722.4	92	69	86	E	0	N	1	E	0	5	3	0	.	
16	17.9	20.1	17.2	18.4	1.1	722.2	722.8	723.7	93	93	95	NE	0	NE	0	NW	0	6	10	10	11.2	● 10-p mU, \bar{K} 10-11%
17	16.2	23.3	18.8	19.4	2.2	722.7	721.3	720.3	92	65	89	E	0	N	1	E	0	1	2	0	.	
18	18.4	23.0	23.3	21.6	4.4	718.2	718.3	717.9	90	74	45	N	0	NW	1	SE	1	3	7	10	0.0	● 17½-18
19	23.9	22.1	17.7	21.2	4.1	716.3	716.1	718.6	44	56	93	SE	2	NW	1	N	0	6	10	10	39.5	● p-n, \bar{K} abd
20	12.8	17.9	16.8	15.8	-1.2	718.2	716.9	716.6	93	67	85	E	0	NW	0	NW	0	10	8	10	3.0	● 20½-n
21	14.3	17.1	14.5	15.3	1.7	715.2	711.0	712.7	94	70	89	N	0	NW	0	E	0	10	10	8	0.4	● n-7%, 20%-20%
22	13.6	16.0	13.7	14.4	-2.5	712.6	713.3	716.7	94	91	96	NW	0	NW	0	NW	0	10	10	10	7.0	● 7½-13½, 16-17%
23	12.8	17.1	13.9	14.6	-2.2	720.0	721.1	724.4	95	67	95	E	0	NW	0	N	0	6	8	10	12.0	● 15½-n
24	12.1	17.0	13.9	14.3	-2.4	723.6	722.2	722.7	96	89	91	N	0	NW	0	NW	0	10	10	9	2.5	● n (24./25.)
25	13.8	18.0	14.4	15.4	-1.3	723.1	721.8	722.2	97	68	93	SW	0	N	0	N	0	10	8	8	3.4	● n-7%, 20%-21½, n (25./26.)
26	13.1	15.8	12.8	13.9	2.7	724.8	725.6	725.0	95	66	83	SE	0	NW	0	SE	0	10	7	4	0.5	∇ n-amU
27	10.6	18.0	13.5	14.0	2.5	723.9	723.3	722.5	96	68	90	SE	0	NW	0	N	0	2	0	0	.	
28	12.2	20.6	15.9	16.2	-0.2	722.0	721.7	720.9	92	57	90	NW	0	NW	0	E	0	0	0	2	.	
29	16.8	24.0	19.3	20.0	3.7	722.0	721.1	719.5	84	65	67	E	1	NW	0	W	0	4	7	2	.	
30	16.9	24.4	19.4	20.2	4.0	720.6	719.7	719.9	89	69	92	SW	0	NW	0	NW	0	5	7	8	.	
31	16.7	25.0	17.5	19.7	3.6	719.0	717.6	719.8	95	63	100	NW	0	NW	1	NW	0	6	5	10	14.7	● 19½-n, \bar{K} \blacktriangle 19½-20%
Mittel	15.7	20.5	17.3	17.8	—	722.5	721.7	722.3	90	68	85							5.9	6.1	7.3	159.6	Summe

*) 6. \bar{K} 15-18

August 1958
Beobachter: Observatoire

Genève

$\lambda = 6^\circ 09', \beta = 46^\circ 12'$
 $H_b = 405.0 \text{ m}, G = -0.05 \text{ mm}$

1	21.9	30.0	25.5	25.8	6.5	730.5	728.4	728.6	72	47	59	NNE	1	NNE	1	SSE	1	7	3	3	.	
2	22.8	22.2	21.1	22.0	2.8	729.7	730.1	731.9	69	88	61	NNE	1	NNE	2	NNE	1	4	8	8	1.4	● 10½-11, 13½-13½
3	17.7	22.3	18.0	19.3	0.1	732.6	731.7	732.8	62	48	54	NNE	2	NNE	1	ENE	1	2	6	7	.	
4	15.8	21.8	19.4	19.0	-0.2	733.7	732.9	732.3	65	43	59	NNE	1	NNE	2	NNE	1	8	1	2	.	
5	16.5	21.9	21.4	19.9	0.8	732.2	730.2	728.0	69	55	74	E	1	NNE	1	N	1	6	8	4	.	
6	19.7	27.5	19.2	22.1	3.0	727.0	725.9	725.9	71	42	75	E	1	SSW	2	WSW	1	4	4	10	11.2	● 21%-23%
7	16.7	20.5	18.9	18.7	0.3	725.4	725.7	725.8	75	45	70	NW	1	WSW	1	S	2	10	9	9	1.8	● 0½-1½ mU, 3½-4½, *)
8	16.8	23.3	19.4	19.8	0.8	728.2	728.5	729.3	65	35	55	SW	1	S	1	SSE	0	3	2	4	.	● n-2½ mU
9	17.0	25.0	21.5	21.2	2.3	730.1	729.4	729.4	66	44	80	SW	1	NNE	1	N	1	0	1	0	.	
10	19.7	24.6	25.0	23.1	4.3	730.3	728.4	728.2	74	56	61	S	1	SE	1	SE	1	1	4	3	.	
11	20.5	25.6	16.9	21.0	2.2	728.0	724.9	727.1	77	52	87	NE	1	NNE	1	ESE	1	3	1	10	9.8	● 19½-23%, \bar{K} 19%
12	17.0	22.1	16.7	18.6	-0.1	727.6	727.5	729.2	64	47	61	S	1	SSW	2	S	0	8	6	4	.	
13	14.9	19.8	17.5	17.4	-1.2	729.1	728.6	729.8	72	50	59	ENE	1	N	1	NNE	1	6	4	4	.	
14	14.7	25.7	21.3	20.6	2.1	730.5	729.4	729.9	75	42	70	NW	0	SW	1	ENE	0	1	1	0	.	
15	17.3	23.2	23.1	21.2	2.7	729.2	727.5	726.6	76	58	68	SW	1	N	1	N	0	0	1	1	6.3	
16	18.4	23.6	21.8	21.3	2.9	726.7	727.7	727.5	94	59	81	E	1	WSW	1	NE	1	9	2	3	0.8	● 6-7½, 11% 12%
17	18.5	25.0	22.5	22.0	3.7	727.4	725.9	724.5	75	53	69	S	1	NNW	1	N	0	1	1	5	0.4	
18	19.5	24.0	22.1	21.9	3.7	723.5	722.6	721.2	85	65	75	NE	1	N	1	N	1	4	8	9	.	● 6½-6½
19	20.2	18.5	13.6	17.4	-0.7	720.4	720.5	722.6	76	82	84	N	1	SSW	2	ESE	1	9	10	9	47.5	\bar{K} ● 13½-20% mU, *)
20	14.3	18.5	17.3	16.7	-1.3	723.1	723.0	721.4	86	59	63	S	1	SW	1	S	1	10	7	10	0.4	● 1½-5% mU, 7½-8½
21	14.3	14.8	14.2	14.4	3.6	718.7	716.8	718.0	85	92	91	SE	1	NNW	1	N	1	10	10	10	29.4	● 11½-22%, \bar{K} abd
22	14.1	20.3	15.2	16.5	-1.4	717.5	718.5	722.3	76	49	76	S	1	S	3	NW	1	8	7	4	2.9	● 0½-5 mU, 14½-14%, *)
23	14.8	17.3	14.9	15.7	2.1	725.6	727.4	727.3	74	60	75	S	2	S	1	SE	0	10	8	1	3.1	● 2-4% mU, 10% 12% mU
24	11.9	17.2	15.4	14.8	-2.9	728.5	727.9	726.8	82	63	82	N	0	NE	1	NNE	0	10	10	9	16.9	
25	14.1	19.4	15.1	16.2	1.4	727.6	727.9	728.3	81	46	78	W	0	S	2	SSE	2	9	7	8	2.1	● 6½-7½, \bar{K} ● 2-6%, 20%-21%
26	15.7	19.1	15.3	16.7	0.8	730.0	729.9	729.0	68	44	70	WSW	1	NNE	1	NNW	1	8	3	3	.	
27	12.7	18.3	17.4	16.1	1.3	728.8	727.8	727.0	78	61	74	NNE	0	NNE	1	N	1	1	0	1	.	
28	13.9	21.3	19.8	18.3	1.0	727.2	726.1	725.2	87	50	74	S	1	N	1	N	1	1	7	6	.	
29	17.3	23.0	21.0	20.4	3.2	726.4	725.7	724.9	87	55	76	N	1	NNE	1	WNW	10	10	8	.		
30	18.6	26.5	21.9	22.3	5.2	725.7	724.5	724.0	84	54	84	SW	1	SW	1	N	0	8	6	6	.	
31	18.2	27.1	18.8	21.4	4.4	723.9	722.6	723.5	84	52	92	W	1	SW	1	ESE	1	0	0	10	14.4	\bar{K} ● 17½-24%
Mittel	16.9	22.2	19.1	19.4	—	727.3	726.6	726.7	76	55	72							5.5	5.0	5.5	148.4	Summe

λ = 8° 34', β = 47° 23',
H_b = 569.4 m, G = -0.01 mm

Zürich

August 1958
Beobachter: Meteorologische Zentralanstalt

Tag	Lufttemperatur					Luftdruck			Relative Feuchtigkeit			Windrichtung und Stärke			Bewölkung			Niederschlag	Witterung			
	7 ³⁰	13 ³⁰	21 ³⁰	Mittel	Abweich. vom Normalst.	7 ³⁰	13 ³⁰	21 ³⁰	7 ³⁰	13 ³⁰	21 ³⁰	7 ³⁰	13 ³⁰	21 ³⁰	7 ³⁰	13 ³⁰	21 ³⁰					
1	20.7	31.6	25.1	25.8	8.4	716.3	714.7	715.6	81	46	58	SSE	1	SSW	1	WNW	3	4	10	0	Δ I, III	
2	20.6	18.0	14.0	17.5	0.1	715.9	717.1	718.5	85	87	87	SW	1	SW	1	S	5	9	10	6.7	● 11½-13½, 15%, 19%-22% mU, (*)	
3	14.3	17.4	13.5	15.1	-2.3	718.9	718.2	719.3	88	67	73	NNW	1	SSE	1	NNE	1	9	9	9	0.2	● tr 17%, Δ I
4	13.6	20.5	15.0	16.4	-0.9	719.7	719.6	718.7	71	44	69	NE	1	S	1	NE	1	3	1	0	0	Δ III
5	13.6	24.2	17.6	18.5	1.2	717.8	715.7	713.7	84	39	61	ENE	1	NE	1	NNE	0	1	2	1	0	Δ I, III, ⊕ 15%
6	17.6	23.3	16.7	19.2	2.0	712.2	711.7	710.8	77	55	92	SW	1	SSW	1	ESE	1	3	7	9	23.0	● 13½-14, 17½-17¾, 20½-21, (*)
7	14.6	13.7	13.2	13.8	-3.4	710.3	710.7	711.3	92	86	87	W	1	SSW	1	SSE	1	10	10	9	35.4	● 0-3, 5½-10% mU, 12½-13%, (*)
8	13.3	19.3	15.4	16.0	-1.1	713.0	713.7	714.7	81	51	78	SW	1	WSW	2	NNW	1	9	5	9	0.0	● 0¾-6% mU, Δ III
9	17.2	25.0	20.3	20.8	3.7	715.6	715.4	715.6	78	50	80	S	1	NW	1	N	1	4	2	9	0	Δ I, III
10	18.9	29.9	21.9	23.6	6.6	716.0	714.5	714.0	86	44	69	SSE	1	SSE	1	NNE	1	0	2	9	0.0	
11	19.5	29.4	14.2	21.0	4.1	713.8	711.2	713.3	75	45	83	S	1	ENE	1	SSW	2	1	2	10	18.1	● 20 n, K 20-20½, (*)
12	16.1	18.1	13.8	16.0	-0.9	712.5	712.5	714.3	82	68	83	WSW	1	SSE	1	S	1	8	9	9	5.3	● n 2%, 4% 5%, 9-10, *
13	14.5	20.2	15.5	16.7	0.1	714.5	714.5	715.5	75	52	66	W	1	WSW	1	WNW	1	6	4	10	0.0	Δ I
14	14.9	22.1	19.0	18.7	2.0	715.2	714.6	715.3	73	51	70	SSW	1	WSW	2	SSW	1	7	2	10	0	Δ I, III
15	18.6	25.8	18.6	21.0	4.4	714.7	713.7	713.0	71	47	82	S	1	NW	1	NW	1	1	1	0	0	Δ I, III
16	19.1	25.7	19.0	21.3	4.8	712.7	712.4	714.0	78	56	86	W	1	S	1	S	1	9	8	8	1.1	● 14½, 15½, 16½, Δ I
17	18.6	25.9	19.9	21.5	5.1	713.6	712.4	710.8	82	49	81	S	1	SE	1	NE	1	4	1	0	0.0	Δ I, III
18	19.4	27.7	20.1	22.4	6.1	709.4	708.8	707.5	79	45	66	S	1	NNE	1	NE	1	3	7	2	0.0	Δ I, III
19	18.8	16.8	13.3	16.3	0.1	707.0	707.8	708.6	78	77	86	SSE	1	WSW	1	SSW	2	4	10	10	52.4	● 13% 14½, 17 n, *
20	12.7	18.9	14.7	15.4	-0.7	708.1	707.6	707.4	90	56	71	S	1	SW	2	WNW	1	9	6	10	23.5	● n f, 21½ n
21	12.3	16.1	13.0	13.8	-2.2	705.5	702.0	703.1	87	69	89	ESE	1	NNE	1	S	1	10	10	10	6.3	● n 4½, tr 13%, 18½-19½, (*)
22	13.0	18.7	13.9	15.2	-0.8	702.8	703.5	706.8	84	57	82	S	0	WSW	1	SW	2	10	9	10	3.7	● 9½, 10¾-11½, 18½-18¾, (*)
23	13.9	16.7	12.6	14.4	-1.5	710.0	711.5	714.2	78	66	87	SW	1	WNW	2	SSE	1	9	9	10	3.1	● 9-9½, 13½, 13¾, 19½-20%
24	12.0	15.7	13.6	13.8	-2.0	713.8	713.4	712.8	87	62	81	SSE	1	WNW	1	SSE	1	3	10	10	3.9	● 17%, Δ I
25	13.3	19.8	14.7	15.9	0.2	712.4	711.7	712.7	71	50	63	SSW	3	WSW	2	WSW	2	10	5	10	8.1	Δ 2, ● 3¾ 7¼, 21½ 22½, (*)
26	12.3	16.5	11.7	13.5	-2.1	714.7	715.9	715.6	87	55	88	SW	1	WNW	1	NE	1	7	6	2	0.0	● 2-2½, 4¾ 6, n 5, Δ III
27	9.4	22.4	15.1	15.6	0.1	714.2	713.6	712.7	94	46	85	NE	1	SSW	1	ESE	1	4	1	0	0	Δ I, III
28	13.9	25.9	18.5	19.4	4.0	712.7	712.1	711.4	77	41	82	E	1	SW	1	NE	0	0	1	2	0	Δ I, III
29	16.8	26.6	20.3	21.2	5.8	711.9	712.1	710.2	85	51	91	ENE	1	S	1	NNE	1	6	10	6	0	≡ 5¾-8% mU, Δ I, III
30	18.7	27.2	22.1	22.7	7.4	711.1	710.5	710.3	80	54	84	SSW	0	SW	1	NW	1	4	7	10	0	Δ I, III
31	18.5	25.5	19.4	21.1	5.9	709.6	709.1	709.5	82	58	67	WSW	1	N	1	N	1	10	1	10	0	≡ n-6%, Δ I, III
Mittel	15.8	22.1	16.6	18.2	-	712.8	712.3	712.6	81	56	78							5.5	5.5	7.2	190.8	Summe

λ = 6° 32', β = 46° 51',
H_b = 1601 m, G = -0.16 mm

Chasseron

August 1958
Beobachter: J. Liardon

1	17.7	20.6	15.8	18.0	-	636.7	636.5	635.9	75	68	100	W	4	S	2	NW	3	6	7	10	0.0	Δ 17, ≡ 20% n, n-n mU
2	15.8	12.0	8.1	12.0	-	636.0	635.9	636.1	79	100	85	SW	2	NW	4	WNW	4	2	10	9	1.2	≡ 9-8½-19 mU, n-n
3	6.8	10.1	6.4	7.8	-	636.5	636.4	637.0	88	71	91	NE	2	N	1	N	2	8	9	9	0	
4	7.0	11.2	6.4	8.2	-	636.7	637.5	637.4	89	68	88	E	2	N	1	E	2	9	3	1	0	
5	11.6	16.4	14.0	14.0	-	636.1	635.6	634.2	69	71	83	SE	2	WSW	1	W	2	1	8	7	0	
6	11.3	14.0	10.9	12.1	-	632.0	631.8	630.7	89	83	93	W	3	WNW	3	WNW	4	9	8	7	22.8	Δ 14½-14¾, K ● 18-19, (*)
7	6.6	7.7	6.9	7.1	-	629.0	629.8	629.7	100	100	100	NNW	4	NW	3	WNW	4	10	10	10	12.6	● 2 22-24, ≡ n-12½, (*)
8	5.7	10.2	9.8	8.6	-	631.3	632.8	633.8	100	72	85	NW	3	NW	2	WNW	2	10	7	9	0	≡ 7½-10
9	11.2	17.2	15.4	14.6	-	634.7	635.5	635.7	98	83	87	W	2	WNW	1	SE	2	2	7	5	0	Δ I
10	15.6	19.6	17.4	17.5	-	635.9	635.8	636.8	71	64	65	SSW	3	WSW	1	W	1	1	2	5	6.0	● K ▲ 16¾-17¾, Δ I
11	15.6	21.0	8.8	15.1	-	634.2	632.6	631.1	78	62	100	S	2	S	1	WNW	5	3	5	10	12.4	● 20% n, ≡ 17½ n, n 17½ n
12	6.2	8.4	6.0	6.9	-	631.3	631.6	632.3	100	100	100	NW	4	W	2	NW	4	10	9	10	5.5	Δ n (12/13), ≡ n-12, (*)
13	6.2	8.8	7.0	7.3	-	632.1	632.9	633.9	100	96	100	W	2	NW	2	WNW	2	10	8	10	0	≡ n-12½, 18% n
14	7.4	11.5	10.2	9.7	-	634.1	634.6	634.8	100	90	100	WNW	3	WNW	3	NW	3	10	9	10	0	≡ n-11½, 11½-18 mU, 18-n
15	11.8	17.2	15.6	14.9	-	633.9	634.0	633.7	86	79	92	S	2	WNW	2	SW	1	2	5	5	0	
16	12.4	13.6	12.0	12.7	-	633.0	633.4	637.7	100	100	100	NW	3	WNW	2	NW	2	10	10	7	0.3	● p, ≡ n-12
17	12.6	17.4	15.4	15.1	-	633.0	632.7	631.9	96	76	89	SE	2	C	0	SE	2	3	5	8	7.8	K ● 23¾-23¾
18	13.0	17.4	14.2	14.9	-	625.8	629.9	628.6	100	74	96	SSE	3	SSE	2	ESE	2	10	5	4	0	≡ n-8
19	13.2	10.6	5.6	9.8	-	627.2	626.2	626.5	72	78	100	ESE	2	WNW	4	S	5	7	7	10	30.7	Δ 10-11, 14½-n mU, K 15¾, (*)
20	6.0	7.6	6.4	6.7	-	626.6	627.1	625.5	100	100	100	WSW	4	W	4	W	3	10	10	10	1.8	Δ 9-17 mU, ≡ n-16 mU, n-n mU
21	6.2	5.8	6.6	6.2	-	624.4	621.8	621.8	100	100	100	SSE	2	E	2	SSE	4	10	10	10	17.4	● 10% n mU, ≡ n-n mU, n-n
22	5.8	8.4	6.4	6.9	-	621.8	622.8	624.8	100	84	100	S	4	W	3	W	4	7	8	10	16.3	Δ n (22/23), ≡ 18-n, n-n mU
23	5.6	5.6	4.5	5.2	-	627.4	630.1	631.3	100	100	100	W	4	WNW	4	NW	3	10	10	7	2.8	Δ 13-13¾, ≡ n-19, n-n mU
24	5.5	8.6	9.8	8.0	-	631.4	631.7	631.2	75	45	63	SW	2	WSW	3	S	3	7	8	8	5.1	Δ 14-17 mU
25	6.6	8.0	6.6	7.1	-	630.7	631.2	630.2	100	77	100	W	3	W	3	NW	5	10	8	10	19.0	Δ 19¾-20¾, n (25, 26), (*)
26	5.2	8.4	7.0	6.9	-	632.7	634.0	632.2	100	86	94	NW	3	C	0	E	2	10	7	5	0.8	Δ n-9% mU, ≡ n-11
27	10.0	16.4	16.5	14.3	-	632.4	631.1	632.5	68	53	45	S	3	WSW	2	SSW	2	3	0	0	0	
28	18.0	21.4	20.2	19.9	-	632.7	633.3	633.0	36	44	41	S	3	SSE	3	S	3	3	3	6	0	
29	19.0	20.6	20.2	19.9	-	633.0	633.3	632.5	41	38	48	S	3	ESE	2	NW	2	6	8	8	0	
30	17.8	22.2	17.2	19.1	-	633.6	632.2	631.9	50	50	50	ESE	1	C	0	NNW	1	7	5	3	0	
31	15.6	18.4	13.4	15.8	-	630.5	630.5	629.9	76	80	100	NW	2	N	2	NNW	2	0	6	10	13.0	

August 1958

Beobachter: Stationspersonal Rh. B.

Bever

$\lambda = 9^\circ 53'$, $\beta = 46^\circ 33'$,

H_b = 1711.8 m, G = -0.26 mm

Tag	Lufttemperatur					Luftdruck			Relative Feuchtigkeit			Windrichtung und Stärke			Bewölkung			Niederschlag	Witterung
	7 ³⁰	13 ³⁰	21 ³⁰	Mittel	Abweich. von Normalst.	7 ³⁰	13 ³⁰	21 ³⁰	7 ³⁰	13 ³⁰	21 ³⁰	7 ³⁰	13 ³⁰	21 ³⁰	7 ³⁰	13 ³⁰	21 ³⁰		
1	10.8	24.8	17.0	17.5	5.9	629.8	628.4	628.1	94	41	80	SW 0	SW 2	SW 1	0	6	2		
2	12.4	24.0	12.8	16.4	4.9	628.1	626.9	627.1	93	40	85	SW 0	SW 0	SE 0	9	2	8	19% - 19%, K 19-20	
3	11.8	16.1	11.2	13.0	1.5	626.4	624.4	626.4	94	60	72	SW 0	NW 2	NW 0	7	8	10	● 18% - 19	
4	6.6	16.3	9.4	10.8	-0.6	627.1	626.5	628.4	93	44	66	NW 0	NW 1	NE 0	2	2	0		
5	4.2	20.3	11.0	11.8	0.4	628.3	625.2	625.3	99	53	91	SW 0	SW 1	SW 0	0	0	4	7	
6	11.5	20.5	10.4	14.1	2.7	623.5	622.7	621.9	90	51	93	SE 0	SW 0	NW 0	9	1	10*	39.5	
7	7.0	9.6	7.0	7.9	-3.4	621.2	620.7	620.6	100	80	90	W 0	SW 0	E 0	10	10	10*	12.9	
8	5.1	15.1	9.4	9.9	-1.4	621.3	622.8	625.1	94	43	70	SW 0	NW 0	NE 0	2	3	7		
9	9.8	21.6	11.8	14.4	3.2	626.0	626.0	627.5	77	43	89	NE 0	SW 0	SW 0	5	10	3		
10	11.0	22.4	10.4	14.6	3.4	627.9	626.7	626.9	95	38	94	NE 0-1	NE 0	SW 0	10	9	0	1.0	
11	8.0	20.8	14.4	14.4	3.3	626.5	625.0	623.3	100	45	86	SW 0	SW 1	SW 0	4	7	3	17.6	
12	10.6	17.2	8.0	11.9	0.8	621.9	621.2	622.8	96	52	93	NE 0	SW 1	NW 0	8	9	10*	5.0	
13	7.4	14.2	9.6	10.4	-0.6	622.9	622.3	623.7	90	43	64	NE 0	W 1	NW 1	10	7	1		
14	3.0	18.0	10.0	10.3	-0.6	625.2	624.2	625.2	99	35	79	NE 0	NW 0	NE 0	8	2	0		
15	9.5	22.5	12.8	14.9	4.0	625.3	624.4	625.0	90	40	91	SW 0	SW 0	SW 0	6	2	0	0.0	
16	13.5	12.4	9.0	11.6	0.8	624.0	623.7	625.2	88	49	99	SW 0	NW 1	NE 0	7	10*	0	13.0	
17	5.0	21.0	12.2	12.7	2.0	625.1	623.8	624.3	100	34	86	NE 0	NW 0	SW 0	10	2	0	1.3	
18	10.6	18.8	11.4	13.6	2.9	624.1	623.2	623.1	94	45	94	SW 0	SW 1	SE 0	10	8	10	4.3	
19	8.9	19.0	14.9	14.3	3.7	622.7	621.0	617.6	100	40	61	SW 0	SW 1	SW 0	10	8	10*	4.9	
20	9.6	13.6	5.6	9.6	-0.9	616.7	618.2	618.1	74	54	95	NW 0	SW 1	W 0	10	7	2	10.2	
21	7.4	10.9	6.6	8.3	-2.1	617.0	614.7	615.1	98	67	96	SW 0	SW 0	W 0	9	10	10*	19.6	
22	6.2	12.4	5.6	8.1	-2.3	614.2	614.7	617.8	94	69	97	SW 0	SW 0	NE 0	10*	9	6	5.0	
23	2.0	14.8	7.2	8.0	-2.3	620.0	620.3	623.0	100	50	93	NW 0	SW 0	SW 0	10	7	9	0.5	
24	6.6	10.9	9.9	9.1	-1.1	622.9	622.7	622.4	95	64	75	NE 0	SW 1	SW 0	10	10	8	0.0	
25	7.0	9.1	6.4	7.5	-2.6	621.9	622.1	621.7	94	89	96	SW 0	SW 0	SW 0	9	10*	7	4.9	
26	4.6	11.3	3.0	6.3	3.7	623.1	624.1	625.4	93	52	92	SW 0	NW 1	NE 0	8	8	1		
27	0.7	18.7	6.2	8.1	1.8	625.4	624.0	625.5	100	47	95	SW 0	SW 0	SW 0	1	0	0		
28	2.0	22.2	10.1	11.4	1.6	626.0	624.3	625.7	100	33	86	SW 0	SW 2	SW 0	0	0	0		
29	6.8	25.2	11.8	14.6	4.9	625.4	624.5	626.0	95	26	84	SW 0	NW 0	NE 0	1	5	8	0.0	
30	7.6	25.8	12.4	15.3	5.7	625.1	623.1	623.6	96	28	75	NE 0	NE 0	SW 0	7	3	1		
31	8.8	21.0	10.0	13.3	3.8	621.4	620.4	620.7	94	60	95	SW 0	SW 1	SW 0	10	7	7		
Mittel	7.6	17.8	9.9	11.8	—	623.8	623.0	623.6	94	49	86				6.8	6.0	4.8	141.0	

*) 3, K 10% 11%

August 1958

Beobachter: Couvent des Capucins

Sion

$\lambda = 7^\circ 22'$, $\beta = 46^\circ 14'$,

H_b = 548.6 m, G = -0.14 mm

1	20.4	31.2	21.7	24.4	5.1	719.3	716.5	717.8	70	43	90	ENE 0	ENE 0	E 2	2	3	10*	6.8	● 19% - 23%, K 19% - 21%
2	22.0	27.2	20.0	23.1	3.9	718.3	716.7	719.1	84	63	92	NE 1	W 2	W 2	3	5	10*	13.1	● 16% - 21% mU, K 16-21
3	19.2	22.4	18.9	20.2	1.0	719.3	718.1	718.9	73	62	70	W 1	W 2	W 2	9	7	4		
4	17.8	22.7	18.2	19.6	0.5	721.3	719.4	719.8	77	55	73	W 0	W 1	W 0	4	1	0		
5	16.6	25.2	21.0	20.9	1.8	719.8	717.1	715.9	81	59	71	N 1	SW 2	W 1	1	6	7		
6	19.5	26.3	18.1	21.3	2.3	715.6	713.2	713.9	81	56	84	SW 1	SW 2	SW 4	7	6	9	5.9	● 20% - 21, p n
7	17.4	19.0	16.2	17.5	-1.5	713.2	712.8	713.9	93	72	75	W 1	W 2	SW 0	10	9	3	5.0	▽ 0% - 1%, ● 2-6 mU
8	16.8	22.0	18.4	19.1	0.2	716.0	715.5	717.2	90	55	68	SW 0	W 2	W 0	6	1	0		● 1-6% mU
9	17.6	26.0	21.3	21.6	2.8	718.3	717.1	717.5	80	50	76	W 0	WSW 1	NW 1	0	3	1		
10	19.0	29.6	23.0	23.9	5.1	717.9	716.2	716.5	85	53	65	NW 0	NW 0	NE 2	0	0	2		
11	19.6	30.0	16.4	22.0	3.3	716.7	713.0	714.5	79	50	98	NE 0	NE 0	WNW 3	0	1	10	7.4	● K 20% - 23%, 23% 21, p n
12	17.2	22.0	16.6	18.6	0.0	715.6	714.4	715.7	86	57	69	W 0	W 2	NW 2	10	5	5		● 1-1%
13	16.4	21.8	16.6	18.3	-0.3	716.6	715.3	717.2	74	55	70	E 0	WNW 3	WNW 1	1	1	0		✓ a-p
14	15.8	23.6	19.6	19.7	1.2	718.6	716.8	717.2	77	56	70	NW 0	WSW 0	N 1	0	0	0		
15	17.3	26.4	22.4	22.0	3.6	717.7	714.9	714.7	82	57	71	N 0	NW 2	NW 1	0	0	0		
16	19.6	24.7	19.4	21.2	2.9	715.3	715.5	715.7	83	63	79	ENE 0	W 1	ENE 2	9	4	1	0.1	● 9% - 10
17	17.6	27.7	21.4	22.2	3.9	716.1	714.2	713.6	84	51	69	E 0	E 0	E 2	0	1	4		
18	19.4	26.8	20.8	22.3	4.1	713.2	711.4	711.6	71	56	62	NE 0	ENE 0	ENE 1	6	6	2		
19	21.2	22.6	15.0	19.6	1.5	710.0	709.1	712.8	70	71	90	E 0	E 1	NW 1	7	7	10*	12.0	● 13% - 13%, 19-23%, K 19-23%
20	12.2	21.2	17.2	16.9	-1.1	712.1	710.3	709.2	91	62	78	ENE 0	SW 1	W 1	3	5	10	0.1	● tr p
21	16.2	18.4	14.2	16.3	-1.7	707.4	704.8	706.3	89	78	98	WSW 0	WSW 1	WNW 0	10	10	10	0.5	● 18% - 20%
22	14.5	15.8	14.6	15.0	-2.9	705.8	706.4	710.6	94	76	75	W 0	NW 3	W 1	8	9*	8	1.8	● 5% - 6%, 12%, 13% - 13%, 23-n, p a-p
23	13.8	21.1	14.7	16.5	-1.3	713.8	713.9	716.1	93	62	75	W 0	SW 2	WSW 0	10	4	8		● n-3% mU
24	13.0	20.2	15.1	16.1	-1.6	716.7	715.4	715.7	84	57	70	WSW 0	W 1	WSW 1	5	7	5	8.5	
25	13.8	19.4	15.4	16.2	-1.4	716.5	715.0	715.0	98	66	71	WSW 1	WSW 1	W 1	10*	3	4	3.2	● 3% - 10
26	16.0	20.7	14.3	17.0	-0.6	717.4	716.6	717.2	77	57	81	WSW 0	WNW 2	NW 1	7	0	0		
27	13.7	23.4	17.5	18.2	0.7	717.4	715.2	715.7	79	53	69	NNW 0	WSW 1	E 2	0	0	0		
28	13.8	26.8	20.0	20.2	2.8	716.7	714.4	714.7	79	47	74	E 0	E 0	WNW 1	0	1	0		
29	18.4	27.6	20.0	22.0	4.7	715.4	714.3	713.7	72	53	76	ENE 1	ENE 0	ENE 0	7	5	4		
30	18.4	27.7	21.2	22.4	5.2	714.4	712.5	713.5	76	53	85	ENE 0	E 0	W 0	3	4	3		
31	18.8	26.8	20.0	21.9	4.8	712.8	710.3	711.1	86	65	85	W 0	SW 0	W 0	1	4	6	8.2	
Mittel	17.2	24.1	18.4	19.9	—	715.6	714.1	714.9	82	58	76				4.5	3.8	4.4	72.6	

λ = 8° 58', β = 46° 00',
H₀ = 276.2 m, G = -0.04 mm

Lugano

August 1958
Beobachter: G. Vicari

Tag	Lufttemperatur					Luftdruck			Relative Feuchtigkeit			Windrichtung und Stärke			Bewölkung			Niederschlag	Witterung			
	7 ³⁰	13 ³⁰	21 ³⁰	Mittel	Abweih. vom Normalst	7 ³⁰	13 ³⁰	21 ³⁰	7 ³⁰	13 ³⁰	21 ³⁰	7 ³⁰	13 ³⁰	21 ³⁰	7 ³⁰	13 ³⁰	21 ³⁰					
1	22.8	32.6	27.4	27.6	5.8	742.7	741.5	740.6	91	55	81	N	0	S	1	NE	0	0	1	10	42.7	● n (1./2.)
2	19.0	30.4	25.2	24.9	3.1	741.9	739.7	737.5	98	53	84	W	1	SSW	1	N	0	10	1	10	2.1	● K 5%-8, ● tr 20
3	20.6	31.8	24.4	25.6	3.9	738.5	736.9	736.3	85	48	49	N	1	S	1	NNE	2	1	5	4	.	.
4	19.8	26.2	22.8	22.9	1.2	740.5	741.7	743.0	68	57	66	N	1	S	2	N	1	6	1	5	.	.
5	19.6	27.0	20.8	22.5	0.9	744.1	742.3	740.7	75	48	81	N	1	S	1	N	1	5	2	1	.	.
6	17.8	28.2	21.4	22.5	0.9	738.7	736.5	735.3	89	50	84	N	1	S	1	N	1	4	3	9	.	.
7	19.2	20.4	18.4	19.3	-2.2	734.6	733.6	734.3	81	83	63	N	1	S	1	N	1	10	9	0	7.8	● 10% 12
8	14.8	28.8	22.2	21.9	0.4	735.0	735.7	738.5	74	36	53	SSW	1	W	1	N	1	0	1	0	.	.
9	16.2	29.4	23.6	23.1	1.7	740.8	740.7	740.8	78	44	66	NNE	1	S	1	N	1	1	0	0	.	.
10	19.2	30.2	24.4	24.6	3.2	742.1	740.7	740.3	91	45	65	N	1	SE	1	N	1	1	1	0	.	.
11	20.6	30.2	24.4	25.1	3.8	740.2	738.1	736.2	89	55	81	NNE	0	S	1	SW	1	8	1	10	53.9	● 21-n, K 21%-22%
12	19.2	27.0	19.4	21.9	0.6	736.0	735.1	736.7	86	47	83	WNW	1	SSE	1	N	1	5	4	5	25.2	K ▲ ● 16%-18, ∇ 19-20
13	16.4	28.2	19.6	21.4	0.2	736.1	735.6	737.0	77	42	63	N	1	SE	1	N	1	8	1	0	.	.
14	16.6	28.2	20.4	21.7	0.6	740.0	738.8	739.5	71	39	68	N	1	E	1	N	1	1	1	0	.	.
15	17.2	30.2	22.8	23.4	2.3	739.3	738.5	738.3	85	49	66	N	1	S	1	NNE	1	0	0	0	.	.
16	21.2	27.4	20.8	23.1	2.1	738.3	737.2	737.6	88	61	72	N	1	S	1	N	1	4	9	0	.	.
17	18.8	29.2	23.4	23.8	2.9	738.4	737.7	737.8	88	44	88	N	1	S	1	SSW	1	0	1	3	12.2	● n (17./18.)
18	19.2	26.4	22.4	22.7	1.9	738.2	736.9	736.0	96	57	73	ESE	1	SSE	1	N	1	10	8	10	3.4	K ● 1%-2%, 6% 8%
19	19.8	26.4	24.4	23.5	2.7	736.2	734.6	729.8	87	59	39	NNW	1	N	0	ENE	3	8	6	8	1.1	K früh, ● tr p, ∇ (19./20.), ∇ p-n
20	16.2	25.8	21.4	21.1	0.4	731.7	730.9	731.1	85	39	63	NNW	1	SE	1	NNW	1	9	1	6	7.0	∇ 7-7%, ● K 7%-8%, ● n (20./21.)
21	16.8	17.4	17.2	17.1	-3.5	731.0	730.8	728.6	92	94	79	N	1	S	1	W	1	10	10	10	36.7	● 8%-n mU
22	14.2	19.8	14.4	16.1	-4.4	728.8	729.2	732.7	97	69	69	WNW	1	N	1	N	1	10	8	3	1.4	● 7-7%, 12-12%, tr p
23	12.2	25.2	18.4	18.6	-1.8	735.6	736.5	738.0	92	45	80	NNW	1	S	1	N	1	0	4	0	0.0	∇ 16%
24	16.4	21.2	17.2	18.3	-2.1	738.9	739.0	738.7	92	64	92	N	1	S	1	W	0	9	10	8	1.3	● ° n-n mU'
25	16.4	19.2	18.4	18.0	-2.3	737.9	737.5	736.5	94	89	80	NNE	1	NNW	0	N	1	10	9	3	5.8	● 11%-13%
26	13.4	26.6	18.2	19.4	-0.8	736.7	737.6	739.3	82	37	49	N	1	S	1	N	1	0	1	0	.	.
27	14.0	25.8	18.6	19.5	-0.6	741.4	740.4	740.3	82	45	87	N	1	S	1	N	1	1	1	0	.	.
28	15.6	26.8	20.4	20.9	0.9	740.5	739.8	739.3	89	53	88	NNW	1	SSE	1	N	1	0	1	2	.	.
29	17.8	27.8	22.4	22.7	2.8	738.3	737.0	736.8	92	56	88	N	1	SSE	1	NNE	1	1	6	1	.	.
30	19.8	29.2	24.2	24.4	4.6	736.2	734.5	734.7	89	53	93	W	0	SSW	1	NNW	0	9	1	2	.	.
31	21.8	27.4	23.2	24.1	4.4	735.3	734.1	733.3	87	47	85	N	1	S	1	SW	0	10	3	10	9.4	● n (31./1.)
Mittel	17.8	26.8	21.4	22.0	—	737.9	737.1	737.0	86	54	73							4.8	3.5	3.8	210.0	

λ = 7° 35', β = 47° 33',
H₀ = 317.3 m, G = 0.08 mm

Basel

August 1958
Beobachter: Astronom.-Meteorol. Anstalt

1	20.1	30.0	23.0	24.4	6.3	737.2	735.3	736.0	88	58	66	ESE	1	ENE	1	W	1	7	9	8	0.0	● tr 14%
2	20.7	19.7	17.0	19.1	1.1	737.6	739.7	740.1	80	79	85	WNW	1	WSW	1	SW	0	8	10	9	3.8	● 9%-12 mU
3	16.4	21.8	15.9	18.0	0.0	741.2	740.5	741.4	74	46	73	NW	1	WNW	1	NW	1	7	2	9	.	.
4	14.4	22.9	14.0	17.1	-0.8	742.5	741.6	740.5	89	42	79	SW	1	WNW	1	S	1	5	2	0	.	.
5	14.5	26.8	17.4	19.6	1.8	740.0	737.4	735.3	77	46	79	E	1	E	1	SSW	1	1	2	2	.	.
6	16.8	20.2	15.6	17.5	-0.3	734.0	733.7	733.0	75	77	98	E	1	WNW	2	S	1	5	10	10	28.5	● tr 13%, tr 14%, 20%-23% mU *)
7	15.6	17.5	15.7	16.3	-1.4	732.8	733.0	733.3	88	62	82	W	1	WNW	2	WNW	0	9	9	10	1.5	● 23%-n
8	15.1	22.2	17.8	18.4	0.8	734.8	735.5	736.3	81	53	83	WSW	1	WNW	2	SW	1	8	4	10	.	● n-0%, 2%-3% mU
9	18.4	26.6	21.8	22.3	4.7	737.0	736.8	736.9	78	64	81	E	1	W	1	WNW	1	6	5	8	.	.
10	19.4	30.6	20.0	23.3	5.8	736.9	735.5	735.4	93	57	85	E	1	E	1	E	1	0	4	8	4.0	● tr 9%-10, 19%-20%, K 18%-20%
11	20.8	30.5	15.8	22.4	5.0	735.4	732.7	734.0	87	58	88	E	1	NW	1	S	1	8	1	10	4.0	● 18%-22 mU, K 18%-19%, *)
12	15.7	21.4	14.5	17.2	-0.1	734.6	734.3	736.0	88	66	82	W	1	WNW	2	S	1	10	8	7	0.2	tr 17%, 18%-18%, ∇ 16
13	15.1	21.7	14.6	17.1	-0.2	736.2	736.3	737.1	81	59	83	WSW	1	WSW	1	SSW	1	10	8	0	0.2	● ° 7-7%, 8%-9%
14	14.1	24.2	20.2	19.5	2.3	736.7	736.3	737.0	86	58	75	ESE	1	WNW	2	WSW	1	10	5	10	.	.
15	21.8	26.3	18.8	22.3	5.2	736.5	735.6	734.4	72	57	91	S	1	WNW	1	SSW	1	4	6	0	.	.
16	20.0	25.2	19.9	21.7	4.7	734.3	734.4	735.2	86	64	86	E	1	WNW	2	SW	1	9	7	5	.	.
17	18.7	28.5	20.5	22.6	5.6	735.0	733.7	732.5	89	48	71	ESE	0	N	1	W	1	6	4	2	4.3	.
18	18.5	28.0	22.0	22.8	5.9	731.5	730.9	728.7	87	55	82	ESE	1	NE	1	ENE	0	5	8	0	0.0	● 1-2
19	19.2	16.7	14.8	16.9	0.1	728.7	729.4	729.5	87	90	89	ESE	1	ESE	1	SSE	1	9	9	10	17.3	● 11%-13%, 15%-22 mU, *)
20	13.6	20.8	14.8	16.4	-0.3	730.0	729.8	729.7	92	63	87	ENE	1	W	2	E	0	8	5	10	6.1	● 9%-9%, 11-12%, 15%
21	14.0	17.2	13.5	14.9	-1.7	727.4	724.9	724.8	88	75	93	ESE	1	ESE	1	ESE	1	10	10	10	8.6	● 0%-3, 13%-19% mU
22	12.9	18.0	14.3	15.1	-1.4	724.5	725.1	728.6	96	79	94	ESE	1	NNW	1	SW	1	10	10	10	21.2	● 6%-8%, 11%-11%, *)
23	15.0	19.0	12.2	15.4	-1.1	731.8	733.2	735.8	92	68	90	W	1	W	1	SSW	1	9	9	7	0.0	● 2%-5% mU, 13%
24	10.5	18.0	14.5	14.3	-2.1	736.0	735.2	733.8	90	64	89	ESE	1	SE	1	E	1	9	9	7	1.2	● 2%-n
25	13.6	21.9	15.6	17.0	0.7	733.7	734.0	734.4	94	46	76	E	1	WSW	2	WSW	1	10	6	8	8.5	● n-10% mU, tr 19%-20, 22, *)
26	13.1	19.3	13.4	15.3	-0.9	736.5	737.8	737.3	90	66	90	WSW	1	NW	1	NW	0	8	8	1	0.0	● 0%-5 mU, tr 10%
27	12.0	23.4	17.9	17.8	1.7	735.9	735.0	734.0	91	58	76	E	1	ESE	1	E	1	2	0	0	.	.
28	16.1	27.8	18.7	20.9	4.9	733.8	733.4	732.7	80	55	87	ESE	1	ENE	1	ESE	1	0	3	2	.	.
29	17.4	27.0	20.7	21.7	5.7	732.9	733.0	732.0	89	66	93	SSW	1	SE	1	SW	1	7	10	6	.	.
30	18.2	28.4	21.7	22.8	6.9	733.1	732.3	732.3	92	66	89	E	1	NNW	1	SSW	1	2	8	7	.	.
31	19.2	27.5	18.2	21.6	5.8	731.3	731.0	730.7	98	68	93	E	0	WNW	1	S	1	0	7	10	4.6	● 19% 20%, K 19%-20%
Mittel	16.5	23.5	17.2	19.1	—	734.5	734.1	734.2	86	62	84							6.5	6.4	6.3	112.0	

*) 6. K 21-21%, ∇ 21% 11. ▲ 18%-19, ∇ 18% 19. K 11%, 15%-16 22. 13%-19 mU, 22-24 mU, K 11%-12, 13%-14, 14%-1

August 1958

Beobachter: Hostettler, Utzinger

Säntis

λ = 9° 21', β = 47° 15'

H_b = 2500.1 m, G = -0.29 mm

Table with columns: Tag, Lufttemperatur (7:00, 13:00, 21:00, Mittel, Abw. vom Normalst), Luftdruck (7:00, 13:00, 21:00), Relative Feuchtigkeit (7:00, 13:00, 21:00), Windrichtung und Stärke (7:00, 13:00, 21:00), Bewölkung (7:00, 13:00, 21:00), Niederschlag, Witterung. Rows 1-31 and Mittel.

August 1958

Beobachter: E. Chiesa

St. Gotthard (Hospiz)

λ = 8° 34', β = 46° 33'

H_b = 2095 m, G = -0.27 mm

Table with columns: Tag, Lufttemperatur (7:00, 13:00, 21:00, Mittel, Abw. vom Normalst), Luftdruck (7:00, 13:00, 21:00), Relative Feuchtigkeit (7:00, 13:00, 21:00), Windrichtung und Stärke (7:00, 13:00, 21:00), Bewölkung (7:00, 13:00, 21:00), Niederschlag, Witterung. Rows 1-31 and Mittel.

* Säntis: 2. ⚡ 5%-6%, 12-13%, ≡ n-9% mU, 10%-14, 16%-n, ⚡ n 6. ● 18%-n, ≡ 5-n mU 7. ⚡ Δ 14%-n mU, * n (1./8.), ≡ n n 11. ≡ 20%-n, ⚡ III 12. ≡ 5%-n mU 14. 10%-12% mU, 17%-n 16. ● 20%-n, < 8%-9%, n n 19. * n (18./28.), ≡ p-n, ⚡ a-p 25. \ 9 11%, ⚡ n a 26. \ n-10% St. Gotthard: 19. ▲ 18-18%, ≡ n-n mU, ⚡ a-p

$\lambda = 7^{\circ} 26'$, $\beta = 46^{\circ} 57'$,
 $H_b = 572.2$ m, $G = -0.04$ mm

Bern

September 1958
Beobachter: *Meteorologisches Observatorium*

Tag	Lufttemperatur					Luftdruck			Relative Feuchtigkeit			Windrichtung und Stärke			Bewölkung			Niederschlag	Witterung		
	7 ³⁰	13 ³⁰	21 ³⁰	Mittel	Abweich. vom Normalst.	7 ³⁰	13 ³⁰	21 ³⁰	7 ³⁰	13 ³⁰	21 ³⁰	7 ³⁰	13 ³⁰	21 ³⁰	7 ³⁰	13 ³⁰	21 ³⁰				
1	15.4	21.2	16.8	17.8	2.2	708.5	708.7	710.1	98	62	90	N	1	NE	2	N	1	7	3	7	● n 0%
2	13.6	21.1	17.2	17.3	1.8	710.3	710.1	710.5	98	62	94	ESE	1	NNE	1	W	1	10=	2	1	≡ 7-8½
3	15.0	22.9	18.0	18.6	3.3	711.5	711.4	712.3	93	56	93	SE	1	NE	1	N	1	4	4	1	△ I
4	14.9	20.1	17.1	17.4	2.2	713.7	714.5	715.1	97	79	98	NE	0	NNE	1	NNE	1	9	10	0	≡ 6½-7, 22½-n
5	15.4	23.0	19.5	19.3	4.2	717.2	716.7	716.1	98	64	95	NE	0	NE	1	0	10=	2	0	0	≡ n-7%
6	15.7	25.5	20.1	20.4	5.5	716.4	715.6	716.4	93	58	73	S	1	SW	1	W	1	2	1	3	≡ 2%-3%, △ I
7	17.0	25.0	19.6	20.5	5.7	717.8	717.5	717.2	88	55	83	S	1	W	1	S	1	8	6	5	.
8	17.1	22.2	18.4	19.2	4.5	717.1	717.0	717.0	91	58	86	SE	1	W	1	N	0	8	9	10	0.0
9	15.2	22.6	18.2	18.7	4.2	716.5	715.1	714.7	98	52	91	SE	0	NW	1	NE	1	7	7	9	0.0
10	14.8	20.2	13.9	16.3	1.9	714.2	713.2	714.3	94	65	84	NE	1	NE	1	NNE	1	9	4	1	△ I
11	11.2	18.5	13.7	14.5	0.3	714.9	714.7	715.2	97	62	73	NE	1	NE	2	NE	1	1	1	1	△ I
12	10.7	17.6	13.9	14.1	0.0	715.5	715.7	716.6	94	64	84	NE	1	NE	2	NNE	1	2	3	1	△ I
13	11.3	20.7	16.0	16.0	2.1	718.5	718.7	718.6	97	62	88	S	0	W	0	SE	1	10	0	1	△ I.H
14	11.4	24.0	17.4	17.6	3.8	718.5	717.3	716.0	93	47	91	S	1	NW	1	E	0	1	1	1	△ I
15	12.6	23.7	18.0	18.1	4.5	715.5	714.5	713.4	92	58	90	S	1	NW	1	W	1	6	6	6	0.0
16	16.5	21.7	14.8	17.7	4.2	714.1	713.6	714.8	87	67	99	SE	1	NE	1	NE	1	10	9	10	12.2
17	14.0	17.1	14.8	15.3	2.0	714.5	714.4	714.8	98	86	98	NE	1	NE	1	W	1	10*	10	10*	15.2
18	13.6	17.6	14.4	15.2	2.0	714.9	714.7	715.3	97	65	94	NE	1	E	0	NE	0	10	9	9	.
19	11.2	19.0	14.1	14.8	1.8	715.4	714.4	714.0	99	57	97	NE	0	SE	1	E	0	10	7	0	≡ n-7
20	12.2	17.6	16.0	15.3	2.4	713.8	713.9	713.5	96	83	98	S	1	W	1	E	1	9	9	9	0.3
21	14.6	18.1	14.8	15.8	3.1	712.5	711.9	713.1	96	96	99	SE	0	SW	1	SW	1	10	9*	10*	37.9
22	12.7	12.2	12.8	12.6	0.1	712.5	713.1	715.3	100	93	70	SE	0	NW	1	SW	1	10*	10*	9*	7.4
23	11.6	17.2	10.7	13.2	0.8	717.3	717.1	717.2	84	44	92	S	0	SW	1	SW	0	4	6	0	● n-14½ mU; 17%-18, *)
24	8.2	19.2	16.0	14.5	2.3	716.0	716.6	715.6	95	47	67	SE	1	SW	1	SW	1	8	8	8	∇ 1½-1%, ● 5-6, △ III
25	12.8	19.8	16.0	16.2	4.1	713.9	713.1	713.6	91	60	69	N	1	W	1	SW	1	8	8	7	△ I
26	11.8	15.1	8.9	11.9	0.0	714.8	715.5	717.2	75	47	85	W	1	W	1	NW	0	9	6	1	△ III
27	5.8	15.4	10.1	10.4	-1.3	716.7	715.6	716.1	90	59	82	SE	1	NE	1	NE	1	0	1	0	△ I
28	5.2	16.2	11.8	11.1	-0.4	716.1	714.8	714.4	95	63	87	NE	0	W	1	W	0	3	2	0	≡ 5-7%, 7%-8 mU, △ I
29	8.5	19.1	13.6	13.7	2.4	713.0	711.1	709.4	95	59	89	E	1	SW	0	SW	1	7	7	5	.
30	10.4	17.4	13.8	13.9	2.8	706.5	704.7	703.3	90	73	88	SW	1	SW	1	W	1	9	10	9	0.2
Mittel	12.7	19.7	15.4	15.9	-	714.6	714.2	714.4	94	63	88	7.0	5.7	4.5	Summe 73.2

*) 22. 21½-24, K 17%-18

$\lambda = 6^{\circ} 57'$, $\beta = 47^{\circ} 00'$,
 $H_b = 487.3$ m, $G = 0.00$ mm

Neuchâtel

September 1958
Beobachter: *Observatorium*

1	16.3	21.1	16.9	18.1	1.6	715.8	716.0	717.6	89	71	88	NNE	2	SE	1	NNE	1	10	7	9	1.0	● 18-18½
2	14.4	22.4	18.8	18.5	2.1	717.9	717.4	717.9	95	57	73	NNE	1	SSE	1	N	1	2	2	7	.	.
3	15.4	23.9	19.6	19.6	3.3	718.9	718.9	719.9	96	57	74	N	0	SE	1	NE	1	8	3	2	.	.
4	16.4	20.9	17.7	18.3	2.1	721.3	721.9	722.8	87	76	84	ENE	1	ESE	1	NE	1	7	9	0	.	.
5	15.9	21.8	17.5	18.4	2.3	724.7	724.4	723.8	93	67	78	NE	1	SSE	1	S	0	10	0	0	.	.
6	15.6	25.8	19.6	20.3	4.3	723.8	723.1	723.8	97	58	74	SSE	1	SE	1	SW	1	8	2	0	0.7	△ I
7	16.7	24.7	19.7	20.4	4.6	725.6	725.0	724.6	95	56	77	SW	1	S	1	E	1	10*	4	8	1.3	● 6½-7%
8	18.1	18.9	16.9	18.0	2.3	724.3	724.3	724.4	98	82	75	E	0	NW	2	W	1	7	10*	0	4.2	● 0%-1%, 11%-11½, *)
9	15.2	22.0	19.2	18.8	3.2	724.0	722.7	722.0	91	57	68	NE	1	SSE	1	NE	1	6	7	0	.	.
10	16.6	22.8	14.9	18.1	2.7	721.8	720.9	722.2	83	58	64	NE	1	ENE	1	NNE	1	8	5	0	.	.
11	13.2	21.4	16.6	17.1	1.8	722.6	722.3	722.6	86	42	64	ENE	2	NE	2	NNE	2	1	0	0	.	∇ n-17 mU
12	13.4	20.3	16.7	16.8	1.6	723.1	723.4	724.2	86	54	59	ENE	2	E	2	NNE	2	3	1	0	.	∇ n-23½ mU
13	11.3	20.6	16.1	16.0	1.0	726.2	726.1	726.1	94	51	80	NNE	1	SE	1	NE	0	0	0	0	.	.
14	13.2	22.8	17.5	17.8	2.9	725.9	724.8	723.4	96	54	63	NE	0	SE	1	SW	1	9	0	0	.	.
15	14.4	25.6	19.2	19.7	5.0	723.0	722.1	720.9	89	47	77	SW	1	SSE	1	SSE	1	6	3	6	0.7	.
16	18.0	22.4	15.8	18.7	4.1	721.3	721.0	722.3	96	57	91	E	0	NW	2	NE	1	10	8	10	3.5	● 6-6%, 15-17, ∇ 12%-15% mU
17	14.6	21.2	15.0	16.9	2.5	722.0	721.9	722.1	98	60	94	NE	1	E	1	W	1	10*	8	10*	3.3	● 6-9%, 15½-16, 19%-22
18	13.2	20.9	15.4	16.5	2.3	722.5	722.3	722.8	94	57	69	N	1	SE	1	N	2	3	6	0	.	.
19	13.0	21.1	14.2	16.1	2.0	723.1	722.1	721.6	89	55	89	NE	0	SSE	1	SSW	1	7	3	0	.	.
20	13.5	18.2	16.5	16.1	2.2	721.1	721.3	721.2	95	77	96	SW	0	SW	1	NE	1	10	8	10	1.3	● 17%-19%
21	17.7	18.2	14.6	16.8	3.1	719.6	719.1	720.8	88	93	93	W	2	W	1	W	1	10	10*	10*	31.1	● 12%-n
22	12.7	12.9	11.6	12.4	-1.2	719.8	720.7	723.1	96	90	90	W	1	WSW	1	W	1	10	10	10*	4.2	● n-2½, 6%-22 mU, *)
23	11.9	20.1	11.3	14.4	1.0	724.8	724.5	724.8	76	47	77	WNW	1	S	1	N	1	3	4	0	.	.
24	11.4	19.6	17.1	16.0	2.8	723.5	722.6	722.4	85	62	68	W	1	SW	2	SW	2	8	7	8	.	.
25	16.8	19.4	15.9	17.4	4.4	720.6	720.1	720.2	67	58	60	WSW	2	W	3	W	3	9	8	1	.	∇ n-18 mU, ∇ 18-n
26	12.0	15.9	11.6	13.2	0.4	721.7	722.5	724.0	66	43	67	WNW	1	W	1	NE	1	2	8	0	.	∇ 15%-21 mU
27	9.6	18.0	13.3	13.8	1.2	723.5	722.6	723.1	79	41	56	NE	2	ENE	2	NNE	2	0	0	0	.	∇ 13½-14
28	7.1	16.4	11.5	11.7	0.7	723.1	722.9	721.4	96	62	91	ENE	0	SE	1	S	1	7=	1	3	.	≡ n-10
29	10.1	19.4	14.0	14.5	2.3	719.9	718.1	715.9	97	52	91	E	1	S	1	E	0	10=	4	3	.	≡ n-10
30	12.0	16.4	14.6	14.3	2.3	712.8	710.6	709.7	96	75	76	E	1	E	1	NE	0	10	10	10	5.6	● 9%-10%
Mittel	14.0	20.5	16.0	16.8	-	721.9	721.5	721.7	90	61	77	6.8	4.9	3.6	Summe 56.9	.

*) 8. 13%-13%, K 10-11, 13%, ∇ 14-18 mU 22. K 17, ∇ 14-17

September 1958
Beobachter: Frl. H. Nager

Aldorf

$\lambda = 8^\circ 38'$, $\beta = 46^\circ 53'$,
 $H_b = 456.3$ m, $G = -0.08$ mm

Tng	Lufttemperatur					Luftdruck			Relative Feuchtigkeit			Windrichtung und Stärke			Bewölkung			Niederschlag	Witterung			
	7 ³⁰	13 ³⁰	21 ³⁰	Mittel	Abweich. vom Normalst.	7 ³⁰	13 ³⁰	21 ³⁰	7 ³⁰	13 ³⁰	21 ³⁰	7 ³⁰	13 ³⁰	21 ³⁰	7 ³⁰	13 ³⁰	21 ³⁰					
1	17.3	19.5	16.8	17.0	1.9	718.0	718.5	719.4	97	75	92	E	0	NW	1	NE	0	5	8	10		
2	14.9	20.0	16.7	17.2	1.3	719.9	719.1	720.3	90	75	91	N	0	N	1	N	0	6	4	8		
3	15.0	21.2	17.3	17.8	2.0	721.4	720.9	722.6	93	70	89	NW	0	NW	1	N	0	5	4	4		
4	16.3	18.7	16.0	17.0	1.3	722.9	724.5	724.9	94	89	92	SE	0	N	0	N	0	5	10*	4	0.1	∇ 13%, ≈ 22-23%
5	14.1	21.0	16.9	17.3	1.7	727.0	725.7	726.1	96	76	87	E	0	N	0	N	0	2	3	0		
6	14.1	22.5	18.9	18.5	3.0	726.2	724.7	726.4	98	64	85	NE	0	NE	0	N	0	0	0	4	17.4	● n (6./7.)
7	17.2	23.2	17.8	19.4	4.0	727.8	726.3	727.5	97	58	92	SE	0	SE	0	E	1	8	7	10	5.2	● p-n mU, K 4
8	15.2	20.8	17.5	17.8	2.5	726.8	726.2	726.5	95	78	95	N	0	N	0	NE	0	7	9*	10*	4.3	● 13%-n
9	16.0	20.5	17.8	18.1	2.9	726.2	724.2	724.4	97	75	95	N	0	NW	0	NW	0	5	6	10	1.1	● 20%-21%
10	16.7	18.4	15.7	16.9	1.8	723.9	722.7	724.3	95	79	87	E	0	NW	1	NW	0	10	10	10	0.5	∇ 14%-p mU
11	14.2	19.4	14.3	16.0	1.0	724.8	724.3	725.3	85	65	86	W	0	NW	1	NW	0	6	5	7		
12	13.5	16.9	13.3	14.6	-0.3	725.1	725.4	726.9	87	75	80	N	0	N	1	N	0	10	6	5		
13	11.3	18.5	14.0	14.6	0.1	728.3	727.7	728.7	93	67	90	N	0	NW	0	N	0	2	0	0		
14	11.8	20.3	14.8	15.6	1.0	728.3	727.0	726.3	89	55	85	NW	0	NW	0	N	0	0	0	0		Δ I
15	12.6	21.5	15.7	16.6	2.1	725.2	723.8	723.0	91	61	88	NE	0	N	0	N	0	0	0	0		
16	14.2	22.6	15.3	17.4	3.0	723.9	722.3	724.6	94	67	96	NW	0	NW	1	SE	0	2	5	10	7.1	● p-n mU
17	15.3	17.7	15.4	16.1	1.9	723.9	724.0	724.3	96	84	95	NW	0	N	0	NW	0	10	10	10*	16.3	● 15%-n
18	14.7	14.9	14.7	14.8	0.7	724.4	724.5	725.4	95	85	95	NW	0	NW	0	NE	0	10*	8	10	1.9	● n-8
19	13.3	17.6	13.8	14.9	0.9	725.5	724.1	724.2	95	68	91	E	0	NW	0	NE	0	10	6	3		
20	12.6	17.9	15.3	15.3	1.5	723.6	723.3	723.7	94	73	83	N	0	N	0	SE	0	5	9	8	0.1	● tr (20./21.)
21	14.8	19.5	16.2	16.8	3.1	722.4	720.4	722.6	95	80	96	E	0	NW	0	NW	0	10	7	10*	12.7	● 16%-n
22	14.2	13.7	10.3	12.7	-0.8	722.3	723.3	725.2	97	92	92	NE	0	SE	1	NE	0	10	10*	6	7.1	● 7%-20
23	9.2	16.7	10.9	12.3	-1.0	726.9	726.5	727.1	92	50	89	E	0	NW	1	SE	0	7	6	2		Δ I
24	9.0	16.2	13.7	13.0	-0.2	725.2	724.5	724.8	92	60	91	SE	0	NW	0	NW	0	4	7	8		Δ I
25	11.2	18.3	17.3	15.6	2.6	722.4	720.4	721.1	92	72	60	NE	0	SE	0	SE	1	2	7	10		
26	13.9	14.6	11.5	13.3	0.5	723.6	724.1	726.5	61	60	85	N	1	NW	1	NW	0	10	8	9		
27	7.2	14.1	10.3	10.5	-2.2	726.6	724.6	725.3	91	65	87	E	0	NW	0	NW	0	0	0	0		Δ I
28	6.6	16.7	10.3	11.2	-1.3	725.2	723.9	724.0	94	62	87	S	0	S	0	N	0	3	4	0		
29	8.1	16.5	17.7	14.1	1.8	722.1	719.6	718.0	97	56	43	NE	0	N	0	SE	2	6	3	5		
30	18.1	20.0	19.0	19.0	6.9	715.8	714.1	711.1	43	46	41	SE	2	SE	3	SE	2	7	10	10	2.0	n (30./1.), ∇ n-n mU
Mittel	13.4	18.6	15.2	15.7	—	724.2	723.4	724.0	91	69	86							5.6	5.7	6.1	Summe 75.8	

September 1958
Beobachter: Observatoire

Genève

$\lambda = 6^\circ 09'$, $\beta = 46^\circ 12'$,
 $H_b = 405.0$ m, $G = -0.05$ mm

Tng	Lufttemperatur					Luftdruck			Relative Feuchtigkeit			Windrichtung und Stärke			Bewölkung			Niederschlag	Witterung			
	7 ³⁰	13 ³⁰	21 ³⁰	Mittel	Abweich. vom Normalst.	7 ³⁰	13 ³⁰	21 ³⁰	7 ³⁰	13 ³⁰	21 ³⁰	7 ³⁰	13 ³⁰	21 ³⁰	7 ³⁰	13 ³⁰	21 ³⁰					
1	18.0	22.3	17.9	19.4	2.5	722.8	723.0	724.6	89	66	92	SSW	1	S	1	NNE	1	10	10	10*	13.5	K 1%-2%, ● 14-21%
2	17.2	21.0	19.5	19.2	2.4	724.4	724.4	724.7	90	61	84	E	1	NNE	1	NNE	1	10	5	4		● 0%-0%
3	15.9	22.0	20.7	19.5	2.8	725.8	725.6	726.7	84	58	74	W	0	NNE	1	NNE	1	0	0	10		Δ I
4	18.0	22.6	20.3	20.3	3.7	727.9	728.4	727.5	84	64	79	SW	0	N	2	NNE	1	7	5	2		Δ I
5	18.2	21.1	20.2	19.8	3.3	731.5	731.2	730.8	85	69	81	NNE	1	NNE	1	NNE	0	10	0	0		Δ I
6	16.9	26.4	21.0	21.7	5.3	730.8	730.0	731.5	86	53	64	S	1	W	1	S	1	2	2	1		Δ I
7	17.4	25.0	21.0	21.1	4.8	732.2	731.8	731.9	82	52	76	ESE	1	NW	1	NNW	1	3	1	3		
8	17.9	26.2	19.7	21.3	5.2	731.9	731.3	731.2	84	45	74	NNW	0	S	2	ENE	0	5	6	1		
9	15.8	23.2	20.2	19.7	3.7	731.0	729.3	728.8	80	61	76	SSW	1	NNE	1	NNE	1	1	2	2		
10	16.2	21.3	18.3	18.6	2.7	728.7	727.4	728.3	84	64	65	S	1	N	2	ENE	2	3	8	3		Δ I
11	14.6	18.5	16.1	16.4	0.6	729.1	729.4	729.3	77	64	65	NNE	2	N	1	NW	1	10	2	3		
12	14.3	18.3	16.0	16.2	0.5	730.1	730.4	731.4	77	64	74	NE	1	NNE	2	NNE	1	10	3	6		
13	11.8	19.9	17.0	16.2	0.7	733.5	732.8	733.1	86	63	84	SSE	1	NNE	1	NW	1	1	0	1		Δ I
14	12.3	21.8	18.1	17.4	2.0	733.1	732.2	730.4	95	45	72	SE	1	NNE	1	NNE	0	10	0	1		≡ n-a
15	15.6	23.7	22.3	20.5	5.2	730.3	728.6	728.3	83	55	71	NE	1	N	1	SSW	1	5	3	10		
16	20.2	20.1	17.5	19.3	4.2	728.2	728.3	729.1	77	70	91	NE	0	W	2	NNE	1	10	10*	10	5.4	● 13%-14%, 16-16%
17	16.6	18.9	16.9	17.5	2.5	728.5	728.6	729.2	88	70	81	NE	1	NNE	1	NE	1	9	10	7	0.2	● 2%-4%, 6%-7, 16%-17% mU
18	15.3	18.1	16.8	16.7	1.9	729.3	729.1	729.6	86	68	80	NNE	1	S	1	NW	1	10	10	8	2.2	● 8-9%
19	14.7	19.3	16.5	16.8	2.1	730.0	729.0	728.6	87	56	78	SW	1	NNE	1	SE	1	10	7	2		
20	14.5	23.0	19.7	19.1	4.6	728.4	728.1	728.0	86	52	73	SE	1	SE	1	SE	1	9	8	10	0.4	
21	18.6	22.2	16.8	19.2	4.9	727.2	726.7	727.6	78	57	83	WNW	1	SSW	2	ESE	1	10*	10	10	43.8	● 3%-9% mU, 13%-21 mU, 22%-n
22	14.1	15.4	12.7	14.1	0.0	727.0	728.4	731.3	83	74	68	NW	1	S	1	SSE	1	10	9	8	8.6	● n-2% mU, 5%-6%, 8%-12%, 17%-18%
23	12.4	19.0	13.1	14.8	0.9	732.5	731.5	732.5	75	38	75	E	0	SE	0	W	0	1	1	0		
24	9.4	21.7	15.4	15.5	1.8	731.3	730.3	730.1	87	39	71	SE	0	W	1	SSE	1	5	3	1		Δ I
25	14.7	22.2	16.6	17.8	4.3	729.0	727.8	728.1	67	48	71	N	1	S	1	S	1	9	5	7		
26	12.1	16.1	12.8	13.7	0.4	729.3	729.4	730.3	70	48	63	ESE	1	NNE	1	NNE	2	1	1	1		
27	6.5	15.2	11.3	11.7	-1.4	730.4	729.8	730.1	84	52	80	S	1	NNE	1	NNE	1	2	2	8		Δ I
28	8.1	16.9	14.0	13.0	0.1	730.1	728.5	728.3	85	56	85	SE	1	NNE	1	NNE	1	1	5	4		Δ I
29	11.2	20.8	17.0	16.3	3.6	727.0	724.8	722.9	92	49	70	N	0	N	1	WSW	1	4	7	9		Δ I
30	13.8	16.5	14.2	14.8	2.3	719.8	718.1	717.1	86	80	92	SW	1	S	0	NW	0	10*	10*	10*	22.1	● 7%-11%, 13-n
Mittel	14.8	20.6	17.3	17.6	—	729.0	728.5	728.7	83	58	76							6.3	4.8	5.1	Summe 96.0	

λ = 8° 34', β = 47° 23',
H_b = 569.4 m, G = -0.01 mm

Zürich

September 1958
Beobachter: Meteorologische Zentralanstalt

Tag	Lufttemperatur					Luftdruck			Relative Feuchtigkeit			Windrichtung und Stärke			Bewölkung			Niederschlag	Witterung
	7 ⁰⁰	13 ³⁰	21 ³⁰	Mittel	Abw. von Normalst	7 ⁰⁰	13 ³⁰	21 ³⁰	7 ⁰⁰	13 ³⁰	21 ³⁰	7 ⁰⁰	13 ³⁰	21 ³⁰	7 ⁰⁰	13 ³⁰	21 ³⁰		
1	14.1	20.1	14.7	16.3	1.2	709.1	709.4	710.6	82	58	87	NE 2	ENE 1	NE 1	5	6	9	Δ I, III	
2	14.2	20.0	15.7	16.6	1.6	710.5	710.4	710.7	87	62	88	NNE 1	NNE 1	NE 1	10	5	0	Δ I, III	
3	14.0	21.6	16.7	17.4	2.5	711.9	712.0	713.0	91	62	81	NE 1	NE 1	NE 1	10	1	0	≡ n-6, 7-7½, Δ I, III	
4	13.4	18.5	16.3	16.1	1.3	714.2	715.0	715.5	92	66	86	NE 1	NE 1	NE 1	10=	5	0	≡ 7½-10, Δ I, III	
5	14.3	23.4	17.9	18.5	3.8	717.5	717.0	716.7	93	56	82	SSE 1	ENE 1	NE 1	10=	1	0	≡ n-8, Δ I, III	
6	15.0	26.6	19.7	20.4	5.8	716.4	715.8	716.6	90	52	85	NE 1	SSW 1	SW 1	1	1	2	Δ I, III	
7	17.8	27.4	19.3	21.5	7.0	718.0	717.3	717.8	84	46	87	SSE 0	NNW 1	SW 1	3	3	1	Δ I, III	
8	17.2	19.3	17.8	18.1	3.8	717.0	717.7	717.4	86	78	75	S 1	NW 2	NW 1	7	10	1	6.2 ● 13¼-14, K 13¼-13¾, Δ I	
9	15.3	23.0	18.0	18.8	4.6	716.7	715.5	715.3	87	51	64	S 1	WNW 1	N 1	8	4	10	1.9 ● 22¼-23¼ mU, ≡ 7-7¾	
10	14.1	18.1	12.9	15.0	0.9	714.6	714.1	715.0	85	64	86	NE 1	E 1	NNE 1	10	9	2	0.6 ● 11¼-13¼, 17¼-17¾	
11	11.4	19.8	13.3	14.8	0.9	715.9	715.2	716.1	87	46	78	N 1	NE 2	NE 1	9	2	7	0.0 Δ I, III	
12	10.7	19.5	13.1	14.4	0.6	716.2	716.4	717.3	89	50	72	NE 1	NE 2	NE 2	7	2	0	Δ I, III	
13	10.0	21.5	14.8	15.4	1.8	718.7	719.1	719.0	86	55	88	S 1	NNE 1	E 1	9	1	0	Δ I, III	
14	11.9	24.3	16.3	17.5	4.0	718.6	717.6	716.4	94	45	85	SSE 1	SW 2	ESE 0	10=	1	0	≡ n-9¾, Δ I, III	
15	14.2	25.3	17.4	19.0	5.6	715.5	714.7	713.6	84	49	89	SSE 1	WSW 1	N 1	4	1	0	Δ I, III	
16	16.8	21.5	13.9	17.4	4.2	714.2	713.9	715.5	83	63	93	SSW 1	NW 1	NE 1	7	9	10	15.0 ● 15¼-n mU, K 17¼-18¾, Δ I	
17	13.8	15.8	14.2	14.6	1.5	714.8	714.6	714.4	89	87	91	N 1	NE 1	NNE 1	10	10	10	17.1 ● n-3¼, 12¼-14¼, 21-n	
18	12.7	17.3	12.7	14.2	1.3	715.2	715.0	715.8	91	61	90	NNW 1	NE 1	N 1	10	6	9	0.1 ● n-1½, 2½-5¾	
19	12.4	17.5	12.3	14.1	1.3	715.9	714.9	714.5	93	63	92	N 1	ENE 1	N 1	10	8	0	≡ n-7¾, Δ I, III	
20	12.8	19.1	15.3	15.7	3.1	713.8	714.0	714.0	94	68	91	S 1	SW 1	NNE 1	10=	9	10	1.6 ≡ n-7¾	
21	16.0	20.9	13.8	16.9	4.5	712.5	711.6	713.7	90	61	88	W 1	W 1	WSW 1	10	9	10	39.7 ● 4½-9¾, 15¼-n	
22	12.4	12.7	11.5	12.2	-0.1	712.5	712.7	715.0	92	84	68	S 0	WSW 1	SSW 2	10	10	6	9.1 ● n-4¼, 6¾-7¾, 11¼-15¼, *)	
23	11.3	16.7	11.4	13.1	1.0	717.0	716.8	717.3	72	52	81	SSW 1	WNW 2	ESE 1	5	3	6	0.1 ● 0-0¾, Δ I	
24	9.5	19.4	13.9	14.3	2.4	715.5	714.9	715.0	90	52	80	SSW 1	WSW 2	WNW 1	8	7	10	0.1 ● tr 21¾, Δ I	
25	15.8	19.7	13.4	16.3	4.6	712.5	711.6	712.6	62	58	77	WSW 2	WSW 2	W 1	6	8	9	½ 5½-16½ mU, Δ III	
26	11.3	14.1	9.7	11.7	0.2	713.9	714.8	717.0	69	53	83	WSW 1	WNW 2	SE 1	9	3	8	Δ III	
27	7.1	17.1	10.7	11.6	0.3	716.7	715.6	716.0	92	43	69	NE 1	NNE 2	NE 1	1	0	0	Δ I, III	
28	6.2	17.5	11.8	11.8	0.7	715.3	714.6	713.9	92	52	88	ENE 1	SSW 1	SE 1	1	3	0	Δ I, II, III	
29	10.9	20.5	13.8	15.1	4.2	712.5	710.6	708.8	79	50	88	SE 1	WSW 1	SE 1	4	5	1	Δ I, III	
30	12.6	20.2	13.4	15.4	4.7	705.5	703.4	702.2	72	58	82	WNW 1	NE 1	NNE 1	9	9	9	Δ I, III	
Mittel	13.0	20.0	14.5	15.8	-	714.6	714.2	714.6	86	58	83				7.4	5.0	4.3	Summe 91.4	

*) 22. 17¼-18¾, ½ 23¾, ½ 17¼-24¼ mU

λ = 6° 32', β = 46° 51',
H_b = 1601 m, G = -0.16 mm

Chasseron

September 1958
Beobachter: J. Liardon

1	11.6	13.6	10.8	12.0	-	628.0	629.1	630.0	100	93	91	E 2	C 0	E 2	10=	10=	8	38.8 ½ 14-n mU, ≡ n-n mU
2	11.3	15.2	11.4	12.6	-	629.5	630.4	629.7	82	74	90	E 2	C 0	SE 3	2	6	4	0.5 ½ p
3	11.4	14.2	12.6	12.7	-	631.0	631.5	632.1	86	78	98	SSW 2	SE 1	SE 2	3	4	6	.
4	13.4	14.2	14.6	14.1	-	633.1	634.5	634.7	86	84	75	SE 2	SE 2	SSE 2	7	8	4	.
5	13.6	18.8	16.0	16.1	-	636.4	636.2	635.6	83	49	50	ESE 2	SE 1	ESE 2	2	2	1	.
6	15.0	18.5	14.3	15.9	-	635.3	636.1	635.9	78	67	71	SSW 2	WSW 2	WSW 3	0	5	2	7.7 ½ n (6./I.)
7	13.0	13.8	14.0	13.6	-	637.3	637.9	637.4	87	98	94	NW 1	NW 2	SE 1	6	8	3	12.7 ½ 9-9¾, K 23¼-24, ≡ a-p mU
8	11.6	11.6	10.4	11.2	-	636.1	636.8	636.3	100	100	100	W 4	W 3	NW 3	10=	10=	1	≡ n-18 mU, ½ n-n mU
9	10.0	15.0	11.1	12.0	-	635.3	635.3	634.6	78	85	100	W 3	NW 3	NW 3	4	7	3	.
10	10.6	14.2	7.6	10.8	-	633.2	633.1	633.0	88	69	84	WSW 2	NW 2	NE 3	4	5	1	.
11	6.4	10.9	7.6	8.3	-	632.6	633.9	633.7	92	81	91	ESE 3	SE 2	E 3	0	2	0	.
12	8.0	10.4	9.1	9.2	-	633.4	634.4	635.0	77	73	85	E 3	E 1	E 1	4	4	1	.
13	13.0	17.6	14.6	15.1	-	636.7	638.0	638.5	45	68	64	WSW 2	NW 1	SE 1	1	1	2	.
14	17.6	19.2	17.2	18.0	-	637.6	638.2	637.1	28	34	44	NE 2	SE 1	SE 2	2	1	0	.
15	13.5	20.0	13.6	15.7	-	635.4	635.8	634.7	56	66	100	W 2	WNW 1	NW 2	6	5	8	3.4 ½ n (5./16.) ≡ p mU
16	11.9	11.2	10.0	11.0	-	633.6	633.9	633.9	87	100	100	W 3	NW 3	W 1	9	10	10	7.4 K 1¼-5, ½ 12¼-13, ● n (16./17.)
17	9.2	10.0	8.2	9.1	-	632.6	633.2	633.3	100	100	100	ESE 2	W 2	NNW 3	10=	10	10	4.2 ● 3¼-7¼, ½ 11¼-n mU, *)
18	6.1	9.0	7.0	7.4	-	633.3	633.4	634.1	85	94	93	N 2	N 1	E 1	6	7	3	≡ n-6¾, p-n mU
19	8.0	11.2	9.2	9.5	-	633.6	633.4	633.2	93	83	92	SE 2	W 1	SW 2	2	6	1	≡ n-11¼ mU
20	11.4	11.1	11.4	11.3	-	632.7	633.3	633.2	71	92	89	SW 4	S 3	SW 3	7	9	8	0.6 ● 18-18¾, ≡ a-p mU, *)
21	11.2	12.0	6.6	9.9	-	631.7	631.6	631.0	96	96	100	SW 4	SW 4	WNW 5	9	10	10	41.7 ½ a-n mU, ½ n-n, ½ 10, III
22	6.0	4.9	4.1	5.0	-	630.6	630.5	631.8	98	100	100	SW 3	WNW 4	W 5	9	10	10	3.1 ½ p-n mU, ≡ a-n mU, *)
23	3.2	7.0	5.6	5.3	-	634.0	634.8	634.9	100	81	92	W 3	NW 3	SW 1	10=	5	4	≡ n-8
24	5.6	11.0	9.1	8.6	-	633.7	634.2	633.9	78	70	92	W 3	W 3	WNW 3	7	4	8	0.5 ½ n (24./26.)
25	7.6	8.2	7.0	7.6	-	632.0	631.6	631.1	100	100	100	WSW 4	W 4	W 4	10=	10=	10=	1.0 ½ p, n (25./26.), ≡ ½ n-n
26	2.6	5.8	2.4	3.6	-	631.0	632.6	633.1	100	85	86	NW 3	NW 2	NNE 2	10=	6	1	≡ n-8¾
27	1.4	7.6	4.2	4.4	-	632.3	632.9	632.9	100	76	96	E 3	E 1	ESE 3	0	1	4	.
28	8.6	12.6	10.8	10.7	-	632.7	633.1	632.7	69	67	58	SW 4	W 3	SW 3	3	3	5	½ n-a
29	9.0	10.7	11.4	10.4	-	630.5	630.1	628.2	81	90	77	S 5	S 3	SSW 4	6	7	4	½ n-n mU, ½ I
30	8.6	10.0	8.3	9.0	-	624.8	623.8	622.7	73	82	90	SSE 3	SW 2	SW 1	7	8	10=	11.7 ● p mU, n (30./I.), ≡ 17-n
Mittel	9.7	12.3	10.0	10.7	-	633.0	633.5	633.3	83	81	87				5.5	6.2	4.7	Summe 133.3

*) 17. 7¼-n mU 20. ½ n-n mU 22. ½ n-n, ½ 17¼-n mU

September 1958

Beobachter: Stationspersonal Rh. B.

Bever

$\lambda = 9^\circ 53', \beta = 46^\circ 33'$

$H_b = 1711.8 \text{ m}, G = -0.26 \text{ mm}$

Tag	Lufttemperatur					Luftdruck			Relative Feuchtigkeit			Windrichtung und Stärke			Bewölkung			Witterung					
	7 ³⁰	13 ³⁰	21 ³⁰	Mittel	Abweich. vom Normalst	7 ³⁰	13 ³⁰	21 ³⁰	7 ³⁰	13 ³⁰	21 ³⁰	7 ³⁰	13 ³⁰	21 ³⁰	7 ³⁰	13 ³⁰	21 ³⁰		Witterung				
1	12.0	13.6	10.1	11.9	2.5	619.6	620.9	622.0	90	80	98	W	0	NE	0	NE	1	8	10	10*	4.9	● 13%-n mU	
2	6.4	15.0	7.6	9.7	0.4	621.6	621.1	622.5	99	55	97	SW	0	SW	1	NE	0	7	9	6	0.1	● 15%-16%	
3	6.4	18.9	9.4	11.6	2.5	622.5	622.0	624.4	98	32	93	NW	0	NW	0	W	0	6	3	2	.	.	
4	10.0	14.0	6.0	10.0	1.0	624.6	625.1	627.5	94	79	100	NW	0	SW	0	SW	0	4	10	3	3.5	● 13%-16% mU, Δ 21%-22	
5	3.9	20.8	8.2	11.0	2.1	628.2	627.5	628.1	100	33	98	SW	0	NW	0	SW	0	8	8	1	.	\equiv n-a, Δ I	
6	6.2	18.8	8.1	11.0	2.2	628.8	627.4	628.6	99	42	90	SW	0	SW	2	NW	0	10	0	0	.	\equiv n-a, Δ I	
7	4.2	21.0	8.4	11.2	2.6	629.0	627.3	629.0	99	50	92	SW	0	SW	0	NW	0	1	4	5	.	Δ I	
8	7.6	19.4	10.5	12.5	4.0	628.1	626.8	627.2	96	39	95	NW	0	SW	1	SW	0	6	8	10	0.0	● 21-n mU	
9	5.8	18.4	10.5	11.6	3.2	626.0	624.8	625.7	65	36	95	SW	0	NW	0	SW	0	10	4	5	0.0	● 19%-20%, \equiv n-9%	
10	5.2	16.4	7.4	9.7	1.5	624.0	622.1	624.0	99	43	90	SW	0	NW	0	NW	0	6	10	8	1.5	● \angle 14%-15%, 16-17%, \equiv n-7%	
11	-2.5	15.0	4.6	5.7	-2.4	624.4	623.3	624.4	98	35	76	NW	0	SW	1	SW	0	1	2	1	.	\equiv n-a	
12	0.0	17.0	4.7	7.2	-0.8	626.6	627.0	627.1	100	30	81	SW	0	W	1	SW	0	0	0	0	.	Δ I	
13	-1.0	21.0	6.7	8.9	1.1	628.4	627.8	629.4	90	40	91	SW	0	SW	0	N	0	0	0	0	.	Δ I	
14	0.6	21.8	6.3	9.6	1.9	628.7	627.5	627.9	99	20	80	N	0	SW	0	SW	0	0	0	0	.	Δ I	
15	1.3	21.8	7.4	10.2	2.6	627.0	625.2	626.1	97	31	92	SW	0	SE	0	W	0	0	1	0	.	Δ I	
16	1.6	20.4	9.0	10.3	2.9	625.5	623.6	625.1	99	36	92	SW	0	SW	0	SW	0	0	10	0	.	Δ I	
17	7.8	15.4	9.0	10.7	3.4	624.7	623.6	623.8	98	54	100	W	0	SW	1	W	0	10	10	10	7.6	\equiv 19%-n mU	
18	8.2	14.6	9.0	10.6	3.4	623.9	623.1	623.5	97	56	100	SW	0	NW	0	NW	0	10	10	10	3.6	● 13%-p mU	
19	8.2	16.0	7.3	10.5	3.5	625.0	624.3	624.7	97	47	95	NE	0	SW	2	NW	0	10	4	2	.	.	
20	4.6	15.3	9.8	9.9	3.0	625.1	624.3	625.5	98	50	89	S	0	SW	2	SW	0	8	4	0	.	.	
21	8.6	14.9	11.6	11.7	4.9	624.3	623.3	623.3	93	54	89	SW	0	SW	0	SW	0	10	9	10	26.5	● 22-n	
22	9.1	8.4	3.2	6.9	0.3	621.4	619.1	623.3	96	100	95	NE	1	NE	0	SW	0	10	10	8	18.6	● n-n, \angle 16-17%	
23	-1.5	11.4	0.2	3.4	-3.1	624.6	624.5	626.0	100	31	93	SW	0	NW	0	SW	0	8	1	0	.	\equiv n-a, Δ I	
24	-1.3	16.2	6.8	7.2	0.8	625.4	623.9	624.6	98	38	88	SW	0	SW	0	SW	0	4	4	7	.	Δ I	
25	1.3	16.4	9.4	9.0	2.8	623.1	621.3	621.2	99	42	91	SW	0	SW	1	SW	0	6	8	9	.	Δ I	
26	2.0	11.3	3.1	5.5	-0.6	621.0	621.4	624.0	95	33	68	SW	0	NW	0	NE	0	1	1	4	.	Δ I	
27	-4.8	13.8	-0.2	2.9	-3.1	624.0	623.1	625.4	98	28	94	SW	0	SW	0	NW	0	0	0	0	.	Δ I	
28	4.5	12.2	2.0	3.2	-2.6	625.7	624.4	625.5	100	49	98	SW	0	SW	1	SW	0	0	1	0	.	Δ I	
29	1.5	13.8	4.6	6.6	0.9	624.8	622.6	622.9	95	50	95	W	0	SW	1	SW	0	10	2	4	.	.	
30	6.4	10.2	9.2	8.6	3.1	620.7	619.8	618.2	88	70	78	SW	0	SW	0	W	0	9	9	10*	9.9	● 19-n	
Mittel	3.8	16.1	7.0	9.0	—	624.9	623.9	625.0	96	46	91							5.4	5.1	4.2	Summe	76.2	

September 1958

Beobachter: Couvent des Capucins

Sion

$\lambda = 7^\circ 22', \beta = 46^\circ 14'$

$H_b = 548.6 \text{ m}, G = -0.14 \text{ mm}$

Tag	Lufttemperatur					Luftdruck			Relative Feuchtigkeit			Windrichtung und Stärke			Bewölkung			Witterung					
	7 ³⁰	13 ³⁰	21 ³⁰	Mittel	Abweich. vom Normalst	7 ³⁰	13 ³⁰	21 ³⁰	7 ³⁰	13 ³⁰	21 ³⁰	7 ³⁰	13 ³⁰	21 ³⁰	7 ³⁰	13 ³⁰	21 ³⁰		Witterung				
1	18.2	21.4	18.0	19.2	2.2	711.6	711.3	713.0	95	77	96	W	0	W	1	W	0	6	10	10	1.8	● 0%-1, 15%-16%, \angle 0%-1%	
2	15.6	24.2	18.2	19.3	2.4	713.4	711.8	713.5	90	57	82	W	0	WSW	1	W	1	2	3	1	.	.	
3	16.6	24.6	19.2	20.1	3.3	714.4	713.4	714.9	83	60	75	W	0	WSW	0	WSW	1	1	2	2	.	.	
4	17.4	24.8	19.6	20.6	3.9	716.5	716.0	717.8	86	59	79	WSW	0	WSW	1	WSW	0	4	9	0	.	.	
5	16.4	26.0	20.0	20.8	4.2	719.9	718.1	719.0	84	54	76	WSW	0	WSW	0	NW	1	0	2	0	.	Δ I	
6	17.0	26.4	21.4	21.6	5.2	719.5	717.2	718.4	81	50	76	NW	0	WSW	1	W	0	0	1	0	.	Δ I	
7	18.6	26.4	20.5	21.8	5.5	720.3	718.7	719.2	87	56	75	W	0	WSW	1	W	0	1	4	0	.	Δ I	
8	17.8	26.0	20.6	21.5	5.3	720.0	717.6	718.3	82	58	78	W	0	WSW	1	W	0	3	4	0	.	Δ I	
9	16.8	25.6	19.4	20.6	4.5	719.1	716.8	716.6	88	56	73	W	0	SW	1	NE	0	1	2	0	.	Δ I	
10	15.6	23.6	18.7	19.3	3.3	716.8	715.1	715.4	89	67	87	NE	0	SSW	0	NNW	0	5	7	8	0.3	● 15%, Δ I	
11	15.3	21.6	16.7	17.9	2.1	716.7	715.8	716.8	93	65	85	NNW	0	WSW	1	NW	0	10	1	0	.	.	
12	15.6	21.8	14.9	17.4	1.7	715.9	716.7	718.8	79	63	89	N	0	WSW	1	WNW	1	8	0	0	.	Δ I	
13	13.2	23.2	17.6	18.0	2.4	721.1	719.8	721.2	90	57	69	W	0	W	0	W	1	0	0	0	.	Δ I	
14	13.2	24.7	18.5	18.8	3.3	721.3	719.0	718.8	86	47	74	NE	0	NE	1	W	0	0	0	0	.	Δ I	
15	14.6	24.4	19.0	19.3	4.0	718.9	716.7	716.7	77	51	71	W	0	W	0	W	0	1	1	0	.	Δ I	
16	14.7	24.4	16.8	18.6	3.4	717.4	715.0	717.5	83	62	98	W	0	WSW	1	W	0	5	4	10*	2.7	● 17-17%, 20%-21%	
17	15.8	21.8	16.2	17.9	2.8	717.4	715.9	717.5	91	70	98	W	0	W	0	W	1	10	7	10*	4.4	● 16%-18%, tr 21%	
18	16.2	21.1	16.9	18.1	3.2	717.3	716.3	717.4	92	64	79	W	0	WSW	2	W	0	10	8	3	.	.	
19	14.6	22.7	15.4	17.6	2.8	718.2	716.2	717.2	96	49	85	W	0	W	0	N	1	10	3	0	.	Δ I	
20	14.7	17.4	17.0	16.4	1.8	717.4	716.9	716.9	88	82	87	NNE	0	NNE	0	NNE	0	4	10	10	0.4	Δ I	
21	15.2	17.8	16.8	16.6	2.2	717.0	716.5	716.0	98	93	98	NNE	0	NNE	0	NNE	0	10	8	10*	23.7	● 5%-11%, 15%-n	
22	14.5	14.7	12.5	13.9	-0.4	715.7	715.3	718.1	98	91	94	W	0	SW	0	WSW	10	10	8	10.9	● n-14%, 17%-19%		
23	8.8	17.2	11.6	12.5	-1.6	720.3	718.6	719.2	96	56	75	WSW	0	SW	1	NE	0	0	1	0	.	.	
24	9.0	16.6	14.0	13.2	-0.7	719.4	717.5	717.4	92	67	80	NE	0	NE	0	NE	1	2	5	0	.	.	
25	11.2	20.0	16.9	16.0	2.3	717.7	715.3	714.7	89	63	77	NE	0	NW	0	W	0	3	1	2	.	.	
26	13.2	17.4	11.8	14.1	0.6	715.8	715.4	717.4	79	57	72	W	0	WSW	3	W	1	0	0	0	.	Δ I, \angle a-p	
27	7.6	17.2	11.1	12.0	-1.3	718.6	716.5	718.4	90	55	86	W	0	W	1	W	1	0	0	0	.	Δ I	
28	6.5	17.8	12.4	12.3	-0.8	718.6	716.5	717.5	91	48	81	N	0	N	1	WNW	0	1	4	0	.	Δ I	
29	8.7	20.4	13.2	14.1	1.2	716.5	713.4	713.4	91	49	78	NW	0	W	0	N	2	3	0	1	.	Δ I	
30	13.0	19.2	17.2	16.5	3.8	711.9	708.9	705.4	73	49	59	N	0	NE	4	W	1	8	10	8	2.3	Δ I, \angle a-p	
Mittel	14.2	21.7	16.7	17.5	—	717.5	715.9	716.8	88	61	81							3.9	3.9	2.8	Summe	46.5	

$\lambda = 8^\circ 58', \beta = 46^\circ 00',$
 $H_b = 276.2 \text{ m}, G = -0.04 \text{ mm}$

Lugano

September 1958
Beobachter: G. Vicari

Tag	Lufttemperatur					Luftdruck			Relative Feuchtigkeit			Windrichtung und Stärke			Bewölkung			Niederschlag	Witterung			
	7 ³⁰	13 ³⁰	21 ³⁰	Mittel	Abw. vom Normalst	7 ³⁰	13 ³⁰	21 ³⁰	7 ³⁰	13 ³⁰	21 ³⁰	7 ³⁰	13 ³⁰	21 ³⁰	7 ³⁰	13 ³⁰	21 ³⁰					
1	17.8	18.4	18.4	18.2	-1.4	735.3	737.2	737.3	96	84	77	SW	0	S	1	N	1	10	10	3	6.7	● a
2	15.8	25.6	20.2	20.5	1.0	736.9	736.4	737.1	86	45	73	N	1	S	1	N	1	2	3	3	.	
3	15.8	26.4	20.6	20.9	1.5	737.4	737.1	739.4	86	44	85	NNW	1	S	1	S	1	0	1	10	0.4	● 22-23
4	18.4	21.2	18.4	19.3	0.1	741.6	741.7	743.1	84	66	91	N	1	S	0	S	0	10	9	8	0.1	∇ 17½
5	17.8	24.2	18.8	20.3	1.2	744.8	744.8	744.6	84	43	74	N	1	SE	1	N	1	10	6	0	.	
6	14.6	27.4	19.8	20.6	1.6	744.4	743.7	743.8	82	48	70	N	1	S	1	N	1	0	1	0	.	
7	15.8	27.6	19.4	20.9	2.0	744.1	743.1	743.6	83	45	82	N	1	S	1	N	1	1	3	0	.	
8	17.4	27.4	19.6	21.5	2.7	743.4	742.2	741.9	85	46	83	N	1	S	1	NNE	1	5	1	0	.	
9	17.0	27.6	20.2	21.6	3.0	741.5	740.1	739.9	91	48	85	N	1	S	1	NNW	1	0	1	2	.	
10	17.8	27.6	19.0	21.5	3.0	739.0	736.5	736.7	89	51	81	NNE	1	SSW	1	N	1	3	4	2	0.3	∇ 16½
11	16.2	26.4	18.6	20.4	2.0	739.8	739.6	739.2	86	37	73	N	1	S	1	NNW	1	1	1	0	.	
12	14.2	25.8	20.2	20.1	1.8	740.2	739.6	742.6	87	46	63	N	1	S	1	W	0	0	1	10	.	
13	17.8	26.0	19.2	21.0	2.9	745.2	745.3	745.4	80	41	77	N	1	SSE	1	NNW	1	9	3	0	.	
14	16.6	25.4	19.6	20.5	2.5	745.2	744.5	743.4	83	43	72	N	1	S	1	N	1	9	1	0	.	
15	15.8	26.8	21.2	21.3	3.4	742.1	740.7	740.7	90	47	79	N	1	S	1	NNE	1	0	1	0	.	
16	18.0	27.2	20.8	22.0	4.3	740.7	739.6	739.9	93	58	76	W	0	S	1	S	0	9	5	10	.	
17	17.2	21.4	16.8	18.5	0.9	740.4	739.7	740.0	91	96	99	E	0	S	1	S	1	10	9	10	42.8	∇ 12½-13½ mU, ● 17½-n mU, *)
18	16.2	23.6	17.4	19.1	1.7	739.8	738.7	739.9	96	57	96	N	1	S	1	W	0	10	5	10	5.1	● 17-n mU
19	16.4	21.6	18.2	18.7	1.4	740.7	740.6	740.4	96	68	86	W	0	SSW	1	N	1	4	5	6	.	
20	16.4	26.2	20.0	20.9	3.8	740.3	739.6	740.3	88	48	89	NNE	1	S	1	N	1	9	1	3	0.0	● n (20./21.)
21	18.1	19.3	19.0	18.8	1.8	740.8	740.9	739.0	93	92	97	NNE	1	SW	1	NW	1	10	10	10	10.6	● n-n mU
22	18.4	20.2	17.2	18.6	1.8	736.4	735.0	736.0	96	91	33	NNE	1	S	1	NNE	2	10	10	1	2.0	● n-a mU
23	13.4	24.8	15.6	17.9	1.3	740.2	740.0	741.1	53	35	62	NNE	2	SE	1	N	1	0	1	0	.	
24	11.8	22.8	15.4	16.7	0.2	742.6	740.7	740.8	83	47	80	N	1	SSE	1	NNE	1	9	1	0	.	
25	12.6	24.4	17.4	18.1	1.8	739.3	737.0	736.5	91	45	85	NNW	1	S	1	N	1	3	3	5	.	
26	13.2	25.4	18.4	19.0	2.9	735.3	734.6	737.1	90	44	23	N	1	S	1	NNE	3	0	0	0	.	∇ p-n
27	11.2	23.4	15.2	16.6	0.6	740.7	740.7	741.7	58	37	71	N	1	S	1	N	1	0	1	0	.	
28	14.2	19.8	15.4	16.5	0.7	743.0	742.3	742.8	87	50	80	N	1	S	1	N	1	9	9	3	.	
29	13.8	19.2	15.4	16.1	0.5	742.0	740.8	740.2	89	55	88	N	1	S	1	SSW	0	10	6	10	0.0	● tr n (29./30.)
30	14.4	16.6	13.4	14.8	-0.6	738.5	736.9	734.8	91	77	99	N	0	S	0	SW	1	10	10	10	30.2	● 16½-n
Mittel	15.8	24.0	18.3	19.4	—	740.7	740.0	740.3	86	55	78							5.4	4.1	3.9	Summa 98.2	

*) 17. Σ ● 14½-15, 16½-17½

$\lambda = 7^\circ 35', \beta = 47^\circ 33',$
 $H_b = 317.3 \text{ m}, G = 0.08 \text{ mm}$

Basel

September 1958
Beobachter: Astronom.-Meteorol. Anstalt

1	17.5	24.2	17.2	19.6	3.9	730.9	731.2	732.4	75	62	76	ESE	1	SE	1	ENE	0	4	5	2	.	
2	14.2	23.4	16.8	18.1	2.5	732.8	732.5	732.6	92	64	93	ESE	1	WNW	1	WSW	0	4	4	2	.	
3	15.6	26.0	18.7	20.1	4.6	733.6	733.5	734.3	88	57	85	E	1	NW	1	ESE	1	0	3	0	.	
4	16.2	24.7	17.9	19.6	4.2	735.6	736.0	737.2	84	59	89	E	1	ENE	1	NNE	1	8	9	0	.	∇ 22-23½
5	17.0	27.9	20.2	21.7	6.4	738.5	738.0	738.0	83	55	85	E	1	E	1	NNE	1	0	4	0	.	
6	16.9	29.1	19.8	21.9	6.7	737.4	736.8	737.7	86	54	84	ESE	1	SE	1	SW	0	0	1	0	.	
7	17.9	27.0	19.0	21.3	6.2	739.1	738.9	739.2	89	58	89	ESE	1	SW	1	SSW	1	7	8	1	0.3	
8	17.6	20.7	15.6	18.0	3.1	738.3	739.3	739.1	97	80	90	SE	1	WNW	1	SW	1	10	10	0	0.3	● 5½-6½ mU, 8½, Σ 8-8½
9	14.4	24.3	16.5	18.4	3.6	738.5	737.1	737.1	93	58	81	ESE	1	NW	1	W	1	8	4	3	.	
10	13.1	19.1	13.2	15.1	0.4	737.2	736.5	737.0	95	66	94	WSW	0	NW	1	WSW	0	6	9	6	.	
11	11.0	20.4	13.5	15.0	0.4	738.3	737.9	737.9	100	62	84	E	0	NW	1	SW	1	10	0	7	.	≡ 2½-7%
12	11.4	19.6	12.2	14.4	0.0	738.6	738.6	739.4	98	66	90	NW	0	NNW	1	WSW	1	10	3	0	.	≡ 4-8
13	11.0	25.2	14.4	16.9	2.6	740.2	740.3	740.4	93	54	91	E	1	SW	1	ESE	0	0	0	0	.	
14	13.1	26.8	17.8	19.2	5.0	740.0	739.0	738.0	92	56	75	SE	1	SSE	1	E	1	0	0	0	.	
15	15.8	28.8	19.1	21.2	7.2	737.2	735.8	735.4	83	48	93	SE	1	ESE	1	S	1	5	5	4	0.4	
16	17.5	17.4	15.4	16.8	2.9	735.6	736.6	737.4	94	84	95	WNW	1	NW	2	SW	0	10	10	10	1.5	● 6½-6½, 16½-18½
17	14.3	15.8	13.5	14.5	0.7	737.0	736.7	737.3	95	94	97	WNW	1	WNW	1	W	1	10	10	10	6.8	● 9½-12 mU, 14½-n mU
18	14.0	18.7	12.6	15.1	1.5	737.3	737.2	737.7	96	73	97	SW	0	N	1	SSW	1	10	9	0	.	● n-0½, tr 2½
19	12.3	20.1	14.3	15.6	2.1	738.1	736.9	736.1	98	68	87	SE	0	E	1	ESE	1	10	5	0	0.0	
20	12.7	18.8	16.4	16.0	2.7	735.5	735.5	735.6	93	87	97	ESE	1	ENE	1	SE	0	10	10	10	1.2	tr 7½
21	15.8	19.0	14.5	16.4	3.2	734.1	733.3	735.4	95	95	92	NNE	1	E	1	S	1	10	10	10	29.7	● 2½-4 mU, 12½-13½ mU *)
22	13.6	15.1	12.4	13.7	0.7	734.9	735.0	737.2	94	82	75	SE	1	SSW	1	SW	1	10	9	8	4.4	● n-1½, 16½-17½, 23
23	12.6	18.0	9.5	13.4	0.5	739.0	739.4	739.0	87	58	87	WNW	1	WNW	2	SSW	1	6	5	0	.	● 2½-3
24	8.6	20.9	15.4	15.0	2.3	737.7	736.9	736.6	93	54	78	E	1	WNW	1	E	1	9	9	10	0.0	● tr 19%, Δ 1
25	17.4	19.2	13.1	16.6	4.0	734.6	734.7	735.6	77	70	77	WSW	1	W	2	WSW	1	10	7	7	0.0	● tr 17½, Σ 11½
26	11.6	15.7	10.0	12.4	0.0	736.5	737.3	739.1	84	47	87	WSW	1	WSW	1	SW	0	9	6	1	.	
27	5.4	17.0	8.2	10.2	-2.1	739.1	738.0	737.9	100	61	95	E	1	N	1	SSW	0	10	1	0	.	≡ 4½-8½
28	7.5	20.0	13.1	13.5	1.4	737.1	736.0	735.3	92	63	86	E	1	ESE	1	E	1	3	3	1	.	Δ 1
29	10.5	22.9	16.3	16.6	4.6	734.3	732.3	730.3	95	56	77	ESE	1	E	1	E	1	5	7	0	.	
30	13.6	17.1	12.9	14.5	2.7	727.8	726.1	725.0	79	84	95	E	1	SSW	1	S	1	10	10	10	1.3	● 11½-13 mU
Mittel	13.7	21.4	15.0	16.7	—	736.5	736.1	736.4	91	66	87							6.8	5.9	3.4	Summa 45.9	*) 21. 14-17½ mU, 19-n, ≡ 11½-7%

September 1958

Beobachter: *Observatorium*

Säntis

$\lambda = 9^\circ 21', \beta = 47^\circ 15'$

$H_b = 2500.1 \text{ m}, G = -0.29 \text{ mm}$

Tag	Lufttemperatur					Luftdruck			Relative Feuchtigkeit			Windrichtung und Stärke			Bewölkung			Niederschlag	Witterung			
	7 ³⁰	13 ³⁰	21 ³⁰	Mittel	Abw. vom Normalst.	7 ³⁰	13 ³⁰	21 ³⁰	7 ³⁰	13 ³⁰	21 ³⁰	7 ³⁰	13 ³⁰	21 ³⁰	7 ³⁰	13 ³⁰	21 ³⁰					
1	9.8	13.2	7.4	10.1	6.1	563.1	564.1	565.0	36	74	90	W	2	SW	1	SSW	0	1	5	1	...	≡ 15%-18%
2	7.8	11.0	6.2	8.3	4.4	564.3	565.0	565.6	67	72	90	N	1	SW	1	WSW	1	1	5	0
3	4.8	9.4	6.4	6.9	3.1	565.5	566.3	567.5	86	84	84	W	2	W	2	W	2	9	8	1	...	≡ 8-17% mU
4	6.7	10.0	6.7	7.8	4.1	567.7	568.9	570.0	78	80	96	WNW	2	W	2	W	2	1	10=	1	...	≡ 12-19 mU
5	8.4	11.6	8.4	9.5	5.9	571.1	572.1	571.8	71	60	62	W	2	SW	1	W	0	1	5	0
6	9.4	13.6	8.8	10.6	7.0	571.1	571.9	571.8	50	41	76	N	1	SW	2	WNW	2	1	1	1
7	7.4	12.0	8.0	9.1	5.6	571.9	572.2	572.1	100	70	97	W	2	SW	2	W	2	10=	10=	4	3.2	∇ 9-9%, 17%-n, ≡ 5%-10 mU, *)
8	7.6	9.2	5.8	7.5	4.1	572.0	571.9	570.3	91	86	100	W	2	W	2	NW	2	1	10=	10=	28.7	∇ 10-n mU, K, 14%-15%, *)
9	4.4	6.8	5.6	5.6	2.3	569.0	568.9	568.6	100	100	100	WNW	3	WNW	3	WNW	2	10=	10=	10=	9.6	∇ n-8% mU, 20-n mU, *)
10	5.0	4.4	0.8	3.4	0.2	566.8	566.5	566.5	100	100	96	WNW	3	NW	2	N	1	10=	10=	10=	4.5	∇ 9%-n mU, ≡ n-14%
11	1.7	5.6	1.4	2.9	-0.2	566.5	567.4	567.5	74	88	64	E	1	SW	1	N	1	0	10	1
12	2.0	6.2	6.0	4.7	1.6	567.0	568.4	569.9	50	75	48	N	2	SSE	1	NW	1	1	4	1
13	8.2	10.8	7.7	9.2	6.2	571.0	572.5	572.7	36	30	46	NW	3	WSW	3	W	3	1	1	1
14	9.4	11.1	9.2	9.9	7.0	571.9	572.5	571.9	09	27	55	NW	3	SSW	1	N	3	1	1	1
15	9.4	11.7	9.0	10.0	7.2	570.5	570.3	569.5	62	64	66	NE	2	N	1	W	1	1	1	1
16	7.3	12.2	4.4	8.0	5.3	568.6	568.5	568.3	96	81	100	W	2	SW	1	W	2	2	10	10	14.6	∇ 15-15%, 19-n mU, *)
17	6.4	6.0	4.7	5.7	3.1	567.3	567.7	567.1	84	83	100	SW	2	NW	2	W	2	8	10	10=	15.4	∇ 12%-19% mU, ● 17-n, *)
18	3.0	5.4	2.4	3.6	1.1	566.5	566.9	567.5	100	92	86	WNW	2	W	1	N	1	10=	10=	4	1.6	● n-9, ≡ n-16% mU
19	6.0	8.8	4.7	6.5	4.1	567.2	567.6	567.9	76	65	86	WSW	2	WSW	2	W	2	8	1	1
20	4.8	7.1	6.7	6.2	3.9	566.8	567.8	568.1	70	69	77	W	3	W	3	SW	2	9	7	10	0.6	● 16-17%
21	6.2	8.0	4.7	6.3	4.1	567.2	567.2	565.7	83	80	100	WSW	2	W	3	W	4	9	7	10=	54.9	● n-n mU, * n (21./22.), *)
22	1.4	0.0	-1.7	-0.1	-2.2	564.2	563.4	564.3	100	100	100	W	4	WNW	3	W	3	10=	10=	10=	39.0	● n-12%, ● * 12%-n, *)
23	-2.0	-1.0	-0.6	-1.2	-3.2	565.8	566.9	567.7	100	100	100	W	3	W	3	W	3	10=	10=	10=	...	≡ n-n mU, √ n-16%
24	0.8	3.8	2.4	2.3	0.4	566.8	566.9	566.8	45	87	100	W	3	WSW	4	W	3	9	10	10=	0.6	∇ 15%-20% mU, ≡ 15%-n, √ a-p
25	3.2	3.7	2.8	3.2	1.4	564.6	564.2	563.8	100	100	100	W	4	W	4	W	3	10=	10=	10=	0.5	∇ 12%-n mU, ≡ n-n mU, √ n-p
26	-2.7	-2.4	-4.0	-3.0	-4.7	562.9	564.0	566.0	100	100	100	W	3	W	3	NW	2	10=	10=	8	0.0	∇ 16-16%, ≡ √ n-19%
27	-4.4	1.2	2.4	-0.3	-1.9	565.9	566.7	567.2	56	78	24	W	1	SW	1	WNW	1	0	1	1
28	2.3	6.8	3.9	4.3	2.8	566.8	567.2	567.0	30	46	35	WSW	2	SW	2	W	3	1	1	1
29	5.2	10.6	10.2	8.7	7.3	565.8	565.9	564.1	35	36	40	W	2	SW	2	SSW	2	8	5	4
30	3.8	7.4	5.1	5.4	4.1	561.0	560.5	558.5	74	64	82	S	3	S	3	SW	4	7	9	9	...	∇ p-n
Mittel	4.8	7.5	4.8	5.7	—	567.2	567.7	567.7	72	74	80							5.3	6.7	5.0	Summe	173.2

September 1958

Beobachter: *E. Chiesa*

St. Gotthard (Hospiz)

$\lambda = 8^\circ 34', \beta = 46^\circ 33'$

$H_b = 2095 \text{ m}, G = -0.27 \text{ mm}$

Tag	Lufttemperatur					Luftdruck			Relative Feuchtigkeit			Windrichtung und Stärke			Bewölkung			Niederschlag	Witterung			
	7 ³⁰	13 ³⁰	21 ³⁰	Mittel	Abw. vom Normalst.	7 ³⁰	13 ³⁰	21 ³⁰	7 ³⁰	13 ³⁰	21 ³⁰	7 ³⁰	13 ³⁰	21 ³⁰	7 ³⁰	13 ³⁰	21 ³⁰					
1	8.8	8.9	7.4	8.4	1.7	592.1	592.5	593.5	97	98	92	SE	0	SE	1	NW	1	10=	10=	10=	0.6	● n-a, ≡ n-n
2	6.8	13.0	7.8	9.2	2.6	593.2	593.4	594.2	75	72	96	SE	1	SE	1	SE	0	0	3	10=	...	≡ 18%-n, Δ I
3	7.6	14.5	9.8	10.6	4.1	593.8	594.6	595.5	81	56	86	NW	0	SE	0	SE	0	0	6	10	0.4	● n (3./4.)
4	8.2	8.8	7.6	8.2	1.8	596.0	597.4	598.6	96	91	96	SE	0	NW	0	SE	0	10=	10=	10=	3.7	● n-13, ● 13-n, ≡ n-n
5	9.7	15.2	9.0	11.3	5.0	599.0	599.8	600.2	78	80	83	NW	0	SE	0	SE	1	0	0	0	...	≡ 17-21, Δ I
6	9.0	14.5	10.4	11.3	5.1	599.7	600.0	600.2	69	58	78	S	0	SE	1	SE	0	0	0	0	...	Δ I
7	9.8	16.2	10.3	12.1	6.0	600.1	600.3	600.7	84	52	93	NW	0	SE	0	NW	0	0	3	10	0.9	● 20-n mU, Δ I
8	9.2	10.8	8.4	9.5	3.5	600.1	599.7	598.9	56	52	98	SE	0	SE	1	NW	1	6	6	10=	...	≡ 20%-n
9	8.0	13.1	7.5	9.5	3.6	598.3	597.8	597.0	74	69	97	NW	0	NW	0	NW	0	0	6	0	1.1	● 16%-21 mU
10	7.8	12.0	5.0	8.3	2.5	596.1	595.1	594.8	81	73	98	NW	0	NW	1	NW	1	0	3	10=	12.4	● ≡ 15-n mU, Δ I
11	4.0	10.4	4.6	6.3	0.6	595.0	595.4	595.5	84	44	95	NW	1	NW	1	NW	1	10=	0	10=	...	≡ n-8%, 15%-n mU
12	4.2	10.3	6.0	6.8	1.2	595.4	596.6	598.4	68	34	95	NW	1	NW	1	NW	1	0	0	0	...	Δ I
13	5.2	14.0	9.2	9.5	4.0	598.9	599.8	600.3	90	33	75	NW	0	NW	1	NW	1	6	0	0	...	Δ I
14	10.6	15.2	11.0	12.3	6.9	599.9	600.1	599.8	42	38	49	NW	1	NW	1	NW	0	0	0	0	...	Δ I
15	10.4	16.0	10.2	12.2	6.9	598.7	598.1	597.8	58	44	95	NW	0	NW	1	SE	0	0	0	10=	...	≡ 17%-n, Δ I
16	8.9	14.5	8.4	10.6	5.5	597.1	596.9	595.7	70	64	90	NW	0	SE	0	SE	0	0	0	0	...	≡ 17%-21% mU, Δ I
17	7.8	8.0	6.2	7.3	2.3	595.4	596.0	595.7	98	88	85	SE	0	SE	1	SE	0	10=	10	10	10.8	● 11-12%, n (17./18.), *)
18	5.6	7.6	5.0	6.1	1.2	595.2	595.3	595.5	93	86	99	NW	0	NW	1	NW	1	6	9	10=	4.0	≡ 14-n
19	5.4	11.0	7.7	8.0	3.2	595.8	596.3	596.4	90	79	92	SE	0	SE	1	SE	0	6	6	10	...	≡ 16%-n mU, Δ I
20	6.2	11.0	9.0	8.7	4.1	596.0	596.7	596.8	94	69	80	SE	0	SE	1	NW	1	6	9	10=	0.7	● n (20./21.), ≡ 19%-n, Δ I
21	8.2	8.4	8.8	8.5	4.0	596.4	596.4	595.3	97	96	97	NW	0	SE	2	SE	1	10=	10=	10=	36.0	● ≡ n-n mU
22	5.6	3.6	2.4	3.9	-0.5	593.6	592.3	594.0	97	99	79	NW	1	NW	3	NW	2	9	10	6	14.5	● 8%-19 mU, 19-20%, *)
23	1.2	6.0	7.3	4.8	0.6	594.8	596.1	596.3	74	58	93	NW	1	NW	1	NW	1	0	0	0	...	Δ I, Δ III
24	4.0	12.2	8.3	8.2	4.1	596.3	596.3	596.3	60	51	60	SE	0	SE	0	NW	0	0	3	0	...	Δ I
25	7.0	12.6	6.0	8.5	4.6	594.6	593.9	593.4	66	73	95	NW	0	SE	0	NW	1	0	0	10=	...	≡ 17%-n mU
26	1.2	2.6	0.0	1.3	-2.5	592.3	593.2	594.1	99	84	94	NW	2	NW	2	NW	2	10=	3	10=	...	≡ n 11%, 15%-n
27	0.6	8.0	2.8	3.8	0.2	594.3	595.1	595.5	57	47	80	NW	1	NW	1	NW	1	0	0	0	...	Δ I
28	2.6	7.3	3.2	4.4	0.9	595.7	595.9	596.0	78	72	92	SE	1	SE	1	SE	1	9	0	10=	...	≡ 20%-n
29	2.0	7.8	3.8	4.5	1.2	595.2	595.0	594.2	95	73	90	SE	0	SE	1	SE	2	10	0	10	1.0	≡ 16%-n mU
30	2.9	3.2	4.0	3.4	0.3	591.9	591.4	588.4	98	96	99	SE	2	SE	2	SE	2	10=	10=	10=	73.4	● ≡ n-n mU
Mittel	6.3	10.6	6.9	7.9	—	596.0	596.2	596.														

λ = 7° 26', β = 46° 57',
H_b = 572.2 m, G = -0.04 mm

Bern

Oktober 1958
Beobachter: Meteorologisches Observatorium

Table with columns: Tag, Lufttemperatur (730, 1330, 2130, Mittel, Abweich. von Normalst), Luftdruck (730, 1330, 2130), Relative Feuchtigkeit (730, 1330, 2130), Windrichtung und Stärke (730, 1330, 2130), Bewölkung (730, 1330, 2130), Niederschlag, Witterung. Rows 1-31 and Mittel.

*) 19. 16-16%, 17-17%

λ = 6° 57', β = 47° 00',
H_b = 487.3 m, G = 0.00 mm

Neuchâtel

Oktober 1958
Beobachter: Observatorium

Table with columns: Tag, Lufttemperatur (730, 1330, 2130, Mittel, Abweich. von Normalst), Luftdruck (730, 1330, 2130), Relative Feuchtigkeit (730, 1330, 2130), Windrichtung und Stärke (730, 1330, 2130), Bewölkung (730, 1330, 2130), Niederschlag, Witterung. Rows 1-31 and Mittel.

*) 4. 10% - 13% mU

Oktober 1958
Beobachter: *Eidg. Armeemagazine*

Aldorf

$\lambda = 8^{\circ} 38'$, $\beta = 46^{\circ} 53'$,
 $H_b = 456.3$ m, $G = -0.08$ mm

Tag	Lufttemperatur					Luftdruck			Relative Feuchtigkeit			Windrichtung und Stärke			Bewölkung			Niederschlag	Witterung			
	7 ³⁰	13 ³⁰	21 ³⁰	Mittel	Abweich. vom Normalst.	7 ³⁰	13 ³⁰	21 ³⁰	7 ³⁰	13 ³⁰	21 ³⁰	7 ³⁰	13 ³⁰	21 ³⁰	7 ³⁰	13 ³⁰	21 ³⁰					
1	13.2	14.8	9.8	12.6	0.7	710.5	710.9	715.3	98	84	92	S	0	NW	2	SSE	2	10*	10*	10*	74.2	● n-n mU
2	9.4	16.6	12.0	12.7	0.9	716.5	716.3	720.4	98	67	100	S	1	NW	1	SSW	1	10	3	10*	6.8	● p-n
3	8.2	16.6	20.0	14.9	3.3	723.3	721.4	720.3	100	64	37	SE	0	NNW	1	SSE	3	5	1	8	0.0	● p-n
4	21.6	17.0	12.6	17.1	5.7	718.7	720.7	723.0	36	70	92	SSE	5	NW	2	SSE	1	9	7	10	2.7	● n (4/5.), ● n-a
5	11.8	15.4	13.0	13.4	2.2	723.0	721.8	722.1	100	73	97	NW	0	NW	0	SSE	0	10	8	10	0.5	
6	11.0	11.8	10.0	10.9	-0.1	723.2	723.5	726.0	93	89	100	SE	0	N	2	S	0	10*	10*	10*	1.8	▽ 1½, ● n-n
7	10.0	11.6	11.0	10.9	0.0	726.8	727.7	728.6	100	88	99	S	0	NW	0	SE	0	10	10	10	0.4	● n-n mU
8	11.0	14.2	10.0	11.7	1.0	729.8	729.7	730.7	97	78	100	SE	1	NW	1	SE	0	9	9	0	6.0	
9	10.0	15.0	10.6	11.9	1.4	730.9	730.3	728.5	89	78	100	S	0	SW	1	NW	0	9	1	0	0.0	≡ p-n mU, △ I, III
10	10.6	16.0	15.4	14.0	3.7	727.1	724.2	725.0	100	84	60	S	0	NNW	2	E	0	10=	4	0	5.8	▽ 15½-16, ● tra, ≡ n-a, △ I
11	13.2	16.6	13.0	14.3	4.1	726.6	724.8	724.3	98	82	98	W	0	S	0	S	0	9*	10*	10	0.6	● tr n-n mU
12	12.4	12.8	11.0	12.1	2.1	723.1	724.7	726.1	98	90	100	SW	1	NNW	2	N	0	9*	10*	10	22.0	● n-n mU
13	8.6	11.6	8.0	9.4	-0.4	726.1	726.8	727.8	98	63	85	NW	2	NW	2	S	0	10*	9	10	2.2	● n-a, n (13./14.), △ III
14	8.6	10.0	9.6	9.4	-0.3	724.5	724.1	725.8	91	93	100	SSE	1	NNW	1	SSW	0	9*	10*	10	4.2	● n-n mU
15	10.4	18.0	16.2	14.9	5.4	726.1	724.9	726.4	100	70	62	SE	0	NW	2	NNE	2	10*	8	10	0.6	● tra mU
16	11.6	13.2	6.2	10.3	1.0	720.5	719.0	726.7	88	45	63	SE	2	N	4	NNW	2	10	9	10*	15.7	● p-n, ● n-n, ● U
17	6.0	3.6	5.0	4.9	-4.3	721.8	722.3	723.3	70	98	100	S	2	S	2	S	0	10*	10*	10*	13.7	● n-n mU
18	5.2	7.2	5.0	5.8	-3.2	726.0	727.8	728.7	94	79	100	W	0	NW	1	ESE	0	10*	10	10*	10.6	● n-n mU
19	2.8	6.6	5.2	4.9	-4.0	729.5	730.1	731.4	100	84	91	S	0	ESE	0	E	0	10*	9	10*	4.6	● n-n mU
20	4.0	2.8	5.8	4.2	-4.5	728.1	726.8	727.2	97	100	100	SW	0	S	1	SE	0	10*	10*	10*	32.1	● n-n
21	6.4	4.8	5.0	5.4	-3.1	728.9	727.3	726.5	96	96	97	SSW	0	SSE	1	N	0	10*	10*	9	25.6	● n-21
22	2.6	9.8	3.4	5.3	-3.1	730.8	731.7	733.3	100	55	89	SE	0	NW	1	SE	0	3*	3	2	0.0	≡ n-a, △ III
23	-0.4	8.6	2.6	3.6	-4.6	733.7	734.0	735.3	93	57	91	SE	1	NW	1	SSE	0	0	0	0	0.0	△ I, △ III
24	-0.6	9.2	2.6	3.7	-4.4	735.7	734.4	734.6	100	68	100	S	1	NW	1	SE	0	1	1	1	0.0	△ I, △ III
25	4.2	6.6	5.4	5.4	-2.5	733.9	733.3	733.6	100	86	93	SE	0	S	0	E	0	10	10	10	0.0	△ I
26	4.4	6.4	5.2	5.3	-2.5	733.9	734.0	729.8	94	87	90	SE	0	NE	0	SSE	0	10	10=	10	0.0	≡ a-p
27	3.8	5.8	3.6	4.4	-3.2	732.4	732.4	731.8	93	87	95	SE	0	S	0	S	0	10=	10	10	0.0	≡ n-a
28	2.4	4.8	3.0	3.4	-4.1	730.6	729.6	729.2	98	90	97	SE	1	NE	0	SSW	0	10=	10	10	0.0	≡ n-a
29	1.6	4.6	1.2	2.5	-4.8	728.8	727.9	726.8	99	83	100	S	0	S	0	S	0	10=	10=	0	0.0	≡ n-p, △ III
30	0.4	8.2	3.4	4.0	-3.2	726.1	725.7	724.9	100	82	96	SE	0	SW	0	S	0	6	5	3	0.0	≡ 8½-11, △ I, △ III
31	0.8	10.2	6.4	5.8	-1.2	724.0	722.7	723.2	93	60	91	S	0	NW	0	SSE	0	6	9	10	9.8	● n (31./1.), △ I, △ III
Mittel	7.3	10.7	8.1	8.7	—	726.5	726.1	727.0	94	78	91							8.5	7.6	7.5	233.9	Summe

Oktober 1958
Beobachter: *Observatoire*

Genève

$\lambda = 6^{\circ} 09'$, $\beta = 46^{\circ} 12'$,
 $H_b = 405.0$ m, $G = -0.05$ mm

Tag	Lufttemperatur					Luftdruck			Relative Feuchtigkeit			Windrichtung und Stärke			Bewölkung			Niederschlag	Witterung			
	7 ³⁰	13 ³⁰	21 ³⁰	Mittel	Abweich. vom Normalst.	7 ³⁰	13 ³⁰	21 ³⁰	7 ³⁰	13 ³⁰	21 ³⁰	7 ³⁰	13 ³⁰	21 ³⁰	7 ³⁰	13 ³⁰	21 ³⁰					
1	12.5	15.7	13.7	14.0	1.7	715.1	715.8	718.4	92	66	80	NNE	1	S	1	ENE	1	10	9	10	7.4	● 7½-13, 23½-n
2	11.6	17.8	13.4	14.3	2.2	720.8	721.2	725.4	84	47	73	SSE	1	W	2	SSE	1	8	1	6	2.6	● n-1½ mU, 15½-19 mU
3	9.9	16.3	12.6	12.9	1.0	726.9	725.6	724.5	86	52	85	SW	0	NNE	1	E	1	6	6	8		
4	9.8	13.0	11.2	11.3	-0.5	723.3	726.0	727.0	90	90	92	SE	1	SE	1	NW	0	10	10*	1	25.0	● 12½-18½
5	8.7	15.4	11.3	11.8	0.2	727.2	726.0	726.4	92	58	84	SSE	1	NNE	1	ESE	1	3	6	4	1.3	
6	11.3	11.5	12.2	11.7	0.3	727.6	728.3	729.4	90	79	66	ESE	1	E	1	NNE	2	9	10*	7	0.9	● 2½-3, 6-6½, 12½-14½ mU
7	10.8	12.6	11.3	11.6	0.4	730.9	731.6	733.0	77	72	80	NNE	1	N	1	NE	1	10	10	10		
8	10.9	15.9	11.2	12.7	1.7	733.5	733.7	735.1	86	55	86	SSW	1	N	1	NNE	1	9	8	3		
9	8.7	14.7	12.4	11.9	1.1	735.1	733.7	732.9	89	61	88	E	1	NNE	1	NNE	1	3	1	3		
10	10.8	14.8	14.0	13.2	2.5	730.9	729.6	729.4	93	78	91	W	1	NNE	0	NE	1	10=	8	10=	2.0	△ I ≡ n-n mU
11	13.4	17.7	14.2	15.1	4.6	729.9	729.0	728.1	92	66	86	E	1	NNE	1	NE	1	10=	7	10	13.6	● K, 0½-1½, 22½-23½, ≡ n-a
12	13.6	13.5	10.3	12.5	2.2	727.6	729.8	730.8	90	83	72	NW	1	S	1	S	1	10*	10	1	10.0	● 7½-13½
13	8.9	12.4	10.0	10.4	0.3	731.2	732.4	732.2	67	46	65	SW	1	S	1	SSE	0	9	9	8	0.5	● 1½-3 mU, 5½-6½
14	8.9	12.1	11.0	10.7	0.8	730.2	730.2	731.8	84	75	86	SSE	1	NNE	1	NW	1	10	10	8	0.9	● 2-5 mU, 9-10%
15	10.1	18.7	14.8	14.5	4.7	732.3	732.4	732.1	88	58	75	SE	0	ESE	1	SSW	1	10	8	9		
16	13.7	11.9	7.8	11.1	1.5	728.3	729.0	728.8	62	51	63	S	2	S	2	W	2	9	9	7	1.0	● 16-18½ mU
17	6.3	7.5	5.1	6.3	-3.1	728.9	729.7	730.2	69	68	87	SE	1	SW	1	ENE	1	9	10	10	3.8	● 3-4, 8½-11 mU, 17½-23½ mU
18	5.2	9.7	6.3	7.1	-2.1	731.3	731.9	733.1	90	49	73	ESE	1	NNE	1	NNE	1	10	3	5		
19	4.8	8.7	6.3	6.6	-2.4	734.1	734.8	735.9	82	59	65	ESE	1	NNE	1	NE	0	9	7	3		
20	6.4	6.7	7.4	6.8	-2.1	734.2	732.9	733.4	74	88	86	NNE	1	NNW	1	NE	1	10	10	5	2.4	● 8½-14½ mU, 18½-20
21	4.3	7.9	7.5	6.6	-2.1	733.9	732.6	731.7	90	83	87	SE	1	S	0	SE	1	5	10	10*	0.8	● 12½-13½, 18½-19, 21½-21½
22	6.5	10.0	8.2	8.2	-0.3	733.4	734.7	735.5	75	52	58	N	2	NNE	3	NNE	2	1	1	2		● n-n mU
23	5.6	8.6	7.4	7.2	-1.1	736.0	737.5	738.6	69	56	65	N	2	NNE	2	NNE	1	2	3	4		
24	5.3	8.2	5.0	6.2	-2.0	738.9	738.3	738.5	79	60	84	NNE	1	NNE	1	NE	1	10	3	9		
25	4.0	7.3	7.4	6.2	-1.8	737.7	736.9	737.6	85	77	78	SE	1	NNE	1	NNE	1	10	10	10		
26	7.1	7.8	7.8	7.6	-0.2	737.6	737.4	737.6	80	74	77	NNE	1	NNE	2	NNE	1	10	10	10		
27	6.6	7.2	6.7	6.8	-0.9	736.8	735.8	735.7	80	70	71	NE	2	NNE	1	NE	1	10	10	10		
28	5.7	7.1	5.8	6.2	-1.3	734.2	733.1	733.2	78	75	78	NE	1	NNE	1	ENE	1	10	10	10		
29	4.6	6.2	3.3	4.7	-2.6	732.8	731.9	731.5	82	75	88	ESE	1	ENE	1	NE	1	10	10	10		
30	3.6	6.9	4.7	5.1	-2.1	730.8	729.8	729.3	94	79	89	S	1	ENE	0	NNE	1	10=	5	5		≡ n-a
31	4.6	6.5	8.8	6.6	-0.4	728.2	727.3	728.9	92	89	87</											

λ = 8° 34', β = 47° 23';
H_b = 569.4 m, G = -0.01 mm

Zürich

Oktober 1958
Beobachter: Meteorologische Zentralanstalt

Tag	Lufttemperatur					Luftdruck			Relative Feuchtigkeit			Windrichtung und Stärke			Bewölkung			Niederschlag	Witterung
	7 ³⁰	13 ³⁰	21 ³⁰	Mittel	Abweich. vom Normalst	7 ³⁰	13 ³⁰	21 ³⁰	7 ³⁰	13 ³⁰	21 ³⁰	7 ³⁰	13 ³⁰	21 ³⁰	7 ³⁰	13 ³⁰	21 ³⁰		
1	12.2	12.1	10.4	11.6	1.1	700.3	701.1	704.4	84	88	93	NW	0	WNW	1	9	10	18.0	☉ a-13%, ☉ 13%-23% Δ I
2	10.6	16.7	11.4	12.9	2.6	705.9	706.3	709.8	90	56	97	S	1	S	1	10	2	4.6	☉ a mU, ☉ 19%-21% mU, *)
3	9.0	18.3	11.1	12.8	2.7	712.9	711.4	710.5	97	57	93	ENE	1	NE	1	2	2	0.0	☉ 3½-4, Δ III
4	10.2	15.3	11.7	12.4	2.5	709.0	711.3	712.3	96	67	95	SSE	1	WNW	1	7	9	0.6	☉ 19½-23, Δ I, ☉ 10-12½
5	10.3	16.5	12.2	13.0	3.3	713.1	711.7	711.8	97	59	93	SSE	0	NNE	1	4	7	1.0	
6	11.5	10.8	9.5	10.6	1.0	712.8	713.6	715.7	97	88	96	WNW	1	WSW	1	10	10	7.7	☉ 5½-9½, 16-21½
7	8.7	10.5	9.7	9.6	0.2	716.7	717.4	718.5	94	92	96	NE	1	NE	1	10	10	2.1	☉ 3½-4½, 12½-16½ mU, ☉ a mU
8	9.4	13.5	9.4	10.8	1.6	719.5	719.4	720.5	98	77	95	NNE	1	NE	1	10	10	0.1	Δ III
9	8.3	13.9	11.4	11.2	2.2	720.4	719.7	718.3	98	79	96	NE	1	SW	1	10	8	0.2	≡ n-11%, Δ I, III
10	9.6	17.4	12.7	13.2	4.3	716.4	714.3	714.9	97	67	97	SSE	0	SW	1	10	3	4.9	≡ n-12%, Δ I, II, III, ⊕ 16
11	12.9	17.1	13.2	14.4	5.7	715.9	714.3	713.8	96	77	95	S	1	W	1	10	9	0.8	☉ 0%-1½, 2½-10%, tr 21%, *)
12	12.2	11.4	8.9	10.8	2.3	713.2	714.8	716.5	95	93	95	W	1	W	1	10	10	26.2	☉ 9-22½ mU
13	7.5	7.9	7.6	7.7	-0.6	716.0	716.4	716.5	93	85	82	SW	1	WNW	1	10	10	4.9	☉ 4½-10 mU, 12½-13½ mU
14	8.9	11.0	11.2	10.4	2.3	713.4	713.0	715.2	77	77	88	SSW	1	SW	2	10	9	0.9	☉ 9½-10½, ☉ 5-19½ mU, 23-n
15	13.2	16.0	13.1	14.1	6.1	714.7	715.4	716.3	69	72	75	WSW	2	SW	2	10	10	0.0	☉ 20-20½, ☉ n-17½ mU
16	11.8	11.1	4.7	9.2	1.4	710.0	709.3	711.2	75	65	74	WSW	2	WSW	3	10	9	2.2	☉ 12%, 14½-15½, 21½-23½, *)
17	4.6	5.2	4.7	4.8	-2.8	710.6	711.3	713.4	76	91	93	SW	2	SW	2	10	10	6.6	☉ 2%, ☉ tr 7½, 14½-16½, 18½, *)
18	5.1	8.4	5.2	6.2	-1.2	715.4	716.5	718.0	95	61	93	WSW	1	SSW	1	10	9	6.8	☉ 1½-3½ mU, 9½-10½, 23%, 23-23%
19	3.3	8.1	4.9	5.4	-1.9	719.0	719.0	720.7	96	72	88	S	1	SW	1	10	7	2.0	☉ 5½-6½, 16½-16½, 20%-21%
20	4.1	5.7	6.3	5.4	-1.7	716.5	715.7	718.5	86	97	93	WSW	2	SW	1	10	10	7.6	☉ 7½-8, 9½-14½ mU, *)
21	5.7	5.5	5.8	5.7	-1.2	717.6	715.9	718.0	89	87	98	SW	1	SSW	2	10	9	7.9	☉ 6½-22 mU, ☉ 8½-15 mU
22	0.9	8.9	3.6	4.5	-2.2	720.6	721.3	722.7	99	62	90	NE	1	NNE	1	10	2	0.2	≡ n-8 mU
23	1.6	9.3	2.7	4.5	-2.1	723.2	723.4	724.9	92	52	91	NNE	1	NNE	2	6	1	0.1	Δ I, Δ III
24	2.0	10.7	5.1	5.9	-0.5	724.7	723.7	723.8	92	50	96	NE	1	NE	2	9	1	0	Δ I, III
25	4.1	5.2	4.9	4.7	-1.5	723.1	722.3	722.9	97	87	95	NNE	1	NNE	1	10	10	0	≡ 8-9, Δ I
26	3.7	4.5	4.9	4.4	-1.6	723.5	723.3	724.1	96	90	93	NNE	1	NNE	1	10	10	0	Δ I, II
27	4.0	5.7	5.3	5.0	-0.9	722.4	721.4	720.9	93	82	89	NNE	0	NNE	1	10	10	0.0	Δ I, II, III
28	4.1	6.0	4.7	4.9	-0.8	719.5	718.6	718.3	89	75	91	SE	1	ESE	1	10	10	0	Δ I, III
29	3.9	8.1	2.2	4.7	-0.9	717.7	716.7	716.3	87	67	96	SSE	1	WSW	1	10	0	0.1	Δ I
30	1.9	9.6	4.6	5.4	0.0	715.5	714.9	714.1	98	63	90	NE	1	SSW	1	10	5	0.1	≡ n-11%, Δ I, II, III
31	2.6	10.0	7.7	6.8	1.5	713.3	712.1	712.7	98	65	97	SSW	1	SSW	1	2	10	11.9	☉ 14-15½, 19-n, ≡ n-10% Δ I
Mittel	7.0	10.7	7.8	8.5	—	715.9	715.7	716.6	92	74	92							117.5	

*) 2. ☉ 19½-23½ mU 11. ☉ 0%-1½ 16. ☉ 5-n mU, ☉ 10%-15½ mU 17. 20%-20%, ☉ n-20 mU 20. 16%-20% mU, ☉ 2-9½ mU

λ = 6° 32', β = 46° 51';
H_b = 1601 m, G = -0.16 mm

Chasseron

Oktober 1958
Beobachter: J. Liardon

Tag	Lufttemperatur				Abweich. vom Normalst	Luftdruck			Relative Feuchtigkeit			Windrichtung und Stärke			Bewölkung			Niederschlag	Witterung
	7 ³⁰	13 ³⁰	21 ³⁰	Mittel		7 ³⁰	13 ³⁰	21 ³⁰	7 ³⁰	13 ³⁰	21 ³⁰	7 ³⁰	13 ³⁰	21 ³⁰	7 ³⁰	13 ³⁰	21 ³⁰		
1	6.5	5.4	4.8	5.6	—	620.0	620.4	622.4	100	100	100	WSW	1	WNW	1	10	10	16.6	☉ n-14, 14-n mU, ≡ n-n
2	3.4	5.8	4.2	4.5	—	624.0	625.1	627.3	100	100	100	W	2	S	2	10	10	6.6	☉ 22, ≡ n-n mU, ☉ p-n
3	3.6	8.4	6.6	6.2	—	629.5	629.4	628.6	100	82	97	SSE	3	S	2	3	5	0	≡ n-a
4	8.0	3.8	6.6	6.1	—	628.0	628.6	629.8	100	100	100	S	3	W	4	8	10	12.8	☉ 8-17 mU, 8%-20%, ☉ a-n
5	3.4	5.6	6.2	5.1	—	630.0	629.5	629.7	100	100	72	W	2	SE	2	4	5	6.8	☉ n (6.14), ≡ 3½-7, 7-n mU
6	2.0	2.8	1.6	2.1	—	630.3	630.7	631.7	100	100	100	NW	2	NNW	2	2	10	1.0	☉ n-14 mU, ≡ n-n
7	2.6	3.6	3.2	3.1	—	632.8	633.8	634.5	100	100	100	E	2	C	0	1	10	0	≡ n-n
8	3.0	8.8	8.0	6.6	—	635.3	636.3	637.4	100	74	66	ESE	2	NW	2	2	2	0	≡ n-15 mU
9	10.2	14.6	12.4	12.4	—	637.7	637.8	637.1	70	75	80	S	3	WNW	2	4	5	0	
10	11.0	15.0	10.0	12.0	—	634.7	634.4	633.8	74	66	94	ESE	2	ESE	2	5	6	3.4	☉ 13%, n (10.11)
11	8.4	10.0	8.9	9.1	—	633.4	633.2	632.4	73	76	76	SSW	3	SSE	2	7	7	9.7	☉ tr 16%-20%, n (11.12)
12	7.1	4.0	1.8	4.3	—	631.2	632.0	632.5	100	100	100	WNW	2	WNW	3	10	10	22.2	☉ n-13 mU, ☉ 16%, Δ 22%, *)
13	-0.6	0.6	-0.4	-0.1	—	631.4	632.6	632.8	100	100	100	NW	3	WNW	3	10	10	6.2	☉ 5, ☉ 5-14 mU, n-19%
14	2.5	4.2	6.0	4.2	—	630.7	631.2	633.0	100	100	100	W	4	W	4	10	10	21.4	☉ ≡ n-n
15	6.4	7.8	6.0	6.7	—	633.5	634.3	634.3	100	100	100	WNW	4	NW	4	10	10	6.4	☉ n-n mU, ≡ n-n
16	4.4	0.6	-2.6	0.8	—	628.5	628.0	628.0	100	100	100	NW	6	NW	6	10	10	16.2	☉ 13, ☉ p, ☉ 14-n mU, ☉ n-n
17	-3.4	-2.0	-2.8	-2.7	—	627.7	628.1	629.5	100	100	100	NW	4	NNW	4	10	10	28.0	☉ ≡ n-n, ☉ a-n
18	-2.4	-1.0	-2.0	-1.8	—	630.7	632.6	632.9	100	100	100	NNW	4	NNW	2	2	10	6.6	☉ n-8, 19-n, ≡ n-9½, *)
19	-2.4	-0.6	-3.0	-2.0	—	633.5	634.8	635.6	100	100	100	N	2	NNW	2	10	8	5.1	☉ n-a, ☉ p, ≡ n-a, 15½-n
20	-0.2	0.0	-0.8	-0.3	—	632.5	631.9	633.9	100	100	100	WNW	4	NW	4	10	10	8.8	☉ n-17%, ☉ a, ≡ n-n, ☉ n-p
21	-1.4	-0.5	-1.0	-1.0	—	634.0	632.6	633.2	100	100	100	N	2	WNW	3	10	10	5.5	☉ ≡ n-n mU
22	-3.9	0.0	-3.0	-2.3	—	634.3	635.7	636.4	100	92	76	E	2	E	2	0	5	0	
23	-4.0	0.6	-2.0	-1.8	—	636.0	637.0	638.1	96	58	88	E	4	E	2	2	0	0	☉ n-n mU
24	1.2	7.2	5.2	4.5	—	638.1	632.0	632.1	44	34	66	E	3	E	3	1	1	0	
25	8.4	11.0	6.8	8.7	—	638.1	638.3	637.9	46	37	44	E	2	E	2	0	0	0	
26	6.4	7.8	5.0	6.4	—	637.7	638.4	638.3	52	46	68	E	3	E	3	0	0	0	
27	6.5	9.4	5.2	7.0	—	637.2	636.9	636.3	49	38	44	E	2	E	2	0	0	0	
28	5.0	9.2	7.2	7.1	—	634.7	634.4	634.1	48	40	27	ESE	2	C	0	0	0	0	
29	5.2	10.0	5.0	6.7	—	633.4	633.6	632.8	50	40	62	S	2	SW	1	0	1	0	
30	5.6	7.2	4.8	5.9	—	632.2	631.9	631.0	52	51	53	SW	2	WNW	1	5	2	0	
31	2.8	4.0	0.2	2.3	—	629.8	629.0	628.9	85	100	100	S	3	SW	4	6	10	4.6	☉ 9½-13 mU, ☉ 13-n mU, *)
Mittel	3.4	5.3	3.5	4.1	—	632.3	632.4	632.8	85	81	84							187.9	

*) 12. ≡ n-n 18. 9½-17 mU, 17-n, ☉ n-a 31. ≡ 11-n, ☉ a-n

Oktober 1958

Beobachter: Stationspersonal Rh. B.

Bever

λ = 9° 53', β = 46° 33'

H₀ = 1711.8 m, G = -0.26 mm

Table with columns: Tag, Lufttemperatur (730, 1330, 2130, Mittel, Abweich. vom Normalst), Luftdruck (730, 1330, 2130), Relative Feuchtigkeit (730, 1330, 2130), Windrichtung und Stärke (730, 1330, 2130), Bewölkung (730, 1330, 2130), Niederschlag, Witterung. Rows 1-31 and Mittel.

Oktober 1958

Beobachter: Couvent des Capucins

Sion

λ = 7° 22', β = 46° 14'

H₀ = 548.6 m, G = -0.14 mm

Table with columns: Tag, Lufttemperatur (730, 1330, 2130, Mittel, Abweich. vom Normalst), Luftdruck (730, 1330, 2130), Relative Feuchtigkeit (730, 1330, 2130), Windrichtung und Stärke (730, 1330, 2130), Bewölkung (730, 1330, 2130), Niederschlag, Witterung. Rows 1-31 and Mittel.

λ = 8° 58', β = 46° 00',
H_b = 276.2 m, G = -0.04 mm

Lugano

Oktober 1958
Beobachter: G. Vicari

Tag	Lufttemperatur					Luftdruck			Relative Feuchtigkeit			Windrichtung und Stärke			Bewölkung			Niederschlag	Witterung
	7 ³⁰	13 ³⁰	21 ³⁰	Mittel	Abweich. vom Normalst	7 ³⁰	13 ³⁰	21 ³⁰	7 ³⁰	13 ³⁰	21 ³⁰	7 ³⁰	13 ³⁰	21 ³⁰	7 ³⁰	13 ³⁰	21 ³⁰		
1	15.8	18.2	16.4	16.8	1.6	727.1	725.4	726.4	97	76	85	NNW 1	ESE 2	NW 1	10*	10	8	25.2	● n-13% mU, 17%-18%
2	12.8	23.0	15.4	17.1	2.1	728.9	730.2	732.6	86	47	89	N 1	SE 1	N 1	1	1	0	.	⊗ 0%—1
3	11.4	22.4	15.8	16.5	1.7	737.6	738.0	739.1	83	49	89	N 1	S 1	NNE 1	1	4	3	0.1	● n (3./1.), ● 17%—n mU
4	15.8	19.2	16.4	17.1	2.5	740.3	739.0	738.4	95	71	97	S 1	S 0	SE 1	10	9	10*	22.0	.
5	14.4	17.2	14.8	15.5	1.1	738.2	737.5	738.3	98	84	88	N 1	S 0	N 1	10*	8	2	16.1	● n-8, n (6./6.), ⊕ 13%
6	15.6	16.0	14.2	15.5	1.3	737.5	737.9	739.4	67	77	89	E 2	S 1	S 0	9	9	10	6.5	● n (6./7.)
7	12.6	14.2	12.8	13.2	-0.8	741.6	742.7	743.6	96	97	95	N 0	S 0	NE 0	10	10*	10*	9.2	● n-n mU
8	13.0	19.2	14.4	15.5	1.7	744.9	744.9	746.1	96	55	96	N 1	S 1	NNE 1	10	1	0	.	.
9	12.2	22.4	15.4	16.7	3.1	746.4	745.4	745.3	96	53	94	N 1	E 0	N 1	2	3	0	.	.
10	13.6	17.8	13.6	15.0	1.6	743.9	744.2	743.6	97	94	85	N 1	S 1	NNE 1	1	10*	0	28.1	● 13%-14, n (10./11.), ⊗ 13%-13%
11	14.4	15.4	14.7	14.8	1.6	742.5	742.4	741.6	98	95	97	S 1	S 1	S 1	10*	10*	10*	21.9	● n-n mU, ⊗ 5%-6%
12	14.8	16.7	12.8	14.8	1.9	739.9	738.3	739.2	97	83	97	NNE 1	E 1	N 1	10*	10*	10*	36.0	● n-n mU
13	11.0	19.8	12.4	14.4	1.7	735.9	735.9	738.0	95	28	33	SSE 1	NNE 2	N 1	4	1	0	.	.
14	8.8	17.2	9.4	11.8	-0.7	739.0	737.1	737.1	77	48	84	N 1	NNW 1	N 1	9	8	0	.	.
15	14.4	23.8	16.2	18.1	5.8	736.7	736.4	736.9	68	36	44	S 1	NNE 1	N 1	0	1	0	.	.
16	10.2	25.2	10.4	15.3	3.2	732.8	727.6	731.6	75	19	45	N 1	NNW 2	N 2	1	1	1	0.0	● tr, abd
17	9.6	17.4	10.4	12.5	0.6	733.4	732.0	734.5	39	29	43	N 2	N 2	N 1	0	0	0	.	.
18	10.6	18.2	9.4	12.7	1.0	737.4	738.5	740.5	46	29	38	N 1	NNE 2	N 2	4	1	0	.	.
19	5.8	15.4	8.2	9.8	-1.8	742.4	741.7	743.5	62	48	44	N 1	S 1	N 1	0	1	0	.	.
20	5.2	17.0	10.2	10.8	-0.6	740.8	738.2	739.5	77	46	68	NNW 1	W 1	N 1	8	3	0	0.0	⊕ a
21	13.4	17.4	10.4	13.7	2.5	739.9	737.6	737.7	37	41	57	NNW 2	WNW 1	N 1	4	8	0	.	.
22	5.4	17.1	7.6	10.0	-1.0	743.7	743.2	745.0	66	38	80	N 1	S 1	N 1	0	0	0	.	.
23	2.6	16.2	6.4	8.4	-2.4	748.2	747.9	749.9	88	36	83	N 1	S 1	N 1	0	0	0	.	.
24	3.4	16.8	7.4	9.2	-1.5	750.6	749.5	749.7	86	39	90	N 1	S 1	N 1	0	0	0	.	.
25	5.0	17.2	8.8	10.3	-0.2	749.2	748.2	748.3	92	53	92	N 1	S 1	N 1	0	0	0	.	.
26	5.4	16.8	9.2	10.5	0.2	747.3	747.1	747.9	91	52	88	N 1	S 1	N 1	0	0	0	.	.
27	5.4	18.6	10.4	11.5	1.4	747.7	746.5	746.8	91	55	93	N 1	S 1	S 1	0	0	8	.	.
28	8.4	17.6	9.6	11.9	1.9	745.7	743.9	744.8	97	44	89	N 1	SSE 1	N 1	4	0	0	.	.
29	4.8	15.8	9.6	10.1	0.3	744.2	743.0	744.1	96	63	96	N 1	SSW 1	S 0	0	0	10	.	.
30	9.2	11.8	10.4	10.5	0.9	743.9	743.2	742.9	82	66	84	S 0	S 1	W 0	10	10	10	.	.
31	9.2	12.4	9.4	10.3	0.8	742.4	741.2	741.0	94	61	84	E 0	S 1	S 0	10	9	10	5.7	● n (31./1.)
Mittel	10.1	17.9	11.7	13.2	—	741.0	740.1	741.1	83	55	79				4.5	4.1	3.2	Summe 170.8	

*) 17. ⊗ ● 14%—15, 16%—17%

λ = 7° 35', β = 47° 33',
H_b = 317.3 m, C = 0.08 mm

Basel

Oktober 1958
Beobachter: Astronom.-Meteorol. Anstalt

1	12.2	13.5	12.1	12.6	1.0	723.4	723.5	726.4	97	95	97	SSW 0	W 0	ESE 0	10	10*	9	11.4	● 3%-5, 9%-16%
2	11.2	18.4	11.5	13.7	2.3	728.6	728.5	732.2	99	58	89	SE 0	NNW 0	SW 0	10	7	7	3.3	● 17%-19 mU, ⊕ 17%
3	9.0	20.2	13.7	14.3	3.1	735.7	733.6	732.4	94	56	79	SSE 1	ESE 1	ESE 1	2	2	0	0.0	.
4	9.7	15.8	11.7	12.4	1.4	731.0	733.5	734.0	92	65	90	ESE 1	W 1	ESE 1	8	10	10	1.4	● 16%-18%, ⊕ 17-18
5	9.6	19.0	12.6	13.7	2.9	735.2	733.9	733.6	96	58	87	ESE 1	ESE 1	ESE 1	10	1	1	0.0	.
6	12.2	14.5	10.7	12.5	1.9	735.3	736.0	737.8	86	70	90	NW 1	W 1	SW 1	10	10	10	0.0	● tr 7%-7%, 13%-14
7	9.4	11.1	10.6	10.4	0.0	739.1	740.2	740.4	95	88	93	WNW 1	NW 1	WNW 0	10	10	10	0.0	● 8-11
8	9.6	15.7	8.3	11.2	1.0	741.4	741.5	742.5	89	74	96	NW 0	ESE 1	SE 1	10	10	0	.	.
9	7.3	19.4	12.0	12.9	2.9	742.1	741.1	739.9	99	68	94	ESE 1	ESE 1	ESE 1	10=	2	0	.	≡ 5-8%
10	10.3	23.2	14.7	16.1	6.3	737.7	736.3	736.4	99	63	94	ESE 1	SSE 0	SE 1	3	4	2	1.1	⊕ 16%-17, ⊕ 17
11	13.6	20.8	14.8	16.4	6.9	737.0	736.0	735.4	97	65	91	ESE 1	ESE 1	ESE 1	10	4	1	2.9	● 2%-4%
12	13.2	12.4	7.6	11.1	1.8	734.9	736.8	738.5	97	88	95	SSW 1	WSW 1	WSW 1	10*	1	1	8.9	● 2%-13%, 16%
13	8.3	10.6	8.2	9.0	-0.1	738.2	738.9	738.8	97	88	89	SSW 1	W 1	E 1	9	9	10	0.5	● 8%, ● 12%-15 mU
14	11.3	13.6	13.3	12.7	3.8	735.8	735.1	737.1	78	77	84	WSW 1	WSW 2	WSW 1	10	10	10	.	.
15	14.3	16.8	14.0	15.0	6.3	736.8	737.8	738.1	81	76	78	WSW 2	WNW 2	WSW 1	10	10	8	.	.
16	12.1	10.4	6.7	9.7	1.2	734.6	733.5	735.3	74	73	80	WNW 2	WSW 2	WSW 2	10	9*	8	4.0	● 10%-15 mU
17	5.6	8.0	7.1	6.9	-1.4	734.2	734.7	735.4	90	82	88	WSW 2	WSW 2	W 2	10	10	10	0.0	● 1-1%, 6%-7%, ⊕ 10%
18	6.4	9.0	6.0	7.1	-1.0	738.1	739.5	740.5	88	66	89	WSW 1	ENE 1	SSW 0	10	8	4	3.0	.
19	5.3	10.6	5.9	7.3	-0.6	741.5	742.4	742.8	94	52	88	SE 0	NNW 1	WSW 1	4	6	7	1.4	● 5%-7, 9%-10, 15%-16%
20	7.2	8.4	7.0	7.5	-0.2	738.9	738.2	741.2	84	91	96	W 1	NNW 1	SSW 1	10	10*	10	11.2	● 3%-4, 6%-6%, 10%-10%, 13-17 mU
21	6.6	7.4	6.1	6.7	-0.8	740.8	738.6	739.9	92	90	91	WSW 1	SW 1	WSW 1	10*	10*	0	8.8	tr 6%, 7%-17%
22	3.6	6.7	3.5	4.6	-2.8	743.1	744.5	745.5	100	88	97	SE 0	ENE 1	SSW 0	10-	7	10=	.	≡ 0%-10%, 21-n
23	1.5	8.2	1.8	3.8	-3.4	746.3	746.9	747.8	100	71	100	E 1	WNW 1	SSW 1	10=	0	10-	.	≡ n-9%, 21%-n
24	0.8	9.8	5.6	5.4	-1.6	747.6	746.3	746.7	98	67	99	SE 0	N 1	NW 1	10=	0	10-	.	≡ n-10, 21%-n
25	5.4	9.6	6.8	7.3	0.5	745.8	745.0	745.7	94	75	93	ENE 1	NNE 1	NW 1	10	6	10=	.	≡ n1%, 20%-n
26	5.9	8.8	7.5	7.4	0.7	746.2	745.8	746.7	85	79	86	E 1	N 1	E 1	10	9	10	.	≡ n-1%
27	6.9	10.9	6.6	8.1	1.6	744.7	743.5	743.2	87	71	89	ENE 1	E 1	E 1	10	4	9	.	.
28	6.0	10.4	3.8	6.7	0.4	741.4	740.8	740.8	85	71	96	ENE 1	ENE 1	ENE 0	10	0	4	.	.
29	-0.9	10.8	2.5	4.1	-2.1	739.9	738.5	738.4	100	68	100	SW 0	ESE 1	W 0	0*	0	0-	.	≡ 7-8%, 19%-21%
30	2.1	10.9	5.2	6.1	0.1	737.5	736.9	736.3	100	75	94	ESE 1	ESE 1	ESE 1	10=	4	0	.	≡ 0%-8%
31	3.1	9.8	8.6	7.2	1.3	735.4	733.8	735.9	100	81	98	ESE 2	ESE 1	WSW 1	8	10	10*	5.7	● 16-23% mU
Mittel	7.7	12.7	8.6	9.7	—	738.3	738.2	738.9	92	74	91				8.8	6.5	6.2	Summe 63.6	

Oktober 1958
Beobachter: *Observatorium*

Säntis

$\lambda = 9^\circ 21'$, $\beta = 47^\circ 15'$,
 $H_b = 2500.1$ m, $G = -0.29$ mm

Tag	Lufttemperatur					Luftdruck			Relative Feuchtigkeit			Windrichtung und Stärke			Bewölkung			Niederschlag	Witterung			
	7 ⁰⁰	13 ⁰⁰	21 ⁰⁰	Mittel	Abweich. vom Normalst.	7 ⁰⁰	13 ⁰⁰	21 ⁰⁰	7 ⁰⁰	13 ⁰⁰	21 ⁰⁰	7 ⁰⁰	13 ⁰⁰	21 ⁰⁰	7 ⁰⁰	13 ⁰⁰	21 ⁰⁰					
1	4.6	4.4	-0.8	2.7	1.6	555.4	555.2	556.6	100	100	100	S	4	SE	1	NW	2	10	10 ⁼	10 ^{=*}	21.4	● 6-10% mU, ● * 15%-n, *) ☒
2	-0.8	2.2	-0.9	0.2	-0.8	557.7	558.9	560.8	100	100	100	W	2	WSW	2	W	3	10 ^{=*}	10 ⁼	10 ^{=*}	13.8	* n-8, ● * 8-11%, 19%-n, *) ☒
3	-1.4	4.8	5.8	3.1	2.2	563.4	564.3	565.0	82	69	34	SE	2	SW	2	SW	2	1	4	5	.	☒
4	6.8	6.4	0.0	4.4	3.6	563.8	564.1	564.1	42	76	100	SE	2	SW	3	W	2	4	9	10 ⁻	.	☒
5	0.0	3.6	1.8	1.8	1.2	564.0	563.5	563.9	100	84	84	NW	2	SW	2	SW	2	10 ⁼	9	9	2.6	☒
6	-1.2	1.0	-1.2	-0.5	-1.0	563.5	563.6	564.8	100	95	100	W	1	S	1	E	1	10 ^{=*}	10 ^{**}	10 ^{**}	6.5	● * ≡ n-n ☒
7	-0.8	1.4	1.2	0.6	0.2	565.6	566.8	567.9	94	95	100	SW	2	SW	1	WSW	1	9	10 ^{=*}	9	1.2	* ≡ 11½-20% mU ☒
8	1.8	7.8	4.6	4.7	4.5	568.9	570.2	571.9	87	59	83	WSW	2	WSW	2	WSW	2	1	1	1	.	☒
9	5.7	9.7	6.8	7.4	7.3	572.0	572.6	572.1	76	66	73	W	3	SW	1	WSW	2	4	1	1	.	☒
10	6.7	9.2	5.2	7.0	7.0	569.8	569.0	568.8	62	49	70	WSW	3	SW	4	W	3	1	4	9	4.2	● n (10./11.), ☒ a-p ☒
11	1.7	6.0	3.0	3.6	3.8	567.9	567.3	567.0	100	74	94	SW	1	WSW	1	WSW	1	10 ^{=*}	9	10	5.5	● ≡ n-9%, ☒ 13-n mU ☒
12	2.8	1.0	-1.0	0.9	1.2	565.1	564.9	565.3	90	100	100	SW	2	W	2	W	1	9	10 ^{**}	10 ^{**}	31.7	☒ 6½-8 mU, ● * 10%-n, *) ☒
13	-4.4	-4.4	-5.2	-4.7	-4.2	563.3	563.7	564.1	100	100	100	NW	1	W	3	W	3	10 ^{=*}	10 [*]	10 ^{=*}	9.0	* ≡ √ n-n ☒
14	-2.0	-0.2	0.2	-0.7	-0.1	562.0	562.3	564.3	100	100	100	WSW	5	W	4	W	4	10 ^{=*}	10 ^{=*}	10 ^{=*}	19.0	● 6½-11, ● 11-n, ≡ √ ☒ n-n, *) ☒
15	0.0	1.8	0.6	0.8	1.6	564.4	564.6	565.3	100	100	100	W	4	W	5	W	4	10 ^{=*}	10 ^{=*}	10 ^{=*}	15.9	* ≡ √ n-n, ☒ a-p ☒
16	-1.3	-4.4	-8.8	-4.8	-3.9	559.6	555.8	557.4	100	100	100	W	4	W	5	W	3	10 ⁼	10 ⁼	10 ^{**}	28.4	* ≡ 15-n, ≡ √ n-n, *) ☒
17	-9.8	-8.2	-7.6	-8.5	-7.4	555.9	556.4	559.1	100	100	100	W	4	W	4	WNW	4	10 ^{**}	10 ^{**}	10 ^{**}	66.1	* ≡ √ ☒ n-n ☒
18	-8.2	-6.8	-9.0	-8.0	-6.8	561.3	562.7	563.7	100	100	100	NE	1	NW	2	NW	2	10 ^{**}	10 ^{**}	10 ^{**}	9.4	* ≡ √ n-n ☒
19	-9.8	-7.2	-9.4	-8.8	-7.5	564.0	564.5	565.3	100	100	100	NW	2	NNW	2	W	2	10 ^{**}	10 ^{**}	10 ^{**}	30.6	* ≡ √ n-n ☒
20	-6.8	-5.8	-5.4	-6.0	-4.5	561.9	562.0	564.5	100	100	100	W	3	W	3	W	2	10 ^{**}	10 ^{**}	10 ^{**}	63.7	* ≡ √ n-n, ☒ n-18 ☒
21	-6.9	-6.0	-7.4	-6.8	-5.2	563.4	561.8	564.0	100	100	100	W	3	SW	3	N	2	10 ^{**}	10 ^{**}	10 ^{**}	33.1	* ≡ √ n-n, ☒ n-19, *) ☒
22	-9.4	-7.2	-8.9	-8.5	-6.8	565.1	566.5	567.5	92	94	100	E	1	SE	1	N	1	1	9	10 ⁼	.	☒
23	-8.2	-3.8	-1.4	-4.5	-2.6	568.3	570.1	572.1	53	43	40	NE	3	NE	4	NE	4	1	1	1	.	☒
24	1.4	3.2	4.2	2.9	4.9	572.7	573.6	573.7	45	54	44	NNE	3	E	2	ENE	2	1	1	1	.	☒
25	4.8	6.2	3.2	4.7	6.8	572.5	572.1	572.3	36	36	38	ENE	2	ESE	1	ENE	3	0	0	0	.	☒
26	1.8	2.0	1.0	1.6	3.9	571.8	572.1	572.3	56	51	52	ENE	3	ENE	3	NE	3	1	1	0	.	☒
27	2.0	3.0	1.2	2.1	4.5	570.6	570.2	570.0	36	28	32	E	2	ENE	2	NE	2	0	0	0	.	☒
28	1.7	2.8	3.0	2.5	5.0	568.2	568.0	568.2	29	22	28	NE	2	ESE	2	ESE	1	0	0	0	.	☒
29	2.7	4.0	4.0	2.4	5.1	567.1	566.7	566.2	42	33	36	SE	1	SW	1	W	2	0	0	0	.	☒
30	-0.4	1.8	-1.4	0.0	2.8	565.4	565.0	564.6	44	45	43	W	1	WSW	2	WSW	1	8	9	3	.	☒
31	-1.8	2.0	-1.0	0.3	3.2	563.4	562.7	562.0	42	46	100	SW	1	W	2	W	2	3	8	10	10.3	☒ 9%-14% ☒
Mittel	-0.9	1.0	-0.9	-0.3	-	565.1	565.2	566.0	78	75	79	6.0	6.6	6.7	372.4	* 14%-15%, 17%-n mU ☒

*) 1. ≡ 8½-n mU, √ 19-n, ☒ I 2. ≡ n-16, 19%-n, √ 20-n 12. ≡ 7%-n, √ 16-n 14. ☒ I 16. ☒ n-p, ☒ II 21. ☒ a-p mU

Oktober 1958
Beobachter: *E. Chiesa*

St. Gotthard (Hospiz)

$\lambda = 8^\circ 34'$, $\beta = 46^\circ 33'$,
 $H_b = 2095$ m, $G = -0.27$ mm

Tag	Lufttemperatur					Luftdruck			Relative Feuchtigkeit			Windrichtung und Stärke			Bewölkung			Niederschlag	Witterung			
	7 ⁰⁰	13 ⁰⁰	21 ⁰⁰	Mittel	Abweich. vom Normalst.	7 ⁰⁰	13 ⁰⁰	21 ⁰⁰	7 ⁰⁰	13 ⁰⁰	21 ⁰⁰	7 ⁰⁰	13 ⁰⁰	21 ⁰⁰	7 ⁰⁰	13 ⁰⁰	21 ⁰⁰					
1	7.0	5.3	0.2	4.2	1.2	583.8	583.4	585.4	90	94	98	SE	3	SE	3	NW	1	10 ⁼	10 [*]	10 ^{**}	79.4	● n-18%, * 18%-n, *) ☒
2	0.8	3.8	3.0	2.5	-0.3	586.4	587.7	589.9	99	72	98	NW	1	NW	1	NW	0	10 ⁼	0	10 ⁻	2.1	● 20%-n mU, ≡ n-11%, p-n ☒
3	1.5	8.3	5.0	4.9	2.3	591.7	593.3	594.6	75	53	79	NW	0	SE	1	SE	1	0	0	10	.	☒
4	4.8	4.0	4.2	4.3	1.8	594.4	593.8	593.2	97	90	91	SE	2	SE	2	SE	2	10 ⁼	10 ^{**}	10 ^{**}	23.4	● 8½-n mU, ≡ n-n ☒
5	3.0	5.6	4.0	4.2	1.9	592.8	593.1	592.8	97	95	93	NW	1	SE	0	NW	1	10 ^{=*}	10 ^{=*}	10 ^{=*}	11.0	● n-a, ● 12%-n mU, ≡ n-n ☒
6	1.4	1.9	0.6	1.3	-0.8	592.5	592.5	593.6	96	93	98	NW	1	NW	0	NW	0	10 [*]	10 [*]	10 ^{**}	7.4	● 10-n mU, ≡ 20%-n ☒
7	2.4	2.6	1.7	2.2	0.2	594.6	595.6	596.4	94	94	85	NW	0	SE	1	SE	1	10 [*]	10 ^{**}	10 ^{**}	9.6	● n-n mU, ≡ 12%-n ☒
8	4.2	9.2	5.8	6.4	4.6	597.3	598.8	600.7	90	72	95	SE	1	SE	1	SE	1	10	6	10 ⁼	.	☒
9	4.8	11.3	7.4	7.8	6.2	600.6	601.0	600.7	85	67	95	NW	0	SE	1	SE	0	0	0	0	.	☒
10	7.4	9.2	5.8	7.5	6.0	598.9	598.7	598.2	85	75	83	SE	1	SE	2	SE	2	9	9	0	20.9	● 14½-16%, ● n (10./11.), ☒ I ☒
11	4.0	5.8	5.2	5.0	3.7	596.7	596.5	595.6	85	97	93	SE	1	SE	0	SE	1	10 [*]	10 ^{**}	10 ^{**}	34.7	● n-n, ≡ n-n mU ☒
12	4.8	3.8	0.9	3.2	2.1	593.9	593.7	593.9	98	91	100	SE	1	SE	0	NW	1	10 ^{**}	10 ^{**}	10 ^{**}	29.6	● n-16%, * 16½-16%, *) ☒
13	-1.4	-1.6	-2.4	-1.8	-2.7	592.5	592.5	592.7	98	96	98	NW	2	NW	3	NW	3	10 ⁼	10 ⁼	10 ⁼	1.3	● n (13./14.), ≡ n-n, √ III, *) ☒
14	1.0	4.4	4.0	3.1	2.3	592.5	592.6	593.5	90	85	70	NW	0	NW	1	NW	2	9	10	0	5.6	● 8-12 mU ☒
15	2.9	8.2	5.3	5.5	4.9	593.8	595.0	594.7	88	57	60	NW	2	NW	1	NW	2	10 ^{=*}	9	3	3.1	● 7½-a mU, ≡ n-10% ☒
16	4.5	1.2	-6.2	-0.2	-0.6	590.9	587.5	586.5	70	61	82	NW	1	NW	3	NW	4	9	10	10	26.0	* 15%-n mU, ☒ III, ☒ a-n ☒
17	-6.8	-4.2	-5.0	-5.3	-5.5	586.9	587.8	588.8	95	86	98	NW	2	NW	2	NW	2	10 ^{**}	10 ^{**}	10 ^{**}	23.2	* ☒ n-n, ≡ n-p ☒
18	-5.2	-4.2	-6.0	-5.1	-5.1	589.7	592.1	593.2	97	95	96	NW	2	NW	1	NW	1	10 ^{**}	10 ^{**}	10 ^{**}	4.4	* ≡ n-n, ☒ n-a ☒
19	-6.2	-4.8	-5.0	-5.3	-5.2	593.4	593.6	594.1	98	95	94	NW	1	NW	2	NW	1	10 ⁼	10 ^{**}	10 ^{**}	7.8	* 11½-n mU, ≡ n-n, ☒ II ☒
20	-5.0	-3.0	-3.8	-3.9	-3.6	592.6	591.8	593.0	96	98	98	NW	1	NW	1	NW	2	10 ^{**}	10 ^{**}	10 ^{**}	33.3	* ≡ n-n, ☒ a-n ☒
21	-4.0	-3.0	-4.8	-3.9	-3.4	593.7	592.2	592.6	94	95	96	NW	1	NW	1	NW	2	10 ⁼	10 ^{**}	10 ^{**}	19.9	* 8½-p mU, ≡ n-n, *) ☒
22	-6.0	-5.4	-6.0	-5.8	-5.1	594.1	595.6	596.0	95	90	95	NW	1	NW	2	NW	2	10 ⁼	0	10 ⁼	.	☒
23	-6.4	0.6	0.3	-1.8	-1.0	596.8	598.1	599.3	50	28	29	NW	1	NW	1	NW	1	0	0	0	.	☒
24	3.9	6.6	5.3	5.3	6.3	600.2	600.7	601.0	29	35	46	NW	1	NW	1	NW	1	0	0	0	.	☒
25	2.9	8.5	3.3	4.9	6.1	601.0	600.9	600.7	50	45	41	NW	0	SE	0	NW	0	0	0	0	.	☒
26	2.7	9.2	2.6	4.8	6.1	600.3	600.5	600.7	43	36	46	NW	0	SE	0	NW	0	0	0	0	.	☒
27	1.7	6.8	3.2	3.9	5.4	599.7	599.2	598.5	57	49	40	NW										

$\lambda = 7^{\circ} 26'$, $\beta = 46^{\circ} 57'$,
 $H_b = 572.2$ m, $G = -0.04$ mm

Bern

November 1958
Beobachter: *Meteorologisches Observatorium*

Tag	Lufttemperatur					Luftdruck			Relative Feuchtigkeit			Windrichtung und Stärke			Bewölkung			Niederschlag	Witterung		
	7 ³⁰	13 ³⁰	21 ³⁰	Mittel	Abweich. vom Normalst.	7 ³⁰	13 ³⁰	21 ³⁰	7 ³⁰	13 ³⁰	21 ³⁰	7 ³⁰	13 ³⁰	21 ³⁰	7 ³⁰	13 ³⁰	21 ³⁰				
1	2.9	7.2	3.8	4.6	-0.6	716.5	716.3	718.0	95	52	87	W	0	NE	1	W	0	4	7	7	● n-2%
2	0.0	4.8	4.6	3.1	-1.9	717.7	715.9	713.1	100	81	88	S	0	W	1	W	1	10=	8	10*	7.1 ● 20½-n, ≡ 3-9
3	6.1	7.4	8.0	7.2	2.3	709.4	709.9	709.6	96	97	96	SW	0	S	1	SE	0	10*	10*	10*	12.5 ● n-n mU
4	7.8	8.3	7.0	8.0	3.3	710.2	711.0	712.0	95	91	93	W	0	SE	1	ESE	1	10*	9	9	1.1 ● n-9%
5	4.2	7.2	5.5	5.6	1.0	711.7	711.4	712.6	96	79	93	SE	1	W	1	S	0	6	9	10	1.4 ● 21¼-n, ≡ 1-4, Δ 1
6	5.3	8.0	6.0	6.4	2.0	713.5	714.3	715.3	93	83	91	E	0	E	1	W	0	10	10	9	● n-6%
7	4.8	5.9	4.5	5.1	0.8	714.9	713.7	713.6	97	83	86	N	1	N	0	W	1	10	10	10	≡ 1-2
8	4.2	7.7	6.5	6.1	1.9	710.8	709.2	708.5	88	74	90	SE	1	WNW	1	SE	0	10	9*	10	1.2 ● 13¼-17%
9	6.7	8.7	6.7	7.4	3.4	708.2	709.0	709.7	94	86	96	NE	1	NE	1	NNE	1	10	10	10*	1.5 ● 9¼-10, 15-16, 21-n
10	5.7	5.2	3.3	4.7	0.8	708.0	707.1	706.4	96	91	91	NNW	0	NNW	0	NE	0	10*	10*	10*	10.8 ● n-9%, ● 9½-n
11	2.1	4.1	4.0	3.4	-0.3	705.9	706.4	707.4	97	84	88	N	1	NE	1	NE	1	10*	10	10	1.7 ● 0-2, 3-8 mU, ● * 2-3
12	3.8	3.8	2.4	3.3	-0.3	707.1	706.2	705.4	96	97	94	NE	1	NE	1	NE	2	10	10*	10*	3.6 ● 0½-5½, 17-n, ● 8-17
13	2.7	3.2	2.4	2.8	-0.6	703.8	703.5	704.3	95	92	89	NE	0	N	0	NE	1	10*	10	10	0.1 ● n-3, 8¼-10, 14½-16 mU, ● 3¼-8½
14	3.4	4.3	3.7	3.8	0.5	707.5	709.2	711.8	93	88	92	NE	0	NE	0	NE	1	10	10	10	
15	2.4	4.5	4.8	3.9	0.7	714.0	714.9	715.9	97	90	92	NNE	1	N	1	NNE	1	10	10	10	0.1
16	4.2	5.5	5.4	5.0	2.0	716.4	716.7	717.2	90	88	88	E	0	NE	1	ENE	0	10*	10	10	● 0-7%
17	3.6	7.2	3.0	4.6	1.7	716.7	716.4	717.5	81	82	90	E	1	NE	1	ENE	0	10	7	5	
18	0.3	6.3	1.7	2.8	0.1	718.0	717.6	718.7	97	79	96	SE	1	W	1	NW	0	8	3	10	Δ III
19	1.2	2.1	1.1	1.5	-1.1	720.6	721.2	722.3	96	90	99	SE	0	NW	0	NNE	1	10=	9	10=	≡ 7½-11, 19½-n
20	-0.9	0.4	0.3	-0.1	-2.5	723.7	724.2	724.1	98	87	90	E	0	SE	0	ESE	0	10=	10	10	● n-8
21	-0.1	2.0	1.5	1.1	-1.2	723.0	721.4	720.0	89	85	87	ESE	1	NE	1	SE	1	10	10	10	
22	1.9	4.2	3.5	3.2	1.0	719.8	719.4	718.8	88	87	92	SW	0	NNE	1	NNE	1	10	10	10	0.0
23	2.3	3.4	2.1	2.6	0.6	717.8	718.0	718.4	98	91	97	NNE	1	W	1	ESE	1	10	10	10	0.0 ● 6-10%, ≡ 10, 22
24	1.4	2.7	1.9	2.0	0.1	717.7	716.8	716.2	99	96	99	S	0	SSW	0	NNE	0	10	10=	10	0.0 ● 18¼-20%, ≡ a-p
25	1.9	2.5	2.4	2.3	0.6	714.0	713.7	712.7	98	95	97	NE	0	N	0	N	1	10	10	10*	0.0 ● 21-24, ≡ 0-4
26	1.7	1.9	1.1	1.6	0.0	711.7	711.8	713.2	97	95	99	N	1	N	1	NNE	1	10	10	10*	0.2 ● 20-n, ≡ 19-n
27	1.2	1.5	0.8	1.2	-0.2	714.2	714.9	715.7	98	96	98	N	1	NNE	1	N	1	10*	10	10*	0.1 ● n-10, 20½-n, ≡ 20½-n
28	0.8	1.0	0.9	0.9	-0.4	715.6	715.5	715.9	97	94	96	W	1	N	1	NE	0	10	10	10	0.0 ● n-7¼ mU, ≡ n-1½
29	0.2	0.2	0.4	0.3	-0.9	714.8	713.4	712.6	96	95	94	NNE	0	WNW	0	W	0	10*	10	10	0.0 ● 5-9 mU
30	-0.5	0.7	0.9	0.4	-0.6	711.8	711.7	713.0	92	88	96	S	0	S	0	SE	1	10	10	10	
Mittel	2.7	4.4	3.3	3.5		713.8	713.7	714.0	95	87	93						9.6	9.4	9.7	Summe 41.4	

$\lambda = 6^{\circ} 57'$, $\beta = 47^{\circ} 00'$,
 $H_b = 487.3$ m, $G = 0.00$ mm

Neuchâtel

November 1958
Beobachter: *Observatorium*

1	3.6	8.0	5.7	5.8	-0.3	724.1	724.2	726.1	83	65	67	NW	1	ESE	1	NE	1	8	8	10	15.5 ● 20-22¼ mU
2	0.9	5.4	5.4	3.9	-2.0	725.5	723.9	720.9	90	81	92	N	1	ESE	1	SW	2	1	10	10*	8.2 ● 19-n, ● 18¼-n mU
3	7.4	8.6	8.8	8.3	2.5	716.9	717.4	717.2	98	97	98	SW	2	SW	2	W	1	10*	10*	10*	0.1 ● n-8, 8-19¼ mU, 19½-n
4	8.0	10.3	6.3	8.2	2.6	718.1	718.7	719.7	97	65	88	W	0	W	2	W	1	10*	10*	2	0.1 ● n-7¼, 13¼-14
5	4.3	7.0	6.0	5.8	0.3	719.2	719.4	720.3	98	85	95	W	1	N	1	N	0	10*	10*	10*	5.6 ● 21-n, ≡ n-a
6	5.8	8.8	4.0	6.2	0.9	721.1	722.1	723.2	97	81	95	NW	1	N	1	NE	0	10	9	2	● n-3
7	4.8	6.3	5.4	5.5	0.3	722.8	721.7	721.2	97	80	88	NE	1	NE	1	NE	0	10	10	10	
8	5.6	6.7	6.7	6.3	1.3	718.4	716.7	715.9	79	95	98	NW	1	SW	1	WSW	1	10	10*	10	2.3 ● 12½-14%, 19¼-20%
9	6.5	9.7	7.9	8.0	3.1	715.6	716.7	717.5	97	79	78	N	0	NE	1	N	1	10	10	10	
10	6.6	6.1	4.1	5.6	0.9	715.3	714.4	713.6	85	66	87	E	0	NNW	2	E	1	10	10	10	2.6 ● 22¼-n
11	3.0	4.4	4.1	3.8	-0.8	713.5	714.1	715.1	97	87	88	E	1	ENE	1	NE	0	10	10	10	0.4 ● n-3¼
12	4.0	5.4	3.1	4.2	-0.2	714.8	713.5	712.6	95	74	95	NNE	1	N	2	NE	1	10	10	10*	3.6 ● 4-5, 19¼-n
13	2.6	3.5	3.2	3.1	-1.2	711.3	710.7	711.9	98	93	90	NNE	0	N	0	NE	1	10	10	10	● n-1½
14	3.2	5.2	4.2	4.2	0.1	715.2	717.0	720.0	93	84	87	NE	0	NE	1	NE	1	10	10	10	
15	3.0	6.2	5.4	4.9	0.9	721.9	722.8	723.8	89	74	94	NE	1	NE	1	NE	1	10	10	10	
16	5.6	6.4	6.7	6.2	2.3	724.4	724.6	725.0	84	79	89	NE	2	NNE	2	NE	2	10	10	10	0.1 ● n (16./11.), ● n-18 mU
17	6.1	7.6	6.0	6.6	2.9	724.4	724.3	725.3	89	76	72	NE	1	NE	2	NNE	1	10	10	1	
18	3.4	6.4	2.9	4.2	0.6	725.8	725.5	726.8	93	80	94	NNE	1	NE	1	NE	0	10	10	10	
19	3.3	4.7	2.8	3.6	0.1	728.5	729.2	730.3	90	82	93	NE	0	ENE	1	NNE	1	10	10	10	
20	1.3	2.3	1.8	1.8	-1.5	731.9	732.1	732.1	96	93	89	N	1	SE	1	NNE	1	10	10	10	
21	2.0	3.3	4.4	3.2	0.0	731.1	729.2	727.8	85	79	78	NE	1	NE	1	NE	1	10	10	10	
22	4.0	4.8	4.1	4.3	1.2	727.7	727.3	726.8	83	84	87	NE	1	NE	1	NE	1	10	10	10	
23	3.4	4.2	4.1	3.9	1.0	725.6	725.8	726.1	93	91	93	NE	0	NE	0	NE	0	10	10	10	0.1 ● n (23./21.)
24	3.5	4.2	3.5	3.7	0.9	725.3	724.8	724.0	98	100	100	NE	1	NE	1	NE	1	10=	10=	10=	0.1 ● a mU, ≡ n-n
25	2.8	3.3	3.1	3.1	0.4	721.9	721.4	720.8	100	97	94	NE	1	NE	1	NE	1	10	10	10	
26	2.0	2.3	1.7	2.0	-0.5	719.6	719.5	721.5	93	93	93	NE	1	ENE	1	ENE	1	10	10	10	
27	1.6	2.4	1.9	2.0	-0.4	722.1	723.0	723.9	85	82	87	NNE	1	NE	1	NE	1	10	10	10	
28	1.4	2.3	1.4	1.7	-0.6	723.6	723.5	724.0	85	85	91	NE	1	NE	1	NE	1	10	10	10	
29	0.5	1.1	0.9	0.8	-1.3	722.7	721.3	720.7	94	93	92	NE	1	NE	1	NE	0	10	10	10	
30	1.2	2.3	1.7	1.7	-0.3	719.4	719.5	721.0	93	84	96	N	1	N	1	NE	1	10	10	10	
Mittel	3.7	5.3	4.2	4.4	-	721.6	721.5	721.8	92	83	90						9.6	9.9	9.2	Summe 38.6	

November 1958
Beobachter: *Eidg. Armeemagazine*

Aldorf

$\lambda = 8^\circ 38'$, $\beta = 46^\circ 52'$,
 $H_0 = 450.7$ m, $G = -0.08$ mm

Tag	Lufttemperatur					Luftdruck			Relative Feuchtigkeit			Windrichtung und Stärke			Bewölkung			Niederschlag	Witterung			
	7 ³⁰	13 ³⁰	21 ³⁰	Mittel	Abweich. vom Normalst	7 ³⁰	13 ³⁰	21 ³⁰	7 ³⁰	13 ³⁰	21 ³⁰	7 ³⁰	13 ³⁰	21 ³⁰	7 ³⁰	13 ³⁰	21 ³⁰					
1	4.8	7.6	3.8	5.4	-1.5	726.8	726.7	728.6	96	67	97	NW	2	NNW	2	ESE	1	10	9	10	3.1	● 21½-n
2	2.8	8.0	5.2	5.3	-1.4	728.7	726.5	723.8	92	60	88	NW	0	S	0	NW	0	9	3	10	2.6	tr a, n (2./3.)
3	5.6	7.6	7.6	6.9	0.3	719.7	720.5	720.4	100	100	100	S	0	NW	0	SSE	1	10	10	8	32.2	● n-n mU
4	7.0	8.2	6.8	7.3	0.8	720.5	721.6	722.5	100	97	100	E	0	N	0	SSE	0	10	10	5	11.0	● n-p mU
5	1.0	9.2	5.8	5.3	-1.0	722.6	722.1	723.1	100	76	98	S	0	NW	2	SSE	0	4	7	0	0.0	⊥ I
6	5.6	8.4	6.8	6.9	0.7	724.3	725.1	726.2	97	89	99	S	0	S	0	S	0	10	10	10	0.8	● tr n-a, a-p mU
7	4.0	9.8	5.0	6.3	0.5	725.7	723.7	723.9	87	70	90	SSE	2	NW	1	S	0	1	0	9	.	⊥ I
8	1.2	9.6	6.4	5.7	-0.2	721.7	719.1	718.9	97	70	93	S	0	NW	1	S	0	7	8	0	.	.
9	5.6	9.0	7.4	7.3	1.5	719.0	719.7	720.0	97	92	100	SE	0	NW	1	NW	0	9	10	10	5.6	● tr a, tr p, n (9./10.), ≡ a-p mU
10	6.8	6.8	4.6	6.1	0.5	717.8	717.1	716.4	95	87	96	NW	0	NW	2	NW	0	10	10	10	9.6	● n-a, tr a-n, n (10./11.)
11	3.2	5.2	4.6	4.3	-1.2	716.3	716.6	718.1	98	92	98	S	0	NW	1	SW	0	10	10	10	9.5	● tr n-a, p-n
12	2.8	5.8	3.4	4.0	-1.4	717.6	716.5	715.8	100	84	97	S	0	S	0	S	0	10	10	10	4.5	● n (12./13.)
13	4.0	5.2	4.6	4.6	-0.6	713.9	713.4	714.9	100	86	93	S	0	NW	1	NW	0	10	10	10	0.0	.
14	4.0	5.2	4.8	4.7	-0.4	718.0	720.0	723.9	97	86	95	NW	0	NW	0	S	0	10	10	10	0.0	● n-amU, Δ III
15	4.4	7.0	5.2	5.5	0.5	725.0	726.0	727.9	97	69	79	S	0	NNW	0	SSE	0	10	10	8	.	.
16	2.4	8.4	3.4	4.7	-0.1	727.7	727.6	718.2	90	59	93	S	1	SW	0	S	0	9	9	8	.	.
17	2.0	8.8	2.0	4.3	-0.4	727.8	727.3	728.5	95	71	100	S	0	NW	0	S	0	5	4	4	.	.
18	2.4	7.4	1.2	3.7	-0.9	728.9	728.5	729.6	100	74	100	SE	0	NW	0	SSE	0	10	2	3	.	.
19	1.2	3.4	0.4	1.7	-2.7	731.5	732.2	733.5	100	94	100	SE	0	S	0	SSE	0	10	10	10	.	≡ n-n mU
20	-1.0	1.6	0.6	0.4	-3.9	734.7	735.5	735.4	100	90	95	S	1	S	1	S	1	10	10	10	.	≡ n-9
21	1.6	3.4	2.2	2.4	-1.8	734.2	732.6	731.3	93	80	96	S	0	N	0	SE	0	10	10	10	.	.
22	3.0	6.4	5.0	4.8	0.8	730.6	730.9	729.6	100	88	98	S	0	NW	1	NW	0	10	10	10	0.0	● 1
23	4.2	5.2	4.2	4.5	0.6	728.6	728.6	729.2	100	96	99	SE	0	NW	0	SW	0	10	10	10	.	≡ n-n mU
24	2.8	3.8	3.6	3.4	-0.3	728.6	728.1	727.4	100	100	100	S	0	NE	0	S	0	10	10	10	.	≡ n-p mU, Δ III
25	3.8	4.6	4.0	4.1	0.5	724.9	724.3	723.7	100	97	100	E	0	NW	1	N	0	10	10	10	.	.
26	3.6	4.2	4.0	3.9	0.4	722.5	722.6	724.3	96	95	93	E	0	NNE	0	E	0	10	10	10	0.0	.
27	3.2	4.2	3.6	3.7	0.4	725.7	726.1	726.4	100	91	91	SE	0	E	0	SSE	0	10	10	10	0.0	● n-amU, ≡ a mU
28	2.6	3.2	2.8	2.9	-0.3	726.4	726.4	726.7	93	90	95	E	1	SE	0	SE	0	10	10	10	.	.
29	1.6	2.6	1.0	1.7	-1.4	725.7	724.5	723.3	93	83	92	S	1	S	0	S	0	10	10	10	.	.
30	0.4	1.4	1.4	1.1	-1.8	722.6	722.5	724.3	100	98	95	SSE	1	S	1	SSE	0	10	10	10	.	.
Mittel	3.2	6.0	4.0	4.4	—	724.6	724.4	724.5	97	81	96						9.1	8.7	8.5	78.9	Summe	

November 1958
Beobachter: *Observatoire*

Genève

$\lambda = 6^\circ 09'$, $\beta = 46^\circ 12'$,
 $H_0 = 405.0$ m, $G = -0.05$ mm

Tag	Lufttemperatur					Luftdruck			Relative Feuchtigkeit			Windrichtung und Stärke			Bewölkung			Niederschlag	Witterung			
	7 ³⁰	13 ³⁰	21 ³⁰	Mittel	Abweich. vom Normalst	7 ³⁰	13 ³⁰	21 ³⁰	7 ³⁰	13 ³⁰	21 ³⁰	7 ³⁰	13 ³⁰	21 ³⁰	7 ³⁰	13 ³⁰	21 ³⁰					
1	3.5	9.1	4.9	5.8	1.1	731.2	731.1	733.3	89	40	65	SSE	1	NNE	2	NE	1	8	3	11.7	● 19-n, ⊥ I	
2	1.6	7.3	5.5	4.8	1.9	732.7	731.1	729.1	81	57	85	E	0	NNE	1	SSE	1	10	8	10	6.0	● n-10½ mU, 21½-24½
3	6.7	9.3	8.9	8.3	1.7	725.6	725.6	725.1	89	85	90	SSW	1	NNE	1	SSW	1	10	10	10	0.1	● 4½-6½, ● a
4	9.1	10.8	6.8	8.9	-2.5	725.6	726.2	727.0	89	71	88	SW	0	NE	0	E	1	10	10	0	3.9	.
5	4.4	8.8	7.5	6.9	0.6	727.0	726.4	727.9	92	67	68	ESE	0	S	1	NE	1	10	10	10	.	.
6	6.9	10.3	7.2	8.1	2.0	728.2	728.9	730.1	87	62	64	WSW	1	SW	1	NE	1	10	8	6	0.0	● 2-3, 21½-n
7	6.2	8.3	7.3	7.3	1.3	729.8	728.6	728.5	86	74	74	ESE	1	N	1	NE	1	10	10	10	0.0	● n-1½, 6½-7½
8	5.0	6.3	6.7	6.0	0.1	726.0	724.2	723.8	80	87	92	SE	1	E	0	NE	0	10	10	10	8.5	● 10½-21½, 23-n
9	7.1	10.2	9.4	8.9	3.2	722.9	723.1	724.1	91	70	67	W	0	NNE	2	NE	1	10	10	10	0.7	● n-11½
10	7.7	7.0	5.8	6.8	1.2	722.9	722.0	721.1	56	61	66	NNE	1	SSW	1	NNE	0	10	10	10	.	.
11	5.4	7.1	6.4	6.3	0.8	720.7	720.9	722.2	76	62	65	NE	1	NNE	1	NNE	2	10	9	10	.	.
12	6.0	6.5	5.4	6.0	0.7	721.2	720.5	719.7	71	69	78	NNE	2	NNE	2	NNE	2	10	10	10	1.6	● 20½-n
13	4.9	4.1	4.9	4.6	-0.6	718.9	718.4	718.9	74	77	72	NNE	1	NE	1	ENE	2	10	10	10	0.3	● n-3½, 11½-17½ mU
14	4.8	6.3	4.7	5.3	0.2	723.0	724.1	727.0	71	68	77	ESE	1	NNE	1	WNW	1	10	10	10	.	.
15	5.7	6.7	6.7	6.4	1.5	728.9	729.8	730.7	76	66	66	NE	1	NE	2	ENE	1	10	10	10	.	.
16	6.3	7.4	6.9	6.9	2.1	731.8	731.8	731.8	63	67	70	NE	0	NNE	2	NNE	1	9	4	6	.	.
17	3.1	7.5	5.9	5.5	0.8	731.7	731.4	732.4	88	72	78	SE	0	N	1	NNE	1	10	7	10	.	.
18	4.6	7.2	3.8	5.2	0.6	732.8	732.4	733.9	80	75	83	SE	0	NW	1	ENE	1	10	3	10	.	.
19	4.6	5.9	3.6	4.7	0.3	735.3	736.0	737.5	80	79	82	NE	0	N	1	ENE	1	10	7	10	.	.
20	3.2	4.4	3.3	3.6	0.7	738.8	739.2	739.1	81	80	80	E	1	E	1	ENE	2	10	10	10	.	.
21	3.2	3.6	4.2	3.7	-0.5	737.9	735.9	735.3	80	79	78	E	1	N	2	NE	1	10	10	10	.	.
22	4.4	6.3	5.5	5.4	1.3	735.1	734.3	733.8	79	79	78	E	0	NE	2	ENE	2	10	10	10	.	.
23	4.3	4.7	5.2	4.7	0.8	733.1	733.1	733.5	85	84	85	N	1	E	1	ENE	1	10	10	10	.	.
24	4.0	5.0	4.8	4.6	0.8	732.6	731.7	731.0	92	88	88	S	1	N	1	ENE	1	10	10	10	.	.
25	4.6	5.2	4.8	4.9	1.2	729.1	728.4	727.6	90	80	82	z	1	N	1	NE	2	10	10	10	.	.
26	3.9	4.1	3.7	3.9	0.3	726.5	726.5	728.4	83	82	82	NE	1	NE	1	NNE	2	10	10	10	.	.
27	3.2	3.8	3.2	3.4	0.0	729.2	729.9	731.1	79	75	75	ENE	1	NE	1	N	2	10	10	10	.	.
28	3.0	3.7	3.4	3.4	0.1	730.6	730.4	732.3	79	76	88	N	1	NE	1	NNE	1	10	10	10	.	.
29	2.4	3.2	2.9	2.8	-0.4	729.6	728.4	727.7	80	76	79	NE	1	N	1	ENE	1	10	10	10	.	.
30	1.1	3.0	3.4	2.5	-0.6	727.2	726.6	728.4	87	80	84	SE	1	NE	1	E	1	10	10	10	.	.
Mittel	4.7	6.4	5.4	5.5	—	728.9	728.6	729.1	81	73	78						9.7	9.1	9.2	35.5	Summe	

λ = 8° 34', β = 47° 23',
H_b = 569.4 m, G = -0.01 mm

Zürich

November 1958
Beobachter: Meteorologische Zentralanstalt

Tag	Lufttemperatur					Luftdruck			Relative Feuchtigkeit			Windrichtung und Stärke			Bewölkung			Niederschlag	Witterung
	7 ³⁰	13 ³⁰	21 ³⁰	Mittel	Abweich. vom Normalst.	7 ³⁰	13 ³⁰	21 ³⁰	7 ³⁰	13 ³⁰	21 ³⁰	7 ³⁰	13 ³⁰	21 ³⁰	7 ³⁰	13 ³⁰	21 ³⁰		
1	4.3	8.9	2.8	5.3	0.2	716.4	716.3	718.5	93	53	94	NW 1	WSW 1	SE 1	9	6	7	0.0	≡ n-2, Δ III
2	2.4	6.3	5.0	4.6	-0.3	718.0	715.9	712.9	94	65	81	NNE 1	S 1	SSW 1	10	6	10*	7.0	● tr 21½-22½, 22½-n, Δ I
3	5.2	8.7	7.9	7.3	2.5	708.8	709.3	709.3	96	90	92	S 1	SSW 2	S 1	10*	10	10	10.8	● n-13½ mU, 16½-20½ mU, *)
4	7.9	7.3	6.4	7.2	2.6	709.7	710.9	712.3	97	94	90	WNW 1	SSE 1	S 1	10*	10	10	14.0	● n-4, 6½-18 mU
5	5.1	6.9	4.3	5.4	0.9	711.8	711.6	712.9	97	85	90	NW 1	W 1	SSE 1	10	10	1	0.0	≡ 8-8½, Δ III
6	5.2	8.4	3.9	5.8	1.5	713.9	714.6	715.7	92	73	96	S 0	SW 1	NE 1	10	10	0	0.0	Δ I, III
7	4.6	7.2	4.9	5.6	1.4	715.2	713.6	713.4	92	70	89	E 1	NNE 1	NE 1	10	10	10	.	Δ I, III
8	3.3	11.1	6.7	7.0	3.0	710.9	708.6	708.3	89	49	93	W 1	SSW 1	SSW 0	9	9	10	0.9	● tr 16-18½, Δ I
9	6.0	7.9	6.0	6.6	2.7	708.5	709.5	710.2	95	93	95	NE 1	NE 1	NNE 1	10	10*	10*	6.0	● 3-5½, 9-19, ● 20½-23, *)
10	5.4	4.8	2.7	4.3	0.6	707.7	706.7	706.1	94	97	95	NNW 1	W 1	WNW 1	10*	10*	10	13.5	● 2-n mU, ≡ 9%-11
11	1.9	3.8	3.6	3.1	-0.5	705.9	706.2	707.7	95	93	94	WNW 1	NW 1	NW 1	10	10	10*	4.7	● n-7½, tr p ● 19½-n
12	3.3	4.0	2.8	3.4	0.0	707.4	706.3	705.3	95	89	94	ENE 1	NNE 1	N 1	10	10	10	6.8	● n-6, tr 14-15½, 15½-21, *)
13	1.6	1.7	1.7	1.7	-1.6	703.4	703.2	704.9	99	91	95	WNW 1	WNW 1	NNE 1	10	10	10	0.2	● 3-7½, tr a-n mU, *)
14	1.9	3.9	2.9	2.9	-0.2	707.5	709.6	712.4	98	86	89	WNW 1	WNW 1	WNW 1	10	10	10	0.1	● tr n-a mU, ≡ n-7½, Δ I, II, III
15	2.8	5.8	4.7	4.4	1.4	714.7	715.2	716.6	92	81	92	NNE 1	N 1	NE 1	10	10	10	0.0	Δ I, II, III
16	4.2	5.9	6.2	5.4	2.6	716.9	717.1	717.6	90	87	84	NE 1	NNE 1	ENE 1	10	10	10	.	Δ I, II, III
17	5.9	8.7	4.5	6.4	3.7	717.0	716.7	717.8	84	66	91	E 1	ENE 1	NE 1	10	9	6	.	Δ I, III
18	4.1	6.5	4.8	5.1	2.6	718.2	717.9	719.0	94	70	81	N 0	NNE 1	ENE 1	10	9	10	.	Δ I, III
19	2.6	5.5	0.7	2.9	0.5	720.8	721.2	722.7	90	74	99	E 0	W 1	NW 1	10	5	10	.	≡ 21½-n, Δ I, III
20	0.7	3.2	1.0	1.6	-0.6	723.8	724.2	724.3	92	77	93	ENE 1	ENE 1	NE 1	10	9	10	.	Δ I, III
21	1.5	4.1	3.6	3.1	1.0	723.3	721.8	720.5	86	73	81	E 1	NE 1	NE 2	10	10	10	.	Δ I
22	3.0	4.1	3.5	3.5	1.6	720.1	720.1	719.2	87	82	90	NE 1	NNE 1	NE 1	10	10	10	0.0	
23	2.2	3.2	3.1	2.8	1.0	718.1	718.1	718.5	96	92	97	NNE 1	NE 1	ESE 1	10	10	10	0.1	● tr n-n mU, ● a
24	2.6	3.6	1.7	2.6	1.0	717.7	717.3	716.5	98	97	98	SSE 0	SSW 1	NNE 1	10	10*	10*	0.2	≡ n-n
25	1.8	1.7	1.5	1.7	0.2	714.6	713.7	713.0	98	94	91	N 1	N 1	NE 1	10	10	10	0.2	● tr p-n mU
26	1.2	1.2	0.7	1.0	-0.3	712.3	712.2	714.0	95	95	95	NNE 1	N 1	NE 1	10	10*	10*	0.7	● tr n-a mU, ● a-n
27	0.5	0.4	0.0	0.3	-0.9	714.7	715.7	716.2	96	92	92	NNE 1	NNE 1	NE 1	10*	10*	10	0.3	● 4½-9, ● tr 9-n mU
28	-0.1	0.7	0.0	0.2	-0.8	715.8	715.8	716.2	94	88	93	N 1	NE 1	NE 1	10*	10	10	0.1	● tr n-a
29	-0.2	0.2	0.1	0.0	-0.9	715.1	713.5	712.7	91	90	92	ENE 1	NE 1	NNE 1	10*	10	10	0.2	● n-a
30	-0.1	0.1	1.2	0.4	-0.4	711.9	711.8	713.2	92	91	88	WNW 1	W 1	S 1	10	10	10	0.0	Δ I, II, III
Mittel	3.0	4.9	3.3	3.7	-	714.0	713.8	714.3	93	83	91				9.9	9.4	9.1	65.8	Summe

*) 3. 23½-n 9. 5½-5½, 6½-7, ≡ 9%-11 12. 22½-23 13. ≡ n-7½, Δ III

λ = 6° 32', β = 46° 51',
H_b = 1601 m, G = -0.16 mm

Chasseron

November 1958
Beobachter: J. Liardon

Tag	Lufttemperatur				Abweich. vom Normalst.	Luftdruck			Relative Feuchtigkeit			Windrichtung und Stärke			Bewölkung			Niederschlag	Witterung
	7 ³⁰	13 ³⁰	21 ³⁰	Mittel		7 ³⁰	13 ³⁰	21 ³⁰	7 ³⁰	13 ³⁰	21 ³⁰	7 ³⁰	13 ³⁰	21 ³⁰	7 ³⁰	13 ³⁰	21 ³⁰		
1	-4.8	-2.8	-3.8	-3.8	-	631.1	631.6	633.1	100	100	100	NNW 3	N 2	N 2	7	8	10*	2.0	* p-n mU, ≡ n-n mU
2	-4.0	0.8	-1.6	-1.6	-	631.9	631.4	629.1	100	64	100	E 2	SW 4	SW 4	2	7	10*	35.1	* 18-n, ≡ 17½-n, ● a-n
3	2.2	3.2	3.0	2.8	-	625.2	627.1	627.0	100	100	100	W 4	W 4	NW 3	10	10	10	32.9	● n-20 mU, ≡ n-n, ● n-p
4	1.0	0.2	-0.8	0.1	-	627.5	627.9	628.7	100	100	100	WNW 3	WNW 3	NNW 2	10	10	5	3.2	● a, ● 19, ≡ n-21
5	-1.2	1.0	-1.0	-0.4	-	627.5	627.5	628.2	100	100	100	SSE 2	W 2	WSW 3	10	8	10*	5.8	* 18-n, ≡ n-n mU
6	-0.8	-0.2	-1.0	-0.7	-	629.0	630.3	631.4	100	100	100	S 3	SE 2	NNW 1	10*	10	3	.	* n-7½, ≡ n-15½, 17-n
7	-1.6	1.6	1.0	0.3	-	630.3	629.7	629.2	100	100	100	E 2	WNW 1	E 1	2	3	3	.	
8	3.2	3.6	3.4	3.4	-	627.4	626.1	625.5	100	100	100	SW 2	S 2	NW 2	8	10*	10*	9.2	● 11-n, ≡ 12-n
9	2.0	1.0	-0.2	0.9	-	625.4	626.1	626.5	100	100	100	SE 2	NNE 2	NNE 2	10*	10*	10*	0.5	● n-10, ≡ √ n-n
10	-2.2	-3.5	-3.6	-3.1	-	624.2	623.0	622.0	100	100	100	NNW 2	NW 2	C 0	10	10	10	3.0	* n (10, 11), ≡ √ n-n, ~ 1
11	-3.4	-2.5	-3.6	-3.2	-	621.7	622.3	623.4	100	100	100	NNE 2	NW 2	NNE 2	10	10	10	1.0	* n (11, 12), ≡ n-n, √ III
12	-3.4	-3.1	-4.0	-3.5	-	622.8	622.0	621.3	100	100	100	NE 2	NNE 2	NE 2	10*	10*	10*	5.0	* 19½-n, ≡ √ n-n
13	-4.8	-4.4	-4.0	-4.4	-	619.8	619.0	620.0	100	100	100	N 2	N 2	NE 2	10*	10*	10	4.2	* n-19, ≡ √ n-n
14	-4.0	-1.0	-2.8	-2.6	-	623.5	625.0	627.1	100	100	100	C 0	C 0	N 2	10	10	10	.	≡ n-15
15	-3.8	-2.0	-1.2	-2.3	-	628.8	630.0	631.0	100	100	100	NE 2	E 3	E 2	10	10	10	.	≡ n-n mU, √ a-n
16	-2.4	-1.0	-1.0	-1.5	-	631.4	631.0	632.2	100	100	100	E 2	NE 3	ENE 3	10	10	10	.	≡ n-n, √ I, III
17	-1.2	-0.5	-1.2	-1.0	-	631.7	631.9	632.9	100	100	100	E 3	E 2	SSE 2	10	10	2	.	≡ n-15½, √ I
18	-1.2	0.0	1.4	0.1	-	633.4	633.3	634.0	100	80	66	SE 2	SE 2	SE 2	4	3	2	.	
19	1.0	3.0	1.4	1.8	-	635.5	636.9	636.9	64	64	58	E 1	E 2	E 3	2	2	3	.	
20	0.8	3.2	1.1	1.7	-	637.7	638.6	637.9	62	50	61	E 3	E 3	E 3	3	3	6	.	
21	2.8	4.5	4.0	3.8	-	636.8	635.5	634.6	58	43	40	S 2	SSE 2	ESE 2	5	5	7	.	∅ III
22	6.8	7.8	8.4	7.7	-	635.4	635.4	634.7	62	53	49	SE 2	N 2	E 2	7	8	6	.	
23	8.2	7.0	3.0	6.1	-	633.7	633.7	633.4	50	70	100	C 1	W 2	W 4	4	5	8	.	
24	2.8	7.6	4.4	4.9	-	633.3	633.0	632.3	100	64	70	SW 2	W 2	E 2	3	4	6	.	∅ III
25	4.8	9.2	6.6	6.9	-	630.2	629.6	629.0	60	48	54	E 2	S 1	E 1	8	6	6	.	
26	6.4	6.9	4.8	6.0	-	627.8	628.0	628.6	51	55	60	NE 2	E 2	E 2	3	4	1	.	
27	6.2	7.8	6.4	6.8	-	629.3	630.3	630.9	57	48	52	E 2	SSE 2	S 2	0	0	1	.	
28	6.2	7.4	4.8	6.1	-	630.9	631.0	630.8	52	53	60	SW 2	W 2	SSE 2	3	4	2	.	
29	3.0	7.0	2.4	4.1	-	629.8	628.9	628.0	56	49	66	S 2	C 0	S 2	0	0	0	.	
30	1.6	3.8	-1.4	1.3	-	627.0	627.2	628.1	76	78	100	SSW 3	W 3	W 3	3	3	10	.	≡ 20-n, √ III
Mittel	0.7	2.2	0.8	1.2	-	629.3	629.4	629.6	85	81	84				6.5	6.8	6.7	101.9	Summe

November 1958

Beobachter: Stationspersonal Rh. B.

Bever

λ = 9° 53', β = 46° 33'

H_b = 1711.8 m, C = -0.26 mm

Table with columns: Tag, Lufttemperatur (7:30, 13:30, 21:30, Mittel, Abweich. vom Normalst), Luftdruck (7:30, 13:30, 21:30), Relative Feuchtigkeit (7:30, 13:30, 21:30), Windrichtung und Stärke (7:30, 13:30, 21:30), Bewölkung (7:30, 13:30, 21:30), Niederschlag, Witterung. Rows 1-30 and Mittel.

November 1958

Beobachter: Couvent des Capucins

Sion

λ = 7° 22', β = 46° 14'

H_b = 548.6 m, C = -0.14 mm

Table with columns: Tag, Lufttemperatur (7:30, 13:30, 21:30, Mittel, Abweich. vom Normalst), Luftdruck (7:30, 13:30, 21:30), Relative Feuchtigkeit (7:30, 13:30, 21:30), Windrichtung und Stärke (7:30, 13:30, 21:30), Bewölkung (7:30, 13:30, 21:30), Niederschlag, Witterung. Rows 1-30 and Mittel.

λ = 8° 58', β = 46° 00',
H_b = 276.2 m, C = -0.04 mm

Lugano

November 1958
Beobachter: G. Vicari

Tag	Lufttemperatur					Luftdruck			Relative Feuchtigkeit			Windrichtung und Stärke			Bewölkung			Wiederschlag	Witterung			
	7 ³⁰	13 ³⁰	21 ³⁰	Mittel	Abweich. vom Normalst.	7 ³⁰	13 ³⁰	21 ³⁰	7 ³⁰	13 ³⁰	21 ³⁰	7 ³⁰	13 ³⁰	21 ³⁰	7 ³⁰	13 ³⁰	21 ³⁰					
1	8.6	14.2	9.2	10.7	1.4	737.1	735.3	738.3	97	25	29	W	1	NNE	3	NNE	2	10	5	0		↘ a-n mU
2	7.2	14.6	6.4	9.4	0.2	740.7	740.5	740.5	51	53	81	SSW	1	S	2	NW	0	0	2	3		
3	4.4	14.8	7.2	8.8	-0.2	737.9	735.6	735.5	85	43	70	N	1	S	1	NNW	1	1	1	0		
4	5.6	13.8	7.0	8.8	-0.1	735.8	734.9	738.5	91	57	92	N	1	S	1	N	1	10	3	3		
5	4.8	11.6	9.4	8.6	-0.1	738.5	738.9	739.6	96	72	93	W	1	S	1	S	1	6	9	10	7.7	● tr p, n (5./6.)
6	3.8	9.2	6.4	8.1	-0.5	740.0	740.5	742.0	98	95	80	S	1	N	1	NNE	1	10*	10*	0	8.9	● n-15
7	3.6	14.8	6.6	8.3	-0.1	740.4	737.8	738.6	93	46	91	N	1	SSE	1	N	1	0	0	0		
8	4.4	11.2	8.2	7.9	-0.4	737.6	736.4	736.1	92	65	89	N	1	SSW	1	N	1	6	8	5		
9	5.1	12.3	8.0	8.5	0.4	734.4	733.3	734.0	96	52	86	N	1	NNW	1	NNW	1	9	9	10	1.8	● n (9./10.)
10	7.4	10.2	7.8	8.5	0.5	733.1	731.7	731.8	97	85	97	W	0	S	0	S	0	10	10	10	15.0	● n-n mU
11	8.0	8.4	6.8	7.7	-0.1	732.1	731.2	731.1	98	95	98	NNE	1	W	1	NNE	1	10	10*	10*	24.0	● n-n
12	7.8	10.4	8.8	9.0	1.3	729.1	727.5	725.5	97	78	99	ESE	1	S	1	W	1	10	10	10*	14.5	● n-n mU
13	8.8	12.2	9.2	10.1	2.6	724.0	724.3	728.6	92	81	98	NNE	1	SSE	1	NNW	1	9	10*	10*	7.1	● 13% n mU
14	9.0	12.4	7.8	9.7	2.3	733.6	734.1	736.2	95	71	78	N	1	ESE	1	N	1	5	3	0		
15	4.2	11.8	6.4	7.5	0.3	738.7	738.9	740.1	92	59	84	N	1	S	1	N	1	1	1	0		
16	4.2	13.6	9.4	9.1	2.0	741.3	741.2	741.3	85	42	81	N	1	SSW	1	SW	0	1	2	10	0.0	● tr n (16./17.)
17	7.4	10.2	7.8	8.5	1.5	743.7	744.2	744.7	88	79	95	SSE	1	WNW	1	S	0	10	9	10	1.1	● 7¼-7½, ● a mU
18	6.8	11.4	6.4	8.2	1.4	745.9	745.1	746.5	95	66	89	S	1	E	1	N	1	9	8	0		
19	4.0	11.6	5.4	7.0	0.3	747.1	746.9	747.4	87	53	79	N	1	S	1	NNW	1	0	0	0		
20	3.4	11.2	6.2	6.9	0.4	751.2	751.0	751.4	92	53	88	NNE	1	S	1	N	1	4	8	5		
21	4.4	13.2	8.8	8.8	2.4	750.7	748.6	748.3	86	39	97	N	1	W	1	W	0	9	5	10*	4.6	● p-n
22	7.8	9.4	8.2	8.5	2.3	748.5	748.3	746.6	95	91	98	N	1	S	1	W	0	10	10	10	2.1	● a-p mU
23	8.2	10.4	9.8	9.5	3.4	746.2	745.7	745.6	96	83	96	N	1	S	0	SE	0	10	10	10	0.3	● ≡ n (23./24.)
24	9.2	11.8	9.8	10.3	4.3	745.2	744.3	743.8	97	78	97	W	1	SE	1	S	0	10	9	10	0.3	● n (24./25.)
25	9.4	11.2	9.6	10.1	4.3	741.7	740.9	738.9	94	92	91	N	1	W	0	N	1	10	10	9	1.8	● a mU
26	6.8	12.2	7.2	8.7	3.0	737.0	736.0	737.1	95	73	93	N	1	S	1	N	1	3	1	0		
27	4.8	14.0	9.2	9.3	3.8	739.2	740.3	742.3	95	48	96	N	1	S	1	S	0	0	0	10		
28	9.0	10.2	6.4	8.5	3.1	742.5	742.4	743.2	88	64	79	S	0	S	1	N	1	10	9	0		
29	5.8	10.2	8.4	8.1	2.9	740.6	739.5	740.1	84	65	85	NNE	1	NNE	1	N	1	10	2	10		
30	7.2	12.2	5.2	8.2	3.1	738.3	738.9	739.9	85	43	79	N	1	S	1	N	1	9	1	0		
Mittel	6.5	11.8	7.8	8.7	-	739.7	739.1	739.8	91	65	87							6.7	6.0	5.5	Summe	89.2

λ = 7° 35', β = 47° 33',
H_b = 317.3 m, C = 0.08 mm

Basel

November 1958
Beobachter: Astronom.-Meteorol. Anstalt

1	3.4	10.0	4.8	6.1	0.3	739.0	739.2	741.7	97	71	90	S	1	NW	1	W	1	10	9	10	0.0	● 18-18%
2	2.6	8.1	4.9	5.2	-0.4	740.8	738.2	735.0	97	64	93	E	1	ESE	1	E	1	10	9	10*	7.2	● 19%-n
3	7.3	10.6	9.5	9.1	3.6	731.2	731.9	731.8	94	90	98	S	1	WSW	1	ESE	1	10*	10	10	10.1	● n-9% mU, 11%-13, 16%-19 mU
4	9.0	9.1	7.2	8.4	3.0	732.4	733.5	734.6	96	90	92	W	1	W	1	WSW	0	10*	10	6	1.3	● 0-15 mU
5	3.7	10.8	6.5	7.0	1.8	734.1	733.9	734.8	100	77	89	SE	1	SE	0	ESE	1	10*	10	9	2.1	● tr 19%, ≡ n-8%
6	5.2	9.5	4.1	6.3	1.2	735.8	736.7	737.9	99	82	97	E	1	ESE	1	SE	1	8	10	0	0.0	● 0-4 mU, ≡ a
7	4.9	8.6	2.6	5.4	0.4	737.7	736.4	735.7	96	70	97	ESE	0	ESE	1	ESE	0	10*	10	0		≡ 6-a, Δ 1
8	3.8	10.0	7.4	7.1	2.2	733.3	731.6	731.4	94	77	95	ESE	1	ESE	1	ESE	1	8	10	10	2.5	● 14-16%, 18%-19, 21%-24
9	6.9	7.8	6.8	7.2	2.5	731.4	732.1	733.5	99	89	96	WNW	1	NNW	1	NNW	1	10*	10	10*	0.0	● 0%, ● 1-1%, ≡ n-n mU
10	6.0	6.1	3.8	5.3	0.7	731.5	730.8	729.9	82	81	94	W	0	W	1	W	0	10	10	10*	8.8	● 7%-7½, 17%-n
11	2.7	5.0	4.8	4.2	-0.3	729.8	729.0	731.1	98	87	97	SSW	0	SW	0	WNW	1	10*	10	10	1.4	● n-5, 7%-7½
12	4.2	3.6	2.9	3.6	-0.7	731.2	730.4	729.6	98	95	95	NW	1	NNW	1	NNW	1	10	10	10*	9.9	● 3-5½, 16%-n, ● 8½
13	2.0	2.5	2.1	2.2	-2.0	727.6	727.4	728.3	98	89	92	W	0	WSW	1	WNW	0	10	10	10	0.5	● 0-1%, 3%-6%, 9%-10%, 14%-17½ mU
14	2.6	3.9	3.4	3.3	-0.8	731.0	732.6	735.3	95	85	95	W	0	SW	1	SW	0	10	10	10	0.0	
15	3.7	6.1	5.0	4.9	0.9	737.3	738.2	739.4	95	84	93	SW	0	W	0	SSW	0	10	10	10		
16	4.2	5.5	5.4	5.0	1.2	740.0	740.2	740.6	98	96	96	WNW	1	NW	0	SSW	0	10*	10	10		≡ n-8%
17	7.0	4.5	3.8	5.1	1.4	739.9	739.7	740.1	86	93	94	ENE	1	W	1	S	0	10	10	10		≡ 20-n mU
18	2.9	8.3	0.5	3.9	0.3	740.7	740.4	741.2	98	70	98	SSW	0	ESE	1	NW	0	10*	5	0		≡ n-8 mU
19	0.4	8.6	1.3	3.4	-0.1	742.7	743.7	745.6	97	70	95	SSE	1	SE	1	E	1	0	0	0		
20	2.4	2.9	2.5	2.6	-0.7	746.6	747.6	747.4	95	86	87	W	1	E	1	E	1	10*	10	10		≡ n-a, Δ 1
21	3.2	5.2	5.3	4.6	1.4	746.1	744.8	740.8	88	79	82	NNE	1	E	1	ENE	1	10	10	10		
22	4.8	6.0	5.0	5.3	2.2	740.4	742.2	741.7	81	80	86	E	2	ENE	1	ENE	1	10	10	10		
23	3.8	4.8	4.3	4.3	1.4	740.5	740.4	740.5	89	84	90	ENE	1	ENE	1	ESE	1	10	10	9		
24	2.0	6.8	4.1	4.3	1.5	739.8	739.5	739.4	100	87	96	SSE	1	SW	1	ENE	0	10	7	10	0.1	
25	3.6	3.8	3.3	3.6	0.9	737.9	736.8	736.1	97	97	94	ESE	0	NW	1	ESE	1	10	10	10	0.1	● 2%-4%, 8%-9, 15%-19% mU
26	2.4	2.8	2.4	2.5	-0.1	735.3	735.4	736.9	92	90	92	NNE	1	ENE	1	ESE	0	10	10	10		
27	2.1	2.5	1.6	2.1	-0.3	737.9	738.5	739.1	87	81	85	E	1	ENE	1	ENE	1	10	10	10		
28	1.4	2.6	1.8	1.9	-0.4	738.7	738.8	738.8	85	83	85	ENE	1	ENE	1	ENE	1	10	10	10		
29	1.2	2.0	1.2	1.5	-0.7	738.1	736.6	735.3	90	84	90	E	1	NE	1	E	1	10	10	10		
30	0.7	2.8	2.1	1.9	-0.2	735.2	734.9	736.0	95	84	95	S	1	SSE	1	NNW	1	10	10	10		
Mittel	3.7	6.0	4.0	4.6	-	736.8	736.7	737.0	94	83	93							9.5	9.3	8.4	Summe	44.0

November 1958
Beobachter: Observatorium

Säntis

$\lambda = 9^\circ 21'$, $\beta = 47^\circ 15'$,
 $H_b = 2500.1$ m, $G = -0.29$ mm

Table with columns: Tag, Lufttemperatur (7:30, 13:30, 21:30, Mittel, Abweich. vom Normalst), Luftdruck (7:30, 13:30, 21:30), Relative Feuchtigkeit (7:30, 13:30, 21:30), Windrichtung und Stärke (7:30, 13:30, 21:30), Bewölkung (7:30, 13:30, 21:30), Niederschlag, Witterung. Rows 1-30 and Mittel.

*) 2. \oplus 13%-14 9. \equiv 10%-n 11. \equiv n-8%, 16%-n, \vee n-11, 16%-n 12. 11-17%, 20%-n, \ddagger \swarrow 11-n mU 16. \oplus 9%-14%

November 1958
Beobachter: E. Chiesa

St. Gotthard (Hospiz)

$\lambda = 8^\circ 34'$, $\beta = 46^\circ 33'$,
 $H_b = 2095$ m, $G = -0.27$ mm

Table with columns: Tag, Lufttemperatur (7:30, 13:30, 21:30, Mittel, Abweich. vom Normalst), Luftdruck (7:30, 13:30, 21:30), Relative Feuchtigkeit (7:30, 13:30, 21:30), Windrichtung und Stärke (7:30, 13:30, 21:30), Bewölkung (7:30, 13:30, 21:30), Niederschlag, Witterung. Rows 1-30 and Mittel.

λ = 7° 26', β = 46° 57',
H_b = 572.2 m, G = -0.04 mm

Bern

Dezember 1958
Beobachter: Meteorologisches Observatorium

Tag	Lufttemperatur					Luftdruck			Relative Feuchtigkeit			Windrichtung und Stärke			Bewölkung			Witterung				
	7 ³⁰	13 ³⁰	21 ³⁰	Mittel	Abweich. vom Normalst	7 ³⁰	13 ³⁰	21 ³⁰	7 ³⁰	13 ³⁰	21 ³⁰	7 ³⁰	13 ³⁰	21 ³⁰	7 ³⁰	13 ³⁰	21 ³⁰		Wiederschlag			
1	1.3	2.4	1.1	1.6	0.7	714.0	714.8	716.3	92	92	81	E	1	N	1	NNE	2	10	10	9	.	.
2	-1.6	-1.4	-1.8	-1.6	-2.3	716.2	715.1	715.1	88	80	75	NE	2	NE	2	N	2	9	8	9	.	.
3	-4.3	-1.4	-3.7	-3.1	-3.7	714.7	713.9	714.2	90	75	87	NNE	2	NNE	2	NE	1	2	1	0	.	LI
4	-4.6	-3.3	-3.7	-3.9	-4.4	715.7	715.2	715.0	82	78	83	N	1	N	0	N	0	10	10	10	.	.
5	-4.4	-3.2	-4.7	-4.1	-4.4	713.1	711.7	711.6	87	87	93	SW	1	NNE	1	N	0	10	4	10	.	.
6	-6.1	-2.1	-4.7	-4.3	-4.5	710.1	708.9	707.8	94	87	93	SE	1	N	1	NNE	1	10	1	0	.	LI III
7	-7.4	-3.7	-4.5	-5.2	-5.3	708.6	708.9	710.1	91	87	93	S	0	SW	0	SSW	0	10	10	10	.	LI
8	-5.4	-3.3	-1.6	-3.4	-3.4	710.7	710.7	710.6	92	85	88	E	1	N	0	SE	1	10	3	9	.	.
9	0.6	5.1	2.7	2.8	2.9	709.6	709.9	710.9	90	70	86	W	1	SW	2	WSW	1	10	10	10	.	.
10	4.4	6.7	4.8	5.9	5.5	706.9	706.8	707.0	72	65	69	SW	2	SW	2	SW	1	9	10	1	0.6	● 15%-21% mU ● 2½-7%, 13½-13%
11	5.1	4.1	3.1	4.1	4.4	698.8	698.3	696.8	70	95	89	SW	2	WSW	1	SW	2	10	9	10	13.0	● 7½-17½ mU, 19%-n
12	3.3	4.2	4.1	3.9	4.3	702.3	702.7	699.9	87	81	89	WSW	2	SW	1	SSW	1	9	10	10	8.2	● n-3½, 4-7%, 11-13, *)
13	7.3	6.7	3.9	6.0	6.5	694.5	689.4	692.4	88	95	83	SW	1	E	0	W	0	10	1	10	12.4	● n-17% mU
14	1.1	5.0	3.6	3.2	3.8	691.5	693.4	695.3	93	83	70	SE	1	WSW	2	W	3	9	3	9	0.5	● 9%-12%, p-n
15	0.4	3.5	1.5	1.8	2.5	693.6	692.4	692.5	86	73	86	SE	1	W	1	SE	1	9	10	10	0.6	.
16	1.8	5.2	5.3	4.1	4.9	693.6	690.8	691.6	91	75	89	E	0	E	0	SW	3	9	9	10	5.0	● 5-6%, 15-n, p-n
17	6.2	7.7	5.5	6.5	7.3	695.3	695.9	699.5	57	63	84	SW	1	SW	1	W	0	1	9	10	0.1	● n-1%, 19-21%
18	1.3	6.0	1.3	2.9	3.8	702.6	703.2	702.8	92	66	84	SW	0	E	0	E	0	2	4	2	.	W III
19	1.6	6.6	4.4	4.2	5.2	701.6	700.3	698.9	76	60	77	SE	1	W	0	W	1	9	9	10	0.0	.
20	4.4	8.3	5.1	5.9	6.9	697.9	698.8	696.8	82	71	86	W	1	ENE	1	W	1	9	8	8	.	Δ I
21	4.4	4.5	3.7	4.2	5.3	701.4	701.5	702.1	84	88	91	SE	0	E	1	W	0	5	9	10	0.2	.
22	3.0	5.2	3.4	3.9	5.0	704.0	704.0	703.6	96	89	100	SE	1	N	1	NNE	1	1	6	10	.	● 5%-6%, ≡ 8-10%, 15-24
23	3.6	4.1	2.4	3.4	4.6	703.1	703.7	706.1	94	90	96	W	1	NE	0	NNE	1	10	9	10	.	.
24	2.5	1.5	0.7	1.6	2.8	705.7	706.1	707.6	88	93	95	NNE	1	NE	0	NE	0	10	10*	10*	16.9	● 7%-8%, * 8%-n
25	0.8	2.4	1.2	1.5	2.8	708.3	709.3	711.8	95	94	92	E	0	E	0	NE	0	10*	9	5	0.6	* n-10%, ≡ 17%-18%
26	1.6	2.8	1.9	2.1	3.4	713.6	714.2	714.6	95	89	94	N	0	N	0	E	1	10	10	10	.	W 3%
27	-1.1	1.1	2.0	0.7	2.1	713.8	712.6	711.7	85	87	95	ESE	1	WSW	0	SE	1	9	10*	10	2.7	* 12%-14%, ● 14%-18%
28	7.7	7.5	6.9	7.4	8.8	713.0	715.4	716.9	88	95	95	W	1	W	1	SE	1	10	10	10	7.4	● 0%-3%, 7%-21%
29	7.1	8.5	4.0	6.5	8.0	718.5	718.8	718.4	80	85	98	W	1	W	0	SE	0	9	9	10	0.1	● 18%-n
30	1.3	3.1	1.5	2.0	3.5	717.9	717.6	716.9	100	100	99	SE	1	ESE	1	ESE	0	10	10	10	0.1	● 21%-24%, ≡ n-n
31	-1.8	-0.6	-1.4	-1.3	0.2	714.7	713.5	714.4	98	98	100	SE	1	SE	1	SE	1	10	10	10	0.2	● 8%-9%, ≡ n-23%
Mittel	1.1	3.0	1.6	1.9	-	706.6	706.4	706.7	87	83	88	8.4	7.7	8.2	68.6	Summe

*) 12. 17%-19%, 21%-n, * 3½-4

λ = 6° 57', β = 47° 00',
H_b = 487.3 m, G = 0.00 mm

Neuchâtel

Dezember 1958
Beobachter: Observatorium

Tag	Lufttemperatur					Luftdruck			Relative Feuchtigkeit			Windrichtung und Stärke			Bewölkung			Witterung				
	7 ³⁰	13 ³⁰	21 ³⁰	Mittel	Abweich. vom Normalst	7 ³⁰	13 ³⁰	21 ³⁰	7 ³⁰	13 ³⁰	21 ³⁰	7 ³⁰	13 ³⁰	21 ³⁰	7 ³⁰	13 ³⁰	21 ³⁰		Wiederschlag			
1	-2.4	3.1	2.1	2.5	0.6	721.8	722.7	724.2	93	83	70	NNE	1	NE	2	NE	2	10	10	2	.	✓ 20%-22 mU
2	-0.9	-0.2	-0.9	-0.7	-2.5	724.3	723.2	723.3	78	73	66	NE	2	NE	3	NE	2	7	10	10	.	✓ n-n mU
3	-3.5	-0.0	-2.0	-1.8	-3.5	722.8	722.1	722.2	78	66	66	NE	2	NE	2	NE	2	3	0	0	.	.
4	-3.7	-2.4	-3.3	-3.1	-4.7	723.9	723.4	723.2	80	67	80	NNE	1	NE	1	NE	1	10	10	10	.	.
5	-3.6	-2.2	-5.6	-3.8	-5.3	720.8	719.7	719.7	84	82	90	NNE	1	NE	1	NE	1	10	10	0	.	.
6	-5.4	-1.2	-0.7	-2.4	-3.8	718.0	716.5	715.4	97	82	69	NNE	1	NE	2	ENE	2	10	3	0	.	.
7	-2.9	-1.1	-3.2	-2.4	-3.7	716.2	716.6	717.9	87	75	84	NE	2	E	1	E	0	2	10	10	.	.
8	-3.7	-2.0	-1.6	-2.4	-3.6	718.7	718.6	718.7	83	84	88	N	1	N	1	NE	1	10	10	10	.	.
9	2.8	5.6	4.2	4.2	3.1	717.3	717.7	718.7	81	59	73	W	2	W	2	W	2	10	10	10	0.3	● 17%-19, ✓ 4%-n mU
10	4.2	5.1	5.4	4.9	3.9	714.9	714.4	714.5	76	90	67	SW	3	SW	2	WSW	2	10	10*	7	3.7	● 13%, ✓ n-n mU
11	4.5	5.6	3.3	4.5	3.6	706.1	705.2	704.2	95	91	97	SW	3	SW	2	SW	3	10*	9	10*	14.2	● 5½-10, 14%-n, ✓ n-n, ✓ 5½-9 mU
12	2.8	4.6	5.6	4.3	3.5	710.1	710.2	706.7	98	78	88	SW	2	SW	3	SW	3	10*	10*	10*	11.9	✓ n-n
13	7.1	6.6	5.5	6.4	5.6	701.3	696.5	699.4	97	98	75	SW	2	SSW	1	WSW	2	10*	10*	0	10.1	● n-17%, ✓ n-n mU
14	2.5	7.1	5.0	4.9	4.2	698.1	701.9	702.7	91	50	72	NW	1	WSW	2	SW	3	10	5	10	0.4	● 9-n, ✓ n-n mU
15	3.1	3.7	5.1	4.0	3.4	700.4	699.2	699.5	81	81	94	WNW	1	W	2	SW	2	10	10*	10*	3.4	● 15%-n mU
16	5.4	7.8	5.4	6.2	5.7	700.5	697.3	697.9	84	67	94	SW	3	W	1	W	1	10	9	10*	7.1	● n-4½ mU, 17-21%
17	7.8	9.2	6.1	7.7	7.3	702.4	703.2	706.8	53	54	81	SW	2	SW	1	WSW	2	10	8	8	.	● 1
18	3.7	7.6	2.5	4.6	4.2	709.9	710.7	710.3	93	69	89	W	0	SE	1	N	1	7	5	0	0.2	.
19	1.8	5.1	5.0	4.0	3.7	709.3	707.6	706.0	96	84	82	N	1	NNE	1	SW	0	10	10	10	.	● 5%-6
20	4.6	7.7	5.9	6.1	5.9	705.3	705.8	703.9	95	74	91	S	1	NE	2	S	1	10	8	10	0.2	.
21	5.5	5.8	4.7	5.3	5.1	708.5	709.2	709.8	88	91	92	W	2	E	1	ENE	1	2	10	10	.	● 1%
22	3.5	3.7	4.1	3.8	3.7	711.6	712.0	711.4	98	98	95	NE	1	NE	1	NE	1	10	10	10	.	≡ a-p
23	3.6	5.4	3.2	4.1	4.1	710.7	711.4	713.9	91	81	91	NE	1	ENE	1	NNE	1	10	9	10	.	.
24	2.8	2.2	1.2	2.1	2.1	713.5	713.9	715.6	91	94	98	NE	0	E	0	W	1	10	10*	10*	10.7	● * 11-n
25	1.9	3.5	2.3	2.6	2.7	716.2	717.0	719.9	96	91	89	W	0	ESE	1	NNE	1	10*	10	9	0.2	● * n-3, ● 7½-9
26	2.4	3.3	2.4	2.7	2.9	721.4	722.2	722.8	89	85	91	NE	1	NE	1	NE	1	10	10	10	.	.
27	1.1	2.0	5.1	2.7	2.9	721.6	720.4	719.6	80	89	97	WSW	1	SW	2	SW	3	10	10*	10	3.1	● * 12%-18
28	7.5	7.1	7.9	7.5	7.8	720.5	723.2	724.3	89	98	94	SW	1	SW	2	W	2	10*	10*	10	9.1	● 1%-19%
29	7.0	9.0	3.8	6.6	6.9	726.2	726.6	726.0	77	74	93	SW	1	SW	1	NW	0	10	10	1	.	.
30	2.6	4.1	2.7	3.1	3.5	725.5	725.5	724.8	100	100	98	W	1	SE	1	SW	0	10	10	10	.	≡ n p
31	0.7	7.0	6.8	4.8	5.2	722.4	721.0	722.0	94	63	66	S	0	SW	2	WSW	2	1	1	4	0.1	.
Mittel	2.2	4.0	2.8	3.0	-	714.2	714.0	714.4	88	80	84	8.5	8			

λ = 8° 34', β = 47° 23',
H₀ = 569.4 m, G = -0.01 mm

Zürich

Dezember 1958
Beobachter: Meteorologische Zentralanstalt

Tag	Lufttemperatur					Luftdruck			Relative Feuchtigkeit			Windrichtung und Stärke			Bewölkung			Niederschlag	Witterung				
	7 ³⁰	13 ³⁰	21 ³⁰	Mittel	Abweich. vom Normalst	7 ³⁰	13 ³⁰	21 ³⁰	7 ³⁰	13 ³⁰	21 ³⁰	7 ³⁰	13 ³⁰	21 ³⁰	7 ³⁰	13 ³⁰	21 ³⁰						
1	1.3	1.5	0.7	1.2	0.6	714.3	715.7	717.6	95	80	81	NE	1	N	1	NE	2	10	10	6	.	≡ 6½-7½, Δ I, III	
2	-2.3	-1.7	-2.4	-2.1	-2.6	716.8	716.4	716.1	81	70	72	ENE	2	ENE	1	NNE	1	6	10	9	.	⊂ I	
3	-4.5	-1.2	-4.6	-3.4	-3.8	715.9	714.9	715.3	82	58	74	NNE	1	NE	2	NE	1	10	1	0	0.0	⊂ I	
4	-5.6	-4.9	-5.1	-5.2	-5.5	716.2	715.7	715.4	83	80	81	NNE	1	NNE	1	NE	1	10	10	10	0.0	* fl p m U, ⊂ I, II, III	
5	-4.4	-4.1	-5.7	-4.7	-4.9	713.2	712.2	712.3	84	81	91	SSW	1	NE	1	E	1	10	10	9	.	⊂ III	
6	-5.2	-2.3	-5.0	-4.2	-4.3	710.6	709.6	708.8	97	84	90	NE	1	E	1	NE	1	10=	9	0	0.2	≡ √ 6-8%, ⊂ III	
7	-5.7	-0.2	-2.0	-2.6	-2.7	708.8	708.8	710.1	94	61	87	NNE	1	ENE	1	E	1	2	2	10	.	√ I, ⊂ II, III	
8	-4.3	0.9	-1.8	-1.7	-1.7	710.5	710.5	710.5	88	62	86	WSW	1	SSE	1	SSW	1	10	1	10	.	⊂ I, II, III	
9	1.0	5.3	2.1	2.8	2.9	708.9	708.5	710.6	77	57	86	WSW	1	WSW	3	WSW	1	10	10	9	1.5	≡ 15%-18%, ⊂ I, ♯ 9%-18%	
10	4.9	5.6	6.1	5.5	5.7	705.4	705.4	706.3	60	66	52	WSW	3	SW	3	SW	2	10	10	7	0.3	≡ 15-15%, ♯ 3-24	
11	5.1	2.6	3.0	3.6	3.9	697.8	697.7	695.7	54	97	84	SW	3	S	2	SSW	2	10	10	10	13.1	● 9%-11%, 13%-15%, 18-20%, *)	
12	3.5	3.5	3.1	3.4	3.8	701.3	701.8	698.5	73	88	93	SW	2	SW	2	S	1	10	10	10	12.8	● n 3%, 8%-9%, 11%-14%, *)	
13	6.3	6.6	6.2	6.4	6.8	693.7	689.9	691.6	91	91	58	SW	2	NW	1	WSW	2	10	10	0	9.6	● n-13%, 15%-17%, ♯ 15%-21%	
14	4.3	3.9	3.4	3.9	4.4	690.3	692.6	694.6	70	87	71	S	1	SW	1	SSW	1	9	10	9	2.2	● 11-14, ♯ 10%-12%, 22%-24%	
15	1.1	4.4	1.6	2.4	3.0	693.3	690.8	692.8	76	59	75	WSW	1	WNW	1	NE	1	9	9	3	0.1	⊂ I	
16	4.0	9.7	6.1	6.6	7.3	692.9	690.2	689.9	74	45	72	SSE	1	NNE	1	SSW	1	9	7	10	0.6	● 22%-23%, ♯ 6. 21%-23%	
17	8.5	9.1	6.0	7.9	8.6	694.6	695.8	700.4	45	57	69	SW	2	SSW	1	SW	1	1	9	10	0.2	● 23%, ♯ 1%-11% m U	
18	1.8	9.5	2.2	4.5	5.3	702.4	703.0	702.7	92	54	69	SSE	1	S	1	ESE	1	2	2	1	0.0	⊂ I, III	
19	3.8	8.0	8.8	6.9	7.8	701.9	700.0	698.3	62	58	49	NE	1	S	1	NE	1	9	9	10	.	⊂ I	
20	7.4	10.2	9.5	9.0	9.9	697.1	699.0	696.0	60	67	60	NW	1	NE	1	NW	1	9	7	7	.	♯ 22%-22%	
21	6.1	6.3	4.9	5.8	6.8	701.6	702.3	701.9	74	80	89	SSW	1	NE	1	W	1	5	10	10	3.2	♯ 3½-5% m U	
22	4.0	9.9	4.1	6.0	7.1	704.4	704.4	704.0	94	68	93	SW	1	ENE	1	NNE	2	10	2	10	0.1	● 2½-6%, ≡ 6-6%, 9%-11 m U	
23	1.9	2.9	2.9	2.6	3.7	702.7	703.9	706.4	92	87	87	NNE	1	NE	1	W	1	10	10	10	1.8	Δ I, II, III	
24	1.2	0.5	0.1	0.6	1.8	705.8	705.9	707.3	95	94	98	N	1	SW	1	SW	1	10*	10*	10*	24.7	* 6½-7½, * 7½-n, ≡ a-n	
25	0.3	1.4	0.9	0.9	2.1	708.2	709.5	712.5	97	90	95	W	0	SW	1	NW	1	10*	10*	10	4.8	* n-11, ≡ a m U	
26	0.5	1.6	0.8	1.0	2.3	713.8	714.4	714.2	97	92	91	SSE	1	NW	1	SSE	1	10	10	10	0.0	≡ n-a	
27	-0.2	1.9	5.5	2.4	3.7	712.8	711.6	709.9	79	71	84	SSW	1	SSW	1	SSW	3	9	10*	10*	8.7	* fl 12%-13%, ● 13%-20%, *)	
28	7.1	8.6	6.3	7.3	8.7	712.2	714.8	716.0	76	77	95	SW	2	WSW	2	S	1	9	10	10*	8.0	● 0%-2%, 14%-23%, *)	
29	7.5	7.4	5.7	6.9	8.3	717.9	718.7	718.1	73	77	95	SW	1	SW	2	NNE	1	10	10	9	0.0		
30	5.6	8.0	2.6	5.4	6.9	717.3	717.7	716.5	81	68	94	SSW	2	WNW	1	NE	1	9	9	0	0.1	Δ III	
31	-1.0	6.3	5.1	3.5	5.0	714.2	713.0	714.4	97	55	72	NW	1	WSW	2	S	1	10=	5	0	0.1	≡ 1½-12, ♯ 23-n, Δ I, II, III	
Mittel	1.7	3.9	2.3	2.6	—	706.3	706.3	706.6	80	73	80							8.6	8.1	7.4	Summe	92.1	

*) 11. 22-n, ♯ 7-12, 14½-15½, 22-n 12. 20%-21%, 23-n, ♯ n-p m U 27. ♯ 14%, 19-n 28. ♯ n-4½, ≡ p-n m U

λ = 6° 32', β = 46° 51',
H₀ = 1601 m, G = -0.16 mm

Chasseron

Dezember 1958
Beobachter: J. Liardon

1	-1.8	-2.2	-6.0	-3.3	—	628.8	629.5	630.0	100	100	100	C	0	C	0	E	4	10=	8	8	.	≡ n-n m U, √ I, III, ♯ p-n
2	-7.4	-7.8	-9.8	-8.3	—	629.2	628.5	627.4	100	100	100	E	4	E	3	E	4	10=	2	10=	.	≡ √ n-a, 17-n, ♯ n-n m U
3	-9.4	-6.0	-8.6	-8.0	—	627.5	627.3	627.4	85	46	52	E	4	E	4	E	4	1	1	0	.	♯ n-n
4	-4.2	-1.6	-3.0	-2.9	—	628.6	628.6	628.6	55	50	49	S	2	W	2	SW	1	0	0	0	.	
5	-1.6	0.2	-0.6	-0.7	—	626.5	626.1	625.8	19	26	18	NE	2	E	2	E	2	1	0	0	.	
6	-7.6	-6.0	-6.4	-6.7	—	623.8	622.9	622.1	90	78	55	E	2	E	3	E	4	1	2	2	.	⊂ I, ♯ p-n
7	-4.8	1.6	-0.2	-1.1	—	622.3	623.7	624.6	44	20	34	E	3	W	2	W	2	0	1	0	.	
8	-1.5	1.4	-2.0	-0.7	—	626.4	625.9	626.4	38	50	87	W	2	W	3	WNW	2	2	4	8	2.0	* n (8/8)
9	-4.6	-4.2	-3.8	-4.2	—	624.7	625.2	626.0	100	100	100	WNW	4	W	4	W	4	10=	10=	10*	8.9	* a m U, 14%-n, ♯ n-n
10	-2.8	-3.0	-3.0	-2.9	—	622.8	622.6	623.5	100	100	100	W	4	W	5	SW	3	10*	10*	7=	11.8	* n-15, ≡ n-n, ♯ n-n m U, ♯ II
11	-1.8	-3.0	-3.6	-2.8	—	615.5	614.5	611.1	100	100	100	SSW	5	W	4	WNW	6	10*	10*	10*	23.6	* n-11, 17%-n, ≡ ♯ n-n m U
12	-3.4	-2.4	-1.0	-2.3	—	618.5	618.9	617.1	100	100	100	W	4	W	4	SW	4	10*	10*	10*	18.5	* ≡ n-n
13	0.6	1.4	-2.8	-0.3	—	611.7	607.7	610.5	100	100	100	W	5	S	5	SW	4	10*	10*	3	8.4	* n-a m U, ≡ n-19, ♯ n-n m U
14	-3.0	-4.8	-3.8	-3.9	—	608.6	610.5	612.0	100	100	100	WSW	3	W	3	WSW	4	7*	8*	6*	4.2	♯ 7½ a m U, ≡ n-n m U, ♯ p-n
15	-2.5	-3.2	-1.4	-2.4	—	610.2	609.0	609.7	100	100	100	S	3	S	4	S	4	8	10*	10*	4.1	* 11½-n, ≡ 12-n, ♯ a-n
16	-2.0	-1.6	-1.6	-1.7	—	611.0	608.4	608.1	100	88	100	S	3	S	4	W	5	10*	7	10*	3.8	♯ n-n m U, [20%-20%, *)
17	-0.8	-0.4	-2.0	-1.1	—	613.8	614.1	616.6	78	72	100	WSW	3	WSW	3	W	2	5	8	10*	0.8	♯ 20-n m U, ≡ 19%-n
18	-3.5	0.6	-1.2	-1.4	—	619.2	620.3	619.3	90	76	72	S	3	S	2	SSE	3	5	4	3	.	⊂ III
19	-0.6	2.6	3.3	1.8	—	618.8	617.9	617.0	74	72	72	SSE	3	SSE	3	SSE	3	8	8	10	1.4	♯ n (19/20)
20	3.0	4.2	1.0	2.7	—	616.8	616.6	615.0	100	74	84	SSE	3	SE	2	ESE	2	10	5	10	0.8	♯ 8%-9, ● tr 17
21	-1.0	0.0	0.0	-0.3	—	618.9	618.9	619.5	100	100	82	SSE	2	S	2	SW	1	6	8	8	0.0	♯ 12
22	1.4	0.2	0.0	0.5	—	621.1	621.2	620.6	100	85	72	SSE	2	ESE	2	E	2	5	3	8	.	⊂ I
23	3.6	4.8	-0.5	2.6	—	620.2	621.3	622.7	45	46	86	SE	2	NNE	2	N	2	8	5	7	.	⊂ III
24	-5.0	-4.6	-4.8	-4.8	—	621.3	621.4	623.0	100	100	100	N	2	N	2	NW	2	10=	10*	10*	22.2	* 11½-n, ≡ √ n-n
25	-5.0	-3.8	-4.4	-4.4	—	623.8	624.6	626.5	100	100	100	N	2	N	2	NNE	2	10=	10=	10	0.0	* fl 9%, ≡ n-20
26	-5.0	-3.8	-6.0	-4.9	—	628.3	628.6	629.6	100	100	100	C	0	C	0	SE	2	10=	10=	10=	.	≡ n-n, √ n-p
27	0.0	0.0	0.2	0.1	—	628.4	627.6	627.5	54	100	100	WSW	3	W	4	WNW	5	7	10*	10*	22.8	♯ 10-p m U, ♯ p-n, *)
28	1.4	2.0	1.6	1.7	—	629.2	631.8	632.9	100	100	100	NW	3	WNW	3	NW	4	10*	10*	10*	14.3	♯ n-n m U, ≡ n-n, ♯ p-n
29	-0.2	1.2	1.0	0.7	—	634.2	634.7	634.3	100	100	94	W	3	NW	3	WSW	2	10*	10*	3	3.4	♯ n-15, ≡ n-15%
30	-1.4	4.0	6.8	3.1	—	633.3	633.0	632.9	100	32	15	W	3	WSW	3	SSW	4	3	4	3	.	♯ p-n
31	5.8	5.0	1.0	3.9	—	630.4	629.6	630.0	16	28	76	W	5	W	4	W	5	4	3	4	2.4	● n (31/1), ♯ n-n
Mittel	-2.1	-0.9	-2.0	-1.7	—	622																

Dezember 1958

Beobachter: Stationspersonal Rh. B.

Bever

$\lambda = 9^\circ 53'$, $\beta = 46^\circ 33'$

$H_b = 1711.8$ m, $G = -0.26$ mm

Tag	Lufttemperatur					Luftdruck			Relative Feuchtigkeit			Windrichtung und Stärke			Bewölkung			Niederschlag	Witterung			
	7 ³⁰	13 ³⁰	21 ³⁰	Mittel	Abweich. von Normalst	7 ³⁰	13 ³⁰	21 ³⁰	7 ³⁰	13 ³⁰	21 ³⁰	7 ³⁰	13 ³⁰	21 ³⁰	7 ³⁰	13 ³⁰	21 ³⁰					
1	-12.8	+1.4	-8.2	-6.5	-0.1	619.7	619.5	621.1	97	49	80	SW	0	NW	1	SW	0	3	6	0		V I
2	-18.2	-5.7	-15.6	-13.2	-6.6	621.4	620.2	620.5	99	61	80	SW	0	SW	0	SW	0	0	1	0		
3	-20.6	-8.8	-18.5	-16.0	-9.6	620.1	619.2	620.6	94	68	78	SW	0	SW	0	SW	0	0	0	0		
4	-22.0	-9.0	-17.2	-16.1	-9.2	620.8	620.6	619.7	95	60	81	SW	0	SW	0	SW	0	0	0	0		
5	-19.8	-4.1	-14.4	-12.8	-5.8	617.4	616.2	617.3	92	42	90	SW	0	SW	0	SW	0	0	0	0		
6	-18.2	-4.6	-17.0	-13.3	-6.1	614.2	614.2	615.6	96	46	93	SW	0	SW	0	NE	0	0	0	0		
7	-20.6	-5.4	-14.4	-13.5	-6.2	615.3	615.2	617.1	95	56	93	SW	0	SW	0	NE	0	0	0	0		
8	-16.5	-1.6	-13.2	-10.4	-3.0	617.7	617.1	618.0	97	46	84	NE	0	NE	0	NW	0	0	0	0		
9	-15.2	-2.6	-3.0	-6.9	0.7	616.9	615.0	616.0	89	51	60	SW	0	SW	1	SW	1	4	10	8		
10	-6.8	+1.8	-7.2	-4.1	3.6	614.5	612.1	614.4	92	53	88	NE	0	SW	1	SW	0	10	10	10	1.6	* 15-20 mU
11	-11.8	-2.7	-4.0	-6.2	1.6	610.7	607.4	605.5	93	94	97	SW	0	SW	0	SW	0	10	10*	10	2.0	* fl 12-n mU
12	-4.4	-1.0	-5.8	-3.7	4.3	609.7	609.6	610.0	58	60	85	NE	2	NE	0	SW	0	10	10	10	0.1	* n (12./13.), tr n-a
13	-3.4	-0.4	-0.4	-1.4	6.7	606.7	603.3	602.8	93	51	96	NE	0	SW	0	SW	0	10	10	10	11.4	* fl a-p mU, 17-n mU
14	-1.2	-3.5	-16.0	-6.9	1.3	600.0	602.3	606.0	100	95	98	SW	0	SW	0	SW	0	10*	10	8	5.9	* n-15 mU
15	-17.8	-3.6	-6.2	-9.2	-0.9	605.4	604.0	604.8	91	71	95	SW	0	SW	0	W	0	5	6	10*	0.8	* 19-n
16	-6.0	-1.0	-2.4	-3.1	5.4	605.2	604.3	604.5	98	88	99	SE	0	SW	0	SW	0	8*	10	10*	7.4	* n-7½, 18-23 mU
17	-8.4	-4.0	-3.6	-5.3	3.3	606.2	606.8	608.4	96	95	100	NW	0	SE	0	S	0	8*	10*	10	8.4	* 7½, 12½-n mU
18	-9.4	-4.8	-11.0	-8.4	0.3	611.9	613.4	615.3	99	69	95	SW	0	SW	0	SW	0	8	2	0		
19	-5.5	-0.2	+0.2	-1.8	7.0	615.6	615.8	614.6	95	92	96	SW	0	SW	0	SW	0	10	10	10*	0.0	* 8-n mU
20	-1.0	+0.2	+0.6	-0.1	8.8	612.7	612.5	610.5	85	100	98	SW	0	SW	0	NW	0	10*	10*	10*	38.0	* n-n mU
21	-3.0	-1.0	-0.5	-1.5	7.5	612.4	612.2	611.1	100	98	99	SW	1	SW	0	NE	2	10	10	10*	13.8	* p-n mU
22	-1.4	-0.5	-6.2	-2.7	6.4	612.5	614.7	616.1	99	85	94	SW	0	SW	0	SW	0	10	5	7	3.0	* u (22./23.)
23	-3.7	-2.8	-4.0	-3.5	5.6	613.9	614.0	612.6	100	92	100	SW	0	SW	0	SW	0	10*	10	8	4.6	* n-n mU
24	-1.0	-1.8	-4.0	-2.3	6.9	610.4	610.2	611.6	98	92	93	SW	0	NE	0	SW	0	10	10*	10	1.4	* n-n mU
25	-6.0	-1.9	-8.8	-5.6	3.7	613.6	614.3	617.1	92	65	90	SW	0	SW	0	SE	0	10	10	9		
26	-11.9	-6.0	-17.0	-11.6	-2.3	618.8	618.2	618.1	95	69	90	S	0	SW	0	SW	0	7	0	0		
27	-20.0	-7.0	-2.5	-9.8	-0.4	621.2	619.6	617.9	90	92	90	SW	0	SW	0	W	1	2	10	10*	1.7	* 20-n
28	0.2	+3.0	-0.8	0.8	10.2	617.0	620.0	621.7	88	39	96	NE	1	SW	0	NE	2	10*	10	10*	0.0	* n-8, fl 21½, p-n mU
29	-0.8	+2.2	-6.6	-1.7	7.8	623.0	625.3	625.3	95	82	98	W	0	SW	0	SW	0	10	2	2		
30	-12.1	-2.0	-14.0	-9.4	0.1	624.5	624.1	626.8	94	62	98	SW	0	SW	0	SW	0	0	0	0		
31	-15.8	-1.3	-13.0	-10.0	-0.4	624.1	623.5	623.1	92	50	94	SW	0	SW	0	SW	0	0	0	0		
Mittel	-10.2	-2.5	-8.2	-7.0	—	614.7	614.3	615.0	93	70	91							6.0	5.9	5.5	100.1	Summe

Dezember 1958

Beobachter: Couvent des Capucins

Sion

$\lambda = 7^\circ 22'$, $\beta = 46^\circ 14'$

$H_b = 548.6$ m, $G = -0.14$ mm

Tag	Lufttemperatur					Luftdruck			Relative Feuchtigkeit			Windrichtung und Stärke			Bewölkung			Niederschlag	Witterung			
	7 ³⁰	13 ³⁰	21 ³⁰	Mittel	Abweich. von Normalst	7 ³⁰	13 ³⁰	21 ³⁰	7 ³⁰	13 ³⁰	21 ³⁰	7 ³⁰	13 ³⁰	21 ³⁰	7 ³⁰	13 ³⁰	21 ³⁰					
1	-1.4	0.3	1.9	0.3	-1.5	716.6	716.8	718.1	99	94	90	WSW	0	WSW	0	WSW	0	10=	10=	10=		≡ n-n
2	1.7	5.0	0.7	2.5	0.9	717.3	716.5	717.3	84	66	84	WSW	0	WSW	0	W	0	9	1	10		
3	-2.6	1.5	-2.6	-1.2	-2.7	717.3	715.8	717.0	87	74	90	W	1	W	0	W	0	0	0	0		
4	-5.2	1.5	-3.5	-2.4	-3.8	718.5	717.9	718.1	86	64	82	W	0	W	0	W	0	0	0	0		
5	-6.4	-0.7	-4.1	-3.7	-4.9	716.0	714.6	714.3	87	59	78	W	0	W	1	W	0	0	0	0		
6	-6.6	-1.5	-4.9	-4.3	-5.4	712.7	711.3	710.4	86	76	89	W	0	WSW	0	WSW	0	0	0	0		
7	-8.6	-2.6	-5.2	-5.5	-6.5	711.7	711.9	712.9	94	82	90	WSW	0	WSW	1	WSW	0	0	0	0		
8	-7.7	-0.1	-1.5	-3.1	-4.0	714.2	713.5	714.0	92	74	73	WSW	0	SW	0	SW	0	0	0	8		
9	-1.3	4.7	3.3	2.2	1.5	714.0	713.2	713.8	82	66	82	WSW	0	SW	0	W	1	9	7	3		
10	2.0	4.3	3.7	3.3	2.7	712.4	710.4	711.4	89	82	57	W	0	W	0	N	1	9	8	0	0.1	* ● 9½-9%
11	2.3	1.0	0.5	1.3	0.8	704.4	703.1	701.4	64	96	99	NW	0	NNW	0	NNW	0	8	10*	10	16.6	* ● 9-n mU
12	2.5	4.1	2.0	2.9	2.5	706.4	707.2	706.6	84	79	99	NNW	0	NNW	0	NNE	0	10	7	10*	20.6	* ● n-1%, ● 19-n
13	1.2	2.9	1.9	2.0	1.7	700.3	696.5	697.1	99	96	96	N	0	N	0	W	0	10*	10*	0	16.1	● n-18
14	1.0	4.6	0.9	2.2	2.0	694.8	696.6	699.6	97	81	90	W	0	W	1	NE	1	4	2	8		
15	0.2	4.6	3.2	2.7	2.6	699.1	697.5	697.8	74	57	64	NE	0	NE	0	NE	0	10	10	10	0.1	∩ I
16	1.4	4.4	2.3	2.7	2.7	699.6	697.0	697.0	91	67	99	NE	0	ENE	0	ENE	0	10	10	10*	14.8	* ● 5%-6%, ● 16½-18½-n
17	2.2	5.5	3.4	3.7	3.8	700.9	700.9	703.5	96	73	92	NNW	0	NNW	0	NNW	0	9*	7	10*	0.4	● n-2%, tr 7½, tr 21½, 22%-22%
18	1.1	4.8	2.8	2.9	3.0	706.9	708.3	709.2	92	66	63	NNW	0	NW	0	N	0	2	0	0		
19	4.8	9.9	8.5	7.7	7.9	709.1	707.4	705.0	53	47	53	NE	0	NE	0	E	0	9	8	5		
20	10.4	11.2	6.4	9.3	9.6	703.8	703.2	702.1	47	47	82	ENE	3	NE	3	E	1	9	7	8		
21	4.6	7.0	5.6	5.7	6.0	705.2	705.5	705.8	76	72	85	ENE	0	ENE	0	E	0	7	9	10*	2.7	● 21½-n
22	3.1	6.6	5.6	5.1	5.5	707.7	708.5	708.1	97	75	68	ENE	0	E	1	E	1	2	6	4		● n-4
23	5.7	10.7	3.5	6.6	7.1	706.7	707.1	708.4	66	52	95	ENE	0	ENE	1	E	1	6	6	10		
24	3.9	5.2	2.8	4.0	4.5	707.5	707.1	708.8	93	75	82	E	0	SW	1	W	0	10=	8	2		≡ n-a
25	3.0	4.7	3.4	3.7	4.3	711.5	712.7	714.4	85	76	85	W	0	W	0	W	0	10	6	6		
26	2.7	4.0	3.2	3.3	3.9	716.2	716.9	718.4	90	83	58	W	0	W	0	E	1	10	9	9		
27	-1.4	1.7	0.9	0.4	1.1	718.8	717.0	716.9	75	64	96	E	0	E	0	E	0	2	10	10	3.8	* fl 14½-15%, * ● 15%-19%
28	3.4	7.2	6.4	5.7	6.4	716.8	718.6	718.8	92	93	98	E	0	E	0	E	0	10*	10*	10*	3.2	* ● 2%-14%, ● tr 21½
29	5.2	9.8	7.7	7.6	8.3	721.2	721.0	721.6	95	71	84	E	0	E	0	E	0	10	9	10		
30	1.4	6.5	2.5	3.5	4.3	721.2	720.2	720.8	94	64	80	E	0	E	0	E	0	0	2	0		
31	0.2	7.1	2.1	3.1	3.9	719.0	716.8	717.8	70	45	71	E	0	E	0	E	0	4	1	0		
Mittel	0.7	4.4	2.0	2.4	—	710.6	710.0	710.5	84	71	82							6.1	5.6	5.6	78.4	Summe

λ = 8° 58', β = 46° 00',
H_b = 276.2 m, G = -0.04 mm

Lugano

Dezember 1958
Beobachter: G. Vicari

Tag	Lufttemperatur					Luftdruck			Relative Feuchtigkeit			Windrichtung und Stärke			Bewölkung			Niederschlag	Witterung			
	7 ³⁰	13 ³⁰	21 ³⁰	Mittel	Abweich. von Normalst.	7 ³⁰	13 ³⁰	21 ³⁰	7 ³⁰	13 ³⁰	21 ³⁰	7 ³⁰	13 ³⁰	21 ³⁰	7 ³⁰	13 ³⁰	21 ³⁰					
1	1.8	12.2	4.6	6.2	1.3	737.3	736.0	739.1	95	43	82	N	1	S	1	N	1	0	1	0		
2	4.0	5.4	4.2	4.5	-0.3	741.8	741.8	741.9	83	84	88	W	1	W	1	W	0	10	10	10	0.9	☉ 11½-14%
3	3.2	3.0	2.2	2.8	-1.8	742.7	742.7	742.7	58	55	72	SSW	1	S	1	S	0	10	10	10		
4	1.2	3.8	-0.8	1.4	-3.1	744.1	743.5	743.6	62	42	68	SSE	1	S	1	N	1	10	1	0		
5	-3.6	4.4	-1.4	-0.2	-4.6	739.2	736.8	737.0	82	47	83	NNW	1	SSE	1	N	1	1	0	0		☾ I
6	-2.2	2.2	-1.6	-0.5	-4.7	733.6	732.6	735.5	87	70	89	S	1	S	1	N	1	10	2	0		☾ I
7	-3.8	7.0	-1.4	0.6	-3.5	736.3	736.0	737.5	66	38	67	N	1	S	1	N	1	0	0	0		☾ I
8	-3.8	6.2	-1.8	0.2	-3.7	738.9	738.1	739.3	75	38	73	N	1	E	1	NNE	1	0	0	0		☾ I
9	-3.8	2.8	-2.0	-1.0	-4.8	738.7	736.4	735.4	83	53	80	N	1	W	0	NNW	1	1	10	0		☾ I
10	-1.2	4.8	0.2	1.3	-2.4	734.5	733.6	733.2	82	59	81	N	1	S	1	NNE	1	5	3	0		☾ I
11	-0.2	0.4	0.4	0.2	-3.3	730.5	727.2	723.6	84	98	94	SW	1	NE	1	N	1	10	10*	8	4.2	* 9-14
12	0.2	9.4	1.2	3.6	0.2	725.7	727.1	727.4	91	44	89	N	1	S	1	NNW	0	0	3	10	1.3	☉ n (12./13.)
13	3.2	3.2	2.8	3.1	-0.2	725.1	723.0	719.9	81	98	99	S	1	SW	1	S	1	10	10	10	17.6	☉ n-n mU
14	3.2	9.2	1.6	4.7	1.5	715.1	717.1	720.8	99	58	92	SSW	1	NNW	1	N	1	10*	1	0	8.3	☉ n-10%
15	0.4	4.8	2.2	2.5	-0.5	722.7	722.8	722.7	73	73	95	N	1	S	1	S	0	9	9	10	5.0	☉ a-n mU
16	3.2	4.8	3.0	3.7	0.8	723.3	723.5	721.1	93	88	98	SE	1	SW	1	S	1	10	10	10*	12.5	☉ n-n mU
17	2.2	3.8	3.4	3.1	0.3	724.6	725.3	726.6	95	93	98	NNE	1	S	1	SSW	1	8	10*	10*	10.5	☉ 11-n
18	3.8	8.2	4.2	5.4	2.7	730.7	732.2	735.1	95	72	88	N	1	SSE	1	S	1	10	3	10	1.3	☉ n (13./19.)
19	5.0	5.8	5.2	5.3	2.6	736.9	736.5	734.9	98	97	98	S	1	S	1	NW	1	10*	10*	10*	38.2	☉ n-n
20	4.4	4.2	4.4	4.3	1.7	732.5	731.4	728.4	98	94	98	S	1	S	1	NW	1	10*	10*	10*	44.1	☉ n-n, ☾ 18%
21	6.2	6.2	3.8	5.4	2.8	731.3	730.7	730.6	97	94	98	NNE	1	S	1	NNW	1	10*	10*	10*	65.0	☉ n-n
22	4.2	7.8	5.4	5.8	3.3	732.0	734.2	734.0	97	78	95	N	1	S	1	S	1	10	9	10	12.2	☉ n (22./23.)
23	4.8	6.8	5.4	5.7	3.2	733.5	732.8	729.4	95	88	98	SSW	1	S	1	SSW	1	10*	10*	10*	5.7	☉ n-14
24	8.2	8.2	5.8	7.4	4.9	724.9	726.4	728.0	82	95	95	SSE	2	SSW	1	S	1	10	10	10	1.7	☉ a-p mU
25	3.8	7.2	3.8	4.9	2.5	729.7	729.9	732.5	97	82	85	S	0	S	1	N	1	10	6	3		
26	1.4	9.6	2.4	4.5	2.1	735.5	736.5	739.7	91	56	77	N	1	S	1	N	1	0	0	0		
27	-0.4	5.8	3.2	2.9	0.5	741.5	740.4	738.7	85	62	85	NNE	1	S	1	NNW	1	1	9	0		
28	2.4	11.8	6.4	6.9	4.6	735.1	734.3	737.5	78	46	66	N	1	SE	1	NNE	1	5	0	0		
29	3.2	9.4	3.4	5.3	3.0	741.1	741.4	743.5	97	61	91	N	1	S	1	NNE	1	8	3	0		
30	1.4	7.4	2.8	3.9	1.6	745.2	745.0	746.0	98	72	96	S	0	S	1	N	1	10*	1	0		☉ ≡ 7½-8
31	4.8	7.4	6.0	6.1	3.9	745.5	744.5	743.6	94	77	85	S	0	S	0	S	0	10	10	10		
Mittel	1.8	6.2	2.6	3.5	—	733.8	733.5	733.8	87	69	87							7.0	5.8	5.2	228.5	

*) 17. ☾ 14½-15, 16½-17%

λ = 7° 35', β = 47° 33',
H_b = 317.3 m, G = 0.08 mm

Basel

Dezember 1958
Beobachter: Astronom.-Meteorol. Anstalt

1	0.9	1.6	-1.0	0.5	-1.5	737.8	739.0	740.9	80	87	98	WSW	1	W	1	E	0	10	10	7		
2	-3.4	-1.7	-1.6	-2.2	-4.1	740.7	739.8	739.8	95	90	84	WNW	0	NW	1	NNE	1	10*	7	4		☉ ≡ n-a
3	-5.6	-2.4	-6.1	-4.7	-6.4	739.5	738.8	738.7	100	98	100	NW	1	W	1	SW	0	10*	5	3		☉ ≡ n-a, ☾ V I
4	-7.5	-2.1	-5.9	-5.2	-6.8	739.3	738.9	738.1	100	82	81	ENE	1	E	1	ESE	1	1	2	0		☾ V I
5	-7.3	-0.1	-4.9	-4.1	-5.6	736.4	735.8	735.5	97	74	85	SSE	1	NE	1	E	1	0	0	0		☾ I
6	-6.7	0.2	-4.4	-3.6	-5.0	734.2	733.2	732.6	95	91	98	E	1	E	1	ESE	1	2	0	0		☾ I
7	-8.8	-4.5	-4.8	-6.0	-7.3	732.3	732.4	732.9	100	100	100	SW	0	NNW	1	NW	0	7	0	10*		☉ ≡ p-n, ☾ I
8	-5.6	1.2	-1.0	-1.8	-3.0	733.2	733.5	733.5	100	86	85	ESE	1	ESE	2	E	1	0	0	10		☾ V I
9	-0.1	6.2	1.6	2.6	1.5	732.5	732.4	733.6	90	69	95	SE	0	W	2	E	1	10*	10	8	3.1	☉ 13%-17%, ☉ 12%
10	5.8	7.0	6.0	6.3	5.3	728.8	728.5	729.7	71	70	71	WSW	2	WSW	3	WSW	2	10	10	10	1.8	☉ 9%, 17%-18%, ☉ a-p
11	8.2	8.0	5.9	7.4	6.4	719.2	720.3	717.8	68	64	78	SSW	4	SSW	1	WSW	1	10	10	10	5.3	☉ 6½-9 mU, 22½-23½, ☉ n-a
12	4.8	4.6	5.3	4.9	4.0	723.5	724.3	720.4	84	94	82	WSW	2	NE	1	ESE	1	10	10*	10*	9.5	☉ 4½-4½, 7-13% mU, *)
13	7.8	7.4	4.8	6.7	5.9	716.3	711.0	712.8	90	95	86	WSW	2	E	1	E	1	10*	10	0	9.0	☉ n-7½ mU, 10%-17 mU, ☉ 5%
14	2.4	8.2	6.2	5.6	4.9	712.6	714.8	716.4	89	60	61	E	1	W	1	W	2	6	8	0	0.5	☉ 8-8½, 11%, 13½-13%, ☉ 11%
15	3.7	4.9	4.0	4.2	3.6	715.4	713.3	712.9	82	73	84	E	1	ESE	1	ESE	2	10	10	10	0.4	☉ 14½-15
16	7.8	9.1	7.0	8.0	7.4	713.8	712.4	712.4	70	71	92	SSW	2	E	1	SW	2	10	10	10*	2.8	☉ 4½-4½, tr 8%, tr 16%, 17%, *)
17	9.0	12.0	6.0	9.0	8.5	715.9	717.6	721.3	57	49	92	WSW	2	NNW	1	E	0	5	8	10*	0.1	☉ 0%-0%, 21½-22½, ☉ 0%-2%
18	4.6	9.8	4.1	6.2	5.8	723.9	725.2	725.2	90	58	82	E	1	NNW	1	ESE	1	8	10	0		
19	5.2	9.0	7.2	7.1	6.8	723.5	724.1	721.2	79	55	71	ESE	2	ESE	2	E	1	10	10	10		
20	6.6	10.6	6.0	7.7	7.5	719.9	721.5	718.1	84	82	99	W	1	ESE	1	NW	0	10	9	10		
21	4.4	6.8	3.4	4.9	4.7	723.8	724.2	724.3	84	80	100	NNE	1	ENE	1	S	1	1	10	10	0.0	☉ tr 21
22	3.8	8.3	4.0	5.4	5.3	726.6	727.1	727.0	95	82	95	ESE	1	E	2	NW	1	8	4	7	0.0	
23	2.3	3.4	3.2	3.0	3.0	726.5	727.1	729.4	98	95	95	WNW	0	S	0	W	1	10*	10*	10	0.2	☉ ≡ n-p
24	2.7	3.0	0.2	2.0	2.1	729.7	729.6	730.7	98	97	97	NW	1	NNW	1	SW	0	10	10*	10*	23.5	☉ 5%-8½ mU, 10%-18%, *)
25	1.3	3.0	2.4	2.2	2.3	731.5	732.7	735.7	98	97	97	SSW	1	SSW	1	WNW	1	10*	10*	10	2.9	☉ n-21%
26	2.4	2.7	1.4	2.2	2.4	737.1	737.8	738.1	97	89	90	WNW	1	WNW	0	NE	0	10	10	10		
27	-0.1	2.1	9.6	3.9	4.2	735.8	733.8	733.1	95	95	82	ESE	1	E	1	WSW	2	10	10	10	1.4	☉ 10%-15½ mU, ☉ 20%
28	8.2	9.3	9.0	8.8	9.1	734.8	737.2	738.6	85	82	96	WSW	1	WSW	2	WSW	2	9	10*	10*	9.0	☉ 13%-21½ mU
29	8.3	9.8	4.3	7.5	7.9	740.2	741.3	740.5	85	79	90	WNW	0	WNW	1	ENE	0	10	10	0		
30	8.4	9.5	3.3	7.1	7.5	739.6	740.2	738.4	74	66	91	WSW	1	WNW	1	ESE	1	10	10	0		
31	-0.6	5.8	1.7	2.3	2.8	736.8	735.8	736.5	96	75	89	SSE	1	ESE	1	ESE	1	5	8	2	0.3	☾ I
Mittel	2.0	4.9	2.5	3.1	—	729.1	729.1	729.2	88	80	89							7.8	7.8	6.5	69.8	

*) 12. 20-21½, 23½-n, ☉ 1 16. 21½-21½ 24. 23½-n, ☉ * 18½-23½

Dezember 1958
Beobachter: Observatorium

Säntis

$\lambda = 9^\circ 21'$, $\beta = 47^\circ 15'$,
 $H_b = 2500.1$ m, $G = -0.29$ mm

Tag	Lufttemperatur					Luftdruck			Relative Feuchtigkeit			Windrichtung und Stärke			Bewölkung			Niederschlag	Witterung				
	7 ³⁰	13 ³⁰	21 ³⁰	Mittel	Abwech. vom Normalst.	7 ³⁰	13 ³⁰	21 ³⁰	7 ³⁰	13 ³⁰	21 ³⁰	7 ³⁰	13 ³⁰	21 ³⁰	7 ³⁰	13 ³⁰	21 ³⁰						
1	-7.2	-7.4	-13.4	-9.3	-2.9	560.0	560.6	561.6	100	100	68	N	3	WNW3	NW	1	10=	10=	5	≡ n-19½, 19½-mU, √n-n			
2	-11.4	-9.8	-10.8	-10.7	-4.2	560.5	559.9	559.7	58	14	46	E	2	NE	1	NE	2	1	8	0	⊕ 13-13%		
3	-14.0	-10.7	-8.7	-11.1	-4.6	559.1	559.1	559.7	62	58	30	NE	3	E	2	E	3	1	1	0			
4	-6.0	-4.3	-5.4	-5.2	1.4	560.5	560.6	560.4	16	22	14	NNE	2	E	2	E	2	0	0	0			
5	-6.7	-5.8	-7.0	-6.5	0.2	558.7	558.5	557.8	10	30	45	N	2	N	2	W	2	1	1	1			
6	-8.7	-8.2	-6.0	-7.6	-0.8	555.7	555.5	555.7	51	25	15	W	3	NW	3	N	1	0	1	1			
7	-4.4	-0.7	-4.2	-3.1	3.8	556.3	556.9	557.7	37	26	32	E	1	SW	1	W	1	1	1	0			
8	-5.9	-3.6	-7.4	-5.6	1.3	558.0	558.4	557.7	30	34	47	WSW3	WSW2	W	3	I	1	1	7	0.0	* fl n (3./9.)		
9	-6.6	-8.4	-10.2	-8.4	-1.4	555.7	554.8	556.4	100	100	100	W	4	W	4	W	4	10=*	10=*	10=*	22.8	* n-nU ≡ √n-n, † 10½-n	
10	-7.4	-8.2	-9.3	-8.3	-1.2	553.8	552.6	554.3	100	100	100	W	4	W	4	W	4	10=*	10=*	10=*	9.3	* n-nU, ≡ √n-n, † n-n	
11	-8.6	-7.4	-8.9	-8.3	-1.1	549.3	547.8	546.0	78	100	100	W	3	W	3	W	4	10	10=*	10=*	18.3	* 8½-n, ≡ √11-n, † † *)	
12	-10.6	-8.4	-6.4	-8.5	-1.3	549.1	550.1	549.4	100	100	100	W	4	W	4	W	4	10=*	10=*	10	10.8	* ≡ n-17½, √n-n, † n-n, *)	
13	-3.8	-4.3	-8.4	-5.5	1.8	546.5	544.2	544.0	100	90	97	W	4	WSW4	W	4	10=*	10=*	10*	6.4	* n-13½, 16½-nU, ≡ n-13½, *)		
14	-9.2	-8.4	-11.6	-9.7	-2.3	542.3	542.9	544.7	100	100	94	NNW3	WNW3	W	3	10=*	10=*	1	5.5	2.8	* ≡ 5½-17½, † n-17½		
15	-10.0	-9.2	-8.8	-9.3	-1.9	545.2	543.6	544.3	90	74	82	W	2	SW	5	SSW	3	9	9	5		† 11-n, † a-p	
16	-8.2	-7.2	-7.0	-7.5	0.0	545.9	544.5	543.8	86	79	98	W	2	SW	3	SW	3	9	4	8	3.2	* n (16./71.) mU	
17	-8.2	-5.6	-7.6	-7.1	0.5	546.5	548.4	549.5	86	68	98	SW	3	SW	2	NNW	1	1	9	10*	2.1	* 20½-n, ⊕ 13%	
18	-8.3	-7.0	-7.3	-7.5	0.1	552.5	553.7	554.5	97	46	61	SSW	2	SW	1	SSW	2	1	1	1		≡ n-6%	
19	-3.6	-2.2	-1.6	-2.5	5.2	554.4	554.4	553.5	74	84	86	S	2	S	3	S	4	10	9	10		† p-n	
20	-2.4	-1.6	-2.6	-2.2	5.5	551.8	552.5	550.2	82	84	78	SSE	4	SSE	2	S	5	7	5	5		† n-n mU, † III	
21	-5.4	-4.4	-5.1	-5.0	2.8	552.8	553.5	553.3	85	90	95	S	3	S	3	SE	3	5	9	10	1.1	* n (21./22.)	
22	-5.3	-5.0	-4.4	-4.9	2.9	553.7	555.2	555.5	100	93	43	SW	2	SW	2	S	3	10=*	1	9	0.0	* ≡ √n-11½	
23	-3.2	-2.0	-4.4	-3.2	4.6	555.0	555.1	556.1	78	75	62	SSE	4	SW	3	NNE	2	9	9	10	1.1	* n (22./24.), † n-a	
24	-7.2	-9.0	-10.8	-9.0	-1.1	552.9	552.6	553.2	100	100	100	N	3	N	2	W	3	10=*	10=*	10=*	3.5	* ≡ √n-n	
25	-7.2	-9.0	-10.8	-9.0	-1.1	554.5	555.7	558.0	100	100	100	W	2	WNW2	N	3	10=*	10=*	10=	2.8	* n-19, ≡ √n-n		
26	-10.1	-9.6	-11.0	-10.2	-2.3	559.3	559.4	560.6	64	77	52	N	1	NW	2	W	2	1	1	1			
27	-10.1	-6.1	-3.8	-6.7	1.3	560.2	559.0	558.1	45	94	100	WSW3	W	3	W	5	4	10*	10=*	10=*	28.4	* 10-n mU, ≡ √13½-n, *)	
28	-5.4	-3.3	-3.6	-4.8	3.2	558.9	561.1	563.5	100	100	100	W	3	W	4	W	3	10=*	10=*	10=*	33.6	* ≡ √n-n, † a-p	
29	-3.9	-4.0	-4.8	-4.2	3.8	564.8	565.9	565.1	100	100	100	W	3	W	3	W	3	10=*	10=*	10=	11.0	* n-19, ≡ √n-n, † n-nU	
30	-6.7	-6.2	-3.4	-5.4	2.7	564.8	565.2	565.7	82	53	43	W	4	WSW4	W	4	9	7	1			† † n-n	
31	-1.2	2.4	-3.2	-0.7	7.4	564.0	563.7	562.6	28	22	33	W	4	W	3	W	3	1	4	1			† n-a
Mittel	-7.0	-6.0	-7.0	-6.7	—	554.9	555.0	555.2	75	72	72						6.1	6.4	6.0	159.9	Summe		

*) 11. 11-n mU 12. † 16% 13. 16½-nmU, † n-n 27. † 11-n, † p-n

Dezember 1958
Beobachter: E. Chiesa

St. Gotthard (Hospitz)

$\lambda = 8^\circ 34'$, $\beta = 46^\circ 33'$,
 $H_b = 2095$ m, $G = -0.27$ mm

1	-5.4	-4.0	-6.8	-5.4	0.2	589.6	589.5	590.7	96	97	98	NW	3	NW	3	NW	3	10	3	10=			≡ 19-n, † n-n
2	-12.0	-5.2	-8.4	-8.5	-2.8	590.2	590.0	590.0	90	91	95	NW	0	NW	0	SE	1	0	0	9			≡ 19½-n
3	-10.3	-7.6	-11.4	-9.8	-4.0	589.3	589.2	589.2	92	83	89	NW	0	SE	0	SE	1	10	10	10=			
4	-6.5	-4.5	-7.8	-6.3	-0.4	589.6	589.8	589.7	23	67	30	NW	1	NW	1	NW	0	0	0	0			
5	-5.8	-3.4	-3.2	-4.1	1.8	587.8	587.6	587.4	28	30	35	NW	2	NW	2	NW	2	0	0	0			
6	-5.3	-5.1	-7.0	-5.8	0.2	585.3	584.8	584.6	35	43	41	NW	3	NW	2	NW	2	0	0	0			† n-a
7	-8.0	-1.9	-4.9	-4.9	1.2	579.2	585.7	586.7	35	43	38	SE	0	SE	0	SE	0	0	0	0			
8	-7.4	-0.8	-6.1	-4.8	1.4	587.4	587.8	588.0	40	35	40	SE	0	SE	0	SE	0	0	0	0			
9	-7.8	-4.3	-5.8	-6.0	0.2	587.1	586.3	586.2	47	48	94	SE	1	SE	1	NW	2	0	10	10	4.9		* 15½-n mU
10	-4.6	-3.4	-5.2	-4.4	1.9	585.2	584.0	584.6	70	80	66	SE	0	NW	0	NW	1	3	10	0	1.0		* 8½-19% mU
11	-6.0	-5.1	-6.6	-5.9	0.5	581.3	578.3	577.2	60	88	97	SE	2	SE	2	SE	1	9	10	10*	12.3		* 9½-n mU
12	-7.1	-4.2	-4.9	-5.4	1.0	579.2	580.7	580.9	87	75	91	NW	0	SE	2	SE	1	10*	9	10	12.6		* n-8½, 18½-nmU, ≡ 18-nmU
13	-6.2	-4.3	-6.0	-5.5	1.0	577.6	575.2	574.0	96	97	97	SE	3	SE	3	SE	0	10=	10=	0	13.1		* n (12./14.), ≡ † n-17%
14	-6.2	-5.6	-9.5	-7.1	-0.6	570.9	572.2	574.7	95	92	64	NW	2	NW	1	NW	0	10=	9	0	2.6		* n (14./15.) ≡ † n-a
15	-6.9	-7.6	-6.0	-6.8	-0.2	575.1	575.1	575.1	55	95	95	SE	1	SE	2	SE	2	9	10=	10=*	8.3		* 14½-nmU, ≡ 12½-n, † a-n
16	-5.8	-5.4	-6.0	-5.7	0.9	575.6	575.3	573.3	96	97	96	SE	2	SE	2	SE	2	10=	10=	10=	13.2		* 15½-n mU, ≡ † n-n
17	-7.0	-4.4	-4.9	-5.4	1.2	576.9	577.9	578.6	95	96	95	SE	0	SE	0	SE	1	0	9	10=*	4.5		* ≡ 15½-n
18	-6.5	-4.8	-5.6	-5.6	1.1	582.0	583.6	585.0	94	92	95	SE	0	SE	1	SE	1	9	10=	10=	4.6		* n (18./19.), ≡ 12½-n
19	-4.8	-3.8	-4.7	-4.4	2.3	586.1	586.1	585.2	95	95	95	SE	2	SE	2	SE	2	10=	10=*	10=*	31.6		* n-n mU, Δ I, ≡ † n-n
20	-3.6	-3.0	-4.6	-3.7	3.0	583.4	582.9	580.9	95	97	95	SE	2	SE	2	SE	1	10=*	10=*	10=*	64.8		* n-n, † I
21	-4.0	-3.2	-4.0	-3.7	3.1	582.4	582.5	582.5	94	96	97	SE	2	SE	1	SE	1	10=*	10=*	10=*	66.2		* ≡ n-n
22	-4.1	-3.2	-4.2	-3.8	3.0	582.8	585.0	585.9	97	95	95	SE	2	SE	2	SE	2	10=*	10=*	10=	9.4		* n-14½, ≡ n-n
23	-2.8	-1.2	-2.7	-2.2	4.6	584.4	584.9	584.8	97	98	73	SE	2	SE	1	NW	1	10=*	10=*	10	23.2		* n-p mU, ≡ n 19%
24	-6.2	-7.7	-8.2	-7.4	-0.5	582.8	581.8	582.2	95	95	95	NW	3	NW	3	NW	3	10=	10=	10=	9.8		* n (24./25.), ≡ † n-n
25	-8.0	-7.4	-7.4	-7.6	-0.7	583.4	584.4	586.8	97	79	76	NW	3	NW	2	NW	2	10=	10=	10=	5.3		* n-nmU, ≡ √n-n, † n-a
26	-8.2	-9.3	-10.0	-9.2	-2.3	583.1	588.6	589.6	78	78	77	NW	2	NW	2	NW	1	10=	6	0			≡ n-11
27	-9.8	-5.6	-2.0	-5.8	1.1	589.6	590.1	589.1	61	68	63	NW	0	SE	1	SE	0	0	10	10=*	2.1		* 15½-n, ≡ p-n, (I) I
28	-2.2	-0.2	-1.3	-1.2	5.8	588.6	590.3	592.0	87	74	98	NW	3	NW	3	NW	3	10	10	10=	21.5		* n (28./29.), ≡ 18½-n, *) †
29	-1.7	-2.2	-4.0	-2.6	4.4	594.0	594.9	595.5	98	98	99	NW	2	NW	3	NW	2	9	10=	0			≡ 11½-20, † a-p
30	-3.4	1.0	-0.3	-0.9	6.1	595.5	595.4	595.9	94	55	29	NW	0	N	0	NW	0	0	0	0			
31	-4.0	-1.6	-6.2	-3.9	3.1	594.9	594.0	592.5	32	53	90	SE	0	SE	1	SE	1	0	0	0			
Mittel	-6.0																						

Januar

Bern: Alpen klar: 1. 2. I. II., 10. II., 21. I., 22. I. II., 25. I. — Alpen hell: 21. II., 26. I. — Alpensichtbar: 3. I., 5. I. II., 19. I. — Alpen schwach sichtbar: 6. I., 19. 26. 27. II. — Nebblig: 29. 30. mtg. — Schneehöhe: 10. 4 cm, 17. 4 cm, 24. 11 cm, 31. 7 cm. — Neuschnee: 8. 2 cm, 9. 2 cm, 10. 3 cm, 11. 0,5 cm, 12. 0,6 cm, 13. 8 cm, 23. 6 cm. — Neuchâtel: Neuschnee: 22. 1 cm, 23. 20 cm, 24. 5 cm, 25. 5 cm. — Schneehöhe: 24. 22 cm. — Atdorf: Dunst: 25. Nm. — Föhn: 5. 19^{h50}—n, 11. 21^{h45}—, 12. 19^{h50}, 22. 8—19^{h45}. — Schneehöhe: 8. 1,5 cm. — Genève: Schneehöhe: 24. 4 cm. — Zürich: Alpen klar: 5. 21. Nm, 22. 25. d.g.T. — Alpen hell: 1. d.g.T., 2. 5. Vm. — Alpensichtbar: 11. Vm. — Alpen schwach sichtbar: 10. 26. Nm. — Föhn-lücke: 11. Vm. — Dunst: 2. Nm, 3. 4. 14. 15. 17. d.g.T., 18. Vm, 25. Nm, 31. mtg. — Taldunst: 1. d.g.T., 21. 25. Vm. — Nebblig: 12. Nm, 13. Vm, 18. Nm, 20. d.g.T., 26. Vm, 27. 28. abd., 30. mtg., 31. Nm. — Talneblig: 2. Vm, 12. fr., 26. Nm, 27. d.g.T. — Nebel: (Sicht): 28. d.g.T. (400—500), 29. Vm (150—300), Nm (300), 30. d.g.T. (900). — Neuschnee: 8. 1 cm, 9. 2 cm, 10. 3 cm, 13. 9 cm, 21. 7,5 cm, 24. 6,5 cm. — Schneehöhe: 10. 3,5 cm, 17. 2 cm, 24. 11 cm, 31. 3 cm. — Chasseron: Nebelmeer: (Mittelland): 2. I. (800) II. (800), 3. I. (700) III. 1200, 4. I. 1200 II. (1200) III. 1000, 15. II. (1600) III. 1500, 16. I. 1400 II. (1200) III. 1100, 17. I. 1000 II. 1000, III. 1000, 18. I. (1400), 25. I. 1100 II. (1100), 27. I. (800), 28. I. 800 II. 900 III. 800, 29. I. 800, II. 900 III. 900, 30. I. 900, III. 900, 31. I. 800 II. 900 III. 1000. — Neuschnee: 5. 1 cm, 6. 10 cm, 9. 10 cm, 10. 10 cm, 11. 3 cm, 12. 25 cm, 13. 10 cm, 20. 20 cm, 21. 4 cm, 23. 23 cm. — Schneehöhe: 3. 20 cm, 10. 22 cm, 17. 60 cm, 24. 60 cm, 31. 41 cm. — Bever: Neuschnee: 6. 2 cm, 7. 3 cm, 8. 18 cm, 9. 7 cm, 10. 2 cm, 11. 0,5 cm, 13. 5 cm, 21. 7 cm. — Schneehöhe: 3. 30 cm, 10. 53 cm, 17. 50 cm, 24. 49 cm, 31. 49 cm. — Sion: Dunst: 6. III. — Hochnebel: 14. Vm. — Talnebel: 29. Vm. — Neuschnee: 8. 5 cm, 10. 6 cm, 12. 8 cm, 25. 5 cm. — Schneehöhe: 10. 10 cm, 17. 10 cm, 24. 8 cm, 31. 2 cm. — Schneegrenze: 5. 1500 m. — Lugano: Nordföhn: 7. 8. 12. d.g.T., 15. Vm, 21. d.g.T. — Schneehöhe: 9. 0,5 cm. — Basel: Dunst: 3. 4. 13. 15. mtg., 16. Vm, 18. mtg. — Neuschnee: 23. 16 cm, 25. 1 cm. — Schneehöhe: 24. 14 cm, 31. 2 cm. — Säntis: Föhnmauer: 5. 13^{h30}—16^{h30}, 11. 10^{h30}—16^{h30}. — Neuschnee: 5. 6 cm, 6. 25 cm, 7. 50 cm, 8. 30 cm, 9. 12 cm, 10. 30 cm, 11. 10 cm, 12. 10 cm, 13. 20 cm, 20. 10 cm, 21. 21 cm, 27. 6 cm. — Schneehöhe: 10. 260 cm, 17. 160 cm, 24. 100 cm, 31. 80 cm. — St. Gotthard: Neuschnee: 6. 13 cm, 7. 30 cm, 10. 10 cm, 11. 8 cm, 12. 20 cm, 13. 15 cm, 20. 10 cm, 21. 18 cm, 23. 2 cm, 24. 2 cm. — Schneehöhe: 3. 210 cm, 10. 220 cm, 17. 230 cm, 24. 230 cm, 31. 210 cm.

Februar

Bern: Alpen klar: 5. 10. 12. I. II., 13. 14. II., 15. I. II., 25. II. — Alpen hell: 5. III., 9. II., 13. 25. I. — Alpensichtbar: 9. 11. I. — Alpen schwach sichtbar: 3. I., 8. II., 14. 16. I. — Nebblig: 3. Vm. — Gewitter: 11. (☐) NW 13^{h37}—13^{h50}. — Schneehöhe: 21. 4 cm. — Neuschnee: 18. 6 cm, 19. 9 cm, 20. 0,5 cm, 21. 1 cm, 23. 1 cm, 27. 2,5 cm. — Neuchâtel: Gewitter: 11. (☐) SW 13^{h10}—13^{h50}. — Atdorf: Dunst: 4. Vm, 28. Nm. — Föhn: 10. 9^{h20}—11. 16^h, 12. 12^{h05}—n, 25. 10^{h10}—n. — Schneehöhe: 21. 20 cm. — Genève: Gewitter: 11. ☐ 12^{h30}, 25. ☐ 2^h. — Zürich: Alpen hell: 8. Nm, 9. Vm, 10. 12. 13. d.g.T., 25. Nm. — Alpensichtbar: 11. Vm, 15. Nm, 25. Vm. — Alpen schwach sichtbar: 9. 11. Nm, 14. d.g.T., 15. Vm. — Föhnmauer: 10. d.g.T., 11. Vm, 25. d.g.T. — Dunst: 1. 4. d.g.T., 5. Vm, 27. d.g.T., 28. Nm. — Nebblig: 2. VmNm, 3. Vm. — Talneblig: 5. d.g.T., 8. Vm, 10. d.g.T., 12. 13. 15. 25. Vm. — Neuschnee: 18. 15 cm, 19. 5,5 cm, 20. 2 cm, 21. 1 cm, 23. 0,5 cm, 26. 1,5 cm, 27. 2,5 cm, 28. 0,5 cm. — Schneehöhe: 21. 7,5 cm, 28. 2 cm. — Chasseron: Nebelmeer (Mittelland): 1. I. 800 II. (800) III. 800, 2. I. 700 II. 700 III. 700, 3. I. 700 II. 700, 4. I. 1200 II. (1100), 10. I. (500) II. (500), 15. II. (500), 28. I. (1300). — Neuschnee: 7. 5 cm, 8. 5 cm, 18. 8 cm, 19. 8 cm, 20. 5 cm, 21. 8 cm, 22. 12 cm, 23. 5 cm, 24. 14 cm, 26. 3 cm, 27. 3 cm. — Schneehöhe: 7. 45 cm, 14. 25 cm, 21. 43 cm, 28. 65 cm. —

Gewitter: 11. ☐ 18^h. — Bever: Neuschnee: 12. 8 cm, 22. 1 cm, 23. 5 cm, 24. 7 cm, 26. 30 cm, 27. 6 cm. — Schneehöhe: 7. 42 cm, 14. 45 cm, 21. 35 cm, 28. 76 cm. — Sion: Hochnebel: 8. 9. mtg., 18. 21. Vm. — Neuschnee: 20. 2 cm. — Schneegrenze: 26. 1600 m. — Lugano: Nordföhn: 18. Nm, 19. 20. 28. d.g.T. — Basel: Dunst: 1. mtg. — Neuschnee: 18. 3 cm. — Schneehöhe: 28. 2 cm. — Säntis: Föhnmauer: 8. 9. Nm, 10. d.g.T., 11. Vm, 14. abd., 25. d.g.T. — Neuschnee: 7. 11 cm, 8. 26 cm, 9. 21 cm, 12. 11 cm, 18. 70 cm, 19. 32 cm, 20. 52 cm, 21. 65 cm, 22. 55 cm, 23. 31 cm, 24. 76 cm, 25. 31 cm, 26. 4 cm, 27. 44 cm, 28. 15 cm. — Schneehöhe: 7. 100 cm, 14. 80 cm, 21. 160 cm, 28. 210 cm. — St. Gotthard: Nebblig: 16. Nm, 17. d.g.T. — Neuschnee: 7. 12 cm, 8. 15 cm, 9. 10 cm, 11. 8 cm, 12. 25 cm, 21. 5 cm, 22. 30 cm, 23. 20 cm, 24. 20 cm, 26. 28 cm, 27. 15 cm. — Schneehöhe: 7. 200 cm, 14. 230 cm, 21. 210 cm, 28. 260 cm.

März

Bern: Alpen klar: 5. I. II., 9. I., 25. II., 27. 28. I. — Alpen hell: 4. 28. II. — Alpensichtbar: 2. II., 4. I. — Alpen schwach sichtbar: 6. I., 16. II., 29. I. II., 30. II. — Nebblig: 18. abd. — Schneehöhe: 21. 3 cm. — Neuschnee: 10. 2,5 cm, 12. 11 cm, 18. 10 cm, 19. 11 cm. — Neuchâtel: Schneehöhe: 8. 2 cm, 13. 4 cm, 18. 9 cm. — Atdorf: Dunst: 4. Nm, 31. Vm. — Nebblig: 1. Vm, 31. Nm. — Föhn: 25. Vm—n. — Schneehöhe: 14. 5 cm, 21. 14 cm. — Gewitter: 30. ☐ 17^{h35}. — Genève: Schneehöhe: 11. 8 cm, 18. 4 cm. — Zürich: Alpen hell: 9. 28. Vm. — Alpensichtbar: 28. Nm. — Alpenschwach sichtbar: 5. 6. 16. Nm, 25. 29. d.g.T. — Föhn-lücke: 9. Vm. — Dunst: 1. 2. d.g.T., 3. Nm, 8. 10.—12. 15. 16. Vm, 18. 19. 24.—26. d.g.T., 27. 30. Vm, 31. d.g.T. — Taldunst: 29. Vm. — Nebblig: 3. 5. Vm, 12. mtg. — Talneblig: 5. Nm, 28. fr. — Talnebel: 5. Vm. — Neuschnee: 3. 2 cm, 8. 3 cm, 9. 0,5 cm, 10. 1 cm, 12. 10,5 cm, 13. 3,5 cm, 14. 4,5 cm, 18. 10 cm, 21. 4 cm. — Schneehöhe: 14. 7 cm, 21. 4 cm. — Chasseron: Nebelmeer (Mittelland): 2. I. (1300), 15. I. (1500), 17. I. (1100), 19. I. 1400 II. (1100), 23. I. (1200), 26. I. (1500), 29. I. (1300), 31. I. (1300). — Neuschnee: 7. 12 cm, 8. 8 cm, 10. 5 cm, 12. 5 cm, 14. 20 cm, 18. 10 cm, 19. 6 cm, 20. 5 cm. — Schneehöhe: 7. 67 cm, 14. 90 cm, 21. 100 cm, 28. 68 cm. — Gewitter: 29. < 20—22^h. — Bever: Neuschnee: 11. 0,5 cm, 12. 1,5 cm, 13. 4 cm, 14. 33 cm, 18. 5 cm, 28. 0,5 cm. — Schneehöhe: 7. 55 cm, 14. 93 cm, 21. 66 cm, 28. 60 cm. — Sion: Dunst: 19. 20. Vm. — Neuschnee: 13. 10 cm, 14. 3 cm, 18. 3 cm. — Schneehöhe: 14. 3 cm. — Lugano: Nordföhn: 2. Nm, 3. d.g.T., 4. Vm, 7. Nm, 8. 10. 12. 21. 22. 31. d.g.T. — Schneehöhe: 11. 3 cm. — Basel: Dunst: 1. 15. Vm, 18. 19. mtg., 22. Vm. — Gewitter: 30. (☐) N 15^{h45}—17^{h35}. — Neuschnee: 12. 2,5 cm, 13. 4 cm, 18. 1 cm. — Säntis: Föhnmauer: 25. d.g.T., 27. Vm, 29. d.g.T. — Neuschnee: 2. 14 cm, 3. 4 cm, 6. 46 cm, 7. 34 cm, 8. 9 cm, 9. 18 cm, 10. 8 cm, 11. 54 cm, 12. 21 cm, 13. 82 cm, 14. 30 cm, 17. 16 cm, 18. 8 cm, 19. 40 cm, 20. 27 cm, 21. 18 cm, 26. 4 cm, 27. 3 cm, 28. 2 cm. — Schneehöhe: 7. 190 cm, 16. 310 cm, 21. 380 cm, 28. 340 cm. — Schneegrenze: 7. 14. 21. Bodensee. — St. Gotthard: Neuschnee: 3. 5 cm, 4. 2 cm, 7. 2 cm, 8. 3 cm, 12. 5 cm, 13. 5 cm, 14. 45 cm, 15. 10 cm, 18. 8 cm, 19. 12 cm, 20. 8 cm, 21. 12 cm, 28. 3 cm, 30. 3 cm. — Schneehöhe: 7. 250 cm, 14. 250 cm, 21. 265 cm, 28. 260 cm.

April

Bern: Alpen klar: 19. I., 20. I. II., 26. II. — Alpen hell: 4. 26. I. — Alpen schwach sichtbar: 3. 19. 22. 28. II. — Gewitter: 4. < 18^{h30}. — Neuschnee: 9. 2 cm, 10. 2 cm, 11. 1,8 cm, 17. 1 cm. — Neuchâtel: Schneehöhe: 10. 3 cm. — Atdorf: Dunst: 2. Abd. — Nebblig: 1. Nm, 2. 20. 30. Vm. — Föhn: 3. d.g.T., 14. 15^{h10}—n. — Schneehöhe: 11. 23 cm, 16. 3,5 cm. — Schneegrenze: 6. 600 m, 8. Talschle, 28. 700 m. — Gewitter: 4. (☐) 20^{h15}. — Genève: Schneehöhe: 11. 2 cm. — Zürich: Alpen klar: 26. Nm. — Alpen hell: 4. 26. Vm. — Alpensichtbar: 3.—5. 28. Nm. — Alpen schwach sichtbar: 3. 19. 20. Vm. — Föhnmauer: 3. 4. 15. d.g.T. — Föhn-lücke: 14. Vm. — Dunst: 1. 2. d.g.T., 30. Vm. — Taldunst: 4. Vm. — Nebblig: 17. Vm. — Talneblig: 5. Vm, 20. d.g.T., 21. 22. Vm. — Neuschnee: 9. 3 cm, 10. 3 cm, 11. 3,5 cm, 17. 5 cm. — Schneehöhe:

11. 3,5 cm. — Chasseron: Nebelmeer (Mittelland): 4. I. (600), 13. I. (1300), 17. I. (1300) II. (1400), 18. I. (1500) II. (1400), 23. I. (1500). — Neuschnee: 6. 8 cm, 7. 7 cm, 8. 0,5 cm, 9. 4 cm, 10. 6 cm, 11. 10 cm, 15. 6 cm, 17. 5 cm, 21. 0,5 cm, 28. 10 cm. — Schneehöhe: 4. 60 cm, 11. 80 cm, 18. 75 cm, 25. 50 cm. — Gewitter: 1. \square 13³⁰—14⁵⁰. — Bever: Neuschnee: 4. 33 cm, 6. 4 cm, 12. 2 cm, 16. 10 cm, 17. 7 cm, 23. 1 cm, 27. 1 cm, 29. 10 cm. — Schneehöhe: 4. 63 cm, 11. 50 cm, 18. 67 cm, 25. 31 cm. — Sion: Hochnebel: 8. 16. 17. Vm. — Schneegrenze: 28. 1000 m. — Lugano: Nordföhn: 7. abd., 8. 9. 17. d. g. T., 18. Vm, 28. 29. d. g. T. — Gewitter: 1. \square 18¹⁰—18³⁰, 25. (\square) 21^h. — Basel: Dunst: 7. Vm. — Neuschnee: 11. 1,6 cm, 12. 1 cm. — Schneehöhe: 11. 1,6 cm. — Säntis: Föhnmauer: 3. d. g. T., 12. Vm, 13. 14. d. g. T., 21. Vm. — Gewitter: 4. \triangleleft NW 21^{h30}. — Neuschnee: 3. 1 cm, 6. 8 cm, 7. 7 cm, 8. 13 cm, 9. 44 cm, 10. 80 cm, 11. 55 cm, 12. 8 cm, 16. 46 cm, 17. 70 cm, 18. 18 cm, 23. 10 cm, 26. 24 cm, 27. 8 cm, 28. 52 cm, 29. 30 cm. — Schneehöhe: 4. 280 cm, 11. 380 cm, 18. 400 cm, 25. 180 cm. — Schneegrenze: 14. 700 m, 18. Bodensee, 21. 900 m, 26. 1000 m, 30. 1400 m. — St. Gotthard: Nebblig: 22. abd. — Nebelmeer: 25. i. S. d. g. T. — Neuschnee: 3. 3 cm, 4. 50 cm, 5. 20 cm, 6. 50 cm, 7. 12 cm, 8. 5 cm, 9. 10 cm, 11. 15 cm, 12. 15 cm, 13. 10 cm, 14. 12 cm, 15. 22 cm, 16. 15 cm, 17. 12 cm, 18. 5 cm, 27. 2 cm, 28. 6 cm, 29. 10 cm. — Schneehöhe: 4. 260 cm, 11. 300 cm, 18. 360 cm, 25. 290 cm.

Mai

Bern: Alpen klar: 8. I. II., 9. 10. I., 11. 19. I. II., 20. 31. I. — Alpen hell: 9. 10. 23. II., 24. I. — Alpensichtbar: 6. 7. I. II., 12. 21. I., 25. 29. 31. II. — Alpenschwach sichtbar: 3. II., 4. I. II., 16. I., 18. I. II., 24. II., 25. 27. I. — Gewitter: 14. T 20^{h10}, \triangleleft SW—NW 21^{h30}, 20. \triangleleft NW u. W 24^h, 23. \triangleleft W 24^h, 24. \triangleleft 23^h, 25. \triangleleft NW 22—24^h, 28. \square 1^{h12}. — Neuchâtel: Gewitter: (\square) alle Richtg. 17—23^{h30}, \square 2 23^h. — Aitdorf: Dunst: 1. Vm, 2. mtg. — Neblig: 29. Nm. — Föhn: 10. 17^{h20}—12. 20^{h50}, 14. 9^{h20}—n, 24. 9^{h10}—25. abd. — Schneegrenze: 18. 1400. — Gewitter: 5. \square 19⁵⁵—20^{h38}, 27. \square nachts. — Genève: Gewitter: 14. \square 16^{h30}, (\square) abd., 21. \square 8^h. — Zürich: Alpen klar: 8. d. g. T. — Alpen hell: 19. Vm, 24. Nm. — Alpensichtbar: 7. 19. Nm, 20. d. g. T., 25. Nm. — Alpenschwach sichtbar: 3. Nm., 5. 6. Vm, 9. d. g. T., 11. Vm, 12. Nm. — Föhnmauer: 24. 25. Nm. — Dunst: 1. d. g. T., 2. Vm, 13. Nm, 14. d. g. T. — Chasseron: Nebelmeer (Mittelland): 23. I. 1400, 29. I. (1300), 31. I. 900. — Neuschnee: 17. 12 cm. — Gewitter: 2. (\square) SW 14¹⁵—15^{h30}, 8. (\square) \triangleleft W 21^{h30}, 9. \triangleleft WNW 21—21^{h30}, 14. (\square) W—NW 15³⁰—16^{h16}, \square \triangleleft 19³⁰—24 m. U., 20. \triangleleft W 21^{h30}. — Bever: Gewitter: 27. \square 8⁴⁵—9^h. — Neuschnee: 17. 1 cm. — Schneehöhe: 2. 11 cm. — Sion: Gewitter: 27. \square 23^h—28. 5^h. — Schneegrenze: 16. 1800 m. — Lugano: Nordföhn: 16. abd., 17. d. g. T. — Gewitter: 15. \square 17^h, 22. \square 9¹⁰—10^{h15}, 27. \square nachts, \square 17^{h10}—18^{h30}, \square 21—21^{h30}. — Basel: Dunst: 12. Vm. — Gewitter: 9. \triangleleft SW 22—23^h, 10. (\square) SE 15³⁰—15^{h55}, 14. (\square) NNW 22⁵⁰—23^{h10}, (\square) NW 23⁴⁰—24^h, 15. (\square) 3^{h30}, 20. \triangleleft 20^h, 25. (\square) NW 17¹⁵—17^{h45}, \square N 19³⁵—20^{h30}, (\square) 21^{h50}. — Säntis: Föhnmauer: 6. fr., 10. mtg.—n, 11. d. g. T., 12. n—11^h, 14. 10^h—n, 24. 5^h—n, 25. d. g. T., 26. n—17^h, 29. mtg.—n, 30. fr. — Neuschnee: 16. 40 cm, 17. 40 cm, 18. 20 cm. — Schneehöhe: 2. 200 cm, 9. 120 cm, 16. 82 cm, 23. 40 cm. — Schneegrenze: 7. 1800 m, 9. 1900 m, 15. 2000 m, 18. 1300 m, 22. 2000 m, 26. 2300 m. — St. Gotthard: Nebblig: 9. abd. — Gewitter: 14. \square 13⁵⁰—14^{h20}, 28. \square 7^{h30}. — Neuschnee: 17. 20 cm. — Schneehöhe: 2. 280 cm, 9. 210 cm, 16. 120 cm, 23. 85 cm, 31. 50 cm.

Juni

Bern: Alpen klar: 1. 2. 7. I., 25. I. II. — Alpen hell: 6. I., 7. II., 28. I. — Alpensichtbar: 1. 6. II., 24. I., 27. II. — Alpenschwach sichtbar: 2. 5. II., 8. I. II., 21. I., 29. I. II. — Gewitter: 2. (\square) S—SE 17^{h15}, \square 17^{h10}—18^{h15}, \triangleleft 21^{h30}, 3. (\square) N 14^{h15}, 7. \square 18^{h42}, 22. \triangleleft SE u. W 21^{h30}, 30. \triangleleft 17^{h40}. — Neuchâtel: Gewitter: 2. (\square) u. \square abd., 18. (\square) W 13—13^{h30}, 19. \square 13¹⁵—13^{h45}, 22. \square 22^{h30}. — Aitdorf: Dunst: 1. 15. 17. d. g. T. — Nebblig: 13. 20. Vm. — Föhn: 2. 14^{h10}—n, 26. d. g. T. — Schneegrenze: 27. 1450 m. — Gewitter: 3. \square 15^{h05}, 9. (\square) n, 19. T 13^{h50}, 30. \square 20^{h5}—21^h. — Genève: Ge-

witter: 3. \square 12^{h25}, \triangleleft 12^{h35}, 6. \square 21^{h30}, 7. T 16^{h30}, 17. \triangleleft 21^{h30}, 18. \triangleleft 22^h, 21. \square 13^h, 30. \square 20^h. — Zürich: Alpen klar: 25. d. g. T. — Alpensichtbar: 1. d. g. T., 5. Nm. — Alpenschwach sichtbar: 2. d. g. T., 6. Vm, 7. d. g. T. — Föhnmauer: 26. Vm. — Dunst: 16. d. g. T., 19. Vm, 30. d. g. T. — Gewitter: 3. T 15^{h11}, \square 15^{h50}—16^{h45}, 9. \triangleleft SSW 21^{h30}, 11. T 14^{h55}, 18. \square SW 2^{h12}, 19. T SSW 11^{h49}, (\square) abd., 20. \square 0^{h30}, 22. \triangleleft S 21^{h30}. — Chasseron: Nebelmeer: (Mittelland): 25. I. (1600). — Gewitter: 2. (\square) 13^{h30}, \triangleleft E 21^{h30}, 3. T W 9—11^h, 6. \triangleleft W 21—21^{h30}, 7. (\square) W 16—16^{h15}, 8. \triangleleft E 21^{h30}, 17. T NW 18^{h50}, 18. \triangleleft SSW 21^{h30}, 19. T 12—14^h, \triangleleft N 21^{h30}, 22. \square W 20—20^{h30}, 30. (\square) SE 21^h. — Bever: Gewitter: 22. \square 16^{h30}—16^{h30}. — Schneegrenze: 10. 2000 m. — Sion: Gewitter: 2. \square 17^{h55}—17^{h30}, 3. \square 14^{h20}—16^{h40}. — Hochnebel: 11. mtg., 12. Vm, 21. d. g. T., 22. 24. mtg. — Schneegrenze: 23. 2500 m, 27. 2500 m. — Lugano: Nordföhn: 4. 11. 27. 28. d. g. T. — Gewitter: 9. \square 22^h, 22. \square 21^{h30}, 23. \square 14^{h40}. — Basel: Gewitter: 3. \triangleleft NW 7^{h10}, \triangleleft 11^{h30}, (\square) WSW—ENE 18²⁰—18^{h50}, 6. \triangleleft SW 22—23^h, 16. \triangleleft N 22—23^h, 17. (\square) SE 19^h, 18. (\square) SE 11⁵⁵—12^h, (\square) S 12^{h10}—12^{h40}, 19. (\square) S 14^{h00}—14^{h55}, (\square) SE 14^{h50}—15^{h20}, \square 18⁴⁵—19^{h20}, \square SW 22¹⁵—23^{h30}. — Säntis: Föhnmauer: 9. fr., 24. 10^{h30}, 25. mtg.—n, 26. d. g. T. — Gewitter: 3. \square SW \rightarrow NE 16³⁰—17^{h45}, 8. \triangleleft S 21^{h15}, 19. \triangleleft 21^{h30}, \square n, 24. \triangleleft T S 17^{h45}, T S 18^{h30}. — Neuschnee: 11. 20 cm, 23. 4 cm, 27. 32 cm. — Schneehöhe: 13. 5 cm. — Schneegrenze: 27. 1600 m, 30. 2000 m. — St. Gotthard: Nebblig: 7. Vm. — Gewitter: 3. \square \triangleleft 21^{h30}. — Schneehöhe: 6. 45 cm.

Juli

Bern: Alpen klar: 13. 26. 27. 31. I. — Alpen hell: 13. 26. 31. II. — Alpensichtbar: 3. II., 22. III., 25. II., 28. 29. I. — Alpenschwach sichtbar: 2. 4. I., 6. II., 25. I., 29. II. — Gewitter: 1. (\square) W u. N 16^h, 2. (\square) W—N 13⁴⁰—14^{h05}, 7. \square 19³⁰—20^{h25}, 14. (\square) NW 14^h, 15. (\square) SW 21^h, (\square) NW 21⁵⁵—22^{h30}, 16. (\square) 12^{h4}—13^h, \square 12^{h10}, 20. (\square) SSE 3⁴⁵—4^{h30}, (\square) W—N 13—13^{h25}. — Neuchâtel: Gewitter: 1. (\square) W 15—16^h, 7. \square 19—20^{h30}, 15. (\square) SSE 18¹⁵—19^{h05}, 16. \square SSE 12—12^{h15}. — Aitdorf: Dunst: 26. Vm, 30. abd. — Schneegrenze: 3. 1600 m. — Gewitter: 7. \square 16¹⁰—18^h, 11. T 18^{h55}, 13. T 20^h, 15. \triangleleft NW 21^{h30}, 20. \square 6—7^{h05}, T W 14^{h10}. — Genève: Gewitter: 1. \square 17—19^{h20}, 2. \square 15⁵⁰—18^{h30}, 22. \square 20^{h10}—21^h, 29. 7³⁰—9^{h50}. — Zürich: Alpen hell: 3. Nm. — Alpensichtbar: 26. 28. Vm. — Dunst: 1. 7. Vm, 8. 9. 11. d. g. T., 19. 23. 26. 28. Vm. — Talnebel: 7. Vm z. Teil, 30. Vm z. T. — Gewitter: 1. T N 18^{h18}, \square 18^{h10}—19^{h50}, 2. T W 15^{h40}, \square 16^{h18}—17^{h15}, 15. (\square) 3⁴⁰—4^{h05}, (\square) S 19³⁰—22^h, 16. T S—SE 13^{h10}, 20. (\square) SW 6^{h10}—8^h, (\square) S 13—15^h, 29. T W 12^{h10}, \square 12^{h25}—13^{h10}. — Chasseron: Nebelmeer (Mittelland): 6. I. (1200), 7. I. (1600), 8. I. (1000), 9. I. (1200), 18. I. 1600, 25. I. (600), 27. I. (1100), 30. I. (1600), 31. I. (1100). — Gewitter: 1. (\square) W—E 16^h, 2. (\square) W 13^{h30}, 7. (\square) SW 15^h, \square 15^{h40}, 11. (\square) W 14^{h30}, (\square) SSW—N Nm, \triangleleft 21^{h30}, 16. (\square) Suchet 10^{h30}, (\square) Jorat 13^{h30}, (\square) Côte aux Fées 14^h, \square 10^{h30}—14^h. — Bever: Gewitter: 3. \square NE—SW 10⁴⁵—11^{h30}, 10. \square 17¹⁵—17^{h20}, 14. \square 17^h, \square 19—19^{h40}, 16. \square 14^{h05}, 22. \square 11³⁰—12^{h45}. — Sion: Gewitter: 1. \square 16^{h5}—16^{h15}, 7. \square 14^{h5}—14^{h35}, 15. \square 17⁵⁰—18^{h20}, 20. \square 4³⁰—5^{h45}. — Lugano: Nordföhn: 17. d. g. T. — Gewitter: 2. \square 13^{h50}, \square 21—21^{h30}, 3. \square 10—11^h, 4. \square 6—7^{h30}, 10. \square 15²⁵—16^h, 12. \square 5—5^{h30}, 16. \square 5—6^{h40}, \square 11³⁰—12^h, 21. (\square) n, 22. \square 9⁵⁰—11^h, \square 18—19^{h10}. — Basel: Gewitter: 1. \square 16^{h25}—17^{h30}, 5. \square 14^{h15}—14^{h25}, 7. \square NE—E 16³⁰—17^{h50}, 11. T S 17²⁵—17^{h30}, 15. \square 16^{h30}—17^{h45}, \square SW—NW 19⁵⁰—21^{h30}, 16. (\square) 11^{h40}, (\square) 13^{h05}. — Säntis: Gewitter: 1. (\square) NE 13^{h45}, 2. (\square) E 13^{h55}, \square 15⁴⁵—16^{h15}, 10. (\square) E 18^{h15}, 11. \square 15—15^{h30}, 13. (\square) E 15^h, 14. (\square) SW—SE 17^{h45}, 15. (\square) W 18^h, (\square) E 18^{h15}, (\square) N u. S 21^h, 16. (\square) SW—N 13³⁵—14^h, 20. (\square) W 6^{h45}, \square 7³⁵—8^{h05}, \square 15³⁵—15^{h50}, \triangleleft 15³⁵—15^{h40}, 26. \square SE 19¹⁰—19^{h20}, 29. T NW 12⁵⁰—13^h, \square SE 14³⁵—14^{h50}. — Neuschnee: 3. 2 cm, 4. 8 cm, 5. 5 cm, 23. 3 cm, 24. 7 cm. — Schneehöhe: 4. 8 cm, 25. 5 cm. — Schneegrenze: 3. 1800 m, 25. 2300 m. — St. Gotthard: Nebblig: 31. III. — Nebelmeer: 29. I. S 1700 m. — Gewitter: 3. \square 8^h, 9. \square 20^{h20}—20^{h30}, 20. \triangleleft 7^{h20}—7^{h30}. — Neuschnee: 3. 15 cm.

August

Bern: Alpen klar: 5. I., 10. I. II., 14. 18. 24. I., 27. 28. I. II. — Alpen hell: 1. I. II., 9. 14. II., 15. 17. I., 24. II.,

29. I. — Alpensichtbar: 5. 8. II., 9. 13. I., 15.—17. II., 20. I. — Alpen schwach sichtbar: 13. 18. II., 19. I., 20. II., 21. I., 25. 26. II. — Neblig: 29. abd. — Gewitter: 1. < 21—22^{h30}, 2. ☒ 9¹⁵—10^{h20}, 6. (☒) 16—16^{h15}, (☒) 17⁰⁵—17^{h35}, 10. < 21^{h30}, 11. (☒) SW 19—19^{h30}, (☒) SW 20⁰⁵—20^{h30}, (☒) NW 21³⁰—22^h, 17. < S—SE 21—24^h, 18. < 23^h, 19. (☒) SW 12—12^{h45}, (☒) NW—E 15—15^{h20}, (☒) N 18⁴⁵—20^{h10}, ☒ SW 21⁵⁵—22^{h15}, 25. ☒ 21—21^{h15}, 31. (☒) 16^h, ☒ 17³⁰—21^{h00}. — Neuchâtel: Gewitter: 2. (☒) N 9¹⁵—9^{h30}, 6. (☒) 16—16^{h30}, ☒ 23^{h30}, 11. (☒) NNW—SSE 17—20^h, 17. (☒) WNW 21^h, 18. ☒ 0—0^{h30}, ▲ 0³⁰—0^{h35}, 19. (☒) 15^h, 25. (☒) SW—E 20—21^{h15}, 30. (☒) SSE—SE 19³⁰—19^{h45}, 31. (☒) 18—20^h. — Altdorf: Dunst: 5. 10. 11. 28. Vm. — Föhn: 11. 18^{h10}, 18. 17.—19. abd., 29. 5³⁰—8^{h40}. — Gewitter: 1. ☒ NW—S 21^{h35}, 2. ↑ NW 13^h, 6. ☒ 15^h, ☒ 18^h, 10. < 22^h, 16. ☒ 9⁵⁵—11^{h10}, 19. ☒ abd., 31. ▲ 19³⁵—20^{h30}. — Genève: Gewitter: 6. (☒) 21^{h20}, 11. (☒) 19^{h20}, ↑ 20^h, 19. (☒) ▲ 13²⁵—14^h, ☒ 14¹⁰—14^{h30}, ☒ 14⁵⁰—15^{h15}, ☒ 15³⁰—20^{h50}, 21. ☒ abd., 25. ☒ 2—6^{h10}, ☒ 20⁴⁵—21^{h10}, 31. ☒ 17¹⁰—24^{h30}. — Zürich: Alpen hell: 9. Vm, 10. d.g.T., 17. Nm, 21. Vm, 27. Nm, 28. Vm. — Alpen sichtbar: 14. 15. 17. Vm, 21. Nm, 27. Vm. — Alpen schwach sichtbar: 11. Vm, 14. Nm, 18. d.g.T., 28. Nm. — Föhnmauer: 21. Vm. — Dunst: 5. Vm, 29.—31. d.g.T. — Taldunst: 27. 28. Nm. — Talnebel: 29. fr. — Gewitter: 2. (☒) W 10^{h55}, ☒ SW—S—SE 11¹⁴—11^{h40}, (☒) S 13^{h20}, 6. ☒ 13³⁰—14^h aus NW, 7. < NE 21^{h30}, ☒ n, 10. ↑ 20¹⁵—21^h, < 20¹⁵—11. 5^h, < W ab 19^h, ☒ 20—20^{h45}, 12. (☒) S—SE—E 17¹³—17^{h45}, 16. (☒) N 13³⁰—14^{h40}, 18. < SSW 21^{h30}, 19. (☒) 13⁰²—14^{h10}, ☒ SSE 17^{h15}, ☒ 18²⁰—20^{h01}, 25. (☒) 19⁵⁵—20^{h45}, ☒ 21^{h30}. — Chasseron: Nebelmeer (Mittelland): 2. I. (1300), 9. I. (1600), 15. I. (1580), 17. I. (1300), 27. I. (900), 28. I. (800). — Gewitter: 1. (☒) Alpen 21^{h05}, 2. (☒) 9¹⁰—10^{h20}, 6. ↑ 13⁵⁵—15^h, ☒ 17⁵⁵—19^h, 10. ☒ ▲ 16⁴⁰—17^{h40}, 11. (☒) NE 18—18^{h15}, 17. (☒) ▲ 22²⁰—23^{h40}, 18. < NW 21^{h30}, 19. (☒) SW—NW 14¹⁵—14^{h45}, ☒ 15⁴⁰—15^{h50}, 25. (☒) 19⁵⁰—20^{h20}, < 21^{h30}, 31. ☒ 13—18^{h10}, < 21^{h30}. — Bever: Gewitter: 2. (☒) NW—SE 19—20^h, < 20—22^h, 6. (☒) NE u. SW 17⁴⁰—18^{h40}, < 18¹⁰—20^h, 16. ☒ 13⁴⁰—14^{h15}, 19. < 21—22^{h30}, 20. (☒) NE 7¹⁰—7^{h40}, ☒ 10—10^{h25}. — Schneegrenze: 22. 2000 m. — Sion: Gewitter: 1. ☒ 19⁴⁰—21^{h10}, 2. ☒ 16—21^h, 11. ☒ 20⁴⁰—23^{h10}, 19. ☒ 19—22^{h30}. — Hochnebel: 8. I. 1500 m, 12. I. 2000 m. — Schneegrenze: 20. 2600 m. — Lugano: Nordföhn: 2. Vm. — Gewitter: 2. ☒ 5⁴⁰—8^h, 11. (☒) 20^{h40}, ☒ 21⁴⁵—22^{h30}, 12. ☒ ▲ 16⁵⁰—18^h, 18. ☒ 13⁰—2^{h30}, ☒ 6¹⁵—8^{h15}, < W 22¹⁰—23^{h30}, 19. ☒ fr., < SE 22—23^h, 20. ↑ 7^{h25}, ☒ 7²⁵—8^{h30}. — Basel: Dunst: 30. 31. I. — Gewitter: 6. (☒) 20⁵⁵—21^{h10}, 10. (☒) SW—SE 18⁰⁵—18^{h35}, ☒ WSW 18¹⁰—20^{h20}, (☒) 21^{h50}, 11. (☒) 18⁵⁰—19^{h30}, ▲ 18³⁰—18^{h55}, 19. ☒ 11¹⁰—11^{h13}, ☒ SW—NE 14²⁷—14^{h55}, 25. ☒ ESE 19⁵⁰—20^{h15}, 31. (☒) N 17⁰⁷—18^{h14}, ☒ SSE 19⁴⁰—20^{h15}. — Säntis: Föhnmauer: 18. d.g.T., 19. n—14^{h30}, 21. d.g.T., 22. 10^{h15}—n. — Gewitter: 1. ☒ 21¹⁵—22^{h40}, 2. ☒ N 5³⁰—6^{h25}, ☒ 12—13^{h45}, 6. ↑ N 15—15^{h15}, ☒ 16⁵⁵—17^{h15}, 10. (☒) 19^{h30}—n, 11. < SW 20^h—n, 15. < SW 21^{h30}, 16. ☒ 8³⁵—8^{h50}, 17. (☒) SW 21^{h30}, 18. (☒) W 21^{h30}, 19. (☒) E 19⁵⁵—20^{h20}, 31. (☒) W 20^{h45}. — Neuschnee: 26. 6 cm. — St. Gotthard: Neblig: 17. 18^{h30}—n. 21. I. — Nebelmeer: 25. S 10³⁰—19^h. — Gewitter: 2. ☒ 16—16^{h05}, 10. < 21^h—n, 11. ☒ 20³⁰—21^{h30}, 16. ☒ 3—3^{h15}, 19. ☒ 16—18^h, ▲ 18—18^{h20}.

September

Bern: Alpen klar: 14. 15. 25. 27. I. II., 28. II., 29. 30. I. — Alpen hell: 23. J., 24. I. II., 30. II. — Alpen sichtbar: 20. I., 29. II. — Alpen schwach sichtbar: 19. II., 21. I. — Neblig: 19. I. — Gewitter: 9. < E 19^{h25}, 22. ☒ 17⁴²—18^{h05}. — Neuchâtel: Gewitter: 7. (☒) W 13—13^{h30}, 8. ☒ W—NE 11—12^h, ☒ 13^{h30}, 22. ☒ 17^{h05}. — Altdorf: Dunst: 12. abd., 13. Vm. — Föhn: 29. 20^{h45}—30. abd. — Gewitter: 7. ☒ 4^h, ↑ 18^h, 9. ↑ 21^h, 16. ↑ 17^{h45}, 22. ↑ SE 18^{h45}. — Genève: Gewitter: 1. ☒ 1¹⁰—2^{h50}. — Zürich: Alpen klar: 25. d.g.T. — Alpen hell: 30. Vm. — Alpen sichtbar: 24. d.g.T., 30. Nm. — Alpen schwach sichtbar: 15. Vm. — Föhnmauer: 30. Vm. — Dunst: 18. Vm, 27. d.g.T. — Taldunst: 28. d.g.T. — Neblig: 6. Vm. — Talneblig: 27. fr. — Talnebel: 15. Vm. — Gewitter: 8. ☒ 13²⁵—13^{h45}, < SE 21^{h05}, 9. < 20^{h45}, 10. < 20⁴⁰—22^h, 16. ☒ SW—SE 17⁴²—18^{h25}. — Chasseron: Nebelmeer (Mit-

telland): 2. I. 1100, 3. I. (1600) II. (1600), 4. I. (800) II. (1300), 5. I. 1050, II. (1300), 6. I. (1400), 9. I. 1600, 10. I. 1600, 13. I. 1600, 22. I. 1600, 27. I. 1600, 28. II. 1000, 30. I. 700. — Gewitter: 1. ↑ E 15—15^{h45}, 2. (☒) WSW 21^{h30}, 7. (☒) E 9—9^{h30}, ☒ 23⁴⁰—24^{h05}, 16. (☒) 4¹⁵—5^h. — Bever: Gewitter: 10. ☒ 14⁴⁰—15^{h45}, ☒ 16—17^{h30}, 22. ☒ 16—17^{h10}. — Schneegrenze: 22. 2000 m. — Sion: Gewitter: 1. ☒ 0⁵⁰—1^{h30}. — Hochnebel: 17. I. 600 m, 18. I. 800 m. — Lugano: Nordföhn: 22. Nm—23. Vm, 26. Nm —n. — Gewitter: 10. (☒) 16^{h30}, 17. ☒ 14²⁵—14^{h55}, ☒ 16³⁰—17^{h50}. — Basel: Dunst: 2. I. II., 14. I. — Purpurlicht: 4. 22—23^{h30}. — Gewitter: 7. < 21^h, 8. (☒) 5^{h45}, ☒ 8—8^{h35}, 16. < 23^{h30}, 21. (☒) 14—14^{h20}, 22. (☒) SE 17^{h40}. — Säntis: Föhnmauer: 19. 7^h—n, 30. d.g.T. — Gewitter: 3. (☒) ESE 21^{h40}, 7. (☒) W—SE 17^{h40}, 8. ☒ W—SE 14⁴⁵—15^{h35}, ▲ 14⁵⁰—14^{h55}, 16. ☒ 19⁰⁵—19^{h40}. — Neuschnee: 22. 1 cm, 23. 8 cm. — Schneegrenze: 23. 2000 m. — St. Gotthard: Nebelmeer: 5. S Vm 1900 m.

Oktober

Bern: Neblig: 3. 5. 9. 10. 22. 25. Vm. — Gewitter: 11. ☒ 2^h. — Altdorf: Dunst: 5. Vm, 8. d.g.T., 9. Nm, 30. Vm. — Neblig: 6. Nm, 7. 9. 25. Vm, 26.—28. d.g.T. — Föhn: 3. Nm — 4. Vm. — Genève: Gewitter: 10. ☒ 0¹⁰—1^{h50}, ↑ abd. — Zürich: Alpen hell: 3. Nm. — Alpen sichtbar: 31. Nm. — Alpen schwach sichtbar: 22. 24. Nm. — Föhnmauer: 4. Vm. — Föhn-lücke: 4. Vm. — Dunst: 4. Vm. — Taldunst: 1. Vm. — Neblig: 7. 8. d.g.T., 10. Nm, 24. Vm, 25.—29. d.g.T. — Talneblig: 5. Vm, 30. Nm. — Nebel: 9. Vm (150 m). — Talnebel: 3. 4. 12. Vm. — Hochnebel: 7. 8. 25.—28. d.g.T., 29. Vm. — Gewitter: 11. ☒ 0⁵⁰—1^{h10}. — Chasseron: Nebelmeer (Mittelland): 3. I. (1500), 8. II. 1400, 9. I. 800, 10. I. (700), 11. I. (700), 22. I. (1400), 24. I. (1300), II. (1300), 25. I. 1300 II. 1600 III. 1300, 26. I. 1300 II. 1300 III. 1300, 27. I. 1300 II. 1200 III. 1200, 28. I. 1200 II. 1200 III. 1100, 29. I. 1000 II. (1000), 30. I. 800, 31. I. (800). — Neuschnee: 17. 6 cm, 18. 9 cm, 19. 3 cm, 21. 2 cm. — Schneehöhe: 17. 6 cm, 24. 16 cm. — Gewitter: 10. (☒) N 8—9^h, (☒) 13⁴⁵—14^{h30}, 11. < W 20^{h30}, 13. ▲ 5^h, 20. ▲ Vm. — Bever: Neuschnee: 17. 10 cm, 18. 6 cm, 20. 2 cm, 21. 30 cm. — Schneehöhe: 17. 10 cm, 24. 25 cm, 31. 10 cm. — Schneegrenze: 2. 2500 m, 6. 2000 m, 13. 1900 m, 14. 1800 m. — Sion: Hochnebel: 1. 9^h—n, 2. 5. Vm. — Schneegrenze: 13. 1800 m, 14. 2000 m, 17. 900 m. — Lugano: Nordföhn: 13. 8^h—n, 15. Nm — 19. Vm, 21. d.g.T. — Gewitter: 2. ☒ 0¹⁵—1^h, 10. ☒ 13²⁰—13^{h45}, 11. ☒ 5⁵⁰—6^{h10}. — Basel: Dunst: 29. mtg. — Gewitter: 10. < NW 20—22^h, 20. (☒) W 15^h. — Säntis: Föhnmauer: 3. 15^h—n, 4. d.g.T., 5. 12^{h30}—n, 10. 9^h—n, 11. 13^h—n. — Neuschnee: 2. 9 cm, 3. 6 cm, 6. 4 cm, 7. 2 cm, 13. 10 cm, 14. 10 cm, 15. 2 cm, 17. 18 cm, 18. 126 cm, 19. 14 cm, 20. 48 cm, 21. 88 cm, 22. 53 cm. — Schneehöhe: 17. 24 cm, 24. 160 cm, 31. 100 cm. — Schneegrenze: 2. 2200 m, 13. 1400 m, 21. 800 m, 23. 900 m, 28. 1100 m. — St. Gotthard: Neblig: 11. Vm, 12. mtg. — Neuschnee: 2. 2 cm, 13. 2 cm, 17. 10 cm, 18. 10 cm, 20. 3 cm, 21. 10 cm, 22. 5 cm. — Schneehöhe: 17. 10 cm, 24. 45 cm.

November

Bern: Neblig: 2. 20. Vm, 23. abd., 29. 30. d.g.T. — Altdorf: Dunst: 2. Vm, 3. 4. abd., 5. d.g.T., 6. 7. abd., 13. Vm, 14. mtg., 15. Vm, 16. 18. d.g.T., 19. 20. mtg., 21. d.g.T., 22. mtg., 25.—29. d.g.T., 9. mtg., 24. 30. d.g.T. — Zürich: Neblig: 5. 7. d.g.T., 13. Nm, 14.—16. d.g.T., 17. Vm, 18.—23. 25.—30. d.g.T. — Nebel: 24. d.g.T. (100—200 m). — Hochnebel: 5. 7. d.g.T., 13. Nm, 14.—18. d.g.T., 19. Vm, 20.—23. 25.—30. d.g.T. — Chasseron: Nebelmeer (Mittelland): 2. I. (1200) II. (1300), 7. I. 1500 II. 1400 III. 1400, 17. III. (1500), 18. I. 1400 II. (1400) III. 1200, 19. I. 1000 II. (800) III. 800, 20. I. 800 II. 900 III. 1000, 21. I. 1300 II. 1300 III. 1300, 22. I. 1300 II. 1200 III. 1200, 23. I. 1200 II. 1200 III. (900), 24. I. 900 II. 800 III. 800, 25. I. 900 II. 1200 III. 1200, 26. I. 1200 II. 1200 III. 1200, 27. I. 1300 II. 1300 III. 1300, 28. I. 1200 II. 1300 III. 1300, 29. I. 1200 II. 1200 III. 1200, 30. I. 1100 II. 1200 III. 1200. — Neuschnee: 6. 5 cm, 11. 2 cm, 12. 2 cm, 13. 3 cm. — Schneehöhe: 14. 10 cm. — Bever: Neuschnee: 1. 8 cm, 2. 3 cm, 3. 0,5 cm, 4. 0,2 cm, 10. 0,2 cm, 11. 10 cm, 12. 18 cm, 13. 7 cm. — Schneehöhe: 8. 9 cm, 13. 40 cm, 17. 30 cm. — Sion: Dunst: 14. Nm, 15. 23. Vm, 29. 30. Nm. — Hochnebel: 3. d.g.T. — Schnee-

grenze: 3. 1000 m, 11. 800 m. — **Lugano:** Nordföhn: 1. d.g.T. — **Basel:** Dunst: 20. mtg., 25. d.g.T. — **Säntis:** Föhnmauer: 14. 12—14^b, 17. 10^{h30}—n, 18. d.g.T., 21. 12^b—n, 22. d.g.T., 25. n—19^h. — **Neuschnee:** 1. 14 cm, 2. 18 cm, 3. 2 cm, 4. 36 cm, 5. 24 cm, 9. 0,5 cm, 10. 4 cm, 11. 8 cm. — **Schneehöhe:** 7. 110 cm, 14. 112 cm, 21. 100 cm, 28. 90 cm. — **Schneegrenze:** 19. 1200 m, 21. 1300 m, 23. 1400 m. — **St. Gotthard:** Neblig: 12.—14. Vm, 18. mtg. — **Neuschnee:** 4. 6 cm, 6. 2 cm, 7. 3 cm, 10. 2 cm, 11. 22 cm, 12. 20 cm, 13. 10 cm, 14. 2 cm, 18. 2 cm, 22. 3 cm. — **Schneehöhe:** 7. 15 cm, 14. 50 cm, 21. 45 cm, 28. 30 cm.

höhe: 26. 13 cm, 27. 10 cm. — **Chasseron:** Nebelmeer (Mittelland): 2. II. (1500), 3. I. (1300), 4. I. 1200 II. 1200 III. 1200, 5. I. 1100 II. (1100) III. 1100, 6. I. (1300) II. (1300), 7. I. 1300 II. 1200 III. 1100, 8. II. 800, 22. I. (800) II. (800) III. 1100, 23. I. (800) II. (800) III. (900) 29. III. (1400), 30. I. (900) III. (800), 31. I. (800) II. (800). — **Neuschnee:** 10. 3 cm, 11. 2 cm, 12. 14 cm, 14. 2 cm, 16. 2 cm, 25. 15 cm, 29. 0,5 cm. — **Schneehöhe:** 12. 19 cm, 19. 10 cm, 26. 15 cm. — **Gewitter:** 16. ☒ 20³⁰—20^{h50}. — **Bever:** Neuschnee: 11. 2 cm, 12. 5 cm, 13. 1 cm, 14. 10 cm, 15. 5 cm, 17. 9 cm, 18. 12 cm, 21. 15 cm, 22. 24 cm, 23. 3 cm, 25. 3 cm, 28. 3 cm. — **Schneehöhe:** 12. 30 cm, 19. 67 cm, 27. 84 cm. — **Sion:** Dunst: 2. 3. d.g.T., 23. Nm. — **Neuschnee:** 12. 3 cm. — **Schneehöhe:** 13. 2 cm. — **Lugano:** Schneehöhe: 11. 2 cm. — **Gewitter:** 20. ☒ 18^{h12}. — **Basel:** Dunst: 3. 5. 7. 8. mtg., 9. Vm. — **Säntis:** Föhnmauer: 15. 16. 18.—21. d.g.T., 22. Nm, 23. n—15^h. — **Gewitter:** 17. (☒) S 21^{h30}. — **Neuschnee:** 10. 28 cm, 11. 12 cm, 12. 19 cm, 13. 14 cm, 14. 9 cm, 15. 9 cm, 17. 5 cm, 18. 5 cm, 22. 5 cm, 24. 4 cm, 25. 15 cm, 26. 9 cm, 28. 39 cm, 29. 40 cm, 30. 9 cm. — **Schneehöhe:** 5. 90 cm, 19. 140 cm, 26. 160 cm. — **Schneegrenze:** 2. 1400 m, 9. 800 m, 16. 900 m, 19. 1000 m, 22. 1200 m, 27. 31. Bodensee. — **St. Gotthard:** Neblig: 2. abd., 11. 26. mtg., 28. Vm. — **Neuschnee:** 10. 3 cm, 12. 14 cm, 13. 15 cm, 14. 15 cm, 15. 4 cm, 16. 12 cm, 17. 12 cm, 18. 5 cm, 19. 6 cm, 20. 40 cm, 21. 85 cm, 22. 90 cm, 23. 10 cm. — **Schneehöhe:** 5. 30 cm, 12. 44 cm, 19. 75 cm, 25. 220 cm.

Dezember

Altdorf: Dunst: 1.—7. d.g.T., 8. mtg., 9. 10. d.g.T., 21. Vm, 23. d.g.T. — **Neblig:** 8. Vm, 26. d.g.T. — **Föhn:** 11. Vm, 13. d.g.T., 15. Vm — 17. Vm, 18. Nm — 20. Nm, 22. Nm. — **Genève:** Gewitter: 16. (☒) 19^{h45}, ☒ 20^{h30}. — **Zürich:** Alpenklar: 14. d.g.T., 16. Vm, 18. 19. d.g.T. — **Alpen hell:** 17. d.g.T., 21. Vm. — **Alpen sichtbar:** 20. Vm, 21. 31. Nm. — **Alpen schwach sichtbar:** 27. Vm. — **Föhnmauer:** 19. d.g.T. 21. Nm. — **Dunst:** 2. 3. 5. 7. 8. d.g.T., 21. Nm, 23. 26. d.g.T. — **Taldunst:** 18. Nm. — **Neblig:** 1. 4. 6. 25. d.g.T. — **Talneblig:** 18. Vm, 19. d.g.T., 20. Vm. — **Nebel:** 31. Vm (50 m). — **Hochnebel:** 1. 2. d.g.T., 3. Vm, 4. 5. d.g.T., 6. n—14^h, 8. Vm, 18. fr. 23. d.g.T., 25. Nm, 26. d.g.T. — **Neuschnee:** 25. 16 cm, 26. 1,5 cm. — **Schnee-**

Säntis Nebelmeer

Obergrenze des Nebelmeeres in Hektometer über Meer; ohne Klammer: geschlossenes, mit Klammer: aufgelockertes Nebelmeer.

1958 Januar

	1.	2.	3.	4.	11.	14.	15.	16.	17.	18.	21.	22.	23.	24.	25.	26.	27.	28.	29.	30.	31.	
7 ³⁰	(10)	—	8	10	—	—	11	12	8	—	—	(27)	16	(10)	(8)	7	—	8	7	7	8	
10 ³⁰	(9)	7	10	9	—	—	21	12	12	—	—	(20)	8	16	—	(8)	7	—	8	7	7	8
13 ³⁰	(10)	7	13	9	—	—	17	12	12	8	—	(26)	(20)	20	—	—	(7)	(8)	8	7	7	8
16 ³⁰	—	—	13	—	(10)	—	17	12	11	7	—	—	—	—	—	—	—	8	7	7	9	
21 ³⁰	—	—	15	8	—	—	13	11	7	16	—	—	—	—	8	—	—	8	8	8	9	

Februar

	1.	2.	3.	4.	9.	10.	12.	14.	18.	22.	23.
7 ³⁰	9	7	7	9	—	5	—	—	—	—	11
10 ³⁰	8	7	(7)	8	—	5	(9)	—	—	—	11
13 ³⁰	8	7	(7)	8	24	5	—	(20)	24	—	16
16 ³⁰	8	7	—	(8)	24	—	—	—	24	—	14
21 ³⁰	7	7	25	—	—	—	—	—	—	(22)	10

März

	1.	4.	5.	6.	9.	11.	16.	17.	18.	19.	22.	23.	27.	28.	29.	30.	31.
7 ³⁰	8	14	6	(10)	—	(8)	(10)	(7)	—	—	25	7	—	—	(24)	—	—
10 ³⁰	10	15	6	(24)	—	—	(16)	(9)	—	—	20	7	—	—	—	—	—
13 ³⁰	14	16	—	—	(15)	—	(15)	—	—	—	25	18	—	—	—	24	16
16 ³⁰	16	15	—	—	—	—	—	—	—	25	20	21	(10)	—	—	—	18
21 ³⁰	12	(10)	—	—	—	—	—	—	25	—	(20)	—	—	(23)	—	—	17

April

	1.	2.	12.	13.	14.	15.	17.	18.	19.	20.	21.	23.	24.	26.	30.		
7 ³⁰	16	—	16	14	11	7	—	24	—	20	—	24	—	(10)	10		
10 ³⁰	—	—	15	14	9	11	—	25	—	—	(26)	22	(10)	(10)	15		
13 ³⁰	—	—	17	15	10	—	—	24	25	—	—	—	—	22	19	(22)	20
16 ³⁰	19	24	18	(17)	(18)	—	—	—	—	—	—	—	—	—	—	(16)	21
21 ³⁰	24	—	—	—	—	—	—	22	(25)	—	—	—	—	24	—	—	—

Mai

	1.	2.	6.	9.	12.	13.	14.	16.	17.	19.	20.	22.	23.	26.	27.	28.	29.	30.	31.
7 ³⁰	—	—	18	—	9	13	8	21	—	—	6	22	18	14	—	—	9	(6)	7
10 ³⁰	(9)	(10)	—	10	8	12	8	—	—	24	—	22	16	—	—	—	16	—	7
13 ³⁰	16	—	—	—	12	12	8	—	—	25	—	21	—	22	16	—	18	—	—
16 ³⁰	10	—	—	—	—	13	—	—	—	25	—	20	—	23	—	—	23	—	—
21 ³⁰	—	—	—	—	16	12	—	—	—	22	—	17	—	18	—	9	21	6	—

Juni

	3.	6.	7.	9.	12.	13.	20.	24.	25.	26.	29.	30.
7 ³⁰	16	—	—	20	20	(20)	24	—	—	(5)	(20)	(6)
10 ³⁰	23	(10)	—	—	20	9	24	—	—	20	—	18
13 ³⁰	—	—	—	—	23	—	—	—	—	24	—	20
16 ³⁰	—	—	—	—	(17)	—	—	—	—	(21)	—	22
21 ³⁰	—	—	—	—	18	—	20	—	—	—	(9)	—

Juli

	7.	8.	9.	10.	11.	15.	18.	21.	25.
7 ³⁰	6	16	13	—	18	9	(8)	—	—
10 ³⁰	—	—	16	—	18	—	(21)	(23)	—
13 ³⁰	—	—	22	—	—	—	33	—	—
16 ³⁰	—	—	20	—	—	23	18	—	—
21 ³⁰	—	—	22	23	—	—	18	—	—

August

	17.	18.	21.	22.	24.	27.	28.	29.	30.	31.
7 ³⁰	22	(6)	—	(10)	—	(7)	(6)	(6)	—	7
10 ³⁰	24	—	24	25	—	(7)	—	—	(10)	16
13 ³⁰	24	—	16	25	—	—	—	—	—	17
16 ³⁰	—	—	—	—	—	—	—	—	(10)	17
21 ³⁰	—	—	—	—	—	—	—	—	—	—

September

	1.	2.	3.	4.	5.	6.	10.	11.	12.	13.	14.	15.	16.	17.	19.	20.
7 ³⁰	21	9	12	9	7	6	—	9	13	7	6	6	—	16	11	6
10 ³⁰	16	17	—	9	8	—	—	10	16	9	6	6	—	16	14	6
13 ³⁰	16	16	—	—	—	—	—	—	16	—	—	—	—	16	17	—
16 ³⁰	—	17	—	—	—	—	—	22	—	15	—	—	—	15	—	17
21 ³⁰	17	15	—	7	—	—	—	16	10	12	—	—	—	—	—	14

September

	21.	24.	26.	27.	28.	29.	30.
7 ³⁰	(20)	(5)	—	16	6	6	6
10 ³⁰	(20)	—	—	(10)	8	6	6
13 ³⁰	(15)	—	—	(8)	—	—	—
16 ³⁰	—	—	—	(20)	—	—	—
21 ³⁰	—	—	23	19	—	—	—

Oktober

	1.	2.	3.	4.	5.	7.	8.	9.	10.	12.	22.	23.	24.	25.	26.	27.	28.	29.	30.	31.
7 ³⁰	16	—	17	6	—	21	19	8	7	6	12	15	9	9	10	11	9	10	7	6
10 ³⁰	—	16	8	—	21	18	8	7	—	15	15	9	10	10	11	9	9	7	6	—
13 ³⁰	—	—	16	18	22	—	17	8	7	—	15	10	10	10	11	9	9	(7)	6	—
16 ³⁰	—	—	—	—	—	—	—	—	—	—	18	—	10	10	11	9	(9)	—	—	—
21 ³⁰	—	—	—	—	—	20	(15)	20	22	—	17	—	(7)	—	—	—	—	—	—	—

November

	2.	5.	6.	7.	8.	9.	11.	12.
7 ³⁰	—	10	19	15	(8)	21	—	—
10 ³⁰	17	11	20	14	—	—	21	18
13 ³⁰	17	15	22	14	13	—	20	—
16 ³⁰	(10)	16	23	14	15	—	20	—
21 ³⁰	—	13	23	14	—	—	—	—

November

	13.	14.	15.	16.	17.	18.	19.	20.	21.	22.	23.	24.	25.	26.	27.	28.	29.	30.
7 ³⁰	21	18	—	16	18	13	8	8	12	11	12	7	9	10	14	13	13	8
10 ³⁰	23	18	19	16	17	13	8	8	12	13	12	8	9	10	14	13	12	8
13 ³⁰	23	19	20	17	(16)	13	8	9	13	12	12	8	9	13	14	12		

Jungfrauoch : Lufttemperaturen

1958

Tag	Januar			Februar			März			April			Mai			Juni		
	7 ³⁰	13 ³⁰	21 ³⁰	7 ³⁰	13 ³⁰	21 ³⁰	7 ³⁰	13 ³⁰	21 ³⁰	7 ³⁰	13 ³⁰	21 ³⁰	7 ³⁰	13 ³⁰	21 ³⁰	7 ³⁰	13 ³⁰	21 ³⁰
1	-11.2	-10.2	-11.8	-8.0	-8.2	-9.0	-13.4	-10.4	-12.0	-12.6	-11.8	-13.2	-6.0	-2.4	-4.8	-3.4	-2.6	-0.2
2	-11.4	-10.6	-11.8	10.6	-9.2	-9.6	-12.2	-14.6	-16.8	-15.8	-13.2	-13.8	-7.0	-5.4	-7.0	-0.2	-0.4	-2.2
3	-12.2	-11.6	-12.2	-11.6	-12.8	-11.0	-13.4	-14.2	-15.8	-14.6	-12.0	-12.2	-9.0	-7.4	-7.0	-3.6	-1.4	-6.2
4	-11.8	-12.2	-10.4	-10.4	-10.4	-10.2	-11.8	-11.6	-11.6	-12.0	-11.4	-12.6	-8.4	-7.8	-9.4	-9.2	-6.8	-8.4
5	-10.6	-11.0	-11.0	-9.6	-9.4	-10.4	-11.8	-10.6	-11.4	-14.0	-13.8	-16.6	-5.6	-4.8	-4.8	-6.6	-5.4	-3.0
6	-16.0	-10.0	-6.4	-11.8	-10.8	-13.0	-11.4	-11.8	-15.0	-17.8	-16.6	-15.0	-8.0	-6.6	-6.0	-2.0	-1.0	-1.8
7	-12.0	-15.0	-18.4	-12.6	-10.6	-10.2	-19.0	-20.2	-22.8	-15.4	-14.6	-15.6	-6.2	-5.4	-4.6	-4.4	-3.6	-4.2
8	-18.2	-18.0	-20.0	-9.8	-8.8	-8.8	-26.6	-25.2	-25.2	-18.2	-18.8	-21.0	-0.2	1.0	-0.2	-2.8	0.0	-1.4
9	-11.0	-9.6	-16.4	-9.8	-9.2	-10.8	-23.2	-22.4	-25.6	-22.6	-21.6	-21.6	0.8	0.2	1.6	-2.6	-0.8	-1.8
10	-17.6	-14.4	-16.8	-11.6	-10.4	-9.2	-28.6	-28.0	-26.0	-21.0	-20.2	-20.4	0.2	0.4	1.2	-3.4	-2.6	-7.0
11	-13.8	-16.0	-15.0	-10.0	-9.6	-13.6	-24.6	-24.0	-28.2	-22.8	-21.6	-20.2	-0.2	1.8	-1.0	-7.4	-7.0	-7.8
12	-17.6	-17.4	-20.6	-10.2	-7.2	-7.6	-29.4	-28.8	-28.0	-19.0	-17.0	-17.6	0.4	1.0	0.0	-8.4	-6.0	-9.2
13	-17.0	-5.8	-12.8	-7.2	-5.0	-3.2	-17.0	-15.6	-14.6	-14.8	-11.8	-11.4	-0.8	1.6	0.2	-7.8	-6.4	-8.6
14	-14.0	-9.0	-5.0	-5.8	-6.0	-8.2	-15.2	-15.6	-19.4	-11.4	-11.0	-12.0	-2.0	-2.0	-3.4	-2.0	-0.4	-0.4
15	-10.2	-3.2	-8.6	-7.0	-5.6	-5.4	-19.0	-17.4	-17.8	-12.6	-11.4	-12.6	-4.6	-3.6	-7.4	-2.8	-1.2	-2.2
16	-8.2	-1.2	-4.2	-5.6	-7.8	-5.8	-16.6	-14.4	-12.6	-13.6	-9.0	-16.6	-7.6	-6.8	-13.4	-4.2	-1.0	-2.0
17	-7.2	2.4	-8.0	-6.8	-8.2	-9.0	-11.6	-10.0	-11.4	-18.6	-18.4	-21.2	-12.6	-12.2	-7.6	-2.0	0.2	-1.2
18	-8.6	-7.0	-9.4	-14.4	-17.4	-27.0	-12.8	-12.8	-14.0	-22.2	-14.4	-16.0	-5.8	-4.6	-7.0	-0.8	0.2	-0.6
19	-12.4	-11.2	-7.8	-27.0	-27.8	-27.4	-17.6	-14.0	-15.2	-14.6	-13.8	-10.2	-4.4	-2.8	-1.4	-1.6	0.0	-1.6
20	-10.8	-12.2	-18.8	-20.8	-18.8	-18.6	-15.0	-14.4	-18.8	-9.6	-6.2	-7.6	-1.8	-1.6	-2.4	-2.0	-1.4	-2.4
21	-28.0	-24.8	-22.2	-16.0	-15.6	-15.6	-27.0	-25.8	-26.8	-8.0	-6.6	-8.2	-3.2	-0.4	-3.0	-2.8	-2.2	-4.8
22	-22.8	-17.8	-19.0	-16.2	-20.0	-22.2	-27.8	-23.2	-20.8	-8.0	-7.6	-10.0	-4.0	-1.4	-3.2	-6.0	-4.4	-5.8
23	-19.8	-12.6	-24.2	-15.6	-13.4	-11.6	-16.4	-14.4	-13.6	-11.8	-10.8	-8.2	-4.0	-2.8	-3.4	-8.2	-5.4	-5.6
24	-21.0	-21.8	-25.4	-11.2	-12.2	-13.6	-11.2	-9.2	-7.0	-7.6	-6.6	-8.0	-4.6	-2.6	-2.8	-4.6	-4.6	-7.8
25	-21.0	-11.6	-13.0	-14.0	-11.8	-13.0	-7.2	-6.0	-8.8	-9.2	-7.6	-15.2	-3.6	-1.8	-4.0	-9.0	-1.0	-1.0
26	-11.6	-9.4	-8.6	-14.2	-17.2	-25.6	-9.8	-8.8	-11.0	-14.2	-11.6	-9.0	-4.0	-3.0	-3.4	-3.8	-3.4	-4.0
27	-8.0	-7.2	-9.0	-20.2	-17.8	-18.4	-11.0	-9.8	-11.4	-9.0	-10.6	-15.4	-3.4	-1.2	-2.6	-10.0	-11.4	-9.8
28	-10.2	-8.4	-11.4	-16.6	-17.6	-17.0	-11.4	-9.2	-10.8	-19.6	-16.8	-10.0	-6.0	-4.6	-7.0	-9.8	-7.4	-3.4
29	-12.8	-10.0	-9.2				-12.2	-9.8	-11.2	-10.8	-11.8	-10.2	-3.6	-4.8	-4.4	-2.8	1.6	2.6
30	-9.2	-7.4	-8.2				-10.0	-9.6	-11.0	-7.4	-5.0	-6.0	-4.8	-3.8	-5.8	1.6	2.8	0.0
31	-8.2	-6.2	-8.4				-14.0	-12.4	-10.6				-4.8	-4.8	-3.2			
Mittel	-13.7	-11.0	-13.0	-12.3	-12.1	-13.0	-16.4	-15.3	-16.3	-14.3	-12.8	-13.6	-4.3	-3.2	-4.1	-4.4	-2.8	-3.7
Tag	Juli			August			September			Oktober			November			Dezember		
	7 ³⁰	13 ³⁰	21 ³⁰	7 ³⁰	13 ³⁰	21 ³⁰	7 ³⁰	13 ³⁰	21 ³⁰	7 ³⁰	13 ³⁰	21 ³⁰	7 ³⁰	13 ³⁰	21 ³⁰	7 ³⁰	13 ³⁰	21 ³⁰
1	-0.4	-0.2	-2.2	4.6	5.2	3.8	1.4	2.8	-0.8	-2.4	-3.0	-5.4	-15.0	-16.2	-18.4	-13.8	-12.8	-12.0
2	-3.4	-1.8	-4.0	3.0	2.8	1.8	-1.0	2.6	1.2	-7.2	-4.6	-6.2	-14.2	-11.2	-7.4	-12.2	-13.4	-14.4
3	-7.0	-6.4	-4.2	0.8	2.6	-3.2	-0.2	1.4	0.8	-4.2	-1.0	-0.4	-5.6	-7.2	-8.8	-16.0	-14.2	-14.4
4	-6.8	-7.0	-6.0	-3.2	-0.4	0.6	-1.0	0.4	0.4	-4.0	-2.8	-3.8	-10.0	-10.6	-12.8	-13.6	-10.2	-9.8
5	-5.8	-4.4	-5.4	2.2	3.4	3.0	-0.2	2.0	3.6	-7.6	-4.6	-4.0	-11.0	-7.2	-10.4	-7.6	-8.4	-9.4
6	-6.4	-3.8	-2.8	-0.2	1.0	0.4	3.0	4.8	3.0	-5.6	-4.6	-5.6	-10.6	-10.4	-11.0	-10.0	-12.4	-9.2
7	-2.4	-0.2	-2.6	-2.0	-2.4	-5.2	1.6	3.4	1.6	-7.0	-5.0	-5.0	-10.0	-9.0	-10.2	-8.8	-7.6	-9.6
8	-1.8	1.0	-1.0	-4.8	-7.8	0.0	0.6	2.2	-0.2	-2.6	1.0	1.2	-8.8	-6.2	-7.6	-9.0	-8.8	-12.0
9	0.2	1.2	1.0	1.2	5.0	4.0	-2.2	-0.4	-0.6	-0.0	1.0	-0.0	-8.0	-8.0	-9.0	-12.4	-13.4	-14.4
10	0.8	0.8	0.0	1.2	4.0	3.2	-2.2	-1.4	-2.0	-1.4	-1.4	-2.4	-10.8	-10.8	-12.4	-12.8	-15.8	-16.8
11	0.6	2.4	0.0	2.8	3.0	2.0	-7.2	-3.6	-2.2	-2.8	-2.0	-2.8	-14.0	-11.6	-11.0	-12.8	-14.2	-16.4
12	0.5	2.2	1.8	-2.2	-0.6	-3.4	-2.2	-0.4	1.4	-3.4	-2.8	-6.6	-8.8	-7.4	-8.0	-17.6	-15.0	-8.4
13	2.6	3.8	2.8	-4.8	-4.0	-1.4	0.8	1.8	1.8	-11.6	-12.8	-9.0	-7.4	-7.2	-8.4	-9.2	-8.4	-15.0
14	1.8	2.6	3.0	-2.0	0.4	0.8	0.8	1.0	1.0	-4.2	-4.0	-6.4	-9.4	-9.4	-10.4	-15.6	-16.8	-17.0
15	2.0	4.4	2.4	0.4	5.0	4.4	1.5	2.4	3.0	-5.6	-4.8	-8.8	-11.6	-10.6	-10.8	-15.0	-17.2	-14.2
16	1.4	0.4	-0.6	1.0	1.4	0.0	2.2	2.4	0.4	-9.2	-10.2	-18.2	-10.0	-8.2	-10.4	-14.0	-15.2	-13.0
17	-5.2	-6.6	2.4	0.2	2.8	0.6	-1.2	0.6	-1.8	-18.2	-16.4	-15.2	-10.4	-10.6	-13.0	-14.8	-13.8	-13.6
18	2.8	5.0	4.8	1.2	2.4	0.8	-2.8	-1.0	-2.2	-15.4	-16.0	-16.4	-12.6	-12.4	-13.6	-15.4	-14.6	-11.8
19	-3.2	4.0	3.2	0.4	0.2	-3.0	-0.6	0.6	0.0	-17.2	-16.0	-16.4	-9.6	-6.6	-9.0	-8.8	-7.6	-10.6
20	-0.6	1.8	-1.4	-5.2	-3.0	-3.0	-2.2	-0.4	0.2	-11.0	-11.2	-13.4	-8.0	-7.8	-10.0	-11.6	-12.2	-11.6
21	-0.2	1.0	0.2	-3.4	2.8	-3.0	-0.2	0.8	0.2	-13.2	-10.2	-12.0	-8.4	-7.4	-7.4	-13.0	-12.4	-11.6
22	-1.2	-2.8	-7.0	-4.2	-3.0	-5.0	-1.8	-4.0	-9.0	-12.2	-8.8	-9.6	-5.2	-4.6	-6.2	-11.8	-12.6	-13.6
23	-6.4	-4.4	-6.4	-5.0	-2.6	-5.0	-11.0	-4.8	-4.0	-10.6	-7.2	-6.8	-7.2	-6.8	-8.4	-11.4	-11.8	-10.2
24	-4.0	-3.4	-4.2	-4.0	-3.4	-2.8	-2.4	-0.4	-1.2	-5.4	-3.0	-6.4	-9.8	-8.0	-8.2	-11.6	-10.2	-13.2
25	-7.6	-3.6	0.0	-3.8	-2.8	-4.4	-0.6	-0.6	-4.0	-4.6	-4.0	-4.4	-7.0	-6.6	-7.6	-12.0	-11.2	-12.2
26	0.6	2.2	0.0	-6.6	-6.4	-0.8	-6.2	-5.0	-8.4	-4.0	-2.4	-4.8	-6.6	-5.0	-7.4	-11.6	-11.0	-12.4
27	0.0	2.4	1.6	0.6	2.6	5.0	-3.8	-0.4	-2.2	-4.8	-2.4	-4.4	-7.4	-5.8	-6.2	-12.2	-9.6	-9.6
28	1.8	2.4	3.0	5.0	6.4	6.8	-2.0	-1.0	-1.4	-3.4	-3.8	-3.0	-6.6	-6.2	-7.8	-11.8	-11.2	-6.4
29	2.2	2.0	2.2	5.4	5.4	5.8	-1.0	0.4	-0.4	-4.8	-4.2	-5.0	-7.8	-6.8	-8.6	-11.6	-8.6	-11.6
30	0.0	3.0	3.2	6.2	8.0	5.4	-1.0	-4.4	-3.4	-7.0	-6.4	-7.6	-10.6	-9.8	-11.2	-12.2	-11.2	-10.0
31	3.2	4.6	5.0	-4.4	6.2	2.0				-7.4	-5.2	-6.4				-5.0	-3.4	-4.0
Mittel	-1.4	0.1	-0.4	-0.3	1.1	0.3	-1.4	0.1	-0.8	-7.0	-5.8	-6.9	-9.4	-8.5	-9.7	-12.1	-11.8	-11.9

1958

Tägliche Maxima und Minima der Lufttemperatur
(nach den Aufzeichnungen des Widerstands-Fernthermographen in der Engl. Hütte)

Zürich

Tag	Januar		Februar		März		April		Mai		Juni		Juli		August		Sept.		Oktober		November		Dezember	
	Max.	Min.	Max.	Min.	Max.	Min.	Max.	Min.	Max.	Min.	Max.	Min.	Max.	Min.	Max.	Min.	Max.	Min.	Max.	Min.	Max.	Min.	Max.	Min.
1	5.7	-2.3	0.1	-5.5	-0.2	-8.4	8.3	2.2	18.6	4.0	24.6	8.3	24.5	14.2	31.6	18.5	20.1	13.4	13.7	10.1	8.6	2.6	1.9	-0.2
2	5.8	-2.8	0.5	-6.2	-0.3	-7.3	11.6	-1.4	22.5	6.6	26.6	11.6	20.6	11.7	23.7	13.5	21.9	13.0	17.5	10.0	7.1	1.9	0.2	-3.9
3	1.7	-1.3	1.5	-5.4	1.3	-1.1	17.0	0.7	22.1	8.6	16.6	10.1	18.3	10.0	17.4	12.5	22.5	13.5	19.5	8.1	8.7	4.0	-0.7	-5.5
4	0.7	-1.4	3.6	-2.5	4.6	-1.7	14.5	3.4	21.2	10.6	19.0	9.6	16.9	10.1	21.7	10.2	20.5	13.3	16.1	8.6	8.4	6.2	-4.8	-5.7
5	6.9	-0.5	9.2	-0.4	9.6	3.4	7.2	2.5	23.6	7.3	21.1	7.9	18.4	12.2	24.8	11.3	25.5	13.7	17.7	9.6	7.3	3.8	-3.9	-5.8
6	9.6	2.9	6.3	2.1	9.0	0.6	4.2	1.2	19.8	12.5	22.3	9.0	19.1	12.1	23.6	15.7	27.4	14.1	12.7	9.3	8.7	3.2	-1.8	-6.7
7	11.0	0.4	6.6	1.9	5.3	-2.0	2.9	1.1	21.4	12.3	18.6	12.7	23.2	11.2	16.8	12.4	26.7	17.1	10.6	8.3	7.0	3.4	1.0	-5.5
8	2.5	-0.3	10.9	4.9	0.2	-4.0	3.7	0.3	26.5	10.6	21.2	12.1	24.0	13.0	21.2	12.3	21.9	16.3	13.5	8.4	10.6	3.3	1.3	-4.4
9	4.0	0.1	13.7	5.0	0.7	-4.6	4.8	-0.4	26.4	16.3	22.1	11.4	22.9	11.7	26.5	15.6	22.6	15.1	16.3	7.6	7.8	5.6	5.4	-1.5
10	5.2	-0.1	13.7	2.6	-0.8	-6.5	3.8	-0.6	25.5	16.9	16.6	11.2	24.7	13.1	29.6	17.2	18.9	11.6	19.5	9.0	6.0	2.4	6.4	2.1
11	5.1	-0.3	10.6	5.1	0.7	-6.2	2.6	-2.8	28.3	14.5	14.7	9.6	26.7	14.3	28.9	14.7	20.4	10.6	17.0	12.4	4.3	1.8	5.2	0.3
12	2.0	-1.2	13.5	3.1	1.5	7.3	7.3	-0.8	22.6	12.8	16.6	8.3	27.1	17.0	18.8	13.6	19.6	9.8	13.4	8.6	4.2	2.5	4.6	1.0
13	1.5	-0.9	16.5	9.1	5.0	-6.9	9.7	-0.7	26.5	11.3	17.4	7.2	27.8	17.1	19.8	11.4	21.6	8.3	10.1	6.7	2.7	1.3	7.4	3.0
14	1.5	-0.5	18.0	9.0	6.1	-1.0	14.6	3.5	21.5	10.6	19.0	6.9	24.3	16.2	23.7	12.5	25.1	11.4	12.1	7.8	3.9	1.7	5.3	2.3
15	0.9	0.0	17.5	6.4	6.0	-2.6	7.1	3.1	14.3	9.6	22.8	7.0	29.9	16.8	26.0	16.5	26.4	12.4	16.8	11.7	5.8	2.3	5.5	0.4
16	0.6	-1.5	14.2	11.5	5.0	-5.5	5.6	0.5	10.5	3.7	24.8	11.4	24.7	13.2	25.0	17.3	22.3	14.2	12.7	4.4	6.6	4.1	10.5	1.7
17	2.6	-1.9	12.5	-0.5	4.6	-5.1	3.3	-0.6	11.4	6.1	26.2	14.5	19.1	12.3	26.8	17.9	16.5	13.2	5.4	3.6	8.8	3.1	10.0	4.8
18	2.3	-1.3	1.0	-3.9	0.6	-3.3	8.1	-0.6	18.0	6.6	24.6	17.3	21.9	10.3	26.4	17.3	18.6	12.0	9.1	4.5	7.3	2.7	10.3	1.9
19	5.9	2.0	-0.7	-4.7	4.7	-2.0	12.6	1.3	21.8	10.3	23.6	14.4	27.5	11.6	24.1	11.6	17.0	11.6	9.7	3.0	6.2	0.4	11.3	0.9
20	6.0	-5.1	2.3	-3.6	1.6	-2.4	16.8	2.9	25.6	9.0	21.3	14.6	25.3	15.7	20.5	11.4	19.3	11.3	6.9	3.7	4.0	0.7	11.5	6.5
21	-0.4	-7.0	3.7	1.8	-1.0	-4.3	19.2	6.1	18.4	8.1	15.8	12.6	21.6	13.9	17.5	11.5	21.6	12.6	6.5	5.0	4.3	1.2	9.3	4.3
22	3.0	-7.6	3.3	-3.0	1.0	-7.0	17.5	5.1	11.3	7.5	16.5	11.0	16.4	12.9	18.4	11.6	15.0	9.7	9.7	1.0	4.4	3.0	9.2	3.5
23	-1.2	-5.2	5.0	3.5	1.1	-9.0	12.4	3.6	21.8	9.7	18.9	10.1	16.3	11.4	18.6	12.0	16.8	9.7	9.7	1.1	3.7	2.3	3.5	1.7
24	0.1	-7.4	8.7	3.0	7.4	-7.3	15.9	0.9	26.0	11.3	14.8	9.5	14.5	11.1	17.3	9.8	18.6	8.6	12.1	1.6	3.9	1.4	2.1	0.1
25	0.0	-7.3	12.1	3.4	10.7	-2.5	16.0	4.7	24.9	11.9	20.5	6.5	20.9	11.0	20.7	12.1	20.4	11.0	5.9	4.0	2.3	1.0	1.4	0.1
26	1.1	-7.9	6.9	-3.6	9.7	3.9	13.5	3.4	20.6	12.2	19.5	13.2	24.1	11.3	19.6	11.4	15.2	9.0	5.6	3.6	1.3	0.7	1.7	0.1
27	6.3	-1.2	-3.5	-6.3	10.5	1.7	10.7	3.5	18.7	9.3	14.0	7.2	23.5	15.6	23.1	8.8	16.4	6.1	5.8	4.1	0.8	-0.3	6.6	-0.7
28	-1.3	-4.2	0.1	-8.3	15.7	4.9	10.6	3.3	13.2	6.9	18.5	9.7	27.2	16.4	27.6	10.6	18.9	5.3	7.1	3.9	0.8	-0.3	8.6	4.9
29	-1.4	-3.0			17.1	4.3	12.4	4.7	19.2	4.3	21.6	8.3	22.7	17.8	26.6	14.7	21.6	9.9	9.3	1.6	0.2	-0.5	7.7	4.3
30	-2.0	-4.9			15.4	3.7	15.4	2.9	13.7	8.5	24.8	10.5	25.9	17.5	27.9	17.8	21.5	10.2	11.8	1.3	1.3	-0.5	8.0	0.7
31	-3.7	-6.8			9.4	3.9			19.3	5.9			27.3	18.8	25.4	17.4			10.3	1.8			7.2	-1.0
Mittl. Max.	2.65		7.41		5.09		10.31		20.17		20.15		22.82		23.21		20.69		11.75		5.23		4.89	
Mittl. Min.	-2.53		0.41		-2.87		1.77		9.54		10.46		13.60		13.58		11.60		5.95		2.17		0.12	
Differenz	5.18		7.00		7.96		8.54		10.63		9.69		9.22		9.63		9.09		5.80		3.06		4.77	
Abs. Max.	11.0		18.0		17.1		19.2		28.3		26.6		29.9		31.6		27.4		19.5		10.6		11.5	
Abs. Min.	-7.9		-8.3		-9.0		-2.8		3.7		6.5		10.0		8.6		5.3		1.0		-0.5		-6.7	
Differenz	18.9		26.3		26.1		22.0		24.6		20.1		19.9		23.0		22.1		18.5		11.1		18.2	

Stündliche Monatsmittel der Lufttemperatur

	Januar	Februar	März	April	Mai	Juni	Juli	August	Sept.	Okt.	Nov.	Dez.	Jahr
1 ³⁰	-0.77	2.94	-1.29	3.74	11.79	12.27	15.37	15.41	13.35	7.58	3.29	1.58	7.11
2 ³⁰	-0.95	2.78	-1.58	3.43	11.28	11.89	15.04	15.22	13.09	7.34	3.30	1.49	6.86
3 ³⁰	-1.04	2.80	-1.81	3.17	10.97	11.58	14.67	15.01	12.94	7.32	3.25	1.44	6.69
4 ³⁰	-1.21	2.52	-1.92	2.89	10.67	11.28	14.43	14.78	12.76	7.31	3.19	1.48	6.52
5 ³⁰	-1.13	2.28	-2.04	2.59	10.65	11.20	14.39	14.59	12.57	7.26	3.15	1.62	6.43
6 ³⁰	-1.22	2.19	-2.22	2.67	11.19	11.86	14.78	14.78	12.52	7.05	3.09	1.72	6.53
7 ³⁰	-1.30	2.05	-1.90	3.28	12.21	13.00	15.39	15.57	12.96	7.02	3.10	1.81	6.93
8 ³⁰	-1.18	2.18	-1.06	4.11	13.21	14.21	16.30	16.80	13.87	7.35	3.10	1.64	7.54
9 ³⁰	-0.81	2.61	0.12	5.11	14.29	15.20	17.24	17.95	14.82	7.71	3.28	1.80	8.28
10 ³⁰	-0.25	3.22	1.01	5.74	15.34	16.27	18.43	19.16	16.05	8.16	3.67	2.32	9.09
11 ³⁰	0.27	4.03	2.05	6.59	16.31	17.14	19.48	20.02	17.40	8.94	4.02	2.85	9.92
12 ³⁰	0.74	4.85	3.17	7.37	16.96	17.77	20.29	20.76	18.41	9.70	4.43	3.32	10.65
13 ³⁰	1.18	5.33	3.78	8.24	17.94	18.17	21.00	21.26	19.16	10.21	4.65	3.64	11.21
14 ³⁰	1.30	5.58	4.06	8.55	18.36	18.64	21.36	21.68	19.72	10.60	4.74	3.81	11.53
15 ³⁰	1.28	5.81	4.19	8.95	18.64	18.76	21.70	21.92	19.94	10.54	4.57	3.63	11.66
16 ³⁰	0.90	5.59	4.00	8.89	18.66	18.60	21.52	21.88	19.65	10.21	4.30	3.00	11.43
17 ³⁰	0.27	4.74	3.54	8.38	18.33	18.41	21.02	21.41	18.77	9.30	3.98	2.57	10.89
18 ³⁰	-0.13	4.14	2.43	7.98	17.64	17.95	20.38	20.17	16.91	8.57	3.70	2.41	10.18
19 ³⁰	-0.17	4.00	1.64	6.92	16.28	16.79	19.39	18.59	15.70	8.17	3.58	2.32	9.43
20 ³⁰	-0.13	3.81	1.09	5.93	14.71	15.26	18.11	17.52	15.20	7.95	3.45	2.36	8.77
21 ³⁰	-0.29	3.68	0.73	5.42	14.06	14.56	17.27	16.89	14.74	7.89	3.38	2.38	8.39
22 ³⁰	-0.55	3.51	0.22	5.06	13.45	13.91	16.62	16.30	14.24	7.78	3.34	2.26	8.01
23 ³⁰	-0.69	3.20	0.22	4.58	12.95	13.41	16.22	15.96	13.70	7.69	3.24	2.28	7.69
0 ³⁰	-0.86	2.91	0.69	4.18	12.47	12.91	15.84	15.60	13.48	7.58	3.17	2.02	7.38
Mittel	-0.28	3.61	0.72	5.57	14.52	15.04	17.76	17.88	15.50	8.30	3.62	2.32	8.71

Vom Jahrgang 1956 an werden die Aufzeichnungen eines Widerstands-Fernthermographen ausgewertet, dessen Fühler in einer genormten englischen Hütte untergebracht ist. Die obigen Ergebnisse sind daher mit den übrigen Zürcher Temperaturangaben, die wie bisher auf Ablesungen in einer offenen Wildschen Hütte fußen, nicht direkt vergleichbar.

Tägliche Maxima und Minima der Lufttemperatur

(Nach den Aufzeichnungen des Thermographen)

Tag	Januar		Februar		März		April		Mai		Juni		Juli		August		Sept.		Oktober		November		Dezember	
	Max.	Min.	Max.	Min.	Max.	Min.	Max.	Min.	Max.	Min.	Max.	Min.	Max.	Min.	Max.	Min.	Max.	Min.	Max.	Min.	Max.	Min.	Max.	Min.
1	-5.0	-9.2	-0.8	-4.7	-9.4	-15.8	-2.5	-9.0	2.7	0.0	9.3	2.1	9.8	2.4	17.2	11.3	13.2	6.9	5.3	-1.1	-4.8	-9.9	-7.0	-13.4
2	-4.7	-9.2	-3.4	-5.8	-3.2	11.3	-3.9	-9.4	4.0	0.0	12.2	5.2	6.8	0.5	12.2	6.2	10.8	5.2	2.2	-1.7	-3.2	-9.8	-8.3	-11.8
3	-7.4	-9.9	-5.8	-9.4	8.3	-11.8	-1.3	-7.8	3.2	-0.8	11.8	0.9	1.4	-1.8	7.3	2.7	9.4	4.3	6.0	2.0	-1.6	-2.9	-7.9	-14.3
4	-7.0	9.8	-4.0	-8.2	-9.9	-11.8	-1.3	-4.7	1.6	-1.7	2.3	-1.3	1.0	-1.8	7.3	1.2	10.0	5.5	8.8	0.0	-3.0	-6.8	-4.2	-7.3
5	-3.8	6.8	-3.0	-6.2	-5.8	-9.2	-2.6	-11.0	5.5	-0.1	3.8	-1.1	2.4	-0.2	11.8	5.5	11.8	7.0	4.4	-0.6	-3.9	-7.1	-5.2	-7.5
6	-2.4	-10.2	-6.7	-8.2	-7.4	-11.0	-7.3	-12.6	0.8	-1.8	7.4	1.9	3.2	0.7	8.8	4.7	13.6	8.1	0.8	-1.8	-1.8	-5.9	-5.7	-9.8
7	-3.0	-13.1	-4.2	-8.0	-11.9	-16.8	-5.4	-10.2	2.9	-0.2	5.1	1.7	10.2	2.3	3.8	1.0	12.2	7.2	1.4	-1.6	-5.3	-7.8	-0.7	-5.8
8	-11.9	-13.0	-2.6	-4.6	-15.3	-18.4	-8.2	-13.7	8.8	3.2	8.1	1.7	8.2	3.0	4.2	0.3	9.4	5.2	7.8	0.3	-1.4	-5.9	-2.8	-7.8
9	-6.6	-13.2	-1.4	-5.0	12.4	-17.9	11.0	-14.6	10.0	3.8	8.7	2.1	11.8	5.4	11.6	3.4	6.8	4.1	9.7	5.0	-1.0	-5.8	-6.6	-10.3
10	-10.3	12.4	-3.0	-5.4	14.9	19.3	-12.6	-14.9	9.8	3.8	4.2	-1.0	10.3	6.0	13.7	8.1	5.2	0.6	9.2	5.1	-3.7	-6.6	-6.8	-9.7
11	-8.9	10.8	-2.3	-5.8	-12.8	-20.2	-13.8	-16.4	11.0	6.8	-0.4	-2.2	13.4	7.0	14.9	3.8	5.9	0.4	6.0	1.6	-3.3	-7.0	-7.0	-9.3
12	-11.2	-14.2	0.0	-6.5	17.3	-21.0	-7.8	-13.5	9.8	5.3	0.1	-4.0	12.4	7.1	4.2	0.8	6.9	2.0	3.2	-2.2	-1.9	-7.2	-4.0	-10.6
13	-10.3	-13.8	2.7	-2.2	-8.1	-19.0	-3.5	-7.0	10.2	5.0	-0.4	-3.2	15.8	7.2	5.4	0.3	10.8	6.6	-3.0	-5.3	0.3	-2.9	-3.5	-8.8
14	-7.2	-11.1	1.8	-0.3	-10.0	-14.2	-0.6	4.8	8.8	3.2	1.9	-3.0	13.8	7.9	7.3	1.9	11.1	7.9	0.6	-4.8	-0.5	-4.7	-7.8	-11.7
15	-5.2	-9.0	0.7	-0.8	-11.3	15.9	-2.8	-6.1	2.5	-2.0	6.8	0.8	16.0	9.8	12.0	6.3	11.8	8.7	2.0	-0.8	-3.9	-5.8	-8.3	-11.5
16	-6.7	-9.9	0.0	-0.6	-12.2	-15.8	-4.9	-10.9	-1.8	-5.6	10.0	3.5	12.0	1.4	9.2	6.2	12.2	4.4	-0.8	-9.0	-2.9	-5.4	-6.3	-8.9
17	-4.4	-6.2	-0.1	10.2	-4.4	-12.0	-7.3	-13.7	2.7	-6.8	10.0	4.1	4.8	0.4	12.2	6.2	9.0	3.0	-7.8	-9.8	-2.6	-4.6	-5.6	-8.0
18	-4.2	-8.0	-10.4	18.3	-6.8	-11.9	-7.2	-13.2	1.2	-5.2	10.2	4.8	12.0	3.1	13.2	9.0	5.4	2.3	6.3	-9.8	-2.2	-5.4	-6.1	-8.3
19	-6.3	-7.5	-15.0	18.3	-8.2	-10.0	-4.4	-10.0	5.6	0.0	8.0	3.3	13.7	7.8	12.4	1.0	8.8	2.8	-7.2	-10.3	-1.9	-5.0	-1.4	-5.4
20	-6.1	-18.0	-10.9	-16.0	-8.2	-17.3	0.8	-6.0	8.8	2.8	6.0	3.0	8.8	3.2	5.0	1.0	7.1	4.1	5.4	-9.2	0.2	-3.3	-1.2	-4.7
21	16.2	-19.2	-8.2	10.9	-15.2	-19.8	0.2	-3.0	10.4	-0.8	3.6	0.0	8.2	3.0	5.4	1.8	9.0	4.2	5.8	-8.2	2.2	-1.0	-4.0	-5.4
22	-13.2	-16.8	-9.1	-18.3	-15.2	-21.7	0.0	-3.9	9.2	-1.0	4.2	-0.8	5.4	-0.4	6.2	1.2	3.3	-2.2	-7.1	-10.8	4.2	1.1	-4.2	-5.3
23	12.1	-16.0	-6.9	-16.1	-12.2	-17.7	-4.7	-7.0	8.4	3.2	0.0	-2.2	0.3	-1.2	3.4	-1.3	0.3	-2.9	0.8	-11.9	5.3	-1.0	-2.0	-5.2
24	-13.6	-17.7	-4.3	-6.4	-3.2	-11.9	0.7	-4.3	9.9	4.0	5.3	-2.3	1.8	-0.6	4.0	-1.4	4.1	-0.9	4.3	-0.2	2.0	-1.3	-5.4	-10.8
25	-8.9	-18.0	-4.8	-7.1	1.9	-5.1	-1.7	-9.7	9.4	4.2	6.0	-3.2	6.2	-1.8	2.8	-0.2	4.4	0.6	6.2	3.1	3.4	-0.8	-7.2	-10.8
26	-4.2	-8.8	-6.6	-17.8	0.8	-5.0	-3.6	-9.8	7.8	4.0	7.0	3.8	11.0	4.1	1.0	-0.9	-0.4	-4.2	3.2	0.9	2.9	0.2	-9.3	-11.0
27	-1.7	-4.7	-16.1	-18.2	0.4	-5.3	-3.7	-10.2	6.0	-0.4	3.6	5.3	11.0	5.2	9.0	1.2	2.4	-4.4	3.1	1.0	3.4	0.0	-3.3	-10.9
28	0.2	-3.4	-14.0	-16.0	-1.5	-5.3	-6.0	-11.2	0.7	-3.2	0.0	0.0	10.3	5.3	15.7	7.9	6.8	1.8	3.0	1.0	2.0	-1.8	-3.2	-6.3
29	0.0	-4.3			-0.9	-3.7	-4.0	-7.0	6.2	2.1	7.2	0.0	13.1	8.2	18.4	7.6	10.8	3.6	5.0	-0.1	0.6	-4.8	-3.2	-4.4
30	-0.3	-4.2			-1.0	-5.1	0.3	-8.3	3.8	2.0	10.2	4.8	12.7	7.4	17.8	13.2	7.4	3.8	1.8	-1.5	-3.1	-6.0	-2.7	-6.7
31	1.0	-5.0			-3.8	-7.0			5.8	-1.5			12.8	8.3	14.0	8.0			2.0	-4.7			2.6	-5.8
Mini. Max.	-6.50		-4.94		-8.15		-4.35		5.82		5.74		9.05		9.40		7.96		1.67		-0.85		-4.78	
Mittl. Min.	-10.75		-9.11		-13.17		-9.46		-0.45		0.31		3.51		3.81		3.19		-2.88		-4.51		-8.63	
Differenz	4.25		4.17		5.02		5.11		5.37		5.43		5.54		5.59		4.77		4.55		3.66		3.85	
Abs. Max.	1.0		2.7		1.9		0.8		11.0		12.2		15.8		18.4		13.6		9.7		5.3		2.6	
Abs. Min.	-19.2		-18.3		-21.7		-16.4		-6.8		-5.3		-1.9		-1.4		-4.4		-11.9		-9.9		-14.3	
Differenz	20.2		21.0		23.6		17.2		17.8		17.5		17.7		19.8		18.0		21.6		15.2		16.9	

Stündliche Monatsmittel der Lufttemperatur

	Januar	Februar	März	April	Mai	Juni	Juli	August	Sept.	Okt.	Nov.	Dez.	Jahr
1 ³⁰	-9.11	-7.01	-11.55	-7.78	1.91	1.74	4.77	5.75	4.37	-1.03	-3.24	-6.94	-2.34
2 ³⁰	-9.17	-7.12	-11.56	-7.86	1.87	1.57	4.83	5.75	4.33	-1.05	-3.11	-6.83	-2.36
3 ³⁰	-9.17	-7.12	-11.57	-8.00	1.95	1.59	4.80	5.60	4.35	-1.08	-3.09	-6.81	-2.39
4 ³⁰	-9.10	-7.16	-11.61	-7.92	2.12	1.49	4.87	5.52	4.29	-1.10	-3.09	-6.81	-2.38
5 ³⁰	-9.15	-7.28	-11.51	-7.71	2.40	1.73	5.10	5.55	4.31	-1.07	-3.13	-6.83	-2.30
6 ³⁰	-9.18	-7.26	-11.36	-7.54	2.80	1.97	5.46	5.59	4.49	-1.05	-3.16	-6.87	-2.18
7 ³⁰	-9.19	-7.26	-11.16	-7.38	3.15	2.28	5.73	5.78	4.77	-0.94	-3.30	-7.00	-2.04
8 ³⁰	-8.96	-7.09	-10.57	-6.98	3.73	2.78	6.20	6.36	5.34	-0.54	-2.94	-6.89	-1.63
9 ³⁰	-8.53	-6.75	-9.96	-6.48	4.09	3.28	6.69	7.00	6.03	-0.06	-2.48	-6.56	-1.14
10 ³⁰	-8.15	-6.41	-9.42	-6.08	4.53	3.71	7.35	7.65	6.74	0.40	-2.00	-6.32	-0.67
11 ³⁰	-8.00	-6.21	-9.15	-5.76	4.85	4.12	7.68	8.13	7.07	0.61	-1.78	-6.31	-0.40
12 ³⁰	-7.73	-6.14	-8.90	-5.44	5.04	4.44	8.23	8.47	7.37	0.85	-1.51	-6.00	-0.11
13 ³⁰	-7.59	-6.12	-8.93	-5.28	5.19	4.52	8.48	8.77	7.47	0.99	-1.51	-6.05	0.01
14 ³⁰	-7.66	-6.30	-8.97	-5.11	5.10	4.29	8.21	8.77	7.32	0.73	-1.70	-6.10	-0.12
15 ³⁰	-7.87	-6.48	-9.21	-5.39	4.85	4.10	7.67	8.68	7.03	0.41	-2.03	-6.13	-0.36
16 ³⁰	-8.24	-6.80	-9.63	-5.83	4.47	3.94	7.30	8.41	6.70	-0.01	-2.52	-6.42	-0.72
17 ³⁰	-8.38	-7.11	-10.20	-6.53	4.00	3.49	7.01	7.98	6.43	-0.28	-2.88	-6.55	-1.09
18 ³⁰	-8.40	-7.35	-10.43	-6.98	3.51	3.03	6.55	7.51	5.81	-0.53	-2.97	-6.65	-1.41
19 ³⁰	-8.50	-7.42	-10.72	-7.33	2.93	2.66	6.01	7.13	5.24	-0.67	-2.93	-6.69	-1.69
20 ³⁰	-8.59	-7.43	-10.83	-7.53	2.54	2.26	5.66	6.77	4.87	-0.79	-3.12	-6.76	-1.91
21 ³⁰	-8.67	-7.45	-11.00	-7.66	2.34	2.00	5.44	6.25	4.73	-0.90	-3.27	-7.03	-2.10
22 ³⁰	-8.80	-7.41	-11.13	-7.61	2.17	1.85	5.18	6.02	4.63	-1.05	-3.43	-7.10	-2.22
23 ³⁰	-8.87	-7.41	-11.13	-7.53	2.03	1.89	5.08	5.80	4.53	-1.10	-3.32	-7.06	-2.26
0 ³⁰	-8.95	-7.49	-11.19	-7.45	1.95	1.86	5.07	5.67	4.45	-1.31	-3.29	-6.99	-2.31
Mittel	-8.58	-6.98	-10.49	-6.88	3.31	2.77	6.22	6.87	5.53	-0.44	-2.74	-6.65	-1.51

Temperatur-Minima 1958

(Ablesungen an den Minimumthermometern)

Tag	Januar							Februar							März						
	Bern	Neuchâtel	Genève	Basel	Alttdorf	Bever	Lugano	Bern	Neuchâtel	Genève	Basel	Alttdorf	Bever	Lugano	Bern	Neuchâtel	Genève	Basel	Alttdorf	Bever	Lugano
1	-4.9	-3.3	-4.8	-0.6	-3.0	-18.4	-1.7	-6.5	-4.1	-4.7	-7.4	-3.0	-15.8	-1.8	-8.2	-5.5	-3.8	-7.8	-5.6	-22.5	-0.4
2	-6.7	-3.8	-4.4	-3.4	-4.3	-20.4	-2.1	-8.2	-5.1	-4.9	-7.9	-4.5	-17.0	-1.8	-6.1	-4.4	-2.6	-5.8	-3.5	-22.1	-1.2
3	-0.9	-0.4	-2.3	-0.7	1.5	-20.8	-2.1	-8.0	-4.6	-5.9	-5.2	-4.4	-14.0	-1.9	0.0	-0.7	1.9	0.1	-1.4	-12.0	7.8
4	-0.9	0.2	-1.1	-0.8	2.5	-20.8	0.0	-6.4	-1.7	-2.6	-3.0	-3.8	-19.3	-1.4	0.1	1.3	2.5	-0.6	-1.4	-20.5	1.4
5	-0.2	0.1	1.6	0.4	0.5	-12.5	1.3	-3.6	-1.1	-2.0	-2.2	-1.7	-11.4	-1.4	-3.2	-2.2	-1.5	-2.5	-2.0	-19.5	0.2
6	2.7	2.8	5.1	3.5	3.0	-3.6	-0.7	1.6	1.9	2.5	2.9	1.4	-4.5	1.8	-1.1	2.8	0.2	2.5	-0.7	-15.8	0.2
7	0.5	1.1	2.6	0.6	2.0	-6.5	-0.6	4.1	3.8	5.8	-0.8	2.7	-1.5	1.0	-1.0	-1.2	1.0	-1.0	-0.7	-11.5	0.6
8	0.1	0.5	1.4	1.4	1.3	-8.0	2.4	4.8	5.4	6.9	4.9	3.7	-1.2	3.4	-3.6	-3.3	-1.8	-3.0	-1.4	-20.2	-0.4
9	-1.3	0.0	-0.7	1.8	-0.7	-19.5	-0.8	5.8	6.8	6.9	6.5	5.3	1.3	5.6	-5.0	-4.4	-2.4	-2.7	-4.0	-24.5	-2.4
10	0.9	0.8	1.5	0.4	0.8	-15.4	-0.7	1.2	2.1	4.8	2.8	4.3	-1.7	6.0	-7.8	-5.8	-3.2	-6.1	-3.2	-27.0	-1.4
11	0.0	2.2	2.9	1.8	1.3	-15.0	0.2	3.5	4.3	6.4	4.8	7.4	-0.1	6.6	-5.7	-4.7	-3.9	-5.7	-4.8	-15.8	-1.8
12	-0.9	0.1	0.9	0.5	0.1	-7.7	0.4	0.5	1.8	5.2	3.9	3.0	-11.7	2.2	-5.6	-6.0	-4.5	-4.8	-4.6	-19.0	-0.4
13	-0.6	-0.3	0.6	0.2	0.0	-17.0	2.0	3.3	6.7	8.4	8.5	7.7	-8.0	4.4	-6.0	-2.8	-2.8	-5.2	-5.6	-25.5	-1.8
14	-0.7	0.5	1.2	0.0	-2.2	-18.4	-0.2	7.4	7.6	9.2	9.7	8.0	-4.4	4.2	1.0	1.5	5.0	0.6	-1.3	-25.5	0.8
15	0.2	1.7	1.5	0.9	-3.4	-20.0	0.2	4.3	4.3	5.4	5.5	5.2	-9.0	2.4	-1.2	-1.9	2.5	-1.8	1.4	-16.3	-0.2
16	-0.8	0.3	1.2	-0.3	-2.6	-19.5	-0.8	8.7	9.9	9.4	10.5	9.1	-2.4	3.6	-5.0	-3.9	-0.5	-5.0	-2.1	-22.0	3.6
17	-2.2	-1.1	-0.1	0.6	1.6	-16.6	-0.8	0.8	3.4	8.4	0.1	2.9	1.8	6.7	-4.2	-2.0	-1.3	-3.9	-2.3	-18.4	3.4
18	-2.0	-1.1	-0.6	0.0	0.7	-13.0	-1.4	-3.1	-1.2	-0.2	-1.5	-1.5	-11.0	5.2	-2.2	-1.4	0.2	-2.3	0.5	-6.0	2.8
19	0.4	1.6	0.5	1.0	0.4	-13.9	-1.8	-4.3	-3.4	-2.1	-3.4	-2.5	-11.4	2.2	-0.4	-1.5	2.4	-2.4	0.5	-13.0	0.6
20	-2.9	-1.8	-1.2	-3.1	-0.6	-7.4	1.4	-3.1	-2.0	-2.2	-1.4	-2.7	-11.5	-3.2	-0.7	0.2	2.4	-1.3	-0.3	-6.0	4.4
21	-7.8	-5.8	-4.1	-5.7	-4.6	-24.8	-1.4	0.9	0.8	1.4	4.1	0.1	-5.5	-1.7	-4.6	-3.4	-1.2	-4.1	-2.4	-12.0	2.6
22	-10.9	-4.4	-5.0	-4.5	-5.3	-28.0	-5.2	-1.2	-0.7	1.0	-0.8	-0.6	-16.5	1.4	-6.3	-5.2	-2.8	-5.9	-3.6	-17.5	1.4
23	-6.8	-5.9	-5.1	-8.8	-4.4	-22.0	-3.4	-1.0	-1.1	1.2	-1.8	-2.9	-18.0	-0.2	-8.4	-6.0	-3.0	-7.5	-7.5	-26.0	-3.2
24	-10.3	-6.8	-7.4	-11.6	-5.2	-24.0	-4.7	3.2	3.5	4.7	6.4	1.4	-12.5	-0.6	-7.9	-4.8	-1.9	-4.0	-5.7	-21.0	0.3
25	-11.4	-8.2	-5.1	-8.8	-6.9	-24.8	-5.2	2.3	6.1	6.3	6.7	2.2	-12.0	0.0	0.6	0.8	0.4	2.2	-1.6	-10.0	3.2
26	-8.6	-6.6	-4.2	-4.9	-5.0	-24.0	-2.4	-3.0	-3.0	-0.2	-3.1	-1.4	-9.8	0.4	3.2	4.7	5.8	2.7	3.7	-5.0	1.4
27	-0.4	-0.3	-1.0	-1.3	-0.5	-16.0	-2.8	-6.0	-4.8	-3.1	-5.6	-2.7	-18.5	1.2	1.5	1.8	3.0	3.7	1.3	-2.7	3.2
28	-2.7	-1.4	-2.0	-3.4	-0.5	-15.0	-3.4	-8.0	-5.9	-3.6	-10.4	-5.0	-25.4	0.0	2.3	2.2	3.9	4.4	3.5	-3.0	2.4
29	-4.2	-2.2	-1.6	-4.8	-1.1	-20.0	-3.8								3.0	3.2	4.3	3.7	3.6	-8.5	7.4
30	-5.1	-3.5	-2.2	-4.2	-2.0	-18.0	-2.8								2.2	3.7	5.6	2.8	2.9	-6.5	5.4
31	-7.5	-5.8	-2.6	-5.4	-2.9	-16.4	-1.8								2.0	3.9	4.4	2.3	3.8	-4.4	5.1
Mittel	-3.1	-1.6	-1.1	-1.9	-1.7	-17.0	-1.4	-0.4	-1.1	2.2	0.8	1.0	-9.7	1.7	-2.5	-1.4	0.3	-1.9	-1.4	-15.5	1.4
Tag	April							Mai							Juni						
	Bern	Neuchâtel	Genève	Basel	Alttdorf	Bever	Lugano	Bern	Neuchâtel	Genève	Basel	Alttdorf	Bever	Lugano	Bern	Neuchâtel	Genève	Basel	Alttdorf	Bever	Lugano
1	3.5	4.2	4.6	0.9	4.6	-10.4	5.2	4.4	6.4	6.5	3.2	4.4	-6.5	7.2	9.2	9.5	10.0	8.7	8.8	-1.0	11.6
2	0.7	0.8	3.2	2.8	4.1	-4.5	6.6	5.6	7.9	8.1	6.4	5.7	-4.6	9.2	10.9	11.5	12.2	10.4	11.8	0.0	12.8
3	-0.3	1.3	3.5	-2.3	2.2	-2.5	5.6	8.0	7.9	7.8	7.6	8.2	-3.7	8.8	10.9	10.6	11.7	10.4	12.5	2.5	15.4
4	3.7	3.4	4.5	4.2	6.4	-1.5	3.4	9.3	10.2	9.4	7.8	9.1	-0.3	9.6	7.4	9.0	8.9	6.8	10.3	2.0	15.2
5	1.4	3.2	3.2	3.4	1.9	-8.6	5.4	7.8	8.3	9.4	6.3	8.7	-3.5	9.2	8.6	9.1	9.4	6.4	10.1	-1.0	13.6
6	1.4	2.4	1.7	1.0	2.4	-4.0	2.4	10.0	10.5	11.6	10.1	12.2	1.0	10.4	9.6	10.5	10.9	7.8	9.5	-2.2	14.4
7	1.4	2.4	4.2	0.7	3.0	-6.0	3.4	13.0	12.3	12.2	14.4	11.5	2.9	10.8	12.9	13.4	13.9	13.8	14.0	3.8	15.2
8	0.0	1.3	2.5	1.0	1.9	-7.5	5.2	10.2	10.5	13.4	11.2	10.1	-1.8	12.0	12.2	11.5	11.9	11.8	12.1	2.8	12.6
9	-0.5	0.1	1.8	0.3	1.3	-10.5	4.4	15.2	16.6	15.8	16.6	15.6	0.2	13.6	11.0	11.3	11.8	10.2	14.9	5.0	17.2
10	-0.5	-0.1	1.4	0.6	0.3	-12.8	2.2	16.2	16.3	17.4	14.8	16.4	1.0	15.0	10.6	11.4	11.9	10.7	12.6	4.8	13.6
11	-3.0	-1.5	-1.2	-2.3	0.8	-15.0	1.4	14.4	14.7	15.9	14.2	16.3	3.0	14.6	10.2	10.5	10.6	11.3	11.0	4.0	13.6
12	-1.0	0.9	0.0	0.0	3.0	-8.6	1.2	12.8	13.7	13.8	11.6	16.0	1.6	14.0	9.2	10.4	12.4	9.3	10.0	4.5	15.4
13	-0.8	0.3	0.1	-2.5	0.6	-7.9	3.2	11.7	13.1	13.5	10.2	13.0	3.4	14.4	8.5	11.0	12.0	8.7	8.0	1.2	12.4
14	1.3	3.9	3.2	2.2	2.4	-1.0	5.2	10.7	11.4	11.6	9.7	11.9	2.8	15.2	7.8	8.7	11.2	5.9	7.4	1.0	11.4
15	2.9	3.9	5.9	3.2	5.0	-1.5	4.4	10.1	10.0	10.4	9.7	10.8	4.0	12.4	8.2	9.1	9.3	6.2	9.0	1.5	15.2
16	1.3	3.2	4.6	1.4	1.5	-2.0	3.8	4.1	3.8	5.9	5.2	7.4	-0.3	8.2	10.7	11.2	12.2	9.3	9.0	5.0	17.0
17	0.3	1.8	2.4	0.6	2.0	-6.0	4.2	6.1	5.9	6.4	6.1	6.9	-1.0	10.2	12.0	12.2	13.5	13.5	14.0	8.7	15.4
18	-0.4	-0.9	-0.2	-1.4	1.2	-7.4	5.6	6.8	8.0	8.1	8.2	6.2	-3.4	9.8	16.2	15.5	17.4	14.8	14.9	6.0	14.4
19	0.2	0.3	0.3	1.8	0.5	-16.0	1.4	9.6	8.8	8.8	9.8	10.6	-2.6	10.2	15.6	15.6	15.5	13.7	15.0	5.5	14.8
20	1.6	2.7	3.1	3.4	2.0	-11.0	3.6	9.3	9.7	10.3	7.7	8.8	-1.5	14.8	14.8	14.7	15.6	15.1	14.2	7.2	16.4
21	4.8	4.6	5.4	5.7	4.5	-8.5	5.6	8.4	10.2	10.9	9.5	10.8	0.4	13.9	13.3	13.7	13.0	14.3	13.4	3.6	16.0
22	5.8	6.3	6.7	4.5	6.5	-7.0	5.6	7.8	8.7	10.0	9.0	10.0	4.0	16.4	10.7	10.7	12.4	11.2	11.2	2.8	12.0
23	5.0	6.4	7.2	6.1	7.0	-1.7	8.6	10.0	8.3	9.4	8.1	8.8	4.8	13.8	10.0	10.4	11.6	10.7	11.4	0.0	10.8
24	1.2	3.6	4.4	0.8	3.0	-8.0	4.8	11.0	12.1	13.3	11.7	11.6	-0.3	13.4	9.8	10.5	10.9	9.4	11.3	1.3	12.6
25	4.3	4.0	5.4	3.5	4.4	-8.5	10.0	12.4	13.4	13.8	12.9	19.0	0.6	14.8	6.8	7.5	7.9	6.2	9.5	1.5	9.4
26	1.6	1.8	3.7	3.1	3.5	-4.0	7.4	12.9	12.7	12.5	11.7	14.2	7.8	14.6	12.7	12.5	13.3	12.5	14.8	3.3	13.4
27	5.0	4.9	8.9	6.3	5.8	-4.6	8.6	10.4	10.0	11.0	10.5	11.5	6.5	14.8	7.7	8.3	8.7	8.2	10.0	0.8	12.1
28	1.2	2.3	4.5	2.4	3.0	-2.0	8.8	7.8	8.2	9.7	9.2	8.1	6.0	15.6	9.1	9.2	9.4	11.0	9.9	1.0	12.2
29	5.6	6.5	7.0	7.0	5.6	-3.9	5.6	5.3	7.7	7.4	6.1	5.0	1.2	10.2	8.2	8.7	9.4	6.8	8.8	-1.0	12.6
30	3.2	5.9	5.7	0.3	3.5	-7.5	6.8	9.9	11.2	11.9	10.4	10.3	1.2	13.8	10.6	11.1	12.1	9.6	11.6	1.4	14.2
31								6.3	8.0	8.3	8.1	8.5	-0.3	9.6							
Mittel	1.7	2.7	3.6	1.8	2.9	-6.7	5.0	9.6	10.2												

Temperatur-Minima 1958

Tag	Juli							August							September						
	Bern	Neu- châtel	Genève	Basel	Alt- dorf	Bever	Lugano	Bern	Neu- châtel	Genève	Basel	Alt- dorf	Bever	Lugano	Bern	Neu- châtel	Genève	Basel	Alt- dorf	Bever	Lugano
1	13.3	13.2	13.7	14.6	15.1	8.8	15.8	17.4	18.7	19.3	16.5	17.0	6.7	21.4	15.2	16.1	17.3	15.7	15.8	9.0	17.2
2	11.8	11.6	11.9	11.2	13.9	6.8	14.6	16.7	17.4	20.8	16.4	18.0	9.7	18.6	12.6	13.0	16.6	12.2	14.0	5.7	15.4
3	10.1	10.8	11.8	12.1	9.4	0.5	12.2	14.5	14.0	16.6	10.8	15.5	9.6	19.6	13.8	14.1	14.8	13.2	14.0	5.0	15.0
4	10.5	10.9	12.3	12.0	12.0	-0.5	13.0	11.8	12.1	13.8	9.2	13.9	5.2	17.6	14.3	15.1	16.5	13.6	14.8	6.0	18.2
5	11.6	11.6	13.2	12.1	12.2	3.0	11.0	11.0	11.2	12.4	10.0	12.3	0.8	18.4	15.2	14.8	16.4	14.7	13.4	2.1	18.6
6	11.5	11.0	10.9	11.2	11.5	0.0	13.0	16.1	14.3	16.8	13.7	16.0	8.5	16.6	15.4	14.5	15.2	13.6	12.9	6.0	19.0
7	10.8	11.4	12.8	10.6	10.8	0.3	15.3	14.0	14.3	16.2	14.9	14.1	7.0	17.6	15.4	16.1	15.9	16.1	16.9	2.8	14.8
8	12.6	13.2	13.6	13.7	11.7	5.2	13.8	12.5	11.9	14.5	13.2	13.0	2.6	13.2	16.1	16.5	16.9	15.4	14.3	5.5	16.6
9	12.6	14.2	15.8	11.0	15.4	3.7	17.6	14.9	15.0	14.1	16.2	15.5	6.3	15.4	14.6	13.2	14.8	13.0	15.5	5.4	16.2
10	16.0	15.2	14.9	13.0	14.3	7.4	18.3	16.4	17.2	16.0	16.9	16.6	7.0	17.8	14.5	14.8	14.9	11.5	15.6	5.2	17.6
11	13.9	14.0	14.9	12.7	14.0	7.8	14.6	15.5	13.6	16.6	15.4	16.9	5.8	19.0	10.5	12.2	14.3	9.0	13.9	-2.5	14.8
12	14.9	16.6	17.8	16.4	16.5	7.6	18.6	14.7	14.6	15.4	14.1	14.5	8.0	15.6	9.7	12.2	11.8	9.8	12.6	-2.0	13.4
13	14.8	16.1	17.0	16.7	16.0	6.4	17.4	12.4	14.0	12.6	12.8	14.0	7.8	14.4	9.5	10.1	10.8	6.9	10.3	-1.5	17.4
14	16.5	16.2	17.3	15.4	17.0	7.0	18.4	11.0	11.7	11.8	11.3	11.7	0.5	14.4	10.3	12.0	11.8	11.4	11.0	-0.9	15.8
15	16.5	16.6	16.9	14.2	16.0	5.3	18.6	15.3	15.0	14.9	17.4	16.5	6.0	16.4	12.4	12.7	12.9	11.6	11.7	-0.1	14.2
16	13.7	14.8	14.5	14.2	18.4	7.0	18.3	17.6	17.6	17.8	15.6	16.8	9.0	19.4	14.8	15.7	16.6	15.2	13.5	1.2	16.6
17	11.7	13.6	13.7	12.7	14.1	8.4	16.0	15.4	15.9	15.6	16.5	14.5	4.0	17.4	14.0	14.4	15.4	13.2	14.9	6.3	16.2
18	9.7	12.1	12.2	8.3	10.7	6.4	15.0	16.8	16.3	25.7	16.0	16.6	6.5	18.6	13.6	12.6	14.5	12.3	14.6	7.5	15.6
19	12.8	13.6	14.6	11.0	10.0	7.4	19.4	13.2	13.5	22.3	14.6	17.7	7.7	17.6	10.5	11.6	14.4	9.2	12.8	7.0	15.8
20	16.5	16.6	18.6	15.6	16.6	8.5	18.2	11.0	12.2	21.3	12.7	13.5	4.0	14.2	11.5	12.4	13.4	10.5	11.5	3.2	15.2
21	14.7	16.4	15.2	14.8	15.1	5.4	16.1	12.5	12.4	17.7	12.6	13.9	4.9	15.8	14.3	13.0	16.3	14.2	14.2	7.0	17.0
22	12.9	12.8	12.4	13.3	13.5	5.0	15.2	10.6	12.1	20.4	11.2	11.8	3.9	13.4	11.1	11.2	12.4	10.5	10.3	3.2	17.0
23	11.9	11.8	12.5	12.3	12.7	3.2	11.6	12.5	12.6	18.3	12.0	11.0	1.9	11.2	9.8	11.0	9.7	9.3	8.5	-2.0	11.8
24	11.9	11.9	12.7	11.6	12.8	4.5	13.7	9.2	9.7	19.2	8.5	11.5	5.5	15.4	7.0	8.7	8.5	6.7	8.2	-2.7	10.4
25	10.0	9.2	12.4	9.3	11.7	0.6	14.4	12.3	12.3	21.0	12.3	13.2	4.5	15.6	11.5	15.6	11.9	13.0	10.5	0.6	11.6
26	11.1	11.3	12.3	11.0	11.9	4.5	18.0	11.5	12.1	19.8	11.7	12.7	2.1	12.2	11.5	11.3	10.4	8.8	11.4	1.7	12.4
27	14.8	15.6	15.3	13.8	12.0	6.7	16.4	8.6	9.9	20.3	7.6	8.9	-0.7	12.8	5.0	6.9	6.9	4.5	6.6	-5.2	10.4
28	17.3	17.3	18.9	16.7	18.0	8.0	18.2	11.1	12.0	26.2	12.6	10.4	-0.2	14.8	5.0	6.3	6.4	3.0	6.2	-4.8	12.4
29	17.7	18.0	20.2	17.5	17.0	9.2	19.2	14.5	15.4	25.0	14.0	12.1	4.4	16.6	8.1	9.8	9.4	9.5	7.7	1.5	12.2
30	17.4	18.8	19.8	16.8	18.0	8.4	20.0	16.4	16.1	28.4	16.6	15.0	5.9	18.6	9.8	11.3	13.4	11.4	12.8	4.6	13.2
31	16.9	17.8	17.4	15.7	19.0	6.9	21.2	17.2	17.2	29.2	16.5	15.6	7.0	21.6							
Mittel	13.5	14.0	14.8	13.3	14.1	5.5	16.2	13.7	13.9	18.7	13.5	14.2	5.2	16.5	11.9	12.6	13.4	11.3	12.4	2.5	15.1
Tag	Oktober							November							Dezember						
	Bern	Neu- châtel	Genève	Basel	Alt- dorf	Bever	Lugano	Bern	Neu- châtel	Genève	Basel	Alt- dorf	Bever	Lugano	Bern	Neu- châtel	Genève	Basel	Alt- dorf	Bever	Lugano
1	11.5	11.8	12.2	11.6	9.4	7.8	13.0	2.9	3.1	3.1	2.7	2.8	-3.3	8.2	0.9	1.6	2.0	-1.2	0.7	-13.1	1.2
2	11.1	10.2	11.2	9.6	8.0	2.0	12.4	-0.2	0.6	0.9	1.7	2.0	-13.0	6.2	-1.9	-1.2	0.8	-4.0	0.5	-19.0	2.4
3	8.5	8.7	8.9	8.1	7.3	-1.6	10.2	4.5	4.9	5.0	4.2	4.0	-11.5	4.2	-4.4	-3.6	-1.0	-6.2	-0.5	-21.0	2.0
4	8.5	9.6	9.0	7.6	11.5	2.7	14.6	7.0	5.9	6.8	7.0	6.0	-3.6	3.8	-5.0	-4.5	-1.4	-9.2	-3.5	-22.4	-1.2
5	8.1	8.6	8.3	8.3	11.4	3.8	14.2	3.8	3.0	3.0	1.5	0.5	-10.0	4.2	-4.7	-5.8	-1.8	-9.0	-4.9	-21.0	-4.4
6	9.9	9.3	11.0	9.8	9.5	1.8	13.2	5.0	4.0	6.4	3.8	3.5	-3.0	6.2	-6.1	-6.4	-2.5	-7.3	-4.6	-20.0	-3.8
7	9.2	9.3	9.9	8.9	9.2	2.5	12.0	4.4	2.5	4.8	2.0	2.8	-8.4	3.2	-7.6	-3.5	-3.1	-9.5	-5.3	-20.8	-4.2
8	8.7	9.2	10.5	8.3	9.0	3.7	12.4	4.0	5.1	4.7	0.2	0.0	-11.0	3.6	-5.5	-3.9	-3.6	-9.0	-6.4	-17.1	-4.0
9	6.6	7.4	7.9	5.0	7.5	0.4	11.8	6.4	5.8	6.3	6.3	4.4	-3.5	4.8	0.4	-1.6	-0.7	-1.8	-4.8	-16.7	-4.2
10	9.6	10.0	9.6	9.2	8.0	0.5	13.2	3.3	4.1	5.8	3.6	4.2	-3.5	7.2	2.0	3.2	3.8	0.3	0.5	-8.0	-2.6
11	12.8	12.0	12.9	13.0	12.0	1.4	13.2	1.7	2.6	4.8	2.0	3.0	-2.0	6.6	0.5	3.0	3.4	0.6	0.0	-14.0	-1.8
12	10.4	9.2	10.2	7.4	10.4	4.2	12.7	2.4	3.1	5.1	2.6	2.0	-2.0	6.6	2.2	2.6	3.6	2.2	1.0	-9.5	-1.6
13	7.4	6.8	7.9	6.5	7.0	-0.5	10.4	1.6	2.2	2.8	1.1	3.0	-2.0	8.2	3.9	5.5	5.7	4.4	3.2	-6.0	1.4
14	7.8	8.8	8.4	7.9	7.0	-2.6	7.6	2.2	2.8	4.4	1.6	3.4	-3.9	7.6	1.1	1.7	5.0	1.5	0.5	-16.0	1.4
15	10.5	11.0	8.6	11.9	8.7	3.7	8.8	2.0	2.2	4.3	2.8	3.6	-12.0	3.8	0.2	2.3	3.2	2.8	-1.2	-21.4	-0.8
16	5.0	5.5	7.8	6.5	5.7	-4.2	9.6	4.2	5.3	5.0	3.8	1.0	-13.4	3.8	0.5	4.6	6.3	3.5	1.5	-7.9	1.4
17	3.3	3.6	4.7	4.4	3.0	-6.0	6.2	3.0	5.5	2.6	3.2	0.8	-5.0	7.2	4.4	5.0	5.2	4.6	2.5	-13.0	1.6
18	4.1	4.3	4.5	5.3	4.3	-3.6	9.2	-0.2	2.3	3.8	0.3	0.0	-10.5	6.2	1.0	2.3	3.5	2.8	0.5	-13.5	3.2
19	3.7	4.5	4.3	4.6	2.0	-6.0	5.4	0.4	2.6	3.5	-1.0	0.0	-14.8	3.8	-0.2	0.9	2.8	-0.4	9.8	-11.0	4.2
20	4.4	5.0	4.9	4.8	1.5	-3.9	3.8	-0.9	1.0	2.9	-0.1	-1.8	-16.9	2.8	3.8	4.2	5.4	5.6	7.6	-0.2	3.6
21	5.3	5.2	4.0	5.5	3.0	-3.6	9.2	-0.1	1.4	2.6	2.0	0.0	-11.8	3.2	3.2	4.0	5.4	3.4	5.0	-4.0	3.6
22	2.8	2.1	6.0	2.4	1.7	-14.5	5.2	1.1	3.9	3.7	2.7	1.0	-3.0	7.2	2.8	2.8	3.3	2.0	4.6	-6.2	3.6
23	0.4	2.5	4.6	0.7	-0.5	-14.8	2.2	1.9	3.2	4.0	3.2	3.2	-7.4	7.0	2.4	3.0	4.2	1.3	3.1	-10.4	4.6
24	-0.1	2.8	3.7	-0.2	-1.5	-13.0	2.4	0.9	3.3	3.8	-0.3	2.0	-5.6	8.8	0.7	1.2	2.0	-0.1	0.0	-4.0	4.8
25	1.6	3.7	1.7	3.8	0.6	-9.5	4.2	1.2	2.2	4.1	2.8	2.8	-8.8	9.2	0.7	0.9	1.7	-0.1	0.0	-9.0	3.2
26	4.2	5.4	7.0	5.4	3.8	-8.8	5.0	1.1	1.5	3.7	1.7	3.0	-9.5	6.4	1.0	1.7	3.0	0.8	1.2	-17.0	0.8
27	4.2	5.1	6.0	5.4	3.4	-9.5	5.2	0.6	1.3	2.8	1.3	2.7	-11.0	4.4	-1.1	-0.1	-1.0	-0.9	-2.2	-21.0	-0.8
28	3.1	4.1	5.5	3.4	1.8	-11.5	8.2	0.7	1.2	2.5	0.6	2.0	-11.4	6.2	2.0	5.1	4.3	7.7	2.2	-3.1	1.8
29	1.8	3.2	3.0	-1.3	0.0	-9.2	4.4	0.0	0.2	2.2	0.6	0.5	-12.0	3.6	4.0	3.7	4.6	4.1	4.0	-8.5	2.2
30	1.2	3.0	1.8	1.2	-1.3	-8.5	8.6	-0.6	0.5	0.4	0.3	0.0	-13.0	4.8	0.9	1.6	0.4	1.7	0.8	-14.0	1.0
31	0.7	3.1	2.																		

Temperatur-Maxima 1958 (Ablösungen an den Maximumthermometern)

Tag	Januar							Februar							März						
	Bern	Neu- châtel	Genève	Basel	Altdorf	Bever	Lugano	Bern	Neu- châtel	Genève	Basel	Altdorf	Bever	Lugano	Bern	Neu- châtel	Genève	Basel	Altdorf	Bever	Lugano
1	2.2	2.2	3.5	6.2	2.8	-4.5	9.1	-1.3	-1.8	-1.4	2.4	0.0	2.3	10.6	-1.3	0.8	1.2	2.6	-0.6	-3.2	13.4
2	2.9	-0.2	-0.7	3.5	4.9	-4.0	9.1	0.6	-2.3	-1.2	3.6	-0.7	2.1	12.4	3.8	5.4	6.5	3.7	0.9	1.5	14.4
3	2.6	3.5	2.9	1.9	3.9	-5.8	8.6	2.6	2.6	1.3	3.3	2.3	2.2	11.0	2.7	4.7	6.9	4.1	2.6	0.2	19.4
4	1.5	2.3	2.6	2.2	2.3	-4.4	7.2	1.9	2.7	3.0	4.3	1.5	1.2	12.2	5.3	7.0	7.0	7.6	5.5	0.2	11.0
5	7.3	7.1	9.4	10.6	9.4	-3.0	4.2	10.7	11.6	13.8	8.5	6.6	8.5	8.4	11.1	8.7	8.9	14.2	10.3	3.8	14.4
6	9.4	7.5	11.3	12.2	9.0	-0.4	9.6	6.6	7.8	8.9	6.8	6.5	4.0	8.6	8.4	9.4	9.4	9.5	9.3	6.4	15.8
7	10.3	8.8	11.8	12.5	13.2	4.7	13.8	8.2	6.2	8.8	7.5	4.9	4.8	12.2	5.2	7.1	7.5	6.7	6.3	-0.3	13.4
8	2.0	5.2	5.3	4.1	5.7	5.5	11.8	10.5	10.3	13.9	13.1	10.4	3.3	9.2	1.8	1.6	4.5	2.7	2.1	-5.4	12.4
9	3.2	3.0	4.4	5.6	2.8	-3.4	6.2	12.4	13.3	15.2	15.7	12.3	5.0	9.2	1.0	0.6	3.7	0.9	2.5	-4.0	5.4
10	4.3	5.3	7.0	7.2	5.3	-3.2	11.2	12.9	11.2	16.5	17.6	16.0	5.2	8.8	0.4	1.1	2.1	1.1	-0.1	-6.8	7.2
11	3.8	4.3	7.9	9.4	9.4	2.9	2.6	8.4	7.4	13.4	12.6	15.8	2.2	8.8	-0.5	-0.8	-0.2	0.7	-0.5	-8.4	2.4
12	2.0	3.5	4.6	3.4	4.6	5.5	7.8	11.2	10.7	13.8	19.2	15.2	3.4	9.4	0.7	1.4	2.2	1.4	0.9	-10.2	7.4
13	1.3	3.0	3.9	2.3	2.0	-5.5	12.2	15.8	15.7	17.4	18.5	14.3	5.7	15.0	5.6	4.3	7.3	7.7	2.0	-5.5	10.7
14	1.8	1.8	3.7	2.1	1.8	-5.2	11.4	17.4	16.7	14.0	19.7	15.3	9.2	14.2	5.5	8.7	7.8	6.9	4.0	1.0	15.8
15	1.9	2.7	3.5	2.2	1.6	-5.7	11.4	16.3	13.3	12.9	19.6	13.7	8.4	16.4	6.7	8.0	7.5	5.1	4.3	-0.7	14.4
16	1.0	2.1	3.4	4.3	1.0	-6.4	10.3	14.8	15.6	19.5	15.7	12.8	9.2	16.2	7.0	6.9	7.0	7.0	6.4	1.6	13.2
17	1.0	0.3	2.3	2.5	0.5	-2.9	9.6	12.9	11.3	14.0	14.1	15.4	8.2	18.2	1.8	2.7	4.7	6.1	2.4	-1.5	8.2
18	1.0	1.7	1.9	2.7	2.6	2.6	9.2	0.8	3.3	8.6	2.4	3.8	1.8	11.2	0.8	0.7	5.2	6.1	1.4	4.0	6.2
19	5.9	4.7	7.9	7.8	5.8	3.0	4.8	0.3	1.3	1.3	1.7	-0.2	-8.0	8.2	4.1	3.2	11.4	8.8	3.6	3.1	10.4
20	8.0	6.1	9.6	3.7	6.3	-0.5	3.2	2.0	1.2	2.4	4.4	0.3	-1.5	11.6	3.0	6.2	10.8	4.9	2.8	3.0	12.1
21	-1.1	1.2	2.3	2.9	2.0	7.4	8.2	5.5	3.1	6.3	6.8	1.6	0.6	14.8	0.3	2.2	4.4	1.7	0.0	-4.0	9.4
22	-0.8	1.2	2.3	5.1	4.2	-8.2	2.4	3.7	3.0	5.1	4.7	5.7	-3.4	10.2	0.8	2.7	3.5	3.4	-0.6	-7.0	11.8
23	-0.9	0.4	1.4	1.0	1.7	-8.0	5.4	6.1	5.5	7.3	7.6	2.1	-2.5	11.8	1.4	2.4	4.2	4.0	0.2	-17.0	13.0
24	1.6	1.4	2.2	3.0	0.3	-7.6	5.4	8.7	8.2	11.3	11.3	5.5	4.0	10.4	6.0	2.9	2.9	9.6	2.5	3.0	7.8
25	-0.8	-1.8	0.2	1.3	0.0	-10.0	8.2	12.9	11.7	13.9	13.2	13.0	1.5	4.4	9.9	9.5	10.8	13.3	13.7	2.0	6.8
26	1.7	-0.4	2.5	0.7	1.3	-3.5	4.4	8.0	8.9	11.7	10.9	11.3	-0.4	8.6	12.4	12.3	14.7	12.6	12.2	5.0	11.4
27	6.3	5.8	4.4	8.2	5.5	1.4	8.4	-2.8	0.3	-0.5	-1.5	-0.4	-9.5	8.3	7.7	6.7	9.8	12.3	12.7	3.5	8.8
28	-0.4	0.4	0.2	3.6	2.1	0.5	7.2	0.0	2.1	2.5	2.4	1.9	-5.0	15.4	13.7	12.4	14.0	17.6	13.7	8.0	18.4
29	-1.2	-0.6	0.3	3.1	1.2	-0.6	10.4							16.5	15.1	13.8	18.9	14.8	6.6	12.4	
30	-2.5	-0.8	0.4	1.8	0.3	0.2	10.8							16.3	16.4	14.3	18.0	14.6	7.9	20.4	
31	-4.0	-2.5	-0.3	-1.2	0.4	-0.4	11.4							13.0	14.9	14.3	12.5	12.0	5.0	23.4	
Mittel	2.3	2.5	3.9	4.4	3.6	-3.3	8.2	7.4	7.2	9.1	9.5	7.4	2.2	11.3	5.5	6.0	7.4	7.5	5.2	-0.3	12.0
Tag	April							Mai							Juni						
	Bern	Neu- châtel	Genève	Basel	Altdorf	Bever	Lugano	Bern	Neu- châtel	Genève	Basel	Altdorf	Bever	Lugano	Bern	Neu- châtel	Genève	Basel	Altdorf	Bever	Lugano
1	8.7	9.2	9.8	9.7	9.4	6.0	17.4	19.2	19.3	18.3	21.8	17.5	13.0	22.9	23.4	23.3	23.2	27.5	22.6	16.2	28.2
2	11.6	11.7	10.5	12.0	10.3	4.4	11.4	22.0	21.1	20.4	24.9	19.9	9.5	24.4	25.8	23.6	26.2	28.9	27.4	20.0	29.4
3	13.4	11.0	9.7	9.7	15.6	1.8	8.0	22.7	23.4	18.6	24.7	20.2	12.2	25.4	16.2	19.2	20.7	16.9	18.0	18.0	28.2
4	14.3	12.8	13.2	18.2	12.7	1.5	8.8	22.4	24.2	20.6	21.2	19.9	12.0	24.4	19.4	20.3	19.4	21.1	19.1	13.5	30.8
5	8.6	8.8	9.1	8.8	10.5	4.9	12.2	22.2	21.0	22.9	25.6	23.7	13.4	23.2	20.8	22.1	21.4	22.5	21.3	14.5	28.4
6	6.4	6.6	7.3	5.2	5.6	2.0	9.8	20.4	19.7	22.7	22.5	18.2	12.8	24.8	20.2	19.3	19.2	24.5	21.3	16.0	26.6
7	4.4	5.4	7.5	4.3	5.0	3.5	18.4	22.9	23.2	24.9	24.2	21.0	12.2	27.4	20.5	20.9	22.7	25.8	17.0	14.2	24.2
8	4.6	5.7	6.2	7.9	5.5	-1.6	17.1	26.9	26.5	26.4	30.9	25.4	17.3	26.7	21.7	22.3	22.0	22.7	22.1	17.9	29.4
9	5.0	7.1	6.7	6.0	5.1	-2.0	16.8	27.0	25.4	27.7	29.5	24.9	19.0	27.7	21.6	21.8	20.8	23.7	22.6	17.7	28.4
10	2.6	4.1	7.7	6.6	3.3	-1.9	14.4	27.0	26.3	28.7	28.2	25.1	18.4	27.8	17.6	17.3	19.1	19.6	18.5	10.0	19.6
11	1.7	2.4	3.4	3.5	1.6	-1.5	10.2	27.9	26.7	26.8	27.7	27.0	19.5	29.4	14.1	16.8	16.4	18.8	12.8	8.5	26.8
12	4.3	5.3	5.7	6.4	7.1	0.0	6.8	23.2	22.3	23.7	24.1	24.8	18.4	27.4	16.7	19.3	19.5	18.7	17.3	10.6	25.2
13	7.7	8.3	6.5	10.6	6.6	4.8	7.8	17.0	21.6	19.2	15.1	18.0	17.2	26.4	17.8	20.2	19.8	19.1	15.6	10.5	25.2
14	12.2	11.4	12.4	13.6	15.3	5.0	8.8	20.5	18.5	22.7	26.8	25.8	19.0	26.2	18.6	20.3	19.4	21.8	19.6	14.5	26.4
15	9.3	9.9	10.3	9.6	10.8	4.4	10.4	15.5	13.8	17.3	16.6	18.5	10.6	24.1	23.0	22.7	25.2	24.8	22.5	16.8	27.0
16	6.1	7.6	7.6	6.3	5.6	1.0	8.8	10.4	10.4	12.2	14.2	14.5	9.2	13.9	24.4	24.5	26.0	28.2	23.5	16.5	28.2
17	4.9	6.2	6.5	9.2	5.0	0.0	16.3	11.0	12.1	12.1	15.0	10.0	5.0	23.4	26.1	26.9	27.0	29.3	24.5	16.8	28.8
18	9.2	9.7	9.7	12.6	8.6	1.5	16.2	18.3	18.3	16.2	19.9	18.5	13.5	26.6	24.3	25.3	26.2	25.9	25.0	18.5	29.4
19	14.1	12.2	12.6	16.6	12.5	3.0	17.4	21.5	22.7	21.5	23.8	21.5	17.0	26.8	23.9	23.6	26.4	27.0	22.9	16.9	29.6
20	17.8	17.1	15.7	21.4	16.7	7.9	21.8	26.1	24.7	27.5	28.6	25.0	18.0	28.2	21.5	20.2	21.7	23.1	19.0	16.8	27.1
21	20.0	20.0	20.3	22.0	18.3	10.0	21.4	18.3	21.0	20.3	18.7	20.6	18.0	28.7	17.1	17.2	20.0	19.7	17.5	15.7	23.7
22	20.3	20.6	18.2	18.3	17.9	10.5	19.8	12.4	14.1	15.1	14.0	13.3	13.0	21.6	18.1	19.1	19.4	20.1	15.7	15.6	26.4
23	11.1	13.7	14.3	15.0	12.5	4.0	14.4	22.5	21.3	24.9	23.7	21.0	15.4	26.8	18.6	18.6	20.4	20.9	17.6	13.2	26.4
24	17.3	16.5	16.0	19.6	15.3	9.5	20.6	22.8	22.7	22.8	23.7	25.2	17.0	26.4	13.2	15.1	16.0	15.2	18.0	18.2	17.4
25	15.5	16.3	15.2	16.4	16.1	7.4	20.2	23.9	23.0	22.5	21.7	23.0	15.5	20.8	20.3	18.8	22.5	22.7	21.0	15.6	27.4
26	14.0	11.7	14.2	15.5	15.7	7.6	21.4	18.9	19.3	19.2	17.7	21.5	17.6	27.4	15.6	15.3	16.8	17.6	21.1	10.5	18.6
27	12.9	10.6	14.2	12.7	12.9	4.8	19.6	19.0	20.3	17.0	19.8	16.2	12.5	19.6	12.5	13.9	14.3	15.4	20.4	6.6	18.0
28	12.1	13.3	14.2	14.6	11.6	0.8	19.4	14.4	14.6	15.5	19.3	12.4	14.0	24.2	18.3	18.8	17.7	20.5	16.6	9.5	27.2
29	13.5	13.1	14.6	14.7	12.0	3.9	23.4	19.3	18.4	18.6	21.9	18.3	15.7	27.4	21.4	22.6	21.4	23.3	21.0	20.2	28.4
30	15.6	16.4	15																		

Temperatur-Maxima 1958

Tag	Juli							August							September						
	Bern	Neu- châtel	Genève	Basel	Altdorf	Bever	Lugano	Bern	Neu- châtel	Genève	Basel	Altdorf	Bever	Lugano	Bern	Neu- châtel	Genève	Basel	Altdorf	Bever	Lugano
1	22.5	23.5	22.8	26.7	23.2	17.5	26.2	32.0	30.3	33.8	34.4	27.9	25.0	34.2	22.2	22.6	22.5	24.8	19.5	17.4	23.4
2	20.6	20.1	22.5	23.1	19.6	16.4	25.8	24.4	25.7	26.4	21.5	27.0	24.0	33.2	22.7	22.9	23.2	26.1	20.3	17.4	28.2
3	19.4	19.2	21.7	22.6	18.4	11.0	23.4	19.5	21.4	22.4	22.9	20.5	19.4	32.6	24.0	25.3	23.6	27.4	22.2	20.3	28.4
4	19.4	19.7	20.1	18.6	15.7	11.4	24.2	21.0	24.9	23.5	24.6	20.7	16.7	28.8	21.7	22.1	23.8	25.2	19.1	15.9	25.4
5	18.9	18.3	20.0	22.3	18.4	13.0	29.4	24.6	25.0	24.2	28.7	23.0	20.3	28.4	24.8	22.2	25.0	29.1	23.0	21.0	25.4
6	21.1	23.3	22.2	24.1	18.9	15.7	29.4	25.9	27.7	28.3	27.6	21.8	20.5	29.8	27.0	26.8	27.5	31.1	24.0	18.8	28.8
7	22.0	23.5	21.9	25.0	21.9	18.0	27.9	18.6	20.8	22.4	21.1	16.8	11.0	25.8	25.7	24.8	26.1	28.7	23.4	21.2	29.4
8	22.2	23.7	23.4	24.4	23.3	20.0	30.4	21.7	23.2	23.9	23.7	21.6	15.4	30.8	24.2	22.7	26.4	23.1	20.8	20.0	29.2
9	21.8	24.2	21.7	24.6	20.6	19.0	29.8	25.7	26.7	26.4	29.1	25.4	22.3	31.4	24.0	23.8	27.4	25.5	20.8	19.2	29.2
10	24.0	25.1	24.7	27.2	22.7	19.2	26.7	28.4	28.4	29.6	32.9	26.8	23.6	31.8	20.8	23.7	22.2	20.3	18.6	16.4	28.8
11	26.5	26.3	28.2	30.2	25.3	19.6	30.7	28.1	29.6	30.4	31.6	27.0	21.7	33.2	19.4	22.0	20.2	21.2	19.4	15.8	27.8
12	27.5	27.9	29.5	30.7	26.0	19.6	30.7	20.4	23.4	22.9	23.1	20.1	18.2	28.4	19.1	21.1	18.9	22.1	24.4	17.0	27.4
13	27.2	26.3	27.2	29.7	27.4	22.0	31.2	20.4	21.4	21.5	22.4	19.3	14.6	30.4	23.0	22.1	21.2	26.9	20.2	21.0	27.0
14	24.3	25.7	24.0	26.4	23.8	22.4	32.3	24.6	25.1	26.3	25.1	23.5	19.0	30.2	24.9	24.5	23.0	28.4	21.5	21.9	26.8
15	29.4	29.0	31.1	32.1	30.0	23.0	33.2	26.1	27.2	25.0	27.1	25.6	22.7	31.6	25.4	26.3	23.7	30.7	22.3	21.8	28.2
16	23.5	21.8	24.8	26.9	24.3	22.0	26.4	25.4	25.7	26.9	26.3	20.6	20.7	29.4	22.7	23.5	23.4	19.4	24.8	20.6	27.8
17	18.7	22.5	20.9	22.1	20.0	11.5	31.2	27.5	28.1	25.8	29.9	25.0	22.0	32.4	18.2	21.3	19.8	16.6	17.8	17.2	23.2
18	21.7	23.5	22.4	25.3	22.1	20.2	30.4	26.7	26.6	25.7	30.0	25.7	19.8	28.8	17.7	21.4	18.7	21.2	16.9	15.0	25.4
19	27.6	26.8	28.5	30.5	25.4	21.0	30.6	22.0	21.2	22.3	25.0	25.7	19.8	28.8	19.4	21.7	21.9	21.8	18.8	16.3	25.2
20	25.9	27.0	27.5	26.9	23.8	19.5	30.9	20.3	19.5	21.3	23.0	21.0	15.5	28.2	19.3	20.8	23.9	20.9	18.1	18.5	27.6
21	22.2	25.5	25.0	22.8	21.5	20.0	31.3	15.4	16.2	17.7	19.3	20.4	12.8	21.6	19.6	20.0	23.5	19.1	20.0	14.9	21.8
22	18.0	18.7	20.0	21.2	17.4	12.0	23.0	19.7	20.1	20.4	20.0	17.7	12.5	20.4	15.6	17.0	18.3	19.5	16.5	12.2	22.8
23	16.9	17.8	19.9	19.5	17.2	13.6	29.4	17.2	18.1	18.3	20.7	*18.0	15.7	26.4	17.7	21.0	20.2	18.8	18.0	12.0	26.4
24	14.8	15.3	19.6	18.6	15.0	13.0	29.0	16.1	15.3	19.2	19.2	17.0	12.0	23.4	20.2	20.9	22.5	21.6	19.6	18.2	24.7
25	21.6	22.0	21.1	24.3	21.3	18.0	29.2	19.9	20.4	21.0	23.3	19.5	12.6	22.2	20.2	21.1	22.7	21.1	19.3	17.6	25.6
26	23.5	22.9	24.4	27.5	21.5	18.3	28.2	19.3	20.6	19.8	21.8	16.6	12.4	29.2	16.0	18.3	17.2	18.0	18.2	11.6	27.0
27	24.8	24.9	26.4	24.9	24.0	20.5	30.7	22.6	21.4	20.3	25.9	20.4	18.7	27.4	16.8	18.0	16.5	18.2	18.4	13.7	24.8
28	28.8	29.2	31.5	30.3	33.0	21.4	31.7	26.2	24.9	26.2	29.0	23.3	24.0	29.2	18.6	17.7	18.0	21.4	19.4	12.8	22.6
29	26.8	24.4	27.9	26.2	22.0	24.0	31.6	27.4	25.3	25.0	28.4	24.2	25.7	29.2	21.0	20.3	23.8	25.5	17.7	14.0	22.4
30	27.2	29.9	29.4	28.2	25.7	24.5	33.1	27.2	26.8	28.4	30.0	24.4	26.5	31.4	17.6	17.3	17.2	17.8	21.3	10.5	20.2
31	28.8	29.8	26.9	30.8	27.0	24.2	33.8	27.0	26.8	29.2	29.0	25.6	23.0	29.6							
Mittel	23.1	23.8	24.4	25.6	22.1	18.4	29.4	23.3	23.8	24.3	25.7	22.3	19.0	29.0	21.0	21.8	22.1	23.1	19.4	17.0	26.0
Tag	Oktober							November							Dezember						
	Bern	Neu- châtel	Genève	Basel	Altdorf	Bever	Lugano	Bern	Neu- châtel	Genève	Basel	Altdorf	Bever	Lugano	Bern	Neu- châtel	Genève	Basel	Altdorf	Bever	Lugano
1	13.8	14.7	17.4	13.8	21.5	11.0	19.2	7.4	9.0	9.8	10.3	8.3	2.1	16.4	2.5	3.3	5.5	2.8	3.7	1.5	12.2
2	17.1	18.8	19.3	21.3	17.0	10.6	24.2	6.1	6.3	7.8	8.8	8.7	1.2	16.9	1.1	2.2	4.5	-0.8	3.5	-4.9	6.8
3	17.5	18.2	16.9	20.2	20.4	14.5	24.8	8.6	8.9	10.6	11.1	8.0	3.1	15.4	-1.4	0.0	1.1	-0.8	1.0	-8.8	4.4
4	15.4	14.7	14.5	17.5	22.6	13.7	22.0	9.6	10.4	11.1	10.1	8.5	5.0	15.0	-3.2	-1.8	0.3	-1.9	1.0	-7.0	4.4
5	16.0	17.8	17.5	19.9	15.8	14.0	21.4	7.8	7.8	9.2	11.5	9.4	4.9	13.2	-3.0	-2.1	0.1	0.6	1.0	-4.0	5.4
6	13.3	12.9	13.3	14.7	13.8	9.5	17.2	8.3	9.5	11.7	10.9	8.7	1.4	9.6	-1.3	0.9	3.3	1.2	1.4	-3.3	2.4
7	10.8	12.0	13.5	12.6	13.8	8.2	14.6	6.8	6.4	8.6	9.1	9.8	4.8	15.2	-3.1	-0.7	-0.5	-3.9	-0.5	-4.0	7.2
8	13.5	15.4	16.0	17.7	14.3	16.0	21.8	7.8	7.7	7.4	10.9	10.0	4.8	13.2	-1.6	-1.4	-0.3	2.1	0.8	-0.5	6.4
9	17.3	15.3	16.2	20.1	16.0	17.0	24.4	8.7	9.7	10.5	8.2	9.5	4.0	12.7	5.3	6.3	7.0	6.6	4.6	-2.0	3.2
10	18.3	14.6	17.1	24.4	19.4	16.6	20.4	6.7	7.9	9.4	7.0	8.5	0.2	10.8	6.9	6.4	9.3	7.9	4.7	1.8	8.2
11	18.0	18.2	18.6	22.2	16.9	11.5	16.6	4.4	4.7	7.5	5.1	5.2	0.9	9.2	5.3	6.1	7.8	9.1	11.8	-1.5	1.8
12	13.5	13.5	14.6	14.8	14.0	9.6	18.4	4.0	5.7	6.7	5.0	6.0	-0.4	11.0	5.6	5.7	8.3	7.2	4.7	0.0	9.4
13	11.5	13.3	13.2	12.9	11.6	4.2	20.4	3.2	3.7	5.4	3.0	5.5	1.2	14.4	8.0	7.7	11.8	11.9	13.9	0.6	3.8
14	9.1	12.0	12.5	14.6	11.7	9.3	19.8	4.7	5.4	6.7	3.9	5.7	3.2	14.2	6.0	7.3	8.9	8.5	5.5	-0.1	9.8
15	17.7	15.5	19.1	18.6	18.5	12.1	27.2	5.6	7.1	7.9	6.2	7.2	1.2	14.4	4.0	5.3	8.3	6.2	11.0	-1.0	5.4
16	12.5	14.7	14.9	14.0	16.4	10.5	26.2	5.8	6.7	8.2	6.6	8.7	2.5	14.8	6.0	8.3	10.9	13.4	12.2	-0.5	5.2
17	5.3	6.8	8.7	8.6	7.8	-1.8	18.4	7.5	8.5	8.0	7.7	9.5	1.0	10.4	9.4	9.4	11.0	12.4	11.6	-2.0	4.8
18	5.1	10.7	10.4	11.9	7.3	1.6	19.4	6.5	6.8	8.0	9.0	7.7	2.5	12.8	7.0	8.4	13.0	12.6	11.0	-2.5	9.2
19	7.5	10.5	9.7	11.6	7.0	1.0	18.6	2.8	4.8	6.5	8.9	3.6	0.9	14.4	6.7	5.5	6.6	9.6	15.4	0.5	6.4
20	8.0	8.5	7.9	9.4	5.7	0.0	18.2	1.1	3.2	4.6	3.8	2.0	-2.4	12.2	8.7	8.6	10.5	11.8	15.7	0.6	5.4
21	6.8	7.3	8.4	8.5	6.4	1.8	18.2	2.5	4.6	4.3	5.7	3.5	3.3	13.8	7.1	7.2	8.9	9.6	12.5	0.6	7.0
22	8.9	11.1	10.7	8.2	10.3	0.8	18.8	4.6	5.0	6.7	6.3	6.5	6.5	11.4	5.7	4.7	6.5	8.7	13.0	0.5	8.8
23	8.3	10.5	9.6	9.1	9.4	0.8	17.4	3.7	4.4	5.5	5.0	5.3	6.0	11.2	4.4	6.3	6.5	4.2	13.8	-0.5	7.4
24	8.4	11.6	9.0	11.5	9.2	6.9	18.4	3.4	4.5	5.6	8.1	4.8	4.5	12.4	2.5	3.6	5.3	3.4	5.4	-0.9	8.6
25	6.2	6.9	8.0	9.8	6.9	9.0	18.8	3.1	3.8	5.5	4.4	4.7	4.8	11.8	2.7	3.6	5.7	3.2	2.2	-1.2	9.4
26	6.6	8.1	8.1	10.6	6.5	8.5	19.4	2.4	3.3	5.0	3.4	4.6	4.3	15.2	2.8	3.3	5.3	2.8	7.6	-5.0	10.8
27	6.7	6.7	7.8	11.4	6.2	6.8	18.6	1.6	2.5	4.0	2.7	4.5	5.2	14.4	2.0	5.2	4.7	9.6	2.8	-2.5	6.4
28	4.7	6.0	7.3	11.0	5.1	6.8	18.4	1.3	2.3	3.9	2.6	4.0	3.2	10.8	8.2	8.2	8.9	10.5	10.6		

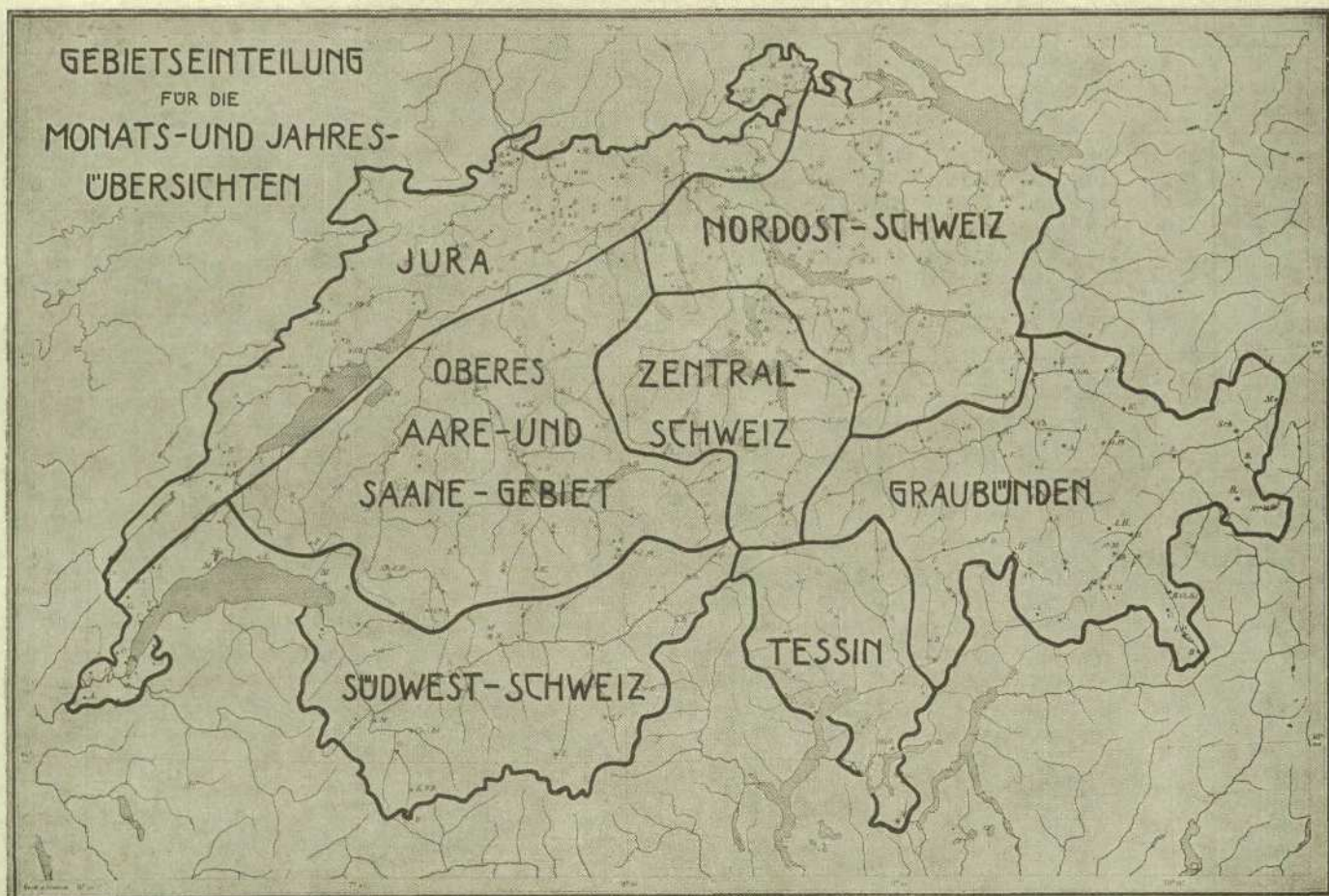
Monats- und Jahresübersichten

sämtlicher schweizerischer meteorologischer Stationen

In die hier folgenden Übersichten werden die Beobachtungsergebnisse aller schweizerischen Stationen, soweit es die Zuverlässigkeit und Vollständigkeit derselben gestatten, aufgenommen. Zu beachten ist:

1. Die Minima und Maxima bei Luftdruck, Temperatur und die Minima bei der relativen Feuchtigkeit sind stets den üblichen Terminbeobachtungen entnommen (7³⁰ 13³⁰ 21³⁰, resp. 7³⁰ 13³⁰ 20³⁰).
2. Die Monatsmittel der Temperatur werden aus den 3 Terminbeobachtungen in der Weise abgeleitet, daß der Abendbeobachtung (21³⁰) das doppelte Gewicht beigelegt ist [$m = \frac{1}{4} (7^{30} + 13^{30} + 2 \cdot 21^{30})$]. Bei den wenigen Stationen, die eine andere Kombination der Beobachtungsstunden haben, wird eine nach den stündlichen Werten von Bern und Säntis berechnete Reduktion angebracht.
3. Als Tage mit Niederschlag werden diejenigen gezählt, an denen wenigstens 0,3 mm gemessen wurden. Eine zweite Rubrik enthält die Zahl der Tage mit Niederschlagsmengen von mindestens 1,0 mm.
4. Für die Zählung der Tage mit Gewittern werden nur die Gewitter berücksichtigt, welche über der Beobachtungsstation selbst niedergehen oder in höchstens 3 km Distanz an ihr vorüberziehen. (Nahgewitter). Tage mit mehreren Gewittern werden als «Gewittertage» nur einfach gezählt.
5. Als heitere (trübe) Tage werden solche bezeichnet, deren mittlere Bewölkung < 2 (> 8) Zehntel ist.
6. Bei der Übersicht der Windverteilung wird nur die Häufigkeit der verschiedenen Windrichtungen mit Index > 0 berücksichtigt.
7. λ bezeichnet die geographische Länge in Graden von Greenwich, β die geographische Breite, H_b die Höhe des Stationsbarometers über dem Meer in Metern, H die Höhe der Station (des Regenmessers) über Meer, G ist die Korrektur, welche an den Luftdruckdaten für deren Reduktion auf die Normalschwere (Konventioneller Standardwert $g_0 = 980,665 \text{ cm/sec}^2$) noch anzubringen ist, h_r die Höhe des oberen Randes des Regenmessers über dem Erdboden. Die Stationen, bei denen die Höhe (des Barometergefäßes) bis auf den Dezimeter angegeben ist, sind an das schweizerische Präzisionsnivelement angeschlossen. Alle Höhen sind auf Pierre du Niton 373,6 m bezogen.

NB. Die den Schwerekorrekturen zugrundeliegenden Schwerewerte sind für die einzelnen meteorologischen Stationen aus den Schwerebestimmungen von Th. Niethammer (Astronomisch-geodätische Arbeiten in der Schweiz, Bände 12, 13, 15 und 16) berechnet worden.



Reihenfolge der Gebiete: Nordostschweiz, Zentralschweiz, Jura, Oberes Aare- und Saanegebiet, Südwestschweiz, Graubünden, Tessin.

Zürich MZA

$\lambda = 8^\circ 34'$, $\beta = 47^\circ 23'$, $H_b = 569.4^m$, $G = -0.01 \frac{mm}{m}$, $h_r = 1.5^m$

1958	Luftdruck					Luft-Temperatur							Relative Feuchtigkeit						
	Mittel	Minimum Tag	Maximum Tag	7 ⁰⁰	13 ⁰⁰	21 ⁰⁰	Mittel	Minimum Tag	Maximum Tag	7 ⁰⁰	13 ⁰⁰	21 ⁰⁰	Mittel	Minimum Tag					
Januar	711.2	691.0	11	722.6	16	-1.4	1.7	-0.4	-0.1	-7.5	21	8.7	6	89	77	86	84	50	2
Februar	710.7	695.3	25	724.7	3	1.9	5.7	3.6	3.7	-7.9	28	17.9	14	87	72	81	80	46	5.13
März	707.7	697.1	11	719.0	4	-1.9	4.3	0.5	0.9	-7.9	23	15.9	29	87	60	78	75	40	24
April	710.7	700.0	16	721.3	30	3.5	8.7	5.3	5.7	-1.9	11	18.5	21	83	62	74	73	41	24
Mai	713.3	700.8	16	721.4	1	12.6	18.7	13.8	14.7	5.4	16	27.1	11	76	57	72	68	37	25
Juni	711.7	699.9	26	717.7	15	13.4	19.0	14.4	15.3	7.9	27	26.6	17	76	55	72	68	34	16
Juli	713.0	705.0	22	719.2	17	15.6	21.9	17.0	17.9	10.3	4	29.3	15	81	56	77	71	39	13
August	712.6	702.0	21	719.7	4	15.8	22.1	16.6	17.8	9.4	27	31.6	1	81	56	78	72	39	5
September	714.5	702.2	30	719.1	13	13.0	20.0	14.5	15.5	6.2	28	27.4	7	86	58	83	76	43	27
Oktober	716.1	700.3	1	724.9	23	7.0	10.7	7.8	8.3	0.9	22	18.3	3	92	74	92	86	50	24
November	714.0	703.2	13	724.3	20	3.0	4.9	3.3	3.6	-0.2	29	11.1	8	93	83	91	89	49	8
Dezember	706.4	689.9	13.16	718.7	29	1.7	3.9	2.3	2.6	-5.7	5.7	10.2	20	80	73	80	78	45	16.12
Jahr	711.8	689.9	XII	724.9	X	7.0	11.8	8.2	8.8	-7.9	II III	31.6	VIII	84	65	80	76	34	VI

Zürich-BG

$\lambda = 8^\circ 32'$, $\beta = 47^\circ 22'$, $H_b = 410.6^m$, $G = 00.2 \frac{mm}{m}$, $h_r = 1.5^m$

Januar	725.4	704.7	11	737.1	16	-0.4	2.2	0.9	0.9	-7.7	21.25	10.0	6	—	—	—	—	—	—
Februar	724.9	709.1	25	739.1	3	2.8	6.3	4.2	4.4	-6.1	28	17.0	15	—	—	—	—	—	—
März	721.8	711.5	11	733.4	4	-0.7	5.6	2.0	2.2	-5.7	23	17.8	29	—	—	—	—	—	—
April	724.7	713.9	16	735.0	30	4.5	10.5	6.5	7.0	-0.5	11	20.3	21	—	—	—	—	—	—
Mai	726.8	710.0	16	735.6	1	13.7	20.5	14.8	15.9	6.8	16	29.4	11	—	—	—	—	—	—
Juni	725.2	713.0	26	731.5	15	15.1	20.9	15.8	16.9	9.2	27	28.3	2	—	—	—	—	—	—
Juli	726.4	718.3	1.22	732.9	25	17.3	23.7	18.6	19.5	11.6	4	30.4	13	—	—	—	—	—	—
August	725.9	715.5	21	733.6	4	17.0	24.1	17.9	19.2	11.9	27	32.5	1	—	—	—	—	—	—
September	728.0	715.7	30	732.7	13	13.8	21.6	15.6	16.7	6.9	28	28.7	7	—	—	—	—	—	—
Oktober	729.9	713.9	1	739.4	24	8.3	11.9	9.0	9.5	2.7	22	20.0	3	—	—	—	—	—	—
November	728.1	717.3	13	738.9	20	4.5	6.2	4.8	5.1	1.2	28	11.5	8	—	—	—	—	—	—
Dezember	720.5	702.9	13	732.8	29	2.8	4.6	3.0	3.4	-4.3	5	10.7	20	—	—	—	—	—	—
Jahr	725.6	702.9	XII	739.4	X	8.2	13.2	9.4	10.1	-7.7	I	32.5	VIII	—	—	—	—	—	—

Baden

$\lambda = 8^\circ 19'$, $\beta = 47^\circ 29'$, $H_b = 386.6^m$, $G = -0.04 \frac{mm}{m}$, $h_r = 1.5^m$

Januar	727.7	706.9	11	738.0	31	-0.8	1.8	0.0	0.2	-10.2	25	8.7	6	89	81	87	86	60	27
Februar	727.0	710.8	25	741.7	3	2.1	5.9	3.4	3.7	-7.8	28	16.7	14	87	74	83	81	52	13.13
März	724.1	714.1	11	736.3	4	-1.3	5.5	1.4	1.7	-7.5	10	16.8	29	86	62	78	75	45	16.24
April	727.0	716.0	16	737.3	30	4.0	10.3	5.7	6.4	-1.0	2	19.2	22	86	63	78	76	38	2
Mai	729.0	715.5	16	737.9	1	13.3	20.3	13.9	15.3	7.3	17	28.5	9.11	79	60	78	72	41	19
Juni	727.4	715.4	26	733.5	14.15	14.5	20.6	14.2	15.9	9.0	27	28.6	17	76	54	82	71	36	div.
Juli	728.5	719.9	1	735.3	17	16.9	23.1	17.1	18.6	12.0	25	30.3	13	84	57	87	76	40	13
August	728.2	717.9	21	736.1	4	16.3	23.1	16.9	18.3	9.8	24	31.1	1	87	57	84	76	45	div.
September	730.2	717.5	30	734.9	13	13.2	20.2	14.5	15.6	6.0	28	26.0	7	87	59	83	76	46	27
Oktober	732.2	715.8	1	741.6	23.24	7.8	11.2	8.3	8.9	1.8	29	17.6	11	87	71	86	81	51	23
November	730.5	719.4	13	741.5	20	4.2	5.9	4.4	4.7	0.7	30	10.0	8	87	76	84	82	58	2
Dezember	722.8	705.0	13	735.0	29	1.9	4.3	2.1	2.6	-6.2	7	10.5	17	84	74	83	80	49	17
Jahr	727.9	705.0	XII	741.7	II	7.7	12.7	8.5	9.3	-10.2	I	31.1	VIII	85	66	83	78	36	VI

Winterthur

$\lambda = 8^\circ 45'$, $\beta = 47^\circ 30'$, $H_b = 490^m$, $G = - \frac{mm}{m}$, $h_r = 1.5^m$

Januar	—	—	—	—	—	-1.1	1.4	-0.4	-0.1	-10.2	25	8.0	6	93	86	93	91	60	2
Februar	—	—	—	—	—	2.0	5.5	3.0	3.4	-8.6	28	16.9	14	92	79	89	87	40	13
März	—	—	—	—	—	-1.5	4.6	0.9	1.2	-7.1	12	14.2	28.30	93	65	85	81	41	24
April	—	—	—	—	—	3.9	9.5	5.4	6.0	-1.8	10	19.2	21	90	65	83	79	43	22
Mai	—	—	—	—	—	12.7	18.7	13.5	14.6	6.2	17	26.6	11	86	63	84	78	39	3
Juni	—	—	—	—	—	13.7	18.8	14.2	15.2	9.5	27	25.5	18	85	62	84	77	37	1
Juli	—	—	—	—	—	16.1	21.7	17.3	18.1	11.6	4	28.9	13	90	68	85	81	54	18
August	—	—	—	—	—	15.9	21.5	16.7	17.7	11.2	27	29.2	1	90	66	91	82	50	5.10
September	—	—	—	—	—	12.9	19.1	14.1	15.0	6.0	28	25.0	7	93	69	93	85	51	15
Oktober	—	—	—	—	—	7.6	10.5	8.0	8.5	0.7	31	16.3	3.11	95	83	95	91	63	23
November	—	—	—	—	—	3.9	5.5	4.1	4.4	0.6	28.29	10.2	8	96	87	94	92	61	8
Dezember	—	—	—	—	—	1.6	4.1	2.0	2.4	-6.3	7	10.2	20	88	80	90	86	50	17
Jahr	—	—	—	—	—	7.3	11.7	8.2	8.9	-10.2	I	29.2	VIII	91	73	89	84	37	VI

Beobachter: Meteorolog. Zentralanstalt

Zürich MZA

Bewölkung				Termine mit Nebel				Niederschlag			Zahl der Tage								Windverteilung								1958		
7 ³⁰	13 ³⁰	21 ³⁰	Mittel	7 ³⁰	13 ³⁰	21 ³⁰	Total	Summe	Maximum	Tag	* 0	0	10	*	△	K	≡	heiter	trüb	N	NE	E	SE	S	SW	W		NW	Calmen
9.1	8.0	8.4	8.5	4	2	2	8	69	17	6	14	12	10	—	—	4	1	22	5	17	6	4	13	26	12	2		8	Januar
8.9	7.9	7.5	8.1	3	—	3	6	198	36	17	20	16	10	—	—	6	1	14	6	7	1	1	17	31	14	3	4	Februar	
7.2	7.6	6.3	7.0	1	—	2	3	48	19	13	13	11	11	—	—	4	4	15	6	28	10	3	14	14	11	2	5	März	
7.4	7.3	6.9	7.2	2	—	1	3	112	39	16	15	14	8	—	—	4	5	15	7	26	4	2	13	19	9	4	6	April	
7.3	6.6	4.2	6.0	—	—	—	—	104	36	27	9	9	—	—	—	3	4	10	7	14	7	3	17	20	16	4	5	Mai	
6.2	6.0	6.9	6.4	—	—	—	—	207	57	21	12	11	—	—	—	3	—	6	12	13	19	4	4	11	15	16	5	3	Juni
6.6	6.1	6.8	6.5	—	—	—	—	136	20	1	15	13	—	—	—	3	—	4	8	6	16	3	6	13	21	16	6	6	Juli
5.5	5.5	7.2	6.1	—	—	—	—	191	52	19	13	13	—	—	—	6	2	6	9	7	10	5	7	23	19	10	8	4	August
7.4	5.0	4.3	5.6	4	—	—	4	91	40	21	8	7	—	—	—	1	7	4	8	12	29	5	5	9	11	10	6	3	September
9.0	7.5	7.6	8.0	5	—	—	5	118	26	12	18	15	—	—	—	1	6	—	19	8	21	4	5	12	23	11	3	6	Oktober
9.9	9.4	9.1	9.5	3	1	2	6	66	14	4	10	7	—	—	—	7	—	—	27	14	30	8	2	8	4	10	9	5	November
8.6	8.1	7.4	8.0	2	1	1	4	92	25	24	13	11	4	—	—	—	—	1	19	7	21	6	2	16	24	9	7	1	Dezember
7.8	7.1	6.9	7.2	24	4	11	39	1432	57	VI	160	139	43	—	—	14	43	36	178	98	238	63	44	166	227	144	59	56	Jahr

Beobachter: Botanischer Garten.

Zürich-BG

8.2	7.6	8.1	8.0	4	1	5	10	84	15	9	14	12	8	—	—	6	3	22	—	—	—	—	—	—	—	—	—	—	—	Januar	
9.2	6.9	7.4	7.8	2	—	1	3	221	47	21	19	15	9	—	—	2	—	12	—	—	—	—	—	—	—	—	—	—	—	Februar	
6.4	6.8	5.3	6.2	3	—	—	3	51	22	13	13	11	10	—	—	3	5	9	—	—	—	—	—	—	—	—	—	—	—	März	
7.3	7.0	5.6	6.6	1	—	1	2	100	33	16	14	14	5	—	—	1	2	5	12	—	—	—	—	—	—	—	—	—	—	April	
6.8	5.7	3.4	5.3	1	—	—	—	100	29	27	9	9	—	—	—	—	7	8	—	—	—	—	—	—	—	—	—	—	—	Mai	
6.0	5.6	5.6	5.7	—	—	—	—	190	58	21	11	11	—	—	—	2	—	8	11	—	—	—	—	—	—	—	—	—	—	—	Juni
6.7	5.2	5.3	5.7	—	—	—	—	109	21	1	13	12	—	—	—	5	—	2	6	—	—	—	—	—	—	—	—	—	—	—	Juli
4.8	4.6	4.9	4.8	—	—	—	—	165	48	19	13	13	—	—	—	4	—	7	5	—	—	—	—	—	—	—	—	—	—	—	August
7.6	4.8	3.7	5.4	6	—	—	6	81	35	21	8	7	—	—	—	2	6	3	5	—	—	—	—	—	—	—	—	—	—	—	September
9.2	7.3	6.7	7.7	4	1	3	8	113	23	12	19	15	—	—	—	1	5	2	17	—	—	—	—	—	—	—	—	—	—	—	Oktober
9.8	9.3	8.8	9.3	—	1	1	2	46	12	4	8	7	—	—	—	1	—	25	—	—	—	—	—	—	—	—	—	—	—	November	
8.9	7.6	6.7	7.7	1	1	—	2	90	23	24	14	11	3	—	—	2	—	1	16	—	—	—	—	—	—	—	—	—	—	—	Dezember
7.6	6.5	6.0	6.7	21	4	11	36	1350	58	VI	155	137	35	—	—	15	27	43	148	—	—	—	—	—	—	—	—	—	—	—	Jahr

Beobachter: Nordostschweiz, Kraftwerke AG

Baden

9.0	7.9	7.8	8.2	1	—	1	2	89	21	6	17	14	10	—	—	2	—	19	12	2	1	5	5	14	21	6	27	Januar	
8.5	7.6	6.8	7.6	1	—	—	1	173	42	21	16	15	10	—	—	1	1	15	5	1	3	4	8	24	17	10	12	Februar	
6.8	6.6	5.5	6.3	—	—	—	—	47	23	13	10	9	7	—	—	—	6	13	9	11	7	5	4	15	9	6	27	März	
6.8	7.1	6.3	6.7	—	—	—	—	72	29	16	13	11	5	—	—	—	5	15	10	10	6	4	2	15	8	19	16	April	
6.2	6.1	3.9	5.4	—	—	—	—	74	22	27	9	9	—	—	—	1	—	5	8	4	1	4	10	2	19	14	13	26	Mai
5.5	5.6	5.6	5.6	—	—	—	—	130	25	20	14	12	—	—	—	1	—	10	7	8	3	3	7	2	18	13	22	14	Juni
6.1	5.6	5.8	5.8	—	—	—	—	127	40	1	16	14	—	—	—	2	—	6	9	5	4	4	—	11	14	16	14	25	Juli
6.3	5.2	5.5	5.7	2	—	—	2	157	31	19	14	14	—	—	—	6	2	4	6	5	—	1	5	3	19	13	15	32	August
8.2	4.9	3.9	5.7	5	—	—	5	61	29	21	7	6	—	—	—	1	5	2	6	5	7	7	6	3	13	11	11	27	September
9.1	7.0	7.1	7.7	3	—	1	4	89	14	12	17	16	—	—	—	4	1	17	3	9	5	2	5	14	13	18	24	Oktober	
9.9	9.6	9.2	9.6	1	—	1	2	36	13	3	7	6	—	—	—	2	—	27	8	16	10	5	1	9	5	18	18	November	
8.8	7.9	7.4	8.0	1	—	2	3	81	23	24	13	10	2	—	—	3	1	15	2	9	12	2	6	30	11	7	14	Dezember	
7.6	6.8	6.2	6.9	14	—	5	19	1136	42	II	153	136	31	—	—	11	19	41	157	76	73	63	55	52	204	151	159	262	Jahr

Beobachter: A. Meyer

Winterthur

8.1	7.8	8.2	8.0	1	—	—	1	88	18	6	14	14	10	—	—	1	2	23	—	2	1	3	2	—	1	—	84	Januar	
8.2	7.2	6.9	7.4	—	—	1	1	210	42	7	18	16	10	—	—	1	—	12	—	1	2	6	3	—	—	—	72	Februar	
6.8	6.6	6.0	6.5	1	—	—	1	45	18	13	13	10	10	—	—	1	2	13	—	2	3	—	1	—	—	—	87	März	
7.0	6.8	5.8	6.5	—	—	—	—	83	25	16	15	15	5	—	—	—	4	11	—	4	6	—	2	—	—	—	78	April	
5.8	6.1	4.2	5.4	—	—	—	—	95	39	27	10	10	—	—	—	1	—	5	5	1	2	2	1	1	—	—	—	86	Mai
5.2	5.8	5.7	5.6	—	—	—	—	149	39	10	14	13	—	—	—	3	—	7	9	—	2	—	—	—	—	—	—	88	Juni
5.6	5.2	5.5	5.4	—	—	—	—	123	28	29	16	15	—	—	—	2	—	6	5	—	—	—	—	—	—	—	—	93	Juli
5.5	4.9	5.9	5.4	—	—	—	—	159	55	19	16	14	—	—	—	2	—	3	3	—	—	2	1	3	—	—	—	87	August
7.1	4.7	3.9	5.2	2	—	—	2	70	30	21	8	6	—	—	—	2	4	3	—	—	1	—	—	—	—	—	89	September	
9.1	7.5	7.7	8.1	5	—	2	7	92	15	1	19	16	—	—	—	1	6	—	19	—	—	4	3	4	—	—	—	82	Oktober
9.9	9.3	9.7	9.6	1	—	—	1	56	13	4	12	7	—	—	—	1	—	27	—	2	—	—	—	—	—	—	88	November	
8.2	7.1	7.9	7.7	—	—	—	—	88	24	24	14	11	3	—	—	—	—	1	17	—	3	1	6	2	—	—	—	81	Dezember
7.2	6.6	6.4	6.7	10	—	3	13	1258	55	VIII	169	147	38	—	—	9	12	34	147	1	18	22	20	18	—	1	—	1015	Jahr

Frauenfeld

$\lambda = 8^\circ 54', \beta = 47^\circ 34', H_b = 432.9^m, G = -0.03 \frac{m}{m}, h_r = ca 8^m$

1958	Luftdruck					Luft-Temperatur							Relative Feuchtigkeit						
	Mittel	Minimum Tag	Maximum Tag	7 ³⁰	13 ³⁰	7 ³⁰	13 ³⁰	21 ³⁰	Mittel	Minimum Tag	Maximum Tag	7 ³⁰	13 ³⁰	21 ³⁰	Mittel	Minimum Tag			
Januar	723.8	702.9	11	735.5	16	-2.2	1.0	-0.7	-0.7	-12.4	26	8.3	6	89	83	90	87	61	9
Februar	722.9	707.3	25	738.0	3	1.6	5.1	2.8	3.1	-8.8	28	16.5	14	88	75	85	83	43	13
März	720.2	709.8	11	732.0	4	-1.9	4.3	1.2	1.2	-7.7	1	14.8	28.29	88	63	79	77	35	24
April	723.1	711.8	16	734.1	30	3.9	9.4	5.5	6.1	-1.4	2	19.0	21	87	62	79	76	42	2
Mai	725.3	712.9	16	734.2	1	13.7	19.2	13.8	15.1	6.7	17	26.5	11	79	59	78	72	40	31.3
Juni	723.7	711.4	26	730.1	15	15.2	19.7	14.5	16.0	9.4	27	26.4	18	77	58	80	72	40	5
Juli	724.3	717.1	22	729.9	17.31	17.3	22.4	17.5	18.7	11.6	4	29.2	13	81	61	82	75	47	10
August	724.5	714.6	21	732.4	4	16.9	22.3	16.9	18.3	10.0	27	30.4	1	84	62	85	77	49	5
September	726.6	714.0	30	731.2	13	12.5	19.4	14.1	15.0	5.7	28	26.4	7	92	67	88	82	54	7.11
Oktober	728.4	712.3	1	738.1	23	7.2	10.4	8.0	8.4	0.2	31	17.2	11	92	79	91	87	58	23.24
November	726.7	715.5	13	737.4	20	3.8	5.3	4.0	4.3	0.4	29	9.3	3	90	85	91	89	35	4
Dezember	718.9	701.8	13.16	731.2	29	1.2	3.8	1.7	2.1	-7.9	7	10.6	17	87	79	87	84	50	17
Jahr	724.0	701.8	XII	738.1	X	7.4	11.9	8.3	9.0	-12.4	I	30.4	VIII	86	69	85	80	35	III XI

Kreuzlingen

$\lambda = 9^\circ 10', \beta = 47^\circ 39', H_b = 445.6^m, G = -0.03 \frac{m}{m}, h_r = 1.5^m$

Januar	722.4	702.4	11	734.2	16	-1.8	0.8	-0.5	-0.5	-10.0	25	8.0	6	94	87	94	92	64	9
Februar	721.6	707.5	25	736.5	3	1.6	4.3	2.7	2.8	-9.0	28	13.9	14	89	80	88	86	51	13
März	719.0	709.4	11	730.6	4	-1.1	4.2	0.7	1.1	-8.0	1	14.2	29	72	68	70	70	36	24.35
April	721.7	711.1	16	732.8	30	4.4	9.1	4.7	5.7	-1.2	11	18.4	21	81	63	77	74	40	25
Mai	723.9	712.4	16	732.5	1	13.2	18.6	13.5	14.7	7.0	17	25.0	8	79	63	80	74	40	2.9
Juni	722.3	709.7	26	728.6	14	14.5	19.4	14.0	15.5	8.8	13	25.8	18	75	56	79	70	38	31.5
Juli	723.5	715.7	22	730.1	17	16.9	21.3	16.5	17.8	11.3	3	27.0	13	82	62	80	75	45	26
August	723.0	713.3	21	730.7	4	16.6	21.8	16.4	17.8	11.0	26	28.0	1	84	62	80	75	46	4
September	725.0	713.8	30	729.7	13	13.3	18.9	14.0	15.0	7.8	28	25.0	7	94	66	88	83	53	9.10
Oktober	726.8	711.8	1	736.4	23	7.4	10.2	7.8	8.3	1.0	24	16.6	4	94	80	94	89	59	11.3
November	725.2	714.4	13	736.1	20	4.0	5.4	4.3	4.5	0.2	30	9.4	3	94	85	94	91	64	1
Dezember	717.8	701.7	13	729.3	29	1.2	3.7	1.8	-2.1	-5.1	4	10.3	20	89	80	87	85	52	17
Jahr	722.7	701.7	XII	736.5	II	7.5	11.5	8.0	8.7	-10.0	I	28.0	VIII	86	71	84	80	36	III

Haidenhaus

$\lambda = 9^\circ 01', \beta = 47^\circ 39', H = 694^m, G = - \frac{m}{m}, h_r = 1.5^m$

Januar	—	—	—	—	—	-2.5	-0.3	-2.1	-1.8	-8.5	26	4.3	5	94	89	94	92	61	25
Februar	—	—	—	—	—	1.0	3.3	2.1	2.1	-9.7	28	14.0	13	89	78	84	84	43	5
März	—	—	—	—	—	-2.6	2.4	-0.8	-0.4	-9.0	23	12.7	29	88	65	83	79	37	24
April	—	—	—	—	—	2.8	7.1	3.8	4.4	-3.2	10	16.2	21	89	67	80	79	37	24
Mai	—	—	—	—	—	11.7	16.6	12.9	13.5	4.2	16	24.1	11	81	60	74	72	34	2
Juni	—	—	—	—	—	13.0	17.2	13.1	14.1	6.3	27	23.4	17	79	58	75	71	36	1.16
Juli	—	—	—	—	—	15.3	19.9	16.0	16.8	10.1	3	26.4	13	86	63	79	76	45	12
August	—	—	—	—	—	15.2	19.8	15.9	16.7	11.2	27	27.8	1	88	64	77	76	45	28
September	—	—	—	—	—	12.6	17.4	13.7	14.4	6.6	28	23.8	6	92	68	84	81	48	15
Oktober	—	—	—	—	—	6.4	9.0	6.8	7.2	0.2	23	16.0	10	95	84	94	91	59	29
November	—	—	—	—	—	2.4	3.6	2.5	2.8	-2.0	30	7.1	8.3	98	94	98	97	76	8
Dezember	—	—	—	—	—	0.7	2.5	1.1	1.3	-8.1	4	10.2	19	87	82	86	85	42	19
Jahr	—	—	—	—	—	6.3	9.9	7.1	7.6	-9.7	II	27.8	VIII	89	73	84	82	34	V

St. Gallen

$\lambda = 9^\circ 25', \beta = 47^\circ 26', H_b = 663.6^m, G = -0.03 \frac{m}{m}, h_r = 1.5^m$

Januar	703.4	684.1	11	714.2	16	-2.4	0.5	-1.6	-1.3	-10.0	22	9.2	6	86	81	86	84	49	9
Februar	703.2	688.6	25	716.6	3	1.8	4.6	2.6	2.9	-8.6	1	15.4	13	82	74	78	78	33	5
März	700.4	690.1	11	711.2	4	2.9	2.1	-1.0	-0.7	-9.9	23	13.6	29	89	66	82	79	43	9
April	703.2	692.4	16	713.6	30	2.9	6.7	3.8	4.3	-3.5	11	17.2	21	86	75	81	81	37	3
Mai	706.0	694.5	16	713.2	1	12.7	16.6	13.2	13.9	4.4	16	23.6	8	78	68	72	73	31	25
Juni	704.5	693.0	26	709.9	11.15	13.5	17.6	12.8	14.2	7.7	27	24.8	18	80	66	79	75	44	14
Juli	705.7	698.1	22	711.6	17	16.0	20.4	15.9	17.1	10.2	4	27.2	13	86	72	82	80	45	12
August	705.4	695.9	22	712.1	4	16.1	21.3	16.0	17.4	10.6	27	29.4	1	86	69	83	79	41	18
September	707.1	696.0	30	711.6	13	12.9	19.0	13.4	14.7	5.8	28	25.6	7	90	73	86	83	49	30
Oktober	708.3	693.8	1	717.0	23	6.4	9.7	7.1	7.6	-0.8	30	17.4	3	94	85	93	91	70	4
November	706.4	695.9	13	716.2	20	2.2	3.9	2.8	2.9	-1.3	30	8.6	8	98	93	95	95	76	8
Dezember	699.0	683.2	16	710.7	29	1.0	3.6	2.1	2.2	-8.0	7	14.0	19	84	79	82	82	34	20
Jahr	704.4	683.2	XII	717.0	X	6.7	10.5	7.3	7.9	-10.0	I	29.4	VIII	87	75	83	82	31	V

Frauenfeld

Beobachter: S. Dannacher

Bewölkung				Termine mit Nebel				Niederschlag		Zahl der Tage										Windverteilung								1958
7 ⁰⁰	13 ⁰⁰	21 ⁰⁰	Mittel	7 ³⁰	13 ³⁰	21 ³⁰	Total	Summe	Maximum Tag	*	≥10	*	▲	◀	≡	beiter	trüb	N	NE	E	SE	S	SW	W	NW	Gelsen		
8.8	8.5	8.9	8.7	4	—	2	6	74	14	19	15	13	9	—	4	1	24	1	7	6	2	1	18	3	—	55	Januar	
9.1	8.4	8.6	8.7	—	—	1	2	158	35	7	19	16	9	—	2	—	19	1	5	4	4	2	29	4	1	34	Februar	
7.9	7.0	7.3	7.4	1	—	—	1	29	14	13	13	7	10	—	1	1	17	1	14	10	3	2	12	3	1	47	März	
7.4	7.6	7.2	7.4	1	—	—	1	77	24	16	15	13	7	—	1	4	18	2	12	9	3	3	17	1	2	41	April	
7.3	6.8	5.5	6.5	1	—	—	1	84	38	27	9	9	—	—	1	1	6	14	4	11	5	5	3	16	7	1	41	Mai
5.6	6.1	6.5	6.1	—	—	—	—	163	59	10	14	12	—	—	2	—	7	12	3	7	10	3	1	13	8	—	45	Juni
6.8	6.0	6.7	6.5	2	—	—	2	129	24	24	15	14	—	—	6	2	2	13	3	6	9	4	1	12	6	1	51	Juli
6.2	5.9	7.2	6.4	2	—	—	2	128	39	19	15	14	—	—	9	2	2	11	2	5	7	6	5	8	6	3	51	August
8.5	5.3	7.0	6.9	10	—	—	10	65	26	21	7	6	—	—	1	10	1	14	1	8	7	5	—	6	5	2	56	September
9.2	8.2	9.1	8.8	5	—	1	6	90	15	1	18	15	—	—	5	1	4	—	6	11	4	2	12	5	—	53	Oktober	
10.0	9.8	9.9	9.9	9	1	—	10	61	17	4	12	8	—	—	10	—	30	—	15	24	5	1	2	1	1	1	41	November
9.1	8.2	9.0	8.8	2	3	—	5	86	24	24	13	11	3	—	5	—	23	—	8	8	2	2	14	3	—	56	Dezember	
8.0	7.3	7.7	7.7	38	4	4	46	1144	59	VI	165	138	38	—	19	43	25	220	18	104	110	46	23	159	52	12	571	Jahr

Beobachter: Familie Zwick

Kreuzlingen

8.9	8.0	6.3	7.7	4	2	1	7	81	22	19	12	12	8	—	—	6	1	17	8	2	—	—	1	18	17	2	45	Januar
8.6	7.7	6.7	7.7	1	1	1	3	149	32	7	18	15	8	—	—	2	1	15	3	2	1	1	27	10	6	34	Februar	
6.9	6.9	6.1	6.6	1	—	—	1	21	12	13	10	7	8	—	—	1	2	13	6	8	6	1	2	16	7	6	41	März
7.1	7.3	5.1	6.5	—	—	—	—	60	14	16	14	11	3	—	—	3	10	11	15	2	0	1	12	16	10	23	April	
6.4	6.4	5.1	6.0	—	—	—	—	93	48	27	8	8	—	—	—	3	10	10	7	1	1	3	14	14	9	34	Mai	
5.6	5.8	5.3	5.6	—	—	—	—	93	25	10	12	11	—	—	—	6	11	12	4	2	—	3	15	12	8	34	Juni	
6.3	6.2	5.5	6.0	—	—	—	—	100	15	24	17	15	—	—	2	5	6	11	10	2	—	—	14	16	6	34	Juli	
5.7	5.5	5.7	5.6	—	—	—	—	93	30	19	15	11	—	—	3	3	3	4	8	6	—	—	16	15	3	41	August	
8.3	4.8	4.8	6.0	6	—	—	6	53	21	21	7	6	—	—	6	1	9	9	4	1	—	1	9	14	6	46	September	
8.8	7.4	7.3	7.8	4	—	1	5	92	14	20	17	15	—	—	4	1	17	6	9	5	2	2	20	17	2	30	Oktober	
9.9	9.4	8.1	9.1	1	1	2	4	45	12	4	9	8	—	—	3	—	23	15	6	4	—	—	8	5	8	44	November	
8.6	7.2	6.1	7.3	1	—	4	5	75	22	24	12	11	4	—	4	2	14	4	8	1	—	—	15	11	3	51	Dezember	
7.6	6.9	6.0	6.8	18	4	9	31	955	48	V	151	130	31	—	5	26	28	148	99	83	31	4	14	184	154	69	457	Jahr

Beobachter: A. Bauer

Haidenhaus

8.8	8.1	7.6	8.2	7	5	4	16	89	20	19	17	12	13	—	—	10	—	19	7	9	3	2	—	14	42	8	8	Januar	
8.0	6.9	5.0	6.6	3	—	—	3	157	37	7	17	14	12	—	—	6	1	12	3	4	—	1	1	25	46	2	2	Februar	
6.0	6.6	5.9	6.2	5	—	—	5	26	13	13	14	6	14	—	—	5	4	12	9	26	10	—	1	12	30	5	—	März	
7.6	8.0	6.1	7.2	5	2	—	7	91	27	16	15	14	9	—	1	5	4	16	13	11	10	3	1	6	30	15	1	April	
7.1	6.7	4.5	6.1	3	—	—	3	107	52	27	9	8	—	—	1	3	4	10	1	10	13	1	—	6	51	11	—	Mai	
5.8	6.2	5.5	5.8	2	—	1	3	120	50	10	12	12	—	—	1	3	7	11	2	20	12	—	1	17	31	6	1	Juni	
6.2	6.1	5.3	5.9	6	—	—	6	91	12	11	16	16	15	—	—	4	6	7	9	2	8	9	6	1	21	38	6	2	Juli
5.8	6.2	4.3	5.4	3	—	—	3	105	35	19	14	11	—	—	—	5	3	7	—	11	11	1	—	25	32	8	5	August	
7.7	6.2	3.4	5.8	8	—	1	9	55	28	21	7	6	—	—	8	6	10	5	15	8	1	—	17	22	18	4	September		
8.4	8.0	6.8	7.7	9	3	1	13	88	13	1	18	15	3	—	—	11	2	19	1	22	1	4	—	14	44	3	4	Oktober	
10.0	9.9	9.7	9.9	20	15	17	52	64	23	4	8	7	—	—	21	—	29	3	42	2	—	—	7	21	6	9	November		
7.4	7.9	6.9	7.4	6	2	3	11	91	26	24	12	11	8	—	—	8	3	17	4	15	3	1	1	30	30	7	2	Dezember	
7.4	7.2	5.9	6.8	77	27	27	131	1084	52	V	159	131	59	—	7	91	41	171	50	193	82	20	6	194	417	95	38	Jahr	

Beobachter: Botanischer Garten

St. Gallen

8.3	7.9	7.9	8.0	5	3	4	12	93	26	12	13	11	10	—	—	10	4	22	—	—	—	—	2	16	4	—	71	Januar	
8.5	7.5	7.2	7.7	1	1	1	3	161	46	17	18	16	13	—	—	6	1	17	1	—	—	1	—	24	2	2	54	Februar	
7.4	6.3	6.0	6.6	2	—	1	3	69	16	13	15	12	15	—	—	3	5	14	3	—	—	—	—	8	5	—	77	März	
8.1	7.1	6.0	7.1	3	—	1	4	137	38	16	14	14	10	—	—	4	2	12	7	4	—	—	2	10	7	—	60	April	
6.1	5.8	4.4	5.4	3	—	—	3	71	27	11	10	—	—	1	2	5	6	8	7	—	—	—	5	6	10	3	62	Mai	
5.2	6.0	5.8	5.7	—	—	—	—	159	29	3	14	13	—	—	1	4	—	7	11	10	1	—	—	1	10	4	2	62	Juni
5.9	5.4	6.4	5.9	—	—	—	—	160	26	24	17	15	—	—	5	—	2	6	5	2	—	—	1	12	2	3	68	Juli	
5.4	4.7	6.3	5.5	—	—	—	—	142	32	2	17	12	—	—	6	—	6	6	4	—	—	1	2	11	9	1	65	August	
6.6	4.9	4.2	5.2	8	1	1	10	77	20	21	10	5	—	—	1	8	6	5	2	—	—	3	1	3	5	—	76	September	
8.4	7.7	8.2	8.1	6	2	4	12	152	23	17	19	15	3	—	—	1	10	1	19	1	—	—	—	18	6	—	68	Oktober	
9.9	9.5	9.4	9.6	13	8	7	28	92	22	4	13	8	—	—	—	19	—	28	—	—	—	—	3	—	3	—	84	November	
8.1	7.3	7.5	7.6	2	3	2	7	80	19	24	16	15	8	—	—	7	2	15	—	—	—	3	2	17	2	—	69	Dezember	
7.3	6.7	6.6	6.9	43	18	21	82	1393	46	II	177	146	59	2	19	72	42	163	40	7	—	8	16	138	57	14	815	Jahr	

Heiden

$\lambda = 9^{\circ} 32'$, $\beta = 47^{\circ} 27'$, $H_b = 811.4^m$, $G = -0.05 \%$, $h_r = 1.5^m$

1958	Luftdruck				Luft-Temperatur							Relative Feuchtigkeit							
	Mittel	Minimum Tag	Maximum Tag		7 ^{so}	13 ^{so}	21 ^{so}	Mittel	Minimum Tag	Maximum Tag	7 ^{so}	13 ^{so}	21 ^{so}	Mittel	Minimum Tag				
Januar	690.2	671.0	11	700.8	16	-2.6	0.3	-1.8	-1.5	-10.9	21	8.1	5	78	72	79	76	24	25
Februar	690.1	676.5	25	703.3	15	1.1	4.3	2.1	2.4	-12.3	28	13.9	15	75	63	69	69	25	4
März	687.2	676.5	11	697.6	4	-3.9	1.1	-2.6	-2.0	-15.1	23	12.1	27	78	64	79	74	39	21, 25
April	690.5	679.2	16	700.7	30	2.6	6.0	2.2	3.2	-5.5	9	14.9	21	80	67	76	74	30	3
Mai	693.4	681.3	16	700.6	1	12.2	15.9	11.8	12.9	2.6	16	25.0	11	68	57	71	65	31	14
Juni	692.0	680.4	26	697.3	15	12.0	15.9	11.5	12.7	5.9	27	23.1	2	73	56	76	68	34	1
Juli	693.4	685.6	24	699.4	17	14.9	18.3	15.0	15.8	8.1	3	26.5	13	77	62	77	72	45	div.
August	693.0	683.4	22	699.5	4	15.3	19.1	15.1	16.2	9.7	4, 26	27.1	1	73	61	75	70	35	19
September	694.6	683.7	30	699.0	13	12.2	16.6	12.4	13.4	4.9	27	22.1	6.7	80	66	81	76	36	30
Oktober	695.4	681.2	1	704.1	23	5.5	8.6	6.1	6.6	-2.4	24	16.5	10	85	76	86	82	33	31
November	693.4	682.9	13	703.4	20	1.2	3.2	1.6	1.9	-3.3	30	8.1	24	93	87	92	91	60	1
Dezember	686.3	670.7	13, 16	697.3	29	0.5	3.2	1.0	1.4	-9.1	3	13.4	20	77	68	74	73	14	31
Jahr	691.6	670.7	XII	704.1	X	5.9	9.4	6.2	6.9	-15.1	III	27.1	VIII	78	67	78	74	14	XII

Altstätten

$\lambda = 9^{\circ} 33'$, $\beta = 47^{\circ} 23'$, $H_b = 467.6^m$, $G = -0.02 \%$, $h_r = 1.5^m$

Januar	720.6	699.9	11	732.6	16	-1.9	1.7	-0.7	-0.4	-9.7	25	11.2	6	86	78	84	83	29	11
Februar	719.8	705.4	25	734.7	3	1.8	5.6	2.9	3.3	-9.0	2	17.0	13	84	76	80	80	—	—
März	717.1	706.9	11	728.4	4	-2.5	5.0	-0.1	0.6	-10.4	1	17.0	27	88	71	84	81	41	24
April	719.9	708.4	16	730.5	30	3.7	9.8	4.8	5.8	-1.4	11	19.8	21	86	62	80	76	35	3
Mai	722.2	709.8	16	730.6	1	13.0	19.8	14.2	15.3	5.2	16	28.9	11	79	57	73	70	26	12
Juni	720.6	708.9	26	727.1	15	13.9	20.4	14.4	15.8	7.8	27	28.7	2	81	57	75	71	36	1
Juli	721.9	713.6	1	728.4	17	16.6	22.8	17.3	18.5	10.9	4	31.2	13	83	60	78	74	46	10
August	721.4	711.8	21, 23	729.0	4	16.1	23.2	16.8	18.2	10.7	27	31.8	1	84	60	82	75	45	18
September	723.4	711.6	30	728.1	13	13.2	20.6	14.4	15.6	6.4	28	26.6	7	87	62	85	78	34	30
Oktober	725.2	709.3	1	734.9	23	6.8	11.1	7.2	8.1	-1.8	30	18.5	4	91	75	89	85	49	31
November	723.4	711.5	13	734.5	20	2.8	5.6	3.6	3.9	-0.9	30	9.6	6	96	84	93	91	67	8
Dezember	715.3	699.3	13	728.1	1	1.3	4.9	2.5	2.8	-8.8	7	16.4	20	83	71	81	78	26	11
Jahr	720.9	699.3	XII	734.9	X	7.1	12.5	8.1	9.0	-10.4	III	31.8	VII	86	68	82	79	26	V XII

Säntis

$\lambda = 9^{\circ} 21'$, $\beta = 47^{\circ} 15'$, $H_b = 2500.1^m$, $G = -0.29 \%$, $h_r = 1.3^m$

Januar	557.3	542.8	11	567.9	27	-9.2	-7.6	-8.7	-8.5	-19.2	21	0.4	31	81	79	80	80	10	30
Februar	557.9	546.0	26	572.8	14	-7.3	-6.1	-7.5	-7.1	-18.2	19	2.7	13	82	80	84	82	16	4
März	553.8	543.4	11	563.4	4	-11.1	-8.9	-11.0	-10.5	-21.0	12	1.9	25	85	83	85	84	30	16
April	558.1	548.9	16	569.9	30	-7.4	-5.3	-7.7	-7.0	-14.7	11	0.4	24	83	85	87	85	6	24
Mai	565.4	551.4	16	570.6	9	3.1	5.2	2.3	3.2	-6.8	17	11.0	11	71	72	79	74	22	20
Juni	563.9	552.7	27	569.5	15	2.3	4.5	2.0	2.7	-5.1	27	12.2	2	79	83	91	84	34	2
Juli	566.5	558.2	22	572.9	31	5.7	8.5	5.4	6.3	1.7	4	16.0	15	83	82	90	85	17	18
August	566.6	556.7	22	572.5	1	5.8	8.8	6.2	6.8	-0.8	26	18.4	29	77	76	83	79	6	27
September	567.5	558.5	30	572.7	13	4.8	7.5	4.8	5.5	-4.4	27	13.6	6	72	74	80	75	9	14
Oktober	565.4	555.4	1	573.7	24	-0.9	1.0	-0.9	-0.4	-9.8	11, 19	9.7	9	78	75	79	77	22	28
November	562.6	553.0	13	571.1	20	-3.3	-1.5	-3.2	-2.8	-9.4	2	4.0	22	77	71	79	76	26	20
Dezember	555.1	542.3	14	565.9	29	7.0	-6.0	-7.0	-6.8	-14.0	3	2.4	31	75	72	72	73	14	2.4
Jahr	561.7	542.3	XII	573.7	X	-2.0	0.0	-2.1	-1.6	-21.0	III	18.4	VIII	79	78	82	80	6	IV VIII

Sargans

$\lambda = 9^{\circ} 26'$, $\beta = 47^{\circ} 03'$, $H_b = 509.9^m$, $G = -0.08 \%$, $h_r = 1.5^m$

Januar	716.5	696.4	11	728.2	16	-1.6	1.7	-0.5	-0.2	-8.1	16	9.4	5	75	68	77	73	38	25
Februar	716.0	701.6	26	730.4	3	1.7	5.5	3.0	3.3	-9.2	2	16.0	10, 11	78	68	73	73	34	12
März	712.9	702.4	11	724.6	4	-1.8	4.3	1.0	1.1	-9.2	1	16.9	29	78	58	73	70	37	29
April	715.6	704.7	16	726.5	30	4.1	9.7	5.9	6.4	-1.7	11	18.3	22	79	56	72	69	36	3
Mai	718.3	705.8	16	726.5	1	13.4	19.6	15.1	15.8	6.6	16	28.0	11	70	52	64	62	30	20
Juni	716.5	704.8	26	722.6	14, 15	13.8	19.2	15.1	15.8	8.2	27	26.3	2	75	55	71	67	42	14, 2
Juli	717.9	709.8	1	724.3	17	16.3	22.1	17.3	18.3	10.9	3	31.2	13	79	58	80	72	42	15
August	717.5	707.6	21	724.6	4	16.0	21.9	17.9	18.4	11.9	26	29.6	1	79	59	75	71	37	19
September	719.4	707.4	30	724.5	13	13.8	20.1	15.8	16.4	7.6	27	26.6	7	78	59	79	72	41	30
Oktober	721.1	704.8	1	730.5	23	7.0	10.7	8.2	8.5	-0.7	28	19.8	10	86	71	83	80	42	31
November	719.2	707.9	13	730.0	20	2.9	5.5	3.7	4.0	-1.1	30	10.4	7, 8	88	78	87	84	51	2
Dezember	712.0	695.5	13	724.1	29	2.1	5.1	2.6	3.1	-7.6	6	14.0	20	74	67	77	73	35	15
Jahr	716.9	695.5	XII	730.5	X	7.3	12.1	8.7	9.2	-9.2	II III	31.2	VII	78	62	76	72	30	V

Bad-Ragaz

$\lambda = 9^{\circ} 30', \beta = 47^{\circ} 00', H_b = 510.2^m, G = -0.09 \text{ } \text{‰}_m, h_r = 1.5^m$

1958	Luftdruck					Luft-Temperatur								Relative Feuchtigkeit					
	Mittel	Minimum Tag	Maximum Tag	7 ³⁰	13 ³⁰	21 ³⁰	Mittel	Minimum Tag	Maximum Tag	7 ³⁰	13 ³⁰	21 ³⁰	Mittel	Minimum Tag					
Januar	717.1	697.3	11	728.8	16	-2.2	1.6	-1.4	-0.9	-10.6	25	9.2	5	81	67	81	76	35	5
Februar	716.8	701.9	26	730.9	3	1.2	5.5	2.3	2.8	-9.6	28	16.4	10, 12	85	69	82	79	28	12
März	713.5	702.7	11	725.4	4	-1.9	4.1	0.7	0.9	-10.4	1	16.2	29	87	70	81	79	41	25
April	716.3	705.2	16	727.4	30	4.0	9.7	5.7	6.3	-1.7	11	18.8	21	81	59	72	71	33	3
Mai	719.2	706.1	16	726.9	1	13.4	20.3	14.8	15.8	5.9	17	28.8	14	72	52	70	64	31	5
Juni	717.2	706.2	26	723.3	15	14.0	19.3	14.9	15.8	8.2	27	27.4	2	75	57	72	68	35	25
Juli	718.5	709.8	22	725.2	17	16.1	22.2	17.1	18.1	10.4	4	31.4	15	82	58	79	73	30	13
August	718.2	708.5	21	725.3	4	15.7	22.2	17.0	18.0	10.6	26	30.2	1	82	59	79	73	34	19
September	720.2	708.8	30	725.3	13	12.9	20.5	15.1	15.9	5.4	27	26.4	6	85	58	79	74	40	29, 30
Oktober	721.8	705.3	1	731.1	24	6.1	11.3	7.5	8.1	-1.8	28	23.1	10	91	68	86	82	37	4
November	719.9	708.4	13	730.9	20	2.1	5.6	3.1	3.5	-2.7	20	10.8	8	91	76	89	85	46	2, 8
Dezember	712.7	695.9	13	724.7	19	1.3	4.8	1.8	2.4	-9.9	8	13.8	20	76	65	79	73	36	15, 19
Jahr	717.6	695.9	XII	731.1	X	6.9	12.3	8.2	8.9	-10.6	I	31.4	VII	82	63	79	75	28	II

Glarus

$\lambda = 9^{\circ} 04', \beta = 47^{\circ} 03', H_b = 503.4^m, G = -0.07 \text{ } \text{‰}_m, h_r = 1.5^m$

Januar	717.4	696.8	11	729.0	16	-2.9	0.3	-2.2	-1.8	-11.3	25	5.9	7	—	—	—	—	—	—
Februar	717.0	701.3	25	730.8	15	0.7	4.1	1.3	1.8	-9.9	2	14.7	15	—	—	—	—	—	—
März	713.8	702.8	11	725.2	4	-2.2	3.0	-0.3	0.0	-9.9	1	13.8	30	—	—	—	—	—	—
April	716.6	706.2	16	727.3	30	3.4	9.1	5.1	5.7	-1.7	11	17.6	21	—	—	—	—	—	—
Mai	719.2	706.9	16	727.5	1	12.0	18.8	14.0	14.7	5.5	16	28.8	11	—	—	—	—	—	—
Juni	717.5	705.4	26	723.8	8	13.5	18.9	14.5	15.4	8.9	27	26.6	2	—	—	—	—	—	—
Juli	718.9	710.4	22	725.5	17	15.5	21.1	17.0	17.7	10.6	4	29.1	15	88	74	89	84	46	15
August	718.6	708.2	21	725.7	3, 4	15.1	21.6	16.8	17.6	9.2	27	29.4	1	91	66	89	82	49	10, 28
September	720.9	707.7	30	727.1	5	13.1	19.7	14.7	15.5	6.4	28	26.0	14	89	65	91	82	35	30
Oktober	722.2	706.1	1	731.3	24	6.2	10.3	6.8	7.5	-0.9	24	17.1	3	94	76	93	88	43	16
November	720.1	708.8	13	731.8	20	2.7	4.9	3.2	3.5	-1.6	20	8.7	6	91	83	93	89	63	16
Dezember	712.7	695.7	16	725.0	29	1.2	3.5	1.7	2.0	-8.5	7	15.1	19	85	76	85	82	32	19
Jahr	717.9	695.7	XII	731.8	XI	6.5	11.3	7.7	8.3	-11.3	I	29.4	VIII	—	—	—	—	—	—

Elm

$\lambda = 9^{\circ} 10', \beta = 46^{\circ} 55', H = 962^m, G = - \text{ } \text{‰}_m, h_r = 1.5^m$

Januar	—	—	—	—	—	-4.5	-2.4	-3.8	-3.6	-11.9	25	5.9	5	81	72	81	78	32	22
Februar	—	—	—	—	—	-0.8	2.8	-0.1	0.5	-13.0	28	10.9	11	83	67	81	77	31	12
März	—	—	—	—	—	-4.9	1.6	-3.2	-2.4	-14.5	23	11.4	25	85	60	85	77	38	9, 27
April	—	—	—	—	—	1.3	7.1	2.0	3.1	-7.5	12	15.3	22	81	57	85	74	30	19
Mai	—	—	—	—	—	12.7	17.1	10.5	12.7	3.6	17	24.4	10	65	52	79	65	24	20
Juni	—	—	—	—	—	13.1	16.2	11.3	13.0	6.0	27	25.0	2	70	60	87	72	30	1
Juli	—	—	—	—	—	15.2	19.2	14.2	15.7	8.3	3, 4	28.9	15	74	64	89	76	31	13
August	—	—	—	—	—	13.7	19.2	14.3	15.4	6.4	27	27.1	1	83	64	88	78	34	27
September	—	—	—	—	—	10.7	17.2	12.1	13.0	-3.2	27	22.3	6	88	65	89	81	39	28
Oktober	—	—	—	—	—	4.2	8.4	4.7	5.5	-5.0	23	19.4	4	90	73	89	84	41	4, 10
November	—	—	—	—	—	-0.3	2.7	-0.1	0.5	-6.2	29	6.2	6	91	80	92	88	52	18
Dezember	—	—	—	—	—	-1.3	1.2	-0.8	-0.4	-10.4	4	9.8	23	81	72	82	78	34	11
Jahr	—	—	—	—	—	4.9	9.2	5.1	6.1	-14.5	III	28.9	VII	81	65	86	77	24	V

Auen (Linthal)

$\lambda = 8^{\circ} 59', \beta = 46^{\circ} 54', H_b = 815.2^m, G = -0.14 \text{ } \text{‰}_m, h_r = 1.5^m$

Januar	690.2	670.0	11	700.5	16	-2.7	1.4	-2.2	-1.4	-10.1	21	7.6	7	75	63	80	73	28	25
Februar	690.1	676.7	26	704.0	15	0.2	4.6	1.1	1.7	-11.2	28	14.2	11	79	63	76	73	30	10
März	686.7	675.8	11	697.6	4	-3.4	4.0	-1.9	-0.8	-11.2	1	12.5	29	83	55	84	74	32	24
April	690.0	679.6	16	700.7	30	2.2	8.9	2.6	4.1	-5.6	12	17.6	21	79	52	82	71	29	20
Mai	693.4	681.8	16	700.5	1	11.7	18.3	11.8	13.4	3.5	17	26.2	8	72	54	75	67	27	12
Juni	691.7	680.2	26	697.7	8	12.7	17.5	12.3	13.7	6.5	27	26.2	2	77	58	81	72	35	2, 25
Juli	693.4	684.8	22	699.1	17	14.6	21.0	14.8	16.3	9.2	3	28.6	13, 15	81	60	87	76	40	15
August	693.0	682.9	31, 23	699.9	4	14.3	20.9	15.0	16.3	7.4	27	28.4	1	80	61	82	74	36	18
September	694.6	683.3	30	699.0	13	11.8	19.0	13.1	14.2	4.6	27	24.6	7	85	61	85	77	36	30
Oktober	695.7	679.6	1	704.1	23	5.5	9.9	5.8	6.7	-2.1	23	24.0	10	85	68	86	80	30	10
November	693.2	682.2	13	703.1	20	1.0	4.1	1.4	2.0	-4.0	29	8.6	7, 8	88	76	89	84	45	10, 20
Dezember	686.1	670.1	13	698.3	29	-0.2	3.6	0.7	1.2	-8.8	5	12.8	19, 20	78	66	78	74	30	15
Jahr	691.5	670.0	I	704.1	X	5.6	11.1	6.2	7.3	-11.2	II	28.6	VII	80	61	82	75	27	V

Oberiberg

$\lambda = 8^\circ 47', \beta = 47^\circ 02', H_b = 1090^m, G = -0.13 \frac{m}{m}, h_r = 1.5^m$

1958	Luftdruck				Luft-Temperatur							Relative Feuchtigkeit							
	Mittel	Minimum Tag	Maximum Tag		7 ³⁰	13 ³⁰	21 ³⁰	Mittel	Minimum Tag	Maximum Tag		7 ³⁰	13 ³⁰	21 ³⁰	Mittel	Minimum Tag			
Januar	667.7	650.1	11	678.3	15.16	-5.3	1.4	-4.2	-3.1	-15.0	21.25	8.0	30	93	67	89	83	34	30
Februar	667.2	652.9	25	680.9	15	-1.0	4.5	-0.6	0.6	-16.5	28	14.0	15	89	67	87	81	30	5
März	663.6	652.6	11.13	674.2	4	-6.1	2.7	-4.4	-3.0	-16.5	23	12.0	29	97	60	98	85	41	25.27
April	667.2	656.6	16	677.7	30	0.5	6.9	0.1	1.9	-5.0	11	14.8	21	89	59	97	82	41	20.26
Mai	671.2	658.8	16	677.8	1	9.8	16.5	8.6	10.9	1.4	16	24.6	20	82	60	85	76	27	20
Juni	669.7	658.7	26	677.2	15	10.9	16.9	9.9	11.9	2.5	13	24.8	2	85	62	96	81	28	2
Juli	671.2	663.0	22	676.7	17	13.5	19.7	13.0	14.8	6.3	3	28.1	15	87	61	96	81	39	15
August	671.1	660.7	21	677.2	4	13.5	20.5	12.8	14.9	6.8	26	29.4	1	86	59	94	80	37	29
September	672.5	660.7	30	677.3	13	10.6	18.9	11.1	12.9	0.7	27	25.4	5	92	59	95	82	37	24
Oktober	672.8	658.5	1	680.3	23	3.5	9.6	3.9	5.2	-5.5	23	22.0	10	95	72	96	88	32	10
November	670.1	659.0	13	679.5	20	-0.9	4.3	-0.2	0.8	-6.8	21	10.7	8	97	78	98	91	38	8
Dezember	662.9	648.1	13	675.5	29	-1.9	3.4	-1.0	-0.1	-13.4	4	12.4	19	85	68	85	79	30	15
Jahr	668.9	648.1	XII	680.9	II	3.9	10.4	4.1	5.6	-16.5	II III	29.4	VIII	90	64	93	82	27	V

Einsiedeln

Die Abendbeobachtung erfolgt um 20.30

$\lambda = 8^\circ 45', \beta = 47^\circ 08', H_b = 913.9^m, G = -0.10 \frac{m}{m}, h_r = 1.5^m$

Januar	681.6	662.5	11	692.2	16	-3.9	-0.2	-2.3	-2.2	-14.4	22	9.0	6	86	80	87	84	50	11
Februar	681.6	667.4	25	695.5	15	-0.2	4.4	0.9	1.5	-11.8	28	14.3	15	85	71	80	79	22	5
März	678.2	667.2	11	689.0	4	-4.7	1.7	-1.9	-1.8	-14.8	23	10.1	28	88	68	87	81	54	9
April	681.6	671.4	16	692.0	30	1.5	6.3	3.0	3.3	-4.5	11	14.3	22	86	68	81	78	46	3
Mai	685.0	672.7	16	692.1	1	11.1	15.8	12.1	12.6	2.9	16	24.6	11	80	62	75	72	31	3
Juni	683.6	672.3	26	689.3	8	11.8	16.3	12.8	13.1	6.8	27	22.2	2	81	64	79	75	47	2
Juli	685.2	677.0	22	691.3	17	14.3	19.1	16.4	16.1	9.4	3	26.0	15	82	65	75	74	46	26
August	684.7	674.4	21	691.0	4	14.3	19.4	16.2	16.2	8.8	27	26.8	1	82	63	77	74	49	29
September	686.5	675.9	30	691.1	13	11.9	17.6	13.7	14.1	4.2	27	22.6	6	84	65	83	77	36	24
Oktober	687.1	672.5	1	695.2	23	5.3	9.0	6.5	6.7	-1.8	23	17.8	10	88	76	88	84	56	30
November	684.4	673.4	13	694.6	20	1.1	3.9	2.1	2.2	-2.6	21.29	8.7	8	93	85	92	90	46	17
Dezember	677.3	661.8	16	689.8	29	0.1	2.8	1.0	1.2	-8.2	5	12.6	19	80	75	79	78	33	19
Jahr	683.1	661.8	XII	695.5	II	5.2	9.7	6.7	6.9	-14.8	III	26.8	VIII	85	70	82	79	22	II

Zentralschweiz

Luzern

$\lambda = 8^\circ 19', \beta = 47^\circ 04', H_b = 497.8^m, G = -0.04 \frac{m}{m}, h_r = 1.5^m$

Januar	718.1	697.7	11	729.9	16	-1.5	1.6	-0.2	-0.1	-10.0	25	12.3	6	91	79	88	86	44	10
Februar	717.5	701.8	25	730.8	15	1.8	6.2	3.4	3.7	-7.8	2	18.8	14	90	70	82	81	41	13
März	714.3	703.9	11	725.4	4	-2.0	4.1	0.7	0.9	-8.2	24	15.7	29	91	68	84	81	45	8
April	717.3	706.9	16	727.4	30	3.5	8.9	5.6	5.9	-2.0	11	18.6	2.22	86	63	78	76	39	19.25
Mai	719.8	707.4	16	728.0	1	12.3	18.7	14.6	15.0	5.7	16	26.8	11	83	60	74	72	32	25
Juni	718.1	706.4	26	724.2	15	13.3	19.3	15.1	15.7	9.2	27	27.0	2	82	56	78	72	37	14
Juli	719.5	711.4	22	725.7	17	15.5	21.9	17.7	18.2	11.3	3	29.2	13	87	61	80	76	41	13
August	718.9	708.3	21	726.2	4	15.8	22.0	17.3	18.1	10.4	27	29.2	11	86	60	85	77	45	4
September	720.7	708.6	30	725.3	13	12.8	20.3	15.3	15.9	5.8	27	26.7	7	90	61	86	79	42	13.23
Oktober	722.7	706.6	1	731.5	23.24	7.4	10.4	8.1	8.5	-0.1	31	18.4	15	89	78	88	85	54	16
November	720.7	709.7	13	731.2	20	3.4	5.0	4.0	4.1	-0.1	30	9.8	8	92	83	89	88	55	2
Dezember	713.3	695.9	13	725.9	29	1.5	3.8	2.2	2.4	-5.2	7	10.0	28	84	74	81	80	42	10
Jahr	718.4	695.9	XII	731.5	X	7.0	11.8	8.6	9.0	-10.0	I	29.2	VII VIII	88	68	83	80	32	V

Rigi-Kulm

$\lambda = 8^\circ 29', \beta = 47^\circ 03', H_b = 1775^m, G = -0.22 \frac{m}{m}, h_r = 2.2^m$

Januar	612.2	596.2	11	622.1	27	-5.1	-3.6	-4.2	-4.3	-13.4	21	3.0	28	71	65	74	70	—	—
Februar	612.9	600.6	26	626.5	11.15	-2.1	-0.9	-2.0	-1.8	-13.2	27.28	8.6	13	71	69	73	71	11	4
März	608.8	597.7	11	618.5	4	-6.3	-3.9	-6.0	-5.5	-14.3	10.22	4.7	28	78	75	76	76	13	16
April	612.8	603.4	16	624.0	30	-2.7	-0.6	-2.4	-2.0	-10.0	11	5.8	21	79	78	81	79	28	24
Mai	618.4	604.6	16	624.0	1	7.0	9.4	7.4	7.8	-2.0	16	17.6	11	62	65	65	64	25	29
Juni	617.0	607.0	27	622.2	16	6.6	8.9	7.3	7.5	-0.2	27	17.2	2	72	72	75	73	36	2
Juli	619.0	611.1	22	624.1	31	9.6	11.9	10.3	10.5	2.2	3	20.4	15	75	77	76	76	27	26
August	619.0	609.0	21	623.8	1	10.5	13.0	10.9	11.3	4.2	26	22.4	30	76	77	81	78	29	27.28
September	620.1	609.7	30	624.3	13	9.5	11.9	9.9	10.3	1.8	26	18.1	6	75	71	76	74	25	24
Oktober	619.3	607.1	1	625.3	24	2.9	4.0	3.0	3.2	-5.0	15.13	14.6	10	81	78	79	79	31	28.29
November	616.1	606.2	13	624.4	20	-0.1	1.3	0.1	0.3	-5.2	2	7.2	22	78	75	79	77	42	20
Dezember	609.1	595.4	16	620.8	29	-2.0	1.1	-2.3	-1.9	-8.2	2	7.3	31	66	67	69	68	10	31
Jahr	615.4	595.4	XII	626.5	II	2.3	4.2	2.7	3.0	-14.3	III	22.4	VIII	74	72	75	74	10	XII

Beobachter: A. Holdener

Oberiberg

Table with columns: Bevölkerung (730, 1330, 2130, Mittel), Termine mit Nebel (730, 1330, 2130, Total), Niederschlag (Summe, Maximum Tag), Zahl der Tage (various weather symbols), Windverteilung (N, NE, E, SE, S, SW, W, NW, Calmen), and 1958 (months and total). Rows include months from January to December and a yearly total.

Beobachter: P. C. Merkt

Einsiedeln

Table with columns: Bevölkerung (6.5, 5.5, 6.6, 6.2, ...), Termine mit Nebel (1, 1, 2, ...), Niederschlag (124, 25, 20, ...), Zahl der Tage (various weather symbols), Windverteilung (1, 2, 3, ...), and 1958 (months and total). Rows include months from January to December and a yearly total.

Zentralschweiz

Beobachter: Kloster Wesemlin

Luzern

Table with columns: Bevölkerung (8.4, 8.7, 7.2, 7.7, ...), Termine mit Nebel (4, 4, 6, 14, ...), Niederschlag (63, 16, 12, ...), Zahl der Tage (various weather symbols), Windverteilung (6, 4, 22, ...), and 1958 (months and total). Rows include months from January to December and a yearly total.

Beobachter: Kulmhotel

Rigi-Kulm

Table with columns: Bevölkerung (6.0, 7.6, 6.2, 7.1, ...), Termine mit Nebel (8, 9, 11, 28, ...), Niederschlag (166, 38, 20, ...), Zahl der Tage (various weather symbols), Windverteilung (16, 9, 14, ...), and 1958 (months and total). Rows include months from January to December and a yearly total.

Pilatus-Kulm

Beobachter: Pilatusbahn

Bewölkung				Termine mit Nebel				Niederschlag		Zahl der Tage								Windverteilung								1958		
7 ^{oo}	13 ³⁰	21 ³⁰	Mittel	7 ^{oo}	13 ³⁰	21 ³⁰	Total	Summe	Maximum Tag	*	•	•	•	•	•	•	•	N	NE	E	SE	S	SW	W	NW		Calmen	
6.2	6.4	4.9	5.8	10	10	9	29	96	27	12	10	10	10	—	—	15	8	12	—	14	4	1	—	66	—	3	5	Januar
7.5	7.2	6.4	7.0	10	10	10	30	220	?	—	18	18	18	—	—	14	4	15	—	—	—	—	—	—	—	—	—	Februar
5.6	6.4	4.8	5.6	10	12	10	32	120	18	21	12	12	12	—	—	18	5	13	2	—	—	—	—	32	35	3	21	März
6.7	7.4	6.7	6.9	13	14	15	42	203	28	16	17	16	17	—	—	20	3	17	3	—	—	—	—	33	33	11	10	April
6.0	4.3	4.3	4.9	6	7	6	19	76	29	27	10	10	6	—	—	13	4	10	—	—	—	—	—	47	10	—	36	Mai
6.8	7.9	7.0	7.2	10	10	11	31	196	46	10	17	15	3	1	2	21	1	13	1	9	3	—	—	29	11	3	34	Juni
5.8	8.4	7.4	7.2	13	14	10	37	148	27	24	19	17	3	1	4	24	2	13	—	9	3	—	—	50	6	—	25	Juli
5.1	7.1	5.6	5.9	8	12	9	29	210	51	2	19	18	—	—	6	20	3	8	—	3	—	—	1	46	2	—	41	August
3.5	5.1	3.9	4.2	3	9	6	18	116	36	17	8	7	—	—	2	15	11	5	1	2	4	1	—	38	3	—	41	September
5.7	6.0	6.0	5.9	12	13	12	37	247	49	20	17	17	9	—	—	16	9	15	4	5	—	—	—	44	4	9	27	Oktober
3.8	3.9	3.9	3.9	8	7	11	26	107	30	3	9	9	9	—	—	11	14	8	—	15	11	—	—	18	6	—	40	November
5.7	5.6	5.0	5.4	7	9	5	21	103	15	12	15	14	15	—	—	12	10	8	4	9	3	3	3	18	23	12	18	Dezember
5.7	6.3	5.5	5.8	110	127	114	351	1842	51	VIII	171	163	102	2	14	199	74	137	—	—	—	—	—	—	—	—	—	Jahr

Beobachter: P. Ch. Durrer

Sarnen

8.4	7.6	7.9	8.0	2	—	—	2	58	12	12	11	10	6	—	—	4	3	20	—	38	—	—	—	6	—	—	49	Januar
8.9	8.3	7.5	8.2	1	—	2	3	102	21	17	20	15	6	—	—	4	—	18	—	25	—	—	—	12	—	—	47	Februar
7.2	7.5	7.3	7.3	1	—	—	1	85	19	13	14	12	12	—	—	2	1	13	—	39	—	—	—	7	—	—	47	März
7.5	6.9	7.0	7.1	—	—	—	—	97	25	15	14	12	6	—	—	—	2	14	—	34	—	—	—	6	—	—	50	April
6.6	6.7	6.0	6.4	—	—	—	—	83	29	27	9	8	—	—	—	1	2	10	—	27	—	—	—	7	—	—	59	Mai
6.8	6.7	7.3	6.9	—	—	—	—	122	40	10	14	13	—	—	3	2	1	12	—	23	—	—	—	6	—	—	61	Juni
6.5	6.2	7.0	6.6	—	—	—	—	151	44	1	16	13	—	1	2	—	—	7	—	30	—	—	—	7	—	—	56	Juli
6.2	6.0	6.9	6.4	—	—	—	—	227	51	31	18	15	—	1	7	3	—	6	—	26	—	—	—	8	—	—	59	August
7.0	5.9	6.4	6.4	3	—	—	3	100	34	21	12	7	—	—	1	4	2	7	—	26	—	—	—	10	—	—	54	September
9.7	8.2	8.7	8.9	3	—	1	4	139	27	1	17	13	—	—	7	—	—	21	—	40	—	—	—	8	—	—	45	Oktober
9.5	9.1	9.9	9.5	1	—	—	1	64	19	3	11	10	—	—	—	3	—	26	—	33	—	—	—	4	—	—	53	November
8.2	8.1	8.4	8.2	—	1	—	1	55	12	24	11	10	2	—	—	4	1	20	—	31	—	—	—	4	—	—	58	Dezember
7.7	7.3	7.5	7.5	11	1	3	15	1283	51	VIII	167	138	32	2	13	34	12	174	—	372	—	—	—	85	—	—	638	Jahr

Beobachter: P. A. Jenny

Engelberg

5.5	4.9	6.1	5.5	—	1	—	—	130	25	6	13	13	10	—	—	1	7	9	—	—	—	—	32	—	10	—	16	35	Januar
7.5	7.0	6.9	7.1	—	—	—	—	201	40	17	19	17	10	—	—	—	2	14	—	—	—	—	30	—	5	—	23	26	Februar
6.3	6.7	6.9	6.6	—	—	1	1	121	26	13	17	15	15	—	—	1	2	11	—	25	—	—	—	9	—	—	43	16	März
7.4	6.9	7.1	7.1	—	—	1	1	174	35	15	16	15	13	—	—	1	2	14	—	—	—	—	24	—	8	—	39	19	April
5.9	6.4	5.2	5.8	1	—	1	2	123	38	27	14	11	—	—	2	2	6	10	—	1	—	—	40	—	5	—	27	20	Mai
6.0	7.1	7.0	6.7	—	—	—	—	181	39	21	17	17	—	—	2	—	3	13	—	2	—	—	35	—	9	—	26	18	Juni
5.5	6.5	7.6	6.5	—	—	—	—	212	28	24	23	22	—	—	7	1	1	6	—	2	—	—	39	—	17	—	14	21	Juli
5.4	5.9	6.9	6.1	—	—	1	1	213	39	19	19	16	—	—	7	1	3	8	—	1	—	—	29	—	19	—	18	26	August
4.8	5.5	5.1	5.1	1	1	—	2	118	25	21	14	12	—	—	2	2	6	6	—	4	—	—	28	—	17	—	17	24	September
6.3	6.1	6.3	6.2	—	1	2	3	198	39	20	18	16	6	—	—	4	7	15	—	—	—	—	26	—	5	—	26	36	Oktober
6.7	6.4	7.3	6.8	7	8	9	24	88	28	3	12	9	5	—	—	15	2	12	—	—	—	—	42	—	3	—	23	22	November
6.7	6.8	6.5	6.7	2	2	3	7	78	15	24	14	10	7	—	—	4	4	12	—	1	—	—	46	—	8	—	11	27	Dezember
6.2	6.4	6.6	6.4	11	13	18	42	1837	40	II	196	173	66	—	20	32	45	130	—	11	—	—	396	—	115	—	283	290	Jahr

Beobachter: Fr. H. Nager

Altdorf I

9.1	7.0	8.5	8.2	—	—	—	—	64	15	6	10	9	6	—	—	—	2	21	5	—	3	3	1	1	—	2	78	Januar	
9.3	8.0	8.1	8.5	1	1	1	3	166	31	21	16	13	7	—	—	1	—	17	3	1	4	3	2	—	—	2	69	Februar	
7.6	7.6	8.2	7.8	—	—	—	—	75	18	13	13	10	11	—	—	1	—	16	4	1	3	2	—	—	—	10	73	März	
7.3	7.1	7.2	7.2	—	—	—	—	129	35	15	15	11	7	—	—	—	3	16	5	1	—	4	—	—	—	—	18	62	April
6.2	6.7	5.7	6.2	—	—	—	—	85	34	27	13	8	—	—	2	2	6	10	3	—	2	4	10	—	2	12	60	Mai	
6.2	7.1	7.5	6.9	—	—	—	—	134	30	10	16	16	—	—	2	—	2	13	3	—	—	3	2	—	2	15	65	Juni	
6.1	6.7	8.0	6.9	—	—	—	—	148	25	22	20	17	—	—	2	—	2	11	7	3	2	1	—	—	2	12	66	Juli	
5.9	6.1	7.3	6.4	—	—	—	—	160	40	19	18	15	—	1	5	—	3	10	3	—	2	3	—	—	2	7	76	August	
5.6	5.7	6.1	5.8	—	—	—	—	76	17	6	11	10	—	—	1	—	6	9	2	1	1	6	—	—	—	7	73	September	
—	—	—	—	—	—	—	—	—	—	—	—	—	—	—	—	—	—	—	—	—	—	—	—	—	—	—	—	—	Oktober
—	—	—	—	—	—	—	—	—	—	—	—	—	—	—	—	—	—	—	—	—	—	—	—	—	—	—	—	—	November
—	—	—	—	—	—	—	—	—	—	—	—	—	—	—	—	—	—	—	—	—	—	—	—	—	—	—	—	—	Dezember
—	—	—	—	—	—	—	—	—	—	—	—	—	—	—	—	—	—	—	—	—	—	—	—	—	—	—	—	—	Jahr

Altdorf II

 $\lambda = 8^{\circ} 38'$, $\beta = 46^{\circ} 52'$, $H_0 = 450.7^m$, $G = -0.08 \text{‰}$, $h_r = 1.5^m$

1958	Luftdruck					Luft-Temperatur						Relative Feuchtigkeit							
	Mittel	Minimum Tag	Maximum Tag	7 ⁰⁰	13 ³⁰	21 ³⁰	Mittel	Minimum Tag	Maximum Tag	7 ³⁰	13 ³⁰	21 ³⁰	Mittel	Minimum Tag					
Januar	721.8	700.8	11	733.5	16	-0.5	2.8	-0.3	0.4	-6.4	25	9.6	7	81	70	86	79	27	22
Februar	721.5	706.2	25	735.3	3	1.7	5.8	3.3	3.5	-5.6	28	16.2	10	88	72	80	80	28	12
März	718.2	707.2	11	729.9	4	-0.9	4.2	1.4	1.5	-9.0	23	15.0	27	85	64	79	76	31	27
April	721.1	711.0	16	731.4	30	3.9	9.5	5.8	6.3	-3.2	12	18.6	21	88	65	78	77	31	3
Mai	723.6	711.1	16	732.4	1	12.7	18.6	14.8	15.2	5.6	1	27.4	11	82	62	75	73	30	5
Juni	721.8	709.2	26	727.8	8	14.2	19.1	14.9	15.8	9.4	27	25.4	2	82	64	84	77	39	26
Juli	723.2	714.8	22	729.5	17	16.1	21.7	17.3	18.1	10.8	3	27.2	13.31	87	67	89	81	55	13
August	722.8	711.8	21	730.1	4	15.7	21.9	17.0	17.9	9.2	27	29.2	1	90	66	87	81	40	18
September	724.7	712.3	30	729.4	13	13.0	20.3	15.2	15.9	5.8	27	26.0	7	93	68	88	83	37	29
Oktober	726.5	710.5	1	735.7	24	7.3	10.7	8.1	8.5	-0.6	24	21.6	4	94	78	91	88	36	4
November	724.5	713.4	13	735.5	20	3.2	6.0	4.0	4.3	-1.0	20	9.8	7	97	84	96	92	59	16
Dezember	717.1	700.1	16	729.7	29	2.9	5.3	3.7	3.9	-5.2	8	14.8	19.20	83	74	81	79	26	11
Jahr	722.2	700.1	XII	735.7	X	7.4	12.2	8.8	9.3	-9.0	III	29.2	VIII	87	69	84	80	26	XII

Göschenen

 $\lambda = 8^{\circ} 35'$, $\beta = 46^{\circ} 40'$, $H_0 = 1124.6^m$, $G = -0.19 \text{‰}$, $h_r = 1.5^m$

Januar	663.5	650.9	11	674.3	27	-1.8	-1.1	-1.7	-1.6	-8.0	21	7.0	27	71	68	69	69	33	31
Februar	663.4	651.3	26	675.8	3	0.6	2.1	0.6	1.0	-13.0	28	10.2	13.15	75	72	76	74	36	4
März	660.2	650.4	11	668.9	4	-3.2	-0.9	-2.7	-2.4	-11.8	1	8.0	30	78	71	80	76	22	23
April	664.7	654.8	16	672.6	21	1.5	4.5	1.8	2.4	-4.0	17.18	11.0	22	77	68	82	76	24	26
Mai	669.1	658.2	16	673.0	9	11.7	13.9	10.8	11.8	1.4	16	20.2	13	61	56	70	62	29	20
Juni	666.8	657.5	27	672.3	16	12.2	14.8	11.1	12.3	5.6	27	21.8	2	69	60	83	71	25	25
Juli	670.3	660.2	22	673.9	17	15.5	17.7	13.6	15.1	6.0	3	25.2	15	72	70	89	77	36	15
August	669.0	657.9	22	676.0	4	14.4	17.8	13.6	14.8	8.8	26	27.8	1	70	63	79	71	29	28
September	669.6	664.2	1	672.6	6.8	12.0	15.8	12.8	13.4	4.0	27	22.6	5	74	66	78	73	40	13.14
Oktober	669.9	655.9	1	677.7	24	5.6	6.9	5.6	5.9	-3.6	23	17.0	3	77	77	80	78	29	31
November	667.1	657.0	13	676.1	20	2.0	3.2	2.3	2.4	-2.8	16	11.0	25	76	75	77	76	34	8
Dezember	661.9	649.1	15	673.1	29	-0.9	-0.7	-1.3	-1.1	-12.0	5	7.0	23	67	65	69	67	27	14
Jahr	666.3	649.1	XII	677.7	X	5.8	7.8	5.5	6.2	-13.0	II	27.8	VIII	72	68	78	73	22	III

St. Gotthard

 $\lambda = 8^{\circ} 34'$, $\beta = 46^{\circ} 33'$, $H_0 = 2095^m$, $G = -0.27 \text{‰}$, $h_r = 1.8^m$

Januar	587.6	572.8	12	598.0	27	-8.4	-5.9	-8.0	-7.6	-15.8	21	2.4	30	74	69	74	72	27	29.30
Februar	588.4	575.4	26	602.0	15	-5.2	-2.5	-5.5	-4.7	-17.3	28	5.4	16	76	71	76	74	27	28
März	583.9	573.4	11	593.5	5	-9.3	-4.9	-8.8	-8.0	-18.0	10	4.8	26	77	68	83	76	29	16
April	587.7	578.3	16	598.8	30	-5.3	-1.4	-5.1	-4.2	-12.4	11	5.8	27	80	72	88	80	22	24
Mai	594.5	581.0	16	599.5	9	3.6	7.2	3.6	4.5	-3.7	17	13.3	9	79	66	86	77	40	19
Juni	592.6	581.4	27	598.3	15	4.2	8.5	4.5	5.4	-1.0	27	15.4	29	83	69	92	81	37	5
Juli	595.0	587.1	22	601.0	31	7.7	12.3	8.0	9.0	0.3	3	18.3	31	84	67	92	81	44	30
August	595.1	585.2	22	601.0	1	8.3	12.4	8.2	9.3	2.8	21	24.0	30	81	70	84	78	32	29
September	596.2	588.4	30	600.7	7	6.3	10.6	6.9	7.7	0.0	26	16.2	7	80	68	88	79	33	13
Oktober	594.5	583.4	1	601.0	21.25	0.8	3.5	0.8	1.5	-6.8	17	11.3	9	78	71	79	76	28	23
November	591.5	580.5	13	600.3	20	-2.8	-0.1	-2.3	-1.9	-8.0	2	4.0	25.27	80	74	82	79	38	8.19
Dezember	585.0	570.9	14	595.9	30	-6.0	-4.2	-5.7	-5.4	-12.0	2	1.0	30	76	78	79	78	23	4
Jahr	591.0	570.9	XII	602.0	II	-0.5	3.0	-0.3	0.5	-18.0	III	24.0	VIII	79	70	84	78	22	IV

Jura

Basel (Binningen)

 $\lambda = 7^{\circ} 35'$, $\beta = 47^{\circ} 33'$, $H_0 = 317.3^m$, $G = -0.08 \text{‰}$, $h_r = 1.5^m$

Januar	734.2	712.7	11	745.9	16	0.0	3.1	0.7	1.1	-8.8	25	11.7	6	86	76	84	82	53	5.2
Februar	733.4	717.4	25	747.2	3	2.7	7.0	4.4	4.6	-10.2	28	19.0	14	85	69	80	78	35	12
März	730.9	721.5	11	742.0	4	-0.9	5.9	2.2	2.4	-6.6	23	16.9	29	87	61	76	75	33	16
April	733.6	723.7	16	743.9	30	4.1	10.1	5.9	6.5	-1.5	13	20.1	21	83	59	74	72	37	24
Mai	735.3	722.5	16	744.2	1	12.9	20.0	14.0	15.2	6.4	17	28.2	9	79	58	77	71	30	3
Juni	733.9	721.5	26	740.8	14	14.1	20.5	14.8	16.0	9.0	27	28.2	2	82	59	80	74	34	1
Juli	734.9	727.5	22	741.7	17	16.6	23.3	17.4	18.7	12.5	24	30.8	15	86	61	83	77	47	15
August	734.3	724.5	22	742.5	4	16.5	23.5	17.2	18.6	10.5	24	30.6	10	86	62	84	77	42	4
September	736.3	725.0	30	740.4	13	13.7	21.4	15.0	16.3	5.4	27	29.1	6	91	66	87	81	47	26
Oktober	738.5	723.4	1	747.8	23	7.7	12.7	8.6	9.4	-0.9	29	23.2	10	92	74	91	86	52	19
November	736.8	727.4	13	747.6	20	3.7	6.0	4.0	4.4	0.4	19	10.8	5	94	83	93	90	64	2
Dezember	729.1	711.0	13	741.3	29	2.0	4.9	2.5	3.0	-8.8	7	12.0	17	88	80	89	86	49	17
Jahr	734.3	711.0	XII	747.8	X	7.8	13.2	8.9	9.7	-10.2	II	30.8	VII	87	67	83	79	30	V

Beobachter: Eidg. Armceemagazine

Altdorf II

Bewölkung				Termine mit Nebel				Niederschlag		Zahl der Tage								Windverteilung								1958			
7 ^{so}	13 ^{so}	21 ^{so}	Mittel	7 ^{so}	13 ^{so}	21 ^{so}	Total	Summe	Maximum Tag	*	* ₁₀	*	▲	◀	≡	heiter	trüb	N	NE	E	SE	S	SW	W	NW		Calman		
7.4	6.7	6.7	6.9	—	—	—	—	67	21	6	10	9	7	—	—	1	3	16	6	3	4	11	9	1	4	4	51	Januar	
8.8	7.9	6.5	7.7	2	1	1	4	182	37	21	17	13	10	—	—	2	—	15	4	—	—	8	9	—	—	8	55	Februar	
6.8	7.2	6.1	6.7	1	—	—	—	72	16	13	13	12	12	—	—	1	1	3	12	7	—	—	—	—	1	20	56	März	
7.3	6.5	6.3	6.7	—	—	—	—	130	35	15	14	13	7	—	—	—	4	15	9	—	—	4	3	—	—	26	48	April	
6.3	6.6	4.4	5.8	—	—	—	—	92	38	27	12	10	—	—	—	6	10	9	1	—	—	10	8	—	1	24	40	Mai	
5.7	6.4	6.6	6.2	—	—	—	—	136	30	10	16	15	—	—	—	4	12	5	—	—	—	2	6	—	1	17	59	Juni	
5.7	6.0	6.5	6.1	—	—	—	—	152	27	22	20	16	—	—	—	3	9	6	2	1	—	6	4	2	—	22	50	Juli	
5.5	5.7	5.6	5.6	—	—	—	—	179	44	19	17	14	—	—	—	6	6	6	—	—	—	2	7	1	—	14	63	August	
5.5	4.9	4.2	4.9	—	—	—	—	84	18	17	12	12	—	—	—	7	6	6	—	—	—	1	5	15	—	—	18	45	September
8.5	7.6	7.5	7.9	5	2	—	7	234	74	1	19	15	—	—	—	8	2	21	4	—	—	7	9	2	—	—	15	56	Oktober
9.1	8.7	8.5	8.8	4	1	1	6	79	32	3	9	8	—	—	—	6	—	24	1	—	—	2	1	8	—	—	10	68	November
8.5	7.4	6.4	7.4	1	1	1	3	77	15	24	12	12	2	—	—	1	1	13	5	1	2	13	16	2	2	10	42	Dezember	
7.1	6.8	6.3	6.7	13	5	3	21	1484	74	X	171	149	38	1	11	19	39	159	68	7	10	76	96	8	9	188	633	Jahr	

Beobachter: W. Etterlin

Göschenen

5.7	4.6	4.5	4.9	2	2	3	7	108	38	6	10	9	10	—	—	4	13	12	7	2	—	2	15	2	—	—	65	Januar	
6.2	6.0	5.9	6.0	2	2	1	5	213	43	16	14	13	11	—	—	4	8	13	1	4	2	9	7	—	—	—	—	61	Februar
6.3	6.0	7.2	6.5	1	1	2	4	72	17	13	14	14	13	—	—	2	6	15	6	4	1	1	7	1	—	—	73	März	
6.7	6.5	7.6	6.9	5	3	2	10	182	36	6	17	16	11	—	—	7	5	18	1	5	3	2	9	—	1	—	69	April	
5.2	5.7	5.8	5.6	1	—	3	4	144	58	27	10	10	—	—	—	1	3	8	11	1	—	1	4	28	1	—	58	Mai	
5.6	6.2	6.5	6.1	—	1	2	3	100	24	3	14	13	—	—	—	1	2	6	13	3	3	3	6	3	2	—	—	70	Juni
6.1	6.2	7.3	6.5	2	—	—	2	116	?	—	15	15	—	—	—	3	2	4	10	1	2	—	2	5	—	—	83	Juli	
6.1	5.9	6.0	6.0	—	—	1	1	97	36	19	15	13	—	—	—	1	1	4	9	5	2	—	3	2	2	—	—	79	August
4.3	4.8	4.6	4.6	2	—	3	5	78	20	21	11	8	—	—	—	3	7	6	—	1	—	3	1	1	—	—	84	September	
6.7	6.7	6.2	6.5	—	3	3	6	261	70	1	19	16	6	—	—	5	8	17	2	1	1	2	8	—	1	1	77	Oktober	
5.2	5.0	5.0	5.1	6	10	10	26	97	23	10	11	11	4	—	—	11	10	10	—	—	—	—	6	1	—	3	80	November	
7.0	7.7	6.3	7.0	3	3	—	6	86	18	28	10	9	7	—	—	5	4	14	2	1	1	4	16	—	—	—	69	Dezember	
5.9	5.9	6.1	6.0	24	25	30	79	1554	70	X	160	147	62	—	—	6	49	83	148	29	25	12	38	107	10	2	4	868	Jahr

Beobachter: E. Chiesa

St. Gotthard

4.4	4.0	4.2	4.2	6	9	9	24	196	47	7	14	14	14	—	—	12	13	9	—	—	—	22	—	—	—	—	45	26	Januar
7.3	7.4	6.2	7.0	13	11	14	38	285	41	16	2	20	20	—	—	18	5	15	—	—	—	17	—	—	—	—	36	31	Februar
6.2	6.3	6.2	6.2	12	14	16	42	153	30	13	21	19	21	—	—	25	4	12	—	—	—	18	—	—	—	—	51	24	März
6.7	6.0	7.7	6.8	18	15	21	54	360	66	5	23	22	23	—	—	23	5	17	—	—	—	13	—	—	—	—	62	15	April
6.9	6.8	7.4	7.0	8	4	9	21	311	99	27	14	13	6	—	—	2	14	3	18	—	—	—	41	1	—	—	25	26	Mai
5.9	6.0	8.2	6.7	7	8	18	33	132	28	26	14	14	3	1	—	—	3	12	3	12	—	—	—	21	—	—	42	27	Juni
6.0	5.9	7.7	6.5	10	4	13	27	217	38	3	22	20	2	1	—	—	2	19	2	12	—	—	—	21	—	—	36	36	Juli
5.7	5.4	7.1	6.1	9	7	12	28	278	107	19	18	15	—	—	—	1	4	21	3	11	—	—	—	20	—	—	31	42	August
4.3	3.9	6.5	4.9	7	4	14	25	160	73	30	13	9	—	—	—	—	20	8	8	—	—	—	20	—	—	—	30	40	September
6.4	5.8	6.2	6.1	12	10	15	37	343	79	1	18	18	8	—	—	1	17	9	15	—	—	—	21	—	—	—	45	27	Oktober
5.6	6.0	5.9	5.8	10	13	11	34	139	26	10.11	17	16	17	—	—	—	17	9	16	1	—	—	13	2	—	—	23	51	November
6.1	7.0	6.1	6.4	11	12	14	37	314	66	21	19	19	19	—	—	—	20	7	14	—	—	—	37	—	—	—	31	25	Dezember
6.0	5.9	6.6	6.2	123	111	166	400	2888	107	VIII	214	199	133	3	10	226	71	159	1	—	—	264	3	—	—	457	370	Jahr	

Jura

Beobachter: Astronomisch-Meteorologische Anstalt

Basel (Binningen)

7.8	7.4	7.1	7.4	2	—	1	3	56	14	19	14	9	9	—	—	6	3	18	4	3	22	6	3	9	16	9	21	Januar		
8.3	8.2	6.4	7.6	—	—	—	—	76	22	17	15	12	5	—	—	—	3	18	3	2	27	4	6	17	13	8	4	Februar		
6.7	7.3	5.8	6.6	1	—	—	1	27	12	13	10	7	7	—	—	2	5	13	6	4	19	5	1	7	18	16	17	März		
7.1	7.4	6.5	7.0	—	—	—	—	46	13	6	11	10	4	—	—	—	5	15	8	2	14	1	6	11	14	22	12	April		
6.9	6.9	5.4	6.4	—	—	—	—	84	46	27	10	8	—	—	—	1	—	5	12	6	1	13	7	6	10	14	16	20	Mai	
6.3	6.6	5.9	6.3	—	—	—	—	89	16	19	14	12	—	—	—	1	—	5	13	3	4	12	4	9	12	15	16	15	Juni	
6.7	6.4	5.6	6.2	1	—	—	1	62	11	4	13	12	—	—	—	4	1	3	11	3	2	17	8	8	17	15	8	15	Juli	
6.5	6.4	6.3	6.4	—	—	—	—	112	27	6	13	13	—	—	—	1	7	—	3	10	4	3	22	6	3	9	16	9	21	August
6.8	5.9	3.4	5.4	4	—	—	4	46	30	21	9	6	—	—	—	1	4	5	7	5	2	23	11	7	9	10	9	14	September	
8.8	6.5	6.2	7.2	6	—	5	11	64	11	1	13	12	—	—	—	8	2	14	4	3	19	14	2	13	15	7	16	7	16	Oktober
9.5	9.3	8.5	9.1	6	—	1	7	44	10	3	9	8	—	—	—	8	1	26	4	9	20	11	5	4	8	6	23	23	November	
7.8	7.8	6.5	7.4	3	1	1	5	70	24	24	13	10	1	—	—	4	3	15	3	4	24	9	5	9	16	9	14	14	Dezember	
7.4	7.2	6.1	6.9	23	1	8	32	776	46	V	144	119	26	1	14	33	43	172	53	39	232	86	61	127	170	135	192	Jahr		

La Chaux de-Fonds

$\lambda = 6^{\circ} 50'$, $\beta = 47^{\circ} 06'$, $H_b = 989.9^m$, $G = -0.06 \frac{m}{m}$, $h_r = ca 1.2^m$

1958	Luftdruck					Luft-Temperatur							Relative Feuchtigkeit						
	Mittel	Minimum Tag	Maximum Tag	7 ³⁰	13 ³⁰	7 ³⁰	13 ³⁰	21 ³⁰	Mittel	Minimum Tag	Maximum Tag	7 ³⁰	13 ³⁰	21 ³⁰	Mittel	Minimum Tag			
Januar	674.8	656.2	11	684.6	16	-2.3	0.8	-1.6	-1.2	-12.9	25	6.3	6	87	80	87	85	45	30
Februar	675.2	660.7	25	688.5	15	0.1	3.9	1.3	1.7	-12.2	28	14.3	13	84	72	80	79	41	5
März	671.3	660.8	11	682.1	4	-2.8	2.8	-1.3	-0.6	-10.6	23	13.9	31	81	66	79	75	38	24
April	674.8	665.8	16	684.6	30	1.7	6.0	2.8	3.3	-4.3	11	13.9	21.22	82	65	74	74	42	2 ³
Mai	678.4	665.2	16	684.8	1	11.1	16.0	11.9	12.7	1.9	17	23.9	11	73	56	65	65	30	2 ⁴
Juni	677.1	665.1	26	682.3	8	11.6	15.7	12.0	12.8	4.3	25	23.1	2	73	58	74	68	31	1.2
Juli	678.5	671.2	22	684.1	17	14.6	18.9	15.2	16.0	9.7	3	26.1	15	68	56	63	62	35	13
August	678.2	667.9	22	684.1	3	14.4	19.4	14.9	15.9	9.7	24	27.5	1	54	46	56	52	35	2 ⁶
September	679.6	668.9	30	684.1	13	12.2	17.8	13.5	14.2	5.8	27	24.3	6	85	62	84	77	35	14
Oktober	680.3	666.9	1	687.3	23	5.6	10.1	6.2	7.0	0.3	23.29	19.3	10	90	71	87	83	40	29.30
November	677.6	667.7	13	686.7	20	1.2	4.8	2.0	2.5	-2.9	29	9.7	24	92	80	92	88	47	20
Dezember	670.5	654.0	13	683.5	29	0.7	3.3	1.0	1.5	-8.5	4	9.1	31	82	74	80	79	29	31
Jahr	676.4	654.0	XII	688.5	II	5.7	10.0	6.5	7.2	-12.9	I	27.5	VIII	79	66	77	74	29	XII

Chasseron

Die Abendbeobachtung erfolgt um 20.30 h

$\lambda = 6^{\circ} 32'$, $\beta = 46^{\circ} 51'$, $H_b = 1601^m$, $G = -0.16 \frac{m}{m}$, $h_r = 1.5^m$

Januar	625.9	609.0	11	636.0	27	-4.1	-2.8	-3.6	-3.6	-12.4	21	7.0	28	92	87	89	89	22	31
Februar	626.8	612.7	26	640.7	15	-1.6	-0.4	-1.4	-1.3	-14.7	27	9.2	13	81	79	84	81	14	4
März	622.6	612.1	11	632.6	4	-5.2	-3.0	-4.6	-4.5	-14.0	12	5.0	29	87	86	87	87	16	16
April	626.5	617.6	16	636.2	30	-2.1	-0.1	-1.6	-1.6	-10.0	11	8.4	21	91	88	90	90	50	24
Mai	631.7	618.6	16	637.9	1	6.7	9.8	7.8	7.7	-2.0	17	18.2	11	79	68	78	75	40	11
Juni	630.2	619.1	26	635.8	15	7.0	9.3	7.8	7.5	-0.1	27	14.8	2	85	80	89	85	46	25
Juli	632.2	623.6	22	637.7	31	10.0	12.3	10.4	10.4	3.8	3	19.6	15	86	83	89	86	38	12
August	632.0	621.8	21.22	637.7	16	10.6	13.4	11.0	11.3	4.5	23	22.2	30	85	77	87	83	36	28
September	633.2	622.7	30	638.6	13	9.7	12.3	10.0	10.4	1.4	27	20.0	15	83	81	87	84	28	14
Oktober	632.5	620.0	1	638.4	26	3.4	5.3	3.5	3.9	-4.0	23	15.0	10	85	81	84	83	27	28
November	629.5	619.0	13	638.6	20	0.7	2.2	0.8	1.0	-4.8	1.13	9.2	25	85	81	84	83	40	21
Dezember	622.4	607.7	13	634.7	29	-2.1	-0.9	-2.0	-1.8	-9.8	2	6.8	30	84	79	82	82	15	30
Jahr	628.8	607.7	XII	640.7	II	2.7	4.8	3.2	3.3	-14.7	II	22.2	VIII	85	81	86	84	14	II

Neuchâtel

$\lambda = 6^{\circ} 57'$, $\beta = 47^{\circ} 00'$, $H = 487.3^m$, $G = 0.00 \frac{m}{m}$, $h_r = 1.5^m$

Januar	719.2	698.7	11	730.2	16	-0.1	1.4	0.3	0.5	-6.8	25	7.4	6	89	84	88	87	57	20
Februar	718.9	702.8	25	732.0	15	2.3	5.5	3.8	3.9	-5.7	28	15.6	14	86	73	81	80	45	5
März	715.3	705.4	11	726.2	4	-0.7	4.9	1.8	1.9	-5.4	1	15.3	30	83	61	72	72	31	7
April	718.3	708.3	16	727.7	30	4.0	9.6	6.6	6.7	-0.4	11	19.3	21	83	57	67	69	34	21
Mai	720.7	708.5	16	729.2	1	12.1	18.7	15.1	15.2	6.0	16	26.3	10	80	56	65	67	29	4
Juni	719.1	706.9	26	725.2	15	13.4	18.7	15.1	15.6	8.5	27	26.0	17	80	58	69	69	33	14
Juli	720.3	712.5	22	726.4	17	15.9	22.5	18.2	18.7	11.2	3	29.5	31	86	56	71	71	40	20
August	719.8	709.5	21	727.0	4	15.9	22.5	17.8	18.5	11.3	27	28.4	11	87	58	73	73	37	4
September	721.7	709.7	30	726.2	13	14.0	20.5	16.0	16.6	7.1	28	25.8	6	90	61	77	76	41	27
Oktober	723.8	707.6	1	732.2	24	7.7	10.8	8.3	8.8	2.4	22	18.6	2	90	75	87	84	47	23
November	721.6	710.7	13	732.1	20	3.7	5.3	4.2	4.4	0.5	29	10.3	4	92	83	90	88	65	1.4
Dezember	714.2	696.5	13	726.6	29	2.2	4.0	2.8	3.0	-5.6	5	9.2	17	88	80	84	84	50	14
Jahr	719.4	696.5	XII	732.2	X	7.5	12.0	9.2	9.5	-6.8	I	29.5	VII	86	67	77	77	29	V

Chaumont

$\lambda = 6^{\circ} 59'$, $\beta = 47^{\circ} 03'$, $H_b = 1141^m$, $G = -0.09 \frac{m}{m}$, $h_r = 1.5^m$

Januar	662.1	643.1	11	674.9	27	-2.9	-0.6	-2.5	-2.1	-9.6	25	5.0	29	96	92	95	94	62	29.30
Februar	662.4	649.2	25	676.3	15	-0.1	2.5	0.4	0.8	-11.0	27	11.4	14	87	79	86	84	28	2
März	658.7	648.1	11	668.6	4	-4.0	1.1	-2.6	-2.0	-11.8	23	11.0	30	93	77	89	86	37	5
April	662.1	653.7	15	671.5	30	0.1	4.8	1.4	1.9	-6.6	11	14.6	22	93	74	88	85	48	3
Mai	666.1	653.2	16	673.0	1	9.8	14.8	10.3	11.3	0.6	17	22.0	10	87	67	83	79	34	4
Juni	664.5	650.1	27	670.9	8	9.7	14.6	10.7	11.4	2.8	27	20.8	2	92	72	88	84	50	16
Juli	666.2	657.2	22	671.2	30	11.9	17.7	13.3	14.1	7.4	3.25	25.2	31	94	75	91	87	57	13
August	665.9	655.9	21.22	671.9	3	12.5	18.3	13.5	14.5	8.2	23	26.2	1	95	75	92	87	60	30
September	667.3	656.4	30	672.3	13	11.4	16.4	12.2	13.0	4.8	27	23.4	5	95	78	94	89	38	15
Oktober	667.7	653.8	1	674.2	24	4.2	8.1	5.0	5.6	-1.0	23	18.0	10	96	84	94	91	46	29.30
November	664.8	654.7	13	674.1	20	0.1	2.1	0.4	0.8	-4.0	29	6.8	24	97	96	97	97	63	19.20
Dezember	657.6	642.8	16	670.2	29	-0.8	0.7	-0.7	-0.4	-9.2	4	6.5	20	91	88	91	90	33	5
Jahr	663.8	642.8	XII	676.3	II	4.3	8.4	5.1	5.7	-11.8	III	26.2	VIII	93	80	91	88	28	II

Beobachter: Police locale

La Chaux de-Fonds

Table with columns: Bewölkung, Termine mit Nebel, Niederschlag, Zahl der Tage, Windverteilung, 1958. Rows for months Jan to Dec and annual totals.

Beobachter: J. Liardon

Chasseron

Table with columns: Bewölkung, Termine mit Nebel, Niederschlag, Zahl der Tage, Windverteilung, 1958. Rows for months Jan to Dec and annual totals.

Beobachter: Observatoire

Neuchâtel

Table with columns: Bewölkung, Termine mit Nebel, Niederschlag, Zahl der Tage, Windverteilung, 1958. Rows for months Jan to Dec and annual totals.

Frau B. Burkhalter-Pierrehumbert

Chaumont

Table with columns: Bewölkung, Termine mit Nebel, Niederschlag, Zahl der Tage, Windverteilung, 1958. Rows for months Jan to Dec and annual totals.

Biel

$\lambda = 7^{\circ} 15', \beta = 47^{\circ} 08', H_b = 435.8^m, G = 0.01 \text{ } \frac{m}{m}, h_r = 1.5^m$

1958	Luftdruck				Luft-Temperatur								Relative Feuchtigkeit						
	Mittel	Minimum Tag	Maximum Tag		7 ³⁰	13 ³⁰	21 ³⁰	Mittel	Minimum Tag	Maximum Tag		7 ³⁰	13 ³⁰	21 ³⁰	Mittel	Minimum Tag			
Januar	723.5	703.5	11	735.5	16	-0.5	1.5	0.7	0.6	-10.4	25	7.8	6	86	80	85	84	53	20
Februar	723.7	709.8	26	736.7	15	2.2	5.7	3.9	3.9	-6.8	28	14.2	14	85	71	81	79	39	5
März	720.0	709.7	11	730.9	4	-0.6	4.8	2.3	2.2	-5.6	1	15.0	29	79	60	70	70	41	16.19
April	722.9	712.7	16	732.8	30	4.6	9.8	7.3	7.2	-1.4	11	19.4	21	78	54	63	65	34	20
Mai	725.2	713.2	16	733.2	1	12.8	18.9	15.7	15.8	7.4	17	26.6	10	76	52	64	64	30	4
Juni	723.5	712.0	26	729.9	15	14.0	19.3	16.5	16.6	9.2	27	25.3	2	74	51	64	63	33	1
Juli	724.7	716.3	22	731.0	8.17	16.5	22.3	18.9	19.1	12.3	4	27.8	9	77	51	65	64	37	12
August	724.4	714.1	21	732.0	4	16.4	22.2	18.9	19.1	9.8	27	29.4	1	79	54	67	67	37	5
September	726.3	715.9	30	730.7	13.11	14.1	20.0	16.8	16.9	4.8	28	24.8	7	82	57	69	69	40	23
Oktober	728.3	712.2	1	736.9	24	7.9	11.2	8.9	9.2	2.8	23	19.5	11	84	69	79	77	44	23
November	726.2	715.0	13	737.0	20	4.0	5.3	4.4	4.5	0.3	2	10.9	4	85	78	83	82	51	1
Dezember	718.7	702.1	16	730.4	29	2.6	3.9	2.9	3.1	-6.0	6	9.4	17	82	76	79	79	51	9
Jahr	724.0	702.1	XII	737.0	XI	7.8	12.1	9.8	9.9	-10.4	I	29.4	VIII	81	63	72	72	30	V

Solothurn

$\lambda = 7^{\circ} 32', \beta = 47^{\circ} 13', H = 470^m, G = - \text{ } \frac{m}{m}, h_r = 1.5^m$

Januar	—	—	—	—	—	-1.3	1.5	-0.4	-0.2	-12.1	25	8.5	27	90	82	87	86	56	20
Februar	—	—	—	—	—	1.4	6.0	2.7	3.2	-7.2	28	15.6	15	89	73	86	83	44	18
März	—	—	—	—	—	-1.4	5.6	1.0	1.6	-6.4	24	16.6	30	82	60	75	72	45	25
April	—	—	—	—	—	4.3	10.3	6.0	6.7	-0.4	11	20.2	21	81	64	68	71	38	24
Mai	—	—	—	—	—	12.3	19.9	13.9	15.0	7.0	16	27.8	11	77	57	66	67	34	4
Juni	—	—	—	—	—	14.1	20.4	14.8	16.0	7.8	27	28.0	18	77	61	69	69	36	9.17
Juli	—	—	—	—	—	16.1	23.3	17.4	18.5	11.0	25	31.2	15	82	61	66	69	40	15
August	—	—	—	—	—	16.1	24.1	17.2	18.7	8.2	24	31.7	1	83	56	74	71	38	5
September	—	—	—	—	—	13.3	21.5	14.8	16.1	6.5	28	28.1	6	88	64	84	79	44	14
Oktober	—	—	—	—	—	7.4	11.4	7.6	8.5	0.8	22	19.9	3	91	74	90	85	55	5
November	—	—	—	—	—	3.5	5.4	3.7	4.1	-1.4	2	9.8	4	91	82	91	88	65	1
Dezember	—	—	—	—	—	1.3	3.8	1.7	2.1	-5.8	6	9.9	16	89	83	87	86	67	14
Jahr	—	—	—	—	—	7.2	12.8	8.4	9.2	-12.1	I	31.7	VIII	85	68	78	77	34	V

Langenbruck

$\lambda = 7^{\circ} 46', \beta = 47^{\circ} 21', H_b = 740.4^m, G = -0.01 \text{ } \frac{m}{m}, h_r = 1.5^m$

Januar	696.7	677.3	11	707.5	16	-2.2	-0.3	-1.5	-1.4	-10.4	21	7.0	6	89	86	90	88	58	25
Februar	696.5	681.8	25	708.8	15	0.9	3.6	2.1	2.2	-11.4	28	14.6	14	88	79	82	83	41	5
März	693.2	683.2	11	704.1	4	-2.2	2.1	-1.1	-0.6	-9.5	10	13.3	30	86	72	79	79	54	2
April	696.4	686.4	16	706.7	30	3.0	6.4	3.6	4.2	-3.4	11	15.3	21	87	73	82	81	50	20
Mai	699.3	686.2	16	707.1	1	12.2	16.5	11.8	13.1	5.0	17	24.0	10	81	66	81	76	41	11
Juni	698.1	686.1	26	708.2	7	13.1	16.8	12.6	13.8	7.2	27	24.2	2	82	67	84	78	40	1
Juli	699.2	691.2	22	705.2	17	16.0	19.3	15.2	16.4	10.6	3.4	26.0	15	84	70	86	80	44	12
August	698.8	688.5	21	705.6	4	16.0	19.8	15.2	16.5	9.7	23	27.1	1	84	70	86	80	50	5
September	700.1	688.4	30	704.4	13	13.4	18.0	13.3	14.5	7.4	23	23.4	6	88	74	86	83	61	15.26
Oktober	705.3	687.2	1	709.9	24	6.4	9.4	6.8	7.4	-0.8	30	18.4	10	91	81	90	87	53	24
November	699.5	689.2	13	709.3	20	2.0	3.2	2.2	2.4	-1.7	29	8.0	3	92	90	98	93	65	1
Dezember	692.1	674.7	13	704.4	29	0.6	2.2	0.8	1.1	-6.5	8	7.5	20	86	79	86	84	48	19
Jahr	697.9	674.7	XII	709.9	X	6.6	9.8	6.8	7.5	-11.4	II	27.1	VIII	87	76	86	83	40	VI

Olten

$\lambda = 7^{\circ} 55', \beta = 47^{\circ} 22', H_b = 390.7^m, G = 0.04 \text{ } \frac{m}{m}, h_r = 1.5^m$

Januar	727.6	707.2	11	737.8	16	-1.0	1.6	0.3	0.3	-11.8	25	8.3	6	88	80	86	85	48	7
Februar	727.2	711.9	25	740.3	15	1.9	5.4	3.3	3.5	-7.4	28	17.2	14	88	73	84	82	45	5.13
März	724.3	714.5	11	735.0	4	-1.6	4.9	1.5	1.6	-6.6	1.24	16.4	30	88	61	77	75	37	16
April	726.7	716.8	16	735.7	30	3.5	9.5	6.0	6.2	-1.4	2	20.0	21	86	56	74	72	35	21
Mai	728.9	717.1	16	736.5	1	11.7	19.1	13.8	14.6	6.6	16	27.5	11	83	52	76	70	31	10.20
Juni	727.5	717.8	26	733.6	15	13.3	19.6	14.8	15.6	8.8	27	27.2	17	83	53	76	71	30	1
Juli	728.5	721.4	22	734.2	8.17	15.4	22.2	17.4	18.1	10.8	25	29.2	13	88	54	80	74	35	12
August	728.1	718.2	21	734.9	4	15.3	22.3	17.0	17.9	9.4	24	30.2	1	88	57	82	76	40	5
September	729.8	718.4	30	734.3	13	12.7	20.3	15.2	15.8	4.6	27	26.7	7	90	61	84	78	43	27
Oktober	731.7	716.9	1	739.7	25.26	7.5	11.1	8.4	9.9	0.3	24	18.8	3	90	72	87	83	46	23
November	730.5	721.2	13	738.5	21	4.4	5.6	5.0	5.0	0.9	30	9.8	1	89	80	87	85	48	1
Dezember	723.1	706.5	16	734.8	29	1.7	3.9	2.2	2.5	-6.2	5	9.2	17	87	79	86	84	49	3
Jahr	727.8	706.5	XII	740.3	II	7.1	12.1	8.7	9.2	-11.8	I	30.2	VIII	87	65	82	78	30	VI

Biel

Beobachter: Gaswerk

Bewölkung				Termine mit Nebel				Niederschlag		Zahl der Tage								Windverteilung								1958		
7 ³⁰	13 ³⁰	21 ³⁰	Mittel	7 ³⁰	13 ³⁰	21 ³⁰	Total	Summe	Maximum Tag	*	>1,8	*	▲	K	≡	beiter.	(rüb	N	NE	E	SE	S	SW	W	NW		Ostmen	
9.2	8.8	8.1	8.7	2	1	1	4	163	50	6	14	12	9	—	5	2	24	1	14	2	—	—	23	2	2		49	Januar
8.5	7.6	7.1	7.7	2	—	—	2	223	36	7	17	16	7	—	3	2	15	3	6	2	—	—	32	3	1	37	Februar	
6.4	6.9	5.4	6.2	1	—	—	1	57	21	13	11	7	9	—	2	2	8	4	31	1	—	—	13	4	—	40	März	
6.4	6.6	6.3	6.4	—	—	—	—	32	6	28	11	10	3	—	1	3	11	5	27	2	2	—	13	1	2	38	April	
6.7	6.0	5.5	6.1	—	—	—	—	92	34	27	10	8	—	—	—	4	10	3	11	4	—	—	19	7	3	46	Mai	
5.3	5.7	5.0	5.3	—	—	—	—	95	27	20	13	13	—	—	—	5	6	3	17	4	—	1	17	5	6	37	Juni	
5.0	5.2	5.3	5.2	1	—	—	1	92	15	24	15	13	—	—	2	1	5	6	3	17	—	1	—	19	5	2	46	Juli
5.4	4.5	5.5	5.1	1	—	—	1	127	29	19	14	12	—	—	3	2	4	4	2	7	2	—	2	24	5	3	48	August
5.9	4.5	4.0	4.8	—	—	—	—	65	36	21	9	9	—	—	—	7	7	—	16	6	—	—	11	2	1	54	September	
9.1	7.8	7.1	8.0	4	—	—	4	103	18	1	14	11	—	—	5	2	20	1	20	1	—	—	17	—	2	52	Oktober	
9.7	9.5	9.7	9.6	—	—	—	—	48	24	2	7	6	—	—	—	—	—	28	—	19	3	—	—	5	1	1	61	November
8.8	8.4	8.2	8.5	3	1	—	4	103	29	12	12	11	2	—	—	4	—	19	—	12	5	—	—	25	—	1	50	Dezember
7.2	6.8	6.4	6.8	14	2	1	17	1200	50	1	147	128	30	—	5	23	36	158	25	197	32	3	3	218	35	24	558	Jahr

Beobachter: Frl. A. Glutz

Solothurn

9.6	8.7	8.2	8.8	7	3	4	14	161	39	6	14	12	9	—	8	—	24	—	2	14	—	—	—	20	2	55	Januar	
9.2	7.6	6.5	7.8	5	—	1	6	234	33	6	18	17	8	—	1	5	1	13	1	6	—	—	9	24	2	42	Februar	
8.2	6.8	4.2	6.4	3	—	—	3	60	18	17	13	9	9	—	—	3	1	9	1	5	22	1	—	4	16	1	43	März
7.6	6.9	6.3	6.9	—	—	—	—	46	16	28	12	9	4	—	—	4	15	2	14	14	3	—	2	15	6	34	April	
8.2	6.9	4.7	6.6	1	—	—	1	82	34	27	9	7	—	—	1	1	14	1	3	4	6	—	4	11	7	57	Mai	
6.7	6.5	4.4	5.9	—	—	—	—	149	36	20	14	13	—	—	3	1	3	8	2	4	7	4	—	4	3	10	56	Juni
7.1	6.1	5.7	6.3	2	—	—	2	138	29	24	16	13	—	—	3	3	1	9	—	2	6	5	—	5	10	1	64	Juli
7.2	5.3	6.6	6.4	5	—	—	5	148	26	6	14	12	—	—	7	6	1	5	2	2	1	—	8	15	2	61	August	
8.0	4.9	3.7	5.5	9	—	—	—	68	30	21	7	6	—	—	2	9	4	7	—	5	10	3	—	7	—	2	63	September
9.7	7.4	7.7	8.3	7	—	1	8	131	21	21	17	14	—	—	1	8	—	19	—	4	8	5	—	4	10	6	56	Oktober
10.0	9.7	9.8	9.8	2	—	1	3	59	20	2	9	7	—	—	2	—	29	—	19	3	2	—	—	2	—	—	64	November
9.0	8.4	7.0	8.1	1	1	1	3	113	26	12	16	12	3	—	—	3	—	20	1	11	3	—	—	5	17	3	53	Dezember
8.4	7.1	6.2	7.2	42	4	8	54	1389	39	1	159	131	33	—	17	49	16	172	10	77	93	30	—	52	143	42	648	Jahr

Beobachter: E. Müller

Langenbruck

8.2	7.4	7.0	7.5	2	1	3	6	104	19	6	17	15	12	—	—	5	2	18	5	5	4	3	1	2	12	9	52	Januar
7.6	7.2	5.7	6.8	—	—	—	—	183	25	7	18	17	11	—	—	1	2	12	5	3	3	2	—	1	17	6	47	Februar
5.9	7.0	5.1	6.0	—	—	—	—	54	22	13	12	10	10	—	—	—	6	11	4	5	9	—	1	1	5	3	65	März
6.4	7.3	6.1	6.6	—	—	—	—	81	32	16	13	13	8	—	—	—	5	13	16	9	6	—	—	—	3	10	46	April
6.1	5.6	3.8	5.2	—	—	—	—	74	34	27	8	6	1	—	—	—	7	7	11	3	8	1	1	4	8	4	53	Mai
5.4	6.5	4.6	5.5	—	—	—	—	148	33	20	16	14	—	—	—	8	9	10	5	9	—	1	—	6	3	56	Juni	
5.9	6.3	5.2	5.8	—	—	—	—	126	15	24	18	15	—	—	3	—	5	10	4	10	5	2	—	—	3	12	57	Juli
4.6	5.4	4.5	4.8	—	—	—	—	164	33	6	16	15	—	—	1	2	—	6	4	6	8	2	2	—	7	6	62	August
5.4	4.3	2.5	4.1	—	—	—	—	58	27	21	7	7	—	—	2	1	9	5	4	6	1	—	1	2	1	5	70	September
7.5	5.9	6.1	6.5	5	—	—	5	110	19	20	18	17	—	—	—	5	6	12	6	5	5	3	2	2	7	4	59	Oktober
9.9	9.7	9.7	9.8	10	10	14	34	64	19	3	11	8	2	—	—	15	—	29	3	9	9	—	1	—	3	4	61	November
7.6	7.1	6.5	7.1	2	—	2	4	85	16	28	14	10	8	—	—	4	3	15	—	2	12	2	3	—	5	4	65	Dezember
6.7	6.6	5.6	6.3	19	11	19	49	1251	34	V	168	147	52	1	7	31	59	145	74	70	73	15	11	12	77	70	693	Jahr

Beobachter: Gaswerk

Olten

9.6	8.3	8.2	8.7	8	2	4	14	102	20	6	17	14	9	—	—	8	1	22	—	—	—	2	—	21	3	6	61	Januar
9.1	7.9	6.3	7.8	5	—	1	6	176	30	6	16	15	7	—	—	5	1	15	—	—	—	2	—	24	3	1	54	Februar
6.3	6.1	5.5	6.0	2	—	—	2	52	26	13	14	10	10	—	—	2	4	11	—	—	—	3	—	6	—	3	81	März
7.4	7.0	6.4	6.9	1	—	—	1	90	57	16	14	9	4	—	—	1	4	14	1	2	—	8	—	8	2	5	64	April
6.6	5.5	4.5	5.5	2	—	—	2	74	23	16	8	8	—	—	—	2	5	9	—	2	—	6	—	14	2	8	61	Mai
5.8	6.4	5.9	6.0	4	2	2	8	120	21	20	15	15	—	—	4	4	6	11	—	1	1	7	—	10	2	16	53	Juni
6.5	5.9	5.5	6.0	2	—	—	2	142	30	20	16	13	—	—	5	2	5	8	—	3	—	4	—	7	1	5	73	Juli
6.8	5.5	5.7	6.0	6	—	—	6	132	27	6	15	14	—	—	2	6	3	7	—	—	—	2	—	2	2	2	85	August
8.3	4.8	3.2	5.4	15	—	—	15	61	29	21	6	6	—	—	—	15	3	7	—	—	—	5	—	9	2	6	68	September
9.4	7.5	6.9	7.9	7	1	3	11	99	17	20	17	14	—	—	9	1	16	—	—	—	3	—	11	1	4	74	Oktober	
10.0	9.9	9.3	9.7	3	2	—	5	46	20	3	10	7	—	—	—	4	—	28	—	—	—	7	—	2	—	3	78	November
8.1	8.6	6.7	7.8	—	1	1	2	81	15	11	14	10	2	—	—	2	1	16	—	—	—	1	—	16	1	—	75	Dezember
7.8	7.0	6.2	7.0	55	8	11	74	1175	57	IV	162	135	32	—	11	60	34	164	1	8	1	50	—	130	19	59	827	Jahr

Aarau

$\lambda = 8^{\circ} 03', \beta = 47^{\circ} 23', H_b = 407.6^m, G = 0.04^m, h_r = 1.5^m$

1958	Luftdruck					Luft-Temperatur								Relative Feuchtigkeit					
	Mittel	Minimum Tag	Maximum Tag	7 ⁸⁰	13 ⁸⁰	21 ⁸⁰	Mittel	Minimum Tag	Maximum Tag	7 ⁸⁰	13 ⁸⁰	21 ⁸⁰	Mittel	Minimum Tag					
Januar	726.4	705.8	11	737.8	16	-1.0	1.8	0.1	0.2	-11.8	25	9.2	6	—	—	—	—	—	—
Februar	725.7	709.6	25	740.2	3	2.0	6.0	3.4	3.7	-7.8	28	16.8	14	—	—	—	—	—	—
März	722.7	712.2	11	734.0	4	-1.2	5.4	1.1	1.6	-6.4	10	16.4	30	—	—	—	—	—	—
April	725.6	714.9	16	736.0	30	4.3	10.1	5.8	6.5	-0.4	2	19.4	21	—	—	—	—	—	—
Mai	727.6	715.0	16	736.6	1	12.8	19.6	13.7	14.9	6.8	16	27.2	10.11	—	—	—	—	—	—
Juni	726.0	713.2	26	732.5	15	14.1	19.8	14.6	15.8	8.8	27	26.6	17	76	54	82	71	31	1
Juli	727.3	719.2	1	733.7	8.17	16.4	22.3	17.2	18.3	11.8	3.4	29.8	13	79	56	84	73	38	12
August	726.7	716.3	21	734.5	4	16.1	22.5	16.8	18.0	10.8	27	30.4	1	83	56	86	75	41	11
September	728.8	716.3	30	733.6	13	13.2	20.2	14.3	15.5	5.8	27	24.8	6	86	59	89	78	44	26
Oktober	730.8	714.8	1	740.4	24	7.6	11.3	8.1	8.8	1.0	24	18.6	11	90	69	89	83	50	23.24
November	729.0	718.1	13	739.7	20	4.0	5.9	4.6	4.8	0.4	30	9.2	17	87	76	86	83	55	1
Dezember	721.3	703.5	13	733.8	29	1.3	4.0	2.0	2.3	-6.8	5	9.8	17	84	75	85	81	48	17
Jahr	726.5	703.5	XII	740.4	X	7.5	12.4	8.5	9.2	-11.8	I	30.4	VIII	—	—	—	—	—	—

Beznau

$\lambda = 8^{\circ} 14', \beta = 47^{\circ} 33', H = 326^m, G = -^m, h_r = 1.5^m$

Januar	—	—	—	—	—	-0.7	1.9	0.5	0.5	-11.3	25	9.8	6	84	76	82	81	57	7
Februar	—	—	—	—	—	2.1	5.8	3.1	3.5	-7.5	28	18.0	14	84	70	81	78	38	5
März	—	—	—	—	—	-1.7	5.3	1.5	1.7	-8.8	10	16.6	30	83	56	76	72	36	24
April	—	—	—	—	—	3.5	10.0	5.7	6.2	-1.6	11	19.2	21	83	55	74	71	32	2
Mai	—	—	—	—	—	11.5	19.3	13.4	14.4	6.0	1	26.8	9.11	83	56	80	73	36	3
Juni	—	—	—	—	—	13.2	19.9	14.4	15.5	8.6	27	26.4	17	83	56	80	73	36	1
Juli	—	—	—	—	—	15.2	22.7	17.0	18.0	10.4	25	29.0	15	86	54	49	63	43	25
August	—	—	—	—	—	15.1	22.5	16.9	17.8	9.1	21.27	30.2	1	86	58	83	76	44	4
September	—	—	—	—	—	12.5	20.4	14.3	15.4	4.6	28	27.2	7	89	61	86	79	46	27
Oktober	—	—	—	—	—	7.7	11.5	8.4	9.0	-0.5	24	17.8	3.4	87	71	86	81	47	23
November	—	—	—	—	—	4.5	6.0	4.8	5.0	0.6	30	11.0	8	84	77	83	81	59	8
Dezember	—	—	—	—	—	1.9	4.7	2.1	2.7	-6.8	7	10.9	17	83	74	83	80	48	3
Jahr	—	—	—	—	—	7.1	12.5	8.5	9.1	-11.3	I	30.2	VIII	85	64	79	76	32	IV

Hallau

$\lambda = 8^{\circ} 28', \beta = 47^{\circ} 42', H_b = 449.5^m, G = 0.06^m, h_r = 1.5^m$

Januar	722.5	701.8	11	734.1	16	-1.8	0.8	-0.6	-0.6	-10.9	25	7.8	6	86	81	85	84	58	26
Februar	721.4	706.4	25	736.1	3	1.0	4.2	2.4	2.5	-9.6	28	14.4	14	88	75	83	82	43	5
März	718.9	708.9	11	730.4	4	-1.7	4.8	1.4	1.5	-8.5	10	15.6	29	80	56	70	69	32	24
April	721.7	711.0	16	732.5	30	3.2	9.4	5.8	6.1	-4.5	11	18.0	21	85	53	72	70	31	2
Mai	723.9	710.5	16	732.6	1	12.0	18.5	14.5	14.9	6.0	16	25.0	9.10	81	53	70	68	34	31
Juni	722.4	710.5	26	728.8	14	13.1	19.5	15.1	15.7	8.5	27	27.0	2	78	50	71	66	32	1
Juli	723.6	715.6	22	730.4	17	15.6	22.2	17.9	18.4	12.1	25	29.0	13.15	84	53	74	70	39	18
August	723.1	713.6	21	730.6	4	15.3	22.3	17.5	18.1	10.0	24	29.8	1	84	53	75	71	37	5
September	725.2	713.0	30	730.4	14	12.4	19.9	14.9	15.5	6.0	28	26.0	7	87	57	80	75	39	30
Oktober	726.7	709.9	1	736.2	23.24	6.9	11.1	8.1	8.5	0.0	22	18.2	4	89	73	87	83	41	23
November	725.1	714.3	13	735.9	20	3.9	5.6	4.2	4.5	0.0	30	9.8	9	86	79	84	83	60	18
Dezember	717.5	700.8	16	729.5	1.29	1.4	4.0	1.7	2.2	-7.0	4	10.0	17	83	74	82	80	38	3
Jahr	722.7	700.8	XII	736.2	X	6.8	11.9	8.6	8.9	-10.9	I	29.8	VIII	84	63	78	75	31	IV

Schaffhausen

$\lambda = 8^{\circ} 39', \beta = 47^{\circ} 42', H_b = 451^m, G = -^m, h_r = 1.5^m$

Januar	722.8	702.7	11	734.4	16	-1.5	1.0	-0.3	-0.3	-10.8	25	8.0	6	90	84	90	88	64	28
Februar	722.0	706.8	25	736.5	3	1.6	4.7	2.9	3.0	-8.0	28	15.4	13	91	76	85	84	41	5
März	719.5	709.6	11	730.8	4	-1.1	4.6	1.3	1.5	-6.8	10	15.2	30	83	57	75	72	29	24
April	722.1	711.4	16	732.8	30	3.7	9.6	5.8	6.2	-2.6	11	17.6	21	86	55	75	72	31	2
Mai	724.2	711.8	16	732.7	1	12.7	18.7	13.9	14.8	6.4	16	25.4	10.11	82	57	75	71	33	3
Juni	722.8	710.6	26	728.9	14.15	13.7	19.2	14.4	15.4	8.4	27	25.4	2	81	53	77	70	32	1
Juli	723.9	716.2	1.22	730.2	8.17	16.0	22.2	17.5	18.3	11.6	4	29.2	13	86	56	79	74	41	2.13
August	723.4	714.0	21	731.0	4	16.0	21.9	17.4	18.2	11.4	27	30.4	1	88	58	79	75	42	4
September	725.5	712.8	30	730.1	13	12.8	19.5	14.6	15.4	5.7	28	25.6	7	92	63	85	80	45	30
Oktober	727.3	711.8	1	736.8	24	7.1	10.7	8.1	8.5	-0.2	22	18.0	4	92	77	89	86	48	4
November	725.7	714.7	13	736.0	20	4.0	5.5	4.3	4.5	0.3	30	9.1	3	90	84	87	87	70	16
Dezember	718.1	701.6	16	729.8	1.2	1.4	4.1	1.9	2.3	-6.8	4	10.8	17	87	79	86	84	45	3
Jahr	723.1	701.6	XII	736.8	X	7.2	11.8	8.5	9.0	-10.8	I	30.4	VIII	87	67	82	79	29	III

Aarau

Beobachter: W. Amsler

Bewölkung				Termine mit Nebel				Niederschlag		Zahl der Tage										Windverteilung								1958
7 ³⁰	13 ³⁰	21 ³⁰	Mittel	7 ³⁰	13 ³⁰	21 ³⁰	Total	Summe	Maximum Tag	●	●	●	▲	⊠	≡	better	trüb	N	NE	E	SE	S	SW	W	NW	Galmen		
9.3	8.1	8.1	8.5	—	—	1	1	73	13	6	18	14	11	—	—	1	—	20	—	3	—	—	2	15	9	64	Januar	
9.4	7.5	7.1	8.0	2	—	—	2	115	19	7	17	14	7	—	2	1	16	3	3	—	1	—	5	30	10	32	Februar	
7.4	6.6	5.8	6.6	2	—	—	2	37	13	13	11	10	7	—	2	2	13	4	14	1	1	—	4	11	4	54	März	
6.7	6.6	6.7	6.7	—	—	—	—	47	12	16	12	10	5	—	1	—	3	14	3	17	—	1	1	4	13	9	42	April
6.4	5.4	4.8	5.5	—	—	—	—	69	16	27	8	8	—	—	—	4	7	3	9	1	—	1	2	9	9	59	Mai	
5.8	5.7	6.2	5.9	—	—	—	—	111	20	10	17	12	—	1	3	—	6	10	3	8	1	—	1	7	12	9	49	Juni
6.1	5.8	5.5	5.8	—	—	—	—	128	19	29	17	15	—	1	3	—	2	7	5	6	—	—	—	2	11	6	63	Juli
6.2	5.4	5.8	5.8	1	—	—	1	181	35	6	15	15	—	2	5	1	3	7	5	2	—	—	—	3	9	8	66	August
8.4	4.8	3.2	5.5	4	—	—	4	72	28	21	6	6	—	—	3	4	2	8	4	10	—	—	—	2	9	8	57	September
9.5	7.4	7.6	8.2	4	—	—	4	95	16	12	19	16	—	—	4	1	19	1	7	1	—	—	2	12	2	68	Oktober	
10.0	9.8	9.8	9.9	—	—	—	—	39	14	3	9	8	—	—	—	—	29	—	1	—	—	—	1	3	—	85	November	
9.2	8.6	8.2	8.7	6	1	2	9	72	15	24	15	12	2	—	7	—	21	—	4	—	—	—	7	13	2	67	Dezember	
7.9	6.8	6.6	7.1	19	1	3	23	1039	35	VIII	164	140	32	4	15	21	24	171	31	84	4	3	3	41	147	76	706	Jahr

Nordostschweizerische Kraftwerke AG

Beznau

8.6	8.1	7.8	8.2	2	—	1	3	112	29	19	15	14	10	—	—	3	1	20	—	2	12	—	15	15	10	1	38	Januar
8.9	7.2	6.7	7.6	5	—	—	5	227	42	21	14	14	6	—	—	7	1	11	3	4	3	23	8	7	—	32	Februar	
7.1	6.4	5.1	6.2	4	—	—	4	43	25	13	9	8	7	—	—	5	3	12	5	11	17	1	9	8	8	1	33	März
6.8	6.9	5.8	6.5	3	—	—	3	58	22	16	12	10	4	—	—	3	3	12	3	7	10	—	2	11	15	3	39	April
6.6	6.0	4.8	5.8	—	—	—	—	59	17	27	8	8	—	—	1	3	4	10	2	5	7	—	10	11	11	3	44	Mai
5.5	5.7	5.3	5.5	—	—	—	—	127	23	20	15	14	—	—	4	1	7	11	1	4	8	1	1	11	13	—	51	Juni
6.5	5.0	4.9	5.5	2	—	—	2	102	33	1	16	14	—	—	1	8	4	4	1	5	5	—	13	10	14	1	44	Juli
7.5	5.4	6.1	6.3	6	—	—	6	139	28	11	13	13	—	—	5	8	3	8	2	5	2	2	9	18	12	—	43	August
8.4	4.6	3.3	5.4	12	—	—	12	51	26	21	6	6	—	—	15	4	6	—	3	6	1	2	8	9	—	61	September	
9.4	7.4	7.3	8.0	8	—	—	10	62	12	17	17	14	—	—	11	1	16	2	—	13	—	5	10	12	3	48	Oktober	
9.9	9.8	9.8	9.8	—	—	2	—	39	13	3	8	8	—	—	—	—	29	1	11	7	—	3	10	5	—	53	November	
8.4	7.4	8.1	8.0	—	—	—	—	89	17	13	13	12	2	—	4	1	16	—	7	7	5	18	9	5	1	41	Dezember	
7.8	6.7	6.2	6.9	42	—	3	45	1108	42	II	146	135	29	—	11	68	32	155	20	64	98	13	110	129	121	13	527	Jahr

Beobachter: Frau F. Rahm

Hallau

8.8	8.0	7.4	8.1	7	4	4	15	133	34	19	17	15	13	—	—	9	2	23	12	3	3	—	1	3	14	4	53	Januar
8.1	7.6	6.4	7.4	3	—	—	3	206	40	6	18	14	10	—	—	3	2	13	5	4	1	1	—	8	20	5	40	Februar
6.1	5.9	4.6	5.5	4	—	—	4	33	18	13	7	4	5	—	—	4	7	9	13	7	8	3	1	4	11	7	39	März
6.3	7.1	4.7	6.0	1	—	—	1	63	23	16	14	10	5	—	—	1	5	10	9	5	4	3	2	9	18	6	34	April
6.5	5.7	3.8	5.3	1	—	—	1	75	26	26	11	9	—	—	1	6	8	4	5	3	1	5	11	6	5	53	Mai	
5.1	5.5	4.9	5.2	2	—	—	2	89	16	10	14	14	—	—	2	7	7	6	2	5	3	4	11	8	5	46	Juni	
5.5	5.8	4.5	5.3	1	—	—	1	81	19	1	14	14	—	—	2	3	5	6	4	—	2	1	2	12	10	3	59	Juli
5.6	5.2	5.2	5.3	—	—	—	—	132	33	19	13	12	—	—	3	2	6	6	1	4	2	1	1	6	13	1	64	August
5.8	4.8	3.6	4.7	4	—	—	4	66	30	21	8	8	—	—	5	10	8	7	4	—	5	1	3	8	2	60	September	
8.5	6.7	5.7	7.0	6	1	3	10	56	11	12	14	13	—	—	7	2	11	9	5	—	4	1	6	13	—	55	Oktober	
9.7	9.7	9.3	9.6	2	—	—	2	40	10	3	9	7	—	—	2	—	27	3	13	3	6	2	3	1	1	58	November	
8.9	7.4	6.8	7.7	2	1	1	4	102	21	13	14	13	3	—	4	1	16	3	11	6	1	—	2	9	3	58	Dezember	
7.1	6.6	5.6	6.4	33	6	8	47	1076	40	II	153	133	36	—	7	43	53	144	76	63	37	29	20	78	131	42	619	Jahr

Beobachter: Th. Bächtold

Schaffhausen

8.7	8.2	7.5	8.1	4	1	3	8	106	23	19	17	15	13	—	1	5	1	21	6	—	—	—	—	16	5	4	62	Januar
8.1	8.1	6.4	7.5	1	1	—	2	147	30	7	18	14	11	—	—	1	1	14	3	—	—	—	25	5	3	48	Februar	
6.3	6.4	5.1	5.9	1	—	—	1	34	18	13	13	5	11	—	—	1	5	11	16	5	2	—	1	11	6	2	50	März
6.3	6.3	5.4	6.0	—	—	—	—	53	18	16	14	11	7	—	—	—	4	9	13	5	2	—	—	7	18	8	37	April
6.8	5.6	4.4	5.6	1	—	—	1	85	31	27	11	9	—	—	1	1	5	9	5	2	2	—	—	7	26	6	45	Mai
5.8	5.4	3.9	5.0	2	—	—	2	102	33	10	12	12	—	—	5	2	7	7	14	2	—	—	1	10	15	3	45	Juni
6.0	4.8	4.4	5.1	—	—	—	—	76	15	3	14	13	—	—	1	1	5	4	7	3	1	—	1	9	25	1	46	Juli
5.1	4.8	4.6	4.8	—	—	—	—	121	42	19	14	11	—	—	3	—	5	4	5	2	—	—	1	6	29	1	49	August
6.1	4.2	3.3	4.5	4	—	—	4	64	31	21	7	6	—	—	4	8	6	12	2	—	—	—	5	7	3	61	September	
8.7	7.1	6.8	7.5	7	—	—	7	69	13	31	16	12	—	—	7	2	15	11	3	1	—	—	11	9	2	56	Oktober	
9.8	9.4	9.5	9.6	2	—	—	2	50	16	3	7	7	—	—	2	—	27	12	1	—	—	—	2	2	—	73	November	
8.1	7.2	7.3	7.5	1	—	1	2	79	18	24	12	12	3	—	—	1	1	14	6	2	1	—	—	11	14	2	57	Dezember
7.1	6.5	5.7	6.4	23	2	4	29	986	42	VIII	155	127	45	1	11	25	44	141	110	27	9	—	4	120	161	35	629	Jahr

Lohn (Schaffhausen)

$\lambda = 8^{\circ}40'$, $\beta = 47^{\circ}45'$, $H_b = 643$ m, $G = 0.03$ mm, $h_r = 1.5$ m

1958	Luftdruck					Luft-Temperatur							Relative Feuchtigkeit						
	Mittel	Minimum Tag	Maximum Tag	7 ^{so}	13 ^{so}	21 ^{so}	Mittel	Minimum Tag	Maximum Tag	7 ^{so}	13 ^{so}	21 ^{so}	Mittel	Minimum Tag					
Januar	705.0	685.2	11	716.6	16	-2.5	-0.4	-1.6	-1.5	-8.8	31	6.5	6	92	86	90	89	64	27
Februar	704.4	689.3	25	718.5	3	0.9	3.4	2.0	2.1	-8.5	28	13.8	14	90	79	87	85	46	5
März	701.9	691.7	11	713.4	4	-2.2	3.0	-0.3	0.0	-8.1	23	13.3	29, 30	84	62	79	75	31	24
April	705.0	694.0	16	716.1	30	3.1	8.1	4.6	5.1	-3.4	11	17.1	21	84	58	74	72	33	2
Mai	707.6	694.4	16	716.0	1	12.7	17.0	13.4	14.1	5.4	16	22.9	9, 10	72	61	71	68	31	4
Juni	706.0	694.2	26	712.1	14	13.6	17.9	13.9	14.8	7.5	11	24.4	18	78	58	74	70	40	14
Juli	707.1	699.0	22	713.3	17	15.9	20.8	16.4	17.4	11.0	4	26.8	16	84	61	77	74	46	2
August	706.8	697.1	22	714.0	4	15.9	20.7	17.1	17.7	11.4	26	28.0	1	84	63	76	74	41	4
September	708.8	696.8	30	713.2	13	13.0	18.1	14.6	15.1	7.6	28	24.5	7	91	68	81	80	51	11
Oktober	709.9	694.8	1	719.3	23	6.5	9.7	7.4	7.7	-0.8	31	16.4	10	94	82	91	89	56	23
November	708.2	696.8	13	718.6	20	2.8	4.1	3.0	3.2	-1.2	30	8.2	3	96	92	96	95	74	1.2
Dezember	700.6	684.6	16	712.5	29	0.6	2.7	1.2	1.4	-8.9	4	9.1	17	90	82	88	87	47	19
Jahr	705.9	984.6	XII	719.3	X	6.7	10.4	7.6	8.1	-8.9	XII	28.0	VIII	87	71	82	80	31	III/IV

Oberes Aare- und Saanegebiet

Bern

$\lambda = 7^{\circ}26'$, $\beta = 46^{\circ}57'$, $H_b = 572.2$ m, $G = -0.04$ mm, $h_r = 1.5$ m

Januar	711.4	691.8	11	722.0	16	-1.9	0.7	-0.7	-0.7	-10.6	25	9.0	6	89	82	88	86	61	2.7
Februar	711.1	696.2	25	724.2	15	0.8	5.7	2.8	3.0	-8.2	2	16.1	14	87	70	80	79	28	5
März	707.6	697.8	11	718.1	4	-1.9	4.3	1.1	1.2	-8.2	1	14.7	29	87	63	75	75	32	2
April	710.6	700.8	16	720.2	30	3.1	8.8	5.6	5.8	-3.0	11	18.7	22	87	61	75	74	35	20
Mai	713.2	701.4	16	721.5	1	11.7	18.0	14.5	14.7	6.4	29	25.1	10	81	58	72	70	32	4
Juni	711.6	699.9	26	717.5	7, 8, 15	12.8	17.9	14.8	15.1	7.8	27	24.5	17	84	60	76	73	36	5
Juli	712.9	705.1	1	719.0	17	15.2	21.2	17.5	17.8	10.2	3	28.2	28	89	59	78	75	43	13
August	712.4	702.4	21	719.4	4	15.2	21.5	17.3	17.8	10.0	27	29.2	1	89	59	82	77	42	28
September	714.4	703.3	30	718.7	13	12.7	19.7	15.4	15.8	5.2	28	25.5	6	94	63	88	82	44	23
Oktober	716.1	701.4	1	724.1	24	6.9	10.2	7.8	8.2	1.0	24	18.0	10	94	81	92	89	56	18
November	713.8	703.5	13	724.2	20	2.7	4.4	3.3	3.4	-0.9	20	9.3	4	95	87	93	92	74	8
Dezember	706.6	689.4	13	718.8	29	1.1	3.0	1.6	1.8	-7.4	7	8.5	29	87	83	88	86	57	17
Jahr	711.8	689.4	XII	724.2	II/XI	6.5	11.3	8.4	8.7	-10.6	I	29.2	VIII	89	69	82	80	28	II

Fribourg

$\lambda = 7^{\circ}09'$, $\beta = 46^{\circ}48'$, $H_b = ca 677$ m, $G = -$ mm, $h_r = 1.5$ m

Januar	—	—	—	—	—	-2.2	0.7	-1.1	-0.9	-9.2	31	7.8	6	84	74	85	81	61	1
Februar	—	—	—	—	—	1.5	5.5	2.7	3.1	-10.0	2	16.4	14	81	63	75	73	33	5
März	—	—	—	—	—	-2.0	4.1	0.2	0.6	-9.1	1	14.0	29	84	61	76	74	43	2
April	—	—	—	—	—	3.1	8.0	4.7	5.1	-1.8	11	17.1	22	82	59	75	72	40	18, 32
Mai	—	—	—	—	—	11.9	18.1	13.6	14.3	4.2	16	25.4	11	74	53	70	66	31	3
Juni	—	—	—	—	—	12.7	18.1	13.9	14.6	7.5	27	23.9	2	77	56	74	69	40	5
Juli	—	—	—	—	—	15.4	21.2	16.7	17.5	9.3	3	26.4	15	79	55	74	69	44	4
August	—	—	—	—	—	15.3	21.2	16.4	17.3	10.7	27	28.3	1	79	56	79	71	45	8
September	—	—	—	—	—	13.1	19.3	14.6	15.4	5.0	27	24.7	6	84	59	82	75	42	24
Oktober	—	—	—	—	—	6.3	9.7	7.1	7.6	-0.2	30	18.3	10	88	72	88	83	50	18
November	—	—	—	—	—	1.8	4.2	2.6	2.8	-1.9	20	8.8	3	92	80	90	87	62	1
Dezember	—	—	—	—	—	1.1	3.3	1.6	1.9	-6.7	8	10.5	20	79	72	80	77	45	15
Jahr	—	—	—	—	—	6.5	11.1	7.8	8.3	-10.0	II	28.3	VIII	82	63	79	75	31	V

Langnau i. E.

$\lambda = 7^{\circ}47'$, $\beta = 46^{\circ}56'$, $H_b = 692$ m, $G = -$ mm, $h_r = 1.5$ m

Januar	—	—	—	—	—	-3.3	1.1	-1.8	-1.4	-12.6	22	10.1	6	88	77	90	85	54	2
Februar	—	—	—	—	—	0.4	5.6	1.3	2.2	-11.5	1	16.7	14	86	67	85	79	38	5
März	—	—	—	—	—	-2.5	4.9	-0.4	0.4	-10.5	1	14.2	29	87	61	85	78	47	div.
April	—	—	—	—	—	3.0	8.5	4.0	4.9	-2.4	11	17.1	21	85	61	83	76	42	21, 22
Mai	—	—	—	—	—	12.0	18.3	12.3	13.7	5.1	16	25.4	11	81	58	82	74	36	3
Juni	—	—	—	—	—	13.3	18.2	13.2	14.5	7.6	27	25.6	2	79	57	85	74	41	2, 17
Juli	—	—	—	—	—	15.5	21.6	15.6	17.1	10.2	3	27.7	15	82	56	87	75	45	13
August	—	—	—	—	—	14.9	21.5	15.7	17.0	9.4	27	30.2	1	86	58	89	78	41	1
September	—	—	—	—	—	12.1	19.6	13.2	14.5	5.3	28	25.3	6	91	61	91	81	44	24
Oktober	—	—	—	—	—	6.1	10.4	6.6	7.4	-0.2	24	19.4	10	94	73	95	87	50	13
November	—	—	—	—	—	1.9	4.7	2.7	3.0	-3.6	20	9.4	8	94	79	94	89	56	1
Dezember	—	—	—	—	—	-0.1	3.1	0.6	1.0	-9.6	8, 6	8.0	20	87	77	88	84	53	10
Jahr	—	—	—	—	—	6.1	11.5	6.9	7.9	-12.6	I	30.2	VIII	87	65	88	80	36	V

Lohn (Schaffhausen)

Beobachter: W. Sonderegger

Bewölkung				Termine mit Nebel				Niederschlag		Zahl der Tage										Windverteilung										1958
7 ³⁰	13 ³⁰	21 ³⁰	Mittel	7 ³⁰	13 ³⁰	21 ³⁰	Total	Summe	Maximum Tag	*	≥10	*	▲	□	≡	beiter	trüb	N	NE	E	SE	S	SW	W	NW	Calmen				
8.6	7.8	6.6	7.7	5	5	1	11	130	31	19	15	12	12	—	—	7	2	17	3	14	1	—	2	4	20	7	42	Januar		
8.4	8.1	5.6	7.4	4	1	2	7	130	30	6	13	11	9	—	—	4	1	15	3	2	2	1	1	12	29	3	31	Februar		
6.9	7.1	4.9	6.3	—	—	—	—	31	16	13	11	6	10	—	—	4	12	2	27	10	—	2	5	13	7	27	März			
6.8	7.1	4.5	6.1	—	—	—	—	50	13	16	12	10	6	—	—	4	10	10	22	9	4	2	6	15	10	12	April			
6.9	6.6	3.4	5.6	2	—	1	3	79	26	27	11	10	—	—	1	3	4	9	4	13	7	2	1	19	18	12	17	Mai		
5.7	6.5	5.6	5.9	1	—	—	1	102	27	10	12	11	—	—	4	1	7	10	2	13	12	3	—	7	23	11	19	Juni		
5.9	5.4	4.6	5.3	1	—	—	1	71	10	24	15	14	—	—	1	1	5	6	6	12	4	1	2	18	25	3	22	Juli		
6.2	5.9	5.4	5.8	—	—	—	—	100	40	19	12	11	—	—	3	—	3	5	8	10	12	9	3	10	26	4	11	August		
5.4	5.0	2.9	4.4	5	—	—	—	71	27	21	9	7	—	—	2	5	12	7	5	27	12	5	1	10	11	1	18	September		
8.0	7.2	6.4	7.2	13	—	2	15	54	8	12	16	12	—	—	13	3	17	1	15	7	2	—	8	13	11	36	Oktober			
9.8	9.5	9.7	9.7	11	7	10	28	45	12	3	8	7	—	—	15	—	27	1	21	6	2	—	2	4	2	52	November			
8.2	7.5	6.1	7.3	2	3	3	8	89	20	24	15	11	3	—	—	8	1	15	4	13	2	2	4	18	15	1	34	Dezember		
7.2	7.0	5.5	6.6	44	16	19	79	952	40	VIII	149	122	40	—	11	57	46	150	49	189	84	31	18	119	212	72	321	Jahr		

Oberes Aare- und Saanegebiet

Beobachter: Meteorologisches Observatorium

Bern

8.7	7.9	7.9	8.2	4	2	3	9	77	16	6	14	11	10	—	—	5	2	21	5	14	4	10	1	19	11	1	28	Januar
8.5	7.9	7.5	8.0	1	—	2	3	106	18	17	17	15	7	—	—	5	1	16	5	5	3	8	10	23	7	2	21	Februar
6.0	6.8	6.1	6.3	1	—	1	2	57	14	13	12	10	10	—	—	5	4	13	13	21	6	11	2	16	7	—	17	März
7.5	7.1	6.9	7.2	—	—	—	—	66	18	16	15	12	8	—	—	—	3	14	7	26	2	11	3	14	4	2	21	April
7.0	6.9	5.9	6.6	1	—	—	1	105	65	27	7	6	—	—	1	3	3	13	14	12	2	13	2	16	10	3	21	Mai
6.1	6.1	5.8	6.0	—	—	—	—	151	42	10	15	12	—	—	2	1	4	8	4	15	3	19	1	18	11	4	15	Juni
5.5	5.6	5.8	5.6	—	—	—	—	98	15	2	16	12	—	—	2	1	4	6	11	16	3	18	3	15	16	1	10	Juli
5.3	5.5	7.3	6.0	—	—	—	—	158	42	6	13	11	—	—	4	—	2	8	6	13	4	14	11	7	16	7	15	August
7.0	5.7	4.5	5.7	2	—	—	2	73	38	21	5	4	—	—	1	6	4	8	7	20	3	7	6	11	12	4	20	September
9.3	7.5	6.5	7.8	1	—	—	1	101	19	1	16	14	—	—	1	10	—	15	11	8	6	9	—	15	15	1	28	Oktober
9.6	9.4	9.7	9.6	3	1	3	7	41	13	3	9	9	1	—	—	11	—	27	14	17	4	7	1	—	8	—	39	November
8.4	7.7	8.2	8.1	2	2	4	8	69	17	24	11	7	4	—	—	5	1	18	9	7	6	14	1	15	12	—	29	Dezember
7.4	7.0	6.8	7.1	15	5	13	33	1102	65	V	150	123	40	—	11	52	28	167	106	174	46	141	41	169	129	25	264	Jahr

Beobachter: Frau P. Guckel

Fribourg

8.8	8.0	8.6	8.5	4	4	4	12	65	12	20	12	11	9	—	—	6	1	21	—	4	3	1	1	22	4	—	58	Januar	
8.9	7.3	7.9	8.0	2	—	2	4	70	15	17	18	15	9	—	—	1	3	—	16	—	8	—	—	2	36	7	—	31	Februar
6.4	6.5	7.3	6.7	2	—	1	3	49	12	17	13	11	11	—	—	3	3	16	2	12	3	—	—	15	5	2	54	März	
7.3	6.6	7.3	7.1	1	—	—	1	71	23	16	14	12	9	—	—	1	4	16	4	18	4	—	2	18	6	2	36	April	
6.9	7.1	6.2	6.7	1	—	—	1	73	35	27	7	6	—	—	—	2	4	14	5	13	3	1	10	34	4	1	22	Mai	
6.2	6.2	5.1	5.8	—	—	—	—	129	34	10	14	13	—	—	2	1	4	11	5	16	1	2	12	23	6	6	19	Juni	
4.9	5.8	5.5	5.4	1	—	—	1	104	23	16	14	13	—	—	6	1	5	7	5	13	4	—	7	28	9	4	23	Juli	
4.4	4.4	6.7	5.2	—	—	—	—	121	35	6	12	11	—	—	6	—	5	3	3	17	1	—	8	40	3	5	16	August	
7.1	5.6	5.6	6.1	2	—	—	2	100	41	21	7	6	—	—	1	6	5	10	8	14	—	1	7	18	6	6	30	September	
8.3	7.0	7.4	7.6	9	1	5	15	115	23	12	17	15	—	—	1	10	1	17	1	7	2	4	7	18	9	2	43	Oktober	
9.7	9.1	9.5	9.4	8	3	1	12	45	13	3	11	8	1	—	—	13	—	26	—	13	1	—	4	4	1	—	67	November	
8.9	8.4	8.7	8.7	4	1	4	9	49	11	11	7	7	1	—	—	7	1	22	—	10	—	2	3	24	1	1	52	Dezember	
7.3	6.8	7.2	7.1	34	9	17	60	991	41	IX	146	128	40	—	17	53	33	179	33	145	22	11	63	280	61	29	451	Jahr	

Beobachter: Frl. R. Zbinden

Langnau i. E.

7.4	7.0	8.1	7.2	—	2	4	6	91	14	12	12	10	9	—	—	4	4	18	—	—	18	1	—	3	18	—	53	Januar	
8.0	7.3	6.9	7.4	1	—	—	1	150	29	17	18	17	10	—	—	1	1	13	1	1	21	2	1	5	19	3	31	Februar	
6.6	7.8	5.9	6.8	3	—	1	4	71	15	13	12	11	11	—	—	4	4	13	1	1	30	1	3	3	14	1	39	März	
7.8	7.7	6.8	7.4	—	—	—	—	117	38	15	15	13	11	—	—	1	—	4	17	3	1	28	1	1	1	21	3	31	April
7.1	7.7	5.4	6.7	—	—	—	—	91	32	27	10	8	1	—	—	1	1	5	15	1	—	17	—	—	2	28	3	42	Mai
6.9	7.1	6.9	7.0	—	—	—	—	176	62	10	14	11	—	—	5	1	5	14	1	2	18	—	2	3	26	2	36	Juni	
6.2	7.5	6.1	6.6	—	—	—	—	129	24	2	17	14	—	—	1	3	—	8	2	2	20	—	—	3	23	—	43	Juli	
6.2	6.8	6.9	6.6	—	—	—	—	206	47	6	15	13	—	—	5	—	2	12	—	—	21	—	3	6	22	—	41	August	
7.0	6.1	3.8	5.6	3	—	—	3	115	49	21	8	7	—	—	2	3	6	11	—	1	25	1	2	5	20	2	34	September	
8.3	7.7	7.4	7.8	4	—	1	5	133	29	12	17	16	1	—	—	1	5	2	20	1	—	22	5	—	8	11	—	46	Oktober
9.6	9.4	9.6	9.5	4	1	2	7	47	19	3	9	7	—	—	—	5	—	26	1	2	16	2	1	1	3	—	64	November	
8.4	7.1	7.4	7.6	2	—	2	4	63	17	24	11	11	7	—	—	6	1	18	—	—	20	5	3	8	10	1	46	Dezember	
7.5	7.4	6.8	7.2	17	3	10	30	1389	62	VI	158	138	50	1	18	30	36	185	11	10	256	18	16	48	215	15	506	Jahr	

Beatenberg

$\lambda = 7^\circ 48', \beta = 46^\circ 42', H_b = 1183 \text{ m}, G = -0.16 \text{ } \text{‰}, h_r = 1.5 \text{ m}$

1958	Luftdruck					Luft-Temperatur						Relative Feuchtigkeit							
	Mittel	Minimum Tag		Maximum Tag		7 ³⁰	13 ³⁰	21 ³⁰	Mittel	Minimum Tag	Maximum Tag	7 ³⁰	13 ³⁰	21 ³⁰	Mittel	Minimum Tag			
Januar	659.0	640.7	11	668.8	27	-2.9	1.4	-1.7	-1.2	-12.0	21	7.3	29	82	73	80	78	32	25
Februar	659.6	645.9	26	673.2	14.15	0.9	5.0	1.2	2.1	-9.7	18	16.1	13	79	68	76	74	31	5
März	655.5	644.6	11	665.6	4	-3.6	2.0	-2.4	-1.6	-12.3	22	11.9	29	85	71	87	81	48	5
April	659.1	649.6	16	669.2	30	0.9	5.6	0.9	2.1	-6.1	11	14.0	21	87	73	90	83	40	3
Mai	663.4	651.2	16	669.7	7	11.2	15.3	9.9	11.6	1.3	16	24.1	11	77	67	79	74	37	10
Juni	661.9	651.0	26	667.6	1	11.1	14.9	10.0	11.5	4.6	27	22.5	2	85	73	88	82	50	1
Juli	663.6	655.5	22	669.0	17	13.8	18.4	13.1	14.6	5.2	3	25.4	15	85	72	89	82	53	13
August	663.3	652.6	21	669.4	2	13.6	18.7	13.5	14.8	8.4	19	28.0	1	86	73	86	82	51	29
September	664.7	652.9	30	669.2	13	12.2	17.6	12.1	13.5	4.3	27	25.1	5	86	73	88	82	53	14
Oktober	665.0	650.7	1	671.5	23	5.0	9.0	5.4	6.2	-2.3	23	17.4	9	85	80	86	84	47	29
November	662.0	651.8	13	671.2	20	1.2	4.2	1.5	2.1	-3.1	30	11.4	24	87	84	90	87	46	19
Dezember	655.1	639.8	13	667.5	29	0.0	3.3	0.6	1.1	-9.3	4	11.2	31	77	73	75	75	30	31
Jahr	661.0	639.8	XII	673.2	II	5.3	9.6	5.3	6.4	-12.3	III	28.0	VIII	83	73	84	80	30	XII

Beatenberg: Stationsverlegung und Beobachterwechsel am 1. Januar.

Interlaken

$\lambda = 7^\circ 52', \beta = 46^\circ 41', H_b = 574 \text{ m}, G = -0.10 \text{ } \text{‰}, h_r = 1.5 \text{ m}$

Januar	711.7	690.8	11	722.4	16	-2.3	1.6	-1.9	-1.1	-11.3	25	7.8	27	89	76	90	85	50	25
Februar	711.3	696.0	25	725.2	15	-0.1	4.7	0.6	1.5	-9.0	4	15.2	14	94	75	90	86	45	15
März	707.3	697.1	11	717.6	4	-2.3	4.8	0.4	0.8	-8.9	2	15.8	29	90	65	85	80	45	8.29
April	710.4	700.9	16	720.7	30	2.6	9.5	4.7	5.4	-2.2	12	19.4	22	94	64	82	80	34	3
Mai	713.1	701.1	16	721.1	1	11.3	18.6	13.0	14.0	5.6	16	26.0	11	89	58	77	75	34	4
Juni	711.5	700.2	26	717.1	15	12.9	19.2	14.1	15.1	9.6	27	25.7	17	89	58	84	77	41	16.17
Juli	712.8	704.5	22	718.6	8	14.9	21.9	16.5	17.4	9.9	3	27.8	31	93	61	89	81	50	13
August	712.3	702.5	22	719.2	4	14.0	22.0	16.2	17.1	7.2	27	28.9	10	94	61	88	81	49	9
September	714.0	702.1	30	719.3	13	11.5	20.4	14.0	15.0	3.5	27.28	25.8	6	95	60	91	82	44	30
Oktober	715.8	701.0	1	723.8	24	5.9	10.8	6.9	7.6	-1.1	31	18.2	10	95	75	94	88	51	23
November	713.6	703.6	13	723.5	20	2.1	5.3	2.6	3.1	-2.0	19	9.3	5	94	82	94	90	56	2.17
Dezember	706.3	690.0	13	718.9	29	0.7	4.3	1.7	2.1	-5.3	7	13.1	19	89	76	86	84	38	19
Jahr	711.7	690.0	XII	725.2	II	5.9	11.9	7.4	8.2	-11.3	I	28.9	VIII	92	68	87	82	34	IV/V

Interlaken: Beobachterwechsel und Verlegung der Station von Unterseen nach Interlaken am 1. Januar.

Meiringen

$\lambda = 8^\circ 11', \beta = 46^\circ 44', H_b = 604.7 \text{ m}, G = -0.11 \text{ } \text{‰}, h_r = 1.5 \text{ m}$

Januar	708.8	688.2	11	719.7	16	-3.2	0.9	-2.4	-1.8	-11.8	22.25	7.4	11	89	76	91	86	37	11
Februar	708.9	694.6	25	722.4	15	0.1	4.9	1.3	1.9	-9.0	1.2	14.8	14	92	69	84	82	32	10
März	705.1	694.3	11	715.9	4	-2.4	5.0	0.3	0.8	-8.9	23	15.4	31	92	60	85	79	37	9
April	708.1	698.7	14	717.8	30	1.9	11.1	5.3	5.9	-3.6	12	19.8	22	91	56	80	76	34	21
Mai	710.7	699.8	16	719.2	1	12.4	17.8	15.5	15.3	6.1	1	23.4	11	82	62	73	72	35	5
Juni	709.3	697.4	26	714.8	15	13.5	18.3	15.7	15.8	9.7	25	25.4	30	86	65	81	77	44	26
Juli	710.6	702.3	22	716.4	8.17	14.6	21.6	15.7	16.9	10.4	3	29.0	15	92	61	90	81	46	19
August	710.3	699.3	21	716.9	4	13.7	21.3	16.3	16.9	6.8	27	29.9	1	93	62	88	81	41	14
September	711.7	698.6	30	717.3	12	11.8	19.9	14.4	15.1	4.7	28	26.2	6	94	62	89	82	35	30
Oktober	713.7	698.2	1	721.5	24	6.0	10.4	6.8	7.5	-1.6	29	19.5	4	94	74	95	88	46	4
November	711.4	700.4	13	721.3	20	1.4	4.5	2.3	2.6	-4.5	30	8.6	3	95	80	92	86	49	2
Dezember	703.7	685.7	20	716.4	29	0.4	3.4	1.4	1.6	-7.8	6.7	13.4	19	87	75	81	81	28	22
Jahr	709.4	685.7	XII	722.4	II	5.8	11.6	7.7	8.2	-11.8	I	29.9	VIII	90	67	86	81	28	XII

Guttannen

$\lambda = 8^\circ 18', \beta = 46^\circ 39', H_b = 1058 \text{ m}, G = -0.18 \text{ } \text{‰}, h_r = 1.5 \text{ m}$

Januar	669.5	651.8	11	679.8	27	-3.5	-1.5	-3.2	-2.9	-8.6	25	5.6	5	84	80	85	83	51	22
Februar	669.9	656.5	26	683.7	14	0.0	3.0	0.4	1.0	-12.4	28	12.0	13	85	76	80	80	46	13
März	665.8	655.3	11	676.4	4	-3.6	1.4	-2.2	-1.6	-11.8	1	9.4	31	88	73	88	83	43	24
April	669.4	659.8	16	679.7	30	0.9	5.7	2.1	2.7	-5.4	12	12.4	22	89	70	87	82	50	24
Mai	673.4	661.9	16	680.0	1	10.4	15.7	11.8	12.4	3.2	1	21.8	10	75	63	75	71	40	4
Juni	671.8	662.1	26	677.6	7	10.6	15.9	12.5	12.9	6.4	14	22.6	2	89	67	84	80	41	1
Juli	673.5	665.4	22	678.7	17	13.3	18.8	15.1	15.6	8.4	3	27.0	15	91	69	89	83	45	13
August	673.3	662.6	21	679.0	3	13.1	18.8	15.2	15.6	7.4	27	27.4	1	89	69	85	81	40	10
September	674.8	664.4	30	679.4	13	11.4	17.1	12.7	13.5	3.8	27	23.2	5	92	71	89	84	46	14
Oktober	675.2	660.7	1	682.6	23.24	4.8	7.6	5.6	5.9	-1.2	24	18.6	10	95	85	92	91	50	10
November	672.2	661.5	13	681.7	20	0.9	2.4	1.3	1.5	-3.4	30	12.0	25	93	89	92	91	54	18
Dezember	665.6	650.7	14	677.7	29	-0.2	1.6	0.4	0.5	-8.0	7	8.8	19	82	78	80	80	36	30
Jahr	671.2	650.7	XII	683.7	II	4.8	8.9	6.0	6.4	-12.4	II	27.4	VIII	88	74	85	82	36	XII

Grimsel (Hospiz)

$\lambda = 8^{\circ} 20', \beta = 46^{\circ} 34', H_b = 1958.8^m, G = -0.27 \text{ } ^m_m, h_r = 1.5^m$

1958	Luftdruck				Luft-Temperatur								Relative Feuchtigkeit						
	Mittel	Minimum Tag	Maximum Tag		7 ^{so}	13 ^{so}	21 ^{so}	Mittel	Minimum Tag	Maximum Tag	7 ^{so}	13 ^{so}	21 ^{so}	Mittel	Minimum Tag				
Januar	610.0	584.4	12	608.5	27	-6.7	-5.2	-7.1	-6.5	-17.7	21	1.6	28	70	68	70	69	25	29
Februar	599.6	582.0	27	613.8	14	-4.6	-2.5	-4.3	-3.9	-16.1	28	3.6	14	76	75	76	76	35	1
März	595.3	585.1	11	604.5	4	-7.8	-4.0	-6.8	-6.4	-17.2	10	3.5	29	80	70	82	77	28	24
April	599.1	590.2	16	609.9	30	-4.8	-1.4	-3.6	-3.4	-11.2	11	5.1	22	83	73	85	80	30	24
Mai	605.4	592.7	16	610.2	1	4.0	7.3	4.7	5.2	-2.4	17	10.7	10	72	54	72	66	33	5.2 ^{so}
Juni	603.6	594.2	27	608.9	15	4.9	9.5	6.2	6.7	-0.4	27	15.6	19	78	58	82	73	33	6
Juli	605.9	598.0	22	611.6	31	7.8	12.4	9.3	9.7	0.5	3	18.6	13	77	62	80	73	36	26
August	605.9	595.8	22	610.8	1	8.3	13.2	9.8	10.3	3.5	26	21.3	1	73	58	75	69	25	27
September	607.0	598.4	30	611.9	13	7.0	11.6	8.5	8.9	1.0	27	16.9	6	75	58	75	69	26	29
Oktober	605.7	594.2	1	612.6	24	1.6	4.2	2.0	2.5	-7.3	22	13.8	9	75	67	74	72	28	28
November	602.7	592.3	13	611.0	20	-1.3	0.5	-1.0	-0.7	-7.3	2	4.6	27	74	66	71	70	33	20
Dezember	596.4	582.3	14	606.9	20, 30	-4.7	-3.3	-4.6	-4.3	-12.4	26	2.4	31	74	73	77	75	28	31
Jahr	603.0	582.0	II	613.8	II	0.3	3.5	1.1	1.5	-17.7	I	21.3	VIII	76	65	77	72	25	I VIII

Jungfrauoch (Sphinx)

$\lambda = 7^{\circ} 59', \beta = 46^{\circ} 33', H_b = 3577.8^m, G = -0.39 \text{ } ^m_m, h_r = -^m$

Januar	485.4	469.8	12	495.9	27	-13.7	-11.0	-13.0	-12.7	-28.0	21	2.4	17	71	62	69	67	19	16
Februar	486.9	473.8	26	501.1	15	-12.3	-12.1	-13.0	-12.6	-27.8	19	-3.2	13	85	81	81	82	18	3
März	482.0	470.0	11	490.8	5	-16.4	-15.3	-16.3	-16.1	-29.4	12	-6.0	25	75	79	82	79	16	24
April	485.9	478.1	16	498.4	30	-14.3	-12.8	-13.6	-13.6	-22.8	11	-5.0	30	82	81	83	82	8	25
Mai	494.7	481.6	16	500.4	9	-4.3	-3.2	-4.1	-3.9	-12.6	17	1.8	11	75	82	87	81	16	29.31
Juni	493.4	483.1	27	498.5	15	-4.4	-2.8	-3.7	-3.7	-11.4	27	2.8	30	69	75	84	76	6	14
Juli	496.6	488.5	22	503.9	31	-1.4	+0.1	-0.4	-0.5	-7.6	25	5.0	18.31	75	81	87	81	8	17
August	496.9	486.6	22	503.4	1	-0.3	1.1	0.3	0.4	-7.8	8	8.0	30	79	77	84	80	10	26
September	497.4	487.6	30	502.5	13	-1.4	0.1	-0.8	-0.7	-11.0	23	4.8	6	67	66	71	68	4	27
Oktober	494.1	483.7	16	501.6	9	-7.0	-5.8	-6.9	-6.7	-18.2	16.17	1.2	8	72	77	78	76	16	3
November	490.5	481.4	13	498.4	20	-9.4	-8.5	-9.7	-9.3	-18.4	1	-4.6	22	83	81	82	82	16	2
Dezember	484.2	471.8	14	495.4	30	-12.1	-11.8	-11.9	-11.9	-17.6	12	-3.4	31	74	70	70	71	9	26
Jahr	490.7	469.8	I	503.9	VII	-8.1	-6.8	-7.8	-7.6	-29.4	III	8.0	VIII	76	76	80	77	4	IX

Südwestschweiz

Genève

$\lambda = 6^{\circ} 09', \beta = 46^{\circ} 12', H_b = 405.0^m, G = -0.05 \text{ } ^m_m, h_r = 1.5^m$

Januar	727.0	706.6	11	737.1	16	0.9	2.4	1.4	1.5	-4.6	23	11.1	6	81	75	81	79	50	21
Februar	726.8	711.5	25	739.4	15	3.5	6.9	5.6	5.4	-5.3	3	14.9	10	78	65	70	71	26	5
März	722.6	712.5	11	732.7	4	1.3	5.6	3.9	3.7	-3.8	12	13.8	30	78	59	68	68	36	7
April	725.6	716.3	14	734.7	30	5.1	9.2	7.8	7.5	0.3	11	15.6	21.22	77	56	63	65	34	19
Mai	727.9	717.3	16	736.3	1	13.2	18.6	15.7	15.8	7.2	16	27.3	10	73	52	66	64	32	23
Juni	726.2	714.3	26	732.7	15	14.3	18.9	16.5	16.6	9.6	27	26.4	17	72	55	66	64	33	15
Juli	727.4	720.2	1	733.0	17	17.2	22.4	19.4	19.6	12.3	3	29.8	28	76	52	66	65	38	13.20
August	726.9	716.8	21	733.7	4	16.9	22.2	19.1	19.3	11.9	24	30.0	1	76	55	72	68	35	8
September	728.7	717.1	30	733.5	13	14.8	20.6	17.3	17.5	8.1	28	26.4	6	83	58	76	72	38	23
Oktober	731.1	715.1	1	738.9	24	8.2	11.3	9.3	9.5	3.3	29	18.7	15	83	67	79	76	46	13
November	728.8	718.4	13	739.2	20	4.7	6.4	5.4	5.5	1.1	30	10.8	4	81	73	78	77	40	1
Dezember	721.7	703.8	13	734.2	29	3.4	5.6	4.2	4.4	-2.9	8	12.2	18	81	74	79	78	50	18
Jahr	726.7	703.8	XII	739.4	II	8.6	12.5	10.5	10.5	-5.3	II	30.0	VIII	78	62	72	71	26	II

Lausanne

$\lambda = 6^{\circ} 39', \beta = 46^{\circ} 32', H_b = 589.0^m, G = -0.06 \text{ } ^m_m, h_r = 1.5^m$

Januar	710.3	690.7	11	720.2	29	0.1	2.2	0.3	0.7	-5.2	25	7.0	6	88	83	90	87	58	3
Februar	710.3	695.0	25	722.6	15	2.6	6.2	4.2	4.3	-6.4	28	16.8	14	86	74	80	80	40	5.13
März	706.3	695.9	11	716.0	4	0.3	6.1	2.1	2.7	-5.4	1	16.4	30	86	66	76	76	45	22
April	709.4	700.2	16	717.7	30	4.6	9.9	6.3	6.8	-1.3	11	20.1	22	83	66	73	74	41	21
Mai	712.1	701.4	16	718.6	1.18	12.9	18.7	14.7	15.3	5.6	16	24.8	10	77	58	70	68	33	3
Juni	710.6	698.6	26	716.0	15	13.5	18.7	15.0	15.5	9.4	27	24.6	17	78	62	71	70	40	5
Juli	711.7	704.6	22	716.7	17	16.1	22.0	17.7	18.4	11.2	3	28.5	31	83	59	76	73	46	12
August	711.3	701.4	21	716.8	4	16.3	22.5	17.2	18.3	12.0	24	30.6	1	84	57	77	73	43	1.4.9
September	713.1	701.8	30	717.0	13	15.0	21.2	15.9	17.0	8.8	27	27.0	15	86	59	82	76	43	26
Oktober	714.8	699.4	1	721.8	24	7.9	11.6	8.3	9.0	1.6	24	18.4	3	87	71	85	81	41	18
November	712.4	702.2	13	722.1	20	3.5	6.2	4.2	4.5	0.9	17.21	10.9	1	88	75	86	83	46	1
Dezember	705.5	689.2	16	717.5	29	2.4	5.3	2.9	3.4	-5.0	6	12.3	20	82	70	82	78	45	18
Jahr	710.6	689.2	XII	722.6	II	7.9	12.6	9.1	9.7	-6.4	II	30.6	VIII	84	67	79	77	33	V

Grimsel (Hospiz)

Beobachter: Grimselwärter

Table with 28 columns: Bewölkung (730, 1330, 2130, Mittel), Termine mit Nebel (730, 1330, 2130, Total), Niederschlag (Summe, Maximum Tag), Zahl der Tage (various weather symbols), Windverteilung (N, NE, E, SE, S, SW, W, NW, Calmen), and 1958 (Month, Days). Rows for Jan to Dec and Year total.

Jungfraujoch (Sphinx)

Beobachter: Jungfrauabahn

Table with 28 columns: Same structure as Grimsel table. Rows for Jan to Dec and Year total.

Südwestschweiz

Genève

Beobachter: Observatoire

Table with 28 columns: Same structure as previous tables. Rows for Jan to Dec and Year total.

Lausanne

Beobachter: A. George

Table with 28 columns: Same structure as previous tables. Rows for Jan to Dec and Year total.

Montreux-Clarens

$\lambda = 6^{\circ} 54', \beta = 46^{\circ} 27', H_b = 408^m, G = -0.06 \frac{m}{m}, h_r = 1.5^m$

1958	Luftdruck					Luft-Temperatur							Relative Feuchtigkeit						
	Mittel	Minimum Tag	Maximum Tag	7 ³⁰	13 ³⁰	21 ³⁰	Mittel	Minimum Tag	Maximum Tag	7 ³⁰	13 ³⁰	21 ³⁰	Mittel	Minimum Tag					
Januar	726.0	706.1	11	736.2	30	0.0	3.4	0.7	1.2	-6.8	25	8.8	7	—	—	—	—	—	—
Februar	726.2	711.4	25	738.4	14	3.3	6.7	4.9	5.9	-5.0	28	16.0	14	—	—	—	—	—	—
März	721.9	711.7	11	732.3	4	0.7	6.0	3.4	3.4	-5.0	1	15.2	30	—	—	—	—	—	—
April	725.0	715.6	16	734.0	30	5.2	9.7	7.6	7.5	0.0	11	16.4	22	—	—	—	—	—	—
Mai	727.5	716.2	16	736.4	1	13.7	17.9	15.4	15.6	7.0	16	24.0	10.11	—	—	—	—	—	—
Juni	725.8	713.6	26	731.9	8.15	14.7	19.0	16.2	16.5	11.0	27	24.0	13.19	—	—	—	—	—	—
Juli	727.0	719.2	1	733.2	17	17.2	22.0	19.1	19.3	11.3	3	28.6	30	—	—	—	—	—	—
August	726.5	716.1	21	733.2	4	17.3	22.7	18.6	19.3	13.6	24	28.8	1	—	—	—	—	—	—
September	728.2	716.7	30	732.9	13	15.0	21.2	16.8	17.4	7.8	27	25.8	8	—	—	—	—	—	—
Oktober	730.5	714.5	1	738.4	24	8.1	12.4	9.1	9.7	1.8	23	18.0	3.11	—	—	—	—	—	—
November	728.2	717.5	13	738.7	20	3.7	7.2	5.0	5.2	-0.6	30	11.0	7	—	—	—	—	—	—
Dezember	721.2	702.7	13	733.9	29	3.0	6.2	4.0	4.3	-5.0	8	14.8	19	—	—	—	—	—	—
Jahr	726.2	702.7	XII	738.7	XI	8.5	12.9	10.1	10.4	-6.8	I	28.8	VIII	—	—	—	—	—	—

Leysin

$\lambda = 7^{\circ} 00', \beta = 46^{\circ} 21', H = 1350^m, G = - \frac{m}{m}, h_r = 1.5^m$

Januar	—	—	—	—	—	-2.4	-0.3	-2.1	-1.7	-10.2	21	6.4	28	69	66	72	69	34	1
Februar	—	—	—	—	—	0.7	3.2	1.0	1.5	-11.2	28	11.4	13	69	61	65	65	25	5
März	—	—	—	—	—	-2.5	1.1	-1.8	-1.3	-10.4	12	9.4	29	69	65	73	69	30	24
April	—	—	—	—	—	1.2	4.6	1.3	2.1	-6.0	11	13.0	22	73	63	71	69	39	3
Mai	—	—	—	—	—	10.7	14.2	10.5	11.5	0.6	16	21.2	11	63	59	63	62	32	8
Juni	—	—	—	—	—	10.8	14.0	10.6	11.5	3.6	27	20.2	2	69	64	68	67	36	2
Juli	—	—	—	—	—	13.8	16.8	13.4	14.4	5.8	3	23.0	28	74	69	72	72	39	13
August	—	—	—	—	—	14.2	17.6	13.9	14.9	7.6	23	27.0	29	70	64	70	68	29	29
September	—	—	—	—	—	12.6	15.3	12.3	13.1	5.8	28.27	19.6	14	71	71	72	71	37	29
Oktober	—	—	—	—	—	5.8	8.0	5.9	6.4	-1.6	23	16.0	9.10	71	71	69	70	30	29
November	—	—	—	—	—	2.3	4.7	2.5	3.0	-2.0	2	9.4	23	74	69	74	72	36	21.20
Dezember	—	—	—	—	—	0.6	2.2	0.6	1.0	-5.0	3.4	10.3	31	65	65	68	66	16	31
Jahr	—	—	—	—	—	5.6	8.4	5.7	6.4	-10.4	III	27.0	VIII	70	66	70	68	16	XII

Grand-St-Bernard

$\lambda = 7^{\circ} 10', \beta = 45^{\circ} 52', H_b = 2478.7^m, G = -0.34 \frac{m}{m}, h_r = 6.0^m$

Januar	559.4	544.0	12	569.5	27	-8.7	-7.5	-8.6	-8.4	-19.0	21	-0.4	30	76	74	77	76	22	30
Februar	560.8	544.7	26	574.9	14	-6.6	-5.1	-6.7	-6.3	-18.4	19	-4.0	15	83	79	82	81	24	4
März	555.8	544.6	11	564.3	4	-10.1	-7.7	-9.3	-9.1	-20.0	12	0.2	26	83	81	83	82	23	23
April	559.5	550.5	16	570.8	30	-7.1	-4.9	-6.8	-6.4	-14.8	11	2.4	30	*79	*72	*85	*79	—	—
Mai	567.0	553.8	16	572.6	9	2.2	4.6	2.6	3.0	-5.0	17	10.4	10	80	75	84	80	33	19
Juni	565.4	555.4	27	570.8	15	2.8	5.3	3.0	3.5	-3.2	27	12.2	29	80	70	90	80	43	29
Juli	568.1	560.1	22	574.8	31	6.5	9.2	6.8	7.3	-1.6	3	16.6	31	77	69	85	77	41	2.12
August	568.1	558.1	22	574.4	1	7.9	10.5	7.7	8.5	0.0	19	19.2	28	71	65	77	71	31	27
September	569.0	560.1	30	574.0	13	6.0	9.0	6.1	6.8	-3.0	26	14.0	5	70	66	80	72	15	27
Oktober	567.0	555.9	1	576.1	24	-1.0	1.0	-0.6	-0.3	-9.0	19	9.6	9	76	79	81	79	35	21.26
November	563.4	552.2	13	571.8	20	-4.4	-2.8	-4.0	-3.8	-9.0	2	0.3	23	81	78	82	80	25	6
Dezember	557.0	543.5	14	568.1	29	-6.8	-6.0	-7.0	-6.7	-14.0	3	1.0	31	73	75	73	74	19	2
Jahr	563.4	543.5	XII	576.1	X	-1.6	0.5	-1.4	-1.0	-20.0	III	19.2	VIII	77	74	82	78	15	IX

Sion

$\lambda = 7^{\circ} 22', \beta = 46^{\circ} 14', H_b = 548.6^m, G = -0.14 \frac{m}{m}, h_r = 2.0^m$

Januar	714.7	697.2	11	724.5	16	-2.2	1.5	-1.2	-0.8	-8.4	25	6.8	27	80	66	80	75	43	22
Februar	714.7	700.2	26	727.9	15	1.8	6.3	3.5	3.8	-4.8	1	15.0	14	84	66	77	76	40	19
März	710.1	700.5	11	720.2	5	0.5	8.0	3.4	3.8	-4.9	1	17.8	29	85	55	76	72	35	21
April	712.6	702.7	16	721.8	20	5.4	13.3	7.4	8.4	-0.6	12	20.7	21.22	80	50	70	67	36	13.20
Mai	715.9	706.1	16	722.4	1	14.2	21.5	16.1	17.0	7.2	16	27.8	10	76	53	67	65	32	3.8
Juni	713.9	705.0	26	719.9	15	15.5	21.4	16.1	17.3	11.0	27	27.3	17	77	58	74	70	44	25
Juli	715.1	708.0	22	721.0	8	17.7	24.0	18.8	19.8	10.6	3	30.5	15	82	59	76	72	46	15
August	714.9	704.9	21	721.3	4	17.2	24.1	18.4	19.5	12.2	20	31.2	1	82	58	77	72	43	1
September	716.7	706.4	30	721.3	14	14.2	21.7	16.7	17.3	6.6	28	26.4	6.7	88	61	81	77	47	14
Oktober	718.5	703.0	1	726.5	24	7.1	13.0	8.6	9.3	0.8	24	19.3	10	95	70	91	85	42	16
November	716.5	706.3	13	726.3	20	2.1	7.0	3.9	4.2	-1.4	30	12.7	4	94	73	89	85	46	19
Dezember	710.4	694.8	14	721.6	29	0.7	4.4	2.0	2.3	-8.6	7	11.2	20	84	71	82	79	45	31
Jahr	714.5	694.8	XII	727.9	II	7.9	13.9	9.5	10.2	-8.6	XII	31.2	VIII	84	62	78	75	32	V

Montreux-Clarens

Beobachter: A. Thétaz

Table with columns: Bewölkung, Termine mit Nebel, Niederschlag, Zahl der Tage, Windverteilung, 1958. Rows for months Jan to Dec and annual totals.

Beobachter: M. Baud

Leysin

Table with columns: Bewölkung, Termine mit Nebel, Niederschlag, Zahl der Tage, Windverteilung, 1958. Rows for months Jan to Dec and annual totals.

Beobachter: Hospice

Grand-St-Bernard

Table with columns: Bewölkung, Termine mit Nebel, Niederschlag, Zahl der Tage, Windverteilung, 1958. Rows for months Jan to Dec and annual totals.

Beobachter: Couvent des Capucins

Sion

Table with columns: Bewölkung, Termine mit Nebel, Niederschlag, Zahl der Tage, Windverteilung, 1958. Rows for months Jan to Dec and annual totals.

Chippis

$\lambda = 7^{\circ} 32'$, $\beta = 46^{\circ} 17'$, $H_b = 522.5^m$, $G = -0.14 \%$, $h_r = 1.5^m$

1958	Luftdruck					Luft-Temperatur							Relative Feuchtigkeit						
	Mittel	Minimum Tag	Maximum Tag	7 ⁰⁰	13 ⁰⁰	21 ⁰⁰	Mittel	Minimum Tag	Maximum Tag	7 ⁰⁰	13 ⁰⁰	21 ⁰⁰	Mittel	Minimum Tag					
Januar	716.6	698.7	11	727.0	16	-3.7	2.0	-2.5	-1.7	-10.0	25	8.6	27	86	60	85	77	34	22
Februar	716.3	701.8	26	729.5	15	0.7	6.9	2.4	3.1	-7.0	1	16.6	14	88	59	79	75	30	19.25
März	711.5	702.0	11	722.5	5	-0.7	8.1	2.9	3.3	-5.9	2	17.2	29	83	42	70	65	23	22
April	714.3	704.3	16	723.9	30	4.4	13.5	7.3	8.1	-0.8	12	21.2	22	81	38	62	60	21	22
Mai	717.7	707.6	16	725.8	1	13.0	21.6	15.5	16.4	6.8	16	28.9	10	77	43	64	61	23	8
Juni	715.6	706.6	26	722.0	8	14.0	21.2	15.3	16.5	11.0	24	26.8	17	74	46	72	64	30	25
Juli	717.1	707.9	22	723.5	8	16.2	24.1	17.9	19.0	9.8	3	31.0	15	82	48	78	69	32	15
August	716.7	706.0	21	723.5	4	15.1	24.4	17.2	18.5	10.0	20	32.2	1	85	45	83	71	31	28
September	718.7	706.7	30	723.7	14	11.8	22.3	15.2	16.1	4.8	28	27.4	5	95	46	87	76	30	29
Oktober	720.7	704.5	1	728.9	24	5.8	13.8	7.2	8.5	-1.1	29	22.0	10	96	57	92	82	32	28.29
November	718.4	707.2	13	728.8	20	1.2	7.1	2.7	3.4	-2.9	29	12.7	18	97	68	94	86	30	2
Dezember	712.0	695.8	14	724.0	29	-0.3	4.3	0.8	1.4	-11.0	7	11.5	23	89	67	87	81	42	4.5
Jahr	716.3	695.8	XII	729.5	II	6.5	14.1	8.5	9.4	-11.0	XII	32.2	VIII	86	52	79	72	21	IV

Montana

$\lambda = 7^{\circ} 29'$, $\beta = 46^{\circ} 19'$, $H_b = 1453.2^m$, $G = -0.24 \%$, $h_r = 1.5^m$

Januar	637.4	621.3	11	647.1	27	-4.3	0.0	-3.4	-2.8	-11.9	21	7.8	28	67	57	67	64	31	29
Februar	638.3	624.5	26	651.3	14	-1.0	2.9	-0.2	0.4	-11.2	27	11.1	13.14	75	62	66	68	29	1
März	633.6	622.9	11	642.7	4.5	-4.0	1.8	-2.2	-1.6	-11.3	1	10.7	29	71	54	67	64	33	24
April	637.1	627.5	16	647.2	30	0.4	5.2	1.4	2.1	-6.3	11	12.6	22	74	54	64	64	37	23
Mai	642.4	630.6	16	647.6	1	9.9	14.8	10.5	11.4	0.9	16.17	20.9	10	68	53	62	61	34	8
Juni	640.6	632.2	26	646.0	7	9.9	14.6	10.8	11.5	4.1	27	20.3	2	75	57	66	66	37	25
Juli	642.6	634.3	22	647.6	31	12.6	18.3	13.9	14.7	4.3	3	25.1	15	80	56	68	68	38	31
August	642.5	632.5	21	647.3	1	13.0	18.8	14.2	15.1	7.1	19.20	26.9	1.30	73	55	66	65	35	29.30
September	643.8	633.8	30	648.5	13	11.2	17.0	12.3	13.2	4.8	27	22.7	6	75	58	71	68	40	29
Oktober	643.6	630.2	1	649.8	24	4.3	8.9	5.2	5.9	-2.6	23	17.1	10	74	64	72	70	38	24.26
November	640.5	629.6	13	649.0	20	0.9	5.1	1.8	2.4	-4.7	2	10.0	23	74	63	73	70	33	20
Dezember	634.2	619.8	14	645.6	29	-1.4	1.9	-0.7	-0.2	-6.1	4	9.2	30	67	58	66	64	17	30
Jahr	639.7	619.8	XII	651.3	II	4.3	9.1	5.3	6.0	-11.9	I	26.9	VIII	73	58	67	66	17	XII

Reckingen

$\lambda = 8^{\circ} 15'$, $\beta = 46^{\circ} 28'$, $H_b = 1332.4^m$, $G = -0.22 \%$, $h_r = 1.5^m$

Januar	648.1	632.1	12	658.5	27	-9.7	-2.5	-8.3	-7.2	-20.5	25	4.0	27	88	68	86	81	40	26
Februar	648.7	634.0	26	662.9	15	-4.4	1.1	-3.0	-2.3	-15.8	28	7.2	15	88	70	86	81	41	19
März	644.0	634.0	11	654.1	4	-7.8	1.2	-4.3	-3.8	-18.8	1	8.7	30.31	88	54	80	74	29	23.24
April	647.7	637.5	16	658.4	30	-1.3	4.9	-0.2	0.8	-6.6	19	12.0	30	87	54	81	74	28	30
Mai	653.1	639.1	16	658.4	1	7.9	15.2	7.6	9.6	1.4	17	21.2	10	81	51	81	71	30	29
Juni	650.8	641.2	27	656.6	8	10.5	17.0	9.6	11.7	4.6	27	22.7	18	78	48	81	69	31	16
Juli	652.8	643.8	22	658.5	31	12.7	20.6	12.5	14.6	7.0	3	26.8	15	83	47	84	71	31	8
August	652.7	643.1	22	637.7	4	11.7	20.1	12.6	14.2	6.1	20.26	28.8	30	85	48	83	72	27	28
September	654.1	645.9	30	659.2	13	8.4	19.7	9.8	11.9	-0.5	27	24.2	6	94	46	88	76	27	12
Oktober	654.2	640.4	1	661.3	24	1.8	8.9	3.0	4.2	-8.6	23	19.0	9	94	63	92	83	32	9
November	651.3	640.0	13	660.8	20	-2.3	3.8	-0.9	-0.1	-10.1	20	7.4	23	94	70	91	85	40	2
Dezember	645.1	629.9	14	656.4	29	-5.6	0.2	-3.9	-3.3	-14.0	4	3.6	19	92	72	88	84	45	5
Jahr	650.2	629.9	XII	662.9	II	1.8	9.2	2.9	4.2	-20.5	I	28.8	VIII	88	58	85	77	27	VIII IX

Graubünden

Chur (Daleustrasse)

$\lambda = 9^{\circ} 32'$, $\beta = 46^{\circ} 51'$, $H_b = 585.9^m$, $G = -0.13 \%$, $h_r = 1.5^m$

Januar	710.4	693.4	11	723.9	16	-2.1	1.8	-1.4	-0.8	-9.2	25	9.2	27	72	55	75	67	29	25
Februar	710.2	694.9	26	724.4	15	0.6	6.1	1.9	2.6	-9.6	1	16.8	15	75	54	71	67	32	13
März	706.7	696.1	11	718.6	4	-1.9	4.7	0.8	1.1	-9.2	23	17.1	28	77	51	70	66	22	24
April	709.5	698.3	16	720.6	30	3.4	10.4	5.5	6.2	-2.0	12	20.0	22	81	54	74	70	31	20.21
Mai	712.6	698.4	16	720.3	1	13.2	20.5	15.0	15.9	5.5	16	28.2	14	71	50	66	62	27	14
Juni	710.6	699.7	27	717.9	15	13.4	19.9	15.0	15.8	7.6	27	28.6	2	77	54	73	68	30	2
Juli	712.0	703.2	22	718.3	8 ¹⁷	15.9	22.5	17.5	18.4	10.1	4	31.6	13.15	82	56	78	72	31	13
August	711.8	702.6	22	719.6	4	15.1	22.9	17.5	18.2	10.2	27	31.6	1	82	54	77	71	34	28
September	713.7	703.6	30	719.8	13	12.5	21.4	15.2	16.1	4.9	27	28.6	6	83	55	78	72	30	29
Oktober	715.1	698.8	1	724.8	23	6.1	12.5	7.2	8.2	-2.2	29	26.2	10	90	63	87	80	32	31
November	713.0	701.7	13	723.8	20	2.4	6.8	3.0	3.8	-3.0	21	13.4	18	87	67	87	80	32	19
Dezember	706.3	689.7	14	718.1	29	0.6	3.5	1.6	1.8	-9.6	6	11.8	20	77	68	80	75	40	19
Jahr	711.0	689.7	XII	724.8	X	6.6	12.7	8.2	8.9	-9.6	II XII	31.6	VII VIII	80	57	76	71	22	III

Disentis Die Abendbeobachtung erfolgt um 20.30 h

 $\lambda = 8^{\circ} 51'$, $\beta = 46^{\circ} 42'$, $H_b = 1173.3^m$, $G = -0.19\%$, $h_r = 1.8^m$

1958	Luftdruck					Luft-Temperatur						Relative Feuchtigkeit							
	Mittel	Minimum Tag	Maximum Tag	7 ³⁰	13 ³⁰	21 ³⁰	Mittel	Minimum Tag	Maximum Tag	7 ³⁰	13 ³⁰	21 ³⁰	Mittel	Minimum Tag					
Januar	660.1	644.1	12	670.4	27	-3.1	0.3	-2.3	-1.8	-10.7	25	6.4	28	71	59	71	67	34	28
Februar	660.3	645.3	26	674.8	15	-0.3	3.3	0.6	1.0	-10.0	28	11.9	15	77	63	74	71	40	div.
März	656.3	643.4	11	667.5	4	-3.7	1.7	-1.9	-1.5	-10.7	1.23	11.2	30	77	56	76	70	36	9.24
April	659.8	650.1	16	671.0	30	1.3	7.0	2.5	3.3	-5.0	11	15.6	22	81	54	78	71	31	2.4
Mai	664.6	650.6	16	670.6	1	10.7	16.2	11.4	12.4	3.4	16	21.8	9	73	51	68	64	34	1.3
Juni	662.4	651.0	27	668.1	7	11.2	17.0	12.4	13.0	4.6	27	24.0	30	76	49	72	66	31	5
Juli	664.2	655.4	22	669.6	8	13.7	19.6	15.1	15.6	8.4	3	25.3	15	80	52	78	70	36	19
August	664.0	654.9	22	669.6	4	13.3	19.5	14.9	15.5	8.6	26	28.3	1	80	54	76	70	33	28
September	665.6	657.4	30	670.6	13	11.7	18.3	13.1	14.1	4.7	27	23.6	6	78	51	78	69	36	13.29
Oktober	665.7	651.8	1	674.0	23	5.1	9.2	5.9	6.5	-2.9	23	19.3	9	82	67	82	77	42	29
November	663.2	652.1	13	672.8	20	2.3	6.2	2.7	3.5	-1.8	29	11.6	23	80	63	81	75	34	23
Dezember	656.7	640.8	14	668.5	29	-0.6	2.2	0.0	0.4	-5.8	3.4	6.9	19	74	64	78	72	37	8
Jahr	661.9	640.8	XII	674.8	II	5.1	10.0	6.2	6.8	-10.7	I III	28.3	VIII	77	57	76	70	31	IV VI

Platta (Medels)

 $\lambda = 8^{\circ} 51'$, $\beta = 46^{\circ} 40'$, $H_b = 1378^m$, $G = -0.22\%$, $h_r = 1.2^m$

1958	Luftdruck					Luft-Temperatur						Relative Feuchtigkeit							
	Mittel	Minimum Tag	Maximum Tag	7 ³⁰	13 ³⁰	21 ³⁰	Mittel	Minimum Tag	Maximum Tag	7 ³⁰	13 ³⁰	21 ³⁰	Mittel	Minimum Tag					
Januar	643.5	627.4	12	654.3	27	-5.4	0.8	-4.5	-3.4	-15.0	25	8.4	29.30	77	55	75	69	32	29
Februar	643.9	629.3	26	658.6	14	-2.0	3.3	-1.2	-0.2	-12.6	28	13.4	14	86	69	80	78	36	1
März	640.0	628.4	11	650.3	4	-6.0	2.2	-4.3	-3.1	-14.6	1	10.8	30	83	53	83	73	38	9
April	643.4	632.6	16	655.3	30	-1.0	6.4	0.1	1.4	-6.0	11.18	16.6	24	—	—	—	—	—	—
Mai	648.8	634.4	16	654.7	1	8.8	14.9	8.9	10.4	0.6	16	20.4	21	—	—	—	—	—	—
Juni	646.5	634.9	27	652.3	15	9.2	15.8	9.8	11.2	2.2	27	21.4	29	80	54	86	73	34	15
Juli	648.2	639.5	22	654.1	31	11.6	19.0	12.7	14.0	6.0	3	27.0	31	85	54	89	76	39	31
August	648.2	639.0	22	653.5	4	11.1	19.3	12.4	13.8	5.2	23	28.2	30	87	58	89	78	35	10
September	649.7	641.1	30	656.4	24	9.4	18.5	10.9	12.4	0.8	27	25.0	13	85	51	88	75	33	13
Oktober	649.3	635.9	1	656.9	24	3.3	9.6	4.3	5.4	-6.8	23	20.6	8	89	63	84	79	34	29
November	646.6	635.4	13	655.9	20	0.5	6.5	1.5	2.5	-3.6	16	13.0	26	85	60	83	76	37	19.28
Dezember	639.9	625.0	14	651.0	29	-2.2	2.9	-1.6	-0.6	-9.0	27	7.2	7.30	75	57	82	71	26	5
Jahr	645.7	625.0	XII	658.6	II	3.1	9.9	4.1	5.3	-15.0	I	28.2	VIII	—	—	—	—	—	—

Arosa

 $\lambda = 9^{\circ} 41'$, $\beta = 46^{\circ} 47'$, $H_b = 1818.2^m$, $G = -0.26\%$, $h_r = 1.8^m$

1958	Luftdruck					Luft-Temperatur						Relative Feuchtigkeit							
	Mittel	Minimum Tag	Maximum Tag	7 ³⁰	13 ³⁰	21 ³⁰	Mittel	Minimum Tag	Maximum Tag	7 ³⁰	13 ³⁰	21 ³⁰	Mittel	Minimum Tag					
Januar	608.7	593.9	11	618.9	27	-6.1	-3.0	-6.1	-5.3	-16.0	21	4.0	28	78	65	78	74	26	29
Februar	609.3	595.9	26	623.6	15	-3.6	0.2	-3.7	-2.7	-15.6	28	7.8	14	81	69	80	77	29	1
März	605.1	594.7	11	615.0	4	-7.1	-2.4	-7.9	-6.3	-17.5	12	6.3	25	86	65	87	79	24	24
April	608.9	598.9	16	621.1	30	-2.7	1.4	-3.3	-2.0	-9.4	11	8.3	22	80	64	88	77	33	25
Mai	615.0	601.0	16	620.3	1	7.8	11.4	5.7	7.7	-1.4	17	17.3	14	69	55	76	67	36	12.14
Juni	613.2	602.3	27	618.5	15	7.3	10.9	5.9	7.5	-0.1	27	18.9	2	80	65	89	78	32	2
Juli	615.4	606.9	22	621.2	31	10.1	14.4	9.0	10.6	2.6	3	22.2	25	85	64	90	80	36	13
August	615.3	605.9	22	620.8	1	10.3	14.9	9.8	11.2	2.9	3	23.4	1.30	82	62	82	75	28	28
September	616.4	608.3	30	620.9	13	8.1	13.5	8.2	9.5	-0.2	27	19.0	6	81	58	83	74	29	28
Oktober	615.4	603.4	1	623.0	24	1.6	5.5	1.9	2.7	-7.7	23	15.3	10	85	74	84	81	32	29
November	612.4	601.6	13	621.1	20	-1.4	2.2	-1.2	-0.4	-6.0	2	8.1	22	82	67	82	77	35	20
Dezember	605.8	591.5	14	616.7	29	-3.6	-1.1	-3.8	-3.1	-9.9	2	4.2	19.20	74	68	80	74	27	4.5
Jahr	611.7	591.5	XII	623.6	II	1.7	5.7	1.2	2.4	-17.5	III	23.4	VIII	80	65	83	76	24	III

Davos-Platz

 $\lambda = 9^{\circ} 49'$, $\beta = 46^{\circ} 48'$, $H_b = 1560.7^m$, $G = -0.24\%$, $h_r = 9.5^m$

1958	Luftdruck					Luft-Temperatur						Relative Feuchtigkeit							
	Mittel	Minimum Tag	Maximum Tag	7 ³⁰	13 ³⁰	21 ³⁰	Mittel	Minimum Tag	Maximum Tag	7 ³⁰	13 ³⁰	21 ³⁰	Mittel	Minimum Tag					
Januar	628.8	613.0	11	639.0	27	-9.1	-3.1	-7.3	-6.7	-19.6	25	3.0	5	83	67	80	77	39	26
Februar	629.2	615.1	26	643.8	15	-4.9	0.8	-3.5	-2.8	-18.4	28	8.8	14	85	66	82	78	40	3.4
März	625.1	614.2	11	635.6	4	-8.9	-0.3	-5.9	-5.2	-19.7	23	7.8	25	82	54	80	72	24	24
April	628.8	618.1	16	640.4	30	-1.4	3.7	-0.8	0.2	-7.2	11	10.5	22	76	54	81	70	30	24
Mai	634.4	619.7	16	640.2	1	8.9	14.6	7.3	9.5	0.9	17	21.2	14	69	46	77	64	30	8.12
Juni	632.4	621.0	27	638.0	7	9.9	13.7	8.4	10.1	2.0	27	21.8	2	70	54	82	69	29	1
Juli	634.5	625.8	22	640.4	31	12.1	16.5	11.3	12.8	2.0	3	24.0	15	80	54	85	73	31	13
August	634.4	624.9	22	640.0	1	10.9	17.1	11.2	12.6	5.0	26	26.4	1	78	53	81	71	24	27
September	635.7	627.2	30	640.9	13	7.8	15.9	9.1	10.5	0.4	27	20.8	6	84	49	85	73	29	14
Oktober	635.2	622.5	1	643.0	24	0.8	6.9	2.1	3.0	-9.0	23	18.2	10	94	73	92	86	37	10
November	632.3	621.4	13	641.7	20	-2.9	2.9	-1.8	-0.9	-8.2	20	7.4	22	91	68	89	83	38	21
Dezember	625.7	610.0	14	636.9	29	-5.5	-0.3	-4.5	-3.7	-13.2	4	5.0	20	89	72	89	83	37	5
Jahr	631.4	610.0	XII	643.8	II	1.5	7.4	2.1	3.3	-19.7	III	26.4	VIII	82	59	84	75	24	III VIII

Beobachter: P. Fl. Malssen

Disentis

Bewölkung				Termine mit Nebel				Niederschlag		Zahl der Tage										Windverteilung								1958
7 ³⁰	13 ³⁰	21 ³⁰	Mittel	7 ³⁰	13 ³⁰	21 ³⁰	Total	Summe	Maximum Tag	*	≥1.0	*	▲	⊠	≡	heiter	trüb	N	NE	E	SE	S	SW	W	NW	Calmen		
5.2	5.0	5.3	5.2	—	—	—	—	84	26	6	9	8	9	—	—	—	10	11	6	9	1	1	9	11	4	5	47	Januar
7.1	7.0	6.7	6.9	—	—	1	1	148	44	26	17	16	13	—	—	3	3	13	8	4	5	2	3	8	3	10	41	Februar
6.6	6.5	5.9	6.3	—	—	—	—	52	32	13	10	8	10	—	—	1	3	13	14	10	5	3	5	10	1	3	42	März
6.8	6.3	6.4	6.5	1	—	—	1	107	21	5	19	14	15	—	—	1	5	13	11	15	4	9	1	11	3	8	28	April
6.5	6.1	6.3	6.3	1	—	—	1	194	119	27	13	10	—	1	3	1	3	10	16	6	1	2	5	20	5	11	27	Mai
5.8	5.9	7.1	6.3	—	—	—	—	100	33	30	14	13	—	—	2	1	3	10	15	6	1	2	4	19	5	11	27	Juni
5.3	6.1	7.3	6.2	—	—	—	—	129	30	3	17	14	—	—	3	1	3	10	16	14	6	—	7	5	2	2	41	Juli
5.7	5.7	6.5	6.0	—	—	—	—	181	54	19	18	17	—	—	6	—	3	8	7	17	1	3	—	7	3	2	53	August
4.4	4.0	4.5	4.3	—	—	—	—	81	17	21	12	11	—	—	2	—	9	5	6	11	8	6	4	10	6	6	33	September
6.5	5.9	5.9	6.1	1	—	—	1	215	32	1	19	19	7	—	1	3	8	16	7	4	3	3	1	7	2	5	61	Oktober
5.8	6.0	5.9	5.9	1	—	—	—	67	17	10	12	11	4	—	—	6	10	4	3	2	2	2	8	6	3	60	November	
6.1	6.0	7.1	6.4	—	—	—	—	118	37	20	13	12	13	—	—	7	15	10	4	1	4	—	10	9	4	51	Dezember	
6.0	5.9	6.2	6.0	4	—	2	6	1476	119	V	173	153	71	1	17	17	63	134	120	103	38	37	41	126	49	70	511	Jahr

Beobachter: C. Huonder

Platta (Medels)

5.0	5.1	3.9	4.7	—	—	—	—	58	21	6	8	7	8	—	—	—	13	11	—	—	—	—	1	14	10	1	67	Januar
7.0	6.7	7.3	7.0	3	1	3	7	91	28	26	15	14	13	—	—	6	3	14	1	—	2	2	—	17	5	2	55	Februar
5.9	6.1	5.6	5.9	—	—	—	—	33	17	13	11	8	11	—	—	—	6	13	—	—	—	—	1	10	6	1	75	März
6.9	6.7	6.6	6.7	4	1	—	5	94	21	5	17	14	14	—	—	4	5	17	—	—	—	1	—	8	2	—	79	April
6.5	6.5	5.8	6.3	1	—	—	1	222	136	27	11	9	1	1	2	1	3	12	1	—	—	1	—	28	7	—	56	Mai
6.5	6.1	6.3	6.3	—	—	—	—	71	12	26	11	10	—	—	1	—	7	12	1	—	2	1	—	11	14	1	60	Juni
6.0	6.7	7.6	6.8	—	—	1	1	141	36	2	18	14	—	—	3	1	1	12	—	—	—	—	—	12	5	—	76	Juli
6.1	5.5	6.8	6.1	4	—	1	5	210	55	19	17	15	—	—	6	4	4	9	—	—	1	—	—	7	5	—	80	August
4.3	4.1	3.8	4.1	—	—	—	—	76	25	30	9	8	—	—	—	—	9	4	1	—	1	—	—	16	3	1	68	September
6.7	6.1	6.1	6.3	3	—	2	5	233	55	1	19	19	6	—	—	4	8	15	—	—	1	3	—	6	1	—	82	Oktober
5.7	5.6	5.7	5.7	3	1	1	5	65	18	10	10	9	7	—	—	3	8	10	—	—	—	—	—	6	6	—	78	November
6.4	6.2	6.7	6.4	—	1	2	3	111	42	20	14	13	13	—	—	3	8	16	—	—	—	1	2	10	14	1	65	Dezember
6.1	5.9	6.0	6.0	18	4	10	32	1405	136	V	160	140	73	1	12	26	75	145	4	—	7	9	4	145	78	7	841	Jahr

Beobachter: Lichtklimatisches Observatorium, Frl. G. Perl, Florentinum

Arosa

5.1	4.8	5.5	5.1	—	—	—	—	104	30	7	11	9	11	—	—	—	7	9	2	—	1	2	4	2	—	2	80	Januar
7.0	7.5	6.2	6.9	—	—	2	2	163	32	16	17	16	15	—	—	4	2	12	1	—	—	5	3	1	—	—	74	Februar
6.1	7.2	6.4	6.6	—	1	—	1	63	27	13	16	13	16	—	—	2	4	12	2	—	2	1	—	1	—	1	86	März
7.0	7.2	6.6	6.9	1	—	1	2	116	15	15	17	16	17	—	—	5	4	14	—	3	1	4	—	5	—	2	75	April
6.2	7.2	5.5	6.3	2	1	1	4	87	34	27	11	9	2	—	1	5	4	10	2	6	2	7	8	10	2	2	54	Mai
6.7	7.2	7.6	7.2	5	1	1	7	177	31	10	18	15	2	—	1	8	2	17	2	5	2	4	—	1	2	2	72	Juni
6.6	6.4	7.9	7.0	1	1	1	3	211	55	22	21	19	2	1	9	5	1	12	—	13	3	2	—	1	1	—	73	Juli
6.4	5.9	6.3	6.2	5	1	1	7	158	23	6	18	16	—	—	6	10	4	9	2	8	5	5	1	3	1	2	66	August
4.3	4.7	4.5	4.5	4	4	3	11	98	31	22	11	11	1	1	4	11	9	6	3	4	8	3	2	1	1	1	67	September
6.0	6.2	5.6	5.9	2	8	4	14	232	44	12	19	17	10	—	1	12	8	14	—	1	1	5	1	3	—	3	79	Oktober
5.1	5.4	5.2	5.2	2	2	8	12	33	9	11	8	7	8	—	—	10	8	9	—	—	—	1	1	2	—	—	86	November
5.7	6.3	6.2	6.1	1	—	1	2	91	15	20	16	15	16	—	—	2	7	13	—	3	—	12	4	1	1	—	72	Dezember
6.0	6.3	6.1	6.2	23	19	23	65	1533	55	VII	183	163	100	2	22	74	60	137	14	43	25	51	24	31	8	15	884	Jahr

Beobachter: Kurverein

Davos-Platz

5.7	5.2	5.5	5.5	—	—	—	—	91	24	7	9	9	9	—	—	—	8	12	—	4	2	5	—	1	2	1	78	Januar
7.4	8.8	6.8	7.7	1	—	—	1	127	30	16	16	13	14	—	—	2	1	17	—	7	6	1	—	2	—	—	68	Februar
6.4	7.7	6.3	6.8	—	—	—	—	42	27	13	13	7	13	—	—	—	3	12	—	8	12	9	1	3	1	—	59	März
7.0	7.2	6.5	6.9	—	—	—	—	63	15	28	16	13	16	—	—	—	3	14	1	17	11	18	1	5	—	—	37	April
6.3	7.8	4.6	6.2	—	—	—	—	48	15	15	11	7	2	—	1	—	3	9	—	5	8	5	—	12	—	—	63	Mai
6.9	7.5	8.0	7.5	—	—	—	—	137	27	21	16	14	1	—	1	—	1	16	—	21	6	9	—	11	1	—	42	Juni
7.0	7.4	7.3	7.2	—	—	—	—	172	42	22	17	13	2	2	7	—	1	15	—	12	14	11	—	1	2	1	52	Juli
7.0	6.5	5.5	6.3	—	—	—	—	125	23	11	16	16	—	—	1	4	—	3	9	—	12	12	11	—	9	2	46	August
5.3	5.3	4.8	5.1	—	—	—	—	77	30	22	9	9	—	1	3	—	7	8	2	9	17	8	—	3	—	—	51	September
6.3	6.3	5.6	6.1	—	—	—	—	188	35	17	19	16	8	—	1	—	8	15	—	4	4	7	1	6	—	—	71	Oktober
5.9	6.5	6.1	6.2	1	—	3	4	19	5	11	7	6	7	—	—	4	5	10	—	2	3	4	2	1	—	—	78	November
5.9	6.9	5.5	6.1	—	—	—	—	62	12	27	15	13	15	—	—	—	8	13	—	4	2	3	2	6	2	1	73	Dezember
6.4	6.9	6.0	6.4	2	—	3	5	1151	42	VII	164	136	87	4	17	6	51	150	3	105	97	91	7	60	10	4	718	Jahr

Weißfluhjoch

 $\lambda = 9^{\circ} 48'$, $\beta = 46^{\circ} 50'$, $H_0 = 2667^m$, $G = -0.32 \text{‰}$, $h_r = 3.0^m$

1958	Luftdruck					Luft-Temperatur							Relative Feuchtigkeit						
	Mittel	Minimum Tag	Maximum Tag	7 ³⁰	13 ³⁰	21 ³⁰	Mittel	Minimum Tag	Maximum Tag	7 ³⁰	13 ³⁰	21 ³⁰	Mittel	Minimum Tag					
Januar	545.6	531.3	12	556.0	27	-9.3	-7.8	-8.6	-8.6	-21.6	21	1.2	28	62	62	64	63	4	25
Februar	546.6	534.5	26	561.1	14	-7.0	-5.9	-7.8	-7.1	-19.9	18	3.2	14	75	75	76	75	5	1
März	541.8	531.0	11	551.1	4	-11.6	-8.7	-11.6	-10.9	-22.3	22	-1.6	25	73	73	74	73	4	22
April	546.1	536.7	16	557.8	30	-8.0	-5.6	-8.4	-7.6	-17.3	11	1.0	24	80	85	91	85	16	30
Mai	554.0	540.5	16	559.2	9	1.8	3.6	1.2	2.0	-8.0	17	8.7	14	71	71	78	73	26	2
Juni	552.2	540.7	27	557.5	15	1.6	3.9	1.5	2.1	-5.9	27	10.2	2	84	80	89	84	31	6
Juli	555.0	546.8	22	561.8	31	4.9	8.0	5.1	5.8	-1.5	22	15.4	31	85	77	90	84	50	13
August	555.2	545.2	22	561.5	1	6.1	9.5	6.2	7.0	-0.8	26	19.3	30	79	69	80	76	19	27
September	545.8	548.3	30	561.0	13	4.4	7.7	4.6	5.3	-4.0	26	13.8	6	70	66	76	71	20	28
Oktober	553.6	544.0	1	561.4	24	-1.2	1.0	-1.3	-0.7	-11.7	17	10.4	9	71	70	74	72	14	28
November	550.3	540.1	13	558.7	20	-4.1	-2.3	-4.0	-3.6	-10.6	1.2	2.2	26	73	73	73	73	12	20
Dezember	543.6	529.6	14	554.7	30	-7.3	-6.0	-7.4	-7.0	-14.1	3	4.1	31	64	66	65	65	4	31
Jahr	550.0	529.6	XII	561.8	VI	2.5	-0.2	-2.5	-1.9	-22.3	III	19.3	VIII	74	72	77	74	4	VIII XII

Schuls

 $\lambda = 10^{\circ} 18'$, $\beta = 46^{\circ} 48'$, $H_0 = 1253.2^m$, $G = -0.20 \text{‰}$, $h_r = 1.5^m$

1958	Luftdruck					Luft-Temperatur							Relative Feuchtigkeit						
	Mittel	Minimum Tag	Maximum Tag	7 ³⁰	13 ³⁰	21 ³⁰	Mittel	Minimum Tag	Maximum Tag	7 ³⁰	13 ³⁰	21 ³⁰	Mittel	Minimum Tag					
Januar	654.1	637.7	12	665.7	27	-9.1	-2.2	-7.5	-6.6	-19.8	22	2.4	18	83	63	85	77	38	26
Februar	654.0	639.7	26	668.9	15	-4.0	3.7	-2.6	-1.4	-14.8	28	10.2	14	86	59	86	77	41	19
März	650.0	639.5	11	661.0	4.5	-7.0	3.7	-4.3	-3.0	-17.5	23	16.0	26	84	44	81	70	30	9.24
April	653.5	642.5	16	664.9	30	1.1	8.8	1.8	3.4	-4.0	11	16.0	25	81	44	78	68	20	25
Mai	658.4	643.3	16	665.1	1	11.0	19.2	10.2	12.6	3.0	16	25.0	13.14	71	40	73	61	21	9
Juni	656.2	643.9	27	663.2	15	12.7	19.9	10.3	13.3	4.0	27	26.0	16	64	45	79	63	21	8
Juli	658.1	650.2	22	663.4	17	15.0	22.3	13.0	15.8	6.2	3	30.0	12	70	44	83	66	22	25
August	658.2	648.7	22	663.8	1	13.3	21.8	12.3	14.9	6.0	27	29.0	1.30	69	48	86	68	20	5
September	659.6	652.4	30	665.1	14	8.4	19.2	10.2	12.0	-3.0	28	24.0	3.5	80	40	86	69	20	16
Oktober	659.8	645.6	1	669.2	24	2.1	10.6	3.1	4.7	-6.0	24	18.0	8.10	90	62	93	82	38	28
November	657.4	645.5	13	667.9	20	-1.8	5.3	-0.4	0.7	-6.4	20	8.0	4	88	62	89	80	40	8
Dezember	650.7	633.9	14	662.0	30	-5.5	0.3	-4.4	-3.5	-14.0	4.7	5.4	20	87	66	86	80	38	5
Jahr	655.8	633.9	XII	669.2	X	3.0	11.0	3.5	5.2	-19.8	I	30.0	VII	79	51	84	72	20	IV VIII/IX

Buffalora (Ofenpaß)

 $\lambda = 10^{\circ} 16'$, $\beta = 46^{\circ} 39'$, $H_0 = 1968^m$, $G = - \text{‰}$, $h_r = 1.5^m$

1958	Luftdruck					Luft-Temperatur							Relative Feuchtigkeit						
	Mittel	Minimum Tag	Maximum Tag	7 ³⁰	13 ³⁰	21 ³⁰	Mittel	Minimum Tag	Maximum Tag	7 ³⁰	13 ³⁰	21 ³⁰	Mittel	Minimum Tag					
Januar	---	---	---	---	---	-14.9	-3.6	-13.0	-11.1	-26.0	25	3.1	28	92	60	89	80	28	29
Februar	---	---	---	---	---	-8.6	0.2	-6.6	-5.4	-23.0	28	8.2	14	92	60	86	79	33	4
März	---	---	---	---	---	-13.2	1.2	-10.3	-8.7	-24.8	23	7.1	6	87	50	82	73	25	16
April	---	---	---	---	---	-4.5	2.1	-3.6	-2.4	-16.7	11	10.1	22	82	55	85	74	29	24
Mai	---	---	---	---	---	5.1	13.8	3.3	6.4	-5.0	2	21.3	11	74	49	87	70	32	19
Juni	---	---	---	---	---	6.2	13.0	5.5	7.6	-0.3	27	21.2	30	75	52	89	72	27	8
Juli	---	---	---	---	---	9.1	16.3	8.1	10.4	1.1	3	26.2	15	82	50	92	75	22	25
August	---	---	---	---	---	8.7	16.0	8.2	10.3	1.2	26	25.0	2	85	54	89	76	24	28
September	---	---	---	---	---	6.1	15.4	6.2	8.5	-2.2	27	20.3	17	89	47	90	75	26	14
Oktober	---	---	---	---	---	-2.0	6.4	-0.7	0.8	-15.4	22	15.4	9	90	61	92	81	30	28
November	---	---	---	---	---	-6.5	1.9	-5.5	-3.9	-15.0	20	6.4	22	95	66	95	85	40	2.15
Dezember	---	---	---	---	---	-10.6	-2.0	-9.2	-7.8	-22.0	4	3.0	29	94	64	91	83	23	6
Jahr	---	---	---	---	---	2.1	6.5	-1.5	0.4	-26.0	I	26.2	VII	86	56	89	77	22	VII

Bever

 $\lambda = 9^{\circ} 53'$, $\beta = 46^{\circ} 33'$, $H_0 = 1711.8^m$, $G = -0.26 \text{‰}$, $h_r = 1.5^m$

1958	Luftdruck					Luft-Temperatur							Relative Feuchtigkeit						
	Mittel	Minimum Tag	Maximum Tag	7 ³⁰	13 ³⁰	21 ³⁰	Mittel	Minimum Tag	Maximum Tag	7 ³⁰	13 ³⁰	21 ³⁰	Mittel	Minimum Tag					
Januar	617.5	602.2	12	628.0	27	-14.5	-4.5	-11.9	-10.7	-26.8	22	3.3	7	94	62	90	82	33	21
Februar	617.7	604.6	26	632.2	15	-7.2	0.8	-4.5	-3.9	-24.8	28	8.7	16	89	63	82	78	31	3
März	613.4	603.1	11	623.7	4	-12.5	-1.2	-7.4	-7.1	-23.0	9.23	7.9	30	90	56	79	75	22	16
April	616.9	606.1	16	628.5	30	-5.3	2.5	-2.0	-1.7	-14.6	19	10.0	21.22	90	54	80	75	30	24
Mai	623.4	609.7	16	628.7	1	4.7	13.1	5.6	7.3	-5.0	1	19.1	11	87	51	83	74	29	19
Juni	621.1	609.0	27	626.9	15	6.8	13.8	7.3	8.8	1.0	27	19.8	2	83	51	82	72	29	25
Juli	623.4	615.3	22	629.4	31	8.8	17.0	10.2	11.6	1.8	3	23.9	31	92	51	88	77	35	13
August	623.5	614.2	22	629.8	1	7.6	17.8	9.9	11.3	-0.7	27	25.8	30	94	49	86	76	26	29
September	624.6	618.2	30	629.4	13	3.8	16.1	7.0	8.5	-4.8	27	21.8	11.16	96	46	91	78	20	14
Oktober	623.8	611.9	1	631.7	24	-2.1	6.9	0.6	1.5	-14.0	23	16.6	9	96	60	87	81	10	24
November	621.1	608.4	13	631.3	20	-6.6	1.9	-4.7	-3.5	-15.6	20	5.8	23	97	63	94	85	40	21
Dezember	614.7	600.0	14	626.8	30	-10.2	-2.5	-8.2	-7.3	-22.0	4	3.0	28	93	70	91	85	39	28
Jahr	620.0	600.0	XII	632.2	II	-2.2	-6.8	0.2	1.2	-26.8	I	25.8	VIII	92	56	86	78	10	X

Weißfluhjoch

Beobachter: Eidg. Institut für Schnee- und Lawinenforschung

Table with columns: Bewölkung, Termine mit Nebel, Niederschlag, Zahl der Tage, Windverteilung, 1958. Rows for months Jan to Dec and annual totals.

Beobachter: J. Stoeker

Schuls

Table with columns: Bewölkung, Termine mit Nebel, Niederschlag, Zahl der Tage, Windverteilung, 1958. Rows for months Jan to Dec and annual totals.

Beobachter: R. Cadisch

Buffalora (Cfenal)

Table with columns: Bewölkung, Termine mit Nebel, Niederschlag, Zahl der Tage, Windverteilung, 1958. Rows for months Jan to Dec and annual totals.

Beobachter: Stationspersonal Rh. B.

Bever

Table with columns: Bewölkung, Termine mit Nebel, Niederschlag, Zahl der Tage, Windverteilung, 1958. Rows for months Jan to Dec and annual totals.

St. Moritz

$\lambda = 9^{\circ} 51', \beta = 46^{\circ} 30', H_b = 1833^m, G = -0.27 \text{ } \frac{m}{m}, h_r = 1.5^m$

1958	Luftdruck					Luft-Temperatur								Relative Feuchtigkeit					
	Mittel	Minimum Tag	Maximum Tag	7 ³⁰	13 ³⁰	7 ³⁰	13 ³⁰	21 ³⁰	Mittel	Minimum Tag	Maximum Tag	7 ³⁰	13 ³⁰	21 ³⁰	Mittel	Minimum Tag			
Januar	607.4	591.7	12	617.7	27	-10.8	-3.8	-8.9	-8.1	-21.4	22	3.6	30	81	60	78	73	27	30
Februar	607.7	594.4	16	622.2	15	-5.7	0.9	-4.0	-3.1	-17.6	28	9.1	14.15	*83	*61	*81	*75	—	—
März	603.3	592.4	11	613.1	4	-10.6	-1.9	-7.7	-7.0	-19.6	23	8.0	31	84	59	79	74	19	16
April	606.9	596.8	16	618.5	30	-3.8	2.6	-2.7	-1.7	-10.2	10.11	9.2	22	81	53	78	71	12	24
Mai	613.7	600.3	16	618.7	8	5.8	11.2	6.0	7.2	-0.7	16	16.3	9	77	53	77	69	21	19
Juni	611.4	599.3	27	616.9	7	6.8	11.4	7.0	8.1	-0.1	27	17.2	29	77	54	78	70	30	29
Juli	613.7	606.0	22	619.8	31	9.2	12.0	10.2	10.4	1.7	3	21.8	30	86	53	86	75	31	8
August	613.8	604.4	22	620.0	1	8.8	16.0	10.2	11.3	2.6	23	24.6	30	87	54	86	76	31	29
September	615.0	608.4	30	619.6	13	5.7	13.5	8.5	9.1	-1.6	27	20.8	14	90	57	83	77	26	14
Oktober	613.9	602.7	1	621.6	24	-0.2	6.3	1.5	2.3	-9.8	23	13.3	8	89	63	82	78	28	29
November	611.1	599.3	13	620.9	20	-4.2	2.8	-2.7	-1.7	-10.2	20	7.4	26	91	63	90	81	32	8
Dezember	604.4	588.7	14	615.4	30	-7.1	-1.4	-6.3	-5.3	-16.2	3	3.6	28	84	66	86	79	35	4.5
Jahr	610.2	588.7	XII	622.2	II	-0.5	5.8	0.9	1.8	-21.4	I	24.6	VIII	84	58	82	75	12	IV

Splügen-Dorf

$\lambda = 9^{\circ} 19', \beta = 46^{\circ} 33', H_b = 1504^m, G = -0.24 \text{ } \frac{m}{m}, h_r = 2.2^m$

1958	Luftdruck					Luft-Temperatur								Relative Feuchtigkeit					
	Mittel	Minimum Tag	Maximum Tag	7 ³⁰	13 ³⁰	7 ³⁰	13 ³⁰	21 ³⁰	Mittel	Minimum Tag	Maximum Tag	7 ³⁰	13 ³⁰	21 ³⁰	Mittel	Minimum Tag			
Januar	634.2	618.1	12	644.7	27	-7.9	-3.4	-7.5	-6.6	-20.0	25	3.2	31	80	64	84	76	37	29
Februar	634.4	620.3	26	648.9	14	-3.7	1.2	-3.1	-2.2	-18.0	28	8.5	14	80	67	83	77	41	5
März	630.1	619.3	11	641.0	4	-6.4	-0.5	-6.0	-4.7	-19.0	1	8.0	30	78	60	85	74	35	22
April	633.7	623.1	16	645.3	30	0.1	4.0	-1.0	0.5	-6.2	11	11.2	25	74	60	85	73	25	24
Mai	639.5	624.9	16	645.4	1	10.4	14.0	7.3	9.7	0.5	16	19.4	9	64	53	82	66	35	3
Juni	637.3	625.5	27	643.3	15	11.0	13.5	8.1	10.2	2.2	27	20.6	30	65	57	87	70	35	8
Juli	639.4	630.6	22	645.6	31	13.8	18.0	11.3	13.6	5.0	3.4	26.0	31	70	53	89	71	36	31
August	639.4	630.6	22	645.1	1	12.5	17.1	11.4	13.1	5.5	27	25.0	29	77	58	88	74	36	9
September	640.7	633.6	30	646.2	13	11.5	15.9	9.3	11.5	-2.5	27	21.4	15	70	52	89	70	28	14
Oktober	641.3	632.9	1	649.4	13	3.0	7.1	2.8	3.9	-6.0	23	16.4	9	84	66	87	79	35	30.31
November	637.6	626.6	13	647.5	20	-1.2	3.2	-0.4	0.3	-8.2	20	7.0	24	88	69	90	82	49	3
Dezember	631.0	616.0	14	642.3	29	-3.8	-0.6	-3.8	-3.0	-12.0	4	3.6	23	82	72	85	80	37	31
Jahr	636.6	616.0	XII	649.4	X	3.3	7.5	2.4	3.9	-20.0	I	26.0	VII	76	61	86	74	25	IV

Braggio

$\lambda = 9^{\circ} 07', \beta = 46^{\circ} 18', H_b = 1332.1^m, G = 0.21 \text{ } \frac{m}{m}, h_r = 1.5^m$

1958	Luftdruck					Luft-Temperatur								Relative Feuchtigkeit					
	Mittel	Minimum Tag	Maximum Tag	7 ³⁰	13 ³⁰	7 ³⁰	13 ³⁰	21 ³⁰	Mittel	Minimum Tag	Maximum Tag	7 ³⁰	13 ³⁰	21 ³⁰	Mittel	Minimum Tag			
Januar	648.1	630.6	12	659.8	27	-3.1	4.0	-2.9	-1.2	-9.0	21, 22, 24	14.0	30	63	50	66	60	25	21
Februar	648.2	634.4	26	662.2	15	-0.3	6.0	0.3	1.6	-7.5	20	14.9	15	72	59	67	66	26	28
März	643.9	633.8	11	653.9	5	-3.2	2.0	-2.1	-1.3	-10.1	12	8.9	31	66	58	68	64	26	4
April	647.5	637.5	16	657.5	30	1.0	6.9	2.0	3.0	-5.5	11	14.2	30	69	49	70	63	35	9, 28, 30
Mai	653.4	639.5	16	658.5	2	10.4	15.6	10.3	11.6	4.0	16	21.5	11	71	61	72	68	40	17
Juni	651.1	639.7	27	657.0	15	10.7	15.4	11.0	12.0	5.9	13	20.4	8	71	62	73	69	36	12
Juli	653.1	644.4	22	657.8	31	13.8	19.1	14.2	15.3	8.5	4	24.1	30	77	63	78	73	29	20
August	653.0	643.5	22	657.7	1	13.6	19.5	14.7	15.6	8.1	23	25.1	2	78	66	75	73	41	13
September	654.7	648.5	30	658.9	13	10.8	16.8	12.0	12.9	5.9	23	22.9	7	72	70	80	74	40	26
Oktober	653.7	642.4	1	660.7	24	6.2	11.0	6.6	7.6	-0.1	23	18.9	9	66	64	69	66	22	23
November	651.4	638.9	13	661.2	20	2.2	6.7	2.9	3.7	-1.7	30	12.1	26	79	71	79	76	41	2
Dezember	645.0	627.9	14	656.2	30	-1.1	3.1	-0.6	0.2	-7.2	4	9.0	1, 29	73	66	74	71	29	28
Jahr	650.3	627.9	XII	662.2	II	5.1	10.5	5.7	6.8	-10.1	III	25.1	VIII	71	62	73	69	22	X

Tessin

Bosco-Gurin

$\lambda = 8^{\circ} 30', \beta = 46^{\circ} 19', H = ca 1510^m, G = - \text{ } \frac{m}{m}, h_r = 1.5^m$

1958	Luftdruck					Luft-Temperatur								Relative Feuchtigkeit					
	Mittel	Minimum Tag	Maximum Tag	7 ³⁰	13 ³⁰	7 ³⁰	13 ³⁰	21 ³⁰	Mittel	Minimum Tag	Maximum Tag	7 ³⁰	13 ³⁰	21 ³⁰	Mittel	Minimum Tag			
Januar	—	—	—	—	—	-4.6	-3.0	-4.4	-4.1	-10.6	22, 25	1.8	7	66	65	67	66	32	30
Februar	—	—	—	—	—	-1.2	2.1	-0.9	-0.2	-8.0	27	8.0	10, 15	73	62	73	69	33	3, 23
März	—	—	—	—	—	-3.9	0.1	-3.3	-2.6	-11.0	10	6.0	31	68	63	71	67	38	1, 13
April	—	—	—	—	—	0.2	3.5	0.6	1.2	-5.0	11	9.6	30	70	63	76	70	31	23
Mai	—	—	—	—	—	9.0	12.7	8.7	9.8	4.0	15	18.2	19	71	64	75	70	38	19
Juni	—	—	—	—	—	10.4	14.6	10.3	11.4	5.5	27	18.4	29	69	62	78	70	31	4, 5
Juli	—	—	—	—	—	13.2	17.5	13.6	14.5	7.9	3	24.6	31	77	63	80	73	40	div.
August	—	—	—	—	—	12.8	17.7	13.1	14.2	7.2	22	24.8	30	79	68	82	76	34	8
September	—	—	—	—	—	9.9	15.3	11.0	11.8	5.8	27	20.0	8	81	73	86	80	25	26
Oktober	—	—	—	—	—	5.2	8.8	5.6	6.3	-1.8	22	16.1	15	70	63	74	69	34	16
November	—	—	—	—	—	1.0	3.6	1.5	1.9	-2.5	20	7.8	4	80	72	82	78	36	1
Dezember	—	—	—	—	—	-2.5	-0.7	-2.0	-1.8	-9.8	4	5.1	28	71	67	76	71	30	6
Jahr	—	—	—	—	—	4.1	7.7	4.5	5.2	-11.0	III	24.8	VIII	73	65	77	72	25	IX

Bellinzona

 $\lambda = 9^{\circ} 02'$, $\beta = 46^{\circ} 12'$, $H_b = 229.8^m$, $G = -0.05 \text{‰}$, $h_r = 1.5^m$

1958	Luftdruck					Luft-Temperatur							Relative Feuchtigkeit						
	Mittel	Minimum Tag	Maximum Tag	7 ⁰⁰	13 ⁰⁰	21 ⁰⁰	Mittel	Minimum Tag	Maximum Tag	7 ⁰⁰	13 ⁰⁰	21 ⁰⁰	Mittel	Minimum Tag					
Januar	741.9	720.8	12	756.6	27	-0.9	5.3	1.0	1.6	-4.0	2	9.8	13	78	50	70	66	18	21
Februar	740.7	725.4	26	754.4	14	2.4	9.0	4.9	5.3	-2.5	2	17.0	17	80	54	67	67	21	28
März	736.9	726.9	11	747.6	5	2.9	9.5	5.7	6.0	-1.9	23	19.4	31	67	46	58	57	21	22
April	739.5	729.9	15	749.5	30	6.9	13.8	9.8	10.1	2.8	10.18	20.6	30	72	50	63	62	26	div.
Mai	743.1	729.0	16	751.7	1	15.0	22.0	17.3	17.9	8.6	1	27.4	11	76	52	69	66	28	17
Juni	740.3	729.9	27	747.9	15	16.7	23.3	18.4	19.2	13.6	25	28.0	19	72	48	68	63	26	4.12
Juli	741.2	731.9	22	746.4	8	18.6	26.0	21.1	21.7	13.6	14	31.1	31	78	50	72	67	31	17
August	741.2	732.8	19.22	747.8	5	17.6	25.1	20.9	21.1	11.4	23	31.2	1	83	54	73	70	28	13
September	744.2	738.4	26	749.7	13	15.2	22.3	17.4	18.1	10.0	27	26.2	8.10	89	57	83	76	23	26
Oktober	745.0	729.6	1	754.7	23	9.2	15.9	11.1	11.8	1.9	24	24.8	15	83	56	79	73	28	15
November	743.7	727.6	13	756.4	20	5.6	11.0	7.0	7.6	0.8	20	14.3	1	91	64	87	81	22	1
Dezember	738.0	719.6	14	749.9	30	1.1	4.9	2.5	2.8	5.7	8	15.2	28	85	71	81	79	27	28
Jahr	741.3	719.6	XII	756.6	I	9.2	15.7	11.4	11.9	-4.0	I	31.2	VIII	80	54	73	69	18	I

Locarno-Muralto

 $\lambda = 8^{\circ} 48'$, $\beta = 46^{\circ} 11'$, $H_b = 244.4^m$, $G = -0.01 \text{‰}$, $h_r = 1.2^m$

Januar	740.4	719.8	12	755.3	27	0.6	5.5	2.2	2.6	-3.0	22	9.2	8	73	57	67	66	28	21
Februar	739.5	726.0	18	753.3	14.15	3.5	8.6	5.7	5.9	-1.0	20	15.2	17	74	58	66	66	21	19
März	735.7	746.3	5	725.4	11	3.1	9.4	5.5	5.9	-1.0	12	19.8	31	68	50	59	59	23	22
April	738.2	727.9	16	748.1	20	7.0	13.4	9.2	9.7	2.0	12	20.1	30	74	54	66	65	24	26.28
Mai	741.9	726.2	16	750.0	1.2	15.1	20.8	16.7	17.3	9.2	16	25.2	11	80	57	70	69	26	17
Juni	739.0	725.7	27	746.7	16	16.0	22.0	17.4	18.2	12.6	23.21	25.4	4	78	53	71	67	30	4
Juli	740.2	730.8	22	745.2	8	18.5	24.8	20.1	20.9	13.8	4	30.4	31	83	53	78	71	35	5.6
August	740.1	731.2	22	746.7	5	18.0	24.0	20.1	20.6	13.0	23	30.4	1	86	60	78	75	35	13
September	743.0	737.4	26	748.2	13	16.0	21.5	17.5	18.1	11.4	23	25.2	8	88	60	80	76	40	26.27
Oktober	743.6	731.0	16	753.7	23	9.9	15.8	11.1	12.0	4.0	24	23.4	16	82	62	79	74	28	16.18
November	742.5	726.6	13	755.1	20	6.7	10.7	7.9	8.3	3.3	20	15.0	1	88	72	83	81	35	1
Dezember	736.7	718.6	14	748.7	30	2.5	5.4	3.1	3.5	-2.4	7.8	9.0	28.29	80	73	78	77	50	26
Jahr	740.1	718.6	XII	755.3	I	9.7	15.2	11.4	11.9	-3.0	I	30.4	VII VIII	79	59	73	70	21	II

Locarno-Monti

 $\lambda = 8^{\circ} 47'$, $\beta = 46^{\circ} 10'$, $H_b = 378.9^m$, $G = -0.03 \text{‰}$, $h_r = 1.2^m$

Januar	728.3	707.7	12	742.6	27	0.8	5.2	2.6	2.8	-3.6	22	9.4	13	65	54	61	60	21	21
Februar	727.4	713.6	18	741.0	14	4.0	8.3	6.1	6.1	-1.0	20	15.8	17	66	58	58	61	22	18.19
März	723.5	713.5	11	733.7	5	2.9	7.9	5.4	5.4	-2.4	11	18.8	31	63	52	57	57	22	21.22
April	726.1	715.9	16	736.7	30	6.7	11.7	9.0	9.1	1.4	12	17.7	30	70	57	65	64	23	17
Mai	730.1	715.5	16	738.0	1	14.9	19.5	17.4	17.3	9.4	16	23.6	11	75	60	63	65	28	17
Juni	727.2	713.8	27	734.8	16	16.1	20.7	18.0	18.2	12.6	27	23.8	9.19	72	56	63	64	29	4
Juli	728.5	719.3	22	733.2	31	18.6	23.7	20.7	20.9	13.3	4	28.9	31	79	57	68	68	41	17
August	728.4	719.8	22	734.9	5	17.9	22.8	20.5	20.4	12.8	22	29.3	1	82	63	69	71	40	13
September	731.2	725.8	1.28	736.7	13	15.9	20.3	17.7	17.9	11.5	27	23.7	10	86	64	74	75	33	26
Oktober	731.7	716.2	1	741.0	23	10.4	14.8	11.6	12.1	4.7	23	22.4	15.16	75	63	72	70	27	15
November	730.3	714.7	13	742.4	20	6.8	10.1	8.1	8.3	3.9	20	14.4	1	82	71	76	76	25	1
Dezember	724.5	706.2	14	736.5	30	2.4	4.9	3.4	3.5	-3.3	5	13.4	28	76	73	74	74	37	28
Jahr	728.1	706.2	XII	742.6	I	9.8	14.2	11.7	11.8	-3.6	I	29.3	VIII	74	61	67	67	21	I

Lugano

 $\lambda = 8^{\circ} 58'$, $\beta = 46^{\circ} 00'$, $H_b = 276.2^m$, $G = -0.04 \text{‰}$, $h_r = 1.5^m$

Januar	737.4	716.3	12	752.2	27	-0.6	7.2	1.7	2.5	-4.8	25	11.8	13	80	52	75	69	15	21
Februar	736.4	722.5	18	750.4	14	2.4	9.5	5.1	5.5	-2.4	20	14.2	28	85	57	74	72	19	19.28
März	732.7	722.8	11	743.3	5	2.5	10.5	5.3	5.9	-2.2	23	21.8	31	74	48	63	62	16	22
April	735.2	725.5	15.16	745.2	30	6.7	13.5	9.1	9.6	2.0	12	22.2	29	78	56	71	68	21	9.28
Mai	739.1	723.6	16	747.6	1	14.5	22.8	17.6	18.1	9.4	1	27.4	11	83	54	70	69	23	17
Juni	736.3	722.1	27	744.0	16	16.2	23.8	18.4	19.2	12.8	23.24	29.2	4	80	52	70	67	25	4
Juli	737.3	728.2	22	742.1	8	18.2	27.0	21.4	22.0	12.0	23	32.4	31	83	51	78	71	27	17
August	737.3	728.6	21	744.1	5	17.8	26.8	21.4	21.8	12.2	23	32.6	1	86	54	73	71	36	8
September	740.3	734.6	26	745.4	13	15.8	24.0	18.3	19.1	11.2	27	27.6	7.9	86	55	78	73	23	26
Oktober	740.7	725.4	1	750.6	24	10.1	17.9	11.7	12.9	2.6	23	25.2	16	83	55	79	72	19	16
November	739.6	724.0	13	751.4	20	6.5	11.8	7.8	8.5	3.4	20	14.8	3.7	91	65	87	81	25	1
Dezember	733.7	715.1	14	746.0	30	1.8	6.2	2.6	3.3	-3.8	13.9	12.2	1	87	69	87	81	38	7.8
Jahr	737.2	715.1	XII	752.2	I	9.3	16.8	11.7	12.4	-4.8	I	32.6	VIII	83	56	75	71	15	I

Bellinzona

Beobachter: A. Casari-Lienhard

Table for Bellinzona with columns for Bewölkung, Termine mit Nebel, Niederschlag, Zahl der Tage, Windverteilung, and 1958. Includes monthly and annual data.

Beobachter: Frau A. Mariani

Locarno-Muralto

Table for Locarno-Muralto with columns for weather data and 1958. Includes monthly and annual data.

Beobachter: Osservatorio Ticinese

Locarno-Monti

Table for Locarno-Monti with columns for weather data and 1958. Includes monthly and annual data.

Beobachter: G. Vicari

Lugano

Table for Lugano with columns for weather data and 1958. Includes monthly and annual data.

$\lambda = 8^{\circ} 21', \beta = 47^{\circ} 16', H_b = 473^m, h_r = 1.5^m$

Muri (Aargau)

Beobachter: Frau Weber-Arni

1958	Luft-Temperatur						Relative Feuchtigkeit					Bewölkung				Nebel				Niederschlag		Zahl der Tage										
	7 ³⁰	13 ³⁰	21 ³⁰	Mittel	Minimum Tag	Maximum Tag	7 ³⁰	13 ³⁰	21 ³⁰	Mittel	Minimum Tag	7 ³⁰	13 ³⁰	21 ³⁰	Mittel	7 ³⁰	13 ³⁰	21 ³⁰	Total	Summe	Maximum Tag	*	* ≥ 1.0	*	▲	☐	helle	trübe				
	Jan.	-1.2	1.4	-0.4	-0.2	-13.2	25	10.0	6	86	81	88	85	41	7	8.9	7.9	8.8	8.5	6	2	4	12	71	12	12	12	12	7	—	—	1
Feb.	1.5	5.6	3.0	3.3	-7.6	28	16.1	14	86	78	84	83	40	12	8.6	8.0	6.5	7.7	3	2	2	7	148	33	17	16	14	7	—	—	—	13
März	-1.8	4.7	-0.4	0.5	-8.6	12	16.8	29	84	78	81	81	58	2	6.8	7.0	6.4	6.7	1	—	—	1	53	13	17	13	12	11	—	—	3	15
Apr.	4.0	9.2	4.8	5.7	-1.5	11	19.6	21	78	60	77	72	29	21	7.3	6.9	6.0	6.7	—	—	—	—	93	33	16	12	11	5	—	—	5	14
Mai	12.4	19.6	12.7	14.4	7.4	17	28.0	11	79	57	80	72	32	2	6.7	5.4	4.4	5.5	1	—	—	1	82	25	16	9	9	—	—	—	6	9
Juni	13.7	19.7	13.7	15.2	8.6	27	28.2	2	76	57	79	71	33	16	6.1	6.1	6.2	6.1	1	—	—	1	142	48	10	13	11	—	—	2	6	10
Juli	15.9	22.5	16.3	17.7	10.8	2	30.2	15	82	58	82	74	37	16	7.0	5.9	5.6	6.2	2	—	—	2	151	29	1	16	14	—	—	2	2	7
Aug.	15.9	22.4	16.3	17.7	10.8	27	32.3	1	86	58	85	76	43	5	6.8	5.5	6.2	6.2	7	—	—	7	160	42	19	12	10	—	—	2	3	10
Sept.	12.8	20.0	13.7	15.1	4.5	28	25.2	7	87	61	88	79	46	11	8.2	4.7	4.6	5.8	10	—	—	10	95	31	21	6	5	—	—	—	4	9
Okt.	7.5	10.9	7.8	8.5	0.8	28	17.5	10	86	75	88	83	50	23	9.4	7.9	5.5	7.6	7	—	—	7	101	18	12	16	14	—	—	—	1	13
Nov.	3.5	5.5	3.7	4.1	0.4	29	8.8	4	90	82	90	87	55	2	9.8	9.8	9.5	9.7	7	2	2	11	52	11	10	11	7	—	—	—	—	29
Dez.	1.5	4.7	1.8	2.4	-5.3	7	10.2	16	82	71	81	78	42	17	8.5	8.3	8.3	8.4	5	3	2	10	63	24	24	10	8	—	—	—	—	19
Jahr	7.1	12.2	7.8	8.7	-13.2	I	32.3	VIII	83	68	83	78	29	IV	7.8	7.0	6.5	7.1	50	9	10	69	1211	48	VI	146	127	30	—	6	31	170

$\lambda = 9^{\circ} 30', \beta = 47^{\circ} 28', H = 445^m, h_r = 1.5^m$

Rorschach

Beobachter, Seminar: J. Bawidamann

1958	Luft-Temperatur						Relative Feuchtigkeit					Bewölkung				Nebel				Niederschlag		Zahl der Tage											
	7 ³⁰	13 ³⁰	21 ³⁰	Mittel	Minimum Tag	Maximum Tag	7 ³⁰	13 ³⁰	21 ³⁰	Mittel	Minimum Tag	7 ³⁰	13 ³⁰	21 ³⁰	Mittel	7 ³⁰	13 ³⁰	21 ³⁰	Total	Summe	Maximum Tag	*	* ≥ 1.0	*	▲	☐	helle	trübe					
	Jan.	0.5	1.4	0.1	0.3	8.0	22	10.1	6	82	75	80	79	49	9	8.3	9.5	8.0	8.6	3	1	1	5	78	18	19	12	11	9	—	—	3	22
Feb.	3.1	4.6	3.5	3.7	-5.8	28	14.1	16	77	70	73	73	38	25	9.0	8.0	5.8	7.6	—	—	—	—	136	44	17	15	14	9	—	—	—	14	
März	-1.0	3.7	1.0	1.2	7.1	24	14.0	28	79	57	75	70	36	24	7.2	5.8	4.9	6.0	1	—	—	1	56	17	13	10	9	8	—	—	6	12	
Apr.	4.1	8.4	5.3	5.8	-1.7	11	16.2	21	80	61	71	71	38	26	8.1	6.7	6.1	7.0	—	—	—	—	112	29	16	14	13	7	—	—	2	12	
Mai	13.2	17.9	14.8	15.2	6.2	1	23.9	11	73	57	66	65	28	25	6.7	6.2	4.1	5.7	—	—	—	—	54	23	27	9	9	—	—	—	6	9	
Juni	14.2	18.9	14.9	15.7	9.6	27	25.3	2	73	51	67	64	31	5	5.5	6.1	5.2	5.6	—	—	—	—	131	29	10	13	13	—	1	3	8	11	
Juli	17.0	21.0	17.6	18.3	11.7	4	27.8	13	76	58	72	69	40	10	6.3	5.6	6.0	6.0	—	—	—	—	168	25	5	15	13	—	—	5	2	6	
Aug.	16.9	21.6	17.6	18.4	12.2	27	28.9	1	76	55	70	67	40	18	5.8	5.1	5.1	5.3	—	—	—	—	130	15	19	16	15	—	—	4	4	6	
Sept.	14.5	18.9	15.2	15.9	8.8	27	24.0	21	75	63	77	72	35	30	8.1	4.6	3.7	5.5	1	—	—	1	68	20	16	6	5	—	—	2	3	6	
Okt.	8.4	10.2	8.7	9.0	3.0	23	17.9	1	82	78	81	79	55	4	9.2	8.6	7.3	8.4	3	2	1	6	113	16	1	14	13	—	—	1	1	20	
Nov.	4.1	5.5	4.5	4.6	0.4	30	10.4	3	87	79	85	84	60	1	9.6	9.1	9.3	9.3	2	1	1	4	74	17	4	8	8	—	—	—	—	26	
Dez.	2.8	4.4	3.1	3.5	-5.6	7	15.8	19	78	78	81	79	61	30	8.6	8.1	7.3	8.0	1	1	—	2	72	17	24	13	12	4	—	—	—	—	16
Jahr	8.1	11.4	8.9	9.3	8.0	I	28.9	VIII	78	65	75	73	28	V	7.7	6.9	6.1	6.9	11	5	3	19	1192	44	II	145	135	37	1	15	35	160	

$\lambda = 9^{\circ} 29', \beta = 47^{\circ} 23', H_b = 1156^m, h_r = 1.5^m$

Schwäbrig (ob Gals)

Beobachter: A. Golaz

1958	Luft-Temperatur						Relative Feuchtigkeit					Bewölkung				Nebel				Niederschlag		Zahl der Tage											
	7 ³⁰	13 ³⁰	21 ³⁰	Mittel	Minimum Tag	Maximum Tag	7 ³⁰	13 ³⁰	21 ³⁰	Mittel	Minimum Tag	7 ³⁰	13 ³⁰	21 ³⁰	Mittel	7 ³⁰	13 ³⁰	21 ³⁰	Total	Summe	Maximum Tag	*	* ≥ 1.0	*	▲	☐	helle	trübe					
	Jan.	-2.7	-1.0	-2.1	-2.0	-10.7	21	5.0	6	—	—	—	—	—	—	6.7	6.9	5.9	6.5	7	5	3	15	104	16	20	14	12	14	—	—	6	15
Feb.	0.9	2.2	0.9	1.2	-10.4	28	11.8	15	—	—	—	—	—	—	8.6	8.6	7.1	8.1	7	4	1	12	173	25	17	17	17	14	—	—	—	—	16
März	-4.0	-1.3	-3.5	-3.1	-12.7	23	9.8	29	86	81	88	85	47	27	7.0	7.5	6.7	7.1	3	2	2	7	109	21	13	15	15	15	—	—	3	16	
Apr.	0.9	2.9	0.7	1.3	-6.2	11	11.0	21	86	80	85	84	43	3	8.1	8.2	6.7	7.7	8	7	—	15	165	38	16	16	15	15	1	—	—	2	17
Mai	11.5	14.1	10.5	11.6	0.5	16	23.5	11	75	68	76	73	34	12	6.9	7.4	5.0	6.4	3	3	1	7	98	32	27	11	11	1	—	—	2	11	
Juni	10.9	13.8	10.4	11.4	3.0	27	22.3	2	80	70	82	77	46	2	6.8	7.5	6.9	7.1	2	1	—	3	181	54	10	14	12	—	1	1	2	15	
Juli	13.5	17.0	13.4	14.3	5.6	4	26.0	15	82	72	85	80	47	19	7.4	7.2	7.0	7.2	4	3	—	7	239	48	1	18	15	—	1	8	1	14	
Aug.	14.0	17.2	14.0	14.8	7.4	26	27.3	29	80	72	79	77	33	29	7.0	6.7	7.1	6.9	2	1	—	3	220	31	23	17	15	—	1	7	1	13	
Sept.	12.8	15.3	11.9	13.0	5.6	27	21.4	6	80	72	83	78	30	14	6.1	6.1	4.9	5.7	7	4	1	12	116	48	16	10	7	—	—	1	6	11	
Okt.	5.4	7.2	5.2	5.8	-4.0	25	18.9	10	81	76	86	81	37	29	6.4	7.0	6.3	6.6	5	5	1	11	216	32	17	19	17	6	—	—	6	17	
Nov.	1.2	2.4	1.0	1.4	-3.4	21	7.4	8	90	88	91	90	45	19	7.6	8.2	7.1	7.6	14	14	8	36	88	25	4	9	8	5	—	—	—	—	17
Dez.	-0.0	1.0	0.2	0.3	-10.0	4	9.2	19	77	77	78	77	15	31	7.5	7.5	6.6	7.2	6	5	1	12	108	27	24	14	14	11	—	—	2	13	
Jahr	5.4	7.6	5.2	5.8	-12.7	III	27.3	VIII	—	—	—	—	—	—	7.2	7.4	6.4	7.0	68	54	18	140	1817	54	VI	174	158	81	4	19	36	175	

$\lambda = 9^{\circ} 08', \beta = 47^{\circ} 16', H_b = 649^m, h_r = 1.5^m$

Ebnat

Beobachter: Fr. M. Kuratle

1958	Luft-Temperatur						Relative Feuchtigkeit					Bewölkung				Nebel				Niederschlag		Zahl der Tage										
	7 ³⁰	13 ³⁰	21 ³⁰	Mittel	Minimum Tag	Maximum Tag	7 ³⁰	13 ³⁰	21 ³⁰	Mittel	Minimum Tag	7 ³⁰	13 ³⁰	21 ³⁰	Mittel	7 ³⁰	13 ³⁰	21 ³⁰	Total	Summe	Maximum Tag	*	* ≥ 1.0	*	▲	☐	helle	trübe				
	Jan.	-4.0	1.0	-2.5	-2.0	-18.0	24	8.2	5	88	72	88	83	46	2	6.2	5.5	6.5	6.1	—	—	—	—	168	26	6	11	11	8	—	—	6
Feb.	-0.2	4.6	0.8	1.5	-13.2	1	15.0	15	83	68	84	78	30	5	6.7	6.6	6.6	6.6	—	—	—	—	413	64	21	18						

λ = 8° 57', β = 47° 17', H = 908m, h_r = 1.5m

Wald (Faltigberg)

Beobachter: Sanatorium

1958	Luft-Temperatur							Relative Feuchtigkeit					Bewölkung				Nebel Zahl der Termine				Niederschlag			Zahl der Tage									
	7 ³⁰	13 ³⁰	21 ³⁰	Mittel	Minimum Tag	Maximum Tag		7 ³⁰	13 ³⁰	21 ³⁰	Mittel	Minimum Tag		7 ³⁰	13 ³⁰	21 ³⁰	Mittel	7 ³⁰	13 ³⁰	21 ³⁰	Total	Summa	Maximum Tag		* ≥1.0	* ≥1.0	* ≥1.0	☐	☐	☐	☐	☐	☐
Jan.	-1.3	0.1	-0.7	-0.7	-7.6	22	5.3	27	86	83	85	85	42	1	6.5	5.9	7.3	6.6	1	2	2	5	134	30	20	12	11	12	—	—	—	7	17
Febr.	1.9	4.0	2.6	2.8	-8.3	28	14.4	14	80	76	77	78	35	1	7.3	7.1	6.1	6.8	—	1	—	3	249	43	17	19	17	13	—	—	—	4	12
März	-2.2	1.4	-0.6	-0.5	-8.8	1.33	12.5	29	86	78	85	83	52	5.25	5.9	7.1	5.3	6.1	2	2	—	4	114	17	19	16	14	14	—	—	—	5	10
Apr.	2.5	5.9	4.0	4.1	-3.6	11	14.4	21	87	74	80	80	41	3	7.1	6.8	5.9	6.6	1	2	—	3	183	37	16	17	14	12	—	—	—	4	14
Mai	11.8	16.0	13.3	13.6	3.0	16	23.6	11	80	67	71	73	37	24	5.7	6.9	3.4	5.3	—	—	1	1	118	51	27	10	9	1	—	—	—	6	7
Juni	12.1	16.2	13.3	13.7	6.2	27	22.6	2	84	69	76	76	47	14	5.6	6.1	6.0	5.9	2	—	—	2	199	60	10	12	12	—	—	2	4	11	
Juli	14.3	18.9	16.2	16.4	8.4	4	25.4	15	90	75	82	82	47	13	5.8	6.1	6.8	6.2	1	—	—	1	218	31	22	18	17	—	—	3	2	8	
Aug.	14.9	18.9	15.9	16.4	10.0	21.28	26.0	1	*85	*75	*80	*80	—	—	5.7	5.7	6.1	5.8	—	—	—	—	221	48	19	16	14	—	—	4	4	8	
Sept.	13.2	17.3	14.2	14.7	7.8	27	22.4	7	84	77	84	81	42	30	4.9	5.4	4.6	5.0	—	1	—	1	133	41	21	9	7	—	—	—	11	7	
Okt.	6.6	8.8	7.1	7.4	0.2	29	16.2	10	87	84	87	86	47	30	6.1	7.6	6.2	6.6	4	5	2	11	227	28	12	19	17	4	—	—	6	14	
Nov.	2.1	3.6	2.4	2.6	-2.2	30	8.5	8	90	89	92	90	62	19	7.8	8.1	8.1	8.0	9	13	13	35	74	25	3	9	8	2	—	—	2	19	
Dez.	1.2	3.0	1.7	1.9	-7.6	5	12.6	19	77	74	78	76	26	31	7.3	6.7	5.5	6.5	2	2	3	7	131	34	24	15	13	9	—	—	5	14	
Jahr	6.4	9.5	7.5	7.7	-8.8	III	26.0	VIII	85	77	81	81	26	XII	6.3	6.6	5.9	6.3	22	28	21	71	2001	60	VI	173	153	67	—	9	60	141	

λ = 9° 17', β = 47° 08', H = ca 982m, h_r = 1.2m

Walenstadtberg

Beobachter: Sanatorium

1958	Luft-Temperatur							Relative Feuchtigkeit					Bewölkung				Nebel Zahl der Termine				Niederschlag			Zahl der Tage									
	7 ³⁰	13 ³⁰	21 ³⁰	Mittel	Minimum Tag	Maximum Tag		7 ³⁰	13 ³⁰	21 ³⁰	Mittel	Minimum Tag		7 ³⁰	13 ³⁰	21 ³⁰	Mittel	7 ³⁰	13 ³⁰	21 ³⁰	Total	Summa	Maximum Tag		* ≥1.0	* ≥1.0	* ≥1.0	☐	☐	☐	☐	☐	☐
Jan.	-1.7	1.3	-0.8	-0.5	-8.0	21	8.3	27	74	67	74	72	36	25	5.8	5.6	5.7	5.7	—	—	—	1	191	49	9	15	12	13	—	—	—	8	12
Febr.	0.7	4.6	2.0	2.3	-10.8	28	13.2	15	79	67	76	74	38	1	7.2	7.4	6.5	7.0	—	—	—	—	479	87	16	18	18	13	—	—	—	4	16
März	-2.8	2.2	-1.1	-0.7	-10.2	23	11.2	29	81	67	80	76	42	5	7.3	6.7	6.1	6.7	2	2	4	8	141	44	13	18	16	16	—	—	—	4	14
Apr.	2.3	6.9	3.8	4.2	-4.0	11	16.5	22	80	66	78	71	42	26	7.3	7.2	6.7	7.1	6	1	6	13	202	38	10	14	14	11	—	—	—	3	15
Mai	11.7	16.4	12.5	13.3	4.4	16.17	24.8	11	72	63	71	69	41	6.19	6.2	6.8	4.9	6.0	2	—	2	4	114	32	27	10	9	—	—	—	5	9	
Juni	12.0	16.4	12.8	13.5	6.4	27	23.5	2	78	66	75	73	38	2	5.7	7.7	7.0	6.8	2	1	2	5	200	55	10	15	15	—	—	3	3	14	
Juli	14.2	19.0	15.2	15.9	6.7	3	27.3	15	85	69	83	79	47	13	6.8	6.7	6.6	6.7	4	—	—	4	187	36	24	17	14	—	—	5	3	16	
Aug.	14.6	19.1	15.2	16.0	9.9	26	27.1	1	80	69	80	76	46	29	5.7	5.5	7.0	6.1	2	—	1	3	168	24	6	16	14	—	—	7	3	11	
Sept.	12.7	17.5	13.5	14.3	7.0	27	23.5	6	78	70	81	76	52	30	5.1	4.5	4.7	4.8	2	2	2	6	123	36	21	9	9	—	—	1	8	5	
Okt.	6.2	9.4	6.6	7.2	0.0	23	20.2	10	80	76	83	80	39	31	6.5	6.3	6.0	6.3	5	3	6	14	294	52	17	19	19	6	—	1	7	16	
Nov.	2.1	4.7	1.9	2.6	-2.5	29	9.7	22	84	77	88	83	46	3.21	6.8	7.5	6.8	7.0	12	9	13	34	71	23	3	11	10	3	—	—	2	14	
Dez.	0.5	3.0	0.9	1.3	-7.2	4	9.5	20	72	72	77	74	28	31	6.6	7.0	5.0	6.2	4	2	2	8	162	42	27	16	15	9	—	—	6	12	
Jahr	6.0	10.0	6.9	7.5	-10.8	II	27.3	VII	78	69	79	75	28	XII	6.4	6.6	6.1	6.4	41	20	39	100	2332	87	II	178	165	71	—	17	56	154	

λ = 9° 27', β = 46° 55', H = 956m, h_r = 1.5m

Vättis

Beobachter: A. Jäger

1958	Luft-Temperatur							Relative Feuchtigkeit					Bewölkung				Nebel Zahl der Termine				Niederschlag			Zahl der Tage									
	7 ³⁰	13 ³⁰	21 ³⁰	Mittel	Minimum Tag	Maximum Tag		7 ³⁰	13 ³⁰	21 ³⁰	Mittel	Minimum Tag		7 ³⁰	13 ³⁰	21 ³⁰	Mittel	7 ³⁰	13 ³⁰	21 ³⁰	Total	Summa	Maximum Tag		* ≥1.0	* ≥1.0	* ≥1.0	☐	☐	☐	☐	☐	☐
Jan.	-4.2	-0.1	-3.6	-2.9	-13.9	25	7.1	5	79	66	82	76	35	25	5.1	4.9	5.0	5.0	—	1	—	1	74	19	6	12	9	11	—	—	—	11	11
Febr.	-1.0	3.7	-0.5	0.4	-15.0	28	12.4	15	83	67	79	76	36	12	7.0	7.0	5.7	6.6	—	2	—	2	211	55	16	16	16	13	—	—	—	4	12
März	-5.0	1.5	-3.5	-2.6	-15.5	23	11.2	25.20	86	63	85	78	26	24	5.8	6.7	4.9	5.8	—	—	—	—	54	26	13	13	10	12	—	—	—	6	9
Apr.	0.8	6.9	0.9	2.4	-7.4	12	15.8	21	83	60	86	76	32	20	7.0	6.9	5.8	6.6	—	—	—	—	74	14	28	14	14	10	—	—	—	3	11
Mai	11.9	17.7	10.4	12.6	2.0	17	24.8	9	70	51	76	66	31	24	5.8	6.3	3.7	5.3	—	—	—	—	70	33	27	12	8	—	—	—	6	8	
Juni	11.9	16.9	10.9	12.6	5.8	27	25.3	2	76	58	83	72	29	2	6.3	6.8	6.8	6.6	—	—	—	—	106	17	22	16	13	—	—	1	3	14	
Juli	13.8	19.9	13.5	15.2	6.9	3	28.1	13	82	59	87	76	35	13	6.4	5.8	5.9	6.0	—	—	—	—	159	30	22	20	19	—	—	3	4	10	
Aug.	12.8	19.6	13.4	14.8	6.4	27	28.0	1	84	57	85	75	43	19.38	6.1	5.9	6.0	6.0	—	—	—	—	146	24	19	17	17	—	—	7	4	10	
Sept.	9.8	18.0	11.0	12.4	1.6	27	24.1	6	88	58	85	77	37	4.15	4.4	4.2	4.2	4.3	—	—	—	—	74	18	21	10	8	—	—	1	10	6	
Okt.	4.2	9.6	4.5	5.7	-3.4	23	21.3	10	88	68	88	81	40	10	6.1	5.9	5.6	5.9	1	2	—	3	192	36	12	19	19	6	—	—	1	10	13
Nov.	0.9	5.3	1.1	2.1	-4.7	28	14.5	22	87	73	89	83	45	8	6.2	6.7	6.5	6.5	2	4	3	9	26	6	3	9	7	2	—	—	—	4	14
Dez.	-1.0	2.3	-0.7	-0.0	-11.0	4	9.0	20	78	70	80	76	40	15.17	6.1	6.4	5.4	6.0	—	1	—	1	69	10	27	15	14	9	—	—	9	13	
Jahr	4.6	10.1	4.8	6.1	-15.5	III	28.1	VII	82	62	84	76	26	III	6.0	6.1	5.5	5.9	3	10	3	16	1255	55	II	173	154	63	—	13	74	131	

Zentralschweiz

λ = 8° 31', β = 47° 06', H = 449m, h_r = 1.5m

Walchwil

Beobachter: P. Matter

1958	Luft-Temperatur							Relative Feuchtigkeit					Bewölkung				Nebel Zahl der Termine				Niederschlag			Zahl der Tage								
	7 ³⁰	13 ³⁰	21 ³⁰	Mittel	Minimum Tag	Maximum Tag		7 ³⁰	13 ³⁰	21 ³⁰	Mittel	Minimum Tag		7 ³⁰	13 ³⁰	21 ³⁰	Mittel	7 ³⁰	13 ³⁰	21 ³⁰	Total	Summa	Maximum Tag		* ≥1.0	* ≥1.0	* ≥1.0	☐	☐	☐	☐	☐
Jan.	-0.7	1.6	0.1	0.3	-7.5	25	9.9	6	85	74	82	80	47	10	8.3	7.8	8.0	8.0	1	1	1	3	74	18	20	12	9	8	—	—		

$\lambda = 8^{\circ} 27', \beta = 47^{\circ} 02', H_b = 440^m, h_r = 1.5^m$

Weggis

Beobachter: Geschwister Zimmermann

1958	Luft-Temperatur						Relative Feuchtigkeit					Bewölkung				Nebel				Niederschlag			Zahl der Tage									
	7 ³⁰	13 ³⁰	21 ³⁰	Mittel	Minimum Tag	Maximum Tag	7 ³⁰	13 ³⁰	21 ³⁰	Mittel	Minimum Tag	7 ³⁰	13 ³⁰	21 ³⁰	Mittel	7 ³⁰	13 ³⁰	21 ³⁰	Total	Summe	Maximum Tag	☉	☉ ≥1.0	☼	▲	☐	haite	trOb				
	Jan.	-0.1	2.1	1.0	1.0	-6.4	12.1	6	85	80	83	83	51	6	7.1	6.7	7.7	7.2	1	—	—	1	76	22	20	13	11	9	—	—	5	17
Feb.	2.8	5.5	3.4	3.8	-4.0	15.6	16	85	73	82	80	53	16	8.3	6.6	6.2	7.0	—	—	—	—	77	28	17	15	14	8	—	—	1	13	
März	-0.1	3.6	1.4	1.6	-4.8	12.0	28	85	68	80	78	40	8	6.4	6.6	5.6	6.2	—	—	—	—	92	22	17	13	12	12	—	1	4	13	
Apr.	4.3	8.2	5.6	5.9	-0.7	20.6	22	85	67	78	77	42	25	7.2	5.9	6.4	6.5	—	—	—	—	125	37	16	15	14	7	—	1	5	15	
Mai	12.3	17.2	13.6	14.2	5.2	24.0	11.25	83	64	75	74	30	25	5.2	5.3	3.9	4.8	—	—	—	—	92	35	27	11	10	—	—	—	8	5	
Juni	14.2	18.9	14.9	15.7	10.2	25.9	17	81	62	77	73	39	4	5.4	5.7	5.9	5.7	—	—	—	—	195	69	10	14	13	—	1	2	7	12	
Juli	16.3	21.4	17.5	18.2	11.4	28.4	13	86	66	80	77	54	23	5.8	4.4	4.8	5.0	—	—	—	—	142	26	3	16	13	—	1	4	5	4	
Aug.	16.1	21.2	17.2	17.9	12.1	27.0	1	88	68	82	79	43	18	4.4	4.5	5.0	4.6	—	—	—	—	190	43	19	16	12	—	—	3	7	5	
Sept.	14.8	19.2	15.4	16.2	8.2	24.4	1.16	87	69	84	80	34	30	5.7	4.4	3.2	4.4	—	—	—	—	94	40	21	8	7	—	—	1	6	5	
Okt.	8.4	10.7	8.7	9.1	3.5	23	18.2	3	88	76	87	84	57	16	8.9	8.0	7.4	8.1	—	—	—	—	185	35	12	17	14	—	—	—	1	20
Nov.	4.7	5.9	4.9	5.1	2.5	20	9.0	17	89	82	87	86	60	17	9.7	8.6	9.1	9.1	—	—	—	—	80	32	5	11	9	—	—	—	—	24
Dez.	2.8	5.1	3.7	3.8	-2.2	16.3	19	84	76	80	80	30	19	8.0	8.0	7.5	7.8	—	—	—	—	56	20	24	11	7	2	—	—	2	18	
Jahr	8.0	11.6	8.9	9.4	-6.4	I 28.4	VII	85	71	81	79	30	V	6.8	6.2	6.1	6.4	1	—	—	1	1404	69	VI	160	136	38	2	12	51	151	

$\lambda = 8^{\circ} 28', \beta = 47^{\circ} 03', H = ca 1490^m, h_r = 2.0^m$

Rigi-Kaltbad

Beobachter: Gratalklausur der Kapuziner

Jan.	-3.0	1.0	-2.0	-1.4	-11.4	21	10.0	28	71	62	71	68	20	25	5.9	5.8	6.3	6.0	1	2	1	4	129	28	12	12	11	11	—	—	10	16
Feb.	-0.3	2.1	-0.1	0.4	-12.6	28	12.0	13	71	66	70	69	20	1	7.4	8.1	6.7	7.4	5	8	2	15	151	33	17	17	12	—	—	—	3	17
März	-4.2	-0.4	-3.5	-2.9	-12.0	10.6	29	77	69	81	76	30	17	6.5	8.2	6.4	7.0	6	9	2	17	119	24	17	12	11	12	—	—	—	3	14
Apr.	-0.6	2.7	-0.2	0.3	-8.2	11	10.8	20.30	81	71	82	78	35	20	7.0	7.7	7.3	7.3	5	4	3	12	191	48	16	15	15	14	—	1	3	17
Mai	8.7	12.6	9.0	9.7	-0.2	16	22.0	11	68	65	68	67	30	9	5.9	7.2	5.0	6.0	3	3	—	6	128	45	27	10	10	1	—	—	6	13
Juni	8.5	11.7	9.4	9.3	3.0	27	21.6	2	80	72	79	77	40	2	6.4	7.4	7.1	7.0	3	2	—	5	278	80	10	17	15	1	1	3	3	13
Juli	11.2	14.6	12.2	12.2	4.8	3	24.4	15	85	76	82	81	44	15	7.0	8.1	7.1	7.4	4	2	—	6	201	32	16	19	16	—	—	4	1	13
Aug.	11.9	16.0	12.5	13.1	5.8	26	25.8	1	79	68	79	75	34	28	5.7	5.9	7.0	6.2	—	—	—	—	226	59	19	14	14	—	—	4	5	13
Sept.	11.1	14.8	11.0	12.0	3.2	27	22.8	5	75	67	79	74	33	14	5.1	5.0	4.4	4.8	3	2	—	5	110	?	—	?	?	—	—	1	10	8
Okt.	4.4	7.3	5.1	5.4	-4.0	17.18	18.8	10	77	73	77	76	30	24	6.5	7.0	6.5	6.7	9	11	3	23	242	32	12	18	17	9	—	—	7	18
Nov.	1.5	4.8	2.1	2.6	-2.6	14	11.8	27	77	66	74	72	33	20	6.2	6.2	6.3	6.2	6	8	3	17	104	38	3	9	9	6	—	—	7	15
Dez.	-0.3	1.9	0.1	0.5	-7.0	2.3	9.4	19	66	62	65	64	10	31	6.7	6.9	6.9	6.8	7	5	7	19	82	25	24	12	12	12	—	—	9	20
Jahr	4.1	7.4	4.6	5.1	-12.6	II	25.8	VIII	76	68	75	73	10	XII	6.4	7.0	6.4	6.6	52	56	21	129	1961	80	VI	164	155	78	1	13	67	177

Die Abendbeobachtung erfolgt um 20.30 h

$\lambda = 8^{\circ} 10', \beta = 46^{\circ} 47', H = ca 735^m, h_r = 1.5^m$

Lungern

Beobachter: O. Imfeld

Jan.	-1.8	0.8	-1.1	-0.8	-8.2	31	10.2	6	81	73	82	79	40	11	7.3	7.3	8.2	7.6	5	3	4	12	154	62	6	12	11	8	—	—	3	18
Feb.	1.8	5.1	2.7	3.1	-8.4	1	15.0	14	78	68	76	74	38	25	8.4	6.5	6.0	7.0	1	—	—	1	338	68	27	18	16	11	—	—	2	13
März	-2.1	2.7	-0.8	-0.2	-10.2	23	13.4	29	86	66	85	79	35	9	6.3	6.6	6.0	6.3	2	—	—	2	124	37	13	15	13	14	—	—	5	11
Apr.	3.0	7.8	4.0	4.7	-3.4	11	15.2	22	83	61	81	75	28	3	7.6	6.2	6.5	6.8	—	—	—	—	121	29	15	14	14	10	—	—	3	13
Mai	12.3	17.1	12.7	13.7	5.2	17	27.6	11	74	60	74	69	28	5	5.3	5.9	4.8	5.3	—	—	—	—	89	24	27	11	10	—	—	—	7	9
Juni	12.9	16.9	13.3	14.1	8.8	27	23.2	2	80	62	80	74	42	2.27	6.2	6.3	7.4	6.6	—	—	—	—	150	32	10	15	13	—	—	—	3	12
Juli	15.4	20.2	15.8	16.8	9.6	3	26.6	15	83	66	85	78	50	div.	6.1	5.7	6.5	6.1	—	—	—	—	138	20	24	20	18	—	—	—	3	7
Aug.	15.4	20.3	16.0	16.9	9.0	27	28.0	1	83	66	83	77	38	18	5.3	5.4	6.5	5.7	—	—	—	—	217	39	31	16	16	—	1	4	5	7
Sept.	13.0	18.4	13.7	14.7	5.4	27	24.0	7	86	65	86	79	37	30	5.0	5.2	3.8	4.7	1	—	—	1	144	33	21	10	9	—	—	3	9	6
Okt.	6.6	9.2	7.0	7.4	-0.2	29	17.8	15	89	79	90	86	42	8	8.4	7.2	7.2	7.6	3	—	2	5	158	27	1	16	14	2	—	—	1	18
Nov.	1.6	3.6	2.1	2.3	-2.4	20	30	3	95	85	94	91	59	8	8.5	8.8	8.2	8.5	11	4	9	24	74	22	3	12	9	3	—	—	2	21
Dez.	1.2	3.7	2.3	2.4	-6.4	5.8	14.4	19	82	74	75	77	30	15	8.3	7.7	7.1	7.7	3	2	2	7	76	16	11	14	11	4	—	—	3	17
Jahr	6.6	10.5	7.3	7.9	-10.2	III	28.0	VIII	83	69	83	78	28	IV	6.9	6.6	6.5	6.7	26	9	17	52	1783	68	11	173	154	52	1	7	46	152

$\lambda = 8^{\circ} 37', \beta = 46^{\circ} 44', H = 739^m, h_r = 1.5^m$

Gurtellen

Beobachter: Stationspersonal

Jan.	-1.4	0.0	-1.5	-1.1	-6.3	30	6.4	20	76	77	82	78	35	22.20	6.2	5.0	4.3	5.2	—	—	—	—	70	25	6	10	8	9	—	—	7	10
Feb.	1.3	4.1	2.4	2.6	-7.8	28	16.0	13	80	72	76	76	33	13	7.0	6.8	6.0	6.6	—	—	—	—	188	49	16	16	15	9	—	—	5	14
März	-1.7	2.5	-0.3	0.1	-9.0	23	12.2	29	81	66	81	76	37	24	6.5	6.0	5.2	5.9	—	—	—	—	66	21	13	14	12	13	—	—	5	12
Apr.	2.6	8.0	4.1	4.7	-2.4	12	16.0	21	83	64	82	76	40	21	6.9	6.8	6.4	6.7	—	—	—	—	131	24	15	16	12	12	—	—	4	14
Mai	12.1	17.5	13.6	14.2	4.0	1	25.0	9	73	55	70	66	32	5	6.4	6.7	5.7	6.3	1	—	—	1	118	48	27	11	10	—	—	—	4	12
Juni	12.0	18.1	14.0	14.5	8.4	27	25.8	2	82	58	77	72	33	2	6.9	6.5	6.1	6.5	—	—	—	—	99	15	10	15	14	—	—	—	2	13
Juli	13.8	20.4	15.9	16.5	10.2	18	28.4	15	85	61	83	76	34	15	5.8	6.1	6.0	6.0	—	—												

λ = 8° 36', β = 46° 38', H = 1442 m, h_r = 1.8 m

Andermatt

Bobachter: P. A. Jenny

1958	Luft-Temperatur						Relative Feuchtigkeit					Bewölkung				Nebel				Niederschlag		Zahl der Tage								
	7 ³⁰	13 ³⁰	21 ³⁰	Mittel	Minimum Tag	Maximum Tag	7 ³⁰	13 ³⁰	21 ³⁰	Mittel	Minimum Tag	7 ³⁰	13 ³⁰	21 ³⁰	Mittel	7 ³⁰	13 ³⁰	21 ³⁰	Total	Summe	Maximum Tag	* ≥1.0	* ≥1.0	* ≥1.0	☐	heiter	trüb			
Jan.	-7.8	-5.1	-7.2	-6.8	-20.6	25	2.2	19	—	—	—	—	—	—	—	—	—	—	—	103	27	6	10	10	10	—	—	—	12	8
Feb.	-3.5	0.5	-2.6	-2.1	-21.3	28	7.0	16	—	—	—	—	—	—	—	—	—	—	—	200	43	16	17	16	17	—	—	—	4	13
März	-7.6	-1.1	-5.4	-4.9	-17.5	1	8.0	31	—	—	—	—	—	—	—	—	—	—	—	109	34	13	15	15	14	—	—	—	5	14
Apr.	-2.0	3.2	-1.1	-0.3	-8.4	19	8.7	22	—	—	—	—	—	—	—	—	—	—	—	144	27	27	14	14	12	—	—	—	4	17
Mai	6.4	12.5	7.2	8.3	-1.8	1	17.8	20	—	—	—	—	—	—	—	—	—	—	—	154	60	27	13	12	3	—	—	—	2	4
Juni	8.3	12.7	9.1	9.5	3.3	27	20.3	18	—	—	—	—	—	—	—	—	—	—	—	109	27	3	13	12	1	—	—	—	1	3
Juli	10.7	15.6	11.6	12.1	4.8	3	23.0	13.28	—	—	—	—	—	—	—	—	—	—	—	139	27	3	19	17	1	—	—	—	3	2
Aug.	9.6	15.5	11.4	11.8	4.0	27	20	26.0	1	—	—	—	—	—	—	—	—	—	—	166	90	19	16	15	—	—	—	2	4	
Sept.	7.5	13.8	9.6	10.0	-0.9	27	19.0	15	—	—	—	—	—	—	—	—	—	—	—	87	30	30	8	8	—	—	—	1	7	
Okt.	1.5	6.7	2.7	3.4	-7.5	23	17.4	9	—	—	—	—	—	—	—	—	—	—	—	247	92	1	18	18	7	—	—	—	1	8
Nov.	-1.5	3.2	-0.2	0.3	-9.2	20	8.2	23	—	—	—	—	—	—	—	—	—	—	—	74	17	10	9	9	7	—	—	—	—	8
Dez.	-3.4	-0.6	-3.3	-2.5	-13.8	5	4.5	23	—	—	—	—	—	—	—	—	—	—	—	125	35	21	15	13	13	—	—	—	9	14
Jahr	1.5	6.4	2.6	3.2	-21.3	II	26.0	VIII	—	—	—	—	—	—	—	—	—	—	—	1657	92	X	167	159	85	—	—	—	10	144

Die Abendbeobachtung erfolgt um 20.30 h

Jura

λ = 6° 34', β = 46° 58', H = ca 1060 m, h_r = 1.8 m

La Brévine (Les Tailières)

Bobachter: Frau A. Favre

1958	Luft-Temperatur						Relative Feuchtigkeit					Bewölkung				Nebel				Niederschlag		Zahl der Tage									
	7 ³⁰	13 ³⁰	21 ³⁰	Mittel	Minimum Tag	Maximum Tag	7 ³⁰	13 ³⁰	21 ³⁰	Mittel	Minimum Tag	7 ³⁰	13 ³⁰	21 ³⁰	Mittel	7 ³⁰	13 ³⁰	21 ³⁰	Total	Summe	Maximum Tag	* ≥1.0	* ≥1.0	* ≥1.0	☐	heiter	trüb				
Jan.	-5.6	-0.4	-5.8	-4.4	-25.0	24	2.6	19	—	—	—	—	—	—	—	—	—	—	—	108	51	6	15	13	13	—	—	—	2	15	
Feb.	*2.5	*2.6	*0.5	*0.2	-23.5	28	12.0	15	—	—	—	—	—	—	—	—	—	—	—	*200	?	—	*20	*18	*13	—	—	—	—	14	
März	-5.3	1.5	-2.8	-2.4	-26.0	1	10.0	28	—	—	—	—	—	—	—	—	—	—	—	84	24	13	10	10	9	—	—	—	4	19	
Apr.	-0.2	4.8	0.0	1.2	-8.0	13	15.0	22	—	—	—	—	—	—	—	—	—	—	—	81	22	3	18	15	14	—	—	—	5	19	
Mai	8.2	15.5	6.5	9.2	-1.2	4	22.3	11	81	51	91	74	22	5	6.4	6.6	4.0	5.7	—	—	152	50	14	13	11	2	1	2	5	6	
Juni	9.7	15.8	7.0	9.9	1.8	23	20.4	2.19	84	57	93	78	37	6	6.7	6.7	5.0	6.1	—	—	166	38	10	17	16	—	—	—	5	9	
Juli	12.5	18.6	10.8	13.2	6.8	24	27.4	31	82	56	93	77	35	15	5.5	6.1	4.8	5.5	1	—	—	—	—	—	—	—	—	—	4	6	
Aug.	12.1	18.7	10.7	13.1	5.1	26	27.1	28	86	58	92	79	35	15.38	6.1	5.4	5.2	5.6	—	—	182	34	31	15	15	—	—	—	1	8	
Sept.	8.4	17.1	8.5	10.6	-2.7	28	24.3	15	91	59	93	81	38	15	5.8	4.4	3.9	4.7	3	—	—	—	—	—	—	—	—	—	3	7	
Okt.	3.0	9.9	4.6	5.5	-8.0	29	18.6	10	89	63	90	81	31	28	6.4	5.7	4.7	5.6	2	—	—	—	—	—	—	—	—	—	—	8	12
Nov.	-1.7	4.8	-1.3	0.1	-8.7	18	10.2	24	94	73	94	87	46	19	6.6	5.9	5.1	5.9	4	—	—	—	—	—	—	—	—	—	—	9	14
Dez.	-1.1	3.2	-1.6	-0.3	-15.7	8	8.7	31	88	66	89	81	45	div.	5.4	5.2	5.2	5.3	—	—	—	—	—	—	—	—	—	—	—	9	12
Jahr	3.1	9.3	3.0	4.6	-26.0	III	27.4	VII	—	—	—	—	—	—	—	—	—	—	—	1546	51	I	171	153	64	2	23	61	139		

λ = 6° 54', β = 47° 04', H = 790 m, h_r = 1.5 m

Cernier

Bobachter: Ecole d'Agriculture

1958	Luft-Temperatur						Relative Feuchtigkeit					Bewölkung				Nebel				Niederschlag		Zahl der Tage												
	7 ³⁰	13 ³⁰	21 ³⁰	Mittel	Minimum Tag	Maximum Tag	7 ³⁰	13 ³⁰	21 ³⁰	Mittel	Minimum Tag	7 ³⁰	13 ³⁰	21 ³⁰	Mittel	7 ³⁰	13 ³⁰	21 ³⁰	Total	Summe	Maximum Tag	* ≥1.0	* ≥1.0	* ≥1.0	☐	heiter	trüb							
Jan.	-2.6	-0.7	-2.2	-1.9	-12.0	31	5.8	6	88	84	89	87	65	20	7.8	7.8	6.1	7.2	6	5	5	16	159	35	6	17	17	16	—	—	5	17		
Feb.	0.3	3.6	1.0	1.5	-11.4	28	14.6	14	86	75	81	81	50	3	7.0	7.2	6.1	6.8	2	—	—	—	243	29	21	19	19	11	—	—	—	6	15	
März	-2.8	2.4	-0.8	0.5	-9.9	1	12.4	31	82	66	77	75	50	29.30	5.6	6.4	4.5	5.5	1	—	—	—	1	78	23	13	14	12	12	—	—	—	5	8
Apr.	2.6	7.0	3.4	4.1	-3.2	10	18.0	22	77	60	73	70	45	21	6.3	6.8	5.7	6.3	—	—	—	—	—	63	14	28	14	12	8	—	—	—	5	13
Mai	11.3	16.6	12.4	13.2	3.2	17	24.4	10.11	77	60	71	69	35	4	6.6	6.5	4.7	5.9	—	—	—	—	—	83	30	16	12	8	—	—	—	6	10	
Juni	12.0	16.6	12.7	13.5	6.8	27	22.8	2	75	60	73	69	36	1	5.9	6.4	4.8	5.7	—	—	—	—	—	138	26	20	16	15	—	—	—	1	5	
Juli	15.0	19.8	15.2	16.3	9.5	3	28.0	15	78	62	76	72	45	2.18	5.2	5.7	4.2	5.0	—	—	—	—	—	95	17	4	17	15	—	—	—	7	7	
Aug.	14.6	20.0	15.4	16.4	10.0	23	26.4	30	80	58	78	72	43	28	5.3	6.1	5.2	5.5	—	—	—	—	—	101	22	19	14	13	—	—	—	4	9	
Sept.	12.6	18.1	13.6	14.5	6.5	26	23.6	6	82	62	78	74	44	11	5.0	5.5	3.1	4.5	1	—	—	—	—	—	49	13	21	9	8	—	—	—	1	8
Okt.	5.7	9.5	6.4	7.0	-1.1	29	19.1	10	84	71	82	79	51	22	7.4	7.1	5.4	6.6	5	1	3	9	151	20	1	17	16	—	—	—	—	6	14	
Nov.	1.4	3.3	1.9	2.1	-3.4	20	8.0	9	86	80	87	84	58	1	9.5	9.9	9.3	9.6	10	7	10	27	65	28	2	8	7	2	—	—	—	—	26	
Dez.	0.4	2.7	0.7	1.1	-9.1	6	9.5	20	82	76	79	79	49	6	7.5	7.3	6.4	7.1	3	2	3	8	99	15	27	13	11	6	—	—	—	—	4	15
Jahr	5.9	9.9	6.6	7.3	-12.0	I	28.0	VII	81	68	79	76	35	V	6.6	6.9	5.5	6.3	28	15	21	64	1324	35	I	170	153	55	—	—	—	6	66	152

λ = 7° 00', β = 47° 10', H₀ = ca 1180 m, h_r = 1.5 m

Mont Soleil (s. St. Imier)

Bobachter: H. Sutter

1958	Luft-Temperatur						Relative Feuchtigkeit					Bewölkung				Nebel				Niederschlag		Zahl der Tage													
	7 ³⁰	13 ³⁰	21 ³⁰	Mittel	Minimum Tag	Maximum Tag	7 ³⁰	13 ³⁰	21 ³⁰	Mittel	Minimum Tag	7 ³⁰	13 ³⁰	21 ³⁰	Mittel	7 ³⁰	13 ³⁰	21 ³⁰	Total	Summe	Maximum Tag	* ≥1.0	* ≥1.0	* ≥1.0	☐	heiter	trüb								
Jan.	-2.5	-0.3	-1.9	-1.7	-9.9	21	5.9	28	89	84	85	86	46	30	7.2	7.0	6.0	6.7	2	4	4	10	152	27	6	14	14	14	—	—	—	—	6	16	
Feb.	-0.4	2.7	0.7	0.9	-11.7	28	13.2	15	82	76	81	80	29	4	7.5	7.4	7.3	7.4	—	—	—	—	—	230	33	21	18	18	13	—	—	—	—	3	17
März	-3.7	0.3	-2.9	-2.3	-11.0	10	9.1	29	79	70	76	75	42	24.25	6.2	6.4	6.3	6.3	1	2	2	5	132	26	11	15	12	13	—	—	—	—	5	11	
Apr.	0.3	4.3	0.8	1.6	-6.5	11	12.6	22	81	72	76	76	48	3.34	6.6	7.2	6.3	6.7	3	2	1	6	111	19	28	14	14	12	—</						

$\lambda = 7^{\circ} 42', \beta = 46^{\circ} 45', H_b = 1126^m, h_r = 1.5^m$

Heiligenschwendi

Beobachter: Sanatorium

1958	Luft-Temperatur						Relative Feuchtigkeit						Bewölkung				Nebel Zahl der Termine				Niederschlag		Zahl der Tage									
	7 ³⁰	13 ³⁰	21 ³⁰	Mittel	Minimum Tag	Maximum Tag	7 ³⁰	13 ³⁰	21 ³⁰	Mittel	Minimum Tag	7 ³⁰	13 ³⁰	21 ³⁰	Mittel	7 ³⁰	13 ³⁰	21 ³⁰	Total	Summe	Maximum Tag	*	* L	*	▲	☁	hells	trübe				
Jan.	-1.7	2.0	-0.7	-0.2	-7.9	21	7.3	28	78	64	76	73	37	25	6.2	5.8	5.7	5.9	2	—	—	2	75	21	20	12	9	10	—	—	5	12
Feb.	1.5	5.2	2.3	2.8	-8.6	27	14.3	14.15	74	62	73	70	31	1	7.4	7.5	6.6	7.2	—	—	—	—	102	24	17	18	17	12	—	—	3	14
März	2.9	2.9	-0.7	-0.4	-9.7	1	11.6	30	84	60	82	75	42	16	5.8	7.2	7.4	6.8	1	1	—	2	87	23	17	15	14	13	—	—	2	14
Apr.	-1.6	5.8	2.7	3.1	-3.9	11	14.2	22	83	67	84	78	43	3	7.2	7.2	6.3	6.9	2	—	1	3	139	37	16	14	13	12	—	—	3	13
Mai	11.2	15.7	12.1	12.6	3.9	17	24.0	11	73	62	72	69	33	4	6.5	7.0	5.3	6.3	2	1	1	4	77	34	27	9	9	1	1	—	3	11
Juni	11.2	15.2	11.8	12.2	5.6	27	21.3	2	78	64	77	73	42	16	6.4	6.9	6.7	6.7	—	—	1	1	138	24	21	14	14	—	1	2	2	11
Juli	13.6	18.0	14.6	14.9	6.8	3	24.3	13	83	65	80	76	46	13	5.7	7.1	6.3	6.4	2	—	—	2	125	23	19	17	16	—	—	3	5	7
Aug.	14.0	18.6	14.9	15.4	7.0	24	26.8	1	82	66	80	76	49	23.28	5.9	5.4	6.5	5.9	3	1	—	4	151	30	6	11	11	—	—	6	2	8
Sept.	12.4	17.3	13.6	14.1	4.4	27	22.8	6	80	67	82	76	42	24	5.2	5.9	3.7	4.9	2	1	—	3	106	43	21	7	5	—	—	1	9	8
Okt.	5.6	8.6	6.2	6.6	-0.9	23	17.1	10	84	79	86	83	50	29	6.6	6.9	6.4	6.6	1	4	2	7	143	27	12	18	16	6	—	—	6	15
Nov.	1.9	4.0	2.2	2.5	-1.1	28	10.3	24	85	80	85	83	48	19	6.0	8.2	6.4	6.9	3	10	5	18	61	23	10	8	6	4	—	—	3	12
Dez.	0.9	3.6	1.6	1.9	-6.7	7	9.8	19	73	69	71	71	27	31	6.6	7.1	7.4	7.0	—	2	2	4	53	15	24	9	8	5	—	—	4	16
Jahr	5.8	9.7	6.7	7.1	-9.7	III	26.8	VIII	80	67	79	75	27	XII	6.3	6.9	6.2	6.5	18	20	12	50	1257	43	IX	152	138	63	2	12	47	141

Die Abendbeobachtung erfolgt um 20.30 h

$\lambda = 8^{\circ} 03', \beta = 46^{\circ} 38', H = ca 1040^m, h_r = 1.5^m$

Grindelwald

Beobachter: G. Bohren

Jan.	Luft-Temperatur						Relative Feuchtigkeit						Bewölkung				Nebel				Niederschlag		Zahl der Tage									
	7 ³⁰	13 ³⁰	21 ³⁰	Mittel	Minimum Tag	Maximum Tag	7 ³⁰	13 ³⁰	21 ³⁰	Mittel	Minimum Tag	7 ³⁰	13 ³⁰	21 ³⁰	Mittel	7 ³⁰	13 ³⁰	21 ³⁰	Total	Summe	Maximum Tag	*	* L	*	▲	☁	hells	trübe				
Jan.	-3.8	-1.7	-3.0	-2.9	-11.9	21	4.2	27	76	71	76	74	43	25	4.8	4.8	4.9	4.8	—	—	1	1	75	24	6	9	7	9	—	—	12	10
Feb.	-0.3	3.1	0.0	0.7	-11.0	28	10.8	14	78	66	76	73	45	12.25	7.3	6.4	5.6	6.4	—	—	—	—	199	54	16	18	16	12	—	—	4	13
März	-4.4	2.9	-2.2	-1.5	-11.7	10	11.2	31	81	54	82	72	37	29	5.6	5.7	5.3	5.5	—	—	—	—	66	21	13	12	11	11	—	—	8	11
Apr.	0.4	7.6	2.0	3.0	-5.9	12	16.6	22	84	55	82	74	31	3	6.2	5.9	5.7	5.9	1	—	—	1	109	28	15	16	13	12	—	—	7	11
Mai	9.5	17.5	10.5	12.0	3.9	16.17	25.9	11	79	48	76	68	25	11	5.4	5.5	4.7	5.2	—	—	1	1	92	24	27	12	9	1	—	—	9	9
Juni	10.9	17.4	11.2	12.7	6.4	27	24.2	2	82	53	81	72	34	2	6.5	6.2	6.5	6.4	—	—	—	—	125	37	10	16	14	—	—	1	6	13
Juli	12.8	19.9	14.1	15.2	8.0	3	27.2	15	83	56	84	74	33	15	4.5	4.9	6.2	5.2	—	—	—	—	152	32	7	19	16	—	—	1	5	4
Aug.	12.6	20.2	14.3	15.3	7.0	27	28.1	1	83	56	82	74	36	1	5.3	4.8	5.6	5.2	—	—	—	—	165	36	19	17	16	—	—	4	5	7
Sept.	10.7	18.4	12.3	13.4	2.6	27	25.1	5	84	57	83	75	32	5	4.5	4.3	4.3	4.4	—	—	—	—	102	24	21	11	11	—	—	1	12	7
Okt.	4.5	9.2	5.2	6.0	-3.3	23	17.9	10	84	68	85	79	43	29	6.2	5.2	5.4	5.6	1	—	—	1	186	37	1	18	17	—	—	—	9	13
Nov.	0.0	1.9	0.7	0.8	-4.2	27	5.6	3	84	78	85	82	51	19	6.0	5.8	5.1	5.6	2	2	1	5	98	33	3	11	10	5	—	—	8	11
Dez.	-1.1	0.5	-0.4	-0.3	-9.0	4	11.3	19	69	64	68	67	32	20	6.6	5.9	5.1	5.9	—	—	—	—	67	16	28	12	9	10	—	—	9	10
Jahr	4.3	9.7	5.4	6.2	-11.9	I	28.4	VIII	81	61	80	74	25	V	5.7	5.4	5.4	5.5	4	2	3	9	1436	54	II	171	149	60	—	7	94	119

$\lambda = 7^{\circ} 34', \beta = 46^{\circ} 30', H = ca 1340^m, h_r = 1.5^m$

Adelboden

Beobachter: G. Giger-Spori

Jan.	Luft-Temperatur						Relative Feuchtigkeit						Bewölkung				Nebel				Niederschlag		Zahl der Tage									
	7 ³⁰	13 ³⁰	21 ³⁰	Mittel	Minimum Tag	Maximum Tag	7 ³⁰	13 ³⁰	21 ³⁰	Mittel	Minimum Tag	7 ³⁰	13 ³⁰	21 ³⁰	Mittel	7 ³⁰	13 ³⁰	21 ³⁰	Total	Summe	Maximum Tag	*	* L	*	▲	☁	hells	trübe				
Jan.	-4.1	1.6	-3.4	-2.3	-13.0	21.23	7.0	27	75	62	79	72	31	30	5.3	5.3	5.0	5.2	1	1	1	3	137	43	6	10	9	10	—	—	12	13
Feb.	-0.2	4.6	0.1	1.1	-15.0	28	14.0	13	75	59	71	68	26	1.5	7.1	6.4	6.0	6.5	—	—	—	—	216	62	16	18	18	11	—	1	4	14
März	-4.6	2.8	-3.7	-2.3	-15.0	22	11.4	30	81	59	84	75	34	25	6.0	6.2	5.5	5.9	2	—	4	6	99	21	13	14	12	13	—	—	7	12
Apr.	0.4	6.5	0.2	1.8	-7.0	11	15.0	22	77	57	86	73	36	2.2	6.8	6.5	6.4	6.6	3	—	2	5	121	27	15	17	16	14	—	—	5	14
Mai	10.2	15.6	9.5	11.2	1.2	17	23.0	8	68	54	72	65	26	20	6.5	6.8	6.4	6.6	2	1	2	5	89	26	27	12	10	1	—	—	2	14
Juni	10.7	15.4	9.5	11.3	5.0	27	21.4	17	73	58	80	70	40	2	6.1	7.2	6.5	6.6	1	1	1	3	145	24	10	17	16	—	—	2	4	12
Juli	12.8	18.8	12.3	14.0	4.6	3	27.0	15	77	63	85	75	40	23.28	5.6	6.8	7.4	6.6	2	2	3	7	161	34	2	19	18	—	1	4	3	11
Aug.	12.5	18.8	12.9	14.3	6.9	24	27.8	1	75	60	82	72	30	27	5.2	5.7	6.4	5.8	2	1	3	6	170	28	19	15	14	—	—	4	3	7
Sept.	10.2	17.0	10.6	12.1	1.0	27	22.0	5	76	60	83	73	33	14	4.2	5.1	4.5	4.6	4	2	6	12	138	38	21	13	12	—	—	1	9	8
Okt.	3.7	9.4	4.1	5.3	-5.0	23	18.0	10	80	67	83	77	33	29	6.1	5.8	5.8	5.9	3	1	2	6	150	25	12	16	12	8	—	—	8	14
Nov.	0.0	4.5	0.6	1.4	-5.2	2	10.0	25	83	69	82	78	36	19	5.2	5.4	5.1	5.2	10	10	9	29	81	22	3	10	10	5	—	—	10	12
Dez.	-0.5	3.7	0.2	0.9	-9.0	4	11.0	19	65	55	64	61	15	31	6.1	6.0	5.7	5.9	2	1	2	5	82	13	24	13	10	10	—	—	8	12
Jahr	4.3	9.9	4.4	5.7	-15.0	II	27.8	VIII	75	60	79	71	15	XII	5.9	6.1	5.9	6.0	32	20	35	87	1589	62	II	174	157	72	1	12	75	143

$\lambda = 7^{\circ} 16', \beta = 46^{\circ} 30', H = ca 1155^m, h_r = 1.5^m$

Saanen

Beobachter: Kindersanatorium Salsana

Jan.	Luft-Temperatur						Relative Feuchtigkeit						Bewölkung				Nebel				Niederschlag		Zahl der Tage									
	7 ³⁰	13 ³⁰	21 ³⁰	Mittel	Minimum Tag	Maximum Tag	7 ³⁰	13 ³⁰	21 ³⁰	Mittel	Minimum Tag	7 ³⁰	13 ³⁰	21 ³⁰	Mittel	7 ³⁰	13 ³⁰	21 ³⁰	Total	Summe	Maximum Tag	*	* L	*	▲	☁	hells	trübe				
Jan.	-3.6	0.2	-1.9	-1.8	-12.0	21	5.2	5	89	76	85	83	45	30	5.4	4.7	5.5	5.2	1	—	1	2	102	36	6	12	11	12	—	—	11	10
Feb.	-0.7	3.1	0.6	0.9	-11.8	28	9.8	13	87	73	80	80	29	5	6.9	7.0	5.9	6.6	3	—	—	3	239	63	16	18	15	14	—	—	4	13
März																																

Rougemont

λ = 7° 13', β = 46° 29', H = 1003 m, h_r = 1.5 m

Beobachter: Fran L. Saugy

Table with columns for month (1958), Luft-Temperatur (730, 1330, 2130, Mittel, Minimum Tag, Maximum Tag), Relative Feuchtigkeit (730, 1330, 2130, Mittel, Minimum Tag), Bewölkung (730, 1330, 2130, Mittel), Nebel (Zahl der Tornade, 730, 1330, 2130, Total), Niederschlag (Summe, Maximum Tag), and Zahl der Tage (various weather symbols).

λ = 7° 08', β = 46° 29', H₀ = 993.5 m, h_r = 1.5 m

Château d'Oex

Beobachter: E. Jaccard

Table with columns for month (Jan to Dez, Jahr), Luft-Temperatur, Relative Feuchtigkeit, Bewölkung, Nebel, Niederschlag, and Zahl der Tage.

λ = 7° 04', β = 46° 39', H = 721 m, h_r = 1.5 m

Marsens

Beobachter: E. Baeriswyl

Table with columns for month (Jan to Dez, Jahr), Luft-Temperatur, Relative Feuchtigkeit, Bewölkung, Nebel, Niederschlag, and Zahl der Tage.

λ = 6° 55', β = 46° 42', H₀ = 764 m, h_r = 1.5 m

Romont

Beobachter: Couvent des Capucins

Table with columns for month (Jan to Dez, Jahr), Luft-Temperatur, Relative Feuchtigkeit, Bewölkung, Nebel, Niederschlag, and Zahl der Tage.

Die Abendbeobachtung erfolgt um 20.30 h

$\lambda = 6^{\circ} 59'$, $\beta = 46^{\circ} 26'$, $H_b = 1981.6^m$, $h_r = 2.3^m$

Rochers-de-Naye

Beobachter: Direction de l'Hôtel

1958	Luft-Temperatur						Relative Feuchtigkeit					Bewölkung				Nebel				Niederschlag		Zahl der Tage						
	7 ³⁰	13 ³⁰	21 ³⁰	Mittel	Minimum Tag	Maximum Tag	7 ³⁰	13 ³⁰	21 ³⁰	Mittel	Minimum Tag	7 ³⁰	13 ³⁰	21 ³⁰	Mittel	7 ³⁰	13 ³⁰	21 ³⁰	Total	Summe	Maximum Tag	*	≥1.0	*	▲	☐	heiter	trüb
Jan.	-5.6	-3.9	-5.5	-5.1	-14.0	21.23	82	77	81	80	26	31	5.4	5.0	5.0	5.1	11	11	9	31	255	39	11	14	14	14	11	11
Feb.	-3.4	-1.2	-3.2	-2.8	-16.2	27	80	78	80	79	16	4	7.2	6.5	6.3	6.7	11	11	8	30	218	43	16	17	17	15	1	4
März	-6.8	-3.7	-6.4	-5.8	-16.4	12	84	80	87	84	21	16	5.7	6.0	5.5	5.7	9	12	9	30	118	28	7	14	14	14	6	11
Apr.	-3.6	-0.1	-3.5	-2.7	-11.4	11	76	73	83	77	22	28	6.5	6.3	6.3	6.4	11	12	12	35	81	12	10	18	17	18	4	13
Mai	5.8	9.2	5.6	6.6	-3.2	16	75	68	78	74	27	19	5.2	5.5	4.8	5.2	7	7	5	19	136	37	27	14	12	5	7	9
Juni	5.5	8.7	5.5	6.3	-2.2	27	85	79	87	84	42	9	5.9	7.3	5.6	6.3	8	5	6	19	288	70	10	15	15	6	2	10
Juli	9.0	12.0	8.9	9.7	1.0	3	84	80	88	84	42	31	4.6	6.7	7.2	6.2	6	6	9	21	236	41	16	17	16	2	3	8
Aug.	9.7	13.3	9.9	10.7	3.0	19	76	73	83	77	27	28	5.6	6.0	6.4	6.0	7	7	9	23	279	68	7	15	14	—	3	10
Sept.	8.9	12.3	8.2	9.4	1.2	23	71	73	81	75	17	27	4.1	5.6	4.5	4.7	3	7	8	18	177	65	21	11	10	—	—	8
Okt.	2.3	4.5	2.0	2.7	-6.0	18	74	74	77	75	20	24	5.8	5.6	4.9	5.4	12	13	13	38	147	38	1	17	16	—	1	13
Nov.	-1.0	1.4	-1.4	-0.6	-6.0	1	78	74	79	77	20	20	4.9	4.8	4.5	4.7	10	9	10	29	71	21	3	10	10	10	11	10
Dez.	-3.2	-1.2	-3.0	-2.6	-8.4	14	69	65	70	68	14	6	5.6	5.7	6.1	5.8	7	11	10	28	44	7	28	14	14	14	9	15
Jahr	1.5	4.3	1.4	2.2	-16.4	III	79	75	81	78	14	XII	5.5	5.9	5.6	5.7	102	111	108	321	2050	70	VI	176	169	107	1	9

$\lambda = 7^{\circ} 38'$, $\beta = 46^{\circ} 23'$, $H_b = 1391.4^m$, $h_r = 1.5^m$

Leukerbad

Beobachter: Spitalbad: Schw. M. A. Humpert

1958	Luft-Temperatur						Relative Feuchtigkeit					Bewölkung				Nebel				Niederschlag		Zahl der Tage							
	7 ³⁰	13 ³⁰	21 ³⁰	Mittel	Minimum Tag	Maximum Tag	7 ³⁰	13 ³⁰	21 ³⁰	Mittel	Minimum Tag	7 ³⁰	13 ³⁰	21 ³⁰	Mittel	7 ³⁰	13 ³⁰	21 ³⁰	Total	Summe	Maximum Tag	*	≥1.0	*	▲	☐	heiter	trüb	
Jan.	-5.0	0.1	-3.8	-3.1	-12.2	21	75	58	72	68	33	25	5.0	4.8	4.3	4.7	—	—	—	—	170	48	6	11	11	—	—	13	10
Feb.	-1.5	2.9	-0.9	-0.1	-10.8	27	80	61	73	71	34	1	6.8	6.8	4.4	6.0	—	—	—	—	350	73	23	15	14	11	—	7	11
März	-4.7	2.3	-2.4	-1.8	-11.8	10	73	53	72	66	32	22	5.5	6.0	3.6	5.0	1	—	1	2	86	37	13	8	8	7	—	9	7
Apr.	0.0	5.2	1.3	1.9	-6.9	11	72	49	67	63	32	21	6.2	6.0	5.6	5.9	1	—	2	3	53	23	15	10	8	7	—	6	11
Mai	9.2	15.6	9.7	11.1	2.0	16	69	48	69	62	26	20	6.4	7.1	4.2	5.9	3	1	1	5	90	37	16	10	9	1	—	5	10
Juni	10.0	15.5	9.8	11.3	4.7	27	73	53	78	68	34	4	6.3	7.1	5.1	6.2	—	—	—	—	93	18	20	11	11	—	—	5	12
Juli	12.4	18.6	12.2	13.8	6.0	4	78	55	80	71	40	15	5.0	6.5	4.3	5.3	—	—	—	—	109	26	7	17	15	—	1	3	6
Aug.	12.0	19.4	12.7	14.2	7.2	27	79	53	79	70	33	17	5.0	4.9	4.2	4.7	1	—	1	1	101	25	19	14	11	—	4	10	7
Sept.	9.7	17.6	11.0	12.3	2.0	27	81	57	81	73	30	14	4.2	4.8	3.3	4.1	3	—	—	3	137	43	21	12	10	—	1	13	8
Okt.	3.9	10.0	4.6	5.8	-3.4	23	82	61	80	74	38	26	5.8	5.9	5.3	5.7	3	2	2	7	122	25	20	15	13	6	—	9	14
Nov.	0.5	5.9	1.4	2.3	-4.0	2	80	64	79	74	40	21	5.1	5.5	5.4	5.3	5	3	5	13	71	18	12	11	10	6	—	9	10
Dez.	-1.7	2.4	-0.9	-0.3	-6.4	4	74	63	72	70	32	7	5.9	6.6	6.4	6.3	1	3	2	6	180	40	12	14	14	13	—	9	17
Jahr	3.7	9.6	4.6	5.6	-12.2	I	76	56	75	69	26	V	5.6	6.0	4.7	5.4	18	9	13	40	1562	73	II	148	134	62	1	8	

$\lambda = 7^{\circ} 50'$, $\beta = 46^{\circ} 12'$, $H = 1617^m$, $h_r = 1.5^m$

Grächen

Beobachter: P. Heizmann

1958	Luft-Temperatur						Relative Feuchtigkeit					Bewölkung				Nebel				Niederschlag		Zahl der Tage							
	7 ³⁰	13 ³⁰	21 ³⁰	Mittel	Minimum Tag	Maximum Tag	7 ³⁰	13 ³⁰	21 ³⁰	Mittel	Minimum Tag	7 ³⁰	13 ³⁰	21 ³⁰	Mittel	7 ³⁰	13 ³⁰	21 ³⁰	Total	Summe	Maximum Tag	*	≥1.0	*	▲	☐	heiter	trüb	
Jan.	-5.8	-1.4	-5.2	-4.2	-13.2	21	—	—	—	—	—	—	3.7	4.0	3.9	3.9	1	2	1	4	41	22	6	7	5	7	—	15	6
Feb.	-2.4	1.6	-1.9	-0.7	-11.4	28	—	—	—	—	—	—	7.1	5.8	5.0	6.0	2	3	1	6	75	14	16	15	13	13	—	5	10
März	-4.8	0.5	-4.0	-3.0	-13.2	10	—	—	—	—	—	—	4.7	4.9	4.4	4.7	1	3	—	4	18	5	17	6	5	6	—	9	9
Apr.	0.0	4.6	-0.1	1.2	-7.2	11	—	—	—	—	—	—	5.5	4.5	5.0	5.0	6	1	—	7	24	9	15	10	6	10	—	9	8
Mai	9.0	14.5	8.6	10.3	2.6	17	—	—	—	—	—	—	5.3	4.6	4.5	4.8	3	1	2	6	40	8	22	10	9	1	—	7	6
Juni	9.5	14.8	9.3	10.7	5.0	27	—	—	—	—	—	—	5.4	5.4	4.8	5.2	—	2	—	2	40	11	10	9	7	—	2	5	7
Juli	12.0	17.8	12.3	13.5	5.4	3	—	—	—	—	—	—	4.7	5.1	5.1	5.0	5	—	1	6	35	6	3	16	11	—	1	6	1
Aug.	12.0	18.2	12.6	13.9	6.4	24	—	—	—	—	—	—	4.4	4.2	4.1	4.2	3	—	—	3	62	25	31	12	7	—	1	10	8
Sept.	9.5	15.9	10.3	11.6	2.0	27	—	—	—	—	—	—	4.5	4.1	4.9	4.5	4	1	2	7	37	9	—	9	7	—	4	9	7
Okt.	3.6	8.9	4.3	5.4	-4.0	19	—	—	—	—	—	—	5.7	4.4	4.5	4.9	5	5	3	13	31	9	1	14	10	5	—	8	10
Nov.	-0.7	4.3	0.0	1.0	-5.8	2	—	—	—	—	—	—	4.4	4.4	4.6	4.5	3	2	3	8	77	25	12	10	8	8	—	10	7
Dez.	-3.8	0.2	-3.0	-2.1	-8.6	3	—	—	—	—	—	—	5.4	5.7	5.2	5.4	2	2	1	5	71	13	12	11	10	11	—	11	12
Jahr	3.2	8.3	3.6	4.8	-13.2	I	—	—	—	—	—	—	5.1	4.8	4.7	4.8	35	22	14	71	551	25	VIII	129	98	61	1	17	

Die Abendbeobachtung erfolgt um 20.30 h

$\lambda = 7^{\circ} 45'$, $\beta = 46^{\circ} 01'$, $H_b = ca 1610^m$, $h_r = 1.8^m$

Zermatt

Beobachter: G. Brantschen

1958	Luft-Temperatur						Relative Feuchtigkeit					Bewölkung				Nebel				Niederschlag		Zahl der Tage							
	7 ³⁰	13 ³⁰	21 ³⁰	Mittel	Minimum Tag	Maximum Tag	7 ³⁰	13 ³⁰	21 ³⁰	Mittel	Minimum Tag	7 ³⁰	13 ³⁰	21 ³⁰	Mittel	7 ³⁰	13 ³⁰	21 ³⁰	Total	Summe	Maximum Tag	*	≥1.0	*	▲	☐	heiter	trüb	
Jan.	-8.2	-0.6	-7.1	-5.7	-15.6	21	73	55	74	67	35	29	3.2	4.3	3.3	3.6	—	2	—	2	47	20	6	8	6	8	—	15	5
Feb.	-4.0	2.6	-3.1	-1.9	-12.7	28	82	60	80	74	34	19	6.6	6.1	5.5	6.1	5	2	—	7	132	57	16	16	13	15	—	4	12
März	6.9	2.5	-4.2	-3.2	-14.3	1	71	48	72	64	32	28	5.0	4.8	4.5	4.8	—	—	1	1	38	14	13	9	6	9	—	9	9
Apr.	2.4	6.5	-0.2	0.9	-7.9	18	73	45	72	63	30	24	5.8	4.6	4.8	5.1	1	4	—	5	37	10	15	12	7	12	—	8	8
Mai	7.8	15.5	8.5	10.1	2.3	1	71	46	69	62	28	3	4.9	6.2	5.2	5.4	3	3	—	6	54	13	27	11	9	—	—	4	8
Juni	8.9	16.4	8.7	10.7	5.0	27	75	48	78	67	33	18	5.5	5.7	5.2	5.5	6	2	1	9	44	14	10	12	7	—	—	5	8
Juli	10.5	19.2	11.1	13.0	7.3	23	80	48	75	68	30	13	4.5	5.1	4.5	4.7	2	1	1	4	44	8	16	14	9	—	1	3	

$\lambda = 7^{\circ} 56', \beta = 46^{\circ} 06', H = ca 1785^m, h_r = 1.5^m$

Saas-Fee

Beobachter: Familie Imseng

Table with columns for 1958, Luft-Temperatur (730, 1330, 2130, Mittel, Minimum, Maximum), Relative Feuchtigkeit (730, 1330, 2130, Mittel, Minimum), Bewölkung (730, 1330, 2130, Mittel), Nebel (Zahl der Termine), Niederschlag (Summe, Maximum), and Zahl der Tage (various weather symbols).

Graubünden

$\lambda = 9^{\circ} 38', \beta = 46^{\circ} 59', H = 953^m, h_r = 1.5^m$

Seewis

Beobachter: Frau B. Janett

Table with columns for 1958, Luft-Temperatur, Relative Feuchtigkeit, Bewölkung, Nebel, Niederschlag, and Zahl der Tage for Seewis.

$\lambda = 9^{\circ} 42', \beta = 46^{\circ} 58', H = ca 682^m, h_r = 1.5^m$

Schiers

Beobachter: Chr. Lötcher

Table with columns for 1958, Luft-Temperatur, Relative Feuchtigkeit, Bewölkung, Nebel, Niederschlag, and Zahl der Tage for Schiers.

$\lambda = 9^{\circ} 36', \beta = 46^{\circ} 49', H = 1351^m, h_r = 1.5^m$

Tschiertschen

Beobachter: G. Meister

Table with columns for 1958, Luft-Temperatur, Relative Feuchtigkeit, Bewölkung, Nebel, Niederschlag, and Zahl der Tage for Tschiertschen.

$\lambda = 9^{\circ} 39', \beta = 46^{\circ} 28', H = ca 1770^m, h_r = 1.5^m$

Bivio

Beobachter: U. Grisch

1958	Luft-Temperatur						Relative Feuchtigkeit					Bewölkung				Nebel Zahl der Termine				Niederschlag		Zahl der Tage										
	7 ³⁰	13 ³⁰	21 ³⁰	Mittel	Minimum Tag	Maximum Tag	7 ³⁰	13 ³⁰	21 ³⁰	Mittel	Minimum Tag	7 ³⁰	13 ³⁰	21 ³⁰	Mittel	7 ³⁰	13 ³⁰	21 ³⁰	Total	Summe	Maximum Tag	* ≥ 1.0	* ≥ 1.0	* ≥ 1.0	* ≥ 1.0	* ≥ 1.0	* ≥ 1.0	* ≥ 1.0	* ≥ 1.0			
																														heiler	früh	
Jan.	-7.9	-1.9	-7.3	-6.1	-18.9	25	5.1	19	70	51	69	63	28	29	4.9	4.1	4.0	4.3	—	—	—	—	68	21	7	10	8	10	—	—	10	7
Feb.	-4.4	1.5	-4.0	-2.7	-20.0	28	8.5	14	73	57	74	68	33	4	7.1	6.5	5.8	6.5	—	—	—	—	86	27	26	12	12	11	—	—	3	9
März	-8.0	-0.2	-7.1	-5.6	-16.9	22	6.9	30	73	49	76	66	30	1	5.8	5.7	5.2	5.6	—	—	—	—	34	8	13	13	9	13	—	—	4	6
Apr.	-3.4	3.4	-2.9	-1.5	-10.0	19	9.4	21.25	74	51	82	69	29	24	6.3	6.7	6.6	6.5	2	—	—	—	123	20	5	19	16	19	—	—	5	16
Mai	7.3	12.1	6.0	7.8	-0.8	16	16.6	14	65	50	74	63	26	19	5.3	6.0	4.2	5.2	—	—	1	1	116	49	27	11	10	3	—	2	4	4
Juni	7.1	12.4	6.5	8.1	0.1	27	19.9	30	77	55	84	72	27	5	5.6	5.4	5.9	5.6	—	—	—	—	139	29	22	14	13	2	—	2	6	10
Juli	9.9	15.9	9.3	11.1	2.1	22	22.6	31	80	52	87	73	37	13	5.3	5.0	5.4	5.2	—	—	—	—	150	39	22	16	16	3	—	6	6	6
Aug.	9.4	16.0	9.7	11.2	2.1	23	24.0	30	79	50	83	71	26	27	5.4	4.5	5.1	5.0	1	1	—	—	191	37	6	17	17	—	2	5	5	5
Sept.	6.9	14.7	7.5	9.2	-2.0	27	19.8	6	83	48	84	72	27	29	3.9	3.4	4.0	3.8	—	—	—	—	114	35	21	9	8	—	—	1	9	4
Okt.	1.1	6.9	1.8	2.9	-5.8	23	17.6	9	80	62	80	74	35	3	6.2	6.1	5.3	5.9	—	—	—	—	215	55	1	20	17	—	—	1	8	13
Nov.	-1.8	3.4	-0.9	0.0	-7.3	15	8.4	22	75	59	76	70	33	20	5.1	5.1	5.0	5.1	—	—	—	—	52	19	11	10	9	9	—	—	8	9
Dez.	-4.4	0.2	-4.1	-3.1	-11.9	3	6.7	31	70	57	73	67	25	5	5.3	5.5	5.1	5.3	—	—	—	—	139	29	20	15	15	15	—	—	9	9
Jahr	1.0	7.0	1.2	2.6	-20.0	II	24.0	VIII	75	53	79	69	25	XII	5.5	5.3	5.1	5.3	3	1	1	5	1427	55	X	166	150	85	2	17	77	98

$\lambda = 9^{\circ} 46', \beta = 46^{\circ} 26', H = 1802^m, h_r = 1.8^m$

Sils-Maria

Beobachter: K. Breu-Seinchetti

Jan.	-12.1	-3.7	-9.9	-8.9	-26.6	22	3.9	18	85	56	82	74	28	30	3.4	3.4	3.6	3.5	—	—	—	—	30	9	20	11	7	11	—	—	14	5
Feb.	-6.4	1.3	-4.6	-3.6	-14.6	23	9.4	17	84	57	76	72	31	2	6.0	6.0	6.0	6.0	1	—	1	2	83	32	25	10	9	9	—	—	5	9
März	-10.8	-0.8	-7.7	-6.7	-22.5	23	8.4	30	81	51	74	69	28	15	4.7	4.7	4.1	4.5	1	—	4	5	12	5	13	7	5	7	—	—	7	6
Apr.	-3.4	4.1	-2.7	-1.2	-9.9	11	11.2	21	76	50	79	68	28	24	5.4	5.9	5.2	5.5	—	—	1	1	103	25	3	17	14	17	—	—	7	8
Mai	6.2	12.0	5.7	7.4	-0.3	2	16.2	10	71	54	79	68	30	3.19	5.5	6.3	4.4	5.4	—	—	—	—	86	41	27	10	9	—	1	3	3	6
Juni	8.0	12.1	6.9	8.5	1.0	27	16.9	29	71	56	82	70	36	5	5.4	6.1	6.1	5.9	1	—	2	3	124	46	22	10	10	2	—	2	5	8
Juli	10.6	15.9	10.1	11.7	4.0	3	22.4	30	75	53	84	71	38	6	5.9	6.1	5.6	5.9	1	—	1	1	118	31	22	16	13	2	—	6	—	4
Aug.	10.1	16.5	10.3	11.8	4.4	2	25.4	30	76	53	82	70	30	30	6.2	5.3	5.3	5.6	1	—	1	2	174	31	21	18	16	—	—	9	3	8
Sept.	6.5	13.7	7.8	8.9	-0.2	23	20.6	14	86	56	85	76	27	14	4.6	4.4	5.0	4.7	2	1	—	3	95	31	21	7	7	—	1	1	9	7
Okt.	0.7	6.8	1.8	2.8	-7.4	23	12.8	9	84	59	80	74	30	28	5.1	5.6	4.4	5.0	—	—	—	—	133	38	1	16	14	7	—	1	8	8
Nov.	-3.2	2.6	-2.3	-1.3	-10.0	20	6.0	22	88	61	85	78	38	20	4.8	5.2	4.6	4.9	—	—	3	1	29	14	11	10	5	10	—	—	8	7
Dez.	-6.4	-1.3	-5.7	-4.8	-13.8	3	4.4	29	83	61	83	76	31	5	4.7	5.1	4.9	4.9	2	—	—	2	145	33	20	15	14	15	—	—	10	8
Jahr	-0.0	6.6	0.8	2.0	-26.6	I	25.4	VIII	80	56	81	72	27	IX	5.1	5.3	4.9	5.1	9	1	10	20	1132	46	VI	147	123	80	2	22	79	84

$\lambda = 10^{\circ} 26', \beta = 46^{\circ} 36', H = 1411^m, h_r = 1.8^m$

Sta. Maria (Münstertal)

Beobachter: Frau B. Graber

Jan.	-6.5	-3.4	-5.7	-5.3	-16.5	22	4.1	18	71	59	71	69	34	26	5.3	5.4	4.2	5.0	—	—	—	—	32	7	20	8	8	8	—	—	8	9	
Feb.	-1.6	3.0	-0.8	-0.0	-10.2	22	10.7	17	75	57	72	68	31	3	7.5	7.9	6.5	7.3	—	1	—	1	42	15	25	8	7	6	—	—	1	14	
März	-5.0	1.6	-3.6	-2.7	-14.0	23	10.0	30	69	46	68	61	28	14	5.6	6.5	4.8	5.6	—	—	—	—	20	7	13	6	5	5	—	—	6	12	
Apr.	3.1	6.7	2.0	3.0	-5.4	11	13.1	22	65	50	71	62	18	24	6.5	6.9	7.1	6.8	1	—	1	2	87	28	15	15	13	13	—	—	5	17	
Mai	10.6	16.7	10.4	12.0	4.2	16	17	21.0	9	60	53	72	62	33	1	5.6	7.0	5.0	5.9	—	—	—	—	79	48	27	8	7	—	—	1	4	6
Juni	11.0	16.0	10.9	12.2	5.0	27	20.0	2	55	59	79	64	29	25	5.7	7.0	7.1	6.6	1	—	—	1	143	33	9	14	13	—	—	—	4	12	
Juli	13.5	18.5	13.4	14.7	7.4	3	22.8	13	59	60	82	67	33	25	5.3	6.6	5.5	5.8	—	—	—	—	118	32	22	13	11	—	—	2	4	10	
Aug.	13.2	18.5	13.3	14.6	5.8	23	26.5	30	69	62	82	71	33	30	6.4	5.7	4.9	5.7	—	—	—	—	128	30	3	14	14	—	—	3	3	7	
Sept.	9.7	16.2	10.8	11.9	3.4	28	20.7	15	82	59	82	74	34	26	4.5	5.4	5.1	5.0	—	—	—	—	44	14	22	7	5	—	—	—	9	7	
Okt.	4.5	9.0	4.9	5.8	-2.4	31	14.2	9	79	66	80	75	44	19	5.6	6.1	4.3	5.3	—	—	—	—	60	16	12	13	11	3	—	—	9	9	
Nov.	0.2	3.0	0.8	1.2	-3.6	20	5.6	22	84	74	83	80	53	20	6.4	6.3	4.8	5.8	—	—	—	—	78	35	12	7	6	6	—	—	5	11	
Dez.	-3.6	-1.0	-2.9	-2.6	-10.0	4	6.5	9	80	68	78	75	36	6	6.5	6.5	4.6	5.9	—	1	—	1	142	39	20	11	11	11	—	—	8	13	
Jahr	3.9	8.7	4.5	5.4	-16.5	I	26.5	VIII	71	59	77	69	18	IV	5.9	6.4	5.3	5.9	2	2	1	5	973	48	V	124	111	52	—	6	66	127	

$\lambda = 10^{\circ} 04', \beta = 46^{\circ} 21', H = 1079^m, h_r = 1.5^m$

Robbia (San Carlo)

Beobachter: Kraftwerk Robbia

Jan.	-5.9	2.8	-4.5	-3.0	-14.8	22	11.5	30	80	50	81	70	26	25	3.1	3.7	3.4	3.4	—	—	—	—	28	13	20	4	4	4	—	—	16	8
Feb.	-1.3	5.7	0.5	1.4	-9.0	28	14.7	15	81	57	74	71	25	28	5.7	6.2	3.7	5.2	—	—	2	2	64	7	—	8	6	5	—	—	6	5
März	-3.3	3.4	-0.7	-0.3	-10.1	23	12.5	30	72	50	70	64	25	22	4.3	5.2	4.5	4.7	1	—	3	4	12	4	13	6	5	5	—	—	9	9
Apr.	1.3	8.2	3.4	4.1	-2.4	11	16.0	21	76	52	72	67	29	10	5.4	6.2	4.5	5.4	1	—	2	3	94	22	15	13	10	7	—	—	6	9
Mai	9.4	17.6	10.7	12.1	1.1	1	23.3	14	81	54	79	71	27	17	5.3	5.8	4.3	5.1	—	1	—	1	96	44	27	10	8	—	—	—	5	4
Juni	10.8	17.2	12.3	13.1	5.5	13	21.1	2	82	56	78	72	27	5	4.6	6.3	5.9	5.6	—	—	—	—	119	21	22	11	11	—	—	—	4	7
Juli	12.9	20.3	14.6	15.6	6.3	5	26.2	31	91	57	87	78	38	17	4.5	5.4	4.7	4.9	—													

λ = 9° 37', β = 46° 21', H = ca 1065m, hr = 1.5m

Vicosoprano

Beobachter: H. Roffler, Fam. Ganzoni-Roffler

Table with columns for month (1968), Luft-Temperatur (730, 1330, 2130, Mittel, Minimum Tag, Maximum Tag), Relative Feuchtigkeit (730, 1330, 2130, Mittel, Minimum Tag), Bewölkung (730, 1330, 2130, Mittel), Nebel (Zahl der Termine: 730, 1330, 2130, Total), Niederschlag (Summe, Maximum Tag), and Zahl der Tage (various weather symbols).

Vicosoprano: H. Roffler † im April

λ = 9° 09', β = 46° 15', H = 357m, hr = 1.5m

Grono

Beobachter: A. Parolini

Table with columns for month, Luft-Temperatur, Relative Feuchtigkeit, Bewölkung, Nebel, Niederschlag, and Zahl der Tage for Grono.

λ = 8° 37', β = 46° 32', H = ca 1170m, hr = 1.5m

Airolo

Beobachter: Fam. Rossi-Burkhalter

Table with columns for month, Luft-Temperatur, Relative Feuchtigkeit, Bewölkung, Nebel, Niederschlag, and Zahl der Tage for Airolo.

λ = 8° 56', β = 46° 27', H = 544.1m, hr = 1.5m

Comprovasco

Beobachter: Frl. P. Gianella

Table with columns for month, Luft-Temperatur, Relative Feuchtigkeit, Bewölkung, Nebel, Niederschlag, and Zahl der Tage for Comprovasco.

$\lambda = 8^{\circ}53'$, $\beta = 46^{\circ}02'$, $H = 855^m$, $h_r = 1.8^m$

Fescoggia

Beobachter: Fr. H. Suter

1958	Luft-Temperatur						Relative Feuchtigkeit					Bewölkung				Nebel Zahl der Termine				Niederschlag		Zahl der Tage										
	7 ³⁰	13 ³⁰	21 ³⁰	Mittel	Minimum Tag	Maximum Tag	7 ³⁰	13 ³⁰	21 ³⁰	Mittel	Minimum Tag	7 ³⁰	13 ³⁰	21 ³⁰	Mittel	7 ³⁰	13 ³⁰	21 ³⁰	Total	Summe	Maximum Tag	●	☉	☽	☼	☾	helle	trübe				
Jan.	-0.6	5.7	1.5	2.3	-4.1	22.24	12.2	30	—	—	—	—	—	—	3.6	4.4	3.4	3.8	—	2	2	4	11	5	11	7	4	5	—	—	11	5
Feb.	3.8	8.6	4.5	5.4	-2.5	20	18.1	15	—	—	—	—	—	—	5.8	5.2	5.0	5.3	1	2	2	5	101	38	11	6	6	2	—	—	10	9
März	1.8	6.3	2.2	3.1	-4.2	12	16.2	31	—	—	—	—	—	—	6.1	5.5	5.1	5.6	2	2	2	6	20	6	27	9	6	6	—	—	8	11
Apr.	5.9	9.4	5.7	6.7	0.0	12	16.8	21	—	—	—	—	—	—	5.9	6.7	5.7	6.1	8	2	6	16	238	65	3	14	14	9	—	—	8	12
Mai	14.1	17.9	13.9	14.9	6.8	16	22.3	11	—	—	—	—	—	—	6.5	7.0	4.3	5.9	1	2	1	4	203	67	27	10	9	—	—	3	3	9
Juni	13.8	17.8	14.2	15.0	9.2	27	21.4	4	—	—	—	—	—	—	6.4	6.7	6.1	6.4	—	—	3	3	219	63	22	12	12	—	—	5	4	11
Juli	16.6	21.2	17.3	18.1	11.2	4	26.3	31	—	—	—	—	—	—	5.9	6.5	5.4	5.9	—	—	—	—	134	39	22	11	11	—	—	10	4	7
Aug.	16.4	21.0	17.6	18.2	11.5	22	26.2	1	—	—	—	—	—	—	5.7	6.7	4.6	5.7	—	—	—	—	255	95	1	14	12	—	2	9	5	5
Sept.	14.4	19.0	15.0	15.8	10.7	23	22.4	8	—	—	—	—	—	—	5.8	6.0	5.1	5.6	3	1	2	6	137	47	21	8	7	—	—	2	5	6
Okt.	10.3	14.4	10.1	11.2	5.4	19	22.4	15	—	—	—	—	—	—	5.1	4.7	4.7	4.8	2	—	4	—	238	94	12	11	11	—	—	2	9	9
Nov.	5.8	9.5	6.3	7.0	1.8	29	13.6	1	—	—	—	—	—	—	6.9	6.6	6.2	6.6	4	4	2	10	105	27	11	14	12	—	—	—	3	13
Dez.	1.7	4.9	2.6	3.0	-4.6	5	14.4	28	—	—	—	—	—	—	6.2	6.5	5.6	6.1	3	7	1	11	248	82	21	14	12	4	—	—	7	16
Jahr	8.8	13.0	9.2	10.1	-4.6	XII	26.3	VII	—	—	—	—	—	—	5.8	6.0	5.1	5.6	24	24	21	69	1909	95	VIII	130	116	26	233	77	113	

$\lambda = 8^{\circ}59'$, $\beta = 46^{\circ}01'$, $H_b = 910^m$, $h_r = 1.5^m$

Monte Brè (s. Lugano)

Beobachter: Direzione Funicolare, Cassarate-Monte-Brè

Jan.	0.4	2.7	1.2	1.4	-5.0	24	7.0	15	30	59	53	62	58	24	21.25	3.2	3.5	3.4	3.4	3	3	3	9	12	5	11	4	4	4	—	—	16	6
Feb.	3.3	5.7	4.4	4.4	-3.1	20	13.0	15	68	61	63	64	28	28	4.7	5.3	5.1	5.0	3	3	3	9	76	33	11	6	5	2	—	—	6	7	
März	0.4	4.0	2.7	2.4	-4.8	11.12	12.8	31	67	61	61	63	20	22	5.8	5.1	4.2	5.0	3	2	1	6	23	5	27	8	8	5	—	—	9	10	
Apr.	4.2	8.1	6.1	6.1	-1.0	12	14.6	27	72	63	69	68	28	9	5.1	6.1	6.1	5.8	6	7	5	18	215	44	3	15	14	7	—	1	7	14	
Mai	13.6	17.4	14.8	15.2	5.4	16	21.0	11	71	64	70	68	31	17	5.5	5.8	4.5	5.3	2	1	—	3	202	70	27	7	7	—	1	3	5	6	
Juni	14.3	17.7	15.7	15.9	9.9	27	21.0	3	67	64	67	66	34	4	5.4	5.5	4.5	5.1	3	3	1	7	176	50	22	11	11	—	1	1	7	7	
Juli	16.8	20.6	18.5	18.6	10.0	4	25.2	31	74	72	74	73	45	17	4.8	4.4	3.8	4.3	2	—	—	2	175	41	22	10	9	—	2	5	7	4	
Aug.	16.6	20.3	18.3	18.4	11.2	22	26.0	1	76	73	76	75	41	26	4.9	4.2	4.4	4.5	—	—	—	—	147	37	11	13	12	—	1	4	8	6	
Sept.	14.2	17.1	15.7	15.7	11.0	30	20.3	10	81	77	77	78	31	26	5.3	4.5	4.1	4.6	1	1	—	2	107	37	17	6	6	—	—	1	7	7	
Okt.	9.6	11.7	10.1	10.4	4.2	23	18.8	15	69	69	72	70	32	16	4.5	4.3	3.3	4.0	1	2	2	5	167	35	1	9	9	—	—	2	12	9	
Nov.	5.5	7.6	6.1	6.3	2.2	29	9.8	26	81	76	82	80	34	1	6.8	6.0	5.8	6.2	4	4	3	11	81	23	11	11	11	—	—	—	6	13	
Dez.	1.9	3.2	2.0	2.3	-4.8	5	11.7	28	73	73	76	74	32	28	6.0	5.7	5.1	5.6	5	8	7	20	223	70	21	14	13	6	—	—	8	13	
Jahr	8.4	11.3	9.6	9.8	-5.0	1	26.0	VIII	71	67	71	70	20	III	5.2	5.0	4.5	4.9	33	34	25	92	1604	70	XII	114	109	24	5	17	98	102	

Monats- und Jahresübersichten des synoptischen Stationsnetzes

Auf den nachfolgenden Seiten werden Jahresübersichten der Beobachtungen von sechs schweizerischen Stationen des synoptischen Netzes veröffentlicht. Dazu kommen die Beobachtungen der beiden in der Nähe der Schweizer Grenze gelegenen Stationen Aéroport Bâle-Mulhouse und Plateau Rosà (beim Theodulpaß), welche uns vom französischen bzw. italienischen meteorologischen Dienst freundlicherweise zur Verfügung gestellt werden. Die acht internationalen Beobachtungstermine sind in MEZ in die Tabellenüberschriften eingesetzt. Die tatsächlichen Beobachtungszeiten liegen in der Regel etwas früher, und zwar

	Lufttemperatur	Luftdruck
Schweizerische Stationen	30 Min.	20 Min.
Aéroport Bâle-Mulhouse	10 Min.	0 Min.
Plateau Rosà	20 Min.	20 Min.

Für die Umrechnung der Barometerablesungen von Millimeter Quecksilbersäule auf Millibar wurde in der Schweiz, da die Abweichungen der Schwerebeschleunigung vom Normalwert bei 45° geogr. Breite auf Meeresebene $g_0 = 980,626 \text{ cm/sec}^2$ im allgemeinen gering sind, einheitlich der Faktor 1,3332 verwendet, was für einzelne, besonders für hochgelegene Stationen kleine Fehler bei der Druckangabe in mb bedingt, wenn die Luftdrucke den geometrischen Barometerhöhen des Ortes zugeordnet werden. Um diese Fehler zu eliminieren, werden als Höhenangaben der Stationen nicht die Höhen H_b des Barometers aufgeführt, sondern die Höhen H_p , auf welche sich die so berechneten Luftdruckangaben beziehen, indem die Schwerekorrektur G in Form einer Höhenkorrektur ΔH berücksichtigt wird. Im Jahr 1955 wurden, wie im Vorwort 1956 erwähnt ist, die Schwerekorrekturen G neu berechnet und ferner statt des bisher verwendeten Wertes $g_0 = 980,626 \text{ cm/sec}^2$ der von der meteorologischen Weltorganisation (OMM) vorgeschriebene Normalwert $g_0 = 980,665 \text{ cm/sec}^2$ eingesetzt, so daß die G -Werte gegenüber den früheren Jahren etwas verändert sind. Die nachfolgende Tabelle gibt eine Übersicht der Werte von H_b , H_p sowie der Korrektur der Barometerstände infolge des von der normalen Schwerebeschleunigung g_0 abweichenden Wertes g am betreffenden Ort. Für Kloten ist die Differenz zwischen H_b und H_p größer als der Schwere-Korrekturbetrag ΔH , da entspre-

chend den internationalen Vorschriften eine Reduktion des abgelesenen Barometerstandes auf Pistenhöhe vorgenommen wird.

	H_b	g (cm/sec^2)	G	ΔH	H_p
Flughafen Zürich-Kloten	440,3 m	980,69	0,03 mb	0,2 m	431 m
Gütsch ob Andermatt	2288 m	980,17	-0,39 mb	-4,0 m	2284 m
Aéroport Bâle-Mulhouse	268 m	980,79	0,13 mb	—	268 m
Meteorolog. Obs. Bern	572,2 m	980,61	-0,05 mb	-0,4 m	572 m
Aéroport Genève-Cointrin	430 m	980,60	-0,06 mb	-0,6 m	429 m
Sion Aérodrôme	482,6 m	980,48	-0,18 mb	-1,5 m	481 m
Plateau Rosà	3488 m	979,91	-0,51 mb	—	3488 m
Locarno-Aeroporto	198,5 m	980,66	-0,01 mb	-0,1 m	198 m

Mit Ausnahme der Station Plateau Rosà, wo die Thermometerhütte auf der Nordseite des Hauses etwa 9 Meter über Boden befestigt ist, sind alle Stationen mit englischen Hütten (Stevenson Screen) ausgerüstet, wobei die Temperaturmessung rund 2 m über der Bodenoberfläche erfolgt.

Die relative Feuchtigkeit wird auf Plateau Rosà mit einem Haarhygrometer, in Bâle-Mulhouse mit einem unventilierten Standpsychrometer, auf den übrigen Stationen mit ventilierten Standpsychrometern bestimmt. Die Niederschläge werden im schweizerischen Netz mit Hellmannschen Regenschneidern von 200 cm² Öffnung gemessen. Die Station Gütsch besitzt einen Regenschneider mit Niphertrichter. In Bâle-Mulhouse wird der im französischen Wetterdienst gebräuchliche Regenschneider (pluviomètre association) von 400 cm² Öffnung verwendet.

Als Zahl der Gewittertage wird, wie in der Schweiz bisher allgemein üblich, die Zahl der Tage mit Nahgewitter (innerhalb eines Umkreises von 3 km) angegeben, Ferngewitter sind nicht berücksichtigt. Als heitere Tage gelten solche mit einer Bewölkungssumme von höchstens 12 Okta aus allen 8 Beobachtungsterminen, als trübe Tage solche mit einer Summe von mindestens 52 Okta.

Die Windgeschwindigkeiten werden mit verschiedenartigen Schalenkreuzanemometern bestimmt, in Bern mit Hilfe einer Staudruckdüse, welche aber wahrscheinlich etwas zu niedrige Werte liefert. Auf eine Korrektur muß vorläufig verzichtet werden.

$\lambda = 8^{\circ} 34'$, $\beta = 47^{\circ} 27'$, $H_p = 431$ m, $h_T = 1.7$ m

Flughafen Zürich-Kloten

1958	900 mb - Luftdruck in Millibar												Minimum-Thermometer			Maximum-Thermometer			
	1 ^h	4 ^h	7 ^h	10 ^h	13 ^h	16 ^h	19 ^h	22 ^h	Mittel	Minimum Tag	Maximum Tag	Mittel	Minimum Tag	Mittel	Maximum Tag				
Januar	64.9	64.9	64.8	65.8	65.2	64.7	65.2	65.5	965.1	937.9	11	980.9	16	-3.7	-16.0	25	2.6	11.0	7
Februar	64.5	64.3	64.2	64.9	64.7	64.0	64.0	64.2	964.4	941.5	26	983.4	3.4	-0.5	-9.9	28	7.1	18.4	14
März	61.0	60.6	60.4	60.7	60.3	59.6	59.9	60.6	960.4	946.4	11	976.1	4	-3.9	-11.0	12	5.6	16.7	29
April	64.0	63.6	63.8	64.3	64.0	63.4	63.6	64.7	963.9	948.9	16	978.1	30	0.8	-5.4	2	10.6	20.4	21
Mai	67.6	67.5	67.7	67.8	67.3	66.4	66.0	67.0	967.2	948.9	16	979.2	1	8.6	2.0	1	20.9	28.5	11
Juni	65.4	65.2	65.6	65.5	64.9	64.3	64.0	65.0	965.0	946.7	27	973.5	15	9.3	5.2	14	21.0	27.5	17
Juli	66.7	66.4	66.7	66.9	66.5	66.0	65.9	67.0	966.5	954.5	1	975.4	17	12.8	8.3	26	23.8	30.0	15
August	66.2	66.0	66.3	66.5	65.9	65.1	64.8	66.0	965.9	950.7	21	976.2	4	13.1	7.2	27	24.0	32.0	1
September	69.2	68.9	69.0	69.4	68.7	67.9	68.1	68.9	968.8	952.2	30	975.4	13	10.4	2.5	28	21.3	28.2	6
Oktober	71.4	71.0	70.9	71.4	71.1	70.7	71.2	72.0	971.2	949.8	1	983.8	23.24	5.7	-0.6	23	12.1	19.4	10
November	68.9	68.6	68.6	69.2	68.8	68.5	69.0	69.1	968.8	954.2	13	983.5	20	2.6	-1.0	20	6.0	10.2	8
Dezember	58.5	58.4	58.4	59.1	58.7	58.3	58.6	58.7	958.6	934.7	13	975.5	29	-0.7	-7.9	6	5.2	11.1	20
Jahr	65.7	65.4	65.5	66.0	65.5	64.9	65.0	65.7	965.5	934.7	XII	983.8	X	4.5	-16.0	I	13.4	32.0	VIII

	Lufttemperatur												Relative Feuchtigkeit											
	1 ^h	4 ^h	7 ^h	10 ^h	13 ^h	16 ^h	19 ^h	22 ^h	Mittel	Minimum Tag	Maximum Tag	1 ^h	4 ^h	7 ^h	10 ^h	13 ^h	16 ^h	19 ^h	22 ^h	Mittel	Minimum Tag			
Januar	-1.4	-1.7	-2.1	-1.3	0.7	1.5	-0.2	-0.7	-0.7	-15.4	25	11.0	7	90	90	91	88	84	83	89	89	88	53	1
Februar	2.4	2.1	1.6	2.3	4.8	5.8	3.7	2.9	3.2	-9.9	28	18.1	15	88	87	89	87	76	75	81	85	84	39	13
März	-1.2	-2.2	-2.7	0.0	3.3	5.0	3.0	0.8	0.8	-10.4	12	16.8	29	87	90	91	81	63	60	72	80	78	29	24
April	3.7	2.5	2.2	5.7	8.2	9.8	8.9	5.4	5.8	-3.6	2	19.8	21	86	90	90	75	63	57	61	78	75	28	3
Mai	11.5	10.1	10.6	15.1	18.0	19.7	18.6	13.8	14.7	3.6	1	28.5	11	86	91	89	68	58	54	57	78	73	25	4
Juni	12.3	10.8	11.8	16.1	18.9	19.9	19.3	14.8	15.5	6.3	14	27.2	17	88	92	90	70	59	55	59	79	74	31	17
Juli	15.4	14.2	14.6	18.3	21.5	22.8	21.6	17.6	18.3	9.5	26	30.0	15	89	92	92	76	63	56	62	81	76	38	12.13
August	15.5	14.6	14.4	18.6	21.8	22.9	21.6	17.1	18.3	7.9	27	31.8	1	89	93	94	77	62	59	65	85	78	34	5
September	12.3	11.9	11.7	14.7	19.2	20.9	18.0	14.5	15.5	3.0	28	27.6	7	92	94	95	88	68	62	76	89	83	46	15.26
Oktober	7.6	7.5	7.4	8.3	10.3	11.3	9.2	8.0	8.7	-0.2	23	18.6	10	94	94	92	91	82	79	88	93	89	54	23
November	4.0	3.9	3.7	4.0	5.1	5.5	4.4	3.8	4.3	-0.2	19	10.1	8	94	94	93	93	88	85	91	94	92	61	1
Dezember	1.5	1.4	1.4	1.7	3.6	4.0	2.1	1.7	2.2	-6.8	5	10.2	17	90	90	89	87	82	80	87	89	87	44	17
Jahr	7.0	6.2	6.2	8.6	11.3	12.4	10.9	8.3	8.9	-15.4	I	31.8	VIII	89	91	91	82	71	67	74	85	81	25	V

	Bewölkung in Achteln (Okta)									Nebel Zahl der Beobachtungstermine								Niederschlag		Zahl der Tage								
	1 ^h	4 ^h	7 ^h	10 ^h	13 ^h	16 ^h	19 ^h	22 ^h	Mittel	1 ^h	4 ^h	7 ^h	10 ^h	13 ^h	16 ^h	19 ^h	22 ^h	Total	Summe	Maximum Tag	☉	☾	☁	☂	☃	☄	★	☆
Januar	6.3	6.3	6.4	7.4	6.9	6.6	6.5	6.7	6.8	5	3	3	3	1	1	3	3	22	81	22	6	13	12	9	—	—	—	23
Februar	6.7	6.6	6.8	6.8	6.7	6.5	6.4	6.0	6.6	2	1	—	1	1	—	1	1	7	190	38	7	17	15	10	—	—	—	20
März	4.2	4.2	6.3	5.8	5.6	6.0	5.5	4.7	5.3	—	—	2	2	—	—	—	—	4	40	20	13	12	9	10	—	—	2	11
April	5.1	5.0	5.6	5.8	5.8	5.7	5.5	5.1	5.5	—	—	—	—	—	—	—	—	—	74	29	16	15	11	7	—	—	4	12
Mai	4.5	4.9	5.9	5.9	5.5	6.0	5.0	4.2	5.2	1	1	1	—	—	—	—	—	3	106	33	27	10	10	—	—	1	3	10
Juni	4.0	4.5	5.1	5.1	5.3	5.0	4.9	5.4	4.9	—	—	1	—	—	—	—	—	1	133	35	10	13	12	—	—	5	3	10
Juli	4.4	5.2	4.9	4.7	4.7	4.7	4.8	5.2	4.8	—	1	2	—	—	—	—	—	3	125	22	2	18	15	—	—	4	3	7
August	4.4	5.3	5.9	4.6	4.7	4.4	5.2	5.4	5.0	1	4	4	—	—	—	—	—	9	165	55	19	13	12	—	—	9	—	6
September	4.6	5.2	7.1	6.6	4.7	4.3	4.4	3.6	5.1	7	7	9	—	—	—	—	—	23	64	31	21	7	7	—	—	3	1	7
Oktober	6.7	7.6	7.6	7.4	6.7	6.0	5.7	6.3	6.8	5	6	5	4	—	—	—	3	23	93	18	12	18	16	—	—	1	—	23
November	7.6	7.9	7.9	7.8	7.6	7.3	7.6	7.8	7.7	2	1	1	—	—	—	2	3	9	47	14	4	7	7	—	—	—	—	29
Dezember	7.0	6.6	7.2	6.7	6.4	5.9	5.7	6.3	6.5	2	3	1	1	1	—	—	1	9	94	24	24	12	12	6	—	—	—	16
Jahr	5.5	5.8	6.4	6.2	5.9	5.7	5.6	5.5	5.8	25	27	29	11	3	1	6	11	113	1212	55	VIII	155	138	42	—	23	16	174

	Windverteilung													Windgeschwindigkeit in Knoten									
	350° -10°	20° -40°	50° -70°	80° -100°	110° -130°	140° -160°	170° -190°	200° -220°	230° -250°	260° -280°	290° -310°	320° -340°	Galmen	1 ^h	4 ^h	7 ^h	10 ^h	13 ^h	16 ^h	19 ^h	22 ^h	Mittel	
Januar	12	21	8	15	8	13	9	12	30	34	22	14	50	5.5	5.1	5.1	4.7	6.1	6.4	4.4	5.6	5.4	
Februar	8	9	5	10	19	22	14	22	49	32	7	9	18	6.4	7.1	7.2	6.8	3.0	6.4	5.8	6.3	6.8	
März	4	27	31	21	15	16	12	3	12	33	19	14	41	2.7	2.9	2.8	4.3	7.1	7.0	6.3	5.1	4.8	
April	8	28	29	13	6	12	12	8	33	33	8	8	42	3.6	3.2	3.2	6.9	8.3	9.2	7.2	4.8	5.8	
Mai	5	20	14	10	12	19	9	15	32	37	14	14	47	2.8	2.5	2.9	5.2	6.8	6.9	5.9	3.9	4.6	
Juni	12	19	18	16	7	9	7	8	29	41	25	21	28	3.0	3.4	3.1	5.7	7.4	8.4	5.6	2.9	4.9	
Juli	12	25	12	14	6	15	13	8	34	34	20	10	45	2.8	2.2	2.2	4.1	6.7	6.5	5.8	4.0	4.3	
August	10	16	11	20	12	18	16	10	29	33	19	12	42	2.3	2.5	2.7	4.3	6.3	5.8	5.4	2.8	4.0	
September	19	27	22	19	14	14	8	5	15	22	19	26	30	2.5	2.5	2.3	4.2	6.4	6.6	3.9	2.7	3.9	
Oktober	11	28	27	16	21	21	10	15	40	15	12	10	22	3.6	3.5	5.0	5.8	7.7	5.7	4.7	4.0	5.0	
November	12	45	43	16	13	9	7	3	9	19	18	21	25	4.3	3.5	4.3	4.1	4.7	4.6	3.8	3.2	4.1	
Dezember	7	33	18	17	16	21	20	18	39	20	7	17	15	4.2	5.2	4.4	5.6	5.7	5.2	4.5	4.8	5.0	
Jahr	120	298	238	187	149	189	137	127	351	353	190	176	405	3.6	3.6	3.8	5.1	6.8	6.5	5.3	4.2	4.9	

Gütsch ob Andermatt

$\lambda = 8^{\circ} 37'$, $\beta = 46^{\circ} 39'$, $H_p = 2284$ m, $h_T = 2.1$ m

1958	Luftdruck in Millibar												Minimum-Thermometer			Maximum-Thermometer			
	1h	4h	7h	10h	13h	16h	19h	22h	Mittel	Minimum Tag	Maximum Tag	Mittel	Minimum Tag	Mittel	Maximum Tag				
Januar	63.7	63.6	63.4	64.1	64.0	63.7	63.9	64.2	763.8	744.6	12	778.3	27	-10.4	-18.8	21	-3.3	5.5	30
Februar	65.7	65.1	64.9	65.1	65.4	65.0	65.2	65.3	765.2	747.6	26	785.5	15	-8.2	-19.1	28	-1.9	7.0	16
März	59.2	58.7	58.5	58.8	59.1	59.0	59.1	59.3	759.0	745.0	11	772.1	5	-12.0	-21.5	11	-4.8	2.5	28
April	64.3	63.8	63.6	64.1	64.4	64.5	64.6	65.1	764.3	752.0	16	779.8	30	-8.4	-14.6	11	-1.4	8.1	22
Mai	74.2	73.6	73.6	73.9	74.1	74.0	73.8	74.2	773.9	755.5	16	781.1	9	1.0	-5.6	18	6.5	10.1	9
Juni	71.9	71.3	71.4	71.6	71.7	71.6	71.6	71.9	771.6	756.7	27	778.7	15	1.3	-4.4	27	7.9	14.3	29
Juli	75.1	74.4	74.4	74.8	75.0	75.0	75.1	75.6	774.9	763.3	22	783.8	31	4.6	-1.0	3	11.8	18.6	31
August	75.4	74.8	74.8	75.2	75.2	75.0	74.9	75.3	775.1	761.3	22	783.4	1	5.7	0.5	20	12.9	23.0	30
September	76.5	76.1	76.0	76.6	76.6	76.2	76.3	76.5	776.4	764.2	30	782.9	13	4.5	-3.0	27	12.0	16.6	5
Oktober	74.0	73.5	73.5	73.8	73.7	73.6	73.8	74.4	773.8	758.7	1	784.4	24	-2.0	-10.1	22	4.2	12.8	9
November	69.7	69.3	69.2	69.6	69.6	69.4	69.5	69.7	769.5	755.0	13	781.1	20	-4.6	-10.1	2	1.4	6.3	26
Dezember	60.5	60.3	60.2	60.7	60.7	60.4	60.6	60.7	760.5	742.3	14	775.3	29.30	-7.8	-13.2	3	-2.4	7.7	31
Jahr	69.2	68.7	68.6	69.0	69.1	69.0	69.0	69.4	769.0	742.3	XII	785.5	II	-3.0	-21.5	III	3.6	23.0	VIII

	Lufttemperatur												Relative Feuchtigkeit											
	1h	4h	7h	10h	13h	16h	19h	22h	Mittel	Minimum Tag	Maximum Tag	1h	4h	7h	10h	13h	16h	19h	22h	Mittel	Minimum Tag			
Januar	-7.9	-7.9	-7.9	-7.6	-5.6	-6.2	-7.8	-7.6	-7.3	-18.4	21	2.8	28.30	67	68	67	67	63	66	69	65	67	13	31
Februar	-6.0	-5.8	-5.4	-4.8	-3.6	-4.2	-5.6	-5.9	-5.2	-19.0	28	6.0	15	74	74	75	74	74	74	75	74	74	13	4
März	-9.3	-9.7	-9.8	-8.0	-6.5	-6.6	-8.6	-9.2	-8.5	-19.4	12	1.2	30	77	74	73	68	70	74	79	78	74	22	1
April	-6.8	-6.8	-6.8	-5.2	-3.3	-3.6	-5.4	-6.1	-5.5	-14.1	11	6.4	22	85	82	81	80	78	82	87	86	83	16	24
Mai	2.5	2.7	2.6	4.0	5.0	4.9	4.2	3.2	3.6	-5.8	18	9.8	9	79	78	77	75	72	75	79	82	77	36	1
Juni	3.0	2.8	2.8	4.8	6.5	6.3	5.1	3.7	4.4	-3.8	27	13.6	30	88	85	85	77	75	81	87	91	84	47	18
Juli	6.4	6.2	6.2	8.3	10.4	9.9	8.5	7.1	7.9	-0.6	3	16.8	31	89	87	86	79	75	81	87	90	84	55	30
August	7.5	7.2	7.2	9.4	11.4	11.4	9.3	7.9	8.9	1.2	20	21.6	30	83	80	79	74	72	73	81	84	78	34	29
September	6.3	5.9	5.7	8.3	10.5	9.6	7.4	6.3	7.5	-2.6	27	15.8	6	79	76	74	71	62	72	80	81	75	25	14
Oktober	0.2	0.1	0.0	1.3	2.6	2.2	0.6	0.2	0.9	-9.0	17.22	11.9	9	75	75	73	74	72	74	75	76	74	19	29
November	-2.8	-2.7	-2.6	-1.8	-0.2	-0.8	-2.5	-2.5	-2.0	-9.2	2	5.2	26	80	79	77	75	72	73	74	76	76	20	20
Dezember	-5.4	-5.6	-5.5	-5.4	-4.1	-4.5	-5.6	-5.5	-5.2	-12.2	3	5.8	31	69	69	69	69	71	73	74	72	71	11	4
Jahr	-1.0	-1.1	-1.1	0.3	1.9	1.5	0.0	-0.7	-0.0	-19.4	III	21.6	VIII	79	77	76	74	71	75	79	79	76	11	XII

	Bewölkung in Achteln (Okta)										Nebel								Niederschlag		Zahl der Tage							
	1h	4h	7h	10h	13h	16h	19h	22h	Mittel	1h	4h	7h	10h	13h	16h	19h	22h	Total	Summe	Maximum Tag	☉	☽	☁	☂	☃	☄	heiter	trüb
Januar	3.2	3.5	3.7	4.6	4.2	4.7	4.2	4.0	4.1	4	6	5	3	2	5	6	7	38	156	36	7	13	12	13	-	-	9	7
Februar	5.4	5.7	5.8	6.4	6.3	6.2	6.0	5.3	5.9	3	5	5	7	7	5	5	3	40	227	40	21	19	16	19	-	-	1	15
März	4.2	4.3	4.8	5.0	5.5	5.6	5.6	4.7	5.0	2	2	2	1	1	3	2	14	116	29	13	19	17	19	-	-	3	12	
April	5.8	5.7	5.6	5.5	5.6	6.0	6.3	5.9	5.8	7	5	2	3	3	3	5	8	36	227	31	5	22	17	22	-	-	5	19
Mai	4.9	5.3	5.7	5.9	5.7	6.3	6.2	5.2	5.7	1	1	-	-	-	1	2	1	6	139	42	27	13	10	10	-	4	3	12
Juni	4.5	5.1	5.1	5.0	5.2	5.4	5.8	6.3	5.3	1	-	1	-	-	1	1	3	7	117	31	3	16	14	8	-	3	1	13
Juli	5.0	5.0	5.0	5.0	5.4	5.8	5.8	6.2	5.4	2	1	3	-	-	1	1	8	147	34	3	19	17	6	-	6	1	12	
August	5.0	4.0	4.7	4.6	4.7	5.2	5.2	6.0	4.9	5	1	1	1	2	1	1	2	14	158	76	19	17	15	1	2	6	3	8
September	3.2	2.8	3.2	3.8	3.8	4.4	4.7	3.8	3.7	-	-	-	-	1	-	-	-	1	70	15	21	10	9	1	-	1	8	6
Oktober	4.6	4.8	5.0	5.1	5.0	5.0	5.1	4.7	4.9	3	4	4	3	2	2	2	3	23	298	94	1	19	18	16	-	1	8	15
November	4.2	4.1	4.2	4.6	4.9	5.5	4.5	4.2	4.5	3	2	2	2	-	-	-	1	10	81	17	10	14	10	14	-	-	6	9
Dezember	4.5	3.9	4.2	5.3	5.3	5.4	5.0	4.6	4.8	3	2	1	2	3	1	2	4	18	130	18	21	20	15	20	-	-	7	12
Jahr	4.5	4.5	4.8	5.1	5.1	5.4	5.4	5.1	5.0	32	30	24	25	21	20	28	35	215	1866	94	X	201	170	149	2	21	55	140

	Windverteilung													Windgeschwindigkeit in Knoten									
	350° -10°	20° -40°	50° -70°	80° -100°	110° -130°	140° -160°	170° -190°	200° -220°	230° -250°	260° -280°	290° -310°	320° -340°	Calmen	1h	4h	7h	10h	13h	16h	19h	22h	Mittel	
Januar	23	34	59	24	13	23	13	26	9	6	2	10	6	9.4	10.5	11.8	11.5	9.5	9.2	8.3	8.6	10.0	
Februar	89	14	3	5	2	10	67	10	1	1	4	18	-	11.7	11.4	11.2	11.6	11.4	12.2	13.1	12.8	11.9	
März	114	55	9	5	1	12	28	6	-	-	4	13	1	11.2	10.4	10.6	10.1	10.1	11.5	11.5	10.3	10.7	
April	90	61	11	6	6	12	31	6	-	-	2	7	8	12.4	11.6	10.9	10.4	10.1	9.5	10.3	11.3	10.8	
Mai	33	47	13	3	6	75	51	7	2	-	3	5	3	12.9	14.7	12.9	13.4	13.2	13.1	13.5	14.4	13.5	
Juni	41	61	15	11	6	25	49	21	5	2	-	3	1	10.7	9.4	10.8	11.1	11.8	11.5	10.8	9.3	10.7	
Juli	39	49	12	15	10	37	51	40	7	1	-	2	5	8.4	7.8	8.6	8.0	10.2	10.5	10.3	6.2	8.8	
August	42	59	15	10	3	22	57	21	4	1	2	7	5	8.5	8.0	6.5	8.8	9.5	10.2	8.8	8.6	8.6	
September	30	74	16	6	2	11	61	17	8	3	1	4	7	8.1	7.3	7.1	7.8	9.8	10.9	9.7	9.0	8.7	
Oktober	15	47	23	28	21	23	73	10	2	1	-	2	3	8.4	8.1	8.2	8.2	9.9	10.0	9.1	8.4	8.8	
November	10	33	8	30	24	31	82	17	1	-	-	2	2	10.2	8.7	9.3	9.5	10.5	10.6	9.2	9.4	9.7	
Dezember	11	53	11	9	14	9	92	27	8	2	2	7	3	13.7	13.7	13.1	12.4	12.5	13.9	12.7	12.4	13.1	
Jahr	537	587	195	152	108	270	655	208	47	17	20	80	44	10.5	10.1	10.1	10.2	10.7	11.1	10.6	10.1	10.4	

Aéroport Bâle-Mulhouse

(Station du Réseau Météorologique français)

$\lambda = 7^{\circ} 31', \beta = 47^{\circ} 36', H_p = 268 \text{ m}, h_r = 1.5 \text{ m}$

1958	900 mb - Pression en millibars											Thermomètre à minima			Thermomètre à maxima				
	1 ^h	4 ^h	7 ^h	10 ^h	13 ^h	16 ^h	19 ^h	22 ^h	Moyenne	Minima Jour	Maxima Jour	Moyenne	Minima Jour	Maxima Jour	Moyenne	Maxima Jour			
Janvier	84.4	84.4	84.4	85.3	84.7	84.1	84.6	85.0	984.6	955.1	11	1001.5	16	-1.8	-14.7	24	4.2	12.1	7
Février	84.0	83.6	83.5	84.1	83.9	83.1	83.2	83.5	983.6	960.5	26	1003.9	3.4	0.8	-11.1	28	9.2	21.2	15
Mars	80.8	80.3	80.2	80.6	80.1	79.1	79.8	81.0	980.2	966.9	11	996.6	4	-2.3	-8.6	23	7.1	18.4	30
Avril	83.7	83.3	83.7	84.3	83.7	83.1	83.5	84.4	983.7	968.9	4	997.8	30	2.0	-3.2	13	11.5	21.4	21
Mai	86.7	86.5	86.9	86.6	86.1	85.2	85.0	85.9	986.1	964.7	16	998.6	1	9.7	2.9	1	21.1	29.6	8
Juin	84.2	84.1	84.6	84.5	83.8	83.1	82.9	83.8	983.9	965.7	25.27	993.0	14	10.8	6.0	15	21.2	27.8	17
Juillet	85.5	85.1	85.4	85.5	85.2	84.6	84.6	85.6	985.2	973.4	1	995.0	8	13.9	8.4	18	24.4	31.2	15
Août	84.8	84.4	84.8	85.0	84.2	83.5	83.6	84.3	984.3	970.1	22	995.9	4	14.3	7.6	27	24.5	33.8	1
Septembre	87.8	87.5	87.7	88.0	87.3	86.4	86.8	87.6	987.4	971.4	30	993.8	13	11.7	3.0	28	22.2	29.5	6
Octobre	90.6	90.3	90.2	90.9	90.3	89.8	90.6	91.3	990.5	968.7	1	1003.9	24	6.7	0.4	24	13.9	23.5	10
Novembre	88.7	88.4	88.4	89.0	88.6	88.2	88.7	88.8	988.6	974.5	13	1003.8	20	2.6	-1.9	19	6.7	12.1	6
Décembre	77.7	77.7	77.6	78.3	77.8	77.5	77.9	77.9	977.8	953.0	16	995.1	2	0.2	-11.3	4	6.6	13.0	17
Année	84.9	84.6	84.8	85.2	84.6	84.0	84.3	84.9	984.7	953.0	XII	1003.9	II-X	5.7	-14.7	I	14.4	33.8	VIII

	Température de l'air											Humidité relative												
	1 ^h	4 ^h	7 ^h	10 ^h	13 ^h	16 ^h	19 ^h	22 ^h	Moyenne	Minima Jour	Maxima Jour	1 ^h	4 ^h	7 ^h	10 ^h	13 ^h	16 ^h	19 ^h	22 ^h	Moy.	Minima Jour			
Janvier	-0.1	-0.2	0.0	0.7	2.8	3.0	1.5	0.5	1.0	-14.5	24	11.6	7	89	88	88	85	78	79	85	87	85	50	22
Février	3.9	3.1	2.6	3.9	6.9	7.3	5.2	4.0	4.6	-10.9	28	20.2	15	84	85	85	83	72	73	81	82	81	40	10
Mars	-0.1	-1.0	-1.5	1.6	5.2	6.5	4.2	1.7	2.1	-8.4	23	17.5	29	83	85	88	76	61	57	69	79	75	23	24
Avril	4.4	3.2	3.1	6.7	9.5	10.3	8.9	6.0	6.5	-2.5	13	21.2	21	84	87	88	73	62	58	67	79	75	20	2
Mai	12.1	10.9	11.7	16.1	18.7	19.8	18.0	14.0	15.2	5.0	1	29.2	8	85	87	86	69	60	57	66	80	74	23	3
Juin	12.6	11.5	12.7	17.1	19.2	20.3	18.9	14.6	15.9	7.0	4.5	27.6	17	89	90	88	70	62	60	68	85	76	36	1
Juillet	15.8	14.6	15.5	19.5	22.1	23.0	21.7	17.6	18.7	9.1	18	29.4	15	89	92	91	74	65	62	67	84	78	43	19
Août	16.1	15.2	15.7	20.0	22.6	23.5	21.2	17.5	19.0	8.6	27	33.1	1	89	92	91	73	64	63	71	85	78	41	5
Septembre	13.5	12.7	12.6	16.9	20.4	21.5	18.4	15.1	16.4	3.2	28	28.7	6	92	93	93	79	68	64	77	87	82	47	29
Octobre	8.4	8.1	8.0	9.9	12.5	12.9	9.8	8.7	9.8	0.8	24	22.2	10	92	92	91	86	74	75	88	91	86	54	3
Novembre	3.9	3.6	3.3	4.3	6.0	6.0	4.8	4.1	4.5	-1.6	19	11.9	6	94	94	95	92	85	86	91	93	91	66	2
Décembre	1.6	1.4	1.6	2.3	5.2	5.0	3.1	2.1	2.8	-11.3	4	12.8	17	90	89	87	88	79	81	87	89	86	50	17
Année	7.7	6.9	7.1	9.9	12.6	13.2	11.3	8.8	9.7	-14.5	I	33.1	VIII	88	90	89	79	69	68	76	85	80	20	IV

	Nébulosité en huitièmes (octas)									Brouillard Fréquence aux heures d'observation							Précipitations		Nombre de jours									
	1 ^h	4 ^h	7 ^h	10 ^h	13 ^h	16 ^h	19 ^h	22 ^h	Moy.	1 ^h	4 ^h	7 ^h	10 ^h	13 ^h	16 ^h	19 ^h	22 ^h	Total	Somme	Maxima Jour	*	⊙	* ⊙	▲	◀	Nébulosité < 2/10	> 8/10	
Janvier	5.9	6.0	6.3	6.6	6.3	6.1	5.7	5.6	6.2	3	3	2	1	1	1	3	3	17	54	12	22	17	10	10	1	—	3	19
Février	6.5	6.6	6.9	6.4	6.4	6.0	5.8	6.1	6.3	2	2	2	—	—	—	—	—	6	61	16	7	16	14	6	—	1	1	14
Mars	4.2	4.4	5.4	5.2	5.7	5.4	5.5	5.4	5.2	—	—	1	1	—	—	—	—	2	24	6	30	12	7	7	—	1	4	10
Avril	5.4	4.9	5.2	5.5	5.9	6.0	5.7	5.4	5.5	—	—	—	—	—	—	—	—	—	21	4	6.16	15	8	4	—	—	4	14
Mai	4.4	5.3	5.5	5.5	5.5	5.5	5.4	4.5	5.2	—	—	—	—	—	—	—	—	—	88	43	27	14	8	—	—	2	4	12
Juin	4.1	5.2	5.0	4.7	5.0	5.2	5.2	4.5	4.9	—	3	2	—	—	—	—	—	5	84	17	10	15	13	—	—	2	3	11
Juillet	4.4	4.3	4.9	5.2	4.9	4.5	4.5	4.5	4.7	—	—	2	—	—	—	—	—	2	68	18	4	16	14	—	—	3	2	6
Août	5.5	5.1	5.1	5.0	5.3	4.9	5.5	5.2	5.2	—	1	2	—	—	—	—	—	3	85	19	19	16	14	—	—	6	—	7
Septembre	2.6	3.9	5.0	4.7	4.4	4.2	4.2	2.9	4.0	1	1	4	—	—	—	—	—	6	29	15	21	8	5	—	—	1	5	5
Octobre	5.8	6.2	6.9	6.6	5.6	4.9	5.1	6.1	5.9	5	2	3	1	—	—	—	4	15	50	8	1	14	12	—	—	—	—	13
Novembre	7.0	7.0	7.0	7.3	7.3	7.0	7.0	7.0	7.1	3	3	5	1	—	—	—	2	14	46	9	12	10	8	—	—	—	1	23
Décembre	5.6	6.4	6.3	5.8	6.1	5.9	5.6	5.4	5.9	4	4	6	2	1	1	1	3	22	54	17	24	13	9	—	—	—	2	15
Année	5.1	5.4	5.8	5.7	5.7	5.5	5.4	5.2	5.5	18	19	29	6	2	2	4	12	92	664	43	V	166	122	27	1	16	29	149

	Répartition des vents													Vitesse du vent en noeuds									
	350° -10°	20° -40°	50° -70°	80° -100°	110° -130°	140° -160°	170° -190°	200° -220°	230° -250°	260° -280°	290° -310°	320° -340°	sans vent	1 ^h	4 ^h	7 ^h	10 ^h	13 ^h	16 ^h	19 ^h	22 ^h	Moyenne	
Janvier	2	1	13	27	13	13	17	9	36	23	23	33	38	5.9	7.2	8.4	7.5	6.9	8.0	7.4	6.6	7.3	
Février	12	2	2	17	12	20	15	62	26	9	18	3	26	9.8	8.6	8.5	8.1	8.8	8.7	7.1	9.2	8.6	
Mars	32	12	7	17	14	6	6	10	18	26	24	21	55	3.9	3.4	3.5	5.2	8.7	7.7	6.6	5.8	5.6	
Avril	11	6	4	4	7	8	5	19	22	29	45	28	52	4.4	4.1	4.9	8.3	8.7	8.6	7.4	5.7	6.5	
Mai	15	18	4	—	—	23	16	17	29	35	12	26	53	3.4	3.4	4.1	5.3	6.4	8.0	6.7	4.1	5.2	
Juin	9	9	2	12	2	7	10	7	15	45	16	24	82	2.1	2.4	3.3	5.1	7.1	7.8	5.6	2.8	4.5	
Juillet	16	7	—	1	1	2	10	9	15	41	11	22	113	1.9	1.3	2.1	3.6	6.1	6.5	3.9	2.4	3.5	
Août	12	7	2	14	7	6	11	12	5	32	22	17	101	1.8	1.0	2.7	5.5	6.8	7.4	4.4	2.4	4.0	
Septembre	24	10	5	12	5	8	4	15	9	28	11	16	93	1.5	1.0	2.9	4.6	6.7	6.7	5.2	1.4	3.8	
Octobre	6	8	9	27	—	6	16	24	8	48	18	16	62	4.2	3.5	4.8	5.7	6.9	6.2	4.2	3.7	4.9	
Novembre	38	5	—	35	11	6	12	13	2	17	12	24	65	3.2	4.1	3.5	4.3	5.4	4.8	3.2	3.3	4.0	
Décembre	4	7	2	24	5	29	25	22	26	16	5	25	58	5.3	5.0	6.0	4.7	6.2	5.1	4.6	4.9	5.2	
Année	181	92	50	190	77	134	147	219	211	349	217	255	798	4.0	3.7	4.6	5.6	7.1	7.1	5.5	4.4	5.3	

Meteorologisches Observatorium Bern

$\lambda = 7^{\circ} 26'$, $\beta = 46^{\circ} 37'$, $H_b = 572$ m, $h_T = 1.5$ m

1958	Luftdruck in Millibar												Minimum-Thermometer			Maximum-Thermometer					
	900 mb												Mittel			Minimum Tag			Maximum Tag		
	1h	4h	7h	10h	13h	16h	19h	22h	Mittel	Minimum Tag	Maximum Tag	Mittel	Minimum Tag	Maximum Tag	Mittel	Maximum Tag	Minimum Tag				
Januar	48.3	48.2	48.1	49.0	48.5	48.0	48.5	48.8	948.4	922.6	11	963.0	16	-2.8	-11.0	25	2.4	10.3	7		
Februar	48.4	48.2	48.1	48.6	48.4	47.7	47.9	48.1	948.2	926.7	26	965.5	15	-0.1	-8.0	2.3	7.2	17.5	14		
März	43.8	43.4	43.3	43.6	43.3	42.7	43.0	43.5	943.3	929.9	11	957.6	4	-2.4	-8.3	23	5.4	16.2	30		
April	47.2	46.7	47.0	47.5	47.2	46.8	47.1	47.9	947.2	933.6	16	960.2	30	1.9	-2.8	11	10.5	20.2	21		
Mai	51.1	50.9	51.3	51.2	50.9	49.9	49.7	50.6	950.7	933.4	16	961.9	1	9.7	4.3	16	20.5	28.2	11		
Juni	49.0	48.8	49.2	49.1	48.5	48.1	47.9	48.7	948.7	932.6	27	956.6	7.8	10.6	6.5	25	20.3	26.3	17		
Juli	50.5	50.1	50.5	50.5	50.2	49.7	49.7	50.7	950.2	939.4	1	959.2	17	13.6	9.6	18	23.7	30.2	15		
August	50.1	49.8	50.1	50.2	49.7	48.9	48.8	49.8	949.7	935.8	21	959.2	4	13.6	8.5	27	23.5	32.3	1		
September	52.6	52.3	52.4	52.7	52.2	51.5	51.6	52.2	952.2	936.6	30	958.7	13	11.9	5.0	27.28	21.1	27.1	6		
Oktober	54.8	54.4	54.3	54.7	54.5	54.1	54.6	55.3	954.6	934.3	1	965.5	24	6.1	-0.1	24	11.2	18.3	10		
November	51.9	51.6	51.5	52.0	51.7	51.3	51.7	51.9	951.7	937.6	13	963.6	20	2.3	-0.9	20	4.9	9.6	4		
Dezember	42.1	42.0	41.9	42.5	42.1	41.6	42.0	42.2	942.1	920.3	16	958.8	29	0.0	-7.6	7	4.0	9.4	16		
Jahr	49.2	48.9	49.0	49.3	48.9	48.3	48.5	49.1	948.9	920.3	XII	965.6	XI	5.4	-11.0	I	12.9	32.3	VIII		

	Lufttemperatur												Relative Feuchtigkeit											
	Mittel												Mittel											
	1h	4h	7h	10h	13h	16h	19h	22h	Mittel	Minimum Tag	Maximum Tag	1h	4h	7h	10h	13h	16h	19h	22h	Mittel	Minimum Tag			
Januar	-1.2	-1.5	-1.8	-1.7	0.0	1.1	0.0	-0.6	-0.7	-10.8	25	9.9	7	92	92	90	90	87	86	89	91	90	61	20
Februar	2.3	1.5	1.0	1.6	4.8	6.2	4.4	3.0	3.1	-8.0	2	16.8	14	87	88	90	87	77	72	79	84	83	31	5
März	-0.4	-1.4	-2.0	-0.1	3.5	4.7	3.1	1.3	1.1	-8.3	23	16.0	30	83	86	88	80	67	61	67	77	76	33	5
April	4.0	2.9	2.5	5.4	8.1	9.3	8.2	5.7	5.8	-1.6	11	20.2	21	84	87	90	78	65	59	62	75	75	28	2
Mai	12.4	11.1	10.5	14.1	17.5	19.5	17.9	14.6	14.7	4.3	16	27.6	11	79	82	84	70	59	51	56	71	69	20	2
Juni	12.9	11.6	11.5	15.3	18.1	19.0	17.8	14.9	15.1	7.6	25	25.1	17	82	88	88	70	58	56	61	74	72	27	5
Juli	15.7	14.5	14.2	18.0	21.2	22.4	21.0	17.6	18.1	10.5	18	29.7	15	84	89	91	75	59	55	60	76	74	28	19
August	15.9	14.9	14.2	18.0	21.0	22.7	20.5	17.4	18.1	8.7	27	31.3	1	86	90	90	75	61	56	66	79	75	42	1
September	13.8	12.8	12.2	15.2	19.0	20.4	18.2	15.4	15.9	5.2	27.28	27.1	6	90	92	93	83	67	63	74	85	81	38	23
Oktober	7.2	6.9	6.7	7.6	9.7	10.6	8.9	7.8	8.2	-0.1	24	17.8	11	91	93	93	91	81	78	86	91	88	52	18
November	3.2	2.8	2.6	2.9	4.1	4.6	3.9	3.3	3.4	-0.9	20	9.3	4	94	95	95	93	88	87	91	93	92	53	1
Dezember	1.2	1.2	1.1	1.1	2.5	3.1	2.2	1.6	1.8	-6.2	7	3.7	17.29	88	87	87	87	84	82	85	88	86	45	17
Jahr	7.2	6.4	6.1	8.1	10.8	12.0	10.5	8.5	8.7	-10.8	I	31.3	VIII	87	89	90	81	71	67	73	82	80	20	V

	Bewölkung in Achteln (Okta)									Nebel								Niederschlag			Zahl der Tage							
	Zahl der Beobachtungstermine									Zahl der Beobachtungstermine								Summe			Zahl der Tage							
	1h	4h	7h	10h	13h	16h	19h	22h	Mittel	1h	4h	7h	10h	13h	16h	19h	22h	Total	Summe	Maximum Tag	*	≥1.0	*	▲	☾	heller	trüb	
Januar	6.7	6.2	6.5	7.0	6.4	6.5	6.3	6.4	6.6	4	4	4	3	3	2	3	3	26	68	15	6	15	11	11	-	-	1	22
Februar	6.7	6.7	6.9	6.6	6.4	5.8	6.2	6.0	6.4	2	1	-	1	-	-	2	2	8	101	18	17	17	15	6	-	-	-	16
März	5.0	4.6	5.0	5.1	5.4	5.5	5.7	4.9	5.2	2	2	1	-	-	-	1	6	54	14	13	12	9	10	-	-	3	11	
April	4.9	5.7	6.0	5.8	5.7	5.5	5.5	5.6	5.6	-	-	-	-	-	-	-	-	62	17	16	15	13	-	-	-	3	13	
Mai	4.7	5.3	5.9	5.4	5.5	5.6	5.2	4.8	5.3	1	1	2	-	-	-	-	4	100	58	27	7	7	-	-	1	3	11	
Juni	4.6	5.0	5.1	5.0	4.8	5.4	5.2	4.7	5.0	-	1	2	-	-	-	1	2	141	37	10	15	12	-	-	2	4	10	
Juli	4.1	4.9	5.4	4.9	4.3	4.8	4.4	4.7	4.7	-	1	1	-	-	-	-	2	95	12	2	16	13	-	-	-	2	7	
August	4.4	4.7	4.6	4.6	4.9	4.7	5.5	5.8	4.9	-	-	-	-	-	-	-	-	155	38	6	13	12	-	-	3	1	5	
September	3.7	4.1	6.0	5.1	4.6	4.6	4.6	3.6	4.6	1	1	4	-	-	1	-	7	68	33	21	5	4	-	-	-	3	7	
Oktober	5.7	6.8	7.5	7.1	6.4	6.0	5.6	5.3	6.3	1	6	6	3	1	-	-	17	105	20	1	16	14	-	-	1	-	16	
November	7.5	7.4	7.7	7.8	7.5	7.3	7.0	7.8	7.5	6	5	3	4	1	1	2	4	26	44	12	3	9	9	-	-	-	26	
Dezember	6.4	7.0	6.6	6.7	6.6	6.5	6.8	6.6	6.7	3	3	2	2	2	3	4	3	22	71	17	24	11	7	4	-	-	20	
Jahr	5.4	5.7	6.1	5.9	5.7	5.7	5.7	5.5	5.7	20	25	23	13	7	7	12	13	120	1064	58	V	151	126	31	-	7	20	164

	Windverteilung													Windgeschwindigkeit in Knoten									
	Grad													Knoten									
	350°-10°	20°-40°	50°-70°	80°-100°	110°-130°	140°-160°	170°-190°	200°-220°	230°-250°	260°-280°	290°-310°	320°-340°	Calmen	1h	4h	7h	10h	13h	16h	19h	22h	Mittel	
Januar	8	30	7	10	3	34	6	19	56	10	1	1	63	4.0	3.6	2.9	3.5	3.7	4.0	5.3	4.1	3.9	
Februar	9	20	1	3	6	46	5	18	65	8	3	1	39	5.0	4.9	5.0	4.5	6.1	6.7	4.6	3.8	5.1	
März	29	69	5	13	3	27	4	8	30	11	3	-	46	3.0	2.3	1.9	2.8	5.3	7.3	4.9	3.8	3.9	
April	18	62	10	11	5	29	2	28	15	4	8	7	41	2.9	3.4	3.5	4.8	5.3	5.4	4.4	3.3	4.1	
Mai	19	46	1	8	2	32	3	24	30	12	11	6	54	1.7	2.2	1.9	2.8	4.4	5.5	4.5	1.6	3.1	
Juni	12	29	13	7	6	27	1	15	38	24	13	8	47	2.1	2.1	2.3	4.2	4.8	4.6	5.1	2.8	3.5	
Juli	12	43	4	5	4	51	5	14	39	25	12	1	33	2.0	2.2	2.1	3.8	6.2	6.4	5.2	3.4	3.9	
August	8	44	7	5	3	39	19	8	17	43	7	3	45	1.4	1.9	2.5	2.5	5.5	5.6	4.2	2.3	3.2	
September	7	56	2	7	2	28	10	13	15	21	5	2	72	1.8	1.7	1.6	1.3	3.5	3.8	2.1	1.6	2.2	
Oktober	11	31	1	9	6	20	-	17	28	27	4	6	88	1.5	1.9	2.1	2.5	3.7	3.1	2.4	1.9	2.4	
November	18	51	3	11	12	11	1	4	-	10	2	2	115	1.7	1.2	1.1	0.9	1.2	1.7	1.4	1.8	1.4	
Dezember	8	33	1	12	12	21	3	18	18	21	2	2	97	3.0	3.2	3.2	2.2	2.4	3.1	2.6	2.9	2.8	
Jahr	159	514	55	101	64	365	59	186	351	216	71	39	740	2.5	2.6	2.7	3.0	4.3	4.8	3.9	2.8	3.3	

$\lambda = 6^{\circ}06'$, $\beta = 46^{\circ}14'$, $H_p = 424$ m, $h_T = 1.5$ m

Aéroport Genève-Cointrin

1958	900 mb + Pression en millibars												Thermomètre à minima			Thermomètre à maxima			
	1h	4h	7h	10h	13h	16h	19h	22h	Moyenne	Minimum Jour	Maximum Jour	Moyenne	Minimum Jour	Moyenne	Maximum Jour				
Janvier	66.1	66.1	65.9	66.8	66.5	65.9	66.5	66.8	966.3	939.5	11	980.2	16	-2.0	-11.8	24	3.5	11.8	7
Février	66.5	66.3	66.1	66.7	66.4	65.4	65.6	66.0	966.1	944.3	26	983.0	15	1.2	-6.0	5	8.5	19.0	14
Mars	60.9	60.3	60.3	60.9	60.6	59.8	60.0	60.6	960.4	946.5	11	974.8	5	-1.2	-5.8	12	7.2	16.8	30
Avril	64.2	63.8	64.2	64.8	64.3	63.8	64.0	64.9	964.3	950.5	16	976.4	30	2.1	-2.5	18	11.3	20.5	21
Mai	68.1	68.0	68.3	68.2	67.7	66.8	66.6	67.5	967.7	950.6	16	978.9	1	9.1	3.0	1	20.7	27.5	10
Juin	65.9	65.7	66.0	65.9	65.5	64.9	64.6	65.5	965.5	949.3	26	973.6	8	10.1	4.4	28	20.6	26.0	17
Juillet	67.3	66.8	67.2	67.2	67.0	66.3	66.4	67.2	966.9	956.7	22	975.0	17	13.3	9.4	2	24.1	30.3	15
Août	66.7	66.4	66.8	67.1	66.4	65.5	65.4	66.4	966.3	952.8	22	975.7	4	13.2	8.2	24	24.2	32.9	1
Septembre	69.3	69.0	69.1	69.6	68.9	68.0	68.0	68.8	968.8	953.1	30	975.5	13	11.8	5.0	27	22.1	27.0	6
Octobre	72.0	71.6	71.6	72.4	72.3	71.4	71.8	72.6	972.0	950.3	1	983.2	24	6.1	-0.5	30	12.2	18.6	11
Novembre	69.0	68.7	68.7	69.4	68.9	68.3	68.8	69.2	968.9	953.8	13	983.3	20	3.0	-1.8	2	6.9	11.7	4
Décembre	59.5	59.5	59.3	59.8	59.3	58.9	59.4	59.6	959.4	936.0	16	977.0	29	0.9	-4.5	6	6.1	11.1	16
Année	66.3	66.0	66.1	66.6	66.1	65.4	65.6	66.2	966.0	936.0	XII	983.3	XI	5.6	-11.8	I	14.0	32.9	VIII

	Température de l'air												Humidité relative											
	1h	4h	7h	10h	13h	16h	19h	22h	Moyenne	Minimum Jour	Maximum Jour	1h	4h	7h	10h	13h	16h	19h	22h	Moy.	Minimum Jour			
Janvier	-0.2	0.0	0.2	0.3	1.6	2.0	1.0	0.1	0.6	-10.4	24	11.8	7	91	89	88	89	85	81	85	89	87	45	7
Février	3.7	3.4	2.9	3.3	6.2	7.4	5.4	4.5	4.6	-5.3	3	18.4	14	84	84	85	83	72	66	74	78	78	35	5
Mars	1.2	0.3	-0.2	2.2	5.0	6.4	4.7	2.6	2.8	-5.0	12	16.2	31	80	84	86	77	62	55	65	75	73	29	31
Avril	4.9	3.7	3.2	6.6	9.1	10.5	9.5	6.7	6.8	-1.8	18	20.6	21	80	86	90	71	60	53	58	70	71	25	2
Mai	12.7	10.8	10.8	15.4	18.3	19.8	18.4	14.6	15.1	3.8	1	26.5	20	79	85	87	67	57	52	59	74	70	31	20
Juin	13.1	11.5	12.4	16.2	18.4	19.7	19.1	15.2	15.7	6.3	25	25.8	17	83	87	85	65	57	54	57	75	70	35	16.17
Juillet	16.1	14.6	14.9	19.3	21.8	23.2	21.6	18.1	18.7	10.6	2	30.2	15	86	90	89	66	55	51	59	77	72	33	15
Août	16.1	14.7	14.5	19.2	21.9	23.4	21.2	17.7	18.6	8.8	27	32.4	1	87	90	90	67	56	52	63	80	73	37	4.11
Septembre	14.3	13.3	12.8	16.7	20.1	21.4	18.8	15.9	16.7	5.2	27	26.8	6	90	92	94	80	62	60	73	85	80	44	6.26
Octobre	7.8	7.4	7.3	9.0	10.6	11.5	9.6	8.2	8.9	0.2	30	18.6	11	89	89	90	85	76	72	83	87	84	45	18
Novembre	4.5	4.2	3.9	4.7	6.0	6.4	5.3	4.7	5.0	-1.6	2	11.0	4	88	90	90	87	78	76	84	87	85	46	20
Décembre	2.9	2.8	2.4	3.1	4.6	5.1	3.9	3.2	3.5	-3.8	6	10.4	18	82	83	84	84	76	74	80	82	81	45	17
Année	8.1	7.2	7.1	9.7	12.0	13.1	11.5	9.3	9.8	-10.4	I	32.4	VIII	85	87	88	77	66	62	70	80	77	25	IV

	Nébulosité en huitièmes (octas)									Brouillard Fréquence aux heures d'observation							Précipitations		Nombre de jours									
	1h	4h	7h	10h	13h	16h	19h	22h	Moy.	1h	4h	7h	10h	13h	16h	19h	22h	Total	Somme	Maximum Jour	*	≥ 10	*	▲	⊠	Nébulosité <2/10	>8/10	
Janvier	6.4	6.6	7.1	7.6	6.6	7.1	6.5	6.5	6.8	5	3	3	5	3	3	3	5	30	78	25	6	14	11	10	—	1	24	
Février	6.3	6.4	6.1	6.5	6.4	6.1	5.6	5.4	6.1	1	2	2	1	—	—	—	—	6	104	17	21	15	13	7	—	1	16	
Mars	4.6	4.3	5.3	5.4	4.8	5.0	5.4	4.4	4.9	—	—	1	—	—	—	—	—	1	51	15	27	11	9	5	—	2	8	
Avril	4.4	4.6	5.5	5.1	4.9	5.3	4.9	4.4	4.9	—	—	—	—	—	—	—	—	—	39	11	3	10	8	1	—	6	10	
Mai	3.6	4.3	5.3	4.9	5.1	5.2	4.5	3.8	4.6	—	—	—	—	—	—	—	—	—	83	38	27	7	6	—	—	1	4	7
Juin	3.4	4.9	4.8	4.7	4.7	4.1	4.6	4.5	—	—	—	—	—	—	—	—	—	—	137	30	26	12	12	—	—	3	5	8
Juillet	4.3	3.8	4.3	4.0	4.3	4.1	4.2	4.2	4.2	—	—	1	—	—	—	—	—	1	56	12	2	12	12	—	—	5	4	4
Août	3.6	3.2	4.3	4.2	4.4	4.0	4.8	4.1	4.1	—	—	1	—	—	—	—	—	1	150	46	19	13	11	—	—	7	4	6
Septembre	3.0	3.6	5.0	4.8	3.8	3.8	3.7	3.1	3.8	—	—	2	—	—	—	—	—	2	97	55	21	6	6	—	—	4	7	
Octobre	4.9	5.8	6.5	6.7	5.9	5.5	5.1	4.8	5.7	3	3	4	3	1	—	—	3	17	78	20	4	15	9	—	—	3	—	10
Novembre	6.9	6.9	7.6	7.4	7.6	7.1	7.0	7.0	7.2	1	—	2	1	—	—	—	—	4	40	14	2	8	7	—	—	—	—	22
Décembre	6.5	6.9	6.5	7.0	7.0	6.6	6.7	6.1	6.7	2	3	3	3	1	—	—	1	13	78	20	12	12	10	1	—	1	—	22
Année	4.8	5.1	5.7	5.7	5.5	5.4	5.2	4.9	5.3	12	11	19	13	5	3	3	9	75	991	55	IX	135	114	24	—	21	30	144

	Répartition des vents													Vitesse du vent en noeuds									
	350° -10°	20° -40°	50° -70°	20° -100°	110° -130°	140° -160°	170° -190°	200° -220°	230° -250°	260° -280°	290° -310°	320° -340°	sans vent	1h	4h	7h	10h	13h	16h	19h	22h	Moyenne	
Janvier	9	19	21	7	3	5	11	41	32	10	4	8	78	5.6	6.6	7.2	7.5	7.6	8.0	8.3	7.1	7.3	
Février	7	19	17	3	6	4	13	48	50	24	7	5	21	9.1	8.9	8.8	10.1	10.4	11.3	9.5	8.9	9.6	
Mars	11	35	65	7	4	4	4	22	32	17	5	8	34	7.8	7.0	6.5	9.3	10.3	10.7	9.0	7.3	8.5	
Avril	10	31	66	15	6	4	5	24	18	15	10	6	30	5.1	6.2	4.6	8.7	10.2	11.4	8.9	7.5	7.8	
Mai	17	17	31	14	4	5	20	44	27	9	8	7	45	6.1	4.9	4.4	6.5	9.2	10.3	7.8	5.5	6.8	
Juin	10	9	25	21	14	10	28	38	19	16	5	5	40	4.5	4.7	4.4	7.6	8.2	9.8	7.7	5.5	6.5	
Juillet	10	15	18	15	8	10	24	43	46	5	7	13	34	4.6	3.9	4.5	8.5	9.2	10.8	8.6	5.4	6.9	
Août	12	25	18	13	7	12	15	30	26	8	5	15	62	4.1	2.8	3.2	6.3	7.7	8.8	8.2	4.5	5.7	
Septembre	8	21	19	6	6	7	8	21	35	9	6	5	89	1.9	1.6	1.2	4.3	5.4	7.4	5.2	2.9	3.7	
Octobre	18	51	14	3	7	6	9	20	23	6	5	11	75	4.2	4.7	4.1	5.1	7.1	6.1	5.3	5.5	5.3	
Novembre	41	46	27	7	3	—	3	5	16	5	1	25	61	4.5	3.8	3.5	4.8	6.1	6.3	5.8	4.3	4.9	
Décembre	27	37	17	5	2	1	9	32	47	17	3	7	44	8.1	7.0	7.9	7.3	9.3	8.9	8.0	9.1	8.2	
Année	180	325	338	116	70	68	149	368	371	141	66	115	613	5.5	5.2	5.0	7.2	8.4	9.1	7.7	6.1	6.8	

$\lambda = 7^{\circ} 20'$, $\beta = 46^{\circ} 13'$, $H_p = 482$ m, $h_T = 1.5$

Sion-Aérodrome

1958	900 mb + Pression en millibars													Thermomètre à minima			Thermomètre à maxima		
	1 ^h	4 ^h	7 ^h	10 ^h	13 ^h	16 ^h	19 ^h	22 ^h	Moyenna	Minima Jour	Maxima Jour	Moyenna	Minima Jour	Moyenna	Maxima Jour				
														Moyenna	Minima Jour	Moyenna	Maxima Jour		
Janvier	60.0	60.0	59.9	60.6	59.7	59.0	59.8	60.4	959.9	935.1	11	974.6	16	-6.1	-14.9	25	3.2	10.6	7
Février	60.1	60.0	59.8	60.4	59.5	58.4	58.9	59.7	959.6	938.4	26	978.5	15	-0.9	-9.5	4	8.1	17.5	14
Mars	53.9	53.7	53.7	54.0	52.8	51.8	52.4	53.3	953.2	939.7	11	967.7	5	-1.5	-6.2	22	9.1	19.0	31
Avril	57.5	57.3	57.5	57.4	56.1	55.1	55.9	57.6	956.8	942.8	76	969.6	20.30	1.9	-3.4	12	14.1	22.5	21
Mai	62.0	62.1	62.4	62.1	60.5	59.3	59.4	61.2	961.1	946.3	16	971.6	1	8.8	3.0	1	23.2	31.0	10
Juin	59.4	59.4	59.8	59.2	57.6	56.9	57.0	58.5	958.5	943.5	27	967.1	15	9.6	5.4	25	22.2	28.0	17
Juillet	60.9	60.8	61.1	60.7	59.2	58.3	58.6	60.4	960.0	947.1	22	969.0	8	12.9	8.5	18	25.4	32.6	15
Août	60.8	60.5	60.9	60.4	58.9	57.6	57.7	59.8	959.6	944.9	21	969.0	4	12.4	8.0	24	25.6	34.0	1
Septembre	63.4	63.3	63.6	63.5	61.7	60.5	60.8	62.4	962.4	947.1	30	969.5	13	10.4	3.9	27	23.0	27.8	6
Octobre	65.6	65.3	65.3	65.6	64.5	63.7	64.8	66.0	965.1	943.3	1	976.5	24	4.0	-2.7	24	14.2	22.0	3
Novembre	62.8	62.6	62.4	62.9	61.9	61.2	62.1	62.7	962.3	947.0	13	976.4	20	0.3	-4.8	30	7.7	13.4	18
Décembre	54.1	54.0	54.0	54.5	53.5	53.2	53.7	54.2	953.9	932.4	14	970.4	29	-1.8	-11.2	8	5.2	12.0	29
Année	60.0	59.9	60.0	60.1	58.8	57.9	58.4	59.7	959.4	932.4	XII	978.5	II	4.2	-14.9	1	15.1	34.0	VIII

	Température de l'air												Humidité relative											
	1 ^h	4 ^h	7 ^h	10 ^h	13 ^h	16 ^h	19 ^h	22 ^h	Moyenna	Minima Jour	Maxima Jour	1 ^h	4 ^h	7 ^h	10 ^h	13 ^h	16 ^h	19 ^h	22 ^h	Mittel	Minima Jour			
													1 ^h	4 ^h	7 ^h	10 ^h	13 ^h	16 ^h	19 ^h	22 ^h	Mittel	Minima Jour		
Janvier	-3.4	-3.7	-4.0	-3.9	0.6	2.1	-1.0	-2.3	-2.0	-12.8	25	10.6	7	90	89	88	88	70	64	80	86	82	33	22
Février	1.4	0.7	0.5	1.1	5.4	7.2	4.2	2.4	2.9	-7.6	4	17.0	14	87	90	91	89	67	65	74	85	81	32	19
Mars	0.8	-0.2	-0.9	2.4	6.7	8.1	5.4	2.9	3.1	-5.6	2	18.6	30	84	87	89	74	53	63	76	73	27	21	
Avril	4.8	3.3	2.8	7.8	12.2	13.3	10.6	7.3	7.8	-3.0	12	22.2	21	79	88	89	65	47	45	54	68	67	26	20
Mai	11.8	9.9	11.0	16.1	21.0	21.7	19.8	15.1	15.8	4.4	1	29.4	10	85	89	87	65	49	47	52	70	68	25	3
Juin	12.5	10.9	12.0	16.9	20.5	20.9	19.3	15.6	16.1	6.0	25	27.2	17	87	92	89	63	53	53	58	72	71	30	25
Juillet	15.7	14.1	14.5	19.4	23.4	24.2	21.9	18.2	18.9	10.0	3.18	32.0	15	88	93	92	69	54	52	61	77	73	35	15
Août	15.2	13.6	13.5	18.9	23.4	24.7	21.8	17.5	18.6	9.0	20	32.4	1	90	93	93	69	54	53	61	80	74	37	1
Septembre	13.0	11.8	11.0	16.4	21.4	22.3	19.0	15.4	16.3	4.0	27	27.6	6	93	95	95	75	55	57	71	86	78	38	14.23
Octobre	6.3	5.7	5.3	7.9	12.6	13.3	9.3	6.9	8.4	-2.2	24	21.8	3	94	96	95	90	67	66	85	93	86	37	29
Novembre	2.3	1.7	1.5	1.8	6.1	6.8	4.1	2.8	3.4	-4.8	30	13.4	18	95	96	96	94	76	77	88	93	89	38	19
Décembre	0.4	-0.3	-0.6	-0.2	3.4	4.3	1.8	0.8	1.2	-10.8	8	11.4	23	88	89	89	89	77	71	85	87	84	46	20
Année	6.7	5.6	5.6	8.7	13.0	14.1	11.4	8.5	9.2	-12.8	I	32.4	VIII	88	91	91	78	60	58	69	81	77	25	V

	Nébulosité en huitièmes (octas)									Brouillard Fréquence aux heures d'observation								Précipitations		Nombre de jours									
	1 ^h	4 ^h	7 ^h	10 ^h	13 ^h	16 ^h	19 ^h	22 ^h	Moy.	1 ^h	4 ^h	7 ^h	10 ^h	13 ^h	16 ^h	19 ^h	22 ^h	Total	Somme	Maxima Jour	*	≥ 1.0	*†	▲	⊠	Nébu osité < 2/10 > 8/10			
										1 ^h	4 ^h	7 ^h	10 ^h	13 ^h	16 ^h	19 ^h	22 ^h	Total	Somme	Maxima Jour	*	≥ 1.0	*†	▲	⊠	Nébu osité < 2/10 > 8/10			
Janvier	4.0	4.2	4.6	4.3	4.0	4.3	4.2	4.6	4.3	3	3	3	1	—	—	—	—	1	11	59	20	6	8	8	4	—	—	9	7
Février	4.8	5.1	5.6	6.0	5.6	5.4	5.5	4.3	5.3	2	2	1	—	—	—	1	1	7	112	31	16	12	12	5	—	—	—	3	11
Mars	4.0	3.2	4.8	4.7	4.8	4.7	5.7	4.3	4.5	—	—	3	1	—	—	—	—	4	21	6	17	5	5	4	—	—	—	5	7
Avril	2.9	3.9	4.9	4.6	4.5	4.4	4.9	3.5	4.2	—	—	—	—	—	—	—	—	—	6	3	15	3	3	—	—	—	—	7	7
Mai	3.6	4.2	5.5	5.0	4.9	5.4	5.0	4.3	4.7	—	—	—	—	—	—	—	—	—	61	23	16	11	10	—	—	—	—	3	7
Juin	3.6	4.9	5.1	4.8	4.8	5.2	5.4	4.5	4.8	—	—	—	—	—	—	—	—	—	50	13	20	8	7	—	—	—	—	4	9
Juillet	4.2	4.6	4.7	3.3	4.4	4.4	4.9	4.4	4.5	—	—	1	—	—	—	—	—	1	55	11	7	11	11	—	—	—	1	3	2
Août	3.9	3.1	4.2	3.8	4.0	4.3	5.0	4.7	4.1	—	—	—	—	—	—	—	—	—	38	11	19	11	7	—	—	—	4	4	4
Septembre	2.5	2.9	4.3	3.6	3.5	4.0	4.2	2.6	3.4	—	—	—	—	—	—	—	—	—	47	25	21	6	6	—	—	—	1	6	6
Octobre	4.6	4.7	5.6	4.9	4.7	4.4	4.2	3.7	4.6	—	—	2	2	—	—	—	—	4	48	19	1	12	10	—	—	—	—	5	9
Novembre	5.5	5.5	6.0	5.9	6.2	5.9	6.0	6.0	5.9	6	8	7	7	7	6	7	7	55	31	8	3	7	7	—	—	—	—	2	15
Décembre	4.6	4.4	5.2	5.2	5.1	5.2	5.2	5.0	—	—	—	1	2	1	1	—	—	5	76	21	13	8	8	2	—	—	—	6	15
Année	4.0	4.2	5.0	4.7	4.7	4.8	5.0	4.3	4.6	11	13	17	12	9	7	9	9	87	604	31	II	102	94	15	—	6	57	99	

	Répartition des vents													Vitesse du vent en noeuds									
	350° -10°	20° -40°	50° -70°	80° -100°	110° -130°	140° -160°	170° -190°	200° -220°	230° -250°	260° -280°	290° -310°	320° -340°	sans vent	1 ^h	4 ^h	7 ^h	10 ^h	13 ^h	16 ^h	19 ^h	22 ^h	Moyenna	
														1 ^h	4 ^h	7 ^h	10 ^h	13 ^h	16 ^h	19 ^h	22 ^h	Moyenna	
Janvier	—	6	43	49	2	—	4	1	17	24	1	—	101	2.0	2.6	1.9	2.3	2.5	3.1	2.6	2.7	2.7	
Février	3	7	27	24	3	—	—	2	22	32	1	—	103	3.1	2.0	3.9	3.3	4.8	4.9	3.1	2.4	3.4	
Mars	—	2	24	20	4	—	2	5	64	25	3	—	99	2.5	2.8	2.1	2.8	6.6	9.8	6.9	4.2	4.7	
Avril	—	2	20	16	1	—	1	3	71	46	—	—	80	2.7	2.8	2.3	5.6	11.4	15.0	16.0	5.1	7.6	
Mai	1	3	11	32	1	—	1	1	33	41	2	1	121	0.8	0.9	1.3	2.5	4.6	10.2	7.5	2.8	3.8	
Juin	—	2	8	15	1	1	1	—	46	46	1	—	119	0.5	0.6	1.0	2.6	7.0	9.8	6.8	1.2	3.7	
Juillet	1	—	9	16	3	—	—	3	32	60	1	—	123	0.8	0.9	0.6	1.4	6.3	11.1	10.0	2.5	4.2	
Août	3	4	12	27	1	—	—	1	25	54	2	—	119	1.0	0.9	1.1	1.5	5.1	9.9	7.7	3.2	3.8	
Septembre	—	4	25	26	1	1	1	7	30	29	1	—	115	1.1	0.9	0.8	1.5	3.4	9.4	4.1	1.9	2.9	
Octobre	—	—	12	14	—	—	—	3	19	33	—	—	167	0.7	0.5	1.0	1.4	3.3	4.8	1.6	0.9	1.8	
Novembre	—	2	28	31	2	1	—	4	12	7	—	—	153	1.0	1.0	1.0	1.4	1.5	1.4	0.7	0.8	1.1	
Décembre	—	2	33	42	2	—	—	1	4	6	7	2	—	149	1.2	1.5	1.1	1.9	2.0	2.6	1.5	0.8	1.6
Année	8	34	252	312	21	3	11	34	377	404	14	1	1449	1.5	1.4	1.5	2.4	4.9	7.7	5.7	2.4	3.4	

$\lambda = 7^{\circ} 42'$, $\beta = 45^{\circ} 56'$, $H_p = 3488$ m. $h_p = -$ m

1958	600 mb + Pressione atmosferica in millibar											Termometro minima			Termometro massima				
	1 ^h	4 ^h	7 ^h	10 ^h	13 ^h	16 ^h	19 ^h	22 ^h	Media	Minimo Giorno	Massimo Giorno	Media	Minimo Giorno	Media	Massimo Giorno	Massimo Giorno			
Gennaio	55.1	55.0	54.6	55.2	55.3	55.0	55.3	55.5	655.1	633.5	12	669.2	27	-15.2	-27.4	21	-8.9	-0.8	30
Febbraio	57.5	57.1	56.8	57.1	57.2	56.7	56.8	57.1	657.0	638.5	26	675.7	15	-13.4	-23.2	19	-8.2	-1.0	15
Marzo	50.4	49.8	49.4	49.8	50.4	50.1	50.3	50.6	650.1	633.6	11	661.9	5	-17.2	-30.0	12	-10.8	-3.4	17.84
Aprile	55.4	55.0	54.5	54.9	55.4	55.6	55.7	56.2	655.3	644.4	16	671.9	30	-14.5	-22.6	12	-8.7	-2.4	20
Maggio	67.4	66.7	66.6	67.0	67.4	67.4	67.2	67.4	667.1	648.7	16	674.7	9	-5.0	-12.4	17	0.3	5.2	8
Giugno	65.7	65.0	64.8	65.2	65.6	65.6	65.5	65.7	665.4	650.9	27	672.1	18	-4.7	-13.0	27	1.3	7.2	30
Luglio	69.5	69.0	68.8	69.2	69.7	69.9	69.8	70.0	669.5	658.4	22	678.9	31	-1.0	-7.0	23	4.7	10.0	31
Agosto	70.3	69.7	69.5	69.9	70.2	70.2	70.0	70.2	670.0	656.7	22	678.9	1	-0.1	-6.0	26	5.4	11.2	28.30
Settembre	70.9	70.5	70.2	70.6	70.9	70.8	70.6	70.8	670.7	660.8	30	676.4	14	-0.8	-5.2	22	3.8	8.6	6
Ottobre	66.3	66.0	65.9	66.2	66.5	66.1	66.1	66.5	666.2	652.4	16	675.8	9	-7.7	-18.2	17	-2.8	3.2	8
Novembre	61.7	61.4	61.2	61.7	61.6	61.3	61.4	61.6	661.5	648.2	13	671.9	20	-9.8	-18.0	2	-5.2	-2.0	26
Dicembre	53.3	53.2	53.1	53.5	53.4	53.0	53.4	53.5	653.3	637.2	14	668.8	30.31	-12.6	-19.4	12	-8.0	0.0	31
Anno	62.0	61.5	61.3	61.7	62.0	61.8	61.8	62.1	661.8	633.5	I	678.9	VII/VIII	-8.5	-30.0	III	-3.1	11.2	VIII

	Temperatura dell'aria											Umidità relativa												
	1 ^h	4 ^h	7 ^h	10 ^h	13 ^h	16 ^h	19 ^h	22 ^h	Media	Minimo Giorno	Massimo Giorno	1 ^h	4 ^h	7 ^h	10 ^h	13 ^h	16 ^h	19 ^h	22 ^h	Media	Minimo Giorno			
Gennaio	-12.7	-12.7	-12.8	-12.3	-11.4	-11.3	-12.0	-12.4	-12.2	-26.4	21	-4.0	30	69	68	67	69	68	67	68	69	68	5	30.31
Febbraio	-10.9	-10.8	-10.7	-10.6	-9.8	-9.9	-10.8	-11.1	-10.6	-28.0	19	-2.0	15	77	77	78	78	77	75	78	77	77	5	4
Marzo	-14.4	-15.0	-14.9	-14.0	-13.0	-13.2	-13.9	-14.3	-14.1	-29.6	12	-4.6	24	76	76	73	71	76	75	78	76	75	5	22.23
Aprile	-12.2	-12.5	-12.6	-11.9	-10.5	-10.5	-11.4	-11.8	-11.7	-22.0	18	-3.4	22.30	80	79	78	79	79	79	84	83	80	8	24
Maggio	-3.4	-3.6	-3.6	-2.6	-1.5	-1.1	-1.9	-3.1	-2.6	-11.8	16.17	4.2	8	83	79	76	75	79	83	85	86	81	15	20
Giugno	-2.9	-3.2	-2.6	-1.3	-0.4	-0.1	-0.8	-2.1	-1.7	-12.0	27	6.0	29	85	76	67	68	79	86	88	88	80	5	8.15
Luglio	0.4	0.2	0.6	2.0	3.0	3.5	2.7	1.2	1.7	-5.8	23	9.8	31	86	83	73	73	79	81	85	86	81	5	18
Agosto	1.6	1.2	1.0	2.4	3.8	4.2	3.5	2.2	2.5	-5.8	26	10.6	30	80	75	74	67	74	77	78	79	76	5	26.27
Settembre	0.9	0.4	0.4	1.1	2.4	2.9	1.7	0.9	1.3	-5.2	22	7.8	6	72	66	63	63	72	74	76	76	70	5	div.
Ottobre	-5.7	-5.9	-5.8	-5.1	-4.4	-4.4	-5.1	-5.5	-5.2	-16.8	17	2.6	8	76	74	75	75	79	78	75	76	76	4	16
Novembre	-7.9	-7.9	-7.8	-7.5	-6.1	-6.9	-7.8	-8.1	-7.5	-16.8	1	-2.4	8	78	75	75	75	73	75	75	76	75	3	2
Dicembre	-10.4	-10.4	-10.4	-10.3	-9.8	-9.6	-10.1	-10.2	-10.2	-18.0	12	-0.6	31	67	67	67	68	66	67	67	65	67	2	2
Anno	-6.5	-6.7	-6.6	-5.8	-4.8	-4.7	-5.5	-6.2	-5.9	-29.6	III	10.6	VIII	77	75	72	72	75	76	78	78	75	2	XII

	Nuvolosità in ottavi (Okta)									Nebbia							Precipitazioni		Numero dei giorni									
	1 ^h	4 ^h	7 ^h	10 ^h	13 ^h	16 ^h	19 ^h	22 ^h	Media	Numero dei termini di osservazione							Somma	Massimo Giorno	☉	☾	☁	☂	☃	Nuvolosità < 2/10	> 8/10			
Gennaio	2.7	2.7	3.1	3.8	3.8	4.2	3.8	2.6	3.3	8	8	8	10	9	11	9	7	70	—	—	—	—	—	—	—	12	6	
Febbraio	4.6	4.8	4.8	5.4	5.3	5.7	5.4	4.5	5.1	13	15	16	14	14	16	12	11	114	—	—	—	—	—	—	—	3	12	
Marzo	3.5	2.8	3.9	4.1	4.3	4.3	4.9	4.0	4.0	11	8	9	11	8	12	11	78	—	—	—	—	—	—	—	7	7		
Aprile	3.8	3.6	4.3	4.3	3.9	4.6	4.9	4.5	4.3	14	13	12	13	11	14	16	15	108	—	—	—	—	—	—	—	7	9	
Maggio	4.1	4.3	5.2	5.5	5.5	6.1	5.6	4.3	5.1	10	9	8	11	9	12	9	9	77	—	—	—	—	—	—	3	3	10	
Giugno	4.3	4.3	4.4	4.8	5.9	6.0	5.6	4.9	5.0	14	9	6	9	14	17	13	14	96	—	—	—	—	—	—	—	3	10	
Luglio	4.5	4.4	3.5	4.2	5.4	6.0	5.8	4.6	4.8	9	12	5	8	10	12	13	9	78	—	—	—	—	—	—	7	2	5	
Agosto	4.1	2.5	3.0	3.5	4.5	5.8	5.4	4.2	4.1	8	3	4	7	9	12	9	11	63	—	—	—	—	—	—	8	4	6	
Settembre	2.8	2.3	2.8	3.3	4.7	5.1	4.5	3.4	3.6	6	2	4	7	13	13	10	10	65	—	—	—	—	—	—	1	6	5	
Ottobre	3.3	3.7	4.0	4.4	4.4	4.4	3.9	3.1	3.9	7	9	12	13	14	14	11	9	89	—	—	—	—	—	—	1	9	9	
Novembre	4.3	3.9	4.2	5.1	5.2	5.4	4.4	4.0	4.6	12	12	10	9	10	14	12	12	91	—	—	—	—	—	—	—	6	11	
Dicembre	3.9	3.9	4.0	4.5	4.4	4.6	3.9	4.0	4.2	13	13	13	11	11	14	12	13	100	—	—	—	—	—	—	—	10	11	
Anno	3.8	3.6	3.9	4.4	4.8	5.2	4.8	4.0	4.3	125	113	106	121	135	155	142	132	1019	—	—	—	—	—	—	—	20	72	101

	Direzione del vento													Velocità del vento in nodi									
	350° -10°	20° -40°	50° -70°	80° -100°	110° -130°	140° -160°	170° -190°	200° -220°	230° -250°	260° -280°	290° -310°	320° -340°	Calme	1 ^h	4 ^h	7 ^h	10 ^h	13 ^h	16 ^h	19 ^h	22 ^h	Media	
Gennaio	21	64	20	7	5	10	14	21	23	7	18	14	24	12.4	14.0	16.2	15.5	13.7	13.2	13.4	13.7	14.0	
Febbraio	29	53	9	3	3	3	22	27	19	17	22	13	4	16.4	15.8	15.6	17.0	16.7	18.7	19.3	18.5	17.3	
Marzo	24	78	38	2	1	1	11	21	11	8	13	15	25	13.4	15.9	19.1	15.5	15.1	15.5	14.6	14.7	15.5	
Aprile	8	114	39	10	7	5	12	14	9	3	3	4	12	13.8	12.8	14.0	15.1	14.2	13.5	14.7	13.6	14.0	
Maggio	7	48	19	—	2	4	44	76	8	2	1	1	36	15.7	16.2	15.7	16.4	14.1	12.4	12.7	15.2	14.8	
Giugno	8	66	16	2	3	3	28	52	11	5	1	—	45	10.3	11.4	10.0	9.7	9.5	10.6	11.4	9.6	10.3	
Luglio	10	25	17	1	6	—	32	60	26	8	10	6	47	11.5	10.1	10.4	7.1	6.7	6.2	6.7	7.7	8.3	
Agosto	4	22	36	—	8	8	24	67	38	4	6	2	29	10.1	12.0	11.6	10.2	8.6	8.6	10.5	9.4	10.1	
Settembre	5	38	51	3	3	5	29	44	18	3	11	13	17	11.4	11.4	12.5	11.9	9.6	8.5	10.6	11.4	10.9	
Ottobre	11	53	28	3	2	5	62	29	6	—	6	6	37	14.2	13.9	13.8	13.4	12.9	12.1	14.6	13.7	13.6	
Novembre	4	51	37	19	15	22	21	12	4	—	1	1	53	8.5	10.0	8.9	8.3	7.8	8.6	9.1	9.7	8.9	
Dicembre	10	56	31	14	5	7	31	35	16	6	9	11	17	14.9	15.9	18.5	17.6	17.4	17.6	18.0	14.2	16.8	
Anno	141	668	341	64	60	73	330	458	189	63	101	86	346	12.7	13.3	13.8	13.1	12.2	12.1	13.0	12.6	12.9	

$\lambda = 8^{\circ} 53'$, $\beta = 46^{\circ} 10'$, $H_p = 199$ m, $h_r = 1.5$ m

Locarno-Aeroporto

1958	Pressione atmosferica in millibar													Termometro minima			Termometro massima		
	900 mh +													Media	Minimo Giorno		Media	Massimo Giorno	
	1h	4h	7h	10h	13h	16h	19h	22h	Media	Minimo Giorno	Massimo Giorno	Media	Minimo	Massimo	Media	Minimo	Massimo		
Gennaio	92.9	92.8	92.5	93.2	92.6	91.7	92.5	93.2	992.7	964.6	12	1012.9	27	-3.8	-9.4	25	6.5	12.2	31
Febbraio	92.3	91.8	91.5	91.9	91.0	89.7	90.6	91.4	991.3	971.6	18	1010.3	15	-0.9	-6.2	2	10.2	18.0	17
Marzo	86.4	86.2	86.2	86.4	85.7	84.5	84.9	86.0	985.8	971.9	11	1000.2	5	0.2	-5.3	23	10.5	21.2	31
Aprile	89.4	89.1	89.4	89.5	88.8	88.0	88.2	89.8	989.0	975.4	16	1002.9	30	3.8	-0.9	10	14.4	21.9	29
Maggio	94.5	94.2	94.7	94.8	93.9	92.8	92.6	93.8	993.9	974.9	16	1005.2	1	10.3	3.6	1	22.3	25.8	9
Giugno	90.6	90.2	90.7	90.5	89.9	89.1	88.9	89.9	990.0	972.0	27	1000.3	16	12.7	7.0	25	23.3	26.8	8
Luglio	91.8	91.6	92.0	92.0	91.3	90.4	90.4	91.7	991.4	978.2	22	998.6	8	15.4	7.9	5	26.4	31.4	31
Agosto	91.8	91.7	92.2	92.2	91.2	90.1	89.9	91.1	991.3	979.8	22	1000.3	5	15.3	8.5	23	25.7	31.6	7
Settembre	95.9	95.6	96.0	96.2	95.3	94.0	94.3	95.5	995.4	987.4	22	1003.5	14	13.1	6.6	24	23.1	26.2	8
Ottobre	97.1	96.6	96.6	97.1	96.0	95.2	96.1	97.3	996.5	976.0	1	1010.6	24	6.1	-2.4	24	17.4	27.6	15
Novembre	95.5	95.1	95.1	95.9	95.0	94.1	94.7	95.4	995.1	973.8	13	1012.6	20	3.3	-2.2	20	11.5	15.5	1
Dicembre	87.6	87.4	87.2	88.2	87.6	86.8	87.1	87.7	987.4	962.5	14	1003.8	30	-1.5	-7.6	8	5.9	16.8	28
Anno	92.2	91.8	92.0	92.3	91.5	90.5	90.9	91.9	991.6	962.5	XII	1012.9	I	6.2	-9.4	I	16.4	31.6	VIII

	Temperatura dell'aria												Umidità relativa											
	1h	4h	7h	10h	13h	16h	19h	22h	Media	Minimo Giorno	Massimo Giorno	1h	4h	7h	10h	13h	16h	19h	22h	Media	Minimo Giorno			
Gennaio	-1.3	-1.9	-2.6	-0.8	4.2	5.4	1.4	-0.3	0.5	-8.1	25	10.0	13	81	82	83	80	53	48	65	76	71	15	21
Febbraio	1.9	1.1	0.6	3.3	8.2	9.2	5.3	3.2	4.1	-4.7	3	14.4	17	77	80	83	74	52	50	61	69	68	18	19
Marzo	3.0	2.2	1.1	5.5	8.7	9.5	7.2	4.7	5.2	-4.6	23	20.3	31	65	69	70	54	43	42	48	58	56	17	23
Aprile	7.2	5.5	5.1	9.8	12.3	13.4	11.5	9.0	9.2	0.3	10	21.6	29	69	73	75	56	50	48	53	63	61	19	31
Maggio	13.4	11.6	12.7	17.5	19.9	21.3	19.5	15.8	16.5	5.2	1	25.2	9	77	82	82	60	53	50	54	69	66	23	17
Giugno	15.0	13.6	15.0	19.2	21.8	22.3	20.7	17.2	18.1	7.4	25	26.2	4.18	78	80	77	58	49	51	56	69	65	24	11
Luglio	17.3	16.1	17.0	21.9	24.6	25.5	23.8	19.7	20.7	9.0	5	31.1	31	83	85	83	57	49	50	58	75	67	31	17
Agosto	17.9	16.3	16.3	20.8	24.0	25.1	23.0	19.6	20.4	9.4	23	31.5	1	79	83	84	63	54	52	62	77	69	33	8
Settembre	15.4	14.4	13.7	18.3	21.7	22.5	19.3	16.4	17.7	7.0	24	26.0	8	84	84	86	67	54	54	68	82	72	25	26
Ottobre	8.2	7.6	7.3	12.1	16.0	16.3	11.5	9.0	11.0	-1.8	24	25.8	15	82	84	83	67	52	51	70	79	71	21	13
Novembre	5.2	4.8	4.5	6.7	10.5	10.6	7.1	5.8	6.9	-2.0	20	15.3	1	87	88	87	84	62	65	81	86	80	24	1
Dicembre	0.6	0.2	-0.1	1.0	4.1	4.5	1.8	1.0	1.6	-7.2	8	14.4	28	84	85	85	84	70	68	82	82	80	33	28
Anno	8.7	7.6	7.5	11.3	14.7	15.5	12.7	10.1	11.0	-8.1	I	31.5	VIII	79	81	81	67	53	52	63	74	69	15	I

	Nuvolosità in ottavi (Okta)									Nebbia								Precipitazioni		Numero dei giorni								
	1h	4h	7h	10h	13h	16h	19h	22h	Media	Numero dei termini di osservazione								Summa	Maximo Giorno	Numero dei giorni								
	1h	4h	7h	10h	13h	16h	19h	22h	Media	1h	4h	7h	10h	13h	16h	19h	22h	Totale	Summa	Maximo Giorno	* *	* ≥1.0	* *	▲	K	Nuvolosità < 2/10 > 8/10		
Gennaio	2.5	2.5	2.7	3.9	3.6	3.8	3.6	2.7	3.2	1	1	1	1	1	—	—	—	5	5	3	11	3	3	2	—	—	13	6
Febbraio	3.4	3.4	3.7	4.5	4.9	4.7	4.2	3.8	4.1	1	2	3	3	1	—	—	1	11	97	36	26	8	5	1	—	—	3	6
Marzo	4.0	4.5	4.5	4.4	4.4	4.1	3.8	3.3	4.1	—	—	1	—	—	—	—	—	1	13	3	25	7	5	3	—	—	8	8
Aprile	4.0	4.2	4.5	4.7	4.8	4.5	4.3	4.1	4.5	—	—	1	—	—	—	—	—	1	209	52	5	11	10	2	—	1	8	10
Maggio	3.0	4.1	5.0	5.5	5.2	5.3	4.6	3.2	4.5	—	—	1	—	—	—	—	—	1	267	98	27	10	10	—	—	4	2	5
Giugno	3.9	4.5	4.5	4.9	4.8	4.9	5.0	4.4	4.6	—	1	—	—	—	—	—	—	1	136	24	26	12	10	—	—	5	3	8
Luglio	3.4	4.4	4.4	3.7	3.5	4.5	4.0	3.3	3.9	—	—	—	—	—	—	—	—	—	144	30	22	12	11	—	—	9	4	4
Agosto	4.0	3.9	4.4	4.0	3.8	4.2	4.5	3.7	4.1	1	2	—	—	—	—	—	—	3	342	97	21	16	16	—	—	9	6	6
Settembre	3.6	4.2	4.7	4.3	3.7	3.9	4.2	4.0	4.1	1	1	3	—	—	—	—	—	5	154	55	21	8	7	—	—	3	6	6
Ottobre	3.2	3.5	4.0	4.1	3.8	3.6	2.8	3.1	3.5	—	—	1	—	—	—	—	—	2	293	120	12	10	10	—	—	2	10	9
Novembre	4.6	5.0	5.3	5.5	5.2	5.6	4.5	4.3	5.0	4	2	1	1	—	—	—	—	8	83	23	11	14	11	—	—	3	10	10
Dicembre	4.6	4.5	4.7	5.5	5.3	4.8	4.2	4.5	4.8	1	1	1	2	2	2	2	1	12	280	89	20	13	13	2	—	—	6	12
Anno	3.7	4.1	4.4	4.6	4.4	4.5	4.1	3.7	4.2	9	10	13	7	4	2	2	4	51	2023	120	X	124	111	10	—	33	72	90

	Direzione del vento													Velocità del vento in nodi									
	350° -10°	20° -40°	50° -70°	80° -100°	110° -130°	140° -160°	170° -190°	200° -220°	230° -250°	260° -280°	290° -310°	320° -340°	Calme	1h	4h	7h	10h	13h	16h	19h	22h	Media	
Gennaio	2	2	22	78	49	26	6	1	14	10	1	4	33	2.6	2.7	2.6	2.3	2.5	2.4	2.8	3.2	2.7	
Febbraio	3	2	13	47	32	20	5	1	21	25	5	8	42	2.9	3.0	1.9	2.6	4.1	3.7	3.7	2.8	3.1	
Marzo	6	8	11	49	27	23	4	1	14	48	16	8	33	3.3	3.4	3.0	2.7	5.7	5.3	4.4	3.4	3.9	
Aprile	11	11	10	35	35	7	4	2	15	59	12	17	22	3.0	2.9	2.5	3.8	5.8	4.7	4.1	4.6	3.9	
Maggio	2	3	4	40	18	6	4	3	16	81	5	19	47	1.6	1.8	1.8	2.5	3.8	4.6	3.0	2.4	2.7	
Giugno	5	4	13	34	34	7	1	3	11	54	10	14	50	1.8	1.8	2.4	3.0	4.1	5.2	2.8	2.7	3.0	
Luglio	3	6	10	40	25	7	5	2	11	55	14	14	56	1.4	2.0	2.6	3.3	4.0	4.5	2.7	2.4	2.9	
Agosto	—	9	20	52	22	6	—	—	13	48	13	12	53	3.2	2.4	2.1	2.0	2.2	2.7	2.6	3.4	2.6	
Settembre	3	5	9	42	18	9	3	1	14	43	11	10	72	2.1	1.7	1.5	1.4	3.3	2.0	1.6	1.5	1.9	
Ottobre	5	4	22	59	30	20	3	2	14	29	3	9	48	2.8	2.1	2.7	2.3	3.8	5.3	3.9	2.7	3.2	
Novembre	3	2	12	65	41	6	7	2	19	18	1	1	63	1.6	1.7	2.1	1.7	2.3	1.7	1.6	1.1	1.7	
Dicembre	1	3	16	73	58	13	6	3	7	12	3	5	48	2.0	2.0	2.5	2.6	1.9	2.0	2.8	2.4	2.3	
Anno	44	59	162	614	389	150	48	21	169	482	94	121	567	2.4	2.3	2.3	2.5	3.6	3.7	3.0	2.7	2.8	

Anhang

zum Jahrgang 1958 der Annalen der
Schweizerischen Meteorologischen Zentralanstalt

Ergänzende Beobachtungen und Abhandlungen

Übersicht über den Witterungsverlauf in der Schweiz im Jahre 1958

Ähnlich wie im Vorjahr wies die Alpennordseite im Jahresmittel verhältnismäßig hohe *Temperaturen* auf. Die Abweichungen vom Normalwert 1864—1940 betragen wiederum $\frac{1}{2}$ — 1° . Die höchsten Beträge wies die Nordostschweiz auf. Südlich der Alpen sind die Überschüsse geringer, sie liegen dort zwischen 0 und 0.5° . Negative Abweichungen wurden in den Einzelmonaten, vor allem im März und April sowie in geringem Maße im Juni, verzeichnet, während in den übrigen Jahreszeiten größtenteils positive Werte auftraten, besonders im Februar, Mai, September und Dezember.

Bei den *Niederschlägen* überwiegen ebenfalls die positiven Abweichungen vom Normalwert. Sie sind am größten in der nördlichen Alpenzone, in der Nordostschweiz und in den südlichen Engadinalpen. Dort wurden etwa 120—125% der üblichen Mengen erreicht, während die meisten Gebiete der Schweiz 100—120% aufwiesen. Unternormale Mengen finden sich vor allem nordwestlich des Jura (um 95%), vereinzelt auch in den übrigen Landesteilen. Den größten Überschuß lieferte im allgemeinen der sehr nasse Februar, in den östlichen Alpen auch der Oktober. Südlich der Alpen war der Dezember sehr niederschlagsreich, im Maggiagebiet auch der August. In der Westschweiz brachte der Januar

große Regenmengen. In den meisten Teilen des Landes niederschlagsarm blieben die Monate März und November, südlich der Alpen auch der Januar.

Die *Sonnenscheindauer* erreichte nur an einzelnen Orten knapp den Normalwert, besonders in der Ostschweiz. Im allgemeinen wurden nur 90—95% des üblichen Betrages erreicht. Am Genfersee liegen die Werte sogar um 88%. Am Defizit sind die meisten Monate beteiligt, besonders die kältere Jahreszeit, welche an und für sich schon sonnenarm ist (vgl. Novemberwerte der Mittellandstationen!).

Die nachfolgenden Monatsübersichten sind in drei Teile gegliedert:

1. Zusammenfassung
2. Abweichungen und Prozentzahlen in bezug auf die langjährigen Normalwerte (Temperatur 1864—1940; Niederschlag und Feuchtigkeit 1901—1940; Bewöl- und Sonnenscheindauer 1921—1950).
3. Witterungsablauf.

Außer der Beschreibung der einzelnen Witterungsperioden wird neu als Ergänzung in der Datumskolonne bei den Kennbuchstaben WL die codifizierte Charakteristik des Witterungsgepräges im schweizerischen Gebiet nach untenstehendem Schema aufgeführt. (Zwei Ziffern):

Schema der Witterungslagen

1. Ziffer	0			x			9			2. Ziffer							
										8	7	6	5	4	3	2	1
0	stabiles Hoch			<i>Hochdrucklagen</i> Hochdruck- rücken			rasch wanderndes Zwischenhoch			<i>Hochdruck — Randlagen</i> Hochdruck in Richtung: W-NW SW-W S-SW SES E-SE NE-E N-NE NW-N vorherrschende allgemeine Strömung aus: N NW W SW S SE E NE Codebezeichnung: 08 07 06 05 04 03 02 01							
x 1—8	vorherrschend schönes Wetter (Höhenhoch)			<i>Flachdrucklagen</i> Flache Druck- verteilung (Marais barométrique)			vorherrschend schlechtes Wetter (Höhentief)			<i>Strömungslagen (Advektionslagen)</i> vorherrschende Grundströmung (am Boden und in der Höhe): N NW W SW S SE E NE Codebezeichnung: 88 77 66 55 44 33 22 11							
9	rasch ziehendes Tief (Sekundär- depression)			<i>Tiefdrucklagen</i> Tiefdruckrinne			langsam ziehen- des Haupttief (Zentralzyklone)			<i>Tiefdruck — Randlagen</i> Tiefdruck in Richtung: E-SE NE-E N-NE NW-N W-NW SW-W S-SW SES vorherrschende allgemeine Strömung aus: N NW W SW S SE E NE Codebezeichnung: 98 97 96 95 94 93 92 91							

Im allgemeinen erfolgt die Einordnung auf Grund der Bodenwetterkarte; falls dort keine charakteristische Druckverteilung vorhanden ist auf Grund der Höhenwetterkarte (500 mb).

Die 1. Ziffer gibt die vorherrschende vertikale Luftbewegung an:

0 = antizyklonale Witterung mit vorherrschend absinkender Luftbewegung (wolken- und niederschlagsarmes Wetter)

1—8, x = abwechselnd antizyklonale und zyklonale Witterung (veränderliches Wetter) oder indifferenter (unbestimmter) Witterungscharakter

9 = zyklonale Witterung mit vorherrschend aufsteigender Luftbewegung (wolken- und niederschlagsreiches Wetter)

Die 2. Ziffer gibt die vorherrschende horizontale Luftbewegung an:

0 = Ausströmen aus einem Hochdruckgebiet

x = schwache geradlinige oder unbestimmte Strömung

9 = Einströmen in ein Tiefdruckgebiet

1 = NE 5 = SW

2 = E 6 = W

3 = SE 7 = NW

4 = S 8 = N

Januar

Während sich die Temperaturabweichungen in normalen Grenzen hielten, zeigen sich bei den Niederschlägen große regionale Unterschiede (trocken am Alpensüdfuß, naß besonders in der West- und der äußersten Nordschweiz). Sonnenarm waren vor allem das westliche Mittelland und der Kanton Schaffhausen, sonnenreich dagegen die südöstlichen Landesteile.

Temperatur: Meist übernormal, in den nördlichen Landesteilen $1-1\frac{1}{2}^{\circ}$ über dem Mittel. Wallis und Engadin geringe negative Abweichungen.

Niederschlagsmenge: Mittel- und Südtessin 20—25%, Bergell und Puschlav 30—35% Oberengadin, strichweise in den obersten Talpartien des Vorder- und Hinterrheins, Rheintal zwischen Chur und Bodensee und Urner Reußtal zwischen 65 und 90%. Westliches Mittelland zwischen Neuenburger- und Genfersee, nördlicher Teil des Kantons Schaffhausen 200—250%. Westliches Wallis strichweise über 200%. Übrige Teile der Schweiz 100 bis 200% (östliches Mittelland und nördliche Alpenzone vorwiegend 110—130%).

Zahl der Tage mit Niederschlag: Schaffhausen 17 statt 12, Genf 13 statt 10.5, Locarno und Lugano dagegen 4 statt 6. Davos 9 statt 12.

Gewitter: keine.

Sonnenscheindauer: Westliche Teile des Mittellandes und Kanton Schaffhausen 65—80%. Genf nur wenig mehr als 50%. Basel und Bern 90—95%, östliche und südliche Landesteile 105—120% (Südtessin und Oberengadin 125—135%).

Bewölkungsmenge: Meist etwas über 100%. Genferseegebiet um 120%, Oberengadin 90%.

Feuchtigkeit und Nebel: Nebeltage in der Westschweiz stark übernormal (Lausanne 10 statt 3).

Zahl der heiteren und trüben Tage: In der Westschweiz Zahl der trüben Tage stark übernormal (Lausanne 21 statt 14).

Witterungsablauf:

1.—3. **Schwache Westströmung über dem Alpengebiet:** TL:0x Trockenes und sonniges Wetter bei mittleren Temperaturen.

4.—12. **Unbeständiges, oft stürmisches Westwindwetter in Mitteleuropa:** TL:96 Höhepunkt der Sturmperiode 6./7. mit Böenspitzen zwischen 100 und 125 km/Std. in den Niederungen nördlich der Alpen, vielfach leichtere Schäden. Häufige Niederschläge, vor allem nördlich der Alpen. In den Bergen vom 7. an etwas zu kalt, sonst übernormale Temperaturen.

13.—18. **Hochdruck über Westeuropa:** TL:01 Anfänglich Tief über dem Mittelmeer, welches am 12./13. in der Westschweiz Bise, im Tessin Nordföhn verursacht. Im allgemeinen trocken. Alpengebiet vom 14.—16. Tessin 13.—18. sonnig, Niederungen der Alpennordseite meist unter Hochnebel bei Temperaturen um 0° , Höhen rasche Erwärmung.

19.—24. **Kaltluftzufuhr aus dem Polargebiet:** TL:66 Am 20./21. Kaltlufteinbruch aus Nordwesten. Starker Temperaturfall in allen Höhen (z. B. Säntis -6 auf -19° !), anschließend Kälteperiode. Am 21. allgemein sonnig und trocken, sonst nördlich der Alpen am 19. Regen, ab 20. zeitweise Schneefälle.

25.—31. **Aufbau eines kräftigen Hochdruckgebietes über Mitteleuropa:** TL:00 Vom 27. an allgemein trocken. In der Höhe rasche Erwärmung, in den Niederungen der Alpennordseite Nebel und Hochnebel bis gegen 700—900 m und noch kalt. Höhen und Alpensüdfuß sonnig, nur am 26. kurze Störung, besonders in der Westschweiz.

Februar

Der Monat zeichnete sich aus durch extreme Wärme und Niederschlagsreichtum, vor allem auf der Alpennordseite. An einzelnen Orten, z. B. in Zürich und in Interlaken, wurden die höchsten bisher registrierten Februar-Niederschlagssummen erreicht.

Temperatur: Auf der Alpennordseite um etwa 3° , strichweise, vor allem in der Nordostschweiz, mehr als $3\frac{1}{2}^{\circ}$ über dem langjährigen Durchschnitt. Alpen und Alpensüdfuß etwas kleinere Überschüsse.

Niederschlagsmenge: Vereinzelt Orte im Tessin und im Oberengadin etwas unternormale Beträge. Südlicher Teil des Tessins, Gebiet um Genf und kleinere Zone um Luzern 120—140%. Brienersee und südlicher Teil des Kantons Glarus 350—400%. Zürich knapp 370%. Rheintal von Chur bis Lichtenstein ähnliche Beträge. Ebnat 460%. Wallis meist mehr als 250%, vereinzelt bis 500%. Jura und Juranordfuß, westliches Mittelland meist zwischen 170—300%.

Zahl der Tage mit Niederschlag: Südlich der Alpen und Oberengadin etwa normal. Übrige Landesteile wesentlich übernormal.

Gewitter: nur vereinzelt, in der Westschweiz am 11.

Sonnenscheindauer: Basel, 96%, Juranordfuß ähnliche Werte. Gebiet Zürich—Luzern—Glarnerland 90 bis 95%. Tessin und Kanton Bern etwa 85%, übrige Teile der Schweiz meist 70—80%, oberer Genfersee 65%.

Bewölkungsmenge: Gebiet Basel—Zürich—Luzern etwa 110%, Tessin 120%, Alpen und oberer Genfersee 140—150%.

Feuchtigkeit und Nebel: Im Gebirge übernormale Feuchtigkeit und viel Nebeltage (Säntis 20 statt 15).

Zahl der heiteren und trüben Tage: Zahl der trüben Tage allgemein zu hoch. Zahl der heiteren Tage unternormal.

Witterungsablauf:

Außergewöhnlich war die sehr warme Witterungsperiode im 2. Monatsdrittel.

1.—4. **Hochdruck über Mitteleuropa.** TL:00 Niederungen kalt. Mittelland vielfach unter Hochnebel bis

gegen 800 m. Sonst schönes und in der Höhe mildes Wetter.

- 5.—11. *Unbeständiges Westwindwetter.* Zeitweise stürmisch, besonders am 6./7. mit ziemlich bedeutenden Niederschlägen nördlich der Alpen. Am 11. bei allmählicher Winddrehung auf Südwest Niederschläge beidseits der Alpen. In der Westschweiz Gewitter. Übernormale Temperatur. Im Tessin 6./7., nördlich der Alpen 8.—10. ziemlich sonnig.
- 12.—15. *Südwestwindlage.* Sonnig, trocken und ungewöhnlich warm (z. B. Nachmittagstemperaturen Flugplatz Basel am 15. über 21°!). In Basel 15. und 16. mit 13.3 und 13.6°. Tagesmittel bisher wärmste Februartage seit Beginn der Messungen im Jahre 1826.
- 16.—27. *Nordwest-, später Tiefdrucklage.* Unbeständiges Wetter mit häufigen Niederschlägen auf der Alpennordseite. 17./18. Kaltlufteinbruch aus dem Polarmeer, davor ausquetschen der Warmluft am Alpennordrand mit bedeutenden Niederschlagsmengen (z. B. Säntis 16. und 17. 121 mm, anfangs Regen bis 2500 m Höhe!). In den Alpen strichweise Gewitter. Am 24./25. unter Föhneinfluß vorübergehend wärmer, sonst meist etwas unternormale Temperatur. Nördlich der Alpen sonnenarm.
28. *Kleines Zwischenhoch über Mitteleuropa.* Allgemein sonnig, kalt, trocken, Tessin Nordföhn. Im westlichen Mittelland am 27./28. kräftige Bise.

März

Eine ungewöhnliche Luftdruckverteilung über Europa (Hochdruck im Norden des Kontinentes, verhältnismäßig tiefer Druck auf dem mittleren Atlantik) bewirkte eine kräftige Kaltluftzufuhr in der Schweiz, so daß die Temperaturen wesentlich unter dem langjährigen Mittel lagen und der März in den nordöstlichen Landesteilen wesentlich kälter war als der vorangehende Februar.

Temperatur: Zentral- und Nordostschweiz 2.5—3°, West- und Südschweiz 1.5—2° unternormal.

Niederschlagsmengen: Nördliche Alpen und Vor-alpen 110—130%. Alpensüdfuß, Oberengadin, südliche Bündertäler dagegen nur 10—30%. Östliches Wallis, westliches und nördliches Mittelland, östliche Teile des Juras 30—60%. Restliche Teile des Juras, des Mittel-landes und der Alpen 60—100%.

Zahl der Tage mit Niederschlag: Nördliche und westliche Landesteile ziemlich normal. Südliche Teile unternormal: z. B. Bever 6 statt 11, Locarno 7 statt 10. — Schneetage im Norden des Landes übernormal, z. B. Schaffhausen 11 statt 5.

Gewitter: Nur vereinzelt, am 30. in der Nordwestschweiz.

Sonnenscheindauer: Engadin geringfügig übernormal, sonst allgemein unternormal: 80—95%, Tessin 90—100 Prozent.

Bewölkungsmenge: Meist 105—110%. Zentralschweiz sowie im nördlichen Graubünden 115—120%.

Feuchtigkeit und Nebel: Im Tessin trocken. In den Bergen etwas übernormale Feuchtigkeit.

Zahl der heiteren und trüben Tage: Zahl der heiteren Tage verhältnismäßig gering, z. B. Luzern 2 statt 5, Davos 3 statt 7.

Zürich besonders viele trübe Tage.

Witterungsablauf:

- Charakteristisch waren zwei Kälteperioden vom 7.—12. und 21.—23.
- 1.—5. *Hochdruck über Westeuropa.* Nordöstliche, vom 1.—4. in der Westschweiz kräftige Winde. Am Alpensüdfuß sowie in der Westschweiz während der ganzen Periode sonnig, im Nordosten am 2. und 3. meist bedeckt und etwas Niederschlag. Anfänglich zu kalt, dann mittlere Temperaturen.
- 6.—11. *Tiefdruck über Mitteleuropa:* Kaltlufteinbruch aus Nordwesten bis ins Mittelmeergebiet. Rasches Absinken der Temperaturen, in den Bergen der Nordostschweiz bis auf 9 bis 12° unter dem Normalwert. In den nördlichen Alpen häufige Schneefälle, zeitweise auch in den übrigen Landesteilen Niederschlag, vor allem am 11., nördlich der Alpen größtenteils Schnee. Temperaturen auch in der Niederung zeitweise unter Null.
- 12.—14. *Übergang zu Nordwestströmung.* Am 12. noch sehr kalt. Temperaturminimum Säntis: —21 Grad, dann Abnahme der Kälte. Häufige Niederschläge nördlich der Alpen. Südseite vorwiegend sonnig. Besonders am 13. kräftige Winde.
- 15.—16. *Kleines Zwischenhoch,* über Mitteleuropa nach Südosten ziehend. Ziemlich sonnig und im allgemeinen trocken.
- 17.—20. *West-östliche Tiefdruckrinne* über dem südlichen Europa. Unbeständig mit zeitweisem Niederschlag, vor allem auf der Alpennordseite. Temperaturen in den Niederungen nördlich der Alpen um 0°.
- 21.—24. *Hochdruck über Skandinavien:* Auf der Südostflanke des Hochdruckzentrums kurzer, aber kräftiger Kaltlufteinbruch von Nordrußland her, Westschweiz kräftige Bise, Tessin anfangs Nordföhn. Meist sonnig, nachts starke Ausstrahlung, in den Niederungen der Alpennordseite extrem tiefe Temperaturminima. In Zürich z. B. bisher nach dem 20. März erst einmal (22. März 1899) ähnlich tiefe Werte.
- 25.—30. *Süd-Südwestlage:* Allmähliche Erwärmung, vom 28.—30. in der Nordwestschweiz Temperaturen 4—5° übernormal, im Westen und Süden weniger starke Abweichungen. Zeitweise etwas Niederschlag, veränderlich, vor allem südlich der Alpen, im allgemeinen jedoch sonnig, besonders vom 28.—30.

31. *Kaltlufteinbruch aus Nordosten*: Bise nördlich der Alpen, Nordföhn im Tessin.
WL:02

April

Der Monat war allgemein wesentlich zu kalt. Er brachte, mit Ausnahme des Wallis, etwas zu geringe Sonnenscheindauer.

Temperatur: Jura, Wallis, Genferseegebiet sowie die meisten Teile der Nordostschweiz $1\frac{1}{2}$ — 2° , übrige Regionen 2 — $2\frac{1}{2}^{\circ}$ unternormal.

Niederschlagsmenge: Mittleres Wallis 25—50%. Jura-südfuß, besonders westlich von Solothurn ca. 50%. Zentral- und Nordostschweiz, Tessin und die zentralen Gebiete von Graubünden teilweise bis 150%, im allgemeinen 115—135%. Im Nordosten des Landes zwischen Schaffhausen und Romanshorn unternormale Mengen. *Zahl der Tage mit Niederschlag*: Im Nordosten etwa normal, im Westen und Nordwesten etwas unternormal. Tessin übernormal. Zahl der Tage mit Schnee in den Niederungen übernormal.

Gewitter: Im Tessin am 1. und 25., sonst geringe Gewittertätigkeit.

Sonnenscheindauer: Wallis ungefähr normal, Engadin sowie das nordöstliche Alpengebiet ca. 95%. Tessin und nördliche Landesteile ungefähr 90%, in den übrigen Landesteile 85—90%, teilweise, wie z. B. in Neuchâtel und Luzern nur etwa 75—80%.

Bewölkungsmenge: Wallis ca. 90%. Sonst meist 105 bis 115%.

Feuchtigkeit und Nebel: Im allgemeinen überdurchschnittliche Feuchtigkeit und etwas zu große Zahl der Nebeltage.

Zahl der heiteren und trüben Tage: Zahl der trüben Tage nur südlich der Alpen wesentlich übernormal, Zahl der heiteren Tage im allgemeinen ungefähr normal.

Witterungsablauf:

- 1.—2. *Hoch über Nordeuropa*: Süd- und Westschweiz veränderlich. Alpennordseite am 2. sonnig.
WL:02
- 3.—5. *Eindringen atlantischer Tiefdruckgebiete nach Mitteleuropa*: Sonnenarm. Am 3. Föhn. Niederschläge, vor allem auf der Alpensüdseite: Lugano 108 mm!
WL:95
- 6.—10. *Kaltluftzufuhr aus Norden*: Südlich der Alpen vom 7. an trocken und sonnig, sonst sonnenarm mit Niederschlägen vor allem in der Nordostschweiz. Zunehmend unternormale Temperaturen, Schnee bis in die Niederungen.
WL 11
- 11.—16. *Hoch über Nordwesteuropa, Tief im Mittelmeer*: Anfangs tiefe Temperaturen, Winddrehung auf Ost bis Süd, Mittelland Bise vom 11.—14. Nördlich der Alpen vom 11.—14. trocken, aber wenig Sonne. 15./16. Regen. Alpensüdseite regnerisch.
WL 92
- 17.—18. *Neuer, kurzer Kaltlufteinbruch von Norden*: Anfangs Alpennordseite Neuschnee bis in die Niederungen. Nördliche Winde, Westschweiz Bise. Am 18. aufhellend.
WL:01

- 19.—24. *In Mitteleuropa vorwiegend Hochdruckeinfluß*: Am 22./23. von Norden kurze Störung mit Niederschlägen besonders im NE, sonst trocken und meist sonnig. Normale oder etwas übernormale Temperaturen.
WL x0

- 25.—29. *West- bis Nordwestströmung*: Veränderliches Wetter bei mittleren Temperaturen. Niederschläge besonders im Nordosten.
WL:77

30. *Hochdruck über Mitteleuropa*: Allgemein sonnig. Bisc.
WL:00

Mai

Charakteristisch waren die hohen Temperaturen, welche durchschnittlich nur alle 15 Jahre erreicht werden. In den Bergen der Nordostschweiz waren sogar seit 1864 nur 5 Maimonate ähnlich warm (1865, 1868, 1920 und 1947) und nur ein einzelner (1868) zeigte noch wesentlich höhere Temperaturen.

Temperatur: Besonders warm im Nordosten des Landes, wo z. B. auf dem Säntis mehr als $3\frac{1}{2}^{\circ}$ positive Abweichung erreicht wurden. In den Niederungen 2 bis $2\frac{1}{2}^{\circ}$ übernormal.

Niederschlagsmenge: Westliches Mittelland, einzelne Teile des Jura, die meisten Walliser Täler sowie das zentrale Alpengebiet um den Gotthard im allgemeinen 120 bis 160%, strichweise bis 200%. Äußerster Norden des Landes ungefähr normal. Östlicher Jura, zentrales und Mittelland, Voralpenzone, die meisten Bündnertäler sowie das Südtessin vorwiegend 70—80%, in einzelnen Gebieten, speziell um Luzern und St. Gallen jedoch nur 50—60%.

Zahl der Tage mit Niederschlag: Wallis etwas übernormal, Sion 12 statt 10 Tage. Sonst im allgemeinen unternormal, Bern 7 statt 15.

Gewitter: Meist geringe Gewittertätigkeit, jedoch im Wallis und vor allem im Tessin normale oder übernormale Häufigkeit.

Sonnenscheindauer: Niederungen der Alpennordseite, Wallis und Tessin ungefähr 100% oder wenig darüber. Östliche Voralpen sowie Graubünden 110—125%.

Bewölkungsmenge: Ganze Schweiz 85—110%, vielfach etwas unternormal.

Feuchtigkeit und Nebel: Meist unternormale Feuchtigkeit und in den Bergen geringe Nebelhäufigkeit (Säntis 16 Tage statt 22).

Zahl der heiteren und trüben Tage: Zahl der heiteren Tage im Tessin zu gering, sonst meist mehr heitere, dagegen weniger trübe Tage als üblich.

Witterungsablauf:

Der Monat zerfällt in eine Reihe von kürzeren Witterungsperioden, aus denen sich der einzige markante Kälteeinbruch vom 15.—17. und die bedeutenden Niederschläge vom 27. Mai beim Föhnzusammenbruch nach Pfingsten herausheben.

- 1.—4. *Hochdruck über Mitteleuropa*. Trockenes, sonniges und ziemlich warmes Wetter.
WL:00

- 5.—6. *Durchgang einer schwachen Störungslinie aus SW.* Nördlich der Alpen, besonders in der Nordostschweiz, leichte Niederschläge, ohne Abkühlung.
WL:66
- 7.—13. *West- bis Südwestströmung.* Trockenes, im allgemeinen ziemlich sonniges Wetter mit hohen Temperaturen. Vom 12. an meist starke Bewölkung. Am 11.—12. Föhn in den Alpentälern.
WL
05
- 14.—16. *Einbruch kräftiger Tiefdruckwirbel von den britischen Inseln nach dem Kontinent.* Kräftiger Temperaturrückgang bis unter den Normalwert (vgl. Minima). Anfangs zunehmender Südwestwind, am 16. auf Nordwest drehend. Häufige Niederschläge, besonders am 16.
WL
90
- 17.—20. *Hochdruck von W nach E über Mitteleuropa wandernd.* Trocken, am 19./20. allgemein sonnig und wieder warm. Am 17. Bise.
WL:0x
- 21.—22. *Durchgang einer Störungslinie von Westen her.* Auf der Alpennordseite Abkühlung in der Niederung, beidseitig der Alpen zeitweise starke Bewölkung und einige Niederschläge.
WL
9x
- 23.—25. *Föhnlage.* Anfangs sonnig und warm, am 24./25. zunehmender Föhn, am 25. etwas Niederschlag am Alpensüdfuß.
WL:05
- 26.—28. *Langsamer Föhnzusammenbruch.* Bei sinkender Temperatur meist starke Bewölkung und am 27. bedeutende Niederschläge beidseits der Alpen (z. B. Airolo 147 mm, Disentis 119 mm!).
WL
9x
- 29.—31. *Meist schwacher Hochdruck.* 29. und 31. sonnig, am 30. leichte Störungslinie aus SW mit Niederschlägen besonders am Alpensüdfuß.
WL:x0

Juni

Die Abweichungen vom Normalwert waren bei den meisten Wetterelementen nicht bedeutend, nur bei der Bewölkung zeigte sich im Süden und Westen ein mäßiger Überschuß in bezug auf den langjährigen Durchschnitt. Strichweise waren auch die Niederschlagsmengen wesentlich höher als üblich.

Temperatur: Nordosten des Landes nur wenige Zehntelsgrade unternormal, südwestliche und südliche Teile der Schweiz $\frac{1}{2}$ bis 1° unternormal.

Niederschlagsmenge: Genferseegebiet 160—220%, die Gegend um Zürich 140—160%, das östliche Unterengadin und das Müntertal 175—195%. Wallis unterhalb von Leuk, der größte Teil des Mittellandes und des Jura meist 110—140% verzeichnet wurden. Übrige Alpengebiete 70—90%. In einzelnen Tälern des oberen Wallis und im Centovalli etwa 50%.

Zahl der Tage mit Niederschlag: Genfersee etwas übernormal, Lausanne 14 statt 13, sonst eher etwas unternormal, Zürich 12 statt 15.

Gewitter: Im allgemeinen normal, doch strichweise leicht unternormal.

Sonnenscheindauer: Nordwest-, Zentral- und Nordostschweiz, sowie Graubünden 95—100%, teilweise übernormal, vor allem in den Bergen der Nordostschweiz. Westen und Süden des Landes: Neuchâtel, Genferseegebiet, Wallis und Tessin 85—90%.

Bewölkungsmenge: Nordostschweiz 100—110%, Südtessin 115—125%.

Feuchtigkeit und Nebel: Keine bedeutende Abweichungen vom Normalwert.

Zahl der heitern und trüben Tage: Im Südwesten unternormal, Genf 5 statt 7. St. Gallen dagegen 7 statt 5. Zahl der trüben Tage in Lausanne 11 statt 5, Schaffhausen 7 statt 8.

Witterungsablauf:

Warme und kalte, trockene und feuchte Perioden waren ziemlich regelmäßig über den Monat verstreut.

1.—2. *Flacher Hochdruck über Mitteleuropa:* Im allgemeinen trocken, sonnig und ziemlich warm.
WL:x0

3. *Durchgang einer Störungslinie:* Verbreitete Gewitter, zum Teil mit Hagel. Abkühlung nördlich der Alpen.
WL:xx

4.—5. *Hochdruckzelle über Mitteleuropa hinwegziehend.* Trocken und sonnig. Mittlere Temperaturen auf der Alpennordseite.
WL:09

6.—9. *Flache Druckverteilung.* Einzelne Störungslinien, besonders am 6./7., am 8./9. meist sonnig und warm.
WL:xx

10.—11. *Tiefdrucktätigkeit im östlichen Mittelmeer.* Meist bedeckt mit Niederschlägen, vor allem am 10. Abkühlung, einsetzende Bise.
WL:91

12.—16. *Hochdruck über Nord- und Mitteleuropa.* Schönwetterperiode. Anfangs Bise und noch kühl, dann zunehmende Erwärmung.
WL:02

17.—19. *Flache Druckverteilung.* Anfangs sehr warm und trocken, dann zunehmend unbeständig mit Gewittern in der nördlichen Landeshälfte.
WL:xx

20.—27. *Unbeständiges Westwindwetter.* Zufuhr kühlerer Luftmassen mit bedeutenden Niederschlagsmengen in einzelnen Gebieten der Nordostschweiz am 21., sowie kräftigen Gewittern im Tessin am 22. Vorübergehende kurze Wetterbesserung in kleinen, über Mitteleuropa hinwegziehenden Hochdruckgebieten am 23. und 25. Am 25./26. kurze Erwärmung, sonst immer mehr absinkende Temperatur bis zum Tiefpunkt am 27. (Schnee bis auf 1600 m herab).
WL
96
(25.:09)

28.—30. *Schwacher Hochdruck, von Spanien nach Mitteleuropa wandernd.* Rasche Erwärmung, am 28. und 29. trocken. Vorwiegend sonnig, besonders am 29.
WL
08

Juli

Die Abweichungen bei den einzelnen Wetterelementen sind nicht bedeutend, die Witterung hatte ungefähr den in dieser Jahreszeit üblichen Charakter.

August

Temperatur: Talstationen der westlichen und südlichen Landesteile meist $0\frac{1}{2}^{\circ}$, im Nordosten $1\frac{1}{2}$ — 1° und auf den Bergen mehr als 1° übernormal.

Niederschlagsmenge: Unterer Genfersee und Gebiet des Lago Maggiore etwa 60%. Sonst meist 80—110%, strichweise in den Alpen bis zu 130%.

Zahl der Tage mit Niederschlag: Südosten des Landes unternormal; Bever 13 statt 15, Lugano 9 statt 11. Übrige Teile der Schweiz, auch am Genfersee übernormal: Bern 16 statt 14, Rigi 20 statt 17 Tage.

Gewitter: In den östlichen und südlichen Landesteilen übernormal. Im Westen unternormal.

Sonnenscheindauer: Meist 90—95%, im Voralpengebiet teilweise 85%.

Bewölkungsmenge: Genferseegebiet 120—140%, Wallis und Tessin um 120%, übrige Gebiete meist 105 bis 115%.

Feuchtigkeit und Nebel: Feuchtigkeit und Zahl der Nebeltage in den Bergen übernormal.

Zahl der heiteren und trüben Tage: Zahl der heiteren Tage unternormal: Genf 5 statt 10, Rigi 1 statt 5. Zahl der trüben Tage besonders im Westen übernormal.

Witterungsablauf:

- 1.—5. *Tiefdruckrinne zwischen West- und Osteuropa:* Kühle und niederschlagsreiche Periode. Westwind. Sonnenarm, besonders in den Bergen.
WL:x9
- 6.—10. *Hochdruckgebiet über Westeuropa:* Bei allmählich steigenden Temperaturen meist trocken und ziemlich sonnig. Vom 7. an zeitweise Gewitterstörungen.
WL:11
- 11.—16. *Flacher Hochdruck über Mittel- und Südosteuropa:* Zeitweise schwache atlantische Störungen mit Gewittern, sonst meist trocken, sonnig und warm. Abschluß der Periode durch einen kurzen, scharfen Kälteeinbruch am 16. beim Durchgang einer schwachen Tiefdruckrinne. Verbreitete Gewitterregen beidseits der Alpen.
WL:xx
- 17.—19. *Über Mitteleuropa hinweg nach Osten ziehendes Hochdruckgebiet.* Rasche Erwärmung. Am 18. und 19. allgemein sonnig und trocken.
WL:02
- 20.—24. *Eindringen der atlantischen Tiefdruckwirbel nach Mitteleuropa:* Zufuhr kühler maritimer Luft. Allmähliches Absinken der Temperaturen bis zum 24. (Tagesmittel in den Niederungen der Alpennordseite nur noch 12 — 15° , Nullgradgrenze vom 23.—25. in den Alpen auf 2500 m). Häufige Niederschläge, z. T. Gewitter, besonders am Alpennordhang.
WL
96
- 25.—31. *Bei westlichen Höhenströmungen vorwiegend Hochdruckeinfluß,* dazwischen einzelne Störungslinien mit Gewittern, vor allem am 29. (schwere Schäden im Gebiet nördlich von Luzern durch Orkan und große Hagelschlossen). Anfangs rascher, dann verlangsamer Temperaturanstieg bis zum 1. August. Im allgemeinen ziemlich sonnig, besonders am 25. sowie am 30. und 31.
WL
0x

Häufige Gewitter mit übernormalen Niederschlägen am Alpensüdhang charakterisieren den Monat. Im Nordosten der Schweiz blieb die Temperatur wesentlich über dem Normalwert, sonst entsprachen die Witterungsverhältnisse ungefähr der Jahreszeit.

Temperatur: In der ganzen Schweiz übernormale Temperaturen. Überschuß in den nordöstlichen Landesteilen $1\frac{1}{2}$ — 2° , in der Westschweiz und am Alpennordfuß meist nur 0.8° . In mittleren und oberen Tessin wurde der Normalwert nur knapp erreicht.

Niederschlagsmenge: Locarno mehr als die doppelte Normalmenge, Lugano beinahe normal, Mendrisiotto nur 40%. Genferseegebiet, Emmental und nördlich von Zürich teilweise 150—160%, übrige Landesteile meist 100 bis $130\frac{1}{2}$ %, strichweise, vor allem im östlichen Voralpengebiet, nur 80—90%.

Zahl der Tage mit Niederschlag: Süden, Westen, Niederungen beidseits der Alpen und Säntis übernormal. Nordostschweiz strichweise unternormal.

Gewitter: Übernormal. Häufige Gewitterperioden, besonders am Alpensüdfuß.

Sonnenscheindauer: Meist um 100%. Tessin und Genferseegebiet 95—100%.

Bewölkungsmenge: Im allgemeinen 100—115%, im mittleren und oberen Tessin sowie im Genferseegebiet etwa 125%.

Feuchtigkeit und Nebel: Zahl der heiteren Tage allgemein unternormal, Genf 11 statt 4, Locarno 12 statt 4. Zahl der trüben Tage ungefähr normal.

Witterungsablauf:

Warme und kühlere, trockene und feuchtere Perioden wechselten ziemlich regelmäßig miteinander ab. Der Monat war durch vorherrschende Westwinde in der Höhe gekennzeichnet, welche immer wieder Störungslinien vom Atlantik nach Mitteleuropa führten, zum Teil mit verbreiteten Gewittern, besonders am 2., am 11. und am 19.

1. *Hochdruck über Osteuropa:* Sonnig und sehr warm.
WL:0x
- 2.—5. *Hochdruck auf dem östlichen Atlantik:* Am 2. Gewitterniederschläge und Abkühlung. Am 4. und 5. wieder sonnig und trocken, etwas wärmer.
WL:22
- 6.—7. *Westwindwetter, Tiefdruck über Skandinavien:* Verbreitet ziemlich kräftige Niederschläge, besonders im Westen und Süden des Landes. Erneut Abkühlung. Am 7. sonnenarm.
WL:x9
- 8.—10. *Hochdruck über Mitteleuropa:* Nach Osten wandernd. Besonders am 9. und 10. warm, trocken und sonnig.
WL:09
- 11.—12. *Kaltlufteinbruch aus Westen.* Heftige Windböen, strichweise Windgeschwindigkeiten im Mittelland über 100 km/Std., auf den Jura Höhen bis 135 km/Std. Schwere Sturm- und Hagelschäden.
WL:9x

- 13.—18. *Tiefdruck über Nordeuropa*, einzelne Störungslinien mit leichteren Niederschlägen über die Schweiz wegziehend, im allgemeinen jedoch ziemlich sonnig und warm.
WL:xx
- 19.—25. *Eindringen der atlantischen Tiefdruckwirbel in den Kontinent*: Scharfer Kaltluftereinbruch aus Westen am 19. mit Gewittern in der ganzen Schweiz, teilweise mit Hagel. Nachfolgend trübes und kühles Wetter mit täglichen Niederschlägen. Am 21. in vielen Gegenden sonnenlos.
WL:96
- 26.—30. *Hochdruck über Mitteleuropa*: Rasche Erwärmung, vor allem in der Höhe, trockenes und besonders am 27. und 28. sonniges Wetter. Abflauen des Westwindes in der Höhe und zunehmend flache Druckverteilung.
WL:00
- 31. *Tiefdruckrinne von Frankreich herannahend*.
WL:xx Kräftige Gewitter in der West- und Zentralschweiz.

September

Besonders in den nordöstlichen Landesteilen, im nördlichen Graubünden und im Jura war der September verhältnismäßig sonnig, warm und trocken.

Temperatur: In der ganzen Schweiz übernormal, besonders nördlich der Alpen, wo die registrierten Werte nur alle 15—20 Jahre einmal erreicht werden.

Niederschlagsmenge: Im allgemeinen 60—90%, Jura sowie östliche Voralpen 50—60%. Die südlichsten Teile des Tessins 30—40%. Südliche Bündnertäler, Untereggadin, Berner Oberland und Genfersee 110—120%, strichweise 140%.

Zahl der Tage mit Niederschlag: Beinahe überall unternormal. Zentralschweiz und Tessin strichweise normal. Wenig Schneetage in den Bergen.

Gewitter: Ziemlich normal.

Sonnenscheindauer: Graubünden 120—130%, in Davos höchster Septemberwert seit 1929. Nördliches Mittelland, Jura und Wallis um 110%. Westliches Mittelland und Alpensüdfluß ungefähr normal.

Bewölkungsmenge: Genfersee 110%, Tessin 100 bis 110%, nördliche Landesteile um 90%, im Wallis und Graubünden 80—90%.

Feuchtigkeit und Nebel: Feuchtigkeit und Nebeltage ziemlich normal.

Zahl der heiteren und trüben Tage: Zahl der heiteren Tage im Tessin unternormal, nördlich der Alpen, besonders im Gebirge, etwas übernormal. Zahl der trüben Tage nördlich der Alpen unternormal.

Witterungsablauf:

Die ganze erste Monatshälfte brachte sonnige und trockene Witterung.

- 1.—4. *Hoch über Skandinavien und Rußland*. Anfangs strichweise Gewitterniederschläge, dann trocken und warm beidseits der Alpen.
WL:xx

- 5.—7. *Kontinentales Hoch über Südosteuropa*. Lokale Gewitterregen am 6. und 7., sonst meist sonnig, trocken und warm.
WL:00

- 8.—10. *Rückzug des Hochs nach dem Mittelmeerraum*. Besonders in den nördlichen Landesteilen durch eine vorbeiziehende Störungszone einige Niederschläge, zum Teil erneut Gewitter. Vor allem am 8. Abkühlung nördlich der Alpen.
WL:x9
- 11.—15. *Hoch über Mitteleuropa*: Von den britischen Inseln nach dem Balkan ziehend. Meist sonnig, trocken und wieder wärmer.
WL:02
- 16.—20. *Flache Störungszonen über Mitteleuropa*. Zeitweise ziemlich bedeutende Niederschläge, besonders am 16./17. (Kaltluftereinbruch aus Westen mit Gewittern).
WL:xx
- 21.—22. *Einbruch der atlantischen Wirbeltätigkeit* nach Mitteleuropa. Zustrom von maritimer Luft mit bedeutenden Niederschlägen beidseits der Alpen und Abkühlung.
WL:96
- 23.—25. *Westwindwetter*, ohne bedeutende Niederschläge, veränderlich bewölkt, mittlere Temperaturen, vorübergehend wieder steigend.
WL:06
- 26.—29. *Hoch von den britischen Inseln nach Rußland wandernd*. Anfangs Kälteeinbruch aus Nordwesten, fast ohne Niederschläge, dann Erwärmung und sonnig. Vom 28. an am Alpensüdfluß stark bewölkt.
WL 09
- 30. *Föhnlage*. Regen im Westen und Süden, vor allem auf dem Alpenkamm (Gottbard 73 Millimeter).
WL:95

Oktober

Der Oktober brachte besonders dem östlichen Alpengebiet häufig trübe, sonnenarme Witterung mit bedeutenden Niederschlägen. Trockener und weniger stark bewölkt waren die südlichen und die nordwestlichen Landesteile.

Temperatur: Nordosten und Tessin etwas übernormal. Südwesten unternormal.

Niederschlagsmenge: Juranordfluß, westlicher Genfersee, mittleres Wallis, Südtessin, Puschlav und Münstertal 80—100%. Östliches Alpengebiet, zwischen Altdorf und Klosters, 220—280%.

Zahl der Tage mit Niederschlag: Südtessin etwas unternormal, in den übrigen Landesteilen allgemein wesentlich übernormal. Bern, Lausanne und Genf 12, Zürich und Schaffhausen 13 Tage statt 15—18. Zahl der Tage mit Schnee in den Bergen übernormal, Säntis 15 statt 12.

Gewitter: Am 1., 10. und 11. auf der Alpensüdseite. In der nordwestlichen Landeshälfte am 10./11., sonst nur vereinzelt.

Sonnenscheindauer: Nördlich der Alpen meist stark unternormal. Nördliches und westliches Juragebiet ungefähr normal. Zentralschweiz 55—70%, Mittelland und Alpengebiet meist 65—85%. Mittlerer und südlicher Tessin dagegen übernormal, um 115%.

Bewölkungsmenge: Tessin 80—90%, Juragebiet um 100%, Alpen meist um 110%, Mittelland 110—125%.

Feuchtigkeit und Nebel: Feuchtigkeit und Nebelhäufigkeit in den Niederungen ungefähr normal, in den Bergen überdurchschnittlich.

Zahl der heiteren und trüben Tage: Zahl der trüben Tage fast allgemein übernormal, mit Ausnahme des Tessins meist unternormal, besonders im Mittelland.

Witterungsablauf: Warme erste, kalte zweite Monatshälfte.

1.—7. *Tiefdruck über Nordwesteuropa:* In der Höhe Südwest- bis Westströmung mit einzelnen Störungslinien, welche vor allem am 1. und am 4. bedeutende Niederschläge brachten. (Am 1. z. B. Locarno 90 mm!) Dazwischen sonnig (2./3. und 5). 6. und 7. fast sonnenlos.

8.—9. *Hochdruckband über Mitteleuropa:* Trockene und sonnige, warme Tage mit verbreitetem Morgennebel im Mittelland.

10.—12. *Allmähliches Eindringen der nordatlantischen Störungen nach Mitteleuropa.* Veränderliches Westwindwetter, noch mild. Am 12. beim Durchgang einer Tiefdruckrinne bedeutende Niederschläge beiderseits der Alpen. Im allgemeinen sonnenarm.

13.—21. *Übergang zu Nordwest- bis Nordströmung.* Am 13. erste Abkühlung nördlich der Alpen. Vom 14.—17. in der Höhe Weststurm. Ab 16. Kaltluftzufuhr aus dem Polarraum mit starkem Temperaturfall. Alpensüdseite trocken und sonnig, mit immer noch hohen Temperaturen (Nordföhn), übrige Schweiz, besonders nordöstliche Gebiete, sonnenarm mit häufigen, zum Teil in den Bergen beträchtlichen Niederschlägen. (Erste starke Kaltluftwelle am 16./17. Regenmengen am 17. Säntis 66 mm und Davos 35 mm), neue bedeutende Niederschläge am 20./21., beide Perioden mit Schneefall zeitweise bis in die Voralpentäler auf 500—600 m hinunter.

22.—30. *Hochdruck über Mitteleuropa:* Allgemein trockenes, in den Bergen und südlich der Alpen sonniges und wieder etwas wärmeres Wetter. In den Niederungen der Alpennordseite verbreitete Hochnebel, anfangs bis gegen 1500 m, dann 1000—1200 m, gegen Monatsende um 800 m. Anfangs mäßige, dann abflauende Bise.

31. *Tiefdruckrinne über Mitteleuropa hinwegziehend.* Zeitweise Niederschläge beidseits der Alpen. Ausgenommen Graubünden wenig Sonne.

November

Ungewöhnlich geringe Sonnenscheindauer in den Niederungen der Alpennordseite charakterisierten den Monat. Der Westen und der Südwesten des Landes waren trocken, der Alpensüdfuß und die hohen Berggipfel wiesen zudem übernormale Temperaturen auf.

Temperatur: Niederungen und Alpennordseite ziem-

lich normal. Tessin und nördlichste Landesteile sowie Berggipfel übernormal.

Niederschlagsmenge: Nördlichstes Mittelland und Luzerner Gebiet 100—130%, Wallis um Visp—Zermatt 160—180%. Graubünden, oberer Tessin und Westschweiz 30—50%, übrige Landesteile meist 60—100%.

Zahl der Tage mit Niederschlag: Niederungen der Alpennordseite unternormal. Tessin übernormal.

Gewitter: keine.

Sonnenscheindauer: Oberhalb 1000 m Höhe 100 bis 120%, Mittelland unternormal: Neuchâtel ca. 10%, Nordostschweiz um 20%, Genferseegebiet und Juranordfuß 35—45%, Walliserhauptideal 65%, Tessin 75—80%.

Bewölkungsmenge: Höhere Berglagen 85—100%, Täler 120—130%.

Feuchtigkeit und Nebel: Zwischen 500 und 1200 m und im Wallis übernormal, darunter etwa normal, darüber in großer Höhe geringer als sonst.

Zahl der heiteren und trüben Tage: Heitere Tage mit Ausnahme der hohen Berggipfel unternormal (im Mittelland vielfach fehlend!). Trübe Tage in den Niederungen besonders nördlich der Alpen stark übernormal, im Hochgebirge etwas unternormal.

Witterungsablauf: Markanter Gegensatz zwischen der niederschlagsreichen, sonnenarmen ersten Monatshälfte und der trockenen Hochnebelperiode ab 14. mit sonnigem Wetter in höheren Berglagen.

1.—4. *Tiefdrucktrog in den höheren Luftschichten* über Mitteleuropa. Unbeständiges Wetter bei westlichen bis nordwestlichen Winden. Niederschläge besonders nördlich der Alpen, Hauptmenge am 3. (Säntis z. B. 40 mm). Am 1. noch Bise und in der Höhe kalt, dann mittlere Temperaturen. Niederungen 3.—5. warm.

5.—7. *Schwache Hochdruckbrücke* zwischen Azoren- und Rußlandhoch. Vorübergehende Abschwächung der Niederschlagstätigkeit nördlich der Alpen, dagegen am 5./6. im Tessin regnerisch und sonnenarm. Am 7. Hochnebel-lage: Alpengebiet, Alpensüdseite und Jura-gipfel sonnig.

8.—13. *Tiefdruckrinne* über Mittel- und Westeuropa, Zentrum allmählich gegen Italien wandernd. Sonnenarmes, niederschlagsreiches Wetter beidseits der Alpen, vom 9. an Abkühlung mit Schneefall am 11./12. bis auf 900 m hinunter, dann in der Höhe wieder Erwärmung. Übergang von Westwind zu Bise, besonders in den Bergen und in der Westschweiz.

14.—20. *Hochdruck auf dem Kontinent:* Kerngebiet meist über der Ostsee. Zähne Hochnebeldecke auf der Alpennordseite, Obergrenze anfangs um 1800 m, später bis 800 m absinkend. Darüber sonniges, klares und mildes Wetter, darunter feucht und sonnenarm bei meist leichten nordöstlichen Winden. Nur geringe lokale Niederschläge.

- 21.—25. *Hochdruckzone Balkan-Nordsee:* Auf der
 WL:33 Alpennordseite Hochnebel bis gegen 1200 m,
 darüber sonnig. Niederungen beidseits der
 Alpen meist bedeckt, am Alpensüdfuß zeit-
 weise leichte Niederschläge.
- 26.—30. *West-östliche Hochdruckbrücke über Mittel-*
 WL *europa:* Fortdauer der Hochnebelperiode.
 02 Alpensüdseite wieder trocken und zeitweise
 sonnig. Alpennordseite weiterhin Hochnebel
 bis gegen 1200 m. Niederungen Temperaturen
 um 0°, Höhen verhältnismäßig mild. (Tem-
 peratur Zürich 500 m und Säntis 2500 m von
 26.—28. ungefähr gleich hoch!).

Dezember

Auf der Alpennordseite traten hohe Temperaturen auf, wie sie z. B. in Zürich im Durchschnitt nur alle 11 Jahre erreicht werden. Die Sonnenscheindauer war im Nordosten wesentlich übernormal, im Westen dagegen unternormal. Südlich der Alpen sind die sehr großen Niederschlagsmengen und die starke Bewölkung bemerkenswert.

Temperatur: Mit Ausnahme des Alpensüdfußes starke positive Abweichungen ($1-1\frac{1}{2}^{\circ}$ in den Alpen, $2\frac{1}{2}-3\frac{1}{2}$ auf der Alpennordseite. In Zürich wird z. B. der Wert von 1958 durchschnittlich nur alle 11 Jahre erreicht.).

Niederschlagsmengen: Unternormal: größter Teil der Alpennordseite, mit Ausnahme der Gebiete nördlich Appenzell—Zug—Delsberg, und einzelner kleiner Berggebiete. Prozentual geringste Beträge am oberen Genfersee (50—60% um Vevey, sonst meist 70—90%). Übernormal: Ganze Alpensüdseite, sowie größte Teile des Wallis und von Graubünden. Besonders große prozentuale Beträge im Centovalli, Puschlav und Münstertal 270—340%, sonst meist 220—260%, gegen Norden abnehmend.

Zahl der Tage mit Niederschlag: Ähnliche Verteilung wie Niederschlagsmengen: unternormal nördlich der Alpen, dagegen übernormal im inneren Alpengebiet und auf der Alpensüdseite (Chur 16 Tage statt 10, Lugano 15 Tage statt 8), im Wallis dagegen teilweise unternormal.

Gewitter: nur vereinzelt in der West- und Südschweiz.

Sonnenscheindauer: große regionale Unterschiede. Unternormal in der Westschweiz, im Wallis und am Alpensüdfuß (60—80%), ebenso größtenteils in den Bergen (80—100%). Übernormal in den nördlichen Landesteilen (110—140%).

Bewölkungsmenge: Unternormal im Norden (Zürich—Basel—Schaffhausen um 90%). Übernormal in der Westschweiz, im Alpengebiet und am Alpensüdfuß (meist um 110%, im Tessin ca. 130%!).

Zahl der heitern und trüben Tage: Südlich der Alpen zu wenig heitere Tage, dagegen wesentlich mehr trübe Tage als üblich. Nördlich der Alpen eher unternormale Zahl der heiteren Tage, trübe Tage in der Westschweiz übernormal, im Nordosten unternormal.

Wind: in der ersten Monatshälfte häufig starke Winde.

Witterungsablauf:

- 1.—8. *Langgestreckter Hochdruck mit Achse W—E*
 WL *über Mitteleuropa:* Meist östliche Winde
 02 (Genf 2. und 3. kräftige Bise). In der Niederung kaltes, in der Höhe vom 4. an ziemlich mildes Wetter. Niederschläge geringfügig. Höhen und zeitweise auch Alpensüdfuß sonnig. Mittelland meist unter Hochnebel, anfangs Obergrenze um 1800 m, später auf 800 m sinkend.
- 9.—14. *Unbeständiges, zeitweise stürmisches West-*
 WL *windwetter:* Um die Monatsmitte sehr tiefer
 96 Luftdruck in Mitteleuropa. Häufige Niederschläge beidseits der Alpen. Sonnenarm. Mild.
- 15.—23. *Allmählicher Übergang von der West- zu*
 WL *Südwest- bis Südströmung:* Weiterhin unbe-
 55 ständig, Niederschläge hauptsächlich am Alpensüdfuß, vor allem 19.—22. (Lugano in 4 Tagen 160 mm, mehr als $\frac{2}{3}$ der Monatssumme). In den Alpentälern häufig, besonders am 15.—16., 18.—20. und 22. Föhn, Altdorf Windspitzen bis 34 m/sec. Beidseits der Alpen mit Ausnahme einzelner schöner Tage (18.) meist bedeckt. Sehr mild.
- 24.—26. *Tiefdruck über Italien und Südosteuropa:*
 WL Vorübergehend Übergang zu Bise, leichte
 11 Abkühlung in den tieferen Luftschichten, jedoch immer noch ziemlich mild. Anfangs Niederschläge, am 26. südöstliche Landesteile sonnig.
- 27.—31. *Erneut unbeständiges Westwindwetter:* Sehr
 WL mild. Anfangs nördlich der Alpen Nieder-
 66 schläge, 30. und 31. trocken und teilweise sonnig.

Dr. Max Schüepp

Monatswerte der wichtigsten meteorologischen Elemente 1958

	Höhe m	Januar	Febr.	März	April	Mai	Juni	Juli	August	Sept.	Okt.	Nov.	Dez.	Jahr
Temperatur in ° C														
Basel	317	1.1	4.6	2.4	6.5	15.2	16.0	18.7	18.6	16.3	9.4	4.4	3.0	9.7
La Chaux-de-Fonds	990	-1.2	1.7	-0.6	3.3	12.7	12.8	16.0	15.9	14.2	7.0	2.5	1.5	7.2
Zürich	569	-0.1	3.7	0.9	5.7	14.7	15.3	17.9	17.8	15.5	8.3	3.6	2.6	8.8
Bern	572	-0.7	3.0	1.2	5.8	14.7	15.1	17.8	17.8	15.8	8.2	3.4	1.8	8.7
Lausanne	589	0.7	4.3	2.7	6.8	15.3	15.5	18.4	18.3	17.0	9.0	4.5	3.4	9.7
Genève	405	1.5	5.4	3.7	7.5	15.8	16.9	19.6	19.3	17.5	9.5	5.5	4.4	10.5
Davos-Platz	1561	-6.7	-2.8	-5.2	0.2	9.5	10.1	12.8	12.6	10.5	3.0	-0.9	-3.7	3.3
Säntis	2500	-8.5	-7.1	-10.5	-7.0	3.2	2.7	6.3	6.8	5.5	-0.4	-2.8	-6.8	-1.6
Lugano	276	2.5	5.5	5.9	9.6	18.1	19.2	22.0	21.8	19.1	12.9	8.5	3.3	12.4

Abweichungen von den normalen Mitteln der Periode 1864-1940

Basel	317	1.2	3.1	-2.2	-2.2	2.2	-0.4	0.5	1.3	2.2	0.6	0.2	2.4	0.8
La Chaux-de-Fonds	990	1.4	3.3	-1.7	-1.7	3.1	-0.2	1.0	1.7	2.9	0.6	0.6	3.2	1.2
Zürich	569	1.4	3.7	-2.5	-2.0	2.6	-0.2	0.6	1.4	2.2	0.4	0.6	3.3	0.9
Bern	572	0.9	2.8	-2.2	-2.2	2.4	-0.5	0.1	1.1	2.1	0.3	0.4	2.6	0.7
Lausanne	589	0.7	2.8	-1.8	-1.7	2.4	-0.8	0.1	0.8	2.5	-0.2	-0.1	2.4	0.6
Genève	405	0.9	3.4	-1.6	-1.9	2.0	-0.8	0.0	0.7	2.7	-0.2	0.4	2.9	0.6
Davos-Platz	1561	0.3	2.6	-2.9	-1.9	2.5	-0.2	0.7	1.3	2.2	-0.4	0.4	2.0	0.6
Säntis	2500	0.2	1.7	-2.6	-2.2	3.6	-0.1	1.3	2.0	2.7	0.9	2.2	1.1	0.8
Lugano	276	0.2	1.5	-1.6	-2.1	2.3	-0.3	0.4	0.9	1.4	0.7	1.3	0.1	0.4

Niederschlag in mm

Basel	317	56	76	27	46	84	89	62	112	46	64	44	70	776
La Chaux-de-Fonds	990	152	200	76	87	121	144	119	127	54	113	58	93	1394
Zürich	569	69	198	48	112	104	207	136	191	91	118	66	92	1432
Bern	572	77	106	57	66	105	151	98	158	73	101	41	69	1102
Lausanne	589	103	99	42	56	106	171	61	171	109	122	55	78	1173
Genève	405	56	71	42	53	90	146	48	148	96	84	36	57	927
Davos-Platz	1561	91	127	42	63	48	137	172	125	77	188	19	62	1151
Säntis	2500	206	397	182	183	110	248	264	298	173	372	78	160	2671
Lugano	276	11	82	18	228	202	182	163	210	98	171	89	229	1683

Abweichungen von den normalen Summen der Periode 1864-1940

Basel	317	15	35	-26	-19	3	-9	-28	26	-32	-10	-15	18	-42
La Chaux-de-Fonds	990	46	105	-31	-39	-9	2	-16	-3	-63	26	-60	-37	-79
Zürich	569	15	146	-24	20	-6	76	3	64	-13	26	0	20	327
Bern	572	29	55	-9	-10	11	38	-14	50	-16	13	-27	5	125
Lausanne	589	45	40	-33	-20	14	72	-39	61	10	14	-30	-1	133
Genève	405	9	21	-21	-16	14	67	-30	52	11	-15	-43	-11	38
Davos-Platz	1561	32	74	-12	3	-22	30	37	-6	-15	118	-43	-4	192
Säntis	2500	-24	216	-9	68	-113	-32	-43	10	-50	179	-102	-78	-114
Lugano	276	-49	21	-97	66	10	-3	11	23	-77	-27	-47	149	-42

Sonnenscheindauer in Stunden

Basel	317	58	81	133	141	184	216	218	221	185	104	27	62	1630
La Chaux-de-Fonds	990	70	75	138	146	185	191	216	202	180	143	87	82	1715
Zürich	569	49	74	128	139	213	227	225	239	180	72	13	48	1607
Bern	572	54	82	136	141	210	230	263	241	195	79	18	35	1684
Lausanne	589	56	77	155	164	220	232	254	240	187	90	32	43	1750
Genève	405	25	86	143	162	215	248	261	254	204	87	17	30	1732
Davos-Platz	1561	106	72	144	143	190	176	189	193	204	113	103	64	1697
Säntis	2500	113	86	140	123	205	183	192	197	178	142	166	116	1841
Lugano	276	148	123	173	166	204	215	258	242	189	173	87	78	2056

Abweichungen von den normalen Summen Normalperiode meist 1886-1940, vergl. Anhang Annalen 1945

Basel	317	-6	-13	6	-6	-11	2	-15	-2	27	-5	-38	8	-53
La Chaux-de-Fonds*	990	-5	-21	16	18	16	5	5	-9	26	24	2	20	97
Zürich	569	1	-14	-6	-18	11	4	-19	9	18	-31	-40	12	-73
Bern	572	-4	-15	4	-12	10	7	14	2	23	-36	-45	-8	-60
Lausanne	589	-18	-37	3	-12	-5	-19	-12	-15	-1	-36	-43	-17	-212
Genève	405	-36	-19	-13	-28	-29	-25	-32	-21	4	-39	-50	-17	-305
Davos-Platz	1561	12	-37	-4	-8	18	0	-12	-10	38	-21	5	-19	-38
Säntis*	2500	1	-35	2	-4	53	42	31	26	25	-2	45	10	194
Lugano	276	23	-23	1	-9	-2	-27	-22	-24	-7	27	-22	-28	-113

* Sonnenscheindauer Säntis und La Chaux-de-Fonds wegen Apparatchwechsels nicht ohne weiteres mit den langjährigen Mittelwerten vergleichbar.

2. Chutes de grêle observées en Suisse pendant l'année 1958

par les observateurs des stations météorologiques et pluviométriques
de l'Institut Suisse de Météorologie à Zurich et par quelques observateurs bénévoles

Région	Janv.	Févr.	Mars	Avril				Mai				Juin							Juillet													
	7	11	30	1	4	17	25	6	11	15	27	28	30	2	3	4	7	9	18	19	21	22	23	1	2	3	4	7	11	14	15	
Pied nord du Jura	.	.	1	1	4		
Jura														I	2	2	I	.	.	I	I	.	
ouest		
est		
total	1	2	2	1	.	.	1	1	1	
Plateau														I	3	.	I		
ouest	.	3	I	3	.	I		
centre	2	I	I	I	2		
nord-est	I	I	3	2	3	I	.	.	.		
total	.	3	.	.	2	1	.	1	12	.	.	.	1	2	7	1	1	.	2	4	.	.	.	2	.	.	1	2	.	4		
Versant nord des Alpes														2	6	I	.	.	3	.	I	5
ouest	2	II	I	
centre	
est	I	I	.	.	.	I	
total	1	1	.	.	.	4	18	.	.	.	1	1	1	.	.	3	.	1	11	
Valais	1	.	.	.	6	1	.	.	.	I	.	.	.	4	
Grisons																																
nord et centre	
Engadine	2	
total	2	3	.	I	.	
Sud des Alpes	.	.	.	2	.	.	4	.	6	2	12	7	.	.	4	.	.	2	.	.	1	3	1	
totaux	1	3	1	2	2	1	4	1	21	2	15	8	1	8	37	1	1	2	3	9	1	4	1	4	2	19	2	9	1	2	20	
par mois	1	3	1	9				48				67							59													

Suite de la dite statistique

Région	Juillet					Août											Septembre						Oct.		Sommes					
	16	20	21	22	29	1	8	6	10	11	12	16	17	18	19	20	22	30	31	1	2	7	8	10		16	17	22	10	16
Pied nord du Jura	6
Jura																														
ouest	I	I	I	I	.
est	I	2	3	.	
total	2	3	1	.	.	1	4	.	30
Plateau																														
ouest	3	.	.	.	I	II
centre	.	4	.	.	I	.	2	.	.	2	I	.	.	.	5	32
nord-est	II	I	4	2	.	I	I	I	29
total	15	.	.	1	1	6	2	.	6	2	1	.	1	16	40
Versant nord des Alpes																														
ouest	.	2	.	.	.	3	I	36
centre	.	4	.	.	4	3	.	I	.	I	I	35
est	.	4	.	.	.	3	.	I	.	.	.	I	15
total	10	.	.	4	6	3	2	.	1	.	1	.	.	2	3	7	.	.	1	1	.	1	1	86
Valais	.	1	1	2	18
Grisons																														
nord et centre	I	3	.	2	I	I	18
Engadine	3
total	1	3	.	2	.	.	1	.	.	1	1	1	1	.	21	
Sud des Alpes	23	6	1	1	.	1	11	.	1	15	11	.	.	6	21	9	1	173	
totaux	24	32	1	1	5	8	24	6	6	23	13	3	1	7	42	10	1	3	18	1	3	1	2	1	1	1	2	6	1	435
par mois	59 + 63 = 122					165											12						7	435						

Monats- und Jahressummen der Niederschlagsmessungen sämtlicher meteorol. Stationen I.—III. Ordnung im Jahre 1958

Als Niederschlagstage werden für diese Tabelle nur die Tage mit mindestens 1.0 mm Niederschlag gezählt.
Die mit * bezeichneten Summen sind nach den Nachbarstationen interpoliert.

Stationen:	Höhe üb. Meer	Jan.	Febr.	März	April	Mai	Juni	Juli	Aug.	Sept.	Okt.	Nov.	Decz.	Jahr	Maxima	Zahl d. Tage	
A. Rheingebiet																	
I. Quellgebiet bis Bodensee																	
Sedrun (Tavetsch)	1418	89	156	59	86	185	68	154	180	81	241	71	113	1483	100	27. V.	153
Platta (Madols)	1378	58	91	33	94	222	71	141	210	76	233	65	111	1405	136	27. V.	140
Disentis	1173	84	148	52	107	194	100	129	181	81	215	67	118	1476	119	27. V.	153
Vial (Somvix)	ca 1270	48	96	30	95	199	103	145	225	91	234	53	118	1437	92	27. V.	144
Val	ca 1210	58	117	39	95	158	95	123	192	74	240	58	100	1349	80	27. V.	144
Surrhein	899	78	150	34	91	136	83	121	166	59	234	58	112	1322	70	27. V.	143
Panix	ca 1300	110	215	80	101	100	120	151	185	69	238	60	95	1524	47	16. II.	187
Vrin	1448	65	95	39	102	97	95	135	192	90	205	50	76	1241	51	1. X.	149
Vals	ca 1290	41	66	15	91	157	99	133	269	108	226	44	118	1367	82	27. V.	138
Ilanz	ca 715	73	140	37	64	80	67	117	124	52	204	33	84	1075	40	12. X.	135
Flims	ca 1085	153	217	90	118	90	105	141	140	86	253	49	97	1539	47	13. III.	158
Safien-Platz	1315	95	123	46	97	119	110	124	184	93	229	47	88	1355	62	12. X.	152
Hinterrhein	1620	70*	103	23	105	221	143	150	268	149	310	57	147	1746	108	27. V.	142
Splügen (Dorf)	1504	60	99	7	54	185	111	168	272	125	277	40	135	1533	94	27. V.	126
Avers am Bach	ca 1960	50	65	23	80	84	120	175	192	139	212	38	74	1252	50	21. IX.	125
Innerferrera	ca 1475	35	68	17	81	164	137	198	240	148	245	33	124	1490	70	12. X.	128
Andeer	ca 980	34	56	10	84	103	102	136	189	91	199	37	93	1134	55	12. X.	117
Thusis	687	56	86	23	86	80	94	130	158	67	186	34	68	1068	47	12. X.	127
Bivio	ca 1770	68	86	34	123	116	139	150	191	114	215	52	139	1427	55	1. X.	150
Marmorera (Staudamm)	ca 1695	74	77	30	97	93	144	162	187	118	223	43	88	1336	64	1. X.	149
Savognin	ca 1205	52	72	17	85	70	128	127	165	97	181	25	87	1106	45	12. X.	122
Weißfluhjoch	2540	144	192	64	75	48	136	231	184	85	199	23	94	1475	46	16. II.	163
Davos Platz	1561	91	127	42	63	48	137	172	125	77	188	19	62	1151	42	22. VII.	136
Preda	1796	57	78	44	77	84	147	148	182	121	166	41	93	1238	43	27. V.	145
Filisur	ca 1030	54	146	27	71	52	96	136	143	99	165	36	72	1097	46	22. VII.	121
Lenzerheide	ca 1460	71	99	35	57	80	133	149	136	80	185	22	48	1095	51	12. X.	130
Nisollas (Alvaschein)	ca 890	36	67	20	58	72	94	152	133	94	155	24	54	959	48	12. X.	114
Tomils	ca 790	55	111	34	64	68	104	149	141	59	185	31	65	1066	40	12. X.	126
Arosa	1818	104	163	63	116	87	177	211	158	98	232	33	91	1533	55	22. VII.	163
Tschierschen	1360	75	166	48	79	84	116	168	128	76	186	35	77	1238	44	22. VII.	145
Chur I	ca 645	52	163	37	56	64	89	118	123	60	168	21	80	1031	48	12. X.	124
Chur II	586	56	163	38	52	60	83	107	119	55	166	18	71	988	38	12. X.	125
Klosters (Aeuja)	ca 1200	132	228	81	114	59	149	166	155	100	215	32	95	1526	40	22. VII.	161
St. Antonien (Rüti)	1460	126	253	81	105	66	173	181	125	81	259	28	93	1571	68	17. X.	160
Schiers	ca 682	86	235	67	72	59	89	125	111	56	223	34	84	1241	42	21. II.	144
Schuders	1275	135	309	101	118	76	145	141	133	78	224	40	84	1584	—	—	—
Seewis	953	125	279	64	98	71	123	130	139	64	249	39	98	1479	56	16. II.	156
Plantahof b Landqu.	ca 530	65	194	49	97	58	98	106	116	49	213	28	90	1163	42	17. X.	135
Vättis	956	74	211	54	74	70	106	159	146	74	192	26	69	1355	55	16. II.	154
Bad Ragaz	510	73	204	46	116	63	125	115	124	61	202	41	83	1253	39	16. II.	140
Sargans	510	81	294	70	134	61	124	159	151	62	184	45	83	1448	60	17. II.	151
Sevelen	454	79	197	55	85	67	112	121	119	61	140	29	55	1120	41	17. II.	141
Vaduz (Lichtenstein)	495	54	113	41	87	67	125	125	122	66	150	34	56	1040	43	10. VI.	142
Haug	440	58	174	56	98	60	107	121	143	75	158	52	70	1172	33	17. II.	139
Altstätten	468	91	178	86	121	75	146	177	197	78	212	74	91	1526	58	2. VIII.	147
Widnau	404	74	115	58	101	72	127	134	153	98	155	67	73	1227	46	10. VI.	141
Heiden	811	84	161	70	146	83	142	191	168	71	171	87	84	1458	42	17. II.	152
II. Bodensee bis Basel																	
Rorschach	445	78	136	56	112	54	131	168	130	68	113	74	72	1192	44	17. II.	135
St. Gallen	664	93	161	69	137	71	159	160	142	77	152	92	80	1393	46	17. II.	146
Arbon	400	70	122	45	95	53	114	144	108	76	105	65	65	1062	35	16. IX.	137
Amriswil	ca 450	56	129	33	84	69	132	164	114	86	118	70	67	1122	36	3. VI.	136
Altnau	ca 434	64	165	24	71	79	111	124	110	74	103	55	81	1061	48	27. V.	128
Kreuzlingen	446	81	149	21	60	93	93	100	93	53	92	45	75	955	48	27. V.	130

Stationen:	Höhe üb. Meer	Jan.	Febr.	März	April	Mai	Juni	Juli	Aug.	Sept.	Ok.	Nov.	Dez.	Jahr	Maxima	Zahl d. Tage	
Ermatingen	ca 405	106	202	34	77	111	95	97	92	59	98	49	95	1115	51	27. V.	125
Haidenhans	694	89	157	26	91	107	120	91	105	55	88	64	91	1084	52	27. V.	131
Steckborn	ca 398	86	135	24	79	93	101	98	97	62	88	47	85	995	43	27. V.	131
Eschenz	ca 417	101	149	30	67	85	107	97	114	61	85	39	92	1027	47	19. VIII.	123
Thuyngen	ca 443	131	135	29	49	84	86	69	112	66	59	47	83	950	46	19. VIII.	122
Buch (Schaffhausen)	ca 425	99	121	26	49	81	87	76	93	51	61	49	74	867	42	19. VIII.	129
Dießenhofen	ca 398	108	160	36	51	85	106	76	129	60	73	55	88	1027	51	19. VIII.	133
Lohn (Schaffhausen)	643	130	130	31	50	79	102	71	100	71	54	45	89	952	40	19. VIII.	122
Merishausen	ca 524	144	164	34	60	89	96	70	142	89	68	51	105	1112	48	19. VIII.	127
Schaffhausen	451	106	147	34	53	85	102	76	121	64	69	50	79	986	42	19. VIII.	127
Neu-Rheinau	392	87	141	33	50	86	112	85	109	59	61	51	85	959	41	19. VIII.	130
Rheinau	356	76	137	32	50	82	99	76	118	56	55	45	82	908	42	19. VIII.	124
Flaach	368	97	159	38	62	88	123	104	143	60	72	56	96	1098	55	19. VIII.	124
Wil bei Rafz	405	97	197	44	60	79	136	105	141	62	79	48	93	1141	45	19. VIII.	138
Kaiserstuhl	339	89	193	40	72	68	98	84	130	55	62	42	86	1019	36	21. II.	127
Schleitheim	ca 490	132	149	37	66	73	99	73	130	72	48	34	94	1007	33	19. VIII.	128
Hallau	450	133	206	33	63	75	89	81	132	66	56	40	102	1076	40	6. II.	133
Wilchingen	420	129	233	35	70	97	108	94	154	71	59	45*	110*	1205	44	6. II.	136
Laufenburg	ca 315	126	256	39	64	73	134	104	131	64	99	57	96	1243	45	20. II.	135
Wilttau	404	131	202	45*	73	75*	135*	69	106	53	99	39	67	1094	42	16. IV.	126
Frick	355	108	225	48	75	62	152	70	134	47	87	45	93	1146	40	7. II.	137
Dornhof (Zuzgen)	580	56	150*	36	61	85	155	91	97	52	91	56	87	1017	42	27. V.	137
Möhlis	ca 310	87	158	41	63	81	138	87	117	54	73	52	90	1035	37	21. IX.	139
Wintersingen	420	92	124	48	86	87	147	95	99	47	93	57	79	1054	46	19. VI.	137
Rheinfelden	287	67	138	39	57	81	149	91	126	59	68	52	80	1007	38	21. IX.	128
Kilchberg	578	82	120	39	78	80	115	110	111	51	81	49	72	988	37	16. IV.	137
Böckten	385	83	111	37	67	90	95	97	100	49	77	61	71	938	44	27. V.	125
Eptingen	559	124	120	43	60	83	139	108	111	59	88	63	101	1099	34	21. IX.	148
Bennwil	520	99	131	42	80	71	107	106	95	45	83	55	90	1004	36	16. IV.	146
Waldenburg	522	112	173	53	96	78	116	182	131	54	95	69	97	1256	49	28. VII.	143
Lampenberg	540	71	145	39	71	84	104	106	97	48	79	55	84	983	41	27. V.	140
Roigoldswil	526	105	151	48	87	90	119	134	110	50	95	57	92	1138	41	27. V.	143
Liestal	311	91	107	36	67	94	129	95	85	57	84	53	89	987	44	27. V.	129
Arisdorf (Egghof)	ca 430	71	110	37	70	91	129	86	106	59	83	49	84	975	46	27. V.	129
Basel-Augst	265	54	84	34	49	88	129	91	111	60	70	46	81	897	39	21. IX.	120
Montier (Gorges de Court)	ca 585	—	—	—	—	—	—	86	111	51	88	49	95	—	—	—	—
Morvelier	ca 570	79	127	50	100	106	133	79	143	57	94	70	83	1122	55	27. V.	145
Bellelay	ca 930	140	185	75	106	112	135	89	99	54	118	57	67	1237	33	27. V.	150
Delémont I	418	77	98	45	100	92	106	100	135	50	72	52	60	987	55	31. VIII.	137
Delémont II	417	77	99	45	102	96	111	96	145	54	77	53	62	1017	64	31. VIII.	135
Seewen	544	76	106	35	98	94	121	108	92	53	92	57	76	1008	54	16. IV.	141
Grellingen	330	74	105	38	86	102	124	99	98	55	79	57	86	1003	50	27. V.	139
Pfoffingen	385	83	89	39	82	102	107	100	98	54	82	54	83	973	48	27. V.	131
Aesch (BL)	312	94	115	36	76	97	114	94	86	55	79	56	82	984	49	27. V.	131
Arlesheim	325	67	94	36	57	107	135	86	99	54	82	58	81	956	53	27. V.	142
Neue Welt	276	51	67	28	50	93	97	86	104	58	65	47	68	814	47	27. V.	126
Therwil	309	76	96	41	73	96	111	92	112	68	73	50	83	971	45	27. V.	129
Bruderholz	ca 345	60	79	33	49	92	94	81	121	57	70	48	72	856	47	27. V.	124
Basel-Binningen	317	56	76	27	46	84	89	62	112	46	64	44	70	776	46	27. V.	119
St. Chrischona	ca 520	63	69	39	48	102	116	90	114	50	80	57	70	898	54	27. V.	125
Wenkenhof	330	69	64	33	39	97	95	78	127	49	79	58	79	867	49	27. V.	123
Riehen	282	61	61	36	41	93	103	73	106	46	72	52	73	817	47	27. V.	124
Erlenpumpwerk	255	53	66	32	51	87	91	71	93	40	65	50	69	768	48	27. V.	121
Basel-Flughafen	268	54	61	24	21	88	84	68	85	29	50	46	54	664	43	27. V.	122

III. Thur

Wildhaus	1130	116	266	89	126	103	142	187	161	127	217	49	120	1703	47	17. II.	161
Starkenbach	891	179	398	114	200	124	177	217	191	109	242	52	137	2140	74	20. X.	160
Ebnat	649	168	413	104	190	99	233	189	250	146	220	58	136	2206	83	10. VI.	154
Ricken	ca 790	126	268	109	162	117	230	217	236	135	259	83	132	2074	91	10. VI.	158
St. Peterzell	ca 710	138	290	103	159	95	169	164	170	104	147	57	102	1698	52	10. VI.	151
Hosenruck (Nollen)	ca 705	93	175	61	127	108	172	196	197	96	163	102	84	1574	51	27. V.	152
Dogersheim	818	97	161	83	141	81	156	171	153	121	144	78	77	1463	47	17. II.	153
Herisau	773	103	187	82	163	70	160	207	170	91	142	86	81	1542	50	16. IV.	155
Flawil	609	103	191	61	144	86	145	169	169	103	122	80	86	1459	43	16. IV.	151
Säntis	2500	206	397	182	183	110	248	264	298	173	372	78	160	2671	74	17. II.	168
Urnäsch	ca 840	133	253	114	166	104	215	213	210	126	208	71	109	1922	75	10. VI.	150
Befang b. Hundwil	ca 860	122	220	121	182	118	262	204	212	126	208	77	108	1960	92	10. VI.	160
Appenzell	791	115	146	96	106	80	169	189	172	115	199	61	83	1531	65	10. VI.	160
Stein (AR)	786	98	160	73	148	83	191	184	191	90	173	88	81	1560	49	10. VI.	149
Schwäbrig	1156	104	173	109	165	98	181	239	220	116	216	88	108	1817	54	10. VI.	158

Stationen:	Höhe üb. Meer	Jan.	Febr.	März	April	Mai	Juni	Juli	Aug.	Sept.	Okt.	Nov.	Dez.	Jahr	Maxima	Zahl d. Tage	
Teufen	848	98	156	86	171	81	207	213	182	130	176	100	81	1681	58	10. VI.	148
Bischofszell	ca 515	73	139	51	125	81	148	169	167	92	115	78	72	1310	44	16. IX.	143
Sulgen	470	69	160	34	92	89	110	136	128	75	104	72	76	1145	45	27. V.	143
Weinfelden	429	64	130	24	84	100	114	125	123	59	93	62	79	1057	49	27. V.	132
Illhart	ca 540	75	133	15	58	92	116	118	113	52	89	58	67	986	49	27. V.	120
Müllheim	413	73	125	21	89	91	120	113	125	58	99	63	80	1057	46	27. V.	124
Dußnang	601	126	336	75	120	122	218	149	218	99	162	76	132	1833	56	27. V.	153
Eschlikon	ca 572	129	286	54	112	119	187	136	209	81	128	65	107	1613	59	27. V.	144
Wängi	ca 473	88	188	42	84	99	179	164	150	70	94	56	86	1300	49	10. VI.	135
Aadorf	ca 535	88	201	40	80	101	168	154	165	66	106	59	87	1315	50	10. VI.	142
Affeltrangen	485	73	126	33	80	101	134	158	130	69	104	65	79	1152	50	27. V.	137
Thundorf	ca 547	88	149	35	92	98	144	189	126	62	90	72	87	1232	46	27. V.	142
Frauenfeld	433	74	158	29	77	84	163	129	128	65	90	61	86	1144	59	10. VI.	138
Kalchrain	ca 580	62	106	21	71	82	143	92	114	55	99	51	72	968	66	10. VI.	128
Niederneunforu	457	79	120	28	71	84	121	90	122	55	75	49	78	972	51	19. VIII.	121
Andelfingen	ca 367	76	136	34	68	77	152	97	114	60	70	54	86	1024	49	19. VIII.	122

IV. Töss

Bauma	627	117	235	86	139	107	195	172	216	93	167	64	129	1720	63	10. VI.	152
Sternenberg	ca 880	104	243	67	139	107	205	166	232	97	177	70	82	1689	65	10. VI.	148
Kollbrunn	490	108	247	57	107	98	165	132	203	68	113	57	116	1471	57	19. VIII.	146
Effretikon	ca 512	81	165	48	94	92	190	123	213	71	118	57	94	1346	61	19. VIII.	142
Winterthur	490	88	210	45	83	95	149	123	159	70	92	56	88	1258	55	19. VIII.	147

V. Glatt

Grüningen	ca 500	85	210	62	120	99	154	167	186	105	160	54	76	1478	50	19. VIII.	140
Hinwil	ca 606	98	195	73	129	116	214	187	188	91	184	61	92	1628	64	10. VI.	148
Pfäffikon	ca 544	90	178	59	102	94	171	162	188	78	167	52	95	1436	49	19. VIII.	140
Uster	443	77	209	46	96	83	151	138	152	72	118	59	86	1287	56	19. VIII.	134
Zürich-Strickhof	512	60	145	42	81	89	166	119	170	77	95	53	78	1175	49	19. VIII.	130
Oerlikon	455	66	149	41	72	90	145	110	164	75	93	47	78	1130	49	19. VIII.	127
Reckenholz (Zeh-Am.)	443	65	162	33	59	86	122	119	143	68	98	50*	81	1086	44	19. VIII.	124
Kloten (Flughafen)	431	81	190	40	74	106	133	125	165	64	93	47	94	1212	55	19. VIII.	138
Dietsdorf	428	116	219	48	72	95	127	137	148	65	91	44	98	1260	44	19. VIII.	135
Bülach	402	92	159	40	68	84	107	118	147	61	64	42	86	1068	42	19. VIII.	121

VI. Limmat

Weißtannen	ca 998	118	275	111	115	79	127	167	157	84	201	49	93	1576	52	16. II.	160
Walensdorf	431	97	327	69	117	75	115	132	129	87	211	48	107	1514	55	16. II.	144
Walensdorfberg	ca 982	191	479	141	202	114	200	187	168	123	294	71	162	2332	87	16. II.	165
Obstalden	680	94	229	64	125	109	158	189	176	82	239	68	108	1641	52	17. X.	150
Auen (Linthal)	815	173	363	133	198	130	174	184	186	80	308	62	132	2123	105	16. II.	166
Urnerboden	ca 1350	129	284	102	120	138	156	202	256	123	241	66	99	1916	81	27. V.	175
Linthal	ca 685	189	418	125	182	137	170	199	201	80	351	79	139	2270	126	16. II.	166
Braunwald	ca 1190	208	498	157	183	122	168	195	208	81	296	74	142	2332	103	16. II.	172
Elm	962	140	347	107	178	107	140	189	197	97	284	58	121	1965	67	16. II.	169
Glarus	503	116	260	80	153	109	135	167	164	73	242	58	101	1658	48	17. II.	156
Ktöntal	ca 855	111	279	95	121	108	154	198	221	87	232	73	103	1782	61	16. II.	161
Weesen	423	120	212	107	143	126	195	178	219	73	238	57	108	1776	57	10. VI.	152
Schänis (Steinerriet)	415	100	179	86	152	108	159	175	216	110	177	65	86	1613	53	10. VI.	146
Doggen	410	90	147	86	129	110	154	166	203	108	179	65	80	1517	57	10. VI.	145
Hof Oberkirch b. Uznach	ca 468	111	201	98	149	107	182	187	210	122	200	68	105	1740	64	10. VI.	151
Innertal (Wärt'haus)	ca 910	152	325	141	205	145	236	217	236	123	270	91	120	2261	57	10. VI.	166
Vordertal	ca 760	125	283	134	180	134	206	194	216	111	226	91	111	2011	54	10. VI.	160
Rempen	ca 650	132	242	120	164	118	190	155	173	93	206	81	102	1776	63	10. VI.	153
Siebnen	ca 452	110	200	105	145	105	163	167	193	108	191	78	92	1657	57	10. VI.	147
Lachen	410	105	176	98	123	95	184	160	197	121	174	70	87	1590	64	10. VI.	148
Wald (Faltigberg)	908	134	249	114	183	118	199	218	221	133	227	74	131	2001	60	10. VI.	153
Bachtel	1110	104	159	100	134	62	203	196	221	148	220	63	98	1708	83	10. VI.	160
Werneishausen	690	99	195	80	133	113	216	180	211	103	183	62	101	1676	88	10. VI.	147
Rapperswil	410	92	183	79	127	99	158	181	196	119	185	73	84	1576	48	10. VI.	141
Männedorf	445	72	192	65	106	86	153	170	189	111	162	51	78	1435	49	17. II.	144
Wädenswil	ca 470	105	258	84	135	96	170	201	229	131	208	71	92	1780	54	17. II./19. VIII.	145
Horgen	ca 445	79	205	59	136	103	166	140	164	131	157	57	87	1484	57	16. IV.	138
Pfannenstiel	ca 805	91	157	82	117	99	152	190	215	117	168	58	96	1542	59	19. VIII.	148
Köenacht (Zürich)	412	72	180	59	99	99	163	132	158	91	115	40	83	1291	52	19. VIII.	140
Zollikon (Anst. f. Ep.)	460	71	223	48	91	96	183	106	150	77	113	44	91	1293	48	19. VIII.	136

Stationen:	Höhe üb. Meer	Jan.	Febr.	März	April	Mai	Juni	Juli	Aug.	Sept.	Okt.	Nov.	Dez.	Jahr	Maxima	Zahl d. Tage	
Wollishofen	463	74	159	49	94	95	194	122	152	86	109	43	66	1243	50	19. VIII.	140
Zürich MZA	569	69	198	48	112	104	207	136	191	91	118	66	92	1432	57	21. VI.	139
Zürich-Botan. Garten	411	84	221	51	100	100	190	109	165	81	113	46	90	1350	58	21. VI.	137
Oberiberg	1090	156	343	131	186	126	210	243	244	92	252	75	108	2166	52	17. II.	165
Sihlsee	ca 895	120	241	117	152	116	218	184	203	118	226	98	102	1895	64	10. VI.	153
Einsiedeln	914	124	248	125	158	105	198	172	189	115	224	83	93	1834	48	10. VI.	150
Schönenberg (Waldh.)	615	108	197	99	131	94	172	187	224	136	218	81	77	1724	59	19. VIII.	152
Sihlbrugg	540	84	146	75	120	105	203	229	202	113	191	83	87	1638	57	19. VIII.	152
Zürich-Albishof	450	69	159	46	87	95	196	109	166	80	104	46	74	1241	64	21. VI.	136
Allstetten	400	53	192	38	82	100	180	131	182	85	90	45*	80*	1258	41	21. VI.	140
Uetliberg (Bahnhof) . .	ca 810	39	87	32	87	102	196	111	164	84	103	50	48	1103	62	21. VI.	128
Waldegg (Uttikon) . . .	ca 625	68	159	54	96	106	186	131	170	83	110	59	80	1302	62	21. VI.	142
Dietikon	402	89	209	60	77	88	149	130	177	76	115	45	86	1301	47	19. VIII.	140
Oetfingen	ca 442	95	195	54	87	95	126	135	165	71	105	62	90	1280	37	21. IX.	135
Baden	387	89	173	47	72	74	130	127	157	61	89	36	81	1136	42	21. II.	136

VII. Reuß

Gütsch ob Andermatt . . .	2288	156	227	116	227	139	117	147	158	70	298	81	130	1866	94	1. X.	170
Andermatt	1442	103	200	109	144	154	109	139	166	87	247	74	125	1657	92	1. X.	159
Göschenen	1125	108	213	72	182	144	100	116	97	78	261	97	86	1554	70	1. X.	147
Gurtellen	739	70	188	66	131	118	99	116	188	76	252	72	90	1466	92	1. X.	150
Aldorf II	451	67	182	72	130	92	136	152	179	84	234	79	77	1484	74	1. X.	149
Aldorf I	456	64	166	75	129	85	134	148	160	76	220*	75*	75*	1407	—	—	144
Isental	ca 778	114	182	117	150	107	162	154	261	84	262	84	75	1752	66	31. VIII.	155
Muotatal	ca 610	162	303	142	203	138	230	189	215	80	288	74	114	2138	58	10. VI.	165
Schwyz	520	126	303	121	175	119	209	186	242	77	251	87	86	1982	60	1. X.	160
Sattel	ca 785	128	240	117	177	108	184	166	180	81	243	87	85	1796	51	1. X.	141
Weggis	440	76	77	92	125	92	195	142	190	94	185	80	56	1404	69	10. VI.	136
Rigi-Kaltbad	ca 1490	129	151	119	191	128	278	201	226	110*	242	104	82	1961	80	10. VI.	155
Rigi-Kulm	1775	166	265	197	228	107	252	221	202	102	244	93	70	2147	72	10. VI.	161
Küsnacht am Rigi	436	63	84	86	109	100	193	153	188	96	169	81	53	1375	46	10. VI.	135
Engelberg	1018	130	201	121	174	123	181	212	213	118	198	88	78	1837	40	17. II.	173
Stans	ca 455	80	121	83	121	95	179	150	161	94	195	93	57	1429	40	12. X.	139
Bürgenstock	ca 855	95	121	102	153	107	185	132	185	101	184	112	73	1550	46	10. VI.	153
Lungern	ca 735	154	338	124	121	89	150	138	217	144	158	74	76	1783	68	21. II.	154
Melchtal	823	89	161	127	146	103	182	157	224	113	202	90	73	1667	37	10. VI.	152
Sarnen	479	58	102	85	97	83	122	151	227	100	139	64	55	1283	51	31. VIII.	138
Pilatus-Kulm	2068	96	220*	120	203	76	196	148	210	116	247	107	103	1842	51	2. VIII.	163
Luzern (Wesemlin)	498	63	62	86	118	65	162	168	196	101	126	72	50	1269	52	10. VI.	144
Luzern (Reg.-Geb.)	435	63	79	76	127	64	170	159	189	95	122	64	51	1259	54	10. VI.	139
Flühli	ca 885	120	267	88	150	78	226	159	242	116	191	76	89	1802	46	10. VI.	155
Entlibuch	725	121	213	94	146	77	204	127	210	125	136	67	67	1587	48	10. VI.	142
Ruswil	635	74	—	63	—	—	—	—	163	105	—	60	—	—	—	—	—
Werthenslein	585	82	120	73	123	69	195	146	165	98	110	75	48	1304	64	10. VI.	141
Eigentäl (Buchsteg)	1006	154	194	141	201	119	209	158	236	116	208	116	90	1942	52	10. VI.	160
Morgarten	726	116	210	108	170	89	161	150	151	88	226	76	76	1621	46	17. II.	149
Unterägeri	ca 742	72	129	88	116	82	161	153	178	98	198	73	61	1409	46	19. VIII.	146
Lorzentobel	536	79	142	71	120	107	199	231	221	125	213	91	82	1681	58	19. VIII.	147
Walchwil	449	74	112	81	115	96	258	178	207	135	201	91	59	1607	91	10. VI.	144
Zug	ca 415	66	105	76	106	93	196	210	190	107	164	72	66	1451	59	1. VII.	145
Ebertswil (b. Hagen a. Alb.)	ca 630	75	125	72	121	94	186	192	183	119	176	26-	82	1507	50	10. VI.	155
Mettmenstetten	483	58	101	70	91	91	175	165	171	113	145	60	85	1325	55	19. VIII.	134

VIII. Aare

Grimsel-Hospiz	1959	287	500	314	494	215	126	142	163	88	341	129	202	3001	87	22. II.	188
Guttannen	1058	142	305	180	242	142	131	164	198	123	286	110	119	2142	62	17. II.	177
Gadmen	ca 1210	137	296	103	165	121	178	251	218	114	224	83	134	2024	58	17. II.	171
Moiringen	605	98	243	119	114	105	131	167	159	155	206	74	100	1671	48	16. II.	152
Brionz (Kienholz)	ca 575	120	261	85	113	73	129	119	200	113	163	75	84	1535	58	6. I.	150
Grindelwald	ca 1040	75	199	66	109	92	125	152	165	102	186	98	67	1436	54	16. II.	149
Kl. Scheidegg	2061	83	202	88	179	111	139	172	191	145	225	101	78	1714	54	16. II.	171
Mürren	1639	80*	195*	80*	125*	93	112	130	165	106	190	115	74	1465	—	—	151
Lauterbrunnen	790	80	187	72	83	58	97	130	189	122	150	90	64	1322	57	16. II.	144
Interlaken	574	101	240	91	100	73	118	167	151	105	160	80	74	1460	49	17. II.	149
Beatenberg	1183	111	246	102	156	100	155	167	204	125	205	98	92	1761	47	2. VIII.	151
Kanderstog	1176	95	164	73	109	79	115	160	169	116	145	89	63	1377	43	17. II.	149
Engstligenalp	1955	132	276	145	258	123	190	238	207	146	182	118	97	2112	69	16. II.	176
Adelboden	ca 1340	137	216	99	121	89	145	161	170	138	150	81	82	1589	62	16. II.	157
Frutigen	ca 890	101	191	97	79	93	143	158	160	140	149	67	72	1450	55	16. II.	142

Stationen:	Höhe üb. Meer	Jan.	Febr.	März	April	Mai	Juni	Juli	Aug.	Sept.	Okt.	Nov.	Dez.	Jahr	Maxima	Zahl d. Tage	
Kiental	ca 980	108	163	84	133	91	145	154	181	121	139	74	69	1462	47	10. VI.	151
Hondrich	ca 760	102	116	88	108	101	161	143	227	141	149	65	71	1472	51	21. IX.	145
Zweissimmen	ca 955	160	275	96	78	114	139	124	139	104	120	64	104	1517	50	16. II.	144
Boltigen	ca 855	85	278	93	77	111	149	132	143	92	142	64	73	1439	60	16. II.	138
Alp Kiley	ca 1375	170	360	98	129	118	170	158	209	141	144	80	122	1899	72	16. II.	157
Grimmialp	1214	217	344	182	85	111	169	156	196	123	134	71	90	1878	75	21. II.	147
Wimmis	ca 635	114	177	104	160	92	180	181	200	145	149	72	64	1638	56	17. IX.	139
Heiligenschwendi	1126	75	102	87	139	77	138	125	151	106	143	61	53	1257	43	21. IX.	138
Thun	560	53	59	59	94	86	132	116	148	88	111	58	45	1049	43	27.V./10.VI.	120
Schwarzenegg	ca 920	63	92	72	114	82	182	104	174	103	144	60	43	1233	55	10. VI.	132
Großhöchstetten	ca 743	91	104	78	89	95	225	124	197	124	173	70	51	1421	108	10. VI.	119
Belp	520	94	108	69	94	99	129	85	142	82	101	45	63	1111	56	27. V.	131
Bern	572	77	106	57	66	105	151	98	158	73	101	41	69	1102	65	27. V.	123
Lauenen	ca 1200	152	243	81	89	116	193	166	138	120	149	66	88	1601	48	16. II.	151
Gsteig bei Saanen	1188	201	303	113	109	104	167	145	165	113	153	48	81	1702	73	6. I.	144
Saanen (Solsana)	1155	102	239	56	62	73	161	154	152	103	127	73	79	1381	63	16. II.	132
Rougemont	1003	113	291	76	57	93	153	132	187	110	150	76	90	1528	84	16. II.	138
Château-d'Oex	994	135	203	78	64	112	189	129	187	103	138	66	88	1492	48	16. II.	145
L'Etivaz	ca 1140	148	274	92	76	105	180	118	197	165	139	90	103	1687	—	—	—
Jaun	1020	153	322	114	147	104	199	164	180	124	196	88	101	1892	73	16. II.	149
La Valsainte	1015	127	166	115	121	112	223	167	241	139	204	83	80	1778	65	10. VI.	137
Marsens	721	127	119	73	87	88	168	87	154	143	141	47	83	1317	54	17. IX.	132
La Roche	750	113	111	60	114	90	158	142	185	126	145	58	57	1359	52	21. IX.	137
Romont	764	115	127	50	73	97	140	82	130	108	122	43	87	1174	42	10. VI.	140
Freiburg	ca 677	65	70	49	71	73	129	104	121	100	115	45	49	991	41	21. IX.	128
Gauglera	921	90	98	62	100	108	184	129	197	125	145	61	61	1360	62	21. IX.	128
Schwarzenburg	795	107	92	90	96	96	145	116	156	105	124	51	60	1238	53	27. V.	130
Wahlendorf	ca 755	118	151	56	80	107	159	133	164	97	132	60	87	1344	62	27. V.	133
Aarborg	ca 450	99	180	39	40	80	102	104	109	68	102	48	78	1049	42	27. V.	115
Rossenges	ca 700	150	146	52	68	108	134	88	120	94	113	46	124	1243	42	21. IX.	137
Moudon	515	123	119	50	61	99	132	76	101	83	109	32	106	1091	37	21. IX.	127
Payerne	ca 450	82	99	47	51	113	125	93	107	58	115	30	60	980	36	14. V.	125
Avenches	474	64	86	36	47	66	115	85	59	58	106	32	45	799	32	21. IX.	117
Kerzers	434	93	92	33	36	86	122	81	118	80	110	39	85	975	42	21. IX.	126
Witzwil	432	99	88	35*	34	91	112	86	104	66	115	40	65	935	37	21. IX.	118
La Cure	1170	235	276	132	84	132	229	172	227	106	206	68	158	2025	67	6. I.	157
Le Sentier	ca 1020	149	231	90	72	122	140	106	153	117	161	53	99	1493	45	21. II.	158
Le Pont	1008	169	179	78	77	106	149	111	161	58	147	47	92	1374	43	16. V.	150
Vallorbe-Reposoir	920	187	214	66	99	107	170	123	158	79	176	83	145	1607	44	6. I.	156
Vallorbe-Village	ca 785	156	176	87	84	104	151	122	129	65	146	52	100	1372	45	16. V.	149
L'Abergement	ca 645	149	211	79	47	134	146	81	103	43	112	59	81	1245	44	14. V.	130
Valleyres-s.-Rances	ca 505	109	124	52	40	113	113	86	96	44	86	42	69	974	36	14. V.	122
Bochuz	437	116	88	39	34	114	125	72	113	62	86	39	59	947	39	14. V.	127
Echallens	618	140	117	47	56	135	140	69	175	128	104	48	108	1267	52	14. V.	122
Corcelles-sur-Chavornay	560	132	107	47	48	110	134	76	150	61	91	50	74	1080	35	27. V.	125
Yverdon	433	87	111	38	38	90	147	96	103	66	86	49	54	965	46	20. VI.	115
Thierrens	770	101	102	44	65	89	151	68	118	124	101	35	85	1083	43	17. IX.	133
Baulmes	ca 660	174	208	86	78	125	144	95	139	41	135	63	103	1391	41	6. I.	139
La Frétaz pr. Bulle	1193	164	230	80	88	119	195	128	150	76	155	83	98	1566	42	6. I.	143
Chasseron	1601	211	365	182	153	169	180	181	176	133	188	102	153	2193	70	16. II.	172
L'Auberson	ca 1102	191	230	102	98	116	189	182	172	67	173	84	118	1722	55	7. VII.	161
St-Sulpice	ca 750	199	301	114	87	149	151	139	204	114	171	75	118	1822	50	31. VIII.	165
Couvet	ca 750	130	203	77	59	128	143	113	209	127	141	50	88	1468	75	31. VIII.	151
Combe-Garot	532	155	205	82	57	112	143	92	131	115	133	41	121	1387	45	16. V.	142
Grandchamp-Areuse	438	163	160	58	41	86	114	83	91	65	116	43	103	1123	36	6. I.	129
La Brévine	1043	108	200*	84	81	152	166	129	182	141	143	55	105	1546	51	6. I.	153
Les Ponts-de-Martel	1056	174	208	93	90	142	152	104	137	88	165	66	125	1544	41	16. V.	159
Cernier	790	159	243	78	63	83	138	95	101	49	151	65	99	1324	35	6. I.	153
Neuchâtel	487	125	113	45	29	92	93	65	96	57	101	39	75	930	31	21. IX.	130
Hauterive	ca 475	105	107	43	34	94	97	58	101	56	107	43	71	916	32	21. IX.	128
Chamont	1141	117	184	67	50	95	121	78	95	61	119	57	108	1152	32	27. V.	139
Biel	436	163	223	57	32	92	95	92	127	65	103	48	103	1200	50	6. I.	128
Evilard (Leubringen)	ca 725	224	313	108	48	120	114	96	115	61	121	60	147	1527	66	6. I.	139
Mont-Soleil	ca 1180	152	230	132	111	132	166	96	142	55	162	64	95	1237	44	16. V.	158
Courtelay	692	137	229	68	79	139	159	92	113	55	135	53	109	1368	48	16. V.	142
Weissenstein	1285	130	131	65	—	90	141	114	—	—	—	—	—	—	—	—	—
Solothurn	470	161	234	60	46	82	149	138	148	68	131	59	113	1389	39	6. I.	131
Marbach	ca 875	124	238	123	201	103	238	193	255	115	215	75	80	1960	55	10. VI.	159
Escholzmatt	ca 910	113	202	86	153	94	238	133	279	107	180	69	68	1722	65	10. VI.	159
Langnau I. E.	692	91	150	71	117	91	176	129	206	115	133	47	63	1389	62	10. VI.	138

Stationen:	Höhe üb. Meer	Jan.	Febr.	März	April	Mai	Juni	Juli	Aug.	Sept.	Okt.	Nov.	Dez.	Jahr	Maxima	Zahl d. Tage	
Riedbad	913	161	292	141	218	116	277	168	251	141	202	110	91	2168	73	10. VI.	157
Kurzencalp	894	147	188	105	166	98	211	135	262	119	170	90	77	1768	93	31. VIII.	146
Wasen i. E.	ca 755	96	139	75	132	93	160	122	234	116	133	100	69	1469	80	31. VIII.	149
Affoltern i. E.	796	61	95	58	90	96	141	102	197	100	108	65	67	1180	49	31. VIII.	134
Burgdorf	525	77	106	49	69	81	112	109	136	91	98	47	61	1036	46	27. V.	117
Gerlafingen	451	124	174	55	41	92	131	94	135	69	94	56	89	1154	45	27. V.	133
Herzogenbuchsee	464	98	165	48	54	70	143	83	200	87	108	47	70	1173	63	31. VIII.	128
St. Urban	454	126	188	53	62	75	174	155	157	80	106	45	80	1301	39	1. VII.	139
Luthern	762	110	206	87	137	90	140	126	170	94	132	53	80	1425	47	16. IV.	144
Wauwilermoos	504	105	168	60	85	73	136	113	142	100*	92	47	84	1205	41	6. VIII.	137
Zofingen	435	112	188	43	66	63	188	135	137	101	97	47	80	1257	56	21. VI.	142
Herbetswil	524	129	139	44	65	100	104	95	159	56	130	43	103	1167	42	6. VIII.	128
Langenbruck	740	104	183	54	81	74	148	126	164	58	110	64	85	1251	34	27. V.	137
Balstal	497	97	114	38	66	77	112	103	144	73	105	41	80*	1050	42	6. VIII.	131
Allerheiligenberg	ca 890	102	170	55	82	79	137	144	171	64	112	54	101	1271	35	24. XII.	147
Olten	391	102	176	52	90	74	120	142	132	61	99	46	81	1175	57	16. IV.	135
Barmelweid	ca 770	95	164	50	66	74	118	126	116	54	106	50	75	1094	30	21. IX.	129
Aarau	408	73	115	37	47	69	111	128	181	72	95	39	72	1039	35	6. VIII.	140
Kölliken	430	113	200	48	62	73	141	145	188	89	92	46	87	1284	42	11. VIII.	136
Beromünster	ca 640	80	113	61	90	67	176	114	158	110	109	75	56	1209	45	10. VI.	141
Unterkuim	ca 470	112	170	54	86	67	181	174	171	93	99	53	82	1342	75	21. VI.	135
Aesch (Luzern)	484	94	143	57	105	69	161	174	167	111	91	59	70	1301	51	10. VI.	135
Seengen	468	98	154	52	92	70	189	249	154	91	97	44	76	1366	62	1. VII.	137
Muri (Aargau)	469	71	148	53	93	82	142	151	160	95	101	52	63	1211	48	10. VI.	127
Unterbözberg	514	93	177	42	82	63	119	81	139	35	73	43	55	1002	37	6. VIII.	119
Schinznach-Dorf	ca 365	91	210	48	69	60	120	111	157	56	71	41	70	1104	41	21. II.	135
Brugg	ca 345	73	160	45	69	68	137	101	145	56	79	34	81	1048	37	6. VIII.	130
Beznau	326	112	227	43	58	59	127	102	139	51	62	39	89	1108	42	21. II.	135
Oberweningen	475	64	155	34	63	76	122	103	155	59	74	46	72	1023	36	19. VIII.	131

B. Rhonegebiet I. Rhone und Genfersee

Oberwald	ca 1370	137	345	114	124	169	122	108	153	87	211	93	189	1852	81	19. VIII.	165
Reckingen	1332	93	229	54	81	132	74	84	167	89	152	93	126	1374	101	19. VIII.	135
Fiesch	ca 1060	105	178	61	71	89	20	65	87	61	106	115	96	1054	71	19. VIII.	109
Binn	ca 1415	71	149	27	98	140	47	54	166	96	177	92	118	1235	130	19. VIII.	121
Saus-Fee	ca 1785	65	108	24	54	96	43	58	114	64	58	101	100	885	64	19. VIII.	112
Zermatt	ca 1610	47	132	38	37	54	44	44	88	32	63	82	94	755	57	16. II.	105
Grächen	1617	41	75	18	24	40	40	35	62	37	31	77	71	551	25	31. VIII.	98
Visp	ca 650	72	129	32	23	22	21	36	27	30	57	100	61	610	40	12. XI.	88
Kippel	ca 1376	130	235	71	44	80	59	71	68	65	120	91	137	1171	50	16. II.	132
Leukerbad	1391	170	350	86	53	90	93	109	101	137	122	71	180	1562	73	23. II.	134
Varon	ca 750	66	156	40	22	67	50	84	68	61	64	74	69	821	35	16. II.	101
Chippis	522	52	135	30	9	55	45	47	58	52	35	43	53	614	28	16. II.	96
Sierro	ca 565	66	168	39	13	60	50	51	63	54	45	45	59	713	29	21. II.	97
Montana (Lac d'Y-cour)	1509	107	218	59	36	89	81	71	91	68	84	56	117	1077	39	16. II.	127
Montana (La Moubra)	1453	106	212	63	29	91	88	72	85	66	82	69	100	1063	39	16. II.	125
Grimentz	ca 1565	103	140	58	44	62	74	72	81	66	94	39	63	896	—	—	126
Dixence	ca 2180	65	102	33	42	82	96	118	76	73	83	54	86	910	27	19. VIII.	137
Hérémece	ca 1205	70	133	29	12	76	75	63	77	78	51	33	61	758	41	16. II.	101
Sion	549	60	122	28	10	63	55	62	73	47	52	32	78	682	32	16. II.	97
Sion-Aérodrome	483	59	112	21	6	61	50	55	38	47	48	31	76	604	31	16. II.	94
Cleuson	ca 2120	95	158	46	38	92	100	90	115	91	85	48	97	1055	40	16. II.	145
Bagnes (Montagnier)	840	114	137	53	51	87	86	69	79	82	86	52	83	979	52	16. II.	131
Grand-St-Bernard	2479	238	340	160	212	228	232	114	111	109	221	169	306	2440	85	27. V.	173
Bourg-St-Pierre	ca 1620	—	—	—	—	—	—	—	—	—	—	—	—	—	—	—	—
Orsières	ca 885	111	161	41	25	66	60	66	70	61	82	49	78	870	55	16. II.	116
Martigny-Ville	471	119	139	52	24	54	61	56	129	69	63	23	83	872	66	2. VIII.	110
Barberine (Château d'Eau)	1822	221	400	179	86	108	179	128	233	142	141	67	188	2072	70	2. VIII.	165
Le Châtelard	ca 1130	165	194	74	50	80	123	100	197	123	89	52	126	1373	60	2. VIII.	144
Les Marécottes	ca 1040	221	227	126	67	76	123	73	123	91	87	50	124	1888	59	6. J.	132
Salanfe	ca 1930	119	191	60	43	80	163	105	171	147	92	50	80*	1301	76	21. IX.	145
Gryon	ca 1145	131	254	124	134	96	190	122	177	113	143	105	66	1655	56	16. II.	156
Les Plans	1080	127	266	111	174	96	181	223	164	105	167	82	78	1774	71	16. II.	147
Bex	427	78	155	79	68	74	142	102	137	104	112	46	59	1156	37	21. IX.	134
Val d'Illiez	ca 870	149	199	72	86	82	158	175	176	110	106	50	86	1449	42	21. IX.	146
Monthey	ca 405	88	158	72	57	72	136	95	130	109	84	36	66	1103	34	27. V.	126
Les Diablerets	1157	176	319	114	99	120	195	172	164	110	143	66	115	1793	58	16. V.	139
Leysin	1350	105	260	103	84	96	184	140	163	104	161	62	87	1549	52	10. VI.	144
Chessel	380	114	231	82	72	80	148	105	109	108	99	41	72	1261	50	21. IX.	125

Stationen:	Höhe üb. Meer	Jan.	Febr.	März	April	Mai	Juni	Juli	Aug.	Sept.	Okt.	Nov.	Dez.	Jahr	Maxima	Zahl d. Tage	
Rochers-de-Naye	1982	255	218	118	81	136	288	236	279	177	147	71	44	2050	70	10. VI.	169
Montroux-Clarens	408	86	147	61	79	79	187	144	195	114	138	51	49	1330	60	10. VI.	139
Vevey	ca 386	94	135	52	72	74	157	92	215	123	118	33	43	1208	63	31. VIII.	129
Tour de Gourze	ca 915	117	144	50	77	93	211	96	184	149	121	48	72	1362	74	21. IX.	128
Riex	445	116	168	49	78	106	252	93	177	157	130	50	83	1459	94	10. VI.	123
Pully	461	112	111	43	60	116	221	76	226	140	120	54	82	1361	72	10. VI.	125
Lausanne	589	103	99	42	56	106	171	61	171	109	122	55	78	1173	48	21. IX.	125
Cossonay	ca 565	135	115	37	46	134	136	64	116	82	82	38	91	1076	55	14. V.	114
Morges	ca 390	133	128	40	47	115	140	55	124	104	88	38	86	1098	41	27. V.	117
Marcelin s. Morges	425	133	138	44	49	123	132	51	137	108	105	32	83	1135	45	27. V.	114
Longirod	883	171	173	70	51	113	170	84	130	85	97	45	103	1292	50	16. V.	137
Nyon	ca 390	142	143	47	41	102	146	49	156	92	102	39	86	1195	78	6. I.	121
Céligny	ca 432	120	151	66	49	118	162	55	138	84	92	41	86	1162	45	21. IX.	115
Genève (Observatoire)	405	56	71	42	53	90	146	48	148	96	84	36	57	927	48	19. VIII.	115
Jussy	ca 465	57	70	46	53	90	145	55	131	107	96	32	48	930	49	19. VIII.	117
Compesières	ca 474	66	66	48	66	88	190	55	164	116	64	40	56	1019	46	19. VIII.	120
Genève-Cointrin	425	78	104	51	39	83	137	56	150	97	78	40	78	991	55	21. IX.	114

II. Doubs

Les Brenets	ca 875	132	220	99	88	118	144	128	114	61	181	78	103	1466	42	27. V.	160
Le Locle	ca 920	184	238	103	105	134	143	125	125	67	164	51	116	1552	43	27. V.	163
La Chaux-de-Fonds	990	152	200	76	87	121	144	119	127	54	163	58	93	1394	42	6. I.	159
Saignelégier	980	141	220	95	104	128	152	142	116	51	145	45	96	1435	35	27. V.	148
Fahy	596	85	119	54	92	114	136	128	102	67	71	66	72	1106	35	21. IX.	148
Mormont	548	109	149	58	93	105	137	86	86	67	59	60	74	1083	33	27. V.	133

C. Pogegebiet I. Tessin

St. Gotthard	2095	196	285	153	360	311	132	217	278	160	343	139	314	2888	107	19. VIII.	199
Airolo	ca 1170	78	165	62	127	334	125	203	368	123	228	88	189	2090	147	27. V.	147
Lago di Tremorgio	1849	77	110	42	122	332	142	187	346	147	269	77	178	2029	170	27. V.	147
Olivone	ca 930	28	124	25	109	157	121	140	200	96	191	40	253	1484	63	27. V.	128
Comprovasco	544	27	67	19	116	174	82	115	243	94	179	32	207	1355	76	27. V.	113
Biasca	293	19	111	14	136	227	103	154	283	168	243	47	242	1747	109	21. VIII.	114
S. Bernardino-Vill.	1620	73	107	38	106	236	150	156	287	217	259	47	183	1859	106	27. V.	134
Mesocco	ca 795	23	88	30	133	218	139	132	264	255	218	38	225	1763	91	21. IX.	112
Bruggio	1332	30	56	24	137	166	134	194	217	189	243	60	168	1618	98	21. IX.	113
Grono	357	14	70	15	160	160	149	144	270	142	173	62	136	1495	74	27. V.	110
Bellinzona	230	9	86	16	163	201	146	200	287	144	188	67	211	1718	75	27. V.	110
Locarno-Aeroporto	198	5	97	13	209	267	136	144	342	154	293	83	280	2023	120	12. X.	111
Frasco	ca 890	32	109	30	176	280	133	152	370	166	226	86	245	2005	122	27. V.	134
Vira (Gambarogno)	ca 210	8	92	12	199	228	148	150	313	137	235	79	235	1836	92	12. X.	118
Fusio	ca 1280	56	107	30	120	277	114	185	306	105	239	84	195	1818	129	27. V.	129
Cevio	418	27	103	22	160	260	117	167	317	130	275	99	229	1906	142	1. X.	123
Bosco-Curin	ca 1510	71	133	61	206	268	141	162	276	165	239	140	241	2103	102	27. V.	136
Mesogno	ca 790	13	88	33	202	257	90	195	501	183	334	120	277	2293	158	19. VIII.	111
Camedo	ca 570	7	86	19	233	318	93	219	450	176	465	123	287	2476	204	1. X.	116
Locarno-Muralto	244	10	86	16	191	224	128	138	478	148	315	92	243	2069	105	21. VIII.	122
Locarno-Monti	379	8	87	12	185	223	114	119	479	146	300	84	230	1987	110	21. VIII.	118
Ascona	ca 203	10	86	13	192	227	120	123	496	140	359	89	245	2100	148	12. X.	111
Brissago	ca 280	11	96	15	201	286	166	167	507	174	427	111	271	2432	185	21. VIII.	113
Mezzana	339	16	89	17	239	118	131	114	110	50	161	88	218	1351	70	22. VII.	97
Monte Brè	910	12	76	23	215	202	176	175	147	107	167	81	223	1604	70	21. XII.	109
Pregassona	ca 350	7	77	16	234	207	187	181	233	87	180	85	216	1710	75	27. V.	97
Lugano	276	11	82	18	228	202	182	163	210	98	171	39	229	1683	85	27. V.	107
Piandazzo (Val Colla)	1604	29	87	38	243	207	244	213	281	139	246	100	220	2047	75	12. X.	123
Crana-Torricella	1002	11	131	20	295	242	240	126	300	194	302	110	293	2264	93	12. X.	119
Foscoggia	ca 855	11	101	20	238	203	219	134	255	137	238	105	248	1909	95	1. VIII.	116
Ponte Tresa	274	11	104	16	222	166	156	133	159	71	203	101	236	1578	75	21. XII.	95
Simplon-Bleike	1484	—	—	—	—	—	—	—	—	—	—	—	—	—	—	—	—

II. Adda

Bornina (Lago Bianco)	2240	127	169	73	188	175	150	162	162	132	197	76	263	1874	72	27. V.	143
Cavaglia	ca 1705	51	115	31	116	139	139	131	168	132	134	54	263	1473	63	27. V.	120
Braitia (La Rüsa)	1700	48	100	29	127	119	132	111	148	123	147	48	266	1398	54	27. V.	122
Robbia (San Carlo)	1079	28	64	12	94	96	119	95	163	100	103	35	236	1145	44	27. V.	103
Miralago	964	10	61	11	108	71	102	102	129	94	101	33	140	962	45	1. X.	93
Brusio (Piazzo)	ca 840	9	55	14	105	58	108	100	134	84	104	32	136	939	47	1. X.	104
Campocologno	ca 535	8	57	7	100	46	86	75	117	46	88	28	130	788	45	1. X.	98
Vicosoprano	ca 1065	17	116	16	144	181	155	208	230	169	210	38	196	1680	79	27. V.	121
Soglio	ca 1100	16	90	14	122	116	142	176	204	138	189	26	137	1370	80	1. X.	103

Stationen	Höhe üb. Meer	Jan.	Febr.	März	April	Mai	Juni	Juli	Aug.	Sept.	Okt.	Nov.	Dez.	Jahr	Maxima	Zahl d. Tage	
D. Donaugebiet Inn																	
Sils-Maria	1802	30	83	12	103	86	124	118	174	95	133	29	145	1132	46	22. VI.	123
St. Moritz	1833	26	42	10	54	60	108	86	138	80	118	27	90	839	46	22. VI.	104
Bever	1712	33	47	19	66	53	111	94	141	76	126	32	100	898	45	22. VI.	107
Buffalora	1968	62	78	29	76	61	124	89	132	53	103	34	108	949	32	22. VI.	129
Zernez	ca 1470	48	83	21	36	37	110	95	97	79	95	25	100*	826	29	22. VI.	113
Susch	ca 1430	51	81	17	40	41	113	97	115	63	105	24	96	843	26	22. VII.	119
Schuls	1253	63	67	29	42	55	90	76	101	71	95	25	86	796	29	22. IX.	120
Martina	ca 1035	90	88	35	41	52	121	115	126	73	103	24	77	945	26	6.I./17.I.	119
E. Etschgebiet Rombach																	
Sta. Maria	1411	32	42	20	87	79	143	118	128	44	60	78	142	973	48	27. V.	111

Monats- und Jahressummen im Jahre 1958

ausgedrückt in Prozenten der Normalmengen *)

Stationen:	Höhe üb. Meer	Jan.	Febr.	März	April	Mai	Juni	Juli	Aug.	Sept.	Okt.	Nov.	Dez.	Jahr
Platta (Medols)	1378	105	175	42	102	187	58	104	141	58	152	67	154	112
Splügen (Dorf)	1504	109	190	8	49	126	76	97	156	79	162	35	190	105
Davos Platz	1561	154	240	78	105	69	128	127	95	84	269	31	94	120
Chur I	ca 582	116	379	77	104	90	105	109	116	71	227	38	140	124
Sargans	510	107	420	84	138	55	89	94	97	51	164	67	95	112
Altsätten	468	130	274	112	121	64	92	105	125	64	212	96	110	118
St. Gallen	664	135	252	82	127	55	93	95	92	59	148	123	105	105
Kreuzlingen	446	172	355	37	81	111	87	93	90	62	124	80	129	107
Lohn (Schaffhausen)	643	255	295	56	79	98	105	76	108	90	72	78	146	112
Basel	317	137	185	51	71	104	91	69	130	59	86	75	135	95
Glarus	503	141	333	94	146	95	82	86	91	57	218	67	104	116
Zürich MZA	569	128	381	67	122	95	158	102	150	88	128	100	128	130
Einsiedeln	914	141	282	115	120	69	99	84	96	79	178	87	89	112
Altdorf I	456	100	268	99	134	80	98	95	108	72	208	93	91	115
Rigi-Kulm	1775	137	214	128	127	54	101	84	85	57	161	75	53	102
Engelberg	1018	140	234	117	140	89	105	115	120	89	157	95	77	120
Lucern (Wesemlin)	498	131	129	128	133	57	110	110	138	95	143	120	86	113
Guttannen	1058	127	285	138	159	99	86	98	124	91	193	94	92	130
Boatenberg	1196	126	300	94	127	75	88	95	126	105	177	107	91	119
Bern	572	160	208	86	87	112	134	88	146	82	115	60	108	113
Neuchâtel	487	205	188	65	40	112	93	68	97	66	109	49	94	95
Chamont	1141	183	302	92	63	103	106	72	85	64	114	68	130	108
Affoltern i. E.	796	97	153	69	95	84	101	82	154	98	111	87	87	102
Langenbruck	740	133	231	64	86	66	113	97	143	57	109	81	82	105
Olten	391	152	271	70	111	73	94	112	110	62	101	58	96	105
Aarau	408	122	198	54	61	73	95	109	166	78	110	55	97	101
Muri (Aargau)	469	120	255	73	107	77	108	118	132	100	113	76	84	111
Reckingen	1332	129	358	59	87	150	88	95	196	96	130	108	142	131
Sion	549	140	290	61	26	158	122	115	112	98	91	63	130	116
Grand-St-Bernard	2479	137	218	76	99	128	142	88	80	73	103	85	144	114
Martigny-Ville	471	209	273	91	45	106	105	79	161	115	84	38	112	117
Montreux-Clarens	408	159	263	85	99	84	163	118	154	119	142	71	67	126
Lausanne	589	178	168	56	74	115	173	61	155	110	113	65	99	113
Genève (Observatoire)	405	119	142	67	77	118	185	62	154	113	85	46	84	104
St. Gotthard	2095	126	204	77	174	150	74	114	143	77	138	67	168	124
Airolo	ca 1170	110	223	53	94	213	95	136	227	72	103	55	175	126
Braggio	1332	55	93	24	107	99	81	107	115	117	140	50	215	102
Locarno-Muralto	244	16	132	13	118	109	68	71	227	73	141	63	286	111
Lugano	276	18	134	16	141	105	98	94	112	56	86	65	286	98
Sils-Maria	1802	67	193	17	136	96	129	103	149	93	125	36	238	113
Bever	1712	89	134	37	114	74	129	89	131	84	143	47	185	105
Schuls	1253	158	203	83	100	104	134	83	110	100	152	51	172	116

*) Normalperiode 1864—1940. Die mittleren Monats- und Jahressummen sind im Jahrgang 1941 im Anschluß an die vorstehende Tabelle veröffentlicht

Ergebnisse

der im Alpengebiet aufgestellten Niederschlags-Totalisatoren für das hydrologische Jahr 1957/1958

Station	m ü. M.	Meß- resultat Herkunft	Periode 1957/1958			
			Zeitdauer		Gemessener Wert	Red. Wert 1. 10. 57.-30. 9. 58
			1957	1958		
cm cm						
Suchetgebiet (Jura)						
Suchet (Chalet)	1465	MZA	19. 9.—20. 9.		154	149
Diableretsgebiet						
Becca d'Audon	2870	MZA	22. 9.—14. 9.		177	178
Mont-Blanc-Gebiet						
Col d'Orny	3169	MZA	22. 9.—25. 9.		405	397
Grand Combin- Monte Rosa-Gebiet						
Fontanesses	2780	F	2. 11.— 9. 10.		128	127
Haut d'Arolla	2880	F	30. 10.— 8. 10.		123	123
Mont Minó	2590	F	4. 11.—13. 10.		111	109
Schönbiel	2850	F	21. 10.—22. 10.		122	114
Trift	2620	F	18. 10.—15. 10.		109	103
Gandegg	2840	F	22. 10.—18. 10.		95	90
Mt. Rosa-Plattje	2880	F	24. 10.—23. 10.		105	98
Findelen-Haupt	2700	F	18. 10.—16. 10.		61	57
Täschalp	2240	F	23. 10.—21. 10.		54	51
Mondellipaß	2800	A	30. 9.— 3. 10.		248	239
Thäliboden	2485	A	30. 9.— 2. 10.		149	143
Galmen	2690	A	30. 9.— 2. 10.		115	111
Seewinenberg	3025	A	27. 9.— 6. 10.		400	384
Ofentalpaß	2800	A	28. 9.— 4. 10.		203	195
Stelli-Weißtal	2620	A	28. 9.— 2. 10.		184	178
Schwarzberggletscher	2986	A	27. 9.— 6. 10.		134	129
Schwarzbergkopf	2565	A	24. 9.— 2. 10.		192	186
Mattmarksee	2117	A	24. 9.— 2. 10.		76	73
Allalingletscher	3369	A	20. 9.—26. 9.		166	169
Kessjen	2840	A	3. 10.—30. 9.		109	114
Plattje	2228	A	3. 10.— 1. 10.		159	159
Furgghorn	3390	MZA	22. 9.—18. 9.		264	266
Gornergrat	3100	MZA	21. 9.—17. 9.		127	128
Simplongebiet						
Magenhorn	2470	MZA	20. 9.—24. 9.		139	136
Wildstrubelgebiet						
Daubenhorn	2600	E	3. 10.—11. 10.		112	110
Steghorn	2889	E	2. 10.—28. 10.		177	163
Lämmerngrat	2600	E	2. 10.—27. 10.		219	201
Lämmernhorn	2804	E	2. 10.—23. 10.		183	168
Lämmernplatten	2468	E	3. 10.—25. 10.		228	210
Schneehorn	2708	E	3. 10.—31. 10.		159	146
Lämmernalp	2325	E	3. 10.—25. 10.		141	130
Jungfraugebiet						
Mönchsgrat	3810	MZA	3. 10.—29. 9.		353	354
Trugberg	3530	MZA			—	113*
Kranzberg	3180	MZA	4. 10.—27. 9.		427	428
Konkordia	2890	MZA	5. 10.— 3. 10.		100	100
Aletschwald	3040	MZA	25. 9.—27. 9.		115	117
Grimsel- und Gelmergebiet						
Kl. Siedelhorn	2430	C	11. 10.—22. 9.		173	177
Abschwung	2900	C	10. 10.—24. 9.		214	217
Pavillon Dollfus	2415	C	10. 10.—24. 9.		171	174
Oberaarjoch	3310	C	9. 10.—23. 9.		294	298
Gelmer Bergli	2144	C	11. 10.—25. 9.		164	165
Tirolsgebiet						
Trübsee-Jochpaß	1800	MZA	28. 9.— 1. 10.		230	229

Station	m ü. M.	Meß- resultat Herkunft	Periode 1957/1958			
			Zeitdauer		Gemessener Wert	Red. Wert 1. 10. 57.-30. 9. 58
			1957	1958		
cm cm						
Gotthardgebiet						
Lago Ritom	1960	MZA	11. 10.—22. 10.		154	137
Cristallinegebiet						
Lago di Naret	2313	D	30. 9.— 1. 10.		283	283
Lago Sfundau	2523	D	30. 9.— 1. 10.		191	191
Lago Bianco	2063	D	30. 9.— 1. 10.		282	282
Oberes Maggiagebiet						
Großalp-Bosco	1900	D	1. 10.—20. 9.		242	242
Alpe Quadrella	1810	MZA	30. 9.—30. 9.		205	205
Campo-Maggia	1380	MZA	30. 9.—30. 9.		135	135
Greinagebiet						
Greinaboden-West	2327	B			—	—*
Greinaboden-Ost	2327	B			—	—*
Alp Sulglaischär	1420	B	14. 10.— 3. 11.		192	161
Medelserhütte SAC	2450	B	10. 9.—26. 9.		212	203
Alp Cugn	2154	B	14. 10.— 3. 11.		161	134
Alp Nadéls	1880	B	10. 10.—31. 10.		121	100
Alp Naustgel	1945	B	12. 10.—30. 10.		181	150
Rhätisches Alpengebiet						
Gemskanzel-						
Rheinwaldfirn	2916	B	31. 8.— 7. 9.		193	138
Alpetlistock	2393	B	2. 9.— 4. 9.		182	191
Muotaulita-Annarosa	2800	B	13. 9.—14. 9.		146	133
Crapet-Prassignola	2650	B			—	—*
Piz Curvèr	2810	B	5. 9.— 5. 9.		105	110
Piz Scalotta	2965	MZA	20. 9.—18. 9.		130	137
Julier-Hospiz	2315	MZA	18. 9.—20. 9.		118	124
Albulu-Heopiz	2315	B	1. 10.— 1. 10.		83	83
Engadin						
Sils	1830	MZA	30. 9.— 2. 10.		132	127
St. Moritz	1895	MZA	3. 10.—16. 10.		115	104
Stazerwald	1810	MZA	29. 9.—28. 9.		93	93
Punt Muragl	1800	MZA	30. 9.— 1. 10.		85	85
Zuoz	1880	MZA	28. 9.—11. 10.		95	89
Cluozza (Blockhaus)	1910	MZA	18. 9.—24. 10.		106	93
Stabelchod	2440	MZA	1. 10.— 1. 10.		128	128
Silvrettagebiet						
Alp Novai	1358	MZA	5. 10.— 2. 9.		133	143
Silvretta-						
Gletschervorfeld	2462	MZA	2. 10.— 8. 9.		151	159
Silvrettahütte	2375	MZA	26. 9.— 8. 9.		130	137
Eckhorn	3145	MZA	27. 9.— 9. 9.		122	128
Taminagebiet						
Vättneräpli	1885	A	20. 9.— 3. 10.		140	127
First (Wasserböden)	2200	A	21. 9.— 9. 10.		116	104
St. Martin	1396	A	21. 9.— 9. 10.		163	146
Panäraalp	2028	A	26. 9.—13. 10.		166	152
Tödiagebiet						
Clariden-Geißbüttzistock	2710	MZA	11. 9.—10. 9.		377	356
Säntisgebiet						
Säntis (Observatorium)	2604	MZA	28. 9.—30. 9.		330	328
Gebiet des Hohen Randen (Jura)						
Auf dem Hagen	915	MZA	3. 10.—30. 9.		136	136

* Die Messung und Neubeschickung konnte im Herbst 1958 nicht vorgenommen werden. Der reduzierte Wert vom Trugberg wurde aus dem Zweijahresergebnis 1957/59 interpoliert. Für die Stationen Greinaboden-West, -Ost und Crapet-Prassignola werden die entsprechenden Werte im nächsten Jahrgang angegeben.

Während des hydrologischen Jahres 1957/58 wurden die Beobachtungen an den Niederschlags-Totalisatoren im Alpengebiet im gewohnten Umfang weitergeführt.

Im Herbst 1957 wurden von der Grande Dixence S. A., Lausanne, in der Region *Arolla—Ferpècle—Zermatt* neun neue Totalisatoren aufgestellt. Die Grande Dixence S. A. hat sich in verdankenswerter Weise bereit erklärt, uns die Meßergebnisse dieser Apparate zur Veröffentlichung bekanntzugeben. Die Werte sind in der umstehenden Tabelle nun erstmals enthalten.

Ebenfalls im Herbst 1957 wurden in Zusammenarbeit mit dem Schweiz. Institut für Schnee- und Lawinenforschung, Weißfluhjoch-Davos, und der Bündner Kraftwerke AG, Klosters, im *Silvrettaggebiet* zwei neue Totalisatoren (Normalmodell MZA) installiert, die unter den Bezeichnungen *Alp Novai* und *Silvretta-Vorfeld* nun erstmals in der Tabelle aufgeführt sind.

Für die Ermittlung der insgesamt 85 Resultate des Berichtsjahres haben uns die nachfolgend angegebenen Institutionen ihre Meßergebnisse zur Verfügung gestellt (siehe Meßresultat — Herkunft):

- A Versuchsanstalt für Wasserbau und Erdbau an der ETH, Abteilung für Hydrologie.
16 Meßergebnisse.
- B Rhätische Werke für Elektrizität AG, Thusis.
13 Meßergebnisse.
- C Kraftwerke Oberhasli AG, Innertkirchen.
5 Meßergebnisse.
- D Baudepartement des Kantons Tessin (Herr Prof. Dr. F. Gyax, Bern).
4 Meßergebnisse.
- E Société Anonyme l'Énergie de l'Ouest-Suisse, Sion/Lausanne.
7 Meßergebnisse.
- F Grande Dixence S. A., Lausanne.
9 Meßergebnisse.

Die 31 Totalisatoren der MZA wurden von unsern Beobachtern betreut, wobei die freundliche Mithilfe des Schweiz. Institutes für Schnee- und Lawinenforschung, Weißfluhjoch-Davos, noch besonders erwähnt sei. Allen diesen Beobachtern sowie den obgenannten Institutionen möchten wir auch an dieser Stelle für ihre wertvolle Mitarbeit bestens danken.

H. Bernhard

Ergebnisse der Vergleichsstationen (Regenmessstationen mit täglicher Beobachtung) für das hydrologische Jahr 1957/1958

Station	m ü.M.	Mittel 1901-1940	1. 10. 57-30. 9. 58	in % des Mittels
Suchetgebiet (Jura)				
Vallorbe-Repository	920	1510	1382	92
L'Abergement	645	1194	1158	97
Baulmes	660	1377	1262	92
L'Auberson	1102	1481	1548	105
Chasseron	1601	—	1958	—
Diableretsgebiet				
Les Diablerets	1157	1431	1616	113
Gsteig b. Saanen	1188	1330	1583	119
Mont-Blanc-, Monte-Rosa- und Simplongebiet				
Grand-St-Bernard	2479	2140	2008	94
Bourg-St-Pierre	1620	849	—	—
Mérimence	1205	—	718	—
Chuson	2120	—	987	—
Dixence	2180	—	779	—
Zermatt	1610	704	660	94
Saas-Fee	1785	858	784	91
Grächen	1617	663	489	87
Visp	650	636	550	86
Jungfrau- und Grimselgebiet				
Grimsel-Hospiz	1959	2070	2615	126
Guttannen	1058	1719	1862	108
Grindelwald	1040	1265	1219	96
Lauterbrunnen	790	1184	1146	97
Engstligenalp	1955	—	1898	—
Kandersteg	1176	1149	1204	105
Oberwald	1370	1503	1662	111
Reckingen	1332	1094	1285	117
Fiesch	1060	945	977	103
Kippel	1376	956	951	102
Leukerbad	1391	1047	1297	124
Tirolsgebiet				
Engelberg	1018	1568	1618	103
Gotthard-, Cristallina- und Maggiagebiet				
St. Gotthard	2095	2285	2716	119
Airolo	1170	1717	2015	117
Lago di Tremorgio	1849	1851	1996	108
Fusio	1280	1719	1762	103
Cevio	413	1776	1891	106
Bosco-Gurin	1510	1879	1891	101

Station	m ü.M.	Mittel 1901-1940	1. 10. 57-30. 9. 58	in % des Mittels
Greinagebiet				
Platta (Medels)	1378	1291	1258	97
Disentis	1173	1241	1301	105
Val	1203	1210	1154	95
Sarrhein	899	1137	1090	96
Vrin	1448	1230	1076	87
Olivone	930	1467	1293	88
Rhätisches Alpengebiet, Engadin und Silvretta				
Hinterrhein	1620	1732	1605	93
Splügen	1504	1456	1380	95
Avers am Bach	1960	1009	1090	108
Andeer	930	1012	972	96
Bivio	1770	1269	1232	97
Savognin	1205	961	961	100
Preda	1769	1010	1116	110
Seglio	1100	1394	1324	95
Sils-Maria	1802	1037	1036	100
St. Moritz	1833	935	738	79
Bever	1712	879	799	91
Buffalora	1968	923	842	91
Susch	1430	813	717	88
Sta. Maria	1411	770	804	104
Klosters	1200	1232	1277	100
St. Antönien	1460	1376	1282	93
Davos-Platz	1561	999	964	96
Weißfluhjoch	2540	—	1245	—
Taminagebiet				
Vättis	956	1092	1050	96
Bad Ragaz	513	1165	1000	86
Tödigebiet				
Auen (Linthal)	815	1650	1752	106
Urnerboden	1350	1750	1632	93
Braunwald	1190	1870	1951	104
Säntis				
Säntis (Observatorium)	2500	3054	2227	72
Gebiet des Hohen Randen				
Merishausen	594	941	958	102
Schleitheim	490	846	902	107
Lohn	643	873	826	95

Die Niederschläge des Jahres 1958

Die Jahressummen der Niederschläge waren im Jahre 1958 im allgemeinen größer als die langjährigen Mittelwerte. Über das Verhältnis dieser Zahlen gibt die Tabelle: Monats- und Jahressummen in Prozenten der Normalmengen (1864—1940) Auskunft. Ihre Verteilung ist in Karte Nr. 1, Tafel I, dargestellt, bei deren Erstellung auch die zahlreicheren Werte, die sich auf die Periode 1900 bis 1940 stützen, Berücksichtigung fanden. Im Hochalpengebiet sind örtlich Überschüsse von mehr als 30% zu verzeichnen. Immerhin sind diese Werte überall schon in anderen Jahren seit 1900 überschritten worden, meist mehrmals, in Leukerbad in den Jahren 1940 und 1922, im Gebiet der oberen Aare (Haslital) in den Jahren 1922 und 1910. Namhafte Überschüsse finden sich ferner im Genferseegebiet und im nordöstlichen Mittelland. Ein schwaches Defizit ist am Alpensüdfuß, in der

Gegend des Neuenburgersees und am Nordwestfuß des Jura zu verzeichnen.

Was die einzelnen Monate* anbetrifft, so sind im *Februar* in der ganzen Schweiz zu große, strichweise ungewöhnlich große Niederschlagsmengen gefallen, so in der Nordostschweiz und in den Alpen (örtlich über 350 Prozent der normalen Februarbeträge), auf einzelnen Stationen die höchsten bisher gemessenen Februararmen. Außerdem haben im Wallis und in der Westschweiz der *Januar*, in Graubünden der *Oktober* und auf der Alpensüdseite der *Dezember* bedeutende Niederschlagsmengen zu verzeichnen gehabt. Vorwiegend niederschlagsarm waren andersseits der *März* (10 bis 20% im Tessin), der *September* und namentlich im Osten der *November*.

Einzelne bemerkenswerte Niederschläge

Die Karte Nr. 2 auf beiliegender Tafel I gibt eine Darstellung der geographischen Verteilung der Tagesmengen in mm vom 6. Januar**. Gebiete mit mehr als 40 mm Niederschlag (gemessen um 7 $\frac{1}{2}$ Uhr des 7.) finden sich einerseits im Juragebiet (Nyon 78 mm, La Cure 67, St-Sulpice 48, La Chaux-de-Fonds 42, Biel 50) andererseits in den Berner Alpen mit deutlicher Bevorzugung des Südhangs (Adelboden 43 mm, Kippel 44, Fiesch 51, Brienz 58), ferner im Kanton Glarus (Braunwald 65 mm, Elm 40). Der Alpensüdfuß blieb trocken. Die Karten geben lediglich die Messungsergebnisse unserer Stationen wieder, von denen die wirklichen örtlich stark abweichen können, da der Geländeeinfluß von sehr großer Bedeutung ist.

Es handelt sich um das Gesamtergebnis der Warmfront- und Kaltfrontpassage bei starkem Wind einer Depression, deren Zentrum am 6. um 7 h noch vor der irischen Westküste, am 7. um 7 h bereits über Dänemark lag. In Zürich fielen die Aufgleitniederschläge des Warmlufteinbruchs zwischen 15 und 23 h (Ergebnis 13 mm) und die Kaltfrontniederschläge zwischen 4 und 4 $\frac{1}{2}$ h (4 mm). Die Temperaturschwankung betrug etwa 6 Grad. Im Bereich des Warmsektors wurden in Zürich um 2 h Böenspitzen von 32 m/sec gemessen.

Ähnliche Fälle sind in den Wintermonaten häufig. Für die Niederschlagsverteilung ist die Windrichtung und das mittlere Kondensationsniveau, weniger die Art der Front maßgebend. Ein besonders ähnlicher Fall sowohl bezüglich der Wetterlage wie der Niederschlagsverteilung war derjenige vom 11. Februar 1945. Bemerkenswert ist auch dort die Bevorzugung der Walliserseite der Berner Alpen. Von den 21 untersuchten ähnlichen Niederschlagsverteilungen (Jura und Alpen) weisen die 13 mit Bevorzugung des Wallis west-ostwärts gerichtete Isobaren auf. Die übrigen 8, bei denen die Nordseite der Alpen eher bevorzugt ist, Nordwest- bis Nord-

richtung der Isobaren; zum Teil handelt es sich um Staulagen. Der Fall vom 9. Februar 1950 zeigt zwar in Bodennähe Westströmung; doch handelt es sich hier um einen kräftigen reinen Warmlufteinbruch mit Nordwestwinden in der Höhe. Aus den letzten Jahren seien erwähnt: 7. und 8. Februar 1955, 26. Januar 1956, 23. Februar 1957.

6. Februar

Über die Niederschlagsmengen dieses Tages gibt die Karte Nr. 3 Auskunft. Relativ erhebliche Beträge weist die Jurazone auf (über 30 mm). Im Alpengebiet sind das Quellgebiet der Saane und dasjenige der beiden Emmen bevorzugt. Das Hauptniederschlagsgebiet entfällt jedoch auf die Nordostschweiz, wo strichweise 40 mm überschritten worden sind (im Toggenburg).

Die Wetterlage war die folgende: Die 1 Uhr-Karte vom 6. Februar zeigt ein ausgedehntes Tiefdruckgebiet über Osteuropa mit Hauptzentrum bei Smolensk und einem Teiltief über der Nordsee. Am Vortag hatte in der Schweiz, unter dem Einfluß eines Hochs über der iberischen Halbinsel, noch sonniges Wetter geherrscht. Mit dem Aufkommen der Westwinde trat in der Höhe Temperaturrückgang, am Boden Erwärmung ein. Mitteleuropa und Nordostfrankreich wurden nun ziemlich rasch durch eine von Nordwesten her einbrechende, kalte Luftmasse überschwenmt. Um 1 h des 6. Februar zeichnet sich in der Wetterkarte eine verschwommene Luftmassengrenze ab, die die erwähnte Rückseitenkaltluft von einer (noch) wärmeren feuchten WNW-Strömung atlantischen Ursprungs im Südwesten scheidet.

* Vgl. Anhang Nr. 1 der Annalen der MZA (1958).

** *Datumsangaben mit Bezug auf Tagesmengen* des Niederschlags beziehen sich, wie in den Tabellen, stets auf den Zeitraum vom Meßtermin (7 $\frac{1}{2}$ h) des angegebenen Tages bis zum Meßtermin des nachfolgenden. Für andere Angaben ist der gewöhnliche Sinn beibehalten worden.

Diese Grenze läßt sich um die genannte Zeit von den Ostalpen ungefähr über Basel—Orleans—Brest verfolgen. Sie bleibt in der Folge als quasi-stationäre Front erhalten, wobei sie sich erheblich verschärft.

Die kalte Luft erreichte die Schweiz vorübergehend um 00 h des 6. Februar. Man beobachtet ab 00 h einen Temperaturrückgang in Zürich und auf dem Säntis. Um 3.20 h setzen in Zürich die Niederschläge ein. Es handelt sich zunächst um die Einbruchniederschläge der kalten Luft (in den obigen Beträgen nicht enthalten). Sie dauern jedoch weiter bis zum Nachtag um 6 h, abgesehen von zwei Unterbrechungen zwischen 21 h und 3 h. Dabei war der Luftdruck in anhaltendem Fallen begriffen. Da sich das Druckfallgebiet über ganz West- und Südeuropa erstreckt, so handelt es sich offenbar um eine allgemeine Vertiefung bzw. Verlagerung der Zyklone. Der Druckfall war in Deutschland durch die eindringende Kaltluft kompensiert. Während des größten Teils der Niederschlagsperiode (Regen in den Niederungen) steigt die Temperatur langsam an. Dabei wehte in den Niederungen starker Westsüdwestwind (30 km/Stunde), in der Höhe oberhalb 2500 m Westnordwestwind. Die warme Luft stößt somit von Westen her wieder langsam vor, wobei mäßige Aufgleitniederschläge fallen. Diese werden abends stärker. Auf der quasi-stationären Front hatte sich eine Welle gebildet, die rasch ostwärts wandernd die Schweiz etwa um 2 h des 7. erreichte und den Warmluftvorstoß zunächst begünstigte. Sie ist allerdings auch die Ursache des Unterbruchs der Niederschläge zwischen 21 h des 6. und 3 h des 7. (Warmsektor).

7. Februar

Die Niederschlagsresultate dieses Tages zeigen genau die gleiche Verteilung und den gleichen Betrag wie diejenigen vom Vortag, so daß sich eine Beschreibung erübrigt.

Das Depressionszentrum hat sich inzwischen (um 7 h des 7. Februar) nordostwärts in die Gegend von Vologda verlagert. Das früher erwähnte Teiltief liegt nun über Dänemark. Die Luftmassengrenze verläuft weiterhin als quasistationäre Front über Odessa—München—Orleans und dann als Warmfront weiter nordwestwärts über Brest ins Zentrum einer neuen Atlantikdepression hinein, die, aus Westen kommend, südwestlich von Irland erschienen ist. Die Temperaturgegensätze zwischen beiden Seiten der Front sind nun recht erheblich (Tours 7, Paris 0 Grad).

Die neue Niederschlagsperiode beginnt in Zürich um 7½ h und dauert ohne Unterbrechung bis um 6 h des Nachtages (8. Februar). Den Anfang machen die Rückseitenniederschläge der früher (6. Februar) erwähnten Welle, deren Abzug sich zwischen 8 und 12 h äußert durch einen Druckanstieg um 2 mm und einen Rückgang der Temperatur, in Zürich von 5 auf 3 Grad, in Basel (Blotzheim) von 6 auf 0 Grad. Doch beginnt die Temperatur bald wieder zu steigen, auf dem Säntis schon um 8 h des 7. Februar, in Zürich um 16 h, in Basel um 19 h. Es liegt ein neuer Warmluftschub vor, hervorgerufen durch die oben erwähnte neue Atlantikdepression. Ihre Warmfront wandert zunächst im Nordwesten wieder ostwärts und verläßt später auch den

Bereich der Schweiz (neue Erwärmung und Abflauen der Winde am Morgen des 8.). Damit nehmen die Niederschläge ein Ende.

Die oben erwähnte Situation kommt selten vor (vergleiche etwa den 3. März 1956). Die vorliegende Niederschlagsverteilung ist dagegen im Winter sehr häufig, da sie lediglich starken, warmen, feuchten Westwind voraussetzt, mit oder ohne Störungen. Dagegen ist das Niederschlagsmaximum im Nordosten für alle Situationen mit nach Westen offenem Winkel zwischen Kaltfront und Alpen charakteristisch, wie sie auch am 6. und 7. Februar zeitweise vorlag.

16. Februar

Am 16. Februar fielen die größten Niederschlagsmengen (mehr als 40 mm) in den Alpen (vgl. Niederschlagskarte Nr. 4). Die Maximalgebiete liegen einerseits in den westlichen Berner Voralpen andererseits im Kanton Glarus und sind bezeichnet durch die Stationen: Gsteig (64 mm), Saanen (63), Jaun (73), Adalboden (62), bzw. Urnerboden (73 mm), Klöntal (61 mm), Elm (67). Auch der Nordwesthang des Jura hat noch strichweise über 40 mm aufzuweisen (La Cure 42 mm, Le Sentier 41 mm), ferner die südwestlichen Walliser Alpen.

Die Morgenwetterkarte dieses Tages zeigt ein Tief über Südschweden und ein Hoch über den Pyrenäen, sowie einen sich entwickelnden Hochdruckrücken, der sich von Irland bis nach Südgrönland erstreckt. Die Polarfront verläuft längs des 50sten Breitengrades. Auf ihr wandert eine Welle ostwärts. In der Schweiz bleibt die Temperatur den ganzen Tag bis um 12 h des 17. annähernd konstant. Der Wind ist stark (etwa 30 km/h Durchschnittsgeschwindigkeit in Zürich). Die Niederschläge fallen in Zürich von 13.30 h bis 17.30 h, in Sion von 16½ h bis 6 h. Besondere Störungen sind keine zu verzeichnen. Immerhin sind die Windstärken während der Niederschlagsperiode am größten. Um Mitternacht muß die Kaltfront die Ostalpen erreicht haben. Ähnliche Fälle sind diejenigen vom 15. Januar 1949 und 3. Januar 1950.

17. Februar

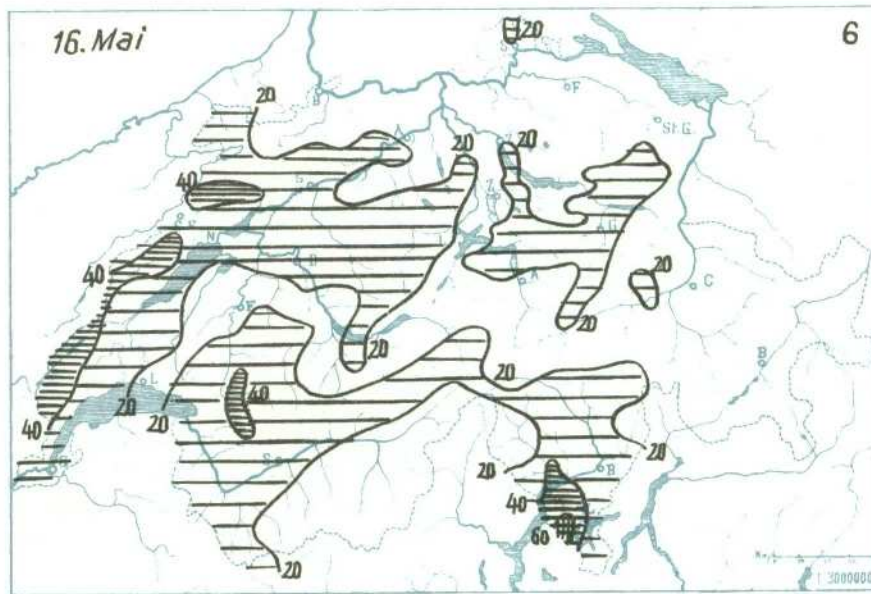
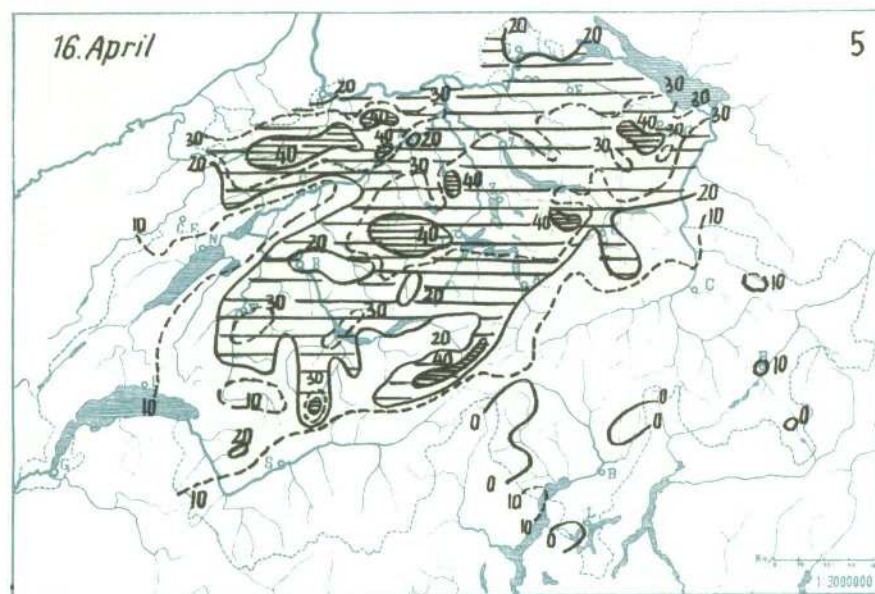
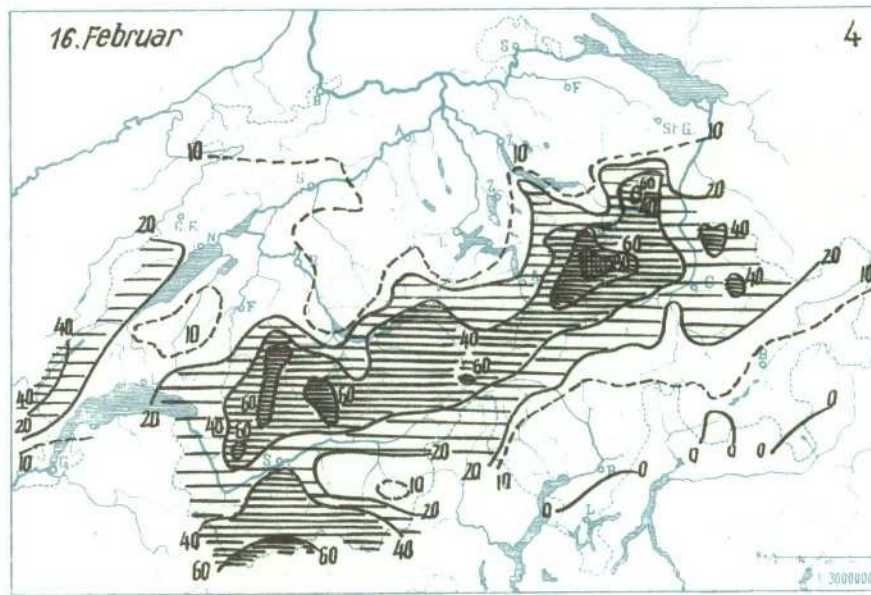
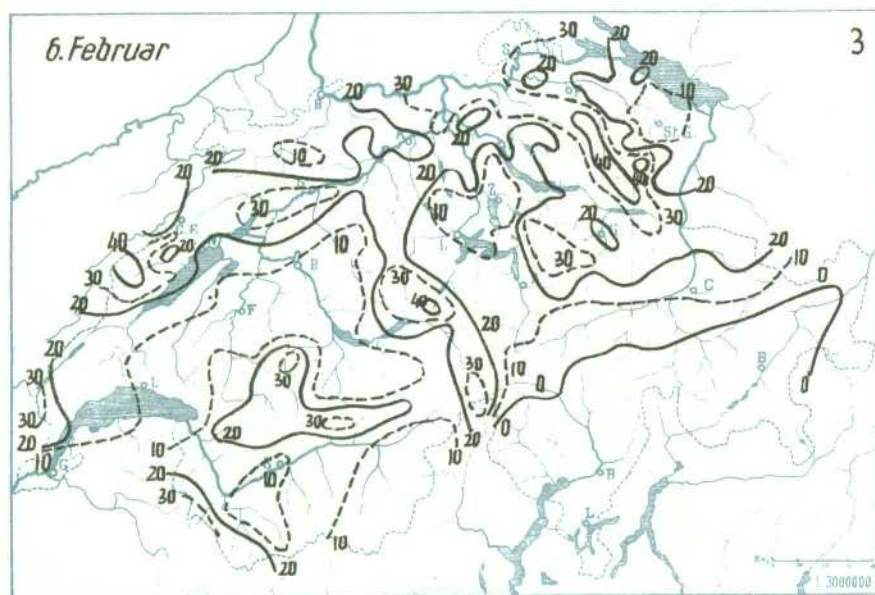
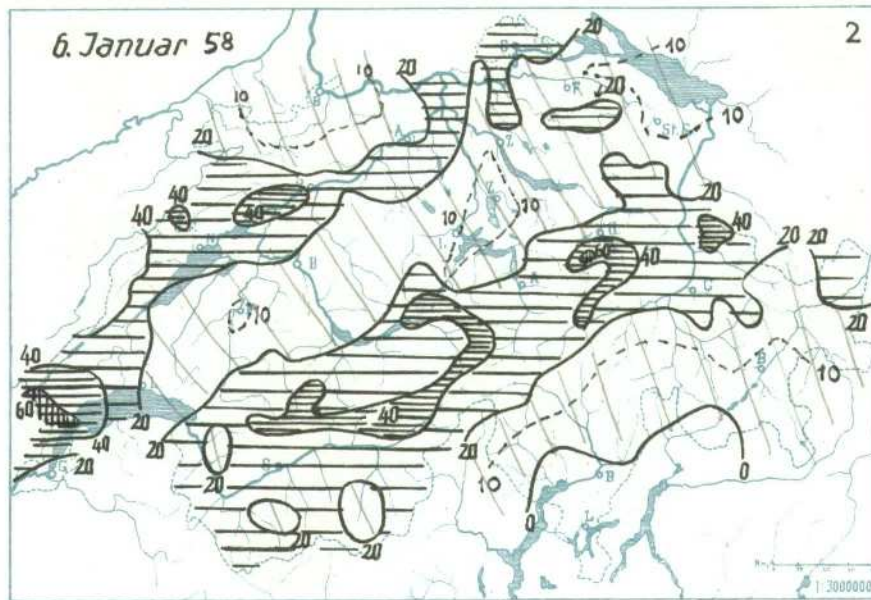
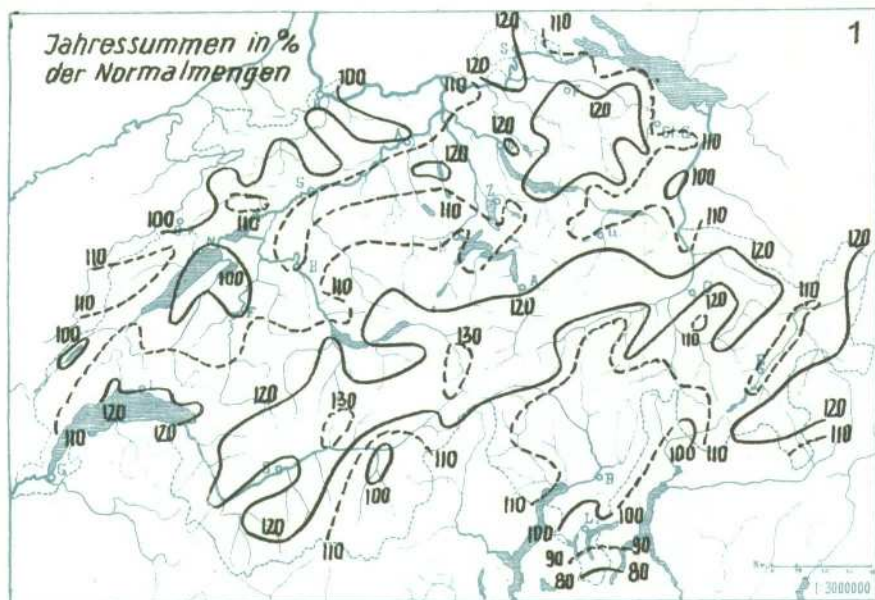
In die Schweiz dringt die kalte Luft aber erst im Laufe des Nachtages (17. Februar) ein. Die Berner Alpen erhielten diesmal 40 bis 50 mm, der Kanton Glarus 50 bis 55 mm. Außerdem tritt nun eine weitere Maximalzone im Quellgebiet der Thur und der Sitter auf (Starkenbach 68 mm, Urnäsch 53). Der Nordosten des Landes ist also an diesem Tage gegenüber dem Vortag bevorzugt. Auch der Alpennordfuß hat am 17. wesentlich mehr Niederschlag erhalten als am 16. Der Jura zeigt dagegen keine besondere Bevorzugung mehr (weniger als 20 mm).

Die neuen Niederschläge setzen um 8 h ein und dauern in Zürich bis um 2½ h des 18. Februar. Die ersten sind offenbar wieder durch die Winkelsituation zwischen Alpen und Kaltfront bedingt, daher die Bevorzugung des Nordostens. Erst um 12 h beginnt der Einbruch der kalten Luft. Von diesem Zeitpunkt an sinkt die Temperatur während der ganzen Dauer der Nieder-

Einzelne bemerkenswerte Niederschläge 1958

Quelques précipitations importantes en 1958

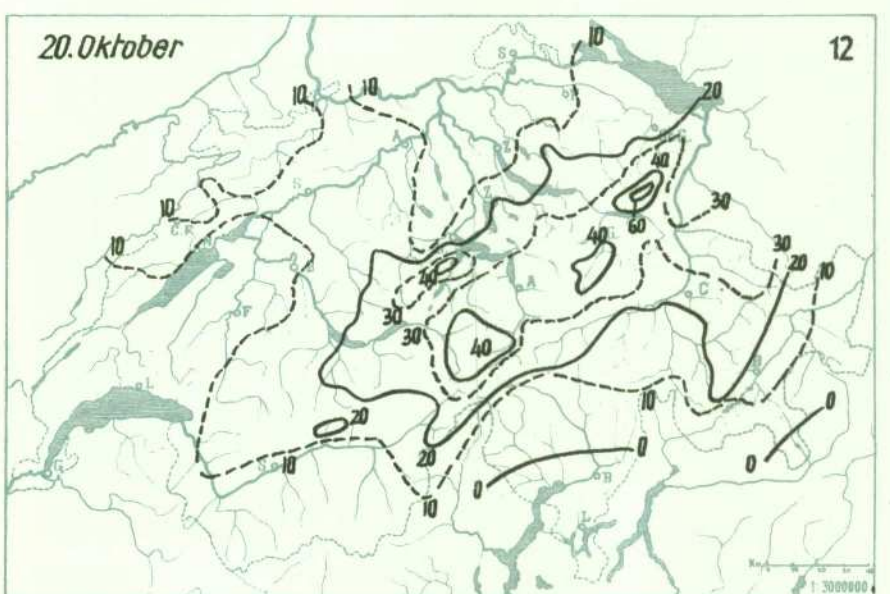
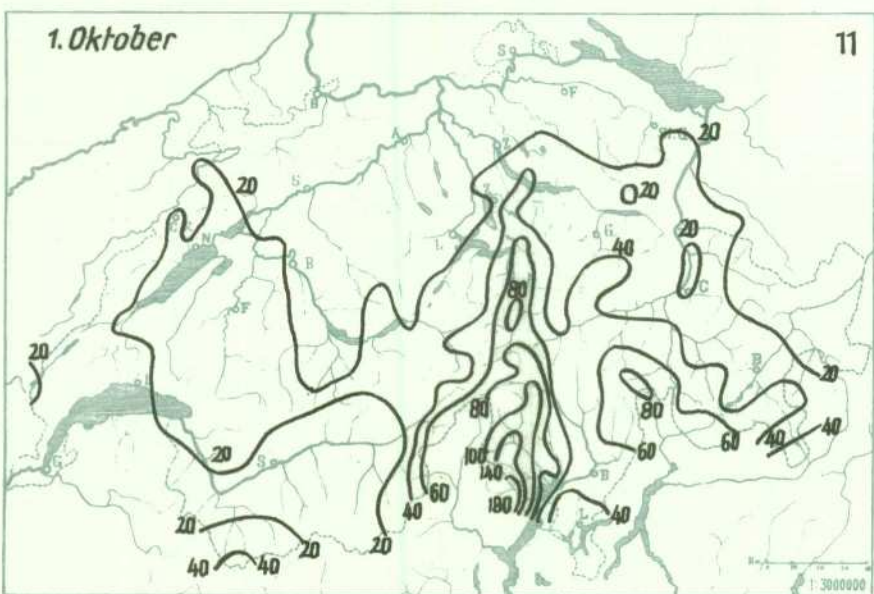
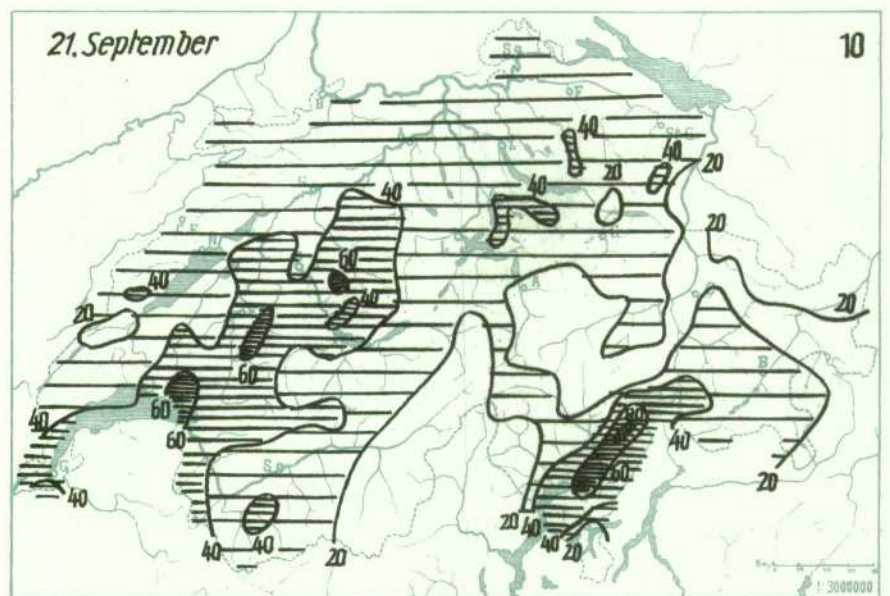
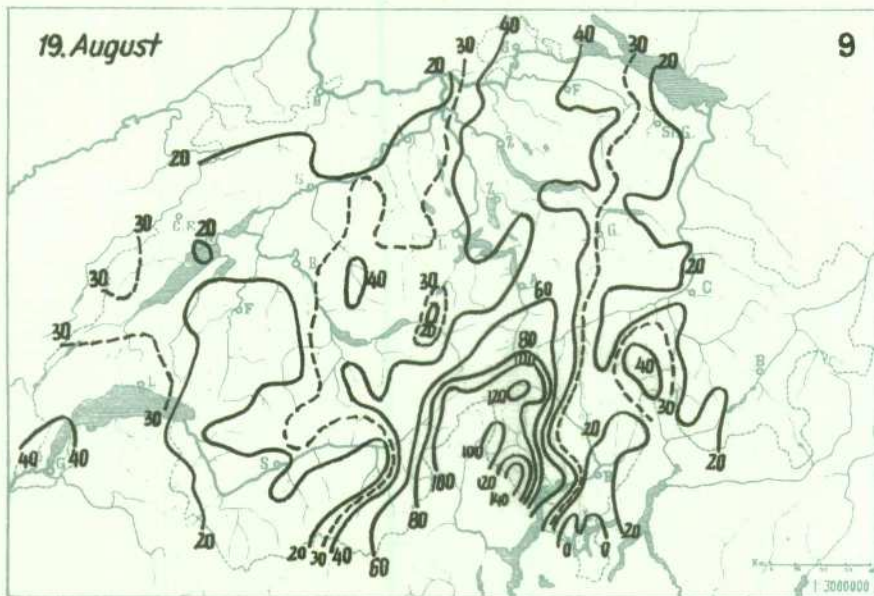
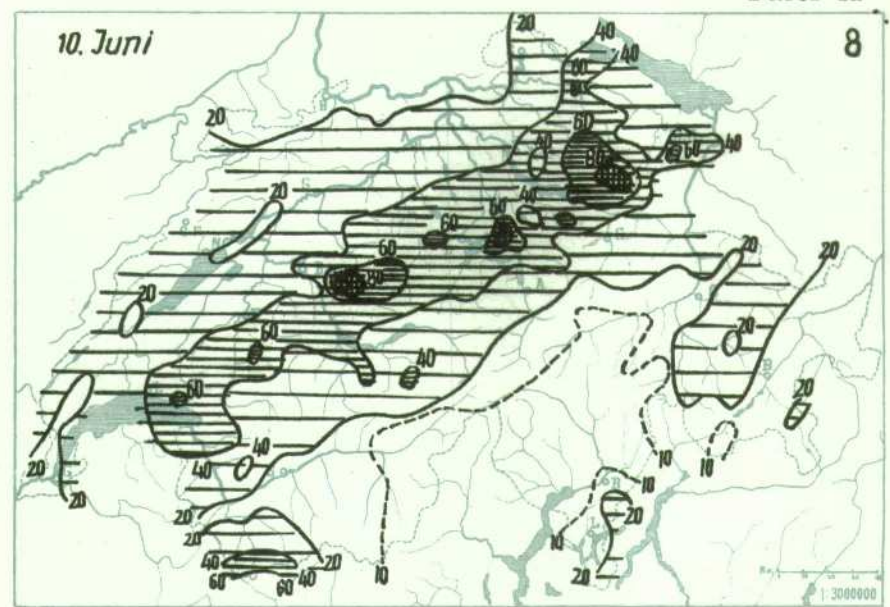
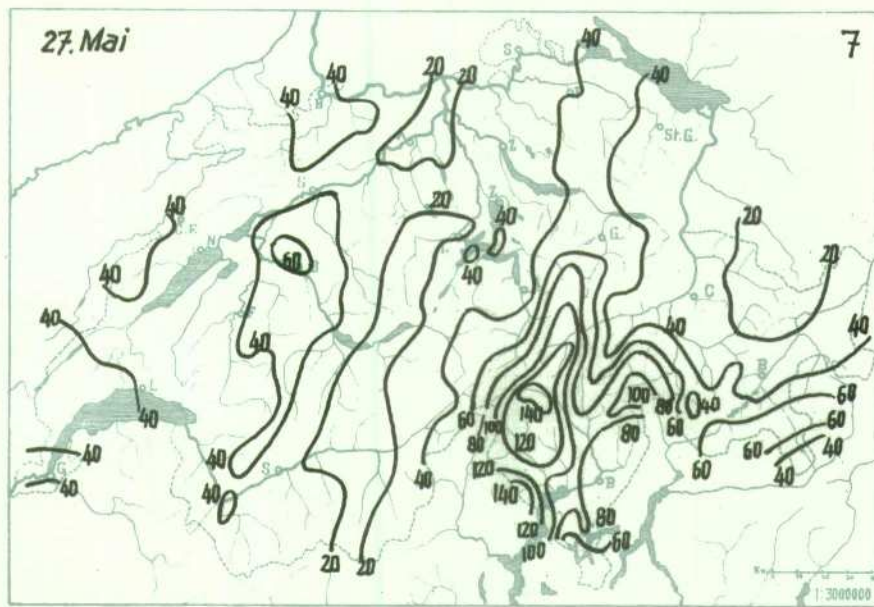
Tafel I.



Einzelne bemerkenswerte Niederschläge 1958

Quelques précipitations importantes en 1958

Tafel II



schläge am Boden und in der Höhe um zirka 12 Grad, während die Winde von 13 h an abflauen.

15. und 16. April

Am 15. April sind hauptsächlich in der Voralpenzone des Alpenordhangs größere Niederschlagsmengen gefallen. Die 20 mm Isohyete verläuft über Bischofszell—Uster—Sursee—Belp—Vevey—Bex—Leukerbad—Grimmel—Gothard—Panix—Sargans—Altstätten—Bischofszell. Mehr als 30 mm fielen im Einzugsgebiet der Kander, im Thunerseegebiet und im oberen Emmental (Kandersteg 37 mm, Wimmis 54, Heiligenschwendi 34, Langnau 38 mm), sodann im Haslital (Guttannen 47 mm), im Gebiet der Kantone Unterwalden und Schwyz (Schwyz 42 mm), im Walenseegebiet, Toggenburg und Kanton Appenzell (Urnäsch 41 mm).

Am 16. April (vgl. die Karte Nr. 5) war einerseits wieder ungefähr dieselbe Zone überregnet. Das Niederschlagsgebiet mit mehr als 30 mm bedeckt, das Napfgebiet (Langnau 47 mm, Entlebuch 45), die Kantone Zug, Schwyz (Innertal 44 mm), das Zürichseegebiet und Zürcher Oberland, die Kantone St. Gallen und Appenzell (Ebnat 37 mm, Urnäsch 35, Befang 49). Andererseits tritt nun aber eine weitere Niederschlagszone im nord-schweizerischen Juragebiet hinzu (Bellelay 38 mm, Delémont 45, Böckten 43).

In Zürich fielen die Niederschläge von 17¼ h des 15. an zunächst schwach, dann ab 19 h stärker, fast ohne Unterbrechung bis zum 17., am 16. ab zirka 15 h als Schnee. Die Wetterlage ist charakterisiert durch ein starkes Hochdruckgebiet auf dem Atlantik, ein zweites über Osteuropa, sowie zwei Depressionen über Skandinavien und dem Mittelmeer. Letztere war am 15. am Boden noch sehr flach, vertiefte sich dann aber, so daß sich am 16. um 01 h zwei Zentren, einerseits über Süddeutschland, andererseits über dem Golf von Genua, gebildet haben, was die Rückseiteströmung gegen die Schweizeralpen verstärkte. Ein Höhentrog liegt über Skandinavien, ein ostwärts wanderndes Höhentief um diese Zeit (01 h) ebenfalls über dem Golf von Genua. Die Hochstationen der Schweiz zeigen einen allmählichen Rückgang der Temperatur, der sich am 16. durch den Einbruch kalter Rückseiteluft verschärfte und zu einem Vorstoß des Atlantikhochs nach der Alpennordseite führte. Am 17. um 7 h betrug der Druckunterschied auf gleichem Niveau zwischen Nord- und Südseite der Alpen zirka 12 mm. Der Höhentrog (500-Millibarfläche) erscheint erst am 18. östlich der Schweiz.

Die 6 Fälle der letzten 10 Jahre mit einer ähnlichen Niederschlagsverteilung zeichnen sich ebenfalls durch ein Hoch auf dem Atlantik aus. Es handelt sich um die folgenden: 13. Juni 1946, 5. und 6. Juli 1948, 1. September 1950, 12. Februar 1952, 10. Juli 1956. Ebenso weisen 5 derselben eine kräftige Depression im Südosten der Schweiz auf, bei den Kaltlufteinbrüchen erst am nächsten Tag. (Der 6. Juli 1948 zeigt einen Warmluftvorstoß aus Nordosten). Die Niederschläge werden nicht nur durch Stau, sondern auch durch die allgemeinen Störungszonen der genannten Depression hervorgerufen z. B. wenn darüber in der Höhe eine Südströmung fortbesteht. Dies trifft für die Niederschläge in der Nord-

schweiz allein zu, die also nicht durch Stau bewirkt werden. Sie fehlen am 15. April 1958, so auch am 12. Februar 1952 (rein westliche Höhenströmung, Tief im Süden der Alpen).

16. Mai

Die Niederschlagsverteilung dieses Tages ist in der Regenkarte Nr. 6 dargestellt. Das Hauptniederschlagsgebiet mit mehr als 40 mm Niederschlag liegt auf der Westseite des Jura, ein weiteres Maximum im südlichen Tessin.

Diese Niederschläge, die in Zürich (19 mm) und in Sion (24 mm) anhaltend von zirka 9 bis 14 h dauern, sind durch eine Kaltfront bei folgender Wetterlage verursacht worden: Das Zentrum einer ziemlich kräftigen und rasch wandernden Zyklone lag um 01 h noch über Wales, um 12 h über Belgien, und spaltete sich dann in zwei Teile, von denen der südliche sich scheinbar selbständig über Norditalien entwickelte, während der nördliche rasch nach Polen wanderte (bis um 01 h des Nachtags). Der in der Höhe regelmäßige Luftdruckgang wurde im Gebiet der Alpen am Boden stark gestört durch Kompensationsvorgänge in den unteren Luftschichten, wodurch das Tief daselbst in bekannter Weise vorübergehend nahezu ausgelöscht erscheint, bis es dann im Süden der Alpen wieder auftaucht. Die Störungsperiode dauerte von zirka 4 h bis um 12 h. Die Bodenstörung besteht zunächst in der Entwicklung einer Föhnlage womit Abkühlung und Abschwächung des Druckfalls im Süden und Westen, Föhnerwärmung und verstärkter Druckfall in der Nordostschweiz und am Alpenordfuß verbunden sind. Um 9 h brach der Föhn zusammen, und es entwickelte sich anschließend auf der Alpennordseite ein Hoch aus Kaltluft, während im Süden verstärkter Druckfall eintrat. Die Fortsetzung des Druckanstiegs war dann aber auch in der Höhe vorhanden und über ganz Westeuropa verbreitet. Er führte zum Aufbau eines kräftigen Hochdruckgebiets auf dem Kontinent.

27. Mai

Am 27. Mai sind besonders auf der Alpensüdseite bedeutende Niederschläge zu verzeichnen. Die eigenartige Verteilung derselben ist aus der Regenkarte Nr. 7, Tafel II, zu ersehen. Ein Maximum von mehr als 140 mm liegt im «Centovallgebiet» (Camedo 149 mm, Locarno-Monti 97) ein zweites im Oberlauf des Tessins (Airolo 147 mm). Von der Südspitze abgesehen, hat der ganze Kanton Tessin, das Misox, das Berninagebiet aber auch das Quellgebiet des Rheins, der Reuss und der Linth mehr als 60 mm Niederschlag erhalten. Die Hauptregenzone erstreckt sich jedoch weiter nach Norden bis an den unteren Bodensee. Getrennt davon erscheint ein zweites Niederschlagsgebiet im Westen mit Maxima im Jura, in der Waadt und eines besonders auffälligen in der weiteren Umgebung der Stadt Bern (65 mm).

Eine befriedigende Aufklärung dieser auffälligen Verteilung ist wegen der starken Beteiligung der Gewitterhaftigkeit mit ihren Zufallsergebnissen nicht möglich. Immerhin sei folgendes über die allgemeine Situation erwähnt: Die Bodenwetterkarten zeigen ein flaches

Hochdruckgebiet über Südwesteuropa und die Entwicklung eines Tiefs östlich von Berlin bis zum Nachttag. Weit ausgeprägter ist die Druckverteilung in der Höhe (500-Millibarfläche). Im Westen der Alpen liegt ein tiefer Höhentrog, der sich um 01 h des 27. von Spanien über Großbritannien nordwärts erstreckt und ein Gebiet kalter Luftmassen darstellt. Diese Zone erweitert sich langsam ostwärts ohne die Alpen wirklich zu überschreiten. Damit rückt die starke SSW-Höhenströmung auf der Ostseite des Troges näher an die Alpen heran.

Die Niederschläge im Tessin, die in Locarno-Monti schon um 4 h des 27. eingesetzt hatten und während der ganzen Regenperiode von zahlreichen Gewittern begleitet waren, sind somit als Südtau-(bzw. Föhn)regen zu betrachten. Das Druckminimum wurde am Alpensüdfuß am 28. um 4 h morgens erreicht. Bis zu diesem Zeitpunkt sind auf der Alpensüdseite keine nennenswerten Temperaturänderungen zu verzeichnen, nachher ist die Temperatur im Steigen begriffen. Von einem Kaltluft-einbruch ist also hier jedenfalls bis um 4 h nichts zu erkennen.

Ganz anders auf der Alpennordseite. Hier knüpfen sich die ersten Niederschläge an einen kräftigen Temperaturrückgang. Zunächst besteht eine leichte Föhnlage. Die Höhenstationen zeigen am 27. starken Südwind. Der Himmel war nicht vollständig bedeckt. Es ergaben sich z. B. für Zürich noch 3 Stunden Sonnenschein und damit ein ausgesprochener Tagesgang der Temperatur. Die Niederschläge setzen in Genf um 14 h, in Bern um 17 h 15, in Zürich um 19 h 50 ein und waren von einer ausgesprochenen Bö, auf einigen Stationen von Gewittern begleitet. In Zürich dauern sie mit wechselnder Stärke bis in die Nachmittagsstunden des Nachtags. Die Trennung der beiden Regengebiete in der Westschweiz und im Tessin ist auf die verschiedene Verursachung zurückzuführen. In der Nordostschweiz waren schon am Vormittag einige anscheinend dümmföhnartige Niederschläge zu verzeichnen. Wie aus den spärlichen Beobachternotizen hervorgeht muß jedoch der Hauptanteil der Niederschläge in den Nachtstunden (27./28. Mai) gefallen sein. Die Gotthardstation Gütsch verzeichnet Gewitter und Winddrehung von Süd nach Nord zwischen 21 und 24 h. Dies dürfte die Hauptstörung sein. Auch die Niederschläge der Nordostschweiz stehen somit, wie die im Westen, mit dem Einbruch kälterer Luft auf der Alpennordseite in Zusammenhang. Das Druckminimum wurde in Zürich um 18½ h, also kurz vor dem Einbruch der kalten Luft erreicht. Der Höhentrog der 500-Millibarfläche lag aber um diese Zeit noch westlich der Schweiz. Seine Troglinie ist überhaupt kaum gewandert und bleibt auch an den folgenden Tagen im Westen liegen. Auf der Höhenstation Testa Grigia (Theodul) geht die Temperatur von 1 h bis 10 h des 28. um 5 Grad zurück, eine Winddrehung von Süd nach Nordost erfolgte hier erst am 28. zwischen 8 und 10 h. Der Pluviograph Sion (Wallis) verzeichnet ziemlich gleichmäßig fallende Niederschläge von 22 bis 9 h (27./28.). Eine scharfe Trennung zwischen rein orographisch bedingten Stau- und Einbruchniederschlägen ist natürlich im Süden der Alpen nicht möglich. Die Hauptsache ist die Labilisierung der Luftmassen.

Diese auffallende Niederschlagsverteilung im Tessin und in der Nordostschweiz ist schon wiederholt aufgetreten. Leider fehlt in den früheren Fällen das zur Beurteilung nötige Beobachtungsmaterial fast gänzlich. Die Bodenkarten können naturgemäß recht verschieden sein. Die Existenz eines kalten Höhentrogens im Westen ist aber zweifellos wesentlich. In einigen Fällen wurden wellenartige Störungen, die mit der Höhenströmung wandern, festgestellt. Der letzte ähnliche Fall der «Neuzeit» ist derjenige vom 7. Juni 1956, doch gibt es sicher noch weitere mit geringeren Beträgen. Bei dem Fall vom 21. Juni 1933, der sonst fast die gleiche Verteilung, aber bedeutend größere Mengen aufweist, fehlt ein ausgezeichnetes Regengebiet in der Westschweiz. Auch konnte damals kein deutlicher Einbruch kalter Luft nachgewiesen werden.

Ein Problem für sich bildet in diesem (und anderen Fällen) die Frage, auf welche Weise die Labilisierung der Luft auf der Alpensüdseite zustande kommt. Denn im vorliegenden Falle regnet es ja auf der Alpensüdseite zur gleichen Zeit wie auf der Nordseite. Nun kann man auf der Alpennordseite an Hand des Temperaturrückganges den Einbruch kälterer Luft, an den sich die Niederschläge hier knüpfen, ohne weiteres nachweisen (zum Teil handelt es sich um den Ersatz der warmen Föhnluft), während sich im Süden nichts derartiges zeigt. Auch die Erklärung ist auf der Nordseite einfach. Die Winde sind hier zwar in den tiefen Luftschichten schwach, die Bodenwetterkarte läßt aber doch ein deutliches von Westen nach Osten (später NW-SE) gerichtetes Druckgefälle erkennen, so daß die kalte Luft hier in den untern Schichten tatsächlich aus Nord bis Nordwest kommen muß.

Wie steht es jedoch in den höhern Luftschichten? Hier weht der Wind von einer gewissen Höhe an eindeutig aus Südwest. Soll man diese Strömung auch als kalt bezeichnen? Wie kommt es dann, daß man am Alpensüdfuß nichts von dieser «Kälte» merkt? Man muß jedoch unterscheiden zwischen kalter Luft und Kaltluft. Letzteres bedeutet nämlich in erster Linie eine labil geschichtete Luftmasse, die allerdings ursprünglich aus polaren Gegenden stammt und auch im vorliegenden Fall um das Höhentief herumgeflossen sein wird, so daß sie unser Land in der Höhe aus Südwesten erreicht, und trotzdem ein Vorrücken des Gebiets kalter Luft nach Osten bewirkt. Sie braucht dabei keineswegs als besonders kalt zu erscheinen. Sicherlich ist sie aber ziemlich labil geschichtet (großer vertikaler Temperaturgradient). Sie dürfte auch eine Höhenkaltfront mit sich führen. Diese Bemerkungen gelten aber für den ganzen Bereich der Kaltluft über Südwesteuropa.

Was uns jedoch hier besonders interessiert, ist die Frage, warum die Luft im Gebiet der unmittelbaren Alpensüdseite bedeutend labiler geschichtet ist als die der Umgebung. Man hat mit Recht auf ihre Labilisierung durch Aufstauung am Alpensüdhang hingewiesen. Sie ist aber (am Alpensüdfuß) auch wärmer als die der Umgebung. Nun, was das anbetrifft: in der Umgebung, nicht nur auf der Alpennordseite, sondern auch in Südostfrankreich und Spanien fließt ungehindert die kalte Bodenluftschicht nach Süden, nicht aber am Alpensüd-

fuß, denn dort steht dieser Nordströmung die Alpenkette im Wege. Wir meinen also, dies sei der Hauptgrund für die relative Labilisierung auf der Alpensüdseite. Statt durch Kaltluftzufuhr in den Höhen, erklären wir sie durch das Ausbleiben der Kaltluftzufuhr in den untern Schichten. Diese Erklärung schließt andere keineswegs aus.

Im Einzelnen kann über diese warme Luft am Alpensüdfuß noch folgendes gesagt werden: Der dem Vorrücken des Höhentrog entsprechende hohe Druckfall wird auf der Alpennordseite durch den Einbruch der kalten Luft teilweise kompensiert, nicht aber im Süden der Alpen, wo er sich ungehindert bis zum Boden durchsetzen kann. Er führt hier bekanntlich zur Bildung eines regelrechten geschlossenen Tiefdruckgebiets. Da auf der Nordseite desselben, längs der Alpenkette, auf die sich jedes Druckgefälle abstützen kann, höchstens östliche Winde wehen können, so bleibt der Alpensüdhang im Bereich der wärmeren Südluft. Jedenfalls kann der kalte Luftstrom von Westeuropa her hier nur auf der Südseite dieses Tiefs ostwärts vordringen. In der Endphase dieser Wetterlage, wenn die kalte Luft auf der Nordseite die Kammhöhe der Alpen erreicht, kann es vorkommen, daß sie die Alpen von Norden nach Süden überschreitet, was ebenfalls eine Labilisierung der Luft auf der Alpensüdseite bewirken könnte. (Es sei jedoch bemerkt, daß in diesem Fall auf der Alpensüdseite bald Nordföhn auftritt und den Niederschlägen ein Ende setzt.) Ob es am 28. dazu gekommen ist, bleibt zweifelhaft. Die kalte Luft mit nördlicher Komponente kann hier kaum größere Höhen als etwa 2500 m erreicht haben.

10. Juni

Wie die Regenkarte Nr. 8 zeigt, liegt das Hauptniederschlagsgebiet mit mehr als 40 mm an diesem Tage über den Voralpen, während die Hochalpenzone nur etwa 20 bis 35 mm aufzuweisen hat. Die Niederschläge begannen in Zürich um 17 h und dauerten bis um 10 h des 11. Juni.

Die allgemeinen Wetterverhältnisse sind wesentlich weniger klar als die Verteilung der Niederschläge vermuten läßt. Die Bodenwetterkarte läßt am Morgen des 10. Juni einen flachen Tiefdrucktrog erkennen, der sich von einer südlich von Grönland gelegenen Zyklone über Irland dann südostwärts über Frankreich bis ins Tyrhenische Meer verfolgen läßt. Auch in der Höhe unterhalb 2000 m herrschen in Westeuropa schwache unbestimmte Winde. Erst oberhalb dieses Niveaus zeigt sich eine deutliche Westströmung, die später nach Norden dreht. Unsere Hochstationen registrieren fast die ganze Zeit über nördliche Winde. Wesentlich ist, daß sich das Mittelmeertief bis zum Nachttag über der Adria bzw. dem Nordwestbalkan auf zirka 1006 Millibar vertieft, während nordseits der Alpen der Luftdruck etwas steigt. Dies bewirkte über dem Alpengebiet eine Verstärkung der Nordwinde. Die Isobypsen der 500-Millibarfläche, die sonst vorwiegend westostwärts verlaufen, zeigen eine leichte trogartige Ausbuchtung gegen Süden. Diese lag am 9. um 01 h noch westlich von Spanien und Irland, am 10. über Spanien und dem St. Georgs-

kanal. Am 11. um 01 h hat sich ein selbständiges Höhentief über dem Golf von Genua entwickelt. Das Mittelmeerbodentief entstand offenbar dadurch, daß der Höhentrog über die Alpen südostwärts wanderte, während seines Kaltluftmassen auf der Alpennordseite aufgestaut wurden. Die Niederschläge sind demnach als Stauniederschläge aufzufassen. Damit steht in Einklang, daß sie die Voralpenzone bevorzugen. Die maßgebenden Niederschläge setzten zuerst in der Westschweiz und in den Alpen ein, erst viel später auch in der nordöstlichen Schweiz (in Genf und Sion um 11 h, in Bern um 13 $\frac{1}{2}$ h, auf dem Gotthard (Gütsch) um 13 h, in St. Gallen um 14 h 10, in Zürich erst um 17 h. Sie waren nach unseren Höhenstationen von einem Temperaturrückgang um zirka 5 Grad begleitet.

Die hinsichtlich der Niederschlagsverteilung ähnlichsten Fälle der letzten 8 Jahre sind folgende: 15. Juli 1951, 12. Februar 1952, 27. Mai 1953, 17. Mai 1954. Alle zeigen also ausschließlich eine gleichmäßige Beregnung der äußeren Voralpenzone. In meteorologischer Beziehung ist allen gemeinsam: das Bestehen eines Hochs vor der europäischen Westküste, das Bestehen oder die Entwicklung einer Depression im Süden oder Südosten der Alpen. Bei allen ist ein erheblicher Temperaturrückgang festzustellen. Am 15. April dieses Jahres (1958 siehe oben) herrschten übrigens ähnliche Verhältnisse, doch lag die Niederschlagszone der Nordost- und Zentralschweiz mehr im inneren Bereich des Alpennordhangs.

19. August

Die Niederschlagsresultate dieses Tages sind in der Karte Nr. 9 dargestellt. Die Westhälfte des Tessins hat fast überall mehr als 100 mm Niederschlag zu verzeichnen. Das Kerngebiet liegt, wie meist, in der Centovalligegend (Mosogno 158 mm). Das Ostessin und das Misox haben weniger als 30 mm erhalten; die Südspitze des Kantons ist sogar niederschlagsfrei geblieben. Die großen Niederschläge greifen andererseits auch über die Alpen hinüber. So wurde gemessen: in Andermatt 91 mm, in Gurtellen 72, in Altorf 44. Die Zone mit mehr als 40 mm erstreckt sich aber noch über das Kantonsgebiet von Schwyz, Zug und Zürich weiter nordwärts bis Schaffhausen (Zürich MZA 52 mm, Winterthur 55, Schaffhausen 42). Das Voralpengebiet der westlichen Zentralschweiz, ebenso die Waadt haben noch 30 bis 40 mm, der Kanton Genf bis 50 mm erhalten. Gegen Osten nehmen die Beträge rasch ab. Der größte Teil des Kantons Graubünden sowie das St. Galler Rheintal haben meist weniger als 10 mm erhalten. Auch der Nachttag vermag das Bild der Verteilung nicht zu ändern.

Die Nachmittagswetterkarte von 13 h des 19. August zeigt eine flache Depression über Großbritannien, auf deren Südseite maritime Luft in den Kontinent eindringt. Diese hat um 13 h erst die Westschweiz erreicht. Der aerologische Aufstieg von Payerne zeigt um die genannte Zeit bereits eine Abkühlung von 5 Grad bis in 2000 m Höhe, das Thermogramm von Chasseron (Westjura) einen sehr unruhigen Temperaturrückgang im Laufe des Vormittags. Der Ablauf des Einbruchs auf der Alpennordseite zeigt etwa folgendes: In Altorf wehte starker Föhn bis um 13 h. Auch der Gotthard verzeichnet

starken Südwind bis nach 16 h. Hier haben die Niederschläge allerdings schon am Vormittag eingesetzt. Sie stammen offensichtlich von der Südseite. Der Temperaturrückgang erfolgte in Zürich und auf dem Säntis zwischen 16 und 22 h und beträgt 10 Grad. Die Niederschläge fallen in Zürich (ähnlich wie in Altdorf) zwischen 17 h und 1 h des Nachtages, knüpfen sich also an den Einbruch der kalten Luft. Der Einsatz war übrigens überall von Gewittern begleitet. Solche traten örtlich auch schon vorher im Laufe des Nachmittags auf. Der Temperaturrückgang war übrigens von einem anhaltenden Druckerhöhung auf der Alpennordseite begleitet.

Auf der Südseite der Alpen läßt sich das Eindringen der Kaltluft weniger gut verfolgen. Der Luftdruck fiel hier zunächst weiter. Temperaturrückgang (ebenfalls um 10 Grad) und Druckerhöhung setzen hier erst um 1 h des 20. ein, die Niederschläge in Locarno-Monti erst um 3½ h also bedeutend später als auf der Alpennordseite. Diese einzige Pluviographenstation der Alpensüdseite liegt zwar ziemlich nahe dem Kerngebiet, doch bleibt es leider ziemlich unklar, wie der Verlauf im Bereich des Alpensüdhangs eigentlich war. Jedenfalls sind auch hier schon am 19., zahlreiche Gewitter verzeichnet worden. Auch Locarno meldet ein Gewitter um 18 h, der Niederschlagsbeitrag desselben war aber nur gering. Immerhin darf doch angenommen werden, daß der Einbruch der kalten Luft von Norden nach Süden fortgeschritten ist.

Die 01 h-Wetterkarte zeigt dem Gesagten entsprechend ein Tief über Mailand, die 7 h-Karte des 20. den bekannten Kaltlufterhöhungsrücken auf der Alpennordseite. Was die Höhenkarte anbetrifft, so zeigt die 500-Millibarfläche die ganze Zeit über einen Tiefdrucktrog vor der europäischen Westküste insbesondere ein ausgesprochenes Tief vor dem Westende des Kanals um 0 h des 19. und 21. In dieser Höhe herrschte somit über der Schweiz anhaltender Südwestwind.

Die Frage der relativen Labilisierung auf der Alpensüdseite beantwortet sich hier etwas anders als im Fall vom 27. Mai. Da die Kaltluft in den unteren Schichten aus West, in den oberen jedoch anhaltend aus Südwest strömt, so kann eine örtliche Labilisierung am Alpensüdfluß nicht durch Übertritt von Kaltluft über die Schweizer Alpen zustande kommen, vielmehr wird man sagen: dadurch, daß das kalte innere Gebiet der Zyklone zwar in der Höhe ungehindert ost- bis südostwärts vordringen kann, daß aber den kalten Luftmassen der Bodenschicht aus Westen der Zutritt zum Alpensüdflußgebiet durch die Westalpen verwehrt wird.

Eine ganz ähnliche Situation, wie die vorliegende ist diejenige vom 7. Juni 1955, sowohl bezüglich der Wetterlage, wie bezüglich der Niederschlagsverteilung. Der Fall vom 27. Mai dieses Jahres (1958) (Karte 7) weist zwar eine sehr ähnliche Niederschlagsverteilung auf, doch war die Wetterlage erheblich verschieden.

21. September

Die Hauptniederschlagszone dieses Tages (Karte Nr. 10) mit 40 bis zirka 70 mm umfaßt die Gegend am oberen Genfersee und im Unterwallis zwischen Lausanne und Monthey, das ganze Einzugsgebiet der Saane und

der Sense, dasjenige der Aare von Interlaken bis Aarberg und das Emmental (Lausanne 48 mm, Vevey 62, la Valsainte 64, Fribourg 41, Bern 38, Langnau 49). Auch im übrigen Mittelland sind noch beträchtliche Mengen gefallen, so im Kanton Zürich noch 30 bis 40 mm. Bedeutend geringer waren die Niederschlagsmengen jedoch im Jura und in den Alpen. Andererseits erstreckt sich ein weiteres Gebiet mit Beträgen zwischen 40 und 100 mm vom oberen Langensce bis ins Misox (Locarno-Monti 54 mm, Bellinzona 62, Braggio 98, Avers 50 mm.)

Die 7 h-Wetterkarte zeigt ein ausgedehntes Tiefdruckgebiet im Nordwesten, mit einem Zentrum südlich von Island, westlich von Schottland. Randstörungen dieser Depression wandern seit dem 20. längs einer quasistationären Kaltfront, vom Atlantik her kommend, über Frankreich und Westdeutschland nach Skandinavien. Der Hauptanteil der obigen Niederschläge, die in Zürich von 15.30 h des 21. bis um 2.10 h des 22. niedergingen ist auf die Kaltfrontpassage einer solchen Randstörung zurückzuführen, die sich auf der Wetterkarte durch ein Teiltief in der Kanalgegend gerade noch abzeichnete. Die Kaltluftschicht erreichte dabei zunächst nur eine Höhe von zirka 2500 m. Die Abkühlung betrug zirka 6 Grad und erfolgte genau während der erwähnten Niederschlagsperiode. Daß zunächst kein höheres Niveau erreicht wurde, hat seinen Grund in dem Erscheinen einer neuen kleineren Welle, die der Front entlang wanderte und sich im Luftdruckgang ziemlich deutlich abzeichnet. Jedenfalls befand sich die Schweiz in der Randzone der kalten Luft.

Auf der Südseite der Alpen war eher eine leichte Erwärmung (Sonde von Mailand) festzustellen. In den Alpen herrschte vor dem Kaltlufterbruch eine leichte Föhnströmung, die jedoch die Täler nicht erreicht hat, sonst wehte in der Höhe anhaltend starker WSW-Wind. Die Kaltluft zeichnete sich nachher auf der Nordseite durch einen Hochdruckrücken längs der Alpen ab, während im Süden der Luftdruck weiter fiel, was zur Bildung eines Tiefdruckgebiets über der Poebene führte. Erst später, am 22. begann sich der Kaltlufterbruch in höheren Lagen durchzusetzen.

Es waren nur vereinzelte Gewitterstörungen zu verzeichnen. Auf der Südseite der Alpen traten mehrere Regenperioden auf, hauptsächlich zwischen 20.30 h des 21. und 8.30 h des 22.

Der vorliegende Fall zeigt eine weitgehende Übereinstimmung sowohl nach der Wetterlage wie nach der Niederschlagsverteilung mit demjenigen vom 25. Oktober 1952.

1. Oktober

Die großen Niederschläge, die an diesem Tage im Tessin fielen (vgl. Karte Nr. 11), sind in der Hauptsache durch eine Föhnströmung über den Alpen verursacht. Maximale Beträge fielen im Centovallgebiet (Camdo 204 mm). Von hier aus erstreckt sich eine Zone mit über 60 mm nordwärts über das westliche Tessin (Cevio 142 mm, Airolo 96) und weiter über den Gotthard hinüber bis ins Reußtal (Andermatt 92 mm, Gurtellen 92, Altdorf 74, Schwyz 61). Während das Sottoceneri nur 30 bis 40, das östliche Tessin 40 bis

50 mm erhalten hat, umfaßt ein weiteres Gebiet mit mehr als 60 mm das Misox (Braggio 67 mm), das Quellgebiet des Hinterrheins, (Hinterrhein 87 mm) und das Bergell (Soglio 79 mm). In Ostgraubünden, im größten Teil des Wallis sowie im Mittelland bewegen sich die Beträge zwischen 10 und etwa 25 mm.

Die Niederschläge setzen auf der Südseite der Alpen schon um 17 h des 30. September ein und dauerten hier mit kurzen Unterbrechungen bis um 3½ h des 2. Oktober. Auf der Nordseite der Alpen, in Zürich regnete es (am 1. Oktober) von 13¾ h bis 23½ h. Diese Niederschläge knüpfen sich an das nachfolgende Vordringen der Kaltluft nach Osten.

Die Föhnlage bestand schon merklich seit dem 29. September und erreichte den Höhepunkt ihrer Entwicklung am Abend des 30. September. Die Wetterkarte von 13 h dieses Tages zeigt ein kräftiges Tiefdruckgebiet im Nordwesten mit Zentrum über Irland, und ein ausgesprochenes Föhnknie der Isobaren über den Alpen. Das aus kalter Luft aufgebaute Föhnhoch auf der Alpensüdseite weist einen um zirka 11 Millibar höheren Druck auf als die Alpennordseite. In der Zeit von 22 h des 30. September bis 7 h des 1. Oktober wurde das Föhnhoch durch Zufuhr wärmerer Luft von Süden her abgebaut. Der Druckfall ist auf dem ganzen westlichen Mittelmeer verbreitet. Ein Teil des Fallgebiets zieht in der Folge nordnordostwärts über die Alpen. Es hatte zunächst den Zusammenbruch der Föhnlage zur Folge. In Altdorf setzte der Föhnsturm um 1½ h (1. Oktober) plötzlich aus, auf dem Gotthard um zirka 15 h. Der Druckausgleich zwischen Süd und Nordseite wurde im Niveau des Mittellandes um zirka 12 h erreicht. Um diese Zeit kündigt der Beginn des Druckanstiegs in den Niederungen, des Temperaturrückgangs (total 6 Grad) in der Höhe, den Einbruch der kalten Luft von Westen her an. Fortan ist das Druckgefälle über den Alpen nach Süden gerichtet. So zeigt nun die Wetterkarte vom 2. Oktober um 07 h ein Tief über der Poebene, das bis zum Nachtag nach dem Nordwestbalkan wandern wird, ferner einen Hochdruckrücken auf der Alpennordseite. Die Kaltluft, der ein kräftiger Druckfall vorauslief, war über Süddeutschland sehr rasch ostwärts vorgestoßen, während sich nun über Dänemark ein Randtief abzeichnet, so daß die Kaltfront statt wie vorher von NNE nach SSW nunmehr von Dänemark aus südsüdostwärts nach Wien verläuft. Man kann annehmen, daß der Kaltlufteinbruch mit der schon erwähnten Wanderung einer Druckwelle vom westlichen Mittelmeer nach NNE zusammenhängt.

Nach einem kurzen Unterbruch setzten die Niederschläge am Alpensüdfuß ungefähr gleichzeitig mit dem Druckanstieg um 19 h des 1. Oktober neuerdings mit größerer Stärke ein. Dieser letzte Anteil der Beträge «vom 1. Oktober» ist offenbar durch den Einbruch der Rückseitekaltluft verursacht. Er war von Gewittern begleitet.

Es sei noch bemerkt, daß die Föhn niederschläge vom Vortag sich auf die Alpensüdseite beschränken, die Maxima liegen ebenfalls über dem Centovalli, Misox und Bergell. Diejenigen vom Nachtag sind unbedeutend. Ähnliche Verteilungen sind schon wiederholt beobachtet

worden, die meisten bei gewittrigen Sommerlagen. Der typische Übertritt des Niederschlagsgebiets über den Gotthard ist stets durch einen Kaltlufteinbruch bewirkt und kann auch ohne namhaften vorausgehenden Föhn auftreten (vgl. 21. September 1933).

12. Oktober

Auch an diesem Tage sind auf der Südseite der Alpen beträchtliche Niederschläge gefallen. Das Gebiet mit mehr als 50 mm erstreckt sich vom oberen Langensee (Brissago 164 mm, Locarno-Monti 105, Camedo 91, Mosogno 69), nordostwärts bis ins Einzugsgebiet des Valserrheins (Vals 56 mm), der Rabiusa (Safien-Platz 61 mm) und des Hinterrheins (Hinterrhein 75 mm). Außer Mittel- und Nordbünden haben auch das Quellgebiet der beiden Emmen, der Vierwaldstättersee und der Kanton Schwyz Beträge von über 30 mm erhalten.

In Zürich fielen die Niederschläge in der Hauptsache zwischen 9 h und 18¼ h. Es folgte um 6¼ h des 13. ein intensiver Regenschauer. Die Druckverteilung war am Boden ziemlich flach, dagegen zeigt die Höhenkarte der 500-Millibarfläche einen kräftigen Tiefdrucktrog, der rasch ostwärts wandert. Ein Höhentief lag um 01 h des 12. über dem St. Georgskanal, um 1 h des 13. über Nordostfrankreich, um 13 h des 13. über der Poebene. Es liegt ein maskierter Kaltlufteinbruch vor, der sich auf der Bodenkarte erst nach Ankunft des Höhentroges über den Alpen, deutlich, durch ein Kaltlufthoch auf der Nordseite, ein Tief über der Poebene anzeigte. Der Temperaturrückgang erfolgte auf der Alpennordseite stufenweise und erfaßte zunächst die tieferen, später die höheren Luftschichten. Er betrug total, während der 24 Stunden ab 7½ h, zirka 7 Grad.

Auf der Südseite der Alpen sind die Verhältnisse, wie meist, infolge der Ausbildung eines Tiefs im Süden der Alpen sehr undurchsichtig. Locarno-Monti registrierte Regen in wechselnder Stärke von 2 h bis 21¾ h. Anschließend trat Aufhellung ein. Comprovasco (Misox) notiert Niederschläge bis 18 h 50. Doch war die Abkühlung auf der Alpensüdseite unbedeutend. Auch die Sonde von Mailand zeigt in 5000 m Höhe um 1 h des 13. noch keine Spur von einer solchen. Ein Gewitter wurde im Kerngebiet um 12.30 h gemeldet und deutet auf erhebliche Labilität der warmen Luft. Ein deutlicher sogenannter Übertritt der Kaltluft über die Schweizer Alpen erfolgte jedenfalls erst nach Passage des Höhentiefs, also im Laufe des 13. Es herrschte aber Nordföhn und es waren nach dem obigen Termin in Locarno keine Niederschläge mehr zu verzeichnen. Über die Ereignisse im Hauptniederschlagsgebiet Südgraubündens fehlen leider zuverlässige Angaben. Nach einigen Stationsprotokollen soll es auch nachts geregnet haben.

Einigermaßen ähnliche Fälle sind diejenigen vom 19. Juni 1948 und 15. September 1950. Auch der Fall vom 27. Mai dieses Jahres (1958) zeigt ähnliche Verhältnisse.

20. Oktober

Das Hauptniederschlagsgebiet dieses Tages mit mehr als 30 mm (vgl. Karte 12) erstreckt sich vom Haslital (Grimsel 60 mm, Guttannen 43, Meiringen 32) den

Hochalpen entlang über die Kantonsgebiete: Obwalden, Uri, Glarus (Braunwald 42 mm, Glarus 48) bis ins Säntisgebiet (Starkenbach 74 mm) und umfaßt auch das Prätigau. Das Mittelland hat meist etwa 5 bis 15 mm erhalten, ebenso die Waadtländer Alpen und das westliche Berner Oberland. Der Alpensüdfuß blieb trocken. In Zürich fielen nur 7 mm Niederschlag, und zwar in Gestalt einzelner Schauer zwischen 7 und 20 $\frac{1}{4}$ h. In Altdorf setzten sie um 4 h 40 ein; der Hauptanteil fiel ziemlich gleichmäßig zwischen 7 und 16 $\frac{1}{2}$ h, der Rest mit kurzen Unterbrechungen zwischen 18 h und 5 h des Nachtages.

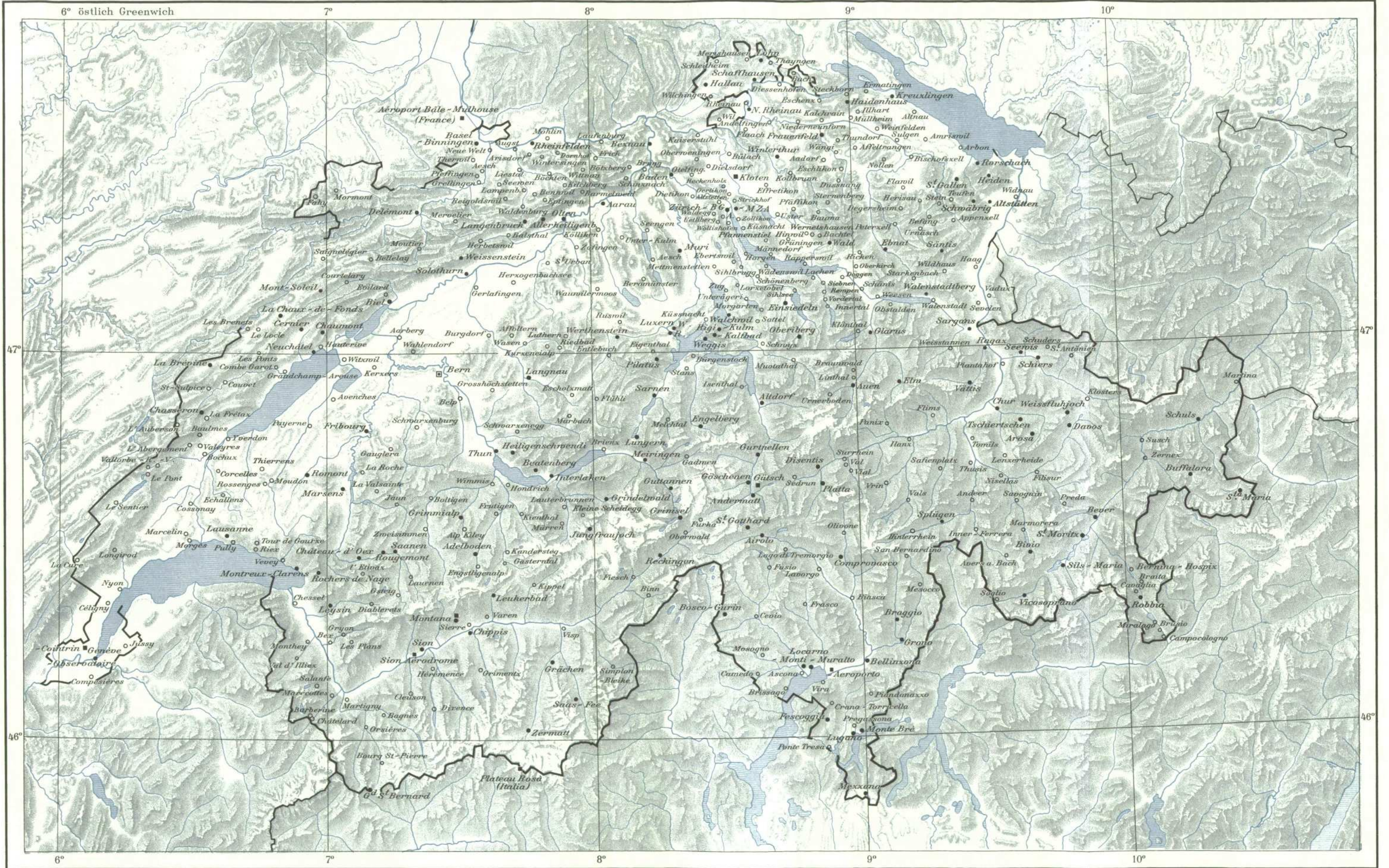
Die 13-h-Wetterkarte vom 20. Oktober zeigt ein kräftiges Hochdruckgebiet auf dem Atlantik westlich des Kanals mit Zentrum in etwa 12 Grad westlicher Länge. Über Osteuropa war die Luftdruckverteilung ziemlich flach. Dementsprechend wehten in Westeuropa meist mäßige Winde aus NNW bis N. Die Höhenkarte zeigte eine ähnliche Druckverteilung. Über den Alpen wehte während der ganzen Periode eine starke Höhenströmung aus Nord. Der Luftdruck war auf der Alpenseite um diese Zeit etwa 4 Millibar niedriger als auf der Nordseite. Es liegt eine sogenannte Staulage vor. Die Strömung war nicht störungsfrei. Die Wetterkarten zeigen mehrere Druckwellen, die in gleicher Richtung ziehen. Ein kleines Tief lag um 13 h bei Prag. Am Vormittag zeigen Druckfall und Temperaturanstieg das Heranrücken des Warmsektors einer Wellenstörung an. Der erwähnte Hauptanteil der Niederschläge gehört daher dieser Phase an. Sie sind natürlich orographisch verstärkt.

Meteorologisch bemerkenswert ist jedoch die nachfolgende Rückseitepassage. Das Druckminimum wurde in Zürich um 13 h erreicht. Der nachfolgende, flach anlaufende Druckanstieg etwa zwischen 14 h und 1 h wurde nun nach der Bodenkarte als Passage der Rückseitekaltluft gedeutet. Auf der 1-h-Wetterkarte des Nachtages wurde die Kaltfront mangels anderer Anzeichen in Koizidenz mit der Nullisallobare eingezeichnet. Sie um-

faßt damit ganz Norditalien und Frankreich (wo Aufhellungen zu verzeichnen sind) und setzt sich dann in der Warmfront der neuen Wellenstörung längs der Nordwestküste Europas bis zum neuen Tief über der Ostsee fort. Der oben erwähnte Druckanstieg war recht erheblich. Er betrug total zirka 7 Millibar, war aber sonderbarerweise auf der Alpennordseite von keinerlei Temperaturrückgang, weder in Zürich noch auf dem Säntis begleitet, so daß hier offenbar nichts von kalter Luft zu bemerken war. Eine Nachprüfung zeigte, daß das Barogramm vom Säntis nach Reduktion im Druckverhältnis auf Zürich demjenigen von Zürich parallel verlief, was das Gesagte bestätigt. Dagegen zeigt sich eine Abkühlung um 3 Grad auf Jungfrauoch. Man kann also sagen, daß eine Kaltluft nur in der Höhe über die Schweiz hinwegfloß, was naturgemäß zu einer erheblichen Labilisierung der Luftschichtung im Alpenvorland führte, wodurch sich der Schauercharakter der Niederschläge daselbst erklärt. Die Erhaltung der hohen Temperatur vor den Alpen ist offenbar eine Folge der dort herrschenden Westwinde (auf Säntis anhaltend West), welche fortdauernd Warmluft aus dem Hochdruckbereich im Westen heranzführt.

Ähnliches beobachtet man beim sogenannten Hängenbleiben der quasistationären Kaltfronten am Ostende der Alpen, wobei die Front mit den Alpen einen stationären spitzen Winkel einschließt, in dem ebenfalls starke Niederschläge in der Nordostschweiz auftreten. Daß die kalte Luft in den Niederungen nicht zum Durchbruch kam, ist wohl darauf zurückzuführen, daß sich im Westen schon bald der Warmsektor der neuen Welle wieder öffnete. Erst die Rückseite der nächsten Welle brachte nun ab 17 h des 21. Oktobers einen durchgreifenden Einbruch der kalten Rückseiteluft. Als Vergleichsfall zum obigen (Warmfront bei Nordströmung) sei der 6. Juli 1948 erwähnt. Die Niederschlagsverteilung war sehr ähnlich, die Beträge jedoch erheblich größer.

M. Grütter



Eidg. Landestopographie Bern
Service topographique fédéral Berne

● Meteorologische Station
Klimatologisches Netz
○ Station météorologique
Réseau climatique

○ Regenmess-Station
Station pluviométrique

■ Meteorologische Station
Synoptisches Netz
■ Station météorologique
Réseau synoptique

Schweizerische Meteorologische Zentralanstalt
Institut Suisse de Météorologie

Ergebnisse der Registrierungen der Sonnenscheinautographen im Jahre 1958

U = Stationen mit Sonnenscheinautographen «Usteri»
 N = Stationen mit Sonnenscheinautographen «Negretti & Zambra» (N* = neues Modell)
 F = Stationen mit Sonnenscheinautographen «Fuess»
 C* = Stationen mit Sonnenscheinautographen Casella (neues Modell)
 L = Stationen mit Sonnenscheinautographen «Lambrecht»

Monats- und Jahressummen der Sonnenscheindauer in Stunden

1958	Apparat	Januar	Februar	März	April	Mai	Juni	Juli	August	September	Oktober	November	Dezember	Jahr
Zürich	N*	49	74	128	139	213	227	225	239	180	72	13	48	1607
St. Gallen	L	46	64	120	126	178	194	196	211	148	60	10	48	1401
Säntis	N*	113	86	140	123	205	183	192	197	178	142	166	116	1841
Hallau	U	34	55	130	139	175	206	226	219	172	86	8	47	1497
Wald	U	77	73	110	123	165	180	168	186	162	78	39	71	1432
Walenstadtberg	U	108	72	112	98	153	152	152	170	179	107	70	67	1440
Braunwald	F	100	77	113	132	179	178	184	179	181	97	94	60	1574
Oberiberg	N*	83	81	116	126*	186	156	160	193	176	103	68	54	1502
Unterägeri	U	71	77	98	127	181	190	191	198	153	72	25	54	1437
Luzern	N	50	70	113	124	188	199	192	208	160	55	9	40	1408
Altdorf	N*	55	57	104	139	184	168	194	195	169	51	32	30	1378
Gütsch	F	—	—	—	—	—	—	—	222	229	123	124	92	—
Jungfrauoch	N	—	—	—	—	—	—	—	—	—	—	—	—	—
Grimmialp	N	96	67	117	133	188	153	195	188	157	100	88	60	1542
Beatenberg	F	112	86	134	131	206	182	212	226	196	133	92	76	1786
Heiligenschwendl	U	97	78	106	108	166	163	164	194	175	84	54	61	1450
Bern	L	54	82	136	141	210	230	263	241	195	79	18	35	1684
Basel	N	58	81	133	141	184	216	218	221	185	104	27	62	1630
Barmelweid	U	41	64	97	111	156	156	172	155	126	75	2	30	1185
Allerheiligenberg	U	57	65	111	125	172	180	197	190	156	83	14	49	1399
Mt-Soleil s. St-Imier	U	69	78	122	120	162	155	180	190	162	133	77	81	1529
La Chaux-de-Fonds	F	70	75	138	146	185	191	216	202	180	143	87	82	1715
Chasseron	N*	90	79	106	130	177	184	204	187	187	133	104	84	1665
Neuchâtel	U	27	63	129	129	180	201	231	207	167	69	5	35	1443
Payerne	N*	43	86	147	148	204	218	262	248	175	80	17	36	1664
Genf-Observatorium	N	30	81	145	167	225	249	276	269	210	94	22	34	1802
Genf-Cointrin	N*	25	86	143	162	215	248	261	254	204	87	17	30	1732
Lausanne	N	56	77	155	164	220	232	254	240	187	90	32	43	1750
Montreux-Clarens	U	52	61	123	149	185	193	214	211	175	82	36	31	1512
Château-d'Œx	F	107	85	147	158	197	186	229	232	202	135	88	68	1834
Leysin	U	123	82	128	141	182	176	203	213	176	131	100	74	1729
Monthey	L	83	69	128	153	162	175	217	212	178	96	49	36	1558
Sitten	U	116	96	159	198	204	205	253	256	214	134	64	69	1968
Montana s. Sierre	U	136	96	160	190	208	204	254	254	222	142	126	95	2087
Disentis	N*	101	79	136	157	179	198	230	216	216	107	90	61	1770
Plantahof b. Landquart	U	85	67	127	131	193	185	204	193	190	103	50	47	1575
Bad Ragaz	F	80	74	128	129	192	179	213	199	189	90	50	47	1570
Arosa	C*	117	84	138	130	197	167	200	195	200	110	111	73	1722
Weißfluhjoch	F	151	97	165	146	208	163	192	193	208	139	162	108	1932
Davos Platz	F	106	72	144	143	190	176	189	193	204	113	103	64	1697
Bivio	N	109	78	136	115	167	167	189	177	189	106	94	78	1605
St. Moritz	F	130	93	174	176	206	213	229	212	217	133	102	92	1977
Schuls	N	108	80	167	166	216	206	200	200	212	112	94	60	1821
Lugano	N	148	123	173	166	204	215	258	242	189	173	87	78	2056
Monte Brè	U	151	122	171	178	219	227	281	258	192	168	93	87	2147
Locarno-Monti	N	147	140	186	196	214	231	287	255	201	179	101	87	2224

1958

Tägliche Dauer des Sonnenscheins in Stunden

Tag	Januar										Februar									
	Lugano	Genève	Montana s. Pierre	Chaux- de-Fonds	Bern	Luzern	Basel	Zürich	Davos	Säntis	Lugano	Genève	Montana s. Pierre	Chaux- de-Fonds	Bern	Luzern	Basel	Zürich	Davos	Säntis
1	6.4	6.7	7.6	7.1	7.8	7.4	4.6	7.5	5.0	6.3	8.0	0.0	7.9	8.4	2.7	0.3	7.9	3.8	6.3	9.0
2	6.8	0.0	6.8	3.1	7.4	6.7	1.6	7.3	5.3	7.0	8.4	0.0	8.9	8.6	5.7	2.3	7.7	3.7	6.2	9.6
3	6.8	2.4	7.7	0.1	4.7	1.9	0.0	0.0	4.4	1.0	6.0	2.9	2.1	1.3	3.2	1.6	0.8	0.1	1.0	0.0
4	0.3	0.0	2.9	1.1	0.9	0.0	0.4	0.0	3.3	1.8	8.0	4.7	8.9	6.2	4.7	4.6	5.9	4.9	4.5	7.0
5	0.0	0.0	0.1	0.0	0.0	1.3	0.0	0.1	2.4	1.1	4.8	8.3	8.7	4.5	4.8	4.2	0.3	1.5	1.8	2.6
6	3.4	0.0	0.0	0.0	0.0	0.0	0.0	0.0	0.0	0.0	3.0	0.0	0.0	0.0	0.0	0.0	0.0	0.0	0.3	0.0
7	5.6	0.8	0.0	0.0	0.9	1.2	1.1	0.2	0.0	0.0	8.1	0.0	0.0	0.0	0.0	0.0	0.0	0.0	0.0	0.0
8	7.5	1.3	0.0	0.3	0.0	0.1	0.0	0.2	0.0	0.0	0.0	1.0	2.4	0.3	1.1	2.2	0.0	2.0	4.8	1.5
9	0.0	0.0	0.0	0.0	0.0	0.0	0.0	0.0	0.0	0.0	0.0	5.5	7.6	2.4	4.9	6.4	2.7	6.6	6.7	4.4
10	6.5	3.8	5.4	0.2	4.5	5.7	4.3	4.2	5.4	2.3	0.0	6.1	3.3	6.6	5.7	5.9	5.9	5.8	5.6	8.0
11	0.0	0.5	0.0	0.0	0.1	0.6	0.2	0.0	0.6	0.3	0.0	0.0	0.2	0.2	0.0	0.2	0.1	0.4	2.7	0.0
12	0.0	0.0	0.0	0.0	0.0	0.0	0.1	0.0	0.0	0.0	0.0	3.7	6.4	3.7	5.2	5.6	4.3	5.2	4.7	6.8
13	6.3	0.1	2.1	0.0	0.1	0.0	0.0	0.0	1.5	0.9	5.7	5.9	7.5	6.5	7.3	6.7	6.7	6.8	4.1	5.0
14	7.2	0.5	6.9	0.0	0.0	0.0	0.0	0.0	5.5	8.4	7.1	5.5	5.8	3.6	5.1	6.4	5.4	5.3	5.1	4.2
15	7.2	0.0	7.4	0.0	0.0	0.8	0.0	0.0	5.6	3.7	8.3	6.7	7.3	7.5	7.6	7.4	8.4	7.8	6.7	4.3
16	6.8	0.0	8.3	5.9	0.0	0.0	2.7	0.0	5.4	8.6	6.0	3.6	2.7	0.8	0.3	0.0	0.0	0.0	0.4	0.0
17	6.1	0.0	8.3	7.5	3.7	0.0	0.2	2.4	5.4	2.5	2.3	0.0	0.0	0.1	0.0	0.0	0.0	0.0	0.0	0.0
18	7.0	0.0	8.1	0.0	0.0	0.2	0.0	0.0	0.4	0.0	0.0	4.4	1.4	4.1	2.1	1.6	5.5	5.8	0.0	6.3
19	2.0	0.2	0.2	0.0	0.1	0.0	0.0	0.2	0.9	0.0	7.8	5.9	0.0	0.0	5.1	2.5	3.0	1.5	0.0	0.0
20	0.0	0.0	0.0	0.0	0.0	0.0	0.2	0.0	0.0	0.0	9.3	0.0	0.0	0.0	0.0	0.0	0.0	0.0	0.0	0.0
21	7.6	6.8	8.5	0.5	5.8	6.8	4.7	6.2	5.8	6.7	8.4	0.0	0.0	0.0	0.0	0.0	0.0	0.0	0.0	0.0
22	0.0	0.0	5.7	0.0	0.0	2.5	0.5	3.9	5.4	7.1	0.0	0.0	0.0	0.0	0.0	1.9	0.6	0.0	0.0	0.0
23	4.9	0.8	1.4	0.0	0.0	0.0	0.0	0.0	4.9	4.0	8.5	0.2	0.4	0.0	0.0	0.0	0.0	0.0	0.0	0.0
24	4.8	1.6	0.0	0.7	3.6	2.9	0.2	1.5	2.1	0.0	2.5	0.0	0.0	0.0	0.4	0.0	0.0	0.3	0.0	0.0
25	6.8	2.6	6.9	5.2	7.5	5.9	7.8	7.8	6.0	7.0	0.0	1.7	5.5	1.6	3.9	4.9	1.7	4.9	3.1	6.4
26	0.0	0.0	0.0	0.0	1.1	0.0	0.0	0.9	2.7	3.1	0.7	3.9	0.0	0.6	0.8	0.0	0.1	0.0	0.0	0.0
27	6.4	1.8	8.4	7.1	6.1	6.4	5.1	6.2	4.0	5.7	0.2	2.4	3.7	0.0	2.0	0.0	2.6	0.0	0.0	0.0
28	7.4	0.0	8.7	7.1	0.0	0.0	7.7	0.0	6.1	9.4	10.3	8.7	5.8	8.2	10.1	6.8	9.8	7.5	7.6	10.8
29	8.1	0.0	8.8	8.5	0.0	0.0	8.0	0.0	6.2	9.6										
30	8.3	0.0	8.8	7.7	0.0	0.0	7.9	0.0	6.3	9.6										
31	7.5	0.0	7.1	8.0	0.0	0.0	1.1	0.0	5.4	7.1										
Mittel	4.8	1.0	4.4	2.3	1.8	1.6	1.9	1.6	3.4	3.7	4.4	2.9	3.4	2.7	2.9	2.5	2.9	2.6	2.6	3.1

Tag	März										April									
	Lugano	Genève	Montana s. Pierre	Chaux- de-Fonds	Bern	Luzern	Basel	Zürich	Davos	Säntis	Lugano	Genève	Montana s. Pierre	Chaux- de-Fonds	Bern	Luzern	Basel	Zürich	Davos	Säntis
1	7.6	3.5	8.0	8.4	8.8	2.3	9.5	5.8	7.6	10.8	7.8	0.0	7.8	7.4	0.2	8.1	1.3	1.4	9.7	3.2
2	10.1	8.8	7.5	6.9	5.6	0.5	0.6	0.0	0.0	0.0	0.0	8.7	8.0	10.9	10.3	0.0	11.4	11.1	6.6	8.2
3	9.8	7.1	6.0	0.0	0.0	0.0	0.0	0.0	0.9	0.7	0.0	1.4	5.4	0.6	4.0	4.8	1.4	4.5	3.6	5.0
4	3.9	3.8	3.6	6.7	5.6	4.6	2.8	4.8	7.5	8.2	0.3	5.3	3.9	6.6	7.1	5.1	6.6	5.4	0.6	2.6
5	9.2	10.1	10.2	10.1	9.3	10.1	10.3	9.0	7.9	11.0	1.2	3.9	1.6	1.4	0.0	0.0	0.0	0.0	7.6	1.0
6	9.4	5.9	8.1	0.8	6.0	5.9	1.2	2.8	8.0	3.5	0.0	1.2	0.9	0.0	0.2	0.0	0.0	0.0	0.0	0.0
7	4.4	7.9	6.1	6.0	5.4	4.5	3.6	3.6	0.9	0.3	5.2	0.8	2.7	0.0	0.0	0.0	0.0	0.0	0.1	0.1
8	9.4	7.4	4.4	0.2	2.0	1.5	1.5	0.6	3.6	0.0	9.7	0.7	3.0	1.7	0.3	0.8	5.0	1.6	3.7	0.3
9	0.5	1.8	3.5	0.2	0.7	1.3	0.0	0.1	3.1	3.1	11.3	5.5	3.0	1.2	2.0	1.4	1.4	2.5	3.1	0.0
10	1.9	6.4	5.3	4.0	5.3	2.6	2.4	2.3	0.4	2.1	6.4	1.2	0.1	0.5	0.0	0.1	3.2	1.5	0.0	0.0
11	0.0	0.0	1.6	1.9	0.5	3.6	0.0	2.6	0.0	0.0	1.4	6.2	0.7	2.7	0.0	0.0	3.0	1.6	5.9	1.1
12	9.5	4.7	1.6	3.3	6.3	4.7	7.6	4.3	0.8	0.0	0.0	0.4	9.9	1.0	0.1	5.2	0.0	5.7	6.6	11.7
13	8.4	0.0	0.0	0.0	0.0	0.0	0.2	0.0	0.0	0.0	0.0	0.7	3.7	4.8	1.0	1.0	1.6	1.8	3.0	2.0
14	9.6	0.0	0.0	1.4	0.3	0.8	1.1	4.0	6.3	0.0	0.2	4.5	6.9	0.9	5.5	6.1	3.7	5.5	7.0	6.9
15	9.8	5.5	7.7	7.9	8.8	1.8	3.1	5.4	5.0	0.0	0.0	0.4	0.0	0.0	0.0	0.4	0.0	0.0	0.0	0.0
16	7.0	8.4	10.0	9.5	9.3	10.7	10.8	10.8	9.0	9.5	0.0	0.0	0.0	0.0	0.0	0.0	0.0	0.0	0.0	0.0
17	0.0	0.0	0.0	0.1	0.0	1.2	5.8	7.9	7.5	9.2	7.1	4.7	9.9	3.2	1.6	1.1	3.1	1.4	0.0	1.3
18	0.0	0.7	0.4	0.0	0.0	0.0	2.6	0.0	0.0	0.0	9.3	9.0	10.7	10.8	10.3	7.2	11.5	5.8	6.4	8.2
19	1.7	0.9	0.4	1.7	0.0	0.0	3.1	2.0	4.9	0.0	11.5	12.4	12.6	4.5	6.0	5.6	3.6	5.1	1.0	0.4
20	0.0	2.7	0.9	4.9	0.0	0.0	1.4	0.1	1.7	0.0	11.7	12.7	12.6	11.0	13.0	12.3	12.4	12.9	10.9	13.0
21	10.4	8.7	8.9	2.6	1.0	0.7	6.1	0.8	0.4	0.0	11.7	12.6	12.6	12.7	12.1	12.0	11.9	12.6	10.2	6.2
22	10.9	8.2	10.7	9.2	10.3	9.1	10.0	10.5	8.4	11.8	11.5	12.9	12.5	12.3	12.3	7.7	8.0	9.3	11.2	0.0
23	10.3	9.7	10.8	11.0	9.5	6.8	9.9	7.6	9.5	11.8	0.3	6.2	7.9	10.9	5.3	4.2	8.8	5.0	3.5	8.2
24	0.0	0.3	6.9	5.5	7.4	8.3	9.3	10.7	9.5	11.8	11.4	13.0	12.7	13.1	12.5	12.6	13.1	13.2	11.2	13.6
25	0.0	1.0	0.2	0.3	0.3	1.8	0.2	2.5	4.9	4.9	0.9	5.2	4.2	5.3	4.3	5.5	5.2	5.1	7.4	5.6
26	1.8	3.8	2.9	0.6	0.6	0.1	0.0	0.1	0.6	0.1	9.6	7.1	9.8	2.9	7.8	8.5	4.4	8.5	10.4	10.2
27	0.0	0.8	0.0	0.2	0.4	2.4	2.9	4.0	5.0	5.6	1.7	2.9	1.5	0.1	1.8	0.8	1.0	0.5	0.3	0.0
28	7.8	2.6	6.4	6.0	6.9	7.6	7.2	7.1	9.1	7.9	11.9	7.6	4.8	4.9	4.8	1.2	3.7	3.8	1.8	0.0
29	0.0	6.2	7.2	9.5	7.7	9.7	9.7	10.2	5.6	10.5	12.0	7.9	7.9	2.0	5.3	1.7	2.8	1.4	0.1	0.0
30	8.3	6.7	10.3	10.4	9.2	10.1	8.0	8.3	9.3	10.7	12.0	12.0	12.5	12.9	12.9	10.5	13.1	11.9	11.5	13.9
31	11.4	11.1	10.7	9.1	9.2	0.0	2.6	0.5	6.4	6.7										
Mittel	5.6	4.7	5.2	4.5	4.4	3.6	4.3	4.1	4.6	4.5	5.5	5.6	6.3	4.9	4.7	4.1	4.7	4.6	4.8	4.1

Tägliche Dauer des Sonnenscheins in Stunden

Tag	Mai										Juni									
	Lugano	Genève	Montana s. Sierre	Chaux- de-Fonds	Bern	Luzern	Basel	Zürich	Davos	Säntis	Lugano	Genève	Montana s. Sierre	Chaux- de-Fonds	Bern	Luzern	Basel	Zürich	Davos	Säntis
1	11.8	12.1	12.6	13.3	13.2	12.9	13.3	13.2	11.5	12.7	11.1	12.9	11.4	12.6	11.4	11.0	12.6	11.4	12.1	13.3
2	7.2	9.5	6.8	13.1	12.7	13.2	13.3	13.2	11.5	12.7	9.0	10.5	7.2	4.4	7.7	10.4	5.6	11.0	10.6	12.9
3	11.1	10.1	9.2	9.7	11.1	8.6	11.5	13.1	9.2	11.7	4.7	1.8	5.4	0.5	0.2	0.1	0.1	0.3	5.0	7.1
4	10.3	12.1	8.7	11.5	11.7	11.5	13.0	12.1	7.2	3.7	13.2	13.7	9.3	10.1	12.3	7.7	12.9	12.3	5.7	4.8
5	7.4	4.6	6.4	3.6	6.3	8.2	5.3	8.0	9.1	9.2	13.0	14.6	13.7	13.2	15.0	14.8	14.8	13.7	10.9	9.0
6	6.8	7.7	6.9	3.3	6.2	5.2	2.5	4.4	1.9	0.8	1.7	2.7	0.0	2.9	4.7	5.6	5.8	9.4	10.7	11.0
7	10.7	12.9	8.4	8.4	8.0	3.4	5.0	4.7	1.3	1.0	4.5	8.2	3.2	4.5	4.2	2.8	4.0	2.2	1.1	1.1
8	6.8	6.2	6.5	6.2	7.6	9.6	7.9	10.1	10.6	10.5	12.6	12.5	12.2	10.8	10.5	9.0	11.9	11.5	12.0	6.7
9	6.6	8.4	3.1	5.7	9.9	8.1	5.3	8.7	6.5	5.6	5.7	8.2	9.4	7.6	9.9	11.0	9.9	9.5	9.7	7.3
10	2.1	8.7	7.1	8.3	8.8	7.0	6.7	6.8	6.3	6.0	0.0	0.0	0.0	0.0	0.0	0.0	1.3	0.0	0.0	0.0
11	9.4	6.1	5.9	9.6	10.6	8.6	9.0	10.2	11.7	10.1	0.0	1.8	0.0	2.9	1.5	0.0	7.7	0.2	0.0	0.0
12	4.4	0.0	2.3	1.5	1.0	2.7	3.0	3.8	4.8	5.2	10.0	12.9	9.2	6.9	11.8	9.0	2.5	8.9	5.1	7.7
13	1.3	4.2	2.4	1.4	0.8	0.9	0.0	0.1	0.8	1.2	10.5	11.2	8.5	8.6	9.4	7.7	3.3	7.9	3.5	6.7
14	0.5	2.8	1.5	0.7	1.6	1.3	2.3	1.6	4.1	1.3	12.2	13.8	12.8	14.4	14.4	13.6	12.1	14.0	9.0	6.2
15	0.9	2.3	0.1	0.8	0.1	0.0	0.9	0.0	0.9	0.0	9.8	14.3	12.7	10.0	14.5	14.3	14.1	14.4	12.0	13.7
16	0.0	0.4	0.5	0.5	2.7	0.0	2.7	0.2	1.7	0.0	8.2	13.9	7.6	9.0	11.1	12.4	13.1	14.3	7.3	10.4
17	11.9	10.4	7.7	4.0	2.7	1.0	4.3	3.1	0.6	0.0	8.9	13.9	6.5	10.8	13.4	8.2	13.3	14.0	3.0	9.9
18	10.9	8.1	8.1	0.7	7.6	3.5	1.3	7.0	3.1	1.5	13.1	10.1	11.0	5.4	9.8	5.6	7.0	8.6	6.8	6.8
19	12.0	14.0	12.9	11.2	14.6	14.6	13.8	14.2	11.4	13.1	10.8	11.6	4.5	3.0	5.7	3.6	4.4	3.8	0.8	3.2
20	11.5	12.5	13.5	13.2	13.2	14.2	13.4	13.8	12.1	14.7	1.7	0.1	0.0	0.2	0.8	2.0	0.3	2.4	1.7	1.1
21	7.0	0.0	6.7	0.1	0.2	3.2	0.1	3.9	6.6	6.6	0.0	1.3	0.2	0.1	0.1	0.5	2.8	0.6	1.9	0.0
22	0.0	2.7	0.0	0.1	0.0	0.1	0.1	0.0	0.9	2.0	5.6	6.0	2.8	7.0	5.4	1.5	2.8	2.6	4.4	0.2
23	9.5	12.5	9.0	12.2	11.5	10.1	10.2	11.8	5.3	11.2	10.3	10.0	11.5	9.5	11.0	6.0	10.9	9.6	5.7	0.9
24	8.4	8.8	10.9	7.0	8.4	12.6	5.9	13.5	11.5	14.0	0.0	0.2	0.2	0.0	0.1	0.1	0.1	0.2	1.1	0.4
25	0.5	8.8	5.6	8.7	8.8	8.5	4.2	9.8	5.6	8.0	12.2	13.2	12.8	13.8	14.3	13.3	11.5	11.6	12.2	11.7
26	6.0	1.7	12.6	0.9	0.1	0.5	1.7	1.0	11.6	13.4	0.0	0.0	0.0	0.0	0.0	0.2	0.0	0.1	0.1	1.9
27	0.0	1.1	5.7	0.2	3.8	2.0	0.1	2.8	0.6	0.7	0.0	0.2	0.0	0.0	0.0	2.9	0.0	0.0	0.0	0.0
28	4.1	6.8	4.0	1.9	2.0	0.3	4.2	1.9	0.7	0.0	13.0	11.3	11.0	4.9	8.6	0.0	9.6	5.1	0.0	0.0
29	12.9	9.8	12.9	13.1	9.1	6.9	12.3	10.0	13.0	14.7	12.9	14.3	13.9	11.7	13.9	14.4	12.6	14.0	12.5	15.5
30	0.6	7.4	0.3	1.2	4.4	0.8	0.8	0.8	0.4	0.0	0.0	3.9	6.9	6.5	7.8	11.5	9.4	13.2	11.0	13.7
31	11.4	12.0	10.1	12.5	11.2	8.0	10.0	9.7	7.6	12.4										
Mittel	6.6	7.2	6.7	6.0	6.8	6.0	5.9	6.9	6.1	6.6	7.2	8.3	6.8	6.4	7.6	6.6	7.2	7.6	5.9	6.1
Tag	Juli										August									
	Lugano	Genève	Montana s. Sierre	Chaux- de-Fonds	Bern	Luzern	Basel	Zürich	Davos	Säntis	Lugano	Genève	Montana s. Sierre	Chaux- de-Fonds	Bern	Luzern	Basel	Zürich	Davos	Säntis
1	0.0	6.1	6.3	3.9	3.2	6.0	4.2	6.3	3.8	4.3	11.0	12.4	12.0	6.7	11.1	12.1	7.9	11.9	11.7	13.9
2	6.6	8.9	7.5	7.2	8.7	3.0	7.2	7.5	6.5	3.0	8.5	6.6	9.1	1.9	3.8	5.0	1.7	3.4	5.3	3.4
3	6.5	8.1	5.0	2.5	7.9	7.3	4.9	6.4	3.7	3.0	8.4	11.2	2.4	6.2	1.8	0.0	10.6	0.3	0.0	0.3
4	6.2	5.8	6.4	3.6	4.3	1.6	2.0	4.1	0.5	0.0	11.4	12.8	10.5	13.1	13.3	12.7	13.8	13.5	8.4	8.9
5	12.3	4.2	3.7	2.7	6.1	3.5	7.1	4.9	1.5	2.5	8.8	11.2	11.1	11.0	12.1	12.9	12.3	12.4	11.7	13.8
6	13.1	14.5	9.9	4.3	11.6	5.1	3.9	0.8	2.6	0.4	8.2	9.8	9.6	7.8	7.5	7.2	6.9	7.6	5.3	0.5
7	4.6	3.1	3.1	8.0	8.0	9.4	9.1	9.4	6.6	9.1	2.7	5.7	5.0	1.6	3.3	1.0	4.3	1.7	0.1	0.0
8	12.8	10.6	12.3	11.2	12.4	6.4	6.3	12.3	10.7	9.3	12.4	13.1	10.5	7.0	7.5	6.2	6.8	6.1	7.2	2.5
9	9.6	5.9	12.7	10.9	11.5	1.5	8.2	10.4	9.7	12.6	12.0	13.5	11.7	5.2	10.5	9.6	7.3	10.9	8.9	9.0
10	1.0	9.5	5.8	10.0	11.0	9.8	11.6	12.7	4.2	5.4	10.7	10.9	10.6	11.6	11.9	11.4	9.7	11.3	9.1	11.5
11	11.8	12.9	11.6	8.1	12.7	8.1	10.6	10.8	8.0	9.3	10.2	11.2	12.0	10.6	11.8	12.1	10.1	12.2	10.8	13.4
12	8.1	13.1	11.7	11.3	12.4	11.1	12.2	9.5	5.6	10.0	2.8	7.2	8.5	6.3	6.4	0.5	6.9	3.2	3.0	0.0
13	11.5	7.0	9.6	5.5	7.8	8.3	5.2	8.4	10.6	11.0	11.0	10.3	10.5	3.0	5.1	3.6	3.9	9.5	5.7	3.1
14	7.1	10.7	11.0	5.4	8.7	6.4	7.9	5.6	5.8	8.8	12.1	13.3	12.4	6.3	12.0	10.6	5.4	11.4	10.3	9.4
15	11.8	13.0	11.8	10.5	10.7	8.6	11.1	10.3	11.6	10.4	12.0	13.3	12.0	12.4	13.3	13.2	10.9	13.3	10.2	11.2
16	0.7	2.4	2.5	0.7	4.0	3.6	2.0	3.6	4.6	5.7	7.4	8.2	4.0	6.3	5.5	3.4	7.0	6.3	2.1	1.9
17	9.9	10.1	9.6	10.0	5.3	3.9	11.4	4.5	0.0	2.8	11.4	11.1	12.7	10.3	11.9	11.9	11.4	11.9	10.2	12.6
18	12.6	14.0	13.5	14.0	14.3	8.1	14.0	13.8	10.4	15.3	3.5	10.2	6.7	9.0	8.3	8.3	9.3	9.1	3.8	10.4
19	9.4	13.1	13.0	10.6	12.8	13.8	13.7	14.0	11.5	12.8	4.3	1.1	1.6	1.8	4.3	4.5	4.2	5.6	5.6	6.2
20	6.0	9.8	5.9	5.7	8.5	3.8	6.3	4.6	4.6	3.4	8.2	4.2	9.4	4.4	9.4	5.4	5.4	6.3	4.8	3.3
21	10.8	12.5	10.2	9.5	8.5	5.9	4.8	7.5	9.0	6.2	0.0	0.0	0.3	0.0	0.0	0.7	0.7	1.3	0.7	2.2
22	0.8	3.7	4.9	3.7	3.3	1.2	4.5	1.7	0.7	0.0	0.2	5.3	2.1	1.7	3.8	1.9	2.4	2.5	0.7	1.3
23	12.1	5.6	9.0	3.8	4.2	3.2	0.9	3.8	3.5	0.0	9.3	3.4	3.1	1.5	2.2	0.9	5.0	4.5	8.5	0.2
24	9.4	4.1	0.5	0.1	0.5	0.0	1.3	0.0	1.3	0.0	0.0	0.4	3.4	0.6	2.5	3.5	0.6	2.8	1.6	1.4
25	11.9	13.6	11.1	13.8	12.7	10.2	11.7	9.5	9.8	8.2	3.3	6.6	5.5	6.9	8.2	8.0	8.3	9.4	2.6	2.1
26	3.1	3.5	5.7	5.1	6.9	6.3	5.5	7.3	9.3	9.1	11.4	11.3	10.5	4.2	7.9	5.7	6.2	8.5	0.1	0.4
27	8.8	7.6	5.2	2.7	7.1	4.5	0.9	3.4	6.1	3.1	11.2	12.5	12.4	12.1	12.5	9.3	12.0	12.1	10.9	13.5
28	9.9	11.2	7.7	7.7	8.0	7.7	6.8	6.3	2.9	2.4	11.0	10.7	11.0	11.5	11.5	11.3	11.6	11.9	11.0	12.8
29	7.5	4.2	2.6	2.2	6.0	4.8	2.8	3.6	4.4	5.1	5.7	4.0	4.5	5.2	4.7	1.3	3.8	5.5	9.3	10.0
30	11.2	13.9	11.2	9.8	10.4	8.2	6.9	10.0	7.6	6.2	10.1	8.1	10.8	7.7	9.3	7.2	6.5	7.3	7.8	9.7
31	11.0	13.1	12.8	12.0	13.9	11.1	12.8	11.7	11.7	12.1	2.4	9.4	7.9	7.9	7.3	6.4	8.1	5.7	6.1	7.9
Mittel	8.3	8.9	8.2	7.0	8.5	6.2	7.0	7.2	6.1	6.2	7.8	8.7	8.2	6.5	7.8	6.7	7.1	7.7	6.2	6.3

1958

Tägliche Dauer des Sonnenscheins in Stunden

Tag	September										Oktober									
	Lugano	Genève	Montana s. Sierr	Chaux-de-Fonds	Bern	Luzern	Basel	Zürich	Davos	Säntis	Lugano	Genève	Montana s. Sierr	Chaux-de-Fonds	Bern	Luzern	Basel	Zürich	Davos	Säntis
1	0.0	0.1	1.4	0.1	5.6	2.8	8.2	6.1	6.6	8.5	0.0	1.9	0.0	0.0	0.0	0.0	0.0	0.0	0.6	1.2
2	11.2	7.3	10.0	7.5	8.7	5.4	9.6	5.6	6.8	7.7	6.9	7.3	6.1	6.8	5.0	6.4	7.1	6.0	2.1	2.9
3	10.3	10.7	9.1	7.8	10.5	7.0	10.7	6.4	8.2	8.0	8.8	8.6	9.1	9.7	8.1	8.9	9.0	9.8	8.4	10.5
4	0.0	10.8	5.9	3.8	4.8	0.4	7.4	2.2	2.7	5.2	0.4	0.0	1.3	0.0	0.6	1.1	0.6	2.7	6.3	2.5
5	4.5	6.2	11.5	11.7	9.4	8.4	11.4	7.8	10.1	11.8	1.8	8.3	1.4	7.8	6.1	5.4	6.0	6.4	4.9	3.1
6	10.7	11.0	11.1	9.3	10.3	9.9	11.2	9.9	10.2	12.6	0.0	0.0	0.5	0.1	0.0	0.0	0.0	0.0	0.0	0.0
7	10.8	9.7	9.7	4.2	8.8	7.2	6.8	11.0	7.0	1.8	0.0	0.0	0.0	0.0	0.0	0.0	0.0	0.0	0.0	0.0
8	8.5	8.9	10.0	2.4	5.5	6.8	2.3	4.9	6.0	2.0	5.5	5.2	8.7	8.7	1.2	0.0	3.0	0.0	8.0	10.4
9	9.3	11.7	6.9	6.5	5.5	6.7	8.6	7.4	7.8	1.6	9.2	7.8	8.3	9.4	5.0	2.0	8.1	2.0	7.9	9.9
10	7.4	8.1	5.1	6.1	6.3	0.5	1.0	1.0	3.8	0.0	2.1	2.2	7.5	*7.5	5.4	1.1	7.1	3.7	5.6	8.1
11	11.1	7.9	7.4	10.9	11.1	4.6	7.9	9.9	10.0	6.3	0.0	3.8	0.4	5.2	1.7	0.1	5.5	0.0	2.1	0.9
12	8.9	7.9	10.7	11.5	10.6	3.6	8.7	9.4	10.0	11.8	0.0	0.6	0.0	0.1	0.0	0.3	0.0	0.8	0.0	0.0
13	5.1	10.5	11.2	11.0	7.7	10.1	10.9	8.6	9.9	12.1	4.9	4.1	4.1	0.9	2.5	1.4	2.0	1.2	0.6	0.0
14	6.8	9.5	11.2	11.5	11.2	11.3	11.1	8.7	9.9	12.0	4.2	0.0	0.0	0.0	0.0	0.1	0.0	0.0	0.0	0.0
15	10.0	9.2	10.9	10.4	10.7	11.0	9.0	11.0	9.9	11.7	10.0	4.0	3.8	0.9	4.3	1.0	0.8	1.0	1.1	0.0
16	6.5	0.0	6.3	0.1	1.7	2.3	0.2	1.2	8.3	3.8	9.8	1.7	1.5	0.7	1.1	1.0	2.0	2.1	0.6	0.0
17	0.0	0.1	1.3	0.0	0.5	0.0	0.0	0.0	3.5	1.4	9.9	1.2	0.0	0.0	6.3	0.0	0.1	0.0	0.0	0.0
18	4.7	0.0	2.2	1.9	0.8	0.0	2.1	2.6	0.4	0.6	7.8	5.4	7.4	1.7	0.0	0.8	2.4	1.1	1.6	0.0
19	4.4	8.2	7.1	8.3	6.2	3.8	7.4	2.2	8.0	10.6	9.6	5.4	3.4	1.7	1.5	1.2	1.1	2.0	1.8	0.0
20	5.5	4.2	3.1	1.2	1.0	1.6	1.2	2.2	4.1	2.8	7.8	0.0	0.0	0.0	0.3	0.0	0.4	0.0	0.0	0.0
21	0.0	1.0	0.0	0.0	1.2	1.6	0.1	1.3	2.6	1.9	4.2	0.0	0.0	0.0	0.0	0.0	0.0	0.0	0.0	0.0
22	0.2	1.7	0.8	1.8	1.3	1.6	1.5	1.7	0.0	0.0	9.2	7.6	5.4	8.6	7.3	5.9	3.6	5.4	6.4	8.1
23	10.9	11.2	12.8	6.4	10.6	6.7	9.5	9.5	7.3	1.6	9.4	6.2	8.8	9.1	8.4	4.8	6.9	6.8	7.1	10.3
24	8.5	10.2	6.4	7.8	6.3	6.2	2.1	4.2	6.7	2.4	9.0	6.3	9.7	9.4	4.8	4.4	6.8	8.0	6.9	9.6
25	8.3	5.4	8.7	2.3	2.9	8.5	2.8	4.4	6.1	1.2	9.1	0.0	9.7	9.5	0.0	0.0	1.2	0.0	6.9	10.2
26	10.8	9.7	10.4	5.5	5.2	1.7	4.9	5.7	6.0	0.0	9.2	0.0	9.6	9.4	0.0	1.9	0.0	6.9	10.2	0.0
27	10.6	10.0	10.6	10.4	10.3	8.9	8.6	10.5	9.2	11.3	8.9	0.0	9.5	9.4	0.0	0.0	5.0	0.0	6.9	10.3
28	2.5	10.4	10.3	10.1	9.6	8.1	10.3	10.2	9.0	11.0	7.3	0.0	9.5	9.4	0.0	0.0	6.8	0.5	6.9	10.2
29	0.8	8.0	8.8	9.6	9.1	8.8	9.0	9.4	9.1	9.5	7.8	2.0	9.4	9.3	3.6	1.4	7.8	5.2	6.8	10.1
30	0.5	0.0	1.0	0.3	1.9	4.0	0.1	5.1	4.9	7.0	0.0	4.0	6.9	7.0	4.6	5.5	7.9	5.6	0.6	7.2
31											0.0	0.0	0.0	0.9	0.8	2.8	1.0	2.2	4.8	5.9
Mittel	6.3	7.0	7.4	6.0	6.5	5.3	6.2	6.0	6.8	5.9	5.6	3.0	4.6	4.6	2.5	1.8	3.4	2.3	3.6	4.6

Tag	November										Dezember									
	Lugano	Genève	Montana s. Sierr	Chaux-de-Fonds	Bern	Luzern	Basel	Zürich	Davos	Säntis	Lugano	Genève	Montana s. Sierr	Chaux-de-Fonds	Bern	Luzern	Basel	Zürich	Davos	Säntis
1	1.6	4.3	5.2	1.7	3.5	1.3	2.8	2.9	0.0	0.4	7.0	0.0	7.9	0.0	0.0	0.0	0.7	0.0	0.1	0.0
2	8.1	3.0	5.3	3.1	2.2	3.1	2.3	2.8	3.8	7.6	0.0	0.0	5.6	6.3	1.2	0.0	0.0	0.0	5.5	8.4
3	6.6	0.2	0.4	0.0	0.0	0.0	0.0	0.0	0.0	0.0	0.0	0.0	7.8	7.7	5.3	0.0	4.4	6.4	5.5	8.7
4	3.7	0.0	2.5	0.0	0.0	0.0	0.0	0.0	0.0	0.0	3.5	0.0	7.9	7.2	0.0	0.0	5.7	0.0	5.5	8.5
5	0.3	1.1	6.6	3.7	0.1	0.5	2.3	0.0	6.4	7.6	6.6	0.0	7.7	6.0	0.8	0.0	5.4	0.0	4.9	8.5
6	0.0	1.2	0.0	0.2	0.8	0.0	3.7	0.0	0.0	6.9	2.9	0.2	7.6	7.0	2.6	0.0	6.3	0.2	5.4	8.4
7	8.0	0.0	8.1	6.8	0.0	0.0	1.1	0.0	6.5	9.4	7.0	0.0	7.7	7.7	0.0	0.0	1.1	6.7	5.3	8.4
8	3.5	0.1	3.0	1.1	1.9	2.9	2.2	2.7	5.0	2.8	6.7	0.1	7.4	7.4	3.5	2.2	7.2	4.6	5.4	8.4
9	0.0	0.0	0.0	0.0	0.0	0.0	0.0	0.0	0.3	0.0	0.2	0.0	1.0	0.0	0.0	0.0	0.0	0.0	0.0	0.0
10	0.0	0.0	0.0	0.0	0.0	0.0	0.0	0.0	0.0	0.0	3.1	2.0	0.0	0.0	0.1	1.4	0.6	0.1	0.1	0.0
11	0.0	0.5	0.0	0.0	0.1	0.0	0.0	0.0	1.3	2.7	0.0	0.0	0.0	0.2	0.0	0.0	0.5	0.0	0.0	0.0
12	0.0	0.0	0.0	0.0	0.0	0.0	0.0	0.0	0.0	0.0	6.4	0.0	0.0	0.0	0.1	0.0	0.0	0.0	1.1	0.0
13	1.3	0.0	0.0	0.0	0.0	0.0	0.0	0.0	0.0	5.4	0.0	0.0	0.0	0.0	0.0	0.0	0.0	0.0	0.0	0.6
14	2.9	0.1	0.9	0.0	0.0	0.0	0.0	0.0	4.3	3.2	4.3	3.6	3.4	*2.0	3.0	2.7	4.1	1.1	0.0	0.0
15	7.8	0.0	1.7	0.1	0.0	0.0	0.0	0.0	5.8	7.3	0.2	0.8	1.7	2.3	0.5	1.1	0.0	0.4	1.7	0.9
16	6.3	3.9	6.6	0.0	0.0	0.0	0.0	0.0	1.0	3.3	0.0	0.1	1.3	2.2	2.9	3.7	3.2	4.1	2.2	5.6
17	0.0	2.7	5.5	0.3	2.1	1.4	0.0	0.4	0.1	8.6	0.0	0.0	0.0	3.2	3.0	2.8	4.5	3.9	0.0	3.0
18	1.5	3.4	8.0	7.9	6.3	0.0	3.0	0.4	6.0	8.8	3.8	6.5	7.5	3.6	5.5	7.2	3.6	7.3	5.3	8.1
19	7.5	2.0	8.2	8.0	0.6	0.0	7.7	2.7	5.9	8.8	0.0	0.0	1.1	1.4	1.8	3.5	0.6	1.9	0.6	2.4
20	3.7	0.0	3.8	6.5	0.0	0.0	0.0	0.7	4.6	7.6	0.0	1.2	0.4	2.6	0.3	4.0	1.4	1.3	0.9	6.8
21	3.5	0.0	4.4	5.8	0.0	0.0	0.0	0.0	4.1	7.3	0.0	1.4	0.0	0.3	0.0	0.0	0.8	0.0	0.1	1.2
22	0.0	0.0	0.0	0.0	0.0	0.0	0.0	0.0	5.0	7.8	0.3	0.0	4.0	0.0	3.8	6.4	5.6	5.3	4.3	5.2
23	0.0	0.0	5.4	7.8	0.0	0.0	0.0	0.0	5.6	8.5	0.0	1.0	1.1	5.1	0.0	0.0	0.0	0.1	0.3	0.8
24	0.0	0.0	6.2	7.4	0.0	0.0	1.5	0.0	5.3	6.8	0.0	0.0	0.0	0.0	0.0	0.0	0.0	0.0	0.0	0.0
25	0.0	0.0	4.2	1.5	0.0	0.0	0.0	0.0	4.2	5.1	3.7	2.6	0.0	0.0	0.0	0.0	0.0	0.0	0.0	0.0
26	6.8	0.0	8.0	7.6	0.0	0.0	0.0	0.0	5.7	8.4	6.9	0.0	0.0	0.0	0.0	0.0	0.0	0.0	1.5	8.1
27	6.1	0.0	8.2	0.0	0.0	0.0	0.0	0.0	5.6	8.7	1.2	0.0	0.0	0.0	0.0	0.0	0.0	0.0	0.0	0.3
28	0.0	0.0	7.4	5.1	0.0	0.0	0.0	0.0	5.7	8.3	6.8	0.0	0.0	0.0	0.0	0.0	0.0	0.0	0.4	0.0
29	1.2	0.0	8.1	6.7	0.0	0.0	0.0	0.0	5.5	8.7	4.8	2.8	0.4	0.1	0.1	0.0	0.0	0.0	0.0	0.0
30	6.8	0.0	8.1	5.3	0.0	0.0	0.0	0.0	5.7	6.1	2.9	5.5	7.6	3.8	0.0	4.8	0.1	0.1	4.5	8.2
31											0.0	6.2	5.9	6.4	0.2	0.2	6.7	4.5	3.6	5.6
Mittel	2.9	0.8	4.2	2.9	0.6	0.3	0.9	0.4	3.4	5.5	2.5	1.1	3.1	2.7	1.1	1.3	2.0	1.5	2.1	3.7

Agrarmeteorologische Beobachtungen

Zürich

Verdunstung in Millimeter Wasserhöhe (Wildsche Waage in offener Hütte)

Château d'Oex

1958	I	II	III	IV	V	VI	VII	VIII	IX	X	XI	XII	I	II	III	IV	V	VI	VII	VIII	IX	X	XI	XII											
1	0.8	0.0	0.6	1.5	3.5	3.9	2.5	4.2	1.8	0.4	0.7	0.6	0.3	0.3	0.2	1.0	2.4	2.0	1.0	2.6	0.4	0.2	0.4	0.2											
2	0.6	0.1	0.5	2.7	4.2	4.1	1.7	1.2	1.6	2.5	0.7	0.7	0.4	0.6	0.5	1.8	2.8	1.8	1.2	0.9	1.0	0.7	0.0	0.4											
3	0.6	0.2	0.2	3.6	4.9	1.0	1.9	1.2	2.0	2.0	0.2	0.5	0.3	0.6	1.2	2.5	2.9	0.7	0.8	0.4	1.0	0.5	0.0	0.2											
4	0.5	0.8	0.9	2.2	5.3	3.1	1.8	3.0	1.1	2.1	0.2	0.2	0.3	0.5	0.5	2.1	2.7	1.4	0.8	1.5	0.6	0.3	0.3	0.4											
5	0.8	2.1	0.6	0.6	5.3	3.3	1.6	3.1	2.2	0.4	0.4	0.2	0.8	1.6	0.5	0.4	2.9	2.0	1.0	1.7	1.0	0.5	0.3	0.2											
6	0.5	1.5	2.0	0.4	3.2	2.3	2.5	1.8	1.8	0.2	0.3	0.2	1.0	1.0	0.4	0.0	2.0	1.5	1.4	2.0	1.3	0.0	0.0	0.6											
7	2.0	0.6	1.6	0.3	2.8	1.0	2.8	0.8	2.8	0.3	0.7	0.2	2.0	0.3	0.8	0.8	2.0	1.6	0.5	0.5	1.7	0.0	0.4	0.5											
8	1.2	1.0	0.9	0.7	5.3	3.6	3.0	2.5	1.6	0.5	0.8	0.4	0.2	0.9	0.1	0.5	3.8	2.0	1.4	0.2	1.0	0.6	0.0	0.9											
9	1.0	1.0	0.7	1.2	5.6	3.7	2.6	3.0	2.4	0.2	0.2	0.4	0.5	0.8	0.2	0.6	3.1	1.7	0.6	1.4	1.0	0.4	0.0	0.3											
10	0.9	1.3	0.9	0.8	3.8	1.1	4.1	4.1	1.4	0.1	0.2	1.2	0.8	0.3	0.0	0.1	4.2	0.2	1.0	3.2	0.7	0.6	0.0	1.3											
11	0.6	0.9	0.6	1.2	4.4	0.5	4.2	3.6	2.4	0.5	0.1	0.6	0.1	1.0	0.0	0.8	5.3	0.3	1.8	2.0	0.5	0.1	0.0	0.5											
12	0.3	3.0	0.6	1.8	2.2	3.1	4.2	1.2	2.6	0.2	0.1	0.4	0.1	1.3	0.9	0.9	3.6	2.0	2.1	0.6	0.5	0.5	0.0	0.5											
13	0.1	2.6	0.6	1.9	1.3	2.8	4.0	2.3	1.8	0.9	0.0	0.6	0.3	1.4	0.0	0.3	1.7	2.1	2.2	1.3	1.0	0.3	0.2	0.3											
14	0.1	1.8	1.3	1.5	1.3	4.7	2.6	3.0	2.3	1.4	0.1	0.9	0.3	1.0	0.3	1.2	2.4	1.9	1.2	1.3	1.6	0.0	0.1	0.8											
15	0.1	2.2	1.7	0.4	1.0	3.7	5.1	3.2	2.7	1.6	0.3	0.8	0.1	1.3	0.8	0.0	0.9	2.1	1.2	1.7	1.4	1.0	0.5	0.8											
16	0.3	2.7	2.0	0.2	0.7	4.2	2.5	2.0	1.0	1.8	0.4	1.8	0.3	0.4	0.8	0.3	0.4	2.1	0.2	1.2	0.9	0.9	0.6	0.4											
17	0.4	0.6	1.6	0.5	1.4	5.3	1.9	3.4	0.4	0.3	0.6	1.2	0.2	0.5	0.0	0.9	1.1	1.9	0.3	1.7	0.3	0.0	0.6	0.3											
18	0.8	0.8	0.6	0.5	2.0	4.0	4.1	3.4	1.0	0.3	0.6	1.3	0.5	0.4	0.0	1.1	1.5	1.9	1.0	1.4	0.3	0.3	0.4	0.9											
19	2.2	1.2	0.2	2.2	3.7	2.3	4.3	1.9	0.9	1.1	0.4	2.3	0.4	0.0	0.6	1.7	2.4	1.9	0.9	1.1	0.9	0.2	0.5	2.0											
20	0.7	0.2	1.2	3.2	5.4	2.0	3.3	2.0	0.8	0.1	0.6	2.0	0.4	0.0	0.5	2.3	3.6	1.2	1.3	0.9	0.6	0.0	0.3	1.5											
21	0.6	1.1	0.4	3.5	1.3	0.5	3.0	1.2	0.8	0.1	0.8	0.3	0.0	0.1	0.7	2.8	0.5	0.2	1.1	0.1	0.3	0.0	0.4	0.5											
22	0.7	0.7	1.6	4.2	0.5	1.7	1.7	1.8	1.2	0.6	0.4	0.5	0.3	0.1	0.9	3.3	0.5	1.2	0.6	1.0	0.2	0.5	0.4	0.5											
23	0.3	0.5	1.5	2.0	2.0	3.0	2.2	1.7	2.1	1.2	0.0	0.0	0.0	0.3	0.8	2.4	3.4	1.4	0.8	0.5	1.3	0.3	0.3	0.3											
24	0.6	1.8	1.3	3.2	3.4	1.3	0.4	1.5	2.5	1.2	0.0	0.1	0.5	0.6	0.5	2.5	2.0	0.0	0.1	0.5	1.5	0.2	0.7	0.2											
25	0.7	1.7	1.4	2.4	5.7	2.7	2.8	3.5	3.0	0.3	0.1	0.1	0.1	1.1	0.8	1.0	3.0	1.7	1.0	1.0	1.2	0.2	0.2	0.2											
26	0.5	0.4	0.8	4.9	2.1	1.9	2.3	1.9	1.8	0.2	0.0	0.0	0.3	0.8	1.0	2.0	1.0	0.7	0.6	0.9	1.0	0.0	0.3	0.4											
27	0.4	0.2	1.2	1.4	1.9	1.4	2.5	2.4	2.4	0.2	0.0	0.2	0.4	0.5	0.3	0.6	1.1	0.0	1.3	1.4	0.8	0.3	0.2	0.2											
28	0.3	0.8	2.2	2.0	0.7	1.8	2.8	3.1	1.7	0.5	0.1	0.3	0.6	0.2	1.3	1.0	0.3	1.2	1.6	1.7	0.7	0.2	0.2	0.2											
29	0.0	—	—	2.4	1.4	2.5	3.7	1.2	1.3	2.2	0.6	0.0	0.3	—	—	1.7	1.0	1.7	1.4	0.1	1.0	1.0	0.5	0.3	0.2										
30	0.0	—	—	2.4	3.8	0.6	3.7	2.9	2.1	1.8	0.5	0.1	0.3	—	—	1.9	1.7	0.9	1.5	2.0	1.5	0.3	0.7	0.7	1.0										
31	0.2	—	—	1.0	—	3.6	—	3.4	2.7	—	0.6	—	0.4	—	—	2.0	—	1.7	—	2.0	0.8	—	0.2	—	0.6										
Summe	18.8	31.8	35.5	56.2	91.6	81.4	85.9	74.1	54.1	22.9	9.1	19.9	12.5	17.9	20.2	37.6	67.8	41.6	33.1	38.0	26.0	10.2	8.3	17.3											
												Jahressumme: 581.3 mm												Jahressumme: 330.5 mm											

Pregassona

	I	II	III	IV	V	VI	VII	VIII	IX	X	XI	XII	
1	1.3	2.8	2.6	3.0	5.8	4.5	2.6	10.2	1.1	1.4	3.3	0.8	
2	1.6	2.8	7.2	1.4	5.6	4.9	1.4	8.2	6.3	1.2	2.1	0.9	
3	1.1	3.5	11.3	0.4	0.6	4.1	3.3	4.0	3.0	1.4	1.4	0.4	
4	0.9	2.3	2.4	0.3	4.6	6.8	2.8	8.3	1.2	0.8	0.8	0.8	
5	0.6	1.2	2.5	0.8	4.9	5.6	4.8	5.8	2.0	0.4	0.3	0.9	
6	0.7	1.2	2.5	1.6	4.2	3.1	2.9	3.3	2.7	0.9	0.9	0.5	
7	2.0	1.6	3.1	5.2	5.8	2.2	2.9	1.6	1.4	0.4	0.8	0.7	
8	2.7	0.6	4.8	6.8	1.9	4.8	4.4	4.4	2.3	1.0	1.2	1.2	
9	1.3	0.4	1.8	2.1	3.8	3.3	4.5	4.4	2.8	1.4	0.5	1.0	
10	2.1	0.2	3.5	4.6	4.1	0.8	1.4	2.8	3.0	0.7	0.3	1.3	
11	0.7	0.0	3.2	1.0	6.5	7.3	3.7	3.4	3.2	0.4	0.2	0.5	
12	4.2	0.3	4.6	0.6	4.7	5.1	3.6	3.1	3.1	0.6	0.3	1.7	
13	3.4	1.5	2.3	0.3	3.7	3.0	4.0	3.0	2.4	4.0	0.3	0.7	
14	2.1	0.3	4.6	0.6	5.2	4.4	3.6	3.2	2.0	1.3	0.6	1.0	
15	2.2	2.0	3.8	0.6	4.5	5.3	3.9	4.2	3.6	5.6	2.6	0.7	
16	1.2	2.3	3.2	2.6	2.0	4.0	1.4	2.6	1.9	6.8	1.3	0.4	
17	0.8	2.0	1.2	7.6	9.5	4.4	4.8	3.2	0.8	6.0	0.7	0.4	
18	0.6	6.8	0.5	3.1	5.5	5.2	3.7	1.7	1.7	4.4	1.2	0.6	
19	0.3	6.1	1.7	4.6	5.8	7.3	3.8	3.7	1.6	2.9	1.5	0.4	
20	1.9	2.8	3.7	5.6	5.2	2.0	3.3	0.5	1.6	5.0	1.0	0.1	
21	4.0	1.2	9.9	5.0	2.8	1.6	4.2	2.8	0.8	3.8	1.0	0.1	
22	0.9	7.2	6.5	3.0	1.8	1.0	1.2	1.3	0.9	2.8	0.8	0.7	
23	0.9	3.2	2.9	2.0	3.6	3.1	4.4	2.7	4.2	1.4	0.2	0.3	
24	1.0	2.0	1.2	4.4	3.5	0.3	6.4	1.1	1.9	1.5	0.4	0.4	
25	1.9	0.4	1.3	5.5	1.2	4.6	6.2	0.9	1.6	2.5	0.6	0.8	
26	1.3	1.2	1.3	5.6	3.7	0.3	3.4	3.3	6.1	1.5	0.6	1.5	
27	1.7	4.6	0.9	5.5	0.9	7.5	3.5	2.4	3.0	1.3	1.2	1.2	
28	1.4	10.6	2.8	9.2	2.5	8.3	7.7	2.7	1.7	1.4	0.6	3.0	
29	2.1	—	—	1.2	8.5	3.5	3.2	5.1	1.5	1.3	1.5	0.8	
30	0.8	—	—	3.9	5.3	0.4	1.7	4.0	2.7	1.1	0.7	1.2	0.3
31	2.4	—	—	9.1	—	4.6	—	3.0	2.5	—	0.8	—	1.1
Summe	50.1	71.1	116.3	106.8	121.9	119.7	115.9	105.5	70.3	65.8	28.4	25.2	
Jahressumme: 997.0 mm													

Bodentemperaturen

Zürich

1958

(Mittel aus 8 Stundenwerten)

	I	II	III	IV	V	VI	VII	VIII	IX	X	XI	XII												
	0 cm Tiefe												2 cm Tiefe											
1	-0.1	-0.2	-0.1	7.6	12.6	19.0	22.3	26.4	20.7	14.3	8.2	3.7	-0.0	-0.2	0.1	7.5	12.4	18.7	21.3	25.6	20.6	14.5	8.2	3.7
2	-0.5	-0.2	-0.5	7.3	14.1	20.5	19.3	22.4	19.7	15.4	7.3	1.5	-0.3	-0.2	-0.3	7.5	13.8	20.1	19.7	22.7	19.7	15.3	7.5	1.9
3	0.4	-0.3	0.3	7.3	15.1	16.3	18.5	19.5	20.4	15.6	7.8	0.4	-0.1	-0.2	0.3	7.1	14.6	16.8	18.5	19.9	20.1	15.5	7.6	0.8
4	0.9	-0.2	1.8	9.2	15.8	18.2	17.8	20.0	19.8	14.5	8.3	-0.3	0.6	-0.2	1.9	8.9	15.2	18.0	18.0	20.3	19.4	14.5	8.2	0.2
5	2.0	0.2	2.3	6.4	14.9	18.9	18.0	21.9	21.3	14.7	7.9	-0.2	1.8	-0.1	2.5	6.7	14.5	18.7	18.2	21.4	20.6	14.7	8.0	0.1
6	3.2	2.0	3.1	5.3	15.1	19.6	18.2	22.4	22.1	13.9	7.4	-0.3	3.0	1.6	2.8	5.4	14.3	19.3	18.2	21.7	21.4	13.9	7.4	0.0
7	3.6	2.9	2.7	4.6	15.7	17.7	21.1	18.0	23.2	13.2	7.8	-0.5	3.5	2.9	2.9	4.7	15.2	17.8	20.8	18.6	22.3	13.1	7.6	-0.2
8	1.5	5.2	1.9	4.8	17.1	19.6	22.0	19.4	21.1	13.6	8.3	-0.1	1.5	4.9	2.1	5.0	16.4	19.6	21.6	19.2	21.0	13.5	8.1	-0.1
9	1.1	6.4	1.3	4.6	19.4	20.8	21.3	22.9	21.7	13.6	8.5	0.9	1.2	6.3	1.3	4.6	18.4	20.7	21.0	22.3	21.2	13.5	8.5	0.1
10	1.2	4.9	0.6	3.6	18.9	17.8	22.8	24.7	19.3	14.5	7.4	2.4	1.2	4.8	0.6	3.9	18.4	18.1	22.3	24.1	19.6	14.3	7.4	1.9
11	1.3	5.1	0.3	3.8	19.9	15.1	23.6	25.0	18.8	15.4	6.5	2.1	1.3	5.0	0.4	3.9	18.9	15.5	23.1	24.3	18.7	15.2	6.5	2.0
12	1.4	5.4	0.8	4.6	17.8	16.7	23.6	20.3	18.3	13.7	6.3	2.7	1.4	5.2	0.9	4.6	17.6	16.9	23.1	20.7	18.1	13.8	6.3	2.6
13	1.3	7.4	0.3	5.2	16.6	16.3	23.6	19.7	18.7	12.1	5.6	3.8	1.3	7.3	0.4	5.0	16.3	16.5	23.2	19.7	18.3	12.3	5.6	3.7
14	1.4	8.8	0.7	7.4	16.6	17.5	23.2	20.8	20.1	11.0	5.6	2.7	1.4	8.5	0.7	6.9	16.3	17.5	22.8	20.7	19.5	11.1	5.5	2.7
15	1.3	8.1	1.3	6.2	14.1	19.1	25.1	23.0	20.5	12.5	6.3	2.1	1.3	8.0	1.2	6.2	14.3	19.0	24.0	22.6	19.9	12.3	6.1	2.1
16	1.3	9.1	1.3	5.0	11.2	20.6	21.9	22.7	19.7	10.8	6.6	3.1	1.4	8.8	1.5	5.2	11.6	20.2	21.9	21.9	19.6	11.1	6.5	2.7
17	1.4	8.1	1.7	3.3	11.3	22.0	19.9	23.6	18.2	8.0	7.1	4.0	1.4	8.1	1.9	3.5	11.4	21.7	20.1	23.1	18.2	8.2	7.1	3.7
18	1.7	4.3	1.5	4.9	14.0	23.0	21.2	23.8	18.0	9.0	6.5	3.1	1.6	4.3	1.5	4.8	13.7	22.4	20.8	22.9	18.0	8.9	6.4	3.2
19	2.3	3.2	1.4	7.8	17.7	21.3	23.3	20.0	17.7	9.0	6.1	3.3	2.2	3.3	1.4	7.5	17.3	21.4	22.3	20.6	17.6	9.0	6.2	2.9
20	2.0	2.6	1.5	9.9	18.9	19.1	23.0	18.4	17.6	8.1	5.6	4.7	2.1	2.6	1.6	9.7	18.3	19.6	22.3	18.7	17.4	8.1	5.6	4.6
21	1.2	1.9	0.7	11.3	15.2	16.1	22.0	17.7	18.1	8.0	5.5	3.9	1.3	1.8	0.8	11.1	15.6	16.4	21.6	18.0	18.1	8.0	5.4	3.9
22	0.5	2.1	1.8	12.3	13.6	16.4	18.3	17.8	15.6	7.7	5.6	4.5	0.5	2.2	2.0	11.9	13.5	16.6	18.8	17.9	15.9	7.8	5.5	4.4
23	0.4	1.0	0.8	9.3	17.5	17.8	17.5	18.5	15.7	7.2	5.5	4.1	0.4	1.0	1.2	9.7	17.4	17.8	17.3	18.2	15.7	7.2	5.5	4.0
24	0.6	3.6	1.2	10.7	19.7	16.0	16.0	17.1	16.1	7.8	5.7	3.2	0.6	3.4	1.9	10.4	19.4	16.4	16.3	17.4	15.9	7.7	5.6	3.3
25	0.1	4.8	3.7	10.2	19.8	18.0	19.2	18.1	16.7	8.2	5.1	2.4	0.5	4.7	3.5	10.1	19.5	18.1	18.9	17.9	16.7	8.1	5.1	2.4
26	0.2	2.4	5.1	10.4	17.8	18.2	19.9	17.7	15.1	8.1	4.6	2.1	0.3	2.6	4.9	10.2	17.7	18.1	19.3	18.1	15.2	8.0	4.6	2.1
27	0.6	1.2	5.5	8.8	17.3	14.8	21.9	18.7	14.5	8.1	4.1	1.8	0.6	1.2	5.3	8.9	17.2	15.1	21.4	18.8	14.6	7.9	4.1	1.9
28	0.1	0.8	7.8	8.5	14.0	14.6	23.6	20.3	14.4	8.3	3.8	3.8	0.1	0.9	7.7	8.4	14.3	14.8	22.8	20.2	14.5	8.2	3.8	3.5
29	0.2	—	8.7	9.8	16.7	18.8	21.5	21.5	16.1	8.4	3.7	5.0	0.2	—	8.6	9.3	16.5	18.6	21.6	21.2	15.7	8.3	3.6	4.9
30	0.2	—	9.0	11.1	14.5	20.8	23.9	22.8	16.2	7.9	3.7	4.6	0.2	—	8.8	10.9	14.8	20.6	23.6	22.4	16.0	7.8	3.6	4.6
31	-0.1	—	8.1	—	17.1	—	25.7	23.2	—	8.3	—	3.0	-0.1	—	7.9	—	16.7	—	25.0	22.7	—	8.1	—	3.1
Mittel	1.0	3.6	2.5	7.4	16.1	18.3	21.3	20.9	18.5	11.0	6.3	2.5	1.0	3.5	2.5	7.3	15.8	18.4	21.0	20.8	18.3	11.0	6.2	2.5
	10 cm Tiefe												20 cm Tiefe											
	I	II	III	IV	V	VI	VII	VIII	IX	X	XI	XII	I	II	III	IV	V	VI	VII	VIII	IX	X	XI	XII
1	0.3	0.0	0.4	7.8	12.4	18.9	21.7	25.9	21.0	14.8	8.6	4.0	0.5	0.0	0.5	7.4	11.7	18.0	21.0	24.9	20.8	15.0	8.7	4.2
2	-0.1	0.0	0.1	7.6	13.8	20.3	20.1	23.3	19.9	15.6	7.8	2.2	0.2	0.0	0.1	7.3	12.9	19.3	19.7	23.1	19.8	15.3	8.0	3.8
3	0.1	0.0	0.4	7.4	14.7	17.4	18.8	20.3	20.3	15.8	8.0	1.1	0.3	0.0	0.3	7.1	14.0	17.5	18.5	20.4	20.0	15.5	8.0	1.8
4	0.6	0.0	1.9	9.2	15.3	18.2	18.5	20.6	19.7	14.9	8.5	0.5	0.7	0.0	1.6	8.5	14.6	17.4	18.1	20.2	19.6	14.9	8.5	1.1
5	1.8	0.3	2.6	7.0	14.7	18.9	18.7	21.6	20.8	15.1	8.3	0.5	1.6	0.1	2.2	7.2	14.2	18.2	18.3	21.0	20.3	15.0	8.3	0.9
6	3.0	1.7	3.0	5.7	14.7	19.5	18.5	22.0	21.6	14.3	7.6	0.4	2.9	1.0	2.7	5.8	14.2	18.7	18.2	21.4	21.1	14.4	7.7	0.7
7	3.6	2.9	3.2	5.0	15.5	18.3	21.0	19.0	22.5	13.5	7.9	0.1	3.7	2.4	2.9	5.1	14.8	18.0	19.7	18.9	22.0	13.6	7.9	0.5
8	1.7	5.0	2.4	5.3	16.6	19.8	21.9	19.5	21.4	13.8	8.4	0.2	1.9	4.2	2.3	5.1	15.7	19.0	21.1	19.1	21.1	13.8	8.3	0.5
9	1.3	6.5	1.7	4.9	18.5	20.9	21.3	22.7	21.6	13.9	8.7	0.5	1.5	5.7	1.6	4.9	17.5	20.0	20.7	21.6	21.1	13.7	8.7	0.7
10	1.4	5.2	1.0	4.3	18.7	18.4	22.6	24.3	20.0	14.6	7.8	2.0	1.5	4.7	1.0	4.4	17.9	18.4	21.8	23.4	19.9	14.4	8.0	2.0
11	1.5	5.1	0.6	4.2	19.2	15.9	23.4	24.6	18.9	15.4	7.0	2.3	1.5	4.8	0.6	4.2	18.3	16.0	22.6	24.0	18.8	15.3	7.1	2.4
12	1.6	5.4	1.0	4.8	18.0	17.2	23.4	21.2	18.6	14.1	6.6	2.8	1.8	4.9	0.9	4.6	17.5	16.7	22.8	21.4	18.5	14.2	6.8	2.8
13	1.5	7.3	0.5	5.2	16.8	16.7	23.6	20.1	18.6	12.7	6.1	3.9	1.6	6.5	0.5	5.0	16.4	16.5	22.9	19.9	18.4	12.9	6.3	3.8
14	1.5	8.6	0.9	7.1	16.6	17.6	23.2	21.0	19.8	11.5	5.9	3.0	1.6	7.8	0.7	6.5	16.1	17.1	22.6	20.6	19.3	11.8	6.0	3.1
15	1.5	8.2	1.8	6.6	14.8	19.1	24.4	22.8	20.2	12.6	6.4	2.4	1.6	7.6	1.4	6.5	14.6	18.4	23.5	22.2	19.8	12.5	6.4	2.6
16	1.6	9.0	1.8	5.4	11.9	20.4	22.3	22.3	20.0	11.5	6.7	2.9	1.7	8.4	1.4	5.6	12.2	19.6	22.1	21.9	19.7	11.8	6.8	2.9
17	1.6	8.4	2.0	3.1	11.7	21.8	20.6	23.3	18.5	8.7	7.2	3.8	1.6	8.1	1.6	4.1	11.7	20.9	20.5	22.6	18.5	9.3	7.3	3.9
18	1.8	4.6	1.8	5.1	14.0	22.7	21.1	23.2	18.4	9.3	6.7	3.4	1.8	4.8	1.7	4.8	13.2	21.9	20.6	22.6	18.2	9.4	6.8	3.6
19	2.3	3.5	1.7	7.6	17.4	21.6	22.6	21.0	17.9	9.4	6.5	3.1	2.2	3.6	1.5	6.8	16.3	21.8	22.0	21.1	17.8	9.5	6.7	3.2
20	2.3	2.8	1.9	9.8	18.5	19.9	22.7	19.2	17.7	8.6	5.9	4.7	2.4	2.8	1.7	8.9	17.4	19.7	22.1	19.1	17.5	8.8	6.0	4.5
21	1.4	2.5	1.0	11.3	16.1	16.8	22.1	18.4	18.4	8.4	5.8	4.1	1.6	2.4	1.0	10.5	16.0	16.8	21.6	18.5	18.2	8.6	5.9	4.2
22	0.8	2.6	2.1	12.1	13.9	16.8	19.3	18.3	16.3	8.1	5.8	4.6	1.0	2.5	1.8	11.4	13.8	16.6	19.4	18.2	16.5	8.3	5.9	4.5
23	0.5	1.2	1.3	9.9	17.3	18.0	17.9	18.5	16.0	7.6	5.7	4.2	0.7	1.2	1.2	9.9	16.4	17.5	17.9	18.3	15.9	7.9	5.9	4.3
24	0.7	3.4	2.																					

Bodentemperaturen

Zürich

1958

(Mittel aus 4 Stundenwerten)

	50 cm Tiefe												100 cm Tiefe											
	I	II	III	IV	V	VI	VII	VIII	IX	X	XI	XII	I	II	III	IV	V	VI	VII	VIII	IX	X	XI	XII
1	2.6	2.0	3.1	7.0	9.3	15.0	17.6	21.3	20.1	16.2	9.7	6.0	4.4	3.5	4.5	5.6	7.9	13.0	14.8	17.5	17.6	15.9	10.9	8.0
2	2.5	1.9	2.7	6.8	10.0	15.8	17.8	21.6	19.6	15.6	9.6	5.8	4.3	3.5	4.3	5.8	8.1	13.0	15.1	17.8	17.7	15.7	10.8	7.9
3	2.3	1.8	2.5	6.8	10.8	16.4	17.8	20.8	19.3	15.7	9.4	5.2	4.3	3.4	4.1	5.9	8.5	13.3	15.4	18.1	17.8	15.6	10.7	7.7
4	2.4	1.8	2.5	7.0	11.5	15.7	17.4	19.7	19.3	15.7	9.5	4.6	4.3	3.4	4.0	6.0	8.8	13.5	15.5	18.0	17.8	15.6	10.5	7.5
5	2.5	1.8	2.8	7.4	11.9	15.9	17.2	19.6	19.3	15.5	9.4	4.2	4.2	3.3	3.9	6.2	9.2	13.5	15.5	17.8	17.9	15.6	10.4	7.1
6	2.9	1.9	3.3	6.8	12.2	16.3	17.3	19.9	19.5	15.4	9.3	4.0	4.3	3.3	4.0	6.3	9.5	13.7	15.5	17.7	17.9	15.4	10.4	6.9
7	3.6	2.6	3.5	6.3	12.3	16.6	17.2	19.8	19.7	15.0	9.2	3.7	4.2	3.2	4.0	6.3	9.8	13.8	15.5	17.7	18.0	15.3	10.3	6.6
8	3.6	3.0	3.6	5.8	12.5	16.4	17.9	18.9	20.2	14.6	9.2	3.5	4.4	3.3	4.2	6.1	9.9	14.0	15.4	17.8	18.1	15.1	10.2	6.4
9	3.3	4.0	3.3	5.7	13.3	16.9	18.4	19.0	20.0	14.5	9.3	3.4	4.5	3.5	4.2	6.0	10.0	14.1	15.6	17.5	18.2	15.0	10.2	6.1
10	3.1	4.5	3.0	5.6	14.1	17.4	18.7	19.9	19.9	14.5	9.4	3.5	4.5	3.8	4.2	6.0	10.4	14.3	15.9	17.5	18.2	14.8	10.2	6.0
11	3.0	4.7	2.7	5.2	14.5	16.6	19.2	20.8	19.3	14.7	9.0	3.9	4.4	4.2	4.0	5.8	10.8	14.6	16.1	17.7	18.2	14.7	10.1	6.0
12	3.0	4.7	2.6	5.1	14.9	15.8	19.7	21.0	18.9	14.9	8.7	4.0	4.3	4.4	4.0	5.7	11.1	14.5	16.3	18.1	18.0	14.7	10.0	5.9
13	3.0	5.1	2.5	5.2	14.7	15.9	19.9	20.0	18.6	14.4	8.4	4.3	4.3	4.5	3.8	5.6	11.4	14.4	16.6	18.2	17.9	14.7	9.8	5.8
14	3.0	5.9	2.2	5.5	14.3	15.6	20.1	19.6	18.5	13.9	8.1	4.5	4.3	4.7	3.6	5.6	11.5	14.2	16.8	18.1	17.6	14.6	9.6	5.8
15	3.0	6.5	2.2	6.2	14.3	16.1	20.1	19.9	18.8	13.4	7.9	4.4	4.3	5.1	3.5	5.8	11.6	14.2	17.0	18.0	17.6	14.2	9.5	6.0
16	3.0	7.0	2.5	6.3	13.4	16.4	20.5	20.3	19.0	13.2	8.0	4.2	4.3	5.4	3.5	5.9	11.7	14.2	17.1	18.0	17.6	13.8	9.3	6.0
17	2.9	7.4	2.7	5.7	12.3	17.4	19.5	20.4	18.9	12.6	8.1	4.5	4.2	5.8	3.5	6.0	11.6	14.5	17.3	18.1	17.6	13.6	9.3	5.9
18	3.0	6.9	2.9	5.1	12.0	18.4	19.4	20.6	18.5	11.6	8.1	4.7	4.2	6.1	3.6	5.7	11.2	15.0	17.3	18.2	17.6	13.3	9.3	6.0
19	3.0	5.9	2.8	5.5	12.7	18.8	19.4	20.7	18.2	11.3	8.1	4.6	4.2	6.2	3.7	5.7	11.1	15.3	17.2	18.3	17.5	13.0	9.3	6.0
20	3.3	5.1	2.7	6.5	13.8	18.6	19.9	19.8	17.9	11.2	7.9	4.9	4.2	5.9	3.6	5.8	11.2	15.5	17.2	18.5	17.4	12.8	9.2	6.0
21	3.2	4.4	2.7	7.6	14.6	17.8	19.9	19.2	17.9	10.9	7.7	5.1	4.3	5.6	3.7	6.0	11.5	15.6	17.3	18.3	17.2	12.6	9.1	6.1
22	2.9	4.0	2.5	8.6	13.9	16.8	19.7	18.7	17.7	10.4	7.6	5.2	4.2	5.1	3.6	6.4	11.9	15.7	17.4	18.1	17.2	12.3	9.0	6.2
23	2.7	3.8	2.7	9.1	13.5	16.5	18.7	18.4	17.0	10.1	7.5	5.3	4.2	4.9	3.6	6.9	11.7	15.4	17.3	17.7	17.1	12.0	9.0	6.3
24	2.5	3.5	2.7	8.7	14.5	16.6	18.0	18.3	16.7	10.0	7.5	5.2	4.0	4.7	3.6	7.2	11.8	15.2	17.0	17.5	16.9	11.8	8.9	6.3
25	2.5	4.0	3.0	9.0	15.5	16.2	17.4	18.0	16.8	10.0	7.4	4.9	4.0	4.5	3.6	7.3	12.2	15.1	16.7	17.4	16.6	11.5	8.8	6.3
26	2.3	4.4	3.6	9.0	15.9	16.7	17.9	17.9	16.7	10.0	7.2	4.5	3.9	4.6	3.6	7.6	12.6	15.0	16.5	17.3	16.5	11.5	8.7	6.2
27	2.3	3.9	4.2	9.1	15.5	16.6	18.4	17.8	16.2	9.9	6.9	4.4	3.9	4.7	3.9	7.7	12.8	15.0	16.4	17.1	16.4	11.3	8.6	6.1
28	2.3	3.4	4.6	8.6	15.3	15.6	19.0	18.2	15.9	9.8	6.6	4.1	3.8	4.6	4.1	7.8	13.0	14.9	16.6	17.0	16.2	11.2	8.5	5.7
29	2.1	—	5.7	8.6	14.5	15.5	19.6	18.8	15.9	9.8	6.4	4.6	3.7	—	4.4	7.7	13.0	14.7	16.8	17.1	16.0	11.1	8.3	5.5
30	2.1	—	6.5	8.7	14.9	16.5	19.7	19.4	16.1	9.8	6.2	5.0	3.7	—	4.8	7.8	12.9	14.6	17.1	17.3	15.9	11.0	8.2	5.7
31	2.0	—	6.9	—	14.4	—	20.5	20.0	—	9.8	—	5.0	3.6	—	5.2	—	12.9	—	17.3	17.4	—	11.0	—	5.9
Mittel	2.8	4.1	3.2	6.9	13.5	16.6	18.8	19.6	18.3	12.7	8.2	4.5	4.2	4.5	3.9	6.3	11.0	14.4	16.4	17.8	17.4	13.6	9.6	6.3

Bodentemperaturen

Pregassona-Lugano

1958

(Mittel aus 2 Ablesungen)

	2 cm Tiefe												10 cm Tiefe											
	I	II	III	IV	V	VI	VII	VIII	IX	X	XI	XII	I	II	III	IV	V	VI	VII	VIII	IX	X	XI	XII
1	1.8	1.9	3.9	9.6	12.8	17.8	18.0	24.7	20.7	16.0	10.7	7.7	2.3	2.0	4.1	9.6	12.8	17.3	17.7	24.3	21.3	16.4	11.3	7.5
2	1.8	2.3	4.3	9.4	13.6	18.1	17.9	23.7	19.8	15.9	9.2	6.9	2.2	2.2	4.6	9.5	13.4	18.0	18.0	23.6	20.7	16.4	10.2	7.4
3	1.8	2.7	5.4	8.6	13.6	18.7	18.2	23.8	20.1	15.9	9.6	6.0	2.2	2.6	5.3	8.8	13.6	18.5	18.2	23.4	20.8	16.4	10.2	6.9
4	2.3	2.9	5.0	7.2	13.9	18.5	17.6	22.4	20.5	16.7	9.4	4.0	2.5	2.8	5.4	7.6	13.9	18.7	17.8	22.9	20.8	16.8	9.8	5.9
5	2.5	3.4	5.2	7.7	14.1	18.4	17.8	22.5	20.5	16.3	9.1	3.0	2.6	2.9	5.4	7.9	14.1	18.6	17.9	22.8	20.7	16.5	9.8	4.6
6	3.0	3.9	5.7	6.7	15.1	18.4	18.8	22.1	20.0	15.9	9.6	2.7	3.0	3.2	5.8	7.3	14.6	18.9	18.4	22.4	20.4	16.3	10.2	4.0
7	2.9	3.9	5.4	8.1	15.4	19.1	19.2	21.9	20.1	15.4	9.0	2.3	2.9	4.0	5.7	8.1	15.1	18.9	19.0	21.9	20.3	15.9	9.6	3.4
8	3.1	4.7	4.3	8.6	15.9	19.6	19.6	20.8	20.5	16.2	9.1	2.1	3.4	4.5	5.1	8.6	15.5	19.5	19.5	21.2	20.6	15.9	9.5	3.2
9	2.3	5.5	3.3	8.0	16.5	19.9	20.8	21.4	20.7	16.4	9.2	2.0	2.8	5.0	3.9	8.4	15.9	19.8	20.1	21.6	20.7	16.4	9.6	2.9
10	2.2	6.1	2.7	6.6	17.1	18.8	20.6	22.2	20.9	15.9	9.4	2.2	2.8	5.7	3.5	7.5	16.5	19.0	20.2	22.2	21.0	16.4	9.9	2.8
11	2.5	6.6	2.1	6.4	17.5	17.7	20.5	23.0	19.7	15.5	9.8	2.1	2.8	6.2	2.9	7.2	16.7	17.9	20.1	22.7	20.6	16.1	9.9	2.8
12	2.6	5.7	1.9	6.3	17.3	17.6	21.5	20.3	19.4	15.0	9.9	2.6	2.7	5.8	2.7	6.7	17.0	17.9	20.9	20.9	19.9	15.5	9.9	3.2
13	3.0	6.4	3.4	6.6	17.3	17.8	22.1	21.4	19.8	14.1	10.1	3.5	3.1	6.3	3.2	6.7	17.3	18.0	21.3	21.7	20.2	14.8	10.2	3.7
14	2.6	7.7	5.0	6.8	17.1	17.9	21.9	21.3	19.6	13.8	10.4	3.6	3.1	7.3	4.6	6.9	16.8	18.0	21.6	21.2	19.9	14.2	10.5	3.9
15	3.0	7.0	5.1	7.2	15.9	18.9	22.4	21.5	19.7	14.7	9.0	3.2	3.1	7.2	5.2	7.4	16.4	18.6	21.8	21.6	19.9	14.6	9.7	3.6
16	3.1	7.7	6.0	7.5	13.5	19.4	20.3	22.3	19.9	13.8	9.5	3.6	3.2	7.3	6.5	7.4	14.4	19.3	21.2	22.0	19.5	14.5	9.7	3.7
17	3.3	8.5	5.7	7.2	13.5	19.6	20.6	22.4	19.6	12.9	9.6	3.8	3.3	7.9	6.0	7.5	14.2	19.5	21.1	22.0	19.9	13.9	9.9	4.2
18	2.7	7.6	5.3	7.4	14.4	19.8	21.4	22.1	19.4	12.2	9.2	4.7	3.0	8.0	5.5	7.5	14.7	19.8	21.4	22.2	19.6	12.2	9.8	4.7
19	2.2	4.1	5.4	8.4	16.2	19.8	22.9	21.5	19.5	10.8	9.1	5.2	2.7	4.9	5.4	8.3	16.0	19.8	22.7	21.8	19.6	11.5	9.3	5.4
20	2.7	4.3	6.1	9.3	17.8	19.6	23.2	21.1	19.3	10.4	8.2	5.6	2.9	4.0	6.1	9.4	17.1	20.0	22.9	21.7	19.6	11.3	8.7	5.5
21	1.9	4.4	4.5	10.8	18.1	18.1	22.4	19.7	19.4	11.1	8.3	5.7	2.4	4.1	4.9	10.3	17.7	18.5	22.7	20.3	19.4	11.6	8.6	5.5
22	1.0	4.5	3.8	11.0	17.8	17.4	21.6	18.2	19.4	10.4	9.1	5.5	1.7	4.8	4.5	11.2	17.5	17.7	21.8	19.0	19.4	11.3	9.2	5.5
23	1.0	3.8	4.3	10.7	18.2	16.8	19.6	18.1	18.4	9.7	9.8	5.7	1.5	4.2	4.5	11.1	17.7	17.2	20.3	18.6	18.8	10.7	9.4	5.8
24	0.9	3.9	4.5	11.2	18.2	16.9	20.8	19.0	17.2	9.5	9.8	6.0	1.4	4.4	4.9	11.2	18.0	17.3	20.8	19.2	17.8	10.4	9.8	5.8
25	0.6	3.1	5.0	12.2	18.8	17.1	20.5	19.2	17.1	10.0	9.8	5.8	1.2	3.6	5.2	12.0	18.2	17.3	21.0	19.1	17.6	10.7	10.0	5.7
26	0.6	3.4	5.3	12.0	18.5	16.7	21.6	18.3	17.5	10.4	9.5	5.0	1.2	3.4	5.6	11.9	17.9	17.1	21.5	18.7	17.6	10.8	10.0	4.7
27	0.6	2.3	6.1	12.3	17.0	15.2	21.6	18.8	16.9	10.6	9.0	4.4	1.1	3.3	6.3	12.1	17.3	16.0	21.5	19.1	17.7	11.0	9.3	4.7
28	0.7	3.4	7.6	11.3	17.2	16.6	22.6	19.9	17.0	11.6	9.6	5.7	1.1	3.6	7.3	11.6	16.8	16.1	22.3	19.9	17.4	11.8	9.7	5.0
29	0.7	—	8.3	11.0	17.1	17.5	23.2	20.7	16.6	10.4	8.8	4.9	1.1	—	8.5	11.5	17.3	17.2	22.9	20.6	17.1	11.1	9.1	5.1
30	0.5	—	10.1	12.0	16.8	17.9	23.7	21.8	16.6	11.1	8.9	4.5	1.3	—	9.2	12.0	16.9	17.7	23.4	21.4	16.8	11.3	9.2	4.6
31	1.5	—	9.5	—	16.7	—	24.5	22.3	—	11.0	—	5.0	1.6	—	9.5	—	16.7	—	24.0	22.2	—	11.5	—	5.0
Mittel	2.0	4.7	5.2	8.9	16.2	18.2	20.9	21.3	19.2	13.2	9.4	4.4	2.3	4.7	5.4	9.1	16.1	18.3	20.8	21.4	19.5	13.7	9.7	4.7

	20 cm Tiefe												50 cm Tiefe											
	I	II	III	IV	V	VI	VII	VIII	IX	X	XI	XII	I	II	III	IV	V	VI	VII	VIII	IX	X	XI	XII
1	2.8	1.9	3.9	9.1	11.9	16.7	17.5	23.4	21.3	16.6	11.7	8.6	4.0	2.8	4.6	8.1	11.2	16.2	17.1	21.7	20.6	17.3	12.5	10.0
2	2.7	2.1	4.4	9.3	12.7	17.2	17.8	22.8	20.5	16.4	10.8	8.2	3.9	2.9	4.8	8.4	11.3	16.5	17.4	21.7	20.4	16.9	12.1	9.7
3	2.6	2.4	5.3	8.7	13.1	17.9	17.9	22.6	20.5	16.4	10.7	7.7	3.8	3.0	5.1	8.4	11.6	16.9	17.7	22.1	20.3	16.8	11.9	9.4
4	2.7	2.6	5.4	7.8	13.4	18.1	17.8	22.6	20.4	16.7	10.5	7.3	3.7	3.2	5.3	8.2	11.9	17.1	17.5	22.0	20.4	17.0	11.8	9.1
5	3.0	2.9	5.3	7.9	13.7	18.2	17.7	22.5	20.2	16.8	10.3	6.0	3.7	3.3	5.4	8.1	12.4	17.3	17.4	21.8	20.2	17.0	11.7	8.6
6	3.1	3.2	5.6	7.4	13.9	18.5	18.1	22.1	20.2	16.5	10.5	5.2	3.8	3.3	5.5	7.8	12.5	17.4	17.6	21.6	20.1	17.0	11.5	8.0
7	3.3	3.6	5.7	7.9	14.2	18.3	18.5	21.9	20.0	16.2	10.1	4.7	3.9	3.5	5.7	7.8	12.8	17.5	17.9	21.5	20.0	16.7	11.4	7.4
8	3.5	4.1	5.2	8.3	14.6	18.8	18.8	21.3	20.2	16.0	9.9	4.3	4.1	3.9	5.6	8.0	13.1	17.5	18.2	21.3	19.9	16.4	11.2	7.0
9	3.2	4.6	4.4	8.2	15.1	19.0	19.3	21.3	20.4	16.2	10.1	4.1	4.2	4.2	5.4	8.2	13.4	17.6	18.5	21.0	20.0	16.5	11.1	6.6
10	3.1	5.2	4.1	7.8	15.5	18.9	19.7	21.7	20.6	16.5	10.1	3.9	4.1	4.7	5.1	8.2	13.8	18.0	18.8	21.1	20.1	16.7	11.1	6.3
11	3.1	5.8	3.6	7.6	15.8	17.9	19.5	22.1	20.4	16.2	10.2	3.7	4.0	5.1	4.9	8.0	14.1	17.6	18.9	21.2	20.2	16.7	11.1	6.1
12	3.0	5.6	3.1	7.1	16.3	17.7	20.2	20.6	19.9	16.0	10.2	3.7	3.9	5.3	4.6	7.7	14.5	17.3	19.1	21.0	19.9	16.4	10.0	6.0
13	3.2	6.0	3.3	6.9	16.1	17.9	20.3	21.3	20.0	15.3	10.4	4.2	3.8	5.5	4.3	7.4	14.7	17.2	19.5	21.1	19.9	16.2	11.0	5.9
14	3.3	6.6	4.3	7.1	16.2	17.7	20.4	21.2	19.8	14.8	10.6	4.3	4.0	5.9	4.5	7.3	14.7	17.2	19.6	20.9	19.7	15.9	11.1	5.7
15	3.2	6.8	5.1	7.3	15.9	18.2	21.0	21.4	19.8	14.7	10.1	4.2	4.0	6.2	5.0	7.4	14.7	17.3	19.8	20.9	19.5	15.5	11.2	5.7
16	3.2	6.9	5.7	7.3	14.7	18.8	21.1	21.5	19.7	14.7	9.9	4.3	4.0	6.3	5.4	7.5	14.4	17.6	20.1	20.9	19.4	15.3	11.0	5.7
17	3.3	7.3	5.8	7.4	14.0	18.9	20.8	21.6	19.6	14.2	9.9	4.6	4.1	6.6	5.7	7.5	14.0	17.8	20.2	21.2	19.6	15.1	10.8	5.7
18	3.2	7.7	5.7	7.4	14.3	19.1	20.8	21.7	19.4	12.7	9.8	5.0	4.0	6.9	5.8	7.5	13.8	18.0	20.1	21.2	19.4	14.6	10.7	5.9
19	3.0	6.0	5.4	7.9	15.3	19.2	21.7	21.6	19.4	12.2	9.7	5.4	3.9	6.6	5.7	7.7	14.1	18.1	20.3	21.2	19.4	14.1	10.7	6.2
20	3.0	4.8	5.9	8.5	16.1	19.3	21.8	21.2	19.4	12.0	9.1	5.5	3.8	6.0	5.8	8.1	14.5	18.3	20.5	21.0	19.2	13.6	10.6	6.1
21	2.9	4.8	5.7	9.6	16.4	18.7	22.0	20.5	19.4	12.0	9.0	5.5	3.8	5.5	5.9	8.6	15.0	18.2	20.7	20.7	19.2	13.4	10.3	6.0
22	2.3	5.0	4.9	10.5	16.9	18.0	21.6	19.4	19.3	11.8	9.3	5.4	3.6	5.5	5.7	9.2	15.3	18.1	20.8	20.3	19.2	13.2	10.2	6.0
23	2.0	4.5																						

De la mesure de l'évaporation

B. Primault, D^r Ing., Chargé des travaux de météorologie agricole

I. Introduction

Lors de la mise en valeur des données climatologiques pour l'agriculture, un des éléments importants caractérisant un lieu est le bilan hydrique du sol. L'actif de ce bilan est représenté par les précipitations et le passif par l'évapotranspiration augmentée de l'écoulement par percolation. La mesure des précipitations ne présente pas de grandes difficultés techniques et de nombreuses recherches ont déjà été faites dans ce domaine (cf. par exemple Mercanton [1938, 1939, 1940, 1944 et 1953]). L'écoulement souterrain peut assez aisément être déduit d'une analyse complète du sol considéré.

La difficulté, lors de l'établissement d'un bilan hydrique, provient donc essentiellement de l'évaluation du troisième terme de l'équation, à savoir l'évapotranspiration. Divers appareils et formules ont été proposés pour effectuer ce calcul. Nous citerons entre autres l'évapotranspiromètre de Thornthwaite (cf. Burgos [1950]) et les formules de Thornthwaite (cf. Arlery, Garnier, Langlois [1954]) ou de Penman [1950]. On a en outre pensé pouvoir tourner la difficulté en utilisant les quantités évaporées par une surface d'eau libre. Cela aurait de plus l'avantage d'apporter des indications précieuses aux hydrologues chargés d'étudier le comportement des lacs ou des bassins d'accumulation édifiés soit pour l'industrie hydroélectrique, soit pour l'irrigation des terres.

Pour ce faire, on a imaginé divers appareils qui figurent dans la dotation standard des stations spécialisées des pays possédant des services de météorologie agricole ou d'hydrologie. Lors de l'année géophysique internationale, l'OMM avait proposé à ses membres de se servir, entre autres, d'un bac de dimensions, de construction et de montage partout identiques, afin de recueillir des renseignements directement comparables d'un endroit à l'autre. Cette recommandation n'a pas été appliquée dans tous les pays. Bien qu'en Suisse, nous ne possédions pas de bac standard (Type A USA) nous avons pensé que diverses comparaisons entre les instruments en service seraient intéressantes non seulement sur le plan national mais encore à l'échelon international.

On procède, depuis fin 1951, à l'Institut suisse de Météorologie à Zurich, à des mesures d'évaporation d'une surface d'eau libre au moyen de deux types d'appareils. Pouvant nous référer à une série relativement longue d'observations, il nous a semblé judicieux d'examiner dans quelle mesure les relevés effectués étaient comparables entre eux et, partant, utilisables pour des recherches futures.

2. Description des appareils

Les mesures ont été effectuées au moyen de bassins exposés à la pluie et au soleil d'une part et d'une balance d'évaporation protégée de ces deux éléments par un abri sommaire d'autre part.

A) Bassin N° 1 (Porte dans la suite de ce mémoire la dénomination I)

Il s'agit d'un récipient cylindrique d'axe vertical de 178,4 cm de diamètre ou de 2,5 m² de section. La profondeur en est de 58 cm sur les bords et son fond, en forme de cône renversé, s'abaisse jusqu'à 75 cm au centre. Le dit bassin est placé en terre de telle façon que le bord ne dépasse la surface du sol que de 5 cm environ (Pl. 1).



Planche 1 Vue des bassins

Ce bassin repose sur un fond de grosses pierres recouvertes de sable, le tout d'une épaisseur de 40 cm environ.

En un point du bassin se trouve fixé un petit récipient mobile, en partie immergé, de 100 cm² de surface et qui peut, par le jeu d'un robinet, être mis en contact avec l'eau du bassin. Par la mesure de l'eau contenue alors dans le petit récipient, il est aisé de déterminer très exactement le niveau du grand bassin. L'opération s'effectue au moyen d'une éprouvette graduée en conséquence.

Fait de tôle galvanisée, ce bassin fut peint intérieurement de couleur verte. Au cours des ans et par suite de la présence d'algues et d'impuretés dans l'eau, la couleur s'est fortement altérée et le tout présente, à fin 1958, une teinte brune très foncée légèrement rougeâtre.

B) Bassin N° 2 (Dénommé plus loin II)

Nous avons à faire ici à un second bassin en tous points semblable au précédent si ce n'est qu'à l'origine il était recouvert intérieurement de couleur blanche. Pourtant, et pour les mêmes raisons que celles mentionnées plus haut, il a aujourd'hui, lui aussi, le même aspect brun foncé tirant sur le rouge.

Les lectures du niveau de l'eau s'y font comme nous l'avons décrit plus haut.

Ces deux bassins sont laissés à l'air libre. L'évaporation qu'on y observe est donc, à première vue tout au moins, dépendante de tous les éléments météorologiques et provoquée plus spécialement par l'insolation et la température du sol. Ils recueillent également l'eau de pluie. Leur niveau est corrigé à intervalles irréguliers, soit par des apports, soit par l'enlèvement de masses d'eau et maintenu approximativement à 10 cm du bord supérieur.

En outre, les dits bassins sont vidés et nettoyés périodiquement (4 à 5 fois au cours de l'été) pour en éloigner les algues et autres impuretés.

Signalons enfin, comme cause d'erreur possible, que les chiens qui traversent le parc de l'Institut et les oiseaux viennent parfois s'y abreuver.

C) *La balance de Wild* (Sera caractérisée par la suite par W)

Il s'agit ici d'un appareil enregistrant l'évaporation tel qu'il figure sur le programme de fabrication de la maison Lambrecht à Göttingen (République fédérale d'Allemagne) (Réf. N° 1521).

La coupe contenant de l'eau distillée a une surface de 250 cm² soit un diamètre de 17,8 cm. Elle a une profondeur de 2,5 cm en moyenne. Cette coupe repose sur le fléau d'une balance et la perte d'eau est pesée et transmise à une plume qui l'inscrit continuellement sur un papier fixé sur un cylindre d'enregistrement effectuant 1 tour en 24 heures. Sa précision est de un dixième de mm (Pl. 2).

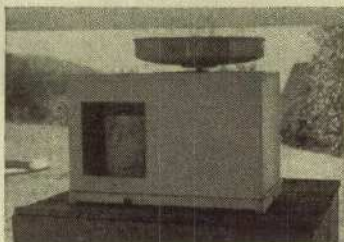


Planche 2 Balance d'évaporation

L'instrument est placé dans un abri couvert, exposé au rayonnement latéral des quatre points cardinaux (Pl. 3). Il repose sur une planchette de bois interceptant le rayonnement du sol. D'autre part, un petit toit de tôle retient aussi bien les précipitations que les rayons du soleil. Tout l'abri est peint en blanc. La surface d'évaporation se trouve exposée à tous les vents à une hauteur de 2 m au-dessus du sol.



Planche 3 La balance de Wild dans son abri

Si l'eau de l'appareil est ainsi hors de portée des chiens du voisinage, les oiseaux peuvent, par contre, y venir sans difficulté. Il ne s'agit cependant pas d'un inconvénient majeur ici car, en se posant sur le rebord de la coupe, ils lui impriment un mouvement vers le bas qui est automatiquement enregistré. Lors de l'envol, la plume reprend son cours avec un léger décalage correspondant à la quantité d'eau bue par l'oiseau. Cette quantité est alors déduite de la déperdition totale de la journée. Nous n'avons ainsi véritablement tenu compte que de l'évaporation dans les calculs.

D) *L'anémomètre* (Dénomme V par la suite)

Un petit appareil destiné à la mesure du chemin parcouru par le vent complète l'installation. Il s'agit d'un anémomètre dont le moulinet porte 3 demi-sphères. Une transmission mécanique actionne un compteur et permet ainsi de déterminer le vent moyen entre 2 lectures ou le chemin parcouru dans ce laps de temps.

3. Description de l'essai

A) *Disposition des instruments dans le terrain*

Tous les appareils que nous avons utilisés au cours de la présente étude sont groupés sur une terrasse horizontale située au sud de l'Institut suisse de Météorologie à Zurich. Le bâtiment offre une façade d'environ 50 m de longueur sur 15 m de haut. Les appareils sont distants de la dite façade d'au moins 15 m mais en subissent toute la réflexion, en été tout au moins.

Les deux bassins sont éloignés l'un de l'autre de 3,5 m, le N° I étant au sud-est, le N° II au nord-ouest. En tenant compte du fait que les vents dominants soufflent du sud-ouest, ils ne devraient guère avoir d'influence l'un sur l'autre.

Ceci devrait être également vrai pour la balance de Wild dont l'abri est distant de 10 m au nord-ouest du bassin le plus proche.

Le petit anémomètre est placé à 20 cm au-dessus du sol entre les deux grands bassins.

Quant au pluviomètre de référence pour le calcul de l'évaporation des grands bassins, il est situé à une trentaine de mètres à l'est du bassin I.

Toute la surface qui entoure les divers appareils est recouverte de gazon ras soigneusement entretenu (Pl. 4).



Planche 4 Vue d'ensemble de la parcelle d'essais

B) *Durée des mesures*

Après quelques essais faits en 1951 en vue d'acquérir l'expérience désirable, on débuta avec les mesures de routine le 1^{er} janvier 1952. Depuis lors, nous avons procédé régulièrement aux relevés de tous les appareils décrits ci-dessus.

Les mesures furent effectuées à 08.00 h locales (07.00 h GMT) à savoir tous les jours pour la balance de Wild, pour le pluviomètre et pour l'anémomètre depuis le début 1952 à fin 1958.

Quant aux grands bassins, leur niveau fut déterminé journalièrement de janvier 1952 à fin décembre 1956. Depuis lors, les relevés ne se font plus qu'une fois par semaine, à savoir le mardi matin, mais toujours à la même heure.

Aussi bien durant l'époque où les mesures furent journalières que durant les 2 années où elles furent hebdomadaires, on a procédé à deux relevés intermédiaires l'un avant et l'autre après toutes les modifications artificielles du niveau de l'eau (remplissage en temps de sécheresse, vidange partielle en cas de fortes précipitations ou vidange complète pour nettoyage). Il est ainsi possible de corriger les mesures faites conformément à ces modifications.

Le matériel statistique dont nous disposons s'étend donc sur sept années consécutives. Les valeurs recueillies sont en outre absolument comparables entre elles car, à part la coloration intérieure des bassins I et II, dont nous avons parlé plus haut, aucun changement n'est intervenu durant ce laps de temps dans la disposition des instruments de mesure.

Il faut ajouter que l'eau contenue dans les divers instruments, aussi bien dans les bassins que dans la coupe de la balance de Wild, gèle durant une partie de l'hiver. Si ce phénomène n'a pas une grande importance dans le second cas — l'instrument enregistre alors la perte d'eau par sublimation —, il n'en est pas de même pour le premier où la mesure est alors impossible. Pour cette raison, nous n'avons pu étendre les comparaisons à l'année entière et avons été contraint de nous contenter de la période comprise entre la mi-mars et la mi-novembre.

C) Epoques utilisées

Nous avons vu plus haut, d'une part, que nous ne disposons, pour deux années, que de relevés hebdomadaires et, d'autre part, que les mesures de l'évaporation des bassins est impossible en hiver. Cependant, comme l'époque durant laquelle les bassins sont gélés en hiver varie fortement d'une année à l'autre, nous avons été obligé de ne considérer que la période estivale.

Pour ces deux raisons, nous avons déterminé pour chaque année une période de 33 semaines consécutives. Chaque semaine débute le mardi à 8 heures pour se terminer le mardi suivant à 8 heures également. Nous avons en outre divisé ces 33 semaines en périodes de 5 semaines chacune, plus une de 3 semaines. Ces 7 périodes débutent entre le 18 et le 25 mars pour se terminer entre le 3 et le 10 novembre.

D) Mise en valeur des relevés

Pour chacune des semaines ainsi déterminées, nous avons établi le chemin parcouru par le vent, l'évaporation totale indiquée par la balance de Wild ainsi que la perte d'eau subie par chacun des bassins I et II. Dans ce cas particulier, nous avons calculé la différence entre deux mesures successives du niveau. En cas de pluie cette différence peut être positive. Nous avons alors corrigé le résultat ainsi obtenu en lui soustrayant les précipitations recueillies au pluviomètre pendant le laps de temps correspondant, jour ou semaine. On obtient alors la perte par évaporation.

4. Formules utilisées

Une fois en possession des séries de chiffres mentionnées plus haut, nous les avons examinées selon divers critères statistiques. Pour ne pas avoir besoin d'y revenir plus loin nous les indiquerons brièvement ici :

A) Coefficient de corrélation

Il s'agit d'une expression permettant d'apprécier si deux séries de chiffres sont soumises aux mêmes lois. L'analyse mathématique doit être précédée, comme le souligne Vialar [1947], d'un examen critique pour voir si, raisonnablement, les faits exprimés par les deux séries de chiffres peuvent être soumis aux mêmes phénomènes ou dépendre étroitement l'un de l'autre.

Dans notre cas, nous avons, en général, des évaporations que nous comparons à des évaporations. Comme les unes et les autres sont dues, à première vue tout au moins, aux mêmes causes, la recherche de la similitude de leurs valeurs respectives est donc raisonnablement admissible.

Nous avons déjà donné les formules de calcul du coefficient de corrélation dans un mémoire précédent (cf. Primault et Kuhn [1954]), aussi n'y reviendrons-nous pas ici.

B) Erreur moyenne du coefficient de corrélation

Comme toute grandeur mathématique calculée, le coefficient de corrélation est soumis à la loi des erreurs. Pour déterminer si l'un des coefficients trouvés est plus significatif qu'un autre, il doit lui être supérieur d'au moins la somme des erreurs moyennes correspondantes.

La formule de calcul en a également été indiquée déjà dans le mémoire cité sous A ci-dessus.

C) Lignes de régression (cf. Vialar [1947])

Il est toujours possible de répartir les séries de chiffres considérées entre diverses classes régulières et de décompter le nombre d'éléments appartenant à chacune des classes ainsi déterminées. La valeur moyenne d'une de ces classes peut alors se déterminer selon la formule :

$$y_{jm} = \frac{\sum n_j x_j}{\sum n} \quad [1]$$

où y_{jm} est la valeur moyenne de la série des y pour la classe j , n_j est le nombre d'éléments de la série appartenant à chacune des classes x_j et n la somme des termes de la classe j .

On peut ainsi déterminer pour chaque classe de la série des x une valeur moyenne de y et vice-versa. On a alors deux lignes montrant l'évolution relative d'une série par rapport à l'autre.

D) Droite de régression

Un autre critère pour la discussion de la corrélation de deux séries est la droite de régression. Elle répond à la formule :

$$y = ax + b \quad [2]$$

des carrés des distances la séparant des divers points est minimum.

où
$$a = \frac{n \sum xy - \sum x \sum y}{n \sum x^2 - [\sum x]^2} \quad [2a]$$

Cette droite passe par le centre de gravité (\bar{x}, \bar{y}) du système et sa pente a — ou $\text{tg } \alpha$ — est donnée par la formule:

et
$$b = \frac{\sum x^2 \sum y - \sum x \sum xy}{n \sum x^2 - [\sum x]^2} \quad [2b]$$

$$\text{tg } 2\alpha = \frac{2 \sum (x - \bar{x})(y - \bar{y})}{\sum (x - \bar{x})^2 - \sum (y - \bar{y})^2} \quad [3]$$

Dans ces deux formules x et y sont les valeurs correspondantes des 2 séries examinées.

Pour que la droite soit définie, il nous faut encore le point d'intersection avec l'axe des y , soit b

$$b = \bar{y} - \bar{x} \text{tg } \alpha \quad [4]$$

E) Droite moyenne (en allemand «Mittlere Gerade»)

Dans la discussion de la corrélation de deux séries, les droites de régression ont un défaut majeur: celui de se référer aux axes du système de coordonnées. Elles constituent des axes conjugués de l'ellipse de répartition des divers points dans le nuage. Il serait cependant plus avantageux de connaître le grand axe de la dite ellipse. C'est ce grand axe que l'on nomme droite moyenne. Il répond à la définition suivante: Droite dont la somme

5. Analyse de l'essai dans son ensemble

Après avoir exposé sous 3 ci-dessus les conditions dans lesquelles les chiffres ont été obtenus, nous donnerons d'abord le résultat de ces mesures, à savoir la somme d'eau évaporée par semaine par nos trois appareils (Tableau 1).

Tableau 1 Eau évaporée en mm par semaine

Période	Semaine	1952			1953			1954			1955			1956			1957			1958		
		I	II	W	I	II	W	I	II	W	I	II	W	I	II	W	I	II	W	I	II	W
1	1	9.9	7.7	9.7	17.5	14.1	27.6	13.7	10.7	17.4	6.2	6.0	18.5	9.0	8.6	18.5	12.0	8.7	16.1	8.8	7.8	11.4
	2	9.5	9.3	10.3	14.1	11.6	17.5	10.0	10.2	10.4	8.3	8.7	13.2	9.5	9.7	13.0	14.1	14.5	13.7	12.3	12.1	11.3
	3	14.8	14.2	14.2	14.2	13.7	13.7	9.0	9.0	9.0	5.5	4.5	12.3	9.3	8.9	13.8	12.1	11.5	10.6	11.0	12.3	9.1
	4	20.0	17.3	30.6	10.6	11.1	15.4	10.0	9.8	10.5	10.1	9.6	13.1	14.8	11.8	18.3	10.1	8.0	7.1	12.6	14.8	10.5
	5	21.3	19.8	23.8	18.7	17.7	24.9	11.2	11.0	14.5	22.6	19.5	28.5	8.2	8.0	8.7	11.0	9.8	14.9	15.4	7.5	20.1
2	6	11.8	11.8	5.0	23.5	21.5	28.8	16.3	15.9	18.0	20.1	18.5	29.8	15.8	13.6	19.4	18.4	16.2	24.8	23.0	18.9	28.4
	7	20.5	21.1	22.2	18.3	17.8	18.0	14.2	12.0	15.5	23.7	21.6	28.3	17.5	17.5	22.1	20.1	19.9	15.3	19.5	17.9	27.3
	8	24.8	22.5	18.1	18.3	16.2	28.7	28.1	26.5	29.0	21.8	18.6	16.9	23.2	18.0	21.1	17.8	15.2	18.1	16.2	15.3	11.4
	9	25.8	23.7	25.9	28.0	24.0	31.1	14.2	14.0	8.6	17.5	22.0	17.3	34.1	31.7	18.5	16.1	14.7	14.1	23.0	20.8	20.4
	10	28.5	23.3	24.3	15.6	13.3	17.6	18.6	18.4	25.6	21.9	21.9	20.8	19.5	15.5	18.9	17.2	17.2	16.1	25.8	22.9	17.3
3	11	21.9	18.9	22.2	21.6	18.1	23.2	16.1	14.5	15.4	24.2	23.2	21.1	24.9	20.1	18.9	14.7	13.8	18.7	26.6	25.5	18.0
	12	26.6	24.1	22.4	13.2	10.8	10.4	15.9	13.8	17.1	22.2	21.4	18.3	21.3	19.7	18.8	18.4	16.3	11.8	28.3	27.9	20.1
	13	28.4	28.0	22.8	17.6	15.1	17.3	21.9	20.9	23.3	24.3	21.7	20.9	14.8	12.4	11.1	16.3	15.5	14.1	35.1	34.8	18.8
	14	21.6	19.1	18.3	14.4	15.0	8.5	27.3	26.1	22.7	25.7	22.2	18.6	10.0	10.6	8.8	22.5	20.5	18.5	19.9	18.1	16.5
	15	33.5	32.5	36.0	19.0	19.5	13.9	19.2	17.9	11.4	26.3	23.0	20.0	24.6	20.6	24.4	27.5	25.2	27.1	27.1	26.1	14.8
4	16	43.0	35.5	45.6	18.8	16.8	16.8	16.6	17.8	11.0	16.5	15.7	11.2	27.6	25.5	35.1	34.0	33.6	38.4	20.0	18.1	24.7
	17	28.2	27.2	19.3	24.7	21.7	24.7	23.9	22.0	22.6	18.1	17.6	18.0	27.0	27.1	15.2	26.6	24.9	13.6	19.5	17.6	24.2
	18	31.5	32.5	31.9	26.5	22.0	24.1	30.5	25.7	33.0	20.4	19.5	16.4	23.2	20.1	14.9	10.8	22.4	10.4	27.1	26.2	14.7
	19	36.0	32.7	33.5	21.4	20.5	16.3	24.6	22.7	21.4	14.1	13.8	10.5	34.9	33.9	19.8	20.2	21.3	11.2	20.3	21.5	17.1
	20	31.0	26.5	33.5	23.7	19.7	20.8	25.3	24.9	22.6	20.5	19.5	15.2	26.0	23.8	16.5	19.9	25.7	27.3	20.5	20.3	18.9
5	21	29.2	26.2	26.3	25.0	21.0	23.0	21.0	17.6	15.7	17.8	13.8	14.2	23.7	23.2	13.8	25.3	22.5	17.6	19.7	19.8	18.5
	22	33.2	32.7	27.8	20.7	20.2	20.8	18.2	17.7	9.6	22.4	22.4	21.2	22.2	18.7	14.5	19.0	18.2	10.8	16.1	16.0	13.6
	23	20.0	19.0	13.0	22.1	20.6	21.6	10.6	10.4	9.2	20.3	19.7	17.1	30.0	22.8	9.5	24.0	21.7	16.8	17.5	17.8	15.3
	24	24.1	21.6	23.3	27.0	24.5	29.8	22.1	19.2	19.0	19.2	16.3	14.5	14.3	12.9	9.4	17.4	16.9	13.7	16.0	15.8	13.1
	25	20.1	19.1	12.5	18.6	15.6	20.4	20.0	18.3	12.5	15.6	15.3	9.2	17.9	16.3	12.6	18.8	15.2	14.4	17.5	18.0	15.6
6	26	13.4	15.4	9.3	10.1	9.1	12.6	16.6	16.6	14.2	15.0	15.2	12.4	13.7	13.6	11.6	18.3	16.3	14.5	18.0	21.0	6.1
	27	14.1	11.8	8.9	10.5	8.9	10.1	12.9	14.2	12.9	11.0	9.2	11.1	14.5	13.6	11.4	23.2	18.0	12.8	17.5	18.0	15.7
	28	17.0	16.5	15.3	10.2	9.7	8.2	11.7	14.4	7.9	12.0	10.9	6.2	12.0	11.3	10.9	18.0	15.2	7.8	10.1	11.2	9.4
	29	11.9	7.4	11.8	11.6	9.6	8.7	9.0	9.1	6.7	11.6	11.0	9.3	15.0	15.0	7.6	10.4	11.0	10.1	13.2	12.4	2.7
	30	12.3	13.8	7.9	6.5	6.0	8.3	8.0	7.4	9.5	6.5	5.9	6.5	7.6	7.4	6.5	3.0	4.7	6.0	7.1	7.5	6.6
7	31	10.5	10.6	5.2	5.7	6.2	4.9	8.5	8.1	11.5	5.4	6.6	7.9	5.0	4.8	5.0	14.1	9.3	7.4	10.4	10.3	3.8
	32	20.9	20.8	7.6	5.6	5.0	6.7	6.8	6.2	5.2	8.2	7.5	9.0	8.1	6.4	2.4	7.8	7.4	6.7	8.3	9.5	3.8
	33	12.2	10.7	9.0	5.5	4.0	3.9	5.9	5.8	5.6	3.3	3.1	4.3	4.1	5.1	2.8	5.2	5.2	4.6	6.1	6.4	2.8
Sommes		727.5	673.3	647.5	558.8	500.6	578.3	537.9	508.8	498.5	538.8	505.4	511.8	583.3	528.2	473.8	564.3	536.5	485.1	589.5	570.1	482.0

Ce tableau nous montre que les deux bassins évaporent chaque semaine sensiblement la même quantité d'eau bien que le N° II donne régulièrement des chiffres un peu plus faibles. Quant à la balance de Wild, les valeurs qu'elle nous fournit diminuent progressivement par rapport aux deux bassins. Pourtant, de ces seuls chiffres, il n'est pas possible de tirer une conclusion définitive quant à l'appareil le plus adéquat pour la mesure de l'évaporation d'une surface d'eau libre.

A) Coefficient de corrélation

Sur la base des sommes hebdomadaires de l'évaporation telles que nous les reportons au tableau 1, nous avons tout d'abord calculé les coefficients de corrélation (Tableau 2).

$r_{I II}$	ϵ	$r_{I W}$	ϵ	$r_{II W}$	ϵ	n
0,964	0,005	0,769	0,027	0,723	0,031	231

Tableau 2 Corrélations de 1952 à 1958

Ces valeurs sont élevées et dépassent largement, même si l'on tient compte de l'erreur moyenne, ce qu'on nomme d'ordinaire un bon coefficient de corrélation à savoir 0,65 en valeur absolue. Il est donc vraisemblable qu'il existe, entre les relevés effectués à ces deux types d'appareil, une certaine proportionnalité. Voyons donc quelle est cette relation.

B) Lignes de régression

Pour éviter d'allonger, nous nous contenterons de faire la démonstration entre le bassin I et la balance.

Nous avons tout d'abord reporté graphiquement les valeurs obtenues (Fig. 1).

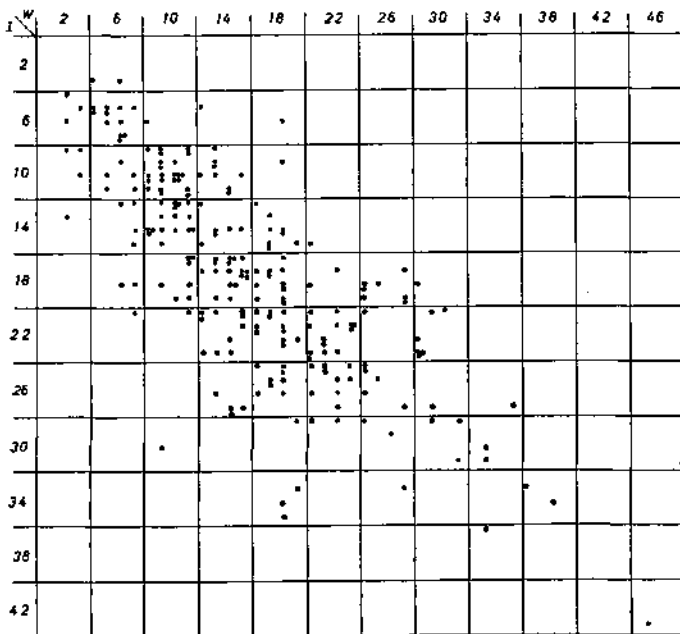


Fig. 1 Répartition des points

Le décompte des points par classe de 4 mm a donné les résultats consignés au tableau 3.

I \ W	2	6	10	14	18	22	26	30	34	38	42	46
2		2										
6	3	11	1	1	1							
10	3	5	22	8	1							
14	1	4	16	6	8	1						
18		2	7	17	11	2	7	1				
22		1	1	10	11	13	1	6				
26				4	8	9	5	1	1			
30			1		1	2	2	3	2			
34					3		1			2		
38									1			
42												1
46												

Tableau 3 Décompte des points par classe

Sur la base de ce décompte, il est aisé d'établir la moyenne des valeurs de W correspondant à chaque classe de I et vice-versa. Ceci nous permet alors de tracer pour chacun des deux paramètres les lignes de régression (Fig. 2). Ces lignes forment des lignes brisées irrégulières dont la courbe moyenne serait difficile à évaluer. Ces courbes se rapprochent cependant fort de droites si bien que l'on peut admettre, à postériori, que les droites de régression nous donneront une idée parfaitement correcte de la relation existant entre les données des deux instruments en cause.

C) Droites de régression

Nous basant alors sur les formules mentionnées en 4 D ci-dessus, nous avons calculé les droites de régression résultant de tous les points de la période 1952 à 1958 et cela non seulement pour la relation W I mais encore pour W II et I II (Tableau 4).

	I = aII + b		II = aI + b		I = aW + b	
	a	b	a	b	a	b
1952-1958	1,046	0,460	0,888	0,781	0,747	5,857
	W = aI + b		II = aW + b		W = aII + b	
	a	b	a	b	a	b
1952-1958	0,792	1,856	0,647	6,256	0,807	2,556

Tableau 4 Droites de régression 1952 à 1958

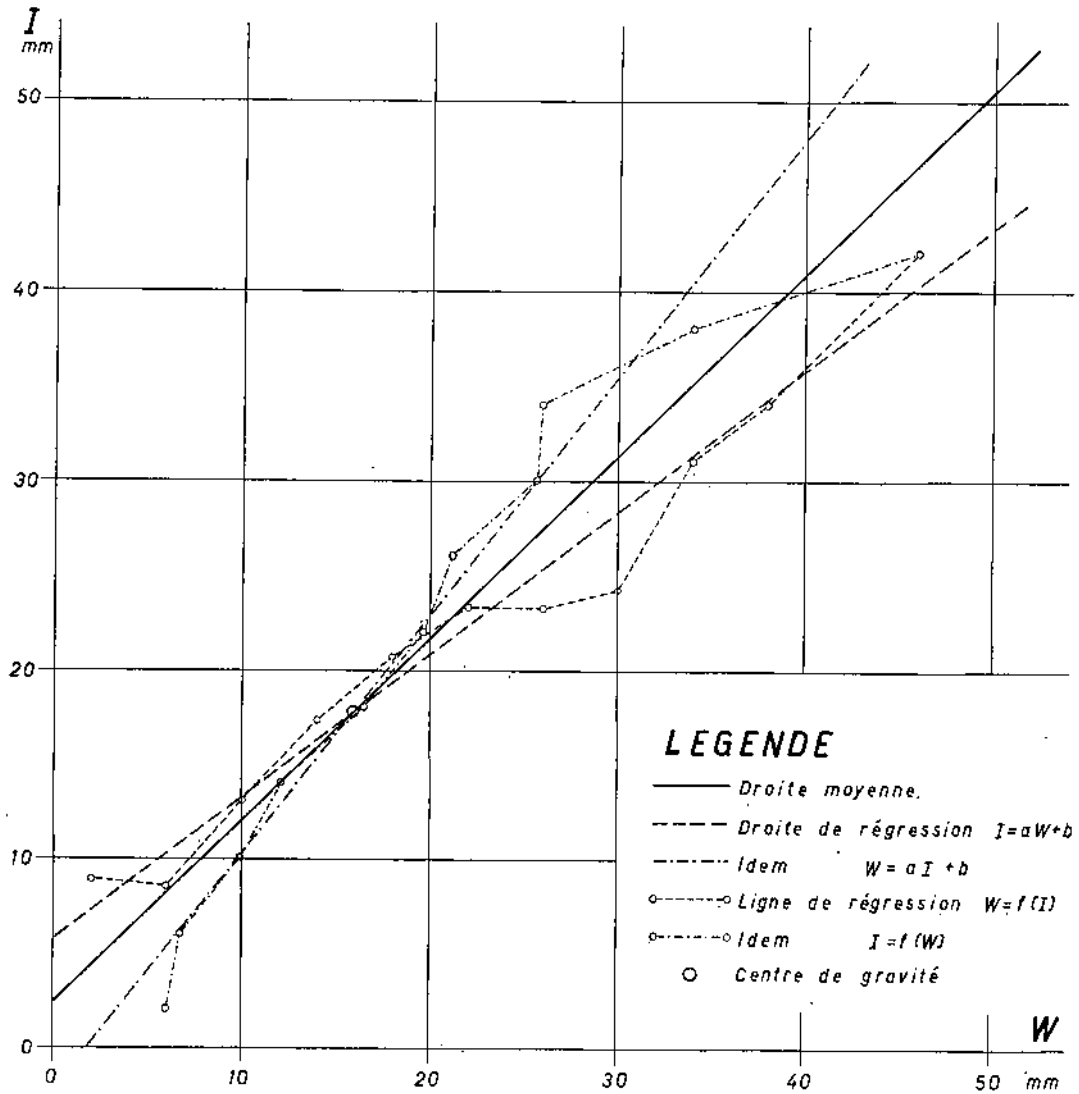


Figure 2 Etat comparatif W I

Ces droites, reportées sur le diagramme précédent, nous montrent qu'elles se placent en effet très bien dans le système des points formant les lignes de régression (Fig. 2).

Par le moyen de la pente des droites de régression, et vu qu'elles ne sont pas très différentes l'une de l'autre, nous pourrions établir un facteur de proportionnalité entre les évaporations du bassin I et de la balance de Wild. Pourtant, voyons encore ce que nous indique la droite moyenne.

D) Droite moyenne

Les paramètres de cette nouvelle droite sont consignés au tableau 5 et elle est reportée elle-même à la figure 2.

On voit que ce nouveau mode de calcul nous apporte un facteur de proportionnalité valable aussi bien pour $I = f(W)$ que pour $W = f(I)$ ce qui n'était pas le cas pour les droites de régression. D'autre part, elle prend une position intermédiaire entre les deux précédentes.

	a	$W = Ia + b$		$W = IIa + b$	
		a	b	a	b
1952-1958	231	0,962	2,437	0,858	2,892

Tableau 5 Droites moyennes

Ainsi, si nous voulons établir un correctif pour passer des données de l'un des appareils à celles de l'autre, nous aurons avantage à nous baser sur les coefficients de proportionnalité de cette droite.

De ce qui précède, nous pouvons donc dire que, dans le premier cas examiné,

$$W = 0,962 I + 2,437$$

ou

$$I = 1,040 W - 2,533$$

Nous pouvons alors, semble-t-il, passer aisément d'un mode de mesure à l'autre.

E) Relation entre le bassin II et la balance de Wild

Nous pourrions établir une démonstration semblable pour le rapport existant entre la balance de Wild et le bassin N° II. Nous avons cependant déjà donné les valeurs correspondantes aux tableaux 2, 4, et 5, aussi nous contenterons-nous d'en tirer les conclusions.

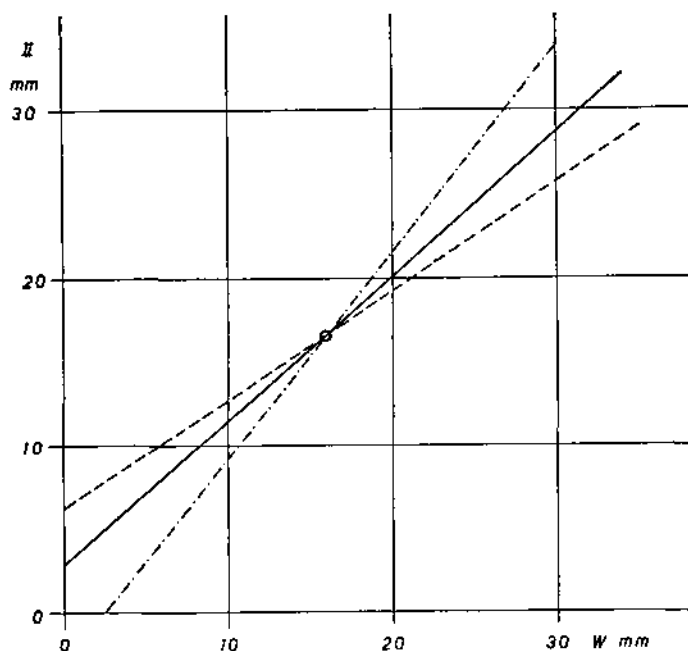


Fig. 3 Etat comparatif W II (Légende voir fig. 2)

A la figure 3, nous avons reporté les droites importantes de ce rapport et pouvons en déduire qu'ici aussi il existe une relation étroite entre les deux appareils considérés, au moins en ce qui concerne la période entière.

Nous avons alors :

$$W = 0,858 II + 2,892$$

$$\text{et } II = 1,166 W - 3,371$$

6. Comparaison des relevés

A) Comparaison des relevés mensuels

Nous avons dit plus haut (cf. 3 B) que nous possédions des relevés journaliers pour les 5 années 1952 à 1956. Nous avons tout d'abord établi les coefficients de corrélation entre les sommes mensuelles provenant des divers instruments (Tableau 6).

	$r_{I II}$	ϵ	$r_{I W}$	ϵ	$r_{II W}$	ϵ	n
Par mois de 1952 à 1956, 7 mois par an	0,993	0,002	0,841	0,050	0,843	0,049	35

Tableau 6 Corrélation des valeurs mensuelles

On est frappé, à la vue de ce tableau, de voir la bonne corrélation qui existe entre les données des deux bassins. D'autre part, la relation entre les sommes mensuelles de l'évaporation selon Wild et les bassins est

également excellente quoique moins significative. En effet, la somme des erreurs moyennes est inférieure à la différence entre les coefficients de corrélation $r_{I II}$ et $r_{I W}$, respectivement $r_{I II}$ et $r_{II W}$.

Il semblerait donc, après cette première constatation, que l'on pourrait indistinctement utiliser l'un ou l'autre de ces appareils pour les mesures d'évaporation à condition de tenir compte d'un éventuel facteur de proportionnalité.

B) Comparaison des relevés hebdomadaires

La démonstration faite ci-dessus aurait pu nous inciter à conclure hâtivement. Pourtant, comme nous possédions un matériel abondant et qu'il nous paraissait possible que des variations journalières, hebdomadaires ou de tout autre bref laps de temps, aient pu se compenser au cours d'un mois, il nous a semblé profitable de poursuivre l'étude en se basant sur les sommes hebdomadaires de l'évaporation. La corrélation annuelle, basée chaque fois sur 33 semaines, est consignée au tableau 7.

	$r_{I II}$	ϵ	$r_{I W}$	ϵ	$r_{II W}$	ϵ	n
1952	0,974	0,009	0,900	0,033	0,848	0,049	33
1953	0,980	0,007	0,868	0,043	0,831	0,054	33
1954	0,979	0,007	0,859	0,046	0,815	0,058	33
1955	0,973	0,009	0,735	0,080	0,719	0,084	33
1956	0,978	0,008	0,621	0,107	0,605	0,110	33
1957	0,894	0,035	0,719	0,084	0,734	0,080	33
1958	0,959	0,014	0,658	0,099	0,515	0,127	33

Tableau 7 Corrélation des valeurs hebdomadaires

L'excellente corrélation signalée au paragraphe précédent entre les deux bassins se retrouve ici aussi. En effet, $r_{I II}$ varie, au cours de ces sept années, entre 0,894 et 0,980, chiffres tous deux très élevés. Il semble donc que la différence de couleur n'ait pas d'influence sur l'évaporation, si ce n'est, éventuellement, une augmentation ou une diminution proportionnelle.

Il n'en va pas de même avec la relation existant entre la balance de Wild et les bassins, que l'on prenne l'un ou l'autre de ces derniers. En effet, dans le cas de $r_{I W}$ et de $r_{II W}$ on assiste à une baisse régulière mais constante, de la première à la 7^e année considérée. Cette baisse, lente au début — de 1952 à 1954 — s'accroît fortement par la suite, c'est-à-dire en raison directe de la dégradation de la peinture.

Pour mieux illustrer cette constatation, nous avons reporté les valeurs de r , de $r + \epsilon$ et de $r - \epsilon$ sur un graphique (Fig. 4).

Cette figure nous montre clairement la chute du coefficient de corrélation avec les années d'une part et, d'autre part, le fait que la corrélation $r_{I W}$ n'est jamais absolument meilleure que $r_{II W}$. Nos craintes de voir de

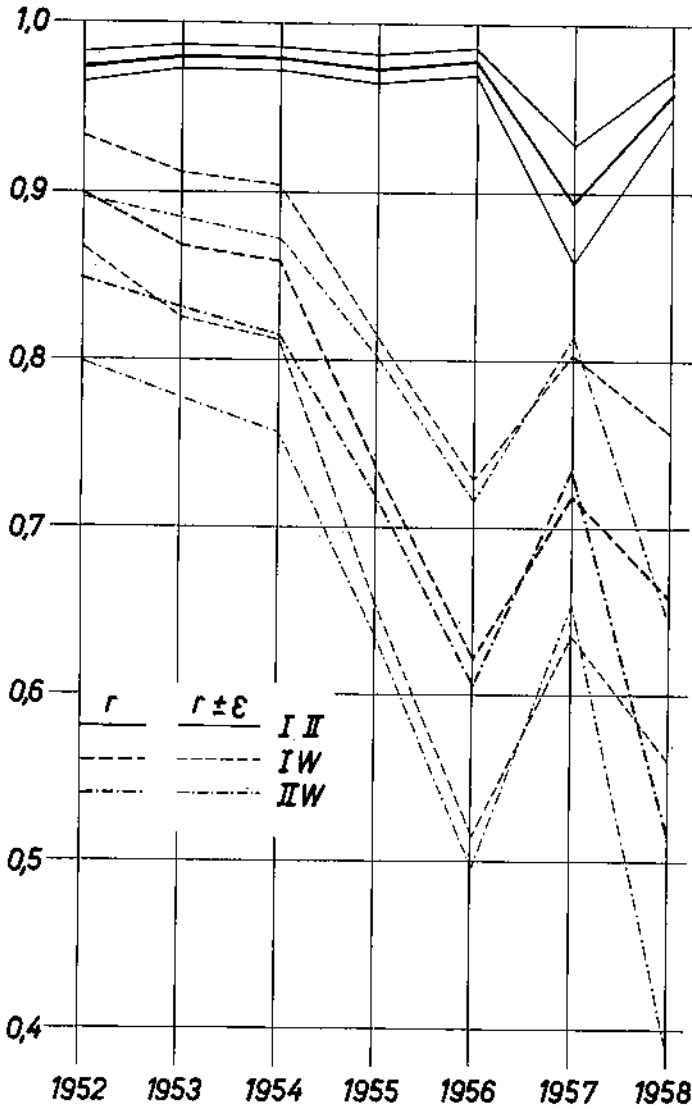


Fig.4 Corrélations en fonction du vieillissement de la couleur

nombreuses divergences masquées par la sommation mensuelle se trouvent donc justifiées.

Le seul examen des coefficients de corrélation ne suffirait cependant pas pour indiquer la nature exacte de ce fléchissement. C'est la raison pour laquelle nous avons calculé les droites de régression correspondant à ces coefficients. Les valeurs obtenues pour la pente et pour le terme connu de chacune d'elles sont reportées au tableau 8.

Pour plus de clarté dans la démonstration, nous avons reporté graphiquement aussi bien les droites de régression elles-mêmes que leurs paramètres (Fig. 5).

	I = aII + b		II = aI + b		I = aW + b		W = aI + b		II = aW + b		W = aII + b	
	a	b	a	b	a	b	a	b	a	b	a	b
1952	1,064	0,340	0,892	0,729	0,763	7,072	1,062	-3,786	0,659	3,630	1,092	-2,669
1953	1,111	0,076	0,865	0,525	0,735	4,062	1,025	0,162	0,620	4,297	1,113	0,642
1954	1,091	-0,517	0,879	1,086	0,827	3,813	0,892	0,564	0,705	4,774	0,943	0,560
1955	1,049	0,268	0,903	0,575	0,783	4,179	0,690	4,243	0,711	4,289	0,727	4,368
1956	1,097	0,115	0,872	0,599	0,770	6,625	0,501	5,496	0,669	6,400	0,548	5,579
1957	0,910	2,308	0,879	1,233	0,681	7,082	0,759	1,718	0,684	6,207	0,789	1,876
1958	0,996	0,656	0,923	0,770	0,659	8,240	0,657	2,870	0,500	9,965	0,539	5,298

Tableau 8 Droites de régression

Cette figure nous montre d'une part que les droites de régression se rapportant aux différents $r_{I,II}$ sont très proches les unes des autres, ce que laissent d'ailleurs prévoir les hautes valeurs de ce même $r_{I,II}$. Dans les autres cas ($r_{I,W}$ et $r_{II,W}$), l'étalement est beaucoup plus prononcé.

Pourtant, ni pour les unes ni pour les autres, on ne peut discerner de loi dans les variations de la pente. Seule la courbe des a et des b montre clairement un «trend» négatif pour les premiers et positif pour les seconds.

Nous pouvons en conclure provisoirement que, avec la dégradation de la couleur des bassins, leur évaporation augmente comparativement à celle de la balance de Wild dont la coupe reste sensiblement pareille à elle-même. Ceci est un point important et nous chercherons à l'expliquer plus loin (cf. 7 C).

C) Evaporation saisonnière

Nous avons vu plus haut que le coefficient de corrélation entre les bassins et la balance de Wild baissait avec les années. Il devenait intéressant de connaître le comportement de ce même coefficient au cours des saisons.

Afin d'avoir des grandeurs comparables, c'est-à-dire un nombre de paires assez égal dans les deux cas, nous avons divisé les 33 semaines de chaque année en 7 périodes. Il s'agit de 6 périodes de 5 semaines chacune et d'une, la septième, de 3 semaines seulement. Sans correspondre aux mois civils, ces périodes donnent pourtant une excellente idée de l'évolution au cours de l'année. La même répartition fut opérée pour chaque année et l'on obtient alors six périodes de 35 semaines chacune et une de 21 semaines.

Les coefficients de corrélation que l'on en tire sont consignés au tableau 9 et reportés à la figure 6.

	$r_{I,II}$	ϵ	$r_{I,W}$	ϵ	$r_{II,W}$	ϵ	n
1	0,896	0,033	0,774	0,068	0,606	0,107	35
2	0,926	0,024	0,529	0,122	0,454	0,134	35
3	0,975	0,008	0,727	0,080	0,668	0,094	35
4	0,883	0,037	0,758	0,072	0,668	0,094	35
5	0,933	0,022	0,666	0,094	0,706	0,085	35
6	0,907	0,030	0,498	0,127	0,407	0,141	35
7	0,948	0,022	0,385	0,186	0,338	0,193	21

Tableau 9 Corrélation des valeurs saisonnières

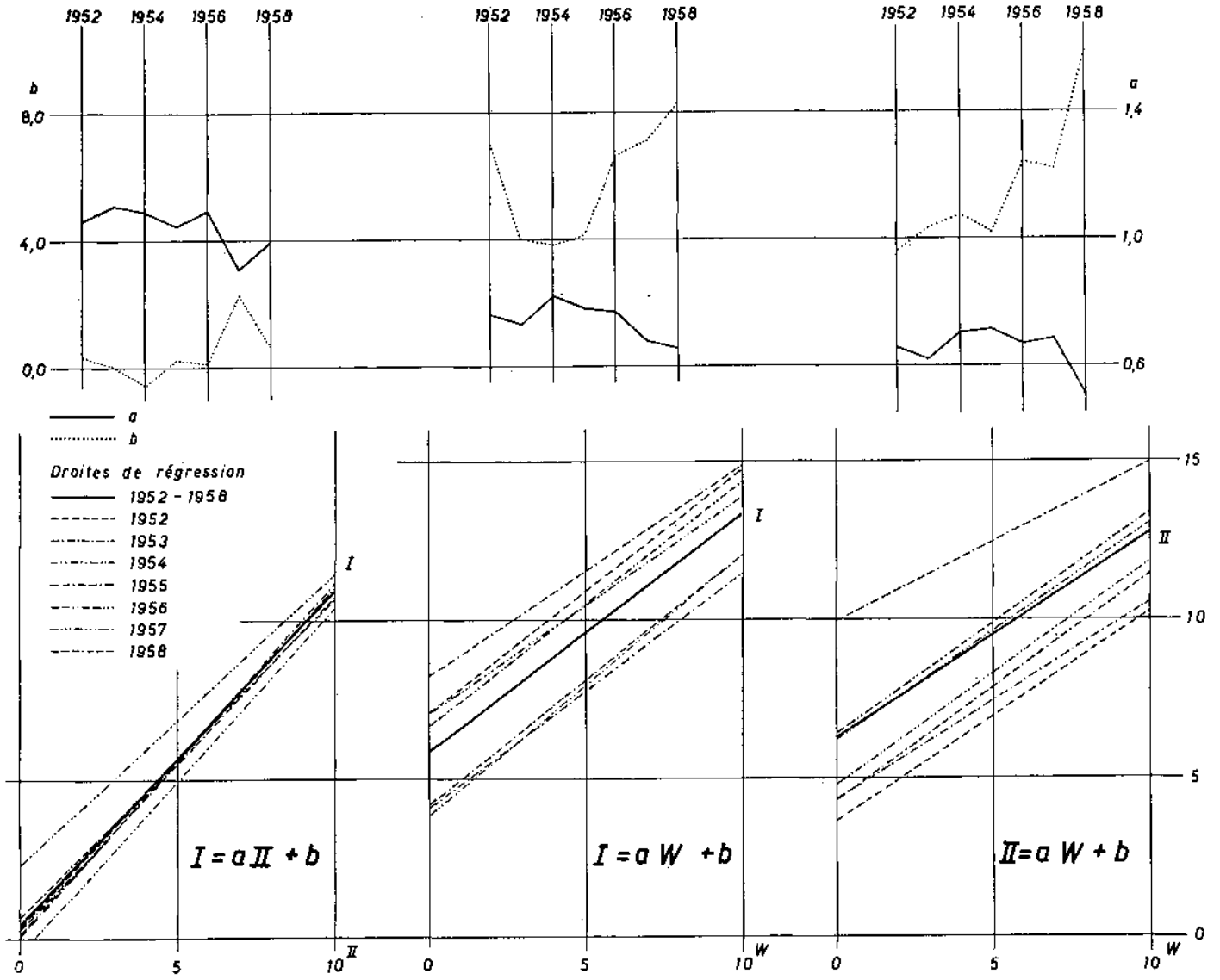


Figure 5 Droites de regression et leurs composantes

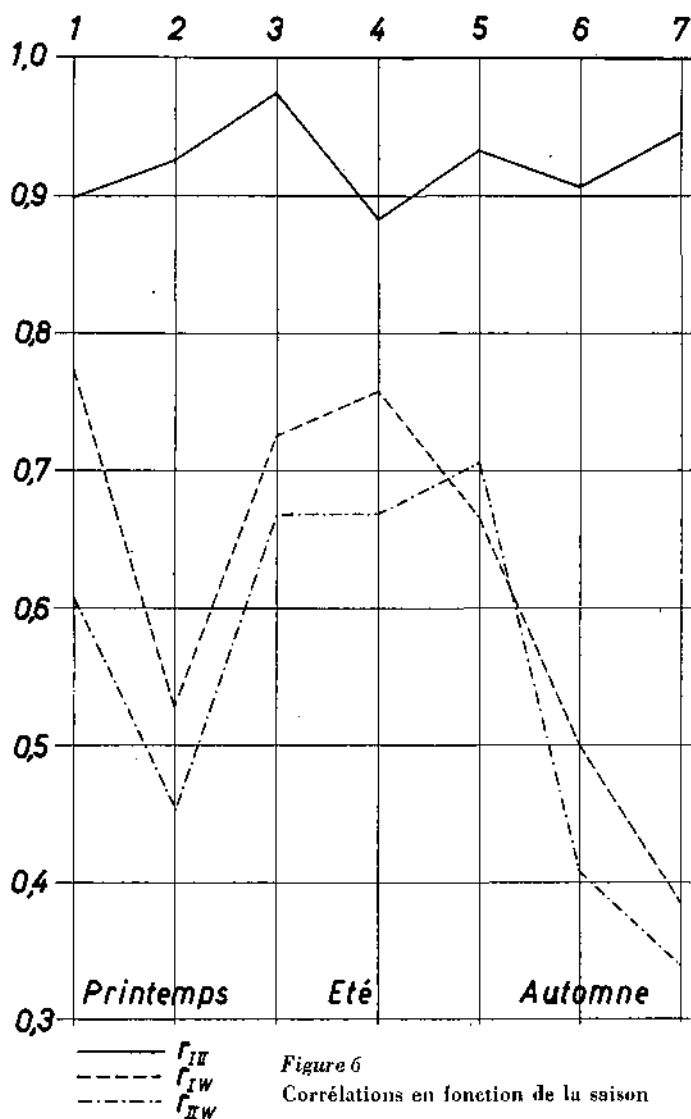


Figure 6
Corrélations en fonction de la saison

On retrouve ici, comme plus haut, les excellentes corrélations existant entre les deux bassins, même si ces valeurs n'atteignent pas celles rencontrées jusqu'ici. Pour ce qui est du rapport entre les bassins et la balance de Wild, les coefficients de corrélation sont souvent inférieurs à ce qu'on appelle d'ordinaire une bonne corrélation ($r_{xy} \geq 0,65$). Dans le cas de r_{IW} les périodes 1, 3, 4 et 5 satisfont à cette définition, tandis que pour r_{IIW} seules les saisons 3, 4 et 5 présentent une bonne corrélation. Pourtant, ni dans un cas, ni dans l'autre, on ne peut dire que l'un d'entre eux soit nettement meilleur que son correspondant.

Dans le cas de la relation existant entre les bassins et la balance de Wild, on constate que la corrélation est bonne en été mais qu'elle est faible au printemps et surtout en automne. Ainsi les valeurs obtenues par les bassins ne correspondent que faiblement à ce que nous donne la balance de Wild.

Vu les faibles coefficients de corrélation obtenus, il nous semble inutile de rechercher ici un facteur de proportionnalité. En effet, celui que nous obtiendrions au moyen de la droite moyenne ne correspondrait pas à une réalité absolue car, pour la septième période par exemple, la corrélation est inférieure à 0,4, c'est-à-dire que les deux séries divergent fortement.

7. Influences météorologiques

Nous avons vu au cours des démonstrations précédentes qu'un certain rapport existait entre les relevés faits aux grands bassins et à la balance de Wild. Pourtant, nous avons pu déterminer que cette bonne corrélation se détériorait passablement si l'on utilisait dans les calculs des périodes plus brèves (1 semaine au lieu d'un mois cf. tableaux 2 et 6). Nous avons également pu constater que, d'une année à l'autre, les coefficients de corrélation variaient en fonction du vieillissement et surtout de la dégradation de la couleur utilisée pour peindre les bassins. Enfin, une analyse saisonnière nous a montré que les meilleures corrélations s'obtiennent en été et les moins bonnes en arrière-automne. De telles divergences pouvaient, entre autres, provenir de l'effet relatif de chacun des principaux éléments météorologiques provoquant l'évaporation de l'eau.

C'est pour chercher à étudier de plus près ces divergences que nous avons fait entrer divers nouveaux facteurs dans le calcul des corrélations entre les relevés effectués à nos appareils.

A) Le vent

Nous avons vu plus haut que nous disposions de relevés journaliers du chemin parcouru par le vent au voisinage immédiat de nos appareils. Afin de les mettre en relation avec les données d'évaporation que nous possédions, nous avons préalablement établi le chemin parcouru par le vent chaque semaine. Les deux séries de chiffres sont ainsi comparables entre elles, car elles se rapportent toutes deux aux mêmes laps de temps.

Nous avons pris en considération deux années seulement, l'une, 1953, correspondant à des bacs fraîchement peints, l'autre, 1958, à une peinture fortement endommagée si ce n'est franchement inexistante.

Comme plus haut, nous avons recherché s'il y avait un facteur de proportionnalité entre le vent et l'évaporation par le moyen des coefficients de corrélation (Tableau 10).

	r_{VI}	ϵ	r_{VII}	ϵ	r_{VW}	ϵ
1953	0,441	0,140	0,405	0,146	0,647	0,101
1958	0,098	0,172	-0,054	0,174	0,353	0,152

Tableau 10 Relation entre le vent et l'évaporation

A la vue de ces quelques chiffres, on est frappé de constater combien la corrélation est faible entre le vent et l'évaporation. Une constatation analogue avait d'ailleurs déjà été faite par Burger [1934]. Il semble donc, une fois de plus, que l'influence que l'on attribue généralement au chemin parcouru par le vent sur l'évaporation est surfaite. En effet, seule la relation r_{VW} pour 1953 atteint la limite de 0,65 admise généralement pour un bon coefficient de corrélation et encore faut-il, pour cela, forcer la troisième décimale et ne pas tenir compte de l'erreur moyenne $\pm 0,10$. Tous les autres sont au-dessous et r_{VII} pour 1958 est même négatif, ce qui signifierait que plus le vent augmente, plus l'évaporation est faible, ce qui est contraire à ce qu'on admet généralement.

B) La pluie

En parcourant les colonnes de chiffres correspondant aux valeurs journalières de l'évaporation, nous avons été frappé de rencontrer tout à coup, et sans raison apparente, de très grands écarts entre les valeurs des grands bassins et ceux de la balance de Wild. Nous avons pensé d'abord qu'il s'agissait de fautes de mesure. Cependant, comme par la suite elles n'étaient pas compensées par des écarts inverses, force nous fut d'en rechercher la cause ailleurs.

Nous avons alors mis ces listes en regard des valeurs correspondantes des précipitations recueillies, valeurs qui avaient déjà servi à l'établissement des évaporations des deux grands bassins. On est frappé de voir que, dans la majorité des cas, les divergences mentionnées correspondent à la présence de fortes pluies. Nous avons donc voulu voir dans quelle mesure ce phénomène pouvait être vérifié statistiquement.

Partant des 40 premiers jours de 1952, où les précipitations dépassèrent 6 mm en 24 heures, nous avons calculé les coefficients de corrélation correspondant aux relations examinées plus haut (Tableau 11).

$r_{I II}$	ϵ	$r_{I W}$	ϵ	$r_{II W}$	ϵ	n
0,944	0,017	0,586	0,104	0,470	0,123	40

Tableau 11 Corrélations pour les jours de pluie

On constate alors que, si la corrélation est toujours excellente entre les deux grands bassins, elle est par contre mauvaise entre chacun d'eux et la balance de Wild. Si cette corrélation est meilleure pour l'année entière — et c'est effectivement le cas — cela prouve que la pluie agit de façon préjudiciable sur les mesures faites avec l'un des appareils. La balance de Wild étant d'une part à l'abri des précipitations et fournissant d'autre part, ces jours-là, des valeurs plus petites que les bassins, il est vraisemblable que ses renseignements seront plus proches de la réalité.

C) L'insolation

Dans un autre travail (Primault [NP]), nous avons constaté une très haute corrélation entre la durée de l'insolation et l'évaporation telle qu'elle nous est donnée par la balance de Wild. Examinons donc si, lorsque l'insolation est forte, la corrélation entre nos appareils est meilleure que dans le cas précédent.

Pour ce faire nous avons de nouveau extrait 40 jours de l'année 1952, mais qui présentaient cette fois une insolation maximum possible ou inférieure de moins de 10 % seulement à ce maximum. Pour éviter, par temps d'orage, une influence pernicieuse ou incontrôlable des précipitations, nous n'avons pas tenu compte des jours qui présentaient des précipitations ou de ceux dont la journée précédente avait totalisé plus de 0,3 mm de pluie.

Si nous calculons alors les coefficients de corrélation (Tableau 12), nous sommes surpris de constater qu'ils se rapprochent fort de ceux que nous avons obtenus précédemment pour la période entière (cf. Tab. 2). Il apparaît ainsi que l'évaporation des bassins est également influencée, dans une proportion importante, par le radiation dont l'intensité est donnée ici, en première approximation, par la durée d'insolation.

$r_{I II}$	ϵ	$r_{I W}$	ϵ	$r_{II W}$	ϵ	n
0,885	0,034	0,789	0,060	0,696	0,082	40

Tableau 12 Corrélation par forte insolation

D) Un ciel couvert

Pour compléter cette démonstration, nous avons encore voulu voir ce qu'il advenait de nos relations si nous prenions pour base des jours où le ciel avait été complètement couvert, c'est-à-dire où l'insolation avait été nulle. D'autre part, il fallait également que ces journées et celles qui les avaient précédées fussent exemptes de précipitations. De telles conditions sont rares au printemps et ne se présentent jamais au cours de l'été. Force nous fut de ne considérer que des journées d'automne — octobre ou novembre — et de prendre toutes les années dont nous disposions pour arriver à rassembler 40 jours répondant à cette définition. Les valeurs, tant des bassins que de la balance de Wild, sont faibles à cette saison de l'année si bien que les moindres divergences prennent immédiatement des proportions importantes. Pour ces diverses raisons, nous renonçons à publier ici les résultats obtenus. Disons simplement que les corrélations sont meilleures que par fortes pluies mais moins bonnes que lorsque l'insolation est très forte. Nous avons en outre vu plus haut que l'automne était la saison la plus défavorable pour de telles comparaisons.

E) Proportionnalité

Après avoir constaté une meilleure corrélation entre les données de la balance de Wild et des bassins par forte insolation que par temps de pluie, voyons maintenant quels sont les rapports respectifs entre les deux séries. Pour cela, nous avons calculé pour chaque cas les droites moyennes (Tableau 13).

	n	$II = aI + b$		$W = Ia + b$		$W = IIa + b$	
		a	b	a	b	a	b
Plus de 6 mm de pluie	40	0,895	0,301	0,357	0,541	0,349	0,581
Insolation maximum mais pas plus de 0,3 mm de pluie ni le jour même ni dans les 24 h précédentes	40	0,974	0,278	0,861	1,017	0,873	1,308

Tableau 13 Droites moyennes

On peut donc constater que la proportionnalité est pratiquement égale à 1 : 1 entre les bassins I et II aussi bien par temps de pluie que par forte insolation. Par con-

séquent la couleur ne semble pas jouer de rôle important à condition qu'elle soit fraîche, que ce soit vert ou blanc.

Par contre, dès que nous comparons l'évaporation des bassins et de la balance de Wild, nous devons constater des différences très sensibles selon les conditions extérieures. Par forte insolation, les quantités évaporées par les bassins représentent environ les 11 dixièmes de celles indiquées par la balance. En temps de pluie, les bassins évaporent par contre environ 3 fois plus que la balance.

8. Discussion

Dans notre étude, nous avons recherché les divergences qui existaient entre les quantités d'eau évaporées par deux types différents d'appareils. Avant de tirer une conclusion des chiffres et démonstrations qui précèdent, nous aimerions attirer l'attention du lecteur sur quelques causes d'erreurs qui peuvent jouer un rôle important dans la mesure de l'évaporation au moyen de l'un ou de l'autre des instruments utilisés ici.

Nous avons parlé plus haut (cf. 2 ci-dessus) de l'eau absorbée à notre insu par des animaux, aussi n'y reviendrons-nous pas.

Un facteur important d'erreurs est le vent. Nous ne voulons pas parler de cet élément comme agent de l'évaporation elle-même mais des erreurs de mesure qu'il peut provoquer. Tout d'abord, si le bassin, ou la coupe de la balance, sont trop remplis, le vent peut arracher à la masse liquide des gouttelettes qui sont entraînées hors du récipient et qui, lors de la mesure, seront considérées comme évaporées. Il est donc recommandé de ne pas remplir les récipients jusqu'au bord. Mais alors, les faibles courants d'air ne pourront que difficilement balayer la nappe d'air saturé qui s'établira entre la surface du liquide et l'air en mouvement au ras du bord supérieur. Un juste milieu, à déterminer dans chaque cas par l'expérience et situé chez nous à 12 cm à peu près, donnera en général satisfaction dans les 2 cas.

Mais le vent a une autre propriété défavorable, c'est celle de rompre l'horizontalité de la surface liquide. Si cela n'a pas d'importance dans la balance, vu que nous procédons par pesées, il n'en est pas de même pour les bassins. En effet, les relevés ne se font jamais au centre des bacs et cela pour des raisons pratiques. Ainsi, les mesures peuvent être faussées dans des proportions fort appréciables. Nous avons pu relever personnellement dans nos bassins une différence de 15 mm entre le lof et le bord sous le vent. Si l'on ne tient pas compte de ce phénomène, on peut faire des erreurs de relevés de plusieurs millimètres, même avec des bacs d'un diamètre de moins de 2 mètres. Pour y parer il serait nécessaire de faire des relevés simultanés de part et d'autre du bac et d'en tirer la moyenne, ou mieux de trouver le moyen de mesurer le niveau de l'eau au centre du bassin. Le cylindre métallique de protection préconisé contre les vaguelettes dans le cas du bac A des Etats-Unis ne saurait garantir la suppression de l'erreur décrite.

Nous avons vu plus haut que, par temps de pluie, les bassins semblaient évaporer près de trois fois plus que la balance. De telles constatations ne peuvent être le reflet de la réalité, car aucun raisonnement ne peut les appuyer.

Il peut s'agir de deux causes qui s'ajoutent probablement. D'une part, l'eau de pluie rejaillit à la surface de nos bassins et le vent emporte les gouttes qui se forment le long du bord sous le vent. Cette perte — dans le bilan journalier, elle est comptabilisée avec l'évaporation — n'est pas compensée par un apport provenant du côté du vent car l'eau de pluie rejaillit beaucoup moins en tombant sur le gazon, même ras, de notre terrasse. Ainsi, plus la pluie est dense et plus «l'évaporation» des grands bassins sera forte. D'autre part, le pluviomètre de référence se trouve dans notre cas à quelque 30 mètres des bassins et situé à 2 m au-dessus du sol. Or Mercanton [1938, 1939, 1940, 1944 et 1953] a trouvé des divergences appréciables entre des appareils situés plus près l'un de l'autre et à des différences de hauteur moins prononcées. Il est donc possible que les séries de valeurs dont nous nous sommes servi dans la présente étude soient entachées d'erreur par ce fait. On ne saurait donc assez recommander d'effectuer les mesures de contrôle de pluviosité à proximité immédiate des bassins d'évaporation et à leur niveau.

Enfin une troisième cause d'erreur qui a pu se glisser dans nos relevés est la température de l'eau. Pour la balance de Wild, on peut admettre que la température de l'eau est sensiblement égale à celle de l'air mesuré sous abri car un équilibre s'établit très rapidement entre les différentes parties de l'instrument et le milieu ambiant. D'ailleurs, de nombreuses mesures effectuées tant de jour que de nuit sont venues confirmer cette hypothèse. Dans le cas des bassins, il en va tout autrement. Par temps ensoleillé, l'eau s'échauffe fortement surtout si elle est trouble et les parois du récipient plus sombres. On pourrait penser que le fait d'avoir des bassins enterrés diminue ces variations de température. Pourtant, un essai de comparaison entre la température de l'eau et celle du sol à 0, 10 et 20 cm n'a pas apporté le rapport escompté. Seule la mesure directe de la température de l'eau pourra apporter des éclaircissements sur ce point. Mentionnons cependant que des comparaisons faites ailleurs (Primault [NP]) ont montré qu'il n'existe pas de très bonne corrélation entre les quantités d'eau évaporées et la température de l'air mesuré sous abri. Les dites comparaisons avaient pour objet la balance de Wild. On peut donc en étendre la valeur à la relation entre l'évaporation et la température de l'eau.

9. Conclusion

L'idée de se rapprocher le plus possible de la réalité en mesurant l'évaporation de bassins de grandes dimensions exposés au soleil et à la pluie est certes séduisante. En effet, on se rapprocherait ainsi fort des conditions existant sur les lacs. De telles mesures apporteraient une aide appréciable en hydrologie. Si ces bassins sont en outre situés au ras du sol, les mesures qui y sont faites sembleraient apporter des indications précieuses quant aux quantités d'eau perdues.

Pourtant, des difficultés techniques souvent insurmontables s'opposent à l'utilisation courante de tels bassins. En effet, il serait indispensable de les protéger des vents violents par des parois dépassant le niveau de l'eau

d'une hauteur appréciable mais tout de même assez faible pour ne pas gêner les échanges d'air par courants très faibles. Il serait nécessaire d'effectuer des mesures pluviométriques correspondantes à proximité immédiate des bassins et au niveau de l'eau. En outre, il est indispensable de faire des mesures simultanées à deux extrémités opposées du bassin à défaut de ne pouvoir les faire au centre. Enfin, des mesures fréquentes de la température de l'eau seraient un complément intéressant.

Faute d'avoir pris ces précautions, les résultats obtenus par nos mesures de Zurich sont certainement entachés d'erreurs appréciables, ce qui découle des comparaisons faites avec la balance de Wild.

Ce dernier instrument nous indique également l'évaporation d'une surface d'eau libre. Pourtant, vu ses dimensions restreintes, le vent n'a pas une grande emprise et les vaguelettes qui s'y forment sont proportionnellement plus petites. Vu que la balance de Wild se trouve

sous un toit, la coupe d'évaporation est à l'abri des précipitations et une correction y relative n'est pas nécessaire. Comme les mesures s'y font par pesées il n'est pas nécessaire non plus de tenir compte de l'horizontalité du liquide. Enfin, vu les petites masses en présence, un équilibre thermique rapide peut s'établir entre l'air et l'eau. Des mesures de température faites sous abri peuvent donc être facilement utilisées.

Il découle de ces différentes démonstrations que l'usage de la balance semble préférable à celui de grands bacs.

Loin de nous l'idée de jeter le discrédit sur les autres appareils tels que celui de Piche par exemple. Nous avons en effet examiné uniquement le cas d'une surface d'eau et non celui de l'évaporation de membranes poreuses. A ce propos de nombreux travaux ont déjà été publiés dont nous ne citerons ici que celui de Uhlig [1954] et à titre d'exemple seulement.

Bibliographie

- Antonik B. und Branicki O.*: Ergebnisse 50jähriger Beobachtungen mit dem Wildschen Evaporimeter in Potsdam. Berichte des deutschen Wetterdienstes in der US-Zone. Nr. 42. Bad Kissingen 1952.
- Arlery R., Garnier H. et Langlois R.*: Application des méthodes de Thornthwaite à l'esquisse d'une description agronomique du climat de la France. La Météorologie, No 36, Octobre-Décembre 1954, p. 345—368.
- Bider M.*: Bemerkung zum Quotienten Niederschlagsmenge: Sättigungsdefizit als Dürremaß. Verhandlungen der Schweizer. Naturforschenden Gesellschaft, Bern 1952.
- Burger H.*: Verdunstung. Schweizer. Zeitschrift für Forstwesen Nr. 6. Jahrgang 1934.
- Burgos J. J.*: El Evapotranspirometro de Thornthwaite. Revista de la facultad de agronomia de la Plata. T. XXVII. Buenos Aires 1950.
- Hallaire M.*: L'évaporation réelle. Mesure et interprétation dans les conditions naturelles. La Météorologie, No 36, Octobre-Décembre 1954, p. 380—402.
- Haude W., Dr.*: Verdunstungsmenge und Evaporationskraft eines Klimas. Berichte des deutschen Wetterdienstes in der US-Zone. Nr. 42. Bad Kissingen 1952.
- Maurer J. und Lütshg O.*: Einige Ergebnisse über die Verdunstungsgröße freier Wasserflächen im schweizerischen Hochgebirge. Annalen der schweizerischen meteorologischen Zentralanstalt 1923, Zürich 1924.
- Mercanton P. L.*: Recherches de technique pluviométrique. Annalen der Schweizerischen Meteorologischen Zentralanstalt. Jahrgang 1938, 1939, 1940, 1944 et 1953.
- Penman H. L.*: Evaporation over the British Isles. Quarterly Journal of the Royal Meteorological Society. Vol. LXXVI. No. 330. October 1950.
- Primault B.*: Du calcul de l'Evapotranspiration. Non publié.
- Primault B. et Kuhn W.*: De l'opportunité d'utiliser les coefficients de corrélation en météorologie forestière. Geofisica pura e applicata. Vol. 28. Milan 1954, p. 246—260.
- Schmuck A.*: Der Wert P-E bei freien Wasseroberflächen in Polen, ein Berechnungsversuch. Acta Geophysica Polonica. Vol. VI. Nr. 1. 1958, p. 5—17.
- Täumer F.*: Eine Methode zur Bestimmung der Gebietverdunstung auf meteorologischer Grundlage. Veröffentlichungen des Instituts für Agrarmeteorologie der Karl-Marx-Universität Leipzig. Band I, Heft 1, Leipzig 1955.
- Uhlig S.*: Berechnung der Verdunstung aus klimatologischen Daten. Mitteilung des Deutschen Wetterdienstes. Nr. 6. Januar 1954, 24 p.
- Vialar J.*: Calcul des probabilités et statistiques, Paris Météorologie nationale, 1947, Tome I, 131 p., Tome II, 325 p., Tome III (annexe), 14 p.

Aerologische Station Payerne Radiosondierungen 1958

Die Aerologische Station Payerne (Koordination $\lambda = 6^{\circ}57'$ $\beta = 46^{\circ}49'$ $H_b = 491$ m) führte die Radiosondierungen im Jahre 1958 in gleicher Weise durch wie im Vorjahr (Aufstiegszeiten 00.00 h und 12.00 h). Die nachfolgende Publikation der Ergebnisse erfolgt ebenfalls in der bisherigen Art. Die jährlichen Zusammenstellungen und die Frequenzstatistiken, welche in den Jahren 1954 bis 56 auf den Seiten 38 ff. enthalten waren, sind weggelassen worden, wie bereits im Jahr 1957. Sie sollen spä-

ter, nach Einführung des Lochkartenverfahrens, im Rahmen einer Gesamtbearbeitung veröffentlicht werden.

Die Höhen der Standardflächen sind wie bisher in geopotentiellen Metern (gpm), die Temperaturen in $^{\circ}$ C, die relativen Feuchtigkeiten in ‰, die Windrichtungen in 10er-Graden der 360-Grad-Skala und die Windgeschwindigkeiten in Knoten angegeben (1 Knoten = 0,5148 m/sec = 1,853 km/Std.).

Inhaltsverzeichnis / Table des matières

	Page
Observations aux niveaux standards 00.00 h et 12.00 h (HEC)	4—31
Moyennes mensuelles aux niveaux standards:	
Hauteur de la surface de pression standard, température, humidité relative	32—34
Vecteur du vent moyen	35
Vitesse du vent pour les 12 secteurs principaux	36—41
Moyennes annuelles	42

Code SYNOP

N VV_{ww}W N_hCLhCMCh

N = Couverture totale du ciel (nébulosité), en huitièmes

N_h = Couverture du ciel par les nuages dont la hauteur est donnée sous h, en huitièmes

N et N_h se chiffrent comme suit:

0 = pas de nuages	0/10	6 = 6 octants = 6/8 du ciel couvert	7/10 à 8/10
1 = 1 octant = 1/8 du ciel couvert	1/10	7 = 7 octants = 7/8 du ciel couvert	9/10
2 = 2 octants = 2/8 du ciel couvert	2/10 à 3/10	8 = 8 octants = 8/8 du ciel couvert	10/10
3 = 3 octants = 3/8 du ciel couvert	4/10	9 = Ciel invisible par suite de brouillard, de chasse-neige ou d'autres phénomènes, ou observation impossible à cause de l'obscurité	
4 = 4 octants = 4/8 du ciel couvert	5/10		
5 = 5 octants = 5/8 du ciel couvert	6/10		

VV = Visibilité horizontale

Code	Visibilité km	Code	Visibilité km	Code	Visibilité km	Code	Visibilité km	Code	Visibilité
00	< 0.1	10	1.0	20	2.0	30	3.0	40	4.0
01	0.1	11	1.1	21	2.1	31	3.1	41	4.1
02	0.2	12	1.2	22	2.2	32	3.2	42	4.2
03	0.3	13	1.3	23	2.3	33	3.3	43	4.3
04	0.4	14	1.4	24	2.4	34	3.4	44	4.4
05	0.5	15	1.5	25	2.5	35	3.5	45	4.5
06	0.6	16	1.6	26	2.6	36	3.6	46	4.6
07	0.7	17	1.7	27	2.7	37	3.7	47	4.7
08	0.8	18	1.8	28	2.8	38	3.8	48	4.8
09	0.9	19	1.9	29	2.9	39	3.9	49	4.9

Code	Visibilité km	Code	Visibilité km	Code	Visibilité km	Code	Visibilité km	Echelle réduite	
50	5.0	60	10	70	20	80	30	90	0— 50 m
51	}	61	11	71	21	81	35	91	50— 200 m
52		62	12	72	22	82	40	92	200— 500 m
53		63	13	73	23	83	45	93	500—1000 m
54		64	14	74	24	84	50	94	1000—2000 m
55		65	15	75	25	85	55	95	2000—4000 m
56	6	66	16	76	26	86	60	96	4—10 km
57	7	67	17	77	27	87	65	97	10—20 km
58	8	68	18	78	28	88	70	98	20—50 km
59	9	69	19	79	29	89	> 70	99	50 km ou plus

ww = Temps au moment de l'observation ou pendant l'heure précédente

ww 00 à 19 = Pas de précipitations, ni de brouillard, ni de tempête de poussière ou de sable, ni de chasse-neige à la station (station terrestre, bateau, avion) au moment de l'observation ou pendant l'heure précédente (exception sous 09)

	ww			
Nuages seuls sans hydro-météores	{	00	Evolution des nuages nulle ou inconnue	
		01	Nuages en dissolution ou devenant plus minces	
		02	Etat du ciel inchangé dans l'ensemble	
Brume sèche, poussière, sable ou fumées	{	03	Nuages en formation ou en augmentation	
		04	Visibilité réduite par fumée, feu de broussailles ou de forêt, fumées industrielles ou cendres volcaniques	
		05	Brume sèche	
		06	Poussières flottant dans l'air, non entraînées par le vent, ni à la station ni dans ses environs	
		07	Poussières ou sable entraînés par le vent au moment de l'observation, à la station ou dans son voisinage, mais pas de tourbillons caractéristiques de sable ou de poussière et pas de tempête de poussière ou de sable observée	
		08	Tourbillons typique de poussière ou de sable à la station ou dans son voisinage pendant l'heure précédente, mais pas de tempête de poussière ou de sable	
		09	Tempête de poussière ou de sable en vue ou à la station, même pendant l'heure précédente	
		10	Brume	
		11	{ Mince couche de brouillard à la station (terrestre ou maritime),	{ en bancs
		12	{ d'une épaisseur ne dépassant pas 2 m sur terre, 10 m sur mer	{ plus ou moins compacte
		13	Eclairs de chaleur; le tonnerre n'est pas audible	
		14	Précipitations en vue, mais n'atteignant pas le sol	
		15	Précipitations en vue, atteignant le sol, mais à plus de 5 km de la station à l'estime	
		16	Précipitations en vue, atteignant le sol, à moins de 5 km de la station, mais pas à la station même	
		17	Tonnerre audible, mais pas de précipitations à la station	
		18	Averses	} observées pendant l'heure précédente
		19	Trombe(s)	

ww 20 à 29 = Précipitations, brouillard ou orage à la station pendant l'heure précédente, mais pas au moment de l'observation

	ww		
20	{	Bruine (ne se congelant pas)	} Pas sous forme d'averses
21		Pluie (ne se congelant pas)	
22		Neige	
23		Pluie et neige mêlées	
24		Bruine ou pluie se congelant	
25	Averses de pluie		
26	Averses de neige, ou de pluie et de neige ¹		
27	Averses de grêle, ou de pluie et de grêle ²		
28	Brouillard		
29	Orage (avec ou sans précipitations)		

¹ également grésil ou neige roulée
² également averses de grésil ou de neige roulée

ww 30 à 39 = Tempête de poussière ou de sable, chasse-neige

	ww									
30	{	Tempête de poussière ou de sable, faible ou modérée	} a diminué sans changement	} au cours de l'heure précédente						
31					} a augmenté sans changement	} au cours de l'heure précédente				
32							} a diminué sans changement	} au cours de l'heure précédente		
33									} a augmenté sans changement	} au cours de l'heure précédente
34										
35	} de grande épaisseur	} au cours de l'heure précédente								
36			Chasse-neige faible ou modéré							
37			Fort chasse-neige							
38			Chasse-neige faible ou modéré							
39			Fort chasse-neige							

ww 40 à 49 = Brouillard au moment de l'observation

	ww	
40	Brouillard au moment de l'observation à quelque distance, mais pas à la station pendant l'heure précédente; la limite supérieure du brouillard est au-dessus de la station	
41	Brouillard en bancs	

42	Brouillard, ciel visible	} a diminué au cours de l'heure précédente
43	Brouillard, ciel invisible	
44	Brouillard, ciel visible	} sans changement notable au cours de l'heure précédente
45	Brouillard, ciel invisible	
46	Brouillard, ciel visible	} est apparu ou s'est épaissi au cours de l'heure précédente
47	Brouillard, ciel invisible	
48	Brouillard avec givre, ciel visible	
49	Brouillard avec givre, ciel invisible	

ww 50 à 59 = Bruine

	ww									
50	{	Bruine, sans congélation	} intermittente	} faible au moment de l'observation						
51					} continue	} modérée au moment de l'observation				
52							} intermittente	} forte au moment de l'observation		
53									} continue	} vation
54										
55	} continue									
56		Bruine congelante, faible								
57		Bruine congelante, modérée ou forte								
58		Bruine et pluie, faibles								
59		Bruine et pluie, modérées ou fortes								

ww 60 à 69 = Pluie

	ww									
60	{	Pluie, sans congélation	} intermittente	} faible au moment de l'observation						
61					} continue	} modérée au moment de l'observation				
62							} intermittente	} forte au moment de l'observation		
63									} continue	} vation
64										
65	} continue									
66		Pluie se congelant, faible								
67		Pluie se congelant, modérée ou forte								
68		Pluie ou bruine et neige, faibles								
69		Pluie ou bruine et neige, modérées ou fortes								

ww 70 à 79 = Précipitations solides, non sous forme d'averses

	ww									
70	{	Neige en flocons	} intermittente	} faible au moment de l'observation						
71					} continue	} modérée au moment de l'observation				
72							} intermittente	} forte au moment de l'observation		
73									} continue	} vation
74										
75	} continue									
76		Aiguilles de glace (avec ou sans brouillard)								
77		Neige en grains (avec ou sans brouillard)								
78		Etoiles de neige isolées (avec ou sans brouillard)								
79		Grains de glace								

ww 80—99 = Précipitations sous forme d'averses, ou précipitations accompagnées de phénomènes orageux au moment de l'observation ou pendant l'heure précédente

ww

- | | | |
|--|---|--|
| 80 Averses de pluie faibles | | |
| 81 Averses de pluie modérées ou fortes | | |
| 82 Averses de pluie violentes | | |
| 83 Averses de pluie et neige mêlées, faibles | | |
| 84 Averses de pluie et neige mêlées, modérés ou fortes | | |
| 85 Averses de neige faibles | | |
| 86 Averses de neige modérées ou fortes | | |
| 87 } Averses de grésil ou de neige roulée avec ou sans } faibles | | |
| 88 } pluie, ou pluie et neige mêlées } modérées ou fortes | | |
| 89 } Averses de grêle avec ou sans pluie, } faibles | | |
| 90 } ou pluie et neige mêlées, sans tonnerre } modérées ou fortes | | |
| 91 Pluie faible au moment de l'observation | } | Orage durant l'heure précédente, mais non au moment de l'observation |
| 92 Pluie modérée ou forte au moment de l'observation | | |
| 93 Faible chute de neige, ou de pluie et de neige mêlées, ou de grêle (grésil ou neige roulée) au moment de l'observation | } | Orage au moment de l'observation |
| 94 Chute modérée ou forte de neige, ou de neige et de pluie mêlées, ou de grêle (grésil ou neige) au moment de l'observation | | |
| 95 Orage faible ou modéré, sans grêle mais avec pluie, ou pluie et neige, ou neige, au moment de l'observation | } | Orage au moment de l'observation |
| 96 Orage faible ou modéré, avec grêle, grésil ou neige roulée, au moment de l'observation | | |
| 97 Orage fort, sans grêle ni grésil ou neige roulée, mais avec pluie, pluie et neige ou neige au moment de l'observation | | |
| 98 Orage avec tempête de poussière ou de sable au moment de l'observation | | |
| 99 Orage fort avec grêle, grésil ou neige roulée au moment de l'observation | | |

W = Temps passé

- | | | |
|---|---|---------------------------------------|
| 0 = Ciel à demi-couvert ou plus clair pendant toute la période | } | 5 = Bruine |
| 1 = Ciel par moments plus qu'à demi-couvert, par moments à demi-couvert ou plus clair | | 6 = Pluie |
| 2 = Ciel plus qu'à demi-couvert pendant toute la période | | 7 = Neige ou pluie et neige mêlées |
| 3 = Classe-neige, tempête de poussière ou de sable | | 8 = Averses |
| 4 = Brouillard ou brume épaisse | | 9 = Orage avec ou sans précipitations |

C_L = Nuages des genres Sc, St, Cu, Cb

- | | |
|---|--|
| 0 = Pas de nuages du type C _L | 5 = Stratocumulus ordinaire |
| 1 = Cumulus humilis | 6 = Stratus et/ou fractostratus |
| 2 = Cumulus congestus | 7 = Fractostratus et/ou fractocumulus de mauvais temps |
| 3 = Cumulonimbus calvus | 8 = Cumulus et stratocumulus ordinaire |
| 4 = Stratocumulus cumulogenitus ou vespéralis | 9 = Cumulonimbus capillatus |

h = Hauteur de la base des nuages au-dessus de la station

- | | |
|----------------|--|
| 0 = 0— 50 m | 6 = 1000—1500 m |
| 1 = 50— 100 m | 7 = 1500—2000 m |
| 2 = 100— 200 m | 8 = 2000—2500 m |
| 3 = 200— 300 m | 9 = 2500 m et plus, ou pas de nuages |
| 4 = 300— 600 m | / = La hauteur ne peut être déterminée, ou la base des nuages se trouve au-dessous et la face supérieure au-dessus de la station |
| 5 = 600—1000 m | |

C_M = Nuages des genres Ac, As et Ns

- | | |
|--|--|
| 0 = Pas de nuages du type C _M | 6 = Altocumulus cumulogenitus |
| 1 = Altostratus translucidus | 7 = Altocumulus duplicatus (altocumulus opacus, altostratus associé à l'altocumulus) |
| 2 = Altostratus opacus ou nimbostratus | 8 = Altocumulus cumuliformis |
| 3 = Altocumulus translucidus | 9 = Altocumulus associé à des bancs de cirrus denses ou de voiles |
| 4 = Altocumulus translucidus | |
| 5 = Altocumulus translucidus | |

C_H = Nuages des genres Ci, Cs et Cc

- | | |
|--|-------------------------------|
| 0 = Pas de nuages du type C _H | 5 = Cirrus et/ou cirrostratus |
| 1 = Cirrus filosus | 6 = Cirrus et/ou cirrostratus |
| 2 = Cirrus densus | 7 = Voile de cirrostratus |
| 3 = Cirrus nothus | 8 = Voile de cirrostratus |
| 4 = Cirrus | 9 = Cirrocumulus |

Observations aux

Janvier 1958

Jour	Données synoptiques en surface (Code SYNOP)				Surface 491 m					1000 mb	850 mb					700 mb					500 mb				
	N	VWwW	NcLbCn	Cn	P	t	Hum	dd	ff	H	H	t	Hum	dd	ff	H	t	Hum	dd	ff	H	t	Hum	dd	ff
1	0	75010	00900	—	956	-2.8	96	00	00	128	1420	-2.4	94	22	05	2965	-5.0	87	27	11	5510	-23.1	80	29	12
2	0	57020	00900	—	951	-5.0	100	00	00	096	1390	3.2	45	24	11	2930	-7.8	27	25	16	5470	-22.9	15	27	17
3	7	57102	756xx	—	956	-1.2	100	00	00	184	1435	1.1	79	25	06	2960	-8.7	76	26	10	5505	-23.2	18	24	10
4	8	80102	864xx	—	965	0.0	100	00	00	207	1475	2.1	86	24	32	3000	-8.2	23	26	14	5540	-26.1	13	30	23
5	8	80104	858xx	—	962	0.0	100	00	00	179	1500	-3.0	85	21	05	3000	-6.6	90	27	24	5565	-24.2	93	29	27
6	—	—	—	—	—	—	—	—	—	—	—	—	—	—	—	—	—	—	—	—	—	—	—	—	—
7	8	40686	858xx	—	945	9.2	100	22	27	018	1370	5.4	100	26	49	2920	-3.5	100	28	45	5515	-13.4	43	30	50
8	6	70017	65400	—	955	1.0	100	24	10	118	1420	-4.6	83	31	17	2920	-17.5	94	31	25	5335	-36.9	61	34	48
9	7	70022	75500	—	966	1.0	90	22	05	214	1520	-4.1	94	27	15	3000	-10.4	25	31	21	5530	-20.4	73	34	45
10	7	70606	755xx	—	955	2.0	100	22	14	118	1375	-1.7	100	29	28	2890	-12.0	100	30	34	5375	-30.4	70	32	53
11	8	70022	855xx	—	989	1.6	100	00	00	519	1300	0.4	100	24	43	2820	-8.4	100	24	42	5250	-23.0	100	29	37
12	8	74032	8xxxx	—	936	1.8	100	22	05	540	1270	-2.0	100	25	20	2785	-11.0	100	29	17	5280	-29.5	92	25	28
13	8	20707	8xxxx	—	945	-0.4	100	00	00	034	1390	-4.7	100	06	22	2820	-15.5	100	07	35	5290	-29.2	95	10	28
14	8	70022	8xxxx	—	959	0.2	100	07	07	155	1450	-5.0	100	09	18	2950	-7.6	77	09	12	5500	-25.9	13	07	13
15	8	79022	8xxxx	—	967	1.3	100	04	10	220	1515	-4.6	100	08	21	3040	-5.9	24	08	25	5595	-23.5	28	10	27
16	8	70022	8xxxx	—	972	1.4	100	01	09	261	1555	-2.4	100	08	14	3105	-4.8	31	07	14	5680	-19.0	31	07	28
17	8	70022	8xxxx	—	973	-0.2	100	08	03	268	1565	0.6	96	08	15	3115	-2.9	35	03	27	5700	-18.5	66	07	33
18	8	65022	8xxxx	—	967	-1.0	100	22	06	220	1510	2.0	78	07	03	2070	-3.8	71	02	11	5640	-20.2	72	03	24
19	8	50022	873xx	—	958	1.6	100	23	12	147	1455	-2.4	100	25	17	2980	-6.2	100	29	20	5545	-22.0	100	30	28
20	8	57518	856xx	—	913	5.1	100	23	18	011	1340	1.7	100	26	50	2850	-7.1	100	29	45	5440	-21.3	100	29	38
21	1	75010	16500	—	950	-3.7	100	00	00	087	1355	-8.4	93	27	11	2830	-11.7	26	31	16	5240	-36.4	41	23	50
22	0	75020	00900	—	950	-5.3	91	22	08	087	1360	-7.2	76	24	26	2850	-15.7	76	27	30	5305	-32.5	59	23	33
23	8	65222	8092x	—	947	-1.1	100	00	00	058	1340	-6.2	99	24	22	2830	-15.8	100	26	24	5280	-33.2	100	28	23
24	0	75020	00900	—	956	-11.3	100	00	00	143	1405	-9.2	100	25	11	2850	-17.7	75	28	16	5315	-36.3	46	34	35
25	0	75020	00900	—	966	-8.3	100	00	00	224	1505	-7.0	87	27	12	2935	-17.0	10	32	14	5460	-28.0	49	34	50
26	4	70021	40301	—	967	-9.0	100	00	00	232	1515	0.7	83	25	07	3055	-6.4	53	25	20	5605	-23.0	80	25	20
27	8	30104	862xx	—	971	0.0	100	00	00	258	1560	1.1	100	26	15	3105	-5.0	100	31	14	5690	-20.2	100	35	08
28	0	25464	00900	—	970	-2.3	100	00	00	251	1550	0.4	100	00	00	3100	-5.4	95	15	04	5675	-21.0	32	03	10
29	8	03444	864xx	—	968	-2.0	100	00	00	234	1585	2.0	75	00	00	3080	-3.7	10	15	03	5635	-22.4	10	15	32
30	8	40102	861xx	—	971	-1.1	100	00	00	257	1350	1.2	44	00	00	3095	-6.2	16	16	05	5665	-19.8	21	20	32
31	8	03464	8611x	—	972	-3.6	100	00	00	266	1545	-0.9	48	10	06	3100	-3.2	10	25	02	5675	-19.9	11	23	23
Moyen					959	-1.1	99	—	04	152	1447	-1.8	85	—	17	2969	-8.9	63	—	20	5500	-25.0	57	—	31

Janvier 1958

1	1	75020	10901	—	953	1.8	85	00	00	103	1415	-0.8	70	24	18	2945	-6.4	22	25	24	5490	-24.2	45	28	25
2	9	00454	9xxxx	—	953	-2.3	100	00	00	108	1410	0.2	75	24	15	2950	-7.1	33	23	20	5480	-23.2	22	25	11
3	5	56012	55600	—	961	2.8	90	02	03	170	1490	-0.4	80	03	04	3000	-8.1	41	28	05	5580	-25.7	27	27	08
4	6	30104	65300	—	966	1.8	85	00	00	214	1520	-0.4	87	24	06	3040	-7.5	50	25	17	5590	-21.0	91	28	23
5	8	40616	854xx	—	957	5.0	100	22	10	123	1455	1.9	100	24	38	3000	-5.4	100	24	33	5570	-20.0	19	27	23
6	8	48616	874xx	—	953	4.5	100	23	18	098	1420	-0.8	100	23	44	2950	-4.7	100	29	35	5540	-16.2	100	30	37
7	6	76132	89590	—	948	8.5	100	22	19	053	1355	0.9	92	26	33	2905	-11.2	86	29	42	5395	-29.9	76	29	35
8	7	74032	75600	—	965	2.5	85	21	07	201	1505	-5.3	83	33	20	3000	-15.2	91	24	24	5470	-27.0	10	36	72
9	8	04737	860xx	—	956	0.0	100	23	16	133	1435	-2.2	100	24	53	2965	-5.7	100	31	30	5535	-19.5	93	27	33
10	8	80011	85640	—	955	3.4	90	22	11	116	1455	-2.7	86	26	24	2930	-12.4	23	29	28	5450	-23.7	69	31	25
11	8	60636	864xx	—	932	3.0	100	21	15	386	1230	-0.1	100	25	29	2770	-9.2	100	28	27	5280	-27.5	97	26	34
12	8	68022	855xx	—	939	1.3	100	00	00	517	1285	-2.5	100	05	07	2790	-13.9	100	36	08	5300	-31.3	100	17	20
13	8	76020	875xx	—	953	1.2	95	06	10	105	1400	-5.2	97	08	20	2895	-13.4	96	08	18	5400	-23.2	34	12	23
14	8	55022	875xx	—	962	1.8	100	03	10	151	1490	-4.5	100	08	33	3000	-5.9	80	11	17	5540	-26.8	18	12	16
15	8	50022	875xx	—	970	2.6	95	04	14	242	1340	-1.7	100	08	28	3075	-4.6	25	03	23	5645	-22.0	58	03	22
16	8	50522	875xx	—	972	1.4	100	06	07	233	1560	-3.4	70	08	26	3110	-1.7	10	08	17	5690	-19.3	92	08	23
17	8	45022	873xx	—	970	-0.8	100	11	03	246	1540	4.2	56	07	14	3100	-3.2	33	07	17	5675	-19.2	37	06	22
18	8	50022	874xx	—	963	1.4	93	00	00	188	1490	-1.5	100	36	03	3020	-5.3	90	35	06	5610	-19.5	74	35	15
19	8	70332	873xx	—	950	4.8	85	22	16	072	1400	0.2	100	26	30	2935	-7.7	100	29	33	5470	-23.7	100	30	48
20	8	65157	89210	—	946	1.9	100	22	07	045	1345	-6.7	100	29	14	2830	-15.5	100	28	25	5320	-31.1	100	28	72
21	2	75010	21610	—	951	-0.3	85	23	10	091	1375	-7.7	91	26	15	2360	-17.0	100	31	19	5295	-23.8	57	33	21
22	8	70023	845xx	—	947	-0.7	100	23	03	054	1350	-5.4	100	25	34	2850	-14.3	100	27	39	5315	-31.6	100	27	33
23	5	55703	863xx	—	951	-0.8	100	00	00	086	1375	-6.7	100	07	03	2870	-15.9	100	33	04	5320	-35.2	92	25	27
24	3	56703	35110	—	956	0.0	100	20	12	129	1420	-4.9	90	27	34	2930	-14.9	73	29	39	5400	-30.5	31	29	55
25	0	40104	00900	—	963	-3.2	92	00	00	233	1510	-4.0	50	19	06	3045	-4.8	10	36	04	5620	-19.2	19	35	39
26	8	35104	862xx	—	968	-1.0	100	00	00	232	1320	-0.8	100	25	11	3055	-5.6	100	29	17	5625	-20.3	100	32	17
27	0	500																							

niveaux standard

00.00 h

Table with 6 main columns: 400 mb, 300 mb, 200 mb, 150 mb, 100 mb, and Tropopause. Each column contains sub-columns for H, t, Hum, dd, ff, and p. Data rows include station numbers and various meteorological values.

12.00 h

Table with 6 main columns: 400 mb, 300 mb, 200 mb, 150 mb, 100 mb, and Tropopause. Each column contains sub-columns for H, t, Hum, dd, ff, and p. Data rows include station numbers and various meteorological values.

Février 1958

Table with columns: Jour, Données synoptiques en surface (Code SYNOP), Surface 491 m, 1000 mb, 850 mb, 700 mb, 500 mb. Rows include days 1-28 and a 'Moyen' row.

Février 1958

Table with columns: Jour, Données synoptiques en surface (Code SYNOP), Surface 491 m, 1000 mb, 850 mb, 700 mb, 500 mb. Rows include days 1-28 and a 'Moyen' row.

niveaux standard

00.00 h

400 mb					300 mb					200 mb				150 mb				100 mb				Tropopause		
H	t	Hum	dd	ff	H	t	Hum	dd	ff	H	t	dd	ff	H	t	dd	ff	H	t	dd	ff	H	p	t
7255	-36.0	40	21	14	9180	-53.8	—	24	07	11695	-65.7	01	03	13440	-64.0	01	12	15910	-66.5	36	42	10650	237	-64.4
7300	-33.8	10	28	15	9270	-47.2	—	31	13	11860	-60.3	01	17	13640	-59.1	35	21	16160	-60.7	34	20	12500	180	-61.7
7315	-29.8	47	36	19	9300	-46.6	—	01	24	11890	-65.4	03	36	13600	-65.3	34	36	16060	-65.3	31	28	12490	180	-69.6
7290	-33.0	41	02	46	9240	-48.6	—	02	57	11790	-64.7	02	33	13530	-66.5	—	—	16000	-65.0	—	—	12300	164	-66.7
7250	-34.3	100	30	44	9210	-47.8	—	30	60	11780	-63.4	29	77	13560	-63.0	29	38	16000	-67.2	—	—	12230	186	-65.0
7190	-30.5	99	28	60	9170	-43.1	—	28	57	11810	-53.4	28	52	13620	-57.5	28	44	16190	-58.0	28	40	12360	188	-59.3
7060	-33.7	81	30	71	9000	-47.9	—	28	108	11690	-55.9	28	66	13450	-56.9	28	48	16000	-59.0	31	32	10540	237	-57.0
7100	-31.6	100	27	46	9090	-46.8	—	27	44	11690	-54.5	26	90	13550	-52.5	22	66	16130	-56.3	23	74	11000	223	-57.7
7160	-31.2	98	24	44	9180	-45.4	—	25	44	11720	-56.7	26	45	13580	-53.1	26	40	16160	-55.5	23	38	11270	215	-61.5
7215	-31.5	37	23	15	9180	-48.5	—	26	16	11720	-68.5	28	22	13500	-59.0	25	44	16060	-53.2	26	44	11610	204	-69.2
7195	-27.6	80	21	34	9210	-42.3	—	23	47	11840	-60.0	24	55	13660	-53.3	25	38	16230	-51.4	24	33	11950	197	-60.5
7155	-33.0	71	27	55	9120	-46.9	—	28	82	11730	-54.1	26	38	13580	-51.0	23	25	16210	-52.2	23	25	10890	223	-57.0
7280	-38.4	71	26	44	9290	-43.4	—	26	56	11910	-60.1	26	53	13730	-54.7	26	33	16330	-53.5	26	33	12440	185	-62.4
7390	-32.6	18	29	33	9360	-47.0	—	28	46	11950	-62.5	28	77	13730	-57.3	28	50	16320	-56.5	28	33	12160	193	-63.0
7435	-26.4	10	29	29	9440	-42.1	—	29	22	12060	-62.5	30	27	13820	-61.6	31	33	16350	-61.2	31	33	13130	167	-65.2
7350	-30.6	89	30	23	9325	-43.2	—	30	37	11950	-60.1	30	39	13740	-62.0	31	45	16250	-57.3	30	36	12960	172	-64.3
7120	-32.3	98	—	—	9070	-47.0	—	—	—	11690	-54.9	—	—	13560	-52.7	—	—	16150	-54.0	—	—	11170	217	-56.3
6845	-40.0	30	23	16	8770	-46.7	—	27	34	11460	-46.8	30	25	13570	-49.8	29	42	16000	-53.7	29	33	8370	319	-46.8
7000	-36.7	100	36	63	8910	-49.6	—	36	65	11520	-54.9	36	39	13550	-54.0	35	53	15960	-54.3	32	40	10390	239	-54.8
7045	-37.0	73	33	32	9000	-49.3	—	34	39	11570	-58.9	32	22	13400	-54.2	32	28	16000	-54.1	31	32	11480	203	-59.0
7000	-33.2	100	33	45	8940	-51.7	—	32	55	11620	-57.4	31	45	13340	-55.9	31	44	15900	-53.6	31	40	10440	237	-58.0
7050	-31.7	94	32	61	9040	-43.5	—	—	—	11660	-57.4	—	—	13490	-52.3	—	—	16090	-53.9	—	—	11460	206	-57.4
7100	-34.1	94	29	41	9030	-43.1	—	30	140	11580	-61.6	—	—	13360	-53.0	—	—	15900	-60.6	—	—	11000	219	-64.1
7120	-30.5	24	26	60	9100	-42.0	—	24	52	11760	-51.1	25	88	13630	-51.9	26	32	16240	-50.5	27	54	10740	235	-52.1
6950	-36.9	92	22	33	8880	-47.7	—	22	83	11530	-49.4	—	—	13430	-46.9	—	—	16070	-51.1	—	—	9880	257	-50.6
6810	-40.7	61	16	48	8730	-43.5	—	19	33	11380	-48.7	24	13	13250	-50.8	24	27	15860	-52.3	26	27	9630	261	-50.9
7000	-39.1	97	03	44	8590	-50.8	—	03	39	11600	-52.5	36	25	13360	-52.6	36	15	15960	-52.9	26	12	10680	227	-53.7
7147	-33.4	69	—	40	9106	-46.9	—	—	50	11711	-53.0	—	46	13528	-56.2	—	40	16094	-57.0	—	36	—	—	—

12.00 h

7320	-31.3	16	24	13	9295	-46.2	—	28	03	11880	-62.0	33	09	13660	-53.7	01	22	16200	-62.6	36	33	12050	194	-62.3
7325	-31.1	22	05	07	9300	-46.9	—	05	20	11860	-66.3	01	25	13610	-62.8	34	13	16110	-64.1	33	23	12260	187	-67.5
7290	-31.9	43	01	33	9260	-46.0	—	01	43	11860	-63.4	01	77	13600	-65.6	01	40	16070	-65.0	35	40	12950	167	-69.5
7315	-35.0	95	32	35	9245	-51.7	—	32	35	11750	-72.0	32	49	13430	-72.0	32	55	15800	-73.8	30	44	12060	139	-74.0
7225	-32.3	37	29	40	9200	-44.4	—	23	50	11830	-58.2	28	44	13620	-61.6	28	33	16140	-62.4	28	33	13180	161	-62.5
7025	-33.7	93	29	44	8950	-50.9	—	23	60	11500	-65.0	28	72	13260	-59.7	29	70	15780	-64.7	28	66	11680	194	-66.1
7090	-30.6	100	28	73	9090	-42.7	—	29	66	11730	-53.2	28	60	13590	-49.2	29	66	16240	-52.7	29	53	11730	200	-53.2
7180	-35.0	91	23	55	9120	-43.3	—	23	60	11690	-57.6	27	55	13530	-53.4	27	58	16110	-57.8	27	38	11150	213	-60.9
7160	-31.2	98	24	44	9130	-45.4	—	25	44	11720	-56.7	26	45	13580	-53.1	26	40	16160	-55.5	23	38	11270	215	-61.5
7240	-29.1	90	23	27	9235	-43.3	—	23	33	11870	-57.6	26	33	13700	-52.0	26	38	16380	-51.9	25	34	11740	204	-57.4
7140	-32.8	99	21	33	9120	-44.1	—	21	53	11760	-54.1	22	85	13630	-51.5	22	44	16270	-50.4	25	45	11650	204	-54.1
7390	-27.0	71	26	33	9400	-42.0	—	27	45	12025	-61.1	26	39	13390	-55.2	27	44	16450	-51.5	25	39	12580	133	-62.2
7395	-31.5	37	25	43	9355	-43.3	—	25	50	11900	-69.2	25	50	13620	-65.7	27	44	16130	-61.8	26	32	11960	200	-69.2
7445	-29.0	19	29	32	9440	-43.7	—	30	33	12060	-53.3	30	44	13390	-55.3	29	39	16400	-54.2	29	33	12230	195	-59.3
7390	-28.2	100	31	43	9390	-42.3	—	30	50	—	—	—	—	—	—	—	—	—	—	—	—	—	—	—
7290	-31.1	86	26	33	9200	-44.7	—	26	36	11790	-64.7	26	55	13560	-59.3	28	53	16120	-53.3	27	55	11920	195	-65.2
6920	-39.3	10	26	36	8815	-50.1	—	26	53	11440	-55.7	27	44	13260	-55.0	27	46	15360	-50.9	28	28	10120	245	-55.3
6920	-36.9	42	02	36	8870	-44.7	—	01	43	11570	-46.3	35	54	13480	-47.0	34	60	16150	-43.6	33	30	10190	246	-46.7
7030	-36.1	93	33	50	8950	-49.1	—	33	66	11570	-51.3	32	64	13450	-52.0	31	44	16070	-52.5	31	32	10530	235	-53.7
7060	-35.4	94	33	46	9000	-50.0	—	32	47	11560	-53.8	31	39	13430	-52.5	31	36	16000	-52.7	32	28	10400	241	-60.6
7000	-33.2	100	33	92	8930	-43.5	—	—	—	11490	-62.0	—	—	13300	-51.9	—	—	15910	-57.9	—	—	11360	204	-62.3
7050	-34.0	89	29	33	9000	-43.6	—	31	106	11570	-64.3	30	50	13370	-57.0	30	48	15900	-58.2	31	40	11180	213	-64.3
7150	-25.1	92	26	35	9220	-37.1	—	23	46	11930	-51.0	28	33	13760	-56.5	29	33	16330	-55.8	29	44	12460	134	-56.5
7010	-36.3	95	25	60	8940	-51.7	—	25	72	11520	-53.3	25	40	13380	-52.6	25	38	16090	-51.3	26	34	9950	256	-53.0
6845	-36.5	40	19	60	8770	-49.2	—	20	55	11450	-47.6	33	44	13360	-46.6	25	30	16020	-50.5	24	33	8720	303	-49.4
6950	-36.6	63	14	33	8890	-47.3	—	12	23	11560	-43.6	01	17	13440	-49.7	30	11	16090	-50.0	27	22	9360	232	-49.4
7035	-39.3	39	03	38	8960	-52.4	—	03	56	11550	-54.5	02	33	13380	-54.7	36	22	15960	-55.3	36	22	10630	231	-57.0
7135	-33.1	71	—	44	9114	-46.8	—	—	49	11709	-33.2	—	47	13528	-53.8	—	42	16103	-56.0	—	37	—	—	—

Observations aux

Mars 1958

Table with columns for Day (Jour), Synoptic data (Données synoptiques en surface), Surface 491 m, 1000 mb, 850 mb, 700 mb, and 500 mb. Rows include days 1-31 and a 'Moyen' (Mean) row.

Mars 1958

Table with columns for Day (Jour), Synoptic data (Données synoptiques en surface), Surface 491 m, 1000 mb, 850 mb, 700 mb, and 500 mb. Rows include days 1-31 and a 'Moyen' (Mean) row.

niveaux standard

00.00 h

Table with 6 main columns: 400 mb, 300 mb, 200 mb, 150 mb, 100 mb, and Tropopause. Each column contains sub-columns for H, t, Hum, dd, ff. Data rows include station identifiers and various meteorological measurements.

12.00 h

Table with 6 main columns: 400 mb, 300 mb, 200 mb, 150 mb, 100 mb, and Tropopause. Each column contains sub-columns for H, t, Hum, dd, ff. Data rows include station identifiers and various meteorological measurements.

Observations aux

Avril 1958

Jour	Données synoptiques en surface (Code SYNOP)				Surface 491 m					1000 mb	850 mb					700 mb					500 mb				
	N	VVwwW	NhClhCnCh		P	t	Hum	dd	ff	H	H	t	Hum	dd	ff	H	t	Hum	dd	ff	H	t	Hum	dd	ff
1	6	35402	55711	--	951	3.3	100	00	00	080	1405	2.3	87	32	02	2960	-5.2	83	30	02	5500	-24.8	70	23	12
2	6	56022	65510	--	954	3.0	95	00	00	108	1425	-0.5	90	05	06	2955	-7.6	43	31	07	5500	-25.0	80	31	20
3	2	70020	24403	--	951	-0.3	100	00	00	090	1400	0.7	65	22	12	2935	-9.0	21	24	23	5475	-22.7	24	27	33
4	8	75026	854xx	--	948	4.8	100	00	00	054	1365	2.0	95	21	12	2925	-6.1	83	22	43	5475	-23.5	92	22	33
5	6	70022	65400	--	944	5.5	100	00	00	023	1360	4.2	90	22	08	2915	-7.6	98	23	20	5450	-24.4	75	25	17
6	8	70022	85700	--	950	1.0	100	00	00	079	1390	-2.7	82	23	05	2900	-12.5	95	24	05	5390	-29.0	96	17	26
7	8	40606	86200	--	955	3.0	100	00	00	113	1425	-1.8	100	03	07	2955	-8.5	100	04	15	5480	-25.1	100	04	27
8	8	68626	874xx	--	958	2.7	100	08	06	141	1455	-2.3	100	01	05	2970	-10.7	100	23	07	5515	-23.1	59	29	20
9	7	65012	8xxxx	--	961	0.0	100	00	00	166	1475	-6.4	95	36	07	2955	-16.7	98	35	10	5420	-30.0	54	35	33
10	8	74032	8xxxx	--	964	1.6	90	22	07	195	1480	-5.4	100	28	03	3000	-15.3	100	25	07	5470	-26.2	97	33	40
11	8	59727	8xxxx	--	950	0.2	100	00	00	155	1445	-8.1	99	31	06	2985	-16.4	100	28	17	5380	-32.0	65	30	33
12	8	60707	8xxxx	--	955	0.3	90	06	17	119	1410	-7.4	98	07	36	2880	-15.1	92	11	11	5370	-32.9	86	17	20
13	0	78020	00900	--	954	0.3	100	00	00	114	1415	-2.7	88	08	08	2935	-12.1	42	16	14	5400	-32.9	20	21	32
14	7	78032	77000	--	948	2.8	100	00	00	034	1375	1.5	100	07	16	2920	-3.0	70	11	22	5510	-20.6	100	31	22
15	0	75020	00900	--	946	3.7	100	00	00	037	1360	2.6	100	10	03	2915	-7.4	75	15	12	5430	-28.8	100	13	26
16	8	57616	874xx	--	944	6.4	100	00	00	020	1345	1.9	100	02	16	2885	-6.5	100	03	27	5445	-21.0	95	06	20
17	8	75616	872xx	--	956	3.0	100	00	00	123	1435	-3.7	100	02	12	2940	-11.6	100	01	16	5470	-24.1	100	01	11
18	8	75707	858xx	--	962	2.0	100	00	00	181	1475	-5.7	96	02	07	2960	-16.6	96	26	08	5440	-28.2	21	35	46
19	0	78020	00900	--	964	0.2	100	00	00	197	1500	-2.5	88	02	05	3020	-11.6	100	02	16	5535	-25.3	43	02	35
20	0	56020	00900	--	967	4.2	100	00	00	214	1540	2.0	100	01	03	3085	-7.5	100	35	02	5655	-21.4	94	33	20
21	8	70030	94500	--	967	6.0	100	00	00	215	1565	7.3	66	24	05	3125	-2.4	53	27	10	5735	-17.8	11	29	15
22	4	70020	44700	--	962	9.8	90	00	00	165	1535	7.4	73	23	03	3095	-3.5	15	29	16	5670	-20.3	19	29	20
23	7	70032	75501	--	953	3.5	90	05	03	095	1435	2.9	95	06	15	3000	-5.6	67	31	07	5570	-18.3	94	32	12
24	6	70022	24551	--	958	5.0	90	04	03	137	1465	1.7	95	06	20	3000	-2.8	10	06	27	5600	-19.3	43	05	27
25	0	70020	00900	--	960	5.2	100	00	00	157	1495	6.0	65	00	00	3050	-3.8	19	26	06	5645	-19.0	83	26	09
28	8	70021	24541	--	966	3.5	100	00	00	207	1525	1.0	95	32	03	3050	-11.3	100	28	10	5575	-21.5	29	33	28
27	8	78032	856xx	--	962	10.0	80	23	14	165	1520	2.9	95	25	22	3065	-5.0	100	27	22	5555	-13.6	100	28	51
28	7	78012	756xx	--	962	4.7	100	22	06	173	1495	-1.4	98	30	14	3000	-11.6	98	27	24	5535	-23.8	62	31	68
29	8	60606	876xx	--	964	7.2	100	22	10	188	1520	3.2	100	26	25	3075	-5.0	99	33	30	5640	-18.7	51	36	50
30	8	60011	8xxxx	--	968	5.4	95	00	00	226	1555	0.4	95	07	18	3100	-2.4	26	04	27	5685	-19.7	61	03	31
Moyen					957	3.8	97	--	03	133	1453	0.0	92	--	10	2981	-8.7	74	--	15	5517	-23.9	67	--	28

Avril 1958

1	8	22022	861xx	--	950	7.4	91	05	04	075	1395	2.6	90	30	05	2950	-6.6	72	26	03	5490	-24.2	26	27	15
2	2	60020	15601	--	956	8.1	60	00	00	112	1435	-0.4	90	23	05	2960	-9.1	15	28	20	5435	-23.7	12	23	25
3	7	62102	7092x	--	947	6.7	75	34	02	048	1370	3.9	67	00	00	2920	-4.1	96	21	43	5525	-17.5	97	22	42
4	8	70022	893xx	--	947	3.8	95	00	00	097	1385	3.2	98	20	12	2940	-4.9	90	20	23	5505	-20.1	47	20	28
5	8	56602	85600	--	951	5.2	85	24	05	081	1390	-1.8	91	25	07	2905	-11.3	97	24	25	5445	-25.3	93	18	29
6	8	40021	87500	--	950	5.8	100	00	00	078	1380	-1.8	100	36	06	2900	-10.3	100	04	07	5445	-22.1	79	09	34
7	8	35021	862xx	--	956	5.5	100	00	00	126	1445	-0.5	100	35	03	3000	-7.0	88	34	03	5535	-21.0	22	35	09
8	8	57022	864xx	--	959	3.1	90	03	10	149	1445	-5.1	100	02	08	2945	-12.6	75	33	03	5450	-26.6	67	31	17
9	8	50262	855xx	--	962	4.4	80	29	06	175	1435	-4.7	100	29	07	2985	-14.1	100	28	11	5490	-26.6	78	35	33
10	7	75268	754xx	--	962	3.9	100	21	08	175	1475	-4.8	100	26	11	2920	-14.6	100	29	13	5480	-28.0	55	32	48
11	7	70262	755xx	--	957	0.7	85	08	12	139	1430	-6.4	100	04	10	2925	-17.5	100	03	22	5390	-35.8	33	21	25
12	8	57022	864xx	--	953	3.0	86	04	13	098	1405	-3.5	100	07	20	2925	-9.0	39	13	22	5430	-27.7	83	15	15
13	8	57022	864xx	--	953	3.4	90	03	10	098	1405	0.4	85	07	20	2950	-6.7	41	08	13	5435	-24.4	88	14	16
14	8	40102	865xx	--	945	7.2	90	00	00	029	1355	2.9	92	21	05	2925	-3.9	79	14	05	5500	-19.7	78	11	33
15	8	45602	865xx	--	946	9.0	85	00	00	028	1360	0.6	97	02	05	2895	-7.6	100	03	15	5445	-23.0	93	09	28
16	8	45606	874xx	--	946	6.6	100	30	10	040	1350	-0.4	100	01	16	2955	-7.3	99	03	18	5455	-22.6	84	02	22
17	8	56707	8741x	--	960	2.8	100	07	05	153	1455	-4.5	92	36	15	3000	-12.8	96	02	08	5435	-24.7	17	35	32
18	3	56021	88400	--	962	6.4	82	36	09	174	1435	-3.6	93	09	08	3000	-11.2	47	05	15	5515	-25.0	18	03	38
19	1	60100	14501	--	966	10.5	58	00	00	200	1540	1.2	62	00	00	2060	-7.6	100	26	08	5625	-20.8	86	35	17
20	0	56020	00900	--	968	13.5	60	00	00	214	1565	5.9	62	00	00	3125	-2.3	55	33	04	5725	-18.2	34	33	08
21	2	65020	13501	--	966	16.8	65	00	00	198	1570	7.5	75	24	06	3135	-1.5	33	28	08	5750	-16.8	29	30	24
22	3	74030	31501	--	956	18.7	50	00	00	104	1475	7.1	58	29	06	3040	-4.5	45	29	08	5625	-13.2	10	29	17
23	4	60021	45800	--	954	10.2	35	04	22	100	1435	2.0	80	06	24	2980	-5.3	10	06	30	5555	-20.6	10	04	44
24	2	78020	20301	--	960	13.1	70	00	00	145	1495	4.3	50	04	05	3045	-2.4	10	02	05	5645	-17.4	86	01	22
25	8	75602	875xx	--	960	13.7	70	28	10	145	1505	4.5	77	22	22	3055	-5.4	99	25	22	5620	-19.4	96	23	33
26	6	78022	38601	--	963	13.3	65	22	03	175	1495	1.3	78	23	14	3055	-5.9	95	28	11	5630	-19.7	90	30	24
27	3			--																					
28	5	75012	88500	--	964	9.8	60	23	07	186	1515	-0.8	56	23	07	3030	-12.3								

niveaux standard

00.00 h

400 mb					300 mb					200 mb				150 mb				100 mb				Tropopause		
H	t	Hum	dd	ff	H	t	Hum	dd	ff	H	t	dd	ff	H	t	dd	ff	H	t	dd	ff	H	p	t
7090	-38.2	59	29	15	9000	-51.8	—	30	43	11615	-54.9	31	34	13480	-50.6	31	33	16110	-51.7	31	17	10500	238	-56.7
7080	-36.9	58	28	20	9000	-47.4	—	30	25	11630	-48.8	31	35	13580	-47.0	31	33	16260	-48.6	32	34	10220	250	-50.9
7050	-30.7	50	28	48	9070	-43.2	—	28	65	11710	-50.6	28	51	13605	-48.0	28	44	16270	-51.2	28	20	10600	238	-55.2
7070	-37.5	91	21	37	9000	-48.0	—	21	53	11630	-48.8	22	44	13590	-47.3	22	15	16250	-51.3	23	27	9500	278	-48.8
7035	-38.1	70	25	20	8950	-52.7	—	26	20	11590	-46.7	25	15	13500	-46.8	25	26	16180	-51.3	25	17	9300	285	-54.9
6945	-42.1	96	15	54	8830	-53.1	—	16	39	11470	-50.1	25	17	13550	-50.6	26	19	16000	-55.3	25	30	8200	326	-54.5
7070	-37.2	91	04	25	9000	-52.3	—	03	23	11620	-47.2	30	22	13530	-47.7	26	16	16200	-49.1	24	33	9370	283	-54.7
7100	-35.1	57	29	29	9050	-49.7	—	28	33	11660	-48.5	31	26	13570	-47.7	30	22	16250	-47.7	29	22	10130	251	-54.0
6990	-42.4	47	35	33	8860	-52.1	—	34	33	11480	-51.8	32	24	13550	-50.5	32	33	15970	-50.5	31	27	9660	265	-54.9
7050	-38.2	62	33	47	8950	-52.1	—	33	49	11630	-51.7	31	28	13420	-52.6	30	29	16000	-52.3	30	20	10100	250	-58.3
6920	-11.7	56	29	06	8780	-51.3	—	30	50	11400	-55.1	30	40	13240	-55.1	30	44	15820	-55.1	31	22	8780	300	-54.3
6940	-43.3	82	16	23	8810	-49.6	—	21	17	11430	-48.2	27	14	13350	-52.2	30	14	16000	-52.9	29	14	8810	300	-49.6
6935	-44.4	20	21	45	8820	-55.4	—	22	66	11370	-53.3	21	26	13180	-60.4	22	33	15700	-62.0	23	27	9760	259	-59.4
7120	-32.7	100	15	23	9050	-49.4	—	16	49	11710	-52.0	21	33	13580	-50.6	21	33	16200	-55.4	24	32	9840	267	-53.7
6970	-48.6	97	14	33	8840	-56.9	—	11	28	11470	-51.9	12	22	13320	-54.0	15	16	15910	-58.8	22	14	8920	296	-57.3
7060	-31.3	83	07	33	9050	-45.3	—	08	30	11660	-49.2	36	11	13570	-47.2	30	05	16230	-51.2	27	03	10850	327	-57.5
7060	-36.0	100	01	16	8990	-49.9	—	56	28	11670	-50.8	36	24	13490	-50.0	32	14	16130	-52.5	29	11	9950	259	-56.2
7015	-35.7	20	36	55	8960	-48.3	—	35	60	11620	-49.0	32	27	13510	-49.5	33	17	16160	-51.0	29	13	9710	268	-51.0
7110	-37.0	83	02	50	9050	-51.5	—	03	66	11600	-56.1	35	55	13450	-54.4	34	60	16030	-55.4	33	23	10430	241	-61.7
7285	-30.6	72	31	22	9260	-45.7	—	34	22	11870	-62.5	34	16	13640	-59.0	34	27	16240	-55.0	30	25	12310	186	-63.7
7360	-31.4	46	28	28	9330	-47.8	—	28	32	11910	-64.6	28	43	13670	-59.7	29	22	16230	-58.5	29	15	11910	200	-64.6
7300	-31.3	13	31	12	9280	-46.1	—	33	05	11850	-61.0	23	05	13690	-56.3	29	27	16250	-56.3	29	16	11740	204	-61.0
7195	-31.0	94	36	15	9180	-47.2	—	01	15	11720	-57.7	01	11	13600	-53.9	30	11	16220	-52.7	35	17	12130	189	-53.4
7225	-22.5	71	04	33	9240	-42.2	—	05	33	11870	-58.7	05	39	13700	-53.8	02	17	16320	-52.8	25	26	11780	203	-58.9
7270	-29.7	78	27	10	9275	-42.1	—	26	11	11910	-59.8	27	20	13710	-56.0	26	15	16330	-52.0	26	12	12040	196	-60.5
7185	-33.4	23	32	33	9150	-43.0	—	32	33	11755	-54.7	20	27	13610	-54.2	27	11	16220	-53.3	25	12	10540	242	-56.7
7270	-30.5	97	30	52	9235	-46.9	—	50	46	11835	-59.8	30	50	13630	-53.3	29	33	16270	-50.5	28	33	11700	204	-60.2
7120	-32.2	52	32	90	9090	-43.5	—	31	110	11730	-47.4	32	50	13630	-50.5	31	44	16330	-48.0	31	44	11270	216	-47.7
7240	-30.5	85	34	77	9230	-45.6	—	34	82	11850	-60.0	—	—	13690	-52.3	—	—	16260	-60.1	—	—	11620	207	-60.0
7290	-33.0	52	02	33	9240	-43.1	—	02	44	11810	-60.5	01	50	13610	-59.0	02	30	16130	-60.7	02	17	12290	185	-62.3
7110	-35.5	66	—	37	9053	-18.9	—	—	41	11673	-53.9	—	30	13591	-52.3	—	26	16149	-53.5	—	22	—	—	—

12.00 h

7075	-36.6	22	23	13	9000	-50.3	—	28	44	11590	-54.6	31	25	13460	-50.7	31	36	16090	-51.7	31	33	10960	221	-60.7
7070	-31.8	10	20	43	9070	-46.0	—	30	42	11750	-47.4	30	62	13650	-45.7	30	56	16320	-49.6	30	45	9320	267	-50.4
7140	-27.4	64	22	60	9150	-41.3	—	22	52	11340	-43.3	24	50	13770	-42.4	24	35	16500	-46.4	—	—	10320	234	-49.5
7120	-34.0	41	20	23	9075	-46.3	—	23	32	11730	-42.5	22	35	13720	-43.4	24	22	16470	-42.8	24	32	8690	318	-46.3
7085	-36.1	88	17	45	9000	-49.7	—	19	25	11650	-42.8	26	25	13600	-44.0	27	17	16320	-45.6	27	12	9250	287	-50.6
7040	-34.7	61	09	28	9000	-50.1	—	09	34	11695	-41.6	27	20	13640	-43.0	26	20	16370	-44.0	24	32	9000	300	-50.1
7145	-32.7	23	35	12	9115	-47.0	—	34	07	11780	-46.9	32	17	13700	-44.6	29	15	16425	-44.5	28	16	10420	245	-52.0
7030	-37.0	86	30	17	8970	-47.0	—	29	30	11660	-44.3	31	28	13660	-43.2	31	22	16320	-43.1	31	23	9690	269	-49.4
7075	-34.3	76	36	43	9050	-45.4	—	35	55	11690	-49.2	33	44	13590	-47.5	33	33	16290	-47.1	29	33	10300	248	-52.7
7090	-39.3	76	33	60	8970	-47.6	—	32	60	11590	-50.4	32	45	13470	-49.9	32	41	16120	-50.4	31	38	10560	234	-56.0
6865	-41.2	61	24	33	8780	-47.8	—	27	22	11480	-46.0	31	17	13390	-49.1	32	13	16050	-48.6	29	23	8560	311	-47.8
7000	-35.0	43	17	22	8990	-40.6	—	22	32	11750	-43.0	22	24	13690	-42.8	25	18	16420	-45.4	25	15	10340	246	-42.0
7030	-35.2	38	17	33	9020	-51.0	—	19	49	11620	-53.4	21	33	13490	-54.1	22	28	16090	-54.2	24	39	10380	243	-54.9
7120	-30.9	33	10	39	9110	-43.9	—	10	50	11730	-43.3	16	30	13690	-45.4	16	17	16370	-50.7	21	38	11040	224	-50.9
7045	-34.9	83	10	33	9000	-43.4	—	13	34	11620	-49.0	12	28	13540	-43.8	28	03	16190	-51.0	26	15	9800	265	-52.5
7055	-33.4	76	03	19	9000	-49.8	—	04	30	11655	-49.0	31	11	13560	-47.4	24	16	16240	-50.1	24	15	9900	262	-53.8
7075	-35.6	22	35	43	9000	-43.9	—	34	37	11660	-49.2	32	28	13550	-50.6	28	11	16195	-52.3	28	16	9780	267	-53.1
7105	-36.1	36	01	45	9020	-51.0	—	01	50	11665	-51.2	01	34	13530	-50.7	20	22	16180	-53.2	33	23	9940	261	-55.2
7250	-33.3	81	35	22	9205	-49.2	—	36	39	11740	-64.0	35	48	13530	-53.4	33	21	16190	-56.4	31	25	12200	186	-63.4
7365	-33.5	30	31	10	9360	-43.9	—	27	20	12000	-60.4	23	20	13790	-56.6	29	23	16380	-53.7	31	20	12200	193	-61.0
7390	-23.1	35	29	29	9370	-44.0	—	30	23	11930	-61.6	30	20	13770	-57.4	29	23	16370	-54.7	30	20	12190	193	-61.9
7255	-29.4	10	25	14	9240	-44.0	—	11	03	11850	-60.5	27	03	13650	-57.2	27	22	16240	-55.4	29	22	11850	200	-60.5
7170	-30.0	10	04	35	9170	-43.5	—	04	35	11800	-54.0	03	35	13680	-53.0	03	44	16290	-51.3	02	23	10580	242	-53.5
7275	-23.8	43	02	15	9230	-42.3	—	04	11	11920	-59.8	34	11	13700	-58.0	28	07	16200	-51.4	29	11	12670	177	-63.6
7240	-31.6	92	22	44	9220	-44.1	—	21	55	11850	-56.2	22	44	13700	-50.0	25	33	16360	-50.0	26	22	11850	200	-56.2
7255	-31.0	85	20	35	9200	-47.4	—	31	44	11720	-63.3	33	42	13550	-58.6	27	18	16140	-55.2	27	16	11890	196	-63.9
7200	-32.0	11	35	77	9170	-46.0	—</																	

Mai 1958

Jour	Données synoptiques en surface (Code SYNOP)				Surface 491 m				1000 mb	850 mb				700 mb				500 mb							
	N	VvwWw	NiClhCxCh		P	t	Hum	dd	ff	H	t	Hum	dd	ff	H	t	Hum	dd	ff	H	t	Hum	dd	ff	
1	3	60020	80901	--	970	6.3	100	00	00	242	1580	6.9	75	07	07	3165	1.1	23	08	13	5765	-17.0	11	33	06
2	2	60020	80901	--	969	9.8	95	36	03	230	1590	9.3	75	03	06	3170	-1.1	23	09	09	5775	-15.9	23	01	08
3	1	70010	14600	--	965	10.6	90	21	03	192	1550	10.0	56	23	04	3125	-3.7	96	02	06	5710	-19.5	21	35	15
4	4	70021	45500	--	962	11.5	80	21	05	169	1540	9.7	51	28	10	3105	-4.7	100	23	05	5675	-20.7	84	32	22
5	0	80020	00900	--	963	8.2	100	00	00	177	1510	10.2	56	22	06	3125	-0.1	36	23	06	5760	-14.0	32	31	16
6	3	75012	35500	--	965	12.1	100	22	08	196	1550	6.3	95	25	13	3120	-3.2	75	26	27	5705	-18.5	48	23	36
7	8	75022	355xx	--	965	13.6	95	21	07	190	1560	9.5	86	27	26	3140	-1.0	95	26	25	5750	-15.3	100	30	44
8	0	78020	00900	--	965	11.4	100	00	00	196	1555	12.0	56	22	11	3155	1.3	53	25	12	5775	-15.7	50	28	26
9																									
10	7	75031	30945	--	962	19.4	70	21	05	153	1530	19.4	46	23	35	3170	2.9	74	24	35	5815	-13.6	63	26	38
11	3	65022	30971	--	958	17.2	90	00	00	123	1520	15.5	60	26	13	3130	2.3	75	22	44	5735	-17.9	90	22	48
12	3	70020	24541	--	957	13.4	100	00	00	116	1495	15.3	43	21	16	3115	4.1	56	21	44	5780	-15.1	100	23	38
13	3	65022	355xx	--	960	14.5	100	00	00	143	1525	10.5	80	24	05	3120	3.1	75	25	27	5750	-15.3	96	23	43
14	3	40102	4551x	--	953	11.3	100	00	00	133	1520	14.6	52	20	11	3125	-1.1	61	23	27	5745	-16.5	100	23	45
15	3	30646	363xx	--	951	13.0	100	00	00	091	1455	8.3	100	23	11	3035	0.0	100	22	23	5665	-15.5	100	18	32
16	3	70306	354xx	--	955	9.8	100	20	03	105	1455	4.8	90	24	23	3040	-1.6	87	24	38	5695	-15.9	10	23	55
17	3	56005	374xx	--	951	6.5	100	20	16	081	1405	1.2	100	29	17	2950	-7.5	100	33	22	5600	-23.1	100	33	23
18	3	72021	356xx	--	969	6.7	100	00	00	220	1360	1.6	87	35	07	3120	-3.1	100	34	25	5710	-13.5	64	35	27
19	3	80031	3xxxx	--	969	12.4	100	00	00	229	1530	7.5	98	01	05	3170	2.3	10	33	18	5810	-11.2	10	31	13
20	2	75020	2xxxx	--	962	10.2	100	00	00	165	1535	13.0	72	00	00	3135	3.1	10	00	00	5730	-12.2	10	23	07
21	3	80131	3xxxx	--	957	13.7	74	00	00	115	1505	14.8	51	25	15	3105	1.5	79	21	08	5730	-13.6	15	21	25
22	3	73032	3xxxx	--	964	9.6	100	06	01	186	1525	1.8	100	--	--	3030	-3.1	100	07	12	5675	-17.0	93	21	13
23	3	60022	3xxxx	--	958	11.3	100	00	00	132	1475	4.9	100	00	00	3015	-0.5	33	24	20	5690	-17.7	22	22	28
24	3	80011	3xxxx	--	956	11.2	100	21	04	113	1475	11.8	56	19	04	3070	0.0	79	22	20	5685	-13.6	10	23	30
25	0	78020	00900	--	956	12.2	70	00	00	117	1490	10.8	74	23	07	3030	1.0	60	18	33	5705	-12.5	21	23	45
26	2	75021	25600	--	952	16.2	85	19	10	074	1450	13.1	90	19	22	3070	2.5	90	19	26	5705	-12.8	15	21	33
27	3	78022	355xx	--	960	13.0	100	00	00	145	1520	9.5	74	15	03	3105	-0.7	160	19	26	5720	-15.2	46	21	44
28	3	52056	354xx	--	959	10.0	100	00	00	143	1480	3.2	100	10	07	3035	-4.0	100	22	13	5625	-13.3	100	18	37
29	2	75021	25500	--	963	6.4	95	00	00	183	1520	5.4	82	08	11	3075	-2.0	88	24	05	5665	-19.6	10	25	33
30	3	75012	35500	--	958	11.4	80	27	03	134	1485	9.0	69	26	03	3070	-0.7	84	17	11	5670	-16.9	13	21	33
31	0	60110	00900	--	960	7.8	84	00	00	151	1500	7.8	89	24	05	3070	-2.8	78	23	20	5680	-13.3	10	27	16
Moyen					961	11.1	91	--	02	133	1517	9.3	76	--	11	3100	-0.5	71	--	20	5712	-15.9	49	--	29

Mai 1958

1	0	75020	00900	--	971	15.2	70	00	00	242	1600	6.9	60	01	03	3160	-0.6	30	03	03	5770	-15.9	18	35	11
2	1	75031	12600	--	963	17.3	65	00	00	211	1535	10.3	28	00	00	3165	-2.0	34	03	05	5745	-20.1	20	02	09
3	3	75032	23501	--	963	20.1	60	00	00	163	1545	10.6	40	00	00	3120	-4.2	51	20	04	5630	-30.0	56	32	13
4	1	75030	12600	--	962	21.3	50	26	07	158	1560	11.6	47	23	03	3130	-1.0	45	31	14	5730	-18.1	100	32	27
5	6	60031	20941	--	963	20.2	65	00	00	165	1550	12.6	49	24	30	3145	-0.9	63	24	25	5755	-17.2	100	27	23
6	6	70022	53601	--	961	19.1	70	24	03	179	1500	10.3	80	25	20	3140	-0.3	93	25	20	5745	-17.9	95	29	35
7	6	70022	42741	--	965	20.8	70	27	03	188	1570	9.0	79	25	14	3145	-2.7	87	29	23	5745	-16.0	85	31	33
8	6	70021	60901	--	963	22.4	70	00	00	146	1535	15.5	39	23	23	3120	4.3	52	25	18	5330	-11.3	72	26	36
9	6	70022	60901	--	964	24.0	75	24	06	174	1535	14.1	50	22	36	3135	2.3	31	24	27	5325	-14.3	91	25	42
10	6	75021	15701	--	961	21.4	55	24	12	113	1550	17.7	55	22	36	3175	5.2	97	24	30	5355	-9.5	76	25	45
11	6	70022	60901	--	957	24.2	63	00	00	107	1510	16.3	43	22	33	3120	3.4	52	23	52	5740	-16.2	100	24	46
12	3	63032	3091x	--	957	21.6	75	00	00	109	1505	17.0	27	22	33	3130	4.8	57	22	40	5795	-11.5	93	23	70
13	3	63022	3032x	--	960	17.9	85	06	02	139	1330	14.4	65	24	03	3140	4.1	79	22	17	5305	-11.8	88	25	40
14	3	30012	3611x	--	955	16.3	95	00	00	097	1490	16.4	52	01	03	3110	4.1	70	18	23	5750	-14.7	99	20	54
15	3	60016	373xx	--	954	12.5	100	22	10	020	1435	5.2	96	24	13	3010	-2.6	96	24	21	5615	-17.2	84	22	32
16	3	65036	374xx	--	945	6.0	100	21	12	023	1355	-0.2	900	28	25	2530	-3.3	100	25	53	5415	-20.0	100	22	75
17	6	65012	365xx	--	965	9.7	80	32	10	193	1505	0.3	98	01	06	3060	-6.4	61	01	22	5620	-15.6	14	01	36
18	6	70023	3661x	--	970	16.8	75	27	03	229	1535	6.6	100	25	04	3165	0.4	91	35	28	5300	-13.9	43	34	25
19	1	80020	11700	--	966	19.0	70	03	02	192	1375	11.5	45	06	07	3175	3.5	21	35	04	5325	-12.3	17	34	16
20	1	75020	11700	--	953	20.5	75	32	03	125	1515	14.0	54	23	17	3125	5.8	16	24	17	5310	-10.3	14	22	15
21	3	75026	3747x	--	961	11.8	100	21	03	156	1515	6.4	100	30	03	3100	0.4	100	22	20	5745	-11.7	85	22	22
22	3	33022	355xx	--	961	11.5	80	02	05	136	1500	3.7	100	08	10	3030	0.1	96	19	06	5705	-14.9	34	21	05
23	5	65021	32301	--	957	13.0	76	00	00	111	1430	8.0	30	23	15	3070	-0.3	44	24	25	5635	-15.3	20	22	25
24	4	75022	33601	--	954	20.5	65	00	00	036	1465	12.0	54	20	06	3065	0.5	60	22	27	5675	-15.3	48	23	46
25	6	75032	35001	--	955	20.0	64	03	07	094	1430	14.1	42	09	03	3035	4.0	56	19	16	5735	-13.3	30	21	43
26	6	75022	65500	--	959	17.5	63	09	03	131	1500	6.9	85	23	13	3075	-0.3	100	17	36	5630	-16.0	27	22	53
27	7	65022	735xx	--	959	13.4	65	03	06	131	1515	10.9	94	03	07										

niveaux standard

00.00 h

Table with 6 main columns: 400 mb, 300 mb, 200 mb, 150 mb, 100 mb, Tropopause. Each column contains sub-columns for H, t, Hum, dd, ff. Data rows include values for various altitudes and parameters.

12.00 h

Table with 6 main columns: 400 mb, 300 mb, 200 mb, 150 mb, 100 mb, Tropopause. Each column contains sub-columns for H, t, Hum, dd, ff. Data rows include values for various altitudes and parameters.

Observations aux

Juin 1958

Jour	Données synoptiques en surface (Code SYNOP)				Surface 491 m					1000 mb	850 mb					700 mb					500 mb				
	N	VVwwW	NhChCmCa		P	t	Hum	dd	ff	H	H	t	Hum	dd	ff	H	t	Hum	dd	ff	H	t	Hum	dd	ff
1	0	70020	00900	--	960	8.8	80	00	00	151	1505	10.0	53	18	05	3085	-2.4	71	24	17	5670	-13.8	38	25	28
2	0	60020	00900	--	959	11.2	80	00	00	145	1515	12.4	61	00	00	3120	2.5	75	24	17	5755	-14.0	20	23	22
3	5	70029	55540	--	960	14.4	80	06	05	145	1525	11.1	84	00	00	3115	0.6	96	26	15	5725	-17.4	14	22	39
4	6	70022	65400	--	964	8.6	85	00	00	190	1585	6.1	94	25	07	3155	-3.6	82	25	08	5750	-14.8	10	26	33
5	1	70020	14500	--	962	8.4	80	00	00	169	1525	6.2	85	06	04	3085	-3.0	80	12	02	5695	-16.9	85	28	35
6	1	70020	14500	--	959	9.0	70	00	00	144	1500	10.8	68	18	05	3085	2.8	38	23	07	5740	-13.4	17	31	20
7	8	70032	857xx	--	959	13.0	83	00	00	133	1525	12.4	61	25	08	3115	1.4	85	25	15	5735	-14.2	77	26	11
8	6	70028	656xx	--	966	13.0	100	00	00	197	1545	8.2	93	26	08	3115	-3.8	44	26	15	5700	-17.5	10	29	33
9	4	76021	24705	--	961	11.4	80	00	00	164	1520	10.1	79	23	06	3100	0.5	10	24	13	5730	-16.2	10	23	35
10	3	67011	3xxxx	--	955	13.2	100	00	00	099	1475	11.7	70	--	--	3065	2.7	10	26	18	5700	-13.4	89	25	20
11	8	57636	576xx	--	955	11.0	100	00	00	112	1455	9.7	100	33	08	3000	-3.1	100	36	17	5585	-20.0	96	01	20
12	7	59012	7xxxx	--	961	11.3	95	04	04	169	1510	5.6	96	04	08	3065	-3.7	84	04	28	5670	-17.1	93	06	17
13	6	59022	6xxxx	--	960	10.0	90	05	02	156	1505	6.4	74	06	14	3070	-3.6	95	05	06	5655	-20.0	81	00	00
14	4	60021	4xxxx	--	965	9.0	95	00	00	191	1545	7.7	76	06	16	3115	-4.3	92	04	17	5700	-17.9	10	03	17
15	0	70020	00900	--	965	8.6	92	00	00	196	1550	8.8	76	00	00	3135	2.7	10	31	03	5770	-14.9	10	32	06
16	0	70020	00300	--	965	12.5	90	00	00	190	1565	12.3	73	22	03	3160	1.5	10	23	08	5790	-13.0	10	23	07
17	2	50010	24600	--	962	13.8	90	00	00	164	1540	13.7	47	24	13	3145	2.0	96	23	10	5800	-11.2	30	29	05
18	6	75032	65500	--	961	17.0	90	00	00	156	1535	12.2	61	24	12	3130	1.7	100	21	06	5770	-13.0	55	23	05
19	7	60101	746xx	--	964	16.4	95	00	00	177	1500	12.9	80	00	00	3160	2.4	100	24	05	5800	-12.2	100	24	05
20	8	75032	846xx	--	958	13.1	70	21	07	121	1505	12.4	50	24	22	3100	1.7	95	24	28	5745	-10.5	80	27	44
21	7	65216	755xx	--	951	14.8	96	22	08	066	1435	9.9	99	23	30	3020	0.2	100	26	23	5645	-15.1	86	26	27
22	3	56022	855xx	--	952	12.0	100	23	03	081	1445	8.3	92	25	17	3000	-3.5	100	25	22	5615	-17.5	22	25	29
23	8	56026	855xx	--	954	12.0	80	24	09	097	1450	6.4	75	25	27	3000	-4.3	90	24	34	5555	-19.4	84	24	33
24	3	70020	24551	--	955	10.0	95	00	00	108	1460	8.4	80	26	05	3035	-2.4	75	23	14	5655	-14.7	95	23	32
25	5	70012	55600	--	962	10.0	85	20	05	170	1510	5.2	96	25	14	3075	-4.6	100	26	22	5645	-19.3	37	23	44
26	3	70032	3551x	--	954	11.0	100	00	00	099	1465	11.1	70	22	28	3055	2.3	56	22	45	5715	-10.3	100	24	45
27	8	60601	853xx	--	942	13.0	100	00	00	520	1360	9.3	100	22	33	2950	1.4	100	22	28	5535	-12.1	95	13	17
28	4	70021	45600	--	952	9.5	95	22	05	082	1425	4.3	88	28	20	3000	-5.7	96	23	20	5555	-17.2	65	29	05
29	2	74010	24600	--	958	8.6	100	00	00	134	1485	7.0	80	07	08	3070	4.4	35	34	12	5730	-10.1	10	36	28
30	3	71020	30910	--	954	12.1	100	00	00	161	1470	11.2	68	24	07	3070	6.3	35	29	16	3730	-12.5	73	30	14
Moyen					959	11.7	90	--	02	136	1500	9.2	78	--	11	3030	-0.4	70	--	17	5698	-15.1	58	--	23

Juin 1958

1	3	70020	12701	--	960	20.2	45	32	03	135	1520	13.3	25	00	00	3115	1.6	27	21	70	5745	-13.3	16	23	28
2	6	70022	50874	--	958	21.3	55	03	01	120	1530	16.2	23	14	07	3130	2.9	78	21	16	5755	-15.2	10	21	38
3	7	74022	55590	--	960	13.7	50	03	04	141	1505	8.0	90	28	05	3095	-1.4	81	21	22	5700	-18.1	26	21	36
4	4	80021	42701	--	964	18.0	45	00	00	173	1555	8.4	67	00	00	3115	-3.0	42	20	07	5725	-14.8	18	27	26
5	2	78020	21700	--	961	19.0	40	03	03	149	1540	10.1	31	29	03	3110	-0.2	10	25	02	5740	-13.3	11	33	22
6	8	66022	3082x	--	959	17.2	55	00	00	134	1515	13.6	39	00	00	3120	2.0	53	23	08	5755	-13.7	87	28	18
7	6	70302	685xx	--	964	17.5	85	26	07	174	1520	9.5	100	27	10	3105	-0.6	100	24	20	5735	-14.9	30	25	14
8	6	70021	52604	--	965	20.3	50	29	02	135	1550	9.4	58	00	00	3130	2.6	26	25	22	5760	-15.0	15	27	35
9	6	70031	11707	--	958	20.4	47	05	03	123	1605	10.5	30	00	00	3085	1.3	10	22	12	5710	-15.4	14	26	12
10	8	45606	855xx	--	953	14.0	95	00	00	083	1445	6.7	100	34	11	3010	-2.0	100	06	05	5605	-17.7	89	22	07
11	7	50022	785xx	--	957	16.2	74	00	00	120	1435	6.3	100	01	11	3055	-1.6	87	03	22	5665	-15.9	90	02	16
12	3	10011	35600	--	962	16.8	52	03	10	162	1520	5.2	85	04	20	3030	-2.6	60	04	20	5670	-17.4	17	01	13
13	3	61101	32600	--	962	16.8	52	02	10	161	1530	9.6	90	07	25	3100	-1.5	32	06	15	5735	-14.6	50	05	20
14	0	68010	00900	--	965	13.0	40	36	12	135	1545	6.8	55	06	21	3120	1.0	10	05	08	5725	-16.1	10	05	17
15	2	75030	12601	--	966	20.0	52	00	00	133	1575	12.0	53	24	15	3165	2.2	10	25	11	5805	-12.1	10	00	00
16	3	45054	23652	--	964	22.4	55	00	00	173	1575	13.5	45	23	04	3160	0.2	45	24	08	5800	-12.2	12	32	09
17	--	--	--	--	--	--	--	--	--	--	--	--	--	--	--	--	--	--	--	--	--	--	--	--	--
18	4	56054	23531	--	963	25.5	50	00	00	157	1565	14.3	67	25	05	3175	4.0	30	20	04	5845	-9.9	32	23	03
19	6	45054	43531	--	962	24.0	53	33	05	148	1555	13.3	82	21	09	3155	1.2	73	25	15	5800	-16.2	59	28	22
20	8	45608	855xx	--	954	17.2	75	23	12	095	1475	10.6	76	23	25	3065	1.6	97	25	40	5735	-10.3	72	26	54
21	8	30346	874xx	--	951	13.8	100	25	03	054	1445	9.6	84	29	11	3000	-0.7	98	23	22	5650	-15.6	56	26	37
22	7	70022	756xx	--	952	15.3	75	00	00	077	1445	6.9	100	24	17	3060	-2.6	100	24	38	5615	-17.4	47	25	49
23	6	80022	65500	--	956	14.8	65	26	03	106	1465	6.8	65	23	20	3030	-4.3	88	23	12	5600	-19.4	10	26	23
24	8	58626	874xx	--	953	12.5	100	00	00	079	1420	4.8	95	21	12	3000	-1.7	97	24	44	5630	-16.9	75	23	40
25	4	78022	23641	--	959	16.5	63	02	06	137	1485	6.3	80	17	11	3065	0.3	10	26	26	5700	-13.3	90	25	23
26	8	63626	874xx	--	948	15.1	94	00	00	037	1400	9.2	90	17	14	3000	2.3	100	23	33	5650	-11.3	100	23	28
27	8	70026	854xx	--	950	11.1	75	22	12	064	1405	2.6	83	24	20	2935	-3.0	100	28	28	5430	-20.2	51	23	04
28	6	74032	656xx	--	953	15.1	60	25	02	130															

niveaux standard

00.00 h

Table with 6 main columns: 400 mb, 300 mb, 200 mb, 150 mb, 100 mb, Tropopause. Each column contains sub-columns for H, t, Hum, dd, ff. Data rows include station numbers and values for temperature, humidity, and other parameters.

12.00 h

Table with 6 main columns: 400 mb, 300 mb, 200 mb, 150 mb, 100 mb, Tropopause. Each column contains sub-columns for H, t, Hum, dd, ff. Data rows include station numbers and values for temperature, humidity, and other parameters.

Observations aux

Juillet 1958

Jour	Données synoptiques en surface (Code SYNOP)				Surface 491 m					1000 mb	850 mb					700 mb					500 mb				
	N	VWwvW	NhChGvCh	—	P	τ	Hum	dd	ff	H	H	τ	Hum	dd	ff	H	τ	Hum	dd	ff	H	τ	Hum	dd	ff
1	8	70136	885xx	—	953	16.4	90	22	07	087	1460	12.0	72	22	08	3060	2.8	85	15	08	5695	-14.0	94	15	25
2	6	74012	655xx	—	953	12.0	100	24	02	091	1445	8.6	80	24	19	3020	-1.7	74	24	25	5630	-15.6	86	20	27
3	8	70622	875xx	—	954	12.0	100	19	04	100	1455	7.3	96	24	08	3025	-2.3	100	22	10	5625	-17.8	100	22	39
4	8	78022	856xx	—	956	12.8	95	10	02	108	1470	9.7	88	00	00	3055	-1.3	93	23	17	5655	-17.2	76	24	15
5	8	78806	856xx	—	959	13.0	90	24	02	133	1505	8.0	83	—	—	3065	-2.6	100	25	16	5660	-18.1	78	28	21
6	7	78022	78600	—	961	13.3	96	00	00	154	1515	8.1	95	24	05	3035	-2.2	95	27	07	5690	-16.8	12	30	05
7	0	78010	00900	—	963	12.7	98	00	00	172	1540	10.8	68	05	04	3135	-0.1	76	00	00	5740	-17.1	38	24	06
8	8	25928	894xx	—	968	14.5	100	00	00	218	1580	9.8	87	07	17	3160	0.6	97	07	16	5790	-14.4	47	06	06
9	0	50020	00900	—	965	15.8	90	08	08	196	1565	11.5	75	07	23	3165	5.2	10	07	18	5810	-13.9	17	06	17
10	0	55020	00900	—	961	14.7	100	00	00	154	1530	13.1	90	06	08	3140	3.3	70	11	04	5780	-12.4	92	09	20
11	0	50100	00900	—	958	14.8	96	00	00	123	1515	12.7	68	07	11	3110	3.6	29	11	05	5765	-10.1	13	02	06
12	0	57020	00900	—	957	16.2	95	00	00	120	1510	15.5	92	23	16	3130	3.9	100	24	18	5770	-11.1	48	24	20
13	2	55020	14641	—	960	17.0	100	00	00	147	1555	17.2	62	22	15	3170	4.3	68	21	16	5825	-12.7	60	25	14
14	8	56022	856xx	—	963	18.2	90	00	00	163	1550	12.3	84	24	17	3165	3.1	100	25	28	5810	-12.1	50	25	33
15	7	70022	746xx	—	960	17.0	100	00	00	147	1545	16.8	82	21	05	3185	8.3	72	28	15	5860	-10.2	74	26	27
16	5	70022	556xx	—	957	17.0	100	00	00	122	1515	17.3	55	21	05	3140	6.2	78	21	22	5805	-13.2	49	22	33
17	8	70026	855xx	—	965	13.8	95	20	05	190	1555	5.6	100	30	12	3120	-2.1	100	28	05	5770	-10.5	17	28	14
18	3	70020	84600	—	967	11.7	90	00	00	214	1575	7.1	83	06	16	3150	5.0	11	02	10	5825	-12.0	11	30	17
19	0	70020	00900	—	963	12.5	100	00	00	176	1555	14.5	61	26	09	3175	7.2	22	23	09	5860	-10.8	14	27	15
20	0	70020	00900	—	960	17.4	90	00	00	143	1515	15.2	87	25	12	3150	5.3	66	24	18	5800	-11.3	80	23	10
21	8	74918	8xxxx	—	961	17.5	70	20	01	146	1580	10.0	30	25	13	3090	-1.6	100	28	17	5720	-12.5	10	28	34
22	8	78911	8xxxx	—	952	16.3	70	17	03	070	1450	12.6	74	22	08	3055	2.3	100	24	28	5630	-14.9	98	24	44
23	7	75031	7xxxx	—	952	12.7	90	23	08	074	1440	9.6	95	23	08	3020	-2.0	100	26	24	5610	-18.3	83	28	24
24	8	45606	874xx	—	958	14.9	90	20	17	123	1485	7.8	97	24	33	3065	-1.5	100	23	33	5665	-17.5	25	30	40
25	3	76011	3xxxx	—	965	10.4	100	00	00	136	1565	9.2	87	27	07	3130	0.5	22	27	15	5770	-10.7	10	31	55
26	2	76020	20301	—	964	12.0	100	00	00	182	1550	13.9	65	24	12	3150	3.9	58	27	12	5820	-11.4	42	28	20
27	3	65012	80940	—	963	16.0	100	00	00	171	1555	12.0	93	24	15	3150	2.4	86	25	15	5800	-11.4	44	29	27
28	7	70132	8967x	—	960	19.4	90	00	00	139	1535	14.7	62	25	18	3140	3.7	100	27	25	5815	-10.6	100	30	33
29	5	70012	84640	—	958	19.4	90	00	00	121	1580	17.9	71	23	23	3155	6.0	30	24	33	5845	-9.1	54	27	35
30	7	70032	756xx	—	963	19.7	95	00	00	167	1565	13.3	95	26	13	3160	2.6	100	24	25	5810	-9.5	18	28	36
31	0	80010	00900	—	966	16.8	88	00	00	193	1635	15.5	75	24	13	3205	7.1	60	25	22	5890	-8.9	19	26	33
Moyen					960	15.1	93	—	02	146	1524	11.9	81	—	13	3120	2.3	76	—	17	5761	-13.1	49	—	24

Juillet 1958

1	6	76022	62540	—	950	21.2	67	36	05	049	1425	12.1	73	00	00	3030	1.8	79	18	16	5660	-13.0	10	17	20
2	6	75032	62640	—	952	19.0	63	34	07	067	1445	10.7	84	23	08	3035	-0.4	69	22	27	5640	-17.4	40	21	17
3	6	76022	62500	—	955	16.7	70	32	03	101	1500	8.4	36	23	03	3040	-1.3	92	24	20	5640	-17.0	44	26	28
4	5	75022	48640	—	956	18.2	50	27	03	104	1480	8.5	55	23	16	3045	-3.2	62	26	22	5625	-19.9	53	25	10
5	7	70808	73500	—	960	16.6	76	24	10	145	1505	8.0	73	25	12	3035	-0.7	39	27	03	5635	-16.5	70	28	11
6	4	76031	42500	—	961	20.2	55	00	00	148	1535	9.9	60	03	05	3120	-0.7	77	05	03	5730	-15.0	10	25	15
7	5	45022	35430	—	963	20.9	65	05	09	168	1555	11.9	60	06	11	3155	1.2	82	20	06	5780	-16.0	52	15	04
8	4	40014	45530	—	966	20.0	70	35	03	197	1595	12.5	69	06	20	3205	6.2	20	07	15	5370	-11.1	26	08	16
9	4	40051	45500	—	963	20.0	70	36	05	168	1555	11.6	94	07	07	3170	4.6	54	15	06	5820	-11.0	19	10	16
10	1	40050	15500	—	959	22.2	65	00	03	134	1525	12.7	66	03	03	3125	3.7	64	08	02	5785	-12.5	66	07	12
11	1	40050	12500	—	956	23.5	60	00	00	101	1490	14.9	63	23	05	3110	4.0	55	23	05	5750	-11.6	30	24	04
12	6	55051	35641	—	960	24.8	50	22	05	123	1570	19.1	27	24	22	3185	6.2	63	23	23	5835	-10.5	99	24	23
13	4	60030	18630	—	960	27.0	44	22	14	136	1550	13.6	81	00	00	3130	6.2	79	23	32	5830	-10.1	80	25	31
14	6	65031	45540	—	962	23.3	62	00	00	149	1570	17.0	64	00	00	3130	8.3	64	22	18	5890	-8.3	10	26	06
15	1	65030	15600	—	959	25.8	70	02	02	125	1540	21.5	47	00	00	3200	9.3	46	21	26	5880	-9.9	42	23	19
16	8	50979	894xx	—	953	19.3	85	23	03	119	1505	10.6	90	26	07	3105	2.8	100	17	13	5770	-11.8	89	20	48
17	8	68022	88600	—	968	19.0	85	12	07	213	1590	8.1	79	36	03	3160	-0.4	20	04	04	5830	-8.5	12	30	13
18	2	66020	25600	—	965	19.8	63	05	11	186	1570	12.5	58	08	08	3130	7.0	21	21	04	5870	-8.2	33	19	06
19	2	68030	12530	—	962	23.0	70	00	00	154	1570	17.0	64	00	00	3130	8.3	64	22	18	5890	-8.3	10	26	06
20	5	75031	42641	—	959	24.3	50	28	13	127	1535	15.5	61	25	10	3145	3.1	87	23	08	5800	-10.5	71	25	28
21	7	75022	52707	—	956	22.4	58	23	03	107	1485	9.8	74	24	05	3060	1.2	86	26	15	5710	-14.9	10	27	35
22	8	65132	854xx	—	949	14.6	30	27	08	047	1415	8.4	100	23	28	2935	-1.2	100	23	30	5600	-14.9	60	23	66
23	7	62808	69643	—	956	14.2	90	24	05	110	1465	4.4	87	24	30	3010	-5.0	100	26	25	5605	-15.5	13	29	30
24	8	45606	874xx	—	958	14.9	90	20	17	123	1485	7.8	97	24	33	3065	-1.5	100	28	33	5665	-17.5	25	30	40
25	2	75011	21919	—	965	19.2	52	08	03	186	1570	9.8	88	24	03	3165	4.9	23	28	15	5850	-7.7	37	30	44
26	6	75022	45540	—	961	22.4	50	00	00	148	1545	15.0	50	24	28	3150	4.6	10	23						

niveaux standard

00.00 h

Table with columns for pressure levels (400 mb, 300 mb, 200 mb, 150 mb, 100 mb) and Tropopause. Each level includes parameters H, t, Hum, dd, ff. Tropopause includes H, p, t. Rows list various station identifiers and their corresponding values.

12.00 h

Table with columns for pressure levels (400 mb, 300 mb, 200 mb, 150 mb, 100 mb) and Tropopause. Each level includes parameters H, t, Hum, dd, ff. Tropopause includes H, p, t. Rows list various station identifiers and their corresponding values.

Observations aux

Août 1958

Jour	Données synoptiques en surface (Code SYNOP)				Surface 491 m					1000 mb	850 mb					700 mb					500 mb				
	N	VWwwW	N	CbCbCh	P	t	Hum	dd	ff	H	H	t	Hum	dd	ff	H	t	Hum	dd	ff	H	t	Hum	dd	ff
1	0	75010	00900	—	964	18.9	90	00	00	172	1585	20.7	49	23	18	3225	8.2	64	24	30	5910	-9.3	24	27	36
2	2	70011	24600	—	963	19.7	85	00	00	162	1565	18.2	67	23	22	3195	7.3	48	23	30	5870	-10.5	13	24	40
3	8	70022	855xx	—	967	16.5	75	00	09	200	1570	9.2	68	32	04	3175	2.1	100	25	17	5805	-11.9	14	26	25
4	6	70022	855xx	—	968	11.8	80	00	00	214	1565	7.8	90	05	02	3150	2.7	13	32	15	5820	-8.7	22	30	40
5	0	70020	00900	—	967	12.0	90	00	00	215	1590	10.3	52	02	02	3200	3.8	57	01	05	5850	-12.4	45	33	11
6	2	70020	20011	—	961	15.0	100	00	00	150	1550	14.9	93	23	15	3160	4.5	90	24	15	5830	-11.0	26	24	16
7	8	40959	855xx	—	958	15.8	100	00	00	127	1505	10.5	100	24	09	3100	1.9	100	26	22	5740	-12.7	90	25	38
8	8	40602	891xx	—	958	13.8	100	00	00	127	1495	8.8	89	26	17	3065	-1.2	100	26	28	5700	-15.3	91	27	27
9	7	70021	755xx	—	962	16.2	85	00	00	165	1545	12.8	52	25	10	3160	4.7	100	26	14	5840	-9.4	78	32	33
10	0	78010	00900	—	963	16.9	100	00	00	171	1560	14.6	62	23	06	3170	6.0	68	24	18	5850	-9.8	10	26	16
11	3	78022	8xxxx	—	962	18.7	100	00	00	155	1565	18.9	70	24	06	3200	6.9	100	24	27	5890	-8.6	42	25	30
12	8	75138	8xxxx	—	960	15.4	100	28	03	145	1510	9.0	100	23	20	3090	0.2	90	23	29	5725	-14.5	100	19	30
13	6	78031	6xxxx	—	962	13.6	75	21	02	167	1540	8.4	75	26	11	3110	-2.4	91	25	17	5780	-13.9	10	28	33
14	4	78021	4xxxx	—	963	12.0	83	23	02	177	1535	7.4	88	22	04	3125	-0.1	40	31	09	5750	-15.2	56	33	33
15	7	78032	7xxxx	—	963	17.5	80	00	00	167	1550	12.5	84	23	07	3165	5.2	88	28	20	5850	-6.9	27	30	22
16	4	72021	4xxxx	—	959	17.4	90	00	00	140	1540	14.9	89	26	06	3145	4.3	50	24	16	5800	-13.3	90	23	30
17	2	78020	24600	—	961	16.5	82	00	00	154	1530	13.0	84	23	06	3125	2.7	42	26	22	5760	-12.6	16	25	22
18	2	80171	28500	—	956	17.6	80	00	00	104	1495	17.2	71	23	05	3110	4.5	75	21	18	5755	-12.0	77	23	30
19	2	80131	28500	—	952	17.3	84	00	00	074	1455	17.5	36	20	08	3030	5.3	40	21	38	5710	-15.1	82	21	42
20	2	75299	34400	—	953	11.5	90	00	00	091	1445	8.2	74	23	25	3025	-1.0	100	24	17	5625	-16.1	21	22	34
21	8	75606	873xx	—	951	13.7	82	12	05	066	1430	7.3	98	25	05	3000	-1.5	100	22	22	5615	-13.0	100	21	33
22	3	75606	85500	—	946	12.2	85	22	05	029	1383	10.2	07	23	17	2965	-0.5	84	23	20	5590	-16.5	69	23	32
23	8	75606	854xx	—	953	13.3	83	23	08	083	1445	7.7	79	23	30	3005	-2.3	94	25	22	5605	-17.2	64	25	33
24	6	75012	80941	—	962	11.0	85	00	00	166	1515	6.2	75	24	12	3030	-6.9	100	24	18	5650	-19.5	64	25	33
25	8	65602	8097x	—	959	12.5	90	00	00	137	1490	10.4	82	23	33	3035	0.1	96	24	57	5715	-13.8	100	26	52
26	6	70019	59500	—	961	12.4	80	00	00	156	1500	3.0	90	26	16	3045	-7.0	95	25	18	5605	-22.5	91	29	34
27	2	70020	14540	—	962	10.4	87	00	00	171	1515	9.5	71	08	04	3110	4.3	10	19	07	5780	-11.0	44	30	28
28	0	70020	00900	—	960	12.5	90	00	00	143	1525	16.9	52	23	03	3155	10.1	11	28	10	5855	-9.3	32	27	28
29	4	70931	15540	—	953	15.2	90	00	00	123	1515	23.5	23	20	05	3130	10.8	19	22	30	5855	-13.0	47	25	17
30	2	70020	15540	—	957	17.5	85	00	00	113	1515	20.0	40	29	04	3160	10.1	28	20	12	5850	-11.1	89	21	17
31	5	66022	50840	—	956	18.8	80	00	00	099	1500	19.1	71	00	00	3135	8.3	60	12	06	5800	-12.8	78	17	17
Moyen					960	15.1	87	—	01	141	1517	12.5	72	—	11	3119	2.9	69	—	20	5765	-12.9	65	—	29

Août 1958

1	6	70022	58631	—	962	27.7	70	34	07	147	1585	21.7	37	23	11	3230	7.3	60	24	22	5890	-11.4	82	22	35
2	7	70019	76500	—	965	20.0	95	00	00	182	1535	14.9	74	24	20	3215	6.7	78	25	34	5880	-9.7	75	24	44
3	7	70022	755xx	—	967	19.8	65	00	00	200	1575	7.8	81	30	07	3155	1.6	30	24	11	5805	-11.6	79	27	32
4	2	75020	11601	—	968	20.2	55	05	10	213	1595	9.4	59	04	08	3190	2.5	46	36	07	5855	-8.4	37	34	18
5	4	71030	40907	—	965	21.6	60	00	00	183	1570	14.8	52	00	00	3190	6.1	50	24	02	5870	-8.9	25	24	06
6	6	73022	58641	—	953	22.2	67	23	10	119	1515	14.2	50	23	08	3130	2.9	95	25	17	5765	-12.6	90	26	23
7	6	72032	65540	—	958	18.2	76	30	03	117	1505	10.5	74	27	10	3090	1.0	100	25	24	5725	-13.0	15	24	38
8	5	75022	62601	—	961	19.0	56	25	08	151	1540	9.5	59	23	06	3110	3.9	16	27	15	5780	-9.7	54	33	34
9	2	78030	23640	—	963	24.2	58	00	00	162	1565	15.9	70	00	09	3190	8.1	81	23	06	5895	-9.1	82	27	13
10	4	75030	12540	—	963	25.7	55	00	00	159	1565	19.8	36	21	14	3200	6.8	53	24	12	5830	-10.3	98	25	25
11	2	70020	12701	—	953	26.3	55	03	03	115	1535	19.1	46	22	08	3165	6.0	39	22	11	5885	-11.9	44	23	27
12	6	75022	63640	—	959	20.5	48	25	06	135	1525	11.1	84	25	12	3105	0.8	100	23	27	5720	-15.6	16	24	24
13	6	80022	63400	—	962	18.2	52	29	05	153	1525	7.4	72	34	07	3035	-3.1	70	26	06	5720	-14.8	25	32	23
14	2	75021	25400	—	963	23.4	45	25	08	161	1535	11.8	62	25	11	3130	3.6	62	29	17	5790	-10.3	63	31	28
15	1	80020	11400	—	961	24.2	55	00	00	143	1530	16.0	58	26	03	3140	5.1	53	26	11	5805	-11.3	52	27	17
16	5	75022	68440	—	960	22.0	60	23	12	139	1540	14.3	53	23	13	3140	4.8	63	29	10	5310	-10.4	60	26	16
17	2	75020	25400	—	959	24.8	50	00	00	125	1525	15.1	70	22	06	3130	4.8	27	24	22	5730	-11.6	22	21	23
18	6	75022	32470	—	955	24.2	55	00	00	087	1500	16.9	56	21	14	3115	5.9	68	21	22	5775	-11.1	69	23	30
19	6	78179	38530	—	952	17.2	80	13	08	074	1455	11.7	70	22	16	3050	4.7	63	20	34	5700	-13.9	76	20	55
20	8	45502	863xx	—	954	18.5	55	22	12	083	1465	10.3	94	23	17	3055	1.6	99	24	14	5695	-13.9	25	26	27
21	8	60602	865xx	—	946	14.8	80	03	04	021	1380	8.8	70	09	08	2955	-0.1	91	17	19	5530	-13.3	85	21	35
22	7	70022	685xx	—	947	18.0	60	22	10	022	1405	9.7	66	22	27	3000	-0.2	69	22	23	5610	-16.3	64	22	18
23	8	65818	895xx	—	953	15.7	70	22	03	130	1500	8.1	81	24	26	3035	0.0	94	24	25	5705	-13.7	31	25	20
24	8	70022	1647x	—	961	15.6	70	00	00	153	1515	9.6	40	34	25	3095	-0.7	74	25	30	5715	-13.1	49	26	57
25	5	75012	53601	—	960	19.1	50	20	10	136	1495	8.7	81	23	25	3075	-0.6	18	25	25	5680	-16.4	10	25	54
26	4	75022	35530	—	964	18.9	50	15	03	173	1545	7.8	74	27	03	3105	-0.7	49	34	12	5735				

niveaux standard

00.00 h

Table with columns for pressure levels (400 mb, 300 mb, 200 mb, 150 mb, 100 mb, Tropopause) and rows of meteorological data including temperature, humidity, and wind speed.

12.00 h

Table with columns for pressure levels (400 mb, 300 mb, 200 mb, 150 mb, 100 mb, Tropopause) and rows of meteorological data including temperature, humidity, and wind speed.

Observations aux

Septembre 1958

Jour	Données synoptiques en surface (Code SYNOP)				Surface 491 m				1000 mb	850 mb					700 mb					500 mb					
	N	VVwW	NnChCmDh		P	t	Hum	dd	ff	H	H	t	Hum	dd	ff	H	t	Hum	dd	ff	H	t	Hum	dd	ff
1	8	08008	855xx	—	955	17.2	90	00	00	095	1470	13.7	87	05	06	3085	5.8	71	09	13	5755	-10.3	85	13	11
2	5	70012	28543	—	957	15.6	95	00	00	117	1485	11.9	89	09	04	3075	1.9	93	10	04	5710	-14.3	10	09	04
3	0	60000	00900	—	957	14.2	90	00	00	122	1495	13.9	84	00	00	3100	3.8	85	19	07	5765	-11.0	10	35	08
4	8	62032	8xxxx	—	960	16.0	85	00	00	142	1515	12.9	80	24	03	3110	2.7	61	27	07	5745	-14.4	51	28	22
5	9	14474	9xxxx	—	964	16.2	100	00	00	177	1555	15.2	77	23	04	3165	4.3	71	32	07	5820	-9.7	15	31	24
6	1	80424	10901	—	965	16.2	90	00	00	185	1575	16.1	48	00	00	3185	6.3	11	00	00	5800	-11.2	13	29	08
7	1	60010	14600	—	965	17.4	80	00	00	190	1575	14.3	58	24	16	3170	2.7	69	24	11	5800	-13.3	10	24	16
8	3	57131	39501	—	965	16.9	85	00	00	190	1570	13.3	93	20	05	3170	3.2	69	23	14	5805	-14.2	56	24	22
9	0	57020	00900	—	965	15.5	100	00	00	190	1560	11.4	85	00	00	3155	0.9	76	27	26	5780	-14.9	66	28	35
10	0	70020	00900	—	962	15.8	85	00	00	164	1545	11.7	88	24	03	3130	2.0	69	28	22	5775	-13.6	47	28	28
11	0	57011	00900	—	962	12.8	78	04	06	164	1530	9.6	75	07	12	3120	2.0	10	32	12	5745	-14.1	10	34	44
12	0	70020	00900	—	963	10.0	85	00	00	177	1525	9.1	66	05	10	3115	3.6	24	36	16	5770	-18.6	56	36	35
13	0	57020	00900	—	968	10.2	85	00	00	203	1570	11.7	73	07	03	3175	6.3	22	35	08	5850	-10.0	16	35	12
14	0	56100	00900	—	968	12.3	85	00	00	217	1585	16.4	40	01	08	3205	6.1	28	01	04	5890	-9.8	21	34	05
15	0	70020	00900	—	964	13.2	85	00	00	179	1565	19.2	23	08	10	3185	5.2	65	06	08	5855	-12.1	12	31	03
16	8	60032	8097x	—	962	18.0	86	19	03	154	1540	14.2	95	26	10	3145	4.0	56	23	13	5785	-13.8	100	24	24
17	8	50622	75410	—	962	16.0	100	03	07	166	1535	11.0	98	00	00	3120	2.8	95	22	10	5765	-12.6	38	21	22
18	8	70406	575xx	—	962	14.8	100	00	00	167	1535	9.9	97	27	03	3115	1.1	98	27	07	5745	-14.1	63	26	13
19	7	70022	75500	—	963	12.5	85	00	00	172	1555	7.5	100	12	05	3095	-1.0	62	18	02	5735	-13.1	29	34	23
20	2	56101	255xx	—	962	11.5	85	00	00	165	1525	10.2	76	24	20	3120	2.5	43	24	17	5780	-9.6	13	24	30
21	8	80022	8xxxx	—	961	15.0	100	00	00	150	1530	12.2	100	23	13	3115	2.6	79	24	39	5750	-12.3	93	26	39
22	8	56626	8xxxx	—	961	14.2	100	00	00	154	1510	6.9	98	27	12	3035	0.6	100	26	39	5720	-15.7	100	24	62
23	4	75012	45500	—	965	10.8	100	22	10	136	1540	5.4	85	27	22	3095	-5.0	83	28	22	5680	-19.0	10	30	50
24	2	72020	2xxxx	—	965	7.8	100	22	03	136	1535	7.8	89	24	07	3130	2.1	95	29	15	5770	-12.2	100	30	28
25	4	72012	45500	—	963	13.4	90	20	02	170	1545	12.0	88	25	17	3145	2.9	99	26	17	5800	-9.5	36	29	35
26	3	78020	35600	—	961	12.4	95	21	07	158	1510	8.0	86	24	20	3030	-2.0	53	24	25	5695	-14.6	13	23	41
27	0	72000	00900	—	965	5.6	100	00	00	201	1530	3.8	90	06	07	3090	-1.1	10	36	17	5710	-15.1	10	33	36
28	0	45460	00900	—	964	6.3	100	00	00	192	1530	7.7	77	32	04	3115	1.6	10	32	06	5735	-15.5	33	30	11
29	6	57031	60907	—	961	9.8	100	00	00	180	1510	11.3	77	24	13	3110	3.0	33	26	08	5740	-15.5	50	29	17
30	3	70021	80901	—	953	10.0	100	00	00	091	1435	13.1	60	21	15	3045	2.5	63	22	22	5705	-11.0	54	21	21
Moyen					962	13.3	92	—	01	167	1534	11.4	79	—	09	3125	2.4	60	—	14	5763	-13.0	41	—	25

Septembre 1958

1	5	70012	28543	—	954	20.4	60	00	00	086	1455	13.2	71	09	04	3055	4.6	82	10	04	5720	-10.3	10	09	04
2	4	56012	46300	—	957	20.4	64	00	00	113	1500	13.6	49	00	00	3100	2.5	65	00	00	5730	-13.3	11	08	03
3	2	70011	28501	—	958	22.4	52	00	00	121	1505	11.9	64	22	04	3095	2.7	10	30	06	5730	-14.0	10	30	14
4	8	55022	864xx	—	962	21.2	65	00	00	153	1545	14.3	69	26	10	3155	4.0	52	27	14	5790	-14.3	93	29	24
5	8	35454	861xx	—	966	18.8	75	00	00	135	1580	16.6	20	00	00	3180	4.1	29	00	00	5850	-12.0	10	32	11
6	1	55020	12301	—	964	24.0	60	00	00	170	1560	16.9	29	24	11	3190	6.2	30	21	16	5850	-11.8	10	25	11
7	4	60021	28401	—	966	23.4	58	00	00	188	1590	16.7	56	00	00	3205	4.9	58	23	10	5875	-9.4	25	23	18
8	5	56029	42410	—	966	23.1	55	30	06	134	1585	13.0	73	22	07	3180	3.7	78	24	27	5845	-10.6	12	26	22
9	2	56100	12410	—	964	22.0	60	00	00	173	1545	12.3	66	25	05	3145	1.0	87	27	23	5755	-12.7	77	23	34
10	3	56011	24510	—	961	21.3	55	00	00	148	1525	12.3	95	29	03	3120	2.3	100	27	17	5750	-13.1	45	23	20
11	2	56011	23500	—	963	17.0	60	03	09	172	1535	10.7	43	05	04	3130	3.2	19	02	02	5790	-12.6	15	34	30
12	8	44022	265xx	—	964	14.3	70	05	07	184	1535	11.2	34	05	02	3135	3.9	24	03	08	5810	-10.3	20	03	27
13	1	30051	15500	—	963	19.5	64	00	00	211	1595	15.9	22	23	03	3215	8.0	30	35	05	5905	-8.6	32	34	11
14	1	56020	31500	—	967	19.3	60	00	00	201	1585	18.1	16	10	04	3205	4.8	61	04	13	5865	-9.5	16	33	07
15	4	70021	40905	—	963	23.6	60	00	00	161	1570	19.8	23	10	03	3200	8.5	24	20	04	5890	-8.2	10	27	13
16	3	60032	854xx	—	961	22.0	68	00	00	143	1545	12.1	93	27	04	3125	0.8	99	23	13	5760	13.5	95	22	23
17	8	57022	864xx	—	962	13.2	75	31	05	153	1535	10.1	93	24	13	3125	1.5	81	22	26	5755	-14.1	71	23	15
18	6	75022	65401	—	963	17.7	63	07	05	163	1535	9.0	69	04	03	3130	-0.3	72	27	13	5740	-13.0	10	31	17
19	6	60022	65401	—	963	18.9	65	00	00	163	1535	9.6	91	22	05	3120	3.5	10	25	10	5735	-10.4	43	31	14
20	3	45502	863xx	—	962	17.0	90	00	00	164	1540	12.2	34	22	22	3125	3.3	98	24	26	5780	-8.2	33	25	33
21	7	57002	67540	—	959	20.0	90	22	09	131	1515	12.0	77	22	23	3105	1.5	100	23	26	5755	-11.6	77	25	66
22	8	65606	2742x	—	960	13.8	100	20	03	145	1500	7.8	100	24	17	3075	-1.9	100	27	42	5700	-12.1	100	21	56
23	3	75021	28341	—	966	17.0	66	23	07	193	1550	5.2	81	25	12	3110	-0.3	10	30	22	5720	-16.0	75	30	52
24	5	75032	15349	—	964	17.0	85	27	07	151	1550	12.2	45	25	12	3140	4.1	34	28	23	5805	-9.7	30	27	44
25	7	75022	73500	—	960	19.0	77	27	16	139	1525	10.2	69	24	23	3095	2.2	55	27	33	5730	-14.1	12	27	30
26	4	75022	35630	—	963	14.7	70	00	00	172	1525	5.3	69	23	06	3035	1.0	10	30	27	5720	-13.2	20	30	44
27	4	75031	41600	—	964	14.2	70	02	03	151	1530	3.8	47	06	05	3120	1.9	10	04	03</					

niveaux standard

00.00 h

400 mb					300 mb					200 mb				150 mb				100 mb				Tropopause		
H	t	Hum	dd	ff	H	t	Hum	dd	ff	H	t	dd	ff	H	t	dd	ff	H	t	dd	ff	H	p	t
7440	-20.8	82	03	03	9510	-36.0	—	01	02	12190	-56.9	28	04	14040	-54.2	30	07	16650	-53.6	02	08	12720	154	-58.1
7365	-26.6	10	08	02	9370	-41.2	—	30	14	12030	-55.2	31	11	13860	-54.0	33	03	16460	-55.2	33	11	12840	176	-55.9
7485	-23.9	10	33	12	9470	-37.0	—	34	22	12170	-53.6	33	77	14000	-56.9	33	29	16600	-53.7	30	08	13050	171	-55.9
7390	-26.8	70	28	24	9410	-40.8	—	28	30	12070	-56.4	28	30	13880	-58.8	27	25	16450	-57.3	27	22	11940	205	-56.7
7510	-21.5	45	31	33	9560	-37.0	—	31	44	12260	-56.0	30	60	14080	-57.9	31	28	16640	-56.5	31	11	12850	133	-57.2
7520	-25.1	48	31	06	9550	-38.5	—	23	10	12240	-54.8	31	10	14050	-58.4	29	13	16600	-57.9	31	08	15340	122	-59.6
7455	-27.1	34	24	16	9470	-43.5	—	31	20	12080	-60.0	27	22	13870	-62.1	26	16	16390	-60.0	27	06	12910	175	-62.8
7465	-25.6	77	25	28	9400	-39.1	—	24	33	12150	-57.0	24	40	13900	-58.0	24	33	16510	-57.5	26	11	12750	132	-58.4
7430	-26.0	16	27	49	9450	-41.5	—	28	60	12090	-58.4	28	50	13830	-57.6	27	33	16480	-56.8	28	11	12480	138	-59.5
7440	-24.4	65	29	44	9470	-40.8	—	28	36	12110	-58.3	27	44	13920	-57.0	30	44	16480	-56.4	32	17	12600	135	-59.7
7410	-25.3	10	33	33	9130	-41.0	—	32	58	12100	-53.8	31	39	13940	-55.3	30	30	16510	-56.0	33	16	14470	138	-56.8
7430	-26.2	69	35	32	9450	-40.5	—	02	44	12100	-53.0	05	60	13890	-58.4	34	28	16460	-57.8	35	28	12850	177	-60.3
7530	-21.9	10	32	11	9570	-40.2	—	01	11	12200	-62.9	03	08	13940	-67.5	34	14	16410	-63.3	36	13	13870	179	-67.4
7570	-22.0	17	35	06	9630	-37.2	—	35	12	12310	-57.0	35	22	14710	-63.4	35	20	16610	-59.3	35	10	14110	150	-63.4
7515	-24.0	16	27	08	9550	-40.9	—	30	15	12190	-60.5	33	27	13920	-66.6	30	10	16420	-62.5	35	03	12970	176	-65.7
7455	-23.8	99	24	22	9485	-39.0	—	24	24	12120	-62.1	36	27	13860	-64.8	24	15	16860	-63.1	25	13	12870	177	-69.7
7420	-24.7	18	22	32	9460	-38.7	—	21	32	12130	-56.0	21	45	13960	-53.6	24	52	—	—	—	—	11940	206	-56.1
7395	-25.3	61	24	27	9420	-40.6	—	24	30	12090	-54.8	30	18	13920	-54.2	30	22	16510	-56.5	32	08	12410	190	-55.2
7400	-26.4	23	34	24	9410	-42.2	—	35	57	12070	-55.0	33	58	13880	-57.9	30	45	16430	-60.0	33	20	14040	146	-53.0
7455	-22.2	42	25	27	9510	-37.4	—	25	22	12200	-56.6	36	49	14000	-61.0	27	37	16520	-62.9	26	12	14710	134	-63.2
7420	-23.3	58	26	44	9470	-37.2	—	25	34	12160	-55.1	26	63	13970	-62.1	25	55	16470	-59.8	25	40	14850	130	-64.4
7350	-26.0	96	24	30	9380	-39.0	—	25	32	12050	-59.6	—	—	13810	-65.4	—	—	16390	-59.6	—	—	13660	154	-67.0
7300	-30.2	21	30	77	9280	-43.6	—	29	96	11940	-50.1	27	56	13820	-53.1	27	44	16400	-55.2	23	32	13410	147	-57.5
7440	-24.1	96	30	39	9470	-39.1	—	32	49	12150	-56.2	34	93	13940	-62.5	31	44	16470	-59.3	30	33	14200	144	-63.0
7500	-20.5	32	23	37	9550	-36.7	—	28	42	12240	-54.9	29	60	14040	-61.7	29	44	16560	-61.1	29	22	14040	130	-61.7
7350	-27.4	77	23	44	9370	-41.6	—	27	50	12000	-57.0	26	35	13830	-57.8	27	24	16400	-58.2	28	33	13240	165	-59.4
7360	-26.1	10	32	46	9370	-41.3	—	31	53	12000	-59.9	31	44	13810	-57.7	31	39	16370	-56.7	31	33	12530	134	-61.9
7390	-27.3	60	30	11	9400	-41.0	—	31	17	12040	-59.4	31	33	13820	-58.7	29	26	16380	-56.4	30	25	12760	178	-62.4
7300	-26.8	77	27	32	9400	-41.6	—	26	26	12030	-59.2	31	36	13830	-58.0	30	26	16390	-56.8	30	14	12970	172	-60.4
7380	-21.2	26	24	20	9440	-37.0	—	21	27	12120	-57.0	22	27	13910	-61.0	25	27	16430	-59.4	24	17	13360	164	-65.0
7430	-24.7	46	—	23	9460	-39.7	—	—	37	12120	-57.1	—	40	13925	-59.2	—	29	16472	-58.2	—	18	—	—	—

12.00 h

7390	-23.1	10	08	02	9440	-37.6	—	30	14	12130	-55.0	31	11	13930	-52.0	33	08	16610	-51.5	33	11	12420	191	-56.2
7390	-23.9	12	04	22	9410	-40.0	—	03	23	12090	-53.1	02	35	13960	-52.4	34	22	16570	-52.1	35	14	11590	216	-52.2
7335	-25.7	27	30	25	9410	-39.8	—	30	33	12050	-55.2	31	57	13910	-55.1	31	28	16510	-53.4	32	06	12810	133	-55.7
7440	-25.7	87	28	38	9470	-41.3	—	29	38	12100	-56.0	29	48	13920	-59.2	29	28	16420	-55.7	29	17	13320	165	-59.6
7520	-22.6	10	31	22	9560	-38.3	—	30	14	12230	-56.1	30	23	14030	-58.0	30	22	16580	-56.6	31	06	12720	135	-58.6
7510	-24.5	13	23	11	9550	-38.0	—	25	14	12240	-53.7	27	17	14070	-57.1	26	15	16650	-55.1	29	15	13630	161	-57.4
7550	-21.1	23	24	22	9610	-38.4	—	25	28	12250	-57.7	26	22	14080	-59.9	26	17	16630	-56.7	26	11	12840	133	-59.6
7515	-22.1	16	25	31	9530	-36.9	—	26	44	12290	-52.7	26	45	14140	-56.0	27	45	16740	-53.0	26	07	12910	132	-54.5
7460	-22.8	63	28	37	9500	-39.1	—	28	39	12160	-56.8	23	35	14000	-57.6	28	50	16540	-54.5	28	13	12530	139	-58.1
7430	-22.8	27	28	45	9480	-37.8	—	25	47	12160	-54.2	29	44	14000	-53.6	29	42	16630	-52.4	30	07	12580	133	-55.8
7450	-27.2	16	33	23	9450	-43.1	—	32	42	12035	-56.7	31	44	13920	-54.2	32	32	16520	-55.3	32	33	12160	198	-56.9
7490	-22.8	12	03	22	9510	-43.4	—	01	20	12070	-63.9	03	25	13770	-72.3	02	25	16190	-68.5	33	15	12000	171	-73.0
7590	-21.3	27	30	02	9650	-36.0	—	30	03	12350	-55.3	30	16	14150	-59.3	32	12	16720	-57.8	32	10	13600	164	-59.9
7550	-22.9	39	27	05	9590	-38.1	—	31	12	12260	-57.2	30	06	14050	-62.8	35	11	16570	-53.9	01	01	13920	153	-63.4
7590	-16.0	10	18	08	9690	-33.1	—	20	14	12400	-54.9	23	33	14200	-63.0	27	23	16740	-55.2	33	10	13960	156	-63.0
7420	-24.4	30	22	30	9440	-41.6	—	21	48	12060	-60.9	22	33	13840	-58.4	22	23	16400	-57.4	23	17	12960	173	-64.7
7410	-25.5	34	23	17	9440	-39.9	—	24	23	12110	-52.3	24	23	13970	-53.5	25	22	16590	-51.7	35	12	11770	211	-54.1
7390	-23.4	35	29	23	9430	-41.7	—	30	30	12060	-54.1	29	40	13910	-53.3	32	25	16500	-55.1	32	13	11280	226	-56.7
7460	-22.8	59	32	21	9510	-38.8	—	31	23	12190	-56.3	34	35	14000	-53.9	32	40	16520	-61.4	30	14	12070	174	-61.2
7480	-19.2	10	27	44	9560	-34.4	—	27	38	12260	-53.6	28	60	14080	-53.9	28	60	16640	-57.4	24	25	14210	147	-53.6
7425	-22.2	63	25	50	9490	-36.9	—	26	72	12170	-57.4	26	75	13965	-61.9	26	66	16500	-53.8	24	31	13500	162	-62.6
7375	-22.2	92	22	65	9435	-35.9	—	24	130	12150	-50.9	24	96	14000	-50.0	—	—	16635	-51.0	—	—	12720	133	-53.3
7370	-26.6	90	30	50	9380	-42.0	—	30	50	12000	-58.0	30	85	13830	-56.0	30	80	16410	-56.4	28	34	11730	209	-58.3
7490	-19.8	11	29	60	9560	-36.4	—	29	47	12260	-54.0	29	50	14080	-59.1	29	60	16630	-57.6	28	38	13670	160	-59.1
7380	-25.9	41	27	29	9400	-40.7	—	26	40	12060	-56.2	26	66	13860	-61.0	24	44	16390	-60.0	29	30	13190	167	-60.6
7380	-24.0	33	30	55	9410	-38.8	—	30	49	12090	-53.3	30	60	13930	-54.5	29	60	16540	-54.5	29	55	12340	173	-56.2
7400	-26.0	10	32	17	9420	-41.3																		

Octobre 1958

Jour	Données synoptiques en surface (Code SYNOP)				Surface 491 m					1000 mb	850 mb					700 mb					500 mb				
	N	VVwwW	NnCcUuMmCh	—	P	t	Hum	dd	ff	H	H	t	Hum	dd	ff	H	t	Hum	dd	ff	H	t	Hum	dd	ff
1	8	74022	854xx	—	945	13.3	100	00	00	010	1375	8.9	98	23	07	2950	0.8	88	18	45	5595	-12.3	100	20	50
2	7	75022	755xx	—	949	10.9	100	00	00	055	1395	6.5	100	27	07	2955	-4.7	100	26	12	5525	-21.7	100	19	28
3	6	75022	655xx	—	938	11.5	100	00	00	154	1480	6.0	97	24	12	3090	-5.4	100	24	17	5620	-16.7	10	28	28
4	2	85412	20901	—	955	8.3	100	00	00	108	1465	11.0	65	19	20	3065	5.8	10	22	33	5725	-12.7	60	22	33
5	4	70021	45500	—	960	8.4	100	00	00	147	1485	7.0	100	24	17	3045	-4.0	52	23	28	5645	-16.3	23	24	30
6	5	70022	55510	—	958	9.0	100	00	00	137	1480	6.9	67	23	17	3035	-4.3	86	22	27	5625	-20.0	57	21	24
7	8	70022	854xx	—	963	8.4	100	00	00	178	1515	2.8	98	07	07	3065	-3.7	60	21	16	5640	-20.0	86	22	22
8	8	56102	85400	—	968	9.5	100	00	00	217	1545	3.8	98	07	03	3115	-2.2	77	21	12	5710	-14.5	15	25	23
9	0	56100	00900	—	971	6.8	100	00	00	248	1595	11.7	82	22	10	3185	2.8	75	23	20	5635	-12.4	10	18	05
10	3	45411	30940	—	967	9.2	100	00	00	209	1575	13.9	77	00	00	3170	3.1	81	21	25	5605	-14.8	33	22	27
11	3	46414	34610	—	963	12.0	100	00	00	177	1525	10.9	100	23	12	3105	-2.5	100	22	27	5635	-18.3	100	22	33
12	5	62022	5xxxxx	—	960	11.4	100	00	00	155	1505	8.7	59	22	14	3070	-2.4	100	20	28	5670	-16.8	97	23	28
13	3	74011	3xxxxx	—	964	6.8	100	24	02	190	1525	3.8	76	27	12	3070	-6.5	90	22	17	5630	-21.4	92	23	30
14	8	74022	8xxxxx	—	965	9.4	100	22	08	197	1580	3.2	78	25	16	3085	-1.9	100	29	24	5695	-15.8	39	32	31
15	8	72022	8xxxxx	—	965	11.5	100	21	10	192	1540	5.5	100	26	16	3105	-0.1	95	33	33	5730	-13.0	10	34	57
16	5	74012	5xxxxx	—	965	11.6	100	20	06	196	1540	5.9	97	24	18	3100	-1.7	51	30	33	5710	-15.7	100	31	72
17	7	70022	755xx	—	960	6.5	69	29	10	161	1475	-1.7	73	29	22	2990	-13.8	85	31	26	5460	-31.0	72	32	46
18	8	65606	875xx	—	963	5.0	94	22	10	132	1495	-0.6	99	31	10	3020	-3.6	95	35	15	5530	-26.7	49	36	17
19	8	75818	875xx	—	967	5.2	100	00	00	217	1535	-1.7	100	33	06	3045	-12.2	94	36	14	5545	-25.4	14	36	23
20	8	75032	855xx	—	941	3.6	100	00	00	231	1545	-3.1	100	30	05	3060	-7.3	100	36	28	5610	-21.8	46	35	38
21	8	57026	874xx	—	968	6.0	100	00	00	225	1550	-1.0	100	03	11	3070	-9.7	100	02	18	5615	-21.7	62	02	44
22	0	22412	00900	—	966	3.0	100	00	00	208	1530	-0.5	87	04	13	3055	-6.8	35	02	23	5630	-18.2	10	02	53
23	0	75020	00900	—	972	1.0	100	00	00	263	1570	-0.9	89	05	29	3105	-4.5	33	04	44	5695	-19.3	50	04	72
24	0	57020	00200	—	975	1.8	100	00	00	333	1605	3.2	60	08	23	3175	0.9	18	09	33	5800	-16.3	36	03	48
25	0	35404	00900	—	974	1.0	100	00	00	281	1605	10.2	18	08	11	3185	0.0	20	09	15	5720	-20.1	62	09	24
26	8	50022	864xx	—	973	5.5	100	00	00	271	1595	8.7	31	08	05	3185	1.5	12	08	10	5800	-17.2	14	08	10
27	8	30454	862xx	—	974	5.0	100	05	05	273	1590	6.9	38	07	12	3175	1.0	10	07	04	5795	-16.0	10	05	14
28	8	40454	863xx	—	970	5.0	100	00	00	246	1565	7.2	39	10	05	3150	-1.0	10	09	12	5745	-16.3	10	06	15
29	8	30454	863xx	—	968	3.5	100	00	00	223	1535	6.0	43	25	05	3125	2.2	10	15	05	5750	-16.4	10	30	05
30	0	01464	00900	—	965	3.1	100	00	00	199	1525	6.9	74	23	10	3105	-1.2	34	22	15	5700	-16.9	10	16	03
31	0	04424	00500	—	963	2.4	100	00	00	185	1500	5.7	67	22	07	3055	-4.5	32	22	14	5645	-18.1	12	23	11
Moyen					963	7.0	98	—	02	193	1526	5.2	78	—	12	3085	-3.0	63	—	22	5674	-18.2	45	—	31

Octobre 1958

1	8	45626	862xx	—	944	13.2	100	00	00	008	1350	6.6	100	23	17	2915	-2.4	100	23	25	5525	-13.7	100	16	39
2	3	75011	82600	—	931	17.1	70	23	03	038	1425	6.9	70	22	10	3000	-0.5	24	26	15	5610	-14.1	25	28	23
3	4	70021	42401	—	959	15.2	80	00	00	157	1510	6.2	80	24	03	3100	1.7	33	23	22	5735	-14.2	28	26	37
4	8	70022	856xx	—	958	14.5	96	00	00	125	1480	5.3	96	25	12	3070	-0.1	99	19	27	5705	-10.2	73	21	50
5	5	70031	55400	—	959	13.7	85	00	00	139	1485	3.9	100	21	05	3035	-4.2	36	23	14	5600	-23.1	91	23	20
6	8	72012	855xx	—	961	12.2	86	00	00	161	1505	2.7	95	29	04	3050	-5.5	100	17	06	5615	-20.3	23	21	24
7	8	59606	865xx	—	966	11.2	100	03	03	203	1540	3.8	97	03	07	3095	-3.2	97	22	12	5685	-18.9	86	23	21
8	7	62012	755xx	—	969	13.4	80	00	00	225	1575	6.6	83	00	00	3165	3.8	10	22	17	5320	-12.5	10	26	03
9	7	45012	761xx	—	970	11.7	100	00	00	237	1600	12.9	84	23	06	3195	1.5	99	22	26	5320	-13.5	51	22	22
10	8	07024	860xx	—	964	13.4	100	00	00	177	1545	13.3	60	25	02	3145	1.0	73	19	15	5745	-17.0	18	21	28
11	6	66012	58440	—	963	16.5	94	00	00	170	1535	10.6	69	22	03	3115	-1.3	92	23	06	5710	-16.7	18	21	33
12	3	58626	875xx	—	962	12.8	100	20	10	167	1525	5.1	100	27	04	3030	-2.8	100	25	16	5650	-18.8	93	23	33
13	6	80022	65461	—	965	11.7	75	21	03	193	1535	1.5	87	26	07	3055	-3.3	64	23	12	5620	-17.8	10	35	62
14	7	70606	753xx	—	962	11.0	100	22	10	109	1515	4.5	100	27	26	3085	0.0	100	29	35	5720	-16.0	45	33	26
15	6	75308	65601	—	966	15.4	80	22	15	198	1560	7.7	90	26	22	3120	-0.8	71	31	33	5750	-14.1	24	33	60
16	5	70022	48301	—	960	10.7	70	22	20	151	1485	1.9	77	27	25	3015	-6.2	31	29	55	5595	-18.3	10	31	115
17	8	75022	874xx	—	961	5.8	100	21	14	166	1490	-2.0	97	29	22	3000	-12.0	100	31	28	5485	-30.9	79	35	33
18	4	75012	48300	—	966	10.1	85	00	00	203	1535	-1.9	73	36	05	3050	-12.1	54	01	17	5505	-30.3	44	01	26
19	6	75012	63530	—	970	3.4	80	00	00	237	1555	-1.9	100	26	10	3065	-12.1	88	02	06	5600	-20.1	10	02	61
20	3	46606	873xx	—	966	7.1	100	18	12	238	1525	1.7	100	32	26	3060	-7.2	100	32	25	5620	-20.2	32	34	49
21	8	56102	864xx	—	967	6.8	100	23	07	219	1535	0.0	100	31	19	3085	-4.1	100	35	28	5665	-17.9	56	26	47
22	4	70031	43400	—	971	7.8	93	04	12	242	1535	0.7	76	05	16	3105	-2.9	11	05	33	5730	-16.3	32	04	55
23	2	56034	25500	—	974	6.5	90	02	13	274	1595	3.5	31	07	33	3155	-1.1	10	07	39	5755	-18.2	21	06	55
24	7	40434	76200	—	975	5.0	90	00	00	287	1615	9.8	16	03	15	3205	2.8	25	09	20	5815	-17.8	36	07	23
25	8	30434	862xx	—	974	5.2	100	00	00	273	1605	12.1	35	09	11	3200	1.9	21	08	13	5735	-18.9	30	09	15

niveaux standard

00.00 h

400 mb					300 mb					200 mb				150 mb				100 mb				Tropopause		
H	t	Hum	dd	ff	H	t	Hum	dd	ff	H	t	dd	ff	H	t	dd	ff	H	t	dd	ff	H	p	t
7250	-22.8	90	19	60	9300	-39.7	--	19	72	11980	-55.8	19	82	18780	-55.9	18	44	16370	-55.9	28	15	13070	168	-61.8
7120	-33.8	93	18	33	9090	-45.2	--	18	46	11800	-48.0	19	35	18680	-51.2	21	30	16280	-55.7	24	24	9200	295	-45.4
7240	-29.2	25	28	28	9250	-44.5	--	30	33	11870	-51.8	28	33	18730	-52.9	27	28	16340	-53.6	25	22	10700	240	-55.7
7385	-21.5	58	24	88	9410	-40.1	--	22	60	12090	-50.0	25	60	18890	-59.0	25	38	16420	-60.3	24	27	12750	180	-53.5
7280	-28.1	27	33	39	9270	-45.0	--	22	31	11900	-54.8	22	48	18740	-54.2	22	20	16310	-56.4	22	15	11200	223	-54.6
7240	-31.7	77	22	27	9215	-45.5	--	22	40	11710	-53.9	22	59	18680	-54.0	22	49	16280	-53.3	22	27	10650	241	-54.8
7255	-32.7	59	22	30	9230	-49.0	--	23	32	11835	-53.0	22	29	18685	-53.3	23	24	16285	-53.5	23	11	10270	255	-55.0
7370	-28.2	19	25	23	9385	-42.0	--	23	72	12000	-56.4	25	55	18850	-56.7	27	27	16420	-56.6	27	15	11660	212	-55.7
7495	-24.4	10	06	09	9530	-40.2	--	05	10	12180	-58.8	05	15	18950	-64.8	05	12	16430	-63.8	05	07	13950	150	-64.3
7155	-26.1	59	21	25	9470	-42.3	--	20	17	12110	-57.1	17	20	18900	-61.0	19	12	16430	-61.3	21	14	12650	154	-58.7
7325	-29.8	100	22	39	9300	-46.1	--	21	43	11910	-57.5	22	40	18710	-57.5	22	17	16240	-60.0	25	14	10920	233	-58.2
7305	-29.5	95	23	33	9290	-42.5	--	24	28	11980	-55.8	23	46	18750	-56.6	24	57	16330	-57.0	26	24	12140	194	-56.8
7210	-31.7	34	21	55	9210	-46.5	--	21	72	11870	-50.3	24	40	18750	-49.8	23	44	16370	-54.5	25	29	10000	206	-50.6
7340	-27.1	57	33	52	9365	-42.0	--	33	44	12000	-55.4	35	57	18320	-56.5	36	33	16390	-57.5	33	40	12740	173	-57.3
7395	-22.6	10	34	72	9440	-36.0	--	35	82	12180	-48.8	--	--	14040	-55.8	--	--	16500	-64.3	--	--	15700	115	-64.0
7360	-25.7	71	30	60	9380	-41.9	--	31	82	12050	-53.5	--	--	13870	-60.1	--	--	16370	-64.4	--	--	15620	113	-65.0
7090	-32.4	29	32	92	9000	-43.7	--	32	97	11700	-48.3	--	--	13590	-47.9	--	--	16200	-59.1	--	--	10970	223	-49.3
7105	-33.8	49	02	22	9000	-49.8	--	01	35	11630	-48.4	33	46	13580	-47.9	35	30	16240	-49.6	35	30	8580	321	-49.7
7130	-36.9	19	01	43	9050	-45.5	--	01	99	11740	-51.5	01	88	13580	-54.7	01	60	16190	-54.5	01	44	11330	213	-51.5
7205	-34.2	69	36	44	9160	-45.8	--	36	60	11770	-56.2	34	44	13600	-56.2	35	25	16170	-56.5	35	25	10500	244	-55.4
7220	-32.5	57	02	57	9200	-45.2	--	03	80	11830	-55.3	03	57	13650	-55.5	01	36	16240	-55.6	01	28	12000	195	-55.5
7260	-29.8	10	03	56	9250	-42.2	--	01	84	11850	-57.6	01	55	13690	-59.4	01	48	16230	-57.1	01	47	11430	215	-56.6
7315	-30.4	49	04	80	9300	-45.0	--	04	72	11900	-54.7	04	55	13750	-55.6	02	55	16330	-57.5	04	45	11180	224	-55.4
7430	-31.2	40	06	55	9400	-47.4	--	07	55	11960	-64.1	07	73	13740	-62.1	05	33	16230	-62.1	03	28	12910	171	-67.0
7395	-30.7	43	10	17	9380	-44.8	--	09	22	12000	-53.0	09	28	13800	-59.2	08	23	16350	-58.5	06	24	12930	171	-61.3
7435	-30.1	23	08	20	9430	-44.1	--	09	28	12070	-57.9	08	23	13850	-62.7	09	23	16350	-62.9	08	07	13460	160	-62.4
7430	-27.4	10	05	11	9450	-42.0	--	07	21	12030	-58.9	10	22	13860	-64.6	11	17	16360	-61.3	04	15	13170	163	-63.7
7335	-27.6	10	06	25	9390	-43.1	--	05	16	12030	-58.4	01	05	13820	-59.6	34	05	16360	-60.0	34	05	12310	191	-60.1
7380	-29.8	10	32	12	9380	-43.9	--	31	21	12000	-58.5	30	12	13790	-61.2	30	02	16310	-59.9	30	03	13000	170	-61.4
7335	-29.8	12	14	17	9320	-45.0	--	17	25	11950	-56.0	15	22	13760	-53.4	26	09	16300	-59.3	26	10	12550	182	-57.6
7270	-30.2	62	37	23	9250	-47.1	--	27	22	11850	-53.0	26	33	13640	-59.0	26	21	16160	-62.4	28	10	13090	164	-60.4
7303	-29.7	48	--	39	9221	-44.4	--	--	49	11931	-55.1	--	42	13759	-56.9	--	29	16318	-58.3	--	22	--	--	--

12.00 h

7190	-24.7	96	18	54	9240	-36.5	--	18	95	11950	-47.3	18	45	13850	-43.0	19	60	16520	-49.1	20	35	11090	228	-49.1
7270	-26.8	13	29	33	9235	-41.9	--	29	33	12000	-51.1	27	33	13835	-53.7	26	27	16440	-52.8	26	32	13510	158	-53.7
7390	-25.3	34	26	44	9420	-39.8	--	28	53	12030	-55.5	27	62	13900	-55.8	26	72	16490	-55.1	26	17	12640	133	-53.1
7395	-20.4	79	21	56	9470	-35.7	--	21	58	12155	-53.8	21	61	14000	-58.4	21	60	16540	-56.4	21	35	13090	126	-60.7
7190	-35.0	90	23	25	9150	-47.8	--	23	38	11765	-56.2	23	33	13580	-55.5	23	33	16170	-56.3	23	20	10790	233	-55.2
7220	-30.9	45	21	33	9210	-44.2	--	20	33	11860	-51.1	21	28	13720	-51.6	23	38	16370	-50.9	22	22	11190	222	-52.0
7305	-29.8	79	22	55	9300	-44.1	--	23	96	11930	-57.4	23	55	13760	-53.7	23	52	16370	-54.0	23	48	11740	206	-53.3
7430	-24.2	10	34	05	9520	-39.0	--	02	22	12200	-53.3	01	35	14000	-60.4	01	26	16550	-59.9	33	11	13350	151	-60.4
7490	-24.1	25	16	05	9505	-39.9	--	10	22	12160	-53.0	14	17	13940	-61.4	13	11	16450	-63.2	13	08	13510	161	-61.1
7385	-29.8	25	20	28	9380	-41.0	--	21	42	12000	-57.5	20	28	13860	-56.0	20	20	16400	-53.4	22	22	11730	209	-57.7
7350	-27.4	62	20	41	9330	-43.6	--	21	50	11930	-56.6	26	14	13800	-53.0	25	26	16360	-56.1	24	22	11760	207	-56.9
7280	-30.4	34	21	29	9270	-45.1	--	21	44	11900	-55.0	22	66	13740	-52.3	23	42	16350	-53.6	23	44	11410	216	-55.2
7250	-29.5	10	36	63	9240	-45.2	--	35	70	11870	-51.8	33	38	13740	-53.0	33	28	16370	-50.4	31	26	11400	215	-54.5
7365	-26.0	47	33	44	9400	-38.6	--	34	50	12090	-53.3	35	72	13920	-56.0	35	55	16480	-58.5	35	22	12340	178	-56.0
7410	-24.1	65	34	70	9450	-39.3	--	33	82	12130	-51.5	32	60	13970	-57.5	32	18	16470	-65.6	32	44	13400	164	-36.6
7235	-27.8	21	32	77	9250	-33.8	--	30	66	11920	-56.7	30	77	13760	-51.0	30	66	16330	-56.3	30	66	11980	198	-57.0
7030	-42.0	73	31	44	8940	-49.3	--	34	82	11600	-48.0	33	66	13500	-49.3	33	77	16150	-51.3	33	55	8430	324	-48.6
7055	-41.0	36	01	30	8970	-43.0	--	01	33	11630	-50.7	36	72	13500	-50.0	36	50	16130	-51.2	36	33	9550	275	-49.6
7215	-31.6	10	02	63	9200	-44.4	--	02	33	11850	-52.7	01	66	13690	-55.8	01	40	16290	-51.5	01	33	10230	255	-60.5
7250	-30.0	38	35	76	9245	-41.6	--	35	93	11900	-53.1	35	110	13720	-49.4	34	75	16420	-52.8	34	25	11335	212	-34.2
7310	-30.9	75	01	67	9290	-43.1	--	01	82	11940	-52.9	02	85	13790	-53.7	36	66	16390	-53.2	36	65	12370	173	-53.9
7350	-27.2	39	03	59	9375	-40.4	--	03	55	12060	-49.1	03	55	13940	-50.9	03	45	16370	-51.9	03	39	12650	133	-50.0
7400	-29.2	18	06	61	9335	-41.7	--	06	73	12040	-55.8	06	33	13810	-57.3	03	23	16430	-55.8	03	15	13100	169	-53.9
7455	-29.1	21	06	38	9455	-42.7	--	06	37	12090	-59.7	07	32	13870	-58.9	07	23	16430	-57.1	07	23	12720	131	-62.7
7425	-30.1	31	09	30	9435	-43.3	--	09	18	12070	-55.7	09	25	13880	-60.2	09	22	16135	-53.0	09	22	13830	130	-60.2
7440	-29.4	17	08	10	9440	-43.3	--	10	17	12060	-57.8	10	43	13850	-61.8	07	22	16380						

Novembre 1958

Jour	Données synoptiques en surface (Code SYNOP)				Surface 491 m					1000 mb	850 mb					700 mb					500 mb				
	N	VvwW	NhChCaCh		P	t	Hum	dd	ff	Tl	H	t	Hum	dd	ff	H	t	Hum	dd	ff	H	t	Hum	dd	ff
1	8	70406	S64xx	—	963	7.0	100	00	00	180	1500	0.0	99	28	07	3035	-8.2	91	27	17	5550	-22.1	96	21	37
2	7	59022	78500	—	968	2.6	100	00	00	222	1540	-3.0	100	05	14	3040	-10.8	70	05	18	5550	-21.8	18	02	53
3	8	62626	Sxxxx	—	960	5.1	100	22	09	155	1470	0.1	100	23	39	3020	-2.6	100	29	26	5620	-15.6	100	31	52
4	8	68626	Sxxxx	—	956	3.8	100	27	01	113	1450	4.1	100	23	14	3000	-5.7	100	23	11	5555	-22.3	99	27	12
5	3	68011	Sxxxx	—	959	3.4	100	00	00	150	1470	1.3	100	00	00	3000	-7.0	80	29	03	5565	-22.0	10	33	38
6	8	58626	Sxxxx	—	960	6.0	100	00	00	158	1470	0.1	100	22	13	3000	-7.2	100	22	33	5560	-21.1	96	22	30
7	9	02474	9x0xx	—	963	4.7	100	00	09	187	1510	1.4	96	07	04	3060	-4.3	64	05	05	5620	-21.3	42	05	17
8	8	57022	Sxxxx	—	961	5.0	100	00	00	166	1480	2.6	63	07	05	3020	-3.7	36	08	05	5620	-13.8	68	08	17
9	8	35106	S62xx	—	954	6.6	100	00	00	107	1450	2.9	100	27	03	2980	-5.6	87	35	03	5580	-21.1	20	26	08
10	8	57022	S63xx	—	956	7.2	96	00	00	123	1445	1.4	100	04	11	2980	-7.7	100	05	04	5535	-22.3	22	32	08
11	8	57804	874xx	—	954	3.9	100	00	00	031	1390	-1.2	100	08	05	2920	-9.0	100	23	22	5440	-26.4	98	19	34
12	8	59022	S83xx	—	953	4.2	100	00	00	038	1425	-2.0	97	06	17	2945	-8.0	85	03	15	5430	-24.3	94	15	20
13	8	57616	873xx	—	949	2.7	100	06	05	033	1390	-2.2	98	03	21	2920	-3.0	97	06	18	5515	-17.6	92	14	27
14	8	55022	S63xx	—	949	3.0	100	00	00	063	1375	-1.3	100	06	14	2915	-1.7	50	15	20	5495	-22.2	91	09	14
15	8	35022	S63xx	—	959	3.8	100	00	00	137	1465	-2.0	100	16	04	2995	-5.4	100	10	06	5555	-22.4	100	07	03
16	8	30022	S63xx	—	964	5.0	100	00	00	193	1505	-1.2	100	07	13	3040	-5.2	90	07	16	5615	-22.8	16	10	11
17	8	56022	S64xx	—	965	4.0	100	00	00	203	1525	-0.7	95	07	09	3075	-4.3	48	08	20	5640	-22.7	31	07	27
18	4	40412	45540	—	966	0.8	100	00	00	216	1535	4.2	69	03	05	3030	-5.8	60	10	03	5640	-24.7	33	13	03
19	6	40021	654xx	—	969	2.5	100	00	00	231	1545	3.3	54	00	00	3035	-6.9	37	00	00	5625	-26.0	51	23	17
20	8	56022	S65xx	—	973	2.0	100	00	00	276	1585	3.7	34	07	15	3140	-3.3	10	08	13	5715	-22.0	10	19	05
21	8	40022	S64xx	—	975	1.4	100	00	00	288	1575	2.4	40	13	06	3145	-3.2	14	14	03	5715	-22.3	46	15	17
22	8	40022	S65xx	—	970	3.0	100	00	00	239	1535	7.9	61	06	03	3135	-0.3	62	17	15	5750	-16.6	69	18	23
23	8	30022	S8xxx	—	968	3.3	100	10	03	229	1545	9.1	56	36	06	3130	-0.8	58	11	06	5730	-20.3	70	11	15
24	8	24404	S6xxx	—	967	6.0	100	00	00	220	1545	6.0	100	24	14	3120	-1.4	90	20	09	5705	-13.4	100	15	11
25	9	04454	9x0xx	—	961	4.7	100	00	00	136	1515	5.9	78	06	14	3030	-2.5	62	11	13	5660	-20.4	100	13	10
26	8	24402	S6xxx	—	960	3.9	90	07	03	155	1475	8.0	59	02	03	3055	-0.5	59	08	03	5670	-16.5	79	21	11
27	8	40515	S6xxx	—	962	3.2	100	03	07	171	1480	1.4	86	05	10	3040	0.0	50	09	07	5650	-15.3	33	12	16
28	8	25022	S6xxx	—	965	2.8	100	03	03	197	1500	7.3	47	22	12	3075	-1.0	16	27	06	5670	-19.0	10	07	10
29	8	30305	S6xxx	—	964	2.7	100	00	00	195	1505	4.3	87	00	00	3065	-1.3	31	09	03	5670	-16.9	10	03	03
30	8	55022	S63xx	—	960	1.3	90	00	00	163	1460	3.8	65	22	22	3015	-4.9	45	26	16	5595	-19.4	31	26	05
Moyen					962	4.1	99	—	01	173	1489	2.3	83	—	10	3037	-4.4	64	—	12	5611	-21.0	61	—	19

Novembre 1958

1	5	70021	58500	—	966	6.4	87	02	03	205	1515	-1.3	87	04	09	3030	-12.4	81	02	12	5525	-26.9	27	34	07
2	6	59022	48541	—	966	5.2	90	00	00	208	1510	0.4	56	23	01	3070	-3.3	10	36	13	5670	-14.1	34	34	39
3	8	60022	S54xx	—	957	3.9	100	21	10	126	1455	2.9	96	28	15	3000	-5.3	100	32	14	5560	-22.2	63	29	15
4	8	75022	S61xx	—	958	9.6	100	00	00	134	1475	2.9	94	31	10	3015	-6.3	97	32	05	5560	-22.3	10	32	17
5	8	13454	S62xx	—	959	6.0	100	00	00	149	1475	-1.7	100	23	04	3005	-5.2	10	23	23	5590	-20.4	24	26	30
6	8	37022	S62xx	—	962	7.0	100	00	00	175	1490	0.0	100	24	03	3020	-8.4	100	16	11	5550	-25.4	33	13	03
7	8	36022	S62xx	—	963	5.8	90	00	00	133	1495	0.6	92	07	03	3045	-3.6	17	03	05	5625	-19.6	30	01	22
8	7	57032	76435	—	956	7.7	90	00	00	117	1460	6.3	70	23	12	3020	-2.0	98	27	11	5620	-16.0	93	20	15
9	8	36102	S63xx	—	955	8.2	100	00	00	105	1440	2.6	100	05	17	2935	-4.7	90	04	11	5555	-20.2	86	27	03
10	8	50606	7522x	—	953	6.0	100	00	00	100	1425	-0.7	100	30	06	2945	-7.7	100	21	12	5495	-21.2	40	23	25
11	8	30022	S62xx	—	952	4.1	100	07	10	085	1380	-2.7	100	07	27	2910	-9.2	94	09	10	5435	-26.3	78	17	13
12	8	30022	S62xx	—	954	4.8	100	07	10	033	1405	-1.1	100	07	27	2935	-2.2	85	09	10	5515	-20.2	43	17	13
13	8	70022	S64xx	—	943	3.6	100	00	00	050	1365	-2.8	100	04	07	2390	-3.4	100	11	11	5475	-19.9	84	10	20
14	8	56022	S64xx	—	955	4.8	100	00	00	114	1435	-3.0	100	00	00	2960	-5.1	75	24	02	5630	-23.3	45	26	02
15	8	30022	S62xx	—	964	4.0	100	00	00	192	1520	-1.5	100	07	14	3050	-4.5	72	07	17	5605	-23.8	72	07	05
16	8	40104	S65xx	—	966	6.1	100	04	05	205	1515	-0.8	100	07	16	3065	-3.4	30	09	12	5620	-22.2	75	08	33
17	6	59012	66200	—	966	5.5	85	03	03	203	1520	0.5	32	22	04	3060	-6.0	61	22	09	5600	-25.6	33	14	07
18																									
19	6	40404	S62xx	—	972	4.2	95	15	04	255	1575	5.4	42	03	12	3140	-1.5	24	09	03	5725	-21.1	41	21	06
20	8	13404	S61xx	—	976	1.4	100	00	00	233	1600	3.7	53	07	06	3160	-2.9	10	03	12	5735	-23.1	10	15	11
21	8	40404	S61xx	—	973	2.4	96	03	03	275	1580	5.9	16	07	07	3145	-1.6	41	12	07	5740	-17.2	79	16	16
22	8	20104	S31xx	—	970	6.0	100	00	00	242	1565	9.3	48	04	04	3150	2.1	66	10	06	5770	-17.0	100	13	22
23	8	22404	S62xx	—	963	5.2	100	24	03	223	1540	3.4	03	23	12	3120	-2.2	76	13	04	5720	-13.9	37	12	16
24	8	13205	S61xx	—	967	4.6	95	00	00	217	1540	6.6	88	23	11	3100	-3.7	60	19	12	5630	-20.8	44	19	12
25	8	26022	S61xx	—	962	4.6	90	00	00	175	1495	6.4	76	07	02	3065	-1.1	69	12	03	5670	-19.0	30	13	23
26	8	13205	S61xx	—	960	3.6	90	04	07	157	1470	6.6	65	06	03	3040	-1.0	57	06	06	5630	-19.3	37	14	16
27	8	40205	S62xx	—	963	3.5	90	03	06	183	1495	3.6	90	21	04	3070	0.8	16	14	06	5680	-16.7	19	09	07
28	8	40022	S63xx	—	965	3.6	85	00	00	201	1505	6.7	63	25	05	3030	-0.6	36	23	05	5635	-17			

niveaux standard

00.00 h

400 mb					300 mb					200 mb				150 mb				100 mb				Tropopause			
H	t	Hum	dd	ff	H	t	Hum	dd	ff	H	t	dd	ff	H	t	dd	ff	H	t	dd	ff	H	p	t	
7195	-33.3	93	23	55	9150	-46.7		24	82	11760	-57.0	24	72	13570	-57.0	24	40	16120	-58.9	24	37	11270	216	-58.6	
7190	-32.6	10	02	77	9150	-44.9		02	117	11800	-52.1			13640	-55.8	01	50	16220	-59.6	36	54	10320	251	-58.5	
7285	-26.6	99	31	54	9803	-41.4		29	44	11950	-56.0	32	30	13770	-57.6	30	32	16880	-57.0			13000	170	-58.3	
7155	-35.0	78	27	14	9090	-49.5		32	25	11740	-50.4	33	42	13600	-51.5	31	30	16200	-56.2	32	28	10870	246	-51.1	
7170	-32.4	10	34	72	9140	-46.8		33	80	11730	-58.0	33	68	13570	-53.7	33	33	16180	-59.1	25	33	10890	229	-57.8	
7170	-32.5	93	19	33	9120	-49.3		21	60	11770	-50.8	23	27	13620	-53.2	36	22	16210	-58.4	30	27	9480	284	-50.0	
7220	-34.8	61	03	35	9180	-45.4		02	49	11850	-51.0	01	53	13710	-52.7	36	27	16310	-56.3	36	22	14460	140	-53.3	
7250	-29.8	10	05	27	9220	-46.3		07	45	11820	-58.9	06	22	13640	-57.7	05	12	16190	-53.7	06	15	11610	207	-59.4	
7135	-34.4	51	24	17	9070	-51.0		24	30	11660	-56.4	24	28	13490	-53.4	26	28	16080	-53.8	27	14	10210	251	-57.0	
7180	-34.4	77	24	13	9070	-51.2		23	17	11660	-57.0	26	14	13500	-55.0	26	20	16090	-54.7	26	20	10750	231	-57.3	
7010	-38.8	95	21	48	8920	-51.4		22	55	11540	-52.2	22	23	13410	-52.3	33	25	16000	-54.0	29	15	9250	285	-53.7	
7075	-35.4	90	17	28	9020	-50.0		17	60	11600	-55.6	13	28	13450	-54.2	22	15	16040	-53.0	26	11	11120	216	-57.7	
7145	-23.8	88	12	38	9120	-47.2		14	39	11700	-60.7	14	27	13520	-56.0	15	08	16080	-57.5	28	10	11240	215	-62.9	
7030	-35.0	57	10	11	9020	-52.3		03	12	11640	-55.0	05	25	13460	-57.3	06	15	16030	-58.5	04	11	9920	261	-54.5	
7140	-36.8	100	08	03	9070	-50.1		03	22	11710	-51.1	04	33	13560	-54.0	05	24	16150	-56.5	04	24	9800	268	-51.3	
7195	-36.2	14	11	15	9120	-51.0		09	27	11750	-50.8	06	33	13620	-52.7	07	32	16220	-57.0	07	17	9440	286	-51.7	
7235	-35.1	47	07	48	9160	-51.2		08	48	11770	-52.8	08	54	13630	-56.0	08	49	16190	-58.7	08	33	10530	243	-55.5	
7190	-39.8	60	11	23	9100	-54.4		11	23	11715	-53.2	10	27	13550	-55.5	11	25	16120	-58.3	12	17	9600	278	-54.8	
7195	-39.8	60	24	15	9090	-54.8		25	22	11660	-57.0	15	20	13480	-56.7	13	25	16040	-59.3	15	05	9470	283	-57.8	
7300	-37.3	10	22	06	9200	-53.2		20	12	11770	-58.4	22	13	13580	-57.9	23	11	16110	-60.5	25	14	10430	248	-60.8	
7305	-34.9	91	20	25	9260	-47.3		21	49	11850	-59.0	22	33	13680	-57.5	22	27	16220	-60.0	22	10	11350	217	-59.4	
7355	-30.2	81	18	32	9355	-48.1		18	33	11910	-67.7	14	32	13660	-63.0	13	17	16150	-65.2	25	02	11910	200	-67.7	
7360	-33.3	66	11	20	9290	-49.5		11	19	11830	-67.9	12	06	13560	-64.0	13	11	16060	-63.1	21	06	12360	183	-69.3	
7320	-30.6	88	14	18	9300	-45.7		15	25	11880	-61.2	15	12	13640	-62.0	15	12	16140	-62.9	20	02	12090	193	-65.2	
7265	-33.7	100	14	22	9210	-49.9		18	33	11740	-67.0	17	23	13480	-64.8	16	05	15960	-65.7	16	08	11590	205	-67.0	
7305	-23.3	63	17	15	9300	-44.9		18	28	11910	-63.7	16	17	13680	-61.2	16	07	16200	-61.2	36	06	12120	193	-65.0	
7250	-29.9	17	14	11	9250	-46.0		03	07	11830	-63.6	13	22	13600	-61.9	13	08	16120	-61.3	11	02	12350	184	-64.6	
7280	-32.9	10	08	05	9230	-47.6		15	17	11800	-65.7	15	13	13560	-62.3	08	04	16070	-62.2	06	02	12210	187	-67.3	
7300	-31.1	24	07	14	9280	-46.5		05	16	11850	-64.9	12	05	13610	-60.7	07	06	16150	-59.0	03	05	12500	180	-66.3	
7215	-31.5	30	36	11	9180	-47.3		36	08	11760	-64.4	31	15	13580	-58.6	29	14	16070	-60.4	30	14	12000	192	-65.0	
7216	-33.5	59		27	9166	-48.7			37	11765	-59.1		29	13573	-57.2		21	16133	-59.0		16				

12.00 h

7100	-36.6	14	21	13	9060	-43.3		25	20	11740	-51.2	28	17	13590	-56.0	28	20	16170	-54.7	28	17	11130	218	-50.2
7320	-26.5	90	35	48	9340	-41.6		35	60	11970	-60.0	35	142	13770	-56.7			16350	-57.1			11700	209	-59.9
7150	-35.9	30	30	23	9100	-46.1		28	23	11740	-53.0	29	38	13570	-53.7	30	33	16180	-56.4	31	22	11000	224	-54.7
7160	-35.2	10	32	27	9110	-47.7		33	29	11770	-49.4	33	38	13650	-50.8	32	33	16270	-54.5	31	30	9800	270	-49.2
7205	-34.8	76	27	23	9190	-46.1		27	35	11790	-53.8	29	22	13610	-55.4	30	17	16190	-55.6	30	17	11940	195	-58.8
7190	-36.3	81	16	04	9080	-43.2		01	13	11730	-48.4	36	17	13660	-51.2	32	17	16270	-56.0	32	12	11490	209	-48.4
7240	-30.2	26	01	30	9280	-45.0		01	72	11890	-52.0	35	35	13750	-54.0	36	28	16340	-55.8	34	15	13420	153	-54.0
7260	-23.4	92	28	18	9260	-44.0		27	28	11890	-55.4	26	23	13740	-52.6	26	26	16350	-54.4	26	18	11650	203	-56.8
7170	-32.0	85	24	07	9140	-48.7		20	24	11740	-53.9	25	22	13580	-52.4	24	20	16280	-52.1	27	20	10520	242	-53.6
7105	-32.0	42	23	22	9085	-44.3		22	30	11750	-47.9	24	40	13645	-46.9	23	12	16335	-46.7	26	18	10130	256	-50.9
7000	-36.6	82	17	39	8950	-50.8		17	55	11540	-53.7	18	25	13400	-52.4	22	33	16000	-53.0	22	15	10090	251	-56.9
7140	-32.8	62	17	29	9100	-46.9		17	55	11720	-56.5	18	27	13560	-53.6	21	10	16150	-52.9	24	11	10350	229	-56.8
7080	-32.5	79	10	25	9040	-47.1		12	49	11655	-54.2	08	13	13550	-52.5	03	05	16120	-53.7	03	08	10310	247	-55.7
7120	-35.2	30	05	08	9060	-48.9		03	14	11700	-51.3	03	22	13550	-52.1	03	12	16180	-53.3	03	11	10050	253	-51.9
7190	-37.8	66	07	05	9100	-53.5		07	06	11720	-50.2	06	38	13590	-54.0	06	25	16180	-56.7	06	23	9040	303	-53.5
7210	-35.2	72	08	38	9150	-50.1		08	63	11750	-54.2	07	43	13590	-54.9	08	35	16160	-57.8	08	13	10250	253	-56.6
7130	-37.5	61	11	27	9110	-48.6		10	34	11760	-50.4	09	33	13610	-53.8	09	33	16210	-55.8	10	17	10900	223	-50.3
7315	-35.2	46	24	08	9270	-50.2		24	17	11840	-57.0	20	12	13690	-54.1	21	14	16290	-56.1	18	06	9960	270	-57.0
7320	-36.1	11	18	18	9260	-50.5		21	33	11830	-56.8	20	23	13650	-56.0			16220	-57.9			10820	235	-59.2
7330	-29.5	76	19	29	9370	-45.8		21	47	11970	-62.8	21	33	13740	-61.0	20	12	16260	-61.3	21	05	11970	200	-62.3
7400	-27.5	56	16	18	9390	-46.3		14	33	11960	-64.3	15	25	13710	-62.1	15	22	16220	-61.4	17	12	13000	169	-63.5
7330	-32.2	47	12	24	9290	-47.8		14	15	11860	-66.6	15	14	13610	-62.1	15	10	16110	-62.9	19	05	12140	191	-67.1
7290	-32.0	38	20	16	9260	-48.0		19	32	11830	-64.1	13	22	13590	-61.3	13	03	16090	-64.0	24	06	12430	181	-65.2
7290	-30.6	34	12	29	9260	-48.4		12	36	11820	-61.3	14	22	13530	-61.3	15	13	16100	-63.3	14	11	12310	135	-63.3
7240	-33.3	20	13	17	9180	-51.2		14	26	11700	-66.3	12	22	13470	-62.8	15	08	15960	-64.0	27	06	11590	204	-67.4
7320	-29.7	19	08	22	9200	-45.0		10	12	11900	-61.2	14	22	13690	-59.8	11	11	16220	-60.8	10	03	12250	139	-62.4
7315	-29.1	13	10	14	9320	-43.5		13	16	11940	-60.1	15	17	13720	-58.4	13	11	16290	-57.6	04	03	11720	176	-63.0
7245	-31.4	1																						

Décembre 1958

Jour	Données synoptiques en surface (Code SYNOP)				Surface 491 m					1000 mb	850 mb					700 mb					500 mb				
	N	VVwwW	NnChCmCn		P	t	Hum	dd	ff	H	H	t	Hum	dd	ff	H	t	Hum	dd	ff	H	t	Hum	dd	ff
1	8	12022	863xx	—	961	3.2	90	00	00	166	1470	1.8	100	24	24	3020	-5.3	38	30	20	5590	-21.7	22	31	15
2	8	57022	864xx	—	965	2.0	85	06	13	206	1505	-3.4	100	06	14	3040	-5.2	10	03	08	5600	-20.4	19	33	17
3	8	55022	865xx	—	968	-1.2	80	06	12	188	1475	-7.8	100	08	16	3000	-8.3	40	07	12	5525	-25.7	50	32	17
4	8	50032	865xx	—	963	-2.8	75	01	10	194	1465	-6.5	77	07	11	2985	-8.6	21	09	14	5505	-27.1	10	08	28
5	8	57022	864xx	—	963	-2.6	80	22	05	194	1475	-2.3	85	26	05	3005	-6.8	10	06	16	5590	-13.9	10	06	28
6	8	33022	865xx	—	959	-1.2	88	00	00	161	1440	-1.2	47	04	08	2990	-3.0	10	01	15	5580	-19.4	10	31	20
7	0	20104	00900	—	953	-4.0	80	03	08	114	1400	-4.8	50	07	20	2955	-1.6	10	06	12	5590	-21.2	12	02	16
8	8	40104	863xx	—	957	-2.8	71	20	03	147	1435	1.4	30	29	05	3000	-2.5	10	27	07	5645	-22.5	16	22	05
9	8	40104	863xx	—	958	-1.0	80	00	00	144	1450	2.3	53	23	15	3000	-6.8	83	25	25	5550	-21.8	15	27	23
10	8	70022	866xx	—	957	3.1	80	21	07	180	1455	-0.9	93	24	22	3000	-7.6	100	30	15	5535	-20.2	80	31	30
11	5	70022	55541	—	949	3.2	75	21	08	063	1385	2.2	57	23	27	2935	-7.7	75	26	33	5455	-24.7	97	27	38
12	8	65006	864xx	—	942	3.2	100	22	13	002	1310	-3.1	100	26	38	2820	-11.8	100	30	34	5310	-30.8	100	31	32
13	8	60602	854xx	—	939	5.2	100	26	05	523	—	—	—	—	—	—	—	—	—	—	—	—	—	—	—
14	6	75031	6xxxx	—	934	2.1	100	20	02	580	1240	3.8	62	25	27	2780	-7.1	75	24	22	5320	-25.4	12	24	38
15	4	75011	4xxxx	—	936	2.8	85	26	07	548	1275	-0.4	84	23	29	2790	-17.9	79	28	18	5235	-29.5	79	28	49
16	8	75012	8xxxx	—	933	1.1	100	22	06	578	1245	1.4	100	23	44	2770	-9.3	98	24	33	5285	-26.5	82	24	38
17	7	75819	7xxxx	—	930	7.6	100	23	17	612	1235	4.1	100	—	—	2775	-6.9	100	—	—	5310	-28.7	100	—	—
18	7	75012	54500	—	943	3.0	100	19	04	014	1340	1.9	95	24	21	2870	-9.2	98	23	30	5370	-28.6	70	24	27
19	3	62020	345xx	—	946	-0.6	100	00	00	046	1360	4.3	45	21	28	2920	-1.2	65	23	39	5525	-17.9	68	26	33
20	8	62032	8xxxx	—	941	3.0	100	00	00	309	1380	3.9	61	19	23	2910	-0.5	72	19	33	5525	-14.9	99	22	55
21	8	50022	865xx	—	939	4.0	90	00	00	524	1300	4.6	100	20	22	2855	-6.8	100	20	35	5395	-25.3	100	21	34
22	6	50012	654xx	—	946	3.6	100	00	00	037	1350	3.8	92	00	00	2900	-6.5	98	23	03	5450	-23.7	94	17	23
23	9	01454	9x0xx	—	947	3.6	100	00	00	046	1370	4.8	59	12	07	2945	-2.4	45	16	22	5535	-19.1	91	19	23
24	8	20022	861xx	—	951	3.8	100	00	00	081	1400	4.5	94	08	11	2955	-5.1	94	06	15	5525	-20.9	79	09	12
25	8	40687	874xx	—	951	1.2	100	21	06	114	1405	-4.2	100	34	06	2980	-8.9	100	01	27	5535	-23.2	95	03	40
26	6	10411	66050	—	959	0.1	100	00	00	155	1455	-2.4	100	05	10	2980	-8.6	100	01	14	5545	-22.8	74	35	17
27	2	57011	25400	—	933	-0.3	100	00	00	188	1485	-3.7	80	21	09	2995	-3.3	50	36	12	5525	-27.0	43	33	27
28	8	70606	855xx	—	959	5.8	100	24	14	150	1475	3.5	100	25	32	3000	-5.8	35	29	37	5605	-16.9	94	33	50
29	6	70012	65540	—	966	8.0	100	24	07	202	1530	2.3	100	30	11	3085	-4.9	86	32	14	5675	-17.8	15	33	28
30	4	70060	24440	—	967	2.0	100	00	00	219	1545	3.5	98	24	14	3105	-2.0	19	27	27	5705	-19.1	73	29	43
31	8	22104	860xx	—	965	2.4	100	00	00	205	1535	5.0	20	22	27	3095	-2.2	10	26	25	5695	-18.1	10	29	64
Moyen					952	1.9	92	—	05	090	1403	0.9	79	—	18	2949	-6.1	61	—	22	5505	-22.6	57	—	30

Décembre 1958

1	8	03454	561xx	—	963	-4.5	100	02	05	181	1485	-1.3	100	31	02	3025	-6.6	28	30	10	5575	-21.0	11	35	17
2	8	45454	862xx	—	964	0.8	80	04	13	204	1500	-4.8	68	06	12	3015	-7.0	10	03	12	5565	-23.5	28	29	33
3	8	45434	863xx	—	963	-2.0	80	04	10	189	1435	-4.1	63	07	23	3000	-3.5	38	07	15	5520	-25.7	37	05	08
4	8	45104	864xx	—	965	-2.0	70	02	05	202	1485	-1.8	34	10	02	3035	-4.7	10	07	07	5615	-17.0	10	09	48
5	8	35104	863xx	—	961	-2.4	80	02	05	163	1455	-1.3	44	06	03	3000	-3.0	61	05	20	5615	-15.8	24	02	25
6	8	03454	863xx	—	956	-3.5	80	03	10	139	1415	-4.3	35	05	12	2955	-2.8	10	35	19	5555	-20.3	10	34	25
7	8	20104	863xx	—	956	-3.2	80	00	00	128	1420	0.0	47	05	01	2965	-3.3	10	04	02	5545	-22.0	13	03	11
8	7	40102	761xx	—	958	-2.6	100	00	00	157	1480	1.9	32	21	13	2990	-5.7	15	22	17	5545	-23.8	12	23	08
9	8	68022	3562x	—	957	5.4	74	23	10	134	1445	-2.0	99	24	19	2970	-8.6	71	27	28	5525	-20.5	95	29	49
10	7	68018	55640	—	953	5.5	70	22	17	101	1420	-1.0	76	26	33	2930	-12.0	34	28	46	5420	-31.0	77	27	32
11	7	70626	792xx	—	941	4.9	100	21	16	511	1310	1.0	100	23	33	2840	-9.3	94	25	30	5360	-26.6	82	26	38
12	8	65006	773x2	—	947	3.9	100	24	15	012	1360	-3.1	99	22	32	2870	-9.7	56	29	32	5420	-24.7	31	31	66
13	8	60626	875xx	—	931	6.4	100	23	03	596	1235	3.9	100	22	40	2785	-3.7	100	23	60	5360	-20.4	56	26	60
14	7	60626	774xx	—	933	5.2	100	24	10	378	1245	1.0	100	26	24	2770	-9.5	59	26	30	5275	-27.5	24	25	33
15	8	75032	855xx	—	932	4.5	75	00	00	586	1250	0.6	52	21	28	2760	-9.5	100	24	44	5295	-25.8	68	26	45
16	2	75032	25431	—	930	7.0	75	23	07	604	1235	4.6	96	21	28	2790	-3.7	30	23	50	5370	-19.3	81	25	38
17	4	35031	35521	—	937	8.2	50	20	09	551	1235	3.3	62	24	26	2820	-8.6	81	21	33	5335	-28.0	76	24	40
18	3	30021	28501	—	947	6.3	84	00	00	046	1370	2.2	78	22	33	2965	-10.0	30	24	28	5420	-27.0	49	26	28
19	6	75032	50721	—	944	2.8	90	00	00	020	1345	9.1	55	20	23	2925	0.6	94	22	38	5520	-18.5	97	23	46
20	5	75012	13541	—	941	9.0	90	00	00	516	1340	6.6	34	19	14	2905	-2.4	94	21	28	5490	-18.6	36	23	41
21	8	60022	874xx	—	945	3.8	100	00	00	028	1355	2.1	100	21	07	2900	-5.4	82	17	22	5480	-21.3	93	21	36
22	9	01454	90000	—	949	3.5	100	00	00	061	1475	2.8	93	19	07	2915	-3.0	16	24	11	5480	-21.4	17	25	25
23	8	12104	861xx	—	948	4.1	100	00	00	053	1375	65	43	00	00	2935	-5.2	82	19	03	5485	-28.0	45	19	20
24	8	30816	864xx	—	952	2.0	100	06	08	096	1405	-2.0	100	04	22	2920	-5.3	100	04	38	5500	-13.0	93	05	38
25	7	60022	56310	—	955	3.1	100	00	00	114	1430	-2.9	100	36	05	2950	-6.5	100	03	22	5515	-22.2	38	02	27
26	8	60022	854xx	—	963	2.2	100	00	00	153	1480	-5.0	100	06	11	3000	-7.5	13	04	08	5550	-23.6	42	29	12
27	8	60022	866xx	—	961	2.4	100	22	08	170	1480	1													

niveaux standard

00.00 h

400 mb					300 mb					200 mb				150 mb				100 mb				Tropopause			
H	t	Hum	dd	ff	H	t	Hum	dd	ff	H	t	dd	ff	H	t	dd	ff	H	t	dd	ff	H	p	t	
7185	-32.3	18	32	13	9160	-46.5	—	31	18	11740	-61.0	30	28	13540	-57.1	30	28	16110	-57.4	30	28	11300	215	-60.6	
7210	-33.8	18	21	21	9150	-51.3	—	30	22	11690	-61.7	31	30	13500	-59.2	31	28	16000	-60.5	33	30	10930	226	-62.7	
7095	-38.0	74	29	26	9080	-49.8	—	28	48	11630	-55.4	30	41	13450	-57.4	31	28	16000	-60.6	33	33	10710	231	-56.0	
7090	-35.4	10	08	72	9040	-48.6	—	09	93	11620	-60.7	08	66	13400	-63.0	08	50	15899	-63.6	35	11	11530	203	-61.0	
7210	-30.3	10	06	44	9200	-46.1	—	08	43	11800	-60.1	07	18	13380	-63.6	35	15	16090	-58.1	32	15	14000	140	-64.2	
7200	-32.0	10	32	20	9180	-44.6	—	33	38	11800	-61.4	31	52	13560	-62.7	30	37	16080	-59.4	30	41	12610	175	-65.0	
7135	-33.2	13	36	20	9090	-48.2	—	34	20	11665	-63.0	35	33	13440	-60.0	32	30	15985	-57.8	30	23	12140	186	-64.9	
7165	-34.8	21	23	03	9110	-48.3	—	25	11	11680	-63.4	26	09	13450	-61.2	30	07	16000	-59.0	30	21	12570	173	-64.3	
7150	-34.7	13	27	27	9100	-48.2	—	29	22	11670	-63.8	27	27	13450	-60.7	27	27	16000	-58.7	29	20	11760	197	-64.2	
7135	-34.5	61	30	49	9090	-50.0	—	29	58	11630	-61.2	30	50	13430	-56.0	30	37	16000	-60.1	31	35	11450	206	-63.6	
7040	-37.2	100	27	44	8950	-54.2	—	28	42	11490	-57.3	29	52	13310	-54.7	28	55	15900	-56.1	29	40	10270	243	-61.7	
6840	-43.1	98	31	58	8750	-50.0	—	32	65	11190	-49.0	32	65	13290	-53.7	31	22	15900	-55.0	30	48	8520	311	-50.8	
6900	-35.8	57	24	128	8810	-51.9	—	24	93	11460	-51.5	24	42	13340	-51.8	24	38	15960	-50.9	27	28	9180	285	-53.3	
6830	-40.6	74	30	57	8755	-49.9	—	32	53	11410	-48.6	28	39	13290	-51.5	28	39	15930	-51.0	27	17	8560	309	-50.0	
6855	-41.1	78	24	40	8760	-50.0	—	25	39	11400	-50.0	26	55	13300	-47.4	28	39	15930	-55.5	26	26	8150	320	-50.9	
6880	-38.7	100	—	—	8850	-40.9	—	—	—	11600	-44.3	—	—	13490	-50.8	—	—	16110	-57.1	—	—	7550	368	-41.7	
6930	-40.3	84	24	27	8840	-49.8	—	24	33	11510	-49.0	23	82	13400	-48.9	24	47	16060	-50.9	23	33	8340	313	-51.0	
7145	-30.8	67	28	35	9140	-48.5	—	27	66	11710	-62.4	28	55	13500	-59.3	26	55	16040	-56.8	26	30	12440	178	-63.4	
7180	-27.1	96	20	60	9185	-43.1	—	21	63	11800	-62.2	21	82	13590	-63.4	21	48	16150	-58.7	22	44	12250	186	-63.1	
6965	-40.6	100	20	25	8870	-50.0	—	19	41	11520	-49.7	20	55	13380	-54.0	20	39	15930	-58.0	20	33	8450	320	-49.9	
7040	-36.4	98	19	50	8970	-53.6	—	20	50	11550	-53.3	17	44	13400	-53.1	21	48	16010	-53.1	22	36	9880	260	-56.8	
7150	-31.8	89	19	33	9100	-49.5	—	18	53	11630	-55.8	20	60	13525	-55.1	23	36	16120	-55.1	23	39	10500	241	-59.1	
7125	-34.9	88	13	38	9070	-50.7	—	16	57	11690	-52.5	16	11	13550	-50.9	22	18	16190	-51.2	27	22	9630	275	-54.5	
7135	-35.2	86	02	44	9080	-51.0	—	01	46	11670	-53.3	36	33	13520	-53.1	34	17	16110	-54.4	30	20	10290	248	-58.6	
7130	-37.0	87	35	13	9060	-51.0	—	03	33	11780	-56.2	35	21	13600	-53.6	30	22	16190	-55.6	29	17	10770	235	-60.8	
7080	-40.0	61	33	38	9000	-52.0	—	01	66	11550	-53.2	31	45	13370	-53.2	33	30	15910	-60.2	30	26	10620	232	-61.2	
7290	-26.9	80	33	70	9270	-40.7	—	36	85	11900	-60.7	34	44	13715	-57.6	33	39	16245	-60.4	33	28	12360	186	-61.9	
7315	-27.8	49	33	30	9310	-44.2	—	32	33	11920	-61.0	33	39	13680	-66.2	33	35	16150	-65.1	33	43	13350	146	-66.7	
7320	-30.3	95	30	50	9300	-47.7	—	30	62	11875	-65.7	29	85	13630	-59.2	28	84	16150	-64.4	27	49	12310	186	-67.7	
7320	-32.5	10	28	68	9275	-48.2	—	28	66	11835	-66.6	28	56	13580	-62.7	27	55	16070	-64.7	27	45	12080	192	-67.7	
7100	-34.9	61	—	12	9051	-48.6	—	—	48	11657	-57.3	—	46	13175	-56.7	—	36	16012	-57.7	—	31	—	—	—	—

12.00 h

7180	-34.1	10	34	15	9140	-45.1	—	32	17	11720	-62.6	30	32	13520	-56.8	30	20	16090	-57.3	31	33	11400	211	-63.1
7165	-34.4	33	29	32	9120	-50.1	—	29	54	11705	-65.8	30	44	13545	-56.3	31	35	16100	-59.1	31	27	10500	242	-56.9
7100	-38.1	36	04	06	9050	-48.0	—	29	22	11680	-53.4	36	12	13525	-55.1	36	16	16090	-57.6	36	22	11210	215	-53.3
7250	-28.3	11	09	59	9270	-43.8	—	09	55	11900	-65.2	08	50	13710	-58.9	09	48	16260	-55.5	08	22	13670	177	-58.9
7250	-27.4	24	01	28	9260	-43.0	—	35	28	11890	-58.2	29	23	13670	-63.2	29	20	16200	-58.2	28	27	13430	155	-63.7
7160	-31.9	10	33	30	9135	-47.0	—	32	43	11710	-63.3	30	44	13470	-61.9	31	28	16000	-59.0	31	32	11800	197	-63.9
7145	-34.1	15	01	09	9100	-48.2	—	01	12	11690	-64.4	34	15	13420	-62.3	33	12	15950	-59.2	32	16	12480	175	-64.6
7135	-35.1	17	24	20	9085	-49.4	—	24	27	11650	-63.4	24	28	13430	-59.2	27	25	15970	-59.9	28	18	11650	200	-63.4
7135	-32.2	91	29	77	9100	-47.8	—	34	30	11660	-64.0	32	70	13450	-59.1	30	60	16000	-57.0	—	—	11480	206	-64.9
6960	-42.5	45	28	87	8850	-56.3	—	—	—	11390	-57.9	—	—	13230	-54.4	—	—	15770	-62.2	—	—	10820	217	-60.0
6920	-40.4	78	25	52	8845	-50.6	—	35	95	11500	-48.7	28	45	13330	-50.7	27	45	16000	-54.5	27	45	9510	271	-51.0
7090	-36.8	45	32	95	8930	-49.6	—	33	120	11500	-59.5	31	60	13335	-54.6	31	65	15890	-55.5	31	70	10600	231	-60.0
6960	-33.9	65	25	66	8900	-50.5	—	—	—	11490	-58.1	—	—	13330	-51.1	—	—	15940	-55.8	—	—	11280	207	-59.6
6850	-39.1	37	23	44	8780	-48.0	—	22	43	11470	-44.9	25	49	13370	-46.8	26	43	16060	-50.3	25	29	8890	295	-43.1
6870	-37.8	31	26	48	8790	-52.7	—	25	50	11420	-48.4	27	39	13320	-48.3	27	55	15960	-54.8	28	28	8900	295	-53.1
6980	-32.7	82	26	32	8960	-42.3	—	26	64	11650	-43.0	27	77	13540	-50.9	27	80	16160	-55.9	—	—	10440	240	-49.0
6900	-40.8	71	23	60	8820	-49.6	—	23	72	11460	-49.9	23	98	13340	-49.6	—	—	15940	-56.1	—	—	9800	258	-51.1
6985	-40.2	63	23	27	8920	-48.2	—	31	66	11540	-53.8	27	44	13410	-51.2	27	55	16050	-53.5	24	30	12050	185	-53.8
7150	-30.2	98	24	55	9120	-48.7	—	24	82	11670	-65.4	26	66	13430	-62.6	25	38	15960	-58.0	25	30	11800	196	-65.5
7120	-31.9	28	20	40	9080	-48.8	—	20	82	11710	-51.8	21	55	13370	-53.6	21	53	16150	-54.2	20	48	10270	250	-52.3
7065	-36.5	82	21	66	8980	-53.2	—	20	55	11600	-50.6	21	68	13430	-48.7	21	53	16130	-51.8	21	44	9300	286	-56.0
7090	-34.1	44	25	43	9050	-48.1	—	24	44	11680	-53.3	24	54	13450	-53.4	22	50	16050	-56.2	23	45	11440	206	-60.5
7070	-37.2	47	18	38	9000	-49.4	—	18	43	11640	-50.6	18	32	13510	-52.9	22	37	16120	-54.1	22	33	10000	257	-51.1
7125	-32.0	88	05	32	9090	-50.0	—	07	35	11650	-57.0	05	15	13490	-53.7	02	18	16100	-52.6	25	18	10680	233	-62.4
7110	-34.2	64	02	17	9060	-50.5	—	02	22	11640	-54.0	33	22	13510	-51.3	33	22	16120	-53.7	28	24	10220	250	-57.6
7140	-35.8	56	28	13	9070	-50.7	—	35	13	11650	-55.2	32	22	13500	-53.2	33	20	16090	-56.7	31	17	10500	240	-58.8
7245	-27.8	54	36	82	9260	-41.2	—	35	87	11910	-57.3													

Observations aux

Janvier 1958

00.00 h Février 1958

00.00 h Mars 1958

00.00 h

Jour	70 mb				50 mb				70 mb				50 mb				70 mb				50 mb						
	H	t	dd	ff	H	t	dd	ff	H	t	dd	ff	H	t	dd	ff	H	t	dd	ff	H	t	dd	ff	H	t	dd
1	18060	-53.3	29	44	20170	-59.8	33	32	18060	-68.6	35	44	—	—	—	—	18330	-53.4	27	20	20480	-52.0	27	26			
2	18060	-58.4	28	30	20160	-59.6	28	27	18370	-64.7	35	30	20400	-68.0	34	60	18270	-55.0	33	17	20130	-53.8	33	13			
3	18060	-60.5	28	27	20090	-62.9	28	32	18210	-69.3	32	35	20200	-71.5	31	50	18160	-57.0	34	14	20270	-53.4	34	16			
4	—	—	—	—	—	—	—	—	18150	-66.9	—	—	20170	-69.0	—	—	18290	-53.7	01	25	20430	-54.8	36	26			
5	18100	-63.1	32	38	20150	-65.9	31	35	—	—	—	—	—	—	—	18350	-56.1	36	18	20530	-53.2	02	20				
6	—	—	—	—	—	—	—	—	—	—	—	—	—	—	—	—	18410	-56.6	31	12	20550	-57.0	32	11			
7	—	—	—	—	—	—	—	—	18290	-60.0	31	44	20350	-53.1	29	58	18280	-57.4	28	56	20120	-54.2	28	53			
8	—	—	—	—	—	—	—	—	18400	-57.7	27	30	20380	-57.9	28	60	18100	-57.1	25	11	20240	-55.0	25	05			
9	—	—	—	—	—	—	—	—	18430	-57.4	28	33	—	—	—	—	18315	-50.4	27	21	20500	-49.4	27	22			
10	—	—	—	—	—	—	—	—	18290	-59.1	25	40	20400	-57.8	25	35	18330	-48.6	25	17	20540	-49.6	30	31			
11	—	—	—	—	—	—	—	—	18580	-53.2	25	33	20770	-51.0	24	32	—	—	—	—	—	—	—	—	—	—	—
12	18310	-52.6	33	38	20460	-55.4	30	40	18510	-53.0	26	40	20780	-50.5	25	33	18260	-50.0	25	21	20450	-50.4	25	15			
13	18230	-54.4	33	38	20330	-56.7	32	33	18630	-52.0	26	33	20320	-50.0	26	33	18000	-59.9	30	51	20090	-56.5	30	43			
14	—	—	—	—	—	—	—	—	—	—	—	—	—	—	—	—	18330	-53.8	30	32	—	—	—	—	—	—	
15	18190	-50.5	03	22	20290	-61.8	03	12	18370	-56.9	28	30	20720	-53.7	28	30	18305	-55.6	31	25	20450	-54.8	31	36			
16	18960	-47.3	—	—	21100	-48.0	—	—	18370	-58.3	32	27	20700	-56.9	32	28	—	—	—	—	—	—	—	—	—	—	—
17	18650	-55.7	36	20	20790	-54.6	34	13	18490	-63.2	30	44	—	—	—	—	18670	-47.5	31	36	20390	-47.5	31	18			
18	—	—	—	—	—	—	—	—	18450	-54.2	—	—	20600	-54.3	—	—	18600	-49.9	30	22	20790	-50.0	28	21			
19	18290	-53.3	28	41	20360	-59.3	29	32	18300	-55.2	29	49	20430	-56.1	29	45	18370	-52.7	32	50	20540	-53.0	31	18			
20	18470	-45.3	29	50	—	—	—	—	18230	-55.7	29	65	20350	-55.4	28	39	18330	-53.2	28	29	20490	-53.3	28	22			
21	18000	-61.3	28	46	20120	-51.4	28	42	18280	-61.4	31	42	—	—	—	—	18490	-50.6	29	44	20630	-49.8	27	20			
22	18260	-52.1	28	58	20450	-47.9	28	46	18140	-57.1	31	32	—	—	—	—	18290	-55.6	—	—	20420	-54.1	—	—			
23	18110	-47.8	27	60	20320	-49.4	27	50	18360	-54.7	—	—	20560	-53.5	—	—	18470	-52.7	30	44	20630	-55.0	30	35			
24	18030	-57.0	29	47	—	—	—	—	18140	-56.3	—	—	20250	-59.3	—	—	—	—	—	—	—	—	—	—	—	—	
25	18510	-41.9	29	36	20300	-39.3	29	35	18550	-53.0	—	—	20730	-52.5	—	—	18500	-53.2	29	26	20650	-54.0	28	22			
26	18390	-53.1	31	33	—	—	—	—	18380	-51.1	—	—	20550	-50.7	—	—	18480	-54.0	28	25	20380	-55.2	30	24			
27	18670	-50.2	32	23	20830	-46.0	32	23	18170	-52.4	26	33	20330	-55.6	27	13	18070	-61.0	29	23	20150	-62.7	29	22			
28	18320	-55.6	01	22	—	—	—	—	18260	-52.4	29	20	20430	-50.6	27	17	18480	-53.2	26	33	20040	-52.8	27	22			
29	18420	-52.2	01	37	20610	-47.7	06	45	—	—	—	—	—	—	—	18350	-54.3	28	22	20500	-54.7	26	20				
30	18400	-56.7	04	28	—	—	—	—	—	—	—	—	—	—	—	18310	-50.4	26	16	20700	-50.7	26	14				
31	18270	-61.0	35	44	20370	-60.0	31	12	—	—	—	—	—	—	—	18430	-51.6	25	15	20600	-52.4	25	15				
Moyen	18303	-54.7	—	37	20115	-51.5	—	33	18343	-57.8	—	40	20500	-56.4	—	39	18350	-53.7	—	27	20507	-53.5	—	23			

Janvier 1958

12.00 h Février 1958

12.00 h Mars 1958

12.00 h

Jour	70 mb				50 mb				70 mb				50 mb				70 mb				50 mb						
	H	t	dd	ff	H	t	dd	ff	H	t	dd	ff	H	t	dd	ff	H	t	dd	ff	H	t	dd	ff	H	t	dd
1	18040	-53.3	29	33	20140	-59.4	28	45	18390	-64.6	36	35	20420	-65.5	36	55	18610	-46.8	30	22	20350	-44.6	30	19			
2	18100	-57.7	26	34	20210	-58.0	27	36	18230	-66.3	33	48	20300	-68.0	32	33	18610	-48.4	31	16	20320	-47.6	31	16			
3	18040	-53.3	28	40	20140	-59.7	28	38	18240	-66.3	33	50	20260	-68.8	32	67	18470	-53.0	01	39	20340	-52.1	02	32			
4	18100	-56.6	29	40	20330	-55.0	29	33	17890	-74.0	30	44	19340	-71.6	30	30	18550	-50.9	35	15	20740	-50.6	30	11			
5	18560	-56.3	30	48	20690	-57.7	31	33	18340	-61.6	28	30	20420	-39.2	28	30	18530	-53.2	34	27	20715	-53.0	34	11			
6	18370	-46.0	—	—	—	—	—	—	17970	-61.2	30	55	20100	-54.9	31	48	18650	-50.0	23	40	20840	-48.4	23	40			
7	18420	-64.0	30	38	20470	-64.2	30	121	18320	-56.0	29	43	20330	-53.3	29	48	18420	-50.6	28	37	—	—	—	—	—	—	
8	18480	-55.9	32	56	20530	-54.6	32	33	18330	-53.9	28	44	20540	-55.8	28	36	18440	-48.5	27	20	—	—	—	—	—	—	
9	18340	-60.8	—	—	20450	-54.8	—	—	18430	-57.4	28	33	—	—	—	—	18500	-48.8	23	15	20760	-44.4	25	16			
10	18100	-58.6	32	40	20190	-63.6	—	—	18460	-50.7	26	32	20350	-49.7	26	30	18440	-43.9	26	26	20690	-43.0	23	20			
11	18220	-51.0	31	36	20360	-57.1	31	32	16600	-50.4	25	20	20800	-49.2	24	13	18120	-51.1	26	27	20320	-49.0	22	27			
12	18390	-52.3	31	60	20580	-51.0	32	25	—	—	—	—	—	—	—	18370	-47.6	28	36	20580	-48.8	26	13				
13	18190	-49.3	36	27	20390	-49.0	36	20	18750	-50.5	35	32	20360	-48.4	25	23	18220	-53.3	—	—	20410	-50.6	—	—			
14	18290	-55.1	35	16	20420	-56.1	33	20	18340	-60.1	26	30	—	—	—	—	18700	-46.5	—	—	20360	-45.3	—	—			
15	18560	-50.7	01	20	20740	-53.0	03	15	18780	-54.2	29	37	20350	-51.0	29	35	18530	-49.2	30	34	20720	-50.5	30	32			
16	18660	-53.6	01	12	20820	-53.7	01	17	—	—	—	—	—	—	—	18670	-47.5	31	36	20390	-47.5	31	18				
17	18730	-51.3	31	33	21000	-52.3	31	23	18390	-56.3	—	—	20560	-52.3	—	—	18470	-52.0	29	20	20630	-52.0	28	20			
18	18390	-56.5	20	33	20520	-56.8	30	53	18090	-58.2	28	32	20210	-53.3	30	33	18120	-59.0	31	17	20250	-59.0	31	15			
19	—	—	—	—	—	—	—	—	18460	-54.3	—	—	20620	-52.5	—	—	18590	-49.7	29	30	20730	-49.4	29	30			
20	17320	-63.3	28	30	19030	-54.6	28	30	18330	-54.1	31	32	20350	-43.7	28	33	18350	-49.7	29	33	20540	-50.3	29	20			
21	18120	-54.1	28	99	20300	-50.8	28	98	18340	-52.9	31	56	20500	-51.6	29	40	18530	-48.0	30	33	20730	-51.7	30	30			
22	18270	-47.4	27	40	20510	-43.7	27	54	18130	-58.1	—	—	20300	-51.1	—	—	18630	-47.9	29	30	20840	-48.6	29	23			
23	18060	-49.0	28	39	20370	-49.0	27	50	18150	-55.2	30	35	20290	-51.4	30	66	18420	-55.1	29	30	20570	-53.9	29	22			
24	18310	-44.5	29	78	20580	-44.7	26	76	18330	-55.0	28	76	20770	-54.6	28	36	18470	-52.9	29	22	20650	-52.9	30	25			
25	18690	-51.6	26	63	20310	-43.3	27	70	18300	-53.4	27	32	20480	-51.3	27	30	18610	-5									

niveaux standard

Avril 1958				00.00 h Mai 1958				00.00 h Juin 1958				00.00 h															
Jour	70 mb				50 mb				70 mb				50 mb				70 mb				50 mb						
	H	t	dd	ff	H	t	dd	ff	H	t	dd	ff	H	t	dd	ff	H	t	dd	ff	H	t	dd	ff	H	t	dd
1	18420	-51.2	31	22	20600	-52.6	31	21	18580	-57.6	02	20	20730	-56.1	02	17	18870	-54.0	18	18	20830	-55.0	18	20			
2	18600	-52.0	31	18	20780	-52.1	31	22	18730	-55.0	34	08	20870	-52.5	34	10	18840	-53.1	19	15	21000	-53.3	19	18			
3	18590	-50.8	27	20	20770	-53.5	27	20	18690	-53.6	32	20	20800	-53.6	33	11	18700	-55.0	16	09	20860	-55.4	16	09			
4	18570	-52.1	28	37	20730	-55.9	28	40	18380	-56.6	31	10	20510	-56.2	33	05	18950	-52.1	10	10	21110	-50.1	10	09			
5	18490	-52.8	27	16	20660	-56.1	29	22	18650	-55.4	33	12	20800	-53.8	34	15	18670	-56.0	23	09	20810	-54.8	28	22			
6	18245	-56.1	26	17	20850	-61.1	25	16	18410	-53.5	29	25	20520	-56.1	29	24	18750	-56.1	30	15	20940	-53.8	30	22			
7	18540	-49.7	29	28	—	—	—	—	18790	-53.5	31	17	20950	-53.0	31	16	18760	-55.6	22	06	20920	-54.0	24	09			
8	18600	-49.3	29	17	—	—	—	—	18590	-57.4	31	16	20720	-56.2	31	05	18750	-54.5	27	08	20910	-52.3	27	05			
9	18290	-52.8	31	27	20450	-53.0	30	27	—	—	—	—	18380	-58.8	—	—	18380	-58.8	—	—	20690	-57.3	—	—			
10	18330	-52.5	30	20	20500	-52.4	29	23	18730	-55.0	26	30	20920	-53.8	26	18	18680	-54.6	25	20	20530	-55.6	26	20			
11	18100	-55.8	30	16	20250	-55.0	31	12	18640	-55.7	24	30	20730	-57.1	24	30	18840	-59.4	25	22	20450	-58.5	29	11			
12	18270	-53.0	28	18	20460	-51.4	31	20	18730	-53.6	23	20	20890	-54.2	23	20	18720	-52.3	23	17	—	—	—	—			
13	—	—	—	—	—	—	—	—	18780	-52.9	25	05	21000	-54.4	25	11	18820	-47.5	13	04	21000	-46.6	00	00			
14	18490	-55.4	23	28	20030	-52.6	23	33	18530	-57.8	24	08	20650	-53.3	25	05	18850	-49.9	07	07	21030	-50.3	31	13			
15	18140	-56.8	21	33	20270	-57.6	24	28	—	—	—	—	—	—	—	18670	-54.0	33	08	20830	-54.0	34	10				
16	18550	-51.0	27	21	20740	-48.4	25	27	18300	-51.0	34	28	20980	-51.7	25	30	18710	-54.5	34	06	20870	-52.4	34	03			
17	18430	-53.4	28	15	—	—	—	—	—	—	—	—	—	—	—	19020	-50.1	35	06	21230	-47.3	00	00				
18	18480	-51.5	29	11	20670	-49.5	29	12	18540	-53.0	32	17	20650	-53.4	32	13	18880	-50.3	16	05	—	—	—	—			
19	18300	-57.2	31	17	20430	-54.6	30	17	18790	-56.0	30	17	20950	-53.7	30	14	18920	-54.5	29	10	21030	-50.9	29	12			
20	18500	-57.4	30	17	20620	-54.3	30	17	18640	-53.7	22	08	20750	-53.4	22	10	18910	-52.6	28	20	21090	-50.5	28	10			
21	18480	-53.3	29	17	20610	-53.8	30	17	18960	-51.8	22	17	21000	-50.6	22	11	18750	-52.3	27	32	20920	-51.1	27	26			
22	18520	-56.4	29	12	20660	-56.9	29	15	18590	-53.9	22	10	20750	-53.7	22	14	18730	-52.6	25	33	20910	-50.8	36	22			
23	18520	-54.6	28	07	20680	-53.4	32	10	18660	-53.1	20	13	20840	-51.9	20	13	18870	-48.4	25	27	21080	-48.2	25	15			
24	18630	-52.5	30	09	20820	-52.0	28	09	18730	-51.0	20	17	20910	-51.3	19	15	18900	-51.2	24	11	21000	-48.6	23	10			
25	18650	-52.0	26	12	20830	-51.3	26	10	—	—	—	—	—	—	—	18950	-49.2	27	23	21170	-49.1	26	10				
26	18500	-54.8	28	14	20670	-52.4	28	17	18870	-51.9	21	33	21000	-52.2	21	22	18950	-49.5	24	15	21150	-49.9	24	05			
27	18600	-51.0	27	20	20790	-51.0	26	15	18820	-53.2	20	30	21000	-53.0	20	25	18950	-50.2	23	16	21150	-48.5	22	20			
28	18660	-43.3	30	32	20860	-50.0	29	32	—	—	—	—	—	—	—	18870	-52.5	25	06	21000	-50.0	11	04				
29	18510	-56.7	—	—	20640	-56.0	—	—	18810	-52.9	21	12	20950	-54.4	20	11	18770	-56.3	11	14	20910	-57.0	11	12			
30	18280	-57.6	02	17	20520	-55.3	02	04	18680	-56.0	19	18	20820	-56.0	20	15	18810	-57.3	12	14	20930	-57.0	12	16			
31	—	—	—	—	—	—	—	—	18910	-52.4	21	22	21030	-53.4	13	11	—	—	—	—	—	—	—	—			
Moyen	18462	-53.5	—	19	20617	-53.8	—	19	18689	-54.7	—	17	20840	-54.3	—	15	18790	-53.1	—	14	20955	-52.2	—	13			

Avril 1958				12.00 h Mai 1958				12.00 h Juin 1958				12.00 h															
Jour	70 mb				50 mb				70 mb				50 mb				70 mb				50 mb						
	H	t	dd	ff	H	t	dd	ff	H	t	dd	ff	H	t	dd	ff	H	t	dd	ff	H	t	dd	ff	H	t	dd
1	18400	-53.7	30	25	20560	-54.9	30	25	18550	-56.4	36	10	20690	-56.6	36	05	18840	-54.1	16	12	21000	-54.1	16	10			
2	18660	-48.9	30	35	20560	-50.2	30	35	18700	-52.5	32	12	20880	-52.6	33	12	18810	-54.5	20	18	20900	-53.3	19	22			
3	18570	-44.7	—	—	21130	-45.9	—	—	18610	-53.3	31	13	20760	-53.3	31	10	18770	-53.0	18	10	20940	-53.0	20	10			
4	18850	-46.1	26	29	21100	-46.3	28	34	18820	-49.4	32	11	21000	-51.0	31	16	18950	-48.9	26	18	21140	-50.5	25	13			
5	18675	-47.3	28	15	—	—	—	—	18630	-56.0	—	—	20770	-56.0	—	—	18840	-52.0	31	06	21000	-52.0	31	06			
6	18750	-44.7	26	16	21000	-45.2	25	27	18690	-55.9	29	45	20840	-55.9	29	40	18860	-52.0	27	02	21000	-52.0	27	02			
7	18800	-44.5	26	22	21060	-44.5	25	17	18660	-55.4	20	30	20900	-53.0	30	12	19000	-50.7	22	07	21140	-50.7	22	05			
8	18730	-43.4	30	22	21000	-43.4	30	22	18760	-56.5	27	15	20890	-56.5	27	15	19000	-50.4	28	22	21150	-50.4	29	10			
9	18660	-45.5	30	30	20900	-45.4	30	30	18630	-57.3	—	—	20820	-56.3	—	—	18660	-54.8	28	10	20810	-54.8	28	10			
10	18460	-50.0	30	33	20650	-50.0	30	34	18960	-53.1	24	30	21130	-53.1	24	28	18850	-50.0	26	06	21050	-50.0	24	06			
11	18400	-43.0	29	23	20630	-43.0	30	20	18570	-55.0	22	30	20710	-57.5	22	30	18850	-49.0	22	07	21050	-49.0	21	05			
12	18790	-43.4	26	26	21050	-42.8	26	24	—	—	—	—	—	—	—	18700	-52.7	00	00	20870	-52.7	00	00				
13	18370	-54.0	24	32	20530	-53.6	24	23	18960	-48.7	24	17	21170	-47.3	24	12	18950	-50.6	21	03	21150	-50.6	09	00			
14	18700	-50.7	24	28	20890	-50.2	23	28	18780	-51.2	22	15	21000	-50.5	22	12	18650	-53.0	00	00	20840	-53.0	00	00			
15	18520	-49.9	25	22	20730	-48.5	25	28	18910	-47.6	24	05	21110	-49.5	24	05	19090	-45.5	33	03	21320	-46.2	33	03			
16	18580	-50.1	25	20	20770	-50.1	25	21	18700	-49.9	—	—	20960	-49.3	—	—	18920	-49.4	31	06	21100	-47.8	31	04			
17	18490	-52.0	29	20	20690	-51.2	28	11	18900	-48.9	34	13	21100	-49.4	34	13	—	—	—	—	—	—	—	—			
18	18470	-55.8	32	15	20630	-52.3	32	16	18840	-51.9	25	14	21000	-50.5	27	14	19090	-48.5	28	04	21900	-48.5	28	03			
19	18390	-56.3	31	22	—	—	—	—	18920	-54.5	25	08	21075	-54.5	24	10	18920	-50.5	30	06	21110	-47.6	30	05			
20	18630	-55.4	29	13	20840	-51.3	29	12	18965	-55.3	23	13	21115	-55.3	23	20	19120	-46.6	26	23	21360	-46.7	26	10			
21	18640	-54.6	31	15	20810	-55.0	31	16	19000	-49.7	22	18	21200	-49.7	22	18	18880	-49.8	—	—	21110	-49.7	—	—			
22	18510	-55.6	28	12	20650	-55.6	29	11	18900	-49.0	20	17	21095	-49.0	20	22	18900	-47.0	23	25	21110	-47.0	25	15			
23	18610	-51.3	32	13	20790	-51.3	32	12	18700	-53.2	22	15	20860	-53.2	16	10	18930	-46.0	24	26	21160	-46.0	24	20			
24	18610	-52.2	26	18	20790	-52.2	26	16	18840	-49.0	21	22	21040	-49.0	19	22	19000	-45.0	27	28	21210	-45.0	27	26			
25	18630	-50.0	27	11	20860	-50.0	26	12	1890																		

Observations aux

Juillet 1958

00.00 h Août 1958

00.00 h Septembre 1958

00.00 h

Jour	70 mb				50 mb				70 mb				50 mb				70 mb				70 mb			
	H	t	dd	ff	H	t	dd	ff	H	t	dd	ff	H	t	dd	ff	H	t	dd	ff	H	t	dd	ff
1	19000	-51.3	15	20	21180	-51.0	15	11	18970	-55.1	21	10	21120	-54.9	21	08	18940	-51.6	07	07	21100	-53.0	07	07
2	18920	-53.5	17	10	21000	-53.5	17	10	19020	-53.7	23	11	21190	-51.0	23	10	18730	-55.5	00	00	20880	-54.9	05	08
3	18890	-50.2	—	—	21090	-49.9	—	—	19000	-52.8	12	06	21180	-52.5	09	05	18990	-52.6	28	05	21070	-51.1	05	05
4	18870	-50.9	24	05	21000	-50.9	24	05	19030	-51.0	27	04	21210	-50.9	27	03	18720	-56.0	27	02	20840	-56.0	27	02
5	18880	-51.7	27	19	21060	-51.7	27	16	18900	-54.0	27	07	21050	-53.6	09	03	18920	-55.6	31	03	21000	-53.8	31	03
6	18850	-53.4	26	13	—	—	—	—	19000	-52.8	25	21	21160	-52.8	25	15	18840	-56.6	33	05	21000	-54.9	33	05
7	18870	-51.6	06	04	—	—	—	—	18910	-51.4	24	25	21080	-51.5	06	05	18620	-59.0	35	03	20730	-59.0	35	04
8	18920	-54.5	01	10	—	—	—	—	—	—	—	—	—	—	—	—	18770	-57.0	26	11	20900	-57.0	25	05
9	18910	-56.0	29	07	21050	-53.6	30	05	18830	-54.2	12	03	—	—	—	—	18760	-54.6	28	07	—	—	—	—
10	18910	-53.1	00	00	21070	-51.1	00	00	19040	-52.6	09	06	21210	-50.2	09	06	18750	-56.4	29	14	—	—	—	—
11	18780	-54.4	28	05	20950	-52.5	00	00	19130	-52.8	24	05	21320	-50.0	07	05	18780	-55.8	21	06	20920	-55.8	21	04
12	18870	-53.0	25	10	21030	-52.0	25	06	18860	-52.6	—	—	21000	-50.7	—	—	18720	-57.0	32	06	20850	-57.0	32	03
13	18900	-53.9	21	07	21050	-50.6	21	05	18940	-51.9	09	07	21130	-51.5	12	10	18620	-61.0	34	05	20700	-61.0	34	05
14	—	—	—	—	—	—	—	—	18760	-53.6	32	15	20930	-52.2	—	—	18860	-57.2	36	07	21000	-55.9	36	12
15	19000	-54.8	22	15	21120	-53.4	21	10	19100	-54.7	20	05	21260	-51.3	20	05	18640	-60.0	36	02	20730	-60.0	36	02
16	19000	-52.7	17	17	21140	-50.4	15	07	18890	-54.3	24	07	21070	-50.0	23	05	18570	-61.1	01	05	20660	-62.2	36	05
17	19320	-47.2	16	03	21540	-47.2	15	04	—	—	—	—	—	—	—	—	—	—	—	—	—	—	—	
18	18860	-56.6	28	10	21000	-54.8	26	05	18810	-55.6	24	08	20960	-55.0	16	05	18750	-59.5	01	08	20870	-58.5	01	05
19	19000	-53.7	24	17	21200	-51.2	13	02	18760	-54.0	20	07	20920	-52.5	19	04	18670	-58.4	33	14	20770	-59.3	33	05
20	18960	-51.9	00	00	21160	-50.7	00	00	18800	-51.5	22	06	—	—	—	—	18740	-59.7	25	05	20840	-59.5	25	09
21	18950	-54.0	23	20	21100	-54.0	28	20	18790	-51.2	22	22	20970	-52.0	23	10	18710	-58.2	24	44	20830	-57.4	24	14
22	18780	-51.6	—	—	21000	-50.8	—	—	18840	-48.9	22	08	21050	-49.3	17	05	—	—	—	—	—	—	—	—
23	18820	-50.3	24	15	21000	-48.7	24	10	—	—	—	—	—	—	—	—	18670	-58.4	29	32	20830	-66.8	29	32
24	18880	-49.5	30	54	21080	-49.5	30	50	18760	-51.8	26	15	20940	-51.8	00	00	—	—	—	—	—	—	—	—
25	—	—	—	—	—	—	—	—	18900	-52.7	26	40	21070	-52.1	26	20	18790	-58.0	29	22	20900	-58.5	29	22
26	18830	-54.3	—	—	21000	-51.8	—	—	18740	-51.9	24	11	20920	-51.2	21	11	18630	-58.3	27	22	20780	-54.0	28	20
27	18840	-52.2	29	13	21000	-49.6	30	08	—	—	—	—	—	—	—	—	18590	-56.3	30	22	20730	-54.3	30	22
28	18930	-52.0	00	00	21130	-49.6	00	00	18920	-53.8	07	03	21100	-51.5	07	02	18640	-56.4	30	17	20780	-55.8	30	14
29	18950	-53.4	11	11	21110	-53.0	09	20	18880	-54.3	24	03	21050	-54.2	24	02	18640	-56.7	29	16	20770	-56.0	31	11
30	18830	-56.3	17	05	21000	-53.0	17	03	18850	-54.7	16	04	21000	-54.0	15	03	18680	-56.5	26	17	20810	-55.7	26	14
31	19050	-53.0	24	14	21220	-51.8	12	19	18830	-53.0	09	08	21000	-52.5	06	08	—	—	—	—	—	—	—	—
Moyen	18913	-52.8	—	12	21088	-51.4	—	09	18899	-53.0	—	10	21075	-52.0	—	07	18727	-57.2	—	11	20852	-56.7	—	9

Juillet 1958

12.00 h Août 1958

12.00 h Septembre 1958

12.00 h

1	19000	-49.2	17	12	21190	-51.0	14	14	19050	-52.5	22	22	21230	-52.0	22	18	18920	-51.0	00	00	21110	-51.0	05	03
2	18990	-49.0	08	11	21200	-49.0	08	10	19110	-51.6	06	05	21280	-51.6	06	02	18890	-52.2	35	05	21050	-52.2	35	04
3	19010	-46.0	17	18	21240	-46.4	18	10	18910	-52.8	25	03	21080	-52.8	25	07	—	—	—	—	—	—	—	—
4	18930	-49.0	27	18	21130	-49.0	27	07	19070	-53.6	25	12	21190	-53.6	25	06	18750	-56.5	36	05	20880	-56.5	02	04
5	19010	-49.3	27	07	21220	-49.3	27	05	19080	-53.4	16	06	21240	-53.4	22	12	18860	-54.7	02	04	21000	-54.7	02	04
6	18920	-51.0	26	07	21110	-51.0	26	04	19000	-51.0	23	17	21180	-51.0	23	16	18940	-53.7	33	03	21100	-54.0	33	03
7	19000	-52.0	27	20	21170	-52.0	27	17	19120	-45.0	—	—	21370	-45.3	—	—	18900	-56.1	04	08	21030	-55.2	05	05
8	19130	-52.7	32	14	21290	-52.7	33	07	19090	-47.4	—	—	21320	-46.6	—	—	19050	-51.5	26	23	21230	-51.5	26	20
9	19080	-54.0	10	05	21250	-53.4	10	02	19130	-51.5	07	06	21390	-49.3	07	06	18840	-53.6	11	06	21000	-54.6	11	03
10	18810	-53.6	27	04	21000	-53.6	27	02	19100	-55.8	15	05	21230	-55.8	15	05	18930	-52.7	11	02	21100	-52.7	11	03
11	18880	-53.7	26	09	21000	-53.7	18	03	19000	-54.0	20	10	21160	-54.0	00	00	18800	-53.2	32	11	21000	-52.9	32	10
12	—	—	—	—	—	—	—	—	19030	-48.9	00	00	21290	-48.9	00	00	18340	-64.4	33	03	20400	-65.2	01	11
13	19050	-51.9	24	17	21230	-50.0	23	15	18905	-51.4	00	00	21090	-51.4	00	00	19000	-53.3	34	10	21160	-52.1	34	05
14	19130	-51.9	25	20	21340	-51.0	25	20	—	—	—	—	—	—	—	—	18830	-56.8	36	04	20960	-56.8	35	04
15	19180	-51.1	24	17	21350	-51.1	24	04	18870	-54.6	23	17	21000	-54.6	22	12	19000	-55.8	02	03	21140	-55.8	02	03
16	18950	-51.0	19	15	21130	-51.0	18	15	19090	-54.0	22	17	21270	-51.0	00	00	18650	-58.6	04	15	20760	-58.6	05	10
17	19000	-52.8	20	12	21180	-52.8	20	12	19000	-53.9	23	07	21160	-53.9	19	04	18890	-53.5	36	11	21000	-52.5	04	16
18	19100	-52.4	19	12	21330	-52.4	19	07	19070	-50.0	15	06	21250	-50.0	18	05	18790	-55.6	04	11	20930	-55.4	08	14
19	19210	-52.6	30	14	21380	-52.6	08	16	18820	-51.7	—	—	21000	-51.7	—	—	—	—	—	—	—	—	—	—
20	19150	-49.7	28	15	21350	-49.7	28	10	19090	-46.6	22	20	21320	-46.6	24	10	18930	-54.0	24	25	21100	-52.0	24	20
21	18880	-53.0	26	40	21050	-53.0	26	27	18930	-49.0	21	33	21140	-49.0	21	27	18750	-58.8	24	38	20850	-58.8	24	38
22	18950	-48.0	24	12	21160	-48.0	24	12	18960	-46.5	22	20	21180	-46.5	20	04	19000	-49.1	—	—	—	—	—	—
23	18910	-47.0	27	12	—	—	—	—	19200	-46.7	21	25	21430	-46.7	18	08	18680	-53.3	28	16	20830	-54.6	23	18
24	18880	-49.5	30	54	21080	-49.5	30	50	—	—	—	—	—	—	—	—	18920	-54.4	29	28	21100	-50.0	29	22
25	19160	-53.2	30	25	21310	-53.2	30	25	18950	-50.2	25	25	21130	-50.2	25	20	18620	-60.0	29	22	20730	-60.0	28	10
26	18950	-51.0	25	20	21140	-51.0	25	11	18920	-51.5	30	17	21100	-51.5	29	17	18820	-53.5	30	25	21000	-53.		

niveaux standard

Octobre 1958 00.00 h Novembre 1958 00.00 h Décembre 1958 00.00 h

Jour	70 mb				50 mb				70 mb				50 mb				70 mb				50 mb						
	H	t	dd	ff	H	t	dd	ff	H	t	dd	ff	H	t	dd	ff	H	t	dd	ff	H	t	dd	ff	H	t	dd
1	18640	-55.1	30	10	20790	-55.0	30	06	18430	-61.2	26	20	20430	-61.9	26	19	18370	-58.1	30	18	20490	-58.1	30	24			
2	18540	-56.7	26	06	20670	-57.0	28	06	18460	-53.5	—	—	20550	-59.7	—	—	18240	-62.0	32	44	20320	-63.0	30	28			
3	—	—	—	—	—	—	—	—	18600	-56.0	—	—	20730	-56.9	—	—	18210	-63.1	32	36	20270	-64.4	33	35			
4	18670	-56.3	24	32	20300	-56.3	21	06	18470	-56.4	31	12	20590	-59.0	30	25	18080	-63.5	35	18	21130	-66.7	03	24			
5	18570	-55.3	22	11	20720	-55.8	22	10	18380	-57.7	32	33	20510	-58.0	33	44	18340	-60.4	32	28	20430	-63.5	32	24			
6	18560	-54.0	22	19	20710	-55.1	22	17	18440	-58.7	29	22	20560	-59.5	29	33	—	—	—	—	—	—	—	—	—	—	
7	18590	-53.3	24	06	20750	-53.5	24	07	18360	-58.1	35	22	—	—	—	—	18240	-57.6	30	28	20400	-57.8	29	23			
8	18700	-55.2	27	13	20840	-54.4	27	10	18440	-60.0	05	12	20620	-61.3	04	12	18230	-58.0	30	19	20350	-60.3	29	27			
9	18660	-60.6	27	05	20730	-59.3	31	03	18330	-57.6	28	13	20450	-60.0	27	13	18230	-60.0	29	33	20340	-58.9	28	28			
10	18650	-59.1	22	11	20760	-58.4	21	17	18360	-57.0	26	15	20480	-59.0	26	16	18200	-59.5	31	38	20200	-60.5	30	55			
11	18470	-61.3	23	27	20560	-59.8	22	33	18200	-57.2	29	04	20390	-61.4	29	03	18180	-57.4	28	32	20280	-62.0	28	33			
12	18590	-55.7	24	32	20730	-55.5	25	22	18330	-55.3	26	11	20470	-56.0	25	14	18190	-54.0	30	44	20330	-56.3	29	43			
13	18650	-55.2	26	17	20800	-55.1	27	11	18320	-57.9	31	07	20140	-58.3	30	07	—	—	—	—	—	—	—	—	—	—	
14	18650	-56.8	32	23	20730	-57.7	32	40	18270	-58.6	04	06	20370	-61.2	06	05	18270	-57.5	24	24	20380	-58.3	27	32			
15	18790	-57.7	—	—	20900	-57.2	—	—	18110	-60.0	04	10	20500	-59.8	03	07	18220	-58.3	28	28	20350	-58.6	28	36			
16	18570	-58.5	—	—	20660	-64.0	—	—	18460	-59.3	07	12	20560	-61.2	07	20	18130	-56.5	27	30	20320	-57.5	26	44			
17	18450	-55.4	—	—	—	—	—	—	—	—	—	—	—	—	—	—	18370	-54.9	—	—	20480	-61.3	—	—			
18	18580	-51.2	34	25	—	—	—	—	18340	-64.2	11	12	20390	-65.7	11	12	18370	-54.4	23	22	20520	-55.3	23	34			
19	18470	-54.0	33	33	20610	-55.9	35	24	18250	-63.8	28	07	20320	-64.1	20	05	18330	-57.6	26	30	20400	-59.4	26	32			
20	18430	-55.8	35	11	20580	-54.7	35	05	18315	-63.4	25	08	20380	-64.3	25	11	18400	-58.0	22	20	20530	-59.0	22	20			
21	18510	-55.4	02	33	20650	-57.0	01	11	18450	-60.5	23	12	20530	-61.7	33	14	18220	-59.7	21	35	20320	-60.0	22	27			
22	18490	-53.6	01	28	20590	-58.2	03	10	18330	-64.0	26	10	20395	-65.5	23	15	18290	-55.4	23	33	20420	-58.0	23	33			
23	18530	-53.0	03	45	20700	-57.8	03	35	18240	-64.7	29	16	20290	-65.0	23	11	18330	-54.2	23	38	20730	-57.6	22	47			
24	18440	-62.9	36	12	20510	-62.7	36	06	18320	-64.4	29	04	20370	-65.6	30	15	18490	-55.0	23	20	20640	-57.1	30	36			
25	18600	-57.7	04	07	20790	-57.7	07	04	18120	-67.1	32	15	20130	-68.6	30	20	18400	-56.5	29	22	20520	-59.7	30	13			
26	18560	-62.9	29	22	20620	-62.9	33	10	18400	-63.0	29	13	20470	-63.3	31	12	18460	-55.6	30	26	20580	-60.0	29	25			
27	18570	-62.1	32	16	20660	-59.7	32	12	18320	-62.4	36	04	20390	-63.2	36	05	18110	-62.6	30	23	20170	-65.4	23	22			
28	18610	-58.6	33	14	20710	-53.8	33	15	18270	-63.5	09	05	20340	-62.9	01	50	18470	-59.5	33	25	20550	-64.9	30	38			
29	18540	-60.1	31	05	20640	-60.6	31	05	18370	-60.5	03	08	20460	-61.2	03	14	18350	-63.7	32	39	20380	-67.0	31	32			
30	18540	-60.5	26	15	—	—	—	—	18300	-61.4	01	11	20330	-61.3	01	11	18335	-61.6	27	33	20390	-65.4	27	43			
31	18370	-61.4	28	10	20460	-61.6	28	11	—	—	—	—	—	—	—	18270	-64.0	27	35	20315	-65.2	28	28				
Moyen	18368	-57.6	—	18	20691	-57.8	—	14	18363	-60.4	—	12	20442	-61.6	—	16	18289	-58.6	—	30	20429	-60.7	—	32			

Octobre 1958 12.00 h Novembre 1958 12.00 h Décembre 1958 12.00 h

1	18850	-50.9	19	45	21000	-50.9	19	40	18430	-57.0	28	18	20540	-57.4	26	18	18340	-57.6	31	38	20450	-61.0	31	35
2	18730	-54.8	25	21	20890	-54.8	25	21	18610	-56.5	—	—	20750	-56.5	—	—	18330	-62.8	31	32	20880	-63.0	31	37
3	18770	-53.2	11	07	20940	-53.7	11	03	18380	-56.2	29	22	20520	-56.2	30	22	18320	-61.7	34	28	20400	-64.3	36	30
4	18800	-54.0	21	16	21000	-53.8	21	08	18360	-54.7	31	18	20700	-54.2	30	20	18500	-57.2	36	33	20610	-62.2	33	39
5	18430	-56.9	23	25	20550	-56.4	23	23	18460	-54.5	30	22	20620	-54.0	31	24	18450	-53.3	31	22	20560	-59.0	30	32
6	18680	-51.3	22	20	20860	-51.3	22	12	18500	-55.2	32	22	20690	-55.0	31	18	18240	-60.0	29	34	20340	-61.2	29	27
7	18600	-54.0	23	36	20820	-54.0	23	34	18600	-55.3	32	12	20730	-55.8	33	14	18130	-60.1	29	13	20280	-60.7	32	25
8	18790	-56.3	32	08	20920	-54.6	32	13	18640	-54.2	27	15	20790	-55.0	26	02	18200	-61.6	28	22	20290	-60.7	28	30
9	18650	-58.6	23	07	20750	-58.6	27	07	18540	-53.7	25	14	20690	-54.4	27	16	18250	-58.3	—	—	20370	-55.2	—	—
10	18650	-57.0	25	23	20780	-57.0	25	10	18690	-47.2	27	17	20315	-48.9	27	12	17960	-64.7	—	—	20000	-64.3	—	—
11	18630	-55.9	23	28	20760	-55.9	24	18	18320	-55.2	03	03	20450	-56.7	03	03	13290	-55.3	28	00	20420	-56.4	28	46
12	18650	-52.4	23	22	20820	-52.4	23	12	18460	-52.8	29	14	20680	-52.3	29	08	18140	-61.1	31	43	20230	-61.4	31	40
13	18690	-52.0	30	23	20860	-52.0	30	20	18420	-53.6	29	09	20560	-54.2	28	03	18200	-58.3	—	—	20310	-58.3	—	—
14	18720	-58.0	34	33	20850	-57.0	34	23	18470	-54.8	03	11	20620	-55.5	03	03	18370	-53.2	26	23	20510	-54.4	23	23
15	18680	-53.2	31	33	20790	-55.1	31	30	18450	-58.1	06	13	—	—	—	—	13220	-59.2	29	20	20200	-60.3	29	17
16	18620	-61.4	25	55	20770	-52.1	29	46	18400	-61.2	00	00	20470	-61.9	00	00	18420	-56.7	—	—	20550	-56.3	—	—
17	18470	-49.4	33	48	20640	-53.6	33	30	18470	-59.0	10	14	20350	-61.8	16	05	18130	-62.3	—	—	20300	-58.3	—	—
18	18450	-52.2	36	20	—	—	—	—	—	—	—	—	—	—	—	—	18320	-55.6	26	33	20430	-57.4	24	40
19	18600	-51.6	01	22	20780	-51.6	01	18	18540	-57.9	20	06	20630	-60.6	26	15	18190	-59.3	25	30	20230	-59.5	25	23
20	18710	-54.0	34	10	20800	-54.0	34	05	18480	-59.4	—	—	—	—	—	—	18430	-53.2	—	—	20560	-55.9	—	—
21	18710	-51.2	02	22	20900	-51.2	01	20	18430	-60.4	21	03	20570	-61.7	21	15	18420	-53.9	21	40	20570	-57.4	21	35
22	18880	-53.3	03	33	21000	-50.0	03	11	18420	-62.7	17	07	20510	-62.7	17	05	18320	-56.5	24	33	20460	-55.5	24	39
23	18700	-56.6	04	22	20830	-54.5	05	12	18310	-63.5	23	13	20360	-63.4	27	10	18410	-55.3	23	32	20530	-61.5	26	35
24	18700	-55.4	02	10	20820	-57.3	34	09	18260	-66.2	32	05	20270	-68.9	29	15	18390	-54.2	27	26	20510	-59.5	28	23
25	18670	-57.4	03	15	20800	-57.4	29	10	18230	-65.2	30	09	20300	-67.9	29	07	18400	-54.9	26	24	20550	-57.3	27	18
26	18																							

Moyennes

Janvier 1958

Surface de pression standard (mb)	Hauteur de la surface de pression standard (en gpm)						Température ° C					Humidité relative %										
	00		12		Dies		Max.	Min.	00		12		Dies		Max.	Min.	00		12		Dies	
	n	Moy	n	Moy	n	Moy			n	Moy	n	Moy	n	Moy			n	Moy	n	Moy	n	Moy
Surface	—	—	—	—	—	—	—	—	30	-1.1	31	1.0	61	-0.1	9.2	-11.3	30	99	31	96	61	98
1000	30	152	31	150	61	151	268	586	—	—	—	—	—	—	—	—	—	—	—	—	—	—
850	30	1447	31	1453	61	1450	1570	1230	30	-1.8	31	-1.6	61	-1.7	5.7	-9.2	30	85	31	85	61	85
700	30	2969	31	2980	61	2975	3140	2770	30	-8.9	31	-8.1	61	-8.5	-1.1	-18.7	30	63	31	64	61	64
500	30	5500	31	5515	61	5508	5730	5240	30	-25.0	31	-24.2	61	-24.6	-16.2	-36.4	30	57	31	59	61	58
400	30	7083	31	7104	61	7094	7360	6780	30	-36.2	31	-35.1	61	-35.7	-25.2	-49.4	30	56	31	56	61	56
300	30	9027	31	9057	61	9042	9370	8670	30	-48.5	31	-47.5	61	-48.0	-39.1	-57.0	—	—	—	—	—	—
200	30	11630	30	11673	60	11652	12000	11260	30	-57.4	30	-55.7	60	-56.6	-45.6	-66.9	—	—	—	—	—	—
150	30	13448	30	13512	60	13480	13900	13080	30	-55.8	30	-54.0	60	-54.9	-46.0	-63.7	—	—	—	—	—	—
100	26	16025	30	16122	56	16074	16600	15730	26	-56.2	30	-53.8	56	-55.0	-46.5	-62.7	—	—	—	—	—	—
70	22	18303	30	18410	52	18357	18960	17820	22	-54.7	30	-53.7	52	-54.2	-41.9	-64.0	—	—	—	—	—	—
50	17	20445	29	20559	46	20502	21160	19930	17	-54.5	29	-52.4	46	-53.5	-37.6	-65.9	—	—	—	—	—	—

Février 1958

Surface de pression standard (mb)	Hauteur de la surface de pression standard (en gpm)						Température ° C					Humidité relative %										
	00		12		Dies		Max.	Min.	00		12		Dies		Max.	Min.	00		12		Dies	
	n	Moy	n	Moy	n	Moy			n	Moy	n	Moy	n	Moy			n	Moy	n	Moy	n	Moy
Surface	—	—	—	—	—	—	—	—	27	2.5	27	4.8	54	3.7	15.8	-5.8	27	95	27	90	54	93
1000	27	144	27	147	54	146	290	547	—	—	—	—	—	—	—	—	—	—	—	—	—	—
850	27	1453	27	1467	54	1463	1635	1280	27	0.9	27	1.0	54	1.0	10.6	-11.4	27	79	27	76	54	78
700	27	2995	27	3001	54	2998	3210	2805	27	-7.2	27	-7.3	54	-7.3	0.8	-20.5	27	76	27	74	54	75
500	27	5545	27	5551	54	5548	5810	5260	27	-22.2	27	-22.3	54	-22.3	-16.0	-35.5	27	76	27	78	54	77
400	27	7147	27	7155	54	7151	7445	6810	27	-33.4	27	-33.1	54	-33.3	-25.1	-40.7	27	69	27	71	54	70
300	27	9106	27	9114	54	9110	9440	8730	27	-46.9	27	-46.8	54	-46.9	-37.1	-52.4	—	—	—	—	—	—
200	27	11711	27	11709	54	11710	12060	11380	27	-58.0	27	-58.2	54	-58.1	-46.3	-72.0	—	—	—	—	—	—
150	27	13528	26	13528	53	13528	13890	13250	27	-56.2	26	-55.8	53	-56.0	-46.9	-72.0	—	—	—	—	—	—
100	27	16094	26	16103	53	16099	16490	15800	27	-57.0	26	-56.6	53	-56.8	-50.0	-73.8	—	—	—	—	—	—
70	25	18348	26	18364	51	18356	18780	17890	25	-57.8	26	-56.6	51	-57.2	-47.8	-74.0	—	—	—	—	—	—
50	21	20500	24	20503	45	20502	20960	20100	21	-56.4	24	-54.5	45	-55.5	-45.0	-71.6	—	—	—	—	—	—

Mars 1958

Surface de pression standard (mb)	Hauteur de la surface de pression standard (en gpm)						Température ° C					Humidité relative %										
	00		12		Dies		Max.	Min.	00		12		Dies		Max.	Min.	00		12		Dies	
	n	Moy	n	Moy	n	Moy			n	Moy	n	Moy	n	Moy			n	Moy	n	Moy	n	Moy
Surface	—	—	—	—	—	—	—	—	31	0.0	31	3.7	62	1.9	12.0	-7.5	31	96	31	83	62	89
1000	31	110	31	103	62	107	226	507	—	—	—	—	—	—	—	—	—	—	—	—	—	—
850	31	1410	31	1409	62	1410	1525	1285	31	-2.8	31	-1.7	62	-2.3	6.1	-10.3	31	85	31	86	62	85
700	31	2930	31	2933	62	2932	3060	2750	31	-10.1	31	-9.3	62	-9.7	-2.5	-20.6	31	71	31	71	62	71
500	31	5448	31	5461	62	5455	5645	5175	31	-25.6	31	-24.3	62	-25.0	-17.7	-39.4	31	61	31	60	62	60
400	31	7028	31	7052	62	7040	7270	6685	31	-36.6	31	-35.3	62	-36.0	-27.1	-49.5	31	60	31	60	62	60
300	31	8974	31	9003	62	8989	9320	8060	31	-48.8	31	-46.9	62	-47.9	-40.2	-56.4	—	—	—	—	—	—
200	30	11588	31	11638	61	11613	11880	11240	30	-54.1	31	-51.8	61	-53.0	-42.0	-63.6	—	—	—	—	—	—
150	30	13445	31	13515	61	13480	13700	13130	30	-52.2	31	-49.3	61	-50.8	-42.0	-63.0	—	—	—	—	—	—
100	29	16061	31	16168	60	16115	16360	15740	29	-53.3	31	-50.1	60	-51.7	-43.8	-60.4	—	—	—	—	—	—
70	28	18350	31	18498	59	18424	18730	18100	28	-53.7	31	-49.8	59	-51.3	-43.8	-61.0	—	—	—	—	—	—
50	28	20507	29	20702	57	20605	20930	20230	27	-53.5	29	-49.7	56	-51.6	-44.4	-62.7	—	—	—	—	—	—

Avril 1958

Surface de pression standard (mb)	Hauteur de la surface de pression standard (en gpm)						Température ° C					Humidité relative %										
	00		12		Dies		Max.	Min.	00		12		Dies		Max.	Min.	00		12		Dies	
	n	Moy	n	Moy	n	Moy			n	Moy	n	Moy	n	Moy			n	Moy	n	Moy	n	Moy
Surface	—	—	—	—	—	—	—	—	30	3.8	29	8.3	59	6.1	18.7	-0.3	30	97	29	80	59	88
1000	30	133	29	128	59	131	226	20	—	—	—	—	—	—	—	—	—	—	—	—	—	—
850	30	1453	29	1454	59	1454	1575	1345	30	0.0	29	0.8	59	0.4	7.5	-8.1	30	92	29	84	59	88
700	30	2984	29	2992	59	2988	3125	2880	30	-8.7	29	-7.6	59	-8.2	0.8	-17.4	30	74	29	71	59	72
500	30	5517	29	5541	59	5529	5785	5330	30	-23.9	29	-22.1	59	-23.0	-15.1	-35.8	30	67	29	58	59	62
400	30	7110	29	7146	59	7128	7425	6865	30	-35.5	29	-33.0	59	-34.3	-27.4	-44.4	30	66	29	51	59	58
300	30	9053	29	9112	59	9083	9430	8780	30	-48.9	29	-46.3	59	-47.6	-40.6	-56.9	—	—	—	—	—	—
200	30	11673	29	11759	59	11716	12100	11370	30	-53.9	29	-52.1	59	-53.0	-41.6	-64.6	—	—	—	—	—	—
150	30	13531	29	13628	59	13580	13940	13180	30	-52.3	29	-50.5	59	-51.4	-42.4	-59.7	—	—	—	—	—	—
100	30	16149	29	16281	59	16215	16540	15700	30	-53.5	29	-50.3	59	-51.9	-42.8	-62.0	—	—	—	—	—	—
70	29	18462	29	18607	58	1835	18870	18100	29	-53.5	29	-50.4	58	-52.0	-43.4	-57.6	—	—	—	—	—	—
50	26	20617	27	20809	53	20713	21130	20250	26	-53.8	27	-50.0	53	-51.9	-42.8	-61.1	—	—	—	—	—	—

mensuelles

Mai 1958

Surface de pression standard (mb)	Hauteur de la surface de pression standard (en gpm)						Température ° C						Humidité relative %									
	00		12		Dies		Max.	Min.	00		12		Dies		Max.	Min.	00		12		Dies	
	n	Moy	n	Moy	n	Moy			n	Moy	n	Moy	n	Moy			n	Moy	n	Moy	n	Moy
Surface 1000	30	155	31	148	61	152	242	023	30	11.4	31	17.6	61	14.5	24.4	6.3	30	94	31	73	61	84
850	30	1517	31	1523	61	1520	1600	1355	30	9.3	31	10.0	61	9.7	19.4	-0.2	30	76	31	66	61	71
700	30	3100	31	3109	61	3105	3185	2880	30	-0.5	31	0.2	61	-0.2	5.2	-8.3	30	71	31	67	61	69
500	30	5712	31	5728	61	5720	5855	5415	30	-15.9	31	-15.5	61	-15.7	-9.5	-23.1	30	49	31	61	61	55
400	30	7358	31	7377	61	7368	7550	7050	30	-27.1	31	-26.3	61	-26.7	-20.8	-33.7	30	49	31	53	61	51
300	30	9364	31	9391	61	9378	9590	9020	30	-42.7	31	-41.3	61	-42.0	-35.2	-50.5						
200	30	11998	31	12051	61	12025	12285	11770	30	-57.1	31	-55.6	61	-56.4	-40.8	-65.0						
150	29	13819	30	13880	59	13850	14120	13570	29	-55.4	30	-53.9	59	-54.7	-44.2	-65.0						
100	29	16404	30	16499	59	16452	16665	16120	29	-54.6	30	-52.0	59	-53.3	-46.8	-61.4						
70	26	18689	30	18815	56	18752	19000	18380	26	-54.7	30	-52.0	56	-53.4	-47.6	-58.7						
50	26	20840	30	20989	56	20915	21200	20530	26	-54.3	30	-52.0	56	-53.2	-47.3	-58.4						

Juin 1958

Surface de pression standard (mb)	Hauteur de la surface de pression standard (en gpm)						Température ° C						Humidité relative %									
	00		12		Dies		Max.	Min.	00		12		Dies		Max.	Min.	00		12		Dies	
	n	Moy	n	Moy	n	Moy			n	Moy	n	Moy	n	Moy			n	Moy	n	Moy	n	Moy
Surface 1000	30	136	29	126	59	131	197	520	30	11.7	29	17.8	59	14.8	25.5	8.4	30	90	29	64	59	77
850	30	1500	29	1500	59	1500	1585	1360	30	9.2	29	9.3	59	9.3	16.2	2.6	30	78	29	70	59	74
700	30	3080	29	3080	59	3080	3175	2935	30	-0.4	29	0.2	59	-0.1	6.4	-6.0	30	70	29	60	59	65
500	30	5698	29	5705	59	5702	5845	5490	30	-15.1	29	-14.7	59	-14.9	-9.9	-20.2	30	53	29	45	59	49
400	30	7350	29	7359	59	7355	7540	7220	30	-25.9	29	-25.0	59	-25.5	-19.2	-32.4	30	52	29	50	59	51
300	30	9364	29	9383	59	9374	9610	9130	30	-41.2	29	-40.6	59	-40.9	-33.4	-47.0						
200	30	12021	29	12053	59	12037	12260	11730	30	-54.0	29	-52.3	59	-53.2	-40.6	-63.6						
150	30	13872	29	13927	59	13900	14110	13570	30	-53.0	29	-50.2	59	-51.6	-43.7	-61.8						
100	30	16489	29	16569	59	16529	16780	16110	30	-52.5	29	-50.0	59	-51.3	-45.8	-58.6						
70	30	18790	28	18898	58	18844	19120	18340	30	-53.1	28	-50.3	58	-51.7	-43.7	-59.4						
50	28	20955	28	21082	56	21019	21360	20450	28	-52.2	28	-50.2	56	-51.2	-45.0	-58.5						

Juillet 1958

Surface de pression standard (mb)	Hauteur de la surface de pression standard (en gpm)						Température ° C						Humidité relative %									
	00		12		Dies		Max.	Min.	00		12		Dies		Max.	Min.	00		12		Dies	
	n	Moy	n	Moy	n	Moy			n	Moy	n	Moy	n	Moy			n	Moy	n	Moy	n	Moy
Surface 1000	31	146	31	135	62	141	216	047	31	15.1	31	21.3	61	18.2	27.0	10.4	31	93	31	64	62	79
850	31	1524	30	1527	61	1526	1600	1415	31	11.9	30	12.5	61	12.2	21.5	4.4	31	81	30	72	61	77
700	31	3120	30	3128	61	3124	3230	2995	31	2.3	30	3.0	61	2.7	9.3	-3.2	31	76	30	66	61	71
500	31	5761	30	5776	61	5769	5935	5600	31	-13.1	30	-12.1	61	-12.6	-6.4	-19.9	31	49	30	44	61	47
400	30	7423	30	7447	60	7435	7650	7240	30	-24.2	30	-22.8	60	-23.5	-16.2	-29.7	30	41	30	37	60	39
300	30	9459	30	9497	60	9478	9770	9220	30	-38.7	30	-37.0	60	-37.9	-30.7	-46.6						
200	30	12150	30	12210	60	12180	12510	11910	30	-51.9	30	-49.6	60	-50.9	-42.5	-60.1						
150	30	14009	30	14085	60	14047	14380	13860	30	-52.9	30	-51.1	60	-52.0	-42.2	-59.9						
100	30	16620	30	16717	60	16669	17000	16480	30	-54.5	30	-52.1	60	-53.3	-45.4	-59.8						
70	29	18913	29	19020	58	18967	19320	18780	29	-52.8	29	-51.3	58	-52.1	-46.0	-59.8						
50	26	21088	28	21206	54	21147	21540	20950	26	-51.4	28	-51.4	54	-51.4	-46.4	-54.8						

Août 1958

Surface de pression standard (mb)	Hauteur de la surface de pression standard (en gpm)						Température ° C						Humidité relative %									
	00		12		Dies		Max.	Min.	00		12		Dies		Max.	Min.	00		12		Dies	
	n	Moy	n	Moy	n	Moy			n	Moy	n	Moy	n	Moy			n	Moy	n	Moy	n	Moy
Surface 1000	31	141	31	132	62	137	215	21	31	15.1	31	21.2	62	18.2	26.3	10.4	31	87	31	61	62	74
850	31	1517	31	1522	62	1520	1595	1380	31	12.5	31	13.7	62	13.1	23.5	3.0	31	72	31	60	62	66
700	31	3119	31	3128	62	3124	3230	2955	31	2.9	31	4.2	62	3.6	12.4	-7.0	31	69	31	57	62	63
500	31	5765	31	5784	62	5775	5920	5590	31	-12.9	31	-11.7	62	-12.3	-6.9	-22.5	31	55	31	55	62	55
400	31	7432	31	7459	62	7446	7595	7200	31	-23.8	31	-22.2	62	-23.0	-17.2	-30.0	31	47	31	46	62	46
300	31	9473	31	9516	62	9495	9670	9230	31	-38.4	31	-36.6	62	-37.5	-31.9	-46.6						
200	31	12163	31	12223	62	12193	12420	11880	31	-52.4	31	-51.2	62	-51.8	-42.5	-58.0						
150	31	14011	31	14082	62	14047	14260	13770	31	-54.5	31	-52.9	62	-53.7	-43.9	-63.7						
100	30	16607	31	16703	61	16655	16840	16420	30	-54.5	31	-52.0	61	-53.3	-44.5	-59.0						
70	27	18899	29	19023	56	18961	19200	18740	27	-53.0	29	-51.3	56	-52.2	-45.0	-55.8						
50	25	21075	29	21204	54	21140	21330	20920	25	-52.0	29	-51.1	54	-51.6	-45.3	-55.8						

Moyennes

Septembre 1958

Surface de pression standard (mb)	Hauteur de la surface de pression standard (en gpm)						Température ° C					Humidité relative %										
	00		12		Dies		Max.	Min.	00		12		Dies		Max.	Min.	00		12		Dies	
	n	Moy	n	Moy	n	Moy			n	Moy	n	Moy	n	Moy			n	Moy	n	Moy	n	Moy
Surface	—	—	—	—	—	—	—	—	30	13.3	30	19.0	60	16.2	24.0	5.6	30	92	30	70	60	81
1000	30	167	30	158	60	163	217	040	—	—	—	—	—	—	—	—	—	—	—	—	—	—
850	30	1534	30	1535	60	1535	1595	1415	30	11.4	30	12.4	60	11.9	19.8	3.8	30	79	30	61	60	70
700	30	3125	30	3130	60	3128	3215	3000	30	2.4	30	3.0	60	2.7	8.5	-5.0	30	60	30	51	60	55
500	30	5768	30	5779	60	5774	5905	5650	30	-13.0	30	-12.1	60	-12.6	-8.2	-16.0	30	41	30	38	60	40
400	30	7430	30	7147	60	7439	7590	7300	30	-24.7	30	-23.4	60	-24.1	-16.0	-27.4	30	46	30	38	60	42
300	30	9460	30	9489	60	9475	9690	9355	30	-39.7	30	-38.8	60	-39.3	-33.1	-43.6	—	—	—	—	—	—
200	30	12120	30	12156	60	12138	12400	11940	30	-57.1	30	-56.1	60	-56.6	-50.1	-62.9	—	—	—	—	—	—
150	30	13925	30	13972	60	13949	14200	13770	30	-59.2	30	-57.9	60	-58.6	-50.0	-72.8	—	—	—	—	—	—
100	29	16472	30	16541	59	16507	16740	16190	29	-58.2	30	-56.2	59	-57.2	-51.0	-68.5	—	—	—	—	—	—
70	27	18727	28	18816	55	18772	19050	18340	27	-57.2	28	-55.1	55	-56.2	-49.1	-61.1	—	—	—	—	—	—
50	25	20852	27	20953	52	20903	21220	20400	25	-56.7	27	-55.1	52	-55.9	-51.0	-65.2	—	—	—	—	—	—

Octobre 1958

Surface de pression standard (mb)	Hauteur de la surface de pression standard (en gpm)						Température ° C					Humidité relative %										
	00		12		Dies		Max.	Min.	00		12		Dies		Max.	Min.	00		12		Dies	
	n	Moy	n	Moy	n	Moy			n	Moy	n	Moy	n	Moy			n	Moy	n	Moy	n	Moy
Surface	—	—	—	—	—	—	—	—	31	7.0	31	10.0	62	8.5	17.1	1.0	31	98	31	89	62	94
1000	31	195	31	194	62	195	288	003	—	—	—	—	—	—	—	—	—	—	—	—	—	—
850	31	1526	31	1532	62	1529	1615	1300	31	5.2	31	5.4	62	5.3	13.9	-3.1	31	78	31	73	62	75
700	31	3085	31	3093	62	3099	3205	2915	31	-3.0	31	-2.5	62	-2.8	5.8	-13.8	31	63	31	58	62	60
500	31	5674	31	5688	62	5681	5835	5460	31	-18.2	31	-17.6	62	-17.9	-10.2	-31.0	31	45	31	40	62	43
400	31	7303	31	7321	62	7312	7495	7030	31	-29.7	31	-28.9	62	-29.3	-20.4	-42.0	31	48	31	43	62	45
300	31	9294	31	9323	62	9309	9530	8900	31	-44.1	31	-42.6	62	-43.4	-35.7	-49.3	—	—	—	—	—	—
200	31	11931	31	11979	62	11955	12200	11600	31	-55.1	31	-54.1	62	-54.6	-47.3	-64.1	—	—	—	—	—	—
150	31	13709	31	13815	62	13787	14040	13000	31	-56.9	31	-55.4	62	-56.2	-47.9	-64.8	—	—	—	—	—	—
100	31	16318	31	16399	62	16359	16570	16130	31	-58.3	31	-55.8	62	-57.1	-49.1	-65.6	—	—	—	—	—	—
70	30	18568	31	18670	61	18619	18800	18370	30	-57.5	31	-55.2	61	-56.4	-51.2	-62.9	—	—	—	—	—	—
50	27	20691	30	20820	57	20756	21000	20460	27	-57.8	30	-54.7	57	-56.3	-50.0	-64.0	—	—	—	—	—	—

Novembre 1958

Surface de pression standard (mb)	Hauteur de la surface de pression standard (en gpm)						Température ° C					Humidité relative %										
	00		12		Dies		Max.	Min.	00		12		Dies		Max.	Min.	00		12		Dies	
	n	Moy	n	Moy	n	Moy			n	Moy	n	Moy	n	Moy			n	Moy	n	Moy	n	Moy
Surface	—	—	—	—	—	—	—	—	30	4.1	29	5.1	59	4.6	9.6	1.4	30	99	29	95	59	97
1000	30	173	29	172	50	173	298	063	—	—	—	—	—	—	—	—	—	—	—	—	—	—
850	30	1489	29	1490	59	1490	1500	1365	30	2.3	29	2.6	59	2.5	9.3	-3.0	30	83	29	80	59	81
700	30	3037	29	3039	59	3038	3160	2890	30	-4.4	29	-3.9	59	-4.2	2.1	-12.4	30	64	29	61	59	63
500	30	5611	29	5613	59	5612	5770	5435	30	-21.0	29	-20.7	59	-20.9	-14.1	-26.9	30	61	29	54	59	57
400	30	7216	29	7220	59	7218	7400	7000	30	-33.5	29	-32.9	59	-33.2	-26.5	-39.8	30	59	29	50	59	55
300	30	9166	29	9185	59	9176	9390	8930	30	-48.7	29	-47.2	59	-48.0	-41.4	-54.8	—	—	—	—	—	—
200	30	11765	29	11795	59	11780	11970	11540	30	-58.1	29	-56.9	59	-57.5	-47.9	-67.9	—	—	—	—	—	—
150	30	13578	29	13619	59	13599	13750	13400	30	-57.2	29	-56.0	59	-56.6	-46.9	-64.8	—	—	—	—	—	—
100	30	16133	29	16192	59	16163	16350	15960	30	-59.0	29	-57.1	59	-58.1	-46.7	-65.7	—	—	—	—	—	—
70	29	18363	29	18446	58	18405	18690	18120	29	-60.4	29	-58.1	58	-59.3	-47.2	-67.6	—	—	—	—	—	—
50	28	20442	27	20554	55	20498	20915	20130	28	-61.6	27	-58.9	55	-60.3	-48.9	-68.9	—	—	—	—	—	—

Décembre 1958

Surface de pression standard (mb)	Hauteur de la surface de pression standard (en gpm)						Température ° C					Humidité relative %										
	00		12		Dies		Max.	Min.	00		12		Dies		Max.	Min.	00		12		Dies	
	n	Moy	n	Moy	n	Moy			n	Moy	n	Moy	n	Moy			n	Moy	n	Moy	n	Moy
Surface	—	—	—	—	—	—	—	—	31	1.9	31	3.3	62	2.6	9.0	-4.2	31	92	31	89	62	90
1000	31	90	31	90	62	90	229	604	—	—	—	—	—	—	—	—	—	—	—	—	—	—
850	30	1405	31	1409	61	1407	1545	1225	30	0.9	31	1.0	61	1.0	9.1	-7.8	30	79	31	77	61	78
700	30	2949	31	2943	61	2946	3115	2717	30	-6.1	31	-5.7	61	-5.9	0.5	-11.9	30	61	31	57	61	59
500	30	5505	31	5509	61	5507	5730	5275	30	-22.6	31	-21.6	61	-22.1	-14.9	-31.0	30	57	31	50	61	54
400	30	7100	31	7111	61	7106	7375	6300	30	-34.9	31	-33.9	61	-34.4	-24.2	-43.1	30	61	31	49	61	55
300	30	9051	31	9068	61	9060	9370	8750	30	-48.6	31	-48.0	61	-48.3	-40.9	-56.3	—	—	—	—	—	—
200	30	11657	31	11680	61	11669	12070	11390	30	-57.3	31	-56.3	61	-56.8	-44.3	-66.6	—	—	—	—	—	—
150	30	13475	31	13509	61	13492	13900	13230	30	-56.7	31	-55.3	61	-56.0	-46.8	-66.2	—	—	—	—	—	—
100	30	16042	31	16087	61	16065	16480	15770	30	-57.7	31	-56.9	61	-57.3	-50.3	-65.1	—	—	—	—	—	—
70	29	18289	31	18371	60	18330	18680	17960	29	-58.6	31	-58.8	60	-58.7	-53.2	-64.7	—	—	—	—	—	—
50	29	20429	30	20432	59	20431	21130	20170	29	-60.7	30	-59.8	59	-60.3	-55.2	-67.0	—	—	—	—	—	—

mensuelles

Janvier 1958

Surface de pression standard (mb)	Vecteur du vent moyen								
	00		12		Dies				
	n	dd	ff	n	dd	ff	n	dd	ff
Surface 1000	30	217	02	31	212	03	61	214	03
850	30	256	09	31	248	08	61	252	08
700	30	287	10	31	288	12	61	287	11
500	30	307	16	31	294	16	61	301	16
400	30	309	22	31	307	19	61	308	20
300	29	323	20	30	313	21	59	318	20
200	29	314	28	28	318	23	57	316	25
150	29	309	30	27	317	27	56	313	28
100	26	305	25	27	305	33	53	305	29
70	21	308	30	27	302	37	48	305	33
50	16	302	25	26	299	38	42	300	32

Février 1958

Surface de pression standard (mb)	Vecteur du vent moyen								
	00		12		Dies				
	n	dd	ff	n	dd	ff	n	dd	ff
Surface 1000	27	231	05	27	241	06	54	237	06
850	26	238	18	26	241	14	52	240	16
700	26	273	19	26	272	20	52	272	20
500	26	297	22	27	280	25	53	288	23
400	26	293	25	27	289	26	53	291	25
300	25	283	35	26	285	33	51	284	34
200	23	289	33	25	286	33	48	287	33
150	22	283	30	25	289	34	47	286	32
100	21	285	32	25	287	30	46	286	31
70	19	292	34	23	287	33	42	289	34
50	14	282	34	21	291	31	35	287	32

Mars 1958

Surface de pression standard (mb)	Vecteur du vent moyen								
	00		12		Dies				
	n	dd	ff	n	dd	ff	n	dd	ff
Surface 1000	31	00	00	31	345	02	62	345	01
850	31	262	02	31	238	03	62	247	03
700	31	297	07	31	288	09	62	292	07
500	31	307	18	31	302	17	62	305	18
400	31	310	24	31	304	25	62	307	24
300	31	306	31	31	299	28	62	302	30
200	30	304	28	31	290	36	61	295	31
150	30	296	27	31	297	31	61	296	29
100	29	293	27	29	289	25	58	291	26
70	27	295	22	29	290	24	56	292	23
50	26	290	20	27	286	19	53	288	20

Avril 1958

Surface de pression standard (mb)	Vecteur du vent moyen								
	00		12		Dies				
	n	dd	ff	n	dd	ff	n	dd	ff
Surface 1000	30	00	00	29	18	02	59	25	01
850	30	16	04	29	06	02	59	12	03
700	30	301	04	29	328	02	59	309	03
500	30	320	13	29	348	08	59	330	10
400	30	322	16	29	340	11	59	329	13
300	30	314	17	29	338	14	59	325	15
200	29	300	17	29	314	16	58	307	16
150	29	297	19	29	300	17	58	298	18
100	29	279	18	28	287	18	57	283	18
70	28	284	17	28	287	18	56	285	18
50	25	282	18	26	280	17	51	281	17

Mai 1958

Surface de pression standard (mb)	Vecteur du vent moyen								
	00		12		Dies				
	n	dd	ff	n	dd	ff	n	dd	ff
Surface 1000	30	210	02	31	270	01	61	235	02
850	29	236	07	31	230	10	60	232	09
700	30	229	13	31	234	15	61	232	14
500	30	243	21	31	238	24	61	240	23
400	30	242	25	31	245	28	61	244	27
300	30	250	26	31	238	33	61	243	29
200	30	253	30	31	250	33	61	251	31
150	29	255	27	29	243	30	58	253	28
100	28	254	17	29	241	20	57	246	18
70	26	250	11	27	235	14	53	240	13
50	26	249	10	27	228	14	53	236	12

Juin 1958

Surface de pression standard (mb)	Vecteur du vent moyen								
	00		12		Dies				
	n	dd	ff	n	dd	ff	n	dd	ff
Surface 1000	30	220	01	29	323	02	59	286	02
850	29	235	07	29	249	04	58	240	05
700	30	253	11	29	242	12	59	248	12
500	30	263	17	29	259	16	59	261	16
400	30	264	22	29	263	22	59	264	22
300	30	262	31	29	261	24	59	262	27
200	29	263	37	29	263	36	58	263	36
150	29	271	26	29	265	30	58	268	28
100	29	258	17	29	257	13	58	258	15
70	29	245	08	27	241	09	56	242	09
50	27	248	07	27	231	05	54	240	06

Juillet 1958

Surface de pression standard (mb)	Vecteur du vent moyen								
	00		12		Dies				
	n	dd	ff	n	dd	ff	n	dd	ff
Surface 1000	31	209	02	31	246	02	62	231	02
850	30	241	07	30	243	07	60	241	07
700	31	244	13	30	240	14	61	243	13
500	31	262	18	30	256	18	61	259	18
400	30	264	21	30	259	22	60	261	22
300	30	274	29	30	267	29	60	270	28
200	30	265	31	30	263	35	60	264	33
150	30	261	36	30	267	35	60	264	36
100	30	257	19	30	248	23	60	252	21
70	26	249	07	28	270	11	54	261	09
50	22	243	04	27	254	06	49	250	05

Août 1958

Surface de pression standard (mb)	Vecteur du vent moyen								
	00		12		Dies				
	n	dd	ff	n	dd	ff	n	dd	ff
Surface 1000	31	219	01	31	240	02	62	236	01
850	31	242	10	31	230	09	62	236	09
700	31	241	17	31	232	13	62	236	15
500	31	255	23	31	254	22	62	255	23
400	31	255	26	31	261	26	62	258	26
300	31	258	34	31	260	33	62	259	33
200	30	258	36	31	264	35	61	261	36
150	30	256	29	31	258	31	61	257	30
100	29	245	18	31	247	16	60	236	16
70	26	236	06	26	222	09	52	228	07
50	24	222	02	26	220	05	50	220	04

Septembre 1958

Surface de pression standard (mb)	Vecteur du vent moyen								
	00		12		Dies				
	n	dd	ff	n	dd	ff	n	dd	ff
Surface 1000	30	225	01	30	302	01	60	278	01
850	30	244	04	30	228	07	60	234	06
700	30	268	09	30	256	12	60	261	10
500	30	282	18	30	266	18	60	275	18
400	30	282	23	30	272	20	60	278	21
300	30	283	27	30	276	28	60	279	27
200	29	294	30	30	284	33	59	289	31
150	29	285	25	29	238	29	58	287	27
100	28	295	14	29	291	16	57	292	15
70	27	291	09	27	299	08	54	295	09
50	25	300	07	27	295	06	52	298	06

Octobre 1958

Surface de pression standard (mb)	Vecteur du vent moyen								
	00		12		Dies				
	n	dd	ff	n	dd	ff	n	dd	ff
Surface 1000	31	226	01	31	210	02	62	215	02
850	31	247	03	31	282	04	62	268	03
700	31	249	05	30	277	06	61	264	05
500	31	309	07	31	322	10	62	316	08
400	31	318	08	31	335	12	62	327	10
300	31	320	12	31	321	14	62	320	13
200	28	274	15	31	332	15	59	306	15
150	28	294	06	31	307	17	59	305	12
100	28	321	09	31	299	12	59	307	10
70	27	309	10	31	294	11	58	301	10
50	25	302	06	30	289	10	55	294	08

Novembre 1958

Surface de pression standard (mb)	Vecteur du vent moyen								
	00		12		Dies				
	n	dd	ff	n	dd	ff	n	dd	ff
Surface 1000	30	00	00	29	62	01	59	60	01
850	30	84	02	29	40	02	59	59	02
700	30	129	02	29	127	02	59	128	02
500	30	147	03	29	142	02	59	145	03
400	30	155	03	29	151	04	59	153	04
300	30	177	05	29	168	07	59	172	06
200	29	162	02	29	352	03	58	11	01
150	30	337	02	27	248	02	57	291	02
100	29	320	05	27	284	04	56	304	05
70	27	317	05	27	304	07	54	310	07
50	26	317	10	26	292	08	52	306	09

Décembre 1958

Surface de pression standard (mb)	Vecteur du vent moyen					
	00		12		Dies	
	n	dd	ff	n	dd	

Moyennes

Janvier 1958

Vitesse du vent (ff) m

00.00 h

Surface de pression standard (mb)	Vent ndd, (ff)m 00														n C											
	N		30°		60°		E		120°		150°		S			210°		240°		W		300°		330°		
	n	n	n	n	n	n	n	n	n	n	n	n	n	n		n	n	n	n	n	n	n	n	n	n	n
Surface	—	—	2	9	1	7	1	8	—	—	—	—	—	—	6	11	3	13	—	—	—	—	—	—	—	17
1000	—	—	—	—	—	—	—	—	—	—	—	—	—	—	—	—	—	—	—	—	—	—	—	—	—	
850	—	—	—	—	2	15	5	15	—	—	—	—	—	—	—	—	—	—	—	—	—	—	—	—	—	
700	—	—	1	11	2	25	3	21	—	—	3	4	—	—	2	5	10	19	6	25	2	23	—	—	3	
500	1	8	1	24	3	26	3	22	—	—	1	32	—	—	1	32	4	20	4	32	7	37	5	47	—	
400	1	66	2	29	2	85	1	19	1	33	2	40	—	—	2	27	—	—	7	29	7	54	5	50	—	
300	1	99	2	43	1	33	2	53	2	27	1	50	—	—	1	28	1	32	7	35	4	40	7	50	—	
200	2	23	2	45	1	40	3	33	1	38	—	—	—	—	1	44	1	11	5	55	8	47	5	66	—	
150	2	30	2	15	4	28	—	—	—	—	—	—	—	—	—	—	—	—	6	47	9	47	5	48	—	
100	3	22	2	19	3	22	—	—	—	—	—	—	—	—	—	—	—	—	6	44	9	38	3	30	—	
70	4	31	2	25	—	—	—	—	—	—	—	—	—	—	—	—	—	—	6	44	5	42	4	34	—	
50	—	—	1	12	1	45	—	—	—	—	—	—	—	—	—	—	—	—	5	39	4	36	5	25	—	

Février 1958

Surface de pression standard (mb)	Vent ndd, (ff)m 00														C n												
	N		30°		60°		E		120°		150°		S			210°		240°		W		300°		330°			
	n	n	n	n	n	n	n	n	n	n	n	n	n	n		n	n	n	n	n	n	n	n	n	n	n	
Surface	1	6	1	9	1	13	—	—	—	—	—	—	—	1	5	5	11	8	12	1	7	—	—	—	—	9	
1000	—	—	—	—	—	—	—	—	—	—	—	—	—	—	—	—	—	—	—	—	—	—	—	—	—	—	
850	1	12	1	7	1	25	1	6	—	—	—	—	—	—	—	5	30	10	30	6	17	—	—	—	—	—	
700	2	20	1	6	2	15	—	—	—	—	—	—	—	1	2	2	36	5	28	7	34	4	34	2	23	—	
500	2	36	1	33	1	33	—	—	—	—	—	—	—	1	22	3	24	3	33	4	40	7	30	4	52	—	
400	2	42	2	45	—	—	—	—	—	—	1	48	—	—	3	27	2	30	7	42	6	41	3	47	—		
300	2	44	2	48	—	—	—	—	—	—	—	—	—	1	38	1	83	4	37	8	55	5	54	2	47	—	
200	4	26	2	59	—	—	—	—	—	—	—	—	—	—	—	—	—	3	52	8	55	5	43	1	22	—	
150	4	25	—	—	—	—	—	—	—	—	—	—	—	—	—	—	—	—	3	52	8	55	5	43	1	22	
100	1	42	—	—	—	—	—	—	—	—	—	—	—	—	—	—	—	—	2	32	9	39	7	35	2	30	
70	2	37	—	—	—	—	—	—	—	—	—	—	—	—	—	—	—	—	2	32	9	39	7	35	2	30	
50	—	—	—	—	—	—	—	—	—	—	—	—	—	—	—	—	—	—	2	36	6	41	7	42	2	31	
																				3	35	6	33	3	51	2	44

Mars 1958

Surface de pression standard (mb)	Vent ndd, (ff)m 00														C n												
	N		30°		60°		E		120°		150°		S			210°		240°		W		300°		330°			
	n	n	n	n	n	n	n	n	n	n	n	n	n	n		n	n	n	n	n	n	n	n	n	n	n	
Surface	—	—	5	7	3	6	1	12	—	—	—	—	—	—	—	4	7	3	12	—	—	—	—	—	—	15	
1000	—	—	—	—	—	—	—	—	—	—	—	—	—	—	—	—	—	—	—	—	—	—	—	—	—	—	
850	—	—	2	10	7	18	1	8	2	5	1	2	—	—	3	10	9	12	5	17	—	—	—	—	—	—	
700	1	24	1	17	5	30	1	3	—	—	—	—	—	1	13	3	20	6	14	5	26	3	25	5	11	—	
500	1	11	3	42	3	32	—	—	1	7	1	20	—	—	1	40	5	18	5	44	7	36	4	42	—		
400	1	16	2	65	3	37	—	—	—	—	—	—	—	—	—	—	—	—	5	34	7	50	7	42	—		
300	1	18	2	52	2	49	1	11	—	—	1	25	—	—	—	—	—	—	5	30	7	44	7	59	5	62	
200	2	21	2	41	1	77	1	12	—	—	—	—	—	1	12	—	—	3	24	10	32	7	59	3	51	—	
150	3	13	2	37	—	—	—	—	—	—	—	—	—	—	—	—	—	—	3	21	12	31	7	42	3	49	
100	3	20	—	—	—	—	—	—	—	—	—	—	—	—	—	—	—	—	12	31	7	42	3	49	—		
70	2	23	—	—	—	—	—	—	—	—	—	—	—	—	—	—	—	—	12	31	7	42	3	49	—		
50	1	26	1	20	—	—	—	—	—	—	—	—	—	—	—	—	—	—	8	23	9	34	4	24	—		
																				3	12	10	25	8	28	3	15

Avril 1958

Surface de pression standard (mb)	Vent ndd, (ff)m 00														C n											
	N		30°		60°		E		120°		150°		S			210°		240°		W		300°		330°		
	n	n	n	n	n	n	n	n	n	n	n	n	n	n		n	n	n	n	n	n	n	n	n	n	n
Surface	—	—	1	6	3	10	—	—	—	—	—	—	—	—	—	3	7	1	14	—	—	—	—	—	—	22
1000	—	—	—	—	—	—	—	—	—	—	—	—	—	—	—	—	—	—	—	—	—	—	—	—	—	—
850	3	5	5	9	6	18	2	6	—	—	—	—	—	—	—	3	11	4	9	2	16	2	10	2	3	—
700	4	9	4	21	1	27	—	—	2	16	2	13	—	—	1	43	5	12	6	15	4	8	1	33	—	
500	4	35	3	31	2	14	1	22	1	26	—	—	—	2	23	2	35	1	17	4	26	6	30	4	25	—
400	4	31	4	36	1	33	—	—	—	—	4	33	—	—	2	41	1	20	4	29	6	33	4	62	—	
300	3	34	3	46	1	38	1	30	1	28	2	44	—	—	3	45	—	—	5	32	5	55	6	37	—	
200	5	30	—	—	1	39	—	—	1	22	—	—	—	—	4	32	2	16	5	27	7	33	4	29	—	
150	—	—	2	24	—	—	—	—	—	—	1	16	—	—	3	27	1	26	5	21	12	26	5	30	—	
100	—	—	1	17	—	—	—	—	—	—	—	—	—	—	—	—	—	—	5	18	12	21	2	31	—	
70	—	—	1	17	—	—	—	—	—	—	—	—	—	—	—	—	—	—	11	18	14	19	—	—	—	
50	—	—	1	4	—	—	—	—	—	—	—	—	—	—	—	—	—	—	4	26	6	19	13	20	1	10

mensuelles

Janvier 1958

Vitesse du vent (ff) m

12.00 h

Surface de pression standard (mb)	Vent ndd, (ff) m 12													C n									
	N n	30° n	60° n	E n	120° n	150° n	S n	210° n	240° n	W n	300° n	330° n											
Surface	—	—	3	9	2	8	—	—	1	8	—	—	9	12	3	14	—	—	—	—	—	—	13
1000	—	—	—	—	—	—	—	—	—	—	—	—	—	—	—	—	—	—	—	—	—	—	
850	1	3	1	4	4	8	4	27	1	15	—	—	—	—	9	28	5	27	1	14	1	20	3
700	3	6	—	—	1	17	3	19	1	17	—	—	—	—	4	24	4	24	8	33	2	14	—
500	4	36	—	—	1	22	2	22	3	19	—	—	—	—	2	20	8	32	4	61	3	21	—
400	3	52	1	25	2	25	2	36	1	39	1	16	—	—	—	—	8	38	5	42	4	57	—
300	5	61	—	—	3	25	2	44	1	28	—	—	—	—	1	28	6	41	6	54	2	42	—
200	1	88	2	50	2	28	3	40	—	—	—	—	—	—	1	11	5	50	6	42	6	48	—
150	3	21	2	25	3	30	1	44	—	—	—	—	—	—	—	—	4	52	9	40	5	45	—
100	4	24	2	22	2	20	—	—	—	—	—	—	—	—	—	—	6	57	9	46	4	44	—
70	6	24	2	30	—	—	—	—	—	—	—	—	—	—	—	—	7	56	10	49	2	48	—
50	5	27	2	40	—	—	—	—	—	—	—	—	—	—	—	—	9	62	7	46	3	44	—

Février 1958

Surface de pression standard (mb)	Vent ndd, (ff) m 12													C n											
	N n	30° n	60° n	E n	120° n	150° n	S n	210° n	240° n	W n	300° n	330° n													
Surface	—	—	2	16	1	13	—	—	—	—	—	—	2	17	1	16	—	—	1	5	—	—	10		
1000	—	—	—	—	—	—	—	—	—	—	—	—	—	—	—	—	—	—	—	—	—	—	—		
850	1	6	1	19	3	17	—	—	—	—	—	—	4	18	15	24	1	21	—	—	1	20	—		
700	3	10	2	35	—	—	—	—	—	—	—	—	1	32	9	31	5	34	5	30	1	5	—		
500	1	45	3	23	—	—	—	—	—	1	22	1	49	1	59	4	40	9	40	3	42	4	42	—	
400	1	38	2	67	1	7	—	—	—	—	1	33	1	60	1	38	5	38	6	45	5	39	4	56	—
300	2	48	1	56	1	20	—	—	1	28	—	—	2	56	4	51	8	45	4	64	3	49	—		
200	4	43	1	33	—	—	—	—	—	—	—	—	1	85	3	45	10	49	3	44	3	41	—		
150	3	28	—	—	—	—	—	—	—	—	—	—	1	44	3	35	7	46	8	44	3	45	—		
100	3	32	—	—	—	—	—	—	—	—	—	—	—	—	4	38	9	38	6	42	3	27	—		
70	1	38	—	—	—	—	—	—	—	—	—	—	1	40	2	26	9	37	8	42	2	49	—		
50	1	55	—	—	—	—	—	—	—	—	—	—	1	38	2	20	8	30	7	43	2	50	—		

Mars 1958

Surface de pression standard (mb)	Vent ndd, (ff) m 12													C n											
	N n	30° n	60° n	E n	120° n	150° n	S n	210° n	240° n	W n	300° n	330° n													
Surface	3	5	6	12	1	12	—	—	1	5	—	—	2	10	4	10	1	9	1	9	2	5	10		
1000	—	—	—	—	—	—	—	—	—	—	—	—	—	—	—	—	—	—	—	—	—	—	—		
850	—	—	2	5	7	15	1	10	—	—	1	4	1	6	3	11	11	16	2	10	1	8	1	5	1
700	2	22	4	22	2	24	1	22	—	—	—	—	—	—	5	12	6	23	5	27	3	23	3	10	—
500	2	25	4	31	1	12	—	—	1	14	—	—	1	28	2	19	6	16	4	31	7	43	3	30	—
400	3	28	4	33	—	—	—	—	1	17	—	—	1	22	3	16	3	20	5	32	8	67	3	23	—
300	2	30	2	42	—	—	—	—	1	15	1	28	—	—	1	31	5	30	5	35	10	50	4	50	—
200	2	12	3	36	—	—	—	—	—	—	—	—	1	28	4	26	10	41	11	62	—	—	—		
150	3	30	1	28	—	—	—	—	—	—	—	—	—	—	3	26	11	29	10	49	3	40	—		
100	2	20	1	27	—	—	—	—	—	—	—	—	—	—	3	23	12	27	9	37	2	20	—		
70	2	27	—	—	—	—	—	—	—	—	—	—	—	—	2	20	11	28	12	27	2	27	—		
50	—	—	1	32	—	—	—	—	—	—	—	—	1	27	2	18	9	22	13	22	1	11	—		

Avril 1958

Surface de pression standard (mb)	Vent ndd, (ff) m 12													C n											
	N n	30° n	60° n	E n	120° n	150° n	S n	210° n	240° n	W n	300° n	330° n													
Surface	1	9	5	13	2	6	2	11	—	—	—	—	—	2	8	1	5	2	8	2	8	1	2	11	
1000	—	—	—	—	—	—	—	—	—	—	—	—	—	—	—	—	—	—	—	—	—	—	—		
850	4	10	5	7	4	19	1	3	—	—	—	—	—	3	13	5	8	1	11	3	6	—	—	3	
700	1	8	6	13	2	23	3	15	1	22	1	5	—	—	2	33	2	24	6	11	1	18	4	10	—
500	7	30	4	30	—	—	2	31	1	33	2	16	1	29	3	32	1	33	2	20	4	20	2	28	—
400	7	41	4	35	—	—	3	35	—	—	—	—	3	34	3	44	1	33	2	16	5	28	1	60	—
300	5	58	4	46	—	—	2	42	2	19	—	—	2	37	3	46	1	32	3	28	4	35	3	35	—
200	4	46	2	42	—	—	—	—	1	28	1	30	—	—	4	34	1	50	4	17	6	27	6	31	—
150	1	33	2	39	—	—	—	—	—	—	1	17	—	—	1	28	5	25	7	14	7	28	5	33	—
100	—	—	3	22	—	—	—	—	—	—	—	—	—	—	1	38	5	27	6	16	11	27	2	21	—
70	1	20	1	23	—	—	—	—	—	—	—	—	—	—	—	—	4	25	10	17	10	25	2	16	
50	1	18	1	6	—	—	—	—	—	—	—	—	—	—	—	—	6	24	7	16	9	22	2	14	

Mai 1958

Vitesse du vent (ff) m

00.00 h

Surface de pression standard (mb)	Vent ndd, (ff) m 00																								
	N		30°		60°		E		120°		150°		S		210°		240°		W		300°		330°		C
	n	n	n	n	n	n	n	n	n	n	n	n	n	n	n	n	n	n	n	n	n	n	n	n	n
Surface	1	3	—	—	1	4	—	—	—	—	—	—	1	10	8	6	—	—	1	6	—	—	—	—	18
1000	—	—	—	—	—	—	—	—	—	—	—	—	—	—	—	—	—	—	—	—	—	—	—	—	—
850	1	5	—	—	1	7	3	8	—	—	1	3	2	13	4	11	10	12	4	14	1	17	—	—	2
700	—	—	1	6	1	12	2	11	—	—	—	—	4	24	6	25	8	23	4	16	—	—	3	20	1
500	3	17	—	—	—	—	—	—	—	—	—	—	2	35	7	34	8	35	4	28	3	24	3	17	—
400	2	19	1	20	—	—	—	—	—	—	—	—	1	65	8	38	10	38	2	44	3	28	3	29	—
300	1	25	1	33	—	—	—	—	—	—	—	—	2	38	5	52	11	42	1	44	2	35	7	29	—
200	—	—	1	44	—	—	—	—	1	2	—	—	—	—	8	50	9	52	1	54	3	40	7	35	—
150	—	—	1	20	—	—	—	—	—	—	—	—	1	34	5	35	10	43	3	32	4	40	5	26	—
100	—	—	1	15	—	—	—	—	—	—	—	—	—	—	8	26	7	25	3	22	4	21	5	21	—
70	—	—	1	20	—	—	—	—	—	—	—	—	1	18	9	18	5	18	1	20	5	17	4	14	—
50	—	—	1	17	—	—	—	—	—	—	—	—	2	13	8	15	5	19	1	18	4	14	5	11	—

Juin 1958

Surface de pression standard (mb)	Vent ndd, (ff) m 00																								
	N		30°		60°		E		120°		150°		S		210°		240°		W		300°		330°		C
	n	n	n	n	n	n	n	n	n	n	n	n	n	n	n	n	n	n	n	n	n	n	n	n	n
Surface	—	—	1	4	2	4	—	—	—	—	—	—	—	—	4	6	2	8	—	—	—	—	—	—	21
1000	—	—	—	—	—	—	—	—	—	—	—	—	—	—	—	—	—	—	—	—	—	—	—	—	—
850	—	—	1	8	4	10	—	—	1	5	—	—	1	5	3	21	12	14	2	14	—	—	1	8	4
700	1	17	2	17	1	6	—	—	1	2	—	—	—	—	3	26	13	16	6	20	2	9	1	12	—
500	2	24	1	17	1	17	—	—	—	—	—	—	1	17	1	39	10	25	7	30	5	15	1	6	1
400	—	—	2	20	2	9	—	—	1	17	—	—	—	—	2	38	9	32	9	28	3	51	2	22	—
300	2	25	—	—	—	—	—	—	1	23	—	—	—	—	2	21	2	22	7	50	3	52	3	25	1
200	1	44	1	25	—	—	—	—	1	25	—	—	—	—	2	42	8	65	8	44	7	38	1	19	—
150	1	30	—	—	—	—	—	—	—	—	—	—	—	—	2	22	6	40	10	35	6	28	4	15	—
100	1	30	—	—	1	10	—	—	—	—	1	11	—	—	3	18	8	32	7	24	5	13	3	13	—
70	1	6	—	—	1	7	1	10	3	10	2	7	2	16	1	6	7	20	7	17	2	12	2	7	—
50	—	—	—	—	—	—	1	9	3	11	1	9	2	19	1	20	5	12	6	15	4	15	2	6	—

Juillet 1958

Surface de pression standard (mb)	Vent ndd, (ff) m 00																								
	N		30°		60°		E		120°		150°		S		210°		240°		W		300°		330°		C
	n	n	n	n	n	n	n	n	n	n	n	n	n	n	n	n	n	n	n	n	n	n	n	n	n
Surface	—	—	1	8	—	—	1	2	—	—	—	—	2	6	4	8	3	4	—	—	—	—	—	—	20
1000	—	—	—	—	—	—	—	—	—	—	—	—	—	—	—	—	—	—	—	—	—	—	—	—	—
850	—	—	—	—	6	13	—	—	—	—	—	—	—	—	6	8	13	18	3	11	1	12	—	—	1
700	—	—	1	10	2	15	—	—	2	5	1	8	—	—	3	16	13	21	8	18	—	—	—	—	1
500	—	—	1	6	2	12	1	20	—	—	1	25	—	—	3	33	7	20	10	27	6	30	—	—	—
400	1	8	—	—	2	25	1	28	—	—	1	29	—	—	3	24	7	33	9	35	6	32	—	—	—
300	—	—	2	8	1	32	1	44	—	—	1	40	—	—	1	33	6	44	9	37	9	48	—	—	—
200	—	—	—	—	—	—	2	26	1	55	—	—	—	—	1	17	9	46	11	39	5	51	1	44	—
150	—	—	—	—	—	—	1	17	—	—	—	—	—	—	1	14	10	50	13	37	4	49	—	—	1
100	—	—	—	—	—	—	—	—	—	—	2	13	—	—	2	39	10	22	9	22	7	22	—	—	—
70	1	10	—	—	1	4	—	—	1	11	2	15	3	11	2	11	5	12	5	13	3	25	—	—	3
50	—	—	—	—	—	—	1	20	1	19	3	7	3	5	2	7	3	7	3	14	3	21	—	—	4

Août 1958

Surface de pression standard (mb)	Vent ndd, (ff) m 00																								
	N		30°		60°		E		120°		150°		S		210°		240°		W		300°		330°		C
	n	n	n	n	n	n	n	n	n	n	n	n	n	n	n	n	n	n	n	n	n	n	n	n	n
Surface	—	—	—	—	—	—	—	—	1	5	—	—	—	—	2	4	2	5	1	3	—	—	—	—	25
1000	—	—	—	—	—	—	—	—	—	—	—	—	—	—	—	—	—	—	—	—	—	—	—	—	—
850	—	—	1	2	1	2	1	4	—	—	—	—	—	—	4	6	18	14	3	15	1	4	1	4	1
700	1	5	—	—	—	—	—	—	1	6	—	—	1	7	5	20	15	24	6	19	1	9	1	15	—
500	—	—	—	—	—	—	—	—	—	—	—	—	2	24	4	32	11	29	7	30	4	31	3	26	—
400	—	—	—	—	—	—	—	—	—	—	—	—	2	48	3	33	9	30	10	34	5	34	1	34	—
300	—	—	—	—	—	—	—	—	—	—	—	—	2	30	3	45	12	39	8	40	4	50	2	55	—
200	—	—	—	—	—	—	—	—	—	—	—	—	—	—	3	53	15	40	5	42	4	56	3	40	—
150	—	—	—	—	—	—	—	—	—	—	—	—	1	6	2	29	14	40	7	27	4	32	2	40	—
100	—	—	—	—	2	6	—	—	1	5	—	—	2	12	3	24	14	22	5	28	1	37	1	17	—
70	—	—	—	—	1	3	3	7	2	4	1	4	—	—	7	10	7	11	4	17	—	—	1	15	—
50	—	—	—	—	4	5	3	5	1	10	2	4	2	4	3	8	5	8	2	11	—	—	1	15	1

mensuelles

Vitesse du vent (ff) m

Mai 1958

12.00 h

Surface de pression standard (mb)	Vent ndd, (ff) m 12													C												
	N		30°		60°		E		120°		150°		S		210°		240°		W		300°		330°			
	n	n	n	n	n	n	n	n	n	n	n	n	n	n	n	n	n	n	n	n	n	n	n	n	n	
Surface	1	5	4	50	1	2	1	5	—	—	—	—	—	—	3	8	3	9	3	6	—	—	2	6	13	
1000	—	—	—	—	—	—	—	—	—	—	—	—	—	—	—	—	—	—	—	—	—	—	—	—	—	—
850	3	4	1	7	1	7	2	9	—	—	1	12	—	—	6	23	11	16	2	12	1	8	—	—	2	
700	3	18	2	4	—	—	—	—	—	—	—	—	5	17	6	23	12	26	—	—	3	14	—	—	—	
500	2	24	1	9	—	—	—	—	—	—	—	—	1	30	11	36	8	42	2	30	2	35	4	19	—	
400	1	78	—	—	—	—	—	—	—	—	—	—	1	53	9	46	9	43	3	36	3	33	5	24	—	
300	2	40	—	—	—	—	—	—	—	—	—	—	2	58	8	67	9	40	4	38	3	38	3	31	—	
200	2	81	—	—	—	—	—	—	—	—	—	—	—	—	11	48	7	58	5	44	2	19	4	41	—	
150	1	22	—	—	—	—	—	—	—	—	—	—	1	39	9	43	8	45	2	55	5	28	3	31	—	
100	1	15	—	—	—	—	—	—	—	—	—	—	2	21	10	31	6	33	2	33	4	24	4	21	—	
70	1	10	—	—	—	—	—	—	—	—	—	—	3	18	10	25	5	16	2	15	3	29	3	12	—	
50	1	5	—	—	—	—	—	—	—	—	1	10	3	23	9	26	5	15	2	15	4	19	2	12	—	

Juin 1958

Surface de pression standard (mb)	Vent ndd, (ff) m 12													C											
	N		30°		60°		E		120°		150°		S		210°		240°		W		300°		330°		
	n	n	n	n	n	n	n	n	n	n	n	n	n	n	n	n	n	n	n	n	n	n	n	n	n
Surface	1	12	7	6	1	3	—	—	—	—	—	—	—	—	1	12	3	7	2	7	2	4	2	4	10
1000	—	—	—	—	—	—	—	—	—	—	—	—	—	—	—	—	—	—	—	—	—	—	—	—	—
850	1	11	1	20	2	23	—	—	—	—	1	7	2	12	2	10	9	14	2	7	3	7	1	11	5
700	—	—	2	21	3	9	—	—	—	—	—	—	—	—	7	14	13	20	3	24	—	—	1	10	—
500	1	13	1	16	2	18	—	—	—	—	—	—	1	20	3	27	8	25	8	29	1	12	3	20	1
400	—	—	1	16	1	20	—	—	1	23	—	—	2	16	4	31	3	35	11	39	3	19	3	30	—
300	1	12	1	30	—	—	—	—	1	55	1	16	2	28	2	33	5	38	11	45	2	19	3	32	—
200	1	28	1	10	—	—	—	—	—	—	—	—	1	30	2	50	7	49	11	52	2	33	4	29	—
150	1	14	—	—	—	—	—	—	—	—	—	—	1	30	2	45	4	47	14	38	2	37	5	20	—
100	—	—	—	—	—	—	—	—	1	4	—	—	3	18	2	18	5	28	7	20	7	14	4	10	—
70	—	—	—	—	—	—	—	—	1	12	2	14	1	10	5	10	4	20	8	15	3	6	1	3	2
50	—	—	—	—	—	—	1	20	1	14	1	10	2	14	4	8	5	13	5	10	4	6	1	3	3

Juillet 1958

Surface de pression standard (mb)	Vent ndd, (ff) m 12													C											
	N		30°		60°		E		120°		150°		S		210°		240°		W		300°		330°		
	n	n	n	n	n	n	n	n	n	n	n	n	n	n	n	n	n	n	n	n	n	n	n	n	n
Surface	3	6	1	2	2	10	1	3	1	7	—	—	—	—	5	12	4	5	3	10	—	—	2	7	9
1000	—	—	—	—	—	—	—	—	—	—	—	—	—	—	—	—	—	—	—	—	—	—	—	—	—
850	1	8	2	4	3	13	1	8	—	—	—	—	—	—	—	—	17	16	2	6	—	—	—	—	4
700	—	—	1	4	2	9	1	2	—	—	1	6	2	15	5	16	11	21	7	22	—	—	—	—	—
500	—	—	—	—	1	12	2	16	—	—	—	—	2	13	2	33	9	25	9	26	4	33	—	—	—
400	—	—	—	—	1	16	2	30	—	—	—	—	2	13	3	47	7	26	10	31	5	43	—	—	—
300	—	—	—	—	1	28	2	46	—	—	—	—	1	27	3	61	5	37	10	37	7	45	1	65	—
200	—	—	—	—	1	14	2	57	—	—	—	—	—	—	3	48	6	55	12	44	6	53	—	—	—
150	—	—	—	—	—	—	2	21	—	—	—	—	—	—	2	25	6	45	14	43	6	43	—	—	—
100	—	—	—	—	—	—	1	14	—	—	—	—	—	—	5	22	8	28	14	24	2	49	—	—	—
70	—	—	—	—	—	—	3	9	—	—	—	—	4	2	1	32	5	19	11	13	3	32	1	14	—
50	—	—	—	—	—	—	3	9	1	6	1	14	4	9	1	12	5	12	9	9	2	37	1	7	—

Août 1958

Surface de pression standard (mb)	Vent ndd, (ff) m 12													C											
	N		30°		60°		E		120°		150°		S		210°		240°		W		300°		330°		
	n	n	n	n	n	n	n	n	n	n	n	n	n	n	n	n	n	n	n	n	n	n	n	n	n
Surface	1	2	2	4	1	10	—	—	1	8	1	3	—	—	4	10	5	9	1	7	2	4	3	5	10
1000	—	—	—	—	—	—	—	—	—	—	—	—	—	—	—	—	—	—	—	—	—	—	—	—	—
850	—	—	1	8	—	—	1	8	—	—	1	4	1	6	9	13	10	16	3	5	2	7	—	—	3
700	1	7	—	—	—	—	—	—	—	—	1	11	1	19	6	21	16	19	3	11	2	13	1	12	—
500	—	—	—	—	—	—	—	—	—	—	1	18	—	—	4	36	12	26	8	26	2	22	4	25	—
400	—	—	—	—	—	—	—	—	—	—	1	23	1	66	3	29	11	28	9	38	2	26	4	47	—
300	—	—	—	—	—	—	—	—	1	23	—	—	1	44	3	42	12	44	8	42	1	27	5	54	—
200	—	—	—	—	—	—	—	—	—	—	1	8	—	—	3	39	11	44	10	44	2	33	4	59	—
150	—	—	—	—	—	—	—	—	1	6	—	—	1	29	1	56	15	39	7	33	4	41	2	49	—
100	—	—	—	—	—	—	1	6	—	—	—	—	2	29	3	23	15	19	5	14	3	28	1	38	1
70	—	—	—	—	2	6	2	5	—	—	3	6	—	—	8	19	7	13	1	15	1	17	—	—	2
50	—	—	—	—	4	4	—	—	1	8	1	5	3	6	5	15	7	10	—	—	1	17	—	—	4

mensuelles

Septembre 1958

Vitesse du vent (ff) m

12.00 h

Surface de pression standard (mb)	Vent ndd, (ff) m 12														C n		
	N	30°	60°	E	120°	150°	S	210°	240°	W	300°	330°					
	n	n	n	n	n	n	n	n	n	n	n	n	n	n			
Surface	—	—	2	8	2	6	—	—	—	—	—	—	—	—	—	—	19
1000	—	—	—	—	—	—	—	—	—	—	—	—	—	—	—	—	—
850	—	—	1	6	3	4	3	4	—	—	—	—	—	—	—	—	3
700	1	5	4	7	—	—	1	4	—	—	—	—	—	—	—	—	2
500	—	—	1	27	—	—	2	3	—	—	—	—	—	—	—	—	—
400	—	—	2	22	—	—	1	2	—	—	—	—	—	—	—	—	—
300	—	—	2	24	—	—	—	—	—	—	—	—	—	—	—	—	—
200	—	—	2	30	—	—	—	—	—	—	—	—	—	—	—	—	—
150	1	11	1	5	—	—	—	—	—	—	—	—	—	—	—	—	—
100	3	10	—	—	—	—	—	—	—	—	—	—	—	—	—	—	—
70	4	6	5	8	—	—	—	—	2	4	—	—	—	—	—	—	1
50	3	6	4	7	3	6	1	14	2	3	—	—	—	—	—	—	—

Octobre 1958

Surface de pression standard (mb)	Vent ndd, (ff) m 12														C n									
	N	30°	60°	E	120°	150°	S	210°	240°	S	300°	330°												
	n	n	n	n	n	n	n	n	n	n	n	n	n	n										
Surface	—	—	3	9	—	—	—	—	—	—	—	—	—	—	—	—	19							
1000	—	—	—	—	—	—	—	—	—	—	—	—	—	—	—	—	—							
850	2	7	—	—	5	15	3	11	—	—	—	—	—	—	—	—	1							
700	2	23	1	6	3	27	4	14	—	—	—	—	—	—	—	—	—							
500	4	42	2	58	4	28	2	11	—	—	2	24	—	—	—	—	—							
400	4	60	3	45	3	38	3	17	—	—	1	5	1	54	6	41	2	27	1	44	2	26	5	48
300	5	60	3	53	3	37	4	22	—	—	—	—	1	95	5	45	3	63	2	34	2	50	3	71
200	5	71	2	70	2	57	3	26	—	—	1	17	2	45	5	40	4	32	3	36	2	43	3	54
150	5	47	2	37	3	20	1	22	1	11	—	—	1	60	2	40	7	35	2	50	2	45	5	47
100	4	38	2	27	2	18	1	22	—	—	—	—	1	8	5	27	5	32	3	20	2	46	6	24
70	4	19	5	20	—	—	—	—	1	7	—	—	1	45	2	18	8	23	3	25	2	28	5	24
50	3	16	1	11	1	12	—	—	1	3	—	—	1	40	2	10	6	20	4	9	4	27	7	16

Novembre 1958

Surface de pression standard (mb)	Vent ndd, (ff) m 12														C n										
	N	30°	60°	E	120°	150°	S	210°	240°	W	300°	330°													
	n	n	n	n	n	n	n	n	n	n	n	n	n	n											
Surface	—	—	5	4	2	10	1	6	—	—	1	4	—	—	—	—	—	18							
1000	—	—	—	—	—	—	—	—	—	—	—	—	—	—	—	—	—	—							
850	—	—	3	7	10	12	1	12	—	—	—	—	—	—	3	7	6	7	2	13	2	8	—	—	2
700	1	13	3	9	2	12	7	8	4	6	2	13	1	12	2	10	4	15	1	11	—	—	2	9	—
500	2	12	—	—	3	19	2	14	3	17	5	11	4	16	2	15	1	8	2	16	2	15	3	21	—
400	2	39	—	—	3	7	4	25	4	24	2	11	4	31	2	15	4	13	2	25	1	28	1	27	—
300	3	48	2	13	1	6	3	36	3	34	3	25	3	47	4	34	3	14	3	30	—	—	1	29	—
200	4	52	1	22	2	43	2	25	1	22	5	20	3	25	3	23	2	31	2	23	3	25	1	38	—
150	1	28	1	12	1	25	3	24	2	11	4	13	1	8	4	20	2	16	3	17	3	22	2	25	—
100	—	—	3	9	1	23	3	13	—	—	1	11	3	8	2	10	2	8	6	16	5	18	1	12	—
70	—	—	4	8	2	10	1	14	—	—	—	—	1	17	2	5	—	—	5	17	8	15	3	13	1
50	—	—	5	5	—	—	—	—	—	—	1	5	1	5	1	15	—	—	7	12	9	15	1	14	1

Décembre 1958

Surface de pression standard (mb)	Vent ndd, (ff) m 12														C n										
	N	30°	60°	E	120°	150°	S	210°	240°	W	300°	330°													
	n	n	n	n	n	n	n	n	n	n	n	n	n	n											
Surface	—	—	6	8	1	8	—	—	—	—	—	—	—	—	4	10	7	11	—	—	—	—	—	—	13
1000	—	—	—	—	—	—	—	—	—	—	—	—	—	—	—	—	—	—	—	—	—	—	—	—	—
850	1	5	1	22	6	11	1	2	—	—	—	—	—	—	2	10	7	27	7	23	3	24	2	5	—
700	1	9	5	14	3	14	—	—	—	—	—	—	—	—	2	12	3	27	8	37	4	33	4	28	1
500	2	45	3	21	2	23	1	48	—	—	—	—	—	—	1	20	1	36	9	41	5	60	6	39	1
400	4	44	2	12	1	32	1	59	—	—	—	—	—	—	1	38	2	53	8	49	6	56	3	51	3
300	4	46	1	22	1	35	1	55	—	—	—	—	—	—	1	43	3	60	8	55	2	66	4	50	4
200	3	47	—	—	1	15	1	50	—	—	—	—	—	—	1	32	2	62	5	62	7	62	5	41	4
150	2	37	1	18	—	—	1	48	—	—	—	—	—	—	—	4	48	2	52	7	51	7	42	4	
100	1	22	—	—	—	—	1	22	—	—	—	—	—	—	—	3	42	6	33	5	28	6	40	3	
70	2	30	—	—	—	—	—	—	—	—	—	—	—	—	—	1	40	3	32	7	34	8	29	2	
50	1	30	1	18	—	—	—	—	—	—	—	—	—	—	—	1	35	3	36	7	33	6	31	3	

Moyennes annuelles

Table with 14 columns: Surface de pression standard (mb), Hauteur de la surface de pression standard (en gpm), and Température °C. It includes sub-columns for 00, 12, and Dies, and Max/Min values.

Table titled 'Vecteur du vent moyen' with columns for Surface de pression standard (mb) and wind vector components (n, dd, ff) for 00, 12, and Dies.

Vitesse du vent (ff) m

Table titled 'Vent ndd, (ff) m 00' with columns for Surface de pression standard (mb) and wind speed components (N, 30°, 60°, E, 120°, 150°, S, 210°, 240°, W, 300°, 330°, C).

Table titled 'Vent ndd, (ff) m 12' with columns for Surface de pression standard (mb) and wind speed components (N, 30°, 60°, E, 120°, 150°, S, 210°, 240°, W, 300°, 330°, C).

Wetterlagen und Fronten im Jahr 1958

1. Wetterlage im Alpengebiet

Strömung (Anströmrichtung) Jan.-März nachmittags 15.00 h, ab April 12.00 h im 1000-mb- und 500-mb-Niveau im Umkreis von 2 Breitengraden, d. h. in einem Gebiet von etwa 225 km Durchmesser um den Zentralpunkt 46° 30' n. B. 9° ö. L. im Rheinwaldgebiet, sowie Luftdruckunterschied Nordseite — Südseite der Alpen zwischen den Punkten 47° 30' und 45° 30' n. B. auf dem 9. östl. Längengrad

	0	1	2	3	4	5	6	7	8	9	x
D Druckgefälle in der Bodenvetterkarte	Hoch	NW→SE	N→S	NE→SW	E→W	SE→NW	S→N	SW→NE	W→E	Tief	flach
	< 5 mb (bzw. < 3.3 mb)	Druckgradient innerhalb des 2°-Umkreises mindestens 5 mb (bei einheitlicher Strömung innerhalb des 6°-Umkreises mindestens 3.3 mb)									< 5 mb (bzw. < 3.3 mb)
d Strömungsrichtung im 500-mb-Niveau (etwa 5500 m)	antizyklonal (Hoch)	NE	E	SE	S	SW	W	NW	N	zyklonal (Tief)	unbestimmt
	≤ 15 kts (bzw. ≤ 10 kts)	Windgeschwindigkeit mehr als 15 Knoten (kts), (bei einheitlicher Strömungsrichtung innerhalb des 6°-Umkreises mehr als 10 Knoten)									≤ 15 kts (bzw. ≤ 10 kts)
f Windschwwindigkeit im 500-mb-Niveau	0—9	10—19	20—29	30—39	40—49	50—59	60—69	70—79	80—89	≥ 90	
	Knoten (1 Knoten = 1.85 km/Std.)										
g Luftdruck Unterschied Nordseite — Südseite der Alpen		1	2	3	4	5	6	7	8	9	
		-10.5	-7.5	-4.5	-1.5	1.5	4.5	7.5	10.5		
		tieferer Druck auf der Alpennordseite (Föhn)				Millibar ausgeglichene Druckverteilung			höherer Druck auf der Alpennordseite (Stau)		

rr Relative Topographie 1000—500 mb in geopotentiellen Dekametern — 500 (große bzw. kleine Werte der relat. Topographie entsprechen hoher bzw. tiefer Mitteltemperatur der Schicht zwischen Meeresniveau und etwa 5500 m. 1 Dekameter Änderung von rr entspricht etwa ½ ° C Temperaturänderung)

In der Zeile «Mittel» sind links die Mittelwerte der Windgeschwindigkeit f in Knoten, rechts die Mittelwerte der relativen Topographie in Dekametern — 500 angegeben

2. Frontdurchgänge auf der Alpennordseite (im Gebiet von Zürich)

A Art der Front	W = Warmfront K = Kaltfront w = Warmfrontokklusion k = Kaltfrontokklusion o = Okklusion	ein zusamm. Index h bedeutet Höhenfront
I Intensität der Front	0 = schwach 1 = mäßig 2 = stark	
Z Zeit des Frontdurchgangs	sv = am vorangehenden Abend nv = in der vorangehenden Nacht f = frühmorgens u = vormittags m = mittags p = nachmittags s = abends n = in der nachfolgenden Nacht fo = am nachfolgenden frühen Morgen	17.30 h — 21.30 h 21.30 h — 03.30 h 03.30 h — 07.30 h 07.30 h — 11.30 h 11.30 h — 13.30 h 13.30 h — 17.30 h 17.30 h — 21.30 h 21.30 h — 03.30 h 03.30 h — 07.30 h
		Durch das Zeichen ∞ werden unsichere Angaben gekennzeichnet
L _v Luftmassen vor Frontdurchgang	A = Arktische Polarluft P = Polarluft p = gealterte Polarluft t = gemäßigte Tropikluft T = Tropikluft m = maritime Luftmasse c = kontinentale Luftmasse	Bezeichnung nach Scherbag P _a P P _t T _p T
L _n Luftmassen nach Frontdurchgang		

	Januar				Februar				März			
	Wetterlage			Fronten	Wetterlage			Fronten	Wetterlage			Fronten
	Ddf	g	rr		Ddf	g	rr		Ddf	g	rr	
	AI	Z	L _v	L _n	AI	Z	L _v	L _n	AI	Z	L _v	L _n
1	x62	5	40		001	5	43		222	8	37	
2	x62	5	36	K 0 s m t m P	2x1	7	44		112	8	37	W 0 ∞ m P m t
3	261	6	36		183	8	41	K 0 p c t m P	184	9	38	K 0 s m t m P
4	472	5	35		173	6	41		113	8	38	W 0 p m P m t
5	562	2	39	W 1 ∞ f m P m t	764	5	46	W 0 n _v m P m t	x12	5	41	
6	676	5	42	K 2 n _v m t m P*	765	6	37	K 2 n _v m t m P	773	6	43	K 1 s m t m P
7	765	6	38	K 2 f m T m P	x65	6	41	W 2 s m P m T	264	7	29	K 1 p m P m A
8	774	8	25		564	3	47	K 1 s m T m P	161	7	20	
9	664	4	39	W 2 s m P m T	563	4	47	W 1 n _v m P m T	953	5	22	
10	x73	6	33	K 1 n _v m T m P	562	4	48		241	7	19	
11	553	2	35	W 1 ∞ p m P m t	555	3	47	K 1 m m T m P	953	6	20	o 1 a m A m A
12	243	8	31	K 1 n _v m t m P	565	2	50	W 0 s m P m T	181	8	16	
13	122	8	32		563	3	51		676	4	31	W 2 m m A m t
14	122	8	38		x63	4	53		177	7	35	K 2 n _v m t c P
15	181	8	40		063	5	51		275	7	34	
16	213	7	41	W 0 ∞ n m P m t	774	6	53		374	6	34	
17	213	6	42		765	6	51	K 2 m m T m P*	362	4	36	W _h 1 a c P
18	182	6	42	K 0 f m t m P	264	6	34		961	6	35	K _h 1 f c P
19	663	4	41	W 0 n _v m P m t	172	8	19		963	5	34	W 1 s c P m t
20	x67	6	34	K 2 f m t m P	773	6	30	o 1 p m A m P	963	6	32	K 1 a m t m P*
21	162	7	22		774	6	36	W 1 f m P m t	182	9	20	
22	552	3	22		176	9	31	K 1 a m t m P	275	9	24	
23	x51	6	22	o 1 f m P m P	x74	4	34	W 2 m m P m T	375	6	31	
24	x64	5	23	o 1 m m P m P	663	4	43	K 1 n _v m T m P*	361	3	40	
25	085	5	31		564	2	41		551	2	44	w 0 n c A m P
26	471	4	37		154	7	34	K 2 f m T m P	551	4	44	
27	481	4	41	W 0 f m P m T	153	9	27		553	3	45	W 0 m m P m t
28	411	4	41	o _n 0 f m T c t	2x1	9	32		562	4	44	
29	033	5	43						451	4	45	
30	041	7	47						9x1	5	46	K 0 m m P c P
31	201	7	43						282	8	41	
Mittel	31	36			39	41			32	34		
	*	6.			*	17.			*	20.		
				W 2 s m P m T	*	24.			*	27.		
								K 2 p m P m A				K 1 p m P c A
								W 1 f m P m T				K 1 p m t m P
	April				Mai				Juni			
1	262	6	40	K 0 ∞ s c P c P	081	5	52		061	4	59	W 0 ∞ s m P m T
2	x62	6	37		081	5	50		x52	4	64	K _h 1 s m T m P
3	463	2	46	W 0 p c P m t	x71	5	51		x53	6	61	K 2 p m T m P
4	553	4	44	K 1 s _v m t m P	x73	6	49		163	5	57	
5	143	6	41	K 1 a m P m P	562	3	57	K 1 p c t m P	272	6	57	
6	123	7	36		663	5	54	W 1 s m P m T	x61	5	60	W 0 ∞ s m P m T
7	161	8	39		073	6	55		x61	6	58	K 1 f m T m P
8	171	8	31		563	3	66		062	6	58	
9	182	7	27	K 1 f m P m A	063	4	64		x61	6	60	W 0 s m P m T
10	175	7	26	o 1 f m A m P	063	4	66		952	5	57	K 2 p m T m P
11	153	7	23		653	3	65		111	8	55	K 2 p m P m P
12	242	5	29		x53	3	66	K 0 p m T m P	1x1	7	53	
13	242	5	40	W 0 p m P m T	x53	5	64	W 0 ∞ n m P m T	191	6	52	
14	443	3	45	K 0 ∞ m T m P	944	4	65	K 2 s m T m P	211	6	53	
15	932	5	42	W 1 n m P m t	x53	5	54	o 2 m m P	0x1	5	60	
16	1x1	6	41	K 2 a m t m A	654	6	50	W 1 a m P m T*	xx1	4	60	W 0 ∞ n m P c t
17	161	9	35		112	9	49		501	4	60	
18	222	7	31		182	7	57	W 1 f m P m t	x01	4	64	K 0 ∞ p c t m P
19	083	6	42	W 0 n m A m t	0x1	6	61		x62	5	63	
20	071	5	47		051	4	64		663	4	63	W 1 s m P m T
21	072	5	51		852	6	61	K 2 m m t m P	763	5	61	K 1 p m T m P
22	x62	5	51	K 1 p m t c P	141	7	56		265	7	57	K 1 a m P m P
23	211	7	43		x51	5	58	W 0 s m P m T	x64	6	53	
24	x12	5	47	W 0 p c P m t	553	3	60		x53	4	58	W 0 m m P m t*
25	752	5	48	K 2 p m t m P	442	3	64		064	5	48	W 0 p m P m T
26	x72	5	45	W 0 p m P m T	x54	5	61	K 1 n _v m T m P	552	2	61	
27	765	6	47	K 2 a m T m P	x44	5	60	W 0 m m P m T	791	9	51	K 2 f m T m P
28	185	7	37	W 1 n m P m t	154	7	53	K 2 s _v m T m P	782	9	56	
29	184	8	46	K 1 n _v m t m P	x52	5	57	W 0 ∞ m m P m T	x72	6	65	W 0 ∞ n m P m T
30	213	6	51	W 0 p m P m t	x53	5	55	K 1 a m T m P	x51	6	68	K 0 n m T m P
31					x61	5	54					
Mittel	29	40			29	58			24	58		
					*	16.			*	24.		
								K 2 m m T m P				K 1 p m t m P

	Juli						August						September										
	Wetterlage			Fronten			Wetterlage			Fronten			Wetterlage			Fronten							
	Ddf	g	rr	AI	Z	L _v	L _n	Ddf	g	rr	AI	Z	L _v	L _n	Ddf	g	rr	AI	Z	L _v	L _n		
1	x91	4	65	k2	s	mp	mp	x52	4	75	K1	s	mT	mp	9x1	5	63						
2	x54	5	60					153	6	76	K2	a	mp	mP	xx1	5	61						
3	154	7	57					163	9	65					x71	6	62						
4	x52	7	55					272	7	64	W0	a	mP	mT	x72	5	63	W0	∞	n	eP	ct	
5	161	7	58					0x0	5	67					001	5	63						
6	171	7	59					x62	5	66					001	4	67	K0	n		ct	mp	
7	x01	6	62					x53	6	61	K1	n _v	mT	mp	001	5	68	W0	∞		mp	mt	
8	1x1	6	65	W0	∞	n	mp	174	7	60	W0	*	mp	mT	x62	5	65	K2	m		mt	mp	
9	x21	6	63					062	5	69					x63	5	62						
10	x21	6	65					x61	5	70					163	6	61	K1	p		mp	mP	
11	x01	5	67					x51	4	70	K2	s	mT	mp	272	6	59						
12	x61	5	65	KW0	a	*		153	7	62					283	6	61						
13	661	4	72	K1	p	mT	mp	262	7	60					001	5	67						
14	x62	6	69	W0	∞	n	mp	073	6	65	W0	p	mp	mT	001	5	68	W0	∞	n	mP	ct	
15	x61	4	73					x62	5	69					xx1	5	69						
16	654	3	73	K1	p	mT	mp	x62	6	68	K1	p	mT	mp	x52	5	66	K2	p		ct	mp	
17	172	9	64	K2	s _v	mp	mP	x52	5	65	W0	n	mp	mT	x52	6	60						
18	201	6	68	W0	∞	n	mP	553	4	68					x61	6	58						
19	x61	5	70					554	3	68	K2	m	mT	mp	x71	6	61						
20	x62	5	68	K2	p	mT	mp	162	6	59					x62	5	63	W0	p		mp	mT	
21	263	6	65					553	4	59	W1	p	mp	mT	664	4	65	K2	p		mT	mp	
22	153	6	62	k2	f	mp	mP	x52	5	58	K1	s _v	mT	mP	955	7	60						
23	662	7	56					663	5	56					174	6	53						
24	774	7	57	w1	f	mP	mp	064	5	58					674	5	61	W0	s		mp	mT	
25	074	6	63	W0	∞	n	mp	x64	5	59	W0	n _v	mP	mT*	664	5	63	K1	s		mt	mp	
26	x62	4	65	K0	n	mT	mp	174	7	55					174	7	57						
27	x62	6	69	W0	n	mp	mT	072	5	67					271	6	55						
28	x61	5	72					471	4	74	W0	p	mp	mT	0x1	4	58						
29	x62	6	71	K2	a	mT	mp	x01	5	76	K0	f	mT	mp*	561	3	61	W0	∞		mP	mT	
30	063	6	73					x01	6	76					552	1	61						
31	063	6	72	W0	∞	n	mp	901	5	71	K1	s	mT	cP									
Mittel	25		65					28		66					25		62						
	* 12.			KW	schleifend	mT	mp-mT	* 25.			K1	f	mT	mp									
								* 29.			W0	∞	mp	mT									
Oktober						November						Dezember											
1	x62	5	59	K2	a	mT	mp	152	9	39	K2	n _v	mT	mp	172	8	38	K1	s		mt	mp	
2	x62	6	54					083	6	43					273	7	34						
3	x64	5	57	W0	n	mp	mT	x61	5	47	W2	a	mp	mT	2x0	5	30						
4	553	4	61	K1	a	mT	mp	x71	6	44	K1	f	mT	mp	023	5	36						
5	x52	5	53					062	5	46					012	6	40						
6	x52	6	51	o1	f	mp	mp	x91	6	41	o0	f	mp	mp	273	7	41						
7	x53	6	52					xx1	6	44					071	5	39						
8	x61	6	59	W0	s	mp	mT	x61	4	48	W1	m	mp	mt	001	5	39	W1	n		mp	mT	
9	051	5	62					xx0	6	45	K1	a	mt	mp	663	4	37	K1	p		mT	mp	
10	552	4	60					x41	6	41	K1	m	mp	mP	666	4	34	W1	a		mp	mt*	
11	x53	5	58					942	6	39					554	4	37	W2	f		mp	mt*	
12	x53	5	55	K2	a	mT	mp	232	8	46	W _h 2	p	mP		x74	5	37	k1	n _v		mp	mp	
13	143	8	45					224	8	46					565	2	44	W2	f		mp	mt*	
14	773	6	56	W1	a	mp	mT	xx0	6	41	K _h 0	s	mP		x53	6	37						
15	776	7	58	K0	a	mT	mp	1x0	7	41	K0	∞	n	mP	cP	553	3	37	o0	n		mp	mp
16	778	8	50	K2	p	mp	mA	222	6	42					565	2	41	o1	n		mp	mp	
17	884	7	37					2x1	5	39					556	3	40						
18	171	8	35					241	5	42					553	4	36						
19	183	7	34					3x0	6	44					553	1	48	W1	s		mp	mT	
20	883	7	40	W1	a	mA	mt*	3x0	5	43					553	2	49	K0	f		mT	mp	
21	884	7	44	W1	p	mP	mt*	342	5	47	W _h 0	∞	n	cP	554	4	42						
22	115	7	42					351	5	52					x52	4	42						
23	215	6	44	W0	∞	n	mP	331	5	47	K _h 0	∞	n	cP	x43	4	43						
24	223	6	51					x41	5	47					122	8	41	k2	f		mp	cP	
25	021	6	51					x41	5	48	W0	∞	n	cP	mt	112	8	38					
26	200	7	52					2x1	7	50					1x1	7	38						
27	201	6	51					2x1	6	49					673	4	40	W2	s		cP	mT	
28	001	6	52					2x1	5	46					186	7	47	K1	n _v		mT	mp	
29	0x0	5	52					2x0	6	43					173	7	48	W2	s _v		mp	mT	
30	441	5	46					xx1	6	42					x64	5	47						
31	574	4	48	W0	m	mt	mt							563	3	52							
Mittel	32		51					16		44				35		40							
	* 20.													* 10.			K1	p		mT		mp	
	* 21.													* 11.			K1	a		mT		mp	
														* 13.			K1	p		mT		mp	

Die 30jährige Arosener Ozonmeßreihe

VON

G. Perl und H. Dütsch

Summary

Continuous observations of the total amount of ozone were started by Prof. Götze in 1926. Apart from a short interruption in 1929/1931 they were carried on up to present. This 30-year series of observations is practically homogeneous due to the big effort done by Prof. Götze in this respect. All values in these tables are given in the scale introduced with the new photoelectric Dobson instrument in 1939, based on the absorption-coefficients of Ny and Choong,

and are expressed in units 10^{-3} cm ozone NTP. The ozone values observed before 1939 with the old photographic Dobson instrument have been multiplied by 0,88 for reduction to this scale. Though by decision of the International Ozone Commission a new scale has been introduced on July 1st 1957 (based on Vigroux's new determination of the absorption-coefficients) the old scale has yet been used in this publication through the end of 1958.

Regelmäßige Messungen des Gesamt Ozonwertes wurden von Prof. F. W. P. Götze, dem Gründer des Lichtklimatischen Observatoriums in Arosa, im Jahre 1926 begonnen und in aufopfernder Arbeit bis zu seinem Tode (1954) fortgesetzt. Sie bilden einen wesentlichen Teil des Lebenswerkes des verstorbenen Strahlungsforschers. Die Beobachtung des Ozonbetrages ist am genannten Observatorium auch seither weitergeführt worden, so daß nun (mit einem kurzfristigen Unterbruch 1929/31, bedingt durch die Spitzbergenexpedition von Prof. Götze) eine kontinuierliche dreißigjährige Meßreihe zur Verfügung steht, die längste überhaupt existierende.

Sie darf wohl als weitgehend homogen bezeichnet werden. In unermüdlicher Arbeit hat dies Prof. Götze trotz des zweifachen Instrumentenwechsels, der im Beobachtungszeitraum stattgefunden hat, erreicht. Der Wechsel wurde durch die fortschreitende meßtechnische Entwicklung bedingt, wie sie vor allem in den Arbeiten von Prof. G. M. B. Dobson in Oxford (gegenwärtig Präsident der Internationalen Ozonkommission) erzielt worden ist. Am 24. Juli 1939 erfolgte der Übergang vom ersten, photographischen Dobsonspektrographen zum neuen, photoelektrischen Instrument, das noch einmal 1949 (in Arosa ab 27. August jenes Jahres) durch Ersetzen der Photozelle durch einen Photomultiplier verbessert worden ist. Nach dem Übergang vom photographischen zum photoelektrischen Instrument hat Prof. Götze während einiger Jahre beide Spektrographen nebeneinander benützt und so wesentlich dazu beigetragen, den Anschluß der alten Skala an die neue zu sichern. Die nach Mitte 1939 noch mit dem alten Instrument gemessenen Werte sind in dieser Zusammenstellung als * bezeichnet, während die mit * versehenen Resultate durch Mittelbildung aus am selben Tag durchgeführten Messungen mit beiden Apparaten entstanden sind.

Der Gesamtbetrag des atmosphärischen Ozons wird in cm angegeben. Es ist dies die Dicke der Ozonschicht, die

entstünde, wenn alles in einer vertikalen Säule in der Atmosphäre vorhandene O_3 am Boden als reines Gas von Normalbedingungen konzentriert würde. Da der Wert in Wirklichkeit nur wenige mm beträgt, ist er in dieser Tabelle in Einheiten 10^{-3} cm angegeben (sog. Dobson-Einheiten). Man wird dabei in der Einzelmessung die dritte Ziffer nicht mehr als völlig gesichert betrachten dürfen. Alle hier aufgeführten Werte sind in der mit dem photoelektrischen Instrument eingeführten Skala ausgedrückt, die auf den Messungen der Ozonabsorptionskoeffizienten nach Ny und Choong¹ beruht. Die früher mit dem photographischen Instrument gemessenen Daten, deren Reduktion auf älteren Untersuchungen über die fraglichen Absorptionskoeffizienten fußen, mußten zu diesem Zweck mit dem Faktor 0,88 multipliziert werden. Neuere Messungen des Ozonabsorptionskoeffizienten (Vigroux 1953²), die durch Untersuchungen in England bestätigt wurden, lassen die von Ny und Choong gefundenen Werte als zu groß erscheinen, was zur Folge hat, daß die in dieser Zusammenstellung gegebenen Ozonbeträge nach der heutigen Auffassung um den entsprechenden Faktor zu klein sind. Nach Beschluß der Internationalen Ozonkommission wurde mit Beginn des Geophysikalischen Jahres (Juli 1957) eine neue Skala in Kraft gesetzt, die bei gleichem Ozongehalt der Atmosphäre einen 1,35 mal größeren Ozonbetrag angibt. Aus Gründen der Homogenität wurden in dieser Darstellung auch die nach diesem Datum beobachteten Werte noch in der alten Skala aufgeführt. Eine Umrechnung des ganzen Materials auf die neue Skala wäre wenig sinnvoll gewesen, da praktisch alle in der Literatur zu findenden Beobachtungen aus dem Vergleichszeitraum in der alten Skala angegeben sind. Beim Vergleich mit andern vor 1939 ausgeführten Messungen muß darauf geachtet werden, ob dieselben schon auf die photoelektrische Skala umgerechnet sind, wie dies mit dem hier wiedergegebenen Material geschehen ist.

Im Dezember 1955 wurde das Instrument neu geeicht. Eine seither erfolgte weitere Überprüfung zeigte aber kleinere Mängel dieser Eichung. Obschon die Untersuchung noch nicht abgeschlossen ist, läßt sie erwarten, daß die Ozonwerte der Jahre 1956/57 (inkl. Dezember 1955) noch eine geringfügige Änderung (Erhöhung um etwa 2 %) erfahren werden.

Eine vollständige Veröffentlichung des in dieser Zusammenstellung enthaltenen umfangreichen Beobachtungsmaterials scheint nicht nur deshalb wünschenswert, weil es sich um die längste, mehr oder weniger kontinuierliche Meßreihe des Gesamtbetrages des atmosphärischen Ozons handelt, sondern auch weil diese in einem für solche Untersuchungen besonders geeigneten Klima (geringe Lufttrübung) aufgenommen worden ist. Wenn sich auch heute das Interesse der Ozonforschung vor allem der Bestimmung der vertikalen Verteilung dieses Gases in der Atmosphäre zuwendet, so hat doch diese Reihe von Gesamt Ozonwerten keineswegs an Bedeutung verloren, da sie wegen ihrer Länge bereits statistische Untersuchungen im Zusammenhang mit Schwankungen des Wetterablaufes erlauben sollte, wie sie verknüpft mit

Änderungen der allgemeinen Zirkulation auftreten. Solche Untersuchungen gewinnen erst recht an Wert durch das neue Licht, das durch die vor allem während des Geophysikalischen Jahres ausgeführten Beobachtungen der vertikalen Verteilung des Ozongases auf sie fällt. Wir sind daher Prof. Lugeon, Direktor der MZA, zu Dank verpflichtet, daß er durch diese Veröffentlichung in den Annalen die Arosener Ozonmeßreihe der Forschung auf breiterer Basis zugänglich macht.

¹ Ny Tsi-Ze et Choong Shin-Piaw, L'absorption de la lumière par l'ozone entre 3050 et 3400 Å. C. R. Acad. Sci. Paris, 195 (1932) 309.

² E. Vigroux, Contribution à l'étude expérimentale de l'absorption de l'ozone. Thèse, Paris 1953.

³ 10. bis 31. Juli 1940 wurden die Messungen auf Jungfraujoch (3580 m ü. M.) ausgeführt; zur Vergleichbarkeit mit den Werten von Arosa wurden sie um 0,004 cm erhöht (Prof. Götz).

⁴ Zur Berechnung des Jahresmittelwerts wurden für die fehlenden Monatsmittel die langjährigen Durchschnittswerte eingesetzt. Diese haben folgende Zahlenwerte: Januar 245, Februar 261, März 269, April 270, Mai 264, Juni 250, Juli 235, August 224, September 211, Oktober 205, November 207, Dezember 223. Jahr 239.

Atmosphärisches Ozon (10⁻³ cm)

	I	II	III	IV	V	VI	VII	VIII	IX	X	XI	XII	I	II	III	IV	V	VI	VII	VIII	IX	X	XI	XII													
	1931												1932																								
1	—	—	—	—	—	—	—	—	—	215	—	186	262	234	246	—	—	249	246	216	—	209	—	—													
2	—	—	—	—	—	—	—	—	230	194	—	169	—	234	246	—	—	253	—	—	231	—	215	—													
3	—	—	—	—	—	—	—	—	229	—	184	219	—	213	—	268	278	249	—	—	—	—	199	—													
4	—	—	—	—	—	—	—	—	—	187	187	—	—	209	270	—	—	246	223	—	—	—	209	205													
5	—	—	—	—	—	—	—	—	—	246	200	196	—	315	—	250	—	—	246	218	236	215	218	201	—												
6	—	—	—	—	—	—	—	—	—	—	188	—	—	—	227	264	—	—	242	217	—	210	232	216	—												
7	—	—	—	—	—	—	—	—	—	—	198	—	—	—	236	264	—	262	—	—	210	218	216	215	—												
8	—	—	—	—	—	—	—	—	—	242	206	—	177	—	254	—	—	—	—	229	223	221	—	—	—												
9	—	—	—	—	—	—	—	—	—	238	195	207	—	—	—	—	—	282	260	—	223	—	—	—	—												
10	—	—	—	—	—	—	—	—	—	225	199	—	—	222	297	—	—	—	259	—	227	218	—	199	201												
11	—	—	—	—	—	—	—	—	—	235	208	209	243	243	326	240	—	282	254	243	217	—	—	203	213												
12	—	—	—	—	—	—	—	—	—	—	206	220	214	238	272	298	—	253	260	219	229	221	205	211	—												
13	—	—	—	—	—	—	—	—	—	253	202	—	202	207	257	290	—	240	253	—	219	—	202	217	203												
14	—	—	—	—	—	—	—	—	—	249	—	—	184	—	233	241	—	224	255	—	216	—	211	217	—												
15	—	—	—	—	—	—	—	—	—	255	206	—	191	210	234	—	286	222	260	225	209	—	—	211	213												
16	—	—	—	—	—	—	—	—	—	—	238	208	—	—	312	207	251	290	250	246	241	209	—	219	—	192											
17	—	—	—	—	—	—	—	—	—	—	—	—	—	225	204	—	290	—	224	248	204	—	192	197	198												
18	—	—	—	—	—	—	—	—	—	252	200	210	—	221	230	—	282	252	227	261	207	192	181	198	201												
19	—	—	—	—	—	—	—	—	—	—	211	—	238	242	—	259	—	233	236	264	199	188	—	—	197												
20	—	—	—	—	—	—	—	—	—	—	196	—	223	236	245	—	—	243	227	246	208	188	167	—	194												
21	—	—	—	—	—	—	—	—	—	240	198	196	221	231	219	266	295	221	—	—	207	—	171	—	194												
22	—	—	—	—	—	—	—	—	—	245	—	218	214	—	218	300	274	246	—	231	217	—	175	—	—												
23	—	—	—	—	—	—	—	—	—	—	—	203	230	254	219	275	—	253	—	—	212	—	—	—	184												
24	—	—	—	—	—	—	—	—	—	245	—	—	194	234	241	275	—	—	—	—	—	—	199	—	—												
25	—	—	—	—	—	—	—	—	—	222	227	—	211	214	233	—	253	279	—	—	233	199	202	—	—												
26	—	—	—	—	—	—	—	—	—	203	208	—	212	201	240	228	244	290	298	—	241	206	204	—	214	—											
27	—	—	—	—	—	—	—	—	—	246	220	—	—	224	221	304	252	—	275	243	—	188	187	—	—												
28	—	—	—	—	—	—	—	—	—	218	—	—	216	203	309	—	—	281	238	—	209	211	225	—	—												
29	—	—	—	—	—	—	—	—	—	223	248	—	—	205	300	—	255	—	244	—	—	212	244	212	—												
30	—	—	—	—	—	—	—	—	—	229	—	182	286	204	—	—	251	—	244	—	211	—	—	—	—												
31	—	—	—	—	—	—	—	—	—	225	—	215	—	205	—	—	—	245	—	—	—	—	—	—	—												
Mittel	—	—	—	—	—	—	—	(221)	238	201	204	214	226	246	262	278	255	246	237	213	208	210	208	200													
														Jahr: —												Jahr: 232											
	1933												1934																								
1	—	—	242	282	—	—	265	244	—	—	241	213	—	—	—	253	—	—	248	—	—	209	—	205													
2	—	—	292	—	249	297	270	234	231	—	—	212	—	—	282	238	282	—	240	221	—	208	222	197													
3	—	221	275	254	—	262	249	246	—	—	—	194	—	256	—	234	285	262	238	—	215	—	212	217													
4	—	—	—	—	—	256	237	244	231	—	—	216	—	225	—	251	—	253	235	—	205	—	202	186													
5	224	171	—	238	249	250	222	219	237	—	—	249	—	214	—	254	280	—	243	235	208	223	198	202													
6	—	—	272	261	—	253	233	229	225	—	234	238	—	209	262	257	—	256	248	213	217	—	—	—													
7	—	—	260	—	250	251	244	228	—	—	214	—	—	183	251	283	246	—	238	226	—	—	228	—													
8	—	249	—	—	—	275	250	222	231	—	203	210	—	202	231	255	—	255	220	—	—	194	233	183													
9	—	—	272	—	—	260	233	213	231	—	205	242	—	214	—	—	258	243	229	—	—	194	214	194													
10	—	220	216	—	287	—	231	227	230	—	—	238	231	209	—	—	255	268	—	225	—	—	—	222													
11	259	—	237	287	—	275	230	221	221	—	—	236	229	225	245	260	247	252	—	242	197	192	201	—													
12	293	234	280	272	—	—	226	224	—	204	—	—	242	—	—	238	260	—	224	231	202	188	223	—													
13	285	215	290	—	273	266	242	223	212	—	—	—	—	210	—	—	259	267	—	—	201	189	—	—													
14	252	262	270	—	—	274	216	223	—	—	—	243	261	229	283	253	256	—	248	252	205	—	—	253													
15	264	—	265	262	292	250	—	—	207	—	212	—	—	—	260	245	266	—	—	260	190	—	—	—													
16	—	238	—	258	281	252	—	215	203	—	—	259	—	263	—	230	—	273	249	223	189	—	—	—													
17	—	261	—	260	—	246	257	—	225	—	—	262	—	228	—	211	—	253	223	224	191	257	204	218													
18	—	302	344	263	290	291	242	209	226	239	206	249	216	235	304	243	267	—	216	225	190	238	—	—													
19	—	305	298	—	290	—	236	—	—	—	203	272	203	219	282	247	262	246	221	212	197	216	—	—													
20	297	—	302	—	319	264	227	—	202	231	—	259	—	258	282	—	250	—	233	209	204	209	202	238													
21	—	—	296	—	282	265	237	216	214	221	—	—	256	—	325	255	—	271	244	224	194	—	206	—													
22	287	—	271	—	269	—	238	—	—	200	—	—	—	229	319	—	227	240	230	217	205	—	221	220													
23	254	—	311	—	252	283	246	236	229	202	—	228	247	220	296	—	—	230	244	211	—	192	200	—													
24	247	—	314	297	260	—	231	227	220	—	—	231	227	220	—	308	246	240	244	240	201	196	196	—													
25	—	340	328	282	—	—	225	224	201	—	—	211	213	—	285	268	251	234	—	235	205	—	205	—													
26	221	334	310	—	—	268	227	226	210	—	253	—	234	—	274	276	246	—	216	—	—	—	207	—													
27	243	256	—	293	—	258	227	—	198	220	—	—	—	—	281	254	276	—	216	—	—	179	—	—													
28	209	255	266	—	275	255	219	235	—	—	252	—	—	310	281	260	—	232	227	—	199	190	—	—													
29	202	—	268	—	—	—	231	216	—	—	—	278	—	—	—	256	247	—	216	—	194	195	178	—													
30	—	—	283	—	—	—	—	—	—	—	—	—	278	—	261	—	260	—	—	—	202	—	178	—													
31	—	—	—	—	289	—	238	222	—	239	—	273	—	—	264	—	—	—	—	—	—	—	—	—													
Mittel	253	257	282	269	275	264	237	226	219	(222)	221	239	237	228	277	254	258	252	233																		

Atmosphärisches Ozon (10⁻⁹ cm)

	I	II	III	IV	V	VI	VII	VIII	IX	X	XI	XII	I	II	III	IV	V	VI	VII	VIII	IX	X	XI	XII	
	1939												1940												vgl. Fußnote ^a Seite 2
1	224	256	253	266	281	262	—	230	—	213	222	—	231	—	264	271	274	—	243	—	210 ⁺	—	204 ⁺	248	
2	—	234	233	275	—	235	—	231	—	228	215	199	242	—	270	261	275	287	248	—	214 ⁺	—	—	217	
3	—	225	231	—	—	244	249	—	—	—	—	—	222	—	257	314	278	280	250	—	222 ⁺	—	224 ⁺	212 ⁺	
4	252	250	218	244	—	246	231	—	—	—	213	—	235	—	261	—	317	—	—	—	215 ⁺	—	207 ⁺	238 ⁺	
5	—	—	—	239	—	233	—	—	—	—	—	—	252	277	—	—	—	282	262	—	222 ⁺	—	208 ⁺	—	
6	—	195	—	—	268	231	—	—	—	—	174	—	255	287	—	—	298	285	—	—	217 ⁺	—	—	—	
7	—	202	—	—	286	—	—	224	—	—	—	180	—	—	358	337	292	291	—	238 ⁺	218 ⁺	—	—	—	
8	—	232	—	—	—	253	214	—	—	—	191	—	281	263	347	331	295	277	—	235 ⁺	209 ⁺	—	—	—	
9	226	209	—	246	—	238	215	—	193	—	192	—	—	—	310	344	308	273	—	238 ⁺	—	—	220 ⁺	242	
10	182	—	—	244	—	251	—	—	192	—	—	—	302	—	303	335	305	273	234	224 ⁺	—	—	227 ⁺	—	
11	—	224	—	—	—	—	—	189	200	199	—	—	287	292	296	337	—	270	236	222 ⁺	—	—	238 ⁺	251 ⁺	
12	—	246	274	—	—	—	—	198	201	204	221	—	—	—	297	319	—	271	272	—	245 ⁺	—	205 ⁺	—	
13	219	—	—	204	—	—	244	—	—	—	201	233	239	361	288	329	292	273	257	238 ⁺	235 ⁺	—	200 ⁺	—	
14	248	288	—	—	—	—	243	—	214	201	202	253	237	—	305	311	284	—	243	230 ⁺	246 ⁺	243 ⁺	—	217 ⁺	
15	—	258	—	—	291	—	229	226 ⁺	—	197	197	—	230	—	321	301	290	274	—	209 ⁺	243 ⁺	—	—	199	
16	—	253	—	247	—	267	216	222 ⁺	—	—	200	233	229	—	312	305	291	—	—	242 ⁺	214 ⁺	204 ⁺	244 ⁺	—	
17	—	259	—	231	—	—	244	225 ⁺	—	197	—	233	—	334	—	291	—	—	—	230 ⁺	211 ⁺	204 ⁺	—	227	
18	248	—	—	—	—	—	238	229 ⁺	—	186	—	203	—	—	272	286	—	—	253	220 ⁺	209 ⁺	—	249 ⁺	227	
19	—	—	341	—	—	—	230	229 ⁺	—	187 ⁺	205	198	—	—	—	—	—	267	252	224 ⁺	211 ⁺	188 ⁺	—	—	
20	236	—	—	—	—	—	221	—	213	—	—	—	331	—	286	290	305	262	243	256 ⁺	217 ⁺	197 ⁺	218 ⁺	270	
21	178	270	—	—	—	—	217	—	—	—	238	220	335	277	294	301	283	249	244	—	217 ⁺	193 ⁺	180 ⁺	256	
22	225	263	263	246	—	230	—	—	203	—	218	—	326	260	287	291	266	256	—	—	203 ⁺	199 ⁺	188 ⁺	258	
23	—	251	296	—	—	219	—	—	207	—	200	201	329	—	294	276	267	264	—	234 ⁺	—	194 ⁺	—	261	
24	—	—	—	260	—	237	256	—	—	219	—	209	322	266	282	276	276	266	218	246 ⁺	—	—	—	253	
25	231	259	—	—	—	249	266	—	201	222	211	201	309	278	268	311	270	296	—	225 ⁺	—	—	212 ⁺	234	
26	—	—	296	—	—	—	240	—	200	245	—	217	—	—	280	304	263	—	—	—	—	—	209 ⁺	—	
27	—	—	—	—	238	—	268	217 ⁺	202	—	184	—	—	271	313	280	276	—	228	218 ⁺	—	—	209 ⁺	260	
28	224	218	—	—	—	—	244	212 ⁺	220 ⁺	264	212	231	—	254	—	279	270	—	238	214 ⁺	—	—	—	249	
29	230	—	307	—	—	224	225	209 ⁺	212	250	—	—	—	253	334	—	—	312	237	225 ⁺	—	238 ⁺	—	238	
30	—	—	265	—	256	224	223	220 ⁺	205	218	192	217	—	—	291	—	—	247	253	220 ⁺	—	—	—	236	
31	253	—	285	—	—	—	223	213 ⁺	—	224	—	244	285	—	290	—	281	—	246	220 ⁺	—	214 ⁺	—	230	
Mittel	227	242	272	246	(270)	240	235	222	204	216	202	220	274	283	295	303	285	274	245 ^b	229	220	207	214	239	
Jahr: 233																									Jahr: 256
	1941												1942												
1	223	306	—	287	301	295	248*	253	228	220 ⁺	282 ⁺	219 ⁺	—	—	271 ⁺	—	—	—	233	220	209	188	252	205	
2	—	—	—	299	309	249	—	250	221	223 ⁺	—	216 ⁺	218 ⁺	293 ⁺	282 ⁺	260 ⁺	359 ⁺	254 ⁺	—	209	221	174	229	209	
3	—	283	—	288	—	243	259	247	224	202 ⁺	266 ⁺	245 ⁺	—	265 ⁺	280 ⁺	275 ⁺	—	266 ⁺	—	227	208	158	215	224	
4	267	—	289	297	314	232	244	—	220	203 ⁺	275 ⁺	246 ⁺	206 ⁺	—	253 ⁺	297 ⁺	303 ⁺	238 ⁺	232	244	211	163	212	225	
5	274	292	—	—	304 ⁺	224	247	232	217	204 ⁺	—	231 ⁺	—	304 ⁺	262 ⁺	—	306 ⁺	236 ⁺	217	—	202	174	215	211	
6	269	—	283	—	306	—	248	276	217 ⁺	197 ⁺	—	243 ⁺	—	—	—	278 ⁺	286 ⁺	232 [*]	221	—	204	—	—	204	
7	266	—	271	—	325	249	235 ⁺	272	229 ⁺	190 ⁺	218 ⁺	243 ⁺	—	310 ⁺	—	235 ⁺	272 ⁺	243	226	242	—	—	—	218	
8	254	—	—	319	271	233	253	—	196 ⁺	187 ⁺	246 ⁺	—	—	290 [*]	—	—	284 ⁺	260 ⁺	248	230	195	196	—	200	
9	—	186	292	315	298	—	246	—	238	199 ⁺	194 ⁺	196 ⁺	292 ⁺	—	253 ⁺	275 ⁺	289 ⁺	251 [*]	236	217	190	—	—	195	
10	256 ⁺	216	330	295	306	280	244	242	223	191 ⁺	212 ⁺	188 ⁺	—	247 ⁺	—	283 ⁺	259 ⁺	244	221	245	187	183	—	—	
11	209 ⁺	264	317	330	—	—	253	236	219	—	194 ⁺	194 ⁺	304 ⁺	—	—	277 ⁺	—	235	254	211	192	188	—	193	
12	209 ⁺	255	305	300	—	262	256*	239	—	—	—	200 ⁺	288 ⁺	278 ⁺	—	268 ⁺	260 ⁺	—	234	212	196	198	—	206	
13	224 ⁺	—	299	253	310	269	235	251	—	226 ⁺	224 ⁺	—	283 ⁺	252 ⁺	266 ⁺	268 ⁺	285 ⁺	—	—	199	200	192	196	—	
14	232 ⁺	221	297	242	297	281	241 ⁺	232	236	207 ⁺	—	187 ⁺	284 ⁺	—	246 ⁺	287 ⁺	—	266	231	223	202	191	208	185	
15	269 ⁺	256	294	—	290	263	239	235	—	—	225 ⁺	180 ⁺	289 ⁺	—	266 ⁺	357 ⁺	—	—	—	226	207	—	203	—	
16	293 ⁺	260	291	—	—	—	—	232	250	190 ⁺	201 ⁺	195 ⁺	—	—	353 ⁺	268 ⁺	354 ⁺	268 ⁺	282	238	219	187	190	176	222
17	—	286	314	293	271	242	—	237	220*	190 ⁺	—	—	275 ⁺	366 ⁺	259 ⁺	323 ⁺	260 ⁺	—	245	213	189	201	—	—	
18	—	351	291	296	293	243	228	228	216*	—	208 ⁺	—	289 ⁺	332 ⁺	—	—	246 ⁺	—	250	217	196	—	—	231	
19	—	296	271	294	—	244	258	—	209	—	—	—	304 ⁺	335 ⁺	279 ⁺	—	238 ⁺	240	—	223	196	—	196	244	
20	—	—	287	289	—	253	255	—	205	190 ⁺	—	—	274 ⁺	333 ⁺	300 ⁺	—	236 ⁺	227	—	214	201	—	217	245	
21	—	341	273	275	290	242	250	235	201	210 ⁺	203 ⁺	228 ⁺	276 ⁺	312 ⁺	279 ⁺	—	219 ⁺	229	240	—	205	—	220	234	
22	—	335	—	278	270	245	251	227	199 ⁺	224 ⁺	204 ⁺	233 ⁺	286 ⁺	—	—	—	—	—	237	215	209	—	—	223	
23	—	344	—	272	270	252	249	230	199 ⁺	237 ⁺	222 ⁺	—	340 ⁺	278 ⁺	—	—	271 ⁺	242	—	—	204	—	238	221	
24	279 ⁺	327	—	281	—	248	244	216	209 ⁺	—	216 ⁺	—	—	292 ⁺	289 ⁺	287 ⁺	—	245	222	—	210	199	—	—	
25	—	310	290	—	281	254	237	218	209 ⁺	—	202 ⁺	—	—	282 ⁺	249 ⁺	—	268 ⁺	239	221	216	215	205	234	250	
26	265	264	257	—	279	243	—	211	—	—	205 ⁺	224 ⁺	295												

Atmosphärisches Ozon (10⁻³ cm)

	1943												1944											
	I	II	III	IV	V	VI	VII	VIII	IX	X	XI	XII	I	II	III	IV	V	VI	VII	VIII	IX	X	XI	XII
1	195	—	230	—	251	—	256	237 ⁺	208 ⁺	212 [*]	203	—	—	200	—	207	—	233	219	—	202	184	—	227
2	—	—	232	—	259	—	262	227 ⁺	218 ⁺	218 [*]	—	229 ⁺	—	—	207	—	240	243	248	219	232	206	—	219
3	—	—	261	265	244	280	258	—	226 ⁺	203	—	—	202	185	241	267	240	—	220	220 [*]	—	207	—	235
4	—	—	262	249	248	301	234	—	—	214 [*]	196	223 ⁺	—	—	—	267	240	260	—	—	212	208	213	—
5	—	—	250	249	268	266	230	219 ⁺	213 ⁺	205	198	224 ⁺	—	—	—	257	246	256	230	227 [*]	205	235	239	219
6	—	—	—	255	255	246	—	217 ⁺	212 ⁺	216	195	226 ⁺	222	—	—	252	256	250	213	237	203	198	216	227
7	—	—	283	269	249	—	248	232 ⁺	207 ⁺	209	—	—	213	—	—	248	—	—	210	231 [*]	191	200	—	223
8	273	265	260	283	—	—	—	214 ⁺	218 [*]	—	—	—	204	—	293	245	270	268	229	233 [*]	201	202	—	—
9	247	296	286	285	272	228	—	213 ⁺	217 [*]	199	—	—	223	—	—	284	270	266	240	229	213	—	—	267
10	255	—	290	251	266	242	246	214 ⁺	219 [*]	195	—	263 ⁺	203	—	—	—	252	—	226	224 [*]	—	222	—	264
11	275	264	286	253	240	—	224	211 ⁺	205	200	—	249 ⁺	—	—	229	262	—	279	—	211 [*]	238	—	—	—
12	—	187	279	253	243	255	237	228 ⁺	199	187	204 [*]	238 ⁺	—	297	257	259	266	240	246	219 [*]	209	188	252	210
13	—	—	283	262	245	224	232	216 ⁺	194 [*]	—	199	228 ⁺	193	—	—	270	248	240	237	211	203	201	—	—
14	—	—	285	263	232	231	230	212 ⁺	195	207	233 [*]	210 ⁺	209	—	—	256	248	231	240	209	205	210	229	212
15	—	257	285	270	236	—	228	—	—	210	259 [*]	—	227	271 [*]	294	—	239	246	209	215 [*]	202	201	—	217
16	—	—	286	268	243	283	228	194 ⁺	192	210	—	220 ⁺	222 [*]	—	288	—	—	240	—	215 [*]	199	201	233	—
17	229	—	278	264	248	—	—	215 ⁺	190 [*]	213	—	224 ⁺	220 [*]	279 [*]	—	269	—	253	212	—	199	—	215	210
18	219	244	282	237	240	253	—	212 ⁺	193	212	—	235 ⁺	219	—	263	270	250	—	221	222	198	189	186	196
19	240	221	286	248	236	—	—	213 ⁺	191	216	249	—	—	301 [*]	245	—	239	—	244	227	201	211	186	198
20	227	227	286	256	251	232	—	210 ⁺	210	202 ⁺	—	—	224	274	—	282	239	256	242	216	—	194	193	207
21	—	222	294	247	—	241	—	208 ⁺	195	210	—	—	215	271	—	—	—	251	236	213	202	—	—	217
22	203	223	302	243	—	237	234 ⁺	210 ⁺	—	208	—	—	213	285	—	—	—	252	—	209 [*]	211	221	—	219
23	232	223	288	248	—	288	240 ⁺	—	212	211	221 [*]	—	—	301	315	231	247	248	—	202 [*]	230	226	—	226
24	—	217	270	—	—	229	237 ⁺	202 ⁺	203	196 ⁺	—	214 ⁺	219	248	277	221	257	248	230	201	210	215	204	233
25	240	221	252	243	—	232	—	—	206	—	—	232 ⁺	—	232 ⁺	301	—	262	238	226	—	226	212	191	228
26	—	—	266	230	—	236	240 ⁺	215 ⁺	—	209	221	211 ⁺	—	241	—	—	246	234	212	207 [*]	—	207	197	218
27	—	303	302	256	—	243	—	—	—	—	220 ⁺	—	222	260	—	245	250	248	230	212	191	—	200	238
28	246	256	237	257	231	238	249 ⁺	—	—	213	—	202 ⁺	239	277	262	256	239	242	225	212	—	—	217	256
29	267	—	—	—	239	246	231 ⁺	—	234	214 [*]	197	212 ⁺	—	—	—	262	229	232	—	—	—	—	205	246
30	241	—	250	278	233	255	229 ⁺	—	216 [*]	215	—	254 ⁺	188	—	—	—	221	247	—	209	196	238	—	265
31	—	—	245	—	—	—	224 ⁺	216 ⁺	—	206 ⁺	—	—	185	—	271	—	234	—	224	200 [*]	—	231	—	—
Mittel	239	242	272	257	247	249	238	215	199	208	215	227	213	258	272	255	247	248	227	217	207	208	212	227
	Jahr: 234												Jahr: 233											
	1945												1946											
1	—	258	265	243	—	253	233	227	222	—	—	246	249	205	309	—	265	231	—	223	208	181	—	—
2	270	286	—	242	338	263	273	244	213	238 ⁺	211	261	252	281	293	254	—	—	220	224	205	189	201	216
3	233	—	296	241	323	258	—	243	204	235 ⁺	194	—	257	234	—	265	241	258	222	212	204	191	210	228
4	238	275	303	264	291	255	277	243	210	251 ⁺	196	—	240	207	314	243	243	251	221	214	197	—	192	—
5	262	—	—	271	276	250	263	243	223	—	205	—	244	255	311	242	250	229	222	212	201	201	—	—
6	—	—	—	293	261	244	252	234	—	—	210	—	199	263	297	249	253	230	—	223	—	—	224	—
7	234	259	—	—	241	240	246	239	218	194 ⁺	—	—	199	—	282	243	270	242	—	216	195	209	238	—
8	—	254	—	278	253	245	238	—	211	199 ⁺	—	243	201	218	275	248	262	236	—	216	197	208	232	212
9	287	—	279	265	249	242	230	—	—	202 ⁺	—	208	201	—	285	266	260	249	238	215	—	—	—	—
10	295	235	252	257	254	277	235	254	—	197	—	212	—	—	296	—	251	229	230	216	206	223	215	—
11	272	—	219	254	255	—	—	246	225	195	231	196	211	—	268	268	264	227	—	215	200	208	220	235
12	266	256	238	242	259	243	232	238	220	204	—	—	225	—	280	240	266	249	233	205	195	193	222	210
13	263	233	238	268	254	265	220	237	207	222	227	—	—	261	267	248	256	—	243	206	193	181	217	—
14	271	235	240	—	250	267	221	232	196	207	228	—	—	239	275	251	216	267	242	207	200	186	209	—
15	226	244	228	264	262	255	218	221	200	186	220	—	301	—	—	266	—	256	—	—	197	191	212	—
16	215	239	230	260	252	255	222	223	177	202	223	188	289	212	—	270	—	272	229	217	191	197	220	—
17	211	253	—	257	258	257	230	232	179	211	201	223	293	257	—	258	—	253	236	213	182	197	236	230
18	245	—	279	277	255	260	235	231	192 ⁺	215	210	—	—	226	262	242	265	240	230	215	—	200	208	210
19	318	231	262	262	251	248	222	257	—	203	210	—	—	—	249	—	247	238	227	—	184	205	—	200
20	335	258	240	257	251	237	228	—	186 ⁺	198	216	—	236	221	242	239	236	—	231	235	191	206	187	203
21	—	—	253	275	239	233	220	226	189 ⁺	200	211	223	231	—	239	241	—	—	—	240	203	210	196	235
22	—	284	248	—	295	235	220	232	—	193	210	—	254	—	242	—	246	—	235	—	211	215	—	245
23	267	260	244	266	282	229	232	247	—	203	208	—	245	295	247	254	—	—	219	227	204	210	231	237
24	273	257	240	264	304	231	226	231	249 ⁺	198	209	—	215	284	248	268	237	—	223	223	191	212	189	223
25	301	267	258	270	270	238	223	222	244 ⁺	208	205	—	247	—	260	272	237	—	218	230	196	218	186	240
26	—	—	253	256	—	245	232	222	262 ⁺	188	197	—	222	265	262	276	254	242	219	—	192	217	—	—
27	—	244	—	262	263	266	224	220	—	202	—	—	250	260	249	259	265	247	214	229	188	214	210	240
28	297	261	—	—	264	249	228	218	224 [*]	190	196	—	237	302	245	262	252	233	211	215	192	209	210	—

Atmosphärisches Ozon (10⁻³ cm)

	1947												1948											
	I	II	III	IV	V	VI	VII	VIII	IX	X	XI	XII	I	II	III	IV	V	VI	VII	VIII	IX	X	XI	XII
1	—	262	308	271	263	246	244	218	231	197	—	221	—	—	259	—	267	258	271	221	217	197 ⁺	209	214
2	—	240	289	254	267	244	—	215	219	209	200	—	—	205	280	291	257	260	251	222	218	182 ⁺	193	218
3	236	238	270	284	239	246	232	230	234	219	202	248	—	208	257	259	—	242	—	221	217	182 ⁺	175	227
4	273	—	280	—	250	245	234	224	243	219	222	—	245	—	234	271	272	—	250	223	227	177 ⁺	189	236
5	272	—	—	301	—	—	—	249	231	238	210	216	213	253	213	247	290	261	242	—	229	241	—	238
6	270	—	332	—	262	—	237	229	232	217	194	—	244	213	—	—	—	247	—	224	—	—	—	222
7	294	271	—	—	248	276	233	226	235	218	—	252	—	—	243	284	247	244	—	222	—	202	—	217
8	272	—	—	252	248	244	—	236	230	215	188	252	250	—	248	238	247	243	243	210	—	200	—	230
9	—	304	326	272	252	259	—	226	228	210	193	—	250	238	218	290	244	232	281	216	—	190	—	216
10	285	—	287	—	260	255	258	225	216	205	—	—	236	229	199	272	244	234	279	—	—	183	—	—
11	—	297	275	283	244	251	242	233	219	216	188	218	197	—	241	262	242	227	—	225	—	176	199	218
12	248	324	293	265	242	261	230	231	216	211	185	206	271	246	—	254	243	224	248	—	—	176	191	—
13	239	—	248	243	250	—	257	241	217	208	171	—	214	—	222	264	239	234	247	248	—	184	192	224
14	—	329	275	264	250	251	248	234	206	204	175	—	—	—	227	256	230	237	239	239	—	198	192	208
15	248	297	—	252	—	—	250	231	216	209	—	—	—	—	242	263	232	237	—	228	—	207	205	214
16	241	283	257	250	—	245	246	210	211	208	180	—	257	279	—	272	235	241	—	223	—	210	—	—
17	241	276	239	262	257	233	—	236	215	222	211	—	312	343	—	266	250	236	268	226	—	217	—	—
18	264	279	240	273	248	240	—	228	203	—	—	—	246	369	236	255	234	238	—	—	185 ⁺	207	202	257
19	281	—	289	270	260	228	244	228	205	205	197	250	243	315	245	260	243	—	239	234	192 ⁺	—	184	249
20	279	293	—	263	266	245	—	233	207	199	199	210	—	—	232	267	250	—	231	224	191 ⁺	—	179	241
21	266	269	251	—	—	244	250	224	213	210	173	—	—	267	228	257	255	253	232	226	—	207	171	228
22	—	257	238	249	272	—	244	—	222	204	171	—	264	268	214	246	269	256	231	225	213 ⁺	198	214	219
23	304	—	263	288	283	—	235	235	218	221	—	—	—	325	264	251	257	—	235	214	223 ⁺	206	215	212
24	343	276	—	251	268	237	232	233	—	212	—	185	—	267	262	—	253	—	236	211	—	189	235	245
25	299	303	—	247	262	232	233	233	217	218	—	178	230	281	280	261	256	—	—	204	221 ⁺	204	234	238
26	304	264	304	243	255	234	227	228	—	—	—	177	248	272	255	278	246	262	233	204	221 ⁺	204	219	233
27	288	273	284	243	251	235	222	238	218	—	245	—	249	244	261	260	244	240	223	204	212 ⁺	—	215	240
28	266	—	289	267	261	247	221	221	208	214	—	221	—	229	257	251	—	—	229	205	210 ⁺	—	219	222
29	257	—	—	255	250	258	213	237	185	211	253	—	229	232	265	—	254	274	232	—	199 ⁺	245	218	—
30	267	—	—	234	251	245	215	243	192	205	—	266	213	—	259	265	274	266	—	218	208 ⁺	260	218	231
31	236	—	—	—	248	—	222	242	—	198	—	—	188	—	278	—	253	—	228	216	—	—	—	—
Mittel	271	281	278	261	256	241	237	230	218	210	198	221	242	262	246	257	250	245	244	221	212	200	203	228

Jahr: 242

Jahr: 234

	1949												1950											
	I	II	III	IV	V	VI	VII	VIII	IX	X	XI	XII	I	II	III	IV	V	VI	VII	VIII	IX	X	XI	XII
1	—	258	—	272	—	249	236	228	206	179	209	215	203	253	—	263	258	—	233	238	—	—	201	208
2	—	—	—	243	249	—	261	230	206	200	—	190	208	262	284	226	262	258	231	240	225	215	212	197
3	—	231	—	241	254	261	247	227	199	190	—	—	—	259	267	240	—	254	230	—	229	219	207	224
4	226	241	317	221	259	246	241	223	200	189	233	174	—	266	256	234	278	265	225	—	—	209	—	236
5	—	201	317	—	256	255	232	219	201	183	225	179	233	—	249	—	280	265	227	239	214	203	—	247
6	212	197	300	217	263	244	245	221	203	197	—	—	235	293	240	240	285	261	204	243	—	207	—	—
7	221	194	279	300	—	246	236	229	197	185	—	193	233	—	223	236	279	261	256	240	217	213	196	225
8	—	233	260	209	254	244	230	216	—	204	233	191	232	—	214	232	273	259	239	254	213	195	189	233
9	—	249	—	320	253	235	—	216	—	204	—	—	230	310	215	220	259	260	229	230	206	190	176	231
10	279	284	239	277	302	236	245	—	228	—	194	—	236	—	195	258	263	254	234	227	196	197	180	—
11	231	284	257	274	—	248	237	237	234	207	185	—	—	242	215	259	287	259	239	—	201	209	177	—
12	—	293	262	252	—	272	224	—	218	199	190	246	—	—	248	245	279	259	222	—	203	211	—	247
13	—	306	242	234	—	242	222	246	207	194	203	227	228	266	270	—	271	251	230	—	205	198	193	—
14	—	299	213	235	314	235	235	—	—	192	—	200	225	—	253	—	284	—	227	233	205	—	191	243
15	—	266	251	243	311	248	232	232	208	201	—	—	220	289	263	—	282	247	247	236	200	—	—	254
16	—	267	246	240	273	250	234	223	213	204	237	—	225	248	253	—	288	249	225	231	—	202	—	—
17	—	270	258	237	291	263	240	226	207	205	203	—	—	243	256	323	276	—	224	227	210	219	198	—
18	—	266	256	244	278	273	231	260	205	200	232	—	—	237	281	296	267	243	224	—	208	—	208	—
19	202	286	288	240	264	268	—	240	198	182	—	—	—	254	283	286	271	249	234	232	—	174	203	—
20	210	290	—	231	—	258	237	234	202	179	—	208	292	260	283	296	247	246	228	223	209	177	—	—
21	—	276	300	246	—	241	246	237	207	175	204	228	291	252	—	278	234	221	196	211	212	190	253	247
22	—	270	278	248	—	248	238	237	202	195	186	—	262	259	—	282	233	253	218	206	220	200	—	—
23	222	254	274	241	244	249	243	229	198	198	—	231	285	215	280	—	234	254	221	209	225	203	268	—
24	235	251	277	239	246	264	—	228	186	191	216	235	284	211	253	280	254	250	225	202	212	203	—	253
25	—	252	278	248	239	254	257	—	190	185	206	228	284	253	296	317	244	257	227	206	206	217	230	—
26	261	248	258	—	244	260	247	—	191	187	—	223	293	—	301	298	—	255	217	208	201	—	—	268
27	255	244	254	262	254	244	245	—	203	192	—	191	—	—	284	311	281	235	221	206	196	224	203	—
28	252	—	262	264	254	245	235	—	191	—	—	181	—	295	277	310	—	238	227	210	204	232	192	—
29	251	—	258	266	245	244	232	—	185</															

Atmosphärisches Ozon (10⁻³ em)

	I	II	III	IV	V	VI	VII	VIII	IX	X	XI	XII	I	II	III	IV	V	VI	VII	VIII	IX	X	XI	XII
	1955												1956											
1	—	—	313	259	244	292	228	255	—	190	208	—	—	322	—	—	—	—	—	238	202	—	202	209
2	—	227	288	246	260	274	235	—	204	191	209	—	—	292	—	—	—	—	—	218	196	—	—	201
3	231	—	272	246	298	241	234	249	207	197	195	—	246	297	—	257	288	266	—	219	192	—	—	—
4	—	253	238	256	—	231	230	—	213	206	176	—	216	276	—	269	257	243	225	234	207	—	206	—
5	209	246	315	—	228	247	250	250	217	—	167	—	228	310	—	272	253	240	212	—	205	208	—	181
6	186	—	—	255	221	239	—	235	221	217	169	—	222	—	254	—	237	240	210	223	216	—	—	—
7	201	259	329	—	—	230	—	241	227	—	183	—	243	—	—	—	229	254	213	—	212	—	191	—
8	230	—	309	263	270	245	—	265	216	209	192	—	253	279	269	298	—	—	—	206	211	220	181	—
9	222	—	311	—	240	256	—	246	211	198	205	—	254	—	253	291	—	—	216	196	206	205	188	—
10	227	—	314	—	238	275	241	—	—	215	—	—	—	315	276	289	258	287	221	203	202	196	190	—
11	—	—	310	—	—	—	232	249	—	214	214	—	223	297	311	298	—	243	—	—	212	190	193	—
12	—	—	309	—	254	255	232	242	205	220	200	—	—	279	332	278	250	241	234	—	192	190	—	204
13	209	—	295	239	241	263	228	238	—	209	199	195	—	278	307	277	—	245	226	—	—	183	205	197
14	216	—	296	285	240	262	242	242	230	202	—	—	241	—	296	—	269	—	—	—	200	177	207	220
15	214	271	280	293	—	—	252	241	256	205	—	207	—	—	271	264	282	—	237	—	190	180	—	225
16	—	302	272	310	266	233	252	238	248	218	216	211	231	268	277	—	260	243	—	—	192	188	212	210
17	—	—	270	274	253	243	—	225	209	—	214	—	235	274	268	—	259	—	236	—	197	195	206	200
18	—	—	312	275	—	—	—	234	211	—	—	251	—	256	262	—	252	—	233	—	206	193	201	205
19	272	252	287	313	262	240	—	225	210	215	215	224	—	—	262	—	—	—	236	—	214	193	203	209
20	270	—	278	301	262	—	—	227	206	213	212	206	225	—	262	284	—	—	246	—	—	188	206	—
21	264	—	276	256	270	238	—	233	209	—	203	223	227	285	—	—	269	—	248	—	198	199	213	230
22	—	266	276	258	—	247	—	226	207	—	194	—	246	271	264	—	254	—	245	—	194	188	200	—
23	—	261	261	253	273	240	—	223	203	216	195	—	239	273	—	—	—	—	232	—	192	185	202	234
24	244	277	218	246	258	232	236	234	203	207	—	—	—	266	262	257	256	—	222	206	186	185	199	223
25	221	305	222	245	262	245	243	238	198	—	—	—	—	250	—	262	—	—	218	—	185	181	197	256
26	211	—	248	248	262	248	250	237	196	200	197	243	—	251	245	262	264	242	216	210	—	—	—	274
27	215	—	236	268	254	—	—	223	—	195	194	—	—	246	—	266	228	—	217	—	—	230	183	236
28	220	—	—	251	250	261	255	217	—	205	192	219	235	259	237	260	222	—	222	—	192	—	200	220
29	223	—	—	255	—	245	—	226	—	212	194	203	—	—	211	—	232	—	226	—	—	222	—	—
30	202	—	—	252	—	244	242	217	201	221	206	243	—	—	212	—	232	—	—	213	—	233	—	200
31	205	—	271	—	273	—	248	223	—	214	—	—	262	—	222	—	270	—	232	209	—	218	—	213
Mittel	224	265	282	264	256	249	241	236	213	208	198	220	237	278	264	274	253	(249)	227	(215)	200	198	199	216
	Jahr: 238												Jahr: 234											
	1957												1958											
1	232	226	248	260	—	266	238	212	226	—	190	218	220	208	326	315	265	251	242	220	237	221	—	241
2	—	220	265	276	—	260	227	216	237	217	—	213	227	211	—	278	279	245	238	219	248	230	218	228
3	—	230	278	—	—	225	231	219	—	197	203	208	206	211	—	245	288	256	279	—	235	217	209	240
4	—	237	270	240	275	—	220	227	219	198	208	—	239	234	287	—	290	254	—	233	223	210	—	204
5	—	240	255	214	269	246	216	233	213	212	205	—	218	254	277	282	271	275	277	230	210	212	223	197
6	—	220	240	218	313	245	220	223	214	223	—	198	—	263	252	—	282	250	261	227	209	—	—	217
7	185	211	244	—	—	253	214	221	212	214	226	216	—	—	—	—	274	259	258	—	213	—	206	234
8	195	206	244	—	292	242	214	210	212	196	236	—	—	227	323	—	253	259	265	236	217	211	206	226
9	189	227	—	260	292	251	215	219	208	185	214	215	—	234	319	340	248	256	252	232	214	200	203	261
10	186	—	237	255	284	254	—	228	216	190	202	233	262	238	—	347	252	—	246	235	214	204	—	221
11	—	248	236	—	260	255	—	223	211	195	—	—	246	252	—	366	248	—	252	236	224	219	242	—
12	216	250	229	281	262	—	224	228	212	195	214	231	—	238	375	375	250	—	257	—	220	—	—	259
13	—	258	221	296	—	222	230	216	227	202	229	—	289	248	—	285	258	290	251	246	213	—	—	—
14	302	255	211	—	242	234	—	235	—	207	228	254	278	229	328	278	260	282	251	227	214	—	242	—
15	290	260	233	323	236	226	—	220	—	192	219	260	244	259	314	285	273	274	240	230	208	—	235	258
16	251	280	235	272	—	233	246	—	233	191	219	271	216	—	288	—	268	266	240	224	204	201	216	236
17	247	251	247	266	—	256	246	230	225	193	208	264	198	—	278	—	—	267	—	222	205	—	220	222
18	246	275	250	289	248	248	234	237	220	181	208	216	214	—	—	—	254	263	240	228	—	262	226	254
19	234	243	226	—	249	239	—	—	216	177	198	—	229	—	267	—	253	266	231	224	197	260	221	230
20	254	245	218	249	—	236	251	227	215	—	193	225	—	—	305	272	249	250	250	247	198	—	220	—
21	260	—	224	257	—	239	—	—	213	212	190	—	289	—	—	261	254	253	238	241	202	—	198	244
22	280	—	234	255	264	255	—	232	—	203	183	—	298	—	321	278	270	267	—	259	—	230	189	250
23	256	240	251	256	251	—	247	230	—	—	189	—	328	—	260	305	272	280	276	249	217	185	240	—
24	—	—	268	254	—	249	242	217	197	200	209	—	329	267	249	277	263	—	248	244	205	212	187	—
25	—	211	254	248	253	—	235	226	197	191	190	—	298	278	248	269	257	260	239	228	199	217	196	—
26	221	220	261	242	—	268	230	236	202	191	196	—	264	—	260	279	251	—	238	—	213	208	207	227
27	224	—	263	225	267	239	223	—	192	192	203	229	264	—	259	300	—	—	250	228	216	212	216	228
28	—	242	248	242	—	228	241	—	190	194	—	231	280	373	268	275	—	—	238	226	215	212	216	—
29	239	—	—	249	265	237	246	231	192	171	—	212	273	—	278	—	252	240	231	227	221	215	234	—
30	225																							